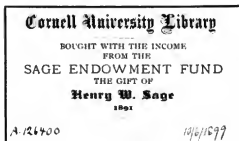


AS
142
V655 +
v. 65



S
10/6/77

DENKSCHRIFTEN

DER

KAISERLICHEN

AKADEMIE DER WISSENSCHAFTEN.

MATHEMATISCH-NATURWISSENSCHAFTLICHE CLASSE.

FÜNFUNDSECHZIGSTER BAND.



WIEN.

AUS DER KAISERLICH-KÖNIGLICHEN HOF- UND STAATSDRUCKEREI.

1898.

A. 126400

INHALT.

Der vorliegende 65. Band der Denkschriften enthält ausschliesslich nur Publicationen über die wissenschaftlichen Ergebnisse der von der kaiserlichen Akademie der Wissenschaften in Cooperation mit der k. und k. Kriegs-Marine auf S. M. Schiff »Pola« ausgeführten Tiefseeforschungen, und zwar:

A. Berichte der Commission für oceanographische Forschungen im **Rothen Meere** (nördliche Hälfte) 1895—1896. ¹

	Seite
Einleitung	V
I. Zeit- und Ortsbestimmungen, ausgeführt von k. und k. Linienschiffs-Lieutenant <i>Karl Koss</i> . (Mit 1 Tafel.)	1
II. Relative Schwerebestimmungen, ausgeführt von k. und k. Linienschiffs-Lieutenant <i>Anton Edlen v. Trinius</i> . (Mit 2 Tafeln.)	131
III. Magnetische Bestimmungen, ausgeführt von k. und k. Linienschiffs-Fähnrich <i>Karl Rössler</i> . (Mit 6 Karten und 1 Tafel.)	207
IV. Meteorologische Beobachtungen, ausgeführt von k. und k. Linienschiffs-Lieutenant <i>Cäsar Arbesser v. Rastburg</i> . (Mit 5 Tafeln und 3 Textfiguren.)	245
V. Geodätische Arbeiten, ausgeführt von k. und k. Linienschiffs-Lieutenant <i>Cäsar Arbesser v. Rastburg</i> . (Mit 14 Karten, 2 Tafeln und 2 Textfiguren.)	341
VI. Physikalische Untersuchungen, ausgeführt von k. und k. Regierungsrath Professor <i>Josef Luksch</i> . (Mit 6 Tafeln und 1 Textfigur.)	351
VII. Zoologische Ergebnisse: Sapphirinen des Rothen Meeres, bearbeitet von <i>Dr. Josef Scluer</i> . (Mit 1 Karte.)	423
VIII. Zoologische Ergebnisse: Beiträge zur Morphologie und Anatomie der Tridacniden, bearbeitet von Professor <i>Dr. Karl Grobben</i> . (Mit 3 Tafeln.)	433
IX. Chemische Untersuchungen, ausgeführt von <i>Dr. Konrad Natterer</i> . (Mit 11 Tafeln.)	445

B. Fortsetzung der Berichte der Commission für Erforschung des **östlichen Mittelmeeres** 1889—1894. (Sechste Reihe.) ²

	Seite
XXI. Zoologische Ergebnisse. X. Mollusken II. Heteropoden und Pteropoden, Sinusigera. Gesammelt auf S. M. Schiff »Pola« im östlichen Mittelmeere (1890—1894), bearbeitet von <i>Alfred Oberwimmer</i> , cand. med. (Mit 1 Tafel.)	573
XXII. Zoologische Ergebnisse. XI. Die Decapoden. Gesammelt von S. M. Schiff »Pola« im östlichen Mittelmeere 1890—1894, bearbeitet von <i>Dr. Theodor Adensamer</i> . (Mit 1 Tafel und 1 Textfigur.) 597	

¹ Der »Beschreibende Theil« über diese Expedition, verfasst von dem Commandanten S. M. Schiff »Pola«, k. und k. Linienschiffs-Capitän Paul v. Potl, erscheint gleichzeitig in einer Separatausgabe.

² Siehe diese Berichte Denkschriften, Bd. LIX (1892), LX (1893), LXI (1894), LXII (1895), LXIII (1896).

Einleitung.

Die wissenschaftliche Expedition in den nördlichen Theil des Rothen Meeres im Winterhalbjahr 1895/96, deren Ergebnisse den Inhalt der vorliegenden Publication bilden, ist der Initiative des k. und k. Reichs-Kriegs-Ministeriums, »Marine-Section« zu verdanken.

Am 24. September 1894 richtete der Chef der Marine-Section an das k. und k. technische Marine-Comité in Pola eine Note, deren Inhalt im Auszuge hier folgt.

»Das Reichs-Kriegs-Ministerium, »Marine-Section« beabsichtigt, die im östlichen Mittelmeer mit so reichen wissenschaftlichen Ergebnissen zum Abschlusse gelangte Thätigkeit auf dem Gebiete der Tiefseeforschung schon in nächster Zeit im Becken des Rothen Meeres mit einem Expeditionsschiff aufzunehmen.

Um dieses Unternehmen in gehöriger Weise vorzubereiten und einzuleiten, ist es erforderlich, dass Vorstudien über das genannte Meer angestellt werden, durch welche die in dem neuen Forschungsgebiete herrschenden Verhältnisse klimatischer, nautischer und hygienischer Natur, oder welche sonst auf den Verlauf des Unternehmens Einfluss nehmen mögen, sorgfältig erhoben und in Betracht gezogen werden.

Das k. und k. marine-technische Comité erhält den Auftrag, unter Zuziehung des Directors des hydrographischen Amtes und des Sanitätsamtes die entsprechenden Studien vornehmen zu lassen und sodann darüber zu berichten.

Als Arbeitsgebiet sind der Golf von Suez und von Akabah und der daran anschliessende Theil des Rothen Meeres bis zur Breite von Jidda anzusehen, als Expeditionsschiff wird S. M. Schiff »Pola« in Aussicht genommen.

Die der Expedition zugeachtete Thätigkeit wird meeresphysiographische Forschungen in dem gleichen Umfange umfassen, wie solche durch S. M. Schiff »Pola« im östlichen Mittelmeere vorgenommen worden sind. Das Reichs-Kriegs-Ministerium beabsichtigt jedoch auch, die sich darbietende Gelegenheit durch Heranziehung des Schiffsstabes zur Gewinnung von Daten über die Vertheilung der Intensität der Schwerkraft und der erdmagnetischen Elemente auszunützen.»

Vom dem Inhalt dieser Note wurde auch die kaiserliche Akademie der Wissenschaften in Kenntnis gesetzt, und derselben noch am 6. December desselben Jahres der vielseitige und eingehende Bericht des marine-technischen Comité's zur Einsicht übermittelt, mit der Einladung, die biologischen und physiographischen Forschungen zu übernehmen, und dem Ersuchen, die Mitglieder des wissenschaftlichen Stabes der Mittelmeer-Expedition, Hofrath Dr. Fr. Steindachner in Begleitung seines Assistenten, Custos-Adjunct F. Siebenrock, Regierungsrath Prof. J. Luksch und Universitätsdocent Dr. Konrad Natterer für die Theilnahme zu gewinnen, sowie für die Beistellung gewisser wissenschaftlicher Apparate sorgen zu wollen.

Der Abgang der Expedition wurde für den Herbst 1895 in Aussicht genommen und deren Dauer bis Frühjahr 1896 veranschlagt.

Die kaiserliche Akademie der Wissenschaften hat dieser Einladung zur Theilnahme an einer neuen viel versprechenden oceanographischen Forschungsreise bereitwilligst entsprochen, und ihre Commission für Tiefseeforschungen beauftragt, die Vorbereitungen zur Expedition und die wissenschaftlichen Ziele derselben in Berathung zu ziehen und einen Kostenvorschlag vorzulegen.

Die Anträge der Commission, an deren Verhandlungen auch ein Vertreter der k. und k. Marine-Section und zuletzt auch der zum Commandanten S. M. Schiff »Pola« designirte Linienschiffs-Capitän Herr Paul

Edler v. Pott theilnahmen, wurden von der mathem.-naturw. Classe genehmigt, und die Kosten der nöthigen Anschaffungen von neuen Apparaten, von Reparaturen und Vervollständigungen des vorhandenen Materiales zur Tiefseeforschung, sowie Reise- und Verpflegungsauslagen des wissenschaftlichen Stabes von der kaiserlichen Akademie der Wissenschaften bewilligt.¹

Die Expedition lief am 6. October 1893 um 7 $\frac{1}{4}$ Uhr Abends von Pola aus und hatte ihr Arbeitsprogramm bis Ende April 1896 erledigt. Einen kurzen Bericht über die Thätigkeit der Expedition hat Herr Linienschiffs-Capitän Paul v. Pott im »Anzeiger« der mathem.-naturw. Classe vom 21. Mai 1896 (S. 138 bis 143) geliefert; der ausführliche Reisebericht des Commandanten S. M. Schiff »Pola«, der auch die Namen der Theilnehmer an der Expedition, die Ausrüstung des Schiffes, die Aufzählung und zum Theil auch die Beschreibung der neuen, bei der Expedition zur Verwendung gelangten Apparate enthält, ist als separates Werk unter dem Titel: »Expedition S. M. Schiff »Pola« in das Rothe Meer. (Nördliche Hälfte.) Beschreibender Theil.« von der kaiserlichen Akademie der Wissenschaften herausgegeben worden.

Einen vorläufigen Bericht über die physikalisch-oceanographischen Untersuchungen im Rothen Meer hat Herr Regierungsrath Prof. Josef Luksch in den Sitzungsberichten veröffentlicht (Bd. CV, Abth. I, Mai 1896), einen »Vorläufigen Bericht über die zoologischen Arbeiten im nördlichen Theile des Rothen Meeres« Herr Hofrath Dr. F. Steindachner ebendasselbst im Juli 1896 (Bd. CV, Abth. I).

Die zweite wissenschaftliche Expedition auf S. M. Schiff »Pola« in den südlichen Theil des Rothen Meeres wird im September 1897 von Pola abgehen.

¹ Die Gesamtauslagen der ersten Expedition ins Rothe Meer, so weit sie die kaiserliche Akademie zu leisten hatte, im Betrage von rund 15.000 Gulden, wurden später auf Rechnung der Treitl-Widmung übernommen.

A.
BERICHTE
DER
COMMISSION FÜR OCEANOGRAPHISCHE FORSCHUNGEN
IM
ROTHEN MEERE.
(NÖRDLICHE HÄLFTE) 1895—1896.

EXPEDITION S. M. SCHIFF „POLA“ IN DAS ROTHE MEER.

NÖRDLICHE HÄLFTE.

(OCTOBER 1895 — MAI 1896)

WISSENSCHAFTLICHE UNTERSUCHUNGEN.

I.

ZEIT- UND ORTS-BESTIMMUNGEN.

AUSGEFÜHRT VON

KARL KOSS,

K. UND K. LINIENSCHIFFS-LIEUTENANT

(Zeit u. Tafel.)

VORGELEGT IN DER SITZUNG AM 3. MÄRZ 1897.

Inhalt:

I. Allgemeines.

II. Beobachtungsorte, Längenuntersuche, Breiten.

III. Anhang, die Original-Beobachtungen enthaltend.

I. Allgemeines.

Instrumente.

1. An Uhren führten wir die folgenden vom k. und k. hydrographischen Amte ausgefassten Büchsen-chronometer mit:

		Bezeichnet als
Nardin 35/7846 mit elektrischem Contact für Schwerebestimmungen . . .	Sternzeit	N
Parkinson-Frodsham 3476 als Zähluhr bei den Beobachtungen verwendet . . .		P
Kullberg 5009	Mittlere Zeit	K ₁
„ 4757		K ₂
Dent 2512		D
Fischer 44		F

2. Universal-Instrument. Astronomisches Universal von Starke und Kammerer in Wien, vom Besitzer Herrn Dr. Egon Ritter v. Oppolzer leihweise überlassen. Knierohr von 40 mm Öffnung, Ramsden'sches Ocular mit 30- und 50facher Vergrößerung (angewendet wurde nur die 30fache). Sterne ö. Grösse können nicht mehr beobachtet werden. Ocular über's Gesichtsfeld zu verschieben; Fadennetz und ein bewegliches Fadenpaar auf Glas eingerissen; Verticalfäden: eine Gruppe zu 5 Fäden, eine zu 4 (die zwei mittleren dicht neben einander, so dass Durchgänge nicht an jedem von ihnen, sondern durch

ihre Mitte beobachtet wurden), eine Gruppe zu 5 Fäden; Äquatorial-Fadendistanzen von der Mitte bei Ocular West, oberer Culmination: 30.78, 26.50, 22.17, 18.08, 13.79, 5.33, 5.18, 13.60, 17.05, 22.21, 26.56, 30.64.

Der Horizontalkreis und die beiden Höhenkreise 20 cm Durchmesser, auf 10' getheilt; die Ablesemikroskope mit je 2 Paaren Parallelfäden¹ geben Doppelsecunden, der Nonius am verticalen Einstellkreis gibt Minuten. Umlegevorrichtung, Federentlastung mit Gleitrollen.

Aufsatzlibelle von 2'20, Höhenlibelle von 2'20 Parswerth; der Parswerth ändert sich mit der Blasenlänge um so wenig, dass für die Feldbeobachtungen nur diese, der mittleren Blasenlänge entsprechenden Werthe angewendet wurden.

Die anfangs angewendete Beleuchtung durch die Axe erwies sich als unpraktisch, es wurde ein Illuminator angefertigt und die Beleuchtung durchs Objectiv entsprach gut.

Aufstellung.

Auf dem färgewählten Beobachtungsorte wurde der Pfeiler für die Pendelbeobachtung solid fundirt gesetzt, darüber die Holzhütte aufgebaut und mit einem Zelte überdeckt, dann wurden darin die 6 Chronometer nebeneinander aufgestellt. Für das Universal wurde 10—20 m davon ein zweiter Pendelpfeiler, auch von 300 kg Gewicht, mit einer Deckplatte, gesetzt, das Instrument aufgestellt und bei Ocular Ost und Lesung 90°¹ nahezu in den Meridian gebracht, wodurch eine Fusschraube in die Nordrichtung kam; dann wurden die Fussplättchen aufgekippt und hienach durch Sonnenbeobachtung ein Azimut roh gemessen, um die Nordrichtung zu kennen.

Angewendete Methoden.

Es wurde durchwegs die Zeitbestimmung durch Beobachtung von Sterndurchgängen im Verticale des Polarsternes angewendet, und zwar bei Benützung der von der Astronomischen Gesellschaft in Petersburg herausgegebenen und durch ihre praktische Einrichtung ausgezeichneten Dölln'schen Ephemeriden. Die örtlichen Ephemeriden wurden für 6—8 Sterne vorausberechnet, wobei der erste je nach seiner Grösse und nach der Dauer der Dämmerung 10—30^m nach Sonnenuntergang genommen wurde. Das Instrument wurde vor Sonnenuntergang aufgestellt und nach dem Untergange rectificirt; der erste Stern wurde immer bei Ocular Ost beobachtet, der zweite bei Ocular West; damit war eine vollständige Zeitbestimmung gemacht; zur Controlle wurde immer noch eine zweite gemacht, also ein dritter Stern bei O. W. und ein vierter bei O. O. beobachtet und der Vorgang dabei war dieser: Libelle ablesen und verkehren; Polarstern nahe an die Mitte des Fadennetzes bringen, ihn die Mitte passiren lassen, Zeit notiren; Niveau, Horizontalmikroskope ablesen, in die Zenitdistanz des Zeitsternes einstellen, bei seinem Erscheinen im Gesichtsfelde Libelle ablesen und verkehren, den Durchgang an den 12 Fäden und durch die Mitte der beiden Mittelfäden beobachten, Libelle ablesen; Fernrohr in die andere Ocularlage bringen, Polarstern nahe an die Mitte bringen. Zum Wechseln der Ocularlage wurde nicht die Umlegevorrichtung benützt, sondern der ganze Obertheil des Instrumentes verdreht. Mir assistirte beim Beobachten einer meiner Kameraden, indem er die Einstellungen aus dem Aufschreibebuche und die Secunde angab und alle Ablesungen und Zeitangaben eintrug. Das als Zähluhr verwendete Chronometer *P* stand durch eine Compasslaterne von oben beleuchtet auf einem eignen Tischchen knapp neben dem Pfeiler, so dass ich die Schläge hörte. Konnte ein Stern wegen Wolken nur an weniger als 5 Fäden beobachtet werden, so galt die Beobachtung nicht; auch trachtete ich, die am ersten Abende an einem Orte beobachteten Sterne auch an den folgenden Abenden in derselben Ocularlage zu beobachten, um allfällige systematische Fehler aus der Bestimmung der Chronometergänge auszumerzen.

¹ Die Mitte der zwei Paare von Parallelfäden stehen von einander beim Höhenmikroskop I um 4'36.3 ab, beim Höhenmikroskop II um 4'36.7 d, beim Horizontalmikroskop I um 4'36.0, beim Horizontalmikroskop II um 4'36.2, also im Mittel um 4'36.2.

War wegen Bewölkung u. dgl. nur eine einzelne Zeitbestimmung — mit nur einem Paar von Sternen gelungen, so galt die Beobachtung nicht, weil sie die Chronometergänge nicht mit der zu Pendelbeobachtungen erforderlichen Genauigkeit gewährleistet hätte.

Ein Mittel, um grobe Irrungen aufzudecken, und einen Massstab zur Beurtheilung der Genauigkeit der Beobachtungen bildeten die vier Werthe der Collimation, die zwei des Nordpunktes, die sich aus den zwei vollständigen Zeitbestimmungen ergeben und insbesondere der gegenseitige Unterschied der zwei aus ihnen erhaltenen Uhrstände; diese Differenz beträgt im Mittel aus 64 Paaren von Zeitbestimmungen $\pm 0^s 16$, und zwar kommen

25 Differenzen von 0	— 0 ^s 10
20 „ „ 0 ^s 10 — 0 ^s 20	
15 „ „ 0 ^s 20 — 0 ^s 30	
2 „ „ 0 ^s 30 — 0 ^s 40	
und 2 „ „ 0 ^s 40 — 0 ^s 49	

vor und es bezeugt die nahe Übereinstimmung der Summe aller positiven Werthe mit jener der negativen dass keine systematischen Fehler vorliegen.

Dass diese Genauigkeit unter oft sehr misslichen Umständen, bei ziemlich bewölktem Himmel, bei heftigem Winde und Sandtreiben, oder in unmittelbarer Nähe von menschenreichen Plätzen u. dgl. erreicht wurde, ist einerseits der soliden Aufstellung des schweren Instrumentes, anderseits der angewendeten Methode zu verdanken; denn Sonnenbeobachtungen wären nicht nur wegen der Hitze sehr anstrengend gewesen, was ja die Genauigkeit auch beeinträchtigt, sondern sie hätten auch wegen der Bestrahlung des Instrumentes und wegen Refractions-Abnormitäten keine guten Ergebnisse geliefert, ganz abgesehen davon, dass die Zeitbestimmung aus Zenitdistanzen der Sonne sehr viel zu rechnen gibt, während die im Verticale des Polarsternes wohl die denkbar grösste Ökonomie im Rechnen bietet, wie man aus den Beispielen in der Einleitung der Ephemeriden ersieht.

Die Abweichung der einzelnen auf die Mitte reduirten Antritszeiten von ihrem Mittel beträgt durchschnittlich 0^s 20.

Unmittelbar nach der Zeitbestimmung wurde *P* mit den anderen Chronometern in derselben Reihenfolge durch Coinidenzen verglichen, wie es auch vor der Beobachtung geschehen war, und dann wurde die Polhöhe durch Beobachtung von Zenitdistanzen des Polarsternes und von Circummeridian-Zenitdistanzen von Südsternen bestimmt.

Von jedem Sterne wurden 3 Einstellungen (in die Mitte der beiden Horizontalfäden) in der einen und 3 in der andern Kreislage gemacht (die Umlegevorrichtung wurde nicht angewendet, sondern das Instrument um 180° im Azimut verkehrt). Der Run wurde so klein gehalten, dass man ihn bei der Reduction vernachlässigen konnte und es wurde daher aus der Ablesung für die Einstellung des einen Fadenpaares auf den einen Theilstrich und für die Einstellung des anderen Fadenpaares auf den vorangehenden Theilstrich — um die eingangs erwähnten 4' 30" vermehrt — einfach das Mittel gebildet. Bei der Reduction wurde nur die mittlere Refraction aus den Albrecht'schen Tafeln entnommen; die Durchbiegung des Fernrohrs wollte ich, nachdem sich vor der Expedition keine Zeit ergeben hatte, sie zu bestimmen, aus den an je einem Orte mit dem Polarsterne und mit Südsternen gemachten Polhöhenbestimmungen ableiten; sie wird aber von den Beobachtungsfehlern überdeckt, weshalb ich für sie keine Correction anbrachte.

Die Sternpositionen wurden dem Nautical Almanac entnommen.

Zur Reduction auf den Meridian wurden die in den Albrecht'schen Tafeln (Auflage 1894) auf Seite 48 für den Polarstern und auf Seite 53 für Circummeridian-Sterne gegebenen Formeln verwendet. Die drei Einstellungen weichen von ihrem Mittel beim Polarsterne um 1", bei Südsternen (wegen der Verschiebung im Azimute) um 1' 5 im Durchschnitt ab; wiew die mit dem Polarsterne erhaltene Polhöhe von der mit dem Südsterne berechneten um mehr als 6" ab, so wurde die Breite am nächsten Abende wieder beobachtet.

II. Beobachtungsorte. Längenunterschiede, Breiten.

Da die umfangreiche Wiedergabe der Originalbeobachtungen aller Zeit- und Breitenbestimmungen und der Vergleiche der Chronometer untereinander im Anhange geschieht, so werden hier nur jene Standesbestimmungen gegeben, aus welchen die Längenunterschiede abgeleitet sind und überdies die Berechnung des Standes vom Chronometer N für Sherm Sheikh, wo es ins Laufen gekommen war.

Die Längenunterschiede beziehen sich auf den in Suez benützten Beobachtungsort, dessen Länge sich nach der Britt. Adm.-Karte Nr. 734 zu $32^{\circ}33'26''$ Ost ergibt; nur die Längenunterschiede der auf der zweiten Kreuzung, d. i. die von Jidda aus gemachte und dort wieder beendete Fahrt, beziehen sich auf den Beobachtungsort vor dem Hafename von Jidda, d. i. auf die von der B. A. J. Nr. 2500 abgestoehene Länge von $21^{\circ}29'3''$ Ost. Die Längenunterschiede sind aus den Differenzen des durch die Zeitbestimmungen gefundenen Standes gegen Ortszeit und jenes Standes gegen die Zeit des Ausgangsortes gebildet, der sich mit dem mittleren Gange des Chronometers ergibt. Die Rechnung mit Temperaturs-Coefficienten (nach Artikel 223 im 1. Theile von Chauvenet's Spherical and practical Astronomy) hat minder gute Ergebnisse geliefert, wohl wegen der unverlässlichen Coefficienten; und weil die Chronometer in ziemlich gleichbleibender Temperatur verblieben sind, so habe ich diese Berechnung nicht angewendet und mich nur für die Kreuzung von Jidda nach Suez der im 215. Artikel jenes Buches gegebenen Formeln zur Berechnung eines gleichmässig zu- oder abnehmenden Ganges bedient, und zwar für die Chronometer P, K₂ und F. Auf der Fahrt von Suez nach Brother wurde das Mittel zwischen dem Suez und dem Gange auf Brother, auf der Fahrt vom Brother nach Jidda das Mittel zwischen dem Gange auf Brother und dem in Jidda verwendet.

Die während der ganzen Expedition täglich gemachten Vergleiche der Chronometer unter einander zeigen, dass die in Sherm Sheikh zu Ende der Expedition plötzlich aufgetretene grosse Hitze (33°C.) das Chronometer N zu rascher Beschleunigung des Ganges gebracht hat (die auch auf der Heimfahrt von Suez nach Pola anhielt), weshalb ich seine Standesänderung von Sherm Sheikh bis Suez, wie sie sich für diese sechs Tage aus den Angaben der anderen fünf Chronometer ergab, in Abzug brachte, und seinen Stand gegen Suez auf den vorherigen Stationen mit dem nun verbleibenden täglichen Gange rechnete.

Das Mittel der Längenunterschiede aus der Zeitbestimmung nach der Ankunft in einer Station und aus der vor der Abfahrt ist für jedes einzelne Chronometer und mit einem Gewichte angegeben, das in folgender Weise bestimmt wurde. Die Zeitbestimmungen auf den einzelnen Stationen (mindestens zwei an jedem Orte) ergaben einen gewissen täglichen Gang (den Langgang) für jedes Chronometer und die Abweichungen des zur Berechnung des Standes gegen den Ausgangsort benützten mittleren Ganges (bei Anwendung eines sich gleichmässig ändernden Ganges die Abweichung des auf diesen Tag entfallenden Werthes) vom direct bestimmten Langgange wurden für die betreffende Kreuzung zum Quadrat erhoben und addirt; die höchste der den einzelnen Chronometern zukommenden Summen getheilt durch die einen bestimmten Chronometer angehörige wurde als dessen Gewicht ausgesetzt. Es sind also die Gewichte relative (auf das schlechteste Chronometer bezogene) und nicht absolute, und es sind auch die der einzelnen Kreuzungen nicht direct miteinander vergleichbar. Der endgiltige Längenunterschied ist unter Berücksichtigung der einfachen Gewichtszahlen berechnet. Diese Art der Gewichtsvertheilung ohne Rücksicht auf die Dauer der Fahrten ist angewendet worden, weil jeder Ort eben nur einmal besucht wurde, und wenn auch diese Lösung der so heiklen Frage der Gewichte durchaus nicht einwandfrei ist, so ist sie doch einfach und hoffentlich annehmbar. Die aus verschiedenen Sternen erhaltenen Werthe der Breite sind einfach gemittelt worden.

Standesbestimmungen und Ableitung der Längenunterschiede.

Die Epoche der Standesbestimmung ist nach dem Chronometer K_1 angegeben und die Tagesanzahl um 1 oder 2 Monate verkürzt, um kleinere Zahlen zu haben.

Es ist nur die erste und die letzte Beobachtung einer Station gegeben.

Das Chronometer K_1 hat man anfangs nicht ausgeschifft, um für alle Fälle ein Chronometer an Bord zu haben; man ist aber hievon bald abgekommen und K_1 ist von Jidda an immer mit den übrigen zusammen ausgeschifft worden.

Ort	Datum Epoche nach K_1	Stand gegen Ortszeit	Stand gegen die Zeit des Ausgangspunktes	Längenunterschied
Suez I	21. October 1895 203 ¹ 130	P + 1 ^h 10 ^m 51 ^s 24 N 1 10 44 3 K ₁ — K ₂ 2 14 13 1 F 2 28 50 1 D 2 23 51 ^m 0		
	23. October 1895 205 ¹ 147	P + 1 ^h 10 ^m 48 ^s 27 N 1 10 41 ^s 3 K ₁ — K ₂ 2 14 14 ^s 2 F 2 29 1 ^s 3 D 2 23 53 ^m 0		
Bruther	27. October 1895 209 ¹ 107	P + 1 ^h 25 ^m 53 ^s 16 N 1 10 45 ^s 5 K ₁ — K ₂ 2 23 28 ^m 0 F 2 38 20 ^m 0 D 2 23 2 ^s 7	+ 1 ^h 10 ^m 47 ^s 0 1 10 35 ^s 7 2 14 13 ^s 1 2 29 12 ^s 1 2 23 58 ^m 8	+ 9 ^m 57 ^s 0 ^m 8 5 ^m 0 7 9 8 ^m 0
	28. October 1895 300 ¹ 130	P + 1 ^h 25 ^m 54 ^s 5 N 1 10 44 ^s 2 K ₁ — K ₂ 2 23 21 ^m 0 F 2 38 22 ^m 8 D 2 23 9 ^m 0	+ 1 ^h 10 ^m 48 ^s 8 1 10 34 4 2 14 13 ^m 0 2 30 14 ^m 0 2 24 0 ^m 1	dito.
Jidda I	6. November 1895 309 ¹ 133	P + 1 ^h 43 ^m 27 ^s 1 N 1 30 55 ^s 4 K ₁ — K ₂ 2 40 47 ^s 2 F 2 50 13 ^m 0 D 2 50 40 ^m 4	+ 1 ^h 10 ^m 55 ^s 4 1 10 21 ^m 0 2 14 13 ^s 5 2 29 38 ^m 4 2 24 5 ^s 5	+ 20 ^m 31 ^s 9 34 ^s 4 33 7 35 ^s 2 34 ^m 0
	8. November 1895 311 131	P + 1 ^h 43 ^m 28 ^s 3 N 1 30 52 ^m 0 K ₁ 2 39 0 ^s 3 K ₂ 2 40 47 ^s 7 F 2 50 18 ^m 5 D 2 50 43 ^m 4	+ 1 ^h 01 ^m 3 — 1 ^h 01 ^m 0 + 1 ^h 10 ^m 7 1 ^h 0 ^m 19 ^s 7 + 2 ^h 02 ^m 0 + 1 ^h 30 ^m 4	Für die Kreuzung von Jidda aus verwendete Gänge
Marsa Haläth	10. November 1895 319 ¹ 137	P + 1 ^h 33 ^m 33 ^s 10 N 1 30 34 ^s 3 K ₁ 2 39 0 ^s 7 K ₂ 2 30 43 ^s 5 F 2 40 33 ^m 0 D 2 40 48 ^m 7	+ 1 ^h 43 ^m 30 ^s 4 1 30 38 ^m 2 2 39 14 ^m 7 2 40 49 ^m 2 2 50 39 ^m 5 2 50 54 ^m 5	— 10 ^m 22 ^s 7 4 5 ^m 0 5 ^m 7 0 ^m 5 5 ^m 8

O r t	Datum Epoche nach K ₂	Stand gegen Ortszeit	Stand gegen die Zeit des Ausgangspunktes	Längenunterschied
Mersa Halab	18. November 1895 321° 128	P + 1 ^h 33 ^m 347.5 N 1 20 20.7 K ₁ 2 20 11.3 K ₂ 2 30 43.0 F 2 40 37.6 D 2 40 50.4	+ 1 ^h 43 ^m 367.6 1 30 34.9 2 30 17.3 2 40 49.5 2 50 44.0 2 50 57.3	- 10 ^m 37.9 0.2 6.0 5.9 7.0 0.9
	21. November 1895 324° 142	P + 1 ^h 31 ^m 40.4 N 1 24 29.4 K ₁ 2 27 24.5 K ₂ 2 35 34.9 F 2 44 53.8 D 2 50 2.5	+ 1 ^h 43 ^m 417.4 1 30 27.2 2 30 20.7 2 40 50.3 2 50 52.7 2 51 1.5	- 11 ^m 55.0 57.8 50.2 52.4 58.9 59.0
Insel St. John	22. November 1895 325° 138	P + 1 ^h 31 ^m 40.1 N 1 24 27.4 K ₁ 2 27 25.2 K ₂ 2 35 52.0 F 2 44 55.0 D 2 50 3.7	+ 1 ^h 43 ^m 427.4 1 30 25.3 2 30 21.8 2 40 50.5 2 50 53.3 2 51 2.9	- 11 ^m 50.3 58.9 50.6 57.9 50.7 59.2
Berenice	24. November 1895 327° 138	P + 1 ^h 28 ^m 50.1 N 1 21 34.5 K ₁ 2 24 38.0 K ₂ 2 30 4.0 F 2 42 11.8 D 2 50 17.9	+ 1 ^h 43 ^m 447.5 1 30 21.4 2 30 24.0 2 40 50.7 2 57 0.5 2 51 5.6	- 14 ^m 45.4 40.9 45.4 40.7 48.7 47.7
	27. November 1895 330° 117	P + 1 ^h 29 ^m 0.7 N 1 21 28.7 K ₁ 2 24 41.5 K ₂ 2 30 4.1 F 2 42 10.2 D 2 50 22.2	+ 1 ^h 43 ^m 477.5 1 30 15.8 2 30 27.3 2 40 51.3 2 57 8.3 2 51 9.7	- 14 ^m 40.8 47.1 45.8 47.2 49.1 47.5
Rabagh	3. December 1895 330° 128	P + 1 ^h 43 ^m 97.0 N 1 35 20.5 K ₁ 2 38 51.3 K ₂ 2 40 9.3 F 2 50 40.7 D 2 50 34.3	+ 1 ^h 43 ^m 517.0 1 30 4.4 2 39 33.9 2 40 52.5 2 57 24.0 2 51 18.2	- 14 ^m 43.7 43.0 42.0 43.2 41.3 43.9
	4. December 1895 332° 134	P + 1 ^h 43 ^m 117.3 N 1 35 18.5 K ₁ 2 38 52.5 K ₂ 2 40 9.5 F 2 50 43.0 D 2 50 35.7	+ 1 ^h 43 ^m 547.7 1 30 2.3 2 39 35.0 2 40 52.7 2 57 20.7 2 51 20.6	- 14 ^m 43.4 43.8 42.5 43.2 41.7 44.9
Jidda 1*	9. December 1895 342° 135	P + 1 ^h 43 ^m 50.7 N 1 35 52.8 K ₁ 2 39 40.0 K ₂ 2 40 53.8 F 2 57 39.9 D 2 51 26.0		
	15. December 1895 348° 120	P + 1 ^h 44 ^m 07.9 N 1 35 30.4 K ₁ 2 39 49.8 K ₂ 2 40 51.8 F 2 57 50.2 D 2 51 30.4	+ 1 ^h 17 ^m 30.9 1 0 10.5 2 13 10.1 2 14 18.2 2 31 22.9 2 25 7.1	+ 20 ^m 30.0 28.9 30.7 31.6 27.3 29.3

Zeit- und Orts-Bestimmungen.

O r t	Datum Epoche nach K ₂	Stand gegen Ortszeit	Stand gegen die Zeit des Ausgangspunktes	Längenunterschied
Yenbo	22. December 1895	P + 1 ^h 39 ^m 30 ^s 0 N 1 30 57 0 K ₁ 2 35 31 4 K ₂ 2 30 20 5 F 2 53 37 5 D 2 47 20 3	+ 1 ^h 17 ^m 35 ^s 0 1 8 55 0 2 13 30 3 2 14 10 0 2 31 35 8 2 25 18 7	+ 21 ^m 01 3 01 4 01 1 03 9 01 7 01 6
	355° 136			
	25. December 1895	+ 1 ^h 30 ^m 39 5 N 1 30 48 5 K ₁ 2 55 14 0 K ₂ 2 30 18 3 F 2 53 42 0 D 2 47 25 0	+ 1 ^h 17 ^m 37 3 1 8 49 1 2 13 35 0 2 14 15 3 2 31 40 8 2 25 23 7	+ 21 ^m 02 2 59 4 59 0 03 0 01 2 01 3
	358° 127			
Sherm Sheikh	30. December 1895	P + 1 ^h 27 ^m 55 5 N 1 18 52 4 K ₁ 2 43 55 3 K ₂ 2 24 28 7 F 2 42 4 4 D 2 35 45 3	+ 1 ^h 17 ^m 31 7 1 8 38 3 2 13 43 0 2 14 12 8 2 31 48 0 2 25 32 0	+ 10 ^m 15 8 14 1 12 3 15 0 15 8 13 3
	303° 159			
	31. December 1895	P + 1 ^h 27 ^m 56 2 N 1 18 49 8 K ₁ 2 23 50 8 K ₂ 2 24 27 9 F 2 42 5 8 D 2 30 0 9	+ 1 ^h 17 ^m 40 1 1 8 39 4 2 13 44 0 2 14 12 2 2 31 50 1 2 25 33 7	+ 10 ^m 16 1 13 3 12 2 15 7 15 7 13 2
	304° 139			
Mersa Dhibi	2. Jänner 1896	P + 1 ^h 26 ^m 26 8 N 1 17 15 4 K ₁ 2 22 30 2 K ₂ 2 22 55 0 F 2 40 38 2 D 2 34 19 4	+ 1 ^h 17 ^m 40 0 1 8 31 8 2 13 47 7 2 14 10 9 2 31 53 0 2 25 37 0	+ 8 ^m 45 0 43 0 42 5 44 7 45 2 42 4
	306° 159			
	3. Jänner 1896	P + 1 ^h 26 ^m 27 0 N 1 17 13 4 K ₁ 2 22 31 7 K ₂ 2 22 54 0 F 2 40 39 4 D 2 33 21 1	+ 1 ^h 17 ^m 41 3 1 8 29 0 2 13 49 3 2 14 10 2 2 31 54 4 2 25 40 3	+ 8 ^m 46 3 43 8 42 4 44 7 45 0 40 8
	307° 155			
Hassani	6. Jänner 1896	P + 1 ^h 35 ^m 58 2 N 1 20 30 3 K ₁ 2 32 4 9 K ₂ 2 32 20 7 F 2 50 12 5 D 2 43 53 5	+ 1 ^h 17 ^m 42 3 1 8 23 2 2 13 54 1 2 14 7 9 2 31 58 3 2 25 43 0	+ 18 ^m 15 9 13 1 10 8 12 8 14 2 9 9
	370° 150			
	7. Jänner 1896	P + 1 ^h 35 ^m 58 0 N 1 20 34 2 K ₁ 2 32 0 8 K ₂ 2 32 20 0 F 2 50 13 8 D 2 43 55 5	+ 1 ^h 17 ^m 42 0 1 8 21 0 2 13 55 7 2 14 7 1 2 31 59 0 2 25 45 3	+ 18 ^m 16 4 13 2 11 1 12 9 14 2 10 2
	374° 140			
Habbän	11. Jänner 1896	P + 1 ^h 33 ^m 48 4 N 1 24 17 1 K ₁ 2 30 4 0 K ₂ 2 30 0 4 F 2 48 9 4 D 2 41 52 1	+ 1 ^h 17 ^m 43 5 1 8 13 4 2 14 2 1 2 14 3 5 2 32 4 4 2 25 51 9	+ 16 ^m 45 0 41 7 1 9 2 9 5 0 0 2
	375° 144			

O r i	Datum Epoche nach K ₂	Stand gegen Ortszeit	Stand gegen die Zeit des Ausgangspunktes	Längenunterschied
Habban	12. Jänner 1890 370° 134	P + 1 ^h 33 ^m 48 ^s 7 N 1 24 14 ^s 5 K ₁ 2 30 5 ^s 0 K ₂ 2 30 5 ^s 4 F 2 48 10 ^s 0 D 2 41 53 ^s 0	+ 1 ^h 17 ^m 43 ^s 7 1 8 10 ^s 2 2 14 3 ^s 0 2 14 2 ^s 6 2 32 5 ^s 4 2 25 53 ^s 0	+ 10 ^s 5 ^s 0 4 ^s 3 2 ^s 0 2 ^s 8 4 ^s 6 0 ^s 0
		P + 1 ^h 24 ^m 39 ^s 3 N 1 15 1 ^s 4 K ₁ 2 21 4 ^s 0 K ₂ 2 20 55 ^s 2 F 2 39 5 ^s 8 D 2 32 51 ^s 0	+ 1 ^h 17 ^m 44 ^s 2 1 8 3 ^s 7 2 14 16 ^s 4 2 13 59 ^s 5 2 32 8 ^s 0 2 25 58 ^s 6	+ 0 ^s 55 ^s 1 57 ^s 7 55 ^s 0 55 ^s 7 52 ^s 2 53 ^s 0
		P + 1 ^h 24 ^m 38 ^s 8 N 1 14 54 ^s 8 K ₁ 2 21 8 ^s 1 K ₂ 2 20 51 ^s 8 F 2 39 8 ^s 1 D 2 32 50 ^s 0	+ 1 ^h 17 ^m 44 ^s 5 1 2 57 ^s 2 2 14 13 ^s 2 2 13 50 ^s 2 2 32 11 ^s 5 2 20 3 ^s 0	+ 0 ^s 54 ^s 3 57 ^s 0 54 ^s 9 55 ^s 6 50 ^s 6 52 ^s 4
		P + 1 ^h 17 ^m 44 ^s 2 N 1 7 37 ^s 8 K ₁ 2 14 27 ^s 5 K ₂ 2 13 44 ^s 5 F 2 32 18 ^s 6 D 2 20 18 ^s 5	- 0 ^s 12 f + 0 ^s 02 $\frac{f}{2}$ — 2 ^s 16 + 1 ^s 59 $\frac{f}{2}$ - 1 ^s 43 f + 0 ^s 03 $\frac{f}{2}$ + 0 ^s 05 f + 0 ^s 03 $\frac{f}{2}$ + 1 ^s 06	Für die Fahrt Jidda II—Suez II zur Berechnung der Stände gegen Suez Zeit benutzte Gänge
		P + 1 ^h 17 ^m 43 ^s 6 N 1 7 25 ^s 1 K ₁ 2 14 31 ^s 0 K ₂ 2 13 37 ^s 4 F 2 32 21 ^s 5 D 2 20 27 ^s 9	— 0 ^s 23 — 2 ^s 16 + 1 ^s 54 — 1 ^s 50 + 0 ^s 82 + 1 ^s 35	Für die Kreuzung Suez II—Suez III verwendete Gänge
Noman	8. Februar 1890 5° 136	P + 1 ^h 30 ^m 31 ^s 5 N 1 20 0 ^s 3 K ₁ 2 27 31 ^s 4 K ₂ 2 26 17 ^s 4 F 2 45 17 ^s 0 D 2 39 28 ^s 3	+ 1 ^h 17 ^m 41 ^s 9 1 7 10 ^s 0 2 14 40 ^s 4 2 13 20 ^s 5 2 32 37 ^s 1 2 20 37 ^s 3	+ 12 ^s 49 ^s 6 50 ^s 3 50 ^s 8 50 ^s 9 50 ^s 5 51 ^s 0
		P + 1 ^h 30 ^m 31 ^s 4 N 1 19 53 ^s 0 K ₁ 2 27 34 ^s 3 K ₂ 2 26 12 ^s 0 F 2 45 20 ^s 0 D 2 39 31 ^s 9	+ 1 ^h 17 ^m 41 ^s 1 1 7 3 ^s 5 2 14 44 ^s 4 2 13 21 ^s 8 2 32 29 ^s 7 2 20 41 ^s 4	+ 12 ^s 50 ^s 3 49 ^s 5 49 ^s 9 50 ^s 8 50 ^s 3 50 ^s 5
		P + 1 ^h 23 ^m 21 ^s 3 N 1 12 30 ^s 9 K ₁ 2 20 31 ^s 3 K ₂ 2 18 58 ^s 8 F 2 38 16 ^s 2 D 2 32 28 ^s 6	+ 1 ^h 17 ^m 40 ^s 1 1 0 54 ^s 9 2 14 49 ^s 4 2 13 15 ^s 0 2 32 33 ^s 6 2 20 46 ^s 8	+ 5 ^s 41 ^s 2 42 ^s 0 41 ^s 9 43 ^s 2 43 ^s 2 41 ^s 8
		P + 1 ^h 23 ^m 21 ^s 8 N 1 12 34 ^s 8 K ₁ 2 20 32 ^s 5 K ₂ 2 18 57 ^s 4 F 2 38 17 ^s 0 D 2 32 30 ^s 3	+ 1 ^h 17 ^m 39 ^s 8 1 0 52 ^s 7 2 14 50 ^s 0 2 13 14 ^s 0 2 32 33 ^s 8 2 20 48 ^s 2	+ 5 ^s 42 ^s 0 42 ^s 1 41 ^s 9 43 ^s 4 43 ^s 2 42 ^s 1
		P + 1 ^h 23 ^m 21 ^s 8 N 1 12 34 ^s 8 K ₁ 2 20 32 ^s 5 K ₂ 2 18 57 ^s 4 F 2 38 17 ^s 0 D 2 32 30 ^s 3	+ 1 ^h 17 ^m 39 ^s 8 1 0 52 ^s 7 2 14 50 ^s 0 2 13 14 ^s 0 2 32 33 ^s 8 2 20 48 ^s 2	+ 5 ^s 42 ^s 0 42 ^s 1 41 ^s 9 43 ^s 4 43 ^s 2 42 ^s 1
Bux abu Somer	15. Februar 1890 15° 170	P + 1 ^h 23 ^m 21 ^s 3 N 1 12 30 ^s 9 K ₁ 2 20 31 ^s 3 K ₂ 2 18 58 ^s 8 F 2 38 16 ^s 2 D 2 32 28 ^s 6	+ 1 ^h 17 ^m 40 ^s 1 1 0 54 ^s 9 2 14 49 ^s 4 2 13 15 ^s 0 2 32 33 ^s 6 2 20 46 ^s 8	+ 5 ^s 41 ^s 2 42 ^s 0 41 ^s 9 43 ^s 2 43 ^s 2 41 ^s 8
		P + 1 ^h 23 ^m 21 ^s 8 N 1 12 34 ^s 8 K ₁ 2 20 32 ^s 5 K ₂ 2 18 57 ^s 4 F 2 38 17 ^s 0 D 2 32 30 ^s 3	+ 1 ^h 17 ^m 39 ^s 8 1 0 52 ^s 7 2 14 50 ^s 0 2 13 14 ^s 0 2 32 33 ^s 8 2 20 48 ^s 2	+ 5 ^s 42 ^s 0 42 ^s 1 41 ^s 9 43 ^s 4 43 ^s 2 42 ^s 1

O r t	Datum Epoche nach K_2	Stand gegen Ortszeit	Stand gegen die Zeit des Ausgangspunktes	Längenunterschied
Shadwan	19. Februar 1890	$P + 1^h 23^m 12^s.8$ $N \quad 1 \quad 12 \quad 20.8$ $K_1 \quad 2 \quad 30 \quad 38.3$ $K_2 \quad 2 \quad 18 \quad 44.4$ $F \quad 2 \quad 38 \quad 11.1$ $D \quad 2 \quad 32 \quad 26.2$	$+ 1^h 17^m 30^s.1$ $1 \quad 7 \quad 40.2$ $2 \quad 14 \quad 54.3$ $2 \quad 13 \quad 9.3$ $2 \quad 32 \quad 36.3$ $2 \quad 20 \quad 52.2$	$+ 5^m 33^s.7$ $34^s.6$ $34^s.0$ $35^s.1$ $34^s.8$ $34^s.0$
	20. Februar 1890	$P + 1^h 23^m 12^s.9$ $N \quad 1 \quad 12 \quad 18.4$ $K_1 \quad 2 \quad 20 \quad 29.3$ $K_2 \quad 2 \quad 18 \quad 42.4$ $F \quad 2 \quad 38 \quad 11.5$ $D \quad 2 \quad 32 \quad 27.5$	$+ 1^h 17^m 38^s.8$ $1 \quad 6 \quad 44.1$ $2 \quad 14 \quad 55.0$ $2 \quad 13 \quad 7.8$ $2 \quad 32 \quad 37.1$ $2 \quad 20 \quad 53^s.6$	$+ 5^m 34^s.1$ $34^s.3$ $33^s.7$ $34^s.0$ $34^s.4$ $33^s.9$
	22. Februar 1890	$P + 1^h 17^m 38^s.3$ $N \quad 1 \quad 6 \quad 39.7$ $K_1 \quad 2 \quad 14 \quad 57.7$ $K_2 \quad 2 \quad 13 \quad 4.5$ $F \quad 2 \quad 32 \quad 38.9$ $D \quad 2 \quad 26 \quad 56.3$		
	2. März 1890	$P + 1^h 17^m 37^s.7$ $N \quad 1 \quad 6 \quad 20.2$ $K_1 \quad 2 \quad 15 \quad 6.8$ $K_2 \quad 2 \quad 12 \quad 48.5$ $F \quad 2 \quad 32 \quad 47.0$ $D \quad 2 \quad 27 \quad 0.2$	$- 0^s.244$ $- 2^s.304$ $+ 0^s.038$ $- 1^s.882$ $+ 0^s.980$ $+ 1^s.000$	Für die Kreuzung Suez III—Suez IV verwendete Gänge
Ras abu Zenima	5. März 1890	$P + 1^h 10^m 49^s.5$ $N \quad 1 \quad 8 \quad 25.2$ $K_1 \quad 2 \quad 17 \quad 21.7$ $K_2 \quad 2 \quad 14 \quad 55.0$ $F \quad 2 \quad 35 \quad 2.1$ $D \quad 2 \quad 29 \quad 21.7$	$+ 1^h 17^m 37^s.0$ $1 \quad 0 \quad 43.3$ $2 \quad 15 \quad 9.5$ $2 \quad 12 \quad 43.0$ $2 \quad 32 \quad 49.8$ $2 \quad 27 \quad 9.2$	$+ 2^m 12^s.5$ $11^s.9$ $12^s.2$ $12^s.0$ $12^s.3$ $12^s.5$
	6. März 1890	$P + 1^h 10^m 49^s.5$ $N \quad 1 \quad 8 \quad 23.0$ $K_1 \quad 2 \quad 17 \quad 22.7$ $K_2 \quad 2 \quad 14 \quad 53.8$ $F \quad 2 \quad 35 \quad 3.2$ $D \quad 2 \quad 29 \quad 22.6$	$+ 1^h 17^m 36^s.8$ $1 \quad 6 \quad 11.0$ $2 \quad 15 \quad 10.4$ $2 \quad 12 \quad 41.2$ $2 \quad 32 \quad 50^s.8$ $2 \quad 27 \quad 10.2$	$+ 2^m 12^s.7$ $12^s.0$ $12^s.3$ $12^s.0$ $12^s.4$ $12^s.4$
	8. März 1890	$P + 1^h 21^m 48^s.3$ $N \quad 1 \quad 10 \quad 18.2$ $K_1 \quad 2 \quad 19 \quad 24.6$ $K_2 \quad 2 \quad 16 \quad 49.0$ $F \quad 2 \quad 37 \quad 5.0$ $D \quad 2 \quad 31 \quad 24.2$	$+ 1^h 17^m 30^s.3$ $1 \quad 6 \quad 6.4$ $2 \quad 15 \quad 11.4$ $2 \quad 12 \quad 37.2$ $2 \quad 32 \quad 52.9$ $2 \quad 27 \quad 12.2$	$+ 4^m 12^s.0$ $11^s.8$ $13^s.2$ $12^s.4$ $12^s.1$ $12^s.0$
	9. März 1890	$P + 1^h 21^m 48^s.4$ $N \quad 1 \quad 10 \quad 15.8$ $K_1 \quad 2 \quad 19 \quad 25.5$ $K_2 \quad 2 \quad 16 \quad 47.7$ $F \quad 2 \quad 37 \quad 6.0$ $D \quad 2 \quad 31 \quad 25.3$	$+ 1^h 17^m 30^s.0$ $1 \quad 6 \quad 4.1$ $2 \quad 15 \quad 13.3$ $2 \quad 12 \quad 35.3$ $2 \quad 32 \quad 53.0$ $2 \quad 27 \quad 13.2$	$+ 4^m 12^s.4$ $11^s.7$ $12^s.2$ $12^s.4$ $12^s.1$ $12^s.1$
Ras Gharib	13. März 1890	$P + 1^h 10^m 47^s.2$ $N \quad 1 \quad 8 \quad 0.3$ $K_1 \quad 2 \quad 17 \quad 20.2$ $K_2 \quad 2 \quad 14 \quad 39.5$ $F \quad 2 \quad 35 \quad 9.8$ $D \quad 2 \quad 29 \quad 20.0$	$+ 1^h 17^m 35^s.2$ $1 \quad 5 \quad 54.9$ $2 \quad 15 \quad 17.0$ $2 \quad 12 \quad 28^s.0$ $2 \quad 32 \quad 57.7$ $2 \quad 27 \quad 17.2$	$+ 2^m 12^s.0$ $11^s.4$ $12^s.2$ $11^s.5$ $12^s.1$ $11^s.8$

Ort	Datum Epoche nach K ₂	Stand gegen Ortszeit	Stand gegen die Zeit des Ausgangspunktes	Längenunterschied
Ras Gharib	14. März 1890	P + 1 ^h 10 ^m 47 ^s 0 N 1 3 3 ^s 0 K ₁ 2 17 30 ^s 0 K ₂ 2 14 37 ^s 6 F 2 35 10 ^s 6 D 2 29 29 ^s 9	+ 1 ^h 17 ^m 34 ^s 8 1 5 52 ^s 0 2 15 18 ^s 1 2 12 25 ^s 9 2 32 58 ^s 9 2 27 18 ^s 2	+ 2 ^m 12 ^s 2 11 ^s 3 11 ^s 0 11 ^s 7 11 ^s 7 11 ^s 7
	14 ^s 180			
Zafarana	17. März 1890	P + 1 ^h 17 ^m 59 ^s 5 N 1 6 10 ^s 9 K ₁ 2 15 46 ^s 9 K ₂ 2 12 45 ^s 7 F 2 33 27 ^s 3 D 2 27 40 ^s 6	+ 1 ^h 17 ^m 33 ^s 1 1 5 45 ^s 7 2 15 20 ^s 9 2 12 20 ^s 3 2 33 1 ^s 8 2 27 21 ^s 2	+ 0 ^m 26 ^s 4 25 ^s 2 30 ^s 0 25 ^s 4 25 ^s 5 25 ^s 5
	17 ^s 187			
Zafarana	18. März 1890	P + 1 ^h 17 ^m 59 ^s 3 N 1 6 8 ^s 5 K ₁ 2 15 47 ^s 3 K ₂ 2 12 43 ^s 6 F 2 33 28 ^s 0 D 2 27 47 ^s 5	+ 1 ^h 17 ^m 33 ^s 9 1 5 43 ^s 4 2 15 21 ^s 8 2 12 18 ^s 4 2 33 2 ^s 8 2 27 22 ^s 2	+ 0 ^m 25 ^s 4 25 ^s 1 25 ^s 5 25 ^s 2 25 ^s 2 25 ^s 3
	18 ^s 187			
Suez IV	20. März 1890	P + 1 ^h 17 ^m 33 ^s 3 N 1 5 38 ^s 7 K ₁ 2 15 23 ^s 7 K ₂ 2 12 14 ^s 6 F 2 33 4 ^s 8 D 2 27 24 ^s 3		
	20 ^s 183			
Suez IV	20. März 1890	P + 1 ^h 17 ^m 31 ^s 7 N 1 5 19 ^s 8 K ₁ 2 15 32 ^s 1 K ₂ 2 11 50 ^s 9 F 2 33 13 ^s 1 D 2 27 30 ^s 8	- 0 ^m 444 - 1 ^s 531 ^s 1 + 1 ^s 050 + 1 ^s 353 + 1 ^s 603 + 0 ^s 950	Für die Kreuzung Suez IV - Suez V verwendete Gänge
	20 ^s 187			
Dahab	4. April 1890	P + 1 ^h 25 ^m 10 ^s 2 N 1 12 55 ^s 9 K ₁ 2 23 25 ^s 0 K ₂ 2 19 34 ^s 7 F 2 41 8 ^s 8 D 2 35 22 ^s 0	+ 1 ^h 17 ^m 29 ^s 5 1 5 7 ^s 4 2 15 38 ^s 4 2 11 48 ^s 8 2 33 23 ^s 1 2 27 30 ^s 4	+ 7 ^m 46 ^s 7 48 ^s 5 47 ^s 8 45 ^s 9 45 ^s 7 45 ^s 0
	04 ^s 183			
Dahab	6. April 1890	P + 1 ^h 25 ^m 16 ^s 0 N 1 13 52 ^s 4 K ₁ 2 23 27 ^s 8 K ₂ 2 19 32 ^s 4 F 2 41 12 ^s 4 D 2 35 23 ^s 8	+ 1 ^h 17 ^m 28 ^s 2 1 5 4 ^s 1 2 15 40 ^s 5 2 11 40 ^s 1 2 33 26 ^s 4 2 27 38 ^s 3	+ 7 ^m 47 ^s 8 48 ^s 3 47 ^s 3 46 ^s 3 46 ^s 0 45 ^s 5
	06 ^s 180			
Nawibi	11. April 1890	P + 1 ^h 25 ^m 40 ^s 0 N 1 13 10 ^s 0 K ₁ 2 24 8 ^s 0 K ₂ 2 20 2 ^s 0 F 2 41 50 ^s 7 D 2 36 4 ^s 0	+ 1 ^h 17 ^m 26 ^s 0 1 4 55 ^s 0 2 15 45 ^s 9 2 11 39 ^s 3 2 33 35 ^s 1 2 27 43 ^s 3	+ 8 ^m 23 ^s 0 24 ^s 0 22 ^s 7 22 ^s 7 21 ^s 0 20 ^s 7
	101 ^s 200			
Nawibi	12. April 1890	P + 1 ^h 25 ^m 48 ^s 4 N 1 13 17 ^s 0 K ₁ 2 24 0 ^s 4 K ₂ 2 20 0 ^s 2 F 2 41 58 ^s 1 D 2 36 4 ^s 9	+ 1 ^h 17 ^m 25 ^s 5 1 4 53 ^s 2 2 15 40 ^s 9 2 11 38 ^s 0 2 33 30 ^s 8 2 27 44 ^s 2	+ 8 ^m 22 ^s 9 23 ^s 8 22 ^s 5 22 ^s 9 21 ^s 3 20 ^s 7
	102 ^s 188			

1 Bis 26 April; 26 April bis 2. Mai -- 314.

O r t	Datum Epoche nach K ₂	Stand	Stand	Langenunterschied
		gegen Orient	gegen die Zeit des Ausgangspunktes	
Akabab	14. April 1896 104° 20'8"	P + 1 ^h 27 ^m 9 ^s 0 N 1 14 34 ^s 6 K ₁ 2 25 33 ^s 1 K ₂ 2 21 18 ^s 5 F 2 43 22 ^s 3 D 2 37 28 ^s 5	+ 1 ^h 17 ^m 24 ^s 7 1 4 40 ^s 5 2 15 40 ^s 0 2 11 35 ^s 3 2 33 40 ^s 1 2 27 46 ^s 1	+ 9 ^m 44 ^s 3 45 ^s 1 44 ^s 1 43 ^s 2 42 ^s 2 42 ^s 4
		P + 1 ^h 27 ^m 7 ^s 6 N 1 14 30 ^s 2 K ₁ 2 25 35 ^s 0 K ₂ 2 21 14 ^s 6 F 2 43 24 ^s 5 D 2 37 30 ^s 4	+ 1 ^h 17 ^m 23 ^s 8 1 4 45 ^s 9 2 15 51 ^s 1 2 11 32 ^s 6 2 33 43 ^s 5 2 27 48 ^s 0	+ 9 ^m 43 ^s 8 44 ^s 3 43 ^s 9 42 ^s 0 41 ^s 0 42 ^s 4
		P + 1 ^h 26 ^m 25 ^s 7 N 1 13 45 ^s 8 K ₁ 2 24 50 ^s 8 K ₂ 2 20 30 ^s 9 F 2 42 47 ^s 2 D 2 36 51 ^s 7	+ 1 ^h 17 ^m 22 ^s 8 1 4 42 ^s 2 2 15 53 ^s 2 2 11 29 ^s 8 2 33 47 ^s 0 2 27 49 ^s 9	+ 9 ^m 27 ^s 9 3 ^s 6 3 ^s 0 1 ^s 1 0 ^s 2 1 ^s 8
		P + 1 ^h 26 ^m 20 ^s 0 N 1 13 43 ^s 4 K ₁ 2 24 57 ^s 3 K ₂ 2 20 28 ^s 0 F 2 42 48 ^s 5 D 2 36 52 ^s 4	+ 1 ^h 17 ^m 22 ^s 4 1 4 40 ^s 4 2 15 54 ^s 3 2 11 28 ^s 4 2 33 48 ^s 7 2 27 50 ^s 9	+ 9 ^m 37 ^s 0 3 ^s 0 0 ^s 5 8 59 ^s 8 9 1 ^s 5
Bir al-Māshīya	18. April 1896 108° 19'4"	P + 1 ^h 25 ^m 45 ^s 0 N 1 12 57 ^s 3 K ₁ 2 24 23 ^s 5 K ₂ 2 19 44 ^s 8 F 2 42 10 ^s 9 D 2 36 18 ^s 0	+ 1 ^h 17 ^m 20 ^s 0 1 4 33 ^s 0 2 15 58 ^s 5 2 11 23 ^s 0 2 33 55 ^s 5 2 27 54 ^s 7	+ 8 ^m 25 ^s 0 24 ^s 3 25 ^s 0 21 ^s 8 21 ^s 4 23 ^s 9
		P + 1 ^h 25 ^m 44 ^s 4 N 1 12 55 ^s 3 K ₁ 2 24 24 ^s 5 K ₂ 2 19 43 ^s 2 F 2 42 18 ^s 6 D 2 36 19 ^s 5	+ 1 ^h 17 ^m 20 ^s 2 1 4 31 ^s 2 2 15 59 ^s 5 2 11 21 ^s 7 2 33 57 ^s 1 2 27 55 ^s 6	+ 8 ^m 24 ^s 2 24 ^s 1 25 ^s 0 22 ^s 5 21 ^s 5 23 ^s 9
		P + 1 ^h 24 ^m 12 ^s 3 N 1 11 22 ^s 4 K ₁ 2 22 54 ^s 7 K ₂ 2 18 11 ^s 1 F 2 40 49 ^s 6 D 2 34 49 ^s 6	+ 1 ^h 17 ^m 19 ^s 7 1 4 29 ^s 4 2 16 0 ^s 0 2 11 20 ^s 3 2 33 58 ^s 8 2 27 56 ^s 6	+ 8 ^m 52 ^s 0 53 ^s 0 54 ^s 1 50 ^s 8 50 ^s 8 53 ^s 0
		P + 1 ^h 24 ^m 14 ^s 0 N 1 11 18 ^s 4 K ₁ 2 22 57 ^s 5 K ₂ 2 18 10 ^s 5 F 2 40 55 ^s 4 D 2 34 52 ^s 5	+ 1 ^h 17 ^m 18 ^s 8 1 4 28 ^s 4 2 16 2 ^s 7 2 11 17 ^s 0 2 34 2 ^s 3 2 27 58 ^s 5	+ 8 ^m 55 ^s 2 54 ^s 0 54 ^s 8 52 ^s 9 53 ^s 1 54 ^s 0
Seraf Sheikh	25. April 1896 115° 20'	P + 1 ^h 24 ^m 14 ^s 0 N 1 11 18 ^s 4 K ₁ 2 22 57 ^s 5 K ₂ 2 18 10 ^s 5 F 2 40 55 ^s 4 D 2 34 52 ^s 5	+ 1 ^h 17 ^m 18 ^s 8 1 4 28 ^s 4 2 16 2 ^s 7 2 11 17 ^s 0 2 34 2 ^s 3 2 27 58 ^s 5	+ 8 ^m 55 ^s 2 54 ^s 0 54 ^s 8 52 ^s 9 53 ^s 1 54 ^s 0
		P + 1 ^h 24 ^m 14 ^s 0 N 1 11 18 ^s 4 K ₁ 2 22 57 ^s 5 K ₂ 2 18 10 ^s 5 F 2 40 55 ^s 4 D 2 34 52 ^s 5	+ 1 ^h 17 ^m 18 ^s 8 1 4 28 ^s 4 2 16 2 ^s 7 2 11 17 ^s 0 2 34 2 ^s 3 2 27 58 ^s 5	+ 8 ^m 55 ^s 2 54 ^s 0 54 ^s 8 52 ^s 9 53 ^s 1 54 ^s 0
		P + 1 ^h 24 ^m 14 ^s 0 N 1 11 18 ^s 4 K ₁ 2 22 57 ^s 5 K ₂ 2 18 10 ^s 5 F 2 40 55 ^s 4 D 2 34 52 ^s 5	+ 1 ^h 17 ^m 18 ^s 8 1 4 28 ^s 4 2 16 2 ^s 7 2 11 17 ^s 0 2 34 2 ^s 3 2 27 58 ^s 5	+ 8 ^m 55 ^s 2 54 ^s 0 54 ^s 8 52 ^s 9 53 ^s 1 54 ^s 0
		P + 1 ^h 24 ^m 14 ^s 0 N 1 11 18 ^s 4 K ₁ 2 22 57 ^s 5 K ₂ 2 18 10 ^s 5 F 2 40 55 ^s 4 D 2 34 52 ^s 5	+ 1 ^h 17 ^m 18 ^s 8 1 4 28 ^s 4 2 16 2 ^s 7 2 11 17 ^s 0 2 34 2 ^s 3 2 27 58 ^s 5	+ 8 ^m 55 ^s 2 54 ^s 0 54 ^s 8 52 ^s 9 53 ^s 1 54 ^s 0
Suez V	2. Mai 1896 122° 19'	P + 1 ^h 24 ^m 14 ^s 0 N 1 11 18 ^s 4 K ₁ 2 22 57 ^s 5 K ₂ 2 18 10 ^s 5 F 2 40 55 ^s 4 D 2 34 52 ^s 5	+ 1 ^h 17 ^m 18 ^s 8 1 4 28 ^s 4 2 16 2 ^s 7 2 11 17 ^s 0 2 34 2 ^s 3 2 27 58 ^s 5	+ 8 ^m 55 ^s 2 54 ^s 0 54 ^s 8 52 ^s 9 53 ^s 1 54 ^s 0
		P + 1 ^h 24 ^m 14 ^s 0 N 1 11 18 ^s 4 K ₁ 2 22 57 ^s 5 K ₂ 2 18 10 ^s 5 F 2 40 55 ^s 4 D 2 34 52 ^s 5	+ 1 ^h 17 ^m 18 ^s 8 1 4 28 ^s 4 2 16 2 ^s 7 2 11 17 ^s 0 2 34 2 ^s 3 2 27 58 ^s 5	+ 8 ^m 55 ^s 2 54 ^s 0 54 ^s 8 52 ^s 9 53 ^s 1 54 ^s 0
		P + 1 ^h 24 ^m 14 ^s 0 N 1 11 18 ^s 4 K ₁ 2 22 57 ^s 5 K ₂ 2 18 10 ^s 5 F 2 40 55 ^s 4 D 2 34 52 ^s 5	+ 1 ^h 17 ^m 18 ^s 8 1 4 28 ^s 4 2 16 2 ^s 7 2 11 17 ^s 0 2 34 2 ^s 3 2 27 58 ^s 5	+ 8 ^m 55 ^s 2 54 ^s 0 54 ^s 8 52 ^s 9 53 ^s 1 54 ^s 0
		P + 1 ^h 24 ^m 14 ^s 0 N 1 11 18 ^s 4 K ₁ 2 22 57 ^s 5 K ₂ 2 18 10 ^s 5 F 2 40 55 ^s 4 D 2 34 52 ^s 5	+ 1 ^h 17 ^m 18 ^s 8 1 4 28 ^s 4 2 16 2 ^s 7 2 11 17 ^s 0 2 34 2 ^s 3 2 27 58 ^s 5	+ 8 ^m 55 ^s 2 54 ^s 0 54 ^s 8 52 ^s 9 53 ^s 1 54 ^s 0

Berechnung des Standes des Chronometers N gegen Suezer Sternzeit für Sherm Sheikh.

Die zwischen einer Coincidenz der Chronometer bei der Beobachtung am 20. April abends und einer Coincidenz bei der Beobachtung in Suez am 2. Mai verlossene Sternzeit wird unter Berücksichtigung des in der vorigen Tabelle am 20. März ausgewiesenen täglichen Ganges angegeben zu:

P	0 ^d	0 ^h	33 ^m	30 ^s 87
K ₁				31 ^s 50
K ₂				28 ^s 82
F				28 ^s 06
D				30 ^s 72
Mittel	0 ^d	0 ^h	33 ^m	30 ^s 19
N	0	0	33	49 ^s 00
Tagl. Gang N	—	—	—	3 ^s 14

Stand N gegen Suezer Sternzeit:

2. Mai	+	1 ^h	4 ^m	57 ^s 7
				+ 18 ^s 8
20. April	+	1 ^h	4 ^m	27 ^s 5
				+ 1 ^s 8
25. April	+	1 ^h	4 ^m	29 ^s 3
				— 3 ^s 1
27. April	+	1 ^h	4 ^m	24 ^s 4

Beobachtungs-Stationen.

Die zur Bestimmung des Beobachtungsortes beigegebenen Skizzen sind wahr Nord orientirt; der Ort des Universalfeilers ist auf ihnen durch ein Dreieck bezeichnet.

Suez (siehe Skizze).

Pendel in dem dem Hafenaname gehörenden Häuschen P. Universal auf +. Die während des 2. 3. und 4. Aufenthaltes in Suez auf dem Nord-Damme gemachten Zeitbestimmungen sind auf + reducirt.

Länge	Breite
32° 33' 26"	29° 56' 4" nach Karte Nr. 734.
	29 56 0 nach eigener Beobachtung.

The Brothers.

Universalfeiler 40 m OSO vom Leuchthurm.

Längenunterschied	P	0 ^m	57 ^s	Gewicht	1		
	N		9 ^s	53		Breite	
	K ₁		8 ^s 9	6		Polarstern	26° 18' 45"
	F		7 ^s 9	53		"	45
	D		8 ^s 9	2		Südster	47
Mittel	9 ^m	8 ^s	8 ^s 8 = 2° 17' 2			Mittel	26° 18' 40"
Britische Admiralkarte-Nr. 86.							
Länge = 34° 50' 17"						Breite = 26° 18' 7"	
Längenunterschied				2° 17' 13.			

Jidda.

Während des ersten Aufenthaltes Pendel im Regierungskornspeicher 15 m Nord vom mittleren westlichen Stadthor. Während des zweiten Aufenthaltes Universalfeiler auf dem mit Steinplatten gedeckten

Quai des Hafenamtes (siehe Skizze). Zeitbestimmungen und Positionen auf den Beobachtungsort des zweiten Aufenthaltes bezogen.

Längenunterschied gegen Suez

P	20 ^m 3179	Gewicht 1	Breite
N	34.4	33	Polarstern 21° 28' 51"
K ₁	33.7	0	Südsterne 55
F	35.2	33	" 59
D	34.6	2	" 57
Mittel	20 ^m 3477 = 0° 38' 7"		Mittel 21° 28' 55"
Britische Admaralitäs-Karte Nr. 2599.			
Länge = 39° 11' 22"			Breite 21 29 3
Längenunterschied	6° 37' 9" = 20 ^m 3170.		

Fahrt Jidda II—Suez II.

Längenunterschied

P	20 ^m 3070	Gewicht 1
N	28.9	1
K ₁	30.7	2
K ₂	33.6	2
F	27.3	2
D	29.3	4
Mittel	20 ^m 2979 = 0° 37' 5."	

Mersa Halaib.

Universalpeiler 5 m Ost vom Fort, 2740 m, S 25° 50' W von der Mitte von Sandy Island; siehe den aufgenommenen Plan.

Längenunterschied gegen Jidda

P	10 ^m 373	Gewicht 1	Breite
N	0.8	0	Polarstern 22° 13' 25"
K ₁	5.5	4	" 20
K ₂	5.8	4	" 28
F	0.8	2	
D	0.3	4	
Mittel	10 ^m 0.71 = 2° 31' 5"		Mittel 25° 13' 20"
Britische Admiralitäts-Karte Nr. 14.			
Länge = 36° 37' 3"			Breite 22 14 10
Längenunterschied	2° 34' 19" = 10 ^m 1772.		

Anmerkung: Entfernung zwischen Fort und Blockhaus mit der Messschraube des Stampfer'schen Nivellier-Instrumentes gemessen 448 m, durch ein Dreiecksnetz (mit dem 13. m Universal) entwickelt, gibt die Distanz vom Fort zur Mitte von Sandy Island: Azimut dieser Richtung mit dem Universal vom Blockhaus aus mit ☉ gemessen.

Insel St. Johns.

Universalpeiler und Pendelhütte am Ausgang einer Schlucht 60 m vom Strande der SW.-Seite der Insel.

Längenunterschied gegen Jidda

P	11 ^m 5577	Gewicht 1	Breite
N	58.4	0	Polarstern 23° 35' 47"
K ₁	56.4	4	" 48
K ₂	57.7	4	Südsterne 47
F	59.3	2	
D	59.1	4	
Mittel	11 ^m 5870 = 2° 59' 5"		Mittel 23° 35' 47"
Britische Admiralitäts-Karte Nr. 8 b.			
Länge = 30° 09' 4"			Breite 23 30 0
Längenunterschied	3° 1' 37" = 12 ^m 074		

Berenice.

Universalpeiler 7 m landein vom Süd-strande des North Cove (am o des Wortes cove auf dem Plane der Britischen Admiralitäts-Karte). (S. Skizze.)

Längenunterschied gegen Jidda	P	14 ^m 40 ^s 1	Gewicht	1		
	N	47 ^o 0		6		
	K ₁	45 ^o 6		4	Breite	
	K ₂	47 ^o 0		4	Polarstern	23° 56' 20"
	F	48 ^o 9		2	Süd-stern	28
	D	47 ^o 0		4	Mittel	23° 56' 27"
	Mittel	14 ^m 47 ^s 0 = 3° 41' 8"				
	Britische Admiralitäts-Karte Nr. 14.					
Länge = 35° 29' 25"				Breite	23 56 37	
Längenunterschied	3° 41' 9" = 14 ^m 47 ^s 8.					

Rabugh.

Universalpeiler im Hofe des Sanitätsgebäudes, d. i. die zweite Lehmhütte vom Landungsplatz nach links, 7·5 Kabel Ost, 8·5 Kabel Nord vom Anker auf dem Plane der Karte 8 b (s. Skizze).

Längenunterschied gegen Jidda	P	0 ^m 43 ^s 5	Gewicht	1		
	N	43 ^o 9		6		
	K ₁	42 ^o 6		4	Breite	
	K ₂	43 ^o 3		4	Polarstern	22° 45' 5"
	F	43 ^o 5		2	"	6
	D	44 ^o 4		4	"	14
	Mittel	0 ^m 43 ^s 5 = 0° 10' 9"			Mittel	22° 45' 8"
	Britische Admiralitäts-Karte Nr. 8 b.					
Länge = 39° 1 ^s 3				Breite	22 44 51	
Längenunterschied	10 ^s 2" = 0 ^m 40 ^s 1					

Yenbo.

Pendel im Nordflügel des Hafenamtsgebäudes, Universalpeiler davor am Quai, 0·6 Kabel West 2 Kabeln Nord vom Anker auf dem Plane 8 b.

Längenunterschied gegen Suez	P	22 ^m 1 ^s 8	Gewicht	1		
	N	0 ^o 4		1		
	K ₁	0 ^o 4		2	Breite	
	K ₂	3 ^o 5		2	Polarstern	24° 4' 29"
	F	1 ^o 5		2	Süd-stern	32
	D	1 ^o 5		4	Mittel	24° 4' 31"
	Mittel	22 ^m 1 ^s 0 = 5° 30' 4"				
	Britische Admiralitäts-Karte Nr. 8 b.					
Länge = 38° 2 ^s 7				Breite	24 5 27	
Längenunterschied	5° 20' 3" = 21 ^m 57 ^s 1.					

Sherm Sheikh.

Universalpeiler auf dem Beobachtungsorte (s. Plan).

Längenunterschied gegen Suez	P	10 ^m 10 ^s 0	Gewicht	1		
	N	13 ^o 8		1		
	K ₁	12 ^o 3		2	Breite	
	K ₂	15 ^o 8		2	Polarstern	24° 30' 45"
	F	15 ^o 8		2	Süd-stern	45
	D	13 ^o 3		4	Mittel	24° 30' 45"
	Mittel	10 14 ^s 2 = 2° 33' 0"				
	Britische Admiralitäts-Karte Nr. 8 b.					
Länge = 35° 5 ^s 5				Breite	24 30 8	
Längenunterschied	2° 32' 1" = 10 ^m 58 ^s 3.					

Mersa Dhiba.

Position, siehe den aufgenommenen Plan.

Längenunterschied gegen Suez

P	8 ^m 46 ^s 1	Gewicht 1
N	43 ^s 7	1
K ₁	42 ^s 5	2
K ₂	44 ^s 7	2
F	45 ^s 1	2
D	41 ^s 0	4

Mittel 8^m 43^s 4 = 2° 10' 8"

Britische Admiralitäts-Karte Nr. 8 b.

Länge = 34° 43' 0"

Längenunterschied 2° 9' 6" = 8^m 38^s 3.

Breite

Polarstern 25° 20' 13"

Südsterne 13

Mittel 25° 20' 13"

Breite 25 20 0

Insel Hassani.

Universalpfeiler schätzungsweise 600 m SW vom Scheichsgrabe, 60 m landein vom Ufer (s. Skizze)

Längenunterschied gegen Suez

P	18 ^m 16 ^s 2	Gewicht 1
N	13 ^s 2	1
K ₁	11 ^s 0	2
K ₂	12 ^s 9	2
F	14 ^s 2	2
D	10 ^s 1	4

Mittel 18^m 12^s 2 = 4° 33' 6"

Britische Admiralitäts-Karte Nr. 8 b.

Länge = 37° 4' 7"

Längenunterschied 4° 31' 3" = 18^m 50^s 0.

Breite

Polarstern 24° 52' 9"

Südsterne 7

Mittel 24° 52' 8"

Breite 24 52 5

Sherm Habban.

Position, siehe den aufgenommenen Plan.

Längenunterschied gegen Suez

P	16 ^m 5 ^s 0	Gewicht 1
N	4 ^s 5	1
K ₁	2 ^s 0	2
K ₂	2 ^s 9	2
F	4 ^s 8	2
D	0 ^s 1	4

Mittel 16^m 2^s 4 = 4° 0' 6"

Britische Admiralitäts-Karte Nr. 8 b.

Länge = 36° 31' 8"

Längenunterschied 3° 58' 4" = 15^m 53^s 5.

Breite

Polarstern 26° 4' 8" *)

Südsterne 7

Mittel 26° 4' 7"

Breite 26 6 0

Koseir.

Magnetische und astronomische Beobachtungen im grossen Hofe des Sanitätsamtes, Pfeiler in dessen Mitte.

Längenunterschied gegen Suez

P	6 ^m 54 ^s 7	Gewicht 1
N	57 ^s 7	1
K ₁	55 ^s 3	2
K ₂	55 ^s 7	2
F	50 ^s 9	2
D	52 ^s 7	4

Mittel 6^m 55^s 1 = 1° 43' 8"

Britische Admiralitäts-Karte Nr. 8 b.

Länge = 34° 12' 9"

Längenunterschied 1° 43' 7" = 6^m 54^s 9.

Breite

Polarstern 26° 6' 12"

Südsterne 16

Mittel 26° 6' 12"

Breite 26 6 18

*) Nur Polarstern beobachtet, weil passende Südsterne zu spät culminierten.

Sherm-en-Nomán.

Position, siehe den aufgenommenen Plan.

Längenunterschied gegen Suez

P	12 ^m 50 ^o 0	Gewicht 2
N	49 ^o 9	4
K ₁	50 ^o 3	7
K ₂	50 ^o 9	1
F	50 ^o 4	5
D	50 ^o 8	5

Breite

Polarstern 27° 6' 21"

Südsterne 20

Mittel 27° 6' 20"

Mittel 12^m 50^o 4 = 3° 12' 6"

Britische Admiralitäts-Karte Nr. 8 a.

Länge = 35° 45' 0"

Breite 27 0' 0"

Längenunterschied 3° 12' 6" = 12^m 50^o 3.**Ras Abu Sumer.**

Universalpeiler 40 m landein vom Strande, 0.63 Meilen S 39° W wahr vom 80' Punkte der Karte nördlich der Coral-Insel.

Längenunterschied gegen Suez

P	5 ^m 41 ^o 56	Gewicht 2
N	42 ^o 1	4
K ₁	41 ^o 9	7
K ₂	43 ^o 3	1
F	43 ^o 2	5
D	42 ^o 0	5

Breite

Polarstern 26° 51' 11"

Südsterne 4

Mittel 26° 51' 7"

Mittel 5^m 42^o 3 = 1° 25' 6"

Britische Admiralitäts-Karte Nr. 14.

Länge = 33° 50' 8"

Breite 26 51 9

Längenunterschied 1° 25' 7" = 5^m 42^o 8.**Shadwan.**

Universalpeiler in dem auf der Karte eingezeichneten Wasserlauf, der auf den Ankerplatz mündet.

Längenunterschied gegen Suez

P	5 ^m 33 ^o 9	Gewicht 2
N	34 ^o 5	4
K ₁	33 ^o 9	7
K ₂	34 ^o 9	1
F	34 ^o 6	5
D	34 ^o 0	5

Breite

Polarstern 27° 30' 12" *)

Südsterne 4

Mittel 27° 30' 8"

Mittel 5^m 34^o 2 = 1° 23' 6"

Britische Admiralitäts-Karte Nr. 2838

Länge = 33° 57' 15"

Breite 27 29 57

Längenunterschied 1° 23' 8" = 5^m 33^o 3.**Ras Abu Zenima.**

Universalpeiler 30 m landein vom tiefsten Rande der Bucht, beiläufig 150 m OSO vom Scheichs-grabe (Marabut der Karte).

Längenunterschied gegen Suez

P	2 ^m 12 ^o 6	Gewicht 3
N	12 ^o 0	4
K ₁	12 ^o 3	1
K ₂	12 ^o 6	1
F	12 ^o 4	3
D	12 ^o 5	3

Breite

Polarstern 29° 2' 37"

Südsterne 33

Mittel 29° 2' 35"

Mittel 2^m 12^o 4 = 0° 33' 1"

Britische Admiralitäts-Karte Nr. 757.

Länge = 33° 7' 0"

Breite 29 2' 6"

Längenunterschied 33' 6" = 2^m 14^o 3.

*) Der Polarstern war nur 2° oberhalb der nahen Felsen, die Breite daraus ist also nicht verlässlich.

Ter.

Pendelbeobachtungen im ebenerdigen Zimmer rechts vom Hausthor des deutschen Consuls; Universalfeiler vorm Thor.

Längenunterschied gegen Suez

P	4 ^m 12 ^s 2	Gewicht	3		
N	11 ^s 8		4		Breite
K ₁	12 ^s 7		1	Polarstern	28° 14' 10"
K ₂	12 ^s 4		1	"	17
F	12 ^s 1		3	Südsterne	10
D	12 ^s 1		3	"	7
Mittel	4 ^m 12 ^s 1 = 1° 3' 0			Mittel	28° 14' 12"
Britische Admiralitäts-Karte Nr. 8.a.					
Länge	= 31° 36' 48"			Breite	28 14 5
Längenunterschied	1° 3' 4 = 4 ^m 13 ^s 5				

Ras Gharib.

Pendelbeobachtungen im Office des Leuchthurmes, Universalfeiler vor der Thurmhüre.

Längenunterschied gegen Suez

P	2 ^m 12 ^s 1	Gewicht	3		
N	11 ^s 4		4		Breite
K ₁	12 ^s 1		1	Polarstern	28° 21' 3"
K ₂	11 ^s 6		1	Südsterne	3
F	11 ^s 9		3	"	2
D	11 ^s 8		3		
Mittel	2 ^m 11 ^s 8 = 32 ^s 9			Mittel	28° 21' 3"
Britische Admiralitäts-Karte Nr. 757.					
Länge	= 33° 6' 5			Breite	28 20 ^s 7
Längenunterschied	33 ^s 4" = 2 ^m 12 ^s 3.				

Zafarana.

Pendel im nordwestlichsten Zimmer des Westflügels des Leuchtfeuergebüdes; Universalfeiler 21 m SzW 1/2 W vom Thurm.

Längenunterschied gegen Suez

P	0 ^m 25 ^s 9	Gewicht	3		
N	25 ^s 2		4	Polarstern	29° 6' 49"
K ₁	25 ^s 8		1	"	30
K ₂	25 ^s 3		1	Südsterne	6 ^s 38"
F	25 ^s 4		3	Mittel	29° 6' 38"
D	25 ^s 4		3	Reduction	
Mittel	0 ^m 25 ^s 5 = 6 ^s 19"			auf den Thurm	0 ^s 7
Britische Admiralitäts-Karte Nr. 757.					
Länge	= 31° 39' 5			Thurm	29° 6' 39"
Längenunterschied	6 ^s 4" = 24 ^s 3.			Breite	29 6 ^s 5

Mersa Dahab.

Position siehe den aufgenommenen Plan.

Längenunterschied gegen Suez

P	7 ^m 47 ^s 3	Gewicht	2		
N	48 ^s 4		4		Breite
K ₁	47 ^s 3		4	Polarstern	28° 28' 35"
K ₂	46 ^s 1		1	Südsterne	8
F	45 ^s 8		1		
D	45 ^s 6		5	Mittel	28° 28' 36"
Mittel	7 ^m 46 ^s 9 = 1° 56 ^s 7				
Britische Admiralitäts-Karte Nr. 8.a.					
Länge	= 34° 29' 0			Breite	28 28 ^s 2
Längenunterschied	1° 56 ^s 2 = 7 ^m 44 ^s 7.				

Nawibi.

Position siehe den aufgenommenen Plan.

Längenunterschied gegen Suez

P	8 ^m 23 ¹⁰	Gewicht 2
N	23 ⁹	4
K ₁	22 ⁶	4
K ₂	22 ⁵	1
F	21 ⁵	1
D	20 ⁷	5

Mittel 8^m 22⁷ 3 = 2^m 5⁶

Britische Admiralitäts-Karte Nr. 8 a.

Länge = 34° 40' 4

Breite	
Polarstern	28° 57' 41"
Südsterne	40
Mittel	28° 57' 40"

Breite 28° 56' 8

Längenunterschied 2° 27' = 8^m 28⁰.

Akabah.

Beobachtungen im Hofe des auf der Karte eingezeichneten Forts.

Längenunterschied gegen Suez

P	9 ^m 44 ¹	Gewicht 2
N	44 ⁷	4
K ₁	44 ⁰	4
K ₂	42 ⁶	1
F	41 ⁶	1
D	42 ⁴	5

Mittel 9^m 43⁷ 5 = 2° 25' 9

Britische Admiralitäts-Karte Nr. 8 a.

Länge = 35° 0' 9

Breite	
Polarstern	29° 31' 14"
Südsterne	15
Mittel	29° 31' 14"

Breite 29° 28' 9

Längenunterschied 2° 27' 28" = 9^m 49⁹.

Bemerkung: Der Breitenfehler scheint nach den auf der Fahrt vom Nawibi har gemachten Peilungen im Süden des Parallels von 20° 12' zu stecken.

Bir al-Māshiya.

Universalpeiler 30 m landein vom Strande, nach der Karte 0·6 Meilen NO¹/₄O wahr von dem bei der Spitze eingezeichneten Riffe.

Längenunterschied gegen Suez

P	9 ^m 31 ³	Gewicht 2
N	31 ³	4
K ₁	31 ³	4
K ₂	0 ⁸	1
F	0 ⁰	1
D	1 ⁷	5

Mittel 9^m 27⁵ = 2° 15' 6

Britische Admiralitäts-Karte Nr. 8 a.

Länge = 34° 50' 7

Breite	
Polarstern	28° 52' 29"
Südsterne	26
Mittel	28° 52' 28"

Breite 28° 51' 8

Längenunterschied 2° 17' 13 = 9^m 9⁹.

Senafir.

Universalpeiler am Westufer der Bucht, da wo die nach Süden vorspringende Landzunge am schmalsten ist.

Längenunterschied gegen Suez

P	8 ^m 24 ⁹	Gewicht 2
N	24 ²	4
K ₁	25 ⁰	4
K ₂	21 ⁹	1
F	21 ⁵	1
D	23 ⁹	5

Mittel 8^m 24² 1 = 2^m 6¹

Britische Admiralitäts-Karte Nr. 8 a.

Länge = 34° 40' 13¹/₂

Breite	
Polarstern	27° 56' 11"
Südsterne	12
Mittel	27° 56' 12"

Breite 27° 55' 8

Längenunterschied 2° 17' 13 = 8^m 29³.

Sherm Sheikh (an der Sinai-Küste).

Universalpfeiler an der SW-Kante des Scheichsgrabes (s. den aufgenommenen Plan).

Längenunterschied gegen Suez	P	6 ^m 53 ^s 9	Gewicht 2		
	N	54 ^s 5	4		
	K ₁	54 ^s 1	4	Breite	
	K ₂	51 ^s 9	1	Polarstern	27° 51' 4"
	F	52 ^s 0	1	Südsterne	8
	D	53 ^s 5	5	Mittel	27° 51' 6"
	Mittel	6 ^m 53 ^s 7 = 1° 43' 4"			
	Britische Admiralitäts-Karte Nr. 8 a.				
	Länge = 34° 17' 1"			Breite	27 51' 4"
Längenunterschied	1° 43' 8" = 6 ^m 55 ^s 1.				

III. Anhang, die Original-Beobachtungen enthaltend.

Tabelle I.

Uhrvergleiche.

Beim Uhrvergleiche wurde beobachtet: die Coincidenz des Chronometers K₁ mit dem Sternzeit-Chronometer N, die von K₂ mit N, dann die von F mit P, von D mit P und, um alles auf eine gemeinsame Zeit beziehen zu können, noch die Coincidenz zwischen P und K₂; in der Zusammenstellung sind die beobachteten Uhrzeiten der Coincidenzen gegeben und auch jene Zeiten, welche sich durch Reduction der einzelnen Coincidenzen auf die von K₂ mit N ergeben, wenn man nur die Zeitunterschiede in mittlere, beziehungsweise in Sternzeit verwandelt, ohne auf den Gang der Chronometer Rücksicht zu nehmen.

In einigen Fällen ist die Reihenfolge der Chronometer unwesentlich geändert.

Datum	Ort	Coincidenz	W _{K₂}
		PF	
		PD	
		ND	
Beim Aufziehen.			
		P 9 ^h 54 ^m 10 ^s 5	K ₂ 6 ^h 58 ^m 52 ^s 4
		P 10 3 30	F 6 53 20
		P 9 59 5	D 6 54 10
		N 10 5 40 ^s 5	D 6 54 39
Gemeinsame Angabe.			
	N 10 ^h 0 ^m 16 ^s 9	F 6 44 12 ^s 0	D 6 49 16 ^s 3
		P 9 54 10 ^s 5	K ₂ 6 58 52 ^s 0
Vor der Zeitbestimmung.			
		P 5 ^h 32 ^m 28 ^s *	K ₂ 2 ^h 35 ^m 54 ^s 5
		P 5 33 34 ^s 5	F 2 22 20
		P 5 30 40	D 2 30 30
		N 5 45 57 ^s 5	D 2 33 40
Gemeinsame Angabe.			
	N 5 ^h 42 ^m 46 ^s 9 8	F 2 25 25 ^s 00	D 2 40 5 ^s 81
		P 5 30 40 ^s 00	K ₂ 2 30 30 ^s 00

Datum	Ort	Coincidenz PK ₂ PF PD ND																
21. October 1895		Nach der Zeitbestimmung.																
		<table><tr><td>P</td><td>6^h 59^m 20^s</td><td>K₂</td><td>4^h 2^m 32^s5</td></tr><tr><td>P</td><td>6 55 32</td><td>F</td><td>3 44 4</td></tr><tr><td>P</td><td>6 59 7</td><td>D</td><td>3 49 44</td></tr><tr><td>N</td><td>7 4 40</td><td>D</td><td>3 52 9^s5</td></tr></table>	P	6 ^h 59 ^m 20 ^s	K ₂	4 ^h 2 ^m 32 ^s 5	P	6 55 32	F	3 44 4	P	6 59 7	D	3 49 44	N	7 4 40	D	3 52 9 ^s 5
	P	6 ^h 59 ^m 20 ^s	K ₂	4 ^h 2 ^m 32 ^s 5														
	P	6 55 32	F	3 44 4														
	P	6 59 7	D	3 49 44														
	N	7 4 40	D	3 52 9 ^s 5														
		Gemeinsame Angabe.																
	N 7 ^h 2 ^m 14 ^s 10	<table><tr><td>F</td><td>3 44 38^s90</td><td>K₂</td><td>3 59 20 03</td></tr><tr><td>P</td><td>6 50 7 00</td><td>D</td><td>3 49 44^s00</td></tr></table>	F	3 44 38 ^s 90	K ₂	3 59 20 03	P	6 50 7 00	D	3 49 44 ^s 00								
	F	3 44 38 ^s 90	K ₂	3 59 20 03														
	P	6 50 7 00	D	3 49 44 ^s 00														
	Beim Aufsehen.																	
	<table><tr><td>P</td><td>10^h 18^m 30^s</td><td>K₂</td><td>7^h 19^m 11^s5</td></tr><tr><td>P</td><td>10 20 30</td><td>F</td><td>7 6 28</td></tr><tr><td>P</td><td>10 21 30</td><td>D</td><td>7 12 34</td></tr><tr><td>N</td><td>10 28 14^s5</td><td>D</td><td>7 13 11</td></tr></table>	P	10 ^h 18 ^m 30 ^s	K ₂	7 ^h 19 ^m 11 ^s 5	P	10 20 30	F	7 6 28	P	10 21 30	D	7 12 34	N	10 28 14 ^s 5	D	7 13 11	
P	10 ^h 18 ^m 30 ^s	K ₂	7 ^h 19 ^m 11 ^s 5															
P	10 20 30	F	7 6 28															
P	10 21 30	D	7 12 34															
N	10 28 14 ^s 5	D	7 13 11															
	Gemeinsame Angabe.																	
N 10 ^h 27 ^m 37 ^s 4	<table><tr><td>F</td><td>7 5 28^s2</td><td>K₂</td><td>7 16 12^s0</td></tr><tr><td>P</td><td>10 21 30^s0</td><td>D</td><td>7 12 34^s0</td></tr></table>	F	7 5 28 ^s 2	K ₂	7 16 12 ^s 0	P	10 21 30 ^s 0	D	7 12 34 ^s 0									
F	7 5 28 ^s 2	K ₂	7 16 12 ^s 0															
P	10 21 30 ^s 0	D	7 12 34 ^s 0															
22. October 1895		Vor der Zeitbestimmung.																
		<table><tr><td>P</td><td>5^h 51^m 13^s</td><td>K₂</td><td>2^h 50^m 40^s</td></tr><tr><td>P</td><td>5 50 41</td><td>F</td><td>2 35 24</td></tr><tr><td>P</td><td>5 51 40^s5</td><td>D</td><td>2 41 30</td></tr><tr><td>N</td><td>5 1 19</td><td>D</td><td>2 45 0^s5</td></tr></table>	P	5 ^h 51 ^m 13 ^s	K ₂	2 ^h 50 ^m 40 ^s	P	5 50 41	F	2 35 24	P	5 51 40 ^s 5	D	2 41 30	N	5 1 19	D	2 45 0 ^s 5
	P	5 ^h 51 ^m 13 ^s	K ₂	2 ^h 50 ^m 40 ^s														
	P	5 50 41	F	2 35 24														
	P	5 51 40 ^s 5	D	2 41 30														
	N	5 1 19	D	2 45 0 ^s 5														
		Gemeinsame Angabe.																
	N 5 ^h 57 ^m 47 ^s 93	<table><tr><td>F</td><td>2 36 23 44</td><td>K₂</td><td>2 51 7 43</td></tr><tr><td>P</td><td>5 51 40^s50</td><td>D</td><td>2 41 30^s00</td></tr></table>	F	2 36 23 44	K ₂	2 51 7 43	P	5 51 40 ^s 50	D	2 41 30 ^s 00								
	F	2 36 23 44	K ₂	2 51 7 43														
	P	5 51 40 ^s 50	D	2 41 30 ^s 00														
Suez	Nach der Zeitbestimmung.																	
	<table><tr><td>P</td><td>7^h 40^m 19^s</td><td>K₂</td><td>4^h 45^m 27^s</td></tr><tr><td>P</td><td>7 45 0</td><td>F</td><td>4 29 44</td></tr><tr><td>P</td><td>7 40 20</td><td>D</td><td>4 30 10 5</td></tr><tr><td>N</td><td>7 55 57^s5</td><td>D</td><td>4 39 20</td></tr></table>	P	7 ^h 40 ^m 19 ^s	K ₂	4 ^h 45 ^m 27 ^s	P	7 45 0	F	4 29 44	P	7 40 20	D	4 30 10 5	N	7 55 57 ^s 5	D	4 39 20	
P	7 ^h 40 ^m 19 ^s	K ₂	4 ^h 45 ^m 27 ^s															
P	7 45 0	F	4 29 44															
P	7 40 20	D	4 30 10 5															
N	7 55 57 ^s 5	D	4 39 20															
	Gemeinsame Angabe.																	
N 7 ^h 52 ^m 47 ^s 49	<table><tr><td>F</td><td>4 31 3 73</td><td>K₂</td><td>4 45 47^s94</td></tr><tr><td>P</td><td>7 40 40^s00</td><td>D</td><td>4 30 10^s50</td></tr></table>	F	4 31 3 73	K ₂	4 45 47 ^s 94	P	7 40 40 ^s 00	D	4 30 10 ^s 50									
F	4 31 3 73	K ₂	4 45 47 ^s 94															
P	7 40 40 ^s 00	D	4 30 10 ^s 50															
	Beim Aufsehen.																	
	<table><tr><td>P</td><td>10^h 24^m 30^s</td><td>K₂</td><td>7^h 22^m 13^s5</td></tr><tr><td>P</td><td>10 23 40</td><td>F</td><td>6 5 37^s5</td></tr><tr><td>P</td><td>10 25 0</td><td>D</td><td>7 12 4^s5</td></tr><tr><td>N</td><td>10 31 45</td><td>D</td><td>7 12 42</td></tr></table>	P	10 ^h 24 ^m 30 ^s	K ₂	7 ^h 22 ^m 13 ^s 5	P	10 23 40	F	6 5 37 ^s 5	P	10 25 0	D	7 12 4 ^s 5	N	10 31 45	D	7 12 42	
P	10 ^h 24 ^m 30 ^s	K ₂	7 ^h 22 ^m 13 ^s 5															
P	10 23 40	F	6 5 37 ^s 5															
P	10 25 0	D	7 12 4 ^s 5															
N	10 31 45	D	7 12 42															
	Gemeinsame Angabe.																	
N 10 ^h 31 ^m 7 ^s 4	<table><tr><td>F</td><td>6 6 57^s3</td><td>K₂</td><td>7 22 43^s4</td></tr><tr><td>P</td><td>10 25 0^s0</td><td>D</td><td>7 12 4^s5</td></tr></table>	F	6 6 57 ^s 3	K ₂	7 22 43 ^s 4	P	10 25 0 ^s 0	D	7 12 4 ^s 5									
F	6 6 57 ^s 3	K ₂	7 22 43 ^s 4															
P	10 25 0 ^s 0	D	7 12 4 ^s 5															
23. October 1895		Vor der Zeitbestimmung.																
		<table><tr><td>P</td><td>0^h 3^m 22^s</td><td>K₂</td><td>2^h 58^m 50^s</td></tr><tr><td>P</td><td>0 0 8</td><td>F</td><td>2 40 49^s5</td></tr><tr><td>P</td><td>0 1 6</td><td>D</td><td>2 40 55</td></tr><tr><td>N</td><td></td><td>D</td><td></td></tr></table>	P	0 ^h 3 ^m 22 ^s	K ₂	2 ^h 58 ^m 50 ^s	P	0 0 8	F	2 40 49 ^s 5	P	0 1 6	D	2 40 55	N		D	
	P	0 ^h 3 ^m 22 ^s	K ₂	2 ^h 58 ^m 50 ^s														
	P	0 0 8	F	2 40 49 ^s 5														
	P	0 1 6	D	2 40 55														
	N		D															
		Gemeinsame Angabe.																
	N 0 ^h 7 ^m 13 ^s 31	<table><tr><td>F</td><td>2 41 47^s34</td><td>K₂</td><td>2 50 34^s30</td></tr><tr><td>P</td><td>0 1 0^s00</td><td>D</td><td>2 40 55^s00</td></tr></table>	F	2 41 47 ^s 34	K ₂	2 50 34 ^s 30	P	0 1 0 ^s 00	D	2 40 55 ^s 00								
	F	2 41 47 ^s 34	K ₂	2 50 34 ^s 30														
	P	0 1 0 ^s 00	D	2 40 55 ^s 00														

Datum	Or t	Coincidenz	
		PK ₂	PF PD ND
23. October 1895	Suez	Nach der Zeitbestimmung.	
		P 6 ^h 58 ^m 10 ^s P 6 57 28 P 6 58 30 N 7 7 53.5	K ₂ 3 ^h 53 ^m 29 ^s P 3 38 0 D 3 44 9.5 D 3 47 20
24. October 1895	Suez	Gemeinsame Angabe.	
		N 7 ^h 4 ^m 37.48 P 3 30 1.83 P 6 58 30.00	K ₂ 3 53 48.95 D 3 44 9.50
		Beim Aufziehen.	
		P 10 ^h 27 ^m 50 ^s P 10 29 20 P 10 28 25 N 10 38 0	K ₂ 7 ^h 20 ^m 36 ^s P 7 7 17 D 7 11 30 D 7 14 57
		Gemeinsame Angabe.	
		N 10 ^h 34 ^m 32.74 P 7 6 22.1 P 10 28 25	K ₂ 7 21 10.9 D 7 11 30.0
Datum	Or t	Coincidenz K ₁ N	Coincidenz ND
		PF	PK ₄ M ₁
25. October 1895	Suez an Bord	Beim Aufziehen.	
		K ₁ 6 ^h 52 ^m 51.5 P 6 38 51.5	N 10 ^h 8 ^m 15 ^s N 10 7 15 P 10 4 50 P 10 5 20 P 10 2 35
		Gemeinsame Angabe.	
		K ₁ 6 51 51.7 P 6 35 9.9	N 10 7 15.0 P 10 1 7.8
26. October 1895	In See	Beim Aufziehen.	
		K ₁ 7 ^h 10 ^m 35 ^s P 6 57 18	N 10 ^h 30 ^m 0 ^s N 10 30 15 P 10 27 20 P 10 27 8 P 10 24 25.5
		Gemeinsame Angabe.	
		K ₁ 7 10 50.0 P 6 55 0.1	N 10 30 15.0 P 10 24 7.9
27. October 1895	The Brothers an Bord	Beim Aufziehen.	
		K ₁ 6 ^h 37 ^m 17 ^s P 6 21 51	N 10 ^h 0 ^m 35 ^s N 10 0 20 P 9 55 47 P 9 50 0 P 9 55 24.5
		Gemeinsame Angabe.	
		K ₁ 6 37 2.0 P 6 20 16.6	N 10 0 20.0 P 9 54 12.3

Datum	Ort	Correspondenz		PK ₂	
				PF	PD ND
27. October 1895		Vor der Zeitbestimmung.			
		P	6 ^h 30 ^m 53 ^s	K ₂	3 ^h 10 ^m 30 ^s
		P	6 28 5	F	2 52 44.5
		P	6 29 22	D	2 59 13.5
		N	6 38 10.5	D	3 1 53
		Gemeinsame Angabe.			
		N	6 ^h 35 ^m 30.5	F	2 54 1.20
		P	6 29 22.00	D	2 59 13.50
		Nach der Zeitbestimmung.			
		P	8 ^h 17 ^m 13 ^s	K ₂	4 ^h 41 ^m 34.5
28. October 1895	The Brothers	P	8 15 5	F	4 54 25
		P	8 16 17	D	4 45 51
		N	8 24 3	D	4 47 29
		Gemeinsame Angabe.			
		N	8 ^h 22 ^m 24.74	F	4 40 38.65
		P	8 16 17.00	D	4 55 51.00
		Beim Aufsteigen.			
		P	10 ^h 24 ^m 15 ^s	K ₂	7 ^h 1 ^m 10.5
		P	10 27 20	F	6 49 21
		P	10 25 5.5	D	6 52 20
28. October 1895		N	10 32 20	D	6 53 24.5
		Gemeinsame Angabe.			
		N	10 ^h 31 ^m 24.7	F	6 47 6.9
		P	10 25 5.5	D	7 0 20.1
		Vor der Zeitbestimmung.			
		P	6 ^h 28 ^m 25 ^s	K ₂	3 ^h 3 ^m 7.5
		P	6 29 10	F	2 49 51.5
		P	6 30 5	D	2 50 0
		N	6 37 57.5	D	2 57 42
		Gemeinsame Angabe.			
		N	6 ^h 36 ^m 15.22	F	2 50 46.35
		P	6 30 5.00	D	2 56 0.00
		Nach der Zeitbestimmung.			
		P	7 ^h 33 ^m 10 ^s	K ₂	4 ^h 8 ^m 42.5
		P	7 35 30	F	3 56 0.5
		P	7 32 15	D	3 58 0
		N	7 38 37	D	3 58 11.5
		Gemeinsame Angabe.			
		N	7 ^h 38 ^m 25.47	F	3 52 46.04
		P	7 32 15.00	D	4 7 47.15
				D	3 58 0.00

Datum	Ort	Coincidenz K ₁ N		Coincidenz ND			
		FP		PK ₂ PD			
29. October 1895		Beim Aufziehen.					
		K ₁ 7 ^h 19 ^m 44 ^s	N 10 ^h 51 ^m 6 ^s		D 7 ^h 2 ^m 50 ^s		
		F 7 5 35	N 10 50 46.5 P 10 47 35.5 P 10 45 52.5 P 10 47 20.5	K ₂ 7 18 55 D 7 10 35			
		Gemeinsame Angabe.					
		K ₁ 7 19 24.6 F 7 2 35.0	N 10 50 46.5 P 10 44 35.0	K ₂ 7 17 37.7 D 7 7 50.0			
30. October 1895	Kosowir	Beim Aufziehen.					
		K ₁ 6 ^h 52 ^m 52 ^s	N 10 ^h 28 ^m 8 ^s		D 6 ^h 41 ^m 47 ^s		
		F 6 36 31.5	N 10 27 55 P 10 22 46 P 10 24 41 P 10 24 10.5	K ₂ 6 53 52 D 6 42 33			
		Gemeinsame Angabe.					
		K ₁ 6 52 39.0 F 6 36 47.3	N 10 27 55.0 P 10 22 41.8	K ₂ 6 50 53.1 D 6 41 4.5			
31. October 1895		Beim Aufziehen.					
		K ₁ 7 ^h 2 ^m 40 ^s	N 10 ^h 41 ^m 56 ^s		D 6 ^h 52 ^m 0 ^s		
		F 6 47 26.5	N 10 42 51 P 10 37 22 P 10 38 47 P 10 36 56	K ₂ 7 4 0 D 6 52 20			
		Gemeinsame Angabe.					
		K ₁ 7 2 35.0 F 6 46 40.5	N 10 42 51.0 P 10 36 35.9	K ₂ 7 1 49.3 D 6 52 0.0			
1. November 1895		Beim Aufziehen.					
		K ₁ 6 ^h 46 ^m 38 ^s	N 10 ^h 29 ^m 50 ^s		D 6 ^h 35 ^m 13 ^s		
		F 6 31 30	N 10 29 59.5 P 10 25 22 P 10 26 20 P 10 25 0	K ₂ 6 47 39.5 D 6 36 30			
		Gemeinsame Angabe					
		K ₁ 6 46 47.5 F 6 29 51.0	N 10 29 29.5 P 10 23 42.8	K ₂ 6 45 2.7 D 6 35 13			
2. November 1895	In See	Beim Aufziehen.					
		K ₁ 6 ^h 42 ^m 30 ^s	N 10 ^h 29 ^m 40 ^s		D 6 ^h 30 ^m 46.5		
		F 6 28 19.5	N 10 29 21 P 10 20 10 P 10 24 20 P 10 25 16	K ₂ 6 41 44.5 D 6 32 50			
		Gemeinsame Angabe.					
		K ₁ 6 42 11.0 F 6 25 22.2	N 6 29 21.0 P 10 23 12.2	K ₂ 6 40 36.9 D 6 30 46.5			
3. November 1895	Jidda an Bord	Beim Aufziehen.					
		K ₁ 6 ^h 28 ^m 33.5 ^s	N 10 ^h 19 ^m 40 ^s		D 6 ^h 16 ^m 19 ^s		
		F 6 10 52.3	N 10 19 0 P 10 14 27 P 10 15 5 P 10 15 40.5	K ₂ 6 28 35.5 D 6 19 20			
		Gemeinsame Angabe.					
		K ₁ 6 27 53.6 F 6 10 52.3	N 10 19 0.0 P 10 12 39.0	K ₂ 6 26 9.9 D 6 16 19.0			

Datum	Ort	Coincidenz K_1N		Coincidenz ND	
		FP		PK ₂ PD	
4. November 1895	Jidda an Bord	Beim Aufsuchen.			
		K_1 5 ^h 13 ^m 24 ^s 5	N 9 ^h 8 ^m 17 ^s 7	D 5 ^h 3 ^m 40 ^s 7	
		P 4 59 25 5	N 9 10 7 5		
			P 9 4 58	K_2 5 16 0	
		P 9 2 37	D 5 2 39 ^s 5		
Gemeinsame Angabe.					
		K_1 5 15 14 ^s 7	N 9 10 7 ^s 5	K_2 5 13 32 ^s 7	
		P 4 58 12 ^s 0	P 9 3 44 ^s 3	D 5 3 40 ^s 0	
5. November 1895	Jidda an Lande	Beim Aufsuchen.			
		K_1 6 ^h 39 ^m 15 ^s 5	P 10 ^h 31 ^m 53 ^s 7	K_2 6 36 59 ^s 5	
		P 6 23 23	N 10 31 20		
			N 10 39 35	D 6 30 4 ^s 5	
		N 10 40 45	K_2 6 39 31 ^s 5		
Gemeinsame Angabe.					
		K_1 6 38 42 ^s 6	N 10 37 47 ^s 6	K_2 6 36 59 ^s 5	
		P 6 21 35 ^s 9	P 10 31 20 ^s 0	D 6 27 7 ^s 7	
6. November 1895	Jidda an Lande	Beim Aufsuchen.			
		K_1 6 ^h 20 ^m 43 ^s 5	N 10 ^h 23 ^m 45 ^s 7	K_2 6 ^h 19 ^m 55 ^s 7	
		P 6 8 4 ^s 5	N 10 24 39		
			P 10 21 44	D 6 13 45 ^s 5	
		P 10 21 52	K_2 6 20 29 ^s 5		
Gemeinsame Angabe.					
		K_1 6 21 37 ^s 4	N 10 24 39 ^s 0	K_2 6 19 55 ^s 0	
		P 9 4 29 ^s 5	P 10 18 8 ^s 4	D 6 10 2 ^s 5	

Datum	Ort	Coincidenz K_1N		Coincidenz NK_2	
		FP		PD PK ₂	
6. November 1895	Jidda	Vor der Zeitbestimmung.			
		K_1 2 ^h 41 ^m 17 ^s 5	N 6 ^h 45 ^m 42 ^s 7	K_2 2 ^h 40 ^m 50 ^s 7	
		P 2 27 26	N 6 40 53		
			P 6 42 28	D 2 33 8 ^s 5	
		P 6 42 37	K_2 2 45 0		
Gemeinsame Angabe.					
		K_1 2 42 28 ^s 31	N 6 40 53 ^s 00	K_2 2 40 46 ^s 00	
		P 2 25 19 ^s 05	P 6 40 21 ^s 30	D 2 30 53 ^s 17	
Nach der Zeitbestimmung.					
		K_1 4 ^h 41 ^m 48 ^s 5	N 8 ^h 46 ^m 33 ^s 7	K_2 4 ^h 41 ^m 23 ^s 7	
		P 4 28 43	N 8 47 50		
			P 8 44 5	D 4 32 0	
			P 8 41 48	K_2 4 44 26 ^s 5	
Gemeinsame Angabe.					
		K_1 4 43 5 ^s 29	N 8 47 50 ^s 00	K_2 4 41 23 ^s 00	
		P 4 25 56 ^s 40	P 8 41 18 ^s 00	D 4 31 30 ^s 08	

Datum	Or t	Coincidenz K ₁ N	FP	Coincidenz N K ₂	PD PK ₂		
7. November 1895		Vor der Zeitbestimmung.					
		K ₁ 2 ^h 50 ^m 40 ^s F 2 37 40	N 6 ^h 59 ^m 5 ^s N 6 59 32 N 7 3 10 P 6 55 21 P 6 54 57	K ₂ 2 ^h 49 ^m 25 ^s D 2 41 53 F 2 35 55			
		Gemeinsame Angabe.					
		K ₁ 2 51 6 ^m 9 ^s F 2 33 56 01	N 6 59 32 ^m 00 P 6 52 58 ^m 29	K ₂ 2 49 25 ^m 00 D 2 39 30 ^m 68			
		Nach der Zeitbestimmung.					
		K ₁ 4 ^h 0 ^m 57 ^s F 3 48 30	N 8 ^h 12 24 ^s N 8 12 24 P 8 7 50 P 8 8 25 P 8 11 10	K ₂ 4 ^h 2 ^m 5 ^s D 3 54 45 K ₂ 4 7 30			
		Gemeinsame Angabe.					
		K ₁ 4 3 40 ^m 90 F 3 40 30 ^m 44	N 8 12 24 ^m 00 P 8 5 50 ^m 11	K ₂ 4 2 5 ^m 00 D 3 52 10 ^m 54			
		8. November 1895	Jidda	Vor der Zeitbestimmung.			
				K ₁ 2 ^h 23 ^m 11 ^s 5 F 2 10 29	N 6 ^h 35 ^m 31 ^s N 6 30 35 P 6 33 25 P 6 33 35 P 6 34 20	K ₂ 2 ^h 22 ^m 34 ^s D 2 15 54 K ₂ 2 20 54 ^s 5	
Gemeinsame Angabe.							
K ₁ 2 24 15 ^m 33 F 2 7 3 ^m 29	N 6 36 35 ^m 00 P 6 29 58 ^m 73			K ₂ 2 22 34 ^m 00 D 2 12 38 ^m 20			
Nach der Zeitbestimmung.							
K ₁ 3 ^h 57 ^m 0 ^s F 3 43 32 ^s 5	N 8 ^h 9 ^m 35 ^s N 8 10 20 P 8 6 44 P 8 6 55 P 8 8 54			K ₂ 3 ^h 56 ^m 9 ^s 5 D 3 49 18 ^s 5 K ₂ 4 1 13			
Gemeinsame Angabe.							
K ₁ 3 57 50 ^m 86 F 3 40 38 ^m 05	N 8 10 26 ^m 00 P 8 3 49 ^m 67			K ₂ 3 56 9 ^m 50 D 3 46 13 ^m 70			
9. November 1895				Beim Aufziehen.			
				K ₁ 6 ^h 0 ^m 3 ^s F 5 44 35 ^s 5	N 10 ^h 14 ^m 58 ^s N 10 14 30 P 10 10 0 P 10 10 25 P 10 12 11	K ₂ 5 ^h 58 ^m 0 ^s D 5 50 30 K ₂ 6 2 12 ^s 5	
		Gemeinsame Angabe.					
		K ₁ 5 59 41 ^m 1 F 5 42 20 ^m 8	N 10 14 36 ^m 0 P 10 7 57 ^m 8	K ₂ 5 58 0 ^m 0 ^s D 5 48 3 2			
10. November 1895		Beim Aufziehen.					
		K ₁ 5 ^h 58 ^m 50 ^s F 5 43 12 ^s 5	N 10 ^h 17 ^m 45 ^s N 10 18 28 P 10 12 41 P 10 15 10 P 10 12 18	D 5 ^h 47 ^m 55 ^s 5 K ₂ 6 1 15 ^s 5 D 5 48 20			
		Gemeinsame Angabe.					
		K ₁ 5 59 32 ^m 9 F 5 42 19 ^m 0	N 10 18 28 ^m 0 P 10 11 47 ^m 4	K ₂ 5 57 53 ^m 4 D 5 48 26 ^m 0			

Datum	Ort	Cometdirekt. K ₁ N		Cometdirekt. ND			
		FP		PK ₂ PD			
Beim Aufziehen.							
11. November 1895	Jidda im Bord	K ₁	6 ^h 15 ^m 3 ^s	N	10 ^h 35 ^m 0 ^s	D	6 ^h 3 ^m 45 ^s
		F	5 59 22	N	10 34 20	K ₂	6 14 18 5
				P	10 32 50	D	0 0 25
				P	10 32 10		
				P	10 34 10 ^s 5		
Gemeinsame Angabe							
		K ₁	6 15 23 0	N	10 38 20 ^s 0	K ₂	6 13 44 ^s 7
		F	5 58 8 3	P	10 31 30 ^s 1	D	6 3 45 ^s 0
Beim Aufziehen.							
12. November 1895	Jidda	K ₁	6 ^h 39 ^m 41 ^s 5	N	11 ^h 6 ^m 45 ^s	D	6 ^h 26 ^m 51 ^s
		F	6 24 5	N	11 5 0	K ₂	6 40 23 ^s 5
				P	11 2 15	D	0 29 30
				P	11 1 22 ^s 5		
Gemeinsame Angabe.							
		K ₁	6 37 58 8	N	11 5 0 ^s 0	K ₂	6 30 22 ^s 2
		F	6 20 43 ^s 5	P	10 58 13 ^s 0	D	6 20 21 ^s 0
Beim Aufziehen.							
13. November 1895		K ₁	6 ^h 38 ^m 10 ^s 5	N	11 ^h 9 ^m 20 ^s	D	6 ^h 25 ^m 30 ^s
		F	6 20 18	N	11 8 15	K ₂	6 30 12
				P	11 1 45	D	6 25 27
				P	11 1 58		
				P	11 1 15 ^s 5		
Gemeinsame Angabe.							
		K ₁	6 37 14 ^s 7	N	11 8 15 ^s 0	K ₂	6 35 38 ^s 6
		F	6 10 57 ^s 0	P	11 1 24 ^s 5	D	6 25 30 ^s 0
Beim Aufziehen.							
14. November 1895	In See	K ₁	6 ^h 21 ^m 33 ^s	N	10 ^h 50 ^m 30 ^s	D	6 ^h 9 ^m 40 ^s
		F	6 5 17 ^s 5	N	10 50 10	K ₂	6 0 22 10
				P	10 50 40	D	0 11 35
				P	10 51 40		
				P	10 51 17 ^s 5		
Gemeinsame Angabe.							
		K ₁	6 21 10 0	N	10 50 10 ^s 0	K ₂	6 10 43 0
		F	6 3 50 ^s 9	P	10 49 22 ^s 2	D	6 9 40 ^s 0
Beim Aufziehen.							
15. November 1895		K ₁	6 ^h 30 ^m 5 ^s 5	N	11 ^h 8 ^m 3 ^s	D	6 ^h 48 ^m 30 ^s
		F	6 14 50	N	11 8 13	K ₂	6 30 5 ^s 5
				P	11 4 12	D	6 20 13
				P	11 3 41		
				P	11 3 53		
Gemeinsame Angabe							
		K ₁	6 30 15 5	N	11 8 13 ^s 0	K ₂	6 28 30 ^s 0
		F	6 12 54 ^s 0	P	11 2 15 ^s 7	D	6 18 30 ^s 0
Beim Aufziehen.							
16. November 1895	N. S. 12. 12. 1895 47° 12' 30"	K ₁	6 ^h 23 ^m 40 ^s	N	11 ^h 7 ^m 30 ^s	K ₂	6 ^h 23 ^m 50 ^s 5
		F	6 11 15	N	11 7 21	D	6 14 45
				P	11 4 32	D	6 25 45
				P	11 2 20		
				P	11 3 15		
Gemeinsame Angabe							
		K ₁	6 24 25 0	N	11 7 21 ^s 0	K ₂	6 25 30 ^s 5
		F	6 8 1 7	P	11 1 20 ^s 2	D	6 15 45 4

Datum	Ort	Coincidenz K_1N	FP	Coincidenz NK_2	PD PK_2			
16. November 1895		Vor der Zeitbestimmung.						
		K_1 2 ^h 14 ^m 35 ^s 5	N 6 ^h 58 ^m 50 ^s *	K_2 2 ^h 13 ^m 36 ^s 5				
		F 1 59 19	N 6 59 25	D 2 5 59				
			P 6 53 55	K_2 2 20 32 5				
			P 6 54 51					
			P 6 59 20					
		Gemeinsame Angabe						
		K_1 2 15 10 40	N 6 59 25 00	K_2 2 13 26 50				
		F 1 57 47 11	P 6 52 22 80	D 2 1 31 27				
		Nach der Zeitbestimmung.						
		K_1 4 ^h 23 ^m 21 ^s *	N 9 ^h 7 ^m 57 ^s *	K_2 4 ^h 23 ^m 15 ^s *				
		F 4 9 51 5	N 9 9 25	D 4 14 7				
	P 9 4 49	K_2 4 25 51						
	P 9 3 20							
	P 9 4 59							
Gemeinsame Angabe.								
K_1 4 24 48 26	N 9 9 25 00	K_2 4 23 15 00						
F 4 7 25 47	P 9 2 22 57	D 4 13 9 73						
		Beim Aufziehen.						
		K_1 6 ^h 42 ^m 45 ^s 5	N 11 ^h 20 ^m 45 ^s *	K_2 6 ^h 41 ^m 20 ^s 5				
		F 6 28 52 5	N 11 29 53	D 6 32 0 5				
			P 11 26 12	K_2 6 44 13				
			P 11 23 35					
			P 11 25 42					
		Gemeinsame Angabe.						
		K_1 6 42 53 5	N 11 29 53 0	K_2 6 41 20 5				
		F 6 25 30 0	P 11 22 49 0	D 6 31 14 7				
		17. November 1895	Mersa Hahab	Vor der Zeitbestimmung.				
				K_1 2 ^h 35 ^m 25 ^s *	N 7 ^h 23 ^m 40 ^s *	K_2 2 ^h 34 ^m 19 ^s *		
				F 2 20 0 5	N 7 24 10	D 2 28 39 5		
	P 7 18 38			K_2 2 38 13 5				
	P 7 21 32							
	P 7 21 0							
Gemeinsame Angabe.								
K_1 2 35 51 0 3	N 7 24 10 00			K_2 2 34 19 00				
F 2 18 27 01	P 7 17 4 80			D 2 24 13 09				
Nach der Zeitbestimmung.								
K_1 4 ^h 29 ^m 56 ^s *	N 9 ^h 18 ^m 33 ^s *			K_2 4 ^h 29 ^m 10 ^s *				
F 4 14 28 5	N 9 19 20			D 4 24 21 5				
	P 9 13 25	K_2 4 31 8						
	P 9 17 33							
	P 9 14 13							
Gemeinsame Angabe.								
K_1 1 30 42 87	N 9 19 20 00	K_2 4 29 10 00						
F 1 13 18 30	P 9 12 14 07	D 4 19 4 04						
		Beim Aufziehen.						
		K_1 6 ^h 29 ^m 33 ^s 5	N 11 ^h 20 ^m 30 ^s *	K_2 6 ^h 30 ^m 3 5				
		F 6 17 18 5	N 11 21 15	D 6 20 42 5				
			P 11 18 15	K_2 6 28 57 5				
			P 11 16 42					
			P 11 14 20					
		Gemeinsame Angabe.						
		K_1 6 31 38 2	N 11 22 35 0	K_2 6 30 5 5				
		F 6 14 12 2	P 11 15 28 2	D 6 19 58 8				
		18. November 1895						

Datum	Ort	Coincidenz K_1N		Coincidenz NK_2					
		FP		PD PK ₂					
17. November 1895		Beim Aufziehen.							
		K_1 6 ^h 42 ^m 45 ^s 5	N 11 ^h 29 ^m 45 ^s	K_2 6 ^h 41 ^m 20 ^s 5					
		F 6 28 52 ^s 5	N 11 29 53		D 6 32 0 ^s 5				
			P 11 29 12		K_2 6 44 13				
			P 11 23 35						
			P 11 25 42						
		Gemeinsame Angabe.							
		K_1 6 42 53 ^s 5	N 11 29 53 ^s 0	K_2 6 41 20 ^s 5					
		F 6 25 30 0	P 11 22 49 ^s 0	D 6 31 14 ^s 7					
		Vor der Zeitbestimmung.							
		K_1 2 ^h 35 ^m 28 ^s	N 7 ^h 23 ^m 46 ^s	K_2 2 ^h 34 ^m 19 ^s					
		F 2 20 0 ^s 5	N 7 24 10		D 2 28 39 ^s 5				
	P 7 18 38		K_2 2 38 13 ^s 5						
	P 7 21 32								
	P 7 21 0								
Gemeinsame Angabe.									
K_1 2 35 51 ^s 95	N 7 24 10 00	K_2 2 34 19 ^s 00							
F 2 18 27 ^s 61	P 7 17 4 80	D 2 24 13 ^s 09							
	Mersa Halaib	Nach der Zeitbestimmung.							
		K_1 4 ^h 29 ^m 56 ^s	N 9 ^h 15 ^m 33 ^s	K_2 4 ^h 29 ^m 10 ^s					
		F 4 14 28 ^s 5	N 9 19 20		D 4 24 21 ^s 5				
			P 9 13 25		K_2 4 31 8				
			P 9 17 33						
			P 9 14 13						
		Gemeinsame Angabe.							
		K_1 4 30 42 ^s 87	N 9 19 20 ^s 00	K_2 4 29 10 ^s 00					
		F 4 13 18 ^s 30	P 9 12 14 ^s 67	D 4 19 4 ^s 04					
		18. November 1895		Beim Aufziehen.					
				K_1 6 ^h 29 ^m 33 ^s 5	N 11 ^h 20 ^m 30 ^s	K_2 6 ^h 30 ^m 5 ^s 5			
				F 6 17 18 ^s 5	N 11 22 35		D 6 20 42 ^s 5		
	P 11 18 35				K_2 6 28 57 ^s 5				
	P 11 16 12								
	P 11 14 20								
Gemeinsame Angabe.									
K_1 6 31 38 ^s 2	N 11 22 35 ^s 0			K_2 6 30 5 ^s 5					
F 6 14 12 ^s 2	P 11 15 28 ^s 2			D 6 19 58 ^s 8					
Vor der Zeitbestimmung.									
K_1 2 ^h 20 ^m 45 ^s	N 7 ^h 13 ^m 0 ^s			K_2 2 ^h 20 ^m 30 ^s 5					
F 2 5 50	N 7 14 18				D 2 12 38				
	P 7 8 24		K_2 2 21 32						
	P 7 9 25								
	P 7 8 12								
Gemeinsame Angabe.									
K_1 2 22 2 ^s 79	N 7 14 18 ^s 00	K_2 2 20 30 ^s 50							
F 2 4 30 ^s 54	P 7 7 10 ^s 34	D 2 10 23 ^s 71							
Vor der Zeitbestimmung.									
K_1 3 ^h 50 ^m 52 ^s	N 8 ^h 43 ^m 22 ^s	K_2 3 ^h 51 ^m 0 ^s 5							
F 3 36 50	N 8 45 3		D 3 44 10						
	P 8 39 45		K_2 3 53 15						
	P 8 41 12								
	P 8 40 10								
Gemeinsame Angabe									
K_1 3 52 32 ^s 74	N 8 45 3 ^s 00	K_2 3 51 0 ^s 50							
F 3 35 0 ^s 43	P 8 37 55 ^s 13	D 3 40 53 ^s 66							

Datum	Or t	Coincidenz K ₁ N	FP	Coincidenz NK ₂	PD PK ₂	
19. November 1895		Beim Aufziehen am Lande.				
		K ₁ 6 ^h 30 ^m 37 ^s F 6 14 50	N 11 ^h 25 ^m 0 ^s N 11 24 20 P 11 20 10 P 11 18 30 P 11 19 42	K ₂ 6 ^h 27 ^m 52 ^s D 6 19 4 K ₂ 6 30 23 ^s 5		
		Gemeinsame Angabe.				
		K ₁ 6 29 23 ^s 6 P 6 11 57 ^s 6	N 11 24 20 ^s 0 P 11 17 11 ^s 1	K ₂ 6 27 52 ^s 0 D 6 17 45 ^s 3		
20. November 1895	Mersa Halaib	Beim Aufziehen am Bord.				
		K ₁ 6 ^h 40 ^m 12 ^s 5 F 6 25 36 ^s 5	N 11 ^h 39 ^m 10 ^s N 11 40 34 P 11 34 40 P 11 34 57 P 11 32 31	D 6 ^h 29 ^m 57 ^s K ₂ 6 41 41 D 6 30 7		
		Gemeinsame Angabe.				
		K ₁ 6 41 36 ^s 3 F 6 24 17 ^s 7	N 11 40 34 ^s 0 P 11 33 21 ^s 0	D 6 29 57 ^s 0 K ₂ 6 40 5 ^s 2		
21. November 1895		Beim Aufziehen.				
		K ₁ 5 ^h 28 ^m 23 ^s 5 F 5 13 10	N 26 ^h 31 ^m 10 ^s N 10 32 20 P 10 20 10 P 10 28 19 P 10 25 40	K ₂ 5 ^h 28 ^m 4 ^s 5 D 5 21 9 ^s 5 K ₂ 5 28 40		
		Gemeinsame Angabe.				
		K ₁ 5 29 33 ^s 3 P 5 12 4 ^s 6	N 10 32 20 ^s 0 P 10 25 4 ^s 0	K ₂ 5 28 4 ^s 5 D 5 17 55 ^s 4		
	St. Johns Island	Vor der Zeitbestimmung.				
		K ₁ 2 ^h 38 ^m 0 ^s F 2 22 6 ^s 5	N 7 ^h 42 ^m 18 ^s N 7 42 38 P 7 36 37 P 7 38 0 P 7 38 45	K ₂ 2 ^h 36 ^m 51 ^s 5 D 2 29 20 ^s 5 K ₂ 2 40 15		
		Gemeinsame Angabe.				
		K ₁ 2 38 19 95 F 2 20 50 ^s 70	N 7 42 38 ^s 00 P 7 35 21 ^s 00	K ₂ 2 36 51 ^s 50 D 2 26 41 ^s 94		
		Nach der Zeitbestimmung.				
		K ₁ 4 ^h 14 ^m 12 ^s F 4 1 3	N 9 ^h 48 ^m 47 ^s N 9 19 10 P 9 14 40 P 9 15 50 P 9 15 26	K ₂ 4 ^h 13 ^m 7 ^s 5 D 4 4 50 ^s 5 K ₂ 4 16 40		
		Gemeinsame Angabe.				
		K ₁ 4 14 35 93 F 3 57 0 ^s 55	N 9 19 10 ^s 00 P 9 4 52 ^s 92	K ₂ 4 13 7 ^s 50 D 4 2 57 ^s 90		
22. November 1895		Vor der Zeitbestimmung.				
		K ₁ 2 ^h 40 ^m 0 ^s 5 F 2 26 45	N 7 ^h 50 ^m 52 ^s N 7 50 35 P 7 45 15 P 7 44 20 P 7 50 20 ^s 5	K ₂ 2 ^h 42 ^m 17 ^s D 2 31 12 K ₂ 2 49 20		
		Gemeinsame Angabe.				
		K ₁ 2 39 49 ^s 55 P 2 24 40 ^s 65	N 7 50 35 ^s 00 P 7 43 16 ^s 34	K ₂ 2 42 17 ^s 00 D 2 30 38 ^s 50		

Datum	Ort	Coincidenz K_1N		Coincidenz NK_2			
		FP	PK ₁	PD	PK ₂		
22. November 1895	St. Johns Island	Nach der Zeitbestimmung.					
		K_1 3 ^h 50 ^m 31 ^s	N 9 ^h 5 ^m 29 ^s	K_2 3 ^h 57 ^m 13 ^s 5			
		F 3 45 15	N 9 5 44	D 3 53 41 ^s 5	K_2 4 2 8		
			P 9 3 33				
Gemeinsame Angabe.							
		K_1 3 55 46 ^s 12	N 9 5 44 00	K_2 3 57 13 ^s 50			
		F 3 39 43 10	P 8 58 25 ^s 19	D 3 45 35 ^s 02			
23. November 1895	In See	Beim Aufsteigen.					
		K_1 6 ^h 29 ^m 32 ^s	N 11 ^h 40 ^m 25 ^s	K_2 6 ^h 17 ^m 10 ^s 5			
		F 6 12 28 5	N 11 40 40	D 6 30 57 ^s 5	K_2 6 19 30		
			P 11 33 35				
Gemeinsame Angabe.							
		K_1 6 28 50 ^s 1	N 11 40 40 ^s 0	K_2 6 17 10 5			
		F 6 12 18 ^s 3	P 11 33 24 5	D 6 28 22 ^s 7			
24. November 1895	Berenice	Beim Aufsteigen an Bord.					
		K_1 6 ^h 45 ^m 2 ^s	N 0 ^h 0 ^m 0 ^s	D 6 ^h 34 ^m 12 ^s 5			
		F 6 29 52 ^s 5	N 0 0 40	K_2 6 40 29 ^s 5	D 6 35 22 ^s 5		
			P 11 54 30 ^s 5				
Gemeinsame Angabe.							
		K_1 6 45 41 ^s 9	N 0 0 40 ^s 0	D 6 34 12 ^s 5			
		F 6 28 19 ^s 1	P 11 53 20 ^s 3	K_2 6 44 26 ^s 1			
Datum	Ort	Coincidenz K_1N		Coincidenz NK_2			
		FP	PK ₁	PD	PK ₂		
24. November 1895	Berenice am Lande	Vor der Zeitbestimmung.					
		K_1 2 ^h 43 ^m 07 ^s 5	N 7 ^h 59 ^m 18 ^s	K_2 2 ^h 38 ^m 50 ^s 5			
		F 2 24 34	N 7 59 33	D 2 32 30 5			
			P 7 51 0				
Gemeinsame Angabe.							
		K_1 2 43 0 ^s 50	N 7 59 18 ^s 00	K_2 2 41 35 ^s 04			
		F 2 25 27 29	P 7 51 53 ^s 43	D 2 31 21 ^s 11			
Nach der Zeitbestimmung.							
		K_1 3 ^h 52 ^m 8 ^s	N 9 ^h 8 ^m 37 ^s	K_2 3 ^h 45 ^m 6 ^s			
		F 3 37 34	N 9 0 0	D 3 42 18			
			P 9 4 12				
		K_1 3 53 16	P 9 3 2				
Gemeinsame Angabe.							
		K_1 3 52 8 ^s 00	N 9 8 37 ^s 00	K_2 3 50 42 ^s 57			
		F 3 34 34 ^s 79	P 9 1 12 ^s 32	D 3 40 28 ^s 02			

Datum	Ort	Coincident $N_1 N$			Coincident NK_2	
		FP			PD PK ₂	
25. November 1895	Berenice am Lande	Vor der Zeitbestimmung.				
		K_1 2 ^h 23 ^m 16 ^s	N 7 ^h 43 ^m 30 ^s	K_2 2 ^h 22 ^m 45 ^s 5		
		P 2 10 3	N 7 44 24	D 2 13 30		
			P 7 40 25	K_2 2 20 20		
			P 7 38 3			
			P 7 43 32 ^s 5			
		Gemeinsame Angabe.				
		K_1 2 24 9 ^s 85	N 7 44 24 ^m 00	K_2 2 22 45 ^m 30		
		P 2 10 35 ^s 50	P 7 30 50 93	D 2 12 30 ^m 11		
		Nach der Zeitbestimmung.				
26. November 1895	Berenice	K_1 3 ^h 53 ^m 30 ^s	N 9 ^h 13 ^m 59 ^s	K_2 3 ^h 50 ^m 21 ^s 5		
		P 3 37 33 ^s 5	N 9 12 15	D 3 44 58		
			P 9 8 10	K_2 3 57 55		
			P 9 9 40			
			P 9 12 22			
		Gemeinsame Angabe.				
		K_1 3 53 30 ^m 00	N 9 13 59 ^m 00	K_2 3 52 5 ^m 79		
		P 3 35 55 ^s 58	P 9 0 31 ^m 81	D 3 41 50 ^m 32		
		Beim Aufsteigen.				
		K_1 6 ^h 31 ^m 40 ^s	N 11 ^h 54 ^m 35 ^s	K_2 6 ^h 31 ^m 50 ^s		
		P 6 18 57 ^s 5	N 11 50 9	D 6 23 10		
			P 11 52 0	K_2 6 30 19		
			P 11 50 17			
			P 11 53 10			
		Gemeinsame Angabe.				
		K_1 6 31 40 ^m 0	N 11 54 35 ^m 0	K_2 6 30 10 ^m 2		
		P 6 14 4 ^m 6	P 11 47 0 3	D 6 19 59 8		
		Vor der Zeitbestimmung.				
		K_1 2 ^h 33 ^m 25 ^s	N 7 ^h 57 ^m 40 ^s	K_2 2 ^h 29 ^m 10 ^s		
		P 2 18 56	N 7 54 48	D 2 23 44		
			P 7 53 18	K_2 2 37 4		
			P 7 52 10			
			P 7 50 14			
		Gemeinsame Angabe.				
		K_1 2 33 25 ^m 00	N 7 57 40 ^m 00	K_2 2 32 1 ^m 53		
		P 2 15 49 ^m 03	P 7 50 10 ^m 52	D 2 21 44 ^m 18		
		Nach der Zeitbestimmung.				
		K_1 3 ^h 42 ^m 51 ^s 5	N 9 ^h 7 ^m 18 ^s	K_2 3 ^h 41 ^m 35 ^s		
		P 3 28 26 ^s 5	N 9 7 25	D 3 33 40 ^s 5		
			P 9 3 0	K_2 3 48 25 ^s 5		
			P 9 2 18			
			P 9 0 47			
		Gemeinsame Angabe.				
		K_1 3 42 58 ^m 48	N 9 7 25 ^m 00	K_2 3 41 35 ^m 00		
		P 3 25 22 38	P 8 59 55 ^s 38	D 3 31 18 ^m 27		

Datum	Or t	Coincident K_1N		Coincident NK_2			
		FP		PD PK ₂			
27. November 1895	Bereuse	Beim Aufziehen.					
		K_1 6 ^h 51 ^m 25 ^s 5	N 0 ^h 18 ^m 23 ^s 0	K_2 6 ^h 50 ^m 11 ^s 5			
		P 6 37 16	N 0 18 32	D 6 42 22 ^s 5			
			P 0 14 20	K_2 6 55 13			
			P 0 13 30				
			P 0 15 51				
		Gemeinsame Angabe.					
		K_1 6 51 25 ^s 5	N 0 18 23 ^s 0	K_2 6 50 2 ^s 5			
		P 6 33 48 ^s 3	P 0 10 51 ^s 7	D 6 39 44 ^s 0			
		Vor der Zeitbestimmung.					
		K_1 2 ^h 22 ^m 27 ^s 5	N 7 ^h 50 ^m 20 ^s 4	K_2 2 ^h 19 ^m 6 ^s 5			
		P 2 6 18 ^s 5	N 7 49 49	D 2 12 25 ^s 5			
	P 7 44 37	K_2 2 25 15					
	P 7 44 47						
	P 7 48 19						
Gemeinsame Angabe.							
K_1 2 22 7 ^s 50	N 7 50 20 ^s 00	D 2 10 26 ^s 87					
P 2 4 29 ^s 85	P 7 42 48 ^s 05	K_2 2 20 44 ^s 89					
Nach der Zeitbestimmung.							
K_1 3 ^h 19 ^m 14 ^s 4	N 8 ^h 47 ^m 36 ^s 4	K_2 3 ^h 17 ^m 30 ^s 5					
P 3 6 41 ^s 5	N 8 47 15	D 3 9 59					
	P 8 45 10	K_2 3 27 22					
	P 8 42 30						
	P 8 49 36						
Gemeinsame Angabe.							
K_1 3 19 14 00	N 8 47 36 ^s 00	K_2 3 17 51 ^s 44					
P 3 1 20 ^s 23	P 8 40 3 ^s 89	D 3 7 33 ^s 29					
28. November 1895	In See	Beim Aufziehen.					
		K_1 6 ^h 25 ^m 50 ^s 4	N 11 ^h 58 ^m 43 ^s 4	D 6 ^h 15 ^m 43 ^s 4			
		P 6 11 20	N 11 58 17	K_2 6 28 8 ^s 5			
			P 11 52 18	D 6 10 0			
			P 11 52 50				
			P 11 51 0				
		Gemeinsame Angabe.					
		K_1 6 27 23 ^s 7	N 11 58 17 ^s 0	D 6 15 43 ^s 0			
		P 6 9 45 2	P 11 50 42 9	K_2 6 26 1 ^s 8			
		Beim Aufziehen.					
		K_1 7 ^h 9 ^m 0 ^s 1	N 0 ^h 44 ^m 10 ^s 9	D 5 ^h 59 ^m 8 ^s 5			
		P 7 9 15 ^s 5	N 0 45 50	K_2 5 55 40			
	P 0 38 0	D 6 0 5					
	P 0 40 44						
	P 0 39 10						
Gemeinsame Angabe.							
K_1 7 10 49 ^s 7	N 0 45 50 ^s 0	D 5 59 8 ^s 5					
P 7 9 28 ^s 8	P 0 38 13 ^s 3	K_2 6 53 9 ^s 7					

Datum	Ort	Coincidenz $K_1 N$		Coincidenz $N D$			
		FP		PK ₂ PD			
30. November 1895		Beim Aufziehen.					
		K_1	$0^h 41^m 16^s$	N	$0^h 20^m 11^s$	D	$0^h 29^m 42^s 5$
		F	$0 25 33$	N	$0 20 10$		
				P	$0 14 30$	K_2	$0 42 17^s 5$
				P	$0 14 53$	D	$0 32 23$
				P	$0 15 20$		
		Gemeinsame Angabe.					
		K_1	$0 41 24 0$	N	$0 20 19^0 0$	D	$0 20 42^2 5$
		F	$0 23 42 4$	P	$0 12 39^1 2$	K_2	$0 40 4 0$
1. December 1895	In See	Beim Aufziehen.					
		K_1	$0^h 44^m 40^s$	N	$0^h 27^m 33^s$	D	$0^h 33^m 5^s$
		F	$0 29 3^5$	N	$0 27 42$		
				P	$0 22 0$	K_2	$0 43 50$
				P	$0 20 22$	D	$0 34 0$
				P	$0 20 54^5$		
		Gemeinsame Angabe.					
		K_1	$0 44 47 00$	N	$0 27 42^0 0$	D	$0 33 5^0 0$
		F	$0 27 3^3$	P	$0 19 59^1 3$	K_2	$0 43 27^5$
2. December 1895		Beim Aufziehen.					
		K_1	$0^h 57^m 32^s$	N	$0^h 44^m 0^s$	D	$0^h 45^m 0^s$
		F	$0 40 22^5$	N	$0 43 30$	K_2	$0 58 29^5 5$
				P	$0 37 20$	D	$0 47 20$
				P	$0 39 0$		
				P	$0 38 14$		
		Gemeinsame Angabe.					
		K_1	$0 50 44^5$	N	$0 43 30^0 0$	D	$0 45 0^0 0$
		F	$0 38 50^3$	P	$0 35 53 0$	K_2	$0 55 23^0 0$
3. December 1895	Sharm Rabugh	Beim Aufziehen an Bord.					
		K_1	$5^h 33^m 13^s$	N	$11^h 23^m 55^s$	D	$5^h 21^m 15^s$
		F	$5 17 47^5$	N	$11 23 40$	K_2	$5 32 28$
				P	$11 18 30$	D	$5 22 33$
				P	$11 10 40$		
				P	$11 17 10$		
		Gemeinsame Angabe.					
		K_1	$5 32 58 0$	N	$11 23 40^0 0$	D	$5 21 15^0 0$
		F	$5 15 9^7$	P	$11 15 51^1 8$	K_2	$5 31 39^0 9$
Datum	Ort	Coincidenz $K_1 N$		Coincidenz $N K_2$			
		FP		PD PK ₂			
3. December 1895	Sharm Rabugh	Vor der Zeitbestimmung.					
		K_1	$2^h 38^m 20^s$	N	$8^h 30^m 39^s$	K_2	$2^h 30^m 52^s 5$
		F	$2 23 40$	N	$8 30 13$		
				P	$8 25 53$	D	$2 28 50$
				P	$8 24 50^5$	K_2	$2 42 34$
				P	$8 28 10$		
		Gemeinsame Angabe.					
		K_1	$2 38 10 54$	N	$8 30 23 00$	K_2	$2 30 52^5 50$
		F	$2 20 21^1 12$	P	$8 22 35 58$	D	$2 20 27^0 90$

Datum	Ort	Coincidenz FP	Coincidenz N ₁ N PK ₂		
3. December 1895		Nach der Zeitbestimmung.			
		K ₁ 3 ^h 35 ^m 28 ^s F 3 23 50	N 9 ^h 27 ^m 50 ^s N 9 23 0 P 9 26 13 P 9 23 0 P 9 29 17 K ₂ 3 ^h 34 ^m 20 D 3 26 44 K ₂ 3 43 25		
		Gemeinsame Angabe.			
		K ₁ 3 35 37 ^m 07 F 3 17 48 ^m 50	N 9 28 0 ^m 00 P 9 20 10 ^m 51 K ₂ 3 34 20 ^m 00 D 3 23 50 ^m 97		
		Vor der Zeitbestimmung.			
		K ₁ 2 ^h 37 ^m 13 ^s F 2 23 20 ^s 5	N 8 ^h 33 ^m 25 ^s N 8 30 0 P 8 29 40 P 8 31 0 P 8 32 17 ^s 5 K ₂ 2 ^h 38 ^m 30 ^s 5 D 2 30 50 ^s 5 K ₂ 2 42 40		
		Gemeinsame Angabe.			
		K ₁ 2 39 47 ^m 58 F 2 21 57 ^m 00	N 8 30 0 ^m 00 P 8 23 7 ^m 31 K ₂ 2 3 ^m 30 ^s 50 D 2 27 4 ^m 44		
		4. December 1895		Nach der Zeitbestimmung.	
				K ₁ 3 ^h 40 ^m 23 ^s F 3 32 53	N 9 ^h 45 ^m 47 ^s N 9 45 33 P 9 39 15 P 9 40 55 P 9 42 33 K ₂ 3 ^h 47 ^m 52 ^s D 3 40 40 K ₂ 3 52 50
Gemeinsame Angabe.					
K ₁ 3 40 9 ^m 04 F 3 31 13 ^m 45	N 9 45 33 ^m 00 P 9 37 40 ^m 19 K ₂ 3 47 52 ^m 00 D 3 37 25 ^m 72				
Beim Aufziehen.					
K ₁ 0 ^h 15 ^m 51 ^s 5 F 5 57 24	N 0 ^h 14 ^m 40 ^s 8 N 0 13 0 P 0 6 9 P 0 8 45 P 0 5 42 K ₂ 0 ^h 12 ^m 55 ^s 5 D 6 6 7 ^s 5 K ₂ 6 13 32				
Gemeinsame Angabe.					
K ₁ 0 58 51 ^s 5 F 5 15 0 ^s 3	N 0 14 40 ^m 0 P 0 0 45 ^m 4 K ₂ 6 14 35 ^s 2 D 6 4 8 ^s 2				
5. December 1895	In Sec			Beim Aufziehen.	
				K ₁ 0 ^h 50 ^m 2 ^s F 0 39 ^m 20	N 0 ^h 58 ^m 50 ^s N 0 58 40 P 0 52 10 P 0 53 41 ^s 5 P 0 51 10 K ₂ 0 ^h 54 ^m 36 ^s 5 D 6 47 0 K ₂ 6 55 3 ^s 5
		Gemeinsame Angabe.			
		K ₁ 0 55 52 ^m 0 F 0 37 59 ^m 1	K 0 58 40 ^m 0 P 0 50 48 ^m 9 K ₂ 6 54 30 ^s 5 D 6 44 7 ^s 9		

Datum	Ort	Coincidenz		Coincidenz	
		K_1N	FP	NK_2	$\frac{PD}{PK_2}$
7. December 1895	In See	Beim Aufsteigen.			
		K_1 0 ^h 24 ^m 44 ^s	N 0 ^h 31 ^m 32 ^s	K_2 6 ^h 24 ^m 17 ^s	
		F 0 9 8.5	N 0 31 20 P 0 25 52 P 0 24 45 P 0 20 9.5	D 0 14 12 K_2 0 26 0	
		Gemeinsame Angabe.			
8. December 1895	In See	K_1 0 25 32.1	N 0 32 20.0	K_2 6 24 17.0	
		F 0 7 37.0	P 0 24 20.2	D 0 13 47.3	
		Beim Aufsteigen.			
		K_1 5 ^h 53 ^m 0 ^s	N 0 ^h 31 ^m 42 ^s N 0 3 12 P 11 57 22 P 11 56 40 P 11 57 32	K_2 5 ^h 51 ^m 10 ^s D 5 42 15 K_2 5 51 38	
		Gemeinsame Angabe.			
9. December 1895	Jidda	K_1 5 52 30.0	N 0 3 12.0	K_2 5 51 10.0	
		F 5 34 33.0	P 11 55 9.0	D 5 41 44.9	
		Beim Aufsteigen an Bord.			
		K_1 0 ^h 39 ^m 50 ^s	N 0 ^h 54 ^m 30 ^s N 0 54 47 P 0 45 3 P 0 49 40 P 0 47 50	K_2 6 ^h 38 ^m 44 ^s D 6 31 10 K_2 6 39 51	
9. December 1895	Jidda	Gemeinsame Angabe.			
		K_1 0 39 58.0	N 0 53 47.0	K_2 6 38 44.5	
		F 0 21 54.0	P 0 40 41.3	D 6 28 11.8	
		Vor der Zeitbestimmung.			
9. December 1895	Jidda	K_1 2 ^h 0 ^m 46 ^s 5	N 8 ^h 22 ^m 50 ^s N 8 24 27 P 8 17 20 P 8 18 30 P 8 20 30	K_2 2 ^h 7 ^m 10 ^s D 1 58 46.5 K_2 2 11 19	
		Gemeinsame Angabe.			
		K_1 2 8 23.23	N 8 24 27.00	K_2 2 7 10.00	
		F 1 50 23.97	P 8 16 20.51	D 1 56 37.10	
9. December 1895	Jidda	Nach der Zeitbestimmung.			
		K_1 4 ^h 24 ^m 40 ^s 5	N 10 ^h 41 ^m 2 ^s N 10 43 25 P 10 37 0 P 10 38 30 P 10 41 10	K_2 4 ^h 25 ^m 45 ^s D 4 18 23.5 K_2 4 31 30	
		Gemeinsame Angabe.			
		K_1 4 26 58.12	K 10 43 25.00	K_2 4 25 45.00	
9. December 1895	Jidda	F 4 8 58.51	P 10 35 18.03	D 4 15 12.00	

Datum	Ort	Coincidenz K ₁ N		Coincidenz NK ₂		
		FP		PD PK ₃		
10. December 1895		Beim Aufziehen am Land.				
	K ₁	6 ^h 40 ^m 0 ^s	N 0 ^h 58 ^m 40 ^s	K ₂	6 ^h 39 ^m 53 ^s 5	
	F	6 25 49.5	N 0 50 55	D	6 30 33	
			P 0 54 30	K ₃	6 44 10.5	
			P 0 53 0			
11. December 1895		Gemeinsame Angabe.				
	K ₁	6 41 5.8	N 0 59 55.0	K ₂	6 39 53.5	
	F	6 23 6.1	P 0 51 40.3	D	6 29 19.5	
		Beim Aufziehen.				
	K ₁	6 ^h 58 ^m 0 ^s	N 1 ^h 20 ^m 52 ^s	K ₂	6 ^h 57 ^m 0 ^s	
12. December 1895		F	6 42 33.5	N 1 21 3	D 6 48 37	
			P 1 15 14	K ₃	7 0 55	
			P 1 16 40.5	D	7 0 55	
		Gemeinsame Angabe.				
	K ₁	6 58 11.0	N 1 21 3.0	K ₂	6 57 0.0	
13. December 1895		F	6 40 10.8	P 1 12 50.9	D 6 49 24.3	
		Beim Aufziehen.				
	K ₁	6 ^h 10 ^m 47 ^s 5	N 0 ^h 37 ^m 32 ^s	K ₂	6 ^h 11 ^m 20 ^s	
	F	5 54 54.5	N 0 39 20	D	6 2 24	
			P 0 31 24	K ₃	6 13 21.5	
14. December 1895			P 0 32 40			
		Gemeinsame Angabe.				
	K ₁	6 12 35.2	N 0 39 20.0	K ₂	6 11 20.0	
	F	5 54 34.8	P 0 31 4.2	D	6 0 48.7	
		Beim Aufziehen.				
15. December 1895		K ₁	6 ^h 0 ^m 0 ^s	N 0 ^h 30 ^m 50 ^s 5	K ₂	6 ^h 5 ^m 8 ^s 5
	F	5 49 40	N 0 37 0	D	5 51 47	
			P 0 30 7	K ₃	6 8 50	
			P 0 31 0			
		Gemeinsame Angabe.				
16. December 1895		K ₁	6 6 15.5	N 0 37 0.0	K ₂	6 5 8.5
	F	5 45 15.2	P 0 28 42.0	D	5 49 29.4	
		Beim Aufziehen.				
	K ₁	6 ^h 23 ^m 25 ^s	N 0 ^h 58 ^m 13 ^s	K ₂	6 ^h 21 ^m 0 ^s 5	
	F	6 6 1.5	N 0 57 2	D	6 14 30	
17. December 1895			P 0 50 30	K ₃	6 25 35	
			P 0 52 45			
			P 0 53 8.5			
		Gemeinsame Angabe.				
	K ₁	6 23 25.0	N 0 58 13.0	K ₂	6 22 20.3	
18. December 1895		F	6 5 24.9	P 0 49 53.3	D	6 11 38.8
		Beim Aufziehen.				
	K ₁	6 ^h 45 ^m 35 ^s	N 1 ^h 24 ^m 27 ^s	K ₂	6 ^h 43 ^m 45 ^s 5	
	F	6 28 57.5	N 1 23 40	D	6 30 42	
			P 1 17 20	K ₃	6 50 15.5	
19. December 1895			P 1 19 0			
			P 1 28 50			
		Gemeinsame Angabe.				
	K ₁	6 44 48.1	N 1 23 40.0	K ₂	6 43 45.5	
	F	6 26 47.8	P 1 15 18.9	D	6 33 1.3	

Datum	Or t	Coincidenz		NK ₂	
		K ₁ N	FP		
				PD PK ₂	
15. December 1895	Zidda	Vor der Zeitbestimmung.			
		K ₁ 2 ^h 21 ^m 14 ^s	N 9 ^h 1 ^m 22 ^s	K ₂ 2 ^h 20 ^m 2 ^s	
		F 2 3 40	N 9 1 12 P 8 53 27 P 8 55 20 P 8 55 53	D 2 11 40 ^s K ₉ 2 23 4	
		Gemeinsame Angabe.			
		K ₁ 2 21 4 03 F 2 3 3 ^m 01	N 9 1 12 ^m 00 P 8 52 50 ^s 51	K ₂ 2 20 2 ^m 00 D 2 9 17 41	
		Nach der Zeitbestimmung.			
16. December 1895	Zidda	K ₁ 3 ^h 20 ^m 58 ^s	N 10 ^h 7 ^m 17 ^s N 10 7 40 P 10 2 50 P 10 1 55 P 10 5 51	K ₂ 3 ^h 20 ^m 25 ^s	
		F 3 13 0 ^s 5		D 3 18 10 ^s 5 K ₂ 3 32 50 ^s 5	
		Gemeinsame Angabe.			
		K ₁ 3 27 20 ^m 92 F 3 9 20 52	N 10 7 40 ^m 00 P 9 59 24 ^s 43	K ₂ 3 20 25 ^m 00 D 3 15 40 ^s 34	
		Beim Aufsteigen.			
		K ₁ 6 ^h 5 ^m 20 ^s 5	N 0 ^h 48 ^m 12 ^s N 0 40 50 P 0 44 25 P 0 44 35 P 0 40 24	K ₂ 0 ^h 4 ^m 3 ^s 5 D 5 58 25 K ₂ 0 11 0	
17. December 1895	Zidda	Gemeinsame Angabe			
		K ₁ 0 7 4 ^m 2 F 5 49 5 ^m 0	N 0 40 50 ^m 0 P 0 41 28 0	K ₂ 0 0 2 ^m 5 D 5 55 18 ^s 5	
		Beim Aufsteigen an Bord.			
		K ₁ 6 ^h 7 ^m 43 ^s 5	N 11 ^h 54 ^m 30 ^s N 11 55 0 P 0 47 50 P 0 48 20 P 0 48 40	K ₂ 0 ^h 7 ^m 15 ^s D 5 58 11 ^s 5 K ₂ 0 9 20	
		Gemeinsame Angabe.			
		K ₁ 0 8 13 ^m 4 F 5 50 12 8	N 11 55 0 ^m 0 P 0 40 34 ^s 0	K ₂ 0 7 15 ^m 0 D 5 50 20 ^s 4	
18. December 1895	Zidda	Beim Aufsteigen an Bord.			
		K ₁ 0 ^h 44 ^m 30 ^s	N 1 ^h 35 ^m 22 ^s N 1 37 50 P 1 28 50 P 1 31 40 P 1 28 30 ^s 5	K ₂ 0 ^h 40 ^m 0 ^s 5 D 0 37 33 K ₂ 0 45 0	
		Gemeinsame Angabe			
		K ₁ 0 40 57 ^m 10 F 0 28 50 0	N 1 37 50 0 P 1 29 22 ^s 1	K ₂ 0 40 0 ^m 0 D 0 35 9 ^s 5	
		Beim Aufsteigen an Bord.			
		K ₁ 0 ^h 2 ^m 14 ^s 5	N 0 ^h 57 ^m 0 ^s N 0 55 55 P 0 48 50 P 0 40 15 P 0 40 40	K ₂ 0 ^h 0 ^m 15 ^s D 5 51 12 K ₉ 0 3 30	
19. December 1895	Zidda	Gemeinsame Angabe.			
		K ₁ 0 1 9 ^m 7 F 0 43 7 ^m 3	N 0 55 55 ^m 0 P 0 47 24 0	K ₂ 0 0 15 ^m 0 D 5 49 21 ^s 9	

Datum	Ort	Coincidenz K.N		Coincidenz NK ₂					
		FP		PD PK ₂					
20. December 1895	In See	Beim Aufziehen.							
		K ₁ 0 ^h 52 ^m 107.5	N 1 ^h 51 ^m 10 ^s	K ₂ 0 ^h 53 ^m 33 ^s					
		F 0 37 0 ^s 5	N 1 53 20	D 0 42 51 ^s 5					
			P 1 45 30	K ₂ 0 52 0 ^s 0					
			P 1 41 13						
		Gemeinsame Angabe.							
		K ₁ 0 54 20.1	N 1 53 20 ^s 0	K ₂ 0 53 33 ^s 0					
		F 0 30 22 ^s 9	P 1 44 40 ^s 3	D 0 42 37 ^s 8					
				Beim Aufziehen					
21. December 1895	In See	K ₁ 7 ^h 15 ^m 40 ^s	N 2 ^h 15 ^m 37 ^s	K ₂ 7 ^h 15 ^m 20 ^s					
		F 6 50 34 ^s 5	N 2 10 8 5	D 7 7 20					
			P 2 12 0	K ₂ 7 18 25 ^s 5					
			P 2 13 30	D 7 7 20					
			P 2 13 38						
		Gemeinsame Angabe							
		K ₁ 7 10 11 ^s 4	N 2 10 8 ^s 5	K ₂ 7 15 20 ^s 0					
		F 0 58 0 ^s 7	P 2 10 32 ^s 0	D 7 4 22 ^s 5					
				Beim Aufziehen an Bord.					
	In See	K ₁ 0 ^h 48 ^m 47 ^s 5	N 0 ^h 55 ^m 30 ^s	K ₂ 5 ^h 40 ^m 57 ^s 5					
		F 5 33 30	N 0 57 30	D 5 38 47					
			P 0 40 40	K ₂ 5 48 30					
			P 0 47 23 ^s 5						
		Gemeinsame Angabe							
		K ₁ 0 50 47 ^s 2	N 0 57 30 ^s 0	K ₂ 5 40 57 ^s 5					
		F 5 32 40 ^s 9	P 0 48 50 ^s 8	D 5 38 57 ^s 8					
				Vor der Zeitbestimmung.					
		22. December 1895	Yenbo	K ₁ 2 ^h 15 ^m 58 ^s	N 9 ^h 24 ^m 5 ^s	K ₂ 2 ^h 17 ^m 18 ^s 5			
F 2 2 20	N 9 20 15			D 2 6 43 ^s 5					
	P 9 20 0			K ₂ 2 22 12 ^s 5					
	P 9 18 0								
	P 9 22 30								
Gemeinsame Angabe.									
K ₁ 2 18 7 ^s 04	N 9 20 15 ^s 00			K ₂ 2 17 18 ^s 50					
F 2 0 1 57	P 9 17 35 ^s 17			D 2 6 18 ^s 74					
				Nach der Zeitbestimmung.					
	Yenbo	K ₁ 4 ^h 19 ^m 11 ^s 5	N 11 ^h 27 ^m 30 ^s	K ₂ 4 ^h 18 ^m 9 ^s 5					
		F 4 3 30	N 11 27 20	D 4 8 0 ^s 5					
			P 11 21 30	K ₂ 4 21 22					
			P 11 19 37						
			P 11 21 59						
		Gemeinsame Angabe.							
		K ₁ 4 19 11 ^s 50	N 11 27 30 ^s 00	K ₂ 4 18 22 ^s 40					
		F 4 1 5 ^s 38	P 11 18 55 ^s 07	D 4 7 22 ^s 58					
				Beim Aufziehen.					
23. December 1895	Yenbo	K ₁ 0 ^h 52 ^m 13 ^s	N 2 ^h 3 ^m 0 ^s	K ₂ 0 ^h 53 ^m 54 ^s 5					
		F 0 37 28	N 2 5 30	D 0 40 10					
			P 1 57 40	K ₂ 7 1 54 ^s 5					
			P 2 0 20						
			P 3 4 55						
		Gemeinsame Angabe.							
		K ₁ 0 54 42 0	N 2 5 30 ^s 0	K ₂ 0 53 54 ^s 5					
		F 0 30 35 ^s 8	P 1 50 53 ^s 7	D 0 42 53 ^s 3					

Datum	Ort	Coincidenz $K_1 N$		Coincidenz $N K_2$	
		FP		PD PK ₂	
23. December 1895		Vor der Zeitbestimmung.			
		K_1 2 ^h 40 ^m 16 ^s	N 9 ^h 52 ^m 27 ^s	K_2 2 ^h 41 ^m 31 ^s	
		F 2 25 30	P 9 54 30	D 2 32 9 ^s 5	
			P 9 47 27	K_2 2 47 43 ^s 5	
			P 9 52 0		
		Gemeinsame Angabe.			
		K_1 2 42 18 07	N 9 54 30 ^m 00	K_2 2 41 31 00	
		F 2 24 11 71	P 9 45 40 50	D 2 30 20 27	
		Nach der Zeitbestimmung.			
		K_1 3 ^h 37 ^m 11 ^s	N 10 ^h 49 ^m 31 ^s 5	K_2 3 ^h 35 ^m 51 ^s 5	
		F 3 22 50	N 10 52 0	D 3 30 3	
			P 10 44 40 ^s 5	K_2 3 42 54 ^s 5	
			P 10 45 30		
			P 10 47 20		
		Gemeinsame Angabe.			
		K_1 3 39 39 00	N 10 52 0 ^m 00	K_2 3 38 51 ^m 50	
		F 3 21 32 ^m 07	P 10 43 16 34	D 3 27 49 ^m 70	
24. December 1895	Yenbo	Beim Aufziehen.			
		K_1 6 ^h 55 ^m 0 ^s	N 2 ^h 9 ^m 54 ^s	K_2 6 ^h 55 ^m 24 ^s 5	
		F 6 41 10	N 2 11 5	D 6 46 10	
			P 2 9 25 ^s 5	K_2 7 0 35	
			P 2 4 8		
			P 2 7 30		
		Gemeinsame Angabe.			
		K_1 6 50 10 8	N 2 11 5 ^m 0	K_2 6 55 24 5	
		F 6 38 3 7	P 2 2 18 0	D 6 44 20 9	
		Vor der Zeitbestimmung.			
		K_1 2 ^h 23 ^m 30 ^s	N 9 ^h 39 ^m 45 ^s	K_2 2 ^h 24 ^m 30 ^s	
		F 2 10 25 ^s 5	N 9 41 25	D 2 15 48	
			P 9 35 55	K_2 2 30 33 ^s 5	
			P 9 35 0		
			P 9 38 42		
		Gemeinsame Angabe.			
		K_1 2 25 15 ^m 73	N 9 41 25 ^m 00	K_2 2 24 30 ^m 00	
		F 2 7 8 ^m 54	P 9 32 37 ^m 50	D 2 13 25 ^m 80	
25. December 1895		Nach der Zeitbestimmung.			
		K_1 3 ^h 59 ^m 27 ^s	N 11 ^h 15 ^m 52 ^s	K_2 3 ^h 58 ^m 47 ^s 5	
		F 3 44 8	N 11 15 15	D 3 49 42 ^s 5	
			P 11 9 53	K_2 4 2 21 ^s 5	
			P 11 9 10		
			P 11 10 45		
		Gemeinsame Angabe.			
		K_1 3 59 27 ^m 00	N 11 15 52 ^m 00	K_2 3 58 41 ^m 40	
		F 3 41 19 ^m 70	P 11 7 4 30	D 3 47 37 ^m 14	
		Beim Aufziehen.			
		K_1 6 ^h 42 ^m 77 ^s 5	N 2 ^h 1 ^m 0 ^s	K_2 6 ^h 42 ^m 0 ^s	
		F 6 20 49 5	N 2 1 43	D 6 35 56	
			P 1 55 0	K_2 6 50 2 ^s 5	
			P 1 57 50		
			P 2 0 51		
		Gemeinsame Angabe.			
		K_1 6 42 50 4	N 2 1 43 ^m 0	K_2 6 42 0 ^m 0	
		F 6 24 43 0	P 1 52 53 ^m 2	D 6 31 0 ^m 0	

Datum	Ort	Compendenz		
		K ₁ N	NK ₂	
		FP	PD PK ₂	
25. December 1895	Yenbo am Lande	Vor der Zeitbestimmung.		
		K ₁ 2 ^h 19 ^m 30 ^s	N 9 ^h 39 ^m 30 ^s	K ₂ 2 ^h 20 ^m 7 ^s
		P 2 4 45	N 9 40 60	D 2 13 50 ⁵
			P 9 34 11	K ₂ 2 25 34
			P 9 36 66	
			P 9 37 37	
		Gemeinsame Angabe.		
		K ₁ 2 20 50 7 ^h	N 0 40 00 00	K ₂ 2 20 7 ^m 00
		P 2 2 43 42	P 9 32 9 ^m 09	D 2 9 0 ^m 40
		Nach der Zeitbestimmung.		
K ₁ 3 ^h 40 ^m 15 ^s	N 11 ^h 6 ^m 30 ^s	K ₂ 3 ^h 47 ^m 32 ^s 5		
P 3 32 44 ⁵	N 11 0 40	D 3 38 4 ³		
	P 11 1 25 ⁰	K ₂ 3 51 8 ⁰		
	P 11 3 6 5			
	P 11 4 25			
Gemeinsame Angabe.				
K ₁ 3 48 10 17	N 11 8 40 ⁰ 00	D 3 30 25 77		
P 3 30 8 8 ₁	P 10 59 48 90	K ₂ 3 47 32 ⁵ 50		
26. December 1895	Yenbo am Bord	Beim Aufziehen.		
		K ₁ 6 ^h 25 ^m 10 ^s	N 1 ^h 48 ^m 05 ^s	K ₂ 6 ^h 25 ^m 10 ^s
		P 6 9 16 5	N 1 48 42 5	D 6 16 41
			P 1 41 22 ⁰	K ₂ 6 20 10
			P 1 42 30 ⁰	
			P 1 40 50 5	
		Gemeinsame Angabe.		
		K ₁ 6 25 51 ⁹	N 1 48 42 5	K ₂ 6 25 10 ⁰
		P 6 7 45 1	P 1 39 50 ³	D 6 14 1 7
		Beim Aufziehen an Bord.		
K ₁ 6 ^h 44 ^m 0 ^s	N 2 ^h 10 ^m 53 ^s 5	K ₂ 6 ^h 44 ^m 0 ^s		
P 6 29 4	N 2 11 33 5	D 6 36 0		
	P 2 5 10 ⁰	K ₂ 6 45 52		
	P 2 5 40 ⁵			
	P 2 4 31 0			
Gemeinsame Angabe.				
K ₁ 6 44 39 9	N 2 11 33 ⁵	K ₂ 6 44 0 ⁰		
P 6 26 33 ¹	P 2 2 38 7	D 6 32 49 7		
28. December 1895	In See	Beim Aufziehen.		
		K ₁ 6 ^h 47 ^m 42 ^s	N 2 ^h 15 ^m 30 ^s	K ₂ 6 ^h 48 ^m 10 ^s
		P 6 33 15	N 2 19 42	D 6 38 10 ⁵
			P 2 13 20	K ₂ 6 48 25
			P 2 11 58	
			P 2 11 0	
		Gemeinsame Angabe.		
		K ₁ 6 48 47 8	N 2 19 4 ³	K ₂ 6 48 10 ⁰
		P 6 30 40 ⁴	P 2 10 45 ⁰	D 6 30 57 ⁷
		Beim Aufziehen.		
K ₁ 6 ^h 32 ^m 1 ^s	N 2 ^h 0 ^m 52 ^s	K ₂ 6 ^h 31 ^m 48 ^s		
P 6 15 58	N 2 7 15	D 6 22 8		
	P 1 59 58	K ₂ 6 34 32		
	P 1 59 50			
	P 2 1 0			
Gemeinsame Angabe.				
K ₁ 6 32 23 ⁹	N 2 7 15 ⁰	K ₂ 6 31 48 ⁰		
P 6 14 15 ⁸	P 1 58 15 ⁵	D 6 20 33 ⁸		

Datum	Ort	Coincidenz K_1N	FP	Coincidenz NK_2	PD PK ₂
30. December 1895		Beim Aufziehen an Bord.			
		K_1 5 ^h 30 ^m 53 ^s 5	N 1 ^h 15 ^m 14 ^s	K_2 5 ^h 35 ^m 58 ^s 5	
		F 5 19 31 5	N 1 15 3 ^s 5	D 5 26 40	
			P 1 7 20	K_2 5 38 10	
			P 1 8 10		
			P 1 8 30		
		Gemeinsame Angabe.			
		K_1 5 36 53 ^s 5	N 1 15 3 ^s 5	K_2 5 36 19 ^s 4	
		F 5 18 44 ^s 7	P 1 6 33 ^s 1	D 5 25 3 ^s 4	
		Vor der Zeitbestimmung.			
		K_1 2 ^h 27 ^m 50 ^s	N 10 ^h 8 ^m 0 ^s	K_2 2 ^h 30 ^m 23 ^s	
		F 2 15 25	N 10 10 7	D 2 22 22	
			P 10 4 42	K_2 2 30 38	
			P 10 5 20		
			P 10 7 20		
		Gemeinsame Angabe.			
		K_1 2 30 56 40	N 10 11 7 00	K_2 2 30 23 00	
		F 2 12 47 ^s 42	P 10 1 3 00	D 2 10 0 ^s 53	
31. December 1895	Sherm Sheikh	Nach der Zeitbestimmung.			
		K_1 5 ^h 3 ^m 44 ^s	N 0 ^h 44 ^m 20 ^s	K_2 5 ^h 7 ^m 46 ^s	
		F 4 52 31	N 0 48 50	D 4 59 43	
			P 0 42 14	K_2 5 12 29	
			P 0 43 7		
			P 0 45 00		
		Gemeinsame Angabe.			
		K_1 5 8 19 ^s 25	N 0 45 50 00	K_2 5 7 40 ^s 00	
		F 4 50 10 ^s 13	P 0 39 52 ^s 74	D 4 50 39 ^s 27	
		Beim Aufziehen.			
		K_1 2 ^h 13 ^m 2 ^s	N 2 ^h 56 ^m 0 ^s	K_2 2 ^h 13 ^m 10 ^s	
		F 0 50 51	N 2 50 40	D 2 2 44	
			P 2 45 53	K_2 2 15 32	
			P 2 48 27		
			P 2 49 57		
		Gemeinsame Angabe.			
		K_1 2 13 41 ^s 9	N 2 56 40 ^s 0	K_2 2 13 10 ^s 0	
		F 0 55 32 ^s 8	P 2 47 34 ^s 6	D 2 1 51 ^s 7	
		Vor der Zeitbestimmung.			
		K_1 2 ^h 44 ^m 53 ^s 5	N 10 ^h 29 ^m 7 ^s	K_2 2 ^h 40 ^m 30 ^s	
		F 2 31 53	N 10 31 1 ^s 5	D 2 37 52	
			P 10 25 10 0	K_2 2 54 38	
			P 10 24 50		
			P 10 27 12 ^s 5		
		Gemeinsame Angabe.			
		K_1 2 47 1 ^s 15	N 10 31 1 ^s 50	K_2 2 46 30 00	
		F 2 38 58 ^s 13	P 10 22 8 ^s 63	D 2 35 11 ^s 07	
		Nach der Zeitbestimmung.			
		K_1 3 ^h 50 ^m 47 ^s 4	N 11 ^h 35 ^m 57 ^s 5	K_2 3 ^h 53 ^m 9	
		F 3 38 28	N 11 38 5 0	D 3 44 36	
			P 11 31 50 ^s 0	K_2 3 58 54	
			P 11 31 45 ^s 0		
			P 11 34 44 ^s 5		
		Gemeinsame Angabe.			
		K_1 3 53 40 ^s 02	N 11 38 5 ^s 00	K_2 3 53 9 ^s 00	
		F 3 35 31 ^s 04	P 11 28 58 ^s 55	D 3 41 50 ^s 00	

Datum	Ort	Coincidenz K ₁ N	Coincidenz N K ₂
		FP	PD PK ₂
1. Jänner 1890	Sherm Sheikh	Beim Aufziehen.	
		K ₁ 6 ^h 14 ^m 41 ^s	N 2 ^h 0 ^m 48 ^s
		F 5 57 45	N 2 1 30
		P 1 51 35	N 2 1 55
		Gemeinsame Angabe.	
		K ₁ 6 14 41 ^s 0	N 2 1 30 0
		F 5 50 19 ^s 5	P 1 52 22 ^s 4
	In See	Beim Aufziehen.	
		K ₁ 6 ^h 18 ^m 00 ^s	N 2 ^h 9 ^m 50 ^s
		F 6 2 1 ^s 5	N 2 10 10 ^s 5
		P 2 1 50	N 2 2 10
		Gemeinsame Angabe.	
		K ₁ 6 10 20 ^s 4	N 2 10 16 ^s 5
		F 6 1 18 ^s 4	P 2 1 6 ^s 8
2. Jänner 1890		Vor der Zeitbestimmung.	
		K ₁ 2 ^h 54 ^m 23 ^s	N 10 ^h 46 ^m 10 ^s
		F 2 41 25	N 10 40 22
		P 10 44 15 ^s 5	N 10 40 27
		Gemeinsame Angabe.	
		K ₁ 2 57 10 ^s 54	N 10 40 27 ^s 00
		F 2 30 9 ^s 50	P 10 40 15 ^s 01
		Nach der Zeitbestimmung.	
		K ₁ 4 ^h 36 ^m 32 ^s	N 0 ^h 29 ^m 10 ^s
		F 4 24 34	N 0 32 57
		P 0 20 4 ^s 5	N 0 25 11 ^s 5
		Gemeinsame Angabe.	
		K ₁ 4 40 23 ^s 38	N 0 32 57 ^s 00
		F 4 22 15 ^s 35	P 0 23 45 ^s 42
	Mersa Dhiba	Beim Aufziehen.	
		K ₁ 6 ^h 24 ^m 4 ^s	N 2 ^h 18 ^m 42 ^s
		F 6 8 14	N 2 18 55
		P 2 12 0	N 2 12 0
		Gemeinsame Angabe.	
		K ₁ 6 24 4 ^s 0	N 2 18 55 ^s 0
		F 6 5 50 ^s 1	P 2 2 41 ^s 7
1. Jänner 1890		Vor der Zeitbestimmung.	
		K ₁ 2 ^h 51 ^m 44 ^s	N 10 ^h 50 ^m 0 ^s
		F 2 37 55	N 10 51 50
		P 10 43 5	N 10 43 5
		Gemeinsame Angabe.	
		K ₁ 2 55 33 ^s 70	N 10 51 50 ^s 00
		F 2 37 25 89	P 10 42 35 ^s 81
			K ₂ 2 55 10 ^s 50
			D 2 43 44 ^s 32

Datum	Or t	Coincidenz		Coincidenz	
		K_1	N	K_2	N
			FP		PD PK ₂
3. Jänner 1896	Mersa Dhiba	Nach der Zeitbestimmung.			
		K_1 4 ^h 22' 45"	N 11 ^h 50 ^m 12 ^s 5	K_2 4 ^h 40' 40"	
		F 1 47 32	N 0 1 40	D 1 50 23	
			P 11 52 25.5	K_2 4 9 28	
			P 11 52 5.5		
		Gemeinsame Angabe.			
		K_1 4 5 12.11	N 0 1 40.00	K_2 4 4 49.00	
		F 3 47 5.33	P 11 52 25.75	D 3 53 22.74	
4. Jänner 1896	In See	Beim Aufziehen.			
		K_1 6 ^h 40' 24 ^s 5	N 2 ^h 48 ^m 20 ^s 2	K_2 6 ^h 49 ^m 30 ^s 8	
		F 6 34 28	N 2 48 42	D 6 39 11.5	
			P 2 48 14	K_2 6 39 11.5	
			P 2 40 40	K_2 6 40 10.0	
			P 2 40 10.5		
		Gemeinsame Angabe.			
		K_1 6 40 51.4	N 2 48 47.0	K_2 6 49 20.0	
		F 6 31 43.8	P 2 39 30.4	D 6 38 2.1	
5. Jänner 1896		Beim Aufziehen an Bord.			
		K_1 6 ^h 29 ^m 18 ^s 8	N 2 ^h 32 ^m 10 ^s 8	K_2 6 ^h 28 ^m 14 ^s 8	
		F 6 15 18.5	N 2 31 25	D 6 18 27.5	
			P 2 31 50	K_2 6 20 18	
			P 2 21 50		
			P 2 21 10.5		
		Gemeinsame Angabe.			
		K_1 6 20 18.0	N 2 32 10.0	K_2 6 28 18.0	
		F 6 10 10.5	P 2 22 51.2	D 6 17 28.0	
		Beim Aufziehen an Bord.			
		K_1 6 ^h 54 ^m 30 ^s 8	N 3 ^h 1 ^m 26 ^s 8	K_2 6 ^h 50 ^m 14 ^s 8	
		F 6 38 3	N 3 3 22	D 6 43 6	
			P 2 53 40	K_2 6 43 6	
			P 2 52 30	K_2 6 43 15	
			P 2 53 42		
		Gemeinsame Angabe.			
		K_1 6 50 10.7	N 3 3 27.0	K_2 6 50 14.0	
		F 6 38 21.0	P 2 54 6.3	D 6 44 42.4	
	Hassani	Vor der Zeitbestimmung.			
		K_1 2 ^h 41 ^m 15 ^s 8	N 10 ^h 53 ^m 29 ^s 5	K_2 2 ^h 48 ^m 40 ^s 8	
		F 2 33 57.5	N 10 52 11	D 2 40 29.5	
			P 10 52 11	K_2 2 40 29.5	
			P 10 52 21.5	K_2 2 50 11	
		Gemeinsame Angabe.			
		K_1 2 48 55.80	N 10 52 21.00	K_2 2 48 40.00	
		F 2 30 48.25	P 10 47 49.20	D 2 37 7.33	
6. Jänner 1896		Nach der Zeitbestimmung.			
		K_1 3 ^h 24 ^m 20 ^s 8	N 0 ^h 32 ^m 41 ^s 8	K_2 3 ^h 25 ^m 9 ^s 8	
		F 3 13 0	N 0 32 11	D 3 17 50.5	
			P 0 32 23.5	K_2 3 18 20	
			P 0 28 40.0		
			P 0 31 40.5		
		Gemeinsame Angabe.			
		K_1 3 26 11.72	N 0 32 11.11	K_2 3 25 40.00	
		F 3 1 54.14	P 0 25 14.11	D 3 14 11.20	

Datum	Ort	Coincidenz K_1N	FP	Coincidenz NK_2	PD PK ₂	
7. Jänner 1896	Hassani	Beim Aufziehen.				
		K_1 0 ^h 1 ^m 20 ^s 0	N 2 ^h 24 ^m 57 ^s 5	K_2 6 ^h 13 ^m 20 ^s		
		F 5 50 10	N 2 20 18	D 6 6 18.5		
			P 2 19 44	K_2 6 21 10.0		
			P 2 22 51.5			
		Gemeinsame Angabe.				
		K_1 6 15 24.2	N 2 20 14.0	K_2 6 15 10.0		
		F 5 50 17.3	P 2 16 50.5	D 6 3 35.0		
		Vor der Zeitbestimmung.				
		K_1 2 ^h 38 ^m 43 ^s	N 10 ^h 50 ^m 57 ^s	K_2 2 ^h 30 ^m 50 ^s		
		F 2 22 44	N 10 52 17.5	D 2 31 23		
			P 10 43 41	K_2 2 45 17		
			P 10 40 2			
			P 10 48 21			
		Gemeinsame Angabe.				
		K_1 2 10 1.28	N 10 52 17.50	K_2 2 30 50.00		
F 2 22 50.24	P 10 42 53.11	D 2 28 14.68				
8. Jänner 1896		Nach der Zeitbestimmung.				
		K_1 4 ^h 2 ^m 20.2	N 0 ^h 14 ^m 54 ^s	K_2 4 ^h 4 ^m 35 ^s		
		F 3 52 34	N 0 12 12	D 3 55 58		
			P 0 10 43	K_2 4 10 44		
			P 0 14 2			
		Gemeinsame Angabe.				
		K_1 4 4 48.04	N 0 12 12.00	K_2 4 4 35.50		
		F 3 40 41.04	P 0 7 53.50	D 3 52 59.99		
		Beim Aufziehen.				
		K_1 6 ^h 35 ^m 27 ^s	N 2 ^h 50 ^m 21 ^s	K_2 6 ^h 35 ^m 23 ^s		
		F 6 15 10	N 2 50 28	D 6 26 10		
			P 2 43 50	K_2 6 37 40		
			P 2 42 6			
			P 2 43 19			
		Gemeinsame Angabe.				
		K_1 6 35 34.0	N 2 50 28.0	K_2 6 35 21.0		
F 6 12 28.5	P 2 41 2.4	D 6 23 40.6				
9. Jänner 1896	In See	Beim Aufziehen.				
		K_1 6 ^h 40 ^m 0 ^s	N 2 ^h 58 ^m 10 ^s	K_2 6 ^h 30 ^m 7 ^s		
		F 6 24 16.5	N 2 58 54.5	D 6 31 10.5		
			P 2 52 0	K_2 6 40 10.0		
			P 2 52 20			
			P 2 50 11.5			
		Gemeinsame Angabe.				
		K_1 6 40 0.0	N 2 58 54.5	K_2 6 30 51.4		
		F 6 24 53.7	P 2 49 20.5	D 6 28 12.8		
		Beim Aufziehen.				
		K_1 0 ^h 42 ^m 40 ^s	N 3 ^h 5 ^m 35 ^s	K_2 6 ^h 41 ^m 50 ^s		
		F 0 25 20	N 3 4 54	D 6 31 12		
			P 2 57 8	K_2 6 43 20		
			P 2 50 31			
			P 2 50 52			
		Gemeinsame Angabe.				
K_1 0 41 50.1	N 3 4 51.0	K_2 6 41 50.0				
F 0 21 50.1	P 2 55 21.8	D 6 30 8.0				
10. Jänner 1896						

Datum	Ort	Coincidenz $K_1 N$	Coincidenz $N K_2$	
		FP	PD PK ₂	
11. Jänner 1890	Stern Hebbar	Heim Aufziehen.		
		K_1 0 ^h 15 ^m 10 ^s	N 2 ^h 42 ^m 07 ^s	K_2 6 ^h 17 ^m 40 ^s
		F 0 0 14	N 2 44 14.5	D 0 17 40
			P 2 35 37.0	K_2 0 5 41
			P 2 34 34.5	
			P 2 33 4.5	
		Gemeinsame Angabe.		
		K_1 0 17 43.0	N 2 44 14.5	K_2 0 17 40.0
		F 0 50 37.9	P 2 35 3.5	D 0 5 55.1
		Vor der Zeitbestimmung.		
		K_1 2 ^h 34 ^m 55 ^s	N 11 ^h 3 ^m 9 ^s	K_2 2 ^h 37 ^m 51 ^s
		F 2 20 60	N 11 0 3	D 2 27 20
			P 10 58 40	K_2 2 28 34.5
			P 10 57 51.5	
			P 11 1 14	
		Gemeinsame Angabe.		
		K_1 2 37 53.51	N 11 0 3.00	K_2 2 37 51.00
		F 2 24 48.04	P 10 50 30.74	D 2 20 5.44
12. Jänner 1890	Stern Hebbar	Nach der Zeitbestimmung.		
		K_1 4 ^h 7 ^m 44 ^s	N 0 ^h 30 ^m 13 ^s 5	K_2 4 ^h 0 ^m 0 ^s
		F 3 52 50	N 0 37 18.0	D 3 58 10
			P 0 20 54.0	K_2 4 14 12
			P 0 20 50.5	
			P 0 11 1.5	
		Gemeinsame Angabe.		
		K_1 4 0 2.80	N 0 37 18.00	K_2 4 0 0.00
		F 2 50 50.95	P 0 20 0.64	D 3 57 14.39
		Heim Aufziehen.		
		K_1 0 ^h 57 ^m 59 ^s	N 3 ^h 28 ^m 58 ^s	K_2 6 ^h 57 ^m 35 ^s
		F 0 40 55	N 3 28 34	D 0 48 10
			N 1 20 35	
		K_1 2 1 3	P 3 21 31.5	
			P 3 22 28.5	
		Gemeinsame Angabe.		
		K_1 0 57 35.0	N 3 28 31.0	K_2 0 57 35.0
		F 2 39 30.7	P 3 19 0.5	D 0 45 47.4
13. Jänner 1890	Stern Hebbar	Vor der Zeitbestimmung.		
		K_1 2 ^h 21 ^m 0 ^s	N 10 ^h 53 ^m 12 ^s 5	K_2 2 ^h 21 ^m 57 ^s
		F 2 6 40.5	N 10 54 0.5	D 2 12 53
			P 10 47 30.0	K_2 2 28 34
			P 10 47 30.0	
			P 10 47 30.0	
		Gemeinsame Angabe.		
		K_1 2 21 50.84	N 10 54 0.50	K_2 10 21 57.00
		F 2 3 52.40	P 10 44 35.42	D 2 10 8.87
		Nach der Zeitbestimmung.		
		K_1 4 ^h 3 ^m 0 ^s	N 0 ^h 35 ^m 29 ^s 5	K_2 4 ^h 4 ^m 51 ^s
		F 3 47 20	N 0 37 20.5	D 3 55 18
			P 0 23 20.0	K_2 4 9 38
			P 0 30 22.0	
			P 0 32 14.0	
		Gemeinsame Angabe.		
		K_1 4 4 50.70	N 0 37 20.50	K_2 4 4 51.00
		F 3 40 40.31	P 0 27 40.22	D 3 53 2.64

Datum	Ort	Coincidenz K ₁ N	Coincidenz FP	Coincidenz N ₂ PD PK ₂	
13. Jänner 1896	In See	Beim Aufziehen.			
		K ₁ 0 ^h 42 ^m 45 ^s F 0 27 24.5	N 3 ^h 17 ^m 41.75 N 3 15 27.5 P 3 14 0 P 3 10 20 P 3 2 15.5	K ₂ 6 ^h 41 ^m 11 ^s D 6 33 10 K ₂ 6 43 50	
		Gemeinsame Angabe.			
14. Jänner 1896	In See	K ₁ 0 43 20.0 F 0 25 27.3	N 3 18 27.5 P 3 8 15.5	K ₂ 6 43 32 D 6 31 44.6	
		Beim Aufziehen.			
		K ₁ 6 ^h 41 ^m 20 ^s F 6 35 47	N 3 ^h 20 ^m 16.75 N 3 20 27.5 P 3 13 10.5 P 3 11 48.5 P 3 14 20.5	K ₂ 6 ^h 41 ^m 36 ^s D 6 30 40 K ₂ 6 42 1	
		Gemeinsame Angabe.			
		K ₁ 6 41 31.0 F 6 23 25.3	N 3 20 27.5 P 3 10 51.5	K ₂ 6 41 36.0 D 6 29 43.1	
		Beim Aufziehen.			
		K ₁ 6 ^h 27 ^m 17 ^s F 6 11 24.5	N 3 ^h 10 ^m 0 ^s N 3 9 26.5 P 3 2 44 P 3 1 15 P 3 4 40	K ₂ 6 ^h 26 ^m 40 ^s D 6 16 50 K ₂ 6 31 30	
		Gemeinsame Angabe.			
		K ₁ 6 26 32.3 F 6 8 30.2	N 3 9 20.5 P 3 59 40.2	K ₂ 6 26 40 D 6 14 44.2	
15. Jänner 1896	Koseir	Vor der Zeitbestimmung.			
		K ₁ 3 ^h 9 ^m 4 ^s F 2 54 3	N 11 ^h 53 ^m 23.75 N 11 52 43 P 11 46 49 P 11 45 11 P 11 50 21	K ₂ 3 ^h 10 ^m 28 ^s D 3 1 30 K ₂ 3 15 45	
		Gemeinsame Angabe.			
		K ₁ 3 10 10.29 F 3 52 12.44	N 11 54 41.00 P 11 55 3.15	K ₂ 3 10 28.00 D 3 5 31.60	
		Nach der Zeitbestimmung.			
		K ₁ 4 ^h 9 ^m 0 ^s F 3 54 30	N 0 ^h 53 ^m 31.75 N 0 55 27 P 0 47 20 P 0 45 12 P 0 51 21	K ₂ 4 ^h 11 ^m 4 ^s D 4 1 50 K ₂ 4 16 32	
		Gemeinsame Angabe.			
		K ₁ 4 10 55.19 F 3 52 53.36	N 0 55 27.00 P 0 55 49.10	K ₂ 4 11 4.00 D 3 59 7.34	
		Beim Aufziehen.			
16. Jänner 1896		K ₁ 7 ^h 10 ^m 48 ^s F 6 53 37	N 3 ^h 57 ^m 40 ^s N 3 58 0 P 3 49 1.5 P 3 51 50 P 3 53 20	K ₂ 7 ^h 11 ^m 51 ^s D 7 2 44.5 K ₂ 7 14 13	
		Gemeinsame Angabe.			
		K ₁ 7 10 58.0 F 6 52 56.6	N 3 58 0.0 P 3 48 21.0	K ₂ 7 11 5.5 D 6 59 10.1	

Datum	Ort	Coincidenz K ₁ N	FP	Coincidenz N K ₂	PD PK ₂	
17. Jänner 1896		Beim Aufziehen.				
		K ₁ 6h 11m 50s	N 3h 2m 42s	K ₂ 6h 11m 0s		
		F 0 55 30	N 1 3 30.5	D 0 2 7.5		
			P 2 54 42	K ₂ 0 15 50		
			P 2 55 7			
			P 2 50 49			
		Gemeinsame Angabe.				
		K ₁ 0 12 47.3	N 1 1 30.5	K ₂ 0 13 0.0		
		F 0 54 46.6	P 2 53 35.5	D 0 0 59.2		
		18. Jänner 1896	Köscir	Beim Aufziehen.		
K ₁ 7h 6m 51.5	N 4h 1m 53s			K ₂ 7h 7m 0s		
F 0 51 18	N 4 1 40			D 0 50 17.5		
F 0 49 39	P 1 53 24			K ₂		
	P 3 52 37.5					
Gemeinsame Angabe.						
K ₁ 7 0 44.5	N 4 1 40.0			K ₂ 7 2 0.0		
F 0 48 44.8	P 3 52 3.8			D 0 54 50.5		
Vor der Zeitbestimmung.						
K ₁ 2h 48m 0s	N 11h 44m 24.5			K ₂ 2h 50m 10.5		
F 2 33 30	N 11 40 12.5	D 2 42 10				
	P 14 38 5.0	K ₂ 2 42 10				
	P 14 41 19.5	D 2 42 10				
	P 11 45 30.0					
Gemeinsame Angabe.						
K ₁ 2 40 53.71	N 11 40 12.50	K ₂ 2 50 10.00				
F 2 31 53.79	P 11 30 28.53	D 2 38 5.82				
19. Jänner 1896		Nach der Zeitbestimmung.				
		K ₁ 4h 12m 0s	N 1h 11m 32.5	K ₂ 4h 15m 3s		
		F 3 57 20	N 1 11 19.5	D 4 7 22		
			P 1 2 9	K ₂ 4 11 33		
			P 1 5 50.5			
			P 1 2 0.5			
		Gemeinsame Angabe.				
		K ₁ 4 16 40.54	N 1 11 19.50	K ₂ 4 15 3.00		
		F 3 49 40.52	P 1 1 34.41	D 4 2 58.08		
		20. Jänner 1896	In See	Beim Aufziehen.		
K ₁ 6h 18m 51s	N 3h 17m 45s			K ₂ 6h 18m 10s		
F 0 2 13	N 3 10 45.5			D 0 0 40		
	P 1 9 21.5			K ₂ 0 18 20		
	P 3 7 10.5					
	P 3 7 10.5					
Gemeinsame Angabe.						
K ₁ 0 17 51.7	N 3 10 45.5			K ₂ 0 18 10.0		
F 5 59 59.4	P 3 7 0.5			D 0 0 4.1		
Beim Aufziehen.						
K ₁ 7h 3m 56.5	N 4h 6m 48s	K ₂ 7h 5m 9.5				
F 0 48 2.5	N 4 0 50	D 0 54 14.0				
	P 3 59 10	K ₂ 2 2 0.0				
	P 1 59 37					
	P 3 57 06					
Gemeinsame Angabe.						
K ₁ 7 3 42.5	N 4 0 50.0	K ₂ 7 4 9.5				
F 0 45 42.9	P 3 57 1.0	D 0 52 0.4				

Datum	Ort	Coincidenz $K_1 N$	Coincidenz $N K_2$
		FP	PD PK ₂
21. Jänner 1896		Beim Aufziehen. K_1 6 ^h 11 ^m 19 ^s 5 F 3 13 18 ^s 0	N 3 ^h 40 ^m 30 ^s N 3 41 25 P 3 11 42 P 3 15 30 P 3 13 10 K_2 6 ^h 34 ^m 52 ^s * D 6 28 13 K_2 6 26 25 ^s 5
		Gemeinsame Angabe. K_1 6 13 28 ^s 4 F 3 16 30 ^s 5	N 3 41 25 ^s 0 P 3 31 30 ^s 2 K_2 6 34 52 ^s 0 D 6 23 39 ^s 8
22. Jänner 1896		Beim Aufziehen. K_1 6 ^h 8 ^m 57 ^s * F 3 52 27	N 3 ^h 19 ^m 50 ^s * N 3 19 33 P 3 14 28 P 3 12 45 P 3 12 15 ^s 4 K_2 6 ^h 9 ^m 63 ^s * D 5 58 54 K_2 6 10 40
		Gemeinsame Angabe. K_1 6 8 40 ^s 0 F 3 50 43 ^s 0	N 3 19 33 ^s 0 P 3 9 41 ^s 7 K_2 6 10 40 ^s 0 D 5 56 51 ^s 0
23. Jänner 1896	Suez	Beim Aufziehen. K_1 6 ^h 31 ^m 11 ^s * F 6 14 53 ^s 5	N 3 ^h 46 ^m 0 ^s * N 3 45 35 P 3 37 33 P 3 37 33 P 3 37 5 K_2 6 ^h 31 ^m 10 ^s * D 6 20 40 K_2 6 32 33
		Gemeinsame Angabe. K_1 6 30 40 ^s 1 F 6 12 44 ^s 7	N 3 45 35 ^s 0 P 3 35 43 ^s 5 K_2 6 31 10 ^s 0 D 6 15 51 ^s 1
24. Jänner 1896		Beim Aufziehen. K_1 6 ^h 9 ^m 0 ^s * F 3 54 0	N 3 ^h 27 ^m 50 ^s * N 3 27 42 P 3 20 53 P 3 19 30 P 3 19 45 ^s 5 K_2 6 ^h 8 ^m 50 ^s * D 5 50 10 K_2 6 14 20
		Gemeinsame Angabe. K_1 6 9 0 ^s 0 F 5 51 6 ^s 6	N 3 22 50 ^s 0 P 3 17 59 ^s 1 K_2 6 9 33 ^s 0 D 5 57 11 ^s 4
25. Jänner 1896		Beim Aufziehen. K_1 6 ^h 39 ^m 0 ^s * F 6 23 54 ^s 5	N 4 ^h 2 ^m 25 ^s N 4 2 12 P 3 54 10 P 3 55 0 P 3 54 20 K_2 6 ^h 39 ^m 40 ^s * D 6 30 8 K_2 6 31 54
		Gemeinsame Angabe. K_1 6 39 0 ^s 0 F 6 21 16 ^s 5	N 4 2 12 ^s 0 P 3 52 11 ^s 0 K_2 6 39 40 ^s 0 D 6 27 20 ^s 1

Datum	Or t	Coincidenz K_1N	FP	Coincidenz NK_2	PD PK ₂	
26. Jänner 1866		Beim Aufziehen.				
		K_1 7 ^h 1 ^m 0 ^s	N 4 ^h 28 ^m 57 ^s	K_2 7 ^h 3 ^m 13 ^s		
		F 4 40 0	N 4 29 4 P 4 24 10 P 4 24 10 P 4 20 44.5	D 6 52 10 K_2 7 4 20		
		Gemeinsame Angabe.				
		K_1 7 2 34.2 F 4 43 42.2	N 4 29 40.0 P 4 19 37.8	K_2 7 3 11.5 D 6 50 44.2		
		Beim Aufziehen.				
		K_1 6 ^h 27 ^m 25 ^s	N 1 ^h 58 ^m 26 ^s	K_2 6 ^h 28 ^m 50 ^s		
		F 6 14 16.0	N 1 59 2 P 3 50 2.5 P 3 50 24 P 1 51 10	D 6 12 45 K_2 6 31 42.5		
	Suez an Bord	Gemeinsame Angabe.				
		K_1 6 28 8.6 F 6 10 17.2	N 1 59 2 P 3 49 1.5	K_2 6 28 50.5 D 6 10 17.7		
		Vor der Zeitbestimmung.				
		K_1 2 ^h 39 ^m 58 ^s	N 6 ^h 12 ^m 20 ^s	K_2 2 ^h 42 ^m 56 ^s		
27. Jänner 1866		F 2 25 50	N 6 14 36 P 0 6 7 P 0 7 10 P 0 9 4.5	D 2 33 4 K_2 2 42 30		
		Gemeinsame Angabe.				
		K_1 2 42 11.13 F 2 24 22.04	N 6 14 36.00 P 0 4 29.77	K_2 2 42 50.00 D 2 36 22.21		
		Nach der Zeitbestimmung.				
		K_1 4 ^h 13 ^m 54 ^s	N 2 ^h 0 ^m 15 ^s	K_2 4 ^h 15 ^m 17 ^s		
		F 4 13 25	N 2 7 0 P 4 55 51.5 P 4 59 15 P 3 2 10	D 4 26 51.5 K_2 4 40 47		
		Gemeinsame Angabe.				
		K_1 4 14 15.41 F 4 13 27.35	N 2 7 0.00 P 4 55 51.55	K_2 4 15 1.50 D 4 22 27.44		
28. Jänner 1866	Suez	Beim Aufziehen.				
		K_1 6 ^h 30 ^m 30 ^s	N 4 ^h 5 ^m 37 ^s	K_2 6 ^h 11 ^m 20 ^s		
		F 6 15 30	N 4 5 30.5 P 3 55 20.5 P 3 50 10 P 1 50 50	D 6 19 2.5 K_2 6 12 41		
		Gemeinsame Angabe.				
		K_1 6 10 35.5 F 6 12 44.8	N 4 5 30.5 P 1 51 25.5	K_2 6 11 20.0 D 6 15 41.9		

Datum	Or t	Coincidenz K_1N	Coincidenz NK_2
		FP	PD PK ₂
29. Jänner 1896		Beim Aufziehen.	
	K_1 6 ^h 42 ^m 21 ^s	N 4 ^h 21 ^m 24 ^s 5	K_2 6 ^h 43 ^m 34 ^s
	P 0 27 30	N 4 21 50	D 6 32 30
		P 4 13 10	K_2 6 44 55 ^s 5
30. Jänner 1896		Gemeinsame Angabe.	
	K_1 6 42 40 ^s 4	N 4 21 50 ^s 0	K_2 6 43 34 ^s 0
	P 0 24 50 ^s 7	P 4 11 40 ^s 3	D 6 30 54 ^s 0
31. Jänner 1896		Beim Aufziehen.	
	K_1 6 ^h 10 ^m 2 ^s	N 3 ^h 53 ^m 0 ^s	K_2 6 ^h 11 ^m 6 ^s
	P 5 54 50 ^s 5	N 3 53 14	D 6 0 55 ^s 5
		P 3 45 27	K_2 6 11 50
1. Februar 1896		Gemeinsame Angabe.	
	K_1 6 10 16 ^s 0	N 3 53 14 ^s 0	K_2 6 11 0 ^s 0
	P 5 52 20 ^s 3	P 3 43 2 ^s 4	D 5 58 23 ^s 3
Suez		Beim Aufziehen.	
	K_1 7 ^h 7 ^m 0 ^s	N 4 ^h 54 ^m 7 ^s 5	K_2 7 ^h 9 ^m 13 ^s
	P 0 51 33	N 4 55 30 ^s 5	D 6 5 10
		P 4 40 10	K_2 7 8 59
		Gemeinsame Angabe.	
	K_1 7 8 22 ^s 8	N 4 55 30 ^s 5	K_2 7 9 15 ^s 0
	P 0 50 33 ^s 2	P 4 45 10 ^s 0	D 6 50 28 ^s 8
		Beim Aufziehen.	
	K_1 6 ^h 17 ^m 54 ^s	N 4 ^h 8 ^m 53 ^s	K_2 6 ^h 21 ^m 7 ^s
	P 6 4 58	N 4 11 12 ^s 5	D 6 8 35
		P 4 3 30	K_2 6 20 30
		Gemeinsame Angabe.	
	K_1 6 20 13 ^s 1	N 4 11 12 ^s 5	K_2 6 21 7 ^s 0
	P 6 2 23 ^s 5	P 4 0 55 ^s 1	D 6 0 8 17 ^s 0
		Vor der Zeitbestimmung.	
	K_1 2 ^h 36 ^m 24 ^s	N 0 ^h 28 ^m 46 ^s	K_2 2 ^h 40 ^m 30 ^s
	P 2 33 57	N 0 31 58	D 2 30 41
		P 0 23 51	K_2 2 45 59 ^s 5
		Gemeinsame Angabe.	
	K_1 2 39 35 ^s 47	N 0 31 58 ^s 00	K_2 2 40 30 ^s 00
	P 2 21 45 ^s 08	P 0 21 39 ^s 02	D 2 27 39 ^s 02
		Nach der Zeitbestimmung.	
	K_1 4 ^h 33 ^m 29 ^s 5	N 2 ^h 26 ^m 11 ^s	K_2 4 ^h 35 ^m 43 ^s
	P 4 18 57	N 2 27 30	D 4 25 8
		P 2 19 10	K_2 4 39 0
		Gemeinsame Angabe.	
	K_1 4 34 48 ^s 28	N 2 27 30 ^s 00	K_2 4 35 43 ^s 00
	P 4 10 58 ^s 50	P 2 17 11 ^s 48	D 4 22 52 ^s 35

Datum	Or t	Coincidenz K_1N		Coincidenz NK_2			
		FP		PD PK ₂			
2. Februar 1890	Suez	Beim Aufziehen.					
		K_1 6 ^h 27 ^m 26 ^s P 6 10 50	N 4 ^h 22 ^m 26 ^s 5 N 4 22 57 ^s 5 P 4 13 20 P 4 14 0 P 4 15 25	K_2 6 ^h 28 ^m 53 ^s D 6 17 22 ^s 5 K_2 6 31 40			
		Gemeinsame Angabe.					
		K_1 6 27 56 ^s 0 P 6 10 7 ^s 0	N 4 22 57 ^s 5 P 4 12 37 ^s 5	K_2 6 28 53 ^s 0 D 6 16 0 ^s 2			
3. Februar 1890		Beim Aufziehen.					
		K_1 6 ^h 44 ^m 6 ^s P 6 28 14 ^s 5	N 4 ^h 43 ^m 0 ^s 5 N 4 45 35 P 4 34 44 P 4 33 17 ^s 5 P 4 35 38	K_2 6 ^h 47 ^m 30 ^s D 6 32 40 K_2 6 47 56			
		Gemeinsame Angabe.					
		K_1 6 46 31 ^s 1 P 6 28 42 ^s 3	N 4 45 35 ^s 0 P 4 35 11 ^s 9	K_2 6 47 30 ^s 0 D 6 34 34 ^s 1			
4. Februar 1890		Beim Aufziehen.					
		K_1 6 ^h 36 ^m 44 ^s P 6 19 39 ^s 5	N 4 ^h 39 ^m 40 ^s 5 N 4 38 21 ^s 5 P 4 30 5 P 4 30 50 P 4 29 38 ^s 5	K_2 6 ^h 36 ^m 21 ^s D 6 26 15 K_2 6 38 3			
		Gemeinsame Angabe.					
		K_1 6 35 19 ^s 2 P 6 17 31 ^s 1	N 4 38 21 ^s 5 P 4 27 56 ^s 2	K_2 6 36 21 ^s 0 D 6 23 21 ^s 7			
5. Februar 1890		Beim Aufziehen.					
		K_1 6 ^h 38 ^m 37 ^s P 6 23 30	N 4 ^h 45 ^m 40 ^s N 4 40 30 ^s 5 P 4 38 0 P 4 36 54 P 4 35 37 ^s 5	K_2 6 ^h 40 ^m 32 ^s D 6 28 20 K_2 6 40 6			
		Gemeinsame Angabe.					
		K_1 6 39 27 ^s 4 P 6 21 39 ^s 0	N 4 46 30 ^s 5 P 4 30 3 ^s 0	K_2 6 40 32 ^s 0 D 6 27 20 ^s 7			
6. Februar 1890	In See	Beim Aufziehen.					
		K_1 7 ^h 20 ^m 30 ^s P 7 4 41	N 5 ^h 31 ^m 40 ^s N 5 29 50 P 5 23 10 P 5 22 0 P 5 20 40	K_2 7 ^h 19 ^m 48 ^s D 7 9 20 ^s 5 K_2 7 21 6			
		Gemeinsame Angabe.					
		K_1 7 18 40 ^s 3 P 7 0 53 ^s 4	N 5 29 50 ^s 0 P 5 19 21 ^s 8	K_2 7 19 48 ^s 0 D 7 6 12 ^s 7			
7. Februar 1890		Beim Aufziehen.					
		K_1 6 ^h 45 ^m 20 ^s P 6 30 12 ^s 5	N 5 ^h 0 ^m 30 ^s N 5 0 40 P 4 52 34 P 4 51 40 P 4 52 0	K_2 6 ^h 46 ^m 40 ^s 5 D 6 35 8 K_2 6 48 35 ^s 5			
		Gemeinsame Angabe.					
		K_1 6 45 30 ^s 0 P 6 27 49 ^s 0	N 5 0 30 ^s 0 P 4 50 10 ^s 7	K_2 6 46 40 ^s 5 D 6 33 38 ^s 0			

Datum	Ort	Coincidenz K_1N		Coincidenz NK_2			
		FP		PD PK ₂			
8. Februar 1896	Noman Island	Beim Aufziehen.					
		K_1 6 ^h 17 ^m 8 ^s	N 4 ^h 30 ^m 7 ^s	K_2 6 ^h 21 ^m 40 ^s			
		F 6 7 30	N 4 39 20 ⁵	D 6 9 55			
			P 4 33 40 ⁵	K_2 6 22 4			
			P 4 31 21 ⁵				
			P 4 29 20				
		Gemeinsame Angabe.					
		K_1 6 20 27 ⁰	N 4 30 20 ⁵	K_2 6 21 40 ⁰			
		F 6 2 40 ⁷	P 4 28 55 ⁹	D 6 7 29 ⁸			
		Vor der Zeitbestimmung.					
K_1 2 ^h 50 ^m 34 ^s	N 1 ^h 16 ^m 59 ⁵	K_2 3 ^h 0 ^m 40 ^s					
F 2 45 17	N 1 10 52	D 2 49 49					
	P 1 12 58 ⁵	K_2 3 8 0					
	P 1 11 44						
	P 1 10 42						
Gemeinsame Angabe.							
K_1 2 59 20 ⁰ 3	N 1 19 52 ⁰⁰	K_2 3 0 40 ⁰⁰					
F 2 41 39 57	P 1 9 20 ⁷⁸	D 2 47 10 ¹⁶					
Nach der Zeitbestimmung.							
K_1 4 ^h 17 ^m 40 ^s	N 2 ^h 38 ^m 19 ^s	K_2 4 ^h 19 ^m 43 ^s					
F 4 3 37	N 2 39 8	D 4 8 18					
	P 2 31 31 ⁵	K_2 4 24 10					
	P 2 30 23						
	P 2 33 4 ⁵						
Gemeinsame Angabe.							
K_1 4 18 28 ⁵⁷	N 2 39 8 ⁰⁰	K_2 4 19 43 ⁰⁰					
F 4 0 42 ⁷⁵	P 2 28 30 ⁷⁷	D 4 0 32 ⁰⁰					
9. Februar 1896	Noman Island	Beim Aufziehen.					
		K_1 7 ^h 9 ^m 47 ^s	N 6 ^h 32 ^m 54 ⁵	K_2 7 ^h 12 ^m 30 ^s			
		F 6 56 25	N 6 34 22	D 7 1 14			
			P 6 20 40 ⁵	K_2 7 14 10			
			P 6 25 54 ⁵				
			P 6 25 29 ⁵				
		Gemeinsame Angabe.					
		K_1 7 11 14 ³	N 6 34 22 ⁰	K_2 7 12 30 ⁰			
		F 6 53 28 ²	P 6 23 49 ²	D 6 59 17 ⁰			
		Vor der Zeitbestimmung.					
K_1 2 ^h 58 ^m 5 ^s	N 1 ^h 22 ^m 30 ⁵	K_2 2 ^h 59 ^m 44 ^s					
F 2 43 20	N 1 22 53	D 2 48 10					
	P 1 15 4 ⁵	K_2 2 0 0					
	P 1 13 59 ⁵						
	P 1 18 30 ⁵						
Gemeinsame Angabe.							
K_1 2 58 27 44	N 1 22 53 ⁰⁰	K_2 2 59 44 ⁰⁰					
F 2 43 20 ⁰⁰	P 1 12 19 ⁴⁸	D 2 46 30 ²⁵					
Nach der Zeitbestimmung.							
K_1 4 ^h 40 ^m 0 ^s	N 3 ^h 4 ^m 42 ⁵	K_2 4 ^h 43 ^m 0 ^s					
F 4 26 31	N 3 6 26	D 4 30 57					
	P 2 58 26 ⁵	K_2 4 47 0					
	P 2 57 3 ⁵						
	P 2 59 53						
Gemeinsame Angabe.							
K_1 4 41 43 ²²	N 3 6 26 ⁰⁰	K_2 4 43 0 ⁰⁰					
F 4 23 57 ²⁷	P 2 55 52 ³⁵	D 4 20 46 ⁰⁴					

Datum	Ort	Coincident K ₁ N	FP	Coincidents NK ₂	PK ₂			
10. Februar 1890		Beim Aufziehen.						
		K ₁ 6 ^h 33 ^m 30 ^s	N 5 ^h 0 ^m 31 ^s 5	K ₂ 6 ^h 36 ^m 26 ^s				
		F 6 20 20	N 5 2 0 ^s 5 P 4 54 33 P 4 53 42 ^s 5 P 4 55 19	D 6 25 18 K ₂ 6 40 10				
		Gemeinsame Angabe.						
		K ₁ 6 35 7 ^s 7	N 5 2 0 ^s 5 P 4 51 34 ^s 4	K ₂ 6 36 26 0 D 6 23 10 ^s 3				
		Beim Aufziehen.						
		K ₁ 6 ^h 14 ^m 37 ^s	N 4 ^h 44 ^m 35 ^s N 4 40 7 ^s 5 P 4 37 27 P 4 41 9 ^s 5 P 4 37 40 ^s 5	K ₂ 6 ^h 16 ^m 30 ^s D 6 8 50 K ₂ 6 18 40				
		Gemeinsame Angabe.						
		K ₁ 6 16 9 ^s 2	N 4 46 7 ^s 5 P 4 35 30 ^s 1	K ₂ 6 16 30 D 6 3 11 ^s 5				
		11. Februar 1890	Norden Island	Vor der Zeitbestimmung.				
K ₁ 3 ^h 21 ^m 55 ^s	N 1 ^h 54 ^m 24 ^s 5 N 1 55 41 P 1 47 50 ^s 5 P 1 48 13 ^s 5 P 1 50 10 ^s 5			K ₂ 3 ^h 24 ^m 33 ^s D 3 14 24 K ₂ 3 29 40				
Gemeinsame Angabe.								
K ₁ 3 23 11 ^s 20	N 1 55 41 ^s 00 P 1 45 2 ^s 00			K ₂ 3 24 33 00 D 3 11 13 ^s 68				
Nach der Zeitbestimmung.								
K ₁ 4 ^h 9 ^m 50 ^s	N 2 ^h 42 ^m 27 ^s 5 N 2 44 16 P 2 30 25 ^s 5 P 2 30 49 ^s 5 P 2 39 15 5			K ₂ 4 ^h 13 ^m 0 ^s D 4 2 52 K ₂ 4 18 37				
Gemeinsame Angabe.								
K ₁ 4 11 38 ^s 20	N 2 44 16 ^s 00 P 2 33 37 ^s 00			K ₂ 4 13 0 ^s 00 D 3 59 40 ^s 62				
12. Februar 1890				Beim Aufziehen an Bord.				
				K ₁ 6 ^h 48 ^m 0 ^s	N 5 ^h 23 ^m 4 ^s N 5 24 10 ^s 5 P 5 15 0 P 5 17 0 P 5 15 8	K ₂ 6 ^h 50 ^m 30 ^s D 6 40 37 K ₂ 6 52 6 ^s 5		
		Gemeinsame Angabe.						
		K ₁ 6 50 3	N 5 24 10 5 P 5 13 31 ^s 2	K ₂ 6 50 30 ^s 0 D 6 37 8 ^s 8				

Datum	Ort	Coincidenz K ₁ N ₁		Coincidenz N ₂			
		FP		PU PK ₂			
13. Februar 1890	In See	Beim Aufziehen.					
		K ₁ 0 ^h 37 ^m 45 ^s F 6 23 7 ^s 5	N 5 ^h 10 ^m 47 ^s N 5 16 50 P 5 9 15 P 5 9 0 P 5 9 38	K ₂ 0 ^h 39 ^m 20 ^s D 6 28 40 ^s 5 K ₂ 6 42 42			
14. Februar 1890	In See	Gemeinsame Angabe.					
		K ₁ 6 37 54 ^s 0 F 6 20 8 ^s 4	N 5 10 50 ^s 0 P 5 6 15 ^s 4	K ₂ 6 39 30 ^s 0 D 6 25 50 ^s 3			
		Beim Aufziehen.					
		K ₁ 7 ^h 17 ^m 10 ^s 5 P 7 2 8	N 6 ^h 0 ^m 19 ^s 4 N 6 0 27 P 5 52 20 P 5 51 40 P 5 50 10 ^s 5	K ₂ 7 ^h 18 ^m 47 ^s 5 D 7 7 16 K ₂ 7 19 22			
		Gemeinsame Angabe.					
		K ₁ 7 17 18 ^s 5 F 6 59 33 ^s 3	N 6 0 27 ^s 0 P 5 49 44 ^s 9	K ₂ 7 18 47 ^s 5 D 7 5 21 ^s 2			
		Beim Aufziehen.					
		K ₁ 6 ^h 59 ^m 28 ^s F 6 42 40 ^s 5	N 5 ^h 40 ^m 33 ^s N 5 53 55 P 5 30 53 P 5 37 10 P 5 30 30	K ₂ 7 ^h 3 ^m 21 ^s D 6 49 0 K ₂ 7 1 40			
		Gemeinsame Angabe.					
		K ₁ 7 1 40 ^s 8 F 6 44 4 ^s 0	N 5 53 55 ^s 0 N 5 38 11 ^s 3	K ₂ 7 3 21 ^s 0 D 6 49 52 ^s 2			
15. Februar 1890	Hav. Abu Sommer	Vor der Zeitbestimmung.					
		K ₁ 3 ^h 5 ^m 31 ^s F 2 53 33	N 1 ^h 53 ^m 57 ^s N 1 56 4 P 1 49 0 ^s 5 P 1 40 20 ^s 5 P 1 50 23 ^s 5	K ₂ 3 ^h 9 ^m 10 ^s D 2 50 47 K ₂ 3 14 13			
		Gemeinsame Angabe.					
		K ₁ 3 7 37 ^s 05 F 2 49 52 ^s 78	N 1 56 4 ^s 00 P 1 45 19 ^s 08	K ₂ 3 9 10 ^s 00 D 2 55 40 ^s 30			
		Nach der Zeitbestimmung.					
		K ₁ 5 ^h 14 ^m 33 ^s F 5 3 30	N 4 ^h 3 ^m 20 ^s 5 N 4 7 0 ^s 5 P 3 59 19 P 3 59 30 ^s 5 P 4 2 10	K ₂ 5 ^h 19 ^m 45 ^s D 5 4 35 K ₂ 5 25 38			
		Gemeinsame Angabe.					
		K ₁ 5 18 13 ^s 39 F 5 0 27 ^s 53	N 4 7 0 ^s 50 P 3 50 10 ^s 05	K ₂ 5 19 45 ^s 00 D 5 0 15 ^s 10			
16. Februar 1890		Beim Aufziehen.					
		K ₁ 7 ^h 11 ^m 20 ^s F 6 57 0	N 6 ^h 2 ^m 27 ^s N 6 2 45 P 5 55 6 P 5 54 33 P 5 50 4 ^s 5	K ₂ 7 ^h 13 ^m 12 ^s D 7 2 14 K ₂ 7 18 17			
		Gemeinsame Angabe.					
		K ₁ 7 11 37 ^s 9 F 6 53 53 ^s 2	N 6 2 45 ^s 0 P 5 51 50 ^s 7	K ₂ 7 13 12 ^s 0 D 6 59 40 ^s 1			

Datum	Ort	Coincidenz		NK ₂	
		K ₁ N	FP		
PD PK ₂					
16. Februar 1896	Ras Abu Somer	Vor der Zeitbestimmung.			
		K ₁ 3 ^h 33 ^m 5 ^s	N 2 ^h 25 ^m 35 ^s 5 N 2 25 37 P 2 20 7 P 2 18 42 P 2 23 48	K ₂ 3 ^h 37 ^m 41 ^s D 3 25 0 K ₂ 3 43 38	
		F 3 20 38			
		Gemeinsame Angabe.			
		K ₁ 3 36 6 ^m 00 F 3 18 21 ^m 40	N 2 28 37 ^m 00 P 2 17 50 ^m 03	K ₂ 3 37 41 ^m 00 D 3 24 8 ^m 17	
		Nach der Zeitbestimmung.			
17. Februar 1896	In See	K ₁ 4 ^h 42 ^m 5 ^s	N 3 ^h 34 ^m 42 ^s N 3 35 42 P 3 20 50 P 3 28 2 ^s 5 P 3 31 24	K ₂ 4 ^h 44 ^m 35 ^s D 4 34 9 K ₂ 4 51 0	
		F 4 27 10			
		Gemeinsame Angabe.			
		K ₁ 4 42 59 ^m 85 F 4 25 15 ^m 20	N 3 35 42 ^m 00 P 3 24 54 ^m 94	K ₂ 4 44 35 ^m 00 D 4 31 1 ^m 99	
		Beim Aufziehen.			
		K ₁ 6 ^h 30 ^m 22 ^s 9 F 6 14 33 ^s 5	N 5 ^h 25 ^m 0 ^s N 5 25 23 P 5 16 30 P 5 15 20 P 5 15 0	K ₂ 6 ^h 32 ^m 0 ^s D 6 10 10 K ₂ 6 32 25	
18. Februar 1896		Gemeinsame Angabe.			
		K ₁ 6 30 22 ^m 9 F 6 12 33 ^m 7	N 5 25 23 ^m 0 P 5 14 34 ^m 9	K ₂ 6 32 0 ^m 0 D 6 18 25 ^m 0	
		Beim Aufziehen.			
		K ₁ 6 ^h 31 ^m 40 ^s F 6 16 33 ^s 5	N 5 ^h 30 ^m 40 ^s N 5 30 50 P 5 22 30 P 5 20 49 P 5 22 51	K ₂ 6 ^h 33 ^m 30 ^s D 6 20 40 ^s 5 K ₂ 6 30 20	
		Gemeinsame Angabe.			
		K ₁ 6 31 40 ^m 0 F 6 14 6 ^m 4	N 5 30 50 ^m 0 P 5 20 0 ^s 5	K ₂ 6 33 30 ^m 0 D 6 10 52 ^m 1	
19. Februar 1896	Shadwan	Beim Aufziehen an Bord.			
		K ₁ 6 ^h 9 ^m 40 ^s F 5 55 32 ^s 5	N 5 ^h 12 ^m 36 ^s N 5 14 0 P 5 5 21 P 5 5 14 P 5 3 30 ^s 5	K ₂ 6 ^h 12 ^m 46 ^s 5 D 6 1 10 ^s 5 K ₂ 6 13 8	
		Gemeinsame Angabe.			
		K ₁ 6 11 3 ^m 8 F 5 53 20 ^m 8	N 5 14 0 ^m 0 P 5 3 8 ^m 9	K ₂ 6 12 46 ^m 5 D 5 50 5 ^m 8	
		Vor der Zeitbestimmung.			
		K ₁ 3 ^h 18 ^m 7 ^s F 3 4 37	N 2 ^h 22 ^m 34 ^s 5 N 2 24 44 P 2 15 56 P 2 15 9 P 2 24 43	K ₂ 3 ^h 22 ^m 0 ^s D 3 9 35 K ₂ 3 27 50	
Gemeinsame Angabe.					
K ₁ 3 20 16 ^m 15 F 3 2 33 ^m 29	N 2 24 44 ^m 00 P 2 13 52 ^m 05	K ₂ 3 22 0 ^m 00 D 3 8 18 ^m 20			

Datum	Ort	Coincident K ₁ N		Coincidenz NK ₂				
		FP		PD PK ₂				
19. Februar 1896		Nach der Zeitbestimmung.						
		K ₁ 5 ^h 9 ^m 22 ^s	N 4 ^h 14 ^m 8 ^s	K ₂ 5 ^h 11 ^m 30 ^s				
		F 4 53 30	N 4 14 32	D 4 58 16				
			P 4 4 8	K ₂ 5 14 50				
			P 4 7 6.5					
		Gemeinsame Angabe.						
		K ₁ 5 9 45.93	N 4 14 32.00	K ₂ 5 11 30.00				
		F 4 53 3.21	P 4 3 39.50	D 4 57 48.04				
			Beim Aufziehen.					
K ₁ 6 ^h 42 ^m 10 ^s	N 5 ^h 49 ^m 11.75	K ₂ 6 ^h 45 ^m 24 ^s						
F 6 28 40	N 5 50 40	D 6 32 10						
	P 5 42 31	K ₂ 6 49 10						
	P 5 40 10.5	D 6 32 10						
	P 5 43 33	K ₂ 6 49 10						
Gemeinsame Angabe.								
K ₁ 6 43 38.3	N 5 50 40.0	K ₂ 6 45 24.0						
F 6 25 55.8	P 5 39 40.4	D 6 31 40.0						
20. Februar 1896	Shadwan	Vor der Zeitbestimmung.						
		K ₁ 3 ^h 30 ^m 4 ^s	N 2 ^h 38 ^m 33.5	K ₂ 3 ^h 33 ^m 53 ^s				
		F 3 16 0	N 2 40 36	D 3 22 57				
			P 2 32 18	K ₂ 3 44 56				
			P 2 32 31	D 3 22 57				
			P 2 35 45.5	K ₂ 3 44 56				
		Gemeinsame Angabe.						
		K ₁ 3 32 6.17	N 2 40 36.00	K ₂ 3 33 53.00				
		F 3 14 23.95	P 2 29 41.52	D 3 20 7.98				
21. Februar 1896	In See	Nach der Zeitbestimmung.						
		K ₁ 4 ^h 38 ^m 63 ^s	N 3 ^h 47 ^m 44 ^s	K ₂ 4 ^h 43 ^m 47 ^s				
		F 4 27 1	N 3 50 41.5	D 4 32 31.5				
			P 3 42 30.5	K ₂ 4 53 29				
			P 3 42 17	D 4 32 31.5				
			P 3 49 30.5	K ₂ 4 53 29				
		Gemeinsame Angabe.						
		K ₁ 4 42 0.02	N 3 50 41.50	K ₂ 4 43 47.00				
		F 4 24 17.87	P 3 39 40.02	D 4 32 31.50				
22. Februar 1896		Beim Aufziehen.						
		K ₁ 6 ^h 30 ^m 6 ^s 5	N 5 ^h 39 ^m 17 ^s	K ₂ 6 ^h 28 ^m 07 ^s				
		F 6 13 41	N 5 39 0	D 6 19 17.5				
			P 5 31 27	K ₂ 6 30 0.5				
			P 5 31 20	D 6 19 17.5				
			P 5 30 4.5	K ₂ 6 30 0.5				
		Gemeinsame Angabe.						
		K ₁ 6 29 49.5	N 5 39 0.0	K ₂ 6 28 0.5				
		F 6 10 18.8	P 5 28 4.2	D 6 16 2.7				
		Beim Aufziehen.						
		K ₁ 6 ^h 25 ^m 30 ^s	N 5 ^h 40 ^m 29 ^s	K ₂ 6 ^h 27 ^m 33 ^s				
		F 6 8 17.5	N 5 40 40	D 6 14 27				
			P 5 30 0	K ₂ 6 29 20				
			P 5 30 27	D 6 14 27				
			P 5 31 29.5	K ₂ 6 29 20				
		Gemeinsame Angabe.						
		K ₁ 6 25 41.0	N 5 40 40.0	K ₂ 6 27 33.0				
		F 6 7 59.7	P 5 20 42.2	D 6 13 42.3				

Datum	Ort	Coincidenz		Coincidenz	NK ₂		
		K ₁ N	FP			PD PK ₂	
22. Februar 1890		Vor der Zeitbestimmung.					
		K ₁ 3 ^h 23 ^m 22 ^s	N 2 ^h 30 ^m 50 ^s 5	K ₂ 3 ^h 25 ^m 40 ^s			
		F 3 8 18 ^s 5	N 2 40 15 ^s 5	D 3 13 30			
			P 2 31 30	K ₂ 3 28 43			
			P 2 31 5				
			P 2 32 20 ^s 5				
		Gemeinsame Angabe.					
		K ₁ 3 23 40 ^s 93	N 2 40 15 ^s 50	K ₂ 3 25 40 ^s 00			
		F 3 0 5 ^s 86	P 2 29 17 ^s 00	D 3 11 48 ^s 30			
		Nach der Zeitbestimmung.					
		K ₁ 4 ^h 53 ^m 35 ^s	N 4 ^h 10 ^m 18 ^s 5	K ₂ 5 ^h 56 ^m 57 ^s			
		F 4 39 13 ^s 5	N 4 11 47 ^s 5	D 4 44 16			
	P 4 2 40	K ₂ 5 0 38					
	P 4 2 0						
	P 4 4 30 ^s 5						
Gemeinsame Angabe.							
K ₁ 4 55 3 ^s 70	N 4 11 47 ^s 50	K ₂ 5 56 57 ^s 00					
F 4 37 22 ^s 70	P 4 0 48 ^s 90	D 4 43 5 ^s 00					
23. Februar 1890	Suez an Bord	Beim Aufziehen.					
		K ₁ 6 ^h 13 ^m 20 ^s	N 5 ^h 32 ^m 16 ^s 5	K ₂ 6 ^h 17 ^m 25 ^s			
		F 5 50 44	N 5 34 27	D 6 2 4			
			P 5 23 22	K ₂ 6 17 35			
			P 5 22 0				
			P 5 23 37 ^s 5				
		Gemeinsame Angabe.					
		K ₁ 6 15 30 ^s 1	N 5 34 27 ^s 0	K ₂ 6 17 25 ^s 0			
		F 5 57 49 ^s 3	P 5 23 27 ^s 5	D 6 3 31 ^s 3			
		Beim Aufziehen.					
		K ₁ 6 ^h 25 ^m 43 ^s	N 5 ^h 48 ^m 40 ^s 8	K ₂ 6 ^h 27 ^m 51 ^s 5			
		F 6 10 1 ^s 5	N 5 48 52	D 6 15 24			
	P 5 39 39	K ₂ 6 28 10					
	P 5 39 20						
	P 5 38 9						
Gemeinsame Angabe.							
K ₁ 6 25 54 ^s 0	N 5 48 52 ^s 0	K ₂ 6 27 51 ^s 5					
F 6 8 13 ^s 2	P 5 37 50 ^s 4	D 6 13 55 ^s 0					
24. Februar 1890		Beim Aufziehen.					
		K ₁ 6 ^h 52 ^m 30 ^s	N 6 ^h 19 ^m 32 ^s 8	K ₂ 6 ^h 53 ^m 34 ^s 5			
		F 6 30 10	N 6 18 36	D 6 42 30			
			P 6 9 49	K ₂ 6 54 0			
			P 6 10 28 ^s 5				
			P 6 7 58				
		Gemeinsame Angabe.					
		K ₁ 6 51 34 ^s 2	N 6 18 36 ^s 0	K ₂ 6 53 34 ^s 5			
		F 6 33 53 ^s 8	P 6 7 32 ^s 4	D 6 39 34 ^s 4			
		Beim Aufziehen.					
		K ₁ 6 ^h 0 ^m 17 ^s	N 5 ^h 31 ^m 10 ^s	K ₂ 6 ^h 3 ^m 30 ^s			
		F 5 46 7 ^s 5	N 5 32 20 ^s 5	D 5 50 3			
	P 5 23 36	K ₂ 6 5 30					
	P 5 21 30 ^s 5						
	P 5 23 15						
Gemeinsame Angabe.							
K ₁ 6 1 27 ^s 3	N 5 32 20 ^s 5	K ₂ 6 3 30 ^s 0					
F 5 43 40 ^s 6	P 5 21 14 ^s 7	D 5 49 27 ^s 3					

Datum	Ort	Coincidenz K_1N		Coincidenz NK_2			
		FP		PD PK ₂			
27. Februar 1890		Beim Aufziehen.					
		K_1 6 ^h 21 ^m 30 ^s	N 5 ^h 56 ^m 47 ^s	K_2 6 ^h 24 ^m 15 ^s			
		F 6 7 20	N 5 57 0	D 6 14 51			
			P 5 48 49	K_2 6 29 45.5			
			P 5 50 40				
			P 5 51 19				
		Gemeinsame Angabe.					
		K_1 6 22 8.9	N 5 57 6.0	K_2 6 24 15.0			
		F 6 4 29.1	P 5 45 57.0	D 6 10 9.4			
		28. Februar 1890		Beim Aufziehen.			
K_1 6 ^h 21 ^m 24 ^s	N 6 ^h 0 ^m 20 ^s			K_2 6 ^h 26 ^m 20 ^s			
F 6 7 25.5	N 6 3 8			D 6 13 50.5			
	P 5 52 53			K_2 6 29 11.5			
	P 5 53 37						
	P 5 54 50						
Gemeinsame Angabe.							
K_1 6 24 11.5	N 6 3 8.0			K_2 6 26 20.0			
F 6 6 30.7	P 5 51 58.0			D 6 12 11.8			
29. Februar 1890				Beim Aufziehen.			
		K_1 7 ^h 5 ^m 30.5	N 6 ^h 48 ^m 33 ^s	K_2 7 ^h 10 ^m 15 ^s			
		F 6 51 55.5	N 6 51 7	D 7 0 20			
			P 6 41 25	K_2 7 15 1			
			P 6 44 12				
			P 6 44 42				
		Gemeinsame Angabe.					
		K_1 7 8 4.1	N 6 51 7.0	K_2 7 10 15.0			
		F 6 50 23.0	P 6 39 55.2	D 7 0 20.0			
		1. März 1890	Suez an Bord	Beim Aufziehen.			
K_1 6 ^h 30 ^m 40 ^s	N 6 ^h 17 ^m 37 ^s			K_2 6 ^h 33 ^m 10 ^s			
F 6 15 20	N 6 17 53			D 6 23 36.5			
	P 6 8 44			K_2 6 39 40			
	P 6 11 20						
	P 6 13 10						
Gemeinsame Angabe.							
K_1 6 30 56.0	N 6 17 53.0			K_2 6 33 10.0			
F 6 13 15.3	P 6 6 38.9			D 6 18 56.2			
2. März 1890				Beim Aufziehen.			
		K_1 6 ^h 5 ^m 0 ^s	N 5 ^h 55 ^m 53 ^s	K_2 6 ^h 8 ^m 35 ^s			
		F 5 49 26	N 5 57 11	D 5 56 20			
			P 5 46 43.5	K_2 6 8 55			
			P 5 47 57				
			P 5 46 15				
		Gemeinsame Angabe.					
		K_1 6 6 17.8	N 5 57 11.0	K_2 6 8 35.0			
		F 5 48 37.5	P 5 45 54.9	D 5 54 18.2			
				Vor der Zeitbestimmung.			
K_1 3 ^h 11 ^m 4 ^s	N 3 ^h 3 ^m 28 ^s			K_2 3 ^h 14 ^m 12 ^s			
F 2 56 47	N 3 4 18			D 3 1 50			
	P 2 55 34.5			K_2 3 19 30			
	P 2 54 56.5						
	P 2 58 19.5						
Gemeinsame Angabe.							
K_1 3 11 53.80	N 3 4 18.00			K_2 3 14 11.00			
F 2 54 13.50	P 2 53 0.64			D 2 59 54.45			

Datum	Or t	Coincidenz		Coincidenz			
		$K_1 N$	FP	NK_2	PD PK ₂		
2. März 1895		Nach der Zeitbestimmung.					
		K_1 5 ^h 14 ^m 8 ^s	N 5 ^h 6 ^m 52 ^s 5	K_2 5 ^h 18 ^m 44 ^s			
		F 5 1 14	N 5 9 10 ^s 5 P 5 0 22 P 4 59 33 P 5 1 17 ^s 5	D 5 6 6 K_2 5 22 8			
Gemeinsame Angabe.							
		K_1 5 16 25 ^s 62	N 5 9 10 ^s 50	K_2 5 18 44 ^s 00			
		F 4 58 45 ^s 35	P 4 57 52 ^s 95	D 5 4 20 ^s 21			
3. März 1896	Suez an Bord	Beim Aufziehen.					
		K_1 6 ^h 33 ^m 27 ^s	N 6 ^h 28 ^m 0 ^s N 6 27 27 ^s 5 P 6 17 5 P 6 19 52 P 6 19 39 ^s 5	K_2 6 ^h 34 ^m 50 ^s D 6 24 13 K_2 6 38 20			
		Gemeinsame Angabe.					
		K_1 6 32 30 ^s 1	N 6 27 27 ^s 5 P 6 16 8 ^s 9	K_2 6 34 50 ^s 0 D 6 20 30 ^s 5			
		F 6 14 50 ^s 1					
4. März 1896		Beim Aufziehen.					
		K_1 5 ^h 59 ^m 50 ^s	N 5 ^h 58 ^m 42 ^s N 6 0 50 P 5 50 10 5 P 5 49 51 P 5 50 50	K_2 6 ^h 4 ^m 30 ^s D 5 50 12 K_2 6 5 40			
		Gemeinsame Angabe.					
		K_1 6 1 57 ^s 6	N 6 0 50 ^s 0 P 5 49 38 ^s 8	K_2 6 4 20 ^s 0 D 5 49 57 ^s 9			
		F 5 44 17 ^s 4					
	Ras Mallap	Beim Aufziehen.					
		K_1 6 ^h 48 ^m 0 ^s	N 6 ^h 51 ^m 0 ^s N 6 51 5 ^s 5 P 6 41 51 P 6 42 37 P 6 41 11 ^s 5	K_2 6 ^h 51 ^m 20 ^s D 6 39 0 K_2 6 52 0			
		Gemeinsame Angabe.					
		K_1 6 48 54 ^s 8	N 6 51 5 ^s 5 P 6 40 31 ^s 4	K_2 6 51 20 ^s 0 D 6 39 54 ^s 7			
		F 6 31 14 ^s 6					
5. März 1896		Vor der Zeitbestimmung.					
		K_1 3 ^h 31 ^m 10 ^s	N 3 ^h 35 ^m 37 ^s N 3 35 61 ^s 5 P 3 39 25 P 3 28 45 ^s 5 P 3 32 38	K_2 3 ^h 37 ^m 0 ^s D 3 23 42 K_2 3 42 0			
		Gemeinsame Angabe.					
		K_1 3 34 33 ^s 94	N 3 38 61 ^s 50 P 3 27 37 ^s 18	K_2 3 37 0 ^s 00 D 3 22 33 ^s 87			
	Ras Abu Zenina	F 3 16 53 ^s 47					
		Nach der Zeitbestimmung.					
		K_1 4 ^h 40 ^m 14	N 4 ^h 44 ^m 52 ^s 5 N 4 46 5 ^s 5 P 4 35 28 P 4 38 5 P 4 42 34 ^s 5	K_2 4 ^h 43 ^m 53 ^s D 4 32 50 K_2 4 51 45			
		Gemeinsame Angabe.					
		K_1 4 41 26 ^s 80	N 4 46 5 ^s 5 P 4 34 41 ^s 21	K_2 4 43 53 D 4 20 20 ^s 77			
		F 4 23 40 ^s 34					

Datum	Ort	Coincidenz K_1N		Coincidenz NK_2			
		FP		PD PK ₂			
6. März 1896	Ras. Abu Zenima	Beim Aufziehen.					
		K_1 6 ^h 50 ^m 40	N 6 ^h 57 ^m 40 ^s	K_2 6 ^h 55 ^m 0 ^s			
		F 6 36 4	N 6 50 32 ^s P 6 49 21 ^s P 6 51 29 ^s P 6 51 10 ^s	D 6 43 54 K_2 6 58 10			
		Gemeinsame Angabe.					
		K_1 6 52 32 ^s F 6 34 51 ^s 7	N 6 50 32 ^s P 6 49 7 ^s	K_2 6 55 0 ^s 0 D 6 40 32 ^s 1			
		Vor der Zeitbestimmung.					
		K_1 3 ^h 29 ^m 40 ^s	N 3 ^h 38 ^m 6 ^s 5 N 3 39 42 P 3 29 4 P 3 29 25 ^s P 3 33 46 ^s 5	K_2 3 ^h 33 ^m 44 ^s			
		F 3 14 23		D 3 20 25 K_2 3 39 14			
		Gemeinsame Angabe.					
		K_1 3 31 15 ^s 24 F 3 13 34 73	N 3 39 42 ^s 00 P 3 28 15 60	K_2 3 33 44 ^s 00 D 3 19 15 ^s 29			
		Nach der Zeitbestimmung.					
		K_1 4 ^h 32 ^m 34 ^s	N 4 ^h 41 ^m 11 ^s N 4 43 40 ^s 5 P 4 32 47 ^s 5 P 4 36 8 ^s 5 P 4 38 24	K_2 4 ^h 37 ^m 32 ^s			
		F 4 17 56		D 4 26 57 K_2 4 43 41			
		Gemeinsame Angabe.					
		K_1 4 35 3 ^s 00 F 4 17 22 58	N 4 41 40 ^s 50 P 4 32 13 09	K_2 4 37 32 ^s 00 D 4 23 3 ^s 13			
7. März 1896	In See	Beim Aufziehen.					
		K_1 6 ^h 26 ^m 0 ^s	N 6 ^h 36 ^m 50 ^s N 6 38 55 ^s 5 P 6 29 14 P 6 29 5 P 6 27 0	K_2 6 ^h 30 ^m 30 ^s			
		F 6 12 45		D 6 17 36 K_2 6 30 2			
		Gemeinsame Angabe.					
		K_1 6 27 50 ^s 2 F 6 10 18 9	N 6 38 55 ^s 5 P 6 27 28 ^s 1	K_2 6 30 30 ^s 0 D 6 15 59 ^s 4			
		Beim Aufziehen.					
		K_1 6 ^h 54 ^m 44 ^s	N 7 ^h 9 ^m 44 ^s 5 N 7 8 44 ^s 5 P 7 0 40 P 7 0 28 P 6 57 15 ^s 4	K_2 6 ^h 56 ^m 18 ^s			
		F 6 39 38		D 6 44 56 ^s 5 K_2 6 56 42 ^s 5			
		Gemeinsame Angabe.					
		K_1 6 53 44 ^s 2 F 6 36 4 ^s 0	N 7 8 44 ^s 5 P 6 57 15 ^s 4	K_2 6 56 18 ^s 0 D 6 41 44 ^s 4			
		Vor der Zeitbestimmung.					
		K_1 3 ^h 42 ^m 39 ^s	N 3 ^h 50 ^m 7 ^s 5 N 4 1 19 P 3 51 4 ^s 5 P 3 50 20 ^s 5 P 3 53 32 ^s 5	K_2 3 ^h 47 ^m 25 ^s			
		F 3 29 25		D 3 33 28 K_2 3 51 8			
		Gemeinsame Angabe.					
		K_1 3 44 50 ^s 14 F 3 27 9 77	N 4 1 19 ^s 00 P 3 49 48 ^s 90	K_2 3 47 25 ^s 00 D 3 32 50 ^s 50			
8. März 1896	Tor	Beim Aufziehen.					
		K_1 6 ^h 54 ^m 44 ^s	N 7 ^h 9 ^m 44 ^s 5 N 7 8 44 ^s 5 P 7 0 40 P 7 0 28 P 6 57 15 ^s 4	K_2 6 ^h 56 ^m 18 ^s			
		F 6 39 38		D 6 44 56 ^s 5 K_2 6 56 42 ^s 5			
		Gemeinsame Angabe.					
		K_1 6 53 44 ^s 2 F 6 36 4 ^s 0	N 7 8 44 ^s 5 P 6 57 15 ^s 4	K_2 6 56 18 ^s 0 D 6 41 44 ^s 4			
		Vor der Zeitbestimmung.					
		K_1 3 ^h 42 ^m 39 ^s	N 3 ^h 50 ^m 7 ^s 5 N 4 1 19 P 3 51 4 ^s 5 P 3 50 20 ^s 5 P 3 53 32 ^s 5	K_2 3 ^h 47 ^m 25 ^s			
		F 3 29 25		D 3 33 28 K_2 3 51 8			
		Gemeinsame Angabe.					
		K_1 3 44 50 ^s 14 F 3 27 9 77	N 4 1 19 ^s 00 P 3 49 48 ^s 90	K_2 3 47 25 ^s 00 D 3 32 50 ^s 50			

Datum	Ort	Concordanz K_1N	Concordanz NK_2
		FP	PD PK ₂
8. März 1890		Nach der Zeitbestimmung.	
		K_1 4 ^h 57 ^m 38 ^s F 4 44 52	N 5 ^h 14 ^m 19 ^s N 5 17 30 ^s P 5 7 44 P 5 9 12 ^s P 5 10 11 K_2 5 ^h 3 ^m 30 ^s D 4 52 1 K_2 5 7 34
		Gemeinsame Angabe.	
9. März 1890	Tur	K_1 5 0 54 ^m 06 ^s F 4 43 14 00	N 5 17 30 ^s 50 ^s P 5 6 6 ^m 33 ^s K_2 5 3 30 ^m 00 ^s D 4 48 55 ^m 34 ^s
		Beim Aufziehen.	
		K_1 7 ^h 7 ^m 7 ^s F 6 53 44	N 7 ^h 26 ^m 07 ^s N 7 25 15 ^s P 7 18 50 P 7 16 31 P 7 17 34 ^s K_2 7 ^h 8 ^m 50 ^s D 6 57 0 K_2 7 12 40
		Gemeinsame Angabe.	
		K_1 7 6 13 1 F 6 48 32 ^m 8 ^s	N 7 25 15 ^s P 7 13 43 ^m 9 ^s K_2 7 8 50 ^m 0 ^s D 6 54 13 ^m 4 ^s
		Vor der Zeitbestimmung.	
		K_1 3 ^h 34 ^m 35 ^s F 3 20 16	N 3 ^h 55 ^m 2 ^s N 3 50 40 ^s P 3 40 51 ^s P 3 48 15 P 3 51 38 K_2 3 ^h 38 ^m 51 ^s D 3 27 20 K_2 3 45 20
		Gemeinsame Angabe.	
		K_1 3 36 13 ^m 23 ^s F 3 18 32 ^m 7 ^s	N 3 50 40 ^m 50 ^s P 3 45 7 ^m 93 ^s K_2 3 38 51 ^m 00 ^s D 3 24 13 ^m 44 ^s
		Nach der Zeitbestimmung.	
		K_1 4 ^h 55 ^m 20 ^s F 4 42 11	N 5 ^h 16 ^m 07 ^s N 5 18 54 P 5 9 0 P 5 10 23 ^s P 5 11 48 K_2 5 ^h 0 ^m 51 ^s D 4 49 15 K_2 5 5 17
		Gemeinsame Angabe.	
		K_1 4 58 13 ^m 03 ^s F 4 40 32 ^m 50 ^s	N 5 18 54 ^m 00 ^s P 5 7 21 ^m 29 ^s K_2 5 0 51 ^m 00 ^s D 4 40 13 ^m 29 ^s
10. März 1890		Beim Aufziehen.	
		K_1 6 ^h 58 ^m 0 ^s F 6 43 0	N 7 ^h 21 ^m 1 ^s N 7 51 58 P 7 12 7 ^s P 7 11 37 P 7 13 17 ^s K_2 7 ^h 1 ^m 36 ^s D 6 48 10 K_2 7 4 30
		Gemeinsame Angabe.	
11. März 1890		K_1 5 58 50 ^m 8 ^s F 6 41 10 ^m 3 ^s	N 7 21 58 ^m 0 ^s P 7 10 23 ^s K_2 7 1 36 ^m 5 ^s D 6 40 50 ^m 7 ^s
		Beim Aufziehen.	
		K_1 6 ^h 48 ^m 1 ^s F 6 33 0	N 7 ^h 15 ^m 0 ^s N 7 15 16 ^s P 7 6 3 ^s P 7 7 13 ^s P 7 9 44 K_2 6 ^h 51 ^m 0 ^s D 6 39 50 K_2 6 57 43
		Gemeinsame Angabe.	
		K_1 6 48 17 ^s F 6 30 36 ^m 9 ^s	N 7 15 16 ^s P 7 3 40 ^m 0 ^s K_2 6 51 0 ^m 0 ^s D 6 36 17 ^m 1 ^s

Datum	Ort	Coincidenz K_1N		Coincidenz NK_2			
		FP		PD PK ₂			
12. März 1896	In See	Beim Aufstehen.					
		K_1 6 ^h 22 ^m 35 ^s 5 P 6 5 13	N 6 ^h 53 ^m 30 ^s N 6 52 50 P 6 42 10 P 6 44 17 P 6 42 31	K_2 6 ^h 24 ^m 41 ^s D 6 13 0 K_2 6 20 0			
		Gemeinsame Angabe.					
		K_1 6 21 55 ^s 6 P 6 4 15 ^s 0	N 6 52 50 ^s 0 P 6 41 11 ^s 8	K_2 6 24 41 ^s 0 D 6 9 55 ^s 3			
13. März 1896	Ras Gharib	Beim Aufstehen.					
		K_1 6 ^h 55 ^m 50 ^s P 6 41 0	N 7 ^h 30 ^m 50 ^s N 7 31 0 P 7 22 1 P 7 20 10 P 7 23 20	K_2 6 ^h 38 ^m 48 ^s 5 D 6 44 50 K_2 7 2 45			
		Gemeinsame Angabe.					
		K_1 6 56 0 ^s 0 P 6 38 10 ^s 2	N 7 31 0 ^s 0 P 7 19 10 ^s 8	K_2 6 58 48 ^s 5 D 7 2 48 ^s 0			
		Vor der Zeitbestimmung.					
		K_1 3 ^h 38 ^m 0 ^s P 3 21 53	N 4 ^h 14 ^m 27 ^s N 4 15 7 ^s 5 P 4 4 20 P 4 6 4 ^s 5 P 4 8 52 ^s 5	K_2 3 ^h 41 ^m 30 ^s D 3 20 18 K_2 3 40 55			
		Gemeinsame Angabe.					
		K_1 3 38 40 ^s 39 P 3 20 59 ^s 77	N 4 15 7 ^s 50 P 4 3 20 ^s 61	K_2 3 41 30 ^s 00 D 3 20 40 ^s 55			
		Nach der Zeitbestimmung.					
		K_1 4 ^h 34 ^m 57 ^s P 4 22 26	N 5 ^h 11 ^m 33 ^s 5 N 5 12 58 P 5 5 3 P 5 3 37 P 5 7 12	K_2 4 ^h 39 ^m 11 ^s D 4 26 41 K_2 4 45 5			
		Gemeinsame Angabe.					
		K_1 4 36 21 ^s 27 P 4 18 46 ^s 65	N 5 12 58 ^s 00 P 5 1 17 ^s 03	K_2 4 39 11 ^s 00 D 4 24 21 ^s 41			
14. März 1896		Beim Aufstehen.					
		K_1 6 ^h 50 ^m 45 ^s P 6 30 40	N 7 ^h 29 ^m 44 ^s N 7 32 13 P 7 21 38 P 7 22 0 P 7 21 16	K_2 6 ^h 50 ^m 0 ^s D 6 42 47 ^s 5 K_2 6 56 50			
		Gemeinsame Angabe.					
		K_1 6 52 8 ^s 6 P 6 35 23 ^s 1	N 7 32 13 ^s 0 P 7 20 30 ^s 9	K_2 6 56 0 ^s 0 D 6 41 13 ^s 7			
		Vor der Zeitbestimmung.					
		K_1 3 ^h 27 ^m 48 ^s P 3 12 45	N 4 ^h 8 ^m 13 ^s N 4 10 20 P 3 59 8 P 4 0 2 ^s 5 P 4 4 41	K_2 3 ^h 32 47 D 3 19 20 K_2 3 38 50			
		Gemeinsame Angabe.					
		K_1 3 29 54 ^s 65 P 3 12 14 ^s 10	N 4 10 20 ^s 00 P 3 58 37 ^s 02	K_2 3 32 47 ^s 00 D 3 17 54 ^s 75			

Datum	Or t	Coincidenz K ₁ N ₁		Coincidenz K ₂			
		FP		PD PK ₂			
14. März 1896	Ras Gharib	Nach der Zeitbestimmung.					
		K ₁ 5 ^h 0 ^m 51 ^s F 4 49 40	N 5 ^h 41 ^m 31 ^s 5 N 5 44 43 ^s 5 P 5 36 19 P 5 34 11 P 5 39 55 ^s 5	K ₂ 5 ^h 6 ^m 55 ^s D 4 53 13 D 5 13 40			
15. März 1896	Ras Gharib	Gemeinsame Angabe.					
		K ₁ 5 4 2 ^s 47 F 4 40 21 ^s 91	N 5 44 43 ^s 50 P 5 33 0 ^s 37	K ₂ 5 6 55 ^s 00 D 4 52 2 ^s 50			
		Beim Aufziehen.					
		K ₁ 6 ^h 51 ^m 21 ^s F 6 37 44	N 7 ^h 34 ^m 20 ^s N 7 35 35 P 7 26 40 P 7 26 48 P 7 24 1	K ₂ 6 ^h 55 ^m 30 ^s D 6 43 32 ^s 5 D 6 55 40			
		Gemeinsame Angabe.					
		K ₁ 6 52 35 ^s 8 F 6 34 55 ^s 5	N 7 35 35 ^s 0 P 7 23 51 ^s 0	K ₂ 6 55 30 ^s 0 D 6 40 36 ^s 0			
16. März 1896	In See	Beim Aufziehen.					
		K ₁ 6 ^h 52 ^m 1 ^s F 6 36 56	N 7 ^h 39 ^m 0 ^s N 7 40 20 P 7 29 50 P 7 33 34 P 7 30 24 ^s 5	K ₂ 6 ^h 56 ^m 18 ^s D 6 46 20 D 6 58 8			
		Gemeinsame Angabe.					
		K ₁ 6 53 20 ^s 8 F 6 35 40 ^s 4	N 7 40 20 ^s 0 P 7 28 34 ^s 2	K ₂ 6 56 18 ^s 0 D 6 41 21 ^s 0			
		Beim Aufziehen an Bord.					
		K ₁ 6 ^h 17 ^m 7 ^s F 6 0 44	N 7 ^h 8 ^m 4 ^s 5 N 7 8 4 ^s 5 P 6 57 30 P 6 57 39 ^s 5 P 6 59 36	K ₂ 6 ^h 20 ^m 52 ^s D 6 6 34 K ₂ 6 23 30			
		Gemeinsame Angabe.					
		K ₁ 6 17 51 ^s 9 F 6 0 11 ^s 7	N 7 8 4 ^s 5 P 6 56 57 ^s 6	K ₂ 6 20 52 ^s 0 D 6 5 52 ^s 2			
17. März 1896	Zafarana	Vor der Zeitbestimmung.					
		K ₁ 3 ^h 45 ^m 30 ^s F 3 31 15	N 4 ^h 37 ^m 57 ^s 15 N 4 38 26 ^s 5 P 4 29 35 P 4 27 45 P 4 32 28	K ₂ 3 ^h 49 ^m 0 ^s D 3 35 6 K ₂ 3 49 49			
		Gemeinsame Angabe.					
		K ₁ 3 45 58 ^s 91 F 3 28 18 ^s 54	N 4 38 26 ^s 50 P 4 26 38 ^s 06	K ₂ 3 49 0 ^s 00 D 3 33 59 ^s 24			
		Nach der Zeitbestimmung.					
		K ₁ 5 ^h 6 ^m 28 ^s F 4 53 15	N 5 ^h 59 ^m 9 ^s N 6 0 43 P 5 51 48 ^s 5 P 5 49 45 ^s 5 P 5 55 42 ^s 5	K ₂ 5 ^h 11 ^m 3 ^s D 4 56 53 K ₂ 5 17 50			
		Gemeinsame Angabe.					
		K ₁ 5 8 1 ^s 74 F 4 50 21 ^s 37	N 6 0 43 ^s 00 P 5 48 54 ^s 39	K ₂ 5 11 3 ^s 00 D 4 56 2 ^s 03			

Datum	Ort	Coincidenz		Coincidenz		NK ₂	
		K ₁ N	FP	PD	FK ₂		
18. März 1896	Zafarana	Beim Aufziehen.					
		K ₁ 6 ^h 10 ^m 37 ^s	N 7 ^h 5 ^m 28 ^s 5	K ₂ 6 ^h 14 ^m 32 ^s			
		F 5 55 0	N 7 6 21			D 6 0 8	
			P 6 55 42 ^s 5			K ₂ 6 17 30	
			P 6 55 10				
			P 6 57 29 ^s 5				
		Gemeinsame Angabe.					
		K ₁ 6 11 29 ^s 4	N 7 0 21 ^s 0	K ₂ 6 14 32 ^s 0			
		F 5 53 48 ^s 7	P 6 54 31 ^s 0	D 5 59 29 ^s 1			
		Vor der Zeitbestimmung.					
19. März 1896	Zafarana	K ₁ 3 ^h 49 ^m 9 ^s	N 4 ^h 45 ^m 36 ^s 5	K ₂ 3 ^h 52 ^m 57 ^s			
		F 3 34 42	N 4 46 21			D 3 40 55	
			P 4 37 0			K ₂ 3 57 59	
			P 4 37 32 ^s 5				
			P 4 39 33				
		Gemeinsame Angabe.					
		K ₁ 3 49 53 ^s 38	N 4 46 21 ^s 00	K ₂ 3 52 57 ^s 00			
		F 3 32 12 ^s 59	P 4 34 30 ^s 18	D 3 37 53 ^s 18			
		Nach der Zeitbestimmung.					
		K ₁ 5 ^h 4 ^m 20 ^s	N 6 ^h 1 ^m 0 ^s	K ₂ 5 ^h 8 ^m 59 ^s			
20. März 1896	Suez an Bord	F 4 50 29	N 6 2 35 ^s 5				
			P 5 52 59 ^s 5			D 4 56 39	
			P 5 53 29			K ₂ 5 14 34	
			P 5 56 20 ^s 5				
		Gemeinsame Angabe.					
		K ₁ 5 5 55 ^s 24	N 6 2 35 ^s 50	K ₂ 5 8 59 ^s 00			
		F 4 48 14 ^s 40	P 5 50 44 ^s 59	D 4 53 55 ^s 04			
		Beim Aufziehen.					
		K ₁ 6 ^h 13 ^m 15 ^s	N 7 ^h 12 ^m 6 ^s 5	K ₂ 6 ^h 19 ^m 30 ^s			
		F 5 59 30	N 7 14 22 ^s 5			D 6 4 5	
20. März 1896	Suez an Bord		P 7 4 10 ^s 5			K ₂ 6 20 55	
			P 7 3 5				
			P 7 4 49 ^s 5				
		Gemeinsame Angabe.					
		K ₁ 6 15 30 ^s 6	N 7 14 22 ^s 5	K ₂ 6 19 36 ^s 0			
		F 5 57 49 ^s 9	P 7 2 30 ^s 1	D 6 3 30 ^s 2			
		Beim Aufziehen.					
		K ₁ 7 ^h 10 ^m 0 ^s	N 8 ^h 13 ^m 0 ^s 5	K ₂ 7 ^h 14 ^m 0 ^s			
		F 6 54 0	N 8 13 52 ^s 5			D 6 59 20	
			P 8 2 47 ^s 5			K ₂ 7 15 40	
	P 8 2 27						
	P 8 3 38 ^s 5						
Gemeinsame Angabe.							
K ₁ 7 10 51 ^s 9	N 8 13 52 ^s 5	K ₂ 7 14 0 ^s 0					
F 6 53 10 ^s 8	P 8 1 48 ^s 2	D 6 58 51 ^s 3					
Vor der Zeitbestimmung.							
K ₁ 3 ^h 41 ^m 34 ^s	N 4 ^h 45 ^m 49 ^s 5	K ₂ 3 ^h 48 ^m 2 ^s					
F 3 28 45	N 4 49 19			D 3 37 35			
	P 4 38 57 ^s 5			K ₂ 3 53 37			
	P 4 42 7 ^s 5						
	P 4 43 0						
Gemeinsame Angabe.							
K ₁ 3 44 52 ^s 60	N 4 49 19 ^s 00	K ₂ 3 48 2 ^s 00					
F 3 27 11 ^s 84	P 4 37 24 09	D 3 32 52 ^s 36					

Datum	Ort	Coincidenz K_1N		Coincidenz NK_2	
		FP		PD PK ₂	
Nach der Zeitbestimmung.					
20. März 1890		K_1 5 ^h 2 ^m 48 ^s	N 0 ^h 7 ^m 27 ^s	K_2 5 ^h 2 ^m 10 ^s	
		F 4 50 27	N 0 8 40	D 4 53 29	
			P 0 0 53	K_1 5 13 30	
			P 5 58 14		
Gemeinsame Angabe.					
21. März 1890		K_1 5 4 0 ^s 80	N 0 8 40 ^s 00	K_2 5 7 10 ^s 00	
		F 4 40 10 ^s 05	P 5 50 44 ^s 97	D 4 52 0 ^s 21	
Beim Aufziehen.					
21. März 1890		K_1 6 ^h 56 ^m 4 ^s	N 8 ^h 3 ^m 17 ^s	K_2 7 ^h 0 ^m 50 ^s	
		F 0 42 7	N 8 4 37	D 6 48 30	
			P 7 54 50 ^s 5		
		K_1 0 58 48	P 7 55 33		
Gemeinsame Angabe.					
22. März 1890	Suez an Bord	K_1 0 57 39 ^s 2	N 8 4 37 ^s 0	K_2 7 0 50 ^s 0	
		F 0 39 57 ^s 9	P 7 52 41 ^s 0	D 0 45 38 ^s 5	
Beim Aufziehen.					
22. März 1890		K_1 6 ^h 30 ^m 31 ^s	N 7 ^h 41 ^m 24 ^s	K_2 6 ^h 35 ^m 15 ^s	
		F 6 17 22 ^s 5	N 7 42 54 ^s 5	D 6 22 7	
			P 7 34 0	K_2 0 35 0	
			P 7 33 3 ^s 5		
Gemeinsame Angabe.					
23. März 1890		K_1 6 32 1 ^s 3	N 7 42 54 ^s 5	K_2 0 35 15 ^s 0	
		F 0 14 20 ^s 0	P 7 30 57 ^s 0	D 0 19 0 ^s 8	
Beim Aufziehen.					
23. März 1890		K_1 6 ^h 20 ^m 44 ^s	N 7 ^h 35 ^m 35 ^s 5	K_2 6 ^h 25 ^m 25 ^s	
		F 0 0 17	N 7 37 0	D 0 11 12	
			P 7 20 50	K_2 0 20 10	
			P 7 20 4		
Gemeinsame Angabe.					
24. März 1890		K_1 0 22 8 ^s 3	N 7 37 0 ^s 0	K_2 0 25 25 ^s 0	
		F 0 4 27 ^s 2	P 7 24 50 ^s 0	D 0 10 8 ^s 1	
Beim Aufziehen.					
24. März 1890		K_1 6 ^h 20 ^m 38 ^s	N 7 ^h 45 ^m 30 ^s	K_2 6 ^h 31 ^m 15 ^s	
		F 0 10 28 ^s 5	N 7 46 47 ^s 5	D 0 10 50	
			P 7 35 0	K_2 0 32 45	
			P 7 35 40 ^s 5		
Gemeinsame Angabe.					
24. März 1890		K_1 0 27 55 ^s 3	N 7 40 47 ^s 5	K_2 0 31 15 ^s 0	
		F 0 10 14 ^s 3	P 7 34 45 ^s 4	D 0 35 55 ^s 4	

Datum	Ort	Coincidenz		Coincidenz	NK ₂
		FP	PD PK ₂		
25. März 1890		Beim Aufziehen.			
		K ₁ 6 ^h 22 ^m 15 ^s	N 7 ^h 45 ^m 6 ^s	K ₂ 6 ^h 26 ^m 5 ^s	
		F 6 0 10	N 7 45 33.5 P 7 34 44 P 7 36 37.5 P 7 34 10.5	D 6 13 50 K ₂ 6 26 53	
		Gemeinsame Angabe.			
		K ₁ 6 22 42.4 F 6 5 1.6	N 7 45 33.5 P 7 33 20.4	K ₂ 6 26 5.0 D 6 10 42.4	
26. März 1890		Beim Aufziehen.			
		K ₁ 6 ^h 25 ^m 30 ^s	N 7 ^h 52 ^m 21 ^s 5 N 7 52 40 P 7 41 36.5 P 7 43 45.5 P 7 41 40.0	K ₂ 6 ^h 29 ^m 20 ^s	
		F 6 9 10		D 6 17 0 K ₂ 6 30 20	
		Gemeinsame Angabe.			
		K ₁ 6 25 54.4 F 6 8 13.5	N 7 52 40.0 P 7 40 30.8	K ₂ 6 29 20.0 D 6 13 54.8	
27. März 1890		Beim Aufziehen.			
		K ₁ 6 ^h 21 ^m 43 ^s	N 7 ^h 52 ^m 33 ^s 5 N 7 54 32.5 P 7 44 15 P 7 43 32.5 P 7 43 14.5	K ₂ 6 ^h 27 ^m 10 ^s	
		F 6 7 51		D 6 12 50 K ₂ 6 28 0	
		Gemeinsame Angabe.			
		K ₁ 6 23 41.7 F 6 0 0.7	N 7 54 32.5 P 7 42 24.4	K ₂ 6 27 10.0 D 6 11 42.1	
28. März 1890	Suez	Beim Aufziehen.			
		K ₁ 6 ^h 25 ^m 31 ^s	N 8 ^h 0 ^m 21 ^s 5 N 8 1 9.5 P 7 52 12.5 P 7 50 10.5 P 7 49 40	K ₂ 6 ^h 29 ^m 30 ^s	
		F 6 11 50		D 6 15 36 K ₂ 6 30 30	
		Gemeinsame Angabe.			
		K ₁ 6 26 18.9 F 6 8 37.9	N 8 1 9.5 P 7 48 59.0	K ₂ 6 29 50.0 D 6 14 19.6	
29. März 1890		Beim Aufziehen.			
		K ₁ 6 ^h 32 ^m 15 ^s	N 8 ^h 11 ^m 6 ^s 5 N 8 11 24.5 P 8 0 30.5 P 8 0 40.5 P 8 0 12.5	K ₂ 6 ^h 36 ^m 7 ^s	
		F 6 16 10		D 6 22 10 K ₂ 6 37 7	
		Gemeinsame Angabe.			
		K ₁ 6 32 32.0 F 6 14 52.0	N 8 11 24.5 P 7 59 12.3	K ₂ 6 30 7.0 D 6 20 33.1	
29. März 1890		Vor der Zeitbestimmung.			
		K ₁ 3 ^h 30 ^m 20 ^s	N 5 ^h 10 ^m 41 ^s N 5 11 9 P 5 0 47.5 P 4 59 27 P 5 3 54	K ₂ 3 ^h 34 ^m 20 ^s	
		F 3 14 58		D 3 19 20 K ₂ 3 39 20	
		Gemeinsame Angabe.			
		K ₁ 3 30 44.03 F 3 13 3.09	N 5 11 6.00 P 4 58 53.18	K ₂ 3 34 20.00 D 3 18 46.27	

Datum	Ort	Coincidenz K_1N		Coincidenz NK_2			
		FP		PD PK ₂			
29. März 1895	Suez an Bord	Nach der Zeitbestimmung.					
		K_1 5 ^h 21 ^m 28 ^s P 5 7 0	N 7 ^h 2 ^m 27 ^s N 7 4 5 ^s P 0 53 8 P 0 54 50 P 0 57 37 ^s	K_2 5 ^h 27 ^m 1 ^s D 5 14 24 K_2 5 32 45			
		Gemeinsame Angabe.					
		K_1 5 25 25 ^m 08 ^s P 5 5 44 ^m 27 ^s	N 7 4 5 ^m 50 ^s P 0 51 52 ^m 50 ^s	K_2 5 27 1 ^m 00 ^s D 5 11 27 ^m 04 ^s			
30. März 1896	Suez an Bord	Beim Aufziehen.					
		K_1 6 ^h 26 ^m 40 ^s P 6 12 15	N 8 ^h 9 ^m 30 ^s N 8 11 53 ^s P 8 0 33 P 8 2 40 P 8 2 30 ^s	K_2 6 ^h 32 ^m 40 ^s D 6 20 10 K_2 6 35 30			
		Gemeinsame Angabe.					
		K_1 6 20 3 ^m 1 ^s P 6 11 22 1	N 8 11 53 ^s P 7 59 40 ^m 0 ^s	K_2 6 32 40 ^m 0 ^s D 6 17 4 ^m 5 ^s			
31. März 1896	In See	Beim Aufziehen.					
		K_1 6 ^h 35 ^m 15 ^s P 6 21 30	N 8 ^h 22 ^m 55 ^s N 8 24 22 ^s P 8 13 47 ^s P 8 14 25 P 8 12 26 ^s	K_2 6 ^h 41 ^m 11 ^s D 6 27 50 K_2 6 41 30 ^m 0 ^s			
		Gemeinsame Angabe.					
		K_1 6 37 31 ^m 0 ^s P 6 19 50 ^m 2 ^s	N 8 24 22 ^s P 8 12 7 ^m 4 ^s	K_2 6 41 11 ^m 0 ^s D 6 25 32 ^m 8 ^s			
1. April 1896	In See	Beim Aufziehen.					
		K_1 6 ^h 21 ^m 32 ^s P 6 5 43	N 8 ^h 12 ^m 19 ^s 5 N 8 13 21 ^s P 8 1 56 P 8 2 40 P 8 1 30	K_2 6 ^h 20 ^m 10 ^s D 6 12 10 K_2 6 20 50			
		Gemeinsame Angabe.					
		K_1 6 22 33 ^m 8 ^s P 6 4 52 ^m 0 ^s	N 8 13 21 ^s P 8 1 4 ^m 9 ^s	K_2 6 20 16 ^m 0 ^s D 6 10 35 ^m 2 ^s			
2. April 1896	In See	Beim Aufziehen.					
		K_1 6 ^h 17 ^m 20 ^s P 6 5 30	N 8 ^h 12 ^m 0 ^s N 8 14 41 ^s P 8 5 41 ^s P 8 5 27 ^s P 8 2 41	K_2 6 ^h 23 ^m 40 ^s D 6 11 0 K_2 6 23 57			
		Gemeinsame Angabe.					
		K_1 6 19 55 ^m 1 ^s P 6 2 13 ^m 0 ^s	N 8 14 41 ^s P 8 2 24 0	K_2 6 23 40 ^m 0 ^s D 6 7 57 ^m 0 ^s			
3. April 1896	In See	Beim Aufziehen.					
		K_1 6 ^h 24 ^m 35 ^s P 6 9 49	N 8 ^h 23 ^m 21 ^s 5 N 8 23 0 P 8 14 0 P 8 13 32 P 8 13 0	K_2 6 ^h 28 ^m 1 ^s D 6 15 6 K_2 6 30 19			
		Gemeinsame Angabe.					
		K_1 6 24 13 ^m 0 ^s P 6 0 31 ^m 1 ^s	N 8 23 0 ^m 0 ^s P 8 10 41 ^m 0 ^s	K_2 6 28 1 ^m 0 ^s D 6 12 10 ^m 1 ^s			

Datum	Ort	Coincidenz K_1N		Coincidenz NK_2					
		FP		PD PK ₂					
4. April 1890		Beim Aufziehen.							
		K_1 6 ^h 25 ^m 0 ^s	N 8 ^h 27 ^m 40 ^s		K_2 6 ^h 31 ^m 40 ^s				
		P 6 11 30	N 8 30 36.5						
			P 8 19 30		D 6 17 20				
			P 8 19 44		K_2 6 17 20				
			P 8 19 0						
		Gemeinsame Angabe.							
		K_1 6 27 50.0	N 8 30 30.5		K_2 6 31 40.0				
		P 6 10 7.1	P 8 18 10.9		D 6 15 53.1				
		Vor der Zeitbestimmung.							
		K_1 3 ^h 20 ^m 2 ^s	N 5 ^h 24 ^m 17 ^s		K_2 3 ^h 25 ^m 41 ^s				
		P 3 5 40	N 5 26 5.5						
	P 5 15 18.5		D 3 12 29						
	P 5 16 21		K_2 3 12 57						
	P 5 21 2.5								
Gemeinsame Angabe.									
K_1 3 21 50.20	N 5 26 5.50		K_2 3 25 41.00						
P 3 4 7.06	P 5 13 45.31		D 3 9 53.74						
		Nach der Zeitbestimmung.							
		K_1 5 ^h 14 ^m 20 ^s	N 7 ^h 18 ^m 54 ^s		K_2 5 ^h 21 ^m 0 ^s				
		P 5 0 9	N 7 21 43.5						
			P 7 10 0.5		D 5 7 20				
			P 7 11 31		K_2 5 28 50				
			P 7 17 14.5						
		Gemeinsame Angabe.							
		K_1 5 17 9.04	N 7 21 43.50		K_2 5 21 0.00				
		P 4 59 25.84	P 7 9 23.22		D 5 5 12.57				
		5. April 1890	Mersa Dahab	Beim Aufziehen.					
				K_1 7 ^h 0 ^m 53 ^s	N 9 ^h 7 ^m 44.5		K_2 7 ^h 6 ^m 57 ^s		
				P 6 4 ^h 11	N 9 9 50.5				
	P 9 0 25.5				D 6 52 0				
	P 8 58 27				K_2 7 8 50				
	P 8 59 28.5								
Gemeinsame Angabe.									
K_1 7 3 4.6	N 9 9 50.5				K_2 7 6 57.0				
P 6 45 21.2	P 8 57 35.2				D 6 51 8.3				
Beim Aufziehen.									
K_1 7 ^h 0 ^h 30 ^s	N 9 ^h 11 ^m 21 ^s				K_2 7 ^h 5 ^m 26 ^s				
P 6 45 30	N 9 12 22.5								
	P 9 1 37.5		D 6 51 30						
	P 9 1 54.5		K_2 7 8 46						
	P 9 3 20								
Gemeinsame Angabe.									
K_1 7 1 31.3	N 9 12 22.5		K_2 7 5 26.0						
P 6 43 47.2	P 8 59 59.4		D 6 49 35.2						
6. April 1890		Vor der Zeitbestimmung.							
		K_1 3 ^h 38 ^m 30 ^s	N 5 ^h 51 ^m 7 ^s		K_2 3 ^h 44 ^m 30 ^s				
		P 3 24 0	N 5 52 52						
			P 5 41 38.5		D 3 30 27				
			P 5 42 17		K_2 3 51 6				
			P 5 47 5.5						
		Gemeinsame Angabe.							
		K_1 3 40 34.71	N 5 52 52.00		K_2 3 44 30.00				
		P 3 22 50.11	P 5 40 28.42		D 3 28 38.72				

Datum	Ort	Coincidenz K_1, N		Coincidenz NK_2			
		FP		PD PK ₂			
6. April 1896	Mersa Dahab	Nach der Zeitbestimmung.					
		K_1 4 ^h 51 ^m 5 ^s	N 7 ^h 3 ^m 34 ^s	K_2 4 ^h 57 ^m 20 ^s			
		F 4 30 20	N 7 5 54 P 0 54 10 ^s P 0 55 18 P 7 0 43 ^s 5	D 4 43 10 K_2 5 4 32			
		Gemeinsame Angabe.					
		K_1 4 53 24 ^s 62 F 4 35 39 ^s 04	N 7 5 54 ^s 00 P 0 35 30 ^s 33	K_2 4 57 20 ^s 00 D 4 44 28 ^s 02			
7. April 1896	Mersa Dahab	Beim Aufziehen.					
		K_1 6 ^h 34 ^m 20 ^s	N 8 ^h 40 ^m 0 ^s N 8 50 19 ^s 5 P 8 43 1 ^s 5 P 8 40 25 P 8 40 15 ^s 5	K_2 6 ^h 39 ^m 30 ^s			
		F 6 22 54		D 6 26 7 K_2 6 41 50			
		Gemeinsame Angabe.					
		K_1 6 35 33 ^s 3 F 6 17 48 ^s 4	N 8 50 19 ^s 5 P 8 37 55 ^s 1	K_2 6 39 20 ^s 0 D 6 23 27 ^s 5			
8. April 1896	Mersa Dahab	Beim Aufziehen.					
		K_1 6 ^h 35 ^m 14 ^s	N 8 ^h 54 ^m 0 ^s N 8 54 14 P 8 42 35 ^s 5 P 8 44 36 P 8 43 37 ^s 5	K_2 6 ^h 39 ^m 27 ^s			
		F 6 18 30		D 6 26 20 K_2 6 41 16			
		Gemeinsame Angabe.					
		K_1 6 35 28 ^s 0 F 6 17 42 ^s 8	N 8 54 14 0 P 8 41 48 ^s 2	K_2 6 39 27 ^s 0 D 6 23 32 ^s 7			
9. April 1896	Mersa Dahab	Beim Aufziehen.					
		K_1 7 ^h 3 ^m 50 ^s	N 9 ^h 26 ^m 40 ^s N 9 28 0 P 9 16 39 ^s 5 P 9 18 40 P 9 18 55 ^s 5	K_2 7 ^h 9 ^m 11 ^s			
		F 6 48 30		D 6 50 27 K_2 7 12 33			
		Gemeinsame Angabe.					
		K_1 7 5 9 ^s 8 F 6 47 23 ^s 0	N 9 28 0 0 P 9 15 32 ^s 9	K_2 7 9 11 ^s 0 D 6 53 14 ^s 4			
10. April 1896	Mersa Dahab	Beim Aufziehen.					
		K_1 6 ^h 24 ^m 0 ^s	N 8 ^h 50 ^m 42 ^s 5 N 8 52 29 ^s 5 P 8 40 31 P 8 42 30 P 8 42 30	K_2 6 ^h 29 ^m 50 ^s			
		F 6 8 20		D 6 16 28 ^s 5 K_2 6 32 18			
		Gemeinsame Angabe.					
		K_1 6 25 40 ^s 7 F 6 7 59 ^s 7	N 8 52 20 ^s 5 P 8 40 1 ^s 6	K_2 6 29 50 ^s 0 D 6 13 51 ^s 5			
11. April 1896	Mersa Dahab	Beim Aufziehen.					
		K_1 6 ^h 23 ^m 9 ^s	N 8 ^h 53 ^m 50 ^s 5 N 8 56 55 ^s 5 P 8 47 31 P 8 45 48 ^s 5 P 8 46 35 ^s 5	K_2 6 ^h 30 ^m 19 ^s			
		F 6 11 30		D 6 15 40 K_2 6 32 28			
		Gemeinsame Angabe.					
		K_1 6 26 13 ^s 5 F 6 8 25 ^s 0	N 8 56 55 ^s 5 P 8 44 20 ^s 1	K_2 6 30 19 ^s 0 D 6 14 27 ^s 8			

Datum	Ort	Coincidenz $K_1 N$		Coincidenz $N K_2$			
		FP		PD PK ₂			
11. April 1890	Nawib	Vor der Zeitbestimmung.					
		K_1 3 ^h 51 ^m 56 ^s	N 6 ^h 24 ^m 12 ^s	K_2 3 ^h 58 ^m 52 ^s			
		F 3 38 50	N 0 27 2	D 3 45 39			
			P 0 10 25	K_2 4 7 20			
			P 0 17 21.5				
			P 0 23 1.5				
		Gemeinsame Angabe.					
		K_1 3 54 45.54	N 0 27 2.00	K_2 3 58 52.00			
		F 3 30 57.43	P 0 14 32.12	D 3 42 50.08			
		Nach der Zeitbestimmung.					
		K_1 3 ^h 34 ^m 10 ^s	N 8 ^h 0 ^m 43 ^s	K_2 3 ^h 39 ^m 18 ^s			
		F 5 18 30	N 8 7 44.5	D 5 25 28			
			P 7 50 21.5	K_2 5 45 25			
			P 7 57 27				
			P 8 1 22.5				
		Gemeinsame Angabe					
		K_1 5 35 11.33	N 8 7 44.50	K_2 5 39 18.00			
		F 5 17 23.18	P 7 55 14.40	D 5 23 15.86			
12. April 1890	Nawib	Beim Aufziehen.					
		K_1 6 ^h 3 ^m 48 ^s	N 8 ^h 37 ^m 42 ^s	K_2 6 ^h 10 ^m 25 ^s			
		F 5 50 4	N 8 40 55	D 5 57 31.5			
			P 8 30 0	K_2 6 15 4			
			P 8 31 35				
			P 8 33 4				
		Gemeinsame Angabe.					
		K_1 6 0 17.0	N 8 40 55.0	K_2 6 10 25.0			
		F 5 48 28.5	P 8 28 24.2	D 5 54 21.2			
		Vor der Zeitbestimmung.					
		K_1 3 ^h 40 ^m 25 ^s	N 6 ^h 22 ^m 39 ^s	K_2 3 ^h 51 ^m 10 ^s			
		F 3 32 29	N 6 23 15.5	D 3 39 10			
			P 0 14 1.5	K_2 3 59 15			
			P 0 14 49.5				
			P 0 18 50.5				
		Gemeinsame Angabe.					
		K_1 3 47 0.90	N 6 23 15.50	K_2 3 51 10.00			
		F 3 29 12.21	P 0 10 44.18	D 3 35 5.35			
13. April 1890	In See	Nach der Zeitbestimmung.					
		K_1 5 ^h 10 ^m 31 ^s	N 7 ^h 46 ^m 59 ^s	K_2 5 ^h 16 ^m 19 ^s			
		F 4 56 30	N 7 48 38.5	D 5 3 38			
			P 7 38 16.5	K_2 5 24 38			
			P 7 39 31.5				
			P 7 44 27.5				
		Gemeinsame Angabe.					
		K_1 5 12 9.73	N 7 48 38.50	K_2 5 16 19.00			
		F 4 54 21.00	P 7 36 7.15	D 5 0 14.21			
		Beim Aufziehen.					
		K_1 6 ^h 36 ^m 10 ^s	N 9 ^h 14 ^m 52 ^s	K_2 6 ^h 42 ^m 20 ^s			
		F 6 22 5	N 9 16 51	D 6 28 40			
			P 0 0 5	K_2 0 44 40			
			P 0 0 53				
			P 0 0 40.5				
		Gemeinsame Angabe.					
		K_1 6 38 0.2	N 9 16 53.0	K_2 6 42 20.0			
		F 6 20 20.1	P 0 4 20.1	D 0 20 13.5			

Datum	Ort	Coincidenz K_1N		Coincidenz NK_2	
		FP		PD	PK ₂
14. April 1890		Beim Aufziehen.			
		K_1 5 ^h 53 ^m 45 ^s	N 8 ^h 36 ^m 20 ^s	K_2 6 ^h 0 ^m 35 ^s	
		F 5 39 19	N 8 38 57	D 5 47 7	
			P 8 27 10	K_2 6 3 7	
			P 8 29 5		
			P 8 28 50		
		Gemeinsame Angabe.			
		K_1 5 50 21.6	N 8 38 57.0	K_2 6 0 35.0	
		F 5 38 32.7	P 8 26 23.6	D 5 44 20.0	
		Vor der Zeitbestimmung.			
		K_1 4 ^h 27 ^m 20 ^s	N 7 ^h 11 ^m 46 ^s 5	K_2 4 ^h 32 ^m 10 ^s	
		F 4 10 46	N 7 12 22	D 4 17 53	
			P 7 0 21.5	K_2 4 37 15	
			P 7 1 35		
			P 7 4 50.8		
		Gemeinsame Angabe.			
		K_1 4 28 1.40	N 7 12 22.00	K_2 4 32 10.00	
		F 4 10 12.27	P 0 50 47.68	D 4 16 5.97	
15. April 1890	Akabuh	Nach der Zeitbestimmung.			
		K_1 5 ^h 21 ^m 31 ^s	N 8 ^h 0 ^m 07 ^s 5	K_2 5 ^h 26 ^m 50 ^s	
		F 5 7 55	N 8 7 11	D 5 15 20	
			P 7 57 40	K_2 5 35 20	
			P 7 59 11.5		
			P 8 3 2		
		Gemeinsame Angabe.			
		K_1 5 22 41.31	N 8 7 11.00	K_2 5 26 50.00	
		F 5 4 52.13	P 7 54 30.62	D 5 10 45.88	
		Beim Aufziehen.			
		K_1 6 ^h 1 ^m 44 ^s	N 8 ^h 48 ^m 20 ^s 8	K_2 6 ^h 6 ^m 52 ^s 8	
		F 5 46 5.5	N 8 49 12	D 5 53 35	
			P 8 37 56	K_2 6 11 44.5	
			P 8 30 32		
			P 8 41 30		
		Gemeinsame Angabe.			
		K_1 6 2 35.9	N 8 49 12.0	K_2 6 6 52.0	
		F 5 44 46.4	P 8 30 30.7	D 5 50 40.2	
		Vor der Zeitbestimmung.			
		K_1 4 ^h 2 ^m 13 ^s	N 6 ^h 50 ^m 20 ^s 7	K_2 4 ^h 8 ^m 39 ^s 8	
		F 3 47 10	N 6 52 38	D 3 50 21	
			P 6 40 40	K_2 4 17 22	
			P 6 43 57.5		
			P 6 48 46.5		
		Gemeinsame Angabe.			
		K_1 4 4 21.05	N 6 52 38.00	K_2 4 8 39.00	
		F 3 46 32.18	P 6 40 2.08	D 3 52 26.22	
		Nach der Zeitbestimmung.			
		K_1 5 ^h 11 ^m 24 ^s	N 7 ^h 59 ^m 51 ^s 5	K_2 5 ^h 18 ^m 40 ^s	
		F 4 59 35	N 8 2 50.5	D 5 6 0	
			P 7 53 12	K_2 5 27 44	
			P 7 53 48		
			P 7 59 20		
		Gemeinsame Angabe.			
		K_1 5 14 29.51	N 8 2 50.50	K_2 5 18 40.00	
		F 4 56 33.02	P 7 50 14.52	D 5 2 27.10	

Datum	Ort	Coincidenz K_1N		Coincidenz NK_2			
		FP		PD PK ₂			
16. April 1890	Akabab	Beim Aufziehen.					
		K_1 6 ^h 27 ^m 37 ^s	N 9 ^h 18 ^m 17 ^s	K_2 6 ^h 32 ^m 30 ^s			
		P 0 11 0	N 9 18 51				
			P 0 0 53	D 0 19 40			
			P 0 9 30 ^s 5	K_2 6 34 30			
			P 0 8 14 ^s 5				
		Gemeinsame Angabe.					
		K_1 6 28 10 ^s 9	N 9 18 51 ^s 0	K_2 6 32 30 ^s 0			
		P 0 10 21 ^s 3	P 0 0 14 ^s 2	D 0 10 15 ^s 3			
		Vor der Zeitbestimmung.					
		K_1 4 ^h 9 ^m 34 ^s	N 7 ^h 1 ^m 51 ^s	K_2 4 ^h 16 ^m 3 ^s			
		P 4 50 30	N 7 4 0				
			P 0 54 0	D 4 3 20			
			P 0 55 2	K_2 4 24 25			
			P 0 59 40				
		Gemeinsame Angabe.					
		K_1 4 11 42 ^s 05	N 7 4 0 ^s 00	K_2 4 16 3 ^s 00			
		P 4 53 53 ^s 07	P 0 51 22 ^s 04	D 3 59 42 ^s 24			
17. April 1890	Akabab	Nach der Zeitbestimmung.					
		K_1 5 ^h 0 ^m 30 ^s	N 7 ^h 59 ^m 25 ^s	K_2 5 ^h 13 ^m 51 ^s			
		P 5 53 51	N 8 1 57 ^s 5				
			P 7 54 30 ^s 5	D 5 0 43			
			P 7 52 28 ^s 5	K_2 5 22 27			
			P 7 57 57 ^s 5				
		Gemeinsame Angabe.					
		K_1 5 9 30 ^s 52	N 8 1 57 ^s 50	K_2 5 13 51 ^s 00			
		P 5 51 40 ^s 97	P 7 49 20 11	D 4 57 35 ^s 12			
		Beim Aufziehen.					
		K_1 6 ^h 22 ^m 10 ^s	N 9 ^h 16 ^m 55 ^s	K_2 6 ^h 27 ^m 7 ^s			
		P 6 5 20	N 9 17 24				
			P 9 5 10 ^s 5	D 6 13 28			
			P 9 2 24 ^s 5	K_2 6 29 0			
			P 9 6 30				
		Gemeinsame Angabe.					
		K_1 6 22 44 ^s 9	N 9 17 24 ^s 0	K_2 6 27 7 ^s 0			
		P 6 4 55 ^s 3	P 9 4 45 ^s 7	D 6 10 49 ^s 11			
18. April 1890	Bir al Mashiyah	Beim Aufziehen.					
		K_1 6 ^h 9 ^m 29 ^s	N 9 ^h 8 ^m 55 ^s	K_2 6 ^h 16 ^m 10 ^s			
		P 5 50 0	N 9 10 22				
			P 8 50 48	D 0 1 12			
			P 8 50 5	K_2 6 17 21			
			P 8 58 54				
		Gemeinsame Angabe.					
		K_1 6 11 45 ^s 1	N 9 10 22 0	K_2 6 16 10 ^s 0			
		P 5 53 55 ^s 1	P 8 57 42 ^s 8	D 5 59 50 ^s 0			
		Vor der Zeitbestimmung.					
		K_1 3 ^h 52 ^m 59 ^s	N 6 ^h 53 ^m 12 ^s 5	K_2 3 ^h 59 ^m 30			
		P 3 43 43	N 6 55 18				
			P 0 49 8 ^s 5	D 3 46 7			
			P 0 45 30 ^s 5	K_2 4 10 29			
			P 0 53 39				
		Gemeinsame Angabe.					
		K_1 3 55 4 ^s 15	N 6 55 18 ^s 00	K_2 3 59 30 ^s 00			
		P 3 37 13 ^s 78	P 6 42 38 ^s 21	D 3 43 9 ^s 20			

Datum	O r t	Coincidenz		Coincidenz	NK ₂		
		FP				PD PK ₂	
18. April 1890		Nach der Zeitbestimmung.					
		K ₁ 5 ^h 17 ^m 10 ^s	N 8 ^h 17 ^m 43 ^s 5			K ₂ 5 ^h 24 ^m 42 ^s	
		F 5 5 10	N 8 20 44			D 5 13 50	
			P 8 10 49			K ₂ 5 30 10	
			P 8 13 43				
			P 8 19 34				
		Gemeinsame Angabe.					
		K ₁ 5 20 10 ^m 01	N 8 20 44 ^m 00			K ₂ 5 24 42 ^m 00	
		F 5 2 25 58	P 8 8 4 ^m 13			D 5 8 21 05	
		Beim Aufzeihen.					
		K ₁ 6 ^h 43 ^m 0 ^s	N 9 ^h 45 ^m 41 ^s 5			K ₂ 6 ^h 49 ^m 37 ^s	
		F 6 28 45	N 9 47 51 ^s 5				
	P 9 30 36 5			D 6 35 40			
	P 9 37 36			K ₂ 6 52 35			
	P 9 38 8 ^s 5						
Gemeinsame Angabe.							
K ₁ 6 45 9 ^m 0	N 9 47 51 ^s 5			K ₂ 6 49 37 0			
F 6 27 18 ^m 7	P 9 35 10 ^m 0			D 6 33 14 ^m 4			
19. April 1890	Bir al Mashiya	Vor der Zeitbestimmung.					
		K ₁ 4 ^h 55 ^m 40 ^s	N 6 ^h 59 ^m 53 ^s 5			K ₂ 4 ^h 2 ^m 0 ^s	
		F 3 40 9	N 7 1 45 5				
			P 6 49 34 ^s 5			D 3 40 5	
			P 6 52 22			K ₂ 4 8 11	
			P 6 55 15				
		Gemeinsame Angabe.					
		K ₁ 3 57 31 ^m 70	N 7 1 45 ^m 30			K ₂ 4 2 0 ^m 00	
		F 3 30 40 ^m 57	P 6 49 2 ^m 00			D 3 45 36 ^m 50	
		Nach der Zeitbestimmung.					
		K ₁ 5 ^h 22 ^m 35 ^s	N 8 ^h 27 ^m 3 ^s 8			K ₂ 5 ^h 29 ^m 5 ^s 8	
		F 5 10 37	N 8 20 58				
	P 8 20 14 ^s 5			D 5 17 14			
	P 8 20 55 5			K ₂ 5 37 3			
	P 8 24 21 ^s 5						
Gemeinsame Angabe.							
K ₁ 5 25 29 ^m 53	N 8 29 58 ^m 00			K ₂ 5 29 58 ^m 00			
F 5 7 38 ^m 32	P 8 17 15 ^m 33			D 5 13 34 ^m 43			
20. April 1890	In Sea	Beim Aufzeihen.					
		K ₁ 6 ^h 59 ^m 30 ^s	N 10 ^h 6 ^m 14 ^s			K ₂ 7 ^h 4 ^m 20 ^s	
		F 6 42 45	N 10 0 40				
			P 9 54 30 ^s 5			D 6 50 30	
			P 9 56 25 ^s 5			K ₂ 7 4 50	
			P 9 54 20				
		Gemeinsame Angabe.					
		K ₁ 6 59 55 ^m 9	N 10 6 40 ^m 0			K ₂ 7 4 20 0	
		F 6 42 4 5	P 9 53 55 ^m 0			D 6 48 0 ^m 8	
		Beim Aufzeihen.					
		K ₁ 7 ^h 3 ^m 47 ^s	N 10 ^h 14 ^m 31 ^s 5			K ₂ 7 ^h 9 ^m 8 ^s	
		F 6 49 35	N 10 15 20				
	P 10 5 20 ^s 5			D 6 54 0			
	P 10 3 54 ^s 5			K ₂ 7 10 23			
	P 10 3 49 ^s 5						
Gemeinsame Angabe.							
K ₁ 7 4 35 ^m 4	N 10 15 20 0			K ₂ 7 9 8 ^m 0			
F 6 40 45 ^m 3	P 10 2 34 ^m 3			D 6 52 49 ^m 2			

Datum	Ort	Coincidenz K ₁ N		Coincidenz NK ₂			
		FP		PD PK ₂			
22. April 1896	Mujawah	Beim Aufziehen.					
		K ₁ 7 ^h 16 ^m 28 ^s	N 10 ^h 31 ^m 14 ^s	K ₂ 7 ^h 22 ^m 0 ^s			
		F 0 59 57	N 10 32 11	D 7 0 13			
			P 10 19 49	K ₂ 7 23 35.5			
			P 10 20 8				
			P 10 21 0				
		Gemeinsame Angabe.					
		K ₁ 7 17 24.8	N 10 32 11.0	K ₂ 7 22 0.0			
		F 0 59 32.3	P 10 19 24.2	D 7 5 29.3			
		In Sec	Beim Aufziehen.				
	K ₁ 6 ^h 39 ^m 10 ^s		N 9 ^h 57 ^m 49 ^s .5	K ₂ 6 ^h 45 ^m 33 ^s			
	F 0 23 45		N 9 59 35	D 6 31 25			
			P 9 47 30	K ₂ 0 45 40			
			P 9 49 12.5				
Gemeinsame Angabe.							
K ₁ 6 40 55.2	N 9 59 35.0	K ₂ 0 45 33.0					
F 0 23 2.1	P 9 49 47.0	D 0 28 59.0					
23. April 1896		Vor der Zeitbestimmung.					
		K ₁ 4 ^h 4 ^m 40 ^s	N 7 ^h 24 ^m 53 ^s .5	K ₂ 4 ^h 10 ^m 8 ^s			
		F 3 59 21	N 7 25 43	D 3 50 55			
			P 7 14 40	K ₂ 4 15 21			
			P 7 10 10				
			P 7 18 8.5				
		Gemeinsame Angabe.					
		K ₁ 4 5 29.37	N 7 25 43.00	K ₂ 4 10 8.00			
		F 3 47 35.05	P 7 12 54.00	D 3 53 34.21			
		Senafir	Nach der Zeitbestimmung.				
	K ₁ 5 ^h 10 ^m 44 ^s		N 8 ^h 31 ^m 8 ^s .5	K ₂ 5 ^h 17 ^m 3 ^s			
	F 4 55 5		N 8 32 51	D 5 2 51			
			P 8 20 35	K ₂ 5 21 54			
			P 8 22 23				
	P 8 24 52.5						
Gemeinsame Angabe.							
K ₁ 5 12 20.22	N 8 32 51.00		K ₂ 5 17 5.00				
F 4 54 32.79	P 8 20 2.70		D 5 0 31.08				
Beim Aufziehen.							
K ₁ 6 ^h 57 ^m 20 ^s	N 10 ^h 20 ^m 2 ^s		K ₂ 6 ^h 3 ^m 40 ^s				
F 0 42 52.5	N 10 21 42		D 0 48 40				
	P 10 10 40		K ₂ 7 5 50				
	P 10 10 29						
	P 10 11 3.5						
Gemeinsame Angabe.							
K ₁ 6 58 59.7	N 10 21 42.0	K ₂ 6 3 40.0					
F 0 41 5.9	P 10 8 53.1	D 0 47 4.4					
24. April 1896		Vor der Zeitbestimmung.					
		K ₁ 4 ^h 4 ^m 13 ^s	N 7 ^h 28 ^m 20 ^s	K ₂ 4 ^h 10 ^m 27 ^s			
		F 3 49 43	N 7 29 50	D 3 55 49			
			P 7 19 3.5	K ₂ 4 17 0			
			P 7 23 44				
		Gemeinsame Angabe.					
		K ₁ 4 5 45.75	N 7 29 59.00	K ₂ 4 10 27.00			
		F 3 47 51.72	P 7 17 0.02	D 3 53 50.74			

Datum	Ort	Coincidenz K_1N		Coincidenz NK_2			
		FP		PD $1^\circ K_2$			
24. April 1890	Senafir	Nach der Zeitbestimmung.					
		K_1 5 ^h 1 ^m 21 ^s	N 8 ^h 25 ^m 41 ^s 5	K_2 5 ^h 8 ^m 5 ^s			
		F 4 47 0	P 8 10 28	D 4 53 8			
		K_2 5 8 0	P 8 16 37				
			P 8 19 34 ^s 5				
		Gemeinsame Angabe.					
		K_1 5 3 23 ^s 67	N 8 27 40 ^s 50	K_2 5 8 5 ^s 00			
		F 4 45 29 ^s 60	P 8 14 57 ^s 41	D 4 54 28 ^s 08			
		In Seo	Beim Aufziehen.				
	K_1 6 ^h 33 ^m 0 ^s		N 10 ^h 1 ^m 38 ^s	K_2 6 ^h 39 ^m 0 ^s			
	6 19 5		N 10 0 55	D 6 24 30			
			P 9 50 48 ^s 5	K_2 6 40 34			
			P 9 50 14				
			P 9 40 40				
	Gemeinsame Angabe.						
	K_1 6 34 17 ^s 1		N 10 0 55 ^s 0	K_2 6 39 0 ^s 0			
	F 6 10 22 ^s 0		P 9 48 5 ^s 7	D 6 22 22 ^s 1			
	25. April 1890		Vor der Zeitbestimmung.				
K_1 4 ^h 0 ^m 37 ^s			N 7 ^h 28 ^m 49 ^s	K_2 4 ^h 5 ^m 48 ^s			
F 3 44 50			N 7 20 10 ^s 5	D 3 53 51			
			P 7 18 7 ^s 5	K_2 4 13 25			
			P 7 21 9				
			P 7 24 5				
Gemeinsame Angabe.							
K_1 4 4 4 ^s 43			N 7 20 10 ^s 50	K_2 4 5 48 ^s 00			
F 3 43 9 ^s 53			P 7 10 20 ^s 70	D 3 49 9 ^s 53			
Sherm Sheikh auf der Sinai Halbinsel		Nach der Zeitbestimmung.					
		K_1 5 ^h 33 ^m 43 ^s	N 9 ^h 2 ^m 10 ^s 5	K_2 5 ^h 39 ^m 33 ^s			
		F 5 18 44	N 9 3 17	D 5 25 20			
			P 8 57 14	K_2 5 45 37			
			P 8 53 2				
			P 8 50 32				
		Gemeinsame Angabe.					
		K_1 5 34 40 ^s 32	N 9 3 17 ^s 00	K_2 5 39 33 ^s 00			
		F 5 10 54 ^s 30	P 8 50 27 ^s 01	D 5 22 54 ^s 43			
26. April 1890		Beim Aufziehen.					
		K_1 6 ^h 51 ^m 48 ^s	N 10 ^h 22 ^m 28 ^s 5	K_2 6 ^h 58 ^m 4 ^s			
		F 6 36 15	N 10 24 0	D 6 42 55			
			P 10 12 0	K_2 7 1 25			
			P 10 12 39 ^s 5				
			P 10 14 30				
		Gemeinsame Angabe.					
		K_1 6 53 19 ^s 2	N 10 24 0 ^s 0	K_2 6 58 4 0			
		F 6 35 23 5	P 10 11 8 ^s 4	D 6 41 24 ^s 2			
		Vor der Zeitbestimmung.					
		K_1 3 ^h 55 ^m 10 ^s	N 7 ^h 27 ^m 21 ^s	K_2 4 ^h 2 ^m 1 ^s			
		F 3 40 52	N 7 20 27	D 3 48 22			
			P 7 18 7 ^s 5	K_2 4 10 15			
			P 7 19 36 ^s 5				
			P 7 24 50				
		Gemeinsame Angabe.					
		K_1 3 57 15 ^s 00	N 7 20 27 ^s 00	K_2 4 2 1 ^s 00			
		F 3 39 10 ^s 42	P 7 10 34 ^s 07	D 3 45 20 ^s 07			

Datum	Ort	Coincidenz K ₁ N		Coincidenz NK ₂			
		PK ₁		PK ₂			
27. April 1890	Sherm Sheikh	Beim Aufziehen.					
		K ₁ 6 ^h 42 ^m 34 ^s	N 10 ^h 17 ^m 13 ^s	K ₂ 6 ^h 48 ^m 4 ^s			
		F 6 27 7	N 10 17 50.5	D 6 32 53			
			P 10 0 49	K ₂ 6 50 34			
			P 10 0 33				
			P 10 7 29.5				
		Gemeinsame Angabe.					
		K ₁ 6 43 17.4	N 10 17 56.5	K ₂ 6 48 4.0			
		F 6 25 20.4	P 10 5 2.1	D 6 31 22.3			
		Vor der Zeitbestimmung.					
		K ₁ 3 ^h 48 ^m 39 ^s	N 7 ^h 24 ^m 40 ^s	K ₂ 3 ^h 56 ^m 14 ^s			
		F 3 34 4.1	N 7 27 37.5	D 3 42 39			
			P 7 15 50	K ₂ 4 2 30			
	P 7 17 49.5						
	P 7 20 59						
Gemeinsame Angabe.							
K ₁ 3 51 27.04	N 7 27 37.50	K ₂ 3 56 14.00					
F 3 33 20.20	P 7 14 42.00	D 3 39 32.01					
Nach der Zeitbestimmung.							
K ₁ 4 ^h 57 ^m 27 ^s	N 8 ^h 33 ^m 48.5	K ₂ 5 ^h 5 ^m 32 ^s					
F 4 44 6	N 8 37 7	D 3 40 33					
	P 8 25 30.5	K ₂ 5 9 37					
	P 8 24 54.5						
	P 8 28 17						
Gemeinsame Angabe.							
K ₁ 5 0 44.00	N 8 37 7.00	K ₂ 5 5 32.00					
F 4 42 47.05	P 8 24 11.33	D 4 48 40.05					
28. April 1890	in See	Beim Aufziehen.					
		K ₁ 7 ^h 1 ^m 46 ^s	N 10 ^h 40 ^m 28.5	K ₂ 7 ^h 8 ^m 47 ^s			
		F 6 48 20	N 10 42 42	D 6 54 47			
			P 10 32 4	K ₂ 7 8 55			
			P 10 32 27.5				
			P 10 29 52				
		Gemeinsame Angabe.					
		K ₁ 7 3 59.1	N 10 42 42.0	K ₂ 7 8 47.0			
		F 6 40 0.4	P 10 29 44.0	D 6 52 3.0			
		Beim Aufziehen.					
		K ₁ 6 ^h 55 ^m 30 ^s	N 10 ^h 38 ^m 12 ^s	K ₂ 7 ^h 0 ^m 35 ^s			
		F 6 30 14.5	N 10 38 27.5	D 6 45 11			
			P 10 20 57	K ₂ 7 0 58			
	P 10 20 48						
	P 10 25 50						
Gemeinsame Angabe.							
K ₁ 6 55 45.5	N 10 38 27.5	K ₂ 7 0 35.0					
F 6 37 45.0	P 10 25 20.0	D 6 43 50.1					
30. April 1890	Suez	Beim Aufziehen.					
		K ₁ 6 ^h 17 ^m 0 ^s	N 10 ^h 3 ^m 36 ^s	K ₂ 6 ^h 23 ^m 15 ^s			
		F 6 0 50	N 10 5 0	D 6 9 0			
			P 9 52 24.5	K ₂ 6 25 44.5			
			P 9 54 30				
			P 9 54 27				
		Gemeinsame Angabe.					
		K ₁ 6 18 23.8	N 10 5 0.0	K ₂ 6 23 15.5			
		F 6 0 23.2	P 9 51 57.6	D 6 6 28.0			

Datum	Ort	Concidenz		
		K ₁ N	NK ₂	
		PF	PD PK ₂	
1. Mai 1896		Beim Aufsteigen.		
		K ₁ 6 ^h 41 ^m 48 ^s	N 10 ^h 32 ^m 29 ^s	K ₂ 6 ^h 48 ^m 30 ^s
		F 6 27 30 ^s 5	N 10 14 17	D 6 32 40
			P 10 21 9	K ₂ 6 50 37
			P 10 22 12	
			P 10 23 20	
		Gemeinsame Angabe.		
		K ₁ 6 43 35 ^s 7	N 10 34 17 ^s 0	K ₂ 6 48 30 ^s 0
		F 6 25 34 ^s 5	P 10 21 12 ^s 7	D 6 31 40 ^s 6
		Beim Aufsteigen.		
		K ₁ 6 ^h 56 ^m 3	N 10 ^h 50 ^m 47 ^s	K ₂ 7 ^h 3 ^m 4
		F 6 42 50	N 10 52 52	D 6 48 30
			P 10 42 30	K ₂ 7 6 19
			P 10 42 3	
			P 10 43 0 5	
		Gemeinsame Angabe.		
		K ₁ 6 58 7 ^s 7	N 10 52 52 ^s 0	K ₂ 7 3 4 ^s 0
		F 6 40 5 ^s 5	P 10 39 45 ^s 0	D 6 44 12 ^s 4
2. Mai 1896		Vor der Zeitbestimmung.		
		K ₁ 4 ^h 12 ^m 33 ^s	N 8 ^h 8 ^m 50 ^s	K ₂ 4 ^h 17 ^m 59 ^s
		F 3 55 42	N 8 9 19	D 4 4 37
			P 7 50 54	K ₂ 4 23 20
			P 7 59 42	
			P 8 1 33	
		Gemeinsame Angabe.		
		K ₁ 4 13 1 ^s 92	N 8 9 19 ^s 00	K ₂ 4 17 59 ^s 00
		F 3 54 59 ^s 25	P 7 50 11 ^s 13	D 4 1 6 ^s 70
		Nach der Zeitbestimmung.		
		K ₁ 5 ^h 6 ^m 29 ^s	N 9 ^h 2 ^m 55 ^s	K ₂ 5 ^h 12 ^m 22 ^s
		F 4 52 42	N 9 3 31	D 4 58 41
			P 8 54 3 ^s 5	K ₂ 5 17 50
			P 8 53 55	
			P 8 50 12	
		Gemeinsame Angabe.		
		K ₁ 5 7 24 ^s 85	N 9 3 51 ^s 00	K ₂ 5 12 22 ^s 00
		F 4 49 22 ^s 15	P 8 50 43 ^s 10	D 4 55 29 ^s 92
3. Mai 1896	Suez am Lande	Beim Aufsteigen.		
		K ₁ 6 ^h 56 ^m 48 ^s	N 9 ^h 55 ^m 32 ^s 5	K ₂ 7 ^h 3 ^m 20 ^s
		F 6 41 56	N 9 57 12 ^s 5	D 6 48 47
			P 10 45 35	K ₂ 7 5 51
			P 10 40 18 ^s 5	
			P 10 40 28 5	
		Gemeinsame Angabe.		
		K ₁ 6 58 27 ^s 7	N 9 57 12 ^s 5	K ₂ 7 3 20 ^s 0
		F 6 40 24 ^s 3	P 10 44 3 ^s 1	D 6 46 32 ^s 0
		Vor der Zeitbestimmung.		
		K ₁ 4 ^h 11 ^m 3 ^s	N 8 ^h 11 ^m 20 ^s	K ₂ 4 ^h 16 ^m 52 ^s
		F 3 57 5	N 8 12 10	D 4 3 13
			P 8 2 16	K ₂ 4 22 5
			P 8 2 16	
			P 8 4 13 ^s 5	
		Gemeinsame Angabe.		
		K ₁ 4 11 52 ^s 80	N 8 12 10 ^s 00	K ₂ 4 16 52 ^s 00
		F 3 53 40 ^s 10	P 7 58 59 ^s 05	D 3 50 57 ^s 19

Datum	Ort	Coincidenz K_1N		Coincidenz NK_2	
		FP	PD	PK ₂	PK ₁
3. Mai 1890		Nach der Zeitbestimmung.			
		K_1 5 ^h 19 ^m 54 ^s	N 9 ^h 20 ^m 20 ^s 5	K_2 5 ^h 20 ^m 24 ^s	
		P 5 6 10	N 9 21 53 ^s 5		
			P 9 11 32 ^s 5	D 5 12 31 ^s 5	
			P 9 14 20	K_2 5 32 0	
		Gemeinsame Angabe.			
		K_1 5 21 24 75	N 9 21 53 ^s 50	K_2 5 26 24 ^s 00	
		P 5 3 21 03	P 9 8 43 ^s 00	D 5 9 29 ^s 07	
		Beim Aufziehen.			
		K_1 6 ^h 30 ^m 56 ^s	N 10 ^h 30 ^m 37 ^s 5	K_2 6 ^h 44 ^m 38 ^s	
		P 6 22 30	N 10 42 19 ^s 5		
			P 10 30 4 5	D 6 29 20	
4. Mai 1890	Suez am Lande		P 10 30 52 ^s 5	K_2 6 46 32	
		Gemeinsame Angabe.			
		K_1 6 30 37 ^s 6	N 10 42 19 ^s 5	K_2 6 44 38 ^s 0	
		P 6 21 33 ^s 4	P 10 29 7 ^s 7	D 6 27 41 ^s 5	
		Vor der Zeitbestimmung.			
		K_1 4 ^h 51 ^m 30 ^s	N 8 ^h 0 ^m 46 ^s 5	K_2 4 ^h 13 ^m 10 ^s	
		P 3 51 10	N 8 12 25 ^s 5		
			P 8 0 25	D 3 58 24	
			P 8 1 24 ^s 5	K_2 4 17 9	
		Gemeinsame Angabe.			
		K_1 4 8 8 ^s 50	N 8 12 25 ^s 50	K_2 4 13 10 ^s 00	
		P 3 50 4 ^s 00	P 7 50 12 80	D 3 50 12 ^s 72	
		Nach der Zeitbestimmung.			
		K_1 5 ^h 17 ^m 20 ^s	N 9 ^h 21 ^m 48 ^s 5	K_2 5 ^h 22 ^m 42 ^s	
		P 5 0 35	N 9 22 9		
			P 9 0 55 ^s 5	D 5 7 56	
			P 9 11 8	K_2 5 27 19	
			P 9 11 34		
5. Mai 1890		Gemeinsame Angabe.			
		K_1 5 17 40 44	N 9 22 9 ^s 00	K_2 5 22 42 ^s 00	
		P 4 59 35 ^s 92	P 9 8 50 ^s 26	D 5 5 44 ^s 62	
		Beim Aufziehen.			
		K_1 6 ^h 33 ^m 32 ^s	N 10 ^h 40 ^m 13 ^s 5	K_2 6 ^h 40 ^m 15 ^s	
		P 6 18 10	N 10 41 54		
			P 10 29 43	D 6 25 55	
			P 10 31 10 ^s 3	K_2 6 41 0	
			P 10 39 25 ^s 5		
		Gemeinsame Angabe.			
		K_1 6 35 12 ^s 2	N 10 41 54 ^s 0	K_2 6 40 15 ^s 0	
		P 6 17 7 ^s 11	P 10 28 40 ^s 4	D 6 23 16 ^s 3	

Beispiel der Berechnung der Zeitbestimmungen.

Die Beobachtung zu Akaba am 16. April 1896 ergibt als Differenz zwischen der Summe der Libellen-Ablesungen im Westen und der der Ablesungen im Osten +7.1 Libellentheilstriche für den Polarstern, welcher Betrag auch beim Zeitstern angewendet wird, da bei der Einstellung auf diesen die Libelle wegen

der zu geringen Zeitdistanz nicht aufzusetzen war; bei Ocular West ergeben sich die Differenzen der Libellenlesungen mit $+5.9$ für den Polarstern, mit $+10.3$ für ζ Hydrae. Mit diesen Beträgen und mit dem in der Einleitung angegebenen Parswerte der Libelle 21.20 steht die Rechnung nach Reducirung der Seitenfäden auf den Mittelfaden unter Anwendung der Bezeichnung, die in den Döllner'schen »Éphémérides« gebraucht wird, wie folgt:

Akaba, 16. April 1890.

O. O. δ Cancri				O. W. ζ Hydrae			
$+7.1$				$+5.9$			
7^h	0^m	20^s	-0.015	N	e	7^h	10^m
7	10	34.00	$87^{\circ} 0' 55''$	S_0	K_0	20	42.33
	$+0.28$		$+2.2$	β_0	β_0		$+0.41$
	$+0.03$		$+1.8$	E	$\frac{e}{100}$		$+0.02$
7^h	10^m	35.21	$87^{\circ} 0' 59''$	S	K	7^h	20^m
8	37	43.43	$1.21.1$	T	A	8	$47.49.40$
$T-S = +1^h 27^m 8.22s = +12.8^s$				$K-A = 88^{\circ} 22' 0'' = N+17.3^{\circ}$			
$T-S \sin = +1.27$				$K-A = 207.22.16 = N-17.4^{\circ}$			
$c = -0.540$				$e = -0.401$			
$n = +1^h 27^m 7.53$				$N = 88^{\circ} 22' 8''$			
um $7^h 15^m$ Chronometer-Zeit.							

Tabelle II.

Zeitbestimmungen.

Bei der Kreislesung steht in der oberen Zeile die Angabe des Meridians I, in der unteren die von II, u. zw. voran die Minuten, dann die Sekunden bei Einstellung des rechten Fadenpaares auf den messenden Theilstrich, zuletzt die Sekunden bei Einstellung des linken Fadenpaares auf den vorangehenden Theilstrich – entsprechend dem 3. Absatz von unten, Seite 3.

Die Fadenantriebe der ersten Hälfte des Netzes sind in der linken, die der zweiten Hälfte in der rechten Hälfte der Spalte angeführt und die Minute bezieht sich auf den ersten Faden.

Datum	Or t	Ocular	Libelle		Einstellung des Polarsternes Kreislesung	Zeitstern	Ocular	Libelle		Einstellung des Polarsternes Kreislesung	Zeitstern
			West	Ost				West	Ost		
21. October 1895	Suez	Ost	9.0	14.5	18h 17m 5"	δ cygni. 18h 2"	West	12.2	11.0	18h 27m 4"	α aquilae. 18h 30m
			0.2	17.3		4.3 55.0		13.0	10.3		20.1 —
					85° 0'	10.0 7.3				205° 0'	11.0 —
						16.0 —					44.0 —
						22.4 10.0					19.5 —
						28.4 25.2					43.4 —
		West				40.0 31.2	Ost	12.0	10.3	4.2 20.5	Mittelfaden —
					4 11.3 30.3	Mittelfaden 47.2		11.5	11.5	3.5 5.5	23.0 —
					4 18.5 44.0						
			aus der Zeitbestimmung $+0.02$				Nordpunkt				Uhrstand um 18h 20m
			» » Kreisablesung — 0.10				83° 42' 14.7				$+1^h 10^m 51.24$
			11.0	12.5	18h 35m 2"	γ aquilae. 18h 37m	15.0	9.3	18h 47.1 40'	δ aquilae. 18h 51m	
			11.8	11.8		50.8 —	13.0	10.8		20.4 —	
		West			205° 0'	0.0 —	Ost			85° 0'	37.0 18.0
						47.1 —					— 20.0
						9.5 —					54.0 —
						50.1 —					
					3 51.0 10.5	Mittelfaden —	14.0	10.3	3.2 5.0	50 31.8 45.8	
					3 45.3 8.0		10.3	8.2	3.3 31.8	45.8	
aus der Zeitbestimmung $+0.7200$				Nordpunkt				Uhrstand um 18h 45m			
Collimation » » Kreisablesung — 1.538				81° 41' 33"				$+1^h 10^m 51.24$			

Datum	Ort	Ocular	Libelle		Einstellung des Polarsternes Kreislesung	Zeitstern	Ocular	Libelle		Einstellung des Polarsternes Kreislesung	Zeitstern				
			West	Ost				West	Ost						
22. October 1895		Ost	10° 2' 7" S	12° 0' 14" N	18° 18' 30"	δ eygn. 18° 22"	West	11° 4' 14" S	11° 2' 8" N	18° 27' 18"	α equinox. 18° 30"				
			4' 5" 55' 8"	10' 5" 7' 5"	20° 0' 3' 0"	— 11' 4"									
			22' 0" 19' 0"	28' 7" —	35' 4" —	— 20' 3"									
			40' 7" 31 0"	Mittelfaden 48 0	52' 3" 28' 7"	—									
			4 14' 5" 39' 5"		4 0 24' 5"	Mittelfaden 58 0									
			4 15' 0" 41"		4 1 5" 20' 5"										
			aus der Zeitbestimmung — 0° 132						Nordpunkt		Uhrstand um 18° 20"				
			* * Kreisablesung 1 0 200						85° 42' 14"		+ 1° 16' 50' 23				
			22. October 1895		West	13° 0' 15" S		9' 5" 7 2" N	18° 34' 23"	γ sagittae. 18° 37"	Ost	9' 2' 13" S	13° 5' 12" N	18° 47' 33"	δ equinox. 18° 51"
						51' 3" 39' 2"		— 38' 0"	— 2' 7"	— 10' 4"					
0' 5" —	— 47' 0"	44' 5" —				— 24' 6"									
9' 4" —	18' 3" 50' 5"	57' 3" —				— 33' 4"									
3 46 15	Mittelfaden 24 0	10' 2" 12' 5" 3 45' 5" 10' 5"				Mittelfaden —									
3 49 12' 5"		8' 2" 14' 5" 3 30' 5" 55' 5"													
aus der Zeitbestimmung 1 0 127						Nordpunkt		Uhrstand um 18° 45"							
* * Kreisablesung 4 0 500						85° 42' 14"		+ 1° 10' 49' 09							
23. October 1895		Ost				10° 0' 9" S	14° 0' 15" N	18° 18' 50"	δ eygn. 18° 22"	West		14° 7' 13" S	9' 3" 10" N	18° 20' 50"	α equinox. 18° 30"
						5' 7" —	11' 2" 8' 0"	28' 6" 5' 1"	— 5' 1"						
			17' 0" 14' 5"	23' 0" —	32' 3" —	— 22' 5"									
			41' 5" 34' 6"	Mittelfaden 40 2	40' 0" —	— 51' 5" 30' 5"									
			3 15 40' 5"		10' 0" 8' 0" 4 0 5" 30"	Mittelfaden —									
			3 0 23 5"		15' 5" 8' 0" 4 5' 0" 28"										
			aus der Zeitbestimmung — 0° 300						Nordpunkt		Uhrstand um 18° 20"				
			* * Kreisablesung — 0° 420						85° 42' 11"		+ 1° 10' 48' 00				
			23. October 1895		West	13° 0' 15" S	11' 2' 8" N	18° 34' 34"	γ sagittae. 18° 37"		Ost	12° 0' 12" S	12° 2' 14" N	18° 47' 58"	δ equinox. 18° 51"
						51' 5" —	40' 7" —	32' 2" 8' 1"	— 10' 6"						
2' 5" —	— 40' 0"	40' 4" —				— 25' 1"									
11' 5" —	20' 4" 58' 0"	57' 5" 33' 0"				Mittelfaden 2 5									
4 57' 5" 22' 5"		9 8 14' 5" 3 41 8' 5"													
4 58' 0" 24' 0"		11' 2" 13' 0" 3 25 50"													
aus der Zeitbestimmung 0° 143						Nordpunkt		Uhrstand um 18° 45"							
* * Kreisablesung 0° 174						85° 42' 13"		+ 1° 10' 48' 72							

Datum	Ort	Ocular	Libelle	Einstellung des Polarsternes	Zenstern	Ocular	Libelle	Einstellung des Polarsternes	Zenstern
			West Ost	Kreislesung			West Ost	Kreislesung	
27. October 1895		Ost	9° 7' 14 0 8° 0' 15 7	18h 38° 23'	♂ aquila. 18h 42m 3° 0' 40 1 4h 6 — — 50 0 30 0 — 29 1 5 4	West	12° 8' 11 3 13° 0' 10 0	18h 46° 44'	γ cygni 18h 50" 15 0 — — 13 3 20 2 24 5 37 1 5 4h 2 35 4
			— —	89° 50'	— 50 0 — 30 0 — 29 1 5 4		— —	209° 50'	— 50 0 — 30 0 — 29 1 5 4
			9° 0' 15 0 8° 0' 10 0	4 17 47 4 31 55	Mittelfaden —		10° 0' 13 0 12° 0' 12 0	4 14 41 5 4 0 33 0	Mittelfaden 54 5
			Collimation aus der Zeitbestimmung -0° 07 300 • • Kreisablesung — 0° 000				Nordpunkt 88° 36' 53" Uhrstand um 18h 40° + 1h 25m 53 777.		
		West	12° 0' 12 0 12° 7' 11 3	18h 54° 40'	41 cygni. 18h 58" 14° 7' 50 2 19° 5' 0 2 24 5 — — 15 7 34 0 — 44° 0 25 7	Ost	13° 0' 10 1 11° 0' 12 2	19h 5° 28'	α cygni. 19h 8" 52 5 — — 55 0 4 3 — — 7 7 10 0 — 28 0 10 7
			— —	209° 50'	— 50 0 — 30 0 — 29 1 5 4		— —	89° 50'	— 50 0 — 30 0 — 29 1 5 4
			3 58° 0 23 3 47 5 13	Mittelfaden 50 1	3 19° 0 40 5 3 28 5 51 0		Mittelfaden 35 5		
			Collimation aus der Zeitbestimmung +0° 405 • • Kreisablesung — 0° 150				Nordpunkt 88° 37' 3" Uhrstand um 19h 3m + 1h 25m 53 777.		
28. October 1895	The Brothers	Ost	11° 0' 12 3 11 8 11 5	18h 38° 10'	♂ aquila. 18h 42m 1 0 — — 40 2 10 2 — — 54 0 18 0 — 27 2 3 3	West	14° 0' 9 3 13° 5' 10 1	18h 40° 55'	γ cygni. 18h 50" 14 3 1 1 — 12 0 25 5 — — 23 6 30 0 29 5 47 4 —
			— —	89° 50'	— 50 0 — 30 0 — 29 1 5 4		— —	209° 50'	— 50 0 — 30 0 — 29 1 5 4
			12° 0' 11 2 10° 6' 13 0	4 32 0 0 4 19 47 0	Mittelfaden 32 5		4 11° 0 36 5 4 8 5 37 5	Mittelfaden 54 7	
			Collimation aus der Zeitbestimmung — 0° 180 • • Kreisablesung — 0° 210				Nordpunkt 88° 36' 52" Uhrstand um 18h 46° + 1h 25m 54 760.		
		West	13° 8' 14 0 14° 0' 10 0	18h 54° 53'	41 cygni. 18h 58" 14° 2' 50 0 — 5 8 24 0 — — 15 5 33 7 — 43 5 25 1	Ost	9° 0' 14 4 8° 3' 15 3	19h 5° 35'	α cygni. 19h 8" 51 5 42 5 57 4 54 5 3 4 0 5 9 7 6 4 15 5 12 5 27 5 18 5
			— —	209° 50'	— 50 0 — 30 0 — 29 1 5 4		— —	89° 50'	— 50 0 — 30 0 — 29 1 5 4
			3 50 17 3 47 12	Mittelfaden 49 7	8° 5' 15 0 7° 8' 10 0		3 15 42 3 23 45	Mittelfaden 34 8	
			Collimation aus der Zeitbestimmung — 0° 238 • • Kreisablesung — 0° 057				Nordpunkt 88° 36' 50" Uhrstand um 19h 3m + 1h 25m 54 777.		

Datum	Ort	Ocular	Libelle		Einstellung des Polarsternes Kreislesung	Zeitstern	Ocular	Libelle		Einstellung des Polarsternes Kreislesung	Zeitstern				
			West	Ost				West	Ost						
6. November 1895	Jidda		6°0' 13°0'	18° 50' 51"	ε aquari. 19° 0"	ε aquari. 19° 0"	13°8' 5°0'	19° 11' 39"	ζ cygni. 19° 14"	ζ cygni. 19° 14"					
			11°5' 7°0'		42°3' 19°0'	27'7"	8°7' 10°2'	26°3' 16°0'	32°0' 27°0'	38°0' —					
				90° 20'	51°3' —	30°3'	West		270° 20'	44°0' 39°4'	1°5' 51°3'				
			13°0' 0°0'	2° 20' 48"	50°5' —	84° 45' 1"	8°4' 10°3'	1° 34' 2"	1°5' 51°3'	Mittelfaden 8°5'					
			7°2' 11°8'	2° 9' 31"	Mittelfaden 13°5'	Mittelfaden 13°5'	13°3' 0°4'	1° 30' 54"	Mittelfaden 8°5'						
			Collimation aus der Zeitbestimmung — 0°480 " " Kreisablesung — 0°070					Nordpunkt 89°9' 3"		Uhrstand um 19h 8 ^m + 1h 43 ^m 27 ^s 41					
			13°0' 0°0'	19° 20' 13"	ζ cygni. 19° 23"	ζ cygni. 19° 23"	13°5' 0°0'	19° 43' 33"	74 cygni. 19° 46"	74 cygni. 19° 46"					
			8°0' 11°3'		39°5' 21°4'	31°4'	9°0' 10°4'	90° 10'	44°6' 31°7'	50°5' —					
			West	270° 20'	49°5' —	54°1' 41°0'	Ost			1°5' —	17°7' —				
					59°3' 45°5'	9°2' 50°7"			3° 40' 8"	Mittelfaden —	Mittelfaden —				
		0° 57' 27"	Mittelfaden 15°4'	Mittelfaden 15°4'		3° 51' 15"									
		0° 53' 17"													
Collimation aus der Zeitbestimmung — 0°7800 " " Kreisablesung — 0°800												Nordpunkt 89°9' 2"		Uhrstand um 19h 30 ^m + 1h 43 ^m 27 ^s 14	
7. November 1895	Jidda		9°0' 12°0'	18° 58' 32"	ε aquari. 19° 0"	ε aquari. 19° 0"	9°2' 12°4'	14° 11' 36"	ζ cygni. 19° 14"	ζ cygni. 19° 14"					
			8°2' 13°3'		41°7' —	26°6'	10°3' 11°5'	20°7' —	32°5' 27°8"	38°4' —					
				90° 20'	50°4' —	54°5' 35°5'	West		270° 20'	44°4' 39°6"	50°0' —				
			9°0' 12°8'	1° 39' 3"	59°1' —	7°6' 44°3'	10°3' 11°4'	1° 2' 27"	1°6' 42°2"	Mittelfaden 8°7'					
			9°0' 12°6'	1° 22' 45"	Mittelfaden 12°8'	Mittelfaden 12°8'	10°7' 11°0'	0° 55' 15"	Mittelfaden 8°7'						
			Collimation aus der Zeitbestimmung — 1°200 " " Kreisablesung — 1°200					Nordpunkt 89°7' 40"		Uhrstand um 19h 8 ^m + 1h 43 ^m 27 ^s 56					
			9°4' 12°0'	10° 43' 23"	74 cygni. 19° 40"	74 cygni. 19° 40"									
			9°8' 12°0'		46°3' 33°3'	51°0' 44°6"	West		270° 10'	57°5' 49°8"	2°9' —				
				270° 10'	57°5' 49°8"	8°4' 1°0'				19°6' 6°4'					
					19°6' 6°4'	Mittelfaden 26°5'	Mittelfaden 26°5'								
		9°5' 12°3'	3° 30' 58"	8°4' 1°0'	19°6' 6°4'										
		10°0' 12°0'	3° 26' 50"	Mittelfaden 26°5'	Mittelfaden 26°5'										
Collimation aus der Zeitbestimmung — 1°000 " " Kreisablesung 1°000												Nordpunkt		Uhrstand um + 1h 43 ^m 27 ^s 58	

Datum	Ort	Ocular	Labelle		Einstellung des Polar-sterne Kreisablesung	Zeitstern	Ocular	Labelle		Einstellung des Polar-sterne Kreisablesung	Zeitstern		
			West	Ost				West	Ost				
8. November 1805	Jidda	Ost	11°0'	10°8'	18° 57' 15"	1 aquarii. 19° 0"	West	11°0'	10°4'	19° 11' 18"	2 cygni. 19° 14"		
			11°0'	10°5'		41°4' 17°7'			25°4' 15°5'				
					90° 20'	49°7' 35°2'		270° 20'	31°4' 26°5'				
						58°5' 35°2'			43°2' 38°6'				
						0°7' 43°6'			0°4' 44°5'				
			10°7'	11°0'	1 28' 30"	Mittelfaden 12°4'		0 57' 23"	Mittelfaden 7°5'				
			10°7'	10°8'	1 31' 30"			0 47' 11"					
		Collimation						aus der Zeitbestimmung - 1°020 * * Kreisablesung - 1°000		Nordpunkt 89° 7' 38"		Uhrstand um 19° 8' - 1°43' 28°30.	
		West	12°0'	9°8'	19° 20' 25"	2 cygni. 19° 23"	Ost	9°3' 12°3'	19° 30' 13"	1 pegasi. 19° 33"			
			11°8'	9°9'		39°2' 20°5'			25°0' 4°2'				
			270° 20'	44°0' 30°4'	90° 10'	12°7'							
				53°5' 40°1'		34°6' 22°1'							
				58°5' 43°0'		43°0' 30°7'							
		0 15' 45"	Mittelfaden 14°5'		4 12' 40"	Mittelfaden —							
		0 7' 20"			4 10' 30"								
Collimation						aus der Zeitbestimmung - 1°203 * * Kreisablesung - 0°907		Nordpunkt 89° 7' 37"		Uhrstand um 19° 29' - 1°43' 28°30.			
10. November 1805	Mer-a-Halab	Ost	11°5'	12°3'	19° 40' 13"	1 pegasi. 19° 43"	West	15°8'	8°1'	19° 53' 54"	74 cygni. 19° 50"		
			13°0'	11°0'		25°0' 3°5'			42°2' 29°4'				
					85° 0'	12°0' 21°5'		205° 0'	47°5' 40°0'				
						43°5' 52°4'			58°7' 51°4'				
						52°4' 30°5'			4°3' 2°5'				
			2 16' 41"	Mittelfaden 58°0'		0 57' 25"	Mittelfaden 22°2'						
			2 0' 30"			0 57' 21"							
		Collimation						aus der Zeitbestimmung + 0°105 * * Kreisablesung - 0°030		Nordpunkt 83° 53' 2"		Uhrstand um 19° 50' - 1°33' 33°55.	
		West	15°0'	9°0'	20° 37' 0"	1 pegasi. 20° 0"	Ost	11°0'	13°0'	20° 11' 0"	16 pegasi. 20° 13"		
			13°5'	10°5'		4°1' 45°1'			50°0' 35°0'				
			205° 0'	8°4' 53°5'	84° 50'	45°4'							
				17°2' 25°0'		5°0' 55°1'							
				25°0' 2°0'		23°5' 3°0'							
	0 10' 35"	Mittelfaden 31°3'		12°7' 11°3'	4 21' 49"	Mittelfaden —							
	0 8' 30"			10°5' 13°5'	4 24' 48"								
Collimation						aus der Zeitbestimmung + 0°070 * * Kreisablesung + 0°030		Nordpunkt 83° 53' 3"		Uhrstand um 20° 10' - 1°33' 33°48.			

Datum	Ort	Ocular	Labelle		Einstellung des Polarsternes Kreislesung	Zeitstern	Ocular	Labelle		Einstellung des Polarsternes Kreislesung	Zeitstern
			West	Ost				West	Ost		
17. November 1895	Meers Halah		9° 8'	14° 0'	19h 30m 50"	1 pegasi. 10h 43m		18° 5'	5° 0'	19h 53m 25"	74 cygni. 19h 50m
			7° 8'	15° 9'		25° 4' 3" 5 -- 12° 6' 34° 4' -- -- 21° 5' 43° 3' -- 52° 4' 30° 5'		17° 5'	0° 0'		40° 6' -- 40° 6' 38° 5' 52° 4' -- 57° 8' 50° 4' -- 55° 5' 14° 5' --
		Ost			85° 0'			West		265° 0'	
					2 25 51 2 40 38	Mittelfaden 57° 7'		18° 0'	5° 5'	1 5° 0' 31 2 1° 5' 27	Mittelfaden 21° 4'
								20° 0'	3° 8'		
Collimation aus der Zeitbestimmung + 0° 00 00 Nordpunkt Uebersand um 19h 50m * * Kreisablesung + 0° 00 00 83° 53' 13"											
			11° 2'	12° 0'	20h 2m 3"	1 pegasi. 20h 5m		3° 0'	20° 7'	20h 12m 5"	16 pegasi. 20h 13m
			11° 0'	12° 7'		59° 9' 30° 0" -- 45° 1' 8° 5' 49° 5' -- 53° 2' 17° 4' 25° 7' 2° 1'		5° 7'	18° 0'		50° 5' -- 10° 5' -- 15° 0' -- -- -- -- --
		West			205° 0'			Ost		84° 50'	
					0 14° 0' 42 0 14° 5' 38	Mittelfaden 31° 2'		0° 3'	17° 3'	4 20 52° 0' 4 20 43° 5'	Mittelfaden --
								3° 3'	20° 3'		
Collimation aus der Zeitbestimmung + 0° 00 00 Nordpunkt Uebersand um 20h 10m * * Kreisablesung -- 1° 00 00 83° 52' 51"											
			3° 9'	10° 8'	20h 25m 2"	α aquarii. 20h 38m					
			5° 0'	18° 6'		1° 4' -- 5° 5' 45° 7' 10° 0' -- 14° 0' 54° 2' 18° 2' -- 20° 6' 2° 6'					
		Ost			84° 50'						
			0° 0'	17° 7'	3 0 27 4° 5' 19° 2' 2 59 22	Mittelfaden 32° 3'					
Mit dem vorigen Paar vereinigt: OO + 1h 33m 34° 18' = μ - 1° 23' c OW + 1 33 34° 09' = μ + 1° 26' c c = - 0° 04'											
Stand = + 1h 33m 34° 13'											
Collimation aus der Zeitbestimmung Nordpunkt Uebersand um * * Kreisablesung											

Datum	Ort	Ocular	Labele		Einstellung des Polarsternes Kreislesung	Zeitstern	Ocular	Labele		Einstellung des Polarsternes Kreislesung	Zeitstern
			West	Ost				West	Ost		
18. November 1895	Mersa Halah	—	11° 2'	12° 6'	19° 30' 48"	1 pegasi. 19° 43"	West	12° 5'	11° 3'	19° 53" 38"	74 cygn. 19° 50"
			11° 5'	12° 4'	—	24° 1' 2° 3' — 11° 3' 33° 2' — 37° 4' 20° 0' 42° 0' — 51° 7' 29° 4'		—	265° 0'	42° 6' 29° 6' 48° 5' 40° 0' 53° 6' 45° 0' 59° 0' 51° 0' 4° 6' 57° 4' 15° 5' 2° 5'	
			—	—	2 20 44 2 5 20	Mittelfaden 56° 5'		11° 7'	12° 2'	1 0 35 13° 0' 11° 0'	Mittelfaden 22° 7'
			Collimation aus der Zeitbestimmung — 0° 300 " " Kreisablesung — 0° 810					Nordpunkt 83° 53' 12"		Uhrstand um 19° 50" + 1° 33' 34° 50.	
18. November 1895	Mersa Halah	—	11° 0'	13° 0'	20° 10' 45"	10 pegasi. 20° 14"	West	14° 2'	10° 0'	20° 24" 30"	α aquari. 20° 28"
			10° 0'	14° 0'	—	34° 6' — 44° 0' — — — 53° 4' 8° 5' 58° 0' 22° 7' 2° 0'		—	204° 50'	0° 4' 30° 5' — 44° 7' 8 8 — — 22° 2' 17° 5' — 25° 7' 1° 8'	
			—	—	4 18° 5' 45" 4 24° 0' 47"	Mittelfaden 28° 7'		13° 3'	10° 9'	3 3 28° 5' 14° 0' 10° 4'	Mittelfaden 31° 2'
			Collimation aus der Zeitbestimmung — 0° 574 " " Kreisablesung — 0° 440					Nordpunkt 83° 53' 6"		Uhrstand um 20° 21" + 1° 33' 34° 33.	
21. November 1895	St Johns Island	—	11° 0'	14° 0'	20° 4' 27"	1 pegasi. 20° 7"	West	12° 0'	13° 0'	20° 28" 23"	α aquari. 20° 29"
			12° 5'	13° 1'	—	53° 7' 30° 4' — 39° 0' 2° 4' — 6° 5' 47° 6' 11° 2' — 19° 6' 56° 2'		—	271° 50'	54° 7' 31° 0' — 39° 0' 3° 2' — — 47° 6' 12° 2' — 20° 0' 56° 3'	
			—	—	4 18° 5' 45" 4 3° 0' 28"	Mittelfaden 25° 2'		13° 0'	13° 0'	1 44 13 14° 0' 12° 0'	Mittelfaden 25° 5'
			Collimation aus der Zeitbestimmung — 0° 853 " " Kreisablesung — 0° 140					Nordpunkt 90° 50' 24"		Uhrstand um 20° 19" + 1° 31' 40° 25.	
21. November 1895	St Johns Island	—	12° 7'	13° 3'	20° 48' 30"	7 lacertae. 20° 51"	West	10° 9'	19° 0'	21° 1' 45"	γ pegasi. 21° 5"
			11° 0'	14° 3'	—	48° 0' 43° 4' 54° 3' 50° 6' 0° 8' 3° 3' 7° 5' 10° 0' — 10° 5' 27° 0' 25° 5'		—	91° 40'	18° 0' 0° 2' — 9° 0' 28° 4' — 13° 4' 19° 4' 38° 4' — 17° 5' 29° 5'	
			11° 0'	14° 8'	4 24° 5' 52" 12° 5' 13° 3'	Mittelfaden 35° 4'		—	—	2 33 59 2 30 53	Mittelfaden 54° 3'
			Collimation aus der Zeitbestimmung — 0° 727 " " Kreisablesung — 0° 550					Nordpunkt 90° 50' 29"		Uhrstand um 20° 58" + 1° 31' 40° 54.	

Datum	Ort	Ocular	Libelle		Einstellung des Polarsternes Kreislesung	Zeitstern	Ocular	Libelle		Einstellung des Polarsternes Kreislesung	Zeitstern
			West	Ost				West	Ost		
22. November 1895	St. Johns- Island	—	14° 2'	11° 2'	20h 4m 20s	1 pegasi 20h 7m	West	13° 0'	13° 0'	20h 20m 27s	u. aquarii 20h 29m
			10° 2'	15° 2'		53° 7' — — 39° 2' — 2° 0' — — 47° 8' 11° 3' — 19° 7' 50" 1		13° 2'	12° 0'		55° 5' — — 40° 3' 4° 2' — — 48° 0' 12° 0' — 21° 0' 57" 1
			—	—	4 14 41 4 9 34	Mittelfaden 25° 1'		13° 8'	12° 0'	2 6 32 1 54 19	Mittelfaden 20° 5'
			Collimation aus der Zeitbestimmung — 0° 850 + Kreisablesung — 0° 407					Nordpunkt 90° 50' 30"	Uhrstand um 20h 19m + 1h 31m 40s 00.		
22. November 1895	St. Johns- Island	West	11° 2'	14° 4'	20h 37m 40s	u. aquarii. 20h 41m — — 59° 8' 23° 5' — — 8° 3' 32° 1' 12° 5' 40° 5' —	Ost	11° 7'	14° 2'	20h 48m 35"	7 lacertae, 20h 51m 44° 5' 43° 4' 53° 5' 50° 4' 0° 5' 2° 0' 7° 1' 9° 5' 13° 0' 10° 0' 20° 5' 22° 6'
			12° 0'	13° 3'				11° 5'	14° 3'		
			12° 3'	13° 6'	0 42 14	Mittelfaden 45° 7'		12° 2'	13° 7'	4 10 35 4 18 42	Mittelfaden 34° 5'
			12° 0'	13° 7'	0 37 2			11° 5'	15° 0'		
Collimation aus der Zeitbestimmung — 0° 023 + Kreisablesung — 0° 402				Nordpunkt 90° 50' 28"	Uhrstand um 20° 47m + 1h 31m 40s 12.						
24. November 1895	Berenice	—	11° 3'	13° 3'	20h 7m 17s	1 pegasi 20h 10m 43° 3' 20° 0' — 28° 3' 51° 7' — 50° 2' 36° 5' 0° 4' — 8 8 45° 6'	West	15° 2'	10° 0'	20h 29m 10"	u. aquarii. 20h 32m 42° 8' — — 27° 6' 51° 4' — — 35° 0' 59° 7' — 8° 3' 44° 4'
			14° 8'	10° 0'				10° 0'	9° 3'		
			—	—	4 9 37 4 1 25	Mittelfaden 14° 5'		15° 7'	9° 4'	1 48 19 1 45 9	Mittelfaden 13° 4'
			—	—				14° 8'	10° 4'		
24. November 1895	Berenice	West	11° 0'	14° 1'	20h 40m 30s	u. aquarii. 20h 44m 2° 4' 38° 9' — 47° 4' 10° 8' 51° 5' 15° 1' 50° 2' 10° 5' 0° 2' 27° 8' 4° 4'	Ost	14° 2'	11° 1'	20h 51m 15"	7 lacertae, 20h 54m 35° 5' 31° 5' 42° 2' 44° 5' 48° 0' 51° 3' 55° 4' 57° 5' 1° 7' 4° 4' 14° 8' 10° 0'
			10° 0'	14° 5'				14° 5'	10° 8'		
			11° 0'	14° 4'	0 28 55	Mittelfaden 33° 5'		14° 1'	11° 2'	4 7 34 4 4 28	Mittelfaden 23° 4'
			12° 3'	12° 9'	0 20 52			14° 9'	10° 0'		
Collimation aus der Zeitbestimmung — 0° 192 + Kreisablesung — 0° 123				Nordpunkt 87° 39' 57"	Uhrstand um 20h 49m + 1h 28m 59s 07.						

Datum	Ort	Ocular	Libelle		Einstellung des Polarsternes Kreislesung	Zeitstern	Ocular	Libelle		Einstellung des Polarsternes Kreislesung	Zeitstern
			West	Ost				West	Ost		
25. November 1895			10°5 10°2	13°4 13°7	20h 7m 18" 20h 10m 43°2 19°6 — 28°4 51°u 32°0 50°0 37°1 0°4 41°4 9°2 45°5 Mittelfaden 14°5	West	17°0 16°8	7°0 7°8	20h 29m 0" 20h 32m 42°3 18°3 40°5 20°8 50°0 31°2 35°4 59°3 7°6 43°7 Mittelfaden 17°4		
			Collimation				aus der Zeitbestimmung — 0°220 + Kreisablesung — 0°034			Nordpunkt 87°39' 36"6	Uhrstand um 20h22m + 1h28m 59s738.
			13°4 13°5	11°2 11°0	20h 40m 30" 20h 44m 1°6 37°5 26°9 40°0 10°0 50°5 14°4 55°5 18°5 59°4 27°2 3°5 Mittelfaden 32°5		Ost	6°7 6°5	18°0 18°2	20h 51m 22" 20h 54m 36°6 32°4 43°0 45°5 49°5 51°6 50°1 58°5 2°5 4°7 15°0 11°7 Mittelfaden 23°6	
			Collimation					aus der Zeitbestimmung — 0°121 + Kreisablesung — 0°025			Nordpunkt 87°39' 34"8
20. November 1895			10°8 12°4	12°3 11°0	20h 7m 18" 20h 10m 42°7 19°5 51°5 27°6 — 55°6 30°6 — 41°0 8°6 45°4 Mittelfaden 14°3	West	13°2 12°4	11°0 12°3	20h 28m 46" 20h 32m 42°4 18°4 46°6 20°8 50°8 31°3 55°3 35°8 59°3 39°5 7°8 43°5 Mittelfaden 13°4		
			Collimation				aus der Zeitbestimmung — 0°026 + Kreisablesung — 0°130			Nordpunkt 87°39' 30"	Uhrstand um 20h22m + 1h28m 59s79.
			11°8 12°0	13°0 12°9	20h 40m 37" 20h 44m 0°8 37°4 — 40°4 4°3 — 18°2 54°8 26°6 — — 3°4 Mittelfaden 32°6		Ost	11°0 10°3	13°8 14°6	20h 51m 48" 20h 54m 35°6 31°4 42°4 44°8 48°7 51°4 55°6 57°7 2°2 4°4 15°3 11°3 Mittelfaden 23°5	
			Collimation					aus der Zeitbestimmung — 0°029 + Kreisablesung — 0°018			Nordpunkt 87°39' 30"

Datum	Ort	Ocular	Libelle		Einstellung des Polarsternes Kreislesung	Zeitstern	Ocular	Libelle		Einstellung des Polarsternes Kreislesung	Zeitstern		
			West	Ost				West	Ost				
27. November 1895	Berecica		11°0'	13°0'	20 ^h 8' 0 ^s	γ pegasi. 20 ^h 10 ^m		9°7'	15°0'	20 ^h 29 ^m 10 ^s	α aquarii. 20 ^h 32 ^m		
			10°0'	14°0'		42°3' 18°2'		10°3'	14°0'		42°5' 18°2'		
					88° 40'	-- 27°4'				108° 40'	40°0' 20°8'		
						40°5' -- 54°4' 35°7' 59°5' 40°3' 7°7' 44°4'					51°0' -- 55°4' 35°6' 59°5' 40°2' 7°8' 44°4'		
			1	48	12	Mittelfaden 13°3'				1	41	8	
			1	42	5					1	25	50	
			Collimation aus der Zeitbestimmung +0°100 + Kreisablesung -0°006				Nordpunkt 87°39'32"		Uhrstand um 20 ^h 22 ^m + 1 ^h 29 ^m 07 ^s 2.				
3. December 1895	Stern Babegh		11°0'	11°2'	20 ^h 32 ^m 9 ^s	γ lacertae. 20 ^h 40 ^m		10°8'	4°0'	20 ^h 50 ^m 42 ^s	γ pegasi. 20 ^h 54 ^m		
			10°8'	10°0'		19°6' 15°0'		18°8'	3°0'		51°3' 32°8'		
					94° 20'	25°5' 28°3'				274° 20'	42°6'		
						32°3' 35°4' 38°5' 41°4' 45°5' 48°0' 58°7' 54°2'					0°0' -- 0°0' 52°0' 10°0' -- 10°3' 1°4'		
			11°5'	10°2'	3	5	34				1	20	48
			12°5'	9°8'	2	40	40				1	18	43
			Collimation aus der Zeitbestimmung -0°452 + Kreisablesung -0°000				Nordpunkt 93°28'23"		Uhrstand um 20 ^h 48 ^m + 1 ^h 43 ^m 07 ^s 87.				
			18°3'	4°0'	21 ^h 1 ^m 56 ^s	λ aquarii. 21 ^h 5 ^m		11°5'	11°0'	21 ^h 12 ^m 55 ^s	α pegasi. 21 ^h 10 ^m		
			19°5'	3°0'		6°4' -- 10°5' 1°4'		11°3'	11°3'		20°3' 57°4'		
					274° 10'	24°7' 5°0'				94° 10'	29°2' 0°1'		
						-- 10°0' 33°4' 14°3' 41°8' 18°5'					-- 15°4' 37°7' -- 40°4' 23°6'		
			21°0'	1°5'	4	50	23				3	20	47
			18°8'	3°8'	4	42	50				2	58	22
			Collimation aus der Zeitbestimmung -0°7738 + Kreisablesung -0°720				Nordpunkt 93°28'24"		Uhrstand um 21 ^h 11 ^m + 1 ^h 43 ^m 07 ^s 06.				
4. December 1895			10°0'	12°5'	20 ^h 37 ^m 16 ^s	γ lacertae. 20 ^h 40 ^m		14°0'	8°0'	20 ^h 50 ^m 32 ^s	γ pegasi. 20 ^h 58 ^m		
			11°0'	11°4'		18°2' 13°7'		14°0'	8°0'		54°4' 42°3'		
					94° 20'	24°7' 26°5'				274° 20'	-- -- 0°5' 51°0'		
						32°8' 38°8' 44°3' 49°0' 54°4' 53°5'					-- 50°5' 10°4' 1°5' 20°4'		
			11°3'	11°2'	3	3	31				1	28	55
			11°2'	11°3'	2	49	13				1	22	45
			Collimation aus der Zeitbestimmung -0°872 + Kreisablesung -0°720				Nordpunkt 93°28'27"		Uhrstand um 20 ^h 48 ^m + 1 ^h 43 ^m 11 ^s 26.				

Datum	Ort	Ocular	Libelle		Einstellung des Polarsternes	Zeitstern	Ocular	Libelle		Einstellung des Polarsternes	Zeitstern
			West	Ost				West	Ost		
4. December 1895	Sherm Rahogh	West	14° 8' 14° 5'	8° 2' 8° 3'	21h 1m 47s 21h 5m	λ aquiri. 21h 5m	Ost	12° 3' 11° 6'	10° 6' 11° 4'	9h 12m 50s 9h 12m 50s	α pegasi. 9h 12m 50s
					94° 10'	10 4 — — 1° 5' 24° 8 — — 9° 7' 33° 4 — 42° 4 18° 5				274° 10'	18° 6 — — 4° 5' 27° 6 — — 13° 3' 37° 2 — 45° 2 22° 4
			14° 4' 13° 7'	8° 5' 9° 3'	4 61 20 4 53 17	Mittelfaden 57° 5				3 20 40 2 58 — 1	Mittelfaden 50° 3
			aus der Zeitbestimmung — 0° 938 » » Kreisablesung — 1° 04				Nordpunkt 95° 28' 28"		Uhrstand um 21h 10m + 1h 43m 11.22.		
9. December 1895	Jidda	Ost	12° 2' 14° 2'	10° 6' 8° 3'	21h 12m 10s 21h 15m	α pegasi. 21h 15m	West	17° 5' 14° 6'	5° 0' 8° 0'	21h 24m 54s 21h 28m	γ pscium 21h 28m
					92° 50'	25 2° 7' 29° 5 11° 3' 37° 0 15° 6' 38° 5 20° 3' 51° 2 24° 5' — 28° 7'				272° 40'	13° 4 49° 0' 17° 5 58° 2' 22° 2 25° 5' 26° 3 6° 6' 30° 5 10° 8' 38° 8 —
			—	—	1 20 27 0 46 9	Mittelfaden 57° 2		—	—	4 27 57 4 20 43	Mittelfaden 44° 4
			aus der Zeitbestimmung — 1° 208 » » Kreisablesung — 1° 420				Nordpunkt 92° 4' 35"		Uhrstand um 21h 22m + 1h 43m 59° 54.		
15. December 1895	Jidda	West	10° 8' 14° 0'	11° 7' 8° 6'	21h 34m 45s 21h 38m	α pscium. 21h 38m	Ost	8° 2' 5° 5'	14° 0' 17° 0'	21h 44m 0s 21h 47m	τ andromedae. 21h 47m
					272° 40'	5° 0 43° 0' 10° 0 50° 0' 14° 4 54° 7' 18° 4 58° 2' 22° 5 — 31° 0 7° 3'				92° 40'	4° 6 53° 6' 10° 3 5° 3' 10° 0 11° 2' 26° 7 10° 5' 27° 0 22° 4' 39° 1 28° 3
			14° 0' 9° 5'	8° 8' 13° 0'	3 30 29 2 50 19	Mittelfaden 30° 0		6° 5 10° 0' 11° 0 11° 6'	1 24 51 1 7 33		Mittelfaden 46° 6
			aus der Zeitbestimmung — 1° 424 » » Kreisablesung — 1° 200				Nordpunkt 92° 4' 39"		Uhrstand um 21h 43m + 1h 43m 59° 80.		
15. December 1895	Jidda	Ost	11° 8' 14° 0'	10° 5' 8° 5'	21h 12m 11s 21h 15m	α pegasi. 21h 15m	West	10° 9' 9° 5'	12° 5' 13° 6'	21h 24m 10s 21h 28m	γ pscium. 21h 28m
					92° 10'	24° 5 1° 7' 28° 6 10° 6' 33° 2 14° 7' 37° 6 10° 3' 41° 2 23° 6' 50° 7 27° 9'				272° 10'	12° 6 49° 0' 17° 1 57° 3' 21° 3 1° 6' 25° 5 5° 7' 29° 4 9° 8' 38° 4 14° 5'
			—	—	4 15 41 3 50 20	Mittelfaden 50° 6		—	—	2 38 4 2 34 58	Mittelfaden 43° 0
			aus der Zeitbestimmung — 0° 650 » » Kreisablesung — 0° 820				Nordpunkt 94° 30' 52"		Uhrstand um 21h 22m + 1h 44m 0° 89.		

Datum	Ort	Ocular	Labelle		Einstellung des Polarisieres Kreislesung	Zeitstern	Ocular	Labelle		Einstellung des Polarisieres Kreislesung	Zeitstern
			West	Ost				West	Ost		
15. December 1895	Jidda	West	9°7' 11°2'	13°3' 12°0'	21h 34m 40s	α posicium. 21h 47m — 89°8' 7°5' 48°1' 12°3' 52°0' 10°5' 50°0' 20°5' 1°3' 29°1' 5°0'	Ost	9°5' 8°0'	14°0' 15°3'	21h 44m 0s	τ androm. 21h 47m 4°1' 53°0' 8°7' 4°5' 15°3' 10°4' 21°3' 10°2' 27°0' 21°7' 38°5' 27°8'
			11°8' 9°5'	11°4' 13°7'	0 50 27 0 50 30	Mittelfaden 34°4		8°0' 9°0'	15°3' 14°3'	4 24 54 4 28 51	Mittelfaden 46°0
			Collimation aus der Zeitbestimmung — 0°595 * * Kreisablesung — 0°50					Nordpunkt 91°30'50"		Uhrstand um 21h41m +1°44m 0°91.	
22. December 1895	Yenbo	Ost	11°0' 8°3'	13°3' 15°8'	22h 22m 38s	α androm. 22h 23m — 29°2' 33°7' 38°0' 43°4' 48°3'	West	15°8' 17°7'	8°3' 10°3'	22h 31m 30s	τ ceti. 22h 34m 55°0' 33°4' 0°2' 40°7' 8°4' 49°6' 13°3' 58°4' 21°0'
			—	—	1 22 49 1 13 39	Mittelfaden —		17°5' 15°5'	0°5' 8°5'	4 50 18 4 47 11	Mittelfaden 26°8
			Collimation aus der Zeitbestimmung — 0°805 * * Kreisablesung — 0°525					Nordpunkt 94°34'54"		Uhrstand um 22h29m +1°30m37°10.	
23. December 1895	Yenbo	Ost	13°8' 11°0'	10°3' 13°0'	22h 50m 0s	α casioop. 22h 52m 54°7' 58°8' 2°4' 14°3' 9°7' 21°7' 12°6' 24°7' 26°7' 39°8' 44°7'	West	14°0' 17°0'	12°5' 9°5'	22h 20m 1s	α androm. 22h 22m 30°0' 17°5' 41°5' 27°5' 40°4' 32°2' 51°3' 37°2' 50°2' 41°8' 5°8' 40°5'
			11°0' 12°8'	13°0' 11°1'	1 26 53 1 10 41	Mittelfaden 49°4		—	—	1 25 50 1 23 40	Mittelfaden 14°0
			Collimation vom vor — 0°700					Nordpunkt 94°24'40"		Uhrstand um 22h30m +1°30m36°77.	
23. December 1895		Ost	12°0' 10°5'	14°0' 15°5'	22h 11m 0s	α posicium. 22h 14m 27°8' 4°6' 32°3' 12°7' 30°0' 10°5' 41°0' — 45°2' 25°5' 53°0' —	West	14°0' 17°0'	12°5' 9°5'	22h 20m 1s	α androm. 22h 22m 30°0' 17°5' 41°5' 27°5' 40°4' 32°2' 51°3' 37°2' 50°2' 41°8' 5°8' 40°5'
			—	—	2 50 23 2 58 23	Mittelfaden 58°8		—	—	1 25 50 1 23 40	Mittelfaden 14°0
			Collimation aus der Zeitbestimmung — 0°111 * * Kreisablesung — 0°120					Nordpunkt 94°34'21"		Uhrstand um 22h19m +1°30m38°82.	

Datum	Ort	Ocular	Libelle		Einstellung des Polarsternes Kreislebung	Zeitstern	Ocular	Libelle		Einstellung des Polarsternes Kreislebung	Zeitstern
			West	Ost				West	Ost		
24. December 1895	Yenbo	Ost	13° 0' 10° 5'	14° 5' 10° 9'	22h 14m 26s 8	α piscium. 22h 14m 26° 8' 2" 8 31° 4' 11" 0 35° 4' 15" 0 39° 7' 20" 3 43° 5' 24" 4 52° 2' 28" 4	West	6° 3' 11° 0'	21° 3' 16° 4'	22h 19m 21s	α androm. h m 37° 8' 18" 5 42° 0' 20" 5 47° 5' 33" 1 52° 3' 38" 4 57° 2' 43" 3 6° 8' 47" 6
			—	—	2 44 14 2 33 58	Mittelfaden 57° 8		—	—	1 29 50 1 19 44	Mittelfaden 13° 2
			Collimation aus der Zeitbestimmung — 0° 613 * * Kreislebung — 0° 500					Nordpunkt 94° 33' 52" Uhrstand um h m + 1h 39m 39s 00.			
		West	10° 5' 8° 5'	17° 2' 19° 1'	22h 31m 27s	τ ceti. 22h 34m 55° 8' 31" 4 59° 1' 40" 3 3° 5' 44" 4 8° 2' 49" 0 12° 3' 53" 3 30° 8' 57" 5	Ost	11° 4' 13° 0'	10° 4' 15° 0'	22h 41m 55s	12 ceti. 22h 45m — — 58° 8' 3° 0' 7° 5' 30° 6' 39° 5' 15" 5
9° 0' 18" 8 9° 2' 18" 5	4 28 50 4 24 45		Mittelfaden 20° 3	13° 4' 14" 0 11° 3' 10" 0	2 27 55 2 10 40	Mittelfaden 44° 5					
Collimation aus der Zeitbestimmung — 0° 796 * * Kreislebung — 0° 840					Nordpunkt 94° 33' 54" Uhrstand um h m + 1h 39m 39s 11.						
25. December 1895	Yenbo	Ost	11° 0' 9° 7'	15° 0' 10° 3'	22h 11m 4s	α piscium. 22h 14m 25° 0' 2" 3 30° 3' 10" 0 34° 5' 14" 9 42° 7' 19" 3 — 23° 5' 51° 0' 28" 0	West	14° 4' 13° 0'	11° 8' 12° 7'	22h 19m 22s	α androm. 22h 22m 36° 7' 17" 0 41° 5' 27" 4 46° 1' 32" 3 51° 2' 37" 0 50° 1' 41" 8 5° 5' 40" 5
			—	—	2 55 22 2 33 47	Mittelfaden 56° 8		—	—	1 35 2 1 33 50	Mittelfaden 11° 5
			Collimation aus der Zeitbestimmung — 0° 827 * * Kreislebung — 0° 900					Nordpunkt 94° 34' 11" Uhrstand um h m + 1h 39m 39s 63.			
		West	13° 2' 13° 3'	13° 5' 13° 5'	22h 31m 20s	τ ceti. 22h 34m 54° 0' 30" 8 58° 4' 39" 5 2° 0' — 7° 4' 48" 3 11° 0' 52" 5 20° 2' 50" 4	Ost	12° 4' 10° 2'	14° 5' 10° 8'	22h 41m 33s	12 ceti. 22h 45m — 50° 0' 18° 5' 58" 5 22° 5' 3° 0' 20° 5' 7° 2' 30° 5' 11° 0' 39° 4' 15° 6'
12° 0' 14" 8 12° 0' 14" 8	4 35 4 4 32 50		Mittelfaden 25° 14	10° 5' 10" 0 10° 0' 17" 0	2 41 9 2 30 53	Mittelfaden 44° 6					
Collimation aus der Zeitbestimmung — 0° 843 * * Kreislebung — 0° 800					Nordpunkt 94° 34' 26" Uhrstand um h m + 1h 39m 39s 74.						

Datum	Ort	Ocular	Libella		Einstellung des Polarsternes Kreislesung	Zeitstern	Ocular	Libelle		Einstellung des Polarsternes Kreislesung	Zeitstern
			West	Ost				West	Ost		
30. December 1895		Ost	12°7' 13°3' 9°3'	11h 3m 45s	α cassiopejæ. 11h 4m		12°7' 13°3' 12°0'	11h 9m 53s	η cassiopejæ. 11h 12m		
					37°5' 41°7' 44°7' 52°3' 52°6' 4°5' 0°2' 12°3' 2°2' 19°7' 22°9' 37°5'				54°5' 8°2' 2°5' 12°0' 10°4' 24°0' 18°5' 32°4' 26°3' 40°5' 41°7' 48°7'		
			9°5' 16°3' 10°2' 15°9'	1 3h 5' 1 35 58	Mittelfaden 32°2'		12°0' 14°0' 13°2' 13°0'	0 22 50 0 9 35	Mittelfaden 51°3'		
			aus der Zeitbestimmung — 0°712 Collimation * * Kreisablesung — 0°400				Nordpunkt 90° 5' 2" Uhrstand um 23h 9m + 1h 27' 55s.78.				
	Sherm Sheikh	West	11°8' 11°3' 11°3' 15°0'	11h 31m 55s	β andromedæ. 11h 35m		12°0' 15°0' 12°5' 14°2'	11h 42m 0s	θ ceti. 11h 50m		
					15°6' 50°6' 21°0' 10°0' 20°0' 15°4' 31°3' 20°7' 30°8' 25°0' 40°6' 30°8'				32°3' 13°1' 36°0' 17°5' — 45°5' 25°8' 53°8' —		
			— —	1 22 50 1 12 42	Mittelfaden 53°3'		11°4' 15°5' 11°8' 16°2'	3 35 2 3 20 51	Mittelfaden 59°3'		
			aus der Zeitbestimmung — 0°425 Collimation * * Kreisablesung — 0°370				Nordpunkt 90° 5' 1" Uhrstand um 23h 43m + 1h 27' 55s.747.				
31. December 1895		Ost	13°5' 13°6' 13°0' 14°8'	10h 30m 56s	α andromedæ. 10h 34m		14°2' 13°0' 16°4' 11°4'	10h 43m 5s	τ ceti. 10h 40m		
					19°5' 0°7' 24°4' 10°3' 28°8' 15°0' 33°8' 19°8' 39°2' 24°7' 48°4' 29°7'				32°8' 14°5' 42°3' 23°3' 40°8' 27°0' 51°0' 31°7' 54°0' 36°2' 3°0' 40°1'		
			— —	1 51 1°12' 1 51 1°10'	Mittelfaden 54°6'		10°5' 11°5' 14°3' 13°8'	5 9 37 4 52 17	Mittelfaden 9°2'		
			aus der Zeitbestimmung — 0°799 Collimation * * Kreisablesung — 0°960				Nordpunkt 90° 5' 4" Uhrstand um 22h 41m + 1h 27' 56s.734.				
		West	12°0' 15°7' 13°8' 14°8'	11h 2m 0s	α cassiopejæ. 11h 4m		12°5' 10°0' 10°5' 18°0'	11h 10m 20s	η cassiopejæ. 11h 12m		
					37°2' 42°2' 45°8' 57°4' 53°3' 4°0' 0°5' 12°4' 8°0' 19°7' 23°2' 27°6'				54°7' 1°5' 2°7' 16°0' 10°2' 24°0' 18°1' 32°5' 20°0' 40°3' 41°u 48°2'		
			14°0' 14°3' 12°2' 10°2'	1 40 14 1 28 53	Mittelfaden 32°8'		10°3' 18°2' 12°2' 10°2'	4 58 25 4 59 23	Mittelfaden 51°4'		
			aus der Zeitbestimmung — 0°380 Collimation * * Kreisablesung — 0°700				Nordpunkt 90° 4' 53" Uhrstand um 23h 9m + 1h 27' 55s.705.				

Datum	Ort	Libelle		Einstellung des Polarsternes Kreislesung	Zeitstern	Ocular	Libelle		Einstellung des Polarsternes Kreislesung	Zeitstern
		West	Ost				West	Ost		
2. Jänner 1896		Ost	13° 5' 11° 7 14° 9' 14° 9	11h 3m 6s 11h 5m	α Cassiopejae 11h 5m 5° 0' 9° 7 12° 5' 24° 7 20° 3' 32° 5 27° 8' 39° 8 35° 4' 47° 0 50° 0' 54° 9	West	10° 5' 12° 0 10° 0' 12° 7	11h 11m 18s 11h 14m	γ Cassiopejae 11h 14m 24° 5' 31° 4 32° 0' 47° 4 40° 4' 54° 7 48° 4' 2° 0 50° 4' 10° 7 11° 7' 18° 5	
			14° 2' 14° 3 14° 2' 14° 2	4 25 53 4 22 48	Mittelfaden 0° 5		10° 2' 12° 3 17° 3' 11° 2	3 24 51 3 10 39	Mittelfaden 21° 5	
			Collimation aus der Zeitbestimmung — 27248 * * Kreisablesung — 1° 430				Nordpunkt 90° 0' 48" Uhrstand um 23h 11m + 1h 20m 26s 91.			
		Mersa Dhaba	West	10° 5' 12° 0 15° 0' 13° 0	11h 19m 45s 11h 22m	γ Cassiopejae 11h 22m 0° 8' 13° 0 9° 4' 30° 2 17° 8' 38° 7 20° 5' 47° 4 35° 0' 55° 8 51° 7' 4° 5	Ost	12° 2' 10° 6 10° 4' 18° 0	11h 48m 40s 11h 51m	δ Ceti 11h 51m 54° 5' — 58° 0' 39° 6 3° 4' 43° 7 7° 0' 48° 2 — 52° 7' 20° 1' 56° 8
15° 0' 13° 7 15° 5' 13° 0	1 51 23 1 49 13			Mittelfaden 2° 5	9° 8' 10° 0 11° 8' 17° 2	1 14 39 1 9 34		Mittelfaden 25° 0		
Collimation aus der Zeitbestimmung — 17003 * * Kreisablesung — 1° 720				Nordpunkt 90° 0' 48" Uhrstand um 23h 38m + 1h 26m 20s 73.						
3. Jänner 1896	Ost		13° 0' 14° 2 15° 0' 13° 0	11h 3m 0s 11h 6m	α Cassiopejae 11h 6m 4° 0' 9° 7 12° 5' 24° 7 20° 2' 32° 3 27° 8' 39° 8 35° 4' 47° 0 50° 5' 54° 7	West	10° 1' 12° 0 15° 0' 13° 0	11h 11m 31s 11h 14m	γ Cassiopejae 11h 14m 23° 8' 30° 3 31° 9' 40° 2 39° 5' 53° 9 47° 0' 1° 0 55° 2' 9° 5 10° 8' 17° 7	
		15° 0' 13° 0 13° 0' 14° 4	4 29 55 4 15 40	Mittelfaden 0° 3	15° 4' 12° 7 16° 0' 11° 4		3 10 42° 5 3 5 28° 5	Mittelfaden 20° 5		
		Collimation aus der Zeitbestimmung — 17425 * * Kreisablesung — 1° 120					Nordpunkt 90° 0' 39" Uhrstand um 23h 11m + 1h 20m 27s 55.			
		West	16° 0' 14° 8 14° 8' 13° 0	11h 19m 0s 11h 21m	γ Cassiopejae 11h 21m 57° 7' 10° 4 0° 5' 27° 5 14° 8' 30° 0 23° 0' 44° 0 32° 3' 53° 0 49° 0' 1° 9	Ost	13° 5' 15° 0 14° 5' 14° 0	11h 33m 48s 11h 30m	β Andromedae 11h 30m 42° 0' 26° 3 47° 3' 30° 4 52° 0' 41° 5 57° 7' 40° 8 3° 7' 52° 1 13° 4' 57° 2	
15° 0' 13° 4 17° 0' 11° 3			1 53 20 1 44 9	Mittelfaden 59° 7	— — — 3 51 13		4 4 30 3 51 13	Mittelfaden 20° 0		
Collimation aus der Zeitbestimmung — 12234 * * Kreisablesung — 1° 070				Nordpunkt 90° 0' 38" Uhrstand um 23h 30m + 1h 26m 27s 99.						

Datum	Ort	Ocular	Libelle	Einstellung des Polarsternes	Zeitstern	Ocular	Libelle	Einstellung des Polarsternes	Zeitstern
			West Ost	Kreislesung			West Ost	Kreislesung	
6. Jänner 1890			14° 4' 13° 3' 10° 0' 15° 2'	11h 9m 30s T. cassiopeiae 11h 12m	T. cassiopeiae 11h 12m 20° 5' 38° 0' 35° 0' 50° 2' 43° 7' 4° 0' 52° 2' 13° 2' 0° 8' 21° 6' 17° 7' 30° 1'		14° 7' 14° 0' 18° 2' 10° 2'	11h 24m 2s β andromedae 11h 27m	β andromedae 11h 27m 13° 3' 57° 2' 18° 5' 7° 5' 23° 0' 13° 5' 28° 5' 17° 7' 33° 9' 23° 3' 44° 4' 28° 4'
			Ost	91° 20'			West	271° 10'	
			9° 2' 18° 8' 11° 8' 10° 2'	1 40 14 1 40 10			—	4 40 8 4 18 42	
			Collimation aus der Zeitbestimmung — 1° 000 + Kreisablesung — 1° 250				Nordpunkt 91° 11' 13" Uhrstand um 23h 30m + 1h 35m 58° 13.		
Hessani			15° 4' 13° 5' 18° 0' 11° 1'	11h 38m 55s β ceti. 11h 42m	β ceti. 11h 42m 27° 0' 3° 4' 31° 2' 11° 7' 35° 5' 10° 2' 40° 0' 20° 5' 44° 2' 24° 8' 52° 5' 28° 8'		11° 5' 17° 8' 8° 0' 21° 4'	11h 51m 48s v persai. 11h 54m	v persai. 11h 54m 57° 8' 52° 2' 4° 7' 5° 0' 10° 9' 11° 6' 17° 5' 17° 8' 23° 5' 24° 0' 30° 5' 30° 6'
			West	271° 10'			Ost	91° 0'	
			19° 1' 9° 8' 15° 5' 13° 5'	1 51 21 1 30 58			8° 0' 21° 3' 10° 7' 18° 0'	4 12 40 4 9 34	
			Collimation aus der Zeitbestimmung — 1° 244 + Kreisablesung — 1° 050				Nordpunkt 91° 11' 10" Uhrstand um 23h 49m + 1h 35m 58° 11.		
7. Jänner 1890			12° 6' 14° 4' 14° 4' 12° 0'	11h 9m 25s T. cassiopeiae 11h 12m	T. cassiopeiae 11h 12m 24° 0' 37° 5' 33° 4' 54° 4' 42° 0' 3° 0' 50° 5' 11° 4' 59° 2' 20° 2' 10° 2' 28° 0'		10° 3' 11° 3' 13° 5' 14° 2'	11h 23m 48s β andromedae 11h 27m	β andromedae 11h 27m — 52° 5' 19° 0' 7° 7' 23° 6' 13° 0' 29° 1' 18° 3' 34° 2' 23° 4' 44° 5' 28° 7'
			Ost	91° 20'			West	271° 10'	
			14° 0' 13° 0' 11° 4' 10° 0'	1 44 12 1 39 2° 0'			—	4 32 0 4 27 50	
			Collimation aus der Zeitbestimmung — 1° 703 + Kreisablesung — 1° 380				Nordpunkt 91° 11' 5" Uhrstand um 23h 21m + 1h 35m 58° 63.		
			12° 8' 15° 4' 15° 3' 13° 0'	11h 39m 10s β ceti. 11h 42m	β ceti. 11h 42m 27° 4' 4° 0' 31° 5' 12° 4' 39° 1' 10° 6' 40° 2' 21° 0' 44° 5' 25° 5' 53° 4' 29° 5'		12° 1' 10° 0' 8° 0' 19° 6'	11h 51m 42s v persai. 11h 54m	v persai. 11h 54m 57° 5' 51° 0' 3° 9' 4° 2' 10° 0' 10° 0' 16° 0' 10° 7' 22° 7' 23° 4' 35° 5' 29° 0'
			West	271° 10'			Ost	91° 0'	
			10° 3' 11° 8' 12° 2' 15° 9'	1 43 11 1 40 4			9° 0' 10° 3' 11° 3' 17° 0'	4 10 37° 5' 4 1 25° 5'	
			Collimation aus der Zeitbestimmung — 1° 632 + Kreisablesung — 1° 350				Nordpunkt 91° 11' 4" Uhrstand um 23h 49m + 1h 35m 58° 62.		

Datum	Ort	Ocular	Libelle	Einstellung des Polarsternes Kreislesung	Zeitstern	Ocular	Libelle	Einstellung des Polarsternes Kreislesung	Zeitstern
			West Ost				West Ost		
11. Jänner 1800		Ost	14° 0' 14° 2' 18° 2' 10° 2'	11h 20m 40s 90° 50'	β andromedae 11h 29m 21° 1' 5' 1' 20° 2' 15' 5' 31° 0' 20° 0' 30° 8' 20° 2' 41° 6' 31° 4' 52° 5' 30° 7'	West	20° 0' 8° 0' 17° 5' 11° 3'	11h 41m 40s 270° 50'	θ ceti. 11h 44m 35° 9' 12° 3' 40° 3' 20° 9' 44° 4' 25° 2' 48° 7' 20° 5' 53° 1' 33° 7' 1° 7' 38° 2'
			— —	2 54 21° 5' 2 50 14° 0'	Mittelfaden 58° 0'		17° 2' 11° 4' 0' 38° 0' 21° 0' 8° 0' 14° 37'	Mittelfaden 7° 1'	
			Collimation aus der Zeitbestimmung — 1° 451 » » Kreisablesung — 1° 200					Nordpunkt Uebersand um 23h 37" 90° 48' 48" + 1h 33m 48s 54.	
			Scher Habbän	West	14° 7' 14° 2' 11° 0' 18° 0'	11h 54m 32s 270° 40'	γ persei. 11h 57m 10° 6' 4° 1' 10° 2' 10° 9' 22° 5' 23° 0' 29° 0' 29° 4' 35° 3' 35° 0' 48° 2' 42° 4'	Ost	14° 0' 14° 0' 11° 3' 17° 7'
10° 5' 18° 3' 13° 4' 15° 0'	3 23 52° 0' 3 0 24° 5'	Mittelfaden 50° 3'			— —	1 23° 5' 51' 1 18° 5' 42'	Mittelfaden 57° 7'		
Collimation aus der Zeitbestimmung — 1° 345 » » Kreisablesung — 1° 300					Nordpunkt Uebersand um 24h 0m 90° 48' 51" + 1h 33m 48s 20.				
12. Jänner 1800		Ost			14° 0' 13° 0' 10° 0' 17° 6'	11h 20m 3s 90° 50'	β andromedae 11h 29m 22° 1' 6° 0' 27° 2' 10° 5' 32° 3' 21° 0' 37° 0' 20° 8' 42° 7' 32° 0' 53° 1' 37° 5'	West	17° 1' 10° 0' 11° 2' 0° 8'
			— —	3 9 37 3 0 29	Mittelfaden 59° 0'	21° 4' 0° 5' 0' 39° 7' 17° 5' 10° 5' 0' 21° 40'	Mittelfaden 0° 1'		
			Collimation aus der Zeitbestimmung — 0° 782 » » Kreisablesung — 0° 608						Nordpunkt Uebersand um 23h 35" 90° 48' 53" + 1h 33m 48s 78.
				West	13° 0' 15° 0' 18° 3' 10° 0'	11h 54m 8s 270° 40'	γ persei. 11h 57m 8° 3' 2° 5' 14° 8' 15° 0' 21° 4' 21° 4' 27° 5' 28° 0' 33° 8' 34° 4' 40° 5' 40° 0'	Ost	13° 8' 14° 5' 8° 0' 20° 0'
18° 0' 10° 2' 13° 0' 15° 3'	3 18 40 3 1 25	Mittelfaden 54° 1'			— —	1 37° 5' 1 20° 54'	Mittelfaden 58° 5'		
Collimation aus der Zeitbestimmung — 0° 794 » » Kreisablesung — 0° 600					Nordpunkt Uebersand um h = 90° 48' 53" + 1h 33m 48s 52.				

Datum	Ort	Ocular	Etiquette		Einstellung des Polarsternes Kreislesung	Zeitstern	Ocular	Etiquette		Einstellung des Polarsternes Kreislesung	Zeitstern	
			West	Ost				West	Ost			
15. Jänner 1896		Ost	13° 0' 12° 5'	13° 8' 14° 2'	0h 3m 2s 8h 30'	v persel. oh 0m 10° 8' 11° 2' 23° 2' 23° 5' 20° 0' 29° 0' 30° 4' 30° 4' 42° 2' 42° 0' 54° 9' 49° 0'	West	15° 2' 17° 0'	11° 0' 10° 0'	0h 11m 0s 20h 30'	o piscium. oh 14m 37° 0' 13° 7' 41° 8' 22° 7' 40° 1' 26° 7' 50° 4' 31° 3' 54° 5' 35° 5' 3° 3' 39° 7'	
			13° 2' 12° 9'	13° 4' 14° 0'	2 18 40 2 9 32	Mittelfaden 3° 2'		—	—	0 52 20 0 44 9	Mittelfaden 8° 8'	
			Collimation					Nordpunkt 89° 37' 8"		Uhrstand um 0h 11m, + 1h 24m 39s 30.		
			aus der Zeitbestimmung — 0° 332 " " Kreisablesung — 0° 180									
15. Jänner 1896		West	10° 4' 16° 5'	10° 4' 10° 5'	0h 19m 58s 20h 30'	β arietis. oh 23m 38° 3' 16° 8' 42° 7' 26° 0' 47° 3' 30° 5' 52° 1' 34° 0' 56° 5' 39° 5' 5° 5' 43° 8'	Ost	13° 8' 14° 0'	13° 5' 12° 7'	0h 32m 40s 8h 20'	α arietis. oh 35m 2° 0' 41° 8' 7° 5' 51° 5' 12° 3' 55° 6' 10° 5' 0° 4' 21° 3' 4° 4' 30° 5' 9° 5'	
			—	—	4 17 44 4 10 33	Mittelfaden 11° 3'		—	—	1 49 18 1 40 12	Mittelfaden 36° 0'	
			Collimation					Nordpunkt 89° 37' 12"		Uhrstand um 0h 30m, + 1h 24m 39s 24.		
			aus der Zeitbestimmung — 0° 427 " " Kreisablesung — 0° 400									
18. Jänner 1896	Koneir	West	15° 0' 18° 0'	14° 7' 11° 7'	0h 11m 0s 20h 30'	o piscium. oh 14m — 15° 5' 43° 5' 23° 7' 47° 4' 27° 5' 51° 5' 32° 0' 55° 9' 30° 5' 4° 5' 40° 5'	Ost	16° 0' 13° 0'	14° 1' 17° 1'	0h 20m 20s 8h 20'	β arietis. oh 23m 37° 7' 16° 5' 42° 4' 25° 5' 46° 8' 20° 8' 51° 5' 34° 5' 50° 1' 38° 5' 5° 2' 43° 5'	
			—	—	1 2 27 0 50 15	Mittelfaden 8° 8'		—	—	4 8 35 3 59 23	Mittelfaden 10° 7'	
			Collimation					Nordpunkt 89° 37' 16"		Uhrstand um 0h 20m, + 1h 24m 38s 79.		
			aus der Zeitbestimmung — 0° 784 " " Kreisablesung — 0° 730									
18. Jänner 1896		Ost	15° 0' 11° 3'	14° 8' 19° 0'	0h 32m 34s 8h 20'	α arietis. oh 3um 3° 4' 42° 4' 7° 0' 51° 5' 12° 2' 50° 2' 10° 5' 0° 0' 21° 5' 5° 5' 30° 7' 10° 2'	West	16° 2' 18° 5'	14° 2' 12° 0'	0h 42m 30s 20h 20'	γ trianguli. oh 4um 3° 5' 46° 6' 8° 0' 50° 6' 13° 7' 2° 0' 18° 0' 4° 8' 23° 5' 12° 1' 33° 7' 16° 7'	
			—	—	1 52 20 1 47 11	Mittelfaden 3h 0'		—	—	0 19 48 0 5 29	Mittelfaden 40° 3'	
			Collimation					Nordpunkt 89° 37' 14"		Uhrstand um 0h 42m, + 1h 24m 38s 90.		
			aus der Zeitbestimmung — 0° 789 " " Kreisablesung — 0° 730									

Datum	Ort	Libelle				Einstellung des Polarsternes				Libelle				Einstellung des Polarsternes				Zeitstern			
		Ocular		West		Ost		Einstellung des Polarsternes		West		Ost		Einstellung des Polarsternes		West		Ost		Zeitstern	
27. Jänner 1890	Suez			13° 0' 17" 3	13° 0' 17" 3			1 ^h 0 ^m 10 ^s	2 ^h 0 ^m 10 ^s	23° 0' 8" 0	23° 0' 8" 0			1 ^h 11 ^m 14 ^s	2 ^h 0 ^m 10 ^s			1 ^h 15 ^m	2 ^h 0 ^m 10 ^s		
1. Februar 1890	Suez II			14° 5' 10" 0	14° 5' 10" 0			1 ^h 12 ^m 23 ^s	2 ^h 0 ^m 10 ^s	14° 5' 10" 0	14° 5' 10" 0			1 ^h 35 ^m 50 ^s	2 ^h 0 ^m 10 ^s			1 ^h 37 ^m	2 ^h 0 ^m 10 ^s		

Beobachtet, nur eine Bestimmung.

Datum	Or t	Ocular	Libelle		Einstellung des Polarsternes Kreislesung	Zeitstern	Ocular	Libelle		Einstellung des Polarsternes Kreislesung	Zeitstern		
			West	Ost				West	Ost				
8. Februar 1896			17°0' 12°4'	10°5' 18°1'	1h 34m 15s	γ arctis. 1h 37m		12°0' 10°4'	15°0' 13°4'	1h 44m 13s	α persei. 1h 47m		
			Ost		89° 40'	— 11°0'		West		209° 40'	11°3' 6°7'		
						37°5' 20°5'					17°9' 19°6'		
						42°2' 25°0'					24°5' 26°5'		
						40°5' 29°8'					31°0' 33°0'		
						— 34°2'					37°4' 39°5'		
						0°7' 38°6'					50°3' 46°1'		
						3 47 14					15 0 13°4'	2 25 52	Mittelfaden 58°5'
						3 30 55					13°2' 10°0'	2 10 42	
			Collimation aus der Zeitbestimmung - 0°070 * * Kreisablesung - 1°170					Nordpunkt 90°24'51"		Uhrstand um 1h 43m + 1h 30m 31°54.			
			13°0' 10°5'	10°0' 13°4'	1h 50m 7s	10 tauro. 1h 59m	17°0' 12°4'	12°3' 17°2'	2h 30m 37s	γ tauro. 2h 10m			
			West		209° 40'	14°0' 50°1'	Ost		89° 40'	0°0' 40°1'			
18°4' 58°6'	5°5' 49°5'												
22°0' 2°7'	10°3' 54°1'												
20°8' 7°1'	15°1' 58°5'												
31°2' 11°5'	19°5' 3°4'												
39°5' 15°0'	28°0' 7°8'												
Mittelfaden 44°0'						3 30 0			Mittelfaden 34°3'				
17°0' 13°1'	0 20 55					3 30 53							
12°3' 17°2'	0 22 44		Collimation aus der Zeitbestimmung - 1°160 * * Kreisablesung - 0°070							Nordpunkt 90°24'48"		Uhrstand um 2h 5m + 1h 30m 31°42.	
9. Februar 1896	Nomin		14°2' 14°3'	2h 10m 33s	γ tauro. 2h 10m	0°2' 30°6'		13°2' 15°0'	12°3' 10°0'	2h 17m 20s	α persei 2h 20m		
			14°0' 14°0'	89° 30'		4°5' 48°7'		West		209° 30'	40°0' 27°7'		
			0°0' 53°5'			40°0' 38°8'							
			14°0' 58°4'			51°7' 44°4'							
			18°0' 2°0'			57°5' 49°7'							
			27°8' 7°4'			2°8' 55°7'							
			Mittelfaden 33°7'							2 10 43	Mittelfaden 20°8'		
			3 27 55°5'			2 9 33							
			3 30 54°4'	Collimation aus der Zeitbestimmung - 1°340 * * Kreisablesung - 1°174						Nordpunkt 90°24'45"		Uhrstand um 2h 10m + 1h 30m 31°284.	
				14°1' 14°0'	2h 28m 40s	α persei. 2h 31m		43°0' 30°7'	14°0' 14°1'	14°5' 14°5'	2h 41m 44s	δ tauro. 2h 45m	
		14°1' 14°0'		209° 30'		49°5' 48°7'		West		89° 20'	10°5' —		
		55°1' 54°8'				— 57°7'							
1°7' 1°4'	— 2°3'												
7°0' 7°4'	— 7°0'												
23°5' 13°7'	28°5' 11°2'												
Mittelfaden 28°7'						3 20 55				Mittelfaden 42°8'			
14°4' 14°4'	0 38 5	3 27 52											
14°7' 14°3'	0 30 55	Collimation aus der Zeitbestimmung - 1°420 * * Kreisablesung - 1°145					Nordpunkt 90°24'45"				Uhrstand um 2h 39m + 1h 30m 31°58.		

Datum	Ort	Ocular		Einstellung des Polarsternes Kreislesung	Zeitstern	Ocular		Einstellung des Polarsternes Kreislesung	Zeitstern	
		West	Ost			West	Ost			
11. Februar 1896	Noreau			14° 9' 13" 7 22° 2' 0" 3	2h 6m 33s			10° 8' 12" 3 15° 9' 13" 0	2h 17m 14s	δ persei. 2h 20m 40° 3' 27" 5 40° 0' 38" 2 11° 5' 43" 7 50° 8' 49" 4 2° 5' 54" 0 13° 4' 0" 5 Mittelfaden 20° 7'
		Ost			89° 30'		West	209° 30'		
					0° 0' 30" 7 4° 5' 48" 5 0° 0' 53" 5 14 0 — 18° 5' 2" 5 27° 8' 7" 5 Mittelfaden 33° 9'					
		Collimation								
		aus der Zeitbestimmung — 1° 13'				Nordpunkt 90° 24' 50"		Uhrstand um 2h 15' — 1h 30m 31s 38.		
		* * Kreisablesung — 1 14'								
Wegen heftigen Windes mit viel Sand nur eine Bestimmung.										
15. Februar 1896	Ras alu somer			15° 7' 14" 2 14° 9' 15" 0	2h 34m 20s			15° 4' 18" 0 17° 4' 13" 0	2h 48m 42s	δ lauri. 2h 52m 24° 0' 21" 7 20° 2' 18" 5 33° 5' 10" 5 38° 1' 20" 0 42° 0' 28" 8 51° 0' 20" 1 Mittelfaden 57° 1'
		Ost			90° 0'		West	209° 50'		
					50° 7' 44" 4 57° 3' 50" 8 — 3° 3' 0° 2' 0" 4 15° 8' 15" 5 28° 8' 21" 7 Mittelfaden 30° 4'					
		Collimation								
		aus der Zeitbestimmung — 0° 958				Nordpunkt 90° 56' 18"		Uhrstand um 2h 46' — 1h 23m 21s 40.		
		* * Kreisablesung — 1° 150								
				16° 0' 13" 0 15° 5' 15" 4	3h 1m 50s			15° 0' 10" 0 15° 8' 15" 3	3h 10m 52s	β eridani. 3h 14m 18° 5' 54" 7 22° 0' 2" 8 27° 0' 7" 3 31° 3' 11" 5 35° 4' 15" 5 41° 9' 20" 0 Mittelfaden 40° 1'
		West			209° 50'		Ost	89° 50'		
					19° 0' — 24° 2' — 28° 7' — 33° 0' — 37° 2' — 40° 3' — Mittelfaden 52° 0'					
		Collimation								
		aus der Zeitbestimmung — 1° 057				Nordpunkt 90° 50' 15"		Uhrstand um 3h 10m — 1h 23m 21s 20.		
		* * Kreisablesung — 0° 874								

Datum	Ort	Ocular	Einstellung des Polarsternes Kreisleistung		Zeitstern	Ocular	Einstellung des Polarsternes Kreisleistung		Zeitstern
			West	Ost			West	Ost	
10. Februar 1896	Ras Abu Samir	Ost	15° 0' 15" 2	25° 35' 32"	ε persci. 2h 38m	West	17° 0' 12" 4	25° 48' 58"	ζ tauri. 2h 52m
			13° 8' 10" 2						
				90° 0'			203° 50'		
			51° 5' 44° 8'	23° 0' 17° 0'					
			57° 7' 57° 0'	25° 4' 10° 0'					
			4° 2' 3' 5'	32° 7' 14° 1'					
			10° 3' 10° 0'	37° 3' 19° 4'					
			10° 4' 10° 4'	41° 5' 23° 7'					
			29° 3' 22° 8'	50° 0' 28° 3'					
			14° 1' 15" 0	1 23 50			4 45 42		
15° 3' 15" 0	1 13 30	4 30 53							
Collimation aus der Zeitbestimmung = 0° 27' 13"					Nordpunkt 90° 50' 34"	Uhrstand um 2h 40' = +1h 23' 21.588.			
		West	18° 3' 12" 0	3h 24' 0"	α tauri. 3h 5m	Ost	15° 0' 10" 3	3h 10m 10"	β eridani. 3h 14m
			17° 2' 13" 0				15° 0' 10" 31		
				203° 50'			89° 50'		
			18° 8' 56° 5'	18° 8' 55° 0'					
			23° 3' 5° 4'	23° 0' 3° 0'					
			27° 0' 9° 5'	27° 3' 7° 5'					
			32° 4' 14° 2'	31° 0' 11° 8'					
			30° 0' 18° 5'	35° 8' 15° 9'					
			45° 3' 22° 8'	44° 4' 20° 5'					
			3 3 34	13° 1' 42" 8			1 41 13		
2 49 14	13° 7' 17" 8	1 30 3							
Collimation aus der Zeitbestimmung = 0° 7' 08"					Nordpunkt 90° 50' 34"	Uhrstand um 3h 10' = +1h 23' 21.588.			
		Ost	16° 0' 15" 2	2h 49m 0"	ζ tauri. 2h 52m	West	19° 2' 12" 2	3h 1m 44"	α tauri. 3h 5m
			17° 4' 15" 0				19° 5' 12" 0		
				88° 30'			268° 30'		
			28° 0' 6° 5'	23° 9' 1° 0'					
			32° 8' 15° 8'	28° 5' 10° 5'					
			37° 8' 10° 6'	33° 0' 14° 8'					
			42° 5' 24° 7'	37° 4' 19° 4'					
			40° 5' 28° 0'	41° 5' 23° 5'					
			55° 2' 33° 1'	50° 3' 28° 2'					
			4 34 2	3 4 31			2 52 18		
4 31 50	2 52 18								
Collimation aus der Zeitbestimmung = 0° 48' 2"					Nordpunkt 80° 17' 1"	Uhrstand um 2h 59' = +1h 23' 21.588.			
		West	19° 0' 11" 0	3h 11m 0"	β eridani. 3h 14m	Ost	10° 7' 15" 0	3h 23m 50"	ε aurigae. 3h 26m
			19° 5' 12" 2				17° 4' 16" 2		
				21° 5' 10"			89° 10'		
			25° 1' 0° 8'	54° 8' 37° 8'					
			29° 5' 9° 7'	59° 0' 48° 0'					
			33° 0' 11° 1'	6° 5' 53° 1'					
			37° 2' 18° 2'	10° 0' 28° 0'					
			42° 3' 27° 0'	15° 3' 3° 0'					
			50° 0' 20° 7'	25° 4' 8° 5'					
			20 3 11' 2	0 15 17			0 8 32		
19° 2' 12" 3	1 42 11								
Collimation aus der Zeitbestimmung = 0° 50' 8"					Nordpunkt 89° 36' 58"	Uhrstand um 3h 21' = +1h 23' 21.588.			
Kreisleistung = 0° 42' 0"									

Datum	Ort	Ocular	Libelle	Einstellung des Polarsternes Kreislesung	Zeitstern	Ocular	Libelle	Einstellung des Polarsternes Kreislesung	Zeitstern
			West, Ost				West, Ost		
20. Februar 1890	Shadwan			14° 10' 10" 2h 49m 4s 14° 10' 17" 2h 52m	α taun. 2h 52m 28° 5' 0" 4 32° 0' 15" 2 37° 4' 10" 0 41° 8' 24" 1 46° 3' 28" 5 55° 3' 32" 8 Mittelfaden 0 7		13° 7' 17" 3h 2m 3s 13° 10' 18" 0 3h 5m	α taun. 3h 5m 25° 3' 3" 0 29° 0' 12" 3 34° 3' — 38° 0' 21" 5 43° 3' 26" 0 51° 0' 30" 5 Mittelfaden 57 7	
			Ost	88° 30'		West	268° 30'		
			Collimation	aus der Zeitbestimmung — 1° 00 8 " " Kreisablesung — 0° 7 50		Nordpunkt	89° 36' 51"	Uhrstand um 2h 50m + 1h 23m 12 100.	
				12° 0' 19" 0 3h 11m 50s 13° 3' 17" 2 3h 14m	μ eridani. 3h 14m 26° 5' 2' 5 30° 0' 10" 7 34° 0' 15" 2 39° 0' 19" 5 43° 4' 23" 5 50° 5' 27" 8 Mittelfaden 57 0		13° 2' 18" 0 3h 23m 37s 13° 10' 18" 2 3h 20m	τ aurgae. 3h 20m 54° 7' 37" 7 59° 5' 47" 7 4° 0' 52" 9 9° 8' 58" 0 14° 0' 2" 8 25° 1' 8" 2 Mittelfaden 31 5	
			West	268° 30'		Ost	88° 30'		
			Collimation	aus der Zeitbestimmung — 0° 0 77 " " Kreisablesung — 0° 7 50		Nordpunkt	89° 36' 48"	Uhrstand um 3h 21m + 1h 23m 13 109.	
22. Februar 1890	Soez III			14° 5' 15" 1 3h 7m 17s 14° 2' 15" 0 3h 10m	α taun. 3h 10m 47° 2' — — 33° 3' 55° 8' — — 42° 5' 4° 7' — 13° 5' 51" 5 Mittelfaden 19 5		17° 0' 13" 0 3h 16m 28s 16° 8' 13" 3 3h 19m	μ eridani. 3h 19m 49° 1' 24" 9 57° 0' 37" 7 — 5° 9' 40" 5 — 50" 5 Mittelfaden 19 5	
			Ost	80° 10'		West	269° 10'		
			Collimation	aus der Zeitbestimmung — 0° 54 0 " " Kreisablesung — 0° 50 0		Nordpunkt	90° 15' 12"	Uhrstand um 3h 15m + 1h 12m 36 795.	
				10° 5' 13" 4 3h 29m 8s 17° 1' 13" 0 3h 32m	τ aurgae. 3h 32m 18° 0' 1° 5 25° 7' 11" 8 38° 7' 27" 0 48° 7' — Mittelfaden —		15° 7' 14" 7 3h 39m 32s 15° 2' 15" 0 3h 42m	γ aurgae. 3h 42m 8° 3' 56" 5 — 7° 5' 19° 5' 13" 4 — 18° 5' 30° 5' 24" 5 42° 0' 29" 0 Mittelfaden 49 3	
			West	269° 10'		Ost	80° 10'		
			Collimation	aus der Zeitbestimmung — 0° 16 2 " " Kreisablesung — 0° 64 0		Nordpunkt	90° 15' 10"	Uhrstand um 3h 38s + 1h 17' 37" 21.	

Datum	Ort	Ocular	Libelle		Einstellung des Polarsternes Kreislesung	Zeitstern	Ocular	Libelle		Einstellung des Polarsternes Kreislesung	Zeitstern
			West	Ost				West	Ost		
2. März 1896	Suez III	Ost	13° 10' 13° 8'	10° 0' 10° 0'	3 ^h 50 ^m 12 ^s 3 ^h 52 ^m	α aurigae	West	13° 0' 13° 0'	17° 0' 17° 7'	4 ^h 27 ^m 46 ^s 4 ^h 29 ^m	α orionis.
				55° 40'	34° 5' 40° 5' 46° 7' 52° 8' 59° 0' 11° 3'	20° 4' 30° 7' 35° 1' 39° 3' 43° 7' 53° 0'		20° 4' 30° 7' 35° 1' 39° 3' 43° 7' 53° 0'			
			—	4 9 37 3 59 20	Mittelfaden 19° 2'	13° 0' 13° 5'		17° 7' 17° 2'	1 21 49 1 3 30	Mittelfaden 53° 7'	
Collimation aus der Zeitbestimmung — 1° 474 * * Kreisablesung — 1° 455						Nordpunkt Uhrstand um 4 ^h 11 ^m 90° 1' 8" + 1 ^h 17 ^m 36 ^s 50.					
5. März 1896	Ras abu senina	Ost	13° 18' 13° 0'	13° 9' 13° 0'	3 ^h 47 ^m 40 ^s 3 ^h 50 ^m	α aurigae.	West	10° 0' 9° 5'	17° 9' 18° 4'	3 ^h 55 ^m 50 ^s 3 ^h 59 ^m	β tauri.
				92° 20'	20° 8' 33° 3' 39° 2' 45° 5' 51° 6' 3° 6'	18° 6' 23° 2' 27° 0' 32° 9' 37° 8' 47° 5'		59° 4' 9° 4' 14° 0' 18° 0' 23° 7' 28° 5'			
			—	4 29 56 4 10 35	Mittelfaden 11° 3'	—		3 53 19 3 40 7	Mittelfaden 53° 7'		
Collimation aus der Zeitbestimmung — 0° 901 * * Kreisablesung — 0° 760						Nordpunkt Uhrstand um 3 ^h 55 ^m 93° 40' 44" + 1 ^h 19 ^m 19 ^s 48.					
		West	14° 6' 13° 5'	14° 0' 15° 0'	4 ^h 7 ^m 2 ^s 4 ^h 10 ^m	γ tauri.	Ost	14° 4' 14° 8'	14° 2' 14° 0'	4 ^h 10 ^m 0 ^s 4 ^h 19 ^m	α orionis.
				272° 20'	20° 7' 20° 0' 30° 2' 34° 4' 39° 1' 48° 3'	12° 6' 10° 8' 21° 4' 25° 8' 30° 3' 38° 7'		49° 5' 58° 2' 2° 6' 6° 7' 11° 2' 15° 3'			
			—	2 47 10 2 38 3	Mittelfaden 53° 8'	10° 0' 13° 3'		12° 8' 15° 3'	1 40 13 1 41 0	Mittelfaden 44° 3'	
Collimation aus der Zeitbestimmung — 0° 829 * * Kreisablesung — 0° 733						Nordpunkt Uhrstand um 4 ^h 15 ^m 93° 40' 13" + 1 ^h 19 ^m 40 ^s 57.					

Datum	Ort	Ocular	Libelle	Einstellung des Polarsternes Kreislesung	Zeitstern	Ocular	Libelle	Einstellung des Polarsternes Kreislesung	Zeitstern
			West Ost				West Ost		
6. März 1890	Ras abu zenima	Ost	11° 5' 10" 5	15° 5' 10" 2	3 ^h 47 ^m 14 ^s	West	14° 3' 15" 0	13° 1' 12" 4	3 ^h 55 ^m 58 ^s
			α aurigae. 3 ^h 50 ^m				β tauri. 3 ^h 59 ^m		
			27° 5' 18" 7 32° 4' 31" 3 39° 0' 37" 5 45° 5' 43" 0 51° 5' 49" 0 4° 0' 55" 7				12° 7' 58" 7 22° 0' 8" 5 27° 5' 13" 5 32° 3' 18" 3 37° 2' 22" 8 46° 6' 27" 0		
			4 28 56 4 24 49				4 2 30 3 39 3		
Collimation			aus der Zeitbestimmung — 0° 9' 15 α x Kreisablesung — 0° 9' 4			Nordpunkt 03° 40' 55" Uhrstand um 3 ^h 55 ^m + 1 ^h 19 ^m 40 ^s 42.			
		West	14° 4' 13" 2	14° 5' 13" 3	4 ^h 0 ^m 5 ^s	Ost	14° 0' 13" 2	14° 5' 13" 5	4 ^h 15 ^m 55 ^s
			ζ tauri. 4 ^h 10 ^m				α orionis. 4 ^h 19 ^m		
			20° 0' 59" 5 25° 4' 8" 0 30° 2' 13" 4 34° 5' 17" 8 39° 3' 22" 5 48° 5' 36" 0				12° 7' 49" 5 16° 7' 57" 7 21° 1' 2" 3 25° 6' 6" 5 29° 5' 10" 0 38° 6' 14" 7		
			3 3 20 2 38 4				15° 0' 13" 1 13° 8' 14" 3		
Collimation			aus der Zeitbestimmung 1° 0' 20 α x Kreisablesung — 0° 58' 0			Nordpunkt 93° 40' 56" Uhrstand um 4 ^h 15 ^m + 1 ^h 19 ^m 49 ^s 47.			
8. März 1890	Tor	Ost	16° 0' 15" 2	13° 6' 14" 2	4 ^h 4 ^m 57 ^s	West	16° 0' 13" 6	18° 5' 11" 3	4 ^h 14 ^m 16 ^s
			ζ tauri. 4 ^h 8 ^m				α orionis. 4 ^h 17 ^m		
			24° 6' 3" 5 29° 0' 12" 4 33° 0' 16" 8 38° 0' 21" 5 42° 7' 25" 7 51° 7' 30" 5				21° 5' 58" 1 25° 5' 0" 7 30° 1' 11" 1 34° 4' 15" 3 38° 5' 19" 5 47° 5' 23" 6		
			3 35 4 2 24 50				21° 0' 9" 0 18° 2' 11" 7		
Collimation			aus der Zeitbestimmung — 1° 0' 41 α x Kreisablesung — 0° 8' 30			Nordpunkt 88° 40' 11" Uhrstand um 4 ^h 14 ^m + 1 ^h 21 ^m 48 ^s 22.			
		West	16° 4' 13" 5	18° 2' 11" 8	4 ^h 21 ^m 44 ^s	Ost	14° 0' 15" 0	14° 0' 10" 2	4 ^h 34 ^m 14 ^s
			α orionis. 4 ^h 25 ^m				γ orionis. 4 ^h 38 ^m		
			24° 3' 0" 4 28° 4' 9" 4 32° 5' 13" 3 36° 0' 17" 5 41° 3' 21" 0 49° 5' 25" 9				1° 7' 39" 1 6° 3' 47" 7 10° 6' 52" 2 15° 1' 50" 6 19° 3' 0" 7 28° 2' 5" 5		
			10° 0' 11" 0 16° 5' 13" 0				0 18 44 0 17 41		
Collimation			aus der Zeitbestimmung — 1° 0' 85 α x Kreisablesung — 1° 1' 00			Nordpunkt 88° 40' 12" Uhrstand um 4 ^h 32 ^m + 1 ^h 21 ^m 48 ^s 35.			

Datum	Ort	Ocular	Labelle		Einstellung des Polarisiers Kreislesung	Zeitstern	Ocular	Labelle		Einstellung des Polarisiers Kreislesung	Zeitstern
			West	Ost				West	Ost		
9. März 1890.	Tor		13° 8' 14" 0'	12° 8' 15" 3'	4 ^h 2 ^m 38 ^s	☐ tourl. 4 ^h 8 ^m	West	15° 0' 12" 4'	19° 8' 8" 3'	1 ^h 13 ^m 20 ^s	α orionis 4 ^h 12 ^m
					87° 20'	24° 5' 3' 4' 29° 2' 12° 5' 13° 5' 10° 9' 38° 4' 21° 7' 42° 6' 25° 8' 51° 0' 30° 6'				207° 20'	21° 5' 58° 1' 25° 8' 0° 7' 30° 1' 11° 0' 34° 5' 15° 4' 38° 7' 19° 5' 47° 3' 23° 8'
					2 30 50 2 22 45	Mittelfaden 57° 2'		20° 3' 7° 5'	2 0 35 10 2 11° 0' 1 45 10		Mittelfaden 52° 8'
			Collimation aus der Zeitbestimmung: -1° 0' 17"				Nordpunkt 88° 40' 3"		Uhrstand um 4 ^h 13 ^m -1° 21' 48" 58.		
			17° 0' 11° 3'	19° 5' 5° 0'	4 ^h 21 ^m 54 ^s	α orionis. 4 ^h 25 ^m	West	17° 5' 10° 7'	14° 5' 14° 0'	4 ^h 34 ^m 27 ^s	γ orionis. 4 ^h 38 ^m
					207° 20'	23° 6' 0° 1' 27° 8' 8° 5' 32° 4' 12° 7' 38° 5' 17° 1' 40° 5' 21° 4' 49° 3' 25° 5'				87° 20'	1° 5' 38° 5' 5° 7' 47° 4' 10° 2' 51° 8' 14° 0' 50° 3' 19° 1' 0° 2' 27° 6' 5° 2'
			19° 0' 9° 2' 1 28 50 15° 8' 12° 3' 1 9 34			Mittelfaden 54° 6'				0 13 40 0 9 34	Mittelfaden 33° 4'
			Collimation aus der Zeitbestimmung: -0° 0' 09"				Nordpunkt 88° 40' 4"		Uhrstand um 4 ^h 32 ^m -1° 21' 48" 47.		
			13° 0' 15° 0'	11° 7' 15° 9'	4 ^h 23 ^m 50 ^s	α orionis. 4 ^h 27 ^m	West	12° 9' 15° 0'	14° 0' 13° 0'	4 ^h 30 ^m 38 ^s	γ orionis. 4 ^h 40 ^m
					89° 20'	21° 4' 57° 8' 25° 8' 0° 4' 29° 9' 10° 0' 34° 6' 14° 7' 38° 0' 10° 4' 47° 2' 23° 5'				209° 10'	4° 6' 41° 8' 9° 1' 50° 7' 13° 0' 55° 4' 17° 8' 59° 4' 22° 3' 3° 5' 31° 0' 8° 4'
			15° 0' 12° 1' 1 17 45 17° 5' 10° 2' 1 2 37			Mittelfaden 52° 0'				0 42 10 0 25 50	Mittelfaden 36° 0'
			Collimation aus der Zeitbestimmung: -1° 00'				Nordpunkt 90° 40' 24"		Uhrstand um 4 ^h 11 ^m -1° 10' 47" 24.		
13. März 1890.	Rav. Ghent		15° 4' 12° 4'	13° 0' 14° 0'	4 ^h 41 ^m 14 ^s	η geminorum. 4 ^h 47 ^m	West	12° 0' 10° 2'	9° 0' 19° 0'	4 ^h 52 ^m 26 ^s	π geminorum. 4 ^h 55 ^m
					209° 20'	42° 0' 22° 1' 47° 7' 31° 3' 52° 2' 35° 8' 56° 8' 40° 3' 61° 3' 45° 1' 10° 0' 49° 0'				89° 10'	45° 3' 24° 4' 49° 5' 33° 6' 54° 3' 38° 1' 59° 2' 42° 5' 63° 0' 47° 3' 12° 5' 51° 4'
					0 13 42 0 3 21	Mittelfaden 16° 6'				4 20 54 4 23 15	Mittelfaden 18° 5'
			Collimation aus der Zeitbestimmung: -1° 0' 13"				Nordpunkt 90° 40' 22"		Uhrstand um 4 ^h 52 ^m -1° 10' 47" 16.		

Datum	Ort	Ocular.		Einstellung des Polarsternes Kreislesung	Zeitstern	Ocular.		Einstellung des Polarsternes Kreislesung	Zeitstern
		West	Ost			West	Ost		
14. März 1890.	Bas Gharib	13° 3' 15" 2'	12° 9' 10" 0'	4 ^h 23 ^m 52 ^s	α Orionis. 4 ^h 27 ^m 22° 2' 58" 4 26° 4' 0" 7 30° 6' 11" 3 34° 9' 15" 5 39° 3' 19" 5 42° 7' 23" 8 Mittelfaden 53° 4	14° 2' 14" 9'	14° 0' 15" 0'	4 ^h 36 ^m 30 ^s	γ Orionis. 4 ^h 40 ^m 5° 4' 43" 5 9° 0' 54" 4 14° 1' 55" 7 18° 6' 0" 2 22° 4' 4" 6 31° 6' 8" 7 Mittelfaden 37° 1
		22° 2' 58" 4	26° 4' 0" 7	30° 6' 11" 3	34° 9' 15" 5	39° 3' 19" 5	42° 7' 23" 8	20° 9' 20" 1	0 43 12 0 30 56
		12° 4' 16" 2	13° 4' 15" 5	1 15 40 1 0 20					
		Collimation aus der Zeitbestimmung — 1° 27' 8 * * Kreisablesung — 1° 24' 0				Nordpunkt 90° 40' 22" Uhrstand um 4 ^h 34 ^m + 1 ^h 19 ^m 40 ^s 02.			
14. März 1890.	Bas Gharib	14° 0' 14° 0'	15° 3' 15° 3'	4 ^h 44 ^m 16 ^s	γ geminorum. 4 ^h 47 ^m 43° 6' 22" 5 48° 5' 32" 1 52° 8' 30" 5 57° 5' 41" 2 2 0 45° 0 11° 3' 50" 4 Mittelfaden 16° 8	19° 0' 20° 3'	10° 6' 9" 2	4 ^h 52 ^m 24 ^s	β geminorum. 4 ^h 55 ^m 43° 2' 22" 3 47° 7' 31" 5 52° 5' 35" 7 50° 7' 40" 5 1° 4' 45" 4 10° 5' 49" 5 Mittelfaden 10° 5
		West		269° 20'	Os		89° 10'		4 18 45 4 11 35
		—	—	0 14 44 0 0 27		—	—		
		Collimation aus der Zeitbestimmung — 1° 04' 5 * * Kreisablesung — 1° 38' 0				Nordpunkt 90° 40' 17" Uhrstand um 4 ^h 52 ^m + 1 ^h 19 ^m 47 ^s 08.			
17. März 1890.	Zafarana	15° 2' 14° 3'	14° 3' 14° 3'	4 ^h 54 ^m 2 ^s	β geminorum. 4 ^h 57 ^m 37° 5' 6" 5 34° 8' 15" 6 30° 7' 20" 3 41° 2' 24" 6 45° 6' 20" 5 54° 8' 34" 1 Mittelfaden 0° 6	17° 7' 15° 9'	12° 1' 13° 0'	5 ^h 8 ^m 26 ^s	γ geminorum 5 ^h 11 ^m 57° 5' — 1° 5' — 0° 4' — — 52° 5 — 57° 2 — 1° 4 Mittelfaden —
		Os		88° 30'	West		268° 30'		2 29 58 2 15 39
		—	—	2 55 23 2 47 12		—	—		
		Collimation aus der Zeitbestimmung — 0° 944 * * Kreisablesung — 0° 730				Nordpunkt 89° 57' 51" Uhrstand um 5 ^h 5' + 1 ^h 17 ^m 59 ^s 45.			
17. März 1890.	Zafarana	15° 5' 19° 3'	14° 3' 10° 4'	5 ^h 14 ^m 56 ^s	δ geminorum. 5 ^h 18 ^m 35° 8' 15" 7 40° 9' 25" 3 45° 5' 30" 9 50° 2' 34" 5 54° 7' 39" 5 4 0 43° 7 Mittelfaden 10° 2	16° 7' 13° 5'	13° 5' 16° 4'	5 ^h 24 ^m 36 ^s	θ geminorum. 5 ^h 27 ^m 55° 8' 39" 4 0° 5' 49" 5 0° 1' 54" 7 11° 0' 0" 0 16° 2' 4" 8 20° 5' 10" 2 Mittelfaden 32° 6
		West		268° 30'	Os		88° 30'		1 41 10 1 32 57
		—	—	2 15 43 2 1 20		—	—		
		Collimation aus der Zeitbestimmung — 1° 009 * * Kreisablesung — 0° 877				Nordpunkt 80° 57' 56" Uhrstand um 5 ^h 24 ^m + 1 ^h 17 ^m 59 ^s 51.			

Datum	Ort	Ocular		Einstellung des Polarsternes Kreislesung	Zeitstern	Ocular		Einstellung des Polarsternes Kreislesung	Zeitstern
		West	Ost			West	Ost		
18. März 1890	Zafarana	11°7' 17°4' 4 ^b 53 ^m 52 ^s 9°0' 20' 1		2 ^a geminorum 4 ^b 57 ^m	7 ^a geminorum 5 ^b 11 ^m	10°8' 12°6' 5 ^b 8 ^m 27 ^s 17°2' 12°2'		7 ^a geminorum 5 ^b 11 ^m	57°3' 35°3' 2°1' 44°2' 6°5' 48°6' 10°7' 53°0' 15°4' 57°6' 24°3' 1°7'
				27°9' 7°0' 32°4' 10°5' 37°3' 20°8' 41°6' 25°0' 46°4' 30°3' 55°7' 34°0'		West		208° 30'	2 30 3 2 19 45 Mittelfaden 20°3'
				3 1 30 2 48 3	Mittelfaden 1°7'				
		Collimation aus der Zeitbestimmung — 1°107 " " Kreisablesung — 1°053				Nordpunkt 80°57'58" Uhrstand um 5 ^h 7 ^m + 1 ^h 17 ^m 59 ^s 26.			
18. März 1890	Zafarana	17°0' 12°9' 5 ^b 15 ^m 10 ^s 17°1' 12°6'		1 ^a geminorum. 5 ^b 18 ^m	2 ^a geminorum. 5 ^b 27 ^m	11°8' 18°1' 5 ^b 24 ^m 20 ^s 12°0' 18°1'		2 ^a geminorum. 5 ^b 27 ^m	50°7' 39°7' 1°3' 49°8' 0°4' 55°2' 11°6' 0°3' 10°6' 5°4' 26°8' 10°4'
				36°5' 10°5' 41°1' 25°6' 45°7' 30°5' 50°3' 35°2' 55°2' 39°6' 4°5' 44°5'		Ost		88° 30'	1 45 13 1 32 50 Mittelfaden 32°3'
				2 21 47 2 4 30	Mittelfaden 10°5'				
		Collimation aus der Zeitbestimmung — 1°200 " " Kreisablesung — 1°140				Nordpunkt 80°57'55" Uhrstand um 5 ^h 24 ^m + 1 ^h 17 ^m 50 ^s 44.			
20. März 1890	Suez IV	13°3' 15°0' 5 ^b 10 ^m 18 ^s 13°3' 15°2'		7 ^a geminorum. 5 ^b 12 ^m	1 ^a geminorum. 5 ^b 18 ^m	18°0' 10°8' 5 ^b 15 ^m 44 ^s 19°6' 9°3'		1 ^a geminorum. 5 ^b 18 ^m	57°6' 37°4' 2°4' 40°7' 0°7' 51°4' 11°5' 50°3' 10°4' 0°9' 25°7' 5°5'
				10°5' 54°4' 20°8' 3°0' 25°4' 7°7' 20°7' 12°1' 34°3' 10°2' 43°2' 20°7'		West		269° 26'	3 29 59 3 12 37 Mittelfaden 31°6'
				3 24 52 3 4 29	Mittelfaden 48°6'				
		Collimation aus der Zeitbestimmung — 1°178 " " Kreisablesung — 1°308				Nordpunkt 80°50'56" Uhrstand um 5 ^h 10 ^m + 1 ^h 17 ^m 32 ^s 12.			
20. März 1890	Suez IV	20°8' 8°3' 5 ^b 24 ^m 30 ^s 20°8' 8°4'		2 ^a geminorum. 5 ^b 28 ^m	1 ^a geminorum. 5 ^b 38 ^m	10°4' 13°0' 5 ^b 35 ^m 0 ^s 10°0' 13°5'		1 ^a geminorum. 5 ^b 38 ^m	52°6' 31°0' 57°5' 40°5' 1°8' 45°2' 0°6' 49°6' 10°7' 54°3' 20°1' 58°6'
				18°8' 2°5' 24°1' 12°7' 29°1' 17°6' 34°4' 22°9' 30°4' 25°1' 49°6' 33°3'		Ost		80° 20'	2 33 59 2 21 49 Mittelfaden 25°11'
				3 9 30 2 51 19	Mittelfaden 56°4'				
		Collimation aus der Zeitbestimmung — 1°204 " " Kreisablesung — 1°280				Nordpunkt 90°50'53" Uhrstand um 5 ^h 34 ^m + 1 ^h 17 ^m 32 ^s 01.			

Datum	Ort	Ocular	Etikette		Einstellung des Polarsternes Kreislesung	Zeitstern	Ocular	Etikette		Einstellung des Polarsternes Kreislesung	Zeitstern	
			West	Ost				West	Ost			
29. März 1896	Suez IV		12° 3' 13.5	15 7 14.0	5h 49m 10s	λ geminorum. 5h 52m 13° 0' 20.0 47.4 29.0 51.0 33.9 59.3 38.5 0.5 42.7 9.4 47.3 Mittelfaden 15.2	West	20° 8' 19.5	7 7 0.0	5h 58m 12s	β canis minoris. 6h 31m 13° 6' 0.2 27.8 8.7 12.4 13.2 30.4 17.3 40.8 21.0 49.0 25.7 Mittelfaden 54.8	
			—	—	2 43 10 2 27 53	—		19° 0' 21.3	0 0 2 2 55 22	—	—	
			Collimation aus der Zeitbestimmung — 0° 40.6 * * Kreisablesung — 1° 0.10					Nordpunkt 91° 31' 29" Uhrstand um 5h 57m + 1h 17m 30.7 43.				
			4. April 1896	Mersa Dahab		21° 0' 18.8	7° 0' 9.8	6h 10m 28s	α canis minoris. 6h 13m 28.7 5.3 33.2 13.7 37.5 17.7 41.0 22.4 48.0 20.4 54.5 30.5 Mittelfaden 59.6	Ost	15° 0' 17.8	13° 8' 11.0
19° 7' 22.8	9° 0' 0.0	2 58 25 2 40 2				—	—	2 44 13 2 33 58	—		—	
Collimation aus der Zeitbestimmung — 0° 40.6 * * Kreisablesung — 0° 39.6						Nordpunkt 91° 31' 30" Uhrstand um 6h 17m + 1h 17m 30.5 50.						
4. April 1896	Mersa Dahab					12° 2' 12.2	12° 2' 12.0	6h 2m 20s	α canis minoris. 6h 5m 51.0 — 55.2 — 59.5 — 3.5 — 8.0 — 10.5 — Mittelfaden —	West	17° 0' 16.8	7° 8' 8.2
			14° 2' 12.0	11° 5' 12.8	4 45 11 4 32 58	—	—	0 13 30 0 9 10	—		—	
			Collimation aus der Zeitbestimmung — 1° 33.6 * * Kreisablesung — 1° 25.7					Nordpunkt 90° 54' 28" Uhrstand um 6h 10m + 1h 25' 10.7 14.				
			4. April 1896	Mersa Dahab		10° 0' 16.8	9° 4' 8.0	6h 27m 57s	λ geminorum. 6h 31m 12.0 58.5 22.3 8.0 27.5 12.6 32.0 17.2 30.0 22.5 40.4 27.3 Mittelfaden 52.6	Ost	15° 0' 13.7	11° 0' 12.2
—	—	0 27 0 0 10 40				—	14° 2' 13.5	11° 5' 12.2	0 31 59 0 23 45		—	—
Collimation aus der Zeitbestimmung — 1° 66.4 * * Kreisablesung — 1° 40.0						Nordpunkt 90° 54' 25" Uhrstand um 6h 38s + 1h 25' 10.7 22.						

Datum	Ort	Libelle		Einstellung des Polarsternes Kreislesung	Zeitstern	Libelle		Einstellung des Polarsternes Kreislesung	Zeitstern		
		Ocular	West Ost			Ocular	West Ost				
u. April 1896	Mersa Dahab	Ost	15° 0' 12° 0' 11° 0'	6h 2m 14s 88° 30'	α canis minoris 6h 5m 50° 6' 26° 8' 54° 8' 35° 5' 59° 3' 39° 6' 3° 5' 44° 2' 7° 7' 48° 4' 10° 5' 52° 5' Mittelfaden 21° 7'	West	11° 5' 11° 9' 17° 5' 10° 5'	6h 9m 36s 268° 30'	β geminorum. 6h 13m 8° 5' 49° 4' 13° 2' 59° 2' 18° 0' 3° 5' 22° 8' 8° 6' 27° 6' 13° 5' 37° 4' 18° 5' Mittelfaden 43° 5'		
			12° 1' 10° 9' 12° 4' 10° 6' 0' 50' 20'	1 4 32 0 50 20	— —		1 43 11 1 18 45				
			Collimation aus der Zeitbestimmung — 1° 380 " " Kreisablesung — 1° 550				Nordpunkt 80° 57' 18" Uhrstand um 6h 10° — + 1h 25m 16° 21.				
		West	10° 4' 13° 2' 10° 5' 13° 2'	6h 27m 40s 268° 30'	χ geminorum. 6h 31m — 59° 5' 23° 5' 9° 0' 28° 3' 13° 6' 32° 8' 18° 5' 37° 5' 23° 7' 47° 5' 28° 5' Mittelfaden 53° 5'	Ost	10° 0' 13° 3' 11° 6' 12° 0'	6h 39m 38s 88° 30'	β caneri. 6h 43m 15° 7' 52° 5' 20° 0' 1° 2' 24° 6' 5° 6' 28° 5' 9° 6' 33° 2' 14° 3' 41° 6' 18° 4' Mittelfaden 47° 3'		
			— —	2 6 32 1 46 10	11° 6' 12° 2' 10° 0' 13° 7'		2 1 28 1 49 9				
			Collimation aus der Zeitbestimmung — 1° 470 " " Kreisablesung — 1° 520				Nordpunkt 89° 52' 17" Uhrstand um 6h 37m + 1h 25m 15° 81.				
		Ost	11° 0' 10° 6' 10° 6' 17° 0'	6h 46m 26s 87° 20'	β 1197. 6h 51m 10° 2' — 14° 3' 54° 4' 18° 6' 59° 0' 22° 7' 3° 3' 27° 1' — 35° 4' — Mittelfaden —	West	14° 4' 13° 2' 13° 4' 14° 4'	7h 36m 6s 267° 30'	θ hydrae. 7h 40m — 1° 5' — 9° 8' — 14° 1' 37° 8' 18° 1' 47° 4' — 50° 6' — Mittelfaden 55° 8'		
			11° 0' 10° 8' 10° 3' 17° 3'	2 8 36 2 0 25	14° 0' 14° 0'		0 30 57 0 17 46				
			Collimation aus der Zeitbestimmung — 0° 917 " " Kreisablesung — 0° 800				Nordpunkt 88° 47' 13" Uhrstand um 7h 15° — + 1h 25m 48° 90.				
			Zur Noth angewommene Beobachtung; trübes Wetter nach drei fruchtlosen Abenden. Collimation selbst Tags vorher geändert.								
11. April 1896	Nawibi										

Datum	Ort	Ocular	Libelle		Einstellung des Polarsternes Kreislesung	Zeitstern	Ocular	Libelle		Einstellung des Polarsternes Kreislesung	Zeitstern
			West	Ost				West	Ost		
12. April 1890	Nawahi	Ost	12° 0'	15° 3'	6 ^h 37 ^m 17 ^s	♄ cancri. 6 ^h 42 ^m	West	14° 5'	12° 8'	6 ^h 47 ^m 10 ^s	Br. 1107. 6 ^h 51 ^m
			40° 7'	17° 5'	207° 20'	— 49° 5'					
			45° 2'	25° 7'	— 52° 5'	— 1° 5'					
			49° 3'	30° 4'	25° 7'	6° 3'					
			51° 5'	34° 0'	52° 8'	38° 7'	30° 3'	10° 5'			
			57° 8'	38° 7'	38° 5'	14° 0'					
			11° 0'	10° 3'	1° 39' 7"	Mittelfaden 12° 0'	15° 2'	12° 2'	2° 22' 52"	Mittelfaden 43° 10'	
			10° 0'	17° 3'	1° 45' 9"		31° 2'	23° 7'	2° 17' 41"		
Collimation aus der Zeitbestimmung — 170,13 " " Kreisablesung — 0° 00'							Nordpunkt 88° 47' 16"		Uhrstand um 6 ^h 27 ^m — 1 ^h 25 ^m 48 ^s 30.		
Bewölkt.											
14. April 1890	Akabah	Ost	12° 3'	14° 0'	7 ^h 40 ^m 40 ^s	♄ cancri. 7 ^h 10 ^m	West	15° 1'	11° 6'	7 ^h 10 ^m 50 ^s	♄ hydrac. 7 ^h 20 ^m
			3° 0'	40° 8'	207° 0'	9° 1' 45° 3'					
			7° 2'	49° 10'	13° 1' 53° 10'	17° 0' 58° 2'					
			11° 5'	54° 4'	21° 8' 2° 5'	26° 4' 0° 5'					
			16° 1'	58° 5'	20° 0'	3° 2'	34° 0'	10° 0'			
			29° 11'	7° 11'	Mittelfaden 35° 2'		16° 0'	10° 8'	1° 9' 37"	Mittelfaden 40° 2'	
			0° 30'	57° 4'			16° 0'	10° 8'	1° 8' 32"		
Collimation aus der Zeitbestimmung 1-07,112 " " Kreisablesung -0-02,30							Nordpunkt 88° 22' 7"		Uhrstand um 7 ^h 10 ^m — 1 ^h 27 ^m 8280.		
		West	14° 3'	12° 4'	7 ^h 23 ^m 30 ^s	♄ scorpi. major. 7 ^h 20 ^m	Ost	14° 8'	12° 9'	7 ^h 35 ^m 30 ^s	♄ hydrac. 7 ^h 39 ^m
			46° 3'	40° 4'	8° 0'	37° 5'					
			52° 0'	53° 4'	5° 5'	40° 1'					
			58° 0'	59° 0'	9° 7'	50° 4'					
			5° 7'	6° 2'	14° 3'	54° 5'	18° 4'	58° 0'	27° 2'	3° 3'	
			11° 0'	12° 5'	24° 5'	18° 8'	12° 5'	14° 4'	2° 38' 0"	Mittelfaden 32° 4'	
			15° 7'	11° 2'	1° 36' 1"	Mittelfaden 32° 7'	12° 2'	14° 9'	2° 30' 4"		
Collimation aus der Zeitbestimmung +0-354 " " Kreisablesung -0-370							Nordpunkt 88° 22' 13"		Uhrstand um 7 ^h 34 ^m — 1 ^h 27 ^m 9208.		

Datum	Ort	Ocular		Libelle	Einstellung des Polarsternes Kreislesung	Zeitstern	Ocular		Libelle	Einstellung des Polarsternes Kreislesung	Zeitstern
		West	Ost	West			Ost				
15. April 1890	Akabab	12° 2'	12° 2'	7 ^h 0 ^m 38 ^s	♌ cancri.	West	12° 5'	12° 2'	7 ^h 10 ^m 50 ^s	♌ hydrae.	
		12° 5'	11° 9'		7 ^h 10 ^m		12° 5'	12° 2'		7 ^h 20 ^m	
					2° 7'					10° 1'	46° 3'
					2° 6'					14° 0'	55° 0'
					11° 8'					18° 5'	59° 4'
					10° 5'					22° 9'	3° 5'
					20° 6'					27° 5'	7° 8'
					29° 7'					35° 0'	12° 4'
				0 30 57	Mittelfaden 35 u		12° 5'	12° 2'	1 12 42		
				0 38 41			13° 9'	11° 0'	1 12 37		
Collimation aus der Zeitbestimmung +0°033						Nordpunkt		Uhrstand um 7 ^h 15 ^m			
* * Kreisablesung +0°087						88° 22' 11"		+ 1 ^h 27 ^m 57.2.			
15. April 1890	Akabab	14 0 10 7	7 ^h 23 ^m 20 ^s	♌ ursae majores.	West	12° 8'	12° 2'	7 ^h 35 ^m 31 ^s	♌ hydrae.		
		13° 5'	11° 3'	7 ^h 26 ^m			9° 9'	15° 3'		7 ^h 39 ^m	
				47° 3'		41° 8'				1° 7'	37° 9'
				53° 0'		54° 6'				6° 2'	40° 5'
				0° 1'		0° 8'				10° 5'	50° 7'
				6° 0'		7° 4'				14° 5'	54° 8'
				12° 7'		13° 5'				19° 1'	59° 5'
				35° 5'		20° 2'				27° 4'	3° 6'
		15° 2'	9° 0'	1 40 7		Mittelfaden 33-8	10° 8'	14° 3'	2 34 3		
		13° 9'	11° 0'	1 10 5			10° 0'	14° 4'	2 43 7		
Collimation aus der Zeitbestimmung +0°057						Nordpunkt		Uhrstand um 7 ^h 32 ^m			
* * Kreisablesung +0°058						88° 22' 10"		+ 1 ^h 27 ^m 57.2.			
16. April 1890	Akabab	13° 2'	10° 3'	7 ^h 0 ^m 20 ^s	♌ cancri.	West	13° 5'	10° 2'	7 ^h 10 ^m 31 ^s	♌ hydrae.	
		14° 0'	9° 8'		7 ^h 10 ^m		13° 2'	10° 0'		7 ^h 20 ^m	
					2° 6'					11° 3'	47° 5'
					6° 9'					15° 5'	56° 2'
					11° 0'					19° 0'	0° 5'
					10° 0'					24° 0'	4° 5'
					20° 0'					28° 2'	9° 0'
					29° 3'					30° 7'	13° 5'
				0 23 51	Mittelfaden 34.7		14° 3'	9° 2'	1 10 45		
				0 30 55			14° 5'	9° 3'	1 11 36		
Collimation aus der Zeitbestimmung +0°540						Nordpunkt		Uhrstand um 7 ^h 15 ^m			
* * Kreisablesung -0°401						88° 22' 8"		+ 1 ^h 27 ^m 77.5.			
16. April 1890	Akabab	13° 1'	10° 0'	7 ^h 23 ^m 34 ^s	♌ ursae majores.	West	12° 3'	11° 8'	7 ^h 35 ^m 24 ^s	♌ hydrae.	
		12° 0'	11° 3'		7 ^h 26 ^m		11° 3'	12° 7'		7 ^h 39 ^m	
					48° 5'					1° 7'	37° 8'
					54° 0'					5° 5'	46° 0'
					1° 5'					10° 2'	50° 5'
					7° 8'					14° 5'	54° 6'
					14° 2'					18° 7'	59° 4'
					20° 9'					27° 5'	3° 4'
		12° 1'	11° 8'	1 44 14	Mittelfaden 35		11° 0'	12° 2'	2 30 58		
		14° 3'	9° 0'	1 43 9			10° 1'	14° 0'	2 30 1		
Collimation aus der Zeitbestimmung -0°409						Nordpunkt		Uhrstand um 7 ^h 33 ^m			
* * Kreisablesung -0°404						88° 22' 9"		+ 1 ^h 27 ^m 77.5.			

Datum	Ort	Libelle		Einstellung des Polarsternes Kreislesung	Zeitstern	Libelle		Einstellung des Polarsternes Kreislesung	Zeitstern
		Ocular	West Ost			Ocular	West Ost		
18. April 1896	Bir-almasbaya			11° 7' 11° 0' 7 ^h 2 ^m 20 ^s 13° 1' 9° 0'	ζ cancr. 7 ^h 10 ^m 49° 1' 27° 4' 53° 7' 36° 9' 58° 1' 40° 6' 2° 2' 45° 2' 7° 0' 49° 6' 15° 9' 54° 0'			12° 7' 10° 3' 7 ^h 17 ^m 32 ^s 15° 4' 7° 0'	ζ hydrae. 7 ^h 20 ^m 55° 9' 32° 4' 6° 4' 40° 5' 4° 5' 45° 1' 8° 0' 49° 5' 13° 2' 53° 0' 21° 6' 58° 0'
				3 37 4 3 24 50	Mittelfaden 21° 4'	West		205° 50'	Mittelfaden 27° 2'
								15° 0' 7° 4' 3' 12 40 14° 0' 9° 0' 3' 3 31	
		Collimation	aus der Zeitbestimmung +0° 037 " " Kreisablesung +0° 058			Nordpunkt	Uhrstand um 7 ^h 16 ^m 87° 15' 31"		
19. April 1896	Bir-almasbaya			14° 0' 9° 1' 7 ^h 24 ^m 15 ^s 16° 5' 6° 5'	τ ursae majoris. 7 ^h 27 ^m 33° 6' 27° 8' 39° 9' 40° 8' 46° 6' 47° 4' 53° 7' 53° 5' 59° 0' 0° 3' 12° 4' 6° 3'			11° 2' 11° 6' 7 ^h 36 ^m 0 ^s 7° 5' 15° 4'	δ hydrae. 7 ^h 39 ^m 48° 5' 24° 5' 52° 0' 32° 7' 58° 8' 37° 4' 1° 0' 41° 5' 5° 4' 45° 6' 13° 0' 50° 0'
		West		265° 50'	Mittelfaden 20° 4'	Ost		85° 50'	Mittelfaden 19° 2'
				10° 2' 6° 9' 3' 43 11 14° 7' 8° 4' 3' 28 54				8° 3' 14° 4' 4' 30 5 10° 7' 12° 1' 4' 30 1	
		Collimation	aus der Zeitbestimmung +0° 066 " " Kreisablesung +0° 200			Nordpunkt	Uhrstand um 7 ^h 34 ^m 87° 15' 37"		
19. April 1896	Bir-almasbaya			10° 5' 14° 0' 7 ^h 35 ^m 46 ^s 10° 7' 14° 0'	δ hydrae. 7 ^h 39 ^m 48° 0' 24° 3' 52° 5' 32° 6' — 36° 7' — 41° 4' — 45° 5' —			21° 0' 3' 3' 7 ^h 50 ^m 37 ^s 21° 7' 2° 6'	τ ursae majoris 8 ^h 1 ^m 47° 0' 40° 0' — — 13° 4'
		Ost		85° 50'	Mittelfaden 18° 7'	West		206° 0'	Mittelfaden 37° 2'
				9° 8' 14° 9' 4' 55 15 7° 3' 17° 1' 4' 49 11				14° 2' 10° 2' 1' 50 20 14° 0' 10° 3' 1' 41 7	
		Collimation	aus der Zeitbestimmung +0° 043 " " Kreisablesung +0° 200			Nordpunkt	Uhrstand um 7 ^h 51 ^m 87° 10' 5"		

Datum	Ort	Ocular		Einstellung des Polarsternes Kreislesung	Zeitstern	Ocular		Einstellung des Polarsternes Kreislesung	Zeitstern		
		West	Ost			West	Ost				
23. April 1860				12° 12' 0" 10° 2'	7 ^h 25' 18"	♄ ursae majoris. 7 ^h 28 ^m		13° 5' 11' 2"	7 ^h 30 ^m 58"	♂ hydrae. 7 ^h 40 ^m	
					87° 10'			West	207° 10'		
						21° 6' 15° 7'				31° 3' 7' 4'	
						27° 7' 28° 0'				35° 6' 16° 0'	
						33° 9' 34° 0'				39° 7' 19° 8'	
Senften					40° 3' 41° 4'					43° 7' 24° 0'	
						40° 7' 47° 7'				48° 2' 28° 0'	
						50° 0' 51° 0'				50° 6' 32° 9'	
						15° 4' 9° 7' 0" 11 25				14° 4' 10° 7'	0 38 1
						8° 5' 10° 4' 0 3 23	Mittelfaden 2° 4'			14° 3' 10° 8'	0 25 51
Collimation		aus der Zeitbestimmung + 1° 107 " " Kreisablesung + 1° 402				Nordpunkt 88° 27' 16"		Uhrstand um 7 ^h 35 ^m + 1 ^h 25 ^m 45 ^s 03.			
23. April 1860				13° 0' 12° 2'	7 ^h 45 ^m 44"	40 lyncis. 7 ^h 49 ^m		13° 5' 11' 2"	7 ^h 59 ^m 11"	♄ ursae majoris. 8 ^h 2 ^m	
					207° 10'			West	87° 10'		
						4° 5' 48° 5'				35° 6' 34° 3'	
						14° 5' 4° 1'				41° 8' 47° 8'	
						20° 2' 8° 8'				49° 0' 54° 0'	
Senften						25° 1' 14° 0'				50° 1' 1° 7'	
						35° 5' 19° 2'				56° 7' 8° 5'	
						1 21 40				16° 7' 15° 7'	
						1 11 30	Mittelfaden 42° 0'			11° 8' 13° 5'	2 54 19
										9° 3' 16° 0'	2 49 13
Collimation		aus der Zeitbestimmung + 1° 433 " " Kreisablesung + 1° 340				Nordpunkt 88° 27' 14"		Uhrstand um 7 ^h 50 ^m + 1 ^h 25 ^m 45 ^s 58.			
24. April 1860				14° 0' 9° 7'	7 ^h 25 ^m 40"	♄ ursae majoris. 7 ^h 28 ^m		12° 8' 11° 0'	7 ^h 30 ^m 58"	♂ hydrae. 7 ^h 40 ^m	
					87° 10'			West	207° 10'		
						21° 7' 10° 3'				32° 5' 8° 5'	
						22° 8' 28° 7'				36° 9' 17° 3'	
						34° 0' 35° 0'				41° 2' 21° 1'	
Senften						40° 8' 41° 7'				45° 5' 25° 0'	
						47° 4' 48° 2'				49° 5' 30° 1'	
						0° 2' 54° 6'				58° 2' 34° 4'	
						13° 1' 8° 3' 0 2 25	Mittelfaden 8° 3'			12° 9' 11° 0'	0 30 3
						14° 1' 9° 2' 0 13 11				13° 5' 10° 4'	0 25 48
Collimation		aus der Zeitbestimmung + 1° 680 " " Kreisablesung + 1° 085				Nordpunkt 88° 27' 9"		Uhrstand um 7 ^h 35 ^m + 1 ^h 25 ^m 44 ^s 19.			
24. April 1860				13° 0' 11° 1'	7 ^h 45 ^m 27"	40 lyncis. 7 ^h 49 ^m		11° 5' 12° 4'	7 ^h 59 ^m 24"	♄ ursae majoris. 8 ^h 2 ^m	
					207° 10'			West	87° 10'		
						5° 5' 49° 6'				36° 5' 34° 8'	
						10° 7' 0° 0'				43° 4' 48° 8'	
						15° 0' 5° 2'				50° 2' 56° 0'	
Senften						21° 3' 10° 6'				57° 4' 2° 7'	
						26° 3' 15° 5'				4° 1' 9° 6'	
						30° 6' 20° 5'				17° 0' 16° 6'	
						1 21 40	Mittelfaden 43° 3'			10° 3' 13° 4'	2 50 24
						1 8 31				8° 0' 10° 0'	2 40 10
Collimation		aus der Zeitbestimmung + 1° 280 " " Kreisablesung + 1° 140				Nordpunkt 88° 27' 12"		Uhrstand um 7 ^h 50 ^m + 1 ^h 25 ^m 44 ^s 34.			

Datum	Ort	Ocular	Labelle		Einstellung des Polarsternes Kreislesung	Zeitstern	Ocular	Labelle		Einstellung des Polarsternes Kreislesung	Zeitstern
			West	Ost				West	Ost		
25. April 1890	Sherm Sheikhs auf der Sinai- Halbinsel	Ost	10° 5' 9" 7	9° 6' 10" 6	7h 38m 34s	δ hydrae. 7h 42m	West	10° 5' 10" 9	10° 2' 10" 0	7h 47m 20s	40 lynceis. 7h 50m
					88° 40'	6° 5' 42' 7 10° 0' 51' 5 15° 3' 55' 5 19° 0' 59' 7 23° 0' 3' 8 31° 9' 8' 4				268° 40'	39° 8' 24' 0 45° 0' 34' 0 50° 3' 39° 0 55° 0' 44° 0 0° 0' 49° 0 10° 9' 54° 7
			11° 3' 7" 0	9° 1' 13" 5	1 19 46 1 12 0	Mittelfaden 37° 4		—	—	2 14 43 2 4 30	Mittelfaden 17° 7
			Collimation aus der Zeitbestimmung — 0° 480 • • Kreisablesung — 0° 550				Nordpunkt 89° 58' 29"		Uhrstand um 7h 47m + 1h 24m 12s 26.		
26. April 1890	Sherm Sheikhs	West	11° 2' 11" 0	10° 0' 9" 7	8h 0m 52s	δ ursae majore. 8h 4m	Ost	10° 3' 9" 8	11° 2' 11" 8	8h 11m 25s	α leonis. 8h 14m
					268° 40'	7° 2' 5' 9 14° 3' 19° 7 21° 2' 26° 0 27° 7' 33° 6 34° 9' 40° 0 48° 0' 47° 0				88° 40'	53° 0' 32° 9 58° 1' 42° 5 2° 6' 40° 7 7° 0' 51° 5 11° 0' 56° 3 21° 7' 0° 9
			12° 2' 13" 3	9° 2' 5" 1	3 30 59 3 19 45	Mittelfaden 57° 2		—	—	4 22 51 4 19 44	Mittelfaden 26° 8
			Collimation aus der Zeitbestimmung — 0° 473 • • Kreisablesung — 0° 500				Nordpunkt 89° 58' 32"		Uhrstand um 8h 10m + 1h 24m 12s 32.		
26. April 1890	Sherm Sheikhs	Ost	8° 6' 8" 6	8° 1' 8" 4	7h 38m 30s	δ hydrae. 7h 42m	West	9° 3' 9" 3	7° 2' 7" 2	7h 47m 6s	40 lynceis. 7h 50m
					85° 40'	6° 4' 42° 5 10° 5' 50° 8 14° 7' 55° 1 18° 9' 59° 4 23° 4' 3' 0 31° 0' 8° 0				268° 40'	39° 3' 22° 9 44° 5' 33° 5 49° 0' 38° 5 54° 5' 43° 7 59° 5' 48° 7 9° 8' 54° 1
			10° 8' 8" 2	6° 4' 8" 2	1 22 48 1 14 40	Mittelfaden 36° 8		—	—	2 10 37 1 58 24	Mittelfaden 16° 7
			Collimation aus der Zeitbestimmung — 0° 145 • • Kreisablesung — 0° 200				Nordpunkt 89° 58' 28"		Uhrstand um 7h 47m + 1h 24m 12s 76.		
26. April 1890	Sherm Sheikhs	West	8° 3' 9" 9	8° 4' 6" 7	8h 0m 58s	δ ursae majore. 8h 4m	Ost	10° 0' 9" 4	7° 8' 8" 5	8h 11m 30s	α leonis. 8h 14m
					268° 40'	6° 5' 5' 3 13° 7' 18° 9 20° 5' 20° 3 27° 2' 32° 7 34° 1' 39° 5 47° 7' 40° 5				88° 40'	53° 3' 32° 7 57° 7' 41° 9 2° 5' 40° 7 7° 4' 51° 5 11° 0' 50° 1 21° 2' 0° 0
			9° 5' 10" 1	7° 3' 7" 1	3 27 50 3 15 40	Mittelfaden 56° 0		—	—	4 20 54 4 23 50	Mittelfaden 26° 0
			Collimation aus der Zeitbestimmung — 0° 122 • • Kreisablesung 0				Nordpunkt 89° 58' 32"		Uhrstand um 8h 10m + 1h 24m 12s 82.		

Datum	Ort	Ocular	Etiquette		Einstellung des Polarsterms Kreislesung	Zeitstern	Ocular	Etiquette		Einstellung des Polarsterms Kreislesung	Zeitstern	
			West	Ost				West	Ost			
27. April 1890	Sherm Shuikh	Ost	9'9 11'1	9'0 7'7	7h 38m 28s 88° 40'	8 hydne. 7h 42m 4'7 40'7 9'1 49'0 13'2 51'0 17'7 58'0 21'7 2'0 30'0 6'7 Mittelfaden 35'10	West	10'2 13'1	0'0 6'0	7h 47m 10s 268° 40'	40 lycnis. 7h 50m 32'6 21'7 42'9 31'0 48'2 37'3 53'3 42'4 58'4 47'0 8'0 52'6 Mittelfaden 15'4	
			10'8 9'0	8'1 9'4	1 23 49 1 10 41	12'0 10'3		7'2 9'0	2 19 47 2 4 30	Mittelfaden 15'4		
			Collimation aus der Zeitbestimmung -0212 • • Kreisablesung -0'500					Nordpunkt 89°58'38"		Uhrstand um 7h47m +1h24m14s08.		
27. April 1890	Sherm Shuikh	West	10'3 10'0	9'1 9'0	8h 0m 46s 268° 40'	8 ursae majoris. 8h 4m 5'7 4'2 12'5 18'2 19'5 25'2 26'4 32'1 33'2 39'1 40'9 40'0 Mittelfaden 55'h	Ost	10'9 12'0	9'3 5'3	8h 12m 27s 88° 40'	8 leonis. 8h 14m 51'8 31'6 56'7 40'7 1'3 45'6 5'8 50'3 10'7 54'0 19'0 59'5 Mittelfaden 25'0	
			10'9 10'6	8'8 9'2	3 31 0 3 15 40	4 34 2 4 29 55		Mittelfaden 25'0				
			Collimation aus der Zeitbestimmung -02180 • • Kreisablesung -0'100					Nordpunkt 89°58'36"		Uhrstand um 8h10m +1h24m13s84.		
2. Mai 1890	Suez	Ost	12'0 6'0	12'8 18'0	8h 7m 26s 89° 10'	8 ursae majoris. 8h 10m 51'8 50'7 58'7 4'0 5'6 11'3 12'5 18'2 19'5 25'4 33'3 32'3 Mittelfaden 41'7	West	13'0 12'4	11'0 13'0	8h 18m 4s 269° 20'	8 leonis. 8h 21m 32'5 12'2 42'4 20'0 40'9 31'2 51'6 35'7 50'2 40'5 5'6 45'2 Mittelfaden 11'5	
			7'4 12'3	17'3 12'8	4 43 9 4 37 59	0 39 8 0 27 53		Mittelfaden 11'5				
			Collimation aus der Zeitbestimmung +02210 • • Kreisablesung +0'288					Nordpunkt 90°32'29"		Uhrstand um 8h17m +1h17m10233.		
2. Mai 1890	Suez	West	13'0 14'0	13'0 18'9	8h 26m 42s 269° 20'	8 ursae majoris. 8h 29m 51'3 2'5 59'5 19'2 7'8 27'6 10'2 30'0 24'5 43'8 41'5 52'5 Mittelfaden 51'5	Ost	13'0 13'1	12'7 13'1	8h 40m 4s 89° 20'	8 leonis. 8h 43m 42'7 19'6 40'9 28'4 51'5 32'0 55'7 30'9 0'0 41'5 8'7 45'8 Mittelfaden 14'4	
			14'3 13'0	11'0 13'0	1 30 4 1 21 48	13'3 13'0		13'0 13'2	3 11 38 2 59 20	Mittelfaden 14'4		
			Collimation aus der Zeitbestimmung +02135 • • Kreisablesung +0'200					Nordpunkt 90°32'20"		Uhrstand um 8h30m +1h17m10276.		

Datum	Ort	Ocular	Labelle West Ost	Einstellung des Polarsternes Kreislesung	Zeitstern	Ocular	Labelle West Ost	Einstellung des Polarsternes Kreislesung	Zeitstern
3. Mai 1890			13° 2' 13° 2' 13° 3' 12° 2' 13° 3' 12° 3'	8h 18m 3s ε leons. 8h 21m	37° 3' 47° 0' 41° 8' 26° 2' 40° 6' 30° 8' 51° 4' 35° 5' 55° 8' 40° 3' 5° 4' 44° 6'		12° 2' 13° 3' 9° 3' 10° 5'	8h 20m 52s ursae majores. 8h 59m	54° 4' 3° 7' 0° 8' 20° 3' 0° 3' 28° 7' 17° 7' 36° 9' 25° 9' 45° 6' 42° 7' 54° 0'
3. Mai 1890			13° 6' 12° 5' 14° 9' 11° 3'	8h 40m 15s α leonis. 8h 43m	43° 2' 20° 5' 48° 0' 29° 4' 52° 0' 33° 6' 50° 7' 37° 9' 1° 0' 42° 4' 9° 5' 40° 9'		14° 3' 12° 0' 12° 8' 13° 0'	8h 55m 42s ursae majores. 8h 59m	22° 5' 11° 2' 28° 6' 22° 6' 33° 7' 28° 3' 39° 8' 34° 9' 45° 5' 30° 6' 59° 6' 45° 5'
3. Mai 1890			15° 5' 10° 5' 15° 3' 10° 0'	3' 17' 44" 3' 10' 30"	Mittelfaden 15° 3'		11° 7' 14° 1' 9° 0' 10° 3'	4' 42" 10" 4' 39" 7"	Uhrstand um 8h 20m → 1h 17m 10s 30.
3. Mai 1890			12° 8' 11° 8' 13° 7' 11° 0'	8h 17m 50s ε leons. 8h 21m	37° 8' 17° 3' 42° 5' 20° 0' 40° 8' 31° 7' 51° 5' 35° 6' 50° 5' 40° 5' 5° 7' 45° 4'		12° 7' 12° 3' 11° 0' 14° 0'	8h 26m 17s ursae majores. 8h 29m	53° 2' 4° 8' 1° 8' 28° 7' 10° 3' 29° 7' 18° 0' 38° 4' 20° 8' 40° 5' 43° 9' 54° 9'
3. Mai 1890			12° 0' 13° 3' 8° 0' 12° 3'	8h 40m 10s α leons. 8h 43m	45° 0' 22° 0' 49° 5' 20° 5' 53° 6' 35° 0' 58° 2' 39° 5' 2° 4' 43° 7' 11° 1' 48° 0'		14° 3' 11° 2' 10° 1' 9° 6'	8h 55m 50s ursae majores. 8h 59m	22° 6' 11° 4' 28° 5' 22° 5' 34° 1' 28° 4' 39° 8' 34° 9' 45° 5' 30° 6' 50° 8' 45° 7'
4. Mai 1890			13° 8' 11° 6' 13° 0' 11° 8'	3' 17' 45" 3' 11' 30"	Mittelfaden 16° 5'		10° 7' 14° 3' 11° 8' 13° 3'	4' 40" 10" 4' 33" 59"	Uhrstand um 8h 20m → 1h 17m 15s 54.
4. Mai 1890			12° 0' 13° 3' 8° 0' 12° 3'	8h 40m 10s α leons. 8h 43m	45° 0' 22° 0' 49° 5' 20° 5' 53° 6' 35° 0' 58° 2' 39° 5' 2° 4' 43° 7' 11° 1' 48° 0'		14° 3' 11° 2' 10° 1' 9° 6'	8h 55m 50s ursae majores. 8h 59m	22° 6' 11° 4' 28° 5' 22° 5' 34° 1' 28° 4' 39° 8' 34° 9' 45° 5' 30° 6' 50° 8' 45° 7'
4. Mai 1890			12° 0' 13° 3' 8° 0' 12° 3'	8h 40m 10s α leons. 8h 43m	45° 0' 22° 0' 49° 5' 20° 5' 53° 6' 35° 0' 58° 2' 39° 5' 2° 4' 43° 7' 11° 1' 48° 0'		14° 3' 11° 2' 10° 1' 9° 6'	8h 55m 50s ursae majores. 8h 59m	22° 6' 11° 4' 28° 5' 22° 5' 34° 1' 28° 4' 39° 8' 34° 9' 45° 5' 30° 6' 50° 8' 45° 7'

Tabelle III.
 Polhöhen-Bestimmungen.

Datum	Ort	Okular	Uhrzeit nach P	Libelle		Kreis- und Mikroskop-Lesung				Polhöhe
				links	rechts	I		II		
21. October 1895		West	Polarstern.			59° 30'				
			19 ^h 21 ^m 20 ^s	15° 0	10° 4	2' 46"	11"	2' 34"	58"	29° 50' 23.7
			22 38	15° 0	10° 4	2 35	59	2 22	47	20° 7
			23 50	14° 7	10° 18	2 23	53	2 10	34	20° 5
						300° 20'				
		Ost	27 22	11° 7	13° 7	0 30	0	0 0	33	55 27.5
			29 5	12° 5	13° 0	0 52	10	0 25	49	29° 3
			30 28	12° 4	13° 0	1 0	30	0 39	2	30° 5
						Mittel 20° 55' 55.4				
23. October 1895		Ost	Polarstern.			300° 10'				
			19 ^h 13 ^m 10 ^s	11° 7	13° 0	3' 32"	57"	3' 14"	30"	29° 55' 59.1
			14 41	12° 1	12° 4	3 44	8	3 20	52	57° 5
			16 8	12° 3	12° 2	3 58	23	3 41	0	59° 8
		West				59° 30'				
			19 0	12° 0	12° 6	3 11	30	3 11	30	55 03.9
			20 23	11° 9	12° 8	2 59	23	2 58	21	05° 0
			21 48	11° 5	13° 1	2 45	14	2 45	8	05° 5
						Mittel 20° 55' 01.8				
		22. October 1895	Suez	Ost	ε delphin.			18° 50'		
19 ^h 0 ^m 15 ^s	10° 0				13° 2	4' 11"	35"	3' 57"	21"	20° 57' 9.5
8 27	10° 0				4° 0	3 13	35	2 58	22	4° 1
10 8	12° 0				11° 3	3 3	28	2 51	16	8° 3
West						340° 50'				
	14 12			7° 0	10° 0	4 4	27	3 54	19	54 52.6
	15 30			5° 0	18° 5	3 42	5	3 33	58	50° 3
	16 46			4° 3	19° 3	3 14	30	3 3	28	51° 1
						Mittel 20° 55' 59.3				
22. October 1895				West	ε aquarii			320° 0'		
		19 ^h 19 ^m 19 ^s	2° 0		10° 5	4' 6"	20"	3' 52"	10"	29° 54' 50.1
		20 45	8° 0		15° 5	4 22	45	4 7	32	55° 0
		22 11	3° 2		20° 3	4 43	7	4 28	54	50° 8
		Ost				39° 40'				
			25 23	10° 0	13° 2	2 35	10	2 23	49	57 41.5
			26 47	0° 5	18° 5	2 45	14	2 38	4	10° 0
			28 5	0° 5	23° 0	3 2	28	2 53	19	23° 1
						Mittel 20° 50' 37.5				
		27. October 1895	The Brothers	Ost	Polarstern.			200° 40'		
19 ^h 26 ^m 32 ^s	13° 0				11° 2	4' 44"	4"	4' 19"	45"	26° 18' 35.3
28 30	13° 1				11° 0	4 59	22	4 39	4	35° 7
30 15	13° 0				11° 1	0 10	40	0 7	18	37° 7
West						200° 50'				
	34 28			13° 3	13° 0	4 12	30	4 9	32	53° 5
	36 16			9° 2	15° 0	3 58	21	3 54	18	54° 8
	37 40			8° 0	10° 3	3 47	10	3 41	0	53° 7
						Mittel 20° 18' 45.1				
						Zenitpunkt 359° 50' 44"				

Datum	Ort	Ocular	Ihrezeit nach P	Libelle		Kreis- und Mikroskop-Lesung		Polhöhe
				links	rechts	I	II	
27. October 1895	The Brothers	West	Polarstern.			03° 0'		
			19h 39m 57s	10° 0	13° 8	3' 25' 49"	3' 20' 45"	20° 18' 51" 9
			41 50	10° 3	14° 0	3 10 33	3 4 28	50° 1
			43 18	10° 2	14° 0	2 55 19	2 50 14	53° 8
		Ost	46 44	15° 7	8° 8	2 39 3	2 15 41	38° 4
			48 51	13° 7	10° 7	2 59 23	2 30 1	38° 4
			50 10	13° 9	10° 0	3 12 34	2 49 14	39° 7
			Zenitpunkt 359° 59' 44"				Mittel 20° 18' 44" 8	
		Ost	♄ aquarii			32° 20'		
			19h 59m 2s	8° 3	16° 1	0' 7' 32"	0' -8' 17"	20° 18' 54" 1
			20 2 0	10° 2	14° 2	0 9 33	0 -7 18	54° 5
			3 24	8° 0	10° 5	0 23 48	0 9 32	55° 8
West	7 47	9° 4	15° 1	3' 38' 1"	3' 17' 41"	38° 2		
	9 27	4° 2	18° 1	2 50 10	2 33 38	38° 7		
	10 39	6° 0	18° 5	2 18 38	1 55 19	39° 9		
	Zenitpunkt 359° 59' 44"				Mittel 20° 18' 40" 9			
o. November 1895	Jidda	Ost	♄ capricorni			38° 0'		
			19h 55m 7s	9° 0	11° 3	0' 39' 4"	0' 31' 54"	21° 25' 28" 5
			50 40	-8° 0	28° 0	0 47 10	0 40 1	24° 0
			58 12	-3° 0	23° 0	0 40 4	0 32 55	24° 0
		West	20 2 10	14° 3	6° 0	0' 38' 1"	0' 19' 43"	32 41° 0
			3 38	1° 5	18° 5	0 35 59	0 15 39	35° 7
			5 28	8° 0	12° 0	321° 40'	4 29 53	45° 3
			Zenitpunkt 0° 0' 0"				Mittel 21° 29' 3" 4	
		West	♄ aquarii			337° 30'		
			20h 17m 20s	3° 0	37° 0	4' 12' 40"	4' 3' 27"	21° 32' 49" 0
			10 10	-5° 0	25° 5	4 15 38	4 1 25	49° 1
			20 30	-8° 0	29° 0	3 59 21	3 45 9	49° 2
Ost	22 55	12° 5	8° 0	3 36 59	3 23 48	25 8° 0		
	25 23	8° 0	12° 7	4 04 27	4 51 17	0 5		
	20 47	5° 0	15° 8	1 13 30	0 59 22	13° 2		
	Zenitpunkt 0° 0' 0"				Mittel 21° 28' 59" 0			
10. November 1895	Mersa Halab	Ost	♄ aquarii			23° 0'		
			20h 23m 5s	12° 3	12° 0	0' 12' 35"	0' -10' 13"	22° 13' 33" 5
			25 33	11° 0	13° 5	4 42 5	4 21 45	30° 5
			27 21	10° 4	14° 0	4 39 2	4 10 39	27° 2
		West	30 30	12° 0	12° 3	1 30 58	1 8 30	20° 7
			34 11	8° 5	15° 0	0 7 38	0 -21 3	23° 9
			25 40	8° 5	15° 7	4 11 35	3 44 7	24° 0
			Zenitpunkt 359° 59' 15"				Mittel 22° 13' 27" 7	

Datum	Ort	Azimut	Uhrzeit nach P	Libelle		Kreis- und Mikroskop-Lesung		Polhöhe
				links	rechte	I	II	
16. November 1895	Mersa-Halabi	Ost	Polarstern.				201° 0'	
			20h 45m 10s	15° 2'	9° 0'	2' 9" 31"	1' 30" 4"	22° 13' 20" 5
			40 57	15° 1'	9° 2'	2 21 45	1 52 10	27° 0
			48 47	15° 8	8° 3	2 29 51	1 59 23	24° 5
		West					00° 40'	
			50 50	11° 0	13° 3	3 50 14	3 33 57	23° 0
			52 29	11° 4	12° 8	3 42 5	3 21 48	20° 1
			53 40	12° 0	12° 1	3 31 53	3 12 30	25° 2
		Zenitpunkt 359° 50' 15'		Mittel 22° 13' 24" 5				
17. November 1895	Mersa-Halabi	Ost	Polarstern.				223° 0'	
			50m 2s	12° 10	11° 8	3' 20" 49"	3' 0" 25"	22° 13' 24" 3
			58 0	14° 1	10° 0	3 39 3	3 12 30	27° 5
			59 57	15° 0	9° 2	3 50 13	3 24 48	25° 4
		West					00° 40'	
			21h 2 45	18° 0	6° 4	2 22 40	2 12 35	27° 8
			4 40	18° 0	6° 3	2 9 33	1 00 24	27° 2
			0 12	18° 4	0° 1	1 59 23	1 50 14	25° 9
		Zenitpunkt 359° 50' 22'		Mittel 22° 13' 20" 4				
21. November 1895	St. Johns Island	Ost	α picis australis.				53° 40'	
			21h 23m 2s	10° 0	15° 7	1' 18" 40"	0' 45" 9"	23° 35' 45" 2
			25 9	9° 0	10° 7	1 14 58	1 2 24	43° 7
			20 50	7° 8	18° 0	1 50 18	1 23 44	41° 4
		West					306° 0'	
			20 50	0° 2	19° 5	4 44 0	4 3 20	53° 4
			38 55	12° 8	13° 0	0 32 53	0 -10 -13	44° 9
			40 50	11° 8	14° 0	4 10 37	3 35 58	53° 4
		Zenitpunkt 359° 50' 40'		Mittel 23° 35' 47"				
22. November 1895	St. Johns Island	West	Polarstern.				65° 10'	
			21h 45m 5s	12° 3	13° 5	2' 47" 7"	2' 18" 40"	23° 35' 50" 8
			40 55	13° 7	12° 3	2 30 58	2 8 28	50° 2
			48 27	14° 8	11° 2	2 29 51	2 0 20	47° 9
		Ost					294° 30'	
			52 23	12° 2	13° 9	4 02 20	4 23 47	41° 0
			54 40	12° 0	14° 0	4 75 39	4 35 58	44° 2
			56 9	11° 6	14° 3	0 27 47	0 -10 0	48° 4
		Zenitpunkt 359° 50' 40'		Mittel 23° 35' 47"				
22. November 1895	St. Johns Island	Ost	Polarstern.				294° 30'	
			21h 13m 33s	7° 2	10° 0	1' 40" 12"	1' 31" 54"	23° 35' 48" 8
			15 3	7° 2	10° 0	1 38 21	1 39 3	48° 0
			10 0	7° 0	18° 4	2 4 28	1 45 9	45° 2
		West					65° 20'	
			18 58	13° 2	13° 0	0 18 41	0 19 41	49° 0
			20 53	14° 5	13° 6	0 0 29	0 0 30	47° 3
			22 2	15° 3	10° 7	-2 22	0 0 22	40° 1
		Zenitpunkt 359° 57' 24'		Mittel 23° 35' 47" 9				

Datum	Ort	Ocular	Uhzeit nach P	Labelle		Kreis- und Mikroskop-Lesung				Polhöhe	
				links	rechts	I		II			
24. November 1895	Berenice	Ost	Polarstern.			294° 50'					
			21 ^h 39 ^m 40 ^s	15° 0	11° 8	3' 8" 33'	2' 58" 24'			23° 50' 29° 0	
			41 42	10° 5	9° 0	3 10 40	3 0 31			29° 0	
		West	44 3	17° 1	9° 1	3 27 50	3 10 41			20° 8	
						64° 50'					
			47 48	15° 0	11° 2	1 28 53	1 35 0			24° 9	
		West	49 57	10° 2	10° 0	1 17 41	1 25 49			22° 7	
			51 50	17° 0	9° 4	1 0 30	1 13 37			25° 0	
		Zenitpunkt 359° 55' 18"				Mittel 23° 50' 20" 5					
		Ost	a pucis australis.			54° 0'					
			21 ^h 20 ^m 40 ^s	15° 0	10° 0	0' 27" 51'	0' 38" 3'			23° 50' 29° 0	
			22 30	11° 5	14° 0	0 27 52	0 37 2			28° 8	
3. December 1895	Rabegh	Ost	24 0	5° 5	20° 0	0 38 2	0 48 13			35° 3	
						305° 40'					
			28 50	9° 4	10° 8	4 25 47	4 15 40			23° 3	
		West	30 35	8° 8	17° 3	4 4 27	3 55 19			22° 4	
			31 40	8° 3	17° 7	3 43 7	3 33 57			27° 9	
			Zenitpunkt 359° 55' 18"				Mittel 23° 50' 27" 9				
		Ost	Polarstern.			293° 40'					
			21 ^h 35 ^m 7 ^s	15° 0	8° 2	3' 12" 34'	2' 51" 15'			22° 44' 02° 0	
			38 10	17° 2	0° 0	3 23 45	3 1 25			58° 8	
		West	40 44	18° 8	4° 4	3 35 57	3 12 35			00° 0	
						60° 0'					
			45 18	11° 8	11° 3	1 0 20	0 59 21			71° 0	
West	47 14	11° 4	11° 8	0 58 21	0 51 15			70° 0			
	49 25	10° 2	13° 0	0 49 12	0 42 5			69° 2			
	Zenitpunkt 359° 55' 0"				Mittel 22° 45' 5" 0						
West	Polarstern.			60° 0'							
	21 ^h 53 ^m 30 ^s	11° 8	11° 3	0° 29' 53"	0° 22' 45"			22° 45' 10° 3			
	50 30	11° 5	11° 7	0 18 42	0 10 34			11° 7			
		Ost	58 10	11° 0	11° 0	0 11 33	0 3 20			10° 7	
						293° 50'					
			22 3 12	10° 1	13° 0	0 23 45	0 -1 23			44 59° 1	
		Ost	6 0	10° 3	12° 9	0 33 50	0 9 33			68° 0	
			8 20	11° 0	12° 2	0 44 0	0 20 44			03° 0	
			Zenitpunkt 359° 55' 0"				Mittel 22° 45' 5" 7				
		Ost	Polarstern.			293° 40'					
			21 ^h 23 ^m 10 ^s	10° 7	12° 0	2' 15" 30"	1' 54" 18"			22° 45' 5° 8	
			24 58	10° 8	12° 5	2 25 48	2 4 28			5° 8	
		West	26 18	10° 8	12° 4	2 32 55	2 10 34			4° 0	
						60° 0'					
			29 34	11° 2	12° 0	2 17 39	2 13 37			22° 8	
West	31 10	11° 1	12° 1	2 9 32	2 4 29			21° 0			
	32 54	11° 2	12° 0	2 0 23	1 55 10			22° 0			
Zenitpunkt 359° 55' 0"				Mittel 22° 45' 13" 0							

Datum	Ort	Ocular	Therest nach P	Libelle		Kreis- und Mikroskop-Lesung				Polhöhe	
				links	rechts	I		II			
9. December 1895	Jidda II		luc & sculptoris.	50° 0'						21° 28' 53.7 52.3 54.6	
				21h 57m 12s	11.5	11.2	2' 32'	50"	2' 42'		7"
				58 54	10.4	12.2	2 28	51	2 37		2
				22 0 30	9.7	13.0	2 30	54	2 40		5
		West		300° 40'						28 01.2 01.9 00.6	
				4 15	7.2	15.2	2 1	25	1 54		18
				5 49	9.2	13.4	1 39	5	1 34		58
				7 28	8.2	14.4	1 18	42	1 10		35
		Zenitpunkt 359° 54' 52"				Mittel 21° 28' 52.4				21° 28' 48.4 40.5 49.6 54.7 50.0	
		Ost	Polarstern.	292° 30'							
22h 15m 20s	11.0			11.5	2' 55'	30"	2' 47'	11"			
17 48	10.8			11.8	3 3	27	2 54	18			
19 22	11.0			11.0	3 10	33	3 0	25			
West		67° 10'									
		23 20	12.5	10.0	1 27	52	1 36	0			
		25 18	11.0	11.0	1 22	45	1 30	54			
		20 50	11.5	11.0	1 10	39	1 25	49			
Zenitpunkt 359° 54' 52"				Mittel 21° 28' 51.4				24° 4' 53.1 50.1 50.5 10.3 0.0 7.0			
Ost	β ceti.	42° 30'									
		22h 57m 44s	11.8	12.4	1' 33'	55"	1' 18'		41"		
		59 30	9.8	14.5	1 38	59	1 23		40		
		23 1 5	8.5	15.8	1 44	5	1 29		52		
West		317° 10'									
		4 4	12.2	12.0	3 52	12	3 20		50		
		5 38	9.0	15.3	3 34	54	3 7		31		
		7 8	0.7	17.7	3 8	29	2 40		4		
Zenitpunkt 359° 55' 15"				Mittel 24° 4' 32"					24° 4' 28.9 30.7 28.2 27.3 29.5 30.2		
Ost	Polarstern.	295° 10'									
		22h 53m 10s	15.0	13.2	2' 18'	41"	2' 5'	30"			
		54 40	10.1	12.0	2 20	43	2 9	33			
		50 20	10.0	12.1	2 24	47	2 9	33			
West		64° 30'									
		59 30	17.8	10.3	2 30	60	2 47	10			
		23 1 10	17.4	10.8	2 33	50	2 43	7			
		2 52	17.3	11.0	2 29	54	2 40	4			
Zenitpunkt 359° 55' 9"				Mittel 24° 4' 29.2				24° 36' 49.7 51.3 47.9 45.9 47.3 43.6			
Ost	γ piscium.	9° 40'									
		23h 50m 20s	15.3	12.0	1' 38'	3"	1' 32'		50"		
		58 10	9.5	18.0	1 32	55	1 25		50		
		0 0 18	9.2	18.1	1 50	21	1 51		10		
West		350° 0'									
		3 9	12.5	15.0	1 21	44	1 12		30		
		4 50	11.2	10.2	4 39	2	4 30		50		
		0 23	9.7	17.8	2 44	0	2 34		58		
Zenitpunkt 359° 54' 50"				Mittel 24° 30' 47.6							

Datum	Ort	Ocular	Uhrzeit nach P	Libelle		Kreis- und Mikroskop-Lesung		Polhöhe
				links	rechts	I	II	
30 December 1895	Sherm-Sheikh	—	Polarstern.			63° 0'		
			West	0h 12m 40s 14 12 15 38	13° 0 13° 7 14° 0	0' 57" 21" 0 58 21 0 59 22	1' 2" 25" 1 3 27 1 5 29	24° 36' 47" 1 47" 9 47" 7
			Ost	19 5 21 4 22 54	13° 4 13° 3 13° 2	3 54 17 3 53 10 3 50 12	3 37 2 3 39 1 3 32 57	47° 7 50° 2 47° 0
			Zenitpunkt 359° 54' 50"		Mittel 24° 30' 48"			
2. Jänner 1896	Mersa Dhibu		ψ perculum.			20° 20'		
			Ost	23h 59m 35s 0 1 22 2 48	13° 8 10° 5 8° 5	2' 59" 22" 1 39 2 0 47 11	2' 52" 21" 1 39 1 0 40 9	25° 20' 13" 1
			West	8 10	7° 2 22° 0	1 40 3	1 42 5	13° 1
			Zenitpunkt 359° 55' 20"		Mittel 25° 20' 13" 1			
			Polarstern.			29h° 30'		
			Ost	0h 33m 45s 35 18 37 50	10° 2 10° 5 12° 2	0' 26" 49" 0 23 45 0 18 40	0' 15" 39" 0 13 37 0 7 31	25° 20' 12" 9 12" 3 12" 2
			West	40 55 42 14 43 57	14° 0 14° 3 14° 4	0 6 30 0 7 31 0 10 34	0 20 43 0 21 44 0 24 47	11° 4 14° 1 14° 9
			Zenitpunkt 359° 55' 20"		Mittel 25° 20' 13" 1			
6. Jänner 1896	Hassani		ζ ceti.			35° 40'		
			Ost	0h 3m 36s 0 22 7 34	10° 0 15° 0 13° 7	2' 30" 52" 1 39 1 1 27 50	2' 29" 52" 1 38 2 1 20 50	24° 57' 37" 0 34" 8 32" 5
			West	11 25 13 5 14 30	18° 0 14° 4 11° 4	3 57 19 3 53 16 3 40 3	3 39 3 3 30 59 3 23 47	50 40° 5 30° 8 37° 2
			Zenitpunkt 359° 54' 40"		Mittel 24° 57' 40" 5			
			Polarstern.			63° 40'		
			West	0h 37m 20s 39 18 40 38	17° 0 17° 4 17° 0	1' 44" 7" 1 50 12 1 52 15	1' 50" 13" 1 55 19 1 58 21	24° 50' 42" 5 39° 0 40° 3
			Ost	44 26 47 4 49 0	13° 0 12° 4 11° 7	3 14 37 3 10 31 3 5 28	2 52 16 2 48 12 2 43 7	57 34° 5 38° 8 38° 1
			Zenitpunkt 359° 54' 40"		Mittel 24° 57' 9"			

Datum	Ort	Ocular	Uhrenzeit nach P	Labelle		Kreis- und Mikroskop-Lesung				Polhöhe
				links	rechts	I		II		
11. Jänner 1896	Sherm Habbän	Ost	Polarstern.			297° 10'				
			oh 13 ^m 0 ^s	12° 0	12° 0	2' 46'	11"	2' 29'	54"	26° 4' 8 ^s 3
			14 23	12° 5	11° 8	2 46	10	2 28	53	10° 8
			15 40	12° 3	12° 0	2 43	7	2 26	50	6° 1
		West				62° 30'				
			18 58	14° 8	14° 6	2 55	18	2 58	24	6° 6
			20 31	14° 8	14° 7	2 56	19	3 0	25	8° 0
			21 35	15° 0	14° 4	2 58	21	3 2	25	7° 7
		Zenitpunkt 359° 55' 29"								Mittel 26° 4' 8° 0
		West	Polarstern.			62° 30'				
			oh 38 ^m 28 ^s	16° 3	14° 0	3' 30'	53"	3' 34'	59"	26° 4' 3 ^s 3
			39 48	16° 4	13° 8	3 30	54	3 39	59	7° 5
40 53	16° 4		13° 8	3 34	57	3 39	2	5° 0		
Ost				297° 10'						
	43 13	15° 5	14° 9	1 56	20	1 37	1	7° 2		
	44 32	15° 4	14° 7	1 53	17	1 34	59	8° 5		
	45 40	15° 4	14° 8	1 51	16	1 33	56	10° 4		
Zenitpunkt 359° 55' 29"								Mittel 26° 4' 7° 1		
12. Jänner		Ost	Polarstern.			297° 10'				
			oh 8 ^m 15 ^s	15° 5	12° 1	2' 54'	17"	2' 35'	0"	26° 4' 10 ^s 2
		West				62° 30'				
			11 33	14° 8	14° 0	2 47	10	2 53	17	2° 1
Zenitpunkt 359° 55' 29"								Mittel 26° 4' 6° 2		
15. Jänner 1896	Kosier	Ost	Polarstern.			297° 10'				
			oh 55 ^m 56 ^s	13° 2	14° 3	2' 57'	0"	2' 24'	49"	26° 6' 30 ^s 3
			57 52	13° 4	14° 0	2 34	57	2 20	45	33° 0
			59 32	13° 3	14° 0	2 29	52	2 15	40	34° 5
		West				62° 30'				
			1 2 35	13° 2	14° 1	2 49	12	2 57	21	2° 3
			4 16	12° 5	15° 0	2 54	17	3 3	27	2° 5
			6 30	12° 5	15° 0	3 1	24	3 10	34	1° 0
		Zenitpunkt 359° 54' 50"								Mittel 26° 6' 17° 1
		Ost	Ø eridani.			66° 40'				
			1h 22 ^m 50 ^s	12° 0	10° 0	1' 48'	12"	1' 58'	23"	26° 6' 33 ^s 5
			24 30	9° 0	18° 8	1 38	1	1 48	11	35° 0
26 40	20° 5		7° 0	1 11	34	1 20	44	31° 9		
West				293° 0'						
	29 54	14° 0	14° 0	3 58	21	3 44	9	5 58° 0		
	31 36	12° 2	15° 7	3 57	20	3 43	8	59° 1		
	33 0	10° 9	17° 0	3 53	16	3 40	5	58° 0		
Zenitpunkt 359° 54' 50"								Mittel 26° 6' 16° 0		

Datum	Ort	Ocular	Uhrzeit nach P	Libelle		Kreis- und Mikroskop-Lenung		Polhöhe
				links	rechts	I	II	
8. Februar 1896	Nomün	Ost	γ eridani.			40° 40'		
			2 ^h 14 ^m 5 ^s	9° 0	20° 8	4' 20" 49"	4' 23" 48"	27° 0' 18' 9
			15 27	2° 8	27° 0	4 6 29	4 4 27	21° 4
			17 2	9° 0	20° 8	3 38 55	3 29 53	19° 4
		West				318° 50'		
			19 59	15° 0	14° 8	3 57 20	3 40 4	17° 2
			21 9	11° 3	15° 3	4 7 30	3 50 13	16° 1
			22 30	13° 0	10° 7	4 5 28	3 48 12	24° 0
		Zenitpunkt 359° 51' 39"				Mittel 27° 0' 19' 5		
		Ost	Polarstern.			297° 50'		
			2 ^h 41 ^m 22 ^s	15° 7	14° 4	2' 11" 34"	1' 51" 15"	27° 0' 19' 0
			42 44	10° 2	13° 8	2 1 25	1 42 0	20° 5
15. Februar 1896	Ras Abu Somer	Ost	43 52	15° 8	14° 2	1 55 17	1 35 59	21° 0
						61° 50'		
			46 16	15° 5	14° 4	0 9 32	0 9 33	22° 6
		West	47 58	10° 0	14° 0	0 20 43	0 21 44	23° 2
			49 10	10° 2	13° 9	0 32 52	0 32 52	18° 3
		Zenitpunkt 359° 51' 39"				Mittel 27° 0' 20' 7		
		Ost	ε leporis.			49° 10'		
			3 ^h 30 ^m 4 ^s	19° 0	12° 2	2' 39" 4"	2' 46" 11"	26° 51' 7' 3
			31 54	17° 2	14° 0	2 10 40	2 22 47	7° 2
		West	33 2	10° 5	14° 7	2 5 28	2 11 30	8° 7
						310° 30'		
			35 28	15° 8	15° 6	1 4 27	0 55 18	50 00° 9
19. Februar 1896	Shadwan	West	36 50	13° 8	17° 7	1 10 34	1 3 27	59° 5
			38 6	11° 4	19° 8	1 14 37	1 6 30	59° 3
		Zenitpunkt 359° 52' 40"				Mittel 26° 51' 3' 8		
		West	Polarstern.			62° 10'		
			3 ^h 41 ^m 0 ^s	17° 4	14° 0	4' 8" 33"	4' 21" 40"	26° 51' 8' 4
			42 12	15° 0	13° 0	4 17 22	4 11 55	8° 3
		Ost	43 14	18° 2	13° 3	4 24 48	4 38 2	10° 3
						297° 30'		
			45 36	15° 3	16° 1	2 59 22	2 50 15	12° 4
		West	47 8	15° 4	10° 0	2 40 9	2 37 1	11° 5
			48 18	15° 2	10° 2	2 38 1	2 27 53	13° 4
		Zenitpunkt 359° 52' 40"				Mittel 26° 51' 10' 7		
19. Februar 1896	Shadwan	West	ε leporis.			49° 50'		
			3 ^h 31 ^m 54 ^s	23° 3	8° 3	1' 51" 11"	1' 55" 18"	27° 29' 57' 7
			33 26	14° 5	17° 2	1 48 0	1 51 14	30 4° 7
		Ost	35 8	11° 5	20° 2	1 38 58	1 40 3	2° 1
						309° 50'		
			38 42	9° 0	22° 6	2 3 23	1 43 6	7° 9
		West	40 0	17° 0	14° 7	1 51 12	1 30 55	5° 1
			41 2	10° 3	15° 4	1 44 5	1 25 49	8° 4
		Zenitpunkt 359° 53' 12' 5				Mittel 27° 30' 4' 3		

Datum	Ort	Ocular	Uhrzeit nach P	Libelle		Kreis- und Mikroskop-Lesung		Polhöhe
				links	rechts	I	II	
19. Februar 1896	Shadwan	West	Polarstern.			61° 40'		
			3 ^h 47 ^m 4 ^s 48 18 49 20	14° 0 14° 0 14° 0	17° 6 17° 7 17° 6	0° 48' 8" 0 59 19 1 8 30	0° 51' 13" 1 2 25 1 12 30	27° 30' 17" 2 14° 7 14° 0
		Ost	52 12 53 20 54 30	8° 4 13° 0 13° 7	23° 0 18° 0 18° 0	1 59 21 1 45 0 1 30 50	1 39 3 1 23 40 1 13 30	10° 0 5° 7 9° 1
		Zenitpunkt 359° 53' 13"		Mittel 27° 30' 11" 8				
5. März 1890	Ras Abu Zenima	Ost	α Orionis. 4 ^h 22 ^m 30 ^s 23 52 25 10	14° 4 7° 0 4° 0	14° 8 22° 0 25° 0	1° 21' 40" 1 31 51 1 42 1	1° 2' 25" 1 14 30 1 22 46	29° 2' 29" 5 32° 8 32° 2
		West	27 41 28 51 29 40	17° 3 12° 0 9° 0	11° 4 17° 0 20° 0	1 39 59 1 31 52 1 18 38	1 12 35 1 4 27 0 51 15	30° 6 30° 7 32° 2
		Zenitpunkt 0° 8' 10"		Mittel 29° 2' 33" 0				
		West	Polarstern. 4 ^h 46 ^m 10 ^s 47 40 48 52	10° 8 17° 1 17° 0	12° 7 12° 2 12° 3	0° 27' 42" 0 40 0 0 51 13	0° 13' 36" 0 25 48 0 35 59	29° 2' 37" 4 39° 2 37° 7
8. März 1890	Tor	Ost	β canis majoris. 4 ^h 49 ^m 50 ^s 51 22 52 30	12° 2 11° 0 11° 0	18° 3 18° 8 19° 4	3° 49' 12" 3 30 54 3 19 42	3° 58' 23" 3 40 4 3 28 51	28° 14' 9" 5 11° 1 10° 4
		West	55 50 57 30 58 48	10° 8 18° 0 10° 5	11° 0 12° 5 14° 0	0 31 53 0 33 55 0 29 50	0 23 45 0 23 40 0 19 42	10° 1 8° 7 9° 2
		Zenitpunkt 0° 8' 33"		Mittel 28° 14' 9" 8				
		West	Polarstern. 5 ^h 13 ^m 20 ^s 15 0 16 8	16° 0 17° 0 17° 4	14° 0 13° 0 13 1	4° 8' 30" 4 22 44 4 33 55	4° 22' 45" 4 37 0 4 47 10	28° 14' 18" 1 17° 2 17° 0
8. März 1890	Tor	Ost	18 32 19 50 21 34	15° 2 14° 7 14° 0	15° 3 15° 9 16° 2	3 33 50 3 20 44 3 4 20	3 24 48 3 11 35 2 54 18	10° 1 15° 2 13° 7
		Zenitpunkt 0° 8' 33"		Mittel 28° 14' 16" 2				

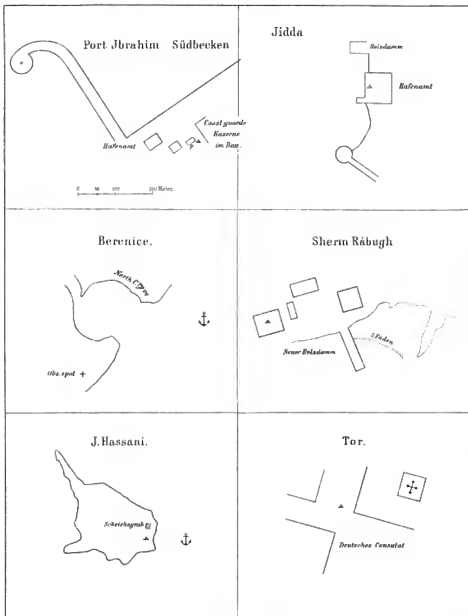
Datum	Ort	Ocular	Uhrzeit nach P		Labelle		Kreis- und Mikroskop-Lesung		Polhöhe
					links	rechts	I	II	
9. März 1895	Tor	Ost	Polarstern. 4 ^h 41 ^m 58 ^s	10.7	12.0	4 11 33	20 ^s 40 ^s 33 ^s 30 ^s	4 2 27.7	28° 14' 0.3
		West	4 43 54	11.6	12.0	4 27 50	4 43 5	27.7	
								Mittel 28° 14' 17.0	
		West	β canis majoris. 4 ^h 54 ^m 32 ^s	13.0	15.0	0 31 31	314 ^s 0 ^s 53 ^s 20 ^s	0 22 40.7	28° 14' 15.5
		Ost	4 50 38	14.7	17.1	2 54 10	40 ^s 10 ^s 3 0 30	13 58.4	
			Zenitpunkt 0° 8' 33"					Mittel 28° 14' 7.0	
13. März 1896		Ost	α canis majoris. 5 ^h 14 ^m 27 ^s	14.4	14.4 18.0	0 3 25	45 ^s 10 ^s 0 9 32	28° 20' 48.7	
			15 54 17 23	10.4 7.0	22.0	4 49 11 4 39 1	4 57 21 4 40 10	52.7 53.1	
		West	21 10 22 18 23 22	13.0 12.2 11.2	15.8 10.8 17.9	4 51 13 4 50 11 4 45 7	4 43 6 4 40 3 4 36 0	21 11.9 13.4 13.5	
			Zenitpunkt 0° 14' 14"					Mittel 28° 21' 2.0	
14. März 1896	Ras Gharib	Ost	Polarstern. 5 ^h 0 ^m 4 ^s	25.4	4.4	3 0 20	298 ^s 50 ^s 2 42 5	28° 21' 3.1	
			1 20 2 32	25.4 20.4	4.5 3.6	2 47 7 2 37 58	2 28 51 2 17 40	1.8 2.0	
		West	4 20 5 40 6 52	24.3 24.0 25.0	5.7 5.2 4.9	1 53 16 2 0 25 2 17 37	1 54 15 2 5 27 2 16 37	1.4 3.6 3.4	
			Zenitpunkt 0° 14' 23"					Mittel 28° 21' 2.6	
		West	α canis majoris. 5 ^h 16 ^m 24 ^s	21.5 17.4 18.50	8.3 11.8 12.8	4 33 50 ^s 4 49 11 4 50 17	4 14 38 ^s 4 30 53 4 37 59	28° 21' 3.5 3.1 5.6	
		Ost	21 2 22 20 23 16	12.0 11.0 10.2	17.6 18.9 19.3	4 35 57 4 38 0 4 45 8	4 30 53 4 33 53 4 40 1	1.5 8.3 3.0	
			Zenitpunkt 0° 14' 23"					Mittel 28° 21' 2.0	
17. März 1895	Zafarana	Ost	γ canis majoris. 5 ^h 32 ^m 14 ^s	15.5 33 30 34 50	14.5 14.7 10.3	4 45 3 ^s 4 39 59 4 35 54	58 ^s 0 ^s 4 10 2 ^s 4 32 49	29° 0' 28.6 34.2 33.9	
		West	36 54 38 14 39 46	24.8 22.0 17.8	5.3 8.0 12.0	4 19 39 4 19 41 4 19 40	3 59 23 3 59 23 3 59 22	43.9 44.9 47.9	
			Zenitpunkt 0° 13' 49"					Mittel 29° 0' 38.1	

Datum	Ort	Ocular	Uhrzeit nach P	Libelle		Kreis- und Mikroskop-Lesung				Polhöhe
				links	rechts	I	II			
17. März 1890	Zafarana		Polarstern.			299° 20'				
			Ost	5h 59m 24s 6 0 52 1 54	13 0 12'5 12'1	17'2 17'7 18'0	1' 20' 50" 1 16 38 1 6 38	1' 8' 32" 0 54 18 0 45 8		29° 6' 37'9 40'1 33'5
							61° 0'			
			West	4 0 6 0 7 10	21'0 20'5 20'3	9'2 9'7 9'8	3 10 37 3 34 54 3 47 7	3 9 32 3 31 50 3 40 1		41'3 43'5 44'3
			Zenitpunkt 0° 13' 49"				Mittel 29° 6' 40'1			
			Polarstern.			61° 0'				
			West	6h 10m 30s 12 20 14 10	18'4 18'3 18'4	11'8 11'8 11'7	4' 20' 33" 4 38 59 4 57 17	4' 14' 37" 4 33 53 4 51 13		29° 6' 40'7 40'0 38'3
							299° 10'			
			Ost	18 6 30 10 21 24	16'0 14'8 14'7	14'0 15'2 15'3	3 21 44 3 4 20 2 52 15	3 2 23 2 43 5 2 31 53		30'9 34'5 32'5
			Zenitpunkt 0° 13' 49"				Mittel 29° 6' 36'2			
4. April 1890			Br. 1197.			32° 10'				
			Ost	6h 50m 44s 52 32 53 44	12'0 9'5 8'2	14'0 16'2 17'7	3' 50' 19" 3 39 0 3 33 54	3' 47' 12" 3 31 54 3 24 48		28° 28' 55'8 57'3 58'3
							328° 10'			
			West	57 12 58 48 7 0 10	9'5 6'5 5'3	16'4 19'3 20'6	1 16 38 1 4 26 0 45 7	0 58 21 0 47 10 0 29 52		17'0 17'6 19'4
			Zenitpunkt 0° 14' 7"				Mittel 28° 28' 37'6			
			Polarstern.			298° 30'				
			Ost	6h 21m 40s 22 38'5 23 38'5	13'2 13'2 13'3	11'2 11'0 11'0	2' 35' 57" 2 27 49 2 18 38	2' 13' 38" 2 7 34 1 57 18		28° 28' 34'3 38' 30'9
							61° 50'			
			West	25 49 26 59 27 49	10'7 10'3 10'3	13'5 13'7 13'9	2 1 28 2 17 40 2 27 48	1 56 22 2 14 35 2 21 42		40'0 33'1 33'4
			Zenitpunkt 0° 13' 45"				Mittel 28° 28' 36'0			
5. April 1890	Mersa Dahab		Polarstern.			61° 50'				
			Ost	6h 15m 55s 17 18'5	10'8 11'0	13'0 12'0	0' 41' 12" 1 4 24	0' 31' 50" 0 49 4		28° 28' 47'5 40'0
							298° 30'			
			West	19 18'5 20 30	12'2 12'0	11'0 12'0	3 18 37 3 2 20	2 12 6 2 37 1		22'4 23'5
			Zenitpunkt 0° 14' 20"				Mittel 28° 28' 33'4			
6. April 1890			Polarstern.			61° 50'				
			Ost	6h 15m 55s 17 18'5	10'8 11'0	13'0 12'0	0' 41' 12" 1 4 24	0' 31' 50" 0 49 4		28° 28' 47'5 40'0
							298° 30'			
			West	19 18'5 20 30	12'2 12'0	11'0 12'0	3 18 37 3 2 20	2 12 6 2 37 1		22'4 23'5
			Zenitpunkt 0° 14' 20"				Mittel 28° 28' 33'4			
			Polarstern.			61° 50'				
			Ost	6h 15m 55s 17 18'5	10'8 11'0	13'0 12'0	0' 41' 12" 1 4 24	0' 31' 50" 0 49 4		28° 28' 47'5 40'0
							298° 30'			
			West	19 18'5 20 30	12'2 12'0	11'0 12'0	3 18 37 3 2 20	2 12 6 2 37 1		22'4 23'5
			Zenitpunkt 0° 14' 20"				Mittel 28° 28' 33'4			

Datum	Ort	Ocular	Uhrzeit nach P	Libelle		Kreis- und Mikroskop-Lesung		Polhöhe
				links	rechts	I	II	
8. April 1890	Nawibi	Ost	<i>u. canis majoris.</i> 6h 3m 10s 4 20 5 30	15° 0 14° 5 12° 6	11° 3 11° 9 12° 8	1° 42' 3" 1 18 38 1 7 30	23° 30' 1° 32' 54" 1 11 34 0 58 20	28° 57' 35" 9 31° 1 35° 0
		West	8 14 9 30 10 38	7° 0 6° 2 5° 0	10° 7 20° 3 21° 9	3 14 34 3 13 31 3 5 24	336° 40' 3 0 23 2 57 19 2 48 11	49° 3 44° 6 44° 2
		Zenitpunkt 0° 13' 55"		Mittel 28° 57' 40" 0				
11. April 1890	Nawibi	West	Polarstern. 6h 50m 18s 7 2 14 3 10	14° 4 14° 7 15° 0	13° 5 13° 2 13° 0	2° 38' 1" 3 32 55 3 41 4	61° 30' 2° 56' 20" 3 51 15 4 1 24	28° 52' 44" 3 44° 0 45° 3
		Ost	5 8 6 26	15° 4 15° 0	12° 6 13° 0	0 17 42 0 7 31	298° 50' 0 21 45 0 10 34	36° 2 37° 8
		Zenitpunkt 0° 14' 34"		Mittel 28° 57' 40" 9				
14. April 1890	Akabab	Ost	Polarstern. 6h 33m 57s 35 13 36 16	10° 2 10° 1 10° 3	15° 4 15° 6 15° 5	1° 33' 55" 1 20 42 1 10 33	299° 30' 1° 28' 53" 1 17 41 1 7 30	29° 31' 13" 3 14° 6 14° 8
		West	38 58 40 8 41 16	13° 0 13° 0 13° 1	13° 0 13° 0 13° 0	3 7 28 3 17 39 3 28 50	60° 50' 3 15 38 3 26 49 3 36 59	12° 8 13° 9 14° 6
		Zenitpunkt 0° 13' 48"		Mittel 29° 31' 14" 0				
14. April 1890	Akabab	West	Br. 1197. 6h 46m 40s 47 53 48 46	7° 7 7° 4 7° 0	18° 5 18° 9 19° 0	3° 30' 53" 3 53 16 4 7 30	327° 0' 3° 28' 51" 3 51 14 4 5 29	29° 31' 13" 5 14° 6 13° 5
		Ost	51 52 53 11 54 26	12° 4 12° 2 12° 0	13° 9 14° 0 14° 2	4 20 43 4 18 41 4 20 42	33° 0' 4 24 47 4 31 44 4 22 45	15° 4 17° 1 15° 3
		Zenitpunkt 0° 13' 48"		Mittel 29° 31' 15" 0				
		Ost	Polarstern. 7h 42m 35s	14° 5	12° 6	1° 0' 22" 1° 0' 22"	299° 10' 0° 58' 21" 0° 58' 21"	29° 31' 17" 1
		West	45 38	13° 2	14° 0	3 13 36	61° 10' 3 21 44	12° 7
		Zenitpunkt 0° 13' 48"		Mittel 29° 31' 14" 9				

Datum	Ort	Ocular	Uhrzeit nach P	Libelle		Kreis- und Mikroskop-Lesung		Polhöhe
				links	rechts	I	II	
15. April 1890	Akabah	Ost	Br. 1197. 6h 52m 30s 53 58 55 30	14.9 14.2 13.6	9.3 10.1 10.9	4' 12" 35" 4 12 35 4 19 41	4' 15" 41" 4 17 40 4 23 40	20° 31' 13.9 12.2 11.5
			57 36 58 55 7 0 0	11.0 9.0 8.2	13.4 15.3 10.2	4 8 31 3 52 15 3 33 55	4 5 28 3 49 12 3 20 53	11.5 7.8 7.2
		West						
			Zenitpunkt 0° 13' 48"				Mittel 29° 31' 10.7	
		Ost	Polarstern. 7h 43m 16s 44 30 45 30	11.8 11.2 11.3	11.2 11.3 11.4	1' 40" 2" 1 30 52 1 22 45	1' 35" 39" 1 30 49 1 19 42	28° 52' 23.1 20.6 28.6
			47 20 48 32 49 30	11.5 11.7 11.0	11.3 11.1 11.2	2 43 5 2 54 15 3 1 23	2 53 15 3 3 26 3 10 33	30.7 30.2 31.7
		West						
			Zenitpunkt 0° 13' 52"				Mittel 28° 52' 28.8	
18. April 1890	Bir al Mashiyā	West	α hydrae. 7h 51m 22s 52 44	11.0 9.6	11.7 13.0	4' 15" 38" 4 31 54	4' 13" 37" 4 29 51	28° 52' 27.6 30.2
			55 40 56 58	10.3 9.1	12.2 13.4	4 7 29 4 8 31	4 10 32 4 12 35	23.6 24.0
		Ost						
			Zenitpunkt 0° 13' 52"				Mittel 28° 52' 20.4	
23. April 1890	Sennāf	Ost	Polarstern. 8h 6m 46s 8 18 9 40	13.0 12.2 12.2	12.6 13.3 13.2	0' 35" 57" 0 24 40 0 14 35	0' 41" 4" 0 30 53 0 19 43	27° 56' 7.7 8.9 10.3
			12 32 14 24 15 54	12.7 12.8 13.5	12.8 12.7 12.0	4 25 47 4 39 1 4 51 13	4 46 10 4 60 24 5 13 37	12.4 13.9 10.4
		West						
			Zenitpunkt 0° 14' 28"				Mittel 27° 56' 10.0	
		West	λ hydrae. 8h 33m 56s 35 24 36 48	13.0 13.1 12.2	12.6 12.5 13.3	3' 25" 46" 3 44 8 3 59 21	3' 31" 53" 3 49 14 4 5 29	27° 56' 12.6 12.2 12.2
			39 18 40 52 42 20	11.2 9.8 8.6	14.2 15.7 16.9	0 9 31 0 13 30 0 22 44	0 25 48 0 30 52 0 37 0	10.4 13.5 12.8
		Ost						
			Zenitpunkt 0° 14' 28"				Mittel 27° 56' 12.2	

Datum	Ort	Ocular	Uhrzeit nach P	Libelle		Kreis- und Mikroskop-Lesung		Höhe		
				links	rechts	I	II			
25. April 1890	Shera Sheikh auf der Sinai- Halbinsel	Ost	Polarstern			297° 20'				
			8h 20m 35s	11° 2	10° 5	1' 25" 48"	1' 27" 52"	27° 51'	3' 1	
			22 14	11° 5	10° 3	1 13 35	1 15 38		3 0	
			23 20	11° 3	10° 4	1 4 20	1 5 30		3 5	
						03° 0'				
			20 10	11° 4	10° 3	3 32 55	3 53 10		5' 7	
			27 40	11° 0	10° 2	3 42 5	4 3 20		6' 2	
			29 0	11° 9	10° 0	3 53 10	4 14 37		3' 9	
			West							
			Zenitpunkt 0° 14' 20"				Mittel 27° 51' 4' 2			
			West	k. hydrae.			320° 30'			
				8h 30m 40s	7° 0	15° 4	1' 17" 40"	1' 24" 48"	27° 51'	6' 7
		38 10		5° 4	10° 3	1 35 58	1 42 6		5 4	
		39 30		4° 7	17° 2	1 45 7	1 52 15		5' 4	
						30° 50'				
		41 50		10° 3	11° 4	2 34 50	2 54 18		8' 3	
		Ost	43 10	9° 0	12° 7	2 40 3	3 2 25		10' 7	
			44 28	7° 0	14° 9	2 50 13	3 11 35		9' 4	
Zenitpunkt 0° 14' 20"				Mittel 27° 51' 7' 7						



EXPEDITION S. M. SCHIFF „POLA“ IN DAS ROTHE MEER.

NÖRDLICHE HÄLFTE.

(OCTOBER 1895 — MAI 1896)

WISSENSCHAFTLICHE ERGEBNISSE

II.

RELATIVE SCHWEREBESTIMMUNGEN,

AUSGEFÜHRT VON

ANTON EDLEN VON TRIULZI,

K. UND K. LINIENSCHIFFS-LIEUTENANT.

(Mit 2 Karten.)

VORGELEGT IN DER SITZUNG AM 3. MÄRZ 1897

Inhalt:

Allgemeines.

Tabelle I. Die Beobachtungs-Stationen mit ihren Daten.

- II. Resultate der Zeitbestimmungen.
- III. Berechnung des stündlichen Ganges der Pendeluhr Hawek während der Pendelbeobachtung.
- IV. Berechnung des stündlichen Ganges des Chronometers Nardin während der Pendelbeobachtung.
- V. Die Beobachtungen und deren Reductionen.
- VI. Zusammenstellung der beobachteten Schwingungszeiten für Pola in mittlerer Zeit.
- VII. Zusammenstellung der beobachteten Schwingungszeiten auf den Beobachtungs-Stationen.
- VIII. Tabellarische Zusammenstellung der Schwerkraft auf den Beobachtungs-Stationen.

Allgemeines.

Vorbemerkungen.

Die Ausgangsbeobachtungen wurden in Pola am k. und k. hydrographischen Amte in dem eigens hiezu eingerichteten Keller ausgeführt. Die relativen Schweremessungen begannen in Sucz, worauf die Beobachtungen in den aus Tabelle I ersichtlichen Stationen folgten. Nach Rückkehr des Schiffes in den Centralhafen am 18. Mai 1896 wurden die Schlussbeobachtungen wieder am k. und k. hydrographischen Amte vorgenommen.

Trotz der meist ungünstigen Verhältnisse bezüglich Temperatur, Beobachtungs-Local und Transport der Instrumente ist in keiner Station die Beobachtung misslungen und es haben die Resultate, wie aus Tabelle VII ersichtlich, einen grossen Grad von Genauigkeit.

Die Beobachtungs-Stationen.

Im Laufe der Expedition S. M. Schiffes *Pola* wurde an 26 Stationen des Rothen Meeres die Schwerkraft ermittelt. Hievon sind 6 Insel-, die anderen Landstationen, und zwar entfallen von letzteren 9 auf die ägyptische, 4 auf die arabische Küste und 7 Orte auf die Halbinsel Sinai. Weiter landeinwärts konnten aus naheliegenden Gründen keine Beobachtungen ausgeführt werden. In Tabelle I sind die Beobachtungs-Stationen mit den zu den weiteren Rechnungen erforderlichen Daten ersichtlich. Die geographischen Positionen wurden vom Linienschiffs-Lieutenant Koss durch astronomische Beobachtungen ermittelt. Die Höhen sind entweder geschätzt oder durch Nivellirung erhalten. Die Dichten geben Mittelwerthe und erheben keinen Anspruch auf Genauigkeit, weil bei den geringen Höhen der Beobachtungs-Stationen über dem Meeres-Niveau zur Berechnung der Massenanziehung genährte Werthe der Dichten genügen. Die geologische Formation wurde an Ort und Stelle erhoben. Die letzte Rubrik zeigt, dass nur an 11 Stationen Beobachtungslocale zur Verfügung standen. An den anderen Orten wurde in einer Holzhütte beobachtet.

Instrumente und Ausrüstung.

Zur Ausführung der Beobachtungen diente der Sterneek'sche Pendelapparat Nr. 11 mit den vier Pendeln 24, 28, 35 und 63, deren Constanten in Wien am militär-geographischen Institute wie folgt bestimmt wurden.

Die Temperatur-Constante (m) ist für Beobachtungen nach Sternzeit 49'26 Einh. d. 7. Dec. der Schwingungszeit, die Luftdichte-Constante (f) 512'0 Einh. d. 7. Dec. Für Beobachtungen mit einer nach mittlerer Zeit regulirten Uhr sind die Constanten 49'11, beziehungsweise 540'6.

Zur Ermittlung der Temperatur diente das Thermometer Nr. 11. Aus der Scalenlesung ergab sich die Temperatur in C° nach einer auf empirischem Wege angelegten Tabelle. Das Thermometer Nr. 36 war in Reserve mitgenommen. Als Beobachtungsuhr diente wegen des vorzüglichen und gleichmässigen Ganges das Chronometer 48 Nardin 35 mit elektrischer Contact-Vorrichtung. Die Secunden-Pendeluhr Hawellk wurde nur in Suez und Jidda verwendet, weil in den meisten Stationen ihre Anbringung unthunlich war und weil sie keinen so gleichmässigen Gang hatte wie das Chronometer Nardin. Zur Ermittlung des wahrscheinlichsten Ganges der Beobachtungsuhr während der Pendelbeobachtung standen sämtliche Chronometer der Expedition zur Verfügung (Eigenthum der k. und k. Kriegs-Marine).

56 Kullberg.....	5069	mittlere Zeit.....	K ₁
55 Fiseher.....	41	„ „	F ₁
2 Kullberg.....	4757	„ „	K ₂
6 Dent.....	2512	„ „	D
3 Parkisson.....	3476	Sternzeit.....	Pa

Letzteres diente auch als Beobachtungsuhr bei den astronomischen Arbeiten.

Zur vollständigen Ausrüstung wurden ferner mitgenommen: Ein zerlegbarer steinerner Beobachtungspfeiler, ein Dreifuss-Stativ für den Coincidenz-Apparat, Leitungs-draht, Elemente, ein Aneroid-Barometer und eine hölzerne Beobachtungshütte. Diese besteht aus sechs Theilen, die mittelst Flügelschrauben zu einem 1'8 m hohen, 2 m langen und 1'8 m breiten parallelpipedischen Kasten zusammengesetzt werden können. Der Fussboden der so aufgebauten Hütte hat die entsprechende Ausnehmung, um die Grundplatte des Steinfelers auf dem Erdboden auflegen zu können. Die dem Pendelspiegel gegenüberstehende Wand ist mit einer Thüre versehen, in welcher ein Fenster in entsprechender Höhe so eingeschnitten ist, dass man von aussen die Coincidenzen beobachten kann. Über die Hütte wurde ein dunkel gefüttertes Zelt so gespannt, dass sie vor der directen Sonnenstrahlung geschützt war, die Luft aber frei darunter streichen konnte, wenn nicht beobachtet wurde. Durch diese Vorrichtungen blieb die Temperatur sehr consant. Bei

dicht geschlossenem Zelte konnte darin selbst bei Tage mit Kerzenlichter beobachtet werden, wodurch vermieden wurde, dass sich der Beobachter selbst den glühenden Sonnenstrahlen auszusetzen hatte.

Der Pendelapparat sammt Zubehör hat in jeder Hinsicht tadellos entsprochen.

Vorgang bei den Beobachtungen.

Die Zeitbestimmungen wurden vom Linienschiffs-Lieutenant Koss. mit einem Universale von Starke und Kammerer ausgeführt. Näheres darüber findet man in den betreffenden Arbeiten des genannten See-officiers. In Tabelle II sind die aus den Zeitbestimmungen ermittelten Gänge aller Uhren ersichtlich.

Die Pendelbeobachtung wurde immer zwischen zwei Zeitbestimmungen eingeschlossen, nur an einem Tage in Tor war dies wegen schlechten Wetters nicht möglich, doch wurde diese Messung ausnahmsweise auch verwendet, weil das Resultat mit dem des Vortages sehr gut übereinstimmte und weil der Gang der Uhren vollkommen verlässlich war.

Der wahrscheinlichste Gang der Beobachtungsuhr (Hawelk und Nardin) wurde aus den Gängen aller Chronometer durch Vergleiche vor und nach der Pendelbeobachtung abgeleitet und mit diesem Gange die Uhr-Correction für die uncorrigirte Schwingungszeit des idealen mittleren Pendels berechnet. (Tabelle III und IV.)

Nach Ankuft in einer Station wurden zunächst alle Instrumente ans Land geschafft, die Holzhütte in der früher erwähnten Weise aufgebaut und die Chronometer hineingeschafft, sodann der Pendelpfeiler errichtet, wobei die Grundplatte entweder auf lebenden Stein angekipst oder in das Erdreich eingebettet wurde. War der Boden locker und eine bessere Aufstellung nicht möglich, so wurde der Pfeiler noch mit acht schweren Lothkugeln belastet, um seine Stabilität zu erhöhen. Das eiserne Unterlagskreuz gipste ich stets an der Deckplatte des Steinpfeilers an.

Am Abend fand die Zeitbestimmung statt, wenn die Instrumente früh Morgens ans Land geschafft waren, sonst erst am nächsten Abend. Die Pendelbeobachtung führte ich entweder am nächsten Vor- und Nachmittage oder bei grosser Hitze nach Sonnenuntergang aus. Der Vorgang dabei war ganz gleich jenem in dem Werke »Relative Schwerebestimmungen durch Pendelbeobachtungen, ausgeführt von der k. und k. Kriegs-Marine« beschrieben.

In den meisten Orten habe ich zwei vollständige Serien beobachtet, in einigen auch mehrere, und nur dort wo die nautische Sicherheit des Schiffes ein längeres Verweilen im Hafen unthunlich machte, ist nur eine Beobachtung ausgeführt worden.

Resultate der Pendelbeobachtungen.

Aus der beobachteten Dauer ϵ einer Coincidenz ergibt sich die Schwingungszeit der Pendel nach der Gleichung

$$s = \frac{\epsilon}{2\epsilon - 1} \text{ Sekunden,}$$

weil alle 4 Pendel langsamer schwingen als ein Halbsecunden-Pendel.

Die Tabelle V enthält die Original-Beobachtungen und die Reductionen der Schwingungszeiten.

1. Die Uhr-Correction erhält man nach der Formel:

$$u = \frac{s_1 + s_2 + s_3 + s_4}{4} - 0.00027778 \cdot \epsilon, \quad \epsilon,$$

wobei $\pm \epsilon$ der stündliche Gang der Beobachtungsuhr ist.

2. Die Reduction auf unendlich kleine Amplituden ergibt sich aus der Gleichung

$$\Delta s = -0.5 \frac{1}{4} \sin^2 \frac{A}{2},$$

wobei:

$$A = a \cdot \pi$$

$$\tan 2\pi = \frac{0.003}{R}$$

ist.

Es bedeutet dabei:

α den Winkelwerth eines Scalentheiles in Bogenminuten,

a das Mittel der abgelesenen Theile der schwingenden Scala vor und nach der Beobachtung,

$\frac{R}{2}$ Entfernung des Pendel-spiegels vom Nullpunkte der Scala des Coincidenz-Apparates.

3. Die Reduction auf 0° C ergibt sich für eine Beobachtung nach Sternzeit mit

$$49.26 \cdot T$$

und für eine nach mittlerer Zeit mit

$$46.11 \cdot T,$$

wobei T die Temperatur am Pendel-Thermometer bedeutet.

4. Die Reduction auf den luftleeren Raum ist

$$542.0 \cdot D \text{ für Sternzeit}$$

$$540.6 \cdot D \text{ für mittlere Zeitbeobachtung}$$

$$D = \frac{Hum - 0.2639 f}{700(1 + 0.00367 T)}$$

D relative Dichte der Luft bei 70% Feuchtigkeitsgehalt,

Hum der auf 0° C reducierte Barometerstand,

f die in mm ausgedrückte Maximal-Spannung des Wasserdampfes bei der Temperatur T am Pendel-Apparate.

In Tabelle VI sind die beobachteten Schwingungszeiten für die Basis-Station Pola in mittlerer Zeit zusammengestellt. Vor der Reise wurde zur Beobachtung die Pendeluhr Vorauer 508, deren täglicher Gang $+0.348$ war, verwendet, nach der Reise das Chronometer 48 Nardin 35, das vor und nach der Beobachtung mit den beiden Pendeluhren Hohwü 45 und Kießer 10 verglichen wurde (Tabelle IV). Wie ersichtlich, sind die Schwingungszeiten der vier Pendel vor und nach der Reise nur sehr wenig von einander verschieden, im Mittel um nur 3 Einh. d. 7 Dec. Dieser geringe Unterschied ist nicht Veränderungen der Pendel zuzuschreiben und können sie daher als invariabel betrachtet werden. Zur Berechnung der Schwerkraft ist das Mittel der Resultate vor und nach der Reise angenommen worden.

$$S_{\text{Pola}} = 0.55070135.$$

In Tabelle VII sind die reducirten Schwingungszeiten an den Beobachtungs-Stationen zusammengestellt. Die Grösse S dieser Tabelle wurde der Berechnung der Schwerkraft zu Grunde gelegt.

Die Schwerkraft auf den Beobachtungs-Stationen.

Aus der reducirten Schwingungszeit S des mittleren Pendels (Tabelle VII) und der für Pola gefundenen Schwingungsdauer $S_{\text{Pola}} = 0.55070135$ ergibt sich, basiert auf den Werth der Schwerkraft in Pola $g_{\text{Pola}} = 9.80612 m$, die Grösse g der Schwere auf den Beobachtungs-Stationen nach der Relation

$$gS^2 = g_{\text{Pola}} S_{\text{Pola}}^2$$

Die berechneten Werthe wurden mit Hilfe der Formel

$$A = + \frac{2H}{R} g$$

auf das Meeres-Niveau reducirt und nach der Gleichung

$$A = -g \frac{3}{2} \frac{H}{R} \frac{H}{H_0}$$

von der Attraction der Massen unter der Station befreit.

R mittlerer Erdradius 6,366,740 m .

H Höhe der Station über dem Meeres-Niveau in m .

σ Gesteinsdichte.

σ_m mittlere Erddichte = 5.6.

Die Anziehung der höher liegenden Massen konnte mangels entsprechender Karten nicht berücksichtigt werden. Mit Ausnahme im Golfe von Akabah dürfte dieser Einfluss kaum einen merklichen Betrag erreichen.

Tabelle VIII enthält die Schlussresultate, d. i. die beobachtete Schwere im Meeres-Niveau und die Abweichung von ihrem theoretischen Werte, welcher letzterer nach der Helmholtz'schen Formel

$$\gamma_0 = 0.780 (1 + 0.005310 \sin^2 \varphi)$$

berechnet wurde. Die letzte Rubrik gibt die Länge des Sekundenpendels im Meeres-Niveau nach der Relation

$$L_0 = \frac{g_0}{\pi^2}.$$

Zur Veranschaulichung wurden die Resultate graphisch verwertet, und es enthält die Karte I die Linien gleicher Schwereabweichungen, die Karte II die Linien gleicher Schwere im Meeres Niveau. Ein Blick auf diese Karten zeigt, dass die Schwerkraft über dem ganzen Gebiete des Rothen Meeres relativ gross ist. Die Anomalie $g_m - \gamma_0$ erreicht auf der Insel St. Johns +0.00214 m . Nur an vier Orten im Golfe von Akabah ist die beobachtete Schwere kleiner als ihr theoretischer Werth: das Maximum dieser Abweichung beträgt in Nawibi -0.000038 m .

Der Gebirgsstock des Sinai, der Golf von Akabah und die angrenzenden Gebirge der arabischen Küste haben demnach relativ kleine Schwere.

Nach den bestehenden Theorien wäre daher das rothe Meer als Senkungsgebiet, der Golf von Akaba hingegen als ein Thal im Gebirge aufzufassen.

Die Zunahme der Schwerkraft vom Lande gegen die See erfolgt ziemlich regelmässig mit Abnahme der Bodenerhebung, u. zw. scheint diese Zunahme der Schwerkraft auf der ägyptischen Seite rascher zu sein als auf der arabischen. Die Linien gleicher Schwere weichen über der See sehr stark vom Parallelkreise nach Süden ab und erheben sich über dem Lande nach Norden.

Tabelle I.
Die Beobachtungs-Stationen.

Nr.	Station	Geographische Position		Höhe H über dem Meeres- niveau	Geologische Formation	Dichte σ des Gesteins	Beobachtungs-Local
		Nördliche Breite	Ostliche Länge				
1	Pola	44° 51' 45"	0° 55' 23" 0	28 m	Kreide, Kalk	2.4	Keller des hydrographischen Amtes.
2	Sues	29 56 0	2 10 13.7	3	Sand	2.0	Ebenerdiges Local des Hafenamtes am östlichen Mole des Ibrahim-Bassins Steinboden.
3	The Brothers . . .	26 18 46	2 19 22.5	10	Korallenkalk aufliegend auf Basalt	2.5	Ebenerdiges Magazin des Leuchthaus mit Steinboden.
4	Jidda	21 28 55	2 36 40.1	3	Sand, Kalk	2.4	Getreidemagazin beim Hauptbahnhof.
5	Merse-Halaib . . .	22 13 26	2 26 40.0	1	Sand	2.0	Im Castell auf natürlichem Boden.

Nr.	Station	Geographische Position		Höhe H über dem Meers- niveau	Geologische Formation	Dichte H des Gesteines	Beobachtungs-Local
		Nördliche Breite	Östliche Länge				
6	St. Johns	23° 35' 47"	2° 24' 31"	0 m	Korallenkalk auf- lagernd auf vul- kanischem Gestein	2'5	In der Beobachtungshütte.
7	Beronicc	23 50 27	2 21 59'4	3	Sand	2'0	dto.
8	Sherm Rabegh	22 45 8	2 30 2'6	1	"	2'0	Sanitäts-häuschen am Strande auf natürlichem Boden.
9	Yenbo	24 4 31	2 32 15'3	3	"	2'0	dto.
10	Sherm Sheikh	24 30 48	2 20 27'9	2	"	2'0	In der Beobachtungshütte.
11	Mersa Dhuba	25 20 13	2 18 57'1	2	"	2'0	dto.
12	Hassani	24 57 8	2 27 25'9	5	Kalk	2'4	dto.
13	Sherm Habbah	26 4 7	2 26 16'1	3	"	2'4	Beobachtungshütte auf Steinboden.
14	Koseir	20 6 17	2 17 8'8	4	"	2'4	Moschee im Hause des Sanitäts-Rathes.
15	Noman	27 0 20	2 23 4'1	5	Kalkstein, Sand und Korallenkalk	2'4	Beobachtungshütte.
16	Ras abu Sumer	20 51 7	2 15 50'0	1	Kalkstein	2'4	dto.
17	Ins. Shadwan	27 30 8	2 15 47'9	7	Korallenkalk	2'4	dto.
18	Ras Abu zenima	29 2 35	2 12 20'1	2	Sand, Kalkstein	2'4	dto.
19	Tor	28 14 12	2 14 25'8	2	Kalkstein	2'4	Local im deutschen Con- sulate.
20	Ras Gharib	28 21 3	2 12 25'5	6	"	2'4	Kanzlei des Leuchthauses.
21	Zafarana	29 0 39	2 10 39'2	0	"	2'4	Magazin im nordwestlichen Theile des Leuchthauses.
22	Mersa Duhah	28 28 30	2 18 0'6	3	Urgestein	2'8	Beobachtungshütte.
23	Nawibi	28 57 40	2 18 30'0	3	"	2'8	dto.
24	Akabah	29 31 14	2 19 57'2	6	"	2'8	Ebenrändiges Local im Fort
25	Bir al Mash-ya	26 52 28	2 19 10'2	3	"	2'8	Beobachtungshütte.
26	Sennar	27 50 12	2 18 37'8	3	Korallenkalk	2'4	dto.
27	Sherm Sheikh a. d. Sinaitüste	27 51 6	2 17 7'4	2	Urgestein	2'8	dto.

Tabelle II.

Resultate der Zeitbestimmungen.

Datum von — bis	Ort	Stündliche Gänge						
		K ₁ 56 Kullberg mittl. Zeit	F ₁ 55 Fischer 44 mittl. Zeit	K ₂ 2 Kullberg 47'57 mittl. Zeit	P ₁ 3 Parkison 3476 Sternzeit	D 6 Dent 5312 mittl. Zeit	N 48 Nardin 55 Sternzeit	Pendeluhr Hewelk
21.10.—22.10. 1895	Suez	—	+0'109	—0'023	—0'052	+0'042	—0'009	+3'595
22.10.—23. 10.	Suez	—	—0'109	—0'015	—0'059	+0'067	—0'056	+3'042
27.10.—28. 10.	The Brothers	—	+0'118	—0'004	+0'030	+0'054	—0'053	—
0.11.—7.11.	Jidda	+0'024	+0'003	+0'009	+0'008	—0'072	—0'074	+1'249
7.11.—8.11.	Jidda	+0'053	+0'107	+0'010	+0'030	+0'068	0 009	—
10.11.—17.11.	Mersa-Hulaib	+0'049	—0'092	+0'006	+0'025	—0'030	—0'098	—
17.11.—18.11.	Mersa-Hulaib	+0'023	+0'101	—0'004	+0'009	+0'034	—0'090	—
18.11.—22.11.	St. Johns	+0'030	+0'095	—0'023	—0'024	+0'040	—0'094	—
24.11.—25.11.	Beronicc	+0'044	+0'093	—0'004	+0'013	+0'058	—0'080	—
3.12.—4.12.	Sherm Rabegh	+0'049	+0'095	+0'009	+0'050	+0'057	—0'082	—

Datum von bis	Ort	Stündliche Gänge						
		K ₁ 56 Kullberg mittl. Zeit	Fi 55 Fischer mittl. Zeit	K ₂ 4757 mittl. Zeit	Pa 3 Parkison 3478 Sternzeit	D 6 Dent 2512 mittl. Zeit	N 48 Nardin 85 Sternzeit	Pendeluhr Hawelk
23./12.-24./12. 1895	Yenbo . . .	+0°020	+0°039	-0°052	+0°021	+0°044	-0°147	.
24./12.-25./12.	Yenbo . . .	+0°040	+0°045	-0°042	+0°009	+0°062	-0°091	.
30./12.-31./12.	Sherm Sheikh . . .	+0°002	+0°057	-0°034	+0°029	+0°065	-0°108	.
2./1.-3./1. 1896	Mersa Dhiba . . .	+0°065	+0°051	-0°032	+0°014	+0°073	-0°082	.
6./1.-7./1.	Hassam . . .	+0°082	+0°054	-0°030	+0°049	+0°084	-0°089	.
11./1.-12./1.	Sherm Habban . . .	+0°067	+0°025	-0°044	+0°010	+0°066	-0°110	.
15./1.-18./1.	Kosseir . . .	+0°058	+0°032	-0°048	-0°006	+0°062	-0°092	.
8./2.-9./2.	Noman . . .	+0°046	+0°039	-0°064	+0°008	+0°060	-0°090	.
9./2.-11./2.	Noman . . .	+0°038	+0°031	-0°067	-0°006	+0°060	-0°107	.
15./2.-16./2.	Ras Abu Secur . . .	+0°048	+0°037	-0°060	+0°018	+0°072	-0°091	.
19./2.-20./2.	Ins. Shadwan . . .	+0°042	+0°019	-0°082	+0°003	+0°054	-0°104	.
5./3.-6./3.	Ras Abu Zenima . . .	+0°042	+0°044	-0°072	-0°002	+0°038	-0°092	.
8./3.-9./3.	Tor . . .	+0°039	+0°044	-0°084	+0°006	+0°044	-0°099	.
9./3.-10./3.	Tor * . . .	+0°038	+0°041	-0°080	+0°001	+0°051	-0°100	.
13./3.-14./3.	Ras Gharib . . .	+0°035	+0°033	-0°081	-0°008	+0°038	-0°097	.
17./3.-18./3.	Zafaran . . .	+0°014	+0°033	-0°090	-0°005	+0°032	-0°104	.
4./4.-6./4.	Dabab . . .	+0°040	+0°077	-0°047	-0°004	+0°037	-0°075	.
11./4.-12./4.	Nawib . . .	+0°035	+0°058	-0°076	-0°026	+0°038	-0°085	.
14./4.-15./4.	Akabah . . .	+0°031	+0°046	-0°088	-0°032	+0°031	-0°098	.
15./4.-16./4.	Akabah . . .	+0°048	+0°051	-0°078	-0°027	+0°047	-0°088	.
18./4.-19./4.	Hir al Mashaya . . .	+0°023	+0°054	-0°081	+0°011	+0°029	-0°105	.
23./4.-24./4.	Senafir . . .	+0°044	+0°060	-0°094	-0°040	+0°035	-0°082	.
25./4.-26./4.	Sherm Sheikh . . .	+0°053	+0°109	-0°020	+0°021	+0°057	-0°086	.
26./4.-27./4.	Sherm Sheikh . . .	+0°064	+0°130	-0°004	+0°049	+0°060	-0°084	.
27./4.-28./4.	Suez . . .	+0°040	+0°083	-0°047	-0°010	+0°059	-0°115	.
27./5.-29./5	Pola . . .	-0°004	-0°001				-0°145	.
		Howah 45	Riefler 10				Nardin	

* Nach Vergleichen, ohne Zeitbestimmung.

Tabelle III.

Berechnung des stündlichen Ganges der Pendeluhr „Hawelk“ während der Pendelbeobachtung aus den Uhrvergleichen.

Datum	Ort	Chrono- meter	Verflossene Chronometerzeit	Gang Correction	Verflossene mittlere Zeit	Verflossene Zeit nach Hawelk	Stündlicher Gang des Hawelk
22./10. 1895 a. m.	Suez	Fi K ₂ Pa D N	4 ^h 29 ^m 39 ^s 449 4 29 39 ^s 992 4 30 24 ^s 500 4 29 39 ^s 648 4 30 24 ^s 500	+0°489 -0°103 +0°234 +0°189 -0°311	4 ^h 29 ^m 39 ^s 038 4 29 39 ^s 889 4 30 39 ^s 997 4 29 39 ^s 837 4 29 39 ^s 890	4 ^h 29 ^m 26 ^s 000 4 29 26 ^s 000 4 29 26 ^s 000 4 29 26 ^s 000 4 29 26 ^s 000	+3°101 +3°090 +3°108 +3°079 +3°091
							Mittel +3°094
23./10. 1895 p. m.	Suez	Fi K ₂ Pa D N	4 25 5 ^s 250 4 25 5 ^s 729 4 25 49 ^s 600 4 25 5 ^s 452 4 25 49 ^s 500	+0°484 -0°066 -0°262 +0°290 -0°248	4 25 5 ^s 740 4 25 5 ^s 673 4 25 5 ^s 280 4 25 5 ^s 748 4 25 5 ^s 703	4 24 52 ^s 000 4 24 52 ^s 000 4 24 52 ^s 000 4 24 52 ^s 000 4 24 52 ^s 000	+3°110 +3°095 +3°121 +3°112 +3°102
							Mittel +3°108

Datum	Or t	Chronometer	Verflossene Chronometerzeit	Gang Correction	Verflossene mittlere Zeit	Verflossene Zeit nach Hawelk	Stündlicher Gang des Hawelk
7. 11. 1895 a. m.	Jidda	Fl	4 ^h 35 ^m 45 ^s 403	+0 ^s 427	4 ^h 35 ^m 45 ^s 830	4 ^h 35 ^m 40 ^s 000	+1 ^s 208
		K ₁	4 35 45 071	+0 ^s 110	4 35 45 781	4 35 40 000	+1 ^s 258
		K ₂	4 35 45 805	+0 ^s 041	4 35 45 846	4 35 40 000	+1 ^s 272
		Pa	4 30 31 500	+0 ^s 037	4 35 45 830	4 35 40 000	+1 ^s 270
		D	4 35 45 540	+0 ^s 330	4 35 45 870	4 35 40 000	+1 ^s 277
		N	4 30 31 500	-0 ^s 340	4 35 45 850	4 35 40 000	+1 ^s 275
							Mittel +1 ^s 270
8. 11. 1895 a. m.	Jidda	Fl	4 25 53 081	+0 ^s 474	4 25 53 555	4 25 48 000	+1 ^s 254
		K ₁	4 25 53 335	+0 235	4 25 53 570	4 25 48 000	+1 ^s 257
		K ₂	4 25 53 450	+0 ^s 044	4 25 53 503	4 25 48 000	+1 ^s 249
		Pa	4 20 37 000	+0 ^s 159	4 25 53 483	4 25 48 000	+1 ^s 237
		D	4 25 53 273	+0 ^s 301	4 25 53 574	4 25 48 000	+1 ^s 258
		N	4 20 37 500	-0 ^s 306	4 25 53 510	4 25 48 000	+1 ^s 245
							Mittel +1 ^s 249

Tabelle IV.

Berechnung des stündlichen Ganges des Chronometers „Nardin“ während der Pendelbeobachtung aus den Uhrvergleichen.

Datum	Or t	Chronometer	Verflossene Chronometerzeit	Gang Correction	Verflossene Sternzeit	Verflossene Zeit nach Nardin	Stündlicher Gang des Nardin
23./10. 1895 a. m.	Suez	Fl	3 ^h 59 ^m 30 ^s 000	+0 ^s 434	4 ^h 0 ^m 9 ^s 778	4 ^h 0 ^m 10 ^s 000	-0 ^s 050
		K ₂	3 50 14 000	-0 ^s 059	3 56 52 747	3 56 53 000	-0 ^s 064
		Pa	3 56 30 050	-0 ^s 233	3 56 29 818	3 56 30 000	-0 ^s 049
		D	3 50 45 000	+0 ^s 203	3 57 24 155	3 57 24 500	-0 ^s 087
		N	3 58 23 500	-0 ^s 222	3 58 23 278	3 58 23 500	-0 ^s 050
							Mittel -0 ^s 062
28./10. 1895 a. m.	The Brothers	Fl	4 23 30 000	+0 ^s 517	4 24 13 804	4 24 14 000	-0 ^s 045
		K ₉	4 21 0 000	-0 ^s 017	4 21 42 858	4 21 43 000	-0 ^s 033
		Pa	4 21 44 530	+0 ^s 170	4 21 44 070	4 21 44 800	-0 ^s 030
		D	4 19 25 000	+0 ^s 233	4 20 7 848	4 20 8 000	-0 ^s 030
		N	4 20 8 000	-0 ^s 230	4 20 7 770	4 20 8 000	-0 ^s 053
							Mittel -0 ^s 039
28./10. 1895 p. m.	The Brothers	Fl	3 30 7 000	+0 ^s 413	3 30 41 930	3 30 42 000	-0 ^s 020
		K ₂	3 20 20 000	-0 ^s 014	3 20 53 881	3 20 54 000	-0 ^s 035
		Pa	3 21 55 100	+0 ^s 130	3 21 55 230	3 21 55 350	-0 ^s 030
		D	3 25 50 000	+0 ^s 180	3 20 23 990	3 20 24 000	-0 ^s 000
		N	3 20 24 000	-0 ^s 182	3 20 23 818	3 20 24 000	-0 ^s 053
							Mittel -0 ^s 029
7./11. 1895 p. m.	Jidda	Fl	4 32 14 500	+0 ^s 422	4 32 59 045	4 33 9 000	-0 ^s 028
		K ₁	4 31 4 000	+0 ^s 108	4 31 48 038	4 31 49 000	-0 ^s 080
		K ₂	4 31 49 000	+0 ^s 041	4 32 33 094	4 32 34 000	-0 ^s 067
		Pa	4 34 58 400	+0 ^s 036	4 34 58 430	4 34 58 700	-0 ^s 053
		D	4 33 27 500	+0 ^s 328	4 34 12 752	4 34 13 000	-0 ^s 054
		N	4 28 54 000	-0 ^s 332	4 28 53 068	4 28 54 000	-0 ^s 074
							Mittel -0 ^s 069

Datum	Ort	Chronometer	Verflossene Chronometerzeit	Gang Correction	Verflossene Sternzeit	Verflossene Zeit nach Nardin	Ständlicher Gang des Nardin
8./11. 1895 p. m.	Jidda	Fi	4 ^h 38 ^m 7 ^s .500	+0 ^o .199	4 ^h 38 ^m 53 ^s .080	4 ^h 38 ^m 54 ^s .000	-0 ^o .068
		K ₁	4 37 0 ^s .000	+0 ^o .245	4 37 50 ^s .793	4 37 51 ^s .000	-0 ^o .051
		K ₂	4 37 50 ^s .000	+0 ^o .040	4 38 35 ^s .007	4 38 36 ^s .000	-0 ^o .072
		Pa	4 38 20 ^s .000	+0 ^o .107	4 38 20 ^s .197	4 38 20 ^s .500	-0 ^o .072
		D	4 39 45 ^s .500	+0 ^o .317	4 40 31 ^s .770	4 40 32 ^s .000	-0 ^o .048
		N	4 39 10 ^s .000	-0 ^o .310	4 39 9 ^s .080	4 39 10 ^s .000	-0 ^o .009
							Mittel -0 ^o .063
17./11. 1895 a. m.	Mersa - Halah	Fi	3 56 4 ^s .500	+0 ^o .302	3 56 43 ^s .044	3 56 44 ^s .000	-0 ^o .090
		K ₁	3 59 59 ^s .000	+0 ^o .183	4 0 38 ^s .000	4 0 39 ^s .000	-0 ^o .008
		K ₂	3 57 47 ^s .500	+0 ^o .023	3 58 26 ^s .580	3 58 27 ^s .000	-0 ^o .104
		Pa	3 56 48 ^s .750	+0 ^o .099	3 56 48 ^s .849	3 56 49 ^s .250	-0 ^o .102
		N	3 56 23 ^s .000	-0 ^o .375	3 53 22 ^s .625	3 56 23 ^s .000	-0 ^o .098
17./11. 1895 p. m.	Mersa - Halah	Fi	3 37 31 ^s .500	+0 ^o .333	3 38 7 ^s .560	3 38 8 ^s .000	-0 ^o .121
		K ₁	3 39 45 ^s .500	+0 ^o .105	3 40 21 ^s .799	3 40 22 ^s .000	-0 ^o .085
		K ₂	3 40 5 ^s .000	+0 ^o .073	3 40 41 ^s .077	3 40 42 ^s .000	-0 ^o .085
		Pa	3 38 24 ^s .500	+0 ^o .091	3 38 24 ^s .591	3 38 25 ^s .000	-0 ^o .112
		D	3 39 28 ^s .000	+0 ^o .130	3 37 3 ^s .099	3 37 4 ^s .000	-0 ^o .088
		N	3 37 4 ^s .000	-0 ^o .254	3 37 3 ^s .740	3 37 4 ^s .000	-0 ^o .098
							Mittel -0 ^o .095
18./11. 1895 a. m.	Mersa - Halah	Fi	4 1 36 ^s .500	+0 ^o .400	4 2 16 ^s .597	4 2 17 ^s .000	-0 ^o .100
		K ₁	4 0 29 ^s .000	+0 ^o .092	4 1 8 ^s .597	4 1 9 ^s .000	-0 ^o .100
		K ₂	4 1 5 ^s .000	-0 ^o .016	4 1 44 ^s .588	4 1 45 ^s .000	-0 ^o .102
		Pa	3 59 27 ^s .500	+0 ^o .035	3 59 27 ^s .535	3 59 27 ^s .950	-0 ^o .104
		D	3 57 25 ^s .500	+0 ^o .133	3 57 4 ^s .630	3 58 5 ^s .000	-0 ^o .092
		N	3 58 5 ^s .000	-0 ^o .379	3 58 4 ^s .621	3 58 5 ^s .000	-0 ^o .090
							Mittel -0 ^o .090
22./11. 1895 a. m.	St. Johns	Fi	4 0 15 ^s .000	+0 ^o .262	4 0 54 ^s .730	4 0 55 ^s .000	-0 ^o .067
		K ₁	4 1 39 ^s .000	+0 ^o .086	4 2 18 ^s .777	4 2 19 ^s .000	-0 ^o .055
		K ₂	4 2 20 ^s .000	-0 ^o .093	4 2 59 ^s .717	4 3 0 ^s .000	-0 ^o .079
		Pa	4 1 2 ^s .950	-0 ^o .096	4 1 3 ^s .854	4 1 3 ^s .150	-0 ^o .074
		D	4 1 10 ^s .000	+0 ^o .160	4 1 49 ^s .777	4 1 50 ^s .000	-0 ^o .055
		N	4 1 50 ^s .000	-0 ^o .379	4 1 49 ^s .621	4 1 50 ^s .000	-0 ^o .094
							Mittel -0 ^o .069
22./11. 1895 p. m.	St. Johns	Fi	4 20 39 ^s .500	+0 ^o .288	4 27 23 ^s .594	4 27 24 ^s .000	-0 ^o .001
		K ₁	4 25 0 ^s .000	+0 ^o .088	4 25 43 ^s .021	4 25 44 ^s .000	-0 ^o .086
		K ₂	4 25 50 ^s .000	-0 ^o .102	4 26 39 ^s .584	4 26 40 ^s .000	-0 ^o .094
		Pa	4 27 11 ^s .500	-0 ^o .107	4 27 11 ^s .303	4 27 11 ^s .850	-0 ^o .103
		D	4 27 55 ^s .500	+0 ^o .178	4 28 39 ^s .691	4 28 40 ^s .000	-0 ^o .069
		N	4 28 40 ^s .000	-0 ^o .420	4 28 39 ^s .580	4 28 40 ^s .000	-0 ^o .094
							Mittel -0 ^o .090
25./11. 1895 a. m.	Berenice	Fi	4 5 20 ^s .000	+0 ^o .384	4 6 6 ^s .703	4 6 7 ^s .000	-0 ^o .072
		K ₁	4 0 18 ^s .000	+0 ^o .180	4 0 38 ^s .041	4 0 39 ^s .000	-0 ^o .057
		K ₂	4 4 49 ^s .500	-0 ^o .016	4 5 29 ^s .792	4 5 30 ^s .000	-0 ^o .073
		Pa	4 6 10 ^s .500	+0 ^o .001	4 6 10 ^s .501	4 6 10 ^s .500	-0 ^o .058
		D	4 6 15 ^s .000	+0 ^o .338	4 6 55 ^s .092	4 6 56 ^s .000	-0 ^o .075
		N	4 6 50 ^s .000	-0 ^o .360	4 6 55 ^s .034	4 6 56 ^s .000	-0 ^o .089
							Mittel -0 ^o .076
3./12. 1895 p. m.	Sherm Rahbeh	Fi	3 41 10 ^s .000	+0 ^o .349	3 41 46 ^s .080	3 41 47 ^s .000	-0 ^o .087
		K ₁	3 45 15 ^s .500	+0 ^o .183	3 45 52 ^s .087	3 45 53 ^s .000	-0 ^o .083
		D	3 42 15 ^s .000	+0 ^o .211	3 42 51 ^s .721	3 42 52 ^s .000	-0 ^o .075
		N	3 42 52 ^s .000	-0 ^o .304	3 42 51 ^s .690	3 42 52 ^s .000	-0 ^o .082
							Mittel -0 ^o .082

Datum	Ort	Chrono- meter	Verflossene Chronometerzeit	Gang- Correction	Verflossene Sternzeit	Verflossene Zeit nach Nardin	Stündlicher Gang nach Nardin
4./12. 1895 p. m.	Sherm Babegh	F ₁	3 ^h 32 ^m 4 ^s 500	+0 ^h 336	3 ^h 32 ^m 39 ^s 075	3 ^h 32 ^m 40 ^s 000	-0 ^h 092
		K ₁	3 30 20 000	+0 ^h 172	3 30 34 724	3 30 35 000	-0 ^h 077
		K ₂	3 30 57 000	+0 ^h 031	3 31 31 054	3 31 31 000	-0 ^h 090
		D	3 30 1 000	+0 ^h 200	3 30 35 700	3 30 30 000	-0 ^h 085
		N	3 30 30 000	-0 ^h 288	3 30 35 712	3 30 30 000	-0 ^h 082
							Mittel -0 ^h 085
24./12. 1895 a. m.	Yenbo	F ₁	4 10 40 000	+0 ^h 192	4 11 21 341	4 11 21 000	-0 ^h 157
		K ₁	4 10 45 000	+0 ^h 110	4 11 20 308	4 11 27 000	-0 ^h 105
		K ₂	4 9 48 500	0 ^h 210	4 10 29 320	4 10 30 000	-0 ^h 101
		D	4 11 40 500	+0 ^h 088	4 11 40 580	4 11 41 000	-0 ^h 138
		N	4 13 39 500	+0 ^h 180	4 14 21 351	4 14 22 000	-0 ^h 152
			4 14 22 000	-0 ^h 022	4 14 21 378	4 14 22 000	-0 ^h 147
							Mittel -0 ^h 157
25./12. 1895 p. m.	Yenbo	F ₁	4 5 5 000	+0 ^h 183	4 5 15 044	4 5 40 000	-0 ^h 136
		K ₁	4 2 11 500	+0 ^h 101	4 2 51 448	4 2 52 000	-0 ^h 130
		K ₂	4 4 5 000	-0 ^h 170	4 4 45 428	4 4 40 000	-0 ^h 140
		D	4 5 54 000	+0 ^h 010	4 5 54 080	4 5 55 000	-0 ^h 125
		N	4 5 11 000	+0 ^h 240	4 5 51 523	4 5 52 000	-0 ^h 110
			4 5 52 000	-0 ^h 372	4 5 51 628	4 5 52 000	-0 ^h 091
							Mittel -0 ^h 124
31./12. 1895 a. m.	Sherm Sheikh	F ₁	4 23 24 000	+0 ^h 250	4 24 7 521	4 24 8 000	-0 ^h 100
		K ₁	4 22 45 000	+0 ^h 271	4 23 28 434	4 23 29 000	-0 ^h 129
		K ₂	4 22 32 000	-0 ^h 148	4 23 14 979	4 23 15 500	-0 ^h 110
		D	4 23 55 500	+0 ^h 127	4 23 55 027	4 23 50 200	-0 ^h 130
		N	4 22 57 000	-0 ^h 285	4 23 40 483	4 23 41 000	-0 ^h 118
			4 23 41 000	-0 ^h 473	4 23 40 527	4 23 41 000	-0 ^h 108
							Mittel -0 ^h 119
31./12. 1895 p. m.	Sherm Sheikh	F ₁	3 45 0 500	+0 ^h 214	3 45 37 677	3 45 38 000	-0 ^h 086
		K ₁	3 47 30 000	+0 ^h 234	3 48 7 600	3 48 8 000	-0 ^h 104
		K ₂	3 47 0 500	-0 ^h 128	3 47 37 003	3 47 38 000	-0 ^h 080
		D	3 45 39 050	+0 ^h 108	3 45 39 158	3 45 30 500	-0 ^h 091
		N	3 48 0 000	+0 ^h 247	3 48 37 701	3 48 38 000	-0 ^h 079
			3 48 38 000	-0 ^h 410	3 48 37 590	3 48 38 000	-0 ^h 108
							Mittel -0 ^h 093
3./1. 1896 a. m.	Mersa Dhaba	F ₁	4 8 55 500	+0 ^h 211	4 9 36 004	4 9 37 000	-0 ^h 095
		K ₁	4 8 40 500	+0 ^h 209	4 9 27 637	4 9 28 000	-0 ^h 087
		K ₂	4 7 55 000	-0 ^h 132	4 8 35 595	4 8 30 000	-0 ^h 018
		D	4 9 20 500	+0 ^h 141	4 9 20 041	4 9 21 000	-0 ^h 085
		N	4 8 35 500	+0 ^h 308	4 9 10 640	4 9 12 000	-0 ^h 057
			4 9 17 000	-0 ^h 340	4 9 10 600	4 9 17 000	-0 ^h 082
							Mittel -0 ^h 089
3./1. 1896 p. m.	Mersa Dhaba	F ₁	4 9 10 500	+0 ^h 232	4 9 57 102	4 9 58 000	-0 ^h 070
		K ₁	4 8 47 500	+0 ^h 209	4 9 28 640	4 9 29 000	-0 ^h 087
		K ₂	4 8 30 000	-0 ^h 132	4 9 10 600	4 9 11 000	-0 ^h 075
		D	4 11 4 500	+0 ^h 141	4 11 4 641	4 11 4 000	-0 ^h 074
		N	4 8 50 500	+0 ^h 303	4 9 37 097	4 9 38 000	-0 ^h 073
			4 9 38 000	-0 ^h 341	4 9 37 059	4 9 38 000	-0 ^h 082
							Mittel -0 ^h 078
7./1. 1896 a. m.	Hassani	F ₁	4 23 40 000	+0 ^h 237	4 24 29 597	4 24 30 000	-0 ^h 098
		K ₁	4 23 5 000	+0 ^h 359	4 23 48 578	4 23 49 000	-0 ^h 090
		K ₂	4 25 51 000	-0 ^h 133	4 20 14 539	4 20 35 000	-0 ^h 104
		D	4 24 8 000	+0 ^h 084	4 24 9 034	4 24 9 500	-0 ^h 100
		N	4 23 0 000	+0 ^h 307	4 23 43 572	4 23 44 000	-0 ^h 097
			4 23 44 000	-0 ^h 390	4 23 43 610	4 23 44 000	-0 ^h 089
							Mittel -0 ^h 098

Datum	Ort	Chromometer	Verflossene Chronometerzeit	Gang Correction	Verflossene Sternzeit	Verflossene Zeit nach Nardin	Stündlicher Gang des Nardin
7./1. 1896 p. m.	Hassam	Fi	4 ^h 26 ^m 40 ^s 500	+0 ^o 241	4 ^h 27 ^m 24 ^s 550	4 ^h 27 ^m 25 ^s 000	-0 ^o 101
		K ₁	4 25 59 ^s 500	+0 ^o 303	4 26 43 ^s 500	4 26 44 ^s 000	-0 ^o 099
		K ₂	4 25 57 ^s 000	-0 ^o 133	4 26 40 ^s 555	4 26 41 ^s 000	-0 ^o 100
		Pa	4 29 20 ^s 000	+0 ^o 085	4 29 20 ^s 085	4 29 20 ^s 500	-0 ^o 102
		D	4 29 13 ^s 000	-0 ^o 370	4 29 57 ^s 603	4 29 58 ^s 000	-0 ^o 088
		N	4 29 58 ^s 000	-0 ^o 399	4 29 57 ^s 601	4 29 58 ^s 000	-0 ^o 086
							Mittel -0 ^o 095
12./1. 1896 a. m.	Sherm Habban	Fi	4 17 45 ^s 000	+0 ^o 107	4 18 27 ^s 449	4 18 28 ^s 000	-0 ^o 128
		K ₁	4 16 58 ^s 000	+0 ^o 280	4 17 40 ^s 500	4 17 41 ^s 000	-0 ^o 110
		K ₂	4 16 25 ^s 500	-0 ^o 188	4 17 2 ^s 435	4 17 8 ^s 000	-0 ^o 132
		Pa	4 18 10 ^s 500	+0 ^o 043	4 18 10 ^s 543	4 18 11 ^s 100	-0 ^o 129
		D	4 10 50 ^s 000	+0 ^o 282	4 17 32 ^s 474	4 17 33 ^s 000	-0 ^o 123
		N	4 17 33 ^s 000	-0 ^o 472	4 17 32 ^s 528	4 17 33 ^s 000	-0 ^o 110
							Mittel -0 ^o 123
12./1. 1896 p. m.	Sherm Habban	Fi	4 0 38 ^s 000	+0 ^o 103	4 7 18 ^s 119	4 7 19 ^s 000	-0 ^o 092
		K ₁	4 2 38 ^s 500	+0 ^o 270	4 3 11 ^s 031	4 3 19 ^s 000	-0 ^o 091
		K ₂	4 5 7 ^s 500	-0 ^o 179	4 5 47 ^s 588	4 5 48 ^s 000	-0 ^o 101
		Pa	4 7 20 ^s 500	+0 ^o 041	4 7 20 ^s 541	4 7 20 ^s 000	-0 ^o 086
		D	4 5 30 ^s 000	+0 ^o 269	4 6 10 ^s 599	4 6 11 ^s 000	-0 ^o 098
		N	4 0 11 ^s 000	-0 ^o 451	4 6 30 ^s 549	4 6 11 ^s 000	-0 ^o 110
							Mittel -0 ^o 089
16./1. 1896 a. m.	Koseir	Fi	4 0 40 ^s 000	+0 ^o 131	4 7 20 ^s 153	4 7 21 ^s 000	-0 ^o 084
		K ₁	4 5 42 ^s 000	+0 ^o 237	4 6 27 ^s 014	4 6 28 ^s 000	-0 ^o 084
		K ₂	4 5 5 ^s 500	-0 ^o 195	4 5 45 ^s 597	4 5 46 ^s 000	-0 ^o 100
		Pa	4 7 20 ^s 150	-0 ^o 025	4 7 20 ^s 125	4 7 20 ^s 500	-0 ^o 091
		D	4 0 0 ^s 000	+0 ^o 254	4 6 40 ^s 607	4 6 41 ^s 000	-0 ^o 081
		N	4 0 41 ^s 000	-0 ^o 378	4 6 40 ^s 622	4 6 41 ^s 000	-0 ^o 092
							Mittel -0 ^o 091
17./1. 1896 a. m.	Koseir	Fi	4 18 7 ^s 000	+0 ^o 138	4 18 49 ^s 540	4 18 50 ^s 000	-0 ^o 107
		K ₁	4 18 0 ^s 000	+0 ^o 249	4 18 42 ^s 033	4 18 43 ^s 000	-0 ^o 085
		K ₂	4 17 12 ^s 500	-0 ^o 205	4 17 59 ^s 502	4 18 0 ^s 000	-0 ^o 102
		Pa	4 18 39 ^s 050	-0 ^o 026	4 18 39 ^s 024	4 18 39 ^s 400	-0 ^o 087
		D	4 18 30 ^s 000	+0 ^o 268	4 19 18 ^s 751	4 19 19 ^s 000	-0 ^o 058
		N	4 19 19 ^s 000	-0 ^o 398	4 19 18 ^s 602	4 19 19 ^s 000	-0 ^o 092
							Mittel -0 ^o 089
18./1. 1896 a. m.	Koseir	Fi	4 8 59 ^s 500	+0 ^o 132	4 9 40 ^s 536	4 9 41 ^s 000	-0 ^o 112
		K ₁	4 11 20 ^s 000	+0 ^o 242	4 12 1 ^s 531	4 12 2 ^s 000	-0 ^o 112
		K ₂	4 11 12 ^s 500	-0 ^o 200	4 11 53 ^s 507	4 11 54 ^s 000	-0 ^o 103
		Pa	4 9 30 ^s 100	-0 ^o 025	4 9 30 ^s 575	4 9 31 ^s 000	-0 ^o 102
		D	4 8 40 ^s 500	+0 ^o 250	4 9 21 ^s 008	4 9 22 ^s 000	-0 ^o 094
		N	4 9 22 ^s 000	-0 ^o 382	4 9 21 ^s 018	4 9 22 ^s 000	-0 ^o 092
							Mittel -0 ^o 103
9./2. 1886 a. m.	Noman	Fi	4 9 2 ^s 500	+0 ^o 162	4 9 43 ^s 573	4 9 44 ^s 000	-0 ^o 103
		K ₁	4 9 11 ^s 500	+0 ^o 191	4 9 52 ^s 107	4 9 53 ^s 000	-0 ^o 059
		K ₂	4 8 40 ^s 000	-0 ^o 264	4 9 26 ^s 595	4 9 27 ^s 000	-0 ^o 100
		Pa	4 9 44 ^s 500	+0 ^o 033	4 9 44 ^s 533	4 9 44 ^s 500	-0 ^o 088
		D	4 5 41 ^s 000	+0 ^o 245	4 6 21 ^s 004	4 6 22 ^s 000	-0 ^o 090
		N	4 0 22 ^s 000	-0 ^o 309	4 6 21 ^s 031	4 6 22 ^s 000	-0 ^o 090
							Mittel -0 ^o 094
10./2. 1896 a. m.	Noman	Fi	3 57 0 ^s 500	+0 ^o 123	4 57 39 ^s 558	4 57 40 ^s 000	-0 ^o 112
		K ₁	3 57 10 ^s 500	+0 ^o 150	4 57 49 ^s 012	4 57 50 ^s 000	-0 ^o 098
		K ₂	3 56 29 ^s 000	-0 ^o 203	4 57 7 ^s 584	4 57 8 ^s 000	-0 ^o 105
		Pa	3 57 50 ^s 100	-0 ^o 023	4 57 50 ^s 077	4 57 50 ^s 500	-0 ^o 107
		D	3 57 5 ^s 500	+0 ^o 181	4 57 44 ^s 630	4 57 45 ^s 000	-0 ^o 093
		N	3 57 45 ^s 000	-0 ^o 422	4 57 44 ^s 578	4 57 45 ^s 000	-0 ^o 107
							Mittel -0 ^o 104

Datum	Ort	Chromometer	Verflossene Chronometerzeit	Gang Correction	Verflossene Sternzeit	Verflossene Zeit nach Nardin	Stündlicher Gang des Nardin
16. 2. 1896 a. m.	Ras Abu Sumr	Fi	4 ^h 3 ^m 40 ^s 500	-0 ^o 150	4 ^h 4 ^m 20 ^s 081	4 ^h 4 ^m 21 ^s 000	-0 ^o 078
		K ₁	4 3 24 ^s 500	-0 ^o 194	4 4 4 083	4 4 5 ^s 000	-0 ^o 078
		K ₂	4 2 55 ^s 000	-0 ^o 243	4 3 34 ^s 002	4 3 35 ^s 000	-0 ^o 083
		Pa	4 4 15 ^s 550	-0 ^o 073	4 4 15 ^s 023	4 4 16 ^s 000	-0 ^o 093
		D	4 2 57 ^s 500	-0 ^o 292	4 3 37 ^s 095	4 3 38 ^s 000	-0 ^o 073
		N	4 3 38 ^s 000	-0 ^o 309	4 3 37 ^s 631	4 3 38 ^s 000	-0 ^o 091
							Mittel -0 ^o 083
20. 2. 1896 a. m.	Shadwan	Fi	4 24 22 ^s 000	-0 ^o 084	4 25 5 ^s 513	4 25 6 ^s 000	-0 ^o 110
		K ₁	4 23 19 ^s 000	-0 ^o 185	4 24 37 ^s 523	4 24 33 ^s 000	-0 ^o 108
		K ₂	4 23 54 ^s 500	-0 ^o 300	4 24 37 ^s 497	4 24 38 ^s 000	-0 ^o 115
		Pa	4 19 12 ^s 050	-0 ^o 013	4 19 12 ^s 903	4 19 13 ^s 500	-0 ^o 124
		D	4 12 55 ^s 000	-0 ^o 232	4 18 37 ^s 003	4 18 38 ^s 000	-0 ^o 092
		N	4 18 38 ^s 000	-0 ^o 448	4 18 37 ^s 552	4 18 38 ^s 000	-0 ^o 104
							Mittel -0 ^o 109
20. 2. 1896 p. m.	Shadwan	Fi	4 15 38 ^s 500	-0 ^o 081	4 16 20 ^s 570	4 16 21 ^s 000	-0 ^o 099
		K ₁	4 12 52 ^s 000	-0 ^o 180	4 18 34 ^s 541	4 18 35 ^s 000	-0 ^o 100
		K ₂	4 18 13 ^s 500	-0 ^o 353	4 18 55 ^s 500	4 18 56 ^s 000	-0 ^o 100
		Pa	4 12 37 ^s 100	-0 ^o 083	4 12 37 ^s 113	4 12 37 ^s 500	-0 ^o 092
		D	4 14 57 ^s 500	-0 ^o 329	4 15 39 ^s 013	4 15 40 ^s 000	-0 ^o 091
		N	4 15 40 ^s 000	-0 ^o 443	4 15 39 ^s 557	4 15 40 ^s 000	-0 ^o 104
							Mittel -0 ^o 099
0. 3. 1896 a. m.	Ras Abu zenuna	Fi	4 11 35 ^s 000	-0 ^o 184	4 12 16 ^s 513	4 12 17 ^s 000	-0 ^o 110
		K ₁	4 11 54 ^s 000	-0 ^o 170	4 12 35 ^s 558	4 12 36 ^s 000	-0 ^o 105
		K ₂	4 11 30 ^s 500	-0 ^o 301	4 12 11 ^s 515	4 12 12 ^s 000	-0 ^o 115
		Pa	4 11 49 ^s 500	-0 ^o 008	4 11 49 ^s 492	4 11 50 ^s 050	-0 ^o 123
		D	4 8 50 ^s 500	-0 ^o 158	4 9 31 ^s 537	4 9 32 ^s 000	-0 ^o 111
		N	4 9 32 ^s 000	-0 ^o 382	4 9 31 ^s 618	4 9 32 ^s 000	-0 ^o 092
							Mittel -0 ^o 112
9. 3. 1896 a. m.	Tor	Fi	4 3 0 ^s 500	-0 ^o 178	4 3 40 ^s 599	4 3 41 ^s 000	-0 ^o 099
		K ₁	4 3 4 ^s 500	-0 ^o 158	4 3 44 ^s 590	4 3 45 ^s 000	-0 ^o 101
		K ₂	4 3 1 ^s 000	-0 ^o 340	4 3 40 ^s 581	4 3 41 ^s 000	-0 ^o 103
		Pa	4 3 48 ^s 050	-0 ^o 024	4 3 48 ^s 074	4 3 48 ^s 500	-0 ^o 105
		D	4 3 13 ^s 500	-0 ^o 178	4 3 52 ^s 035	4 3 54 ^s 000	-0 ^o 089
		N	4 3 54 ^s 000	-0 ^o 401	4 3 53 ^s 599	4 3 54 ^s 000	-0 ^o 099
							Mittel -0 ^o 099
10. 3. 1896 a. m.	Tor	Fi	4 8 45 ^s 500	-0 ^o 170	4 9 26 ^s 535	4 9 27 ^s 000	-0 ^o 112
		K ₁	4 8 50 ^s 500	-0 ^o 157	4 9 40 ^s 501	4 9 41 ^s 000	-0 ^o 105
		K ₂	4 8 45 ^s 000	-0 ^o 324	4 9 25 ^s 518	4 9 26 ^s 000	-0 ^o 113
		Pa	4 9 20 ^s 500	-0 ^o 004	4 9 20 ^s 504	4 9 20 ^s 050	-0 ^o 107
		D	4 8 38 ^s 500	-0 ^o 211	4 6 19 ^s 557	4 9 20 ^s 000	-0 ^o 107
		N	4 9 20 ^s 000	-0 ^o 416	4 9 19 ^s 584	4 9 20 ^s 000	-0 ^o 100
							Mittel -0 ^o 107
14. 3. 1896 a. m.	Ras Gharib	Fi	4 21 22 ^s 500	-0 ^o 144	4 22 5 ^s 582	4 22 6 ^s 000	-0 ^o 096
		K ₁	4 24 25 ^s 000	-0 ^o 154	4 25 8 ^s 591	4 25 9 ^s 000	-0 ^o 093
		K ₂	4 21 18 ^s 000	-0 ^o 352	4 22 0 ^s 573	4 22 1 ^s 000	-0 ^o 098
		Pa	4 22 11 ^s 100	-0 ^o 034	4 22 11 ^s 000	4 22 11 ^s 500	-0 ^o 099
		N	4 22 38 ^s 000	-0 ^o 423	4 22 37 ^s 577	4 22 38 ^s 000	-0 ^o 097
							Mittel -0 ^o 097
18. 3. 1896 a. m.	Zafarana	Fi	4 0 37 ^s 000	-0 ^o 132	4 1 16 ^s 059	4 1 17 ^s 000	-0 ^o 085
		K ₁	4 0 57 ^s 000	-0 ^o 050	4 1 30 ^s 438	4 1 32 ^s 000	-0 ^o 080
		K ₂	4 0 21 ^s 500	-0 ^o 300	4 1 0 ^s 623	4 1 1 ^s 000	-0 ^o 094
		Pa	4 1 9 ^s 000	-0 ^o 020	4 1 9 ^s 850	4 1 10 ^s 350	-0 ^o 092
		D	4 1 2 ^s 000	-0 ^o 148	4 1 41 ^s 743	4 1 42 ^s 000	-0 ^o 094
		N	4 1 42 ^s 000	-0 ^o 419	4 1 41 ^s 581	4 1 42 ^s 000	-0 ^o 104
							Mittel -0 ^o 088

Datum	Ort	Chyrometer	Verflossene Chronometersonen	Gang Correction	Verflossene Sternzeit	Verflossene Zeit nach Nardin	Stündlicher Gang des Nardin
18. 3. 1896 p. m.	Zafarana	Fi K ₁ K ₂ Pa D N	4 ^h 0 ^m 45 ^s .000 4 7 11 ^s .000 4 0 45 ^s .000 4 7 35 ^s .000 4 7 4 ^s .000 4 7 43 ^s .000	+0 ^s .135 +0 ^s .057 -0 ^s .370 -0 ^s .020 -0 ^s .133 -0 ^s .429	4 ^h 7 ^m 25 ^s .070 4 7 51 ^s .063 4 7 25 ^s .065 4 7 34 ^s .080 4 7 42 ^s .733 4 7 42 ^s .571	4 ^h 7 ^m 26 ^s .000 4 7 52 ^s .000 4 7 26 ^s .000 4 7 35 ^s .300 4 7 43 ^s .000 4 7 43 ^s .000	-0 ^s .080 -0 ^s .082 -0 ^s .081 -0 ^s .078 -0 ^s .085 -0 ^s .104
							Mittel -0 ^s .082
5. 4. 1896 a. m.	Mersa Dahab	Fi K ₁ K ₂ Pa D N	4 2 51 ^s .500 4 3 24 ^s .500 4 2 54 ^s .000 4 3 15 ^s .500 4 0 52 ^s .000 4 1 32 ^s .000	+0 ^s .311 +0 ^s .180 -0 ^s .190 -0 ^s .010 +0 ^s .148 +0 ^s .301	4 3 37 ^s .708 4 4 4 ^s .073 4 3 33 ^s .712 4 3 15 ^s .484 4 1 31 ^s .710 4 1 31 ^s .609	4 3 32 ^s .000 4 4 5 ^s .000 4 3 34 ^s .000 4 3 15 ^s .500 4 1 32 ^s .000 4 1 32 ^s .000	-0 ^s .072 -0 ^s .080 -0 ^s .071 -0 ^s .078 -0 ^s .071 -0 ^s .075
							Mittel -0 ^s .075
5. 4. 1896 p. m.	Mersa Dahab	Fi K ₁ K ₂ Pa D N	3 59 50 ^s .000 4 0 45 ^s .000 3 59 47 ^s .500 4 0 42 ^s .000 4 0 57 ^s .000 4 1 37 ^s .000	+0 ^s .300 +0 ^s .184 -0 ^s .187 -0 ^s .010 -0 ^s .148 -0 ^s .301	4 0 35 ^s .711 4 1 24 ^s .733 4 0 27 ^s .204 4 0 42 ^s .884 4 1 30 ^s .730 4 1 30 ^s .609	4 0 30 ^s .000 4 1 25 ^s .000 4 0 27 ^s .000 4 0 43 ^s .000 4 1 37 ^s .000 4 1 37 ^s .000	-0 ^s .070 -0 ^s .080 -0 ^s .074 -0 ^s .079 -0 ^s .087 -0 ^s .075
							Mittel -0 ^s .073
12. 4. 1896 a. m.	Nawari	Fi K ₁ K ₂ Pa D N	4 29 34 ^s .000 4 30 20 ^s .000 4 30 10 ^s .500 4 31 22 ^s .500 4 30 8 ^s .000 4 30 53 ^s .000	+0 ^s .200 +0 ^s .158 -0 ^s .342 -0 ^s .117 +0 ^s .171 -0 ^s .394	4 30 18 ^s .545 4 31 4 ^s .907 4 30 54 ^s .539 4 31 22 ^s .351 4 30 52 ^s .547 4 30 52 ^s .010	4 30 19 ^s .000 4 31 5 ^s .000 4 30 55 ^s .000 4 31 22 ^s .850 4 30 53 ^s .000 4 30 53 ^s .000	-0 ^s .101 -0 ^s .090 -0 ^s .102 -0 ^s .103 -0 ^s .100 -0 ^s .085
							Mittel -0 ^s .098
15. 4. 1896 a. m.	Akahah	Fi K ₁ K ₂ Pa D N	4 20 55 ^s .500 4 18 11 ^s .000 4 21 4 ^s .000 4 17 52 ^s .500 4 18 35 ^s .000 4 19 18 ^s .000	+0 ^s .191 +0 ^s .133 -0 ^s .382 -0 ^s .127 -0 ^s .133 -0 ^s .423	4 21 38 ^s .555 4 18 53 ^s .540 4 21 40 ^s .504 4 17 52 ^s .303 4 19 17 ^s .412 4 19 17 ^s .577	4 21 39 ^s .000 4 18 54 ^s .000 4 21 47 ^s .000 4 17 52 ^s .850 4 19 18 ^s .000 4 19 18 ^s .000	-0 ^s .102 -0 ^s .105 -0 ^s .114 -0 ^s .113 -0 ^s .090 -0 ^s .098
							Mittel -0 ^s .104
16. 4. 1896 a. m.	Akahah	Fi K ₁ K ₂ Pa D N	4 5 28 ^s .000 4 5 52 ^s .000 4 5 52 ^s .500 4 0 0 ^s .500 4 0 2 ^s .000 4 0 43 ^s .000	+0 ^s .209 +0 ^s .190 -0 ^s .318 -0 ^s .121 +0 ^s .193 -0 ^s .392	4 0 18 ^s .561 4 0 32 ^s .585 4 0 32 ^s .571 4 0 9 ^s .379 4 0 42 ^s .010 4 0 42 ^s .638	4 0 19 ^s .000 4 0 33 ^s .000 4 0 33 ^s .000 4 0 9 ^s .850 4 0 43 ^s .000 4 0 43 ^s .000	-0 ^s .107 -0 ^s .101 -0 ^s .104 -0 ^s .115 -0 ^s .095 -0 ^s .008
							Mittel -0 ^s .102
19. 4. 1896 a. m.	Bir al Mashyia	Fi K ₁ K ₂ Pa D N	4 14 13 ^s .500 4 14 54 ^s .500 4 14 37 ^s .000 4 14 50 ^s .000 4 14 54 ^s .500 4 15 37 ^s .000	+0 ^s .229 +0 ^s .098 -0 ^s .143 +0 ^s .040 -0 ^s .121 +0 ^s .447	4 14 55 ^s .493 4 15 30 ^s .474 4 15 18 ^s .483 4 14 50 ^s .240 4 15 30 ^s .499 4 15 30 ^s .553	4 14 50 ^s .000 4 15 37 ^s .000 4 15 19 ^s .000 4 14 50 ^s .750 4 15 37 ^s .000 4 15 37 ^s .000	-0 ^s .118 -0 ^s .123 -0 ^s .121 -0 ^s .110 -0 ^s .118 -0 ^s .105
							Mittel -0 ^s .117
24. 4. 1896 a. m.	Senafr	Fi K ₁ K ₂ Pa D N	4 5 50 ^s .000 4 0 0 ^s .000 4 0 7 ^s .500 4 0 10 ^s .000 4 0 28 ^s .000 4 7 9 ^s .000	+0 ^s .281 +0 ^s .180 -0 ^s .202 -0 ^s .200 +0 ^s .156 -0 ^s .337	4 0 20 ^s .100 4 0 40 ^s .608 4 0 47 ^s .670 4 0 10 ^s .400 4 7 8 ^s .645 4 7 8 ^s .603	4 0 31 ^s .000 4 0 47 ^s .000 4 0 48 ^s .000 4 0 10 ^s .750 4 7 9 ^s .000 4 7 9 ^s .000	-0 ^s .081 -0 ^s .095 -0 ^s .080 -0 ^s .085 -0 ^s .080 -0 ^s .082
							Mittel -0 ^s .085

Datum	Ort	Chro- meter	Verflossene Chronometerzeit	Gang- Correction	Verflossene Sternzeit	Verflossene Zeit nach Nardin	Stündlicher Gang des Nardin
20.4. 1896 a. m.	Sherni Sheikh auf der Simnaki-de	Fi K ₁ K ₂ Pa D N	4 ^h 13 ^m 31 ^s .500 4 14 30 ^s .500 4 13 30 ^s .000 4 14 32 ^s .450 4 14 3 ^s .500 4 14 40 ^s .000	+0 ^s .404 -0 ^s .225 -0 ^s .084 +0 ^s .089 +0 ^s .241 -0 ^s .364	4 ^h 14 ^m 13 ^s .011 4 15 12 ^s .535 4 14 12 ^s .577 4 14 32 ^s .539 4 14 45 ^s .277 4 14 45 ^s .039	4 ^h 14 ^m 14 ^s .000 4 15 13 ^s .000 4 14 18 ^s .000 4 14 32 ^s .050 4 14 40 ^s .000 4 14 40 ^s .000	-0 ^s .092 -0 ^s .109 -0 ^s .100 -0 ^s .097 -0 ^s .123 -0 ^s .086
						Mittel	-0 ^s .101
27.4. 1896 a. m.	Sherni Sheikh auf der Simnaki-de	Fi K ₁ K ₂ Pa D N	4 10 21 ^s .000 4 11 25 ^s .000 4 11 0 ^s .500 4 11 5 ^s .000 4 8 59 ^s .500 4 9 41 ^s .000	+0 ^s .543 -0 ^s .207 -0 ^s .010 +0 ^s .204 +0 ^s .219 -0 ^s .349	4 11 2 ^s .070 4 12 0 ^s .568 4 11 41 ^s .715 4 11 5 ^s .804 4 9 40 ^s .073 4 9 40 ^s .051	4 11 3 ^s .000 4 12 7 ^s .000 4 11 42 ^s .000 4 11 0 ^s .250 4 9 41 ^s .000 4 9 41 ^s .000	-0 ^s .079 -0 ^s .103 -0 ^s .007 -0 ^s .107 -0 ^s .079 -0 ^s .084
						Mittel	-0 ^s .087
3.5. 1896 p. m.	Suez	Pa K ₁ K ₂ Pa D N	4 8 12 ^s .500 4 0 1 ^s .000 4 8 20 ^s .000 4 8 39 ^s .950 4 5 50 ^s .000 4 0 31 ^s .000	+0 ^s .142 +0 ^s .104 -0 ^s .195 0 ^s .041 +0 ^s .241 -0 ^s .473	4 8 53 ^s .017 4 0 41 ^s .579 4 0 0 ^s .599 4 8 39 ^s .909 4 0 30 ^s .020 4 0 30 ^s .527	4 8 54 ^s .000 4 0 42 ^s .000 4 0 1 ^s .000 4 8 40 ^s .250 4 0 31 ^s .000 4 0 31 ^s .000	-0 ^s .092 -0 ^s .102 -0 ^s .007 -0 ^s .082 -0 ^s .091 -0 ^s .115
						Mittel	-0 ^s .097
28.5. 1896 a. m.	Pola	Hohwü Nardin	4 22 27 ^s .913 4 22 28 ^s .500	-0 ^s .017 -0 ^s .035	4 22 27 ^s .896 4 22 27 ^s .815	4 22 28 ^s .500 4 22 28 ^s .500	-0 ^s .138 -0 ^s .144
						Mittel	-0 ^s .141
28.5. 1896 p. m.	Pola	Hohwü Reifer Nardin	3 57 33 ^s .930 3 59 55 ^s .000 3 57 34 ^s .500	0 ^s .000 -0 ^s .004 -0 ^s .574	3 57 33 ^s .914 3 57 33 ^s .915 3 57 33 ^s .920	3 57 34 ^s .500 3 57 34 ^s .000 3 57 34 ^s .500	-0 ^s .148 -0 ^s .148 -0 ^s .145
						Mittel	-0 ^s .147
29.5. 1896 a. m.	Pola	Hohwü Reifer Nardin	4 21 36 ^s .909 4 20 54 ^s .000 4 21 37 ^s .500	-0 ^s .017 -0 ^s .004 -0 ^s .032	4 21 36 ^s .892 4 21 36 ^s .851 4 21 36 ^s .818	4 21 37 ^s .500 4 21 37 ^s .500 4 21 37 ^s .500	-0 ^s .139 -0 ^s .148 -0 ^s .145
						Mittel	-0 ^s .144
29.5. 1896 p. m.	Pola	Hohwü Reifer Nardin	3 54 13 ^s .950 3 50 50 ^s .000 3 54 34 ^s .500	0 ^s .015 -0 ^s .004 0 ^s .559	3 54 13 ^s .941 3 54 13 ^s .932 3 54 13 ^s .911	3 54 14 ^s .500 3 54 14 ^s .500 3 54 14 ^s .500	-0 ^s .145 -0 ^s .147 -0 ^s .145
						Mittel	-0 ^s .146

Tabelle V.

Die Beobachtungen und deren Reduction.

Pendel	Nr. der Coincidenz	Uhrzeit der Coincidenz	Nr. der Coincidenz	Uhrzeit der Coincidenz	Beobachtete Dauer von 50 Coincidenzen	Berechnung der Schwingungsdauer
Pola, 9. September 1895 a. m.						
$A = 11^{\circ}7' \quad T = 20^{\circ}62' \quad R = 710^{\circ}1 \text{ mm} \quad D = 0^{\circ}924$						
24	1	7 ^h 58 ^m 24 ^s .3	51	8 ^h 28 ^m 47 ^s .1	50 ^s = 30 ^m 23 ^s .0	$c = 30^{\circ}458^{\circ}$
	2	59 37.4	52	29 23.8	23.2	$s = 0^{\circ}5009524$
	3	59 37.4	53	30 0.2	22.8	$n = + 20$
	4	8 13.9	54	30 30.8	22.0	$\Delta = - 4$
	5	0 50.2	55	31 13.3	23.1	$\tau = - 1013$
	6	1 20.9	56	31 49.9	23.0	$\delta = - 500$
	7	2 31.2	57	32 25.7	22.5	$N_{24} = 0^{\circ}5008027$
	8	2 39.8	58	33 2.6	22.8	
	9	3 10.1	59	33 38.9	22.8	
	10	3 52.7	60	34 15.9	23.2	
$A = 11^{\circ}7' \quad T = 20^{\circ}93' \quad R = 700^{\circ}0 \text{ mm} \quad D = 0^{\circ}922$						
28	1	9 ^h 18 ^m 26 ^s .3	51	9 ^h 49 ^m 0 ^s .7	50 ^s = 30 ^m 34 ^s .4	$c = 30^{\circ}059^{\circ}$
	2	19 2.7	52	40 37.7	35.0	$s = 0^{\circ}5009080$
	3	19 40.0	53	50 14.3	34.3	$n = + 20$
	4	20 16.6	54	50 51.0	34.4	$\Delta = - 4$
	5	20 53.2	55	51 27.8	34.6	$\tau = - 1028$
	6	21 20.9	56	52 4.6	34.7	$\delta = - 408$
	7	22 6.3	57	52 40.9	34.6	$N_{28} = 0^{\circ}5007570$
	8	22 43.4	58	53 17.6	34.2	
	9	23 19.6	59	53 54.0	34.4	
	10	23 56.7	60	54 31.0	34.3	
9. September 1895 p. m.						
$A = 11^{\circ}7' \quad T = 21^{\circ}15' \quad R = 759^{\circ}0 \text{ mm} \quad D = 0^{\circ}910$						
35	1	0 ^h 21 ^m 17 ^s .9	51	0 ^h 50 ^m 32 ^s .1	50 ^s = 29 ^m 4 ^s .2	$c = 34^{\circ}8812$
	2	22 3.5	52	51 7.4	3.9	$s = 0^{\circ}5072714$
	3	22 37.4	53	51 41.6	4.2	$n = + 20$
	4	23 12.7	54	52 16.8	4.1	$\Delta = - 4$
	5	23 47.3	55	52 51.8	4.5	$\tau = - 1039$
	6	24 22.7	56	53 26.3	3.0	$\delta = - 497$
	7	24 57.2	57	54 0.8	3.6	$N_{35} = 0^{\circ}5071194$
	8	25 12.1	58	54 30.4	4.3	
	9	26 7.2	59	55 11.2	4.0	
	10	26 41.8	60	55 46.0	4.2	
$A = 11^{\circ}7' \quad T = 21^{\circ}31' \quad R = 758^{\circ}5 \text{ mm} \quad D = 0^{\circ}919$						
63	1	1 ^h 30 ^m 4 ^s .3	51	2 ^h 4 ^m 10 ^s .3	50 ^s = 28 ^m 0 ^s .0	$c = 33^{\circ}770$
	2	30 37.0	52	4 44.2	0.6	$s = 0^{\circ}5075240$
	3	37 11.0	53	5 17.0	0.3	$n = + 20$
	4	37 45.4	54	5 51.8	0.4	$\Delta = - 4$
	5	38 19.2	55	6 25.0	0.4	$\tau = - 1048$
	6	38 53.0	56	6 59.4	0.4	$\delta = - 497$
	7	39 28.5	57	7 32.0	0.4	$N_{63} = 0^{\circ}5073711$
	8	40 0.3	58	8 0.4	0.1	
	9	40 33.4	59	8 40.0	0.6	
	10	41 8.0	60	9 14.3	0.3	

Pendel	Nr. der Coincidenz	Uhrzeit der Coincidenz	Nr. der Coincidenz	Uhrzeit der Coincidenz	Beobachtete Dauer von 50 Coincidenzen	Berechnung der Schwingungsdauer
--------	-----------------------	------------------------------	-----------------------	------------------------------	---	---------------------------------

10. September 1895 a. m.

$$A = 12^{\circ}1' \quad T = 20^{\circ}40' \quad B = 759^{\circ}0 \text{ mm} \quad D = 0^{\circ}924$$

24	1	7 ^h 41 ^m 22 ^s .0	51	8 ^h 11 ^m 44 ^s .0	50 ^c = 30 ^m 32 ^s .0	$\begin{aligned} c &= 30^{\circ}44^{\circ}4 \\ c &= 0^{\circ}500\ 9544 \\ n &= + 20 \\ \Delta &= - 4 \\ \hat{z} &= - 1002 \\ \hat{z} &= - 500 \\ \hat{z}_{24} &= 0^{\circ}500\ 8058 \end{aligned}$
	2	41 38.7	52	12 22.2	23.5	
	3	42 34.8	53	12 50.5	21.7	
	4	43 32.0	54	13 34.7	22.7	
	5	45 47.5	55	14 9.3	21.8	
	6	44 25.2	56	14 45.0	22.8	
	7	45 07.4	57	15 22.3	21.9	
	8	45 38.3	58	16 1.5	23.2	
	9	46 13.4	59	16 35.3	21.9	
	10	46 51.3	60	17 14.0	22.7	

$$A = 11^{\circ}5' \quad T = 20^{\circ}38' \quad B = 759^{\circ}6 \text{ mm} \quad D = 0^{\circ}924$$

28	1	9 ^h 11 ^m 37 ^s .6	51	9 ^h 42 ^m 12 ^s .1	50 ^c = 30 ^m 34 ^s .5	$\begin{aligned} c &= 30^{\circ}6010 \\ c &= 0^{\circ}506\ 9077 \\ n &= - 20 \\ \Delta &= - 4 \\ \hat{z} &= - 1001 \\ \hat{z} &= - 500 \\ \hat{z}_{28} &= 0^{\circ}500\ 7592 \end{aligned}$
	2	12 14.3	52	42 48.8	34.5	
	3	12 50.0	53	43 25.3	34.7	
	4	13 27.4	54	44 2.0	34.0	
	5	14 1.0	55	44 38.7	34.8	
	6	14 40.8	56	45 15.7	34.0	
	7	15 17.0	57	45 52.0	34.1	
	8	15 54.3	58	46 28.8	34.5	
	9	16 31.1	59	47 5.5	34.4	
	10	17 7.7	60	47 42.2	34.5	

10. September 1895 p. m.

$$A = 11^{\circ}9' \quad T = 20^{\circ}27' \quad B = 758^{\circ}6 \text{ mm} \quad D = 0^{\circ}923$$

35	1	6 ^h 30 ^m 8 ^s .4	51	1 ^h 5 ^m 13 ^s .0	50 ^c = 29 ^m 5 ^s .2	$\begin{aligned} c &= 34^{\circ}9048 \\ c &= 0^{\circ}507\ 2604 \\ n &= - 20 \\ \Delta &= - 4 \\ \hat{z} &= - 905 \\ \hat{z} &= - 499 \\ \hat{z}_{35} &= 0^{\circ}507\ 1186 \end{aligned}$
	2	30 43.0	52	8 48.7	5.1	
	3	40 18.5	53	9 23.7	5.2	
	4	40 53.0	54	9 58.7	5.1	
	5	41 28.2	55	10 33.5	5.3	
	6	42 2.8	56	11 8.1	5.3	
	7	42 37.0	57	11 43.4	5.5	
	8	43 12.8	58	12 18.2	5.4	
	9	43 47.5	59	12 52.7	5.2	
	10	44 22.7	60	13 27.8	5.1	

$$A = 11^{\circ}5' \quad T = 20^{\circ}31' \quad B = 758^{\circ}6 \text{ mm} \quad D = 0^{\circ}923$$

43	1	1 ^h 53 ^m 7 ^s .3	51	2 ^h 21 ^m 15 ^s .0	50 ^c = 28 ^m 7 ^s .7	$\begin{aligned} c &= 33^{\circ}7500 \\ c &= 0^{\circ}507\ 5188 \\ n &= - 20 \\ \Delta &= - 4 \\ \hat{z} &= - 997 \\ \hat{z} &= - 499 \\ \hat{z}_{43} &= 0^{\circ}507\ 3708 \end{aligned}$
	2	53 40.8	52	21 55.0	7.7	
	3	54 14.8	53	22 22.3	7.5	
	4	54 48.2	54	22 55.9	7.7	
	5	55 22.3	55	23 29.0	7.3	
	6	55 55.8	56	24 3.3	7.5	
	7	56 29.0	57	24 37.0	7.4	
	8	57 3.4	58	25 10.9	7.4	
	9	57 37.3	59	25 44.9	7.0	
	10	58 10.8	60	26 18.4	7.0	

Pendel	Nr. der Coincidenz	Uhrzeit der Coincidenz	Nr. der Coincidenz	Uhrzeit der Coincidenz	Beobachtete Dauer von 50 Coincidenzen	Berechnung der Schwingungsdauer
11. September 1895 a. m.						
$A = 11^h 7$ $T = 20^s 04$ $R = 759^s 0 \text{ mm}$ $D = 0^s 925$						
24	1	7 ^h 23 ^m 33 ^s 5	51	7 ^h 53 ^m 50 ^s 3	50 c = 30 ^m 22 ^s 8	$c = 30^s 40.20$
	2	24 9 ^s 8	52	54 33 ^s 0	23 ^s 2	
	3	24 40 ^s 0	53	55 9 ^s 8	23 ^s 2	$c = 0^s 506 9510$
	4	35 23 ^s 3	54	55 40 ^s 2	23 ^s 9	$c = + 20$
	5	35 10 ^s 5	55	50 22 ^s 9	23 ^s 4	$\Delta c = - 4$
	6	20 30 ^s 0	56	50 58 ^s 8	23 ^s 8	$\tau = 98.3$
	7	27 12 ^s 4	57	57 35 ^s 6	23 ^s 2	$\zeta = 500$
	8	27 48 ^s 7	58	58 11 ^s 9	23 ^s 2	
	9	28 25 ^s 3	59	58 48 ^s 4	23 ^s 1	$N_{24} = 0^s 506 8052$
	10	29 1 ^s 0	60	59 24 ^s 8	23 ^s 2	
$A = 11^h 5$ $T = 20^s 08$ $R = 759^s 1 \text{ mm}$ $D = 0^s 925$						
28	1	8 ^h 44 ^m 40 ^s 1	51	9 ^h 15 ^m 14 ^s 0	50 c = 30 ^m 33 ^s 9	$c = 30^s 20.72$
	2	45 17 ^s 0	52	45 54 ^s 1	30 ^s 5	
	3	45 53 ^s 3	53	10 27 ^s 7	34 ^s 4	$c = 0^s 506 9048$
	4	46 31 ^s 0	54	17 7 ^s 7	30 ^s 7	$c = + 20$
	5	47 0 ^s 7	55	17 10 ^s 4	33 ^s 7	$\Delta c = - 4$
	6	47 41 ^s 4	56	18 21 ^s 6	37 ^s 2	$\tau = 98.3$
	7	48 19 ^s 0	57	18 53 ^s 7	34 ^s 1	$\zeta = 500$
	8	48 58 ^s 0	58	19 35 ^s 0	37 ^s 0	
	9	49 33 ^s 2	59	20 0 ^s 7	33 ^s 5	$N_{28} = 0^s 506 7578$
	10	50 12 ^s 0	60	20 48 ^s 6	36 ^s 6	
11. September 1895 p. m.						
$A = 11^h 5$ $T = 20^s 07$ $R = 758^s 0 \text{ mm}$ $D = 0^s 924$						
35	1	12 ^h 31 ^m 31 ^s 2	51	1 ^h 0 ^m 30 ^s 3	50 c = 20 ^m 5 ^s 1	$c = 34^s 20.00$
	2	32 6 ^s 0	52	1 11 ^s 6	5 ^s 6	
	3	32 40 ^s 7	53	1 46 ^s 1	5 ^s 4	$c = 0^s 507 2062$
	4	33 16 ^s 0	54	2 21 ^s 2	5 ^s 2	$\Delta c = + 20$
	5	33 50 ^s 4	55	2 55 ^s 0	5 ^s 2	$\Delta c = - 4$
	6	34 25 ^s 8	56	3 30 ^s 8	5 ^s 0	$\tau = 98.3$
	7	35 0 ^s 4	57	4 5 ^s 8	5 ^s 4	$\zeta = 500$
	8	35 35 ^s 7	58	4 41 ^s 2	5 ^s 3	
	9	36 10 ^s 3	59	5 15 ^s 0	5 ^s 3	$N_{35} = 0^s 507 1192$
	10	36 45 ^s 5	60	5 50 ^s 8	5 ^s 3	
$A = 11^h 9$ $T = 20^s 19$ $R = 758^s 6 \text{ mm}$ $D = 0^s 924$						
63	1	1 ^h 47 ^m 16 ^s 9	51	2 ^h 15 ^m 25 ^s 0	50 c = 2 ^h 5 ^s 1	$c = 33^s 75.01$
	2	47 50 ^s 7	52	15 58 ^s 8	8 ^s 1	
	3	48 24 ^s 4	53	16 32 ^s 3	7 ^s 9	$c = 0^s 507 5166$
	4	48 58 ^s 2	54	17 6 ^s 0	7 ^s 8	$c = + 20$
	5	49 32 ^s 0	55	17 40 ^s 0	8 ^s 0	$\Delta c = - 4$
	6	50 5 ^s 0	56	18 13 ^s 8	7 ^s 0	$\tau = 98.3$
	7	50 39 ^s 6	57	18 47 ^s 4	7 ^s 8	$\zeta = 500$
	8	51 13 ^s 4	58	19 21 ^s 5	8 ^s 1	
	9	51 40 ^s 0	59	19 54 ^s 9	8 ^s 0	$N_{63} = 0^s 507 3630$
	10	52 20 ^s 9	60	20 28 ^s 9	8 ^s 0	

Pendel	Nr. der Coincidenz	Uhrzeit der Coincidenz	Nr. der Coincidenz	Uhrzeit der Coincidenz	Beobachtete Dauer von 50 Coincidenzen	Berechnung der Schwingungsdauer
12. September 1895 a. m.						
$A = 11^{\circ}7' \quad T = 20^{\circ}38' \quad B = 758.6 \text{ mm} \quad D = 0.923$						
74	1	2 ^h 37 ^m 12.3	51	2 ^h 37 ^m 34.3	50 ^c = 30 ^m 32.7 ^s	$c = 30^{\circ}4470$
	2	37 48.7	52	38 10.5	21.8	$a = 0^{\circ}506.9548$
	3	38 24.7	53	38 47.6	22.9	$\alpha = -1.20$
	4	39 1.3	54	39 23.8	22.5	$\Delta = -4$
	5	39 27.5	55	40 0.6	22.8	$\tau = 1002$
	6	40 14.2	56	40 36.6	22.4	$\delta = 499$
	7	40 50.8	57	41 13.4	22.6	$N_{35} = 0^{\circ}509.8004$
	8	41 27.3	58	41 49.9	22.3	
	9	42 4.0	59	42 26.0	22.0	
	10	42 40.6	60	43 2.2	22.2	
$A = 11^{\circ}7' \quad T = 20^{\circ}58' \quad B = 759.5 \text{ mm} \quad D = 0.923$						
28	1	5 ^h 52 ^m 51.2	51	5 ^h 23 ^m 25.6	50 ^c = 30 ^m 14.4	$c = 30^{\circ}6850$
	2	53 28.1	52	24 2.4	34.3	$a = 0^{\circ}506.9087$
	3	54 5.0	53	24 38.9	33.9	$\alpha = -1.20$
	4	54 41.8	54	25 10.1	34.3	$\Delta = -4$
	5	55 18.0	55	25 52.3	34.3	$\tau = 1011$
	6	55 55.5	56	26 29.5	34.3	$\delta = 499$
	7	56 31.7	57	27 0.1	34.4	
	8	57 8.4	58	27 42.8	34.4	
	9	57 44.4	59	28 18.8	34.4	
	10	58 21.9	60	28 50.0	34.1	
12. September 1895 p. m.						
$A = 11^{\circ}9' \quad T = 20^{\circ}40' \quad B = 755.6 \text{ mm} \quad D = 0.923$						
35	1	1 ^h 0 ^m 51.8	51	1 ^h 29 ^m 57.0	50 ^c = 29 ^m 5.2	$c = 34^{\circ}8980$
	2	1 26.3	52	30 31.7	5.4	$a = 0^{\circ}507.2078$
	3	2 1.8	53	31 6.4	4.0	$\alpha = -1.20$
	4	2 36.3	54	31 41.5	5.2	$\Delta = -4$
	5	3 11.7	55	32 16.3	4.6	$\tau = 1002$
	6	3 46.3	56	32 50.9	4.6	$\delta = 499$
	7	4 21.5	57	33 26.0	4.5	
	8	4 56.0	58	34 1.3	5.3	
	9	5 31.3	59	34 36.0	4.7	
	10	6 5.0	60	35 10.8	4.9	
$A = 11^{\circ}3' \quad T = 20^{\circ}54' \quad B = 758.5 \text{ mm} \quad D = 0.923$						
63	1	2 ^h 14 ^m 51.4	51	2 ^h 42 ^m 58.2	50 ^c = 28 ^m 0.8	$c = 33^{\circ}7440$
	2	15 24.4	52	43 31.0	7.2	$a = 0^{\circ}507.5201$
	3	15 58.7	53	43 55.5	0.8	$\alpha = -1.20$
	4	16 31.8	54	44 39.5	7.7	$\Delta = -3$
	5	17 5.0	55	45 13.6	7.7	$\tau = 1009$
	6	17 39.6	56	45 46.7	7.1	$\delta = 499$
	7	18 13.5	57	46 21.0	7.5	
	8	18 46.8	58	46 54.1	7.3	
	9	19 21.2	59	47 28.3	7.1	
	10	19 54.7	60	48 1.5	0.8	

Pendel	Nr. der Coinidenz	Uhrzeit der Coinidenz	Nr. der Coinidenz	Uhrzeit der Coinidenz	Beobachtete Dauer von 50 Coinidenzen	Berechnung der Schwingungsdauer
Suez, 22. October 1895 a. m.						
$A = 11^h 6$ $T = 22^s 88$ $B = 758^s 3 mm$ $D = 0^s 913$						
24	1	$6^h 40^m 9^s 3$	51	$7^h 16^m 52^s 2$	$50 e = 30^m 42^s 7$	$e = 36^s 8610$
	2	$40 40^s 2$	52	$17 20^s 5$	$43^s 3$	
	3	$47 23^s 2$	53	$18 6^s 0$	$42^s 8$	$s = 0^s 506 8755$
	4	$47 50^s 8$	54	$18 43^s 2$	$43^s 4$	$u = + 4357$
	5	$48 30^s 8$	55	$19 19^s 9$	$43^s 1$	$\Delta = - 4$
	6	$40 13^s 0$	56	$19 50^s 4$	$42^s 8$	$\tau = - 1124$
	7	$49 50^s 4$	57	$20 33^s 0$	$43^s 2$	$\delta = - 494$
	8	$50 27^s 0$	58	$21 10^s 3$	$42^s 7$	
	9	$51 4^s 1$	59	$21 47^s 6$	$43^s 5$	$s_{24} = 0^s 507 1490$ in mittlerer Zeit
	10	$51 41^s 1$	60	$22 24^s 1$	$43^s 0$	
$A = 11^h 9$ $T = 23^s 47$ $B = 758^s 6 mm$ $D = 0^s 912$						
28	1	$7^h 57^m 10^s 7$	51	$8^h 28^m 0^s 0$	$50 e = 30^m 55^s 3$	$e = 37^s 1014$
	2	$57 48^s 0$	52	$28 42^s 8$	$54^s 8$	
	3	$58 24^s 0$	53	$29 20^s 9$	$55^s 3$	$s = 0^s 506 8304$
	4	$59 3^s 2$	54	$29 50^s 9$	$54^s 7$	$u = + 4357$
	5	$59 30^s 1$	55	$30 34^s 4$	$55^s 3$	$\Delta = - 4$
	6	$0 10^s 3$	56	$31 11^s 0$	$54^s 7$	$\tau = - 1153$
	7	$0 53^s 4$	57	$31 48^s 8$	$55^s 4$	$\delta = - 493$
	8	$1 30^s 3$	58	$32 25^s 2$	$54^s 9$	
	9	$2 7^s 0$	59	$33 2^s 8$	$55^s 2$	$s_{28} = 0^s 507 1011$ in mittlerer Zeit
	10	$2 44^s 5$	60	$33 39^s 6$	$55^s 1$	
$A = 12^h 7$ $T = 24^s 03$ $B = 758^s 7 mm$ $D = 0^s 911$						
35	1	$9^h 11^m 19^s 6$	51	$9^h 40^m 43^s 0$	$50 e = 29^m 23^s 4$	$e = 35^s 2710$
	2	$11 54^s 3$	52	$41 18^s 1$	$23^s 8$	
	3	$12 30^s 1$	53	$41 53^s 7$	$23^s 6$	$s = 0^s 507 1890$
	4	$13 5^s 2$	54	$42 28^s 7$	$23^s 5$	$u = + 4357$
	5	$13 40^s 6$	55	$43 4^s 0$	$23^s 4$	$\Delta = - 5$
	6	$14 15^s 5$	56	$43 39^s 1$	$23^s 6$	$\tau = - 1150$
	7	$14 51^s 2$	57	$44 14^s 4$	$23^s 2$	$\delta = - 492$
	8	$15 20^s 8$	58	$44 40^s 8$	$23^s 7$	
	9	$16 4^s 8$	59	$45 25^s 4$	$23^s 6$	$s_{35} = 0^s 507 4579$ in mittlerer Zeit
	10	$16 30^s 6$	60	$46 0^s 3$	$23^s 7$	
$A = 11^h 9$ $T = 24^s 32$ $B = 758^s 1 mm$ $D = 0^s 909$						
63	1	$10^h 12^m 6^s 7$	51	$10^h 40^m 31^s 4$	$50 e = 28^m 24^s 7$	$e = 34^s 0906$
	2	$12 40^s 7$	52	$41 5^s 6$	$24^s 0$	
	3	$13 14^s 8$	53	$41 39^s 6$	$24^s 8$	$s = 0^s 507 4424$
	4	$13 49^s 3$	54	$42 13^s 6$	$24^s 3$	$u = + 4357$
	5	$14 23^s 0$	55	$42 47^s 0$	$24^s 9$	$\Delta = - 4$
	6	$14 57^s 5$	56	$43 21^s 8$	$24^s 3$	$\tau = - 1104$
	7	$15 31^s 1$	57	$43 55^s 9$	$24^s 0$	$\delta = - 491$
	8	$16 5^s 7$	58	$44 29^s 9$	$24^s 2$	
	9	$16 39^s 6$	59	$45 4^s 0$	$24^s 4$	$s_{63} = 0^s 507 7092$ in mittlerer Zeit
	10	$17 13^s 8$	60	$45 38^s 0$	$24^s 2$	

Pendel	Nr. der Coincidenz	Uhrzeit der Coincidenz	Nr. der Coincidenz	Uhrzeit der Coincidenz	Beobachtete Dauer von 50 Coincidenzen	Berechnung der Schwingungsdauer
--------	--------------------	------------------------	--------------------	------------------------	---------------------------------------	---------------------------------

23. October 1865 a. m.

$A = 13^h 0$ $T = 23^s 55$ $B = 75^h 9^m 11$ $D = 0^h 9^m 17$

24	1	$7^h 43^m 59^s.3$	51	$8^h 10^m 10^s.6$	$50 \sigma = 24^m 20^s.3$	$\sigma = 29^s 20.30$
	2	$44 28^s.6$	52	$8 45^s.7$		
	3	$44 57^s.8$	53	$9 18^s.0$		
	4	$45 27^s.1$	54	$9 47^s.2$		
	5	$45 50^s.1$	55	$10 10^s.3$		
	6	$46 25^s.4$	56	$10 45^s.5$		
	7	$46 54^s.0$	57	$11 14^s.6$		
	8	$47 23^s.7$	58	$11 43^s.9$		
	9	$47 52^s.9$	59	$12 13^s.1$		
	10	$48 22^s.3$	60	$12 42^s.4$		

$A = 11^h 9$ $T = 23^s 609$ $B = 759^h 9^m 11$ $D = 0^h 9^m 14$

28	1	$8^h 42^m 58^s.3$	51	$9^h 7^m 20^s.5$	$50 \sigma = 24^m 28^s.2$	$\sigma = 29^s 357.2$
	2	$43 27^s.9$	52	$7 55^s.4$		
	3	$43 57^s.0$	53	$8 25^s.2$		
	4	$44 26^s.5$	54	$8 54^s.0$		
	5	$44 55^s.9$	55	$9 24^s.0$		
	6	$45 25^s.1$	56	$9 52^s.6$		
	7	$45 54^s.5$	57	$10 22^s.7$		
	8	$46 23^s.7$	58	$10 51^s.4$		
	9	$46 53^s.4$	59	$11 21^s.5$		
	10	$47 22^s.4$	60	$11 50^s.0$		

$A = 12^h 14$ $T = 23^s 78$ $B = 760^h 2^m 11$ $D = 0^h 9^m 13$

35	1	$9^h 43^m 47^s.0$	51	$10^h 7^m 17^s.4$	$50 \sigma = 23^m 30^s.4$	$\sigma = 28^s 70.30$
	2	$44 15^s.2$	52	$7 45^s.3$		
	3	$44 43^s.4$	53	$8 12^s.0$		
	4	$45 11^s.0$	54	$8 41^s.7$		
	5	$45 39^s.8$	55	$9 10^s.1$		
	6	$46 8^s.0$	56	$9 38^s.1$		
	7	$46 36^s.3$	57	$10 6^s.4$		
	8	$47 4^s.4$	58	$10 34^s.5$		
	9	$47 32^s.6$	59	$11 2^s.9$		
	10	$48 0^s.8$	60	$11 30^s.9$		

$A = 12^h 14$ $T = 24^s 01$ $B = 760^h 1^m 11$ $D = 0^h 9^m 12$

43	1	$10^h 40^m 57^s.4$	51	$11^h 12^m 40^s.6$	$50 \sigma = 22^m 52^s.2$	$\sigma = 27^s 444.0$
	2	$50 24^s.9$	52	$13 17^s.0$		
	3	$50 52^s.2$	53	$13 44^s.4$		
	4	$51 19^s.9$	54	$14 11^s.9$		
	5	$51 47^s.1$	55	$14 39^s.5$		
	6	$52 14^s.7$	56	$15 6^s.7$		
	7	$52 42^s.0$	57	$15 34^s.4$		
	8	$53 9^s.4$	58	$16 1^s.0$		
	9	$53 30^s.9$	59	$16 29^s.3$		
	10	$54 4^s.4$	60	$16 56^s.5$		

Pendel	Nr. der Coincidenz	Uhrzeit der Coincidenz	Nr. der Coincidenz	Uhrzeit der Coincidenz	Beobachtete Dauer von 50 Coincidenzen	Berechnung der Schwingungsdauer
23. October 1895 p. m.						
$A = 12^{\circ} 2$ $T = 24^{\circ} 39$ $B = 759^{\circ} 0 \text{ mm}$ $D = 0^{\circ} 909$						
24	1	11 ^h 23 ^m 33 ^s 4	51	11 ^h 54 ^m 15 ^s 7	50 e = 30 ^m 42 ^s 3	$e = 30^{\circ} 8430$
2	2	24 40 2	52	54 52 1	41 0	
3	3	25 46 8	53	55 29 0	42 8	$e = 0^{\circ} 500 8700$
4	4	25 23 9	54	56 5 9	42 0	$\Delta = 0^{\circ} 4378$
5	5	26 0 5	55	56 43 4	42 0	$\Delta = 0^{\circ} 4$
6	6	26 37 7	56	57 19 0	41 0	$\Delta = 0^{\circ} 1108$
7	7	27 14 3	57	57 50 6	42 3	$\Delta = 0^{\circ} 491$
8	8	27 51 5	58	58 28 9	41 4	$\Delta_{11} = 0^{\circ} 507 1475$ in mittlerer Zeit
9	9	28 28 0	59	59 10 4	42 4	
10	10	29 4 8	60	59 46 4	42 6	
$A = 14^{\circ} 3$ $T = 24^{\circ} 62$ $B = 758^{\circ} 1 \text{ mm}$ $D = 0^{\circ} 908$						
28	1	12 ^h 32 ^m 40 ^s 2	51	1 ^h 3 ^m 40 ^s 5	50 e = 30 ^m 54 ^s 3	$e = 30^{\circ} 0850$
2	2	33 23 5	52	4 17 0	54 1	$e = 0^{\circ} 500 8334$
3	3	34 0 2	53	4 54 5	54 1	$\Delta = 0^{\circ} 1378$
4	4	34 37 5	54	5 31 0	54 1	$\Delta = 0^{\circ} 5$
5	5	35 14 0	55	6 8 8	54 2	$\Delta = 0^{\circ} 1209$
6	6	35 51 0	56	6 45 0	53 7	$\Delta = 0^{\circ} 491$
7	7	36 28 5	57	7 23 0	54 5	$\Delta_{11} = 0^{\circ} 507 1007$ in mittlerer Zeit
8	8	37 0 1	58	7 59 0	53 8	
9	9	37 42 5	59	8 27 4	54 0	
10	10	38 20 4	60	9 14 0	53 0	
$A = 12^{\circ} 4$ $T = 24^{\circ} 79$ $B = 758^{\circ} 1 \text{ mm}$ $D = 0^{\circ} 907$						
35	1	1 ^h 41 ^m 44 ^s 0	51	2 ^h 11 ^m 6 ^s 7	50 e = 29 ^m 22 ^s 7	$e = 29^{\circ} 2530$
2	2	42 19 5	52	11 42 1	22 0	$e = 0^{\circ} 507 1037$
3	3	42 54 4	53	12 17 5	22 1	$\Delta = 0^{\circ} 4378$
4	4	43 30 0	54	12 52 5	22 5	$\Delta = 0^{\circ} 4$
5	5	44 5 0	55	13 27 0	22 0	$\Delta = 0^{\circ} 1217$
6	6	44 40 4	56	14 3 4	23 0	$\Delta = 0^{\circ} 490$
7	7	45 15 0	57	14 38 1	22 5	$\Delta_{11} = 0^{\circ} 507 4604$ in mittlerer Zeit
8	8	45 51 1	58	15 13 0	22 5	
9	9	46 26 0	59	15 48 4	22 4	
10	10	47 1 6	60	16 24 2	22 6	
$A = 12^{\circ} 2$ $T = 24^{\circ} 83$ $B = 758^{\circ} 1 \text{ mm}$ $D = 0^{\circ} 907$						
63	1	9 ^h 54 ^m 29 ^s 2	51	3 ^h 22 ^m 52 ^s 6	50 e = 28 ^m 23 ^s 4	$e = 28^{\circ} 0774$
2	2	55 2 4	52	23 27 1	24 7	$e = 0^{\circ} 507 4455$
3	3	55 37 4	53	24 0 0	23 2	$\Delta = 0^{\circ} 4378$
4	4	56 11 2	54	24 35 4	24 2	$\Delta = 0^{\circ} 4$
5	5	56 45 4	55	25 8 8	23 4	$\Delta = 0^{\circ} 1219$
6	6	57 19 3	56	25 43 0	24 3	$\Delta = 0^{\circ} 490$
7	7	57 53 0	57	26 17 0	23 4	$\Delta_{11} = 0^{\circ} 507 7120$ in mittlerer Zeit
8	8	58 27 4	58	26 51 0	24 2	
9	9	59 1 7	59	27 25 3	23 0	
10	10	59 35 5	60	27 59 8	24 3	

Pendel	Nr. der Coincidenz	Uhrzeit der Coincidenz	Nr. der Coincidenz	Uhrzeit der Coincidenz	Beobachtete Dauer von 50 Coincidenzen	Berechnung der Schwingungsdauer
The Brothers, 28. October 1895 a. m.						
$A = 14^{\circ}1 \quad T = 26^{\circ}53 \quad B = 757^{\circ}4 \text{ mm} \quad D = 0^{\circ}900$						
24	1	8 ^h 9 ^m 47 ^s .4	51	8 ^h 33 ^m 50 ^s .0	50 c = 24 ^m 11 ^s .4	$c = 29^{\circ}0272$
	2	10 16 ^m .0	52	34 28 ^m .0	11 ^s .4	
	3	10 45 ^m .4	53	34 57 ^m .1	11 ^s .2	$x = 0^{\circ}5087037$
	4	11 14 ^m .7	54	35 20 ^m .1	11 ^s .2	$y = \dots 55$
	5	11 44 ^m .0	55	35 55 ^m .2	11 ^s .2	$z = \dots 5$
	6	12 12 ^m .7	56	36 24 ^m .2	11 ^s .5	$\Delta = \dots 1307$
	7	12 42 ^m .0	57	36 53 ^m .3	11 ^s .3	$\delta = \dots 488$
	8	13 10 ^m .0	58	37 22 ^m .3	11 ^s .4	
	9	13 40 ^m .0	59	37 51 ^m .3	11 ^s .3	$N_{14} = 0^{\circ}5085782$ in Sternzeit
	10	14 8 ^m .9	60	38 20 ^m .4	11 ^s .5	$N_{14} = 0^{\circ}5071897$ in mittlerer Zeit.
$A = 14^{\circ}1 \quad T = 26^{\circ}60 \quad B = 757^{\circ}9 \text{ mm} \quad D = 0^{\circ}900$						
28	1	6 ^h 13 ^m 4 ^s .3	51	9 ^h 37 ^m 23 ^s .1	50 c = 24 ^m 18 ^s .8	$c = 29^{\circ}1770$
	2	13 31 ^m .6	52	37 52 ^m .4	18 ^s .8	
	3	14 2 ^m .4	53	38 21 ^m .4	10 ^m .0	$x = 0^{\circ}5087175$
	4	14 32 ^m .0	54	38 50 ^m .8	18 ^s .8	$y = \dots 55$
	5	15 0 ^m .8	55	39 19 ^m .8	10 ^m .0	$z = \dots 5$
	6	15 30 ^m .3	56	39 49 ^m .1	18 ^s .8	$\Delta = \dots 1310$
	7	15 59 ^m .3	57	40 18 ^m .3	10 ^m .0	$\delta = \dots 488$
	8	16 28 ^m .0	58	40 47 ^m .5	18 ^s .0	
	9	16 57 ^m .5	59	41 16 ^m .4	18 ^s .0	$N_{28} = 0^{\circ}5085317$ in Sternzeit
	10	17 27 ^m .0	60	41 45 ^m .8	18 ^s .8	$N_{28} = 0^{\circ}5071432$ in mittlerer Zeit.
$A = 12^{\circ}7 \quad T = 26^{\circ}64 \quad B = 757^{\circ}9 \text{ mm} \quad D = 0^{\circ}900$						
15	1	10 ^h 17 ^m 30 ^s .7	51	10 ^h 41 ^m 4 ^s .5	50 c = 23 ^m 21 ^s .8	$c = 28^{\circ}0340$
	2	18 8 ^m .0	52	41 29 ^m .7	21 ^s .8	
	3	18 35 ^m .7	53	41 57 ^m .0	21 ^s .0	$x = 0^{\circ}5090797$
	4	19 4 ^m .1	54	42 25 ^m .0	21 ^s .8	$y = \dots 55$
	5	19 32 ^m .0	55	42 53 ^m .7	21 ^s .7	$z = \dots 5$
	6	20 0 ^m .1	56	43 22 ^m .0	21 ^s .9	$\Delta = \dots 1312$
	7	20 28 ^m .1	57	43 49 ^m .7	21 ^s .6	$\delta = \dots 488$
	8	20 50 ^m .3	58	44 18 ^m .0	21 ^s .7	
	9	21 24 ^m .6	59	44 45 ^m .9	21 ^s .5	$N_{15} = 0^{\circ}5088927$ in Sternzeit
	10	21 52 ^m .4	60	45 14 ^m .0	21 ^s .6	$N_{15} = 0^{\circ}5075044$ in mittlerer Zeit.
$A = 13^{\circ}2 \quad T = 26^{\circ}70 \quad B = 757^{\circ}9 \text{ mm} \quad D = 0^{\circ}900$						
63	1	11 ^h 19 ^m 3 ^s .0	51	11 41 ^m 48 ^s .1	50 c = 22 ^m 44 ^s .5	$c = 27^{\circ}2920$
	2	19 30 ^m .9	52	42 15 ^m .4	44 ^s .5	
	3	19 58 ^m .2	53	42 42 ^m .7	44 ^s .5	$x = 0^{\circ}5093310$
	4	20 25 ^m .4	54	43 10 ^m .0	44 ^s .0	$y = \dots 55$
	5	20 52 ^m .6	55	43 37 ^m .4	44 ^s .8	$z = \dots 5$
	6	21 20 ^m .0	56	44 4 ^m .5	44 ^s .5	$\Delta = \dots 1315$
	7	21 47 ^m .4	57	44 32 ^m .0	44 ^s .0	$\delta = \dots 488$
	8	22 14 ^m .4	58	44 59 ^m .1	44 ^s .7	
	9	22 41 ^m .8	59	45 26 ^m .6	44 ^s .8	$N_{63} = 0^{\circ}5091447$ in Sternzeit
	10	23 9 ^m .1	60	45 53 ^m .0	44 ^s .5	$N_{63} = 0^{\circ}5077544$ in mittlerer Zeit.

Pendel	Nr. der Coincidenz	Uhrzeit der Coincidenz	Nr. der Coincidenz	Uhrzeit der Coincidenz	Beobachtete Dauer von 50 Coincidenzen	Berechnung der Schwingungsdauer
28. October 1895 p. m.						
$A = 15^{\circ} 8' \quad T = 20^{\circ} 74' \quad B = 756^{\circ} 40' 0'' \quad D = 0^{\circ} 509''$						
24	1	2 ^h 35 ^m 50 ^s 9	51	3 ^h 0 ^m 2 ^s 4	50 ^e = 24 ^m 11 ^s 5	$e = 29^{\circ} 0202$
	2	36 19 9	52	0 31 4	11 5	$a = 0^{\circ} 508 7030$
	3	39 40 0	53	1 0 4	11 4	$n = 44$
	4	37 18 0	54	1 20 4	11 4	$\Delta = 7$
	5	37 47 0	55	1 58 5	11 5	$\tau = 488$
	6	38 15 0	56	2 27 3	11 4	$\delta = 1117$
	7	38 44 9	57	2 56 5	11 0	$S_{24} = 0^{\circ} 506 5277$ in Sternzeit
	8	39 13 8	58	3 25 3	11 5	$N_{24} = 0^{\circ} 507 1891$ in mittlerer Zeit
	9	39 43 1	59	3 54 5	11 4	
	10	40 12 0	60	4 23 4	11 4	
$A = 12^{\circ} 7' \quad T = 26^{\circ} 00' \quad B = 755^{\circ} 8' 0'' \quad D = 0^{\circ} 808''$						
28	1	3 ^h 30 ^m 25 ^s 1	51	3 ^h 54 ^m 43 ^s 0	50 ^e = 24 ^m 15 ^s 0	$e = 20^{\circ} 1744$
	2	30 54 4	52	55 13 0	18 0	$a = 0^{\circ} 508 7187$
	3	31 23 4	53	55 42 1	18 7	$n = 44$
	4	31 52 7	54	50 11 4	18 7	$\Delta = 5$
	5	32 21 7	55	50 40 5	18 8	$\tau = 1325$
	6	32 51 0	56	57 9 9	18 0	$\delta = 487$
	7	33 20 1	57	57 38 9	18 6	$S_{28} = 0^{\circ} 508 5320$ in Sternzeit
	8	33 49 3	58	58 8 2	18 0	$N_{28} = 0^{\circ} 507 1445$ in mittlerer Zeit
	9	34 18 4	59	58 37 1	18 7	
	10	34 47 7	60	59 6 5	18 8	
$A = 13^{\circ} 3' \quad T = 27^{\circ} 02' \quad B = 755^{\circ} 8' 0'' \quad D = 0^{\circ} 808''$						
35	1	4 ^h 25 ^m 56 ^s 8	51	4 ^h 49 ^m 18 ^s 4	50 ^e = 21 ^m 21 ^s 8	$e = 28^{\circ} 0155$
	2	26 24 4	52	49 40 1	21 9	$a = 0^{\circ} 508 0792$
	3	26 52 0	53	50 14 4	21 8	$n = 40$
	4	27 20 4	54	50 42 1	21 7	$\Delta = 5$
	5	27 48 8	55	51 10 4	21 8	$\tau = 1330$
	6	28 10 4	56	51 38 9	21 7	$\delta = 487$
	7	28 44 7	57	52 6 5	21 8	$S_{35} = 0^{\circ} 508 8020$ in Sternzeit
	8	29 12 4	58	52 34 3	21 0	$N_{35} = 0^{\circ} 507 5035$ in mittlerer Zeit
	9	29 40 8	59	53 2 6	21 8	
	10	30 8 5	60	53 30 4	21 0	
$A = 15^{\circ} 8' \quad T = 27^{\circ} 05' \quad B = 755^{\circ} 8' 0'' \quad D = 0^{\circ} 808''$						
63	1	5 ^h 22 ^m 47 ^s 3	51	5 ^h 45 ^m 31 ^s 6	50 ^e = 22 ^m 44 ^s 3	$e = 27^{\circ} 2888$
	2	23 14 3	52	45 59 0	44 7	$a = 0^{\circ} 509 3310$
	3	23 41 7	53	46 20 3	44 0	$n = 41$
	4	24 9 0	54	46 53 5	44 5	$\Delta = 7$
	5	24 36 5	55	47 20 7	44 8	$\tau = 1333$
	6	25 3 0	56	47 48 1	44 5	$\delta = 487$
	7	25 31 0	57	48 15 4	44 4	$S_{63} = 0^{\circ} 500 1452$ in Sternzeit
	8	25 58 3	58	48 42 11	44 3	$N_{63} = 0^{\circ} 507 7550$ in mittlerer Zeit
	9	26 25 0	59	49 9 8	44 2	
	10	26 52 7	60	49 37 4	44 7	

Punkt	Nr. der Coincidenz	Uhrzeit der Coincidenz	Nr. der Coincidenz	Uhrzeit der Coincidenz	Beobachtete Dauer von 50 Coincidenzen	Berechnung der Schwingungsdauer
Jidda, 7. November 1895 a. m.						
$A = 12^{\circ} 8' \quad T = 26^{\circ} 760 \quad B = 760.5 \text{ mm} \quad D = 0^{\circ} 002$						
24	1	7 ^h 0 ^m 50 ^s 2	51	7 ^h 29 ^m 45 ^s 3	50 c = 28 ^m 58 ^s 1	
	2	1 34 ^s 4	52	30 22 ^s 6	58 ^s 2	$e = 34^{\circ} 7024$
	3	1 50 ^s 6	53	30 58 ^s 0	58 ^s 2	$a = 0^{\circ} 507 \text{ 2908}$
	4	2 34 ^s 3	54	31 32 ^s 4	58 ^s 1	$n = + 1790$
	5	3 9 ^s 5	55	32 7 ^s 6	58 ^s 1	$\Delta = - 5$
	6	3 44 ^s 0	56	32 42 ^s 0	58 ^s 0	$\tau = + 1315$
	7	4 18 ^s 6	57	33 16 ^s 9	58 ^s 0	$\delta = - 488$
	8	4 53 ^s 5	58	33 51 ^s 5	58 ^s 2	
	9	5 28 ^s 2	59	34 26 ^s 4	58 ^s 2	$S_{24} = 0^{\circ} 507 \text{ 2436 in mittlerer Zeit}$
	10	6 2 ^s 8	60	35 1 ^s 0		
$A = 13^{\circ} 1' \quad T = 27^{\circ} 23 \quad B = 761.0 \text{ mm} \quad D = 0^{\circ} 001$						
28	1	8 ^h 2 ^m 5 ^s 5	51	8 ^h 31 ^m 14 ^s 4	50 c = 29 ^m 5 ^s 9	
	2	7 40 ^s 5	52	36 49 ^s 8	9 ^s 3	$e = 34^{\circ} 504$
	3	8 15 ^s 5	53	37 24 ^s 4	8 ^s 9	$a = 0^{\circ} 507 \text{ 2505}$
	4	8 50 ^s 5	54	37 59 ^s 7	9 ^s 2	$n = + 1790$
	5	9 25 ^s 5	55	38 34 ^s 3	8 ^s 5	$\Delta = - 5$
	6	10 0 ^s 5	56	39 9 ^s 6	8 ^s 9	$\tau = 1337$
	7	10 35 ^s 5	57	39 44 ^s 4	8 ^s 9	$\delta = - 487$
	8	11 10 ^s 5	58	40 19 ^s 6	8 ^s 8	
	9	11 45 ^s 0	59	40 54 ^s 4	8 ^s 8	$S_{28} = 0^{\circ} 507 \text{ 2406 in mittlerer Zeit}$
	10	12 20 ^s 4	60	41 29 ^s 4	9 ^s 2	
$A = 12^{\circ} 6' \quad T = 27^{\circ} 34 \quad B = 761.2 \text{ mm} \quad D = 0^{\circ} 001$						
35	1	9 ^h 18 ^m 50 ^s 0	51	9 ^h 46 ^m 43 ^s 0	50 c = 27 ^m 47 ^s 0	
	2	19 29 ^s 0	52	47 16 ^s 2	47 ^s 2	$e = 33^{\circ} 3418$
	3	20 2 ^s 5	53	47 49 ^s 7	47 ^s 2	$a = 0^{\circ} 507 \text{ 0121}$
	4	20 30 ^s 0	54	48 23 ^s 0	47 ^s 0	$n = + 1790$
	5	21 9 ^s 3	55	48 56 ^s 4	47 ^s 1	$\Delta = - 5$
	6	21 42 ^s 8	56	49 29 ^s 8	47 ^s 0	$\tau = + 1343$
	7	22 16 ^s 0	57	50 3 ^s 2	47 ^s 2	$\delta = - 487$
	8	22 49 ^s 1	58	50 36 ^s 2	47 ^s 1	
	9	23 22 ^s 9	59	51 10 ^s 0	47 ^s 1	$S_{35} = 0^{\circ} 507 \text{ 0076 in mittlerer Zeit}$
	10	23 50 ^s 0	60	51 43 ^s 0	47 ^s 0	
$A = 13^{\circ} 4' \quad T = 27^{\circ} 41 \quad B = 761.2 \text{ mm} \quad D = 0^{\circ} 001$						
43	1	10 ^h 24 ^m 50 ^s 8	51	10 ^h 51 ^m 45 ^s 9	50 c = 26 ^m 55 ^s 1	
	2	25 23 ^s 5	52	52 18 ^s 1	54 ^s 6	$e = 31^{\circ} 2908$
	3	25 55 ^s 0	53	52 50 ^s 3	54 ^s 7	$a = 0^{\circ} 507 \text{ 8624}$
	4	26 27 ^s 9	54	53 22 ^s 6	54 ^s 8	$n = + 1790$
	5	27 0 ^s 1	55	53 54 ^s 9	54 ^s 8	$\Delta = - 5$
	6	27 32 ^s 4	56	54 27 ^s 4	55 ^s 0	$\tau = + 1340$
	7	28 4 ^s 7	57	54 59 ^s 6	54 ^s 9	$\delta = - 487$
	8	28 37 ^s 0	58	55 31 ^s 9	54 ^s 9	
	9	29 9 ^s 4	59	56 4 ^s 2	54 ^s 8	$S_{43} = 0^{\circ} 507 \text{ 8526 in mittlerer Zeit}$
	10	29 41 ^s 5	60	56 36 ^s 4	54 ^s 9	

Pendel	Nr. der Coincidenz	Uhrzeit der Coincidenz	Nr. der Coincidenz	Uhrzeit der Coincidenz	Beobachtete Dauer von 50 Coincidenzen	Berechnung der Schwingungsdauer
7. November 1895 p. m.						
$A = 13^{\circ}1$ $T = 27^{\circ}28$ $R = 760^{\circ}3 \text{ mm}$ $D = 0^{\circ}809$						
24	1	2 ^h 25 ^m 44 ^s .0	51	2 ^h 49 ^m 37 ^s .4	50 ^r = 23 ^m 53 ^s .4	$r = 25^{\circ}0072$
	2	26 12.5	52	50 5.6	53 ^s .3	$s = 0^{\circ}5088755$
	3	26 41.4	53	50 34.7	53 ^s .3	$u = -97$
	4	27 9.7	54	51 3.1	53 ^s .4	$\Delta = -5$
	5	27 38.6	55	51 32.0	53 ^s .4	$\tau = -1308$
	6	28 7.1	56	52 0.7	53 ^s .4	$\delta = -487$
	7	28 30.0	57	52 29.4	53 ^s .3	$S_{24} = 0^{\circ}5086798$ in Sternzeit
	8	29 4.5	58	52 57.8	53 ^s .3	$S_{24} = 0^{\circ}5072910$ in mittlerer Zeit
	9	29 33.5	59	53 20.7	53 ^s .2	
	10	30 1.6	60	53 55.1	53 ^s .5	
$A = 13^{\circ}6$ $T = 27^{\circ}00$ $R = 759^{\circ}7 \text{ mm}$ $D = 0^{\circ}809$						
28	1	3 ^h 24 ^m 50 ^s .0	51	3 ^h 48 ^m 50 ^s .5	50 ^r = 24 ^m 0 ^s .5	$r = 25^{\circ}8082$
	2	25 19.3	52	43 10.0	0 ^s .3	$s = 0^{\circ}5088313$
	3	25 47.5	53	43 48.2	0 ^s .7	$u = -97$
	4	26 16.7	54	50 12.1	0 ^s .4	$\Delta = -5$
	5	26 45.3	55	50 45.6	0 ^s .3	$\tau = -1374$
	6	27 14.4	56	51 14.7	0 ^s .3	$\delta = -487$
	7	27 43.0	57	51 43.4	0 ^s .4	$S_{28} = 0^{\circ}5089350$ in Sternzeit
	8	28 12.0	58	52 12.3	0 ^s .3	$S_{28} = 0^{\circ}5072402$ in mittlerer Zeit
	9	28 40.5	59	52 41.0	0 ^s .5	
	10	29 9.6	60	53 10.0	0 ^s .4	
$A = 13^{\circ}1$ $T = 27^{\circ}295$ $R = 759^{\circ}2 \text{ mm}$ $D = 0^{\circ}807$						
35	1	4 ^h 23 ^m 28 ^s .1	51	4 ^h 46 ^m 32 ^s .9	50 ^r = 23 ^m 4 ^s .8	$r = 27^{\circ}10958$
	2	23 55.3	52	47 0.4	4 ^s .9	$s = 0^{\circ}5061927$
	3	24 23.5	53	47 28.4	4 ^s .9	$u = -97$
	4	24 51.0	54	47 55.9	4 ^s .6	$\Delta = -5$
	5	25 18.0	55	48 23.5	4 ^s .9	$\tau = -1377$
	6	25 46.4	56	48 51.1	4 ^s .7	$\delta = -480$
	7	26 14.2	57	49 19.1	4 ^s .9	$S_{35} = 0^{\circ}5089962$ in Sternzeit
	8	26 41.7	58	49 40.5	4 ^s .8	$S_{35} = 0^{\circ}5070905$ in mittlerer Zeit
	9	27 9.6	59	50 14.5	4 ^s .9	
	10	27 37.2	60	50 41.7	4 ^s .5	
$A = 13^{\circ}1$ $T = 27^{\circ}00$ $R = 759^{\circ}7 \text{ mm}$ $D = 0^{\circ}818$						
63	1	5 ^h 21 ^m 54 ^s .3	51	5 ^h 44 ^m 22 ^s .0	50 ^r = 22 ^m 28 ^s .0	$r = 25^{\circ}9710$
	2	22 21.3	52	44 40.7	28 ^s .4	$s = 0^{\circ}5094443$
	3	22 48.3	53	45 10.9	28 ^s .6	$u = -97$
	4	23 15.2	54	45 43.6	28 ^s .4	$\Delta = -5$
	5	23 42.1	55	46 10.8	28 ^s .7	$\tau = -1379$
	6	24 9.0	56	46 37.0	28 ^s .0	$\delta = -487$
	7	24 36.0	57	47 4.2	28 ^s .7	$S_{63} = 0^{\circ}5091475$ in Sternzeit
	8	25 3.0	58	47 31.6	28 ^s .6	$S_{63} = 0^{\circ}5078320$ in mittlerer Zeit
	9	25 30.2	59	47 58.0	28 ^s .6	
	10	25 57.0	60	48 25.5	28 ^s .5	

Pendel	Nr. der Coincidenz	Uhrzeit der Coincidenz	Nr. der Coincidenz	Uhrzeit der Coincidenz	Beobachtete Dauer von 50 Coincidenzen	Berechnung der Schwingungsdauer
8. November 1895 a. m.						
$A = 13^{\circ} 1$ $T = 26^{\circ} 04$ $H = 760^{\circ} 3 \text{ mm}$ $D = 0^{\circ} 902$						
24	1	6 ^h 50 ^m 11 ^s 1	51	7 ^h 25 ^m 9 ^s 4	50 $c = 28^{\circ} 58^{\circ} 3$	
2	2	50 45 ⁰	52	25 43 ^h 8	57 ⁰	$c = 34^{\circ} 7616$
3	3	57 20 ⁴	53	26 18 ⁰	58 ²	
4	4	57 55 ³	54	26 53 ³	57 ⁸	$x = 0^{\circ} 507 2068$
5	5	58 30 ⁰	55	27 28 ³	58 ³	$n = + 1701$
6	6	59 4 ⁷	56	28 2 ⁷	58 ⁰	$\Delta = - 5$
7	7	59 39 ¹¹	57	28 37 ⁷	58 ¹	$\tau = - 1308$
8	8	0 14 ³	58	29 12 ²	57 ⁹	$\delta = - 488$
9	9	0 49 ²	59	29 47 ⁵	58 ³	
10	10	1 23 ⁹	60	30 21 ⁹	58 ⁰	$N_{24} = 0^{\circ} 507 2028$ in mittlerer Zeit
$A = 12^{\circ} 8$ $T = 26^{\circ} 09$ $H = 760^{\circ} 4 \text{ mm}$ $D = 0^{\circ} 901$						
28	1	8 ^h 6 ^m 59 ^s 4	51	8 ^h 36 ^m 8 ^s 3	50 $c = 29^{\circ} 58^{\circ} 9$	
2	2	7 34 ⁵	52	36 43 ⁸	57 ³	$c = 34^{\circ} 9810$
3	3	7 9 ⁵	53	37 18 ³	58 ⁸	
4	4	8 44 ⁵	54	37 53 ⁰	59 ¹	$x = 0^{\circ} 507 2501$
5	5	9 19 ⁴	55	38 28 ⁴	59 ⁰	$n = + 1701$
6	6	9 54 ⁴	56	39 3 ⁰	59 ²	$\Delta = - 5$
7	7	10 29 ³	57	39 38 ⁴	59 ¹	$\tau = - 1320$
8	8	11 4 ⁴	58	40 13 ⁰	59 ²	$\delta = - 487$
9	9	11 39 ⁴	59	40 48 ³	59 ⁰	
10	10	12 14 ³	60	41 23 ⁰	59 ³	$N_{28} = 0^{\circ} 507 2444$ in mittlerer Zeit
$A = 13^{\circ} 4$ $T = 27^{\circ} 11$ $H = 760^{\circ} 3 \text{ mm}$ $D = 0^{\circ} 901$						
35	1	9 ^h 9 ^m 28 ^s 6	51	9 ^h 37 ^m 36 ^s 3	50 $c = 27^{\circ} 42^{\circ} 7$	
2	2	10 22 ²	52	38 9 ⁸	47 ⁰	$c = 33^{\circ} 3514$
3	3	10 55 ⁴	53	38 42 ⁹	47 ⁵	
4	4	11 28 ⁹	54	39 18 ⁴	47 ⁵	$x = 0^{\circ} 507 6100$
5	5	12 2 ²	55	39 49 ⁰	47 ⁴	$n = + 1701$
6	6	12 35 ⁷	56	40 23 ⁴	47 ⁷	$\Delta = - 5$
7	7	13 8 ⁸	57	40 50 ³	47 ⁵	$\tau = - 1331$
8	8	13 42 ³	58	41 29 ⁰	47 ⁰	$\delta = - 487$
9	9	14 15 ⁵	59	42 3 ³	47 ⁸	
10	10	14 40 ⁰	60	42 30 ⁴	47 ⁴	$N_{35} = 0^{\circ} 507 6028$ in mittlerer Zeit
$A = 13^{\circ} 4$ $T = 27^{\circ} 26$ $H = 759^{\circ} 8 \text{ mm}$ $D = 0^{\circ} 900$						
63	1	10 ^h 18 ^m 28 ^s 3	51	10 ^h 42 ^m 23 ^s 6	50 $c = 26^{\circ} 55^{\circ} 3$	
2	2	10 0 ³	52	42 55 ⁶	55 ³	$c = 32^{\circ} 3054$
3	3	10 32 ⁸	53	41 28 ⁰	55 ²	
4	4	17 4 ⁷	54	44 0 ⁰	55 ³	$x = 0^{\circ} 507 8004$
5	5	17 37 ⁶	55	44 32 ⁸	55 ²	$n = + 1701$
6	6	18 9 ⁰	56	45 4 ⁰	55 ⁰	$\Delta = - 5$
7	7	18 43 ⁰	57	45 37 ⁵	55 ⁵	$\tau = - 1339$
8	8	10 14 ¹	58	46 9 ⁴	55 ³	$\delta = - 487$
9	9	10 49 ⁵	59	46 41 ⁰	55 ⁴	
10	10	20 18 ⁰	60	47 13 ⁸	55 ²	$N_{63} = 0^{\circ} 507 8534$ in mittlerer Zeit

Pendel	Nr. der Coincidenz	Uhrzeit der Coincidenz	Nr. der Coincidenz	Uhrzeit der Coincidenz	Beobachtete Dauer von 30 Coincidenzen	Berechnung der Schwingungsdauer
8. November 1895 p. m.						
$A = 13^{\circ}1' \quad T = 27^{\circ}51' \quad B = 758^{\circ}8 \text{ mm} \quad D = 0^{\circ}808$						
24	1	$2^h 33^m 11^s.7$	51	$2^h 57^m 5^s.2$	$50c = 23^m 53^s.5$	$c = 28^m 6082$
	2	$33 40.4$	52	$57 33.5$	$53^s.1$	
	3	$34 0^0$	53	$58 2^0$	$53^s.6$	$a = 0^s 508 8752$
	4	$34 27.6$	54	$58 31^0$	$53^s.4$	$u = 80$
	5	$35 0^4$	55	$58 59^0$	$53^s.5$	$\Delta = 5$
	6	$35 35^0$	56	$59 28^4$	$53^s.4$	$\tau = 1355$
	7	$36 3^7$	57	$59 57^2$	$53^s.5$	$\delta = 485$
	8	$36 32.4$	58	$0 25^5$	$53^s.1$	
	9	$37 1^0$	59	$0 54^7$	$53^s.7$	$N_{21} = 0^h 508 6815 \text{ in Sternzeit}$
	10	$37 29^0$	60	$1 22^9$	$53^s.3$	$N_{24} = 0^h 507 2027 \text{ in mittlerer Zeit}$
$A = 12^{\circ}8' \quad T = 27^{\circ}63' \quad B = 758^{\circ}4 \text{ mm} \quad D = 0^{\circ}807$						
28	1	$3^h 20^m 32^s.0$	51	$3^h 50^m 32^s.0$	$50c = 24^m 0^s.6$	$c = 28^m 8160$
	2	$27 0^4$	52	$51 1^4$	$1^0.0$	
	3	$27 29^0$	53	$51 30^3$	$0^0.7$	$a = 0^s 508 8288$
	4	$27 58^1$	54	$51 59^1$	$1^0.0$	$u = 80$
	5	$28 27^3$	55	$52 27^9$	$0^0.6$	$\Delta = 5$
	6	$28 55^0$	56	$52 50^0$	$1^0.0$	$\tau = 1301$
	7	$29 24^8$	57	$53 25^0$	$0^0.8$	$\delta = 486$
	8	$29 53^4$	58	$53 54^4$	$1^0.0$	
	9	$30 22^5$	59	$54 23^1$	$0^0.6$	$N_{21} = 0^h 508 9147 \text{ in Sternzeit}$
	10	$30 51^0$	60	$54 52^0$	$1^0.0$	$N_{28} = 0^h 507 2460 \text{ in mittlerer Zeit}$
$A = 13^{\circ}1' \quad T = 27^{\circ}78' \quad B = 758^{\circ}4 \text{ mm} \quad D = 0^{\circ}807$						
35	1	$4^h 25^m 43^s.6$	51	$4^h 48^m 48^s.9$	$50c = 23^m 5^s.3$	$c = 27^m 7040$
	2	$26 11^5$	52	$49 16^8$	$5^s.3$	
	3	$26 39^2$	53	$49 44^4$	$5^s.2$	$a = 0^s 509 1897$
	4	$27 7^0$	54	$50 12^3$	$5^s.3$	$u = 80$
	5	$27 34^5$	55	$50 39^0$	$5^s.1$	$\Delta = 5$
	6	$28 2^4$	56	$51 7^0$	$5^s.2$	$\tau = 1368$
	7	$28 30^0$	57	$51 35^2$	$5^s.2$	$\delta = 480$
	8	$28 57^7$	58	$52 3^0$	$5^s.3$	
	9	$29 25^4$	59	$52 30^5$	$5^s.1$	$N_{25} = 0^h 508 9049 \text{ in Sternzeit}$
	10	$29 53^2$	60	$52 58^5$	$5^s.3$	$N_{31} = 0^h 507 6050 \text{ in mittlerer Zeit}$
$A = 13^{\circ}1' \quad T = 27^{\circ}00' \quad B = 758^{\circ}8 \text{ mm} \quad D = 0^{\circ}987$						
03	1	$5^h 21^m 44^s.1$	51	$5^h 44^m 12^s.0$	$50c = 22^m 28^s.5$	$c = 20^m 0716$
	2	$22 10^9$	52	$44 39^5$	$28^s.6$	
	3	$22 38^1$	53	$45 0^0$	$28^s.5$	$a = 0^s 509 4442$
	4	$23 4^0$	54	$45 33^5$	$28^s.0$	$u = 80$
	5	$23 32^1$	55	$46 0^0$	$28^s.5$	$\Delta = 5$
	6	$23 58^7$	56	$46 27^5$	$28^s.8$	$\tau = 1374$
	7	$24 26^1$	57	$46 54^5$	$28^s.4$	$\delta = 486$
	8	$24 52^6$	58	$47 21^4$	$28^s.8$	
	9	$25 20^0$	59	$47 48^4$	$28^s.4$	$N_{27} = 0^h 509 2488 \text{ in Sternzeit}$
	10	$25 46^0$	60	$48 15^3$	$28^s.7$	$N_{31} = 0^h 507 8583 \text{ in mittlerer Zeit}$

Pendel	Nr. der Coincidenten	Uhrzeit der Coincidenten	Nr. der Coincidenten	Uhrzeit der Coincidenten	Beobachtete Dauer von 50 Coincidenten	Berechnung der Schwingungsdauer
Mersa Halaib, 17. November 1895 a. m.						
$A = 12^{\circ}6 \quad T = 23^{\circ}10 \quad B = 759^{\circ}8 \text{ mm} \quad D = 0^{\circ}916$						
24	1	9 ^h 48 ^m 28 ^s .6	51	10 ^h 12 ^m 26 ^s .1	50 ^e = 23 ^m 57 ^s .5	$\epsilon = 28^{\circ}7470$ $A = 0^{\circ}508 \ 8505$ $H = \dots 140$ $\Delta = \dots 5$ $\Sigma = \dots 1138$ $\bar{\Sigma} = \dots 490$ $S_{24} = 0^{\circ}508 \ 0720$ in Sternzeit $S_{24} = 0^{\circ}507 \ 2837$ in mittlerer Zeit
	2	48 57.0	52	12 54.8	57.2	
	3	49 26.2	53	13 23.4	57.2	
	4	49 55.0	54	13 52.4	57.4	
	5	50 23.5	55	14 21.0	57.5	
	6	50 52.6	56	14 49.9	57.3	
	7	51 21.1	57	15 18.4	57.3	
	8	51 50.1	58	15 47.5	57.4	
	9	52 18.4	59	16 15.7	57.3	
	10	52 47.6	60	16 45.0	57.4	
$A = 12^{\circ}9 \quad T = 23^{\circ}43 \quad B = 760^{\circ}4 \text{ mm} \quad D = 0^{\circ}924$						
28	1	10 ^h 48 ^m 12 ^s .3	51	11 ^h 12 ^m 16 ^s .0	50 ^e = 24 ^m 4 ^s .6	$\epsilon = 28^{\circ}8014$ $A = 0^{\circ}508 \ 8055$ $H = \dots 140$ $\Delta = \dots 5$ $\Sigma = \dots 1154$ $\bar{\Sigma} = \dots 495$ $S_{28} = 0^{\circ}508 \ 0201$ in Sternzeit $S_{28} = 0^{\circ}507 \ 3374$ in mittlerer Zeit
	2	48 40.9	52	12 45.4	4.5	
	3	49 10.0	53	13 14.6	4.0	
	4	49 38.0	54	13 43.3	4.7	
	5	50 7.7	55	14 12.4	4.7	
	6	50 36.4	56	14 41.0	4.6	
	7	51 5.6	57	15 10.2	4.6	
	8	51 34.3	58	15 38.7	4.4	
	9	52 3.5	59	16 7.0	4.5	
	10	52 32.1	60	16 36.1	4.5	
$A = 12^{\circ}9 \quad T = 23^{\circ}79 \quad B = 760^{\circ}4 \text{ mm} \quad D = 0^{\circ}912$						
35	1	11 ^h 50 ^m 13 ^s .6	51	12 ^h 13 ^m 22 ^s .5	50 ^e = 23 ^m 8 ^s .5	$\epsilon = 27^{\circ}7702$ $A = 0^{\circ}509 \ 1675$ $H = \dots 140$ $\Delta = \dots 5$ $\Sigma = \dots 1172$ $\bar{\Sigma} = \dots 494$ $S_{35} = 0^{\circ}508 \ 0804$ in Sternzeit $S_{35} = 0^{\circ}507 \ 5906$ in mittlerer Zeit
	2	50 41.2	52	13 49.7	8.5	
	3	51 9.1	53	14 17.0	8.5	
	4	51 36.6	54	14 45.2	8.6	
	5	52 4.6	55	15 13.1	8.5	
	6	52 32.2	56	15 40.6	8.4	
	7	53 0.3	57	16 8.7	8.4	
	8	53 27.6	58	16 36.3	8.7	
	9	53 55.7	59	17 4.3	8.0	
	10	54 23.3	60	17 31.7	8.4	
$A = 12^{\circ}6 \quad T = 24^{\circ}08 \quad B = 760^{\circ}1 \text{ mm} \quad D = 0^{\circ}912$						
103	1	12 ^h 53 ^m 10 ^s .6	51	1 ^h 15 ^m 42 ^s .4	50 ^e = 22 ^m 31 ^s .8	$\epsilon = 27^{\circ}0334$ $A = 0^{\circ}509 \ 4220$ $H = \dots 140$ $\Delta = \dots 5$ $\Sigma = \dots 1180$ $\bar{\Sigma} = \dots 494$ $S_{103} = 0^{\circ}509 \ 2395$ in Sternzeit $S_{103} = 0^{\circ}507 \ 8400$ in mittlerer Zeit
	2	53 37.6	52	16 9.5	31.9	
	3	54 4.0	53	16 30.4	31.5	
	4	54 31.9	54	17 3.6	31.7	
	5	54 59.0	55	17 30.5	31.5	
	6	55 25.9	56	17 57.0	31.7	
	7	55 53.0	57	18 24.6	31.0	
	8	56 20.0	58	18 51.7	31.7	
	9	56 47.0	59	19 28.6	31.6	
	10	57 14.1	60	19 45.8	31.7	

Pendel	Nr. der Coincidenz	Uhrzeit der Coincidenz	Nr. der Coincidenz	Uhrzeit der Coincidenz	Benutzte Dauer von 50 Coincidenzen	Berechnung der Schwingungsdauer
17. November 1895 p. m.						
$A = 13^{\circ}2 \quad T = 24^{\circ}50 \quad B = 758^{\circ}3 \text{ mm} \quad D = 0^{\circ}007$						
24	1	$5^h 47^m 2^s.0$	51	$4^h 10^m 50^s.1$	$50c = 23^m 50^s.5$	$c = 28^{\circ}7292$
	2	$47^m 32^s.0$	52	$11 28^s.4$	$50^s.4$	
	3	$48 0^s.3$	53	$11 50^s.9$	$50^s.0$	$s = 0^s.5088500$
	4	$48 20^s.0$	54	$12 25^s.8$	$50^s.2$	$\Delta = - 134$
	5	$48 57^s.0$	55	$12 54^s.4$	$50^s.8$	$\delta = - 5$
	6	$49 27^s.1$	56	$13 23^s.4$	$50^s.3$	$\tau = - 1207$
	7	$49 55^s.0$	57	$13 51^s.0$	$50^s.0$	$\xi = - 492$
	8	$50 24^s.0$	58	$14 20^s.0$	$50^s.3$	
	9	$50 52^s.3$	59	$14 48^s.0$	$50^s.0$	$N_{24} = 0^s.5086722 \text{ in Sternzeit}$
	10	$51 22^s.1$	60	$15 18^s.4$	$50^s.3$	$N_{24} = 0^s.5072834 \text{ in mittlerer Zeit}$
$A = 13^{\circ}2 \quad T = 24^{\circ}04 \quad B = 758^{\circ}3 \text{ mm} \quad D = 0^{\circ}007$						
28	1	$4^h 42^m 13^s.0$	51	$5^h 0^m 17^s.0$	$50c = 24^m 4^s.0$	$c = 28^{\circ}8790$
	2	$42 43^s.0$	52	$0 40^s.7$	$3^s.7$	
	3	$43 11^s.5$	53	$7 15^s.4$	$3^s.9$	$s = 0^s.5088102$
	4	$43 40^s.7$	54	$7 44^s.4$	$3^s.7$	$\Delta = - 134$
	5	$44 9^s.3$	55	$8 13^s.2$	$3^s.9$	$\delta = - 5$
	6	$44 38^s.5$	56	$8 42^s.1$	$3^s.6$	$\tau = - 1214$
	7	$45 7^s.0$	57	$9 11^s.0$	$4^s.0$	$\xi = - 492$
	8	$45 30^s.1$	58	$9 30^s.0$	$3^s.8$	
	9	$46 4^s.8$	59	$10 8^s.0$	$3^s.8$	$N_{28} = 0^s.5080257 \text{ in Sternzeit}$
	10	$46 34^s.0$	60	$10 37^s.0$	$3^s.0$	$N_{28} = 0^s.5072370 \text{ in mittlerer Zeit}$
$A = 12^{\circ}9 \quad T = 24^{\circ}53 \quad B = 758^{\circ}1 \text{ mm} \quad D = 0^{\circ}008$						
35	1	$5^h 41^m 23^s.0$	51	$4^h 4^m 31^s.0$	$50c = 23^m 8^s.0$	$c = 27^{\circ}7504$
	2	$41 50^s.0$	52	$4 58^s.4$	$8^s.0$	
	3	$42 18^s.0$	53	$5 20^s.2$	$7^s.8$	$s = 0^s.5091712$
	4	$42 40^s.1$	54	$5 54^s.0$	$8^s.1$	$\Delta = - 134$
	5	$43 14^s.0$	55	$6 22^s.0$	$8^s.0$	$\delta = - 5$
	6	$43 41^s.0$	56	$6 40^s.4$	$8^s.0$	$\tau = - 1208$
	7	$44 0^s.0$	57	$7 17^s.2$	$7^s.8$	$\xi = - 492$
	8	$44 37^s.1$	58	$7 45^s.0$	$8^s.1$	
	9	$45 5^s.1$	59	$8 13^s.0$	$7^s.0$	$N_{35} = 0^s.5089873 \text{ in Sternzeit}$
	10	$45 32^s.0$	60	$8 40^s.0$	$8^s.0$	$N_{35} = 0^s.5075975 \text{ in mittlerer Zeit}$
$A = 12^{\circ}9 \quad T = 24^{\circ}44 \quad B = 758^{\circ}1 \text{ mm} \quad D = 0^{\circ}008$						
43	1	$6^h 30^m 32^s.1$	51	$5^h 59^m 3^s.9$	$50c = 23^m 31^s.8$	$c = 27^{\circ}0348$
	2	$30 59^s.7$	52	$59 31^s.3$	$31^s.0$	
	3	$37 20^s.1$	53	$59 58^s.0$	$31^s.0$	$s = 0^s.5094217$
	4	$37 53^s.8$	54	$0 25^s.4$	$31^s.0$	$\Delta = - 134$
	5	$38 20^s.2$	55	$0 51^s.7$	$31^s.5$	$\delta = - 5$
	6	$38 42^s.8$	56	$1 19^s.0$	$31^s.8$	$\tau = - 1204$
	7	$39 14^s.1$	57	$1 45^s.8$	$31^s.7$	$\xi = - 492$
	8	$39 41^s.8$	58	$2 13^s.0$	$32^s.1$	
	9	$40 8^s.1$	59	$2 39^s.0$	$31^s.5$	$N_{43} = 0^s.5092382 \text{ in Sternzeit}$
	10	$40 36^s.1$	60	$3 8^s.0$	$31^s.0$	$N_{43} = 0^s.5078478 \text{ in mittlerer Zeit}$

Pendel	Nr. der Coincidens	Uhrzeit der Coincidens	Nr. der Coincidens	Uhrzeit der Coincidens	Beobachtete Dauer von 50 Coincidensen	Berechnung der Schwingungsdauer
18. November 1895 a. m.						
$A = 13^{\circ}2 \quad T = 22^{\circ}33 \quad H = 758^{\circ}4 \text{ mm} \quad D = 0^{\circ}910$						
24	1	9 ^h 32 ^m 9 ^s 4	51	9 ^h 50 ^m 7 ^s 1	50 ^c = 23 ^m 57 ^s 7	$e = 28^{\circ}7534$
	2	32 37 ^s 9	52	50 35 ^s 0	57 ^s 7	$\Delta = 0^{\circ}508\ 8484$
	3	33 0 ^s 9	53	57 4 ^s 6	57 ^s 0	$\mu = 140$
	4	33 35 ^s 4	54	57 33 ^s 0	57 ^s 6	$\tau = 1100$
	5	34 4 ^s 5	55	58 2 ^s 1	57 ^s 6	$\delta = 496$
	6	34 32 ^s 8	56	58 30 ^s 5	57 ^s 7	
	7	35 2 ^s 0	57	58 59 ^s 7	57 ^s 7	
	8	35 30 ^s 4	58	59 28 ^s 1	57 ^s 7	
	9	35 59 ^s 0	59	59 57 ^s 2	57 ^s 6	$S_{24} = 0^{\circ}508\ 0743$ in Sternzeit
	10	36 27 ^s 7	60	10 0 25 ^s 4	57 ^s 7	$S_{24} = 0^{\circ}507\ 2855$ in mittlerer Zeit
$A = 12^{\circ}9 \quad T = 22^{\circ}73 \quad H = 758^{\circ}5 \text{ mm} \quad D = 0^{\circ}915$						
25	1	10 ^h 39 ^m 6 ^s 4	51	11 ^h 3 ^m 11 ^s 3	50 ^c = 24 ^m 4 ^s 8	$e = 28^{\circ}8084$
	2	39 35 ^s 0	52	4 40 ^s 4	4 ^s 8	$\Delta = 0^{\circ}508\ 8033$
	3	40 4 ^s 2	53	4 9 ^s 1	4 ^s 9	$\mu = 140$
	4	40 33 ^s 2	54	4 38 ^s 1	4 ^s 9	$\tau = 1120$
	5	41 2 ^s 0	55	5 6 ^s 7	4 ^s 7	$\delta = 496$
	6	41 31 ^s 0	56	5 30 ^s 0	5 ^s 0	
	7	41 59 ^s 0	57	6 4 ^s 0	5 ^s 0	
	8	42 28 ^s 8	58	6 33 ^s 8	5 ^s 0	$S_{25} = 0^{\circ}508\ 0272$ in Sternzeit
	9	42 57 ^s 0	59	7 2 ^s 6	5 ^s 0	$S_{25} = 0^{\circ}507\ 2185$ in mittlerer Zeit
	10	43 26 ^s 0	60	7 31 ^s 6	5 ^s 0	
$A = 12^{\circ}4 \quad T = 22^{\circ}09 \quad H = 759^{\circ}2 \text{ mm} \quad D = 0^{\circ}914$						
25	1	11 ^h 43 ^m 13 ^s 6	51	12 ^h 6 ^m 22 ^s 7	50 ^c = 23 ^m 9 ^s 1	$e = 27^{\circ}7870$
	2	43 41 ^s 0	52	6 51 ^s 0	9 ^s 4	$\Delta = 0^{\circ}509\ 1018$
	3	44 9 ^s 1	53	7 18 ^s 4	9 ^s 3	$\mu = 140$
	4	44 37 ^s 1	54	7 40 ^s 0	9 ^s 5	$\tau = 1132$
	5	45 4 ^s 0	55	8 13 ^s 9	9 ^s 3	$\delta = 495$
	6	45 32 ^s 6	56	8 42 ^s 1	9 ^s 5	
	7	46 3 ^s 3	57	9 9 ^s 5	9 ^s 2	
	8	46 28 ^s 3	58	9 37 ^s 8	9 ^s 5	$S_{25} = 0^{\circ}508\ 9847$ in Sternzeit
	9	46 55 ^s 0	59	10 5 ^s 1	9 ^s 5	$S_{25} = 0^{\circ}507\ 5950$ in mittlerer Zeit
	10	47 23 ^s 8	60	10 33 ^s 3	9 ^s 5	
$A = 12^{\circ}0 \quad T = 23^{\circ}40 \quad H = 758^{\circ}9 \text{ mm} \quad D = 0^{\circ}912$						
63	1	12 ^h 47 ^m 51 ^s 3	51	1 ^h 10 ^m 23 ^s 7	50 ^c = 22 ^m 32 ^s 4	$e = 27^{\circ}0400$
	2	48 18 ^s 5	52	10 50 ^s 0	32 ^s 1	$\Delta = 0^{\circ}509\ 4198$
	3	48 45 ^s 4	53	11 17 ^s 4	32 ^s 0	$\mu = 140$
	4	49 12 ^s 6	54	11 44 ^s 5	31 ^s 9	$\tau = 1150$
	5	49 39 ^s 5	55	12 11 ^s 5	32 ^s 0	$\delta = 494$
	6	50 6 ^s 0	56	12 38 ^s 0	32 ^s 0	
	7	50 23 ^s 6	57	13 5 ^s 5	31 ^s 9	
	8	51 0 ^s 8	58	13 32 ^s 0	31 ^s 8	$S_{63} = 0^{\circ}509\ 2403$ in Sternzeit
	9	51 27 ^s 0	59	13 59 ^s 0	32 ^s 0	$S_{63} = 0^{\circ}507\ 8500$ in mittlerer Zeit
	10	51 54 ^s 9	60	14 26 ^s 8	31 ^s 9	

Pendel	Nr. der Coincidenz	Uhrzeit der Coincidenz	Nr. der Coincidenz	Uhrzeit der Coincidenz	Beobachtete Dauer von 50 Coincidenzen	Berechnung der Schwingungsdauer
St. Johns, 22. November 1895 a. m.						
$A = 15^{\circ}4 \quad T = 22^{\circ}21 \quad B = 757^{\circ}7 \text{ mm} \quad D = 0^{\circ}915$						
24	1	10 ^h 9 ^m 22 ^s .0	51	10 ^h 31 ^m 31 ^s .6	50 c = 24 ^m 8 ^s .7	$e = 28^{\circ} 07.34$
	2	9 51 ^s .6	52	34 0 3	8 ^s .7	
	3	10 20 ^s .8	53	34 20 ^s .9	8 ^s .8	$s = 0^{\circ} 508 7801$
	4	10 40 ^s .5	54	34 58 ^s .1	8 ^s .6	$n = \dots 98$
	5	11 18 ^s .7	55	35 27 ^s .5	8 ^s .8	$\Delta = \dots u$
	6	11 47 ^s .4	56	35 55 ^s .9	8 ^s .5	$\tau = \dots 1094$
	7	12 16 ^s .0	57	36 25 ^s .4	8 ^s .8	$\delta = \dots 460$
	8	12 45 ^s .4	58	36 54 ^s .0	8 ^s .6	
	9	13 14 ^s .9	59	37 23 ^s .3	8 ^s .7	$N_{14} = 0^{\circ} 508 0107 \text{ in Sternzeit}$
	10	13 43 ^s .3	60	37 51 ^s .8	8 ^s .5	$N_{14} = 0^{\circ} 507 2220 \text{ in mittlerer Zeit}$
$A = 13^{\circ}2 \quad T = 22^{\circ}09 \quad B = 758^{\circ}4 \text{ mm} \quad D = 0^{\circ}913$						
28	1	11 ^h 18 ^m 30 ^s .5	51	11 ^h 42 ^m 46 ^s .4	50 c = 24 ^m 15 ^s .9	$e = 20^{\circ} 135.2$
	2	18 59 ^s .6	52	43 10 1	16 ^s .5	
	3	10 28 ^s .6	53	43 44 ^s .6	16 ^s .6	$s = 0^{\circ} 508 7330$
	4	19 57 ^s .9	54	44 14 3	16 ^s .4	$n = \dots 98$
	5	20 20 ^s .7	55	44 42 ^s .0	15 ^s .9	$\Delta = \dots 5$
	6	20 50 ^s .1	56	45 12 7	16 ^s .6	$\tau = \dots 1132$
	7	21 24 ^s .9	57	45 41 ^s .1	16 ^s .2	$\delta = \dots 495$
	8	21 54 ^s .4	58	46 10 ^s .9	16 ^s .5	
	9	22 23 ^s .2	59	46 39 ^s .4	16 ^s .2	$N_{18} = 0^{\circ} 508 5600 \text{ in Sternzeit}$
	10	23 2 ^s .7	60	47 9 ^s .1	16 ^s .4	$N_{18} = 0^{\circ} 507 1720 \text{ in mittlerer Zeit}$
$A = 13^{\circ}4 \quad T = 23^{\circ}94 \quad B = 758^{\circ}3 \text{ mm} \quad D = 0^{\circ}910$						
35	1	12 ^h 20 ^m 0 ^s .4	51	12 ^h 43 ^m 19 ^s .4	50 c = 23 ^m 19 ^s .0	$e = 27^{\circ} 978.2$
	2	20 28 ^s .1	52	43 47 ^s .0	18 ^s .6	
	3	20 50 ^s .1	53	44 15 ^s .1	19 ^s .0	$s = 0^{\circ} 509 0984$
	4	21 24 ^s .0	54	44 43 ^s .0	19 ^s .0	$n = \dots 98$
	5	21 52 ^s .3	55	45 11 ^s .3	19 ^s .0	$\Delta = \dots 5$
	6	22 19 ^s .8	56	45 38 ^s .6	18 ^s .8	$\tau = \dots 1179$
	7	22 48 ^s .3	57	46 7 ^s .3	19 ^s .0	$\delta = \dots 493$
	8	23 10 ^s .0	58	46 34 ^s .0	18 ^s .6	
	9	23 44 ^s .0	59	47 3 ^s .1	19 ^s .1	$N_{15} = 0^{\circ} 508 0200 \text{ in Sternzeit}$
	10	24 11 ^s .9	60	47 30 ^s .6	18 ^s .7	$N_{15} = 0^{\circ} 507 5310 \text{ in mittlerer Zeit}$
$A = 13^{\circ}2 \quad T = 25^{\circ}26 \quad B = 758^{\circ}0 \text{ mm} \quad D = 0^{\circ}905$						
63	1	1 ^h 26 ^m 26 ^s .6	51	1 ^h 43 ^m 8 ^s .1	50 c = 22 ^m 41 ^s .7	$e = 27^{\circ} 228.2$
	2	20 53 ^s .7	52	43 35 ^s .3	41 ^s .6	
	3	21 31 ^s .1	53	44 2 ^s .0	41 ^s .5	$s = 0^{\circ} 509 3534$
	4	21 48 ^s .4	54	44 20 ^s .7	41 ^s .3	$n = \dots 98$
	5	22 15 ^s .7	55	44 57 ^s .1	41 ^s .4	$\Delta = \dots 5$
	6	22 42 ^s .0	56	45 24 ^s .0	41 ^s .4	$\tau = \dots 1244$
	7	23 10 ^s .3	57	45 51 ^s .5	41 ^s .2	$\delta = \dots 491$
	8	23 37 ^s .3	58	46 18 ^s .0	41 ^s .3	
	9	24 4 ^s .0	59	46 46 ^s .0	41 ^s .4	$N_{63} = 0^{\circ} 509 1100 \text{ in Sternzeit}$
	10	24 31 ^s .7	60	47 13 ^s .2	41 ^s .5	$N_{63} = 0^{\circ} 507 7794 \text{ in mittlerer Zeit}$

Periode	Nr. der Coincidenzen	Uhrzeit der Coincidenz	Nr. der Coincidenzen	Uhrzeit der Coincidenz	beobachtete Dauer von 50 Coincidenzen	Berechnung der Schwingungsdauer
22. November 1895 p. m.						
$A = 12^h 6$ $T = 25^m 04$ $B = 757^s 5$ mm $D = 0^s 904$						
24	1	$2^h 45^m 55^s 9$	51	$3^h 10^m 2^s 1$	$50^s c = 24^m 10^s 2$	$c = 28^s 0303$
	2	$40 25^s 0$	52	$10 31^s 0$	$0^s 0$	
	3	$40 53^s 6$	53	$11 0^s 0$	$0^s 4$	$s = 0^s 508 7934$
	4	$47 22^s 7$	54	$11 20^s 0$	$0^s 0$	$u = \dots 127$
	5	$47 51^s 0$	55	$11 57^s 0$	$0^s 3$	$\Delta = \dots 5$
	6	$48 20^s 6$	56	$12 27^s 4$	$0^s 8$	$\tau = \dots 1263$
	7	$48 49^s 4$	57	$12 56^s 0$	$0^s 0$	$\xi = \dots 400$
	8	$49 18^s 5$	58	$13 25^s 0$	$0^s 5$	
	9	$49 47^s 4$	59	$13 53^s 7$	$0^s 3$	$N_{24} = 0^s 508 8049$ in Sternzeit
	10	$50 16^s 4$	60	$14 22^s 9$	$0^s 5$	$N_{24} = 0^s 507 2103$ in mittlerer Zeit
$A = 13^h 6$ $T = 25^m 00$ $B = 756^s 9$ mm $D = 0^s 904$						
28	1	$2^h 44^m 57^s 9$	51	$4^h 0^m 11^s 6$	$50^s c = 24^m 14^s 1$	$c = 29^s 0816$
	2	$45 30^s 4$	52	$0 40^s 4$	$14^s 0$	
	3	$45 55^s 0$	53	$10 0^s 7$	$14^s 0$	$s = 0^s 508 7470$
	4	$46 24^s 5$	54	$10 38^s 0$	$14^s 1$	$u = \dots 127$
	5	$46 53^s 8$	55	$11 8^s 0$	$14^s 2$	$\Delta = \dots 5$
	6	$47 22^s 7$	56	$11 36^s 7$	$14^s 0$	$\tau = \dots 1263$
	7	$47 52^s 1$	57	$12 0^s 0$	$13^s 9$	$\xi = \dots 400$
	8	$48 20^s 6$	58	$12 34^s 9$	$14^s 3$	
	9	$48 50^s 0$	59	$13 4^s 1$	$14^s 1$	$N_{28} = 0^s 508 5587$ in Sternzeit
	10	$49 19^s 0$	60	$13 33^s 0$	$14^s 0$	$N_{28} = 0^s 507 1701$ in mittlerer Zeit
$A = 13^h 4$ $T = 25^m 55$ $B = 759^s 6$ mm $D = 0^s 904$						
35	1	$4^h 46^m 23^s 8$	51	$5^h 9^m 40^s 6$	$50^s c = 23^m 16^s 8$	$c = 27^s 9404$
	2	$46 51^s 4$	52	$9 8^s 0$	$17^s 2$	
	3	$47 19^s 8$	53	$10 30^s 5$	$16^s 7$	$s = 0^s 500 1107$
	4	$47 47^s 4$	54	$10 4^s 6$	$17^s 2$	$u = \dots 127$
	5	$48 18^s 6$	55	$11 32^s 4$	$16^s 8$	$\Delta = \dots 5$
	6	$48 43^s 3$	56	$11 0^s 3$	$17^s 0$	$\tau = \dots 1250$
	7	$49 11^s 0$	57	$12 38^s 3$	$17^s 3$	$\xi = \dots 400$
	8	$49 39^s 1$	58	$13 50^s 3$	$17^s 2$	
	9	$50 7^s 1$	59	$13 24^s 9$	$17^s 1$	$N_{35} = 0^s 508 9226$ in Sternzeit
	10	$50 35^s 4$	60	$13 52^s 3$	$16^s 9$	$N_{35} = 0^s 507 5330$ in mittlerer Zeit
$A = 13^h 2$ $T = 25^m 42$ $B = 756^s 4$ mm $D = 0^s 904$						
101	1	$5^h 40^m 12^s 3$	51	$6^h 8^m 52^s 3$	$50^s c = 22^m 39^s 8$	$c = 27^s 1056$
	2	$40 30^s 5$	52	$9 19^s 0$	$39^s 8$	
	3	$47 0^s 7$	53	$0 46^s 7$	$40^s 0$	$s = 0^s 509 3647$
	4	$47 34^s 9$	54	$10 13^s 8$	$39^s 7$	$u = \dots 127$
	5	$48 1^s 0$	55	$10 41^s 1$	$40^s 1$	$\Delta = \dots 5$
	6	$48 28^s 6$	56	$11 8^s 1$	$39^s 5$	$\tau = \dots 1253$
	7	$48 55^s 0$	57	$11 35^s 6$	$40^s 0$	$\xi = \dots 400$
	8	$49 23^s 0$	58	$12 2^s 1$	$39^s 3$	
	9	$49 50^s 0$	59	$12 30^s 0$	$40^s 0$	$N_{101} = 0^s 509 1273$ in Sternzeit
	10	$50 17^s 2$	60	$12 56^s 9$	$39^s 7$	$N_{101} = 0^s 507 7870$ in mittlerer Zeit

Pendel	No. der Coincidenz	Uhrzeit der Coincidenz	No. der Coincidenz	Uhrzeit der Coincidenz	Beobachtete Dauer von 50 Coincidenzen	Berechnung der Schwingungsdauer
Berenice, 25. November 1895 a. m.						
$A = 13^{\circ} 3' \quad T = 21^{\circ} 14' \quad B = 702.5 \text{ mm} \quad D = 0.925$						
24	1	$10^h 59^m 10^s.9$	51	$11^h 23^m 20^s.0$	$50.0 = 24^m 2^s.7$	$e = 28^s.3008$
	2	$59 50.0$	52	$23 50.1$	$3^s.1$	$\mu = 0^s.508 8150$
	3	$0 24.5$	53	$24 57.5$	$3^s.0$	$\lambda = 107$
	4	$0 53.7$	54	$24 57.0$	$3^s.3$	$\tau = 1041$
	5	$1 22.4$	55	$25 25.1$	$2^s.7$	$\delta = 501$
	6	$1 51.4$	56	$25 54.0$	$3^s.2$	$S_{21} = 0.508 8490$ in Sternzeit
	7	$2 20.0$	57	$26 23.0$	$3^s.0$	$S_{21} = 0.507 2008$ in mittlerer Zeit
	8	$2 49.1$	58	$26 52.2$	$3^s.1$	
	9	$3 17.0$	59	$27 20.0$	$3^s.0$	
	10	$3 46.7$	60	$27 50.0$	$3^s.3$	
$A = 13^{\circ} 3' \quad T = 21^{\circ} 75' \quad B = 702.7 \text{ mm} \quad D = 0.924$						
28	1	$12^h 2^m 45^s.2$	51	$12^h 20^m 53^s.2$	$50.0 = 24^m 10^s.0$	$e = 20^s.0118$
	2	$3 11.4$	52	$27 22.5$	$11^s.1$	$\mu = 0^s.508 7082$
	3	$3 41.7$	53	$27 51.0$	$10^s.2$	$\lambda = 107$
	4	$4 0.4$	54	$28 20.5$	$11^s.1$	$\tau = 5$
	5	$4 39.8$	55	$28 49.9$	$10^s.1$	$\delta = 1071$
	6	$5 7.4$	56	$29 18.0$	$11^s.2$	$\delta = 501$
	7	$5 37.9$	57	$29 47.8$	$9^s.9$	$S_{21} = 0.508 5998$ in Sternzeit
	8	$6 5.1$	58	$30 16.0$	$11^s.5$	$S_{21} = 0.507 2112$ in mittlerer Zeit
	9	$6 35.9$	59	$30 45.0$	$10^s.0$	
	10	$7 3.4$	60	$31 14.4$	$11^s.0$	
$A = 13^{\circ} 3' \quad T = 22^{\circ} 99' \quad B = 702.0 \text{ mm} \quad D = 0.918$						
35	1	$1^h 10^m 31^s.0$	51	$1^h 13^m 17^s.5$	$50.0 = 23^m 13^s.0$	$e = 27^s.8742$
	2	$10 31.0$	52	$33 45.4$	$13^s.5$	$\mu = 0^s.509 1320$
	3	$10 59.4$	53	$34 13.3$	$13^s.0$	$\lambda = 107$
	4	$11 27.0$	54	$34 41.1$	$13^s.5$	$\tau = 5$
	5	$11 55.1$	55	$35 8.0$	$13^s.8$	$\delta = 1132$
	6	$12 23.2$	56	$35 36.0$	$13^s.7$	$\delta = 408$
	7	$12 50.0$	57	$36 4.0$	$13^s.7$	$S_{21} = 0.508 9584$ in Sternzeit
	8	$13 39.0$	58	$36 32.6$	$13^s.0$	$S_{21} = 0.507 5089$ in mittlerer Zeit
	9	$14 6.0$	59	$37 0.4$	$13^s.8$	
	10	$14 14.7$	60	$37 28.4$	$13^s.7$	
$A = 13^{\circ} 3' \quad T = 24^{\circ} 50' \quad B = 701.4 \text{ mm} \quad D = 0.913$						
03	1	$2^h 3^m 30^s.4$	51	$2^h 30^m 11^s.0$	$50.0 = 22^m 30^s.0$	$e = 27^s.1310$
	2	$8 4.0$	52	$30 40.0$	$30^s.0$	$\mu = 0^s.509 3874$
	3	$8 30.7$	53	$31 7.3$	$30^s.6$	$\lambda = 107$
	4	$8 58.3$	54	$31 34.9$	$30^s.0$	$\tau = 5$
	5	$9 25.0$	55	$32 1.5$	$30^s.5$	$\delta = 1183$
	6	$9 52.5$	56	$32 29.1$	$30^s.0$	$\delta = 405$
	7	$10 19.4$	57	$32 55.0$	$30^s.5$	$S_{21} = 0.509 2084$ in Sternzeit
	8	$10 40.0$	58	$33 23.4$	$30^s.5$	$S_{21} = 0.507 8180$ in mittlerer Zeit
	9	$11 13.4$	59	$33 50.0$	$30^s.0$	
	10	$11 41.0$	60	$34 17.7$	$30^s.7$	

Pendel	Nr. der Coincidenz	Uhrzeit der Coincidenz	Nr. der Coincidenz	Uhrzeit der Coincidenz	Beobachtete Dauer von 50 Coincidenzen	Berechnung der Schwingungsdauer
Sherm Rábugh, 3. December 1895 p. m.						
$A = 12^h 4 \quad T = 29^s 03 \quad B = 760^{\circ} 3 \text{ mm} \quad D = 0^{\circ} 894$						
24	1	10 ^h 20 ^m 3 ^s	51	10 ^h 26 ^m 20 ^s 0	50 ^c = 23 ^m 55 ^s 9	$e = 28^{\circ} 7174$
	2	2 58 ^s 4	52	20 54 ^s 4	50 ^c 0	$a = 0^{\circ} 508 8508$
	3	3 27 ^s 8	53	27 23 ^s 3	55 ^s 5	$n = 110$
	4	3 55 ^s 7	54	27 51 ^s 0	50 ^c 2	$\Delta = 4$
	5	4 25 ^s 2	55	28 20 ^s 7	55 ^s 5	$\tau = 1430$
	6	4 53 ^s 1	56	28 40 ^s 2	50 ^c 1	$\delta = 485$
	7	5 22 ^s 0	57	29 18 ^s 3	55 ^s 7	$N_{24} = 0^{\circ} 508 0503 \text{ in Sternzeit}$
	8	5 50 ^s 6	58	29 46 ^s 0	50 ^c 0	$S_{24} = 0^{\circ} 507 2074 \text{ in mittlerer Zeit}$
	9	6 20 ^s 0	59	30 15 ^s 8	55 ^s 8	
	10	6 48 ^s 0	60	30 44 ^s 0	50 ^c 0	
$A = 12^h 7 \quad T = 29^s 11 \quad B = 760^{\circ} 5 \text{ mm} \quad D = 0^{\circ} 894$						
28	1	11 ^h 1 ^m 29 ^s 1	51	11 ^h 25 ^m 32 ^s 4	50 ^c = 24 ^m 3 ^s 3	$e = 28^{\circ} 8016$
	2	1 58 ^s 5	52	20 1 ^s 3	2 ^s 8	$a = 0^{\circ} 508 8148$
	3	2 20 ^s 7	53	20 30 ^s 1	3 ^s 4	$n = 110$
	4	2 50 ^s 2	54	20 59 ^s 0	2 ^s 8	$\Delta = 5$
	5	3 24 ^s 5	55	27 27 ^s 0	3 ^s 4	$\tau = 1434$
	6	3 53 ^s 0	56	27 56 ^s 6	2 ^s 7	$\delta = 485$
	7	4 22 ^s 2	57	28 25 ^s 0	3 ^s 4	$N_{28} = 0^{\circ} 508 0108 \text{ in Sternzeit}$
	8	4 51 ^s 6	58	28 54 ^s 4	2 ^s 8	$S_{28} = 0^{\circ} 507 2221 \text{ in mittlerer Zeit}$
	9	5 20 ^s 0	59	29 23 ^s 4	3 ^s 4	
	10	5 49 ^s 3	60	29 52 ^s 1	2 ^s 8	
$A = 12^h 4 \quad T = 29^s 02 \quad B = 760^{\circ} 3 \text{ mm} \quad D = 0^{\circ} 894$						
35	1	12 ^h 1 ^m 11 ^s 7	51	12 ^h 22 ^m 19 ^s 0	50 ^c = 23 ^m 7 ^s 3	$e = 27^{\circ} 7472$
	2	1 39 ^s 5	52	24 47 ^s 0	7 ^s 5	$a = 0^{\circ} 509 1752$
	3	2 7 ^s 1	53	25 14 ^s 4	7 ^s 3	$n = 110$
	4	2 35 ^s 1	54	25 42 ^s 5	7 ^s 4	$\Delta = 4$
	5	3 2 ^s 0	55	26 9 ^s 0	7 ^s 3	$\tau = 1430$
	6	3 30 ^s 0	56	26 38 ^s 0	7 ^s 4	$\delta = 485$
	7	3 58 ^s 1	57	27 5 ^s 4	7 ^s 3	$N_{35} = 0^{\circ} 508 9717 \text{ in Sternzeit}$
	8	4 20 ^s 1	58	27 33 ^s 5	7 ^s 4	$S_{35} = 0^{\circ} 507 5820 \text{ in mittlerer Zeit}$
	9	4 53 ^s 6	59	28 0 ^s 9	7 ^s 3	
	10	5 21 ^s 0	60	28 29 ^s 0	7 ^s 4	
$A = 12^h 4 \quad T = 29^s 02 \quad B = 760^{\circ} 3 \text{ mm} \quad D = 0^{\circ} 894$						
03	1	12 ^h 59 ^m 20 ^s 9	51	1 ^h 21 ^m 51 ^s 4	50 ^c = 22 ^m 30 ^s 5	$e = 27^{\circ} 0162$
	2	59 47 ^s 3	52	22 18 ^s 4	31 ^s 1	$a = 0^{\circ} 509 4281$
	3	1 0 14 ^s 9	53	22 45 ^s 4	30 ^s 5	$n = 110$
	4	0 44 ^s 4	54	23 12 ^s 4	31 ^s 0	$\Delta = 4$
	5	1 8 ^s 9	55	23 30 ^s 5	30 ^s 6	$\tau = 1430$
	6	1 35 ^s 4	56	24 0 ^s 4	31 ^s 0	$\delta = 485$
	7	2 2 ^s 9	57	24 33 ^s 0	30 ^s 7	$N_{03} = 0^{\circ} 509 2240 \text{ in Sternzeit}$
	8	2 20 ^s 4	58	25 0 ^s 4	31 ^s 0	$S_{03} = 0^{\circ} 507 8342 \text{ in mittlerer Zeit}$
	9	2 50 ^s 9	59	25 27 ^s 7	30 ^s 8	
	10	3 23 ^s 5	60	25 54 ^s 4	30 ^s 9	

Pendel	Nr. der Coincidenz	Uhrzeit der Coincidenz	Nr. der Coincidenz	Uhrzeit der Coincidenz	Beobachtete Dauer von 50 Coincidenzen	Berechnung der Schwingungsdauer
4. December 1885 p. m.						
$A = 12^{\circ} 7' \quad T = 28^{\circ} 46' \quad B = 750^{\circ} 8'' \text{ mm} \quad D = 0^{\circ} 80.3$						
24	1	5 ^h 10 ^m 52 ^s 3	51	5 ^h 30 ^m 48 ^s 0	50 ^c = 23 ^m 56 ^s 1	$e = 26^{\circ} 720.1$
	2	7 20 8	52	11 17 4	56 ^s 0	$e = 0^{\circ} 508 8570$
	3	7 49 0	53	11 10 1	50 ^s 2	$\mu = - 120$
	4	8 18 4	54	12 14 6	50 ^s 2	$\Delta = - 5$
	5	8 47 4	55	12 43 6	50 ^s 1	$\tau = - 140.2$
	6	9 15 8	56	13 12 3	50 ^s 1	$\delta = - 484$
	7	9 44 9	57	13 41 0	50 ^s 1	$\delta_{11} = 0^{\circ} 508 8559 \text{ in Sternzeit}$
	8	10 13 1	58	14 0 0	50 ^s 1	$\delta_{12} = 0^{\circ} 507 3671 \text{ in mittlerer Zeit}$
	9	10 42 3	59	14 38 4	50 ^s 1	
	10	11 10 4	60	15 7 0	50 ^s 0	
$A = 13^{\circ} 0' \quad T = 28^{\circ} 45' \quad B = 750^{\circ} 8'' \text{ mm} \quad D = 0^{\circ} 80.3$						
28	1	6 ^h 20 ^m 2 7	51	6 ^h 20 ^m 6 3	50 ^c = 24 ^m 3 6	$e = 26^{\circ} 8710$
	2	2 31 5	52	10 15 1	3 6	$e = 0^{\circ} 508 8118$
	3	1 0 4	53	22 4 0	3 6	$\mu = - 120$
	4	1 29 3	54	27 32 0	3 6	$\Delta = - 5$
	5	3 55 4	55	28 1 7	3 6	$\tau = - 140.2$
	6	4 27 0	56	28 30 10	3 6	$\delta = - 484$
	7	4 50 0	57	28 59 4	3 6	$\delta_{11} = 0^{\circ} 508 8107 \text{ in Sternzeit}$
	8	5 24 0	58	29 28 2	3 6	$\delta_{12} = 0^{\circ} 507 2220 \text{ in mittlerer Zeit}$
	9	5 53 6	59	29 57 1	3 6	
	10	6 22 5	60	30 26 2	3 7	
$A = 12^{\circ} 8' \quad T = 28^{\circ} 53' \quad B = 750^{\circ} 8'' \text{ mm} \quad D = 0^{\circ} 80.3$						
35	1	6 ^h 58 ^m 49 5	51	7 ^h 21 ^m 53 2	50 ^c = 23 ^m 7 7	$e = 27^{\circ} 512$
	2	49 17 0	52	22 25 0	7 4	$e = 0^{\circ} 509 1730$
	3	50 45 0	53	22 52 0	7 4	$\mu = - 120$
	4	7 0 1 1 0	54	23 20 6	7 4	$\Delta = - 4$
	5	0 40 5	55	23 48 1	7 5	$\tau = - 140.5$
	6	1 8 5	56	24 16 0	7 5	$\delta = - 484$
	7	1 30 0	57	24 43 0	7 4	$\delta_{11} = 0^{\circ} 508 9726 \text{ in Sternzeit}$
	8	2 4 0	58	25 11 5	7 5	$\delta_{12} = 0^{\circ} 507 5830 \text{ in mittlerer Zeit}$
	9	2 31 0	59	25 40 3	7 7	
	10	2 59 0	60	26 7 0	7 4	
$A = 12^{\circ} 7' \quad T = 28^{\circ} 49' \quad B = 757 2'' \text{ mm} \quad D = 0^{\circ} 80.3$						
63	1	7 ^h 53 ^m 32 4	51	8 ^h 10 ^m 2 7	50 ^c = 22 ^m 31 1	$e = 27^{\circ} 0330$
	2	51 40 5	52	10 30 7	31 2	$e = 0^{\circ} 509 1757$
	3	54 20 0	53	10 57 8	31 2	$\mu = - 120$
	4	54 51 5	54	12 24 7	31 2	$\Delta = - 5$
	5	55 20 7	55	17 51 7	31 3	$\tau = - 140.3$
	6	55 42 6	56	18 18 0	31 3	$\delta = - 484$
	7	50 11 7	57	18 45 8	31 3	$\delta_{11} = 0^{\circ} 509 2245 \text{ in Sternzeit}$
	8	50 41 0	58	19 12 9	31 3	$\delta_{12} = 0^{\circ} 507 8344 \text{ in mittlerer Zeit}$
	9	57 8 7	59	19 39 8	31 1	
	10	57 35 8	60	20 6 9	31 1	

Pendel	Nr. der Coincidenz	Uhrzeit der Coincidenz	Nr. der Coincidenz	Uhrzeit der Coincidenz	Beobachtete Dauer von 50 Coincidenzen	Berechnung der Schwingungsdauer
Yenbo, 24. December 1895 n. m.						
$A = 13^{\circ} 18' \quad T = 18^{\circ} 48' \quad B = 700^{\circ} 2 \text{ mm} \quad D = 0^{\circ} 931$						
24	1	$12^h 31^{m} 12^s.0$	51	$12^h 55^{m} 17^s.3$	$50^{\circ} 24^{m} 4^s.7$	$c = 28^{\circ} 59.14$
	2	31 41.8	52	55 40.4	4.0	$s = 0^{\circ} 508 8055$
	3	32 10.4	53	56 15.0	4.0	$n \text{ un} = 222$
	4	32 39.0	54	56 44.1	4.5	$\Delta = - 5$
	5	33 8.2	55	57 12.7	4.5	$\tau \text{ un} = 910$
	6	33 37.4	56	57 42.0	4.0	$\delta \text{ un} = 505$
	7	34 6.0	57	58 10.5	4.5	
	8	34 35.2	58	58 39.8	4.0	$N_{24} = 0^{\circ} 508 9413 \text{ in Sternzeit}$
	9	35 3.7	59	59 8.1	4.0	$N_{24} = 0^{\circ} 507 7535 \text{ in mittlerer Zeit}$
	10	35 33.0	60	59 37.5	4.5	
$A = 13^{\circ} 3' \quad T = 18^{\circ} 07' \quad B = 700^{\circ} 3 \text{ mm} \quad D = 0^{\circ} 929$						
28	1	$1^h 31^{m} 11^s.2$	51	$1^h 55^{m} 22^s.9$	$50^{\circ} 24^{m} 11^s.7$	$c = 29^{\circ} 0.308$
	2	31 40.0	52	55 51.0	11.0	$s = 0^{\circ} 508 7624$
	3	32 9.2	53	56 20.9	11.7	$n \text{ un} = 222$
	4	32 38.1	54	56 49.0	11.5	$\Delta = - 5$
	5	33 7.3	55	57 19.0	11.7	$\tau \text{ un} = 914$
	6	33 36.3	56	57 47.7	11.4	$\delta \text{ un} = 503$
	7	34 5.4	57	58 17.0	11.0	
	8	34 34.4	58	58 45.7	11.3	$N_{28} = 0^{\circ} 508 5900 \text{ in Sternzeit}$
	9	35 3.5	59	59 15.0	11.5	$N_{28} = 0^{\circ} 507 2074 \text{ in mittlerer Zeit}$
	10	35 32.4	60	59 43.8	11.4	
$A = 13^{\circ} 18' \quad T = 16^{\circ} 61' \quad B = 700^{\circ} 2 \text{ mm} \quad D = 0^{\circ} 927$						
15	1	$2^h 41^{m} 40^s.0$	51	$3^h 5^{m} 15^s.0$	$50^{\circ} 23^{m} 15^s.0$	$c = 27^{\circ} 09.80$
	2	42 17.0	52	5 12.0	15.0	$s = 0^{\circ} 509 1247$
	3	42 45.8	53	6 0.8	15.0	$n \text{ un} = 222$
	4	43 13.5	54	6 28.4	14.0	$\Delta = - 5$
	5	43 41.0	55	6 56.5	14.0	$\tau \text{ un} = 900$
	6	44 9.4	56	7 24.2	14.8	$\delta \text{ un} = 502$
	7	44 37.4	57	7 52.2	14.0	
	8	45 5.0	58	8 20.0	14.0	$N_{15} = 0^{\circ} 508 9552 \text{ in Sternzeit}$
	9	45 33.3	59	8 48.1	14.8	$N_{15} = 0^{\circ} 507 3657 \text{ in mittlerer Zeit}$
	10	46 1.0	60	9 15.8	14.8	
$A = 13^{\circ} 18' \quad T = 20^{\circ} 25' \quad B = 700^{\circ} 0 \text{ mm} \quad D = 0^{\circ} 920$						
13	1	$3^h 42^{m} 57^s.0$	51	$4^h 5^{m} 15^s.5$	$50^{\circ} 22^{m} 37^s.9$	$c = 27^{\circ} 15.88$
	2	43 25.0	52	6 2.0	37.9	$s = 0^{\circ} 509 3778$
	3	43 54.0	53	6 29.0	38.0	$n \text{ un} = 222$
	4	44 19.3	54	6 57.2	37.9	$\Delta = - 5$
	5	44 46.2	55	7 24.3	38.4	$\tau \text{ un} = 917$
	6	45 13.5	56	7 51.4	37.9	$\delta \text{ un} = 502$
	7	45 40.5	57	8 18.5	38.0	
	8	46 7.0	58	8 45.9	38.0	$N_{13} = 0^{\circ} 509 2052 \text{ in Sternzeit}$
	9	46 34.0	59	9 12.7	37.5	$N_{13} = 0^{\circ} 507 8150 \text{ in mittlerer Zeit}$
	10	47 2.2	60	9 40.1	37.9	

Pendel	Nr. der Coincidenz	Uhrzeit der Coincidenz	Nr. der Coincidenz	Uhrzeit der Coincidenz	Beobachtete Dauer von 50 Coincidenzen	Berechnung der Schwingungsdauer
25. December 1895 p. m.						
$A = 13^{\circ} 8' \quad T = 21^{\circ} 68' \quad B = 750^{\circ} 4 \text{ mm} \quad D = 0^{\circ} 921$						
24	1	5 ^h 40 ^m 19 ^s 4	51	11 ^h 10 ^m 23 ^s 1	50 e = 24 ^m 3 ^s 7	$e = 24^{\circ} 8718$
	2	40 48 1	52	10 51 3	3 ^s 5	
	3	47 17 2	53	11 20 0	3 ^s 5	$a = 0^{\circ} 508 5116$
	4	47 45 0	54	11 49 4	3 ^s 5	$w = - 175$
	5	48 15 0	55	12 18 0	3 ^s 0	$\Delta = - 5$
	6	48 43 0	56	12 47 1	3 ^s 7	$\tau = - 1038$
	7	49 12 8	57	13 16 4	3 ^s 0	$\delta = - 400$
	8	49 41 4	58	13 45 0	3 ^s 0	$N_{24} = 0^{\circ} 508 6399$ in Sternzeit
	9	50 10 5	59	14 14 1	3 ^s 0	$S_{24} = 0^{\circ} 507 2510$ in mittlerer Zeit
	10	50 39 0	60	14 42 4	3 ^s 4	
$A = 13^{\circ} 8' \quad T = 21^{\circ} 45' \quad B = 750^{\circ} 1 \text{ mm} \quad D = 0^{\circ} 919$						
28	1	6 ^h 47 ^m 48 ^s 6	51	7 ^h 11 ^m 52 ^s 2	50 e = 24 ^m 10 ^s 6	$e = 24^{\circ} 29^{\circ} 1010$
	2	48 16 3	52	11 21 0	10 ^s 7	
	3	48 30 7	53	12 50 3	10 ^s 6	$a = 0^{\circ} 508 7070$
	4	49 8 4	54	13 19 1	10 ^s 7	$w = - 175$
	5	49 37 7	55	13 48 3	10 ^s 6	$\Delta = - 5$
	6	50 6 1	56	14 17 1	10 ^s 7	$\tau = - 1057$
	7	50 35 7	57	14 46 3	10 ^s 6	$\delta = - 498$
	8	51 4 4	58	15 15 1	10 ^s 7	$N_{28} = 0^{\circ} 508 5444$ in Sternzeit
	9	51 33 8	59	15 44 1	10 ^s 6	$S_{28} = 0^{\circ} 507 2058$ in mittlerer Zeit
	10	52 2 4	60	16 13 1	10 ^s 7	
$A = 13^{\circ} 8' \quad T = 21^{\circ} 73' \quad B = 750^{\circ} 4 \text{ mm} \quad D = 0^{\circ} 910$						
35	1	7 ^h 40 ^m 48 ^s 0	51	8 ^h 13 ^m 18 ^s 2	50 e = 23 ^m 14 ^s 3	$e = 23^{\circ} 8848$
	2	50 14 7	52	13 20 0	14 ^s 3	
	3	50 42 8	53	13 57 0	14 ^s 7	$a = 0^{\circ} 509 1293$
	4	51 10 5	54	14 24 7	14 ^s 2	$w = - 175$
	5	51 38 4	55	14 52 7	14 ^s 3	$\Delta = - 5$
	6	52 6 3	56	15 20 5	14 ^s 2	$\tau = - 1070$
	7	52 34 3	57	15 48 4	14 ^s 1	$\delta = - 498$
	8	53 2 0	58	16 16 1	14 ^s 4	$N_{35} = 0^{\circ} 509 9545$ in Sternzeit
	9	53 30 1	59	16 44 1	14 ^s 2	$S_{35} = 0^{\circ} 507 5850$ in mittlerer Zeit
	10	53 57 7	60	17 12 0	14 ^s 3	
$A = 13^{\circ} 5' \quad T = 21^{\circ} 74' \quad B = 750^{\circ} 3 \text{ mm} \quad D = 0^{\circ} 919$						
63	1	8 ^h 51 ^m 52 ^s 4	51	9 ^h 14 ^m 20 ^s 7	50 e = 22 ^m 37 ^s 3	$e = 22^{\circ} 1414$
	2	52 19 0	52	14 57 1	37 ^s 2	
	3	52 46 6	53	15 24 1	37 ^s 5	$a = 0^{\circ} 509 1821$
	4	53 14 1	54	15 51 4	37 ^s 3	$w = - 175$
	5	53 41 0	55	16 18 4	37 ^s 4	$\Delta = - 5$
	6	54 8 5	56	16 45 7	37 ^s 2	$\tau = - 1073$
	7	54 36 3	57	17 12 5	37 ^s 1	$\delta = - 498$
	8	55 4 8	58	17 40 1	37 ^s 3	$N_{63} = 0^{\circ} 509 2072$ in Sternzeit
	9	55 29 6	59	18 6 7	37 ^s 1	$S_{63} = 0^{\circ} 507 8170$ in mittlerer Zeit
	10	55 57 1	60	18 34 1	37 ^s 3	

Pendel	Nr. der Umdrehung	Uhrzeit der Coincidenz	Nr. der Umdrehung	Uhrzeit der Coincidenz	Beobachtete Dauer von 50 Coincidenzen	Berechnung der Schwingungsdauer
Sherm Sheikh, 31. December 1895 a. m.						
$A = 13^{\circ}4 \quad T = 10^{\circ}510 \quad R = 759^{\circ}7 \text{ mm} \quad D = 0^{\circ}942$						
24	1	$3^{\text{h}} 11^{\text{m}} 1$	51	$1^{\text{h}} 27^{\text{m}} 19^{\text{s}} 2$	$50^{\text{e}} = 24^{\text{m}} 8^{\text{s}} 1$	$c = 28^{\text{s}} 9584$
	2	$3 40^{\text{s}} 8$	52	$27 45^{\text{s}} 2$	$7^{\text{s}} 0$	$\Delta = 0^{\circ} 508 7848$
	3	$4 0^{\text{s}} 0$	53	$28 17^{\text{s}} 0$	$15^{\text{s}} 0$	$\mu = 108$
	4	$4 38^{\text{s}} 2$	54	$28 40^{\text{s}} 4$	$7^{\text{s}} 0$	$\Delta = 0^{\circ} 508 7848$
	5	$5 0^{\text{s}} 0$	55	$29 18^{\text{s}} 0$	$8^{\text{s}} 0$	$\mu = 108$
	6	$5 36^{\text{s}} 3$	56	$29 44^{\text{s}} 1$	$7^{\text{s}} 8$	$\Delta = 0^{\circ} 508 7848$
	7	$6 4^{\text{s}} 7$	57	$30 12^{\text{s}} 7$	$8^{\text{s}} 0$	$\mu = 108$
	8	$6 34^{\text{s}} 8$	58	$30 11^{\text{s}} 9$	$2^{\text{s}} 8$	$\Delta = 0^{\circ} 508 7848$
	9	$7 2^{\text{s}} 7$	59	$31 16^{\text{s}} 7$	$8^{\text{s}} 0$	$\mu = 108$
	10	$7 32^{\text{s}} 1$	60	$31 39^{\text{s}} 3$	$7^{\text{s}} 8$	$\Delta = 0^{\circ} 508 7848$
$A = 12^{\circ}9 \quad T = 17^{\circ}05 \quad R = 700^{\circ}5 \text{ mm} \quad D = 0^{\circ}938$						
28	1	$2^{\text{h}} 0^{\text{m}} 30^{\text{s}} 7$	51	$2^{\text{h}} 30^{\text{m}} 46^{\text{s}} 1$	$50^{\text{e}} = 24^{\text{m}} 15^{\text{s}} 4$	$c = 29^{\text{s}} 1132$
	2	$0 50^{\text{s}} 5$	52	$31 15^{\text{s}} 3$	$15^{\text{s}} 8$	$\Delta = 0^{\circ} 508 7373$
	3	$7 28^{\text{s}} 9$	53	$31 44^{\text{s}} 4$	$15^{\text{s}} 5$	$\mu = 108$
	4	$7 57^{\text{s}} 0$	54	$32 13^{\text{s}} 1$	$15^{\text{s}} 8$	$\Delta = 0^{\circ} 508 7373$
	5	$8 27^{\text{s}} 1$	55	$32 42^{\text{s}} 0$	$15^{\text{s}} 5$	$\mu = 108$
	6	$8 55^{\text{s}} 8$	56	$33 11^{\text{s}} 0$	$15^{\text{s}} 8$	$\Delta = 0^{\circ} 508 7373$
	7	$9 25^{\text{s}} 3$	57	$33 41^{\text{s}} 0$	$15^{\text{s}} 7$	$\mu = 108$
	8	$9 54^{\text{s}} 1$	58	$34 9^{\text{s}} 9$	$15^{\text{s}} 8$	$\Delta = 0^{\circ} 508 7373$
	9	$10 23^{\text{s}} 5$	59	$34 30^{\text{s}} 1$	$15^{\text{s}} 4$	$\mu = 108$
	10	$10 52^{\text{s}} 4$	60	$35 8^{\text{s}} 1$	$15^{\text{s}} 7$	$\Delta = 0^{\circ} 508 7373$
$A = 12^{\circ}6 \quad T = 18^{\circ}38 \quad R = 759^{\circ}8 \text{ mm} \quad D = 0^{\circ}931$						
35	1	$3^{\text{h}} 16^{\text{m}} 42^{\text{s}} 3$	51	$3^{\text{h}} 10^{\text{m}} 30^{\text{s}} 0$	$50^{\text{e}} = 23^{\text{m}} 18^{\text{s}} 6$	$c = 27^{\text{s}} 0002$
	2	$10 40^{\text{s}} 1$	52	$39 58^{\text{s}} 0$	$18^{\text{s}} 6$	$\Delta = 0^{\circ} 509 1010$
	3	$12 8^{\text{s}} 3$	53	$40 28^{\text{s}} 7$	$18^{\text{s}} 4$	$\mu = 108$
	4	$17 39^{\text{s}} 1$	54	$40 58^{\text{s}} 0$	$18^{\text{s}} 5$	$\Delta = 0^{\circ} 509 1010$
	5	$18 4^{\text{s}} 3$	55	$41 22^{\text{s}} 7$	$18^{\text{s}} 4$	$\mu = 108$
	6	$18 32^{\text{s}} 1$	56	$41 50^{\text{s}} 5$	$18^{\text{s}} 4$	$\Delta = 0^{\circ} 509 1010$
	7	$19 4^{\text{s}} 2$	57	$42 18^{\text{s}} 7$	$18^{\text{s}} 5$	$\mu = 108$
	8	$19 28^{\text{s}} 0$	58	$42 40^{\text{s}} 5$	$18^{\text{s}} 5$	$\Delta = 0^{\circ} 509 1010$
	9	$20 50^{\text{s}} 1$	59	$43 14^{\text{s}} 1$	$18^{\text{s}} 3$	$\mu = 108$
	10	$20 21^{\text{s}} 0$	60	$43 42^{\text{s}} 4$	$18^{\text{s}} 5$	$\Delta = 0^{\circ} 509 1010$
$A = 12^{\circ}9 \quad T = 19^{\circ}76 \quad R = 700^{\circ}1 \text{ mm} \quad D = 0^{\circ}927$						
63	1	$4^{\text{h}} 14^{\text{m}} 37^{\text{s}} 1$	51	$4^{\text{h}} 37^{\text{m}} 18^{\text{s}} 1$	$50^{\text{e}} = 22^{\text{m}} 41^{\text{s}} 0$	$c = 27^{\text{s}} 2186$
	2	$15 5^{\text{s}} 0$	52	$37 15^{\text{s}} 0$	$40^{\text{s}} 9$	$\Delta = 0^{\circ} 509 3508$
	3	$15 32^{\text{s}} 1$	53	$38 13^{\text{s}} 0$	$40^{\text{s}} 8$	$\mu = 108$
	4	$15 50^{\text{s}} 4$	54	$38 40^{\text{s}} 2$	$40^{\text{s}} 8$	$\Delta = 0^{\circ} 509 3508$
	5	$16 20^{\text{s}} 4$	55	$39 7^{\text{s}} 3$	$41^{\text{s}} 0$	$\mu = 108$
	6	$16 53^{\text{s}} 8$	56	$39 34^{\text{s}} 7$	$40^{\text{s}} 9$	$\Delta = 0^{\circ} 509 3508$
	7	$17 20^{\text{s}} 0$	57	$40 1^{\text{s}} 9$	$41^{\text{s}} 0$	$\mu = 108$
	8	$17 48^{\text{s}} 2$	58	$40 20^{\text{s}} 0$	$40^{\text{s}} 8$	$\Delta = 0^{\circ} 509 3508$
	9	$18 15^{\text{s}} 4$	59	$40 50^{\text{s}} 4$	$41^{\text{s}} 0$	$\mu = 108$
	10	$18 42^{\text{s}} 0$	60	$41 23^{\text{s}} 0$	$41^{\text{s}} 0$	$\Delta = 0^{\circ} 509 3508$

Pendel	Nr. der Coincidenz	Uhrzeit der Coincidenz	Nr. der Coincidenz	Uhrzeit der Coincidenz	Beobachtete Dauer von 50 Coincidenzen	Berechnung der Schwingungsdauer
31. December 1895 p. m.						
$A = 12^{\circ}9 \quad T = 21^{\circ}24 \quad R = 758^{\circ}5 \text{ mm} \quad D = 0^{\circ}020$						
24	1	43 ^m 43 ^s 0	51	7 ^m 10 ^s 3	50 $r = 24^{\circ} 0^{\circ} 3$	$r = 25^{\circ} 0254$
	2	44 12 ^m 1	52	8 18 ^s 4	6 ^m 1	
	3	14 40 ^m 7	53	8 47 ^s 1	6 ^m 4	$s = 0^{\circ} 508 7050$
	4	45 10 ^m 0	54	9 16 ^s 2	6 ^m 2	$n = 131$
	5	45 38 ^m 5	55	9 44 ^s 8	6 ^m 1	$\Delta = 5$
	6	10 7 ^m 0	56	10 14 ^s 0	6 ^m 1	$\Sigma = 1040$
	7	40 30 ^m 4	57	10 42 ^s 0	6 ^m 2	$\bar{r} = 409$
	8	47 5 ^m 7	58	11 12 ^s 0	6 ^m 3	
	9	47 34 ^m 3	59	11 40 ^s 5	6 ^m 2	$s_{24} = 0^{\circ} 508 0200$ in Sternzeit
	10	48 3 ^m 5	60	12 0 ^s 0	6 ^m 4	$s_{21} = 0^{\circ} 507 2379$ in mittlerer Zeit
$A = 12^{\circ}9 \quad T = 21^{\circ}50 \quad R = 758^{\circ}0 \text{ mm} \quad D = 0^{\circ}020$						
25	1	7 ^m 45 ^s 12 ^s 3	51	8 ^m 0 ^s 40 ^s 3	50 $r = 24^{\circ} 13^{\circ} 5$	$r = 29^{\circ} 0708$
	2	49 2 ^m 1	52	10 15 ^s 0	13 ^s 5	
	3	40 10 ^m 0	53	10 44 ^s 4	13 ^s 8	$s = 0^{\circ} 508 7502$
	4	47 0 ^m 1	54	11 13 ^s 7	13 ^s 0	$n = 131$
	5	47 28 ^m 0	55	11 42 ^s 5	13 ^s 0	$\Delta = 5$
	6	47 58 ^m 4	56	12 11 ^s 9	13 ^s 5	$\Sigma = 1040$
	7	48 27 ^m 1	57	12 40 ^s 0	13 ^s 5	$\bar{r} = 409$
	8	48 50 ^m 7	58	13 10 ^s 0	13 ^s 3	
	9	49 25 ^m 1	59	13 38 ^s 0	13 ^s 5	$s_{25} = 0^{\circ} 508 5208$ in Sternzeit
	10	49 54 ^m 8	60	14 8 ^s 1	13 ^s 3	$s_{21} = 0^{\circ} 507 1922$ in mittlerer Zeit
$A = 12^{\circ}9 \quad T = 21^{\circ}20 \quad R = 758^{\circ}4 \text{ mm} \quad D = 0^{\circ}017$						
35	1	8 ^m 44 ^s 28 ^s 0	51	9 ^m 7 ^s 44 ^s 4	50 $r = 23^{\circ} 10^{\circ} 4$	$r = 27^{\circ} 0320$
	2	41 50 ^m 0	52	8 12 ^s 4	16 ^m 4	
	3	45 23 ^m 0	53	8 40 ^s 3	16 ^m 7	$s = 0^{\circ} 509 1133$
	4	45 51 ^m 7	54	9 8 ^s 1	16 ^m 0	$n = 131$
	5	46 19 ^m 0	55	9 36 ^s 3	16 ^m 7	$\Delta = 5$
	6	46 47 ^m 5	56	10 4 ^s 2	16 ^m 7	$\Sigma = 1072$
	7	47 15 ^m 4	57	10 32 ^s 1	16 ^m 7	$\bar{r} = 407$
	8	47 33 ^m 0	58	11 0 ^s 4	16 ^m 7	
	9	48 11 ^m 3	59	11 28 ^s 0	16 ^m 7	$s_{35} = 0^{\circ} 508 0425$ in Sternzeit
	10	48 39 ^m 3	60	11 56 ^s 0	16 ^m 7	$s_{31} = 0^{\circ} 508 5333$ in mittlerer Zeit
$A = 12^{\circ}9 \quad T = 21^{\circ}03 \quad R = 758^{\circ}8 \text{ mm} \quad D = 0^{\circ}018$						
63	1	9 ^m 44 ^s 30 ^s 0	51	10 ^m 2 ^s 18 ^s 2	50 $r = 22^{\circ} 30^{\circ} 2$	$r = 27^{\circ} 1852$
	2	45 5 ^m 0	52	7 45 ^s 1	39 ^m 2	
	3	45 33 ^m 3	53	8 17 ^s 6	39 ^m 3	$s = 0^{\circ} 509 3085$
	4	46 0 ^m 4	54	8 30 ^s 5	39 ^m 1	$n = 131$
	5	46 27 ^m 5	55	9 2 ^s 0	39 ^m 3	$\Delta = 5$
	6	46 54 ^m 5	56	9 33 ^s 0	39 ^m 4	$\Sigma = 1080$
	7	47 21 ^m 0	57	10 1 ^s 3	39 ^m 1	$\bar{r} = 408$
	8	47 48 ^m 0	58	10 28 ^s 3	39 ^m 4	
	9	48 10 ^m 4	59	10 55 ^s 7	39 ^m 2	$s_{63} = 0^{\circ} 509 1073$ in Sternzeit
	10	48 41 ^m 4	60	11 22 ^s 0	39 ^m 2	$s_{31} = 0^{\circ} 507 5008$ in mittlerer Zeit

Periode	Nr. der Coincidenz	Uhrzeit der Coincidenz	Nr. der Coincidenz	Uhrzeit der Coincidenz	Beobachtete Dauer von 50 Coincidenzen	Berechnung der Schwingungsdauer
Mersa Dhiba, 3. Jänner 1896 a. m.						
$A = 13^{\circ}0 \quad T = 16^{\circ}70 \quad B = 760^{\circ}7 \text{ mm} \quad D = 0^{\circ}939$						
24	1	$1^h 32^m 7^s$	51	$1^h 50^m 18^s$	$50c = 24^m 11^s$	$c = 29^{\circ}0284$
	2	$32^m 30^s$	52	$50^m 48^s$	11^s	
	3	$33^m 5^s$	53	$57^m 17^s$	11^s	$x = 0^{\circ}5087032$
	4	$33^m 35^s$	54	$57^m 40^s$	11^s	$y = 120$
	5	$34^m 3^s$	55	$58^m 15^s$	11^s	$\Delta = 5$
	6	$34^m 33^s$	56	$58^m 44^s$	11^s	$\Sigma = 820$
	7	$35^m 1^s$	57	$59^m 13^s$	11^s	$\bar{\Sigma} = 509$
	8	$35^m 31^s$	58	$59^m 42^s$	11^s	
	9	$35^m 50^s$	59	$0^h 1^s$	11^s	$N_{24} = 0^{\circ}5089160$ in Sternzeit
	10	$36^m 29^s$	60	$0^h 40^s$	11^s	$N_{24} = 0^{\circ}5072279$ in mittlerer Zeit
$A = 12^{\circ}7 \quad T = 17^{\circ}05 \quad B = 701^{\circ}0 \text{ mm} \quad D = 0^{\circ}935$						
28	1	$2^h 35^m 33^s$	51	$2^h 50^m 52^s$	$50c = 24^m 18^s$	$c = 29^{\circ}1756$
	2	$36^m 2^s$	52	$3^h 11^s$	18^s	
	3	$36^m 32^s$	53	$0^h 51^s$	18^s	$x = 0^{\circ}5087182$
	4	$37^m 1^s$	54	$1^h 20^s$	18^s	$y = 120$
	5	$37^m 30^s$	55	$1^h 49^s$	18^s	$\Delta = 5$
	6	$37^m 50^s$	56	$2^h 18^s$	18^s	$\Sigma = 809$
	7	$38^m 20^s$	57	$2^h 47^s$	18^s	$\bar{\Sigma} = 507$
	8	$38^m 52^s$	58	$3^h 16^s$	18^s	
	9	$39^m 22^s$	59	$3^h 46^s$	18^s	$N_{28} = 0^{\circ}5085075$ in Sternzeit
	10	$39^m 50^s$	60	$4^h 15^s$	18^s	$N_{28} = 0^{\circ}5071790$ in mittlerer Zeit
$A = 13^{\circ}0 \quad T = 18^{\circ}78 \quad B = 700^{\circ}9 \text{ mm} \quad D = 0^{\circ}931$						
35	1	$3^h 30^m 21^s$	51	$4^h 2^m 41^s$	$50c = 23^m 21^s$	$c = 28^{\circ}0334$
	2	$39^m 40^s$	52	$3^h 11^s$	21^s	
	3	$40^m 17^s$	53	$3^h 39^s$	21^s	$x = 0^{\circ}5090800$
	4	$40^m 45^s$	54	$4^h 7^s$	21^s	$y = 120$
	5	$41^m 15^s$	55	$4^h 35^s$	21^s	$\Delta = 5$
	6	$41^m 42^s$	56	$5^h 3^s$	21^s	$\Sigma = 925$
	7	$42^m 9^s$	57	$5^h 31^s$	21^s	$\bar{\Sigma} = 505$
	8	$42^m 38^s$	58	$5^h 59^s$	21^s	
	9	$43^m 5^s$	59	$0^h 27^s$	21^s	$N_{35} = 0^{\circ}5089239$ in Sternzeit
	10	$43^m 34^s$	60	$0^h 55^s$	21^s	$N_{35} = 0^{\circ}5075344$ in mittlerer Zeit
$A = 12^{\circ}7 \quad T = 20^{\circ}40 \quad B = 700^{\circ}1 \text{ mm} \quad D = 0^{\circ}924$						
63	1	$4^h 42^m 12^s$	51	$5^h 4^m 50^s$	$50c = 22^m 43^s$	$c = 27^{\circ}2710$
	2	$43^m 39^s$	52	$5^h 23^s$	43^s	
	3	$43^m 7^s$	53	$5^h 50^s$	43^s	$x = 0^{\circ}5093185$
	4	$44^m 34^s$	54	$0^h 17^s$	43^s	$y = 120$
	5	$44^m 1^s$	55	$0^h 45^s$	43^s	$\Delta = 5$
	6	$44^m 28^s$	56	$0^h 12^s$	43^s	$\Sigma = 1005$
	7	$44^m 51^s$	57	$7^h 30^s$	43^s	$\bar{\Sigma} = 501$
	8	$45^m 23^s$	58	$8^h 0^s$	43^s	
	9	$45^m 50^s$	59	$8^h 14^s$	43^s	$N_{63} = 0^{\circ}5091748$ in Sternzeit
	10	$46^m 17^s$	60	$9^h 1^s$	43^s	$N_{63} = 0^{\circ}5077840$ in mittlerer Zeit

Pendel	Nr. der Coincidenz	Uhrzeit der Coincidenz	Nr. der Coincidenz	Uhrzeit der Coincidenz	Beobachtete Dauer von 50 Coincidenzen	Berechnung der Schwingungs-dauer
3. Jänner 1896 p. m.						
$A = 42^{\circ} 2 \quad T = 21^{\circ} 45 \quad R = 750^{\circ} 4 \text{ mm} \quad D = 0^{\circ} 020$						
24	1	5 ^h 58 ^m 25 ^s 0	51	6 ^h 22 ^m 32 ^s 7	50 ^c = 24 ^m 0 ^s 1	$r = 27^{\circ} 10844$
	2	58 52 5	52	23 1 9	0 ^s 4	$x = 0^{\circ} 508 7707$
	3	59 21 5	53	23 10 0	0 ^s 1	$y = 110$
	4	59 50 7	54	23 59 0	0 ^s 2	$z = 4$
	5	0 19 4	55	24 28 0	0 ^s 2	$\Delta = 1057$
	6	0 48 7	56	24 57 0	0 ^s 2	$\Sigma = 491$
	7	1 17 3	57	25 26 0	0 ^s 2	$S_{11} = 0^{\circ} 508 0097$ in Sternzeit
	8	1 46 7	58	25 55 0	0 ^s 2	$S_{11} = 0^{\circ} 507 2210$ in mittlerer Zeit
	9	2 15 2	59	26 24 5	0 ^s 3	
	10	2 44 7	60	26 53 0	0 ^s 2	
$A = 42^{\circ} 4 \quad T = 21^{\circ} 07 \quad R = 758^{\circ} 9 \text{ mm} \quad D = 0^{\circ} 048$						
28	1	6 ^h 58 ^m 40 ^s 0	51	7 ^h 22 ^m 50 ^s 9	50 ^c = 21 ^m 10 ^s 3	$r = 29^{\circ} 1268$
	2	59 10 0	52	23 20 5	10 ^s 5	$x = 0^{\circ} 508 7311$
	3	59 38 5	53	23 55 1	10 ^s 2	$y = 110$
	4	0 8 3	54	24 24 8	10 ^s 5	$z = 4$
	5	0 37 1	55	24 53 4	10 ^s 3	$\Delta = 1082$
	6	1 0 5	56	25 23 1	15 ^s 0	$\Sigma = 498$
	7	1 35 5	57	25 51 0	10 ^s 1	$S_{11} = 0^{\circ} 508 5037$ in Sternzeit
	8	2 4 9	58	26 21 2	10 ^s 3	$S_{11} = 0^{\circ} 507 1751$ in mittlerer Zeit
	9	2 33 0	59	26 50 7	10 ^s 1	
	10	3 3 1	60	27 19 0	10 ^s 5	
$A = 42^{\circ} 7 \quad T = 22^{\circ} 50 \quad R = 758^{\circ} 9 \text{ mm} \quad D = 0^{\circ} 016$						
33	1	7 ^h 50 ^m 50 ^s 0	51	8 ^h 20 ^m 0 ^s 2	50 ^c = 23 ^m 10 ^s 2	$r = 29^{\circ} 9816$
	2	57 17 7	52	20 30 7	10 ^s 0	$x = 0^{\circ} 509 0070$
	3	57 49 0	53	21 5 1	19 ^s 1	$y = 110$
	4	58 13 7	54	21 32 8	10 ^s 1	$z = 5$
	5	58 41 0	55	22 1 0	19 ^s 1	$\Delta = 1114$
	6	59 0 7	56	22 28 7	10 ^s 0	$\Sigma = 490$
	7	59 37 9	57	22 57 1	10 ^s 2	$S_{11} = 0^{\circ} 508 9248$ in Sternzeit
	8	0 5 0	58	23 24 0	10 ^s 0	$S_{11} = 0^{\circ} 507 5353$ in mittlerer Zeit
	9	0 34 0	59	23 53 1	10 ^s 0	
	10	1 1 0	60	24 20 0	10 ^s 0	
$A = 42^{\circ} 7 \quad T = 23^{\circ} 12 \quad R = 758^{\circ} 8 \text{ mm} \quad D = 0^{\circ} 014$						
63	1	8 ^h 52 ^m 42 ^s 0	51	9 ^h 20 ^m 24 ^s 0	50 ^c = 22 ^m 41 ^s 4	$r = 27^{\circ} 2270$
	2	58 9 5	52	20 50 0	41 ^s 4	$x = 0^{\circ} 509 3520$
	3	58 37 1	53	21 18 5	41 ^s 4	$y = 110$
	4	59 4 1	54	21 45 5	41 ^s 4	$z = 5$
	5	59 31 0	55	22 13 0	41 ^s 4	$\Delta = 1150$
	6	59 58 5	56	22 30 8	41 ^s 3	$\Sigma = 495$
	7	0 26 1	57	23 7 3	41 ^s 2	$S_{11} = 0^{\circ} 509 1790$ in Sternzeit
	8	0 53 0	58	23 34 4	41 ^s 4	$S_{11} = 0^{\circ} 507 7888$ in mittlerer Zeit
	9	1 20 0	59	24 1 0	41 ^s 3	
	10	1 47 4	60	24 28 7	41 ^s 3	

Komet	Nr. der Coincidenz	Uhrzeit der Coincidenz	Nr. der Coincidenz	Uhrzeit der Coincidenz	Beobachtete Dauer von 50 Coincidenzen	Berechnung der Schwingungsdauer
Hassani, 7. Jänner 1890 a. m.						
$\lambda = 12^{\circ} 7' \quad T = 18^{\circ} 00' \quad B = 75^{\circ} 0' 00'' \quad D = 0^{\circ} 930$						
24	1	$1^h 14^m 30^s.4$	51	$1^h 30^m 5^s.3$	$50^{\circ} = 24^m 8^s.0$	$c = 28^s 97.00$
	2	$15 26^s.9$	52	$30 37^s.7$	$8^s.8$	$\mu = 0^s 508 7785$
	3	$15 57^s.0$	53	$40 0^s.5$	$8^s.9$	$\nu = 139$
	4	$16 20^s.8$	54	$40 35^s.7$	$8^s.9$	$\Delta = 5$
	5	$16 55^s.5$	55	$41 4^s.5$	$9^s.0$	$\delta = 504$
	6	$17 24^s.7$	56	$41 31^s.7$	$0^s.0$	$\tau = 800$
	7	$17 53^s.4$	57	$42 2^s.4$	$0^s.0$	$\theta = 504$
	8	$18 22^s.7$	58	$42 31^s.7$	$0^s.0$	$\mu_{24} = 0^s 508 6247$ in Sternzeit
	9	$18 51^s.4$	59	$43 0^s.4$	$0^s.0$	$\mu_{24} = 0^s 507 2359$ in mittlerer Zeit
	10	$19 20^s.6$	60	$43 20^s.0$	$9^s.0$	
$\lambda = 13^{\circ} 2' \quad T = 20^{\circ} 08' \quad B = 75^{\circ} 8' 7'' \quad D = 0^{\circ} 925$						
28	1	$2^h 37^m 48^s.3$	51	$2^h 42^m 3^s.7$	$50^{\circ} = 24^m 13^s.4$	$c = 29^s 1050$
	2	$38 17^s.3$	52	$2 32^s.5$	$15^s.2$	$\mu = 0^s 508 7305$
	3	$38 40^s.7$	53	$3 1^s.0$	$15^s.2$	$\nu = 139$
	4	$39 15^s.4$	54	$3 10^s.0$	$15^s.2$	$\Delta = 5$
	5	$39 44^s.9$	55	$4 0^s.2$	$15^s.2$	$\delta = 501$
	6	$40 13^s.5$	56	$4 28^s.7$	$15^s.2$	$\tau = 980$
	7	$40 43^s.1$	57	$4 58^s.4$	$15^s.3$	$\theta = 501$
	8	$41 11^s.6$	58	$5 27^s.0$	$15^s.4$	$\mu_{28} = 0^s 508 1701$ in Sternzeit
	9	$41 41^s.4$	59	$5 50^s.9$	$15^s.5$	$\mu_{28} = 0^s 507 1876$ in mittlerer Zeit
	10	$42 0^s.0$	60	$6 25^s.0$	$15^s.1$	
$\lambda = 13^{\circ} 0' \quad T = 21^{\circ} 31' \quad B = 75^{\circ} 8' 5'' \quad D = 0^{\circ} 920$						
33	1	$3^h 30^m 57^s.0$	51	$4^h 3^m 15^s.3$	$50^{\circ} = 23^m 18^s.3$	$c = 27^s 960.2$
	2	$40 24^s.8$	52	$3 43^s.1$	$18^s.3$	$\mu = 0^s 509 1021$
	3	$40 52^s.9$	53	$4 11^s.3$	$18^s.4$	$\nu = 139$
	4	$41 20^s.7$	54	$4 30^s.1$	$18^s.4$	$\Delta = 5$
	5	$41 48^s.0$	55	$5 7^s.7$	$18^s.3$	$\delta = 499$
	6	$42 10^s.6$	56	$5 35^s.0$	$18^s.4$	$\tau = 1050$
	7	$42 44^s.9$	57	$6 3^s.1$	$18^s.2$	$\theta = 504$
	8	$43 12^s.0$	58	$6 31^s.0$	$18^s.4$	$\mu_{33} = 0^s 509 9328$ in Sternzeit
	9	$43 40^s.8$	59	$6 59^s.1$	$18^s.3$	$\mu_{33} = 0^s 507 5433$ in mittlerer Zeit
	10	$44 8^s.0$	60	$7 20^s.7$	$18^s.1$	
$\lambda = 12^{\circ} 10' \quad T = 22^{\circ} 17' \quad B = 75^{\circ} 8' 4'' \quad D = 0^{\circ} 915$						
43	1	$4^h 37^m 44^s.3$	51	$5^h 0^m 24^s.9$	$50^{\circ} = 22^m 40^s.6$	$c = 27^s 2140$
	2	$38 11^s.0$	52	$0 52^s.4$	$40^s.8$	$\mu = 0^s 509 3585$
	3	$38 38^s.0$	53	$1 19^s.4$	$40^s.8$	$\nu = 139$
	4	$39 0^s.1$	54	$1 47^s.7$	$40^s.0$	$\Delta = 5$
	5	$39 33^s.0$	55	$2 13^s.0$	$40^s.0$	$\delta = 490$
	6	$40 0^s.5$	56	$2 41^s.3$	$40^s.8$	$\tau = 1062$
	7	$40 27^s.5$	57	$3 8^s.3$	$40^s.8$	$\theta = 504$
	8	$40 54^s.9$	58	$3 35^s.7$	$40^s.5$	$\mu_{43} = 0^s 509 1853$ in Sternzeit
	9	$41 22^s.0$	59	$4 2^s.5$	$40^s.5$	$\mu_{43} = 0^s 507 7951$ in mittlerer Zeit
	10	$41 49^s.4$	60	$4 30^s.1$	$40^s.7$	

Pendel	Nr. der Coincidenz	Uhrzeit der Coincidenz	Nr. der Coincidenz	Uhrzeit der Coincidenz	Beobachtete Dauer von 50 Coincidenzen	Berechnung der Schwingungsdauer
7. Jänner 1896 p. m.						
$A = 12^{\circ}0 \quad T = 22^{\circ}50 \quad B = 757^{\circ}4 \text{ mm} \quad D = 0^{\circ}914$						
24	1	6 ^h 8 ^m 23 ^s 3	51	6 ^h 32 ^m 29 ^s 3	50c = 24 ^m 0 ^s 0	$c = 28^{\circ}9210$
	2	8 51 ^s 9	52	32 58 ^s 0	0 ^s 1	$\alpha = 0^{\circ}508 7901$
	3	9 21 ^s 1	53	33 27 ^s 2	0 ^s 1	$\mu = 134$
	4	9 40 ^s 4	54	33 55 ^s 0	0 ^s 2	$\Delta = 5$
	5	10 18 ^s 0	55	34 25 ^s 1	7 ^s 2	$\tau = 1108$
	6	10 47 ^s 6	56	34 53 ^s 0	0 ^s 0	$\delta = 495$
	7	11 10 ^s 8	57	35 22 ^s 9	0 ^s 1	$s_{24} = 0^{\circ}508 0219$ in Sternzeit
	8	11 45 ^s 5	58	35 51 ^s 5	0 ^s 0	$s_{24} = 0^{\circ}507 2331$ in mittlerer Zeit
	9	12 14 ^s 6	59	36 20 ^s 7	0 ^s 1	
	10	12 43 ^s 4	60	36 49 ^s 4	0 ^s 0	
$A = 12^{\circ}6 \quad T = 22^{\circ}05 \quad B = 757^{\circ}0 \text{ mm} \quad D = 0^{\circ}914$						
28	1	7 ^h 11 ^m 32 ^s 4	51	7 ^h 35 ^m 45 ^s 4	50c = 24 ^m 13 ^s 0	$c = 29^{\circ}0016$
	2	12 1 ^s 6	52	36 14 ^s 7	13 ^s 4	$\alpha = 0^{\circ}508 7530$
	3	12 30 ^s 5	53	36 43 ^s 5	13 ^s 0	$\mu = 134$
	4	12 59 ^s 7	54	37 12 ^s 8	13 ^s 1	$\Delta = 5$
	5	13 28 ^s 0	55	37 41 ^s 0	12 ^s 0	$\tau = 1110$
	6	13 57 ^s 8	56	38 10 ^s 9	13 ^s 1	$\delta = 495$
	7	14 26 ^s 6	57	38 39 ^s 0	13 ^s 0	$s_{28} = 0^{\circ}508 3750$ in Sternzeit
	8	14 50 ^s 0	58	39 9 ^s 1	13 ^s 1	$s_{28} = 0^{\circ}507 1804$ in mittlerer Zeit
	9	15 24 ^s 7	59	39 37 ^s 9	13 ^s 2	
	10	15 54 ^s 1	60	40 7 ^s 3	13 ^s 2	
$A = 12^{\circ}4 \quad T = 23^{\circ}13 \quad B = 750^{\circ}9 \text{ mm} \quad D = 0^{\circ}912$						
35	1	8 ^h 9 ^m 35 ^s 9	51	8 ^h 38 ^m 52 ^s 0	50c = 23 ^m 10 ^s 7	$c = 27^{\circ}9320$
	2	10 3 ^s 4	52	33 20 ^s 0	10 ^s 0	$\alpha = 0^{\circ}509 1133$
	3	10 31 ^s 9	53	33 48 ^s 5	10 ^s 6	$\mu = 134$
	4	10 59 ^s 4	54	34 10 ^s 1	10 ^s 7	$\Delta = 4$
	5	11 27 ^s 5	55	34 44 ^s 4	10 ^s 0	$\tau = 1130$
	6	11 55 ^s 3	56	35 12 ^s 1	10 ^s 8	$\delta = 494$
	7	12 19 ^s 4	57	35 40 ^s 3	10 ^s 7	$s_{35} = 0^{\circ}508 9302$ in Sternzeit
	8	12 51 ^s 1	58	36 7 ^s 7	10 ^s 0	$s_{35} = 0^{\circ}507 5407$ in mittlerer Zeit
	9	13 19 ^s 5	59	36 30 ^s 1	10 ^s 0	
	10	13 47 ^s 0	60	37 3 ^s 4	10 ^s 4	
$A = 13^{\circ}0 \quad T = 23^{\circ}50 \quad B = 757^{\circ}2 \text{ mm} \quad D = 0^{\circ}910$						
63	1	9 ^h 10 ^m 3 ^s 4	51	9 ^h 32 ^m 42 ^s 8	50c = 22 ^m 39 ^s 4	$c = 27^{\circ}1804$
	2	10 30 ^s 6	52	33 9 ^s 7	39 ^s 1	$\alpha = 0^{\circ}509 3080$
	3	10 57 ^s 9	53	33 37 ^s 1	39 ^s 2	$\mu = 134$
	4	11 25 ^s 0	54	34 4 ^s 3	39 ^s 3	$\Delta = 5$
	5	11 52 ^s 3	55	34 31 ^s 7	39 ^s 5	$\tau = 1161$
	6	12 19 ^s 4	56	34 58 ^s 0	39 ^s 2	$\delta = 493$
	7	12 40 ^s 6	57	35 20 ^s 0	39 ^s 4	$s_{63} = 0^{\circ}509 1887$ in Sternzeit
	8	13 13 ^s 6	58	35 53 ^s 0	39 ^s 4	$s_{63} = 0^{\circ}507 7985$ in mittlerer Zeit
	9	13 41 ^s 0	59	36 20 ^s 3	39 ^s 3	
	10	14 5 ^s 0	60	36 47 ^s 4	39 ^s 4	

Pendel	Nr. der Coincidenz	Uhrzeit der Coincidenz	Nr. der Coincidenz	Uhrzeit der Coincidenz	Beobachtete Dauer von 50 Coincidenzen	Berechnung der Schwingungsdauer
Sherm Habban, 12. Jänner 1896 a. m.						
$A = 13^{\circ}2 \quad T = 12^{\circ}59 \quad B = 763^{\circ}0 \text{ mm} \quad D = 0^{\circ}956$						
24	1	$4^h 43^m 10^s.7$	51	$3^h 7^m 35^s.1$	$50c = 21^m 15^s.4$	$c = 26^s.1044$
	2	$43 49^s.1$	52	$3 4^s.3$	$15^s.2$	
	3	$44 18^s.3$	53	$3 13^s.4$	$15^s.2$	$a = 0^s.508 7400$
	4	$44 47^s.4$	54	$3 21^s.0$	$15^s.2$	$n = \dots 174$
	5	$45 10^s.4$	55	$3 28^s.5$	$15^s.1$	$\Delta = \dots 5$
	6	$45 45^s.7$	56	$10 1^s.0$	$15^s.3$	$\tau = \dots 820$
	7	$46 14^s.5$	57	$10 20^s.7$	$15^s.2$	$\delta = \dots 515$
	8	$46 43^s.9$	58	$10 59^s.0$	$15^s.1$	$N_{24} = 0^s.508 6083 \text{ in Sternzeit}$
	9	$47 12^s.4$	59	$11 27^s.7$	$15^s.3$	$N_{24} = 0^s.507 2197 \text{ in mittlerer Zeit}$
	10	$47 42^s.0$	60	$11 57^s.2$	$15^s.2$	
$A = 12^{\circ}11 \quad T = 12^{\circ}06 \quad B = 763^{\circ}4 \text{ mm} \quad D = 0^{\circ}954$						
25	1	$3^h 47^m 55^s.3$	51	$3^h 12^m 18^s.3$	$50c = 24^m 23^s.0$	$c = 29^s.2600$
	2	$48 24^s.4$	52	$12 47^s.4$	$23^s.0$	
	3	$48 53^s.9$	53	$13 16^s.9$	$23^s.0$	$a = 0^s.508 1020$
	4	$49 22^s.9$	54	$13 45^s.9$	$23^s.0$	$n = \dots 174$
	5	$49 52^s.4$	55	$14 15^s.4$	$23^s.0$	$\Delta = \dots 5$
	6	$50 21^s.4$	56	$14 44^s.4$	$23^s.0$	$\tau = \dots 128$
	7	$50 50^s.9$	57	$15 13^s.9$	$23^s.0$	$\delta = \dots 517$
	8	$51 19^s.9$	58	$15 42^s.9$	$23^s.0$	$N_{25} = 0^s.508 5502 \text{ in Sternzeit}$
	9	$51 49^s.4$	59	$16 12^s.4$	$23^s.0$	$N_{25} = 0^s.507 1700 \text{ in mittlerer Zeit}$
	10	$52 18^s.4$	60	$16 41^s.4$	$23^s.0$	
$A = 12^{\circ}6 \quad T = 14^{\circ}33 \quad B = 763^{\circ}3 \text{ mm} \quad D = 0^{\circ}950$						
35	1	$3^h 51^m 20^s.7$	51	$4^h 14^m 46^s.2$	$50c = 23^m 25^s.5$	$c = 28^s.2108$
	2	$51 49^s.0$	52	$15 14^s.4$	$25^s.0$	
	3	$52 17^s.1$	53	$15 42^s.4$	$25^s.3$	$a = 0^s.509 0544$
	4	$52 45^s.3$	54	$16 10^s.9$	$25^s.0$	$n = \dots 174$
	5	$53 13^s.3$	55	$16 38^s.0$	$25^s.3$	$\Delta = \dots 5$
	6	$53 41^s.5$	56	$17 7^s.2$	$25^s.7$	$\tau = \dots 200$
	7	$54 9^s.4$	57	$17 34^s.9$	$25^s.5$	$\delta = \dots 515$
	8	$54 37^s.7$	58	$18 3^s.3$	$25^s.0$	$N_{35} = 0^s.508 9144 \text{ in Sternzeit}$
	9	$55 5^s.0$	59	$18 31^s.3$	$25^s.7$	$N_{35} = 0^s.507 5248 \text{ in mittlerer Zeit}$
	10	$55 34^s.0$	60	$18 59^s.0$	$25^s.0$	
$A = 12^{\circ}9 \quad T = 16^{\circ}03 \quad B = 763^{\circ}1 \text{ mm} \quad D = 0^{\circ}946$						
43	1	$5^h 1^m 11^s.0$	51	$5^h 23^m 58^s.4$	$50c = 22^m 47^s.4$	$c = 27^s.3470$
	2	$1 28^s.0$	52	$24 20^s.0$	$47^s.4$	
	3	$2 5^s.0$	53	$24 53^s.0$	$47^s.4$	$a = 0^s.509 3100$
	4	$2 33^s.4$	54	$25 20^s.7$	$47^s.3$	$n = \dots 174$
	5	$3 0^s.4$	55	$25 47^s.0$	$47^s.2$	$\Delta = \dots 5$
	6	$3 28^s.1$	56	$26 15^s.4$	$47^s.1$	$\tau = \dots 790$
	7	$3 55^s.7$	57	$26 42^s.4$	$47^s.4$	$\delta = \dots 512$
	8	$4 22^s.8$	58	$27 10^s.1$	$47^s.3$	$N_{43} = 0^s.509 1039 \text{ in Sternzeit}$
	9	$4 49^s.0$	59	$27 37^s.1$	$47^s.5$	$N_{43} = 0^s.507 7737 \text{ in mittlerer Zeit}$
	10	$5 17^s.4$	60	$28 4^s.7$	$47^s.3$	

Pendel	Nr. der Coincidenz	Uhrzeit der Coincidenz	Nr. der Coincidenz	Uhrzeit der Coincidenz	Beobachtete Dauer von 50 Coincidenzen	Berechnung der Schwingungsdauer
12. Jänner 1896 p. m.						
$A = 13^{\circ}4$ $T = 18^{\circ}35$ $B = 760^{\circ}9$ mm $D = 0^{\circ}932$						
24	1	$6^h 53^m 40^s$	51	$7^h 17^m 53^s$	$50e = 24^m 12^s$	$e = 29^s 0806$
	2	54 0' 4	52	18 22' 5	13' 1	$s = 0^s 508 7534$
	3	54 38' 4	53	18 14' 5	12' 9	$u = 130$
	4	55 7' 5	54	19 20' 6	13' 1	$\Delta = 5$
	5	55 36' 7	55	19 40' 7	13' 0	$\tau = 904$
	6	56 5' 0	56	20 18' 0	13' 0	$\vartheta = 505$
	7	56 34' 0	57	20 47' 0	13 1	$N_{24} = 0^s 508 5084$ in Sternzeit
	8	57 3' 16	58	21 10' 7	13' 0	$N_{24} = 0^s 507 2098$ in mittlerer Zeit
	9	57 33' 0	59	21 40' 0	13' 2	
	10	58 1' 8	60	22 15' 0		
$A = 12^{\circ}9$ $T = 18^{\circ}20$ $B = 760^{\circ}7$ mm $D = 0^{\circ}932$						
28	1	$7^h 50^m 25^s$	51	$8^h 20^m 45^s$	$50e = 24^m 20^s$	$e = 29^s 1904$
	2	50 54' 0	52	21 14' 0	20' 0	$s = 0^s 508 7111$
	3	57 24' 1	53	21 44' 1	20' 0	$u = 130$
	4	57 53' 0	54	22 13' 0	20' 0	$\Delta = 5$
	5	58 22' 0	55	22 42' 5	19' 9	$\tau = 921$
	6	58 51' 4	56	23 11' 4	20' 0	$\vartheta = 505$
	7	59 21' 0	57	23 40' 9	19' 9	$N_{28} = 0^s 508 5544$ in Sternzeit
	8	59 49' 7	58	24 9' 7	20' 0	$N_{28} = 0^s 507 1958$ in mittlerer Zeit
	9	0 19' 4	59	24 39' 4	20' 0	
	10	0 48' 3	60	25 8' 2	19' 9	
$A = 12^{\circ}9$ $T = 18^{\circ}26$ $B = 760^{\circ}3$ mm $D = 0^{\circ}930$						
35	1	$8^h 58^m 52^s$	51	$9^h 22^m 14^s$	$50e = 23^m 22^s$	$e = 28^s 0540$
	2	59 20' 0	52	22 42' 0	22' 0	$s = 0^s 509 0732$
	3	59 48' 1	53	23 10' 9	22' 8	$u = 130$
	4	0 10' 1	54	23 38' 0	22' 5	$\Delta = 5$
	5	0 44' 2	55	24 7' 1	22' 9	$\tau = 923$
	6	1 12' 3	56	24 34' 8	22' 5	$\vartheta = 504$
	7	1 40' 3	57	25 3' 1	22' 8	$N_{35} = 0^s 508 9164$ in Sternzeit
	8	2 8' 4	58	25 31' 0	22' 0	$N_{35} = 5^s 507 5208$ in mittlerer Zeit
	9	2 36' 5	59	25 59' 2	22' 7	
	10	3 4' 4	60	26 27' 1	22' 7	
$A = 12^{\circ}9$ $T = 18^{\circ}21$ $B = 760^{\circ}3$ mm $D = 0^{\circ}931$						
03	1	$9^h 59^m 2' 4$	51	$10^h 21^m 47^s$	$50e = 22^m 45^s$	$e = 27^s 3054$
	2	59 29' 4	52	22 14' 9	45' 5	$s = 0^s 509 3205$
	3	59 57' 0	53	22 42' 0	45' 0	$u = 130$
	4	0 24' 1	54	23 9' 4	45' 3	$\Delta = 5$
	5	0 51' 0	55	23 36' 7	45' 1	$\tau = 922$
	6	1 18' 0	56	24 1' 0	45' 4	$\vartheta = 505$
	7	1 46' 3	57	24 14' 4	45' 2	$N_{03} = 0^s 509 1107$ in Sternzeit
	8	2 13' 1	58	24 56' 0	45' 5	$N_{03} = 0^s 507 7794$ in mittlerer Zeit
	9	2 40' 9	59	25 26' 0	45' 1	
	10	3 7' 7	60	25 53' 3	45' 6	

Pendel	Nr. der Coincidenz	Uhrzeit der Coincidenz	Nr. der Coincidenz	Uhrzeit der Coincidenz	Beobachtete Dauer von 50 Coincidenzen	Berechnung der Schwingungs-dauer
Koseir, 16. Jänner 1890 a. m.						
$A = 12^{\circ}9 \quad T = 20^{\circ}08 \quad B = 701^{\circ}4 \text{ mm} \quad D = 0^{\circ}927$						
24	1	$3^h 19^m 41^s.5$	51	$3^h 41^m 52^s.0$	$50c = 24^m 10^s.5$	$c = 29^s.0134$
	2	$20 10^s.4$	52	$41 21^s.2$	$10^s.8$	$s = 0^s.5087178$
	3	$20 39^s.7$	53	$44 50^s.0$	$10^s.3$	$u = 129$
	4	$21 8^s.5$	54	$45 19^s.4$	$10^s.9$	$\Delta = 5$
	5	$21 37^s.0$	55	$45 48^s.1$	$10^s.5$	$\tau = 502$
	6	$22 0^s.4$	56	$46 17^s.4$	$11^s.0$	$N_{24} = 0^{\circ}5086053 \text{ in Sternzeit}$
	7	$22 35^s.0$	57	$46 46^s.1$	$10^s.5$	$N_{24} = 0^{\circ}5072101 \text{ in mittlerer Zeit}$
	8	$23 4^s.5$	58	$47 15^s.4$	$10^s.0$	
	9	$23 33^s.7$	59	$47 44^s.1$	$10^s.4$	
	10	$24 2^s.5$	60	$48 13^s.4$	$10^s.0$	
$A = 12^{\circ}9 \quad T = 20^{\circ}48 \quad B = 760^{\circ}5 \text{ mm} \quad D = 0^{\circ}925$						
28	1	$4^h 26^m 37^s.4$	51	$4^h 50^m 55^s.4$	$50c = 24^m 18^s.0$	$c = 29^s.1552$
	2	$27 0^s.5$	52	$51 24^s.1$	$17^s.0$	$s = 0^s.5087245$
	3	$27 35^s.0$	53	$53 53^s.5$	$17^s.9$	$u = 129$
	4	$28 4^s.9$	54	$52 22^s.5$	$12^s.6$	$\Delta = 5$
	5	$28 34^s.0$	55	$52 51^s.9$	$12^s.9$	$\tau = 501$
	6	$29 3^s.2$	56	$53 20^s.7$	$12^s.5$	$N_{28} = 0^{\circ}5085401 \text{ in Sternzeit}$
	7	$29 32^s.4$	57	$53 50^s.4$	$18^s.0$	$N_{28} = 0^{\circ}5071715 \text{ in mittlerer Zeit}$
	8	$30 1^s.6$	58	$54 19^s.1$	$17^s.5$	
	9	$30 30^s.0$	59	$54 48^s.0$	$18^s.0$	
	10	$30 59^s.8$	60	$55 17^s.4$	$17^s.0$	
$A = 12^{\circ}9 \quad T = 20^{\circ}81 \quad B = 710^{\circ}4 \text{ mm} \quad D = 0^{\circ}923$						
35	1	$5^h 33^m 17^s.1$	51	$5^h 56^m 57^s.0$	$50c = 23^m 20^s.5$	$c = 28^s.0120$
	2	$34 4^s.8$	52	$57 25^s.0$	$20^s.8$	$s = 0^s.5080800$
	3	$34 33^s.2$	53	$57 53^s.0$	$20^s.4$	$u = 129$
	4	$35 0^s.9$	54	$58 21^s.7$	$20^s.8$	$\Delta = 5$
	5	$35 20^s.2$	55	$58 49^s.7$	$20^s.5$	$\tau = 1025$
	6	$35 57^s.0$	56	$59 17^s.7$	$20^s.7$	$\delta = 500$
	7	$36 25^s.3$	57	$59 45^s.7$	$20^s.4$	$N_{35} = 0^{\circ}5080210 \text{ in Sternzeit}$
	8	$36 51^s.9$	58	$60 13^s.7$	$20^s.7$	$N_{35} = 0^{\circ}5075315 \text{ in mittlerer Zeit}$
	9	$37 21^s.3$	59	$60 41^s.7$	$20^s.4$	
	10	$37 49^s.0$	60	$61 9^s.8$	$20^s.8$	
$A = 12^{\circ}9 \quad T = 20^{\circ}09 \quad B = 750^{\circ}4 \text{ mm} \quad D = 0^{\circ}921$						
63	1	$6^h 31^m 25^s.9$	51	$6^h 54^m 9^s.0$	$50c = 22^m 43^s.1$	$c = 27^s.2052$
	2	$31 52^s.7$	52	$54 30^s.1$	$43^s.4$	$s = 0^s.5003400$
	3	$32 20^s.4$	53	$55 3^s.7$	$43^s.3$	$u = 129$
	4	$32 47^s.4$	54	$55 30^s.0$	$43^s.2$	$\Delta = 5$
	5	$33 14^s.9$	55	$55 58^s.1$	$43^s.2$	$\tau = 1034$
	6	$33 41^s.9$	56	$56 25^s.3$	$43^s.4$	$\delta = 490$
	7	$34 9^s.5$	57	$56 52^s.7$	$43^s.2$	$N_{63} = 0^{\circ}5001739 \text{ in Sternzeit}$
	8	$34 30^s.4$	58	$57 10^s.0$	$43^s.2$	$N_{63} = 0^{\circ}5077837 \text{ in mittlerer Zeit}$
	9	$35 4^s.0$	59	$57 47^s.3$	$43^s.3$	
	10	$35 31^s.0$	60	$58 14^s.3$	$43^s.3$	

Pendel	Nr. der Coincidenz	Uhrzeit der Coincidenz	Nr. der Coincidenz	Uhrzeit der Coincidenz	Beobachtete Dauer von 50 Coincidenzen	Berechnung der Schweregeschwindigkeit
17. Jänner 1896 a. m.						
$A = 12^{\circ} 6' \quad T = 21^{\circ} 47' \quad B = 755^{\circ} 3 \text{ mm} \quad D = 0^{\circ} 914$						
24	1	3 ^h 13 ^m 37 ^s 0	51	3 ^h 32 ^m 40 ^s 6	50 r = 21 ^m 9 ^s 6	$\rho = 28^{\circ} 10902$
	2	14 6 0	52	38 15 0	0 0	$\alpha = 0^{\circ} 508 7750$
	3	14 35 0	53	38 44 6	0 0	$\mu = 120$
	4	15 1 0	54	39 13 0	0 5	$\Delta = 5$
	5	15 31 1	55	39 42 0	0 5	$\tau = 1058$
	6	16 2 0	56	40 11 5	0 5	$\xi = 195$
	7	16 31 2	57	40 40 0	0 4	$N_{14} = 0^{\circ} 508 1006$ in Sternzeit
	8	16 50 9	58	41 9 4	0 5	$N_{14} = 0^{\circ} 507 2179$ in mittlerer Zeit
	9	17 20 1	59	41 38 0	0 5	
	10	17 58 0	60	42 7 5	0 5	
$A = 12^{\circ} 9' \quad T = 21^{\circ} 55' \quad B = 754^{\circ} 9 \text{ mm} \quad D = 0^{\circ} 914$						
28	1	4 ^h 20 ^m 14 ^s 5	51	4 ^h 44 ^m 34 ^s 4	50 r = 24 ^m 10 ^s 9	$\rho = 29^{\circ} 1374$
	2	20 43 7	52	45 0 4	10 7	$\alpha = 0^{\circ} 508 7209$
	3	21 17 0	53	45 29 0	17 0	$\mu = 120$
	4	21 42 0	54	45 58 0	17 0	$\Delta = 5$
	5	22 10 9	55	46 27 9	17 0	$\tau = 1052$
	6	22 40 3	56	46 57 4	10 8	$\xi = 195$
	7	23 9 3	57	47 26 2	10 9	$N_{18} = 0^{\circ} 508 5041$ in Sternzeit
	8	23 38 6	58	47 55 3	10 7	$N_{18} = 0^{\circ} 507 1725$ in mittlerer Zeit
	9	24 7 6	59	48 24 5	10 9	
	10	24 36 9	60	48 53 7	10 8	
$A = 12^{\circ} 9' \quad T = 21^{\circ} 75' \quad B = 754^{\circ} 8 \text{ mm} \quad D = 0^{\circ} 914$						
35	1	5 ^h 20 ^m 40 ^s 6	51	5 ^h 44 ^m 1 ^s 0	50 r = 23 ^m 20 ^s 4	$\rho = 28^{\circ} 10042$
	2	21 8 0	52	44 29 0	20 4	$\alpha = 0^{\circ} 509 0994$
	3	21 36 7	53	44 57 0	20 3	$\mu = 120$
	4	22 4 9	54	45 25 0	20 3	$\Delta = 5$
	5	22 32 7	55	45 53 0	20 3	$\tau = 1074$
	6	23 0 9	56	46 21 0	20 4	$\xi = 495$
	7	23 28 7	57	46 49 4	20 4	$N_{15} = 0^{\circ} 508 9107$ in Sternzeit
	8	23 56 0	58	47 18 5	20 4	$N_{15} = 0^{\circ} 507 5304$ in mittlerer Zeit
	9	24 24 7	59	47 45 1	20 0	
	10	24 52 9	60	48 12 9	20 0	
$A = 12^{\circ} 9' \quad T = 11^{\circ} 42' \quad B = 753^{\circ} 8 \text{ mm} \quad D = 0^{\circ} 912$						
63	1	6 ^h 26 ^m 21 ^s 7	51	6 ^h 49 ^m 4 ^s 4	50 r = 22 ^m 42 ^s 3	$\rho = 27^{\circ} 2578$
	2	26 48 6	52	49 31 7	41 1	$\alpha = 0^{\circ} 509 3430$
	3	27 40 3	53	49 58 9	42 6	$\mu = 120$
	4	27 41 4	54	50 26 3	42 9	$\Delta = 5$
	5	28 10 7	55	50 53 4	42 7	$\tau = 1080$
	6	28 37 7	56	51 20 6	42 0	$\xi = 494$
	7	29 5 3	57	51 47 9	42 6	$N_{13} = 0^{\circ} 509 1225$ in Sternzeit
	8	29 33 4	58	52 15 3	42 9	$N_{13} = 0^{\circ} 507 7822$ in mittlerer Zeit
	9	29 50 8	59	52 42 4	42 6	
	10	30 26 7	60	53 9 6	42 9	

Periode	Nr. der Coincidenz	Uhrzeit der Coincidenz	Nr. der Coincidenz	Uhrzeit der Coincidenz	Beobachtete Dauer von 50 Coincidenzen	Berechnung der Schwingungsdauer
18. Jänner 1896 a. m.						
$A = 12^{\circ}9 \quad T = 19^{\circ}23 \quad R = 756^{\circ}2 \text{ mm} \quad B = 0^{\circ}023$						
24	1	3 ^h 10 ^m 9 ^s .0	51	3 ^h 40 ^m 20 ^s .0	50 ^r = 24 ^m 11 ^s .0	$e = 29^{\circ}0380$
	2	10 38 7	52	40 49.7	11 ^s .0	
	3	17 2.7	53	49 18.0	10 ^s .0	$a = 0^{\circ}508 7064$
	4	17 30.8	54	41 47.7	10 ^s .0	$n = 140$
	5	18 5.7	55	42 10.0	10 ^s .0	$\Delta = 5$
	6	18 34.0	56	42 45.8	10 ^s .0	$\tau = 947$
	7	19 3.8	57	43 14.6	10 ^s .8	$\xi = 500$
	8	19 32.9	58	43 43.8	10 ^s .0	$N_{24} = 0^{\circ}508 1000$ in Sternzeit
	9	20 4.8	59	44 12.7	10 ^s .0	$N_{24} = 0^{\circ}507 2179$ in mittlerer Zeit
	10	20 31.0	60	44 44.8	10 ^s .8	
$A = 12^{\circ}9 \quad T = 19^{\circ}13 \quad R = 756^{\circ}8 \text{ mm} \quad B = 0^{\circ}026$						
28	1	4 ^h 21 ^m 14 ^s .0	51	4 ^h 45 ^m 32 ^s .0	50 ^r = 28 ^m 18 ^s .0	$e = 29^{\circ}1074$
	2	21 43.4	52	46 1.0	18.2	
	3	22 12.4	53	46 31.0	18.0	$a = 0^{\circ}508 7208$
	4	22 41.7	54	47 0.0	18.3	$\Delta = 140$
	5	23 10.7	55	47 29.3	18.0	$\tau = 5$
	6	23 40.1	56	47 58.3	18.2	$\tau = 942$
	7	24 9.1	57	48 27.6	18.5	$n = 502$
	8	24 38.5	58	48 56.5	18.0	$N_{28} = 0^{\circ}508 5013$ in Sternzeit
	9	25 7.4	59	49 26.0	18.6	$N_{28} = 0^{\circ}507 1727$ in mittlerer Zeit
	10	25 36.8	60	49 54.0	18.1	
$A = 12^{\circ}9 \quad T = 19^{\circ}12 \quad R = 756^{\circ}7 \text{ mm} \quad B = 0^{\circ}026$						
35	1	5 ^h 24 ^m 28 ^s .1	51	5 ^h 47 ^m 42 ^s .0	50 ^r = 23 ^m 21 ^s .8	$e = 28^{\circ}0352$
	2	24 49.2	52	48 10.8	21.0	
	3	25 17.1	53	48 39.0	21.0	$a = 0^{\circ}500 0793$
	4	25 45.3	54	49 0.8	21.5	$n = 140$
	5	26 13.3	55	49 35.3	22.0	$\Delta = 5$
	6	26 44.3	56	50 2.9	21.8	$\tau = 942$
	7	27 9.3	57	50 14.3	22.0	$\xi = 502$
	8	27 37.4	58	50 50.0	21.0	$N_{35} = 0^{\circ}508 9108$ in Sternzeit
	9	28 5.4	59	51 27.4	22.0	$N_{35} = 0^{\circ}507 5302$ in mittlerer Zeit
	10	28 33.4	60	51 55.0	21.0	
$A = 12^{\circ}9 \quad T = 19^{\circ}12 \quad R = 756^{\circ}2 \text{ mm} \quad B = 0^{\circ}024$						
43	1	6 ^h 29 ^m 41 ^s .3	51	6 ^h 52 ^m 25 ^s .0	50 ^r = 22 ^m 44 ^s .6	$e = 27^{\circ}2008$
	2	30 8.7	52	52 53.1	44.4	
	3	30 35.7	53	53 20.4	44.7	$a = 0^{\circ}500 3314$
	4	31 3.2	54	53 47.8	44.6	$n = 140$
	5	31 30.4	55	54 14.9	44.5	$\Delta = 5$
	6	31 57.9	56	54 42.3	44.4	$\tau = 942$
	7	32 25.0	57	55 9.5	44.3	$\xi = 501$
	8	32 52.4	58	55 37.0	44.0	$N_{43} = 0^{\circ}500 1720$ in Sternzeit
	9	33 19.0	59	56 4.3	44.7	$N_{43} = 0^{\circ}507 7818$ in mittlerer Zeit
	10	33 47.0	60	56 31.4	44.4	

Pendel	Nr. der Coincidenz	Uhrzeit der Coincidenz	Nr. der Coincidenz	Uhrzeit der Coincidenz	Beobachtete Dauer von 50 Coincidenzen	Berechnung der Schwingungsdauer
Sherm-en-Noman, 9. Februar 1896 a. m.						
$A = 13^{\circ} 8' \quad T = 18^{\circ} 40' \quad B = 701^{\circ} 0' \text{ mm} \quad D = 0^{\circ} 9.32$						
24	1	4 ^h 39 ^m 54 ^s .4	51	5 ^h 4 ^m 9 ^s .1	50 ^r = 24 ^m 14 ^s .7	$e = 29^{\circ} 49240$
	2	40 23.5	52	4 38.4	14 ^s .0	$\mu = 0^{\circ} 508 7445$
	3	40 52.4	53	5 7.4	14 ^s .7	$\nu = 1.31$
	4	41 21.0	54	5 30.4	14 ^s .5	$\tau = 1.5$
	5	41 50.0	55	5 5.4	14 ^s .8	$\delta = 505$
	6	42 20.0	56	5 34.5	14 ^s .5	$\Delta_{21} = 0^{\circ} 508 5879 \text{ in Sternzeit}$
	7	42 48.7	57	7 3.0	14 ^s .9	$\Delta_{21} = 0^{\circ} 507 1993 \text{ in mittlerer Zeit}$
	8	43 18.2	58	7 32.7	14 ^s .5	
	9	43 47.1	59	8 1.6	14 ^s .5	
	10	44 10.3	60	8 30.9	14 0	
$A = 13^{\circ} 5' \quad T = 19^{\circ} 17' \quad B = 701^{\circ} 7' \text{ mm} \quad D = 0^{\circ} 9.31$						
28	1	5 ^h 45 ^m 50 ^s .9	51	6 ^h 10 ^m 19 ^s .1	50 ^r = 24 ^m 22 ^s .2	$e = 29^{\circ} 2412$
	2	46 20.4	52	10 48.1	22 ^s .0	$\mu = 0^{\circ} 508 4084$
	3	46 55.5	53	11 17.5	22 ^s .0	$\nu = 1.31$
	4	47 24.9	54	11 47.0	22 ^s .1	$\tau = 5$
	5	47 53.9	55	12 10.0	22 ^s .1	$\delta = 944$
	6	48 23.4	56	12 15.4	22 ^s .0	$\Delta_{21} = 0^{\circ} 507 1512 \text{ in mittlerer Zeit}$
	7	48 52.4	57	13 14.4	22 ^s .0	
	8	49 21.9	58	13 44.0	22 ^s .1	
	9	49 50.9	59	14 13.0	22 ^s .4	
	10	50 20.4	60	14 42.4	22.0	
$A = 13^{\circ} 8' \quad T = 19^{\circ} 70' \quad B = 701^{\circ} 3' \text{ mm} \quad D = 0^{\circ} 9.28$						
35	1	6 ^h 51 ^m 7 ^s .7	51	7 ^h 14 ^m 33 ^s .0	50 ^r = 23 ^m 25 ^s .3	$e = 28^{\circ} 4004$
	2	51 30.2	52	15 1.0	24 ^s .8	$\mu = 0^{\circ} 509 0574$
	3	52 4.1	53	15 29.2	25 ^s .1	$\nu = 1.31$
	4	52 32.4	54	15 57.3	24 ^s .9	$\tau = 5$
	5	53 0.3	55	16 25.4	25 ^s .1	$\delta = 503$
	6	53 28.0	56	16 53.5	24 ^s .9	$\Delta_{21} = 0^{\circ} 508 8065 \text{ in Sternzeit}$
	7	53 56.4	57	17 21.5	25 ^s .1	$\Delta_{21} = 0^{\circ} 507 5071 \text{ in mittlerer Zeit}$
	8	54 24.7	58	17 49.7	25 ^s .0	
	9	54 52.0	59	18 17.0	25 ^s .0	
	10	55 20.9	60	18 45.0	25 0	
$A = 14^{\circ} 1' \quad T = 20^{\circ} 51' \quad B = 760^{\circ} 8' \text{ mm} \quad D = 0^{\circ} 9.23$						
03	1	7 ^h 48 ^m 25 ^s .2	51	8 ^h 11 ^m 12 ^s .4	50 ^r = 22 ^m 47 ^s .2	$e = 27^{\circ} 3444$
	2	48 52.7	52	11 39.9	47 ^s .2	$\mu = 0^{\circ} 509 3130$
	3	49 20.0	53	12 7.1	47 ^s .1	$\nu = 1.31$
	4	49 47.3	54	12 34.7	47 ^s .4	$\tau = 5$
	5	50 14.0	55	13 1.0	47 ^s .0	$\delta = 1030$
	6	50 41.9	56	13 29.3	47 ^s .4	$\Delta_{21} = 0^{\circ} 509 1462 \text{ in Sternzeit}$
	7	51 9.4	57	13 50.5	47 ^s .1	$\Delta_{21} = 0^{\circ} 507 7390 \text{ in mittlerer Zeit}$
	8	51 30.7	58	14 21.1	47 ^s .4	
	9	52 4.0	59	14 51.2	47 ^s .2	
	10	52 31.0	60	15 18.5	47 ^s .2	

Pendel	Nr. der Coincidenz	Uhrzeit der Coincidenz	Nr. der Coincidenz	Uhrzeit der Coincidenz	Beobachtete Dauer von 50 Coincidenzen	Berechnung der Schwingungsdauer
10. Februar 1800 a. m.						
$A = 14^{\circ}4 \quad T = 19^{\circ}05 \quad B = 760^{\circ}2 \text{ mm} \quad D = 0^{\circ}929$						
24	1	4 ^h 20 ^m 21 ^s .7	51	4 ^h 4 ^m 36 ^s .0	50 c = 24 ^m 14 ^s .3	c = 29 ^s 08.48
	2	20 50 ^m 9	52	45 5 ^s .2	14 ^s .3	a = 0 ^s 508 7459
	3	21 20 ^m 1	53	45 14 ^s .4	14 ^s .3	u = — 147
	4	21 49 ^m 2	54	40 3 ^s .5	14 ^s .3	Δ = — 5
	5	22 18 ^m 4	55	40 32 ^s .5	14 ^s .1	τ = — 938
	6	22 47 ^m 4	56	47 1 ^s .0	14 ^s .2	δ = — 504
	7	23 10 ^m 4	57	47 30 ^s .6	14 ^s .2	
	8	23 45 ^m 5	58	47 59 ^s .8	14 ^s .3	
	9	24 14 ^m 0	59	45 28 ^s .7	14 ^s .1	S ₂₄ = 0 ^s 508 5805 in Sternzeit
	10	24 43 ^m 7	60	45 58 ^s .0	14 ^s .3	S ₁₀ = 0 ^s 507 1979 in mittlerer Zeit
$A = 13^{\circ}8 \quad T = 19^{\circ}39 \quad B = 760^{\circ}7 \text{ mm} \quad D = 0^{\circ}929$						
28	1	5 ^h 22 ^m 23 ^s .6	51	5 ^h 40 ^m 45 ^s .4	50 c = 24 ^m 21 ^s .8	c = 29 ^s 2358
	2	22 53 ^m 2	52	47 15 ^s .0	21 ^s .8	a = 0 ^s 508 7000
	3	23 22 ^m 4	53	47 44 ^s .0	21 ^s .6	u = — 147
	4	23 51 ^m 7	54	48 13 ^s .5	21 ^s .8	Δ = — 5
	5	24 20 ^m 0	55	48 42 ^s .5	21 ^s .9	τ = — 955
	6	24 50 ^m 2	56	49 12 ^s .1	21 ^s .0	δ = — 504
	7	25 19 ^m 4	57	49 41 ^s .0	21 ^s .0	
	8	25 48 ^m 0	58	50 10 ^s .4	21 ^s .8	
	9	26 17 ^m 6	59	50 39 ^s .5	21 ^s .9	S ₂₈ = 0 ^s 508 5389 in Sternzeit
	10	26 47 ^m 1	60	51 8 ^s .9	21 ^s .8	S ₁₀ = 0 ^s 507 1505 in mittlerer Zeit
$A = 14^{\circ}1 \quad T = 20^{\circ}01 \quad B = 760^{\circ}6 \text{ mm} \quad D = 0^{\circ}906$						
35	1	6 ^h 24 ^m 38 ^s .5	51	6 ^h 48 ^m 3 ^s .1	50 c = 23 ^m 24 ^s .6	c = 28 ^s 0400
	2	25 0 ^m 7	52	48 31 ^s .7	25 ^s .0	a = 0 ^s 500 0592
	3	25 34 ^m 0	53	48 59 ^s .4	24 ^s .8	u = — 147
	4	26 2 ^m 8	54	49 27 ^s .0	25 ^s .1	Δ = — 5
	5	26 30 ^m 8	55	49 55 ^s .5	24 ^s .7	τ = — 980
	6	26 59 ^m 4	56	50 24 ^s .4	25 ^s .0	δ = — 507
	7	27 27 ^m 1	57	50 51 ^s .0	24 ^s .5	
	8	27 55 ^m 2	58	51 20 ^s .3	25 ^s .1	
	9	28 23 ^m 4	59	51 47 ^s .9	24 ^s .5	S ₃₅ = 0 ^s 508 8052 in Sternzeit
	10	28 51 ^m 4	60	52 10 ^s .4	25 ^s .0	S ₁₀ = 0 ^s 507 5058 in mittlerer Zeit
$A = 13^{\circ}8 \quad T = 20^{\circ}88 \quad B = 760^{\circ}4 \text{ mm} \quad D = 0^{\circ}922$						
03	1	8 ^h 24 ^m 45 ^s .5	51	8 ^h 47 ^m 12 ^s .4	50 c = 22 ^m 40 ^s .9	c = 27 ^s 3300
	2	25 12 ^m 0	52	47 59 ^s .4	40 ^s .8	a = 0 ^s 500 3159
	3	25 40 ^m 1	53	48 27 ^s .1	47 ^s .0	u = — 147
	4	26 7 ^m 3	54	48 54 ^s .1	40 ^s .7	Δ = — 5
	5	26 35 ^m 0	55	49 21 ^s .8	40 ^s .8	τ = — 1029
	6	27 1 ^m 0	56	49 48 ^s .6	40 ^s .7	δ = — 500
	7	27 29 ^m 7	57	50 16 ^s .5	40 ^s .8	
	8	27 50 ^m 6	58	50 43 ^s .4	40 ^s .8	
	9	28 24 ^m 3	59	51 11 ^s .0	40 ^s .7	S ₀₃ = 0 ^s 500 1478 in Sternzeit
	10	28 51 ^m 3	60	51 38 ^s .1	40 ^s .8	S ₁₀ = 0 ^s 507 7576 in mittlerer Zeit

Pendel	Nr. der Coincidenz	Uhrzeit der Coincidenz	Nr. der Coincidenz	Uhrzeit der Coincidenz	Beobachtete Dauer von 50 Coincidenzen	Berechnung der Schwingungsdauer
Ras abu Somer, 10. Februar 1890 a. m.						
$A = 13^{\circ} 1' \quad T = 14^{\circ} 35' \quad B = 764^{\circ} 5' \text{ mm} \quad D = 0^{\circ} 951$						
24	1	$4^h 20^m 7^s.8$	51	$4^h 44^m 25^s.0$	$50c = 24^m 17^s.2$	$c = 29^s 14.14$
	2	$20 30^0.0$	52	$44 53^0.0$	17^s.0	
	3	$21 0^0.0$	53	$45 23^0.3$	17^s.3	$a = 0^s 508 7281$
	4	$21 35^s.1$	54	$45 52^s.1$	17^s.0	$n = \dots 117$
	5	$22 4^s.4$	55	$46 21^s.7$	17^s.3	$\Delta = \dots 5$
	6	$22 33^s.3$	56	$46 50^s.4$	17^s.1	$\tau = \dots 707$
	7	$22 2^s.7$	57	$47 20^s.0$	17^s.3	$\delta = \dots$
	8	$23 31^s.0$	58	$47 48^s.0$	17^s.0	$N_4 = 0^s 508 6037$ in Sternzeit
	9	$23 1^s.0$	59	$48 18^s.3$	17^s.3	$N_4 = 0^s 507 3050$ in mittlerer Zeit
	10	$23 29^s.9$	60	$48 47^s.8$	17^s.2	
$A = 13^{\circ} 0' \quad T = 15^{\circ} 21' \quad B = 764^{\circ} 8' \text{ mm} \quad D = 0^{\circ} 949$						
28	1	$5^h 21^m 55^s.0$	51	$5^h 46^m 20^s.1$	$50c = 24^m 24^s.5$	$c = 29^s 25.00$
	2	$22 24^s.0$	52	$45 48^s.0$	24^s.3	
	3	$22 54^s.2$	53	$47 18^s.7$	24^s.5	$a = 0^s 508 6843$
	4	$23 23^s.4$	54	$47 42^s.5$	24^s.1	$n = \dots 117$
	5	$23 52^s.7$	55	$48 12^s.1$	24^s.4	$\Delta = \dots 5$
	6	$24 22^s.0$	56	$48 40^s.1$	24^s.1	$\tau = \dots 740$
	7	$24 51^s.3$	57	$49 15^s.7$	24^s.4	$\delta = \dots 514$
	8	$25 20^s.5$	58	$49 44^s.6$	24^s.1	
	9	$25 49^s.9$	59	$50 14^s.1$	24^s.4	$N_8 = 0^s 508 5401$ in Sternzeit
	10	$26 19^s.1$	60	$50 43^s.3$	24^s.2	$N_8 = 0^s 507 1538$ in mittlerer Zeit
$A = 13^{\circ} 4' \quad T = 16^{\circ} 45' \quad B = 764^{\circ} 7' \text{ mm} \quad D = 0^{\circ} 944$						
15	1	$6^h 26^m 33^s.0$	51	$6^h 50^m 0^s.2$	$50c = 23^m 27^s.2$	$c = 28^s 13.08$
	2	$27 0^s.9$	52	$50 28^s.4$	27^s.5	
	3	$27 20^s.3$	53	$50 59^s.0$	27^s.3	$a = 0^s 509 0470$
	4	$27 57^s.2$	54	$51 24^s.5$	27^s.1	$n = \dots 117$
	5	$28 25^s.6$	55	$51 52^s.9$	27^s.3	$\Delta = \dots 5$
	6	$28 53^s.4$	56	$52 20^s.9$	27^s.5	$\tau = \dots 810$
	7	$29 21^s.9$	57	$52 49^s.1$	27^s.2	$\delta = \dots 512$
	8	$29 49^s.0$	58	$53 17^s.1$	27^s.5	
	9	$30 18^s.3$	59	$53 45^s.5$	27^s.2	$N_{15} = 0^s 508 6082$ in Sternzeit
	10	$30 46^s.0$	60	$54 13^s.4$	27^s.4	$N_{15} = 0^s 507 5058$ in mittlerer Zeit
$A = 13^{\circ} 0' \quad T = 17^{\circ} 35' \quad B = 764^{\circ} 3' \text{ mm} \quad D = 0^{\circ} 941$						
03	1	$7^h 28^m 19^s.2$	51	$7^h 51^m 8^s.5$	$50c = 22^m 49^s.3$	$c = 27^s 18.48$
	2	$28 40^s.7$	52	$51 36^s.1$	49^s.4	
	3	$29 13^s.9$	53	$52 3^s.1$	49^s.2	$a = 0^s 509 2088$
	4	$29 41^s.5$	54	$52 30^s.9$	49^s.4	$n = \dots 117$
	5	$30 8^s.0$	55	$52 58^s.0$	49^s.4	$\Delta = \dots 5$
	6	$30 30^s.5$	56	$53 25^s.6$	49^s.1	$\tau = \dots 865$
	7	$31 3^s.5$	57	$53 53^s.0$	49^s.1	$\delta = \dots 510$
	8	$31 31^s.3$	58	$54 20^s.4$	49^s.1	
	9	$31 58^s.4$	59	$54 47^s.0$	49^s.2	$N_3 = 0^s 509 1501$ in Sternzeit
	10	$32 26^s.0$	60	$55 15^s.2$	49^s.2	$N_3 = 0^s 507 7599$ in mittlerer Zeit

Pendel	Nr. der Coincidenz	Uhrzeit der Coincidenz	Nr. der Coincidenz	Uhrzeit der Coincidenz	Beobachtete Dauer von 50 Coincidenzen	Berechnung der Schwingungsdauer
Shadwan, 20. Februar 1890 a. m.						
$\lambda = 12^{\circ} 0' \quad T = 10^{\circ} 11' \quad R = 705^{\circ} 1 \text{ mm} \quad D = 0^{\circ} 940$						
21	1	4 ^h 46 ^m 53 ^s 4	51	5 ^h 13 ^m 12 ^s 5	50 ^s = 24 ^m 10 ^s 1	$\sigma = 29^{\circ} 1822$
	2	46 23 ^s 1	52	13 42 1	10 ^s 0	$\sigma = 0^{\circ} 508 7104$
	3	50 14 ^s 0	53	14 10 ^s 8	10 ^s 2	$\sigma = 0^{\circ} 508 7104$
	4	50 21 ^s 3	54	14 40 ^s 3	10 ^s 0	$\sigma = 0^{\circ} 508 7104$
	5	50 50 ^s 1	55	15 0 ^s 4	10 ^s 3	$\sigma = 0^{\circ} 508 7104$
	6	51 10 ^s 7	56	15 38 ^s 7	10 ^s 0	$\sigma = 0^{\circ} 508 7104$
	7	51 48 ^s 4	57	16 7 ^s 0	10 ^s 2	$\sigma = 0^{\circ} 508 7104$
	8	52 18 ^s 1	58	16 37 ^s 1	10 ^s 0	$\sigma = 0^{\circ} 508 7104$
	9	52 46 ^s 0	59	17 5 ^s 9	10 ^s 3	$\sigma = 0^{\circ} 508 7104$
	10	53 16 ^s 4	60	17 35 ^s 4	10 ^s 0	$\sigma = 0^{\circ} 508 7104$
$\lambda = 12^{\circ} 0' \quad T = 10^{\circ} 15' \quad R = 705^{\circ} 7 \text{ mm} \quad D = 0^{\circ} 940$						
28	1	5 ^h 50 ^m 32 ^s 4	51	6 ^h 23 ^m 50 ^s 1	50 ^s = 24 ^m 20 ^s 7	$\sigma = 29^{\circ} 3330$
	2	0 2 ^s 0	52	23 28 ^s 7	20 ^s 7	$\sigma = 0^{\circ} 508 6707$
	3	0 31 ^s 2	53	24 57 ^s 0	20 ^s 4	$\sigma = 0^{\circ} 508 6707$
	4	1 0 ^s 7	54	25 27 ^s 4	20 ^s 7	$\sigma = 0^{\circ} 508 6707$
	5	1 20 ^s 7	55	25 50 ^s 5	20 ^s 8	$\sigma = 0^{\circ} 508 6707$
	6	1 50 ^s 4	56	26 20 ^s 1	20 ^s 7	$\sigma = 0^{\circ} 508 6707$
	7	2 28 ^s 5	57	26 55 ^s 2	20 ^s 7	$\sigma = 0^{\circ} 508 6707$
	8	2 58 ^s 0	58	27 24 ^s 7	20 ^s 7	$\sigma = 0^{\circ} 508 6707$
	9	3 27 ^s 1	59	27 53 ^s 0	20 ^s 5	$\sigma = 0^{\circ} 508 6707$
	10	3 56 ^s 8	60	28 23 ^s 4	20 ^s 0	$\sigma = 0^{\circ} 508 6707$
$\lambda = 12^{\circ} 0' \quad T = 10^{\circ} 30' \quad R = 705^{\circ} 5 \text{ mm} \quad D = 0^{\circ} 945$						
25	1	7 ^h 3 ^m 3 ^s 4	51	7 ^h 26 ^m 33 ^s 4	50 ^s = 23 ^m 29 ^s 0	$\sigma = 28^{\circ} 1808$
	2	3 32 ^s 0	52	27 4 ^s 9	20 ^s 0	$\sigma = 0^{\circ} 509 0315$
	3	4 0 ^s 7	53	27 20 ^s 7	20 ^s 0	$\sigma = 0^{\circ} 509 0315$
	4	4 20 ^s 2	54	27 58 ^s 1	20 ^s 9	$\sigma = 0^{\circ} 509 0315$
	5	4 57 ^s 0	55	28 20 ^s 3	20 ^s 3	$\sigma = 0^{\circ} 509 0315$
	6	5 25 ^s 0	56	28 54 ^s 0	20 ^s 0	$\sigma = 0^{\circ} 509 0315$
	7	5 51 ^s 4	57	29 22 ^s 5	20 ^s 8	$\sigma = 0^{\circ} 509 0315$
	8	6 24 ^s 0	58	29 53 ^s 0	20 ^s 0	$\sigma = 0^{\circ} 509 0315$
	9	6 49 ^s 0	59	30 18 ^s 0	20 ^s 5	$\sigma = 0^{\circ} 509 0315$
	10	7 18 ^s 4	60	30 47 ^s 3	28 ^s 0	$\sigma = 0^{\circ} 509 0315$
$\lambda = 12^{\circ} 0' \quad T = 17^{\circ} 18' \quad R = 705^{\circ} 0 \text{ mm} \quad D = 0^{\circ} 941$						
01	1	8 ^h 5 ^m 5 ^s 0	51	8 ^h 27 ^m 50 ^s 0	50 ^s = 22 ^m 51 ^s 3	$\sigma = 27^{\circ} 4250$
	2	5 31 ^s 4	52	28 24 ^s 7	51 ^s 3	$\sigma = 0^{\circ} 509 2818$
	3	6 0 ^s 4	53	28 51 ^s 7	51 ^s 3	$\sigma = 0^{\circ} 509 2818$
	4	6 28 ^s 3	54	29 19 ^s 5	51 ^s 2	$\sigma = 0^{\circ} 509 2818$
	5	6 55 ^s 4	55	29 50 ^s 0	51 ^s 2	$\sigma = 0^{\circ} 509 2818$
	6	7 23 ^s 2	56	30 14 ^s 5	51 ^s 3	$\sigma = 0^{\circ} 509 2818$
	7	7 50 ^s 2	57	30 41 ^s 5	51 ^s 3	$\sigma = 0^{\circ} 509 2818$
	8	8 18 ^s 0	58	31 0 ^s 1	51 ^s 1	$\sigma = 0^{\circ} 509 2818$
	9	8 45 ^s 0	59	31 30 ^s 4	51 ^s 4	$\sigma = 0^{\circ} 509 2818$
	10	9 12 ^s 7	60	32 4 ^s 1	51 ^s 4	$\sigma = 0^{\circ} 509 2818$

Pendel	Nr. der Coincident	Uhrzeit der Coincidenz	Nr. der Coincident	Uhrzeit der Coincidenz	Beobachtete Dauer von 50 Coincidenzen	Berechnung der Schwingungsdauer
20. Februar 1896 p. m.						
$A = 12^h 6$ $T = 18^m 40$ $B = 704^s 3$ mm $D = 0^s 9310$						
24	1	9 ^h 18 ^m 39 ^s 0	51	9 ^h 42 ^m 57 ^s 0	50 e = 24 ^m 18 ^s 0	$e = 24^m 18.0$
	2	19 9 ^s 1	52	43 27 ^s 1	18 ^s 2	
	3	19 38 ^s 0	53	43 36 0	18 ^s 1	$a = 0^s 508 7225$
	4	20 7 5	54	44 25 6	18 ^s 1	$n = 140$
	5	20 30 ^s 4	55	44 54 ^s 5	18 ^s 1	$\Delta = 5$
	6	21 5 ^s 7	56	45 23 ^s 9	18 ^s 2	$\tau = 0.00$
	7	21 34 ^s 0	57	45 52 ^s 0	18 ^s 0	$\xi = 507$
	8	22 4 ^s 1	58	46 22 ^s 1	18 ^s 0	$S_{21} = 0^s 508 3007$ in Sternzeit
	9	22 33 ^s 0	59	46 51 ^s 0	18 ^s 0	$S_{21} = 0^s 507 1784$ in mittlerer Zeit
	10	23 2 ^s 4	60	47 20 ^s 5	18 ^s 1	
$A = 12^h 6$ $T = 10^m 50$ $B = 703^s 7$ mm $D = 0^s 932$						
28	1	10 ^h 18 ^m 35 ^s 1	51	10 ^h 42 ^m 59 ^s 4	50 e = 24 ^m 24 ^s 3	$e = 24^m 24.3$
	2	19 33 ^s 0	52	43 30 ^s 4	25 ^s 4	
	3	19 33 ^s 0	53	43 58 ^s 5	24 ^s 9	$a = 0^s 508 0800$
	4	20 3 ^s 1	54	44 28 ^s 8	25 ^s 7	$n = 140$
	5	20 32 ^s 4	55	44 57 ^s 0	24 ^s 0	$\Delta = 5$
	6	21 1 ^s 8	56	45 27 ^s 5	25 ^s 7	$\tau = 0.02$
	7	21 30 ^s 0	57	45 55 ^s 4	24 ^s 5	$\xi = 505$
	8	22 0 ^s 4	58	46 26 ^s 1	25 ^s 7	$S_{21} = 0^s 508 5188$ in Sternzeit
	9	22 29 ^s 5	59	46 54 ^s 0	25 ^s 5	$S_{21} = 0^s 507 1304$ in mittlerer Zeit
	10	22 50 ^s 1	60	47 24 ^s 7	25 ^s 0	
$A = 12^h 6$ $T = 20^m 20$ $B = 703^s 11$ mm $D = 0^s 929$						
35	1	11 ^h 24 ^m 35 ^s 1	51	11 ^h 48 ^m 23 ^s 1	50 e = 23 ^m 27 ^s 0	$e = 23^m 27.0$
	2	25 3 ^s 7	52	48 30 ^s 0	27 ^s 2	
	3	25 31 ^s 5	53	48 58 ^s 6	27 ^s 1	$a = 0^s 509 0442$
	4	26 0 ^s 0	54	49 27 ^s 1	27 ^s 1	$n = 140$
	5	26 27 ^s 0	55	49 54 ^s 0	27 ^s 0	$\Delta = 5$
	6	26 56 ^s 2	56	50 23 ^s 5	27 ^s 3	$\tau = 10.20$
	7	27 24 ^s 3	57	50 51 ^s 1	26 ^s 8	$\xi = 504$
	8	27 53 ^s 5	58	51 19 ^s 7	27 ^s 2	$S_{21} = 0^s 508 8773$ in Sternzeit
	9	28 20 ^s 5	59	51 47 ^s 5	27 ^s 0	$S_{21} = 0^s 507 4880$ in mittlerer Zeit
	10	28 48 ^s 7	60	52 16 ^s 0	27 ^s 1	
$A = 12^h 9$ $T = 21^m 07$ $B = 703^s 0$ mm $D = 0^s 927$						
63	1	12 ^h 20 ^m 40 ^s 0	51	12 ^h 49 ^m 20 ^s 4	50 e = 22 ^m 40 ^s 4	$e = 22^m 40.4$
	2	27 7 ^s 7	52	49 57 ^s 0	40 ^s 3	
	3	27 34 ^s 9	53	50 24 ^s 0	40 ^s 1	$a = 0^s 509 2000$
	4	28 2 ^s 5	54	50 51 ^s 7	40 ^s 2	$n = 140$
	5	28 29 ^s 6	55	51 18 ^s 0	40 ^s 3	$\Delta = 5$
	6	28 57 ^s 2	56	51 46 ^s 4	40 ^s 2	$\tau = 10.2$
	7	29 14 ^s 4	57	52 13 ^s 5	40 ^s 1	$\xi = 502$
	8	29 52 ^s 0	58	52 41 ^s 2	40 ^s 2	$S_{21} = 0^s 509 1305$ in Sternzeit
	9	30 19 ^s 3	59	53 8 ^s 4	40 ^s 1	$S_{21} = 0^s 507 7404$ in mittlerer Zeit
	10	30 40 ^s 7	60	53 36 ^s 1	40 ^s 4	

Pendel	Nr. der Coincidenz	Uhrzeit der Coincidenz	Nr. der Coincidenz	Uhrzeit der Coincidenz	Beobachtete Dauer von 50 Coincidenzen	Berechnung der Schwingungsdauer
Ras abu Zenima, 6. März 1896 a. m.						
$A = 12^{\circ} 8' \quad T = 16^{\circ} 9.3 \quad B = 760^{\circ} 9 \text{ mm} \quad D = 0^{\circ} 9.38$						
21	1	5 ^h 9 ^m 49 ^s 1	51	5 ^h 34 ^m 9 ^s 9	50 e = 24 ^m 20 ^s 8	$e = 29^{\circ} 21.38$
	2	10 18 4	52	34 39 1	20 7	
	3	10 47 7	53	35 8 3	20 0	$a = 0^{\circ} 508 7005$
	4	11 16 9	54	35 37 5	20 9	$n = 158$
	5	11 46 1	55	36 6 7	20 0	$\Delta = 5$
	6	12 15 3	56	36 35 9	20 0	$\tau = 834$
	7	12 44 5	57	37 5 1	20 6	$\bar{\tau} = 508$
	8	13 13 0	58	37 34 4	20 8	$N_{21} = 0^{\circ} 508 5500$ in Sternzeit
	9	13 42 9	59	38 3 4	20 5	$N_{24} = 0^{\circ} 507 1074$ in mittlerer Zeit
	10	14 12 0	60	38 32 8	20 8	
$A = 12^{\circ} 8' \quad T = 16^{\circ} 8.2 \quad B = 761^{\circ} 6 \text{ mm} \quad D = 0^{\circ} 9.39$						
28	1	6 ^h 16 ^m 8 ^s 2	51	6 ^h 40 ^m 30 ^s 1	50 e = 24 ^m 27 ^s 9	$e = 29^{\circ} 3590$
	2	16 17 4	52	41 5 4	28 0	
	3	17 46 9	53	41 35 0	28 1	$a = 0^{\circ} 508 0028$
	4	17 36 3	54	42 4 1	27 8	$n = 158$
	5	18 5 6	55	42 33 7	28 1	$\Delta = 5$
	6	18 34 9	56	43 2 7	27 8	$\tau = 829$
	7	19 4 4	57	43 32 5	28 1	$\bar{\tau} = 509$
	8	19 33 6	58	44 1 5	27 9	$N_{28} = 0^{\circ} 508 5127$ in Sternzeit
	9	20 3 1	59	44 31 1	28 0	$N_{28} = 0^{\circ} 507 1243$ in mittlerer Zeit
	10	20 32 5	60	45 0 3	27 8	
$A = 12^{\circ} 5' \quad T = 17^{\circ} 50 \quad B = 761^{\circ} 6 \text{ mm} \quad D = 0^{\circ} 9.37$						
35	1	7 ^h 10 ^m 34 ^s 9	51	7 ^h 43 ^m 5 5	50 e = 23 ^m 30 ^s 0	$e = 28^{\circ} 2142$
	2	20 3 0	52	43 33 5	30 8	
	3	20 31 4	53	44 2 2	30 8	$\tau = 0^{\circ} 509 0208$
	4	20 59 5	54	44 30 2	30 7	$n = 158$
	5	21 27 9	55	44 58 5	30 6	$\Delta = 5$
	6	21 55 0	56	45 26 6	30 7	$\tau = 805$
	7	22 24 4	57	45 55 1	30 7	$\bar{\tau} = 508$
	8	22 52 3	58	46 23 1	30 8	$N_{35} = 0^{\circ} 508 8672$ in Sternzeit
	9	23 20 6	59	46 51 3	30 7	$N_{35} = 0^{\circ} 507 4728$ in mittlerer Zeit
	10	23 48 8	60	47 19 5	30 7	
$A = 12^{\circ} 5' \quad T = 17^{\circ} 48.9 \quad B = 761^{\circ} 5 \text{ mm} \quad D = 0^{\circ} 9.36$						
63	1	8 ^h 10 ^m 10 ^s 3	51	8 ^h 43 ^m 3 3	50 e = 22 ^m 52 ^s 8	$e = 27^{\circ} 4590$
	2	19 37 0	52	42 30 6	53 0	
	3	20 5 1	53	42 58 1	53 0	$a = 0^{\circ} 509 2732$
	4	20 32 6	54	43 25 0	53 0	$n = 158$
	5	21 0 1	55	43 53 1	53 0	$\Delta = 5$
	6	21 27 6	56	44 20 6	53 0	$\tau = 884$
	7	21 55 1	57	44 48 1	53 0	$\bar{\tau} = 507$
	8	22 22 0	58	45 15 0	53 0	$N_{63} = 0^{\circ} 509 1181$ in Sternzeit
	9	22 50 1	59	45 43 0	52 9	$N_{63} = 0^{\circ} 507 7281$ in mittlerer Zeit
	10	23 17 5	60	46 10 0	53 1	

Pendel	Nr. der Coinidenzen	Uhrzeit der Coinidenzen	Nr. der Coinidenzen	Uhrzeit der Coinidenzen	Beobacht. Dauer von 50 Coinidenzen	Berechnung der Schwingungsdauer
Tor, 9. März 1896 a. m.						
$A = 13^{\circ}1' \quad T = 18^{\circ}44' \quad B = 761^{\circ}7 \text{ mm} \quad D = 0^{\circ}934$						
24	1	5 ^h 34 ^m 20 ^s .8	51	5 ^h 58 ^m 43 ^s .2	50 c = 24 ^m 17 ^s .1	$e = 29^{\circ} 4432$
2	2	34 55 ^s .2	52	59 12 ^s .3	17 ^s .4	
3	3	35 24 ^s .4	53	59 41 ^s .0	17 ^s .2	$e = 0^{\circ} 508 7282$
4	4	35 53 ^s .5	54	0 12 ^s .5	17 ^s .4	$\Delta = 140$
5	5	36 22 ^s .9	55	0 40 ^s .1	17 ^s .2	$\Delta = 5$
6	6	36 51 ^s .0	56	1 8 ^s .7	17 ^s .1	$\Delta = 066$
7	7	37 21 ^s .1	57	1 38 ^s .2	17 ^s .4	$\Delta = 500$
8	8	37 49 ^s .0	58	2 7 ^s .2	17 ^s .3	$\Delta = 0^{\circ} 508 5221 \text{ m Sternzeit}$
9	9	38 10 ^s .3	59	2 36 ^s .5	17 ^s .2	$\Delta = 0^{\circ} 507 1817 \text{ m mittlerer Zeit}$
10	10	38 48 ^s .2	60	3 5 ^s .1	17 ^s .2	
$A = 13^{\circ}1' \quad T = 18^{\circ}70' \quad B = 761^{\circ}8 \text{ mm} \quad D = 0^{\circ}933$						
28	1	6 ^h 38 ^m 59 ^s .9	51	7 ^h 1 ^m 24 ^s .8	50 c = 24 ^m 24 ^s .2	$e = 29^{\circ} 2840$
2	2	39 20 ^s .0	52	3 51 ^s .0	24 ^s .0	
3	3	39 58 ^s .5	53	4 23 ^s .9	24 ^s .4	$e = 0^{\circ} 508 6844$
4	4	40 27 ^s .0	54	4 54 ^s .0	24 ^s .0	$\Delta = 140$
5	5	40 57 ^s .0	55	5 24 ^s .3	24 ^s .3	$\Delta = 5$
6	6	41 26 ^s .2	56	5 50 ^s .4	24 ^s .2	$\Delta = 021$
7	7	41 55 ^s .5	57	6 19 ^s .0	24 ^s .4	$\Delta = 500$
8	8	42 24 ^s .7	58	6 48 ^s .8	24 ^s .1	$\Delta = 0^{\circ} 508 5282 \text{ m Sternzeit}$
9	9	42 54 ^s .1	59	7 18 ^s .5	24 ^s .4	$\Delta = 0^{\circ} 507 1818 \text{ m mittlerer Zeit}$
10	10	43 23 ^s .1	60	7 47 ^s .4	24 ^s .0	
$A = 13^{\circ}1' \quad T = 18^{\circ}80' \quad B = 762^{\circ}2 \text{ mm} \quad D = 0^{\circ}933$						
35	1	7 ^h 43 ^m 45 ^s .2	51	8 ^h 7 ^m 12 ^s .3	50 c = 23 ^m 27 ^s .1	$e = 28^{\circ} 1304$
2	2	44 1 ^s .4	52	7 40 ^s .1	27 ^s .0	
3	3	44 41 ^s .5	53	8 8 ^s .0	27 ^s .1	$e = 0^{\circ} 509 0418$
4	4	45 0 ^s .5	54	8 36 ^s .5	27 ^s .0	$\Delta = 140$
5	5	45 37 ^s .9	55	9 4 ^s .0	27 ^s .0	$\Delta = 5$
6	6	46 5 ^s .7	56	9 32 ^s .7	27 ^s .0	$\Delta = 026$
7	7	46 34 ^s .2	57	10 1 ^s .2	27 ^s .0	$\Delta = 500$
8	8	47 2 ^s .4	58	10 20 ^s .1	27 ^s .0	$\Delta = 0^{\circ} 508 8871 \text{ m Sternzeit}$
9	9	47 30 ^s .4	59	10 57 ^s .4	27 ^s .0	$\Delta = 0^{\circ} 507 4076 \text{ m mittlerer Zeit}$
10	10	47 58 ^s .4	60	11 25 ^s .4	27 ^s .0	
$A = 12^{\circ}18' \quad T = 18^{\circ}82' \quad B = 762^{\circ}2 \text{ mm} \quad D = 0^{\circ}933$						
43	1	8 ^h 39 ^m 39 ^s .0	51	9 ^h 2 ^m 28 ^s .4	50 c = 23 ^m 49 ^s .4	$e = 27^{\circ} 3888$
2	2	40 0 ^s .5	52	2 59 ^s .0	49 ^s .5	
3	3	40 33 ^s .7	53	3 23 ^s .3	49 ^s .0	$e = 0^{\circ} 509 1976$
4	4	41 1 ^s .2	54	3 50 ^s .8	49 ^s .0	$\Delta = 140$
5	5	41 28 ^s .5	55	4 17 ^s .9	49 ^s .4	$\Delta = 5$
6	6	41 50 ^s .0	56	4 45 ^s .5	49 ^s .5	$\Delta = 027$
7	7	42 2 ^s .4	57	5 12 ^s .0	49 ^s .2	$\Delta = 500$
8	8	42 50 ^s .8	58	5 40 ^s .3	49 ^s .5	$\Delta = 0^{\circ} 509 1308 \text{ m Sternzeit}$
9	9	43 18 ^s .1	59	6 7 ^s .4	49 ^s .4	$\Delta = 0^{\circ} 507 7407 \text{ m mittlerer Zeit}$
10	10	43 45 ^s .7	60	6 35 ^s .1	49 ^s .4	

Pendel	Nr. der Coincidenz	Uhrzeit der Coincidenz	Nr. der Coincidenz	Uhrzeit der Coincidenz	Beobachtete Dauer von 50 Coincidenzen	Berechnung der Schwingungsdauer
--------	-----------------------	------------------------------	-----------------------	------------------------------	---	---------------------------------

10. März 1896 a. m.

$$A = 13^{\circ}1 \quad T = 17^{\circ}86 \quad B = 702^{\circ}2 \text{ mm} \quad D = 0^{\circ}936$$

24	1	5 ^h 39 ^m 32 ^s 3	51	6 ^h 3 ^m 40 ^s 4	50 r = 24 ^m 17 ^s 1	$e = 29^{\circ} 14.34$
	2	40 1 ^s 3	52	4 18 ^s 0	17.3	$A = 0^{\circ}508 7281$
	3	40 30 ^s 0	53	4 47 ^s 7	17.1	$n = \dots 151$
	4	40 34 ^s 0	54	5 30 ^s 7	17.1	$\Delta m = \dots 5$
	5	44 29 ^s 0	55	5 40 ^s 1	17.1	$\tau m = \dots 880$
	6	44 57 ^s 0	56	6 15 ^s 2	17.3	$\xi m = \dots 507$
	7	44 27 ^s 1	57	6 44 ^s 4	17.3	
	8	42 50 ^s 3	58	7 13 ^s 4	17.1	$R_{11} = 0^{\circ}508 5738$ in Sternzeit
	9	43 25 ^s 5	59	7 42 ^s 7	17.2	$R_{11} = 0^{\circ}507 1852$ in mittlerer Zeit
	10	43 54 ^s 5	60	8 11 ^s 0	17.1	

$$A = 12^{\circ}8 \quad T = 18^{\circ}04 \quad B = 762^{\circ}2 \text{ mm} \quad D = 0^{\circ}936$$

28	2	6 ^h 40 ^m 32 ^s 4	51	7 ^h 4 ^m 56 ^s 7	50 r = 24 ^m 24 ^s 3	$e = 29^{\circ} 28.86$
	3	41 1 ^s 0	52	5 20 ^s 4	24.5	$A = 0^{\circ}508 0840$
	4	42 0 ^s 4	53	5 55 ^s 4	24.4	$n = \dots 151$
	5	42 20 ^s 6	54	6 25 ^s 0	24.0	$\Delta m = \dots 5$
	6	42 50 ^s 0	55	6 54 ^s 0	24.4	$\tau m = \dots 880$
	7	43 28 ^s 3	56	7 23 ^s 0	24.0	$\xi m = \dots 507$
	8	41 57 ^s 7	57	7 52 ^s 0	24.3	
	9	44 20 ^s 9	58	8 21 ^s 4	24.4	$R_{28} = 0^{\circ}508 5388$ in Sternzeit
	10	44 56 ^s 1	60	8 50 ^s 0	24.5	$R_{28} = 0^{\circ}507 1404$ in mittlerer Zeit

$$A = 12^{\circ}8 \quad T = 18^{\circ}43 \quad B = 762^{\circ}2 \text{ mm} \quad D = 0^{\circ}934$$

35	1	7 ^h 43 ^m 41 ^s 0	51	8 ^h 7 ^m 8 ^s 4	50 r = 23 ^m 27 ^s 4	$e = 28^{\circ} 14.8$
	2	44 0 ^s 1	52	7 30 ^s 5	27.4	$A = 0^{\circ}509 0410$
	3	44 37 ^s 3	53	8 4 ^s 0	27.0	$n = \dots 151$
	4	45 5 ^s 4	54	8 32 ^s 8	27.4	$\Delta m = \dots 5$
	5	45 33 ^s 7	55	9 1 ^s 2	27.5	$\tau m = \dots 908$
	6	46 1 ^s 0	56	9 30 ^s 1	27.5	$\xi m = \dots 506$
	7	46 30 ^s 0	57	9 57 ^s 5	27.5	
	8	46 57 ^s 7	58	10 25 ^s 4	27.7	$R_{35} = 0^{\circ}508 8840$ in Sternzeit
	9	47 20 ^s 3	59	10 53 ^s 8	27.5	$R_{35} = 0^{\circ}507 4952$ in mittlerer Zeit
	10	47 54 ^s 2	60	11 21 ^s 0	27.4	

$$A = 13^{\circ}1 \quad T = 18^{\circ}56 \quad B = 762^{\circ}2 \text{ mm} \quad D = 0^{\circ}934$$

63	1	8 ^h 45 ^m 41 ^s 9	51	9 ^h 8 ^m 11 ^s 5	50 r = 22 ^m 40 ^s 6	$e = 27^{\circ} 39.22$
	2	49 0 ^s 0	52	8 58 ^s 5	40.5	$A = 0^{\circ}509 2004$
	3	49 30 ^s 7	53	9 20 ^s 3	40.0	$n = \dots 151$
	4	47 3 ^s 7	54	9 53 ^s 4	40.7	$\Delta m = \dots 5$
	5	47 31 ^s 5	55	10 21 ^s 0	40.5	$\tau m = \dots 914$
	6	47 58 ^s 5	56	10 48 ^s 2	40.7	$\xi m = \dots 506$
	7	48 20 ^s 3	57	11 15 ^s 9	40.4	
	8	48 53 ^s 1	58	11 43 ^s 0	40.7	
	9	49 21 ^s 0	59	12 10 ^s 0	40.0	$R_{63} = 0^{\circ}509 1388$ in Sternzeit
	10	49 48 ^s 1	60	12 37 ^s 7	40.0	$R_{63} = 0^{\circ}507 7437$ in mittlerer Zeit

Pendel	Nr. der Coincidenz	Uhrzeit der Coincidenz	Nr. der Coincidenz	Uhrzeit der Coincidenz	Beobachtete Dauer von 50 Coincidenzen	Berechnung der Schwingungs-Dauer
Ras Gharib, 14. März 1896, a. m.						
$A = 12^{\circ} 4 \quad T = 18^{\circ} 95 \quad B = 758^{\circ} 7 \text{ mm} \quad D = 0^{\circ} 925$						
24	1	5 ^h 48 ^m 38 ^s 7	51	6 ^h 12 ^m 50 ^s 4	50 c = 24 ^m 17 ^s 7	$c = 29^{\circ} 1512$
	2	49 8 2	52	13 25 7	17 5	
	3	49 37 6	53	13 54 0	17 5	$\mu = 0^{\circ} 508 7258$
	4	50 0 6	54	14 24 0	17 4	$\nu = 137$
	5	50 35 5	55	14 53 0	17 5	$\lambda = 4$
	6	51 4 8	56	15 22 3	17 5	$\tau = 234$
	7	51 33 7	57	15 51 4	17 7	$\delta = 501$
	8	52 2 9	58	16 20 6	17 7	$N_{24} = 0^{\circ} 508 5080 \text{ in Sternzeit}$
	9	52 32 0	59	16 49 5	17 5	$N_{24} = 0^{\circ} 507 1794 \text{ in mittlerer Zeit}$
	10	53 1 4	60	17 19 0	17 6	
$T = 12^{\circ} 7 \quad T = 19^{\circ} 14 \quad B = 758^{\circ} 7 \text{ mm} \quad D = 0^{\circ} 928$						
28	1	5 ^h 34 ^m 20 ^s 1	51	7 ^h 18 ^m 34 ^s 0	50 c = 24 ^m 24 ^s 9	$c = 29^{\circ} 2970$
	2	54 35 6	52	19 23 4	24 8	
	3	55 27 7	53	19 52 5	24 8	$\mu = 0^{\circ} 508 0815$
	4	55 57 1	54	20 22 1	25 0	$\nu = 137$
	5	56 26 4	55	20 51 0	24 6	$\lambda = 5$
	6	56 55 9	56	21 20 7	24 8	$\tau = 943$
	7	57 24 9	57	21 49 6	24 7	$\delta = 501$
	8	57 54 3	58	22 19 2	24 9	$N_{28} = 0^{\circ} 508 5227 \text{ in Sternzeit}$
	9	58 23 4	59	22 48 4	25 0	$N_{28} = 0^{\circ} 507 1342 \text{ in mittlerer Zeit}$
	10	58 52 9	60	23 17 9	25 0	
$A = 13^{\circ} 0 \quad T = 19^{\circ} 31 \quad B = 759^{\circ} 1 \text{ mm} \quad D = 0^{\circ} 927$						
35	1	8 ^h 0 ^m 45 ^s 7	51	8 ^h 24 ^m 11 ^s 0	50 c = 23 ^m 27 ^s 3	$c = 28^{\circ} 1504$
	2	1 13 5	52	24 41 0	27 5	
	3	1 41 9	53	25 0 4	27 5	$\mu = 0^{\circ} 509 0415$
	4	2 9 9	54	25 37 5	27 0	$\nu = 137$
	5	2 38 3	55	26 5 8	27 5	$\lambda = 5$
	6	3 0 3	56	26 33 7	27 4	$\tau = 951$
	7	3 34 6	57	27 2 1	27 5	$\delta = 502$
	8	4 2 5	58	27 30 2	27 7	$N_{35} = 0^{\circ} 508 8820 \text{ in Sternzeit}$
	9	4 31 0	59	27 58 4	27 4	$N_{35} = 0^{\circ} 507 4020 \text{ in mittlerer Zeit}$
	10	4 58 0	60	28 26 4	27 5	
$A = 13^{\circ} 0 \quad T = 19^{\circ} 12 \quad B = 759^{\circ} 1 \text{ mm} \quad D = 0^{\circ} 962$						
63	1	9 ^h 5 ^m 19 ^s 0	51	9 ^h 28 ^m 9 ^s 4	50 c = 22 ^m 49 ^s 5	$c = 27^{\circ} 3930$
	2	5 47 5	52	28 37 1	49 0	
	3	6 14 6	53	29 4 4	49 8	$\mu = 0^{\circ} 509 2102$
	4	6 42 3	54	29 32 1	49 8	$\nu = 137$
	5	7 9 4	55	29 59 1	49 7	$\lambda = 5$
	6	7 37 1	56	30 26 9	49 8	$\tau = 948$
	7	8 4 3	57	30 53 9	49 6	$\delta = 502$
	8	8 32 1	58	31 21 0	49 5	$N_{63} = 0^{\circ} 509 1370 \text{ in Sternzeit}$
	9	8 59 0	59	31 48 5	49 5	$N_{63} = 0^{\circ} 507 7499 \text{ in mittlerer Zeit}$
	10	9 20 7	60	32 16 4	49 7	

Pendel	Nr. der Coincidenz	Uhrzeit der Coincidenz	Nr. der Coincidenz	Uhrzeit der Coincidenz	Beobachtete Dauer von 50 Coincidenzen	Berechnung der Schwingungsdauer
Zafarana, 18. März 1896 a. m.						
$A = 13^{\circ}2 \quad T = 17^{\circ}30 \quad B = 701^{\circ}4 \text{ mm} \quad D = 0^{\circ}937$						
24	1	6 ^h 22 ^m 53 ^s 5	51	6 ^h 47 ^m 15 ^s 8	50 ^c = 24 ^m 22 ^s 0	$e = 29^{\circ}2384$
	2	23 14 7	52	47 41 0	21 ^m 9	$\alpha = 0^{\circ}508 6992$
	3	23 52 1	53	48 14 1	22 ^m 0	$\beta = 124$
	4	24 21 0	54	48 43 4	21 ^m 8	$\gamma = 5$
	5	24 50 0	55	49 12 0	21 ^m 7	$\delta = 508$
	6	25 19 0	56	49 41 0	22 ^m 0	$\epsilon = 508$
	7	25 49 2	57	50 11 1	21 ^m 9	$\zeta = 508$
	8	26 18 4	58	50 40 5	22 ^m 0	$\eta = 508$
	9	26 47 7	59	51 10 5	21 ^m 8	$\theta = 508$
	10	27 16 5	60	51 38 0	22 1	$\iota = 508$
$A = 13^{\circ}3 \quad T = 17^{\circ}40 \quad B = 701^{\circ}5 \text{ mm} \quad D = 0^{\circ}937$						
28	1	7 ^h 20 ^m 10 ^s 7	51	7 ^h 50 ^m 40 ^s 3	50 ^c = 24 ^m 29 ^s 0	$e = 29^{\circ}23802$
	2	20 40 5	52	51 9 0	29 4	$\alpha = 0^{\circ}508 6438$
	3	27 0 5	53	51 39 0	29 5	$\beta = 124$
	4	27 30 2	54	51 8 7	29 5	$\gamma = 5$
	5	28 8 5	55	52 37 8	29 5	$\delta = 508$
	6	28 38 0	56	53 7 5	29 5	$\epsilon = 508$
	7	29 7 1	57	53 36 0	29 5	$\zeta = 508$
	8	29 36 5	58	54 0 1	29 5	$\eta = 508$
	9	30 0 0	59	54 35 5	29 5	$\theta = 508$
	10	30 35 0	60	55 5 1	29 5	$\iota = 508$
$A = 13^{\circ}5 \quad T = 17^{\circ}55 \quad B = 701^{\circ}6 \text{ mm} \quad D = 0^{\circ}937$						
29	1	8 ^h 32 ^m 25 ^s 0	51	8 ^h 55 ^m 30 ^s 8	50 ^c = 23 ^m 31 ^s 8	$e = 28^{\circ}2360$
	2	32 53 4	52	56 25 2	31 8	$\alpha = 0^{\circ}509 0137$
	3	33 21 5	53	56 53 4	31 9	$\beta = 124$
	4	33 49 9	54	57 21 8	31 9	$\gamma = 5$
	5	34 18 0	55	57 49 7	31 7	$\delta = 508$
	6	34 46 4	56	58 18 1	31 7	$\epsilon = 508$
	7	35 14 5	57	58 46 4	31 8	$\zeta = 508$
	8	35 42 9	58	59 14 6	31 7	$\eta = 508$
	9	36 10 7	59	59 42 6	31 9	$\theta = 508$
	10	36 39 3	60	60 11 1	31 8	$\iota = 508$
$A = 12^{\circ}7 \quad T = 17^{\circ}65 \quad B = 701^{\circ}0 \text{ mm} \quad D = 0^{\circ}935$						
93	1	9 ^h 32 ^m 35 ^s 3	51	9 ^h 55 ^m 29 ^s 4	50 ^c = 22 ^m 54 ^s 1	$e = 27^{\circ}4906$
	2	33 2 0	52	55 50 7	53 8	$\alpha = 0^{\circ}509 2650$
	3	33 30 2	53	56 24 3	54 1	$\beta = 124$
	4	33 57 8	54	56 51 7	53 9	$\gamma = 5$
	5	34 25 3	55	57 19 4	54 4	$\delta = 508$
	6	34 52 7	56	57 46 7	54 0	$\epsilon = 508$
	7	35 20 1	57	58 14 1	54 0	$\zeta = 508$
	8	35 47 5	58	58 41 6	54 1	$\eta = 508$
	9	36 14 0	59	59 9 0	54 1	$\theta = 508$
	10	36 42 5	60	59 36 0	54 1	$\iota = 508$

Penel	Nr. der Coincidenz	Uhrzeit der Coincidenz	Nr. der Coincidenz	Uhrzeit der Coincidenz	Beobachtete Dauer von 50 Coincidenzen	Berechnung der Schwingungs-dauer
18. März 1896 p. m.						
$A = 13^{\circ} 10' \quad T = 17^{\circ} 71' \quad B = 760^{\circ} 0 \text{ mm} \quad D = 0^{\circ} 934$						
24	1	11 ^h 49 ^m 13 ^s 5	51	0 ^h 13 ^m 35 ^s 0	50 ^m = 24 ^m 22 ^s 1	$\sigma = 29^{\circ} 2400$
	2	49 42 5	52	14 4 5	22 0	
	3	50 12 0	53	14 14 1	22 1	$\mu = 0^{\circ} 508 6976$
	4	50 41 0	54	15 2 0	22 0	$\nu = \dots 110$
	5	51 10 4	55	15 12 5	22 1	$\Delta = \dots 5$
	6	51 39 5	56	16 1 5	22 0	$\tau = \dots 572$
	7	52 9 0	57	16 31 0	22 0	$\delta = \dots 506$
	8	52 37 0	58	16 50 0	22 0	
	9	53 7 4	59	17 29 4	22 0	$\sigma_{24} = 0^{\circ} 508 5487 \text{ in Sternzeit}$
	10	53 36 4	60	17 58 4	22 0	$\sigma_{24} = 0^{\circ} 507 1002 \text{ in mittlerer Zeit}$
$A = 12^{\circ} 17' \quad T = 17^{\circ} 93' \quad B = 759^{\circ} 5 \text{ mm} \quad D = 0^{\circ} 933$						
28	1	0 ^h 55 ^m 28 ^s 1	51	1 ^h 20 ^m 7 ^s 6	50 ^m = 24 ^m 20 ^s 5	$\sigma = 29^{\circ} 3908$
	2	50 7 4	52	20 26 7	20 3	
	3	50 36 9	53	21 6 3	20 4	$\mu = 0^{\circ} 508 6530$
	4	57 0 0	54	21 35 0	20 6	$\nu = \dots 110$
	5	57 35 8	55	22 5 1	20 3	$\Delta = \dots 5$
	6	58 4 7	56	22 34 5	20 6	$\tau = \dots 581$
	7	58 34 5	57	23 4 0	20 5	$\delta = \dots 500$
	8	59 3 0	58	23 31 4	20 5	
	9	59 33 3	59	24 2 7	20 4	$\sigma_{28} = 0^{\circ} 508 5020 \text{ in Sternzeit}$
	10	1 0 2 4	60	24 32 0	20 0	$\sigma_{28} = 0^{\circ} 507 1142 \text{ in mittlerer Zeit}$
$A = 13^{\circ} 10' \quad T = 18^{\circ} 00' \quad B = 758^{\circ} 8 \text{ mm} \quad D = 0^{\circ} 932$						
35	1	2 ^h 7 ^m 47 ^s 4	51	2 ^h 11 ^m 19 ^s 1	50 ^m = 23 ^m 31 ^s 7	$\sigma = 28^{\circ} 2300$
	2	8 15 9	52	31 47 2	31 3	
	3	8 43 7	53	32 15 4	31 7	$\mu = 0^{\circ} 509 0153$
	4	9 12 3	54	32 43 7	31 4	$\nu = \dots 110$
	5	9 40 4	55	33 11 9	31 5	$\Delta = \dots 5$
	6	10 8 8	56	33 40 3	31 5	$\tau = \dots 800$
	7	10 36 7	57	34 8 4	31 7	$\delta = \dots 505$
	8	11 5 3	58	34 36 7	31 4	
	9	11 33 4	59	35 4 7	31 3	$\sigma_{35} = 0^{\circ} 508 8039 \text{ in Sternzeit}$
	10	12 1 7	60	35 33 2	31 5	$\sigma_{35} = 0^{\circ} 507 4745 \text{ in mittlerer Zeit}$
$A = 13^{\circ} 10' \quad T = 18^{\circ} 10' \quad B = 758^{\circ} 8 \text{ mm} \quad D = 0^{\circ} 932$						
63	1	3 ^h 8 ^m 39 ^s 6	51	3 ^h 31 ^m 33 ^s 1	50 ^m = 22 ^m 53 ^s 5	$\sigma = 27^{\circ} 4700$
	2	9 7 1	52	32 0 6	53 5	
	3	9 34 5	53	32 28 1	53 6	$\mu = 0^{\circ} 509 1600$
	4	10 1 9	54	32 55 4	53 5	$\nu = \dots 110$
	5	10 29 4	55	33 23 0	53 0	$\Delta = \dots 5$
	6	10 57 0	56	33 50 4	53 4	$\tau = \dots 895$
	7	11 24 3	57	34 17 9	53 6	$\delta = \dots 505$
	8	11 51 9	58	34 45 3	53 4	
	9	12 19 4	59	35 12 9	53 5	$\sigma_{63} = 0^{\circ} 509 1175 \text{ in Sternzeit}$
	10	12 46 7	60	35 40 1	53 4	$\sigma_{63} = 0^{\circ} 507 7274 \text{ in mittlerer Zeit}$

Pendel	Nr. der Coincidenz	Uhrzeit der Coincidenzen	Nr. der Coincidenz	Uhrzeit der Coincidenz	Beobachtete Dauer von 50 Coincidenzen	Berechnung der Schwingungsdauer
Mersa Dahab, 5. April 1896 n. m.						
$A = 12^{\circ}4 \quad T = 23^{\circ}60 \quad B = 755^{\circ}0 \text{ mm} \quad D = 0^{\circ}910$						
24	1	7 ^h 23 ^m 18 ^s .4	51	7 ^h 42 ^m 25 ^s .2	50 c = 24 ^m 13 ^s .8	$c = 29^{\circ}0700$ $s = 0^{\circ}5087487$ $w = 100$ $\Delta = 4$ $\tau = 1140$ $\xi = 493$ $\delta_{24} = 0^{\circ}5085768$ in Sternzeit $\delta_{24} = 0^{\circ}5071882$ in mittlerer Zeit
	2	23 40.4	52	47 54.1	13.7	
	3	24 0.7	53	48 21.4	13.7	
	4	24 38.5	54	48 52.2	13.7	
	5	25 7.9	55	49 21.7	13.8	
	6	25 30.0	56	49 50.4	13.8	
	7	26 0.0	57	50 19.9	13.9	
	8	26 34.8	58	50 48.4	13.8	
	9	27 4.1	59	51 18.0	13.9	
	10	27 33.0	60	51 40.9	13.9	
$A = 12^{\circ}4 \quad T = 23^{\circ}21 \quad B = 755^{\circ}2 \text{ mm} \quad D = 0^{\circ}908$						
28	1	8 ^h 24 ^m 48 ^s .8	51	8 ^h 49 ^m 9 ^s .9	50 c = 24 ^m 21 ^s .1	$c = 29^{\circ}2210$ $s = 0^{\circ}5087044$ $w = 100$ $\Delta = 4$ $\tau = 1143$ $\xi = 492$ $\delta_{28} = 0^{\circ}5085709$ in Sternzeit $\delta_{28} = 0^{\circ}5071414$ in mittlerer Zeit
	2	25 17.0	52	49 38.2	21.1	
	3	25 47.2	53	50 8.2	21.0	
	4	26 10.3	54	50 37.2	20.9	
	5	26 45.5	55	51 0.0	21.1	
	6	27 14.5	56	51 35.7	21.2	
	7	27 44.0	57	52 5.1	21.1	
	8	28 13.2	58	52 34.2	21.0	
	9	28 43.7	59	53 3.4	20.9	
	10	29 11.4	60	53 32.5	21.1	
$A = 12^{\circ}4 \quad T = 24^{\circ}10 \quad B = 755^{\circ}2 \text{ mm} \quad D = 0^{\circ}909$						
35	1	9 ^h 31 ^m 0 ^s .5	51	9 ^h 54 ^m 29 ^s .4	50 c = 33 ^m 22 ^s .9	$c = 28^{\circ}0546$ $s = 0^{\circ}5090730$ $w = 100$ $\Delta = 4$ $\tau = 1187$ $\xi = 491$ $\delta_{35} = 0^{\circ}5088042$ in Sternzeit $\delta_{35} = 0^{\circ}5075048$ in mittlerer Zeit
	2	31 34.0	52	54 57.5	22.9	
	3	32 2.7	53	55 26.5	22.8	
	4	32 30.9	54	55 53.5	22.0	
	5	32 58.7	55	56 21.0	22.9	
	6	33 27.1	56	56 49.0	22.5	
	7	33 55.0	57	57 17.7	22.7	
	8	34 23.5	58	57 45.9	22.9	
	9	34 51.0	59	58 13.8	22.8	
	10	35 19.4	60	58 42.0	22.0	
$A = 12^{\circ}7 \quad T = 24^{\circ}40 \quad B = 755^{\circ}2 \text{ mm} \quad D = 0^{\circ}904$						
03	1	10 ^h 32 ^m 55 ^s .7	51	10 ^h 55 ^m 41 ^s .1	50 c = 32 ^m 45 ^s .4	$c = 27^{\circ}3090$ $s = 0^{\circ}5093252$ $w = 100$ $\Delta = 5$ $\tau = 1205$ $\xi = 490$ $\delta_{03} = 0^{\circ}5091446$ in Sternzeit $\delta_{03} = 0^{\circ}5077544$ in mittlerer Zeit
	2	33 23.0	52	56 8.1	45.3	
	3	33 50.1	53	56 35.8	45.7	
	4	34 17.6	54	57 2.9	45.3	
	5	34 44.7	55	57 30.5	45.8	
	6	35 12.4	56	57 57.5	45.1	
	7	35 39.3	57	58 25.1	45.8	
	8	36 6.9	58	58 52.1	45.2	
	9	36 34.1	59	59 19.8	45.7	
	10	37 1.4	60	59 46.6	45.2	

Pendel	Nr. der Coincidenz	Uhrzeit der Coincidenz	Nr. der Coincidenz	Uhrzeit der Coincidenz	Beobachtete Dauer von 50 Coincidenzen	Berechnung der Schwingungsdauer
6. April 1896 a. m.						
$A = 12^{\circ}4 \quad T = 23^{\circ}72 \quad B = 751.2 \text{ mm} \quad D = 0.902$						
24	1	$7^h 15^m 44^s.4$	51	$7^h 36^m 53^s.9$	$50e = 24^m 12^s.5$	$e = 29^s.0544$
	2	$16 10^m 0$	52	$40 21.4$	$12^s.5$	$x = 0^s.5087551$
	3	$16 39.4$	53	$40 52.3$	$12^s.7$	$y = 101$
	4	$17 3.7$	54	$41 23.5$	$12^s.8$	$z = 4$
	5	$17 37.5$	55	$41 50.2$	$12^s.7$	$\Delta = 1166$
	6	$18 0.9$	56	$42 10.7$	$12^s.8$	$\Sigma = 489$
	7	$18 35.0$	57	$42 48.4$	$12^s.6$	
	8	$19 4.1$	58	$43 17.0$	$12^s.7$	$S_{24} = 0.5085789 \text{ in Sternzeit}$
	9	$19 33.8$	59	$43 40.4$	$12^s.6$	$N_{24} = 0.5071003 \text{ in mittlerer Zeit}$
	10	$20 3.0$	60	$44 15.8$	$12^s.6$	
$A = 12^{\circ}4 \quad T = 23^{\circ}74 \quad B = 750.7 \text{ mm} \quad D = 0.902$						
28	1	$8^h 16^m 7^s.4$	51	$8^h 40^m 27^s.4$	$50e = 24^m 20^s.0$	$e = 29^s.1000$
	2	$16 30.3$	52	$40 56.1$	$19^s.8$	$x = 0^s.5087110$
	3	$17 5.5$	53	$41 25.9$	$20^s.8$	$y = 101$
	4	$17 34.7$	54	$41 54.5$	$19^s.8$	$z = 4$
	5	$18 4.1$	55	$42 24.1$	$20^s.0$	$\Delta = 1169$
	6	$18 33.1$	56	$42 53.0$	$19^s.9$	$\Sigma = 480$
	7	$19 2.5$	57	$43 22.6$	$20^s.1$	
	8	$19 31.5$	58	$43 51.4$	$19^s.9$	$S_{28} = 0.5085347 \text{ in Sternzeit}$
	9	$20 1.0$	59	$44 21.0$	$20^s.0$	$N_{28} = 0.5071402 \text{ in mittlerer Zeit}$
	10	$20 29.9$	60	$44 49.8$	$19^s.9$	
$A = 12^{\circ}9 \quad T = 24^{\circ}74 \quad B = 750.6 \text{ mm} \quad D = 0.899$						
35	1	$9^h 22^m 50^s.2$	51	$9^h 46^m 13^s.7$	$50e = 23^m 23^s.5$	$e = 28^s.0674$
	2	$23 18.1$	52	$46 41.5$	$23^s.1$	$x = 0^s.5090187$
	3	$23 46.4$	53	$47 10.0$	$23^s.6$	$y = 101$
	4	$24 14.4$	54	$47 37.6$	$23^s.2$	$z = 5$
	5	$24 42.0$	55	$48 6.1$	$23^s.5$	$\Delta = 1210$
	6	$25 10.4$	56	$48 33.6$	$23^s.2$	$\Sigma = 488$
	7	$25 38.7$	57	$49 2.1$	$23^s.4$	
	8	$26 6.6$	58	$49 30.9$	$23^s.4$	$S_{35} = 0.5088874 \text{ in Sternzeit}$
	9	$26 34.9$	59	$49 58.2$	$23^s.3$	$N_{35} = 0.5074980 \text{ in mittlerer Zeit}$
	10	$27 2.6$	60	$50 20.1$	$23^s.5$	
$A = 12^{\circ}4 \quad T = 25^{\circ}37 \quad B = 750.1 \text{ mm} \quad D = 0.895$						
63	1	$10^h 23^m 26^s.8$	51	$10^h 46^m 12^s.4$	$50e = 22^m 45^s.8$	$e = 27^s.3100$
	2	$23 54.3$	52	$46 39.8$	$45^s.5$	$x = 0^s.5093249$
	3	$24 21.4$	53	$47 0.9$	$45^s.5$	$y = 101$
	4	$24 49.0$	54	$47 34.4$	$45^s.4$	$z = 4$
	5	$25 15.8$	55	$48 1.3$	$45^s.5$	$\Delta = 1250$
	6	$25 43.5$	56	$48 28.9$	$45^s.4$	$\Sigma = 485$
	7	$26 10.4$	57	$48 56.1$	$45^s.7$	
	8	$26 38.1$	58	$49 23.5$	$45^s.4$	$S_{63} = 0.5091400 \text{ in Sternzeit}$
	9	$27 5.2$	59	$49 50.0$	$45^s.4$	$N_{63} = 0.5077508 \text{ in mittlerer Zeit}$
	10	$27 32.9$	60	$50 18.3$	$45^s.4$	

Pendel	Nr. der Coincidenz	Uhrzeit der Coincidenz	Nr. der Coincidenz	Uhrzeit der Coincidenz	Beobachtete Dauer von 50 Coincidenzen	Berechnung der Schwingungsdauer
Nawibi, 12. April 1896 a. m.						
$A = 12^{\circ}4 \quad T = 18^{\circ}29 \quad H = 791^{\circ}0 \text{ mm} \quad D = 0^{\circ}933$						
24	1	5 ^h 54 ^m 24 ^s 7	51	7 ^h 18 ^m 44 ^s 7	50 $\epsilon = 24^{\text{m}} 17^{\text{s}} 0$	$\epsilon = 24^{\text{m}} 1420$
	2	54 55 40	52	19 10 0	17 0	
	3	55 23 0	53	19 40 1	17 1	$x = 0^{\circ}508 7283$
	4	55 51 0	54	20 0 0	17 2	$y = \text{---} 139$
	5	56 21 2	55	20 38 4	17 2	$z = \text{---} 4$
	6	56 50 2	56	21 7 4	17 2	$\tau = \text{---} 961$
	7	57 10 5	57	21 36 7	17 2	$\delta = \text{---} 506$
	8	57 48 5	58	22 5 5	17 0	
	9	58 17 8	59	22 35 0	17 2	$N_{24} = 0^{\circ}508 5734 \text{ in Sternzeit}$
	10	58 46 6	60	23 3 8	17 2	$N_{24} = 0^{\circ}507 1848 \text{ in mittlerer Zeit}$
$A = 12^{\circ}7 \quad T = 18^{\circ}23 \quad H = 791^{\circ}3 \text{ mm} \quad D = 0^{\circ}933$						
28	1	7 ^h 56 ^m 11 ^s 7	51	8 ^h 20 ^m 30 ^s 4	50 $\epsilon = 24^{\text{m}} 24^{\text{s}} 7$	$\epsilon = 29^{\text{m}} 2920$
	2	56 41 5	52	31 0 1	24 6	
	3	57 10 4	53	31 35 0	24 6	$x = 0^{\circ}508 0830$
	4	57 40 1	54	32 4 0	24 6	$y = \text{---} 119$
	5	58 9 0	55	32 33 5	24 5	$z = \text{---} 5$
	6	58 38 7	56	33 3 4	24 7	$\tau = \text{---} 806$
	7	59 7 6	57	33 32 1	24 5	$\delta = \text{---} 506$
	8	59 37 3	58	34 1 0	24 6	
	9	60 6 1	59	34 30 8	24 5	$N_{28} = 0^{\circ}508 5482 \text{ in Sternzeit}$
	10	60 35 9	60	35 0 4	24 5	$N_{28} = 0^{\circ}507 1397 \text{ in mittlerer Zeit}$
$A = 13^{\circ}0 \quad T = 18^{\circ}07 \quad H = 791^{\circ}4 \text{ mm} \quad D = 0^{\circ}933$						
35	1	9 ^h 15 ^m 37 ^s 2	51	11 ^h 30 ^m 4 4	50 $\epsilon = 23^{\text{m}} 27^{\text{s}} 2$	$\epsilon = 28^{\text{m}} 1470$
	2	16 3 5	52	39 32 0	27 4	
	3	16 33 5	53	40 0 0	27 4	$x = 0^{\circ}500 0420$
	4	17 1 0	54	40 39 2	27 3	$y = \text{---} 139$
	5	17 29 8	55	40 57 1	27 3	$z = \text{---} 5$
	6	17 58 1	56	41 25 5	27 4	$\tau = \text{---} 920$
	7	18 25 9	57	41 53 4	27 5	$\delta = \text{---} 506$
	8	18 54 4	58	42 21 8	27 4	
	9	19 23 4	59	42 49 6	27 2	$N_{35} = 0^{\circ}508 8856 \text{ in Sternzeit}$
	10	19 50 7	60	43 18 1	27 4	$N_{35} = 0^{\circ}507 4902 \text{ in mittlerer Zeit}$
$A = 12^{\circ}7 \quad T = 19^{\circ}37 \quad H = 791^{\circ}7 \text{ mm} \quad D = 0^{\circ}930$						
63	1	10 ^h 54 ^m 11 ^s 4	51	12 ^h 48 ^m 1 0	50 $\epsilon = 22^{\text{m}} 49^{\text{s}} 8$	$\epsilon = 27^{\text{m}} 3910$
	2	25 39 1	52	48 25 9	49 8	
	3	26 6 2	53	48 55 7	49 5	$x = 0^{\circ}509 2080$
	4	26 33 9	54	49 23 7	49 8	$y = \text{---} 139$
	5	27 1 0	55	49 50 4	49 4	$z = \text{---} 5$
	6	27 28 8	56	50 18 2	49 5	$\tau = \text{---} 954$
	7	27 55 6	57	50 45 1	49 5	$\delta = \text{---} 504$
	8	28 23 7	58	51 12 1	49 4	
	9	28 50 4	59	51 40 0	49 6	$N_{63} = 0^{\circ}509 1307 \text{ in Sternzeit}$
	10	29 18 5	60	52 7 9	49 4	$N_{63} = 0^{\circ}507 7406 \text{ in mittlerer Zeit}$

Pendel	Nr. der Coincidenz	Uhrzeit der Coincidenz	Nr. der Coincidenz	Uhrzeit der Coincidenz	Beobachtete Dauer von 50 Coincidenzen	Berechnung der Schwingungsdauer
Akabah, 15. April 1890 a. m.						
$A = 12^{\circ}0 \quad T = 49^{\circ}23 \quad B = 702^{\circ}3 \text{ sec} \quad D = 0^{\circ}930$						
24	1	8 ^h 1 ^m 40 ^s .6	51	8 ^h 25 ^m 58 ^s .9	50 r = 24 ^m 18 ^s .3	$r = 29^{\circ} 103.0$
	2	2 07.5	52	26 27.8	18.3	$\mu = 0^{\circ} 508 7215$
	3	2 38.9	53	26 57.2	18.3	$\Delta = 147$
	4	3 7.8	54	27 20.1	18.3	$\tau = 5$
	5	3 37.3	55	27 55.6	18.3	$\delta = 504$
	6	4 6.3	56	28 24.5	18.2	$N_{24} = 0^{\circ} 508 5587 \text{ m Sternzeit}$
	7	4 35.7	57	28 53.9	18.2	$N_{24} = 0^{\circ} 507 1701 \text{ m mittlerer Zeit}$
	8	5 4.5	58	29 22.7	18.2	
	9	5 34.1	59	29 52.2	18.1	
	10	6 2.9	60	30 21.0	18.1	
$A = 12^{\circ}0 \quad T = 20^{\circ}17 \quad B = 762^{\circ}3 \text{ sec} \quad D = 0^{\circ}928$						
25	1	9 ^h 44 ^m 29 ^s .9	54	9 ^h 35 ^m 55 ^s .4	50 r = 24 ^m 25 ^s .5	$r = 29^{\circ} 1100$
	2	11 59.3	55	36 25.0	25.7	$\mu = 0^{\circ} 508 0734$
	3	12 28.5	56	36 53.8	25.3	$\Delta = 147$
	4	12 57.9	57	37 23.7	25.8	$\tau = 5$
	5	13 27.1	58	37 53.5	25.4	$\delta = 504$
	6	13 56.7	59	38 23.2	25.5	$N_{25} = 0^{\circ} 508 5123 \text{ m Sternzeit}$
	7	14 25.7	57	38 51.8	25.4	$N_{25} = 0^{\circ} 507 1241 \text{ m mittlerer Zeit}$
	8	14 55.2	58	39 20.8	25.6	
	9	15 24.4	59	39 49.6	25.2	
	10	15 53.8	60	40 19.4	25.0	
$A = 12^{\circ}9 \quad T = 20^{\circ}50 \quad B = 762^{\circ}4 \text{ sec} \quad D = 0^{\circ}927$						
35	1	10 ^h 17 ^m 59 ^s .1	51	10 ^h 41 ^m 27 ^s .0	50 r = 23 ^m 27 ^s .0	$r = 28^{\circ} 1584$
	2	18 27.0	52	41 51.9	27.9	$\mu = 0^{\circ} 509 0500$
	3	18 55.5	53	42 23.4	27.9	$\Delta = 147$
	4	19 23.4	54	42 51.4	28.0	$\tau = 5$
	5	19 51.9	55	43 19.8	27.9	$\delta = 502$
	6	20 19.6	56	43 47.6	28.0	$N_{35} = 0^{\circ} 508 8723 \text{ m Sternzeit}$
	7	20 48.0	57	44 16.0	28.0	$N_{35} = 0^{\circ} 507 4829 \text{ m mittlerer Zeit}$
	8	21 16.0	58	44 43.8	27.8	
	9	21 44.4	59	45 12.3	27.9	
	10	22 12.3	60	45 40.2	27.9	
$A = 12^{\circ}0 \quad T = 21^{\circ}00 \quad B = 761^{\circ}0 \text{ sec} \quad D = 0^{\circ}923$						
63	1	11 ^h 20 ^m 27 ^s .7	51	11 ^h 43 ^m 17 ^s .7	50 r = 23 ^m 50 ^s .0	$r = 27^{\circ} 3994$
	2	20 55.4	52	43 45.4	49.8	$\mu = 0^{\circ} 509 2040$
	3	21 22.0	53	44 12.5	49.9	$\Delta = 147$
	4	21 50.2	54	44 40.3	50.1	$\tau = 5$
	5	22 17.4	55	45 7.4	50.0	$\delta = 500$
	6	22 45.1	56	45 35.1	50.0	$N_{63} = 0^{\circ} 509 1251 \text{ m Sternzeit}$
	7	23 12.1	57	46 2.1	50.0	$N_{63} = 0^{\circ} 507 7352 \text{ m mittlerer Zeit}$
	8	23 39.9	58	46 29.9	50.0	
	9	24 6.9	59	46 57.0	50.1	
	10	24 34.9	60	47 24.7	49.8	

Pendel	Nr. der Coincidenz	Uhrzeit der Coincidenz	Nr. der Coincidenz	Uhrzeit der Coincidenz	Beobachtete Dauer von 50 Coincidenzen	Berechnung der Schwingungsdauer
16. April 1896 a. m.						
$A = 12^{\circ}10' \quad T = 20^{\circ}02' \quad B = 701^{\circ}6 \text{ mm} \quad D = 0^{\circ}926$						
24	1	7 ^h 31 ^m 35 ^s .3	51	7 ^h 35 ^m 52 ^s .7	50 r = 24 ^m 17 ^s .4	c = 29 ^s 1464
	2	32 4 ^s .7	52	50 21 ^s .9	17 ^s .2	s = 0 ^s 508 7272
	3	32 33 ^s .5	53	50 50 ^s .9	17 ^s .4	n = — 144
	4	33 2 ^s .9	54	57 20 ^s .2	17 ^s .3	u = — 5
	5	33 31 ^s .9	55	57 49 ^s .4	17 ^s .5	Δ = — 5
	6	34 1 ^s .2	56	58 18 ^s .5	17 ^s .3	τ = — 1016
	7	34 30 ^s .4	57	58 47 ^s .0	17 ^s .2	δ = — 502
	8	34 59 ^s .5	58	59 10 ^s .7	17 ^s .2	
	9	35 28 ^s .5	59	59 45 ^s .9	17 ^s .4	N ₂₄ = 0 ^s 508 5005 in Sternzeit
	10	35 57 ^s .9	60	8 0 15 ^s .2	17 ^s .3	N ₂₄ = 0 ^s 507 1730 in mittlerer Zeit
$A = 12^{\circ}9' \quad T = 20^{\circ}99' \quad B = 701^{\circ}7 \text{ mm} \quad D = 0^{\circ}924$						
28	1	8 ^h 35 ^m 37 ^s .7	51	8 ^h 0 ^m 2 ^s .3	50 r = 24 ^m 24 ^s .0	c = 29 ^s 2920
	2	36 7 ^s .3	52	0 31 ^s .0	24 ^s .0	s = 0 ^s 508 6830
	3	36 30 ^s .5	53	1 1 ^s .1	24 ^s .0	n = — 144
	4	37 5 ^s .9	54	1 30 ^s .5	24 ^s .6	u = — 5
	5	37 35 ^s .1	55	1 59 ^s .6	24 ^s .5	Δ = — 5
	6	38 4 ^s .6	56	2 29 ^s .2	24 ^s .6	τ = — 1034
	7	38 33 ^s .6	57	3 58 ^s .1	24 ^s .7	δ = — 501
	8	39 3 ^s .0	58	3 27 ^s .8	24 ^s .8	
	9	39 32 ^s .3	59	3 56 ^s .8	24 ^s .5	N ₂₈ = 0 ^s 508 5140 in Sternzeit
	10	40 1 ^s .7	60	4 26 ^s .2	24 ^s .5	N ₂₈ = 0 ^s 507 1262 in mittlerer Zeit
$A = 12^{\circ}9' \quad T = 21^{\circ}30' \quad B = 702^{\circ}4 \text{ mm} \quad D = 0^{\circ}924$						
35	1	9 ^h 30 ^m 38 ^s .4	51	10 ^h 3 ^m 5 ^s .5	50 r = 23 ^m 27 ^s .1	c = 28 ^s 1420
	2	40 6 ^s .9	52	3 34 ^s .1	27 ^s .2	s = 0 ^s 509 0442
	3	40 34 ^s .6	53	4 1 ^s .6	27 ^s .0	n = — 144
	4	41 3 ^s .1	54	4 30 ^s .3	27 ^s .2	u = — 5
	5	41 31 ^s .0	55	4 58 ^s .1	27 ^s .1	τ = — 1049
	6	41 59 ^s .5	56	5 26 ^s .6	27 ^s .1	δ = — 501
	7	42 27 ^s .3	57	5 54 ^s .3	27 ^s .0	
	8	42 55 ^s .6	58	6 23 ^s .0	27 ^s .2	N ₃₅ = 0 ^s 508 8743 in Sternzeit
	9	43 23 ^s .6	59	6 50 ^s .6	27 ^s .0	N ₃₅ = 0 ^s 507 4849 in mittlerer Zeit
	10	43 52 ^s .1	60	7 19 ^s .2	27 ^s .1	
$A = 12^{\circ}6' \quad T = 21^{\circ}58' \quad B = 701^{\circ}6 \text{ mm} \quad D = 0^{\circ}922$						
13	1	10 ^h 42 ^m 20 ^s .7	51	11 ^h 5 ^m 10 ^s .4	50 r = 22 ^m 49 ^s .7	c = 27 ^s 3670
	2	42 54 ^s .1	52	5 43 ^s .5	49 ^s .4	s = 0 ^s 509 2083
	3	43 21 ^s .6	53	6 10 ^s .9	49 ^s .3	n = — 144
	4	43 49 ^s .1	54	6 38 ^s .4	49 ^s .3	u = — 5
	5	44 10 ^s .4	55	7 5 ^s .0	49 ^s .2	τ = — 1063
	6	44 43 ^s .9	56	7 33 ^s .1	49 ^s .2	δ = — 500
	7	45 11 ^s .1	57	8 0 ^s .4	49 ^s .3	
	8	45 38 ^s .7	58	8 27 ^s .9	49 ^s .2	N ₁₃ = 0 ^s 509 1271 in Sternzeit
	9	46 5 ^s .7	59	8 55 ^s .3	49 ^s .6	N ₁₃ = 0 ^s 507 7370 in mittlerer Zeit
	10	46 33 ^s .4	60	9 22 ^s .7	49 ^s .3	

Pendel	Nr. der Coincidenz	Uhrzeit der Coincidenz	Nr. der Coincidenz	Uhrzeit der Coincidenz	Beobachtete Dauer von 50 Coincidenzen	Berechnung der Schwingungsdauer
Bir al-Māshija, 10. April 1896 a. m.						
$A = 12^{\circ}3' \quad T = 21^{\circ}10' \quad B = 701^{\circ}0' \text{ mm} \quad D = 0^{\circ}923$						
24	1	7 ^h 57 ^m 44 ^s .2	51	8 ^h 21 ^m 59 ^s .1	50 $\sigma = 24^{\text{m}} 14^{\text{s}}.9$	$\sigma = 29^{\text{s}} 09.80$ $n = 0^{\circ} 508 7418$ $u \text{ mm} = 105$ $\Delta = - 4$ $\tau \text{ mm} = 104.2$ $\delta \text{ mm} = 500$ $N_{24} = 0^{\circ} 508 57.97$ in Sternzeit $N_{24} = 0^{\circ} 507 18.21$ in mittlerer Zeit
	2	58 13.5	52	22 28.5	15.0	
	3	58 17.4	53	22 57.3	14.9	
	4	59 11.9	54	23 20.8	14.9	
	5	59 40.5	55	23 55.5	15.0	
	6	0 10.1	56	24 25.0	14.9	
	7	0 38.7	57	24 53.6	14.9	
	8	1 8.2	58	25 23.1	14.9	
	9	1 36.9	59	25 51.7	14.8	
	10	2 0.4	60	26 21.2	14.8	
$A = 12^{\circ}3' \quad T = 21^{\circ}16' \quad B = 701^{\circ}0' \text{ mm} \quad D = 0^{\circ}923$						
28	1	9 ^h 4 ^m 9 ^s .1	51	9 ^h 28 ^m 31 ^s .3	50 $\sigma = 24^{\text{m}} 22^{\text{s}}.2$	$\sigma = 29^{\text{s}} 24.40$ $n = 0^{\circ} 508 6075$ $u \text{ mm} = 105$ $\Delta = - 5$ $\tau \text{ mm} = 101.2$ $\delta \text{ mm} = 500$ $N_{28} = 0^{\circ} 508 516.1$ in Sternzeit $N_{28} = 0^{\circ} 507 13.78$ in mittlerer Zeit
	2	4 38.0	52	29 0.1	22.1	
	3	5 7.0	53	29 29.8	22.2	
	4	5 30.5	54	29 58.7	22.2	
	5	6 0.1	55	30 28.2	22.1	
	6	6 34.9	56	30 57.1	22.2	
	7	7 4.6	57	31 26.9	22.3	
	8	7 33.5	58	31 55.8	22.3	
	9	8 3.0	59	32 25.2	22.7	
	10	8 32.1	60	32 54.3	22.3	
$A = 12^{\circ}3' \quad T = 21^{\circ}8'0'' \quad B = 701^{\circ}5' \text{ mm} \quad D = 0^{\circ}922$						
35	1	10 ^h 11 ^m 3 ^s .5	51	10 ^h 34 ^m 28 ^s .6	50 $\sigma = 23^{\text{m}} 25^{\text{s}}.1$	$\sigma = 28^{\text{s}} 1004$ $n = 0^{\circ} 500 0578$ $u \text{ mm} = 105$ $\Delta = - 5$ $\tau \text{ mm} = 107.4$ $\delta \text{ mm} = 500$ $N_{35} = 0^{\circ} 508 88.34$ in Sternzeit $N_{35} = 0^{\circ} 507 49.40$ in mittlerer Zeit
	2	11 31.8	52	34 50.7	24.9	
	3	11 59.7	53	35 24.9	25.2	
	4	12 28.1	54	35 53.1	25.0	
	5	12 56.0	55	36 21.1	25.1	
	6	13 24.3	56	36 49.2	24.9	
	7	13 52.3	57	37 17.4	25.1	
	8	14 20.5	58	37 45.8	24.8	
	9	14 48.4	59	38 13.5	25.1	
	10	15 16.5	60	38 41.5	25.0	
$A = 12^{\circ}6' \quad T = 22^{\circ}45' \quad B = 701^{\circ}1' \text{ mm} \quad D = 0^{\circ}919$						
03	1	11 ^h 11 ^m 52 ^s .4	51	11 ^h 34 ^m 39 ^s .9	50 $\sigma = 22^{\text{m}} 47^{\text{s}}.5$	$\sigma = 27^{\text{s}} 34.90$ $n = 0^{\circ} 500 3114$ $u \text{ mm} = 105$ $\Delta = - 5$ $\tau \text{ mm} = 110.6$ $\delta \text{ mm} = 498$ $N_{03} = 0^{\circ} 509 134.0$ in Sternzeit $N_{03} = 0^{\circ} 507 74.30$ in mittlerer Zeit
	2	12 19.6	52	35 7.2	47.6	
	3	12 47.1	53	35 34.5	47.4	
	4	13 14.4	54	36 1.9	47.5	
	5	13 41.9	55	36 29.3	47.4	
	6	14 9.1	56	36 56.6	47.5	
	7	14 36.7	57	37 23.9	47.2	
	8	15 3.7	58	37 51.3	47.6	
	9	15 31.3	59	38 18.7	47.4	
	10	15 58.5	60	38 45.9	47.4	

Pendel	Nr. der Coincidenz	Uhrzeit der Coincidenz	Nr. der Coincidenz	Uhrzeit der Coincidenz	Beobachtete Dauer von 50 Coincidenzen	Berechnung der Schwingungsdauer
Senahr, 24. April 1891 a. m.						
$A = 12^{\circ} 9' \quad T = 22^{\circ} 95' \quad B = 758^{\circ} 0 \text{ sec} \quad D = 0^{\circ} 911$						
24	1	8 ^h 20 ^m 47 ^s 4	51	51 ^m 3 ^s 4	50 ^r = 24 ^m 10 ^s 0	$r = 29^{\circ} 1430$
	2	27 17 4	52	51 33 1	10 ^s 0	$s = 0^{\circ} 508 7355$
	3	27 45 6	53	52 14 6	10 ^s 0	$\Delta = - 5$
	4	28 15 1	54	52 31 3	10 ^s 0	$\eta = - 120$
	5	28 44 0	55	52 50 9	15 ^s 9	$\epsilon = - 1131$
	6	29 13 5	56	53 20 4	15 ^s 9	$\delta = - 495$
	7	29 42 4	57	53 58 1	15 ^s 8	$N_{11} = 0^{\circ} 508 5004$ in Sternzeit
	8	30 11 7	58	54 27 8	16 ^s 1	$S_{11} = 0^{\circ} 507 1718$ in mittlerer Zeit
	9	30 40 5	59	54 56 4	15 ^s 9	
	10	31 10 0	60	55 25 9	15 ^s 9	
$A = 12^{\circ} 6' \quad T = 23^{\circ} 22' \quad B = 758^{\circ} 3 \text{ sec} \quad D = 0^{\circ} 912$						
28	1	9 ^h 32 ^m 7 ^s 4	51	9 ^h 56 ^m 30 ^s 9	50 ^r = 24 ^m 23 ^s 4	$r = 29^{\circ} 2050$
	2	32 36 6	52	56 59 7	23 ^s 4	$s = 0^{\circ} 508 8091$
	3	33 5 9	53	57 29 3	23 ^s 4	$\eta = - 120$
	4	33 35 4	54	57 58 4	23 ^s 0	$\Delta = - 5$
	5	34 4 5	55	58 27 9	23 ^s 4	$\epsilon = - 1144$
	6	34 33 7	56	58 57 0	23 ^s 3	$\delta = - 494$
	7	35 3 0	57	59 26 4	23 ^s 4	$N_{11} = 0^{\circ} 508 5148$ in Sternzeit
	8	35 32 1	58	59 55 5	23 ^s 4	$S_{11} = 0^{\circ} 507 1284$ in mittlerer Zeit
	9	36 1 6	59	60 24 9	23 ^s 5	
	10	36 30 8	60	0 53 9	23 ^s 1	
$A = 12^{\circ} 9' \quad T = 24^{\circ} 12' \quad B = 758^{\circ} 2 \text{ sec} \quad D = 0^{\circ} 910$						
35	1	10 ^h 34 ^m 15 ^s 5	51	10 ^h 52 ^m 41 ^s 1	50 ^r = 23 ^m 25 ^s 9	$r = 28^{\circ} 1130$
	2	34 43 0	52	58 9 9	20 ^s 0	$s = 0^{\circ} 509 0521$
	3	35 11 7	53	58 37 6	25 ^s 9	$\eta = - 120$
	4	35 40 1	54	59 6 0	25 ^s 9	$\Delta = - 5$
	5	36 8 1	55	59 34 4	25 ^s 9	$\epsilon = - 1188$
	6	36 36 4	56	0 2 3	25 ^s 9	$\delta = - 493$
	7	37 4 2	57	0 30 3	26 ^s 0	$N_{11} = 0^{\circ} 508 8715$ in Sternzeit
	8	37 32 6	58	0 58 4	25 ^s 8	$S_{11} = 0^{\circ} 507 4821$ in mittlerer Zeit
	9	38 0 5	59	1 26 4	25 ^s 9	
	10	38 28 9	60	1 54 7	25 ^s 8	
$A = 12^{\circ} 6' \quad T = 24^{\circ} 05' \quad B = 758^{\circ} 1 \text{ sec} \quad D = 0^{\circ} 909$						
63	1	11 ^h 30 ^m 14 ^s 0	51	11 ^h 50 ^m 2 ^s 4	50 ^r = 22 ^m 48 ^s 4	$r = 27^{\circ} 3000$
	2	30 41 3	52	59 29 8	48 ^s 5	$s = 0^{\circ} 509 3054$
	3	37 8 6	53	59 57 0	48 ^s 4	$\eta = - 120$
	4	37 36 2	54	0 24 5	48 ^s 3	$\Delta = - 5$
	5	38 3 5	55	0 51 9	48 ^s 2	$\epsilon = - 1229$
	6	38 31 0	56	1 19 2	48 ^s 2	$\delta = - 491$
	7	38 58 1	57	1 46 5	48 ^s 2	$N_{11} = 0^{\circ} 509 1209$ in Sternzeit
	8	39 25 7	58	2 13 9	48 ^s 2	$S_{11} = 0^{\circ} 507 7101$ in mittlerer Zeit
	9	39 52 6	59	2 41 2	48 ^s 4	
	10	40 20 4	60	3 8 6	48 ^s 2	

Pendel	Nr. der Coincidenz	Uhrzeit der Coincidenz	Nr. der Coincidenz	Uhrzeit der Coincidenz	Beobachtete Dauer von 50 Coincidenzen	Berechnung der Schwingungsdauer
Sherm Sheikh an der Sinaiküste, 20. April 1896 a. m.						
$A = 12^{\circ}5 \quad T = 25^{\circ}06 \quad B = 756^{\circ}0 \text{ mm} \quad D = 0^{\circ}900$						
24	1	6 ^h 26 ^m 53 ^s .4	51	6 ^h 51 ^m 5 ^s .0	50 $\tau = 24^{\text{m}} 11^{\text{s}}.0$	$\tau = 29^{\text{s}} 0270$
	2	27 22.4	52	51 33.6	11.2	
	3	27 51.7	53	52 3.9	11.2	$\alpha = 0^{\circ}508 7636$
	4	28 20.6	54	52 31.9	11.5	$\mu = \text{---} 143$
	5	28 49.4	55	52 0.5	11.1	$\Delta = \text{---} 5$
	6	29 18.4	56	53 29.7	11.3	$\tau = \text{---} 1276$
	7	29 47.6	57	53 58.9	11.1	$\delta = \text{---} 488$
	8	30 16.4	58	54 28.1	11.7	$N_1 = 0^{\circ}508 5721$ in Sternzeit
	9	30 45.9	59	54 57.2	11.3	$N_2 = 0^{\circ}507 1835$ in mittlerer Zeit
	10	31 14.5	60	55 26.0	11.5	
$A = 12^{\circ}3 \quad T = 26^{\circ}04 \quad B = 756^{\circ}5 \text{ mm} \quad D = 0^{\circ}901$						
28	1	7 ^h 28 ^m 27.4	51	7 ^h 52 ^m 46.1	50 $\tau = 24^{\text{m}} 18^{\text{s}}.7$	$\tau = 29^{\text{s}} 1790$
	2	28 56.5	52	53 15.0	19.1	
	3	29 24.6	53	53 44.5	18.9	$\alpha = 0^{\circ}508 7172$
	4	29 54.9	54	54 14.0	19.1	$\mu = \text{---} 143$
	5	30 24.1	55	54 42.8	18.7	$\Delta = \text{---} 5$
	6	30 53.2	56	55 12.3	19.1	$\tau = \text{---} 1281$
	7	31 22.5	57	55 41.3	18.8	$\delta = \text{---} 488$
	8	31 51.7	58	56 10.7	19.0	$N_1 = 0^{\circ}508 5554$ in Sternzeit
	9	32 20.7	59	56 39.6	18.9	$N_2 = 0^{\circ}507 1370$ in mittlerer Zeit
	10	32 49.9	60	57 9.1	19.2	
$A = 12^{\circ}5 \quad T = 26^{\circ}78 \quad B = 757^{\circ}0 \text{ mm} \quad D = 0^{\circ}900$						
35	1	8 ^h 34 ^m 17.9	51	8 ^h 57 ^m 40.0	50 $\tau = 23^{\text{m}} 22.1$	$\tau = 28^{\text{s}} 0434$
	2	34 45.5	52	58 7.0	22.1	
	3	35 14.1	53	58 36.1	22.0	$\alpha = 0^{\circ}509 0767$
	4	35 41.5	54	59 3.0	22.1	$\mu = \text{---} 143$
	5	36 9.9	55	59 32.2	22.3	$\Delta = \text{---} 5$
	6	36 37.6	56	59 50.8	22.2	$\tau = \text{---} 1310$
	7	37 6.0	57	0 28.2	22.2	$\delta = \text{---} 488$
	8	37 33.7	58	0 55.9	22.2	
	9	38 1.0	59	1 24.4	22.4	$N_1 = 0^{\circ}508 8812$ in Sternzeit
	10	38 29.9	60	1 52.0	22.1	$N_2 = 0^{\circ}507 4018$ in mittlerer Zeit
$A = 12^{\circ}8 \quad T = 27^{\circ}01 \quad B = 757^{\circ}4 \text{ mm} \quad D = 0^{\circ}895$						
63	1	9 ^h 38 ^m 17.5	51	10 ^h 1 ^m 2.0	50 $\tau = 22^{\text{m}} 44.5$	$\tau = 27^{\text{s}} 2980$
	2	38 45.1	52	1 29.9	44.8	
	3	39 12.1	53	1 56.6	44.5	$\alpha = 0^{\circ}509 3314$
	4	39 39.8	54	2 24.4	44.0	$\mu = \text{---} 143$
	5	40 0.0	55	2 51.1	44.5	$\Delta = \text{---} 5$
	6	40 34.3	56	3 19.0	44.7	$\tau = \text{---} 1375$
	7	41 1.1	57	3 45.6	44.5	$\delta = \text{---} 488$
	8	41 29.0	58	4 13.4	44.4	
	9	41 55.7	59	4 40.4	44.7	$N_1 = 0^{\circ}509 1366$ in Sternzeit
	10	42 23.7	60	5 8.0	44.3	$N_2 = 0^{\circ}507 7405$ in mittlerer Zeit

Pendel	Nr. der Coincidenz	Uhrzeit der Coincidenz	Nr. der Coincidenz	Uhrzeit der Coincidenz	Beobachtete Dauer von 50 Coincidenzen	Berechnung der Schwingungsdauer
--------	--------------------	------------------------	--------------------	------------------------	---------------------------------------	---------------------------------

27. April 1890 a. m.

$$A = 12^{\circ}5 \quad T = 28^{\circ}38 \quad B = 757^{\circ}7 \text{ mm} \quad D = 0^{\circ}894$$

24	1	7 ^h 22 ^m 54 ^s	51	7 ^h 47 ^m 4 ^s	50 ^c = 24 ^m 9 ^s 7	$c = 28^{\circ}9944$
	2	23 23 ^s 1	52	47 37 ^s 7	9 ^s 0	
	3	23 52 ^s 3	53	48 3 ^s 0	9 ^s 7	$s = 0^{\circ}508\ 7736$
	4	24 21 ^s 0	54	48 30 ^s 7	9 ^s 7	$n = -122$
	5	24 50 ^s 3	55	49 0 ^s 0	9 ^s 8	$\Delta = -5$
	6	25 18 ^s 9	56	49 28 ^s 7	9 ^s 8	$\tau = -1308$
	7	25 48 ^s 2	57	49 58 ^s 0	9 ^s 8	$\xi = -486$
	8	26 17 ^s 1	58	50 26 ^s 8	9 ^s 7	
	9	26 46 ^s 2	59	50 56 ^s 0	9 ^s 8	$N_{24} = 0^{\circ}508\ 5725$ in Sternzeit
	10	27 15 ^s 1	60	51 24 ^s 7	9 ^s 6	$N_{24} = 0^{\circ}507\ 1839$ in mittlerer Zeit

$$A = 12^{\circ}0 \quad T = 28^{\circ}84 \quad B = 757^{\circ}0 \text{ mm} \quad D = 0^{\circ}892$$

28	1	6 ^h 21 ^m 42 ^s 4	51	6 ^h 45 ^m 20 ^s 5	50 ^c = 24 ^m 12 ^s 1	$c = 29^{\circ}1376$
	2	21 41 ^s 4	52	45 58 ^s 3	10 ^s 9	
	3	22 10 ^s 7	53	46 27 ^s 0	10 ^s 9	$s = 0^{\circ}508\ 7208$
	4	22 39 ^s 6	54	46 56 ^s 5	10 ^s 9	$n = -122$
	5	23 9 ^s 1	55	47 25 ^s 9	10 ^s 8	$\Delta = -5$
	6	23 38 ^s 0	56	47 54 ^s 8	10 ^s 8	$\tau = -1421$
	7	24 7 ^s 4	57	48 24 ^s 3	10 ^s 9	$\xi = -483$
	8	24 36 ^s 4	58	48 53 ^s 1	10 ^s 7	
	9	25 5 ^s 7	59	49 22 ^s 6	10 ^s 9	$N_{28} = 0^{\circ}508\ 5206$ in Sternzeit
	10	25 34 ^s 6	60	49 51 ^s 5	10 ^s 9	$N_{28} = 0^{\circ}507\ 1381$ in mittlerer Zeit

$$A = 12^{\circ}8 \quad T = 28^{\circ}64 \quad B = 758^{\circ}2 \text{ mm} \quad D = 0^{\circ}894$$

35	1	8 ^h 28 ^m 47 ^s 8	51	8 ^h 52 ^m 8 ^s 5	50 ^c = 23 ^m 20 ^s 7	$c = 28^{\circ}0174$
	2	29 15 ^s 4	52	52 30 ^s 4	21 ^s 0	
	3	29 43 ^s 6	53	53 4 ^s 6	21 ^s 0	$s = 0^{\circ}509\ 0851$
	4	30 11 ^s 5	54	53 32 ^s 5	21 ^s 0	$n = -122$
	5	30 39 ^s 9	55	54 0 ^s 9	21 ^s 0	$\Delta = -5$
	6	31 7 ^s 5	56	54 28 ^s 5	21 ^s 0	$\tau = -1411$
	7	31 35 ^s 9	57	54 56 ^s 5	20 ^s 6	$\xi = -485$
	8	32 3 ^s 6	58	55 24 ^s 5	20 ^s 9	
	9	32 31 ^s 9	59	55 52 ^s 5	20 ^s 6	$N_{35} = 0^{\circ}508\ 8828$ in Sternzeit
	10	32 59 ^s 6	60	56 20 ^s 5	20 ^s 9	$N_{35} = 0^{\circ}507\ 4934$ in mittlerer Zeit

$$A = 12^{\circ}8 \quad T = 29^{\circ}41 \quad B = 758^{\circ}6 \text{ mm} \quad D = 0^{\circ}891$$

43	1	9 ^h 33 ^m 13 ^s 5	51	9 ^h 55 ^m 57 ^s 1	50 ^c = 21 ^m 43 ^s 6	$c = 27^{\circ}2720$
	2	33 40 ^s 9	52	56 24 ^s 6	43 ^s 7	
	3	34 8 ^s 1	53	56 51 ^s 6	43 ^s 5	$s = 0^{\circ}509\ 3381$
	4	34 35 ^s 5	54	57 19 ^s 2	43 ^s 7	$n = -122$
	5	35 3 ^s 4	55	57 46 ^s 3	43 ^s 6	$\Delta = -5$
	6	35 30 ^s 0	56	58 13 ^s 6	43 ^s 0	$\tau = -1449$
	7	35 57 ^s 3	57	58 40 ^s 7	43 ^s 5	$\xi = -482$
	8	36 24 ^s 0	58	59 8 ^s 1	43 ^s 5	
	9	36 51 ^s 6	59	59 35 ^s 3	43 ^s 0	$N_{43} = 0^{\circ}509\ 1323$ in Sternzeit
	10	37 19 ^s 1	60	10 0 2 ^s 8	43 ^s 7	$N_{43} = 0^{\circ}507\ 7922$ in mittlerer Zeit

Pendel	Nr. der Coincidenz	Uhrzeit der Coincidenz	Nr. der Coincidenz	Uhrzeit der Coincidenz	Beobachtete Dauer von 50 Coincidenzen	Berechnung der Schwingungsdauer
Suez, 3. Mai 1896 p. m.						
$A = 12^{\circ}9 \quad T = 24^{\circ}88 \quad B = 759^{\circ}1 \text{ mm} \quad D = 0^{\circ}907$						
24	1	3 ^h 38 ^m 24 ^s 1	51	4 ^h 2 ^m 42 ^s 7	50 c = 24 ^m 18 ^s 9	$c = 29^{\circ} 1754$
	2	38 53 5	52	3 12 4	18 9	$s = 0^{\circ} 508 7184$
	3	39 22 5	53	3 41 2	18 7	$u = \dots 137$
	4	39 52 0	54	4 10 7	18 9	$\Delta = \dots 5$
	5	40 20 7	55	4 39 6	18 8	$\tau = \dots 1220$
	6	40 50 3	56	5 9 1	18 7	$\delta = \dots 492$
	7	41 19 2	57	5 37 9	18 8	
	8	41 48 6	58	6 7 4	18 8	$s_{24} = 0^{\circ} 508 5324$ in Sternzeit
	9	42 17 0	59	6 36 4	18 6	$s_{24} = 0^{\circ} 507 1440$ in mittlerer Zeit
	10	42 47 1	60	7 5 7		
$A = 12^{\circ}9 \quad T = 24^{\circ}83 \quad B = 758^{\circ}8 \text{ mm} \quad D = 0^{\circ}908$						
28	1	4 ^h 41 ^m 10 ^s 9	51	5 ^h 7 ^m 30 ^s 9	50 c = 24 ^m 26 ^s 0	$c = 29^{\circ} 3200$
	2	42 40 1	52	6 0 0	25 9	$s = 0^{\circ} 508 6745$
	3	44 9 0	53	8 35 7	24 1	$u = \dots 117$
	4	44 38 7	54	9 4 0	25 9	$\Delta = \dots 5$
	5	45 8 3	55	9 34 3	26 0	$\tau = \dots 1224$
	6	45 37 4	56	10 3 4	26 0	$\delta = \dots 492$
	7	46 0 9	57	10 33 0	26 1	
	8	46 36 1	58	11 2 0	25 9	$s_{28} = 0^{\circ} 508 4887$ in Sternzeit
	9	47 5 4	59	11 31 5	26 1	$s_{28} = 0^{\circ} 507 1004$ in mittlerer Zeit
	10	47 34 0	60	12 0 6	26 0	
$A = 12^{\circ}9 \quad T = 24^{\circ}02 \quad B = 758^{\circ}6 \text{ mm} \quad D = 0^{\circ}907$						
35	1	5 ^h 50 ^m 45 ^s 7	51	6 ^h 14 ^m 14 ^s 4	50 c = 23 ^m 28 ^s 7	$c = 28^{\circ} 1708$
	2	51 14 1	52	14 42 7	28 0	$s = 0^{\circ} 509 0348$
	3	51 42 1	53	15 10 6	28 5	$u = \dots 137$
	4	52 10 5	54	15 38 9	28 4	$\Delta = \dots 5$
	5	52 38 5	55	16 7 1	28 0	$\tau = \dots 1228$
	6	53 6 9	56	16 35 3	28 4	$\delta = \dots 492$
	7	53 34 9	57	17 3 4	28 5	
	8	54 3 2	58	17 31 9	28 7	$s_{35} = 0^{\circ} 508 8480$ in Sternzeit
	9	54 31 3	59	17 59 7	28 4	$s_{35} = 0^{\circ} 507 4594$ in mittlerer Zeit
	10	54 59 5	60	18 28 1	28 0	
$A = 12^{\circ}9 \quad T = 24^{\circ}90 \quad B = 759^{\circ}1 \text{ mm} \quad D = 0^{\circ}907$						
33	1	6 ^h 57 ^m 42 ^s 5	51	7 ^h 20 ^m 35 ^s 1	50 c = 22 ^m 50 ^s 0	$c = 27^{\circ} 4120$
	2	58 14 0	52	21 5 3	50 7	$s = 0^{\circ} 509 2898$
	3	58 42 3	53	21 32 9	50 6	$u = \dots 137$
	4	59 9 5	54	22 0 1	50 6	$\Delta = \dots 5$
	5	59 37 3	55	22 27 9	50 6	$\tau = \dots 1229$
	6	0 4 4	56	22 55 0	50 6	$\delta = \dots 492$
	7	0 32 1	57	23 22 7	50 6	
	8	0 59 2	58	23 49 7	50 5	$s_{33} = 0^{\circ} 509 1032$ in Sternzeit
	9	1 26 9	59	24 17 4	50 5	$s_{33} = 0^{\circ} 507 7131$ in mittlerer Zeit
	10	1 54 0	60	24 44 7	50 7	

Pendel	Nr. der Coincidenz	Uhrzeit der Coincidenz	Nr. der Coincidenz	Uhrzeit der Coincidenz	Beobachtete Dauer von 50 Coincidenzen	Berechnung der Schwingungsdauer
Pola, 28. Mai 1896 a. m.						
$A = 10^{\circ}1$ $T = 14^{\circ}27$ $R = 75^{\circ}8$ mm $D = 0^{\circ}944$						
24	1	12 ^h 5 ^m 5 ^s 7	51	12 ^h 33 ^m 30 ^s 3	50 e = 25 ^m 24 ^s 6	$c = 30^{\circ}4920$
	2	8 30 ^s 4	52	34 1 ^m 0	24 ^s 0	
	3	9 16 8	53	34 31 ^s 4	24 ^s 0	$s = 0^{\circ}508$ 3356
	4	9 37 ^s 4	54	35 1 ^m 9	24 ^s 5	$u = 190$
	5	10 7 7	55	35 32 ^s 3	24 ^s 6	$\Delta = 7$
	6	10 38 ^s 3	56	36 2 ^m 8	24 ^s 5	$\tau = 727$
	7	11 8 0	57	36 33 ^s 3	24 ^s 7	$\delta = 512$
	8	11 39 ^s 3	58	37 4 ^m 0	24 ^s 7	
	9	12 9 6	59	37 14 ^s 3	24 ^s 7	$N_{14} = 0^{\circ}508$ 1011 in Sternzeit
	10	12 40 ^s 3	60	38 4 ^m 8	24 ^s 5	$N_{44} = 0^{\circ}500$ 8030 in mittlerer Zeit
$A = 15^{\circ}9$ $T = 14^{\circ}88$ $R = 75^{\circ}8$ mm $D = 0^{\circ}942$						
24	1	1 ^h 5 ^m 58 ^s 1	51	1 ^h 31 ^m 30 ^s 7	50 e = 25 ^m 32 ^s 0	$c = 30^{\circ}6520$
	2	6 28 ^s 8	52	32 1 ^m 1	32 8	
	3	6 59 ^s 5	53	32 32 ^s 1	32 ^s 6	$s = 0^{\circ}508$ 2912
	4	7 30 ^s 2	54	33 2 ^m 8	32 ^s 0	$u = 190$
	5	8 0 ^m 7	55	33 33 ^s 4	32 ^s 7	$\Delta = 7$
	6	8 31 ^s 7	56	34 4 ^m 2	32 ^s 5	$\tau = 733$
	7	9 2 ^m 1	57	34 34 ^s 6	32 ^s 5	$\delta = 511$
	8	9 32 ^s 8	58	35 5 ^m 5	32 ^s 7	
	9	10 3 ^m 4	59	35 30 ^s 0	32 ^s 6	$N_{14} = 0^{\circ}508$ 1402 in Sternzeit
	10	10 34 ^s 1	60	36 6 ^m 8	32 ^s 7	$N_{44} = 0^{\circ}500$ 7588 in mittlerer Zeit
$A = 14^{\circ}1$ $T = 14^{\circ}87$ $R = 75^{\circ}8$ 3 mm $D = 0^{\circ}942$						
35	1	2 ^h 10 ^m 40 ^s 0	51	2 ^h 35 ^m 9 ^s 9	50 e = 24 ^m 20 ^s 9	$c = 29^{\circ}3970$
	2	11 9 ^s 4	52	35 39 ^s 1	20 ^s 7	
	3	11 38 ^s 9	53	36 8 ^m 7	20 ^s 8	$s = 0^{\circ}508$ 1514
	4	12 8 0	54	36 37 ^s 9	20 ^s 9	$u = 190$
	5	12 37 ^s 6	55	37 7 ^m 5	20 ^s 9	$\Delta = 5$
	6	13 6 ^m 7	56	37 30 ^s 6	20 ^s 9	$\tau = 732$
	7	13 30 ^s 5	57	38 0 ^m 3	20 ^s 8	$\delta = 511$
	8	14 5 ^m 0	58	38 35 ^s 5	20 ^s 9	
	9	14 35 ^s 3	59	39 5 ^m 1	20 ^s 8	$N_{14} = 0^{\circ}508$ 5067 in Sternzeit
	10	15 4 ^m 5	60	39 34 ^s 4	20 ^s 9	$N_{44} = 0^{\circ}507$ 1184 in mittlerer Zeit
$A = 14^{\circ}1$ $T = 14^{\circ}89$ $R = 75^{\circ}8$ 2 mm $D = 0^{\circ}941$						
63	1	3 ^h 11 ^m 40 ^s 9	51	3 ^h 35 ^m 20 ^s 7	50 e = 23 ^m 48 ^s 8	$c = 28^{\circ}5760$
	2	12 9 ^s 5	52	35 58 ^s 4	48 ^s 9	
	3	12 38 ^s 1	53	36 20 ^s 9	48 ^s 8	$s = 0^{\circ}508$ 0044
	4	13 6 ^m 7	54	36 55 ^s 5	48 ^s 8	$u = 190$
	5	13 35 ^s 3	55	37 24 ^s 0	48 ^s 7	$\Delta = 5$
	6	14 3 ^m 9	56	37 52 ^s 7	48 ^s 8	$\tau = 733$
	7	14 32 ^s 4	57	38 21 ^s 2	48 ^s 8	$\delta = 510$
	8	15 1 ^m 0	58	38 49 ^s 7	48 ^s 7	
	9	15 29 ^s 5	59	39 18 ^s 3	48 ^s 8	$N_{14} = 0^{\circ}508$ 7597 in Sternzeit
	10	15 58 ^s 1	60	39 47 ^s 0	48 ^s 9	$N_{44} = 0^{\circ}507$ 3706 in mittlerer Zeit

Pendel	Nr. der Coincidenz	Uhrzeit der Coincidenz	Nr. der Coincidenz	Uhrzeit der Coincidenz	Beobachtete Dauer von 50 Coincidenzen	Berechnung der Schwingungsdauer
28. Mai 1891, p. m.						
$A = 13^{\circ}8 \quad T = 14^{\circ}72 \quad R = 757^{\circ}3 \text{ mm} \quad D = 0^{\circ}941$						
13	1	5 ^h 44 ^m 35 ^s .9	51	1 ^h 8 ^m 24 ^s .9	50 c = 23 ^m 49 ^s .0	$c = 28^{\circ} 5774$
	2	45 44.3	52	8 53.3	49 ^m .0	
	3	45 33.0	53	9 22.0	49 ^m .0	$s = 0^{\circ} 508 9038$
	4	46 1.0	54	9 50.4	48 ^m .8	$u = \dots 208$
	5	46 30.3	55	10 19.1	48 ^m .8	$\Delta = \dots 5$
	6	46 58.8	56	10 47.6	48 ^m .8	$\tau = \dots 775$
	7	47 27.4	57	11 16.2	48 ^m .8	$\theta = \dots 510$
	8	47 56.0	58	11 44.8	48 ^m .8	
	9	48 24.0	59	12 13.4	48 ^m .8	$s_{13} = 0^{\circ} 508 7500$ in Sternzeit
	10	48 53.0	60	12 41.9	48 ^m .0	$s_{13} = 0^{\circ} 507 3700$ in mittlerer Zeit
$A = 13^{\circ}8 \quad T = 14^{\circ}88 \quad R = 758^{\circ}7 \text{ mm} \quad D = 0^{\circ}940$						
35	1	6 ^h 48 ^m 10 ^s .7	51	7 ^h 12 ^m 40 ^s .4	50 c = 24 ^m 29 ^s .7	$c = 29^{\circ} 2954$
	2	48 40.2	52	13 10.1	29 ^m .9	
	3	49 15.5	53	13 45.7	29 ^m .7	$s = 0^{\circ} 508 0520$
	4	49 45.0	54	14 15.0	30 ^m .0	$u = \dots 208$
	5	50 14.4	55	14 44.9	29 ^m .0	$\Delta = \dots 5$
	6	50 43.8	56	15 13.7	29 ^m .9	$\tau = \dots 733$
	7	51 13.2	57	15 42.7	29 ^m .5	$\theta = \dots 580$
	8	51 42.0	58	16 12.5	29 ^m .9	
	9	52 12.0	59	16 41.5	29 ^m .5	$s_{35} = 0^{\circ} 508 5004$ in Sternzeit
	10	52 41.3	60	17 11.3	30 ^m .0	$s_{35} = 0^{\circ} 507 1180$ in mittlerer Zeit
$A = 13^{\circ}8 \quad T = 14^{\circ}91 \quad R = 759^{\circ}3 \text{ mm} \quad D = 0^{\circ}939$						
28	1	7 ^h 54 ^m 48 ^s .7	51	8 ^h 20 ^m 21 ^s .5	50 c = 25 ^m 32 ^s .8	$c = 30^{\circ} 0528$
	2	55 19.7	52	20 52.1	32 ^m .4	
	3	55 50.1	53	21 22.8	32 ^m .7	$s = 0^{\circ} 508 2012$
	4	56 20.0	54	21 53.5	32 ^m .6	$u = \dots 208$
	5	56 51.4	55	22 24.1	32 ^m .7	$\Delta = \dots 5$
	6	57 22.2	56	22 54.0	32 ^m .7	$\tau = \dots 734$
	7	57 52.6	57	23 25.5	32 ^m .9	$\theta = \dots 509$
	8	58 23.0	58	23 56.1	32 ^m .5	
	9	58 54.0	59	24 26.0	32 ^m .0	$s_{28} = 0^{\circ} 508 1450$ in Sternzeit
	10	59 24.9	60	24 57.4	32 ^m .5	$s_{28} = 0^{\circ} 500 7582$ in mittlerer Zeit
$A = 13^{\circ}8 \quad T = 14^{\circ}90 \quad R = 759^{\circ}2 \text{ mm} \quad D = 0^{\circ}939$						
24	1	8 ^h 53 ^m 23 ^s .4	51	9 ^h 18 ^m 48 ^s .5	50 c = 25 ^m 23 ^s .1	$c = 30^{\circ} 4828$
	2	53 55.1	52	19 19.4	24 ^m .1	
	3	54 25.5	53	19 40.5	24 ^m .0	$s = 0^{\circ} 508 3381$
	4	54 56.0	54	20 20.4	24 ^m .4	$u = \dots 208$
	5	55 20.4	55	20 50.5	24 ^m .1	$\Delta = \dots 5$
	6	55 57.0	56	21 21.3	24 ^m .3	$\tau = \dots 737$
	7	56 27.4	57	21 51.4	24 ^m .0	$\theta = \dots 509$
	8	56 58.0	58	22 22.1	24 ^m .1	
	9	57 28.4	59	22 52.4	24 ^m .0	$s_{24} = 0^{\circ} 508 1922$ in Sternzeit
	10	57 59.0	60	23 23.1	24 ^m .1	$s_{24} = 0^{\circ} 500 8046$ in mittlerer Zeit

Pendel	Nr. der Coincidenz	Uhrzeit: der Coincidenz	Nr. der Coincidenz	Uhrzeit der Coincidenz	Beobachtete Dauer von 50 Coincidenzen	Berechnung der Schwingungsdauer
29. Mai 1893, a. m.						
$A = 13^{\circ}6 \quad T = 14^{\circ}58 \quad R = 754^{\circ}2 \text{ mm} \quad D = 0^{\circ}938$						
63	1	12 ^h 11 ^m 44 ^s .8	51	12 ^h 35 ^m 33 ^s .0	50 ^c = 23 ^m 49 ^s .1	$c = 28^{\circ} 5784$
	2	12 13 ^s .0	52	30 2 ^s .4	48 ^s .8	$s = 0^{\circ} 508 9035$
	3	12 45 ^s .1	53	30 31 ^s .2	49 ^s .1	$u = - 203$
	4	13 10 ^s .9	54	30 50 ^s .7	48 ^s .8	$\Delta = - 5$
	5	13 39 ^s .3	55	37 28 ^s .4	49 ^s .1	$\tau = - 718$
	6	14 8 ^s .0	56	37 50 ^s .b	48 ^s .8	$\xi = - 508$
	7	14 30 ^s .5	57	38 25 ^s .4	48 ^s .9	
	8	15 5 ^s .4	58	38 53 ^s .0	48 ^s .8	
	9	15 33 ^s .0	59	39 22 ^s .0	49 ^s .0	$N_2 = 0^{\circ} 508 7901$ in Sternzeit
	10	16 2 ^s .3	60	39 51 ^s .1	48 ^s .8	$N_{11} = 0^{\circ} 507 3710$ in mittlerer Zeit
$A = 13^{\circ}8 \quad T = 14^{\circ}71 \quad R = 754^{\circ}2 \text{ mm} \quad D = 0^{\circ}937$						
35	1	1 ^h 9 ^m 6 ^s .2	51	1 ^h 33 ^m 30 ^s .0	50 ^c = 24 ^m 30 ^s .4	$c = 29^{\circ} 3990$
	2	9 35 ^s .8	52	34 5 ^s .0	29 ^s .8	$s = 0^{\circ} 508 6507$
	3	10 5 ^s .4	53	34 35 ^s .1	30 ^s .0	$u = - 203$
	4	10 34 ^s .6	54	35 4 ^s .4	29 ^s .8	$\Delta = - 5$
	5	11 3 ^s .9	55	35 33 ^s .9	30 ^s .0	$\tau = - 725$
	6	11 33 ^s .4	56	36 3 ^s .2	29 ^s .8	$\xi = - 508$
	7	12 2 ^s .6	57	36 33 ^s .0	30 ^s .0	
	8	12 32 ^s .2	58	37 2 ^s .0	29 ^s .8	$N_{15} = 0^{\circ} 508 5010$ in Sternzeit
	9	13 1 ^s .4	59	37 31 ^s .8	30 ^s .4	$N_{35} = 0^{\circ} 507 1182$ in mittlerer Zeit
	10	13 31 ^s .1	60	38 0 ^s .9	29 ^s .8	
$A = 13^{\circ}10 \quad T = 14^{\circ}74 \quad R = 754^{\circ}2 \text{ mm} \quad D = 0^{\circ}937$						
28	1	2 ^h 11 ^m 24 ^s .1	51	2 ^h 36 ^m 56 ^s .5	50 ^c = 25 ^m 32 ^s .4	$c = 30^{\circ} 6514$
	2	11 54 ^s .8	52	37 27 ^s .5	32 ^s .7	$s = 0^{\circ} 508 2014$
	3	12 25 ^s .4	53	37 57 ^s .0	32 ^s .5	$u = - 203$
	4	12 50 ^s .1	54	38 28 ^s .b	32 ^s .7	$\Delta = - 5$
	5	13 26 ^s .7	55	38 50 ^s .2	32 ^s .5	$\tau = - 726$
	6	13 57 ^s .4	56	39 30 ^s .1	32 ^s .7	$\xi = - 508$
	7	14 28 ^s .1	57	40 0 ^s .0	32 ^s .5	
	8	14 58 ^s .8	58	40 31 ^s .3	32 ^s .5	$N_8 = 0^{\circ} 508 1472$ in Sternzeit
	9	15 29 ^s .4	59	41 1 ^s .0	32 ^s .5	$N_{28} = 0^{\circ} 508 7508$ in mittlerer Zeit
	10	16 0 ^s .0	60	41 32 ^s .7	32 ^s .7	
$A = 13^{\circ}10 \quad T = 14^{\circ}78 \quad R = 754^{\circ}2 \text{ mm} \quad D = 0^{\circ}937$						
24	1	3 ^h 12 ^m 37 ^s .9	51	3 ^h 38 ^m 2 ^s .0	50 ^c = 25 ^m 24 ^s .1	$c = 30^{\circ} 4840$
	2	13 8 ^s .2	52	38 32 ^s .5	24 ^s .3	$s = 0^{\circ} 508 3328$
	3	13 38 ^s .9	53	39 3 ^s .0	24 ^s .1	$u = - 203$
	4	14 0 ^s .3	54	39 33 ^s .4	24 ^s .1	$\Delta = - 5$
	5	14 30 ^s .9	55	40 4 ^s .0	24 ^s .3	$\tau = - 728$
	6	15 10 ^s .1	56	40 34 ^s .4	24 ^s .3	$\xi = - 508$
	7	15 40 ^s .7	57	41 5 ^s .0	24 ^s .3	
	8	16 11 ^s .1	58	41 35 ^s .4	24 ^s .3	$N_{24} = 0^{\circ} 508 1934$ in Sternzeit
	9	16 41 ^s .7	59	42 5 ^s .9	24 ^s .2	$N_{24} = 0^{\circ} 508 8058$ in mittlerer Zeit
	10	17 12 ^s .0	60	42 36 ^s .2	24 ^s .2	

Pendel	Nr. der Coincidenz	Uhrzeit der Coincidenz	Nr. der Coincidenz	Uhrzeit der Coincidenz	Beobachtete Dauer von 50 Coincidenzen	Berechnung der Schwingungsdauer
29. Mai 1890, p. m.						
$A = 13^{\circ}6 \quad T = 14^{\circ}04 \quad B = 753^{\circ}0 \text{ mm} \quad D = 0^{\circ}937$						
24	1	5 ^h 41 ^m 5 ^s 4	51	6 ^h 0 ^m 30 ^s 1	50 c = 75 ^m 24 ^s 7	$c = 30^{\circ} 40,30$
	2	44 35 9	52	7 0 4	24 5	$\alpha = 0^{\circ} 508 3354$
	3	42 0 4	53	7 31 1	24 7	$\mu = 200$
	4	42 37 0	54	8 32 1	24 6	$\Delta = 5$
	5	43 7 4	55	9 2 6	24 7	$\tau = 721$
	6	43 37 9	56	10 3 1	24 7	$\xi = 508$
	7	44 8 4	57	10 31 1	24 7	$N_{13} = 0^{\circ} 508 1091$ in Sternzeit
	8	44 39 0	58	10 3 5	24 5	$N_{14} = 0^{\circ} 508 30,18$ in mittlerer Zeit
	9	45 9 4	59	10 31 1	24 7	
	10	45 39 9	60	11 4 0	24 7	
$A = 13^{\circ}6 \quad T = 14^{\circ}25 \quad B = 753^{\circ}2 \text{ mm} \quad D = 0^{\circ}930$						
28	1	6 ^h 44 ^m 40 ^s 3	51	7 ^h 10 ^m 13 ^s 0	50 c = 75 ^m 32 ^s 7	$c = 30^{\circ} 05,50$
	2	45 11 1	52	10 41 8	32 7	$\alpha = 0^{\circ} 508 2004$
	3	45 42 5	53	11 14 4	32 8	$\mu = 200$
	4	46 12 4	54	11 45 2	32 8	$\Delta = 5$
	5	46 42 6	55	12 15 7	32 9	$\tau = 717$
	6	47 13 7	56	12 46 4	32 7	$\xi = 507$
	7	47 44 3	57	13 17 0	32 8	$N_{13} = 0^{\circ} 508 143,9$ in Sternzeit
	8	48 15 1	58	13 47 9	32 0	$N_{14} = 0^{\circ} 508 758,5$ in mittlerer Zeit
	9	48 45 5	59	14 18 4	32 0	
	10	49 16 4	60	14 49 1	32 7	
$A = 13^{\circ}6 \quad T = 14^{\circ}83 \quad B = 753^{\circ}2 \text{ mm} \quad D = 0^{\circ}930$						
35	1	7 ^h 52 ^m 50 ^s 9	51	8 ^h 17 ^m 21 ^s 1	50 c = 74 ^m 30 ^s 2	$c = 29^{\circ} 40,16$
	2	53 20 5	52	17 50 4	29 9	$\alpha = 0^{\circ} 508 0501$
	3	53 49 8	53	18 20 0	30 2	$\mu = 200$
	4	54 19 3	54	18 49 3	30 0	$\Delta = 5$
	5	54 48 6	55	19 18 7	30 1	$\tau = 731$
	6	55 18 0	56	19 48 0	30 0	$\xi = 507$
	7	55 47 3	57	20 17 5	30 2	$N_{13} = 0^{\circ} 508 505,2$ in Sternzeit
	8	56 16 7	58	20 48 8	30 1	$N_{14} = 0^{\circ} 507 110,8$ in mittlerer Zeit
	9	56 46 2	59	21 18 3	30 0	
	10	57 15 6	60	21 48 6	30 0	
$A = 13^{\circ}6 \quad T = 14^{\circ}01 \quad B = 753^{\circ}2 \text{ mm} \quad D = 0^{\circ}935$						
63	1	8 ^h 46 ^m 50 ^s 8	51	9 ^h 10 ^m 30 ^s 0	50 c = 73 ^m 40 ^s 1	$c = 28^{\circ} 57,40$
	2	47 19 8	52	11 8 5	48 7	$\alpha = 0^{\circ} 508 9035$
	3	47 48 1	53	11 37 1	49 0	$\mu = 200$
	4	48 16 9	54	12 5 7	48 8	$\Delta = 5$
	5	48 45 3	55	12 34 3	49 0	$\tau = 734$
	6	49 14 0	56	13 2 8	48 8	$\xi = 507$
	7	49 42 4	57	13 31 4	49 0	$N_{13} = 0^{\circ} 508 758,3$ in Sternzeit
	8	50 11 1	58	14 0 1	49 0	$N_{14} = 0^{\circ} 507 369,3$ in mittlerer Zeit
	9	50 39 6	59	14 28 6	49 0	
	10	51 8 3	60	14 57 2	48 9	

Tabelle VI.

Zusammenstellung der beobachteten Schwingungszeiten für Pola in mittlerer Zeit.

Datum	S_{24}	S_{28}	S_{32}	S_{36}	S_{Mittel}
Vor der Reise					
9. September 1895 . . .	0° 5068027	0° 5067570	0° 5071104	0° 5073711	0° 5070126
10. " . . .	68058	67502	71186	73708	36
11. " . . .	68052	67578	71192	73600	28
12. " . . .	68064	67593	71193	73710	40
Mittel . . .	0° 5068050	0° 5067583	0° 5071101	0° 5073705	0° 5070132
nach der Reise					
28. Mai 1893 a. m. . . .	0° 5068036	0° 5067588	0° 5071184	0° 5073706	0° 5070129
p. m. . . .	68046	67582	71180	73700	27
29. " 1893 a. m. . . .	68048	67598	71182	73710	37
p. m. . . .	68038	67585	71168	73693	21
Mittel . . .	0° 5068045	0° 5067588	0° 5071179	0° 5073703	0° 5070129
Unterschied . . .	- 5	+ 5	- 12	- 3	- 3
Mittel . . .	0° 5068048	0° 5067580	0° 5071185	0° 5073704	0° 5070131

Tabelle VII.

Zusammenstellung der beobachteten Schwingungszeiten auf den Beobachtungs-Stationen.

Nr.	Ort	Datum	Uhr	S_{24}	S_{28}	S_{32}	S_{36}	S_{Mittel}	S
1895									
1	Pola	9. 9.	Vornster	0° 5068027	0° 5067570	0° 5071104	0° 5073711	0° 5070126	
		10./9.		68058	67502	71186	73708	36	
		11./9.		68052	67578	71192	73600	28	0° 5070132
		12./9.		68064	67593	71193	73710	40	
2	Suex	22. 10. a. m.	Hawelk	0° 5071800	0° 5071011	0° 5074529	0° 5072092	0° 5073513	
		23./10. "	Nardin	71497	70996	74590	77116	42	0° 5073540
		23./10. p. m.	Hawelk	71475	71007	74604	77126	52	
3	Insel The Brothers	28./10. a. m.	Nardin	0° 5071807	0° 5071432	0° 5075044	0° 5077544	0° 5073979	
		28./10. p. m.	Nardin	71801	71445	75035	77550	86	0° 5073980
4	Jidda	7. 11. a. m.	Hawelk	0° 5072046	0° 5072106	0° 5078039	0° 5078576	0° 5075016	
		7./11. p. m.	Nardin	72910	72402	76005	78474	5007	
		8./11. a. m.	Hawelk	72928	72444	76038	78514	4986	0° 5075002
		8./11. p. m.	Nardin	72927	72400	76050	78523	5005	
5	Mersa Halaib	17./11. a. m.	Nardin	0° 5072837	0° 5072374	0° 5075066	0° 5078499	0° 5074917	
		17./11. p. m.		72834	72370	75075	78478	14	0° 5074918
		18./11. a. m.		72855	72385	75050	78500	23	
6	Insel St. Johns	22./11. a. m.		0° 5072220	0° 5071720	0° 5075310	0° 5077794	0° 5074264	
		22./11. p. m.		72213	71701	75330	77879	66	0° 5074264
7	Berenice	25./11. a. m.		0° 5072608	0° 5072112	0° 5075689	0° 5078186	0° 5074647	0° 5074647
8	Rabugh	1./12. p. m.		0° 5072674	0° 5072221	0° 5075820	0° 5078342	0° 5074704	
		4./12. p. m.		72671	72220	75830	78348	66	0° 5074705

Nr.	Ort	Datum	Uhr	S ₂₄	S ₂₅	S ₂₆	S ₂₇	S _{Mittel}	S
9	Yenbo	1895 24. 12. a. m. 25. 12. p. m.	Nardin	0° 50' 72575 72510	0° 50' 72074 72058	0° 50' 72057 72050	0° 50' 72815 72812	0° 50' 72002 72000	0° 50' 72001
10	Sherm Sheikh	31. 12. p. m. 31. 12. a. m. 1896		0° 50' 72400 72379	0° 50' 71906 71927	0° 50' 72552 72511	0° 50' 72018 72008	0° 50' 72409 72400	0° 50' 724485
11	Mersa Dhrba	3. 1. a. m. 3. 1. p. m.		0° 50' 72270 72240	0° 50' 72190 72151	0° 50' 72514 72553	0° 50' 72740 72738	0° 50' 72415 72401	0° 50' 724308
12	Insel Hassani	7. 1. a. m. 7. 1. p. m.		0° 50' 72350 72334	0° 50' 71876 71894	0° 50' 72543 72547	0° 50' 72904 72905	0° 50' 72405 72400	0° 50' 724422
13	Sherm Habbah	12. 1. a. m. 12. 1. p. m.		0° 50' 72197 72098	0° 50' 72100 72058	0° 50' 72528 72526	0° 50' 72732 72704	0° 50' 72422 72405	0° 50' 724214
14	Koneir	16. 1. a. m. 17. 1. a. m. 18. 1. a. m.		0° 50' 72106 72179 72179	0° 50' 72115 72125 72127	0° 50' 72515 72501 72502	0° 50' 72732 72722 72718	0° 50' 72425 72422 72418	0° 50' 724257
15	Sherm-en-Noman	9. 2. a. m. 10. 2. a. m.		0° 50' 72199 72197	0° 50' 72112 72105	0° 50' 72507 72505	0° 50' 72750 72751	0° 50' 72414 72410	0° 50' 724102
16	Ras abu Somir	10. 2. a. m.		0° 50' 72050	0° 50' 72158	0° 50' 72508	0° 50' 72750	0° 50' 72407	0° 50' 724079
17	Insel Shadwan	20. 2. a. m. 20. 2. p. m.		0° 50' 72182 72181	0° 50' 72155 72104	0° 50' 72494 72480	0° 50' 72742 72704	0° 50' 72386 72380	0° 50' 723844
18	Ras abu Zenima	6. 3. a. m.		0° 50' 72074	0° 50' 72123	0° 50' 72728	0° 50' 72728	0° 50' 72440	0° 50' 72444
19	Tor	9. 3. a. m. 10. 3. a. m.		0° 50' 72187 72185	0° 50' 72193 72140	0° 50' 72497 72495	0° 50' 72747 72747	0° 50' 72322 72320	0° 50' 723225
20	Ras Gharib	14. 3. a. m.		0° 50' 72194	0° 50' 72134	0° 50' 72490	0° 50' 72740	0° 50' 72383	0° 50' 723833
21	Zafarana	18. 3. a. m. 18. 3. p. m.		0° 50' 72110 72102	0° 50' 72155 72147	0° 50' 72741 72745	0° 50' 72725 72724	0° 50' 72309 72309	0° 50' 723092
22	Mersa Dahab	5. 4. a. m. 6. 4. a. m.		0° 50' 72182 72190	0° 50' 72144 72140	0° 50' 72504 72500	0° 50' 72744 72740	0° 50' 72372 72370	0° 50' 723708
23	Nawibi	12. 4. a. m.		0° 50' 72148	0° 50' 72197	0° 50' 72400	0° 50' 72740	0° 50' 72318	0° 50' 723181
24	Akabah	15. 4. a. m. 16. 4. a. m.		0° 50' 72701 72720	0° 50' 72141 72140	0° 50' 72480 72489	0° 50' 72715 72720	0° 50' 72781 72780	0° 50' 727800
25	Bir al-Mushaja	19. 4. a. m.		0° 50' 72181	0° 50' 72178	0° 50' 72490	0° 50' 72740	0° 50' 72318	0° 50' 723185
26	Insel Senufir	24. 4. a. m.		0° 50' 72128	0° 50' 72104	0° 50' 72481	0° 50' 72730	0° 50' 72377	0° 50' 72376
27	Sherm Sheikh an der Südküste	26. 4. a. m. 27. 4. a. m.		0° 50' 72185 72189	0° 50' 72170 72181	0° 50' 72491 72494	0° 50' 72740 72742	0° 50' 72382 72380	0° 50' 723828
	Suez	3. 5. p. m.		0° 50' 72140	0° 50' 72100	0° 50' 72494	0° 50' 72713	0° 50' 72352	0° 50' 723542
	Pola	28. 5. a. m. 28. 5. p. m. 29. 5. a. m. 29. 5. p. m.		0° 50' 66034 66034 66034 66038	0° 50' 72530 72532 72536 67585	0° 50' 72114 72110 72112 72118	0° 50' 72700 72700 72714 73001	0° 50' 70127 70127 70144 73001	0° 50' 70129 70129 70144 73001

Tabelle VIII.
Die Schwerkraft auf den Beobachtungsstationen.

Nr.	Ort	Geographische Position Nördliche Breite	Vertikale Länge	μ	σ	Beobachtete Schwere in der Höhe Hm	Reduktion auf das Meeres- Niveau wegen d. Breiten- unterschieds unter der Station	beobachtete Schwere im Meeres- niveau H ₀	Theoretische Schwere im Meeres- niveau H ₀	Unterschied $\Delta = \mu - \sigma$	Länge des Sekunden- pendels im Meeresniveau L ₀
1	Pola	44° 51' 18"	0° 52' 21" 0	28	0° 50' 01.31	9° 50' 42 m	9	9° 50' 42 m	9° 50' 42 m	+ 14	993.539 mm
2	Suez	29 50 0	2 10 13.7	3	0° 50' 15.44	9° 50' 31.3	1	9° 50' 31.3	9° 50' 31.3	+ 31	993.294
3	Insel The Brothers	20 18 40	2 10 22.5	10	0° 50' 15.44	9° 50' 44	1	9° 50' 44	9° 50' 44	+ 155	993.003
4	Adala	21 28 55	2 30 40.1	3	0° 50' 50.02	9° 50' 44	1	9° 50' 44	9° 50' 44	+ 65	993.065
5	Mersa Halah	22 13 20	2 20 40.0	6	0° 50' 49.18	9° 50' 39.3	2	9° 50' 39.3	9° 50' 39.3	+ 50	993.226
6	Insel St. Johns	23 18 47	2 24 48.1	6	0° 50' 42.04	9° 50' 45	2	9° 50' 45	9° 50' 45	+ 214	993.082
7	Bereike	23 50 27	2 31 50.1	3	0° 50' 42.04	9° 50' 47	1	9° 50' 47	9° 50' 47	+ 43	993.832
8	Yambo	23 45 8	2 30 27.6	1	0° 50' 42.04	9° 50' 47	1	9° 50' 47	9° 50' 47	+ 75	993.784
9	Suez	24 13	2 12 15.1	3	0° 50' 40.03	9° 50' 44	1	9° 50' 44	9° 50' 44	+ 53	993.800
10	Suez	24 20 28	2 20 27.9	2	0° 50' 41.85	9° 50' 44	1	9° 50' 44	9° 50' 44	+ 60	993.804
11	Mersa Dikka	24 30 13	2 18 57.1	2	0° 50' 41.85	9° 50' 45	1	9° 50' 45	9° 50' 45	+ 70	993.904
12	Insel Habsan	24 57 8	2 28 15.9	5	0° 50' 41.85	9° 50' 45	2	9° 50' 45	9° 50' 45	+ 15	993.904
13	Suez	26 4 7	2 20 10.1	3	0° 50' 41.85	9° 50' 45	1	9° 50' 45	9° 50' 45	+ 43	993.904
14	Kuwer	27 0 17	2 17 8.8	4	0° 50' 41.85	9° 50' 45	1	9° 50' 45	9° 50' 45	+ 38	993.905
15	Suez	27 0 17	2 17 8.8	4	0° 50' 41.85	9° 50' 45	1	9° 50' 45	9° 50' 45	+ 38	993.905
16	Kas elu Suez	27 51 7	2 15 49.0	7	0° 50' 40.79	9° 50' 47	2	9° 50' 47	9° 50' 47	+ 58	993.035
17	Insel Shadwan	27 30 8	2 12 47.9	2	0° 50' 38.44	9° 50' 47	1	9° 50' 47	9° 50' 47	+ 64	993.130
18	Kas elu Zeyma	27 30 8	2 12 47.9	2	0° 50' 38.44	9° 50' 47	1	9° 50' 47	9° 50' 47	+ 64	993.130
19	Tor	28 14 12	2 14 52.8	2	0° 50' 38.44	9° 50' 47	1	9° 50' 47	9° 50' 47	+ 15	993.114
20	Kas elu	28 21 3	2 12 15.5	6	0° 50' 38.44	9° 50' 47	2	9° 50' 47	9° 50' 47	+ 35	993.206
21	Zadana	28 28 30	2 18 0.0	3	0° 50' 38.44	9° 50' 47	1	9° 50' 47	9° 50' 47	+ 35	993.206
22	Mersa Dikka	28 28 30	2 18 0.0	3	0° 50' 38.44	9° 50' 47	1	9° 50' 47	9° 50' 47	+ 35	993.206
23	Atabchi	28 52 10	2 10 57.2	6	0° 50' 38.44	9° 50' 47	2	9° 50' 47	9° 50' 47	+ 35	993.206
24	Ber el Masbia	28 52 10	2 10 57.2	6	0° 50' 38.44	9° 50' 47	2	9° 50' 47	9° 50' 47	+ 35	993.206
25	Insel Suez	29 50 12	2 18 27.8	3	0° 50' 17.28	9° 50' 47	1	9° 50' 47	9° 50' 47	+ 34	993.172
26	Suez	29 50 12	2 18 27.8	3	0° 50' 17.28	9° 50' 47	1	9° 50' 47	9° 50' 47	+ 34	993.172
27	Suez	29 50 12	2 18 27.8	3	0° 50' 17.28	9° 50' 47	1	9° 50' 47	9° 50' 47	+ 35	993.172

EXPEDITION S. M. SCHIFF „POLA“ IN DAS ROTHE MEER

NÖRDLICHE HÄLFTE.

(OCTOBER 1895 — MAI 1896.)

WISSENSCHAFTLICHE ERGEBNISSE.

III.

MAGNETISCHE BEOBACHTUNGEN

AUSGEFÜHRT VON

CARL RÖSSLER,

K. UND K. LIX-NSCHIFFS FACHRATH.

(Mit 5 Karten und 1 Tafel.)

(VORGELEGT IN DER SITZUNG VOM 5. MÄRZ 1897.)

Inhalt:

Einleitung.

I. Theil.

Instrumente.

Constanten-Bestimmung.

A. Temperaturs Coefficient.

B. Endconstante «C».

C. Inductions Coefficient.

Vergleichs-Beobachtungen.

I. Serie.

II. Serie.

Vorgang bei den Beobachtungen.

Termin-Beobachtungen.

II. Theil.

Reduction und Zusammenstellung der Beobachtungen.

Schlussbemerkungen.

Der Verlauf der Curven.

Schlussfolgerungen.

Reduction der beobachteten Werthe auf die Normalinstrumente.

Einleitung.

Die Vergleichsbeobachtungen und die Constanten-Bestimmungen wurden von mir im magnetischen Observatorium des k. und k. hydrographischen Amtes in Pola gemacht.

Nach Rückkehr der Expedition wurden die Vergleichsbeobachtungen wiederholt und dabei ergab sich eine Abnahme des magnetischen Momentes der Schwingungsmagnete.

Nur eine der Stationen, die Insel St. Johns, ergibt einen zweifelhaften Werth der Horizontal-Intensität.

Durch den periodischen Dienst an Bord, weiters durch die Agenden der Schiffsadministration, die mir gleichfalls übertragen waren, wurde ich zu sehr in Anspruch genommen, um die Beobachtungen sofort berechnen zu können: zweifelhafte Werthe zeigten sich erst dann, als es zu spät war, die Beobachtung zu wiederholen. In mehreren Stationen war auch der Aufenthalt sehr kurz bemessen.

Im Ganzen wurden 59 Serien der Horizontal-Intensität, 47 Serien der Declination und 47 Serien der Inclination beobachtet, wobei unter einer Serie bei ersterem Element das Mittel der Werthe für jeden Schwingungsmagnet, bei der Declination das Mittel mehrerer Einstellungen der Declinationsnadel und beim dritten Element das Mittel beider Inclinations-Nadeln verstanden ist.

I. Theil.

Instrumente.

Die Expedition war für die magnetischen Beobachtungen mit folgenden Instrumenten ausgerüstet.

1 astronomischer Theodolit -Stärke und Kammerer- Nr. 172, 1 magnetischer Theodolit »Jones«, 1 Inclinatorium »Barrow Nr. 5«.

Der astronomische Theodolit. Die schweren Grundtheile sind aus Eisen. Das Fernrohr, ein Knierohr mit Steinheil'schem Objectiv von 35 mm Öffnung hat 20fache Vergrößerung und 5 Verticalläden auf Glas eingerissen. Der Horizontal- und der Höhenkreis von 13 cm Durchmesser gehen mit Nonien eine Ablesung auf 10". Die Aufsatzlibelle hat 375, die Höhenlibelle 779 Parswerth.

Der magnetische Theodolit stammt aus England und wurde zweimal umgearbeitet. Die Nonien des Horizontalkreises geben eine Ablesung auf 30".

Die massive Alhidadenplatte steht in directer Verbindung mit dem hölzernen Magnetgehäuse, das die Suspensionsrohre trägt. Diese sind mit 3 Stellschrauben zum Neigen des Rohres versehen.

Es wurden zwei Suspensionsrohre von 50 cm Länge verwendet, eines mit einem einfachen Cocoonfaden und einer Messingschlinge für die Declinations- und die Ablenkungsbeobachtung, eines mit einem Doppelfaden für die Schwingungsbeobachtungen.

Das Fernrohr von 15.5 mm Objectiv-Öffnung hat ein Beleuchtungsprisma und ein Scalendiaphragma.

Die Ablenkungsschiene ist in Centimeter getheilt und wird mit 2 Schrauben am Träger des Magnetgehäuses befestigt. Der auf der Schiene verschiebbare Träger der Schwingungsmagnete ist mit einem Holzkästchen umschlossen.

Die Declinations- und Torsionsnadeln sind Spiegelmagnete, die Schwingungsmagnete und der Ablenkungsmagnet massive Cylinder aus glashartem Wolframstahl. Jene haben nur ein kleines Häkchen zum directen Einhängen in den Cocoonfaden, der Ablenkungsmagnet einen Messingring und Haken zum Einhängen in die Messingschlinge des Suspensionsrohres.

Alle drei Magnete haben die Spiegel am Nordende aufgeschliffen.

Die Nonien des Inclinatoriums geben eine Ablesung auf 1". Die Einrichtung des Instrumentes ist die allgemein gebräuchliche. Zur Beobachtung wurden die Nadeln 3 und 4 verwendet.

Constanten-Bestimmung.

Vor Antritt der Reise wurde am k. und k. hydrographischen Amte in Pola nur der Temperaturs-Coefficient aus absoluten Beobachtungen abgeleitet, die Endconstante C jedoch aus Vergleichsbeobachtungen mit dem Theodoliten Schneider bestimmt, weil die Aichungs-Commission damals die Schwingungsmagnete nicht hatte aichen können und ohnehin alle Reisebeobachtungen auf den Schneider'schen Theodolit, als das Normal-Instrument der k. und k. Kriegs-Marine, reducirt werden müssen.

Der Theodolit Schneider ist mit dem Normal-Instrument in Wien verglichen, Scheider-Lamont II = 0.00041 C. G. S.

A. Temperaturs-Coefficient.

Für jeden Magnet wurden zwei Serien von Bestimmungen gemacht, und zwar eine Serie bei hohen und eine Serie bei tiefen Temperaturen.

Zur Berechnung des Coëfficienten dient die Gleichung

$$\mu = \frac{\sin (n_1 - n_2)}{(t_1 - t_2) I_g \frac{n_1 + n_2}{2}}.$$

t_2 und t_1 bedeuten die Temperaturen, n_1 und n_2 die den-elfen zukommenden Ablenkungswinkel.

Es wurde gefunden:

Magnet I

Temperatur-Coëfficient bei 33°07 C 0·000715370 (R) *

„ „ 14·87 C 0·000641882 (K) *

Magnet II

Temperatur Coëfficient bei 33°24 C 0·000670232 (R)

„ „ 15·10 C 0·000593108 (K)

Daraus ergibt sich der Temperatur-Coëfficient d. i. die Änderung des magnetischen Momentes für 1° Temperatur-schwankung bei 0° Celsius

für Magnet I = 0·0003818,

„ „ II = 0·0003222,

und die Variation des Temperatur-Coëfficienten für 1° Temperatur-änderung

für Magnet I $\lambda = 0·00000404$,

„ „ II $\lambda = 0·00000045$.

B. Endconstante C.

Sie wurde, wie früher erwähnt, durch directe Vergleichsbeobachtungen mit dem Theodoliten Schneider bestimmt, indem die Horizontal-Intensität mit Hilfe der Bifilar-Angabe gerechnet wurde.

Magnet I.

Datum 1895	Ablenkungs- Winkel correct	Schwingungs- dauer correct	t_2	t_1	Scalen- theil am Bifilar	Tempe- ratur am Bifilar	Horizontal- Intensität gerechnet mit Bifilarangabe	„ C.	Beobachter
21. 8.	14°53' 30"	2' 8203	25°0	20°0	85·0	22°10	0° 22024	9° 49824 - 10	Rössler
23. 8.	14 52 8	2' 8180	20° 3	27° 1	84° 3	22° 20	0° 22018	9° 49800 - 10	„
24. 8.	14 52 37	2' 8217	20° 3	27° 5	85° 0	22° 30	0° 22025	9° 49822 - 10	Kesslitz
25. 8.	14 53 32	2' 8204	27° 0	20° 7	84° 5	22° 20	0° 22019	9° 49820 - 10	Rössler
„	14 53 7	2' 8213	27° 3	27° 7	83° 4	22° 20	0° 22015	9° 49817 - 10	„
„	14 52 3	2' 8210	28° 4	28° 1	84° 3	22° 25	0° 22019	9° 49800 - 10	Kesslitz
„	14 52 3	2' 8215	28° 4	28° 2	85° 1	22° 25	0° 22024	9° 49823 - 10	„
„	14 51 57	2' 8204	28° 0	20° 0	85° 2	22° 30	0° 22035	9° 49815 - 10	„
„	14 51 57	2' 8187	28° 0	20° 2	85° 2	22° 30	0° 22040	9° 49815 - 10	„
27. 8.	14 52 59	2' 8168	20° 1	25° 4	87° 8	22° 20	0° 22035	9° 49800 - 10	Rössler
Mittel... 9° 49815 - 10									

* Die Beobachter: k. und k. Linienschiffs-Lieutenant Wilhelm Kesslitz d. i. derzeit Vorstand der geophysischen Abtheilung des hydrographischen Amtes, und k. und k. Linienschiffs-Fähnrich Carl Rössler (R).

Magnet II.

Datum 1895	Ablenkungs- Winkel correctirt	Schwingungs- Dauer correctirt	t_2	t_1	Scalen- theil am Bifilar	Tempe- ratur am Bifilar	Horizontal- Intensität gerechnet mit Fühlerangabe	αC_0	Beobachter
22. 8.	14° 35' 38"	2' 8829	26° 9	27° 20	84.1	22° 2	0° 22017	9 50329 - 10	Rössler
24. 8.	14 26 50	2 8950	27 0	27 30	84.5	22.3	0° 22021	9 50320 - 10	Kieseltz
30. 8.	14 27 11	2' 8949	28° 0	28° 00	89.3	22.2	0° 22041	9 50328 - 10	"
"	14 27 11	2' 8928	28° 0	28 75	89.2	22.2	0 22033	9 50323 - 10	"
"	14 27 20	2' 8915	27.8	28° 00	90.1	22.2	0° 22048	9 50331 - 10	"
"	14 27 20	2 8912	27.8	27° 00	90.3	22.2	0° 22048	9 50330 - 10	"
27. 8.	14 26 20	2' 8901	26.8	25° 70	87.5	22.2	0° 22034	9 50324 - 10	Rössler
"	14 26 20	2' 8901	26.8	25 05	87.0	22.2	0° 22034	9 50325 - 10	"
"	14 28 17	2 8910	27 0	27° 50	87.5	22.2	0 22034	9 50323 - 10	"
"	14 28 17	2' 8919	27° 0	27° 00	87.9	22.2	0° 22030	9 50331 - 10	"

Mithl., 9° 50328 - 19

Zur Berechnung der Horizontal-Intensität dient die Gleichung:

$$\lg H = C - \lg T - \frac{1}{4} \lg \sin \varphi - 0.000002 t_2 - a (t_2 - t_1).$$

C bedeutet eine Constante, in diesem Falle die oben gerechnete, T die vom Einfluss des Uhranges und der Torsions-correction befreite Schwingungsdauer, φ den correctirten Ablenkungswinkel, t_2 die Temperatur bei der Ablenkungs-, t_1 die bei der Schwingungsbeobachtung und a eine Grösse, die durch die Formel

$$a = \text{Mod} \left(\frac{\alpha_0}{2} + \beta + \frac{\lambda}{4} t \right)$$

gegeben ist. In diesem Ausdruck, für den eine Tabelle gerechnet wurde, ist α_0 der Temperaturs-Coefficient bei 0°, β der Ausdehnungs-Coefficient des Stahles, λ die Änderung des Temperaturs-Coefficienten bei 1° Temperaturschwankung und t das Mittel der Temperaturen während der Intensitätsbeobachtung.

C. Inductions-Coefficient.

Der Coefficient wurde nach der Lamont'schen Methode bestimmt, die dahin modificirt erscheint, dass auch in den unteren Lagen beobachtet wurde (angegeben von Wild).

Der Magnetträger wurde möglichst nahe der Nadel gebracht (19 cm), und die Nadel in sein verschiebbares Lager gelegt. Dieses dann derart festgeklemt, dass die Verbindungslinie Mitte Magnetnadel gegen den Horizont um 45° geneigt war.

In jeder Pollage wurde die Ablenkung zweimal beobachtet, indem durch Drehen des Magnetes um 180° die Differenz in der Lage der magnetischen und der geometrischen Axe berücksichtigt ist.

Der Vorgang bei der Beobachtung ist aus der beigegebenen Tabelle ersichtlich.

Lage des Magnetens, respective Meridians	Magnet I				Magnet II			
	Haken Nord		Haken Süd		Haken Nord		Haken Süd	
	Nomus 1	Nomus 2	Nomus 1	Nomus 2	Nomus 1	Nomus 2	Nomus 1	Nomus 2
Träger oben								
Meridian.....	223° 33' 20"	54' 0"			223° 30' 45"	60' 15"		
N oben.....	210 21 0	21 30	216° 21' 0"	21 15"	210 41 0	41 45	216° 30' 45"	41 30"
N unten.....	231 33 30	34 0	231 33 30	34 0	231 20 30	21 15	231 20 15	20 45
Meridian.....	223 53 45	54 15			223 59 15	59 45		
N oben.....	210 21 15	21 45	216 21 15	22 0	210 40 30	40 45	216 40 0	40 20
N unten.....	231 33 54	34 15	231 34 0	34 30	231 20 0	20 30	231 20 15	20 45
Meridian.....	223 54 45	55 15			223 58 15	58 30		

Lage des Magneten, respective Meridiens	Magnet I				Magnet II			
	Haken Nord		Haken Süd		Haken Nord		Haken Süd	
	Nonius 1	Nonius 2	Nonius 1	Nonius 2	Nonius 1	Nonius 2	Nonius 1	Nonius 2
Träger unten								
Meridian.....	223°55' 0"	55' 15"			223°57' 15"	57' 45"		
N oben.....	231 59 0	59 0	231°59' 0"	59' 0"	231 34 30	34 45	231°34' 15"	34' 45"
N unten.....	215 49 30	49 45	215 50 0	50 0	210 16 0	16 15	210 16 30	16 45
Meridian.....	223 55 30	55 45			223 57 0	57 30		
N oben.....	231 59 45	60 0	231 60 0	60 15	231 34 0	34 30	231 33 15	33 45
N unten.....	215 49 15	49 45	215 49 45	50 15	210 14 45	15 0	210 14 30	15 30
Meridian.....	223 55 45	55 45			223 56 0	56 30		

Aus diesen Angaben ergeben sich folgende Ablenkungswinkel.

Magnet I.		Magnet II.	
$N_0 7^{\circ} 32' 30''$	$N_0 7^{\circ} 30' 55''$	$N_0 7^{\circ} 18' 30''$	$N_0 7^{\circ} 20' 56''$
$N_0 7 32 41$	$N_0 7 30 53$	$N_0 7 18 32$	$N_0 7 21 27$
$N_0 8 3 37$	$N_0 8 5 34$	$N_0 7 37 11$	$N_0 7 41 0$
$N_0 8 3 19$	$N_0 8 5 56$	$N_0 7 37 0$	$N_0 7 41 57$
Träger oben		Träger oben	
Träger unten		Träger unten.	

Mit Benützung der Gleichung

$$k = \frac{tg \frac{\Delta \tau}{2}}{H \cdot J \cdot tg \frac{\tau_1 + \tau_2}{2}},$$

worin k den Inductions-Coefficienten, H die Horizontal-Intensität, J die Inclination und $\tau_1 \tau_2$ die Ablenkungswinkel bei Nordpol oben, beziehungsweise unten bedeuten, ergaben sich folgende Werthe:

Magnet I.		Magnet II.	
Träger oben.....	0°007219	Träger oben.....	0°001970
" unten.....	0°007576	" unten.....	0°002886
Mittel =	0°007398 = k_1	Mittel =	0°002428 = k_2

Vergleichs-Beobachtungen.

I. Serie.

Pola, magnetisches Observatorium des k. und k. hydrographischen Amtes, August 1895 (vor Abgang der Expedition).

a) Declination.

Theodolit «Schneider»					Theodolit «Jones»				
Datum	beobachtete Declination	Variat. App.	auf Scaletheil 90 red. Decl.	Beobachter	Datum	beobachtete Declination	Variat. App.	auf Scaletheil 90 red. Decl.	Beobachter
13. 8.	9°49' 15"	58' 7"	10°20' 6"	Kesslitz	18. 8.	9°41' 21"	57' 6"	10°18' 8"	Rosler
"	9 45 51	58' 3"	10 20 6	"	"	9 42 5	57' 3"	10 18' 8"	"
28. 8.	9 47 51	57' 3"	10 20 6	"	27. 8.	9 47 31	58' 8"	10 18' 9"	"
"	9 46 55	56' 4"	10 20 6	"	"	9 47 0	58' 1"	10 19' 0"	"
					"	9 44 58	50' 1"	10 18' 8"	Kesslitz
					"	9 44 52	50' 0"	10 18' 9"	"
Mittel.. 10°20' 6"					Mittel.. 10°18' 9"				

$$\text{Schneider} - \text{Jones} = +1' 7''.$$

b) Horizontal-Intensität.

Die Constante $\cdot C \cdot$ wurde durch directen Vergleich ermittelt, und sind die Resultate bei den Constantenbestimmungen angeführt.

c) Inclination.

Datum 1895	Nadel	beobachtete Inclination	Lloyd-Wage	Offilar	Temp. am Brillar	gerechnete Horizontal-Intensität	gerechnete Vertical-Intensität	gerechnete Inclination Dover 0.5	Differenz Dover - Barrow	Beobachter
2. 9.	III	60° 34' 5	65° 0	84° 0	22° 6	0° 220.51	0° 300.10	60° 32' 8	-1° 7	Kessitz
3. 9.	"	60 31 4	66 3	83° 0	22° 7	0° 220.24	0° 300.22	60 31' 6	+0° 2	Rüssler
"	"	60 33 4	65° 8	85° 0	22° 7	0° 220.20	0° 300.18	60 33' 2	-0° 2	"
"	"	60 32 7	65° 0	84° 7	22° 7	0° 220.32	0° 300.12	60 32' 7	0° 0	"
Mittel = 0° 42										
29. 9.	IV	60° 29' 0	63° 0	90° 5	22° 3	0° 220.52	0° 300.44	60° 30' 7	+1° 3	Rüssler
31. 8.	"	60 30' 5	60 8	87° 0	22° 0	0° 220.45	0° 300.10	60 33' 2	+2° 7	"
"	"	60 31' 9	70 1	88° 0	21° 0	0° 220.40	0° 300.51	60 33 2	+1° 4	"
2 9.	"	60 29' 0	65° 9	88° 0	22° 0	0° 220.40	0° 300.18	60 31' 8	+1° 8	"
3 9.	"	60 30' 0	65° 0	87° 1	22° 7	0° 220.45	0° 300.12	60 31' 8	+1° 2	"
Mittel = +1° 22										

Zur Berechnung der Inclination Dover 63 diente der im August 1895 aus 4 Beobachtungen (Mittel der Nadeln I und II) gefundene Normalwerth der Vertical-Intensität $I^{54}_{110} = 0.38966$ und der Normal-stand der Horizontal-Intensität $H^{12}_{110} = 0.21818$ C. G. S.

Mittel man die Werthe der Nadeln III und IV, so ergibt sich die Reduction

$$\text{Incl. Dover}_{63} - \text{Incl. Barrow}_{60} = +0.65.$$

II. Serie.

Pola, magnetisches Observatorium des k. und k. hydrographischen Amtes, Juni 1896 (nach Rückkehr der Expedition).

a) Declination.

Theodorolith Schneider					Theodorolith Jones				
Datum	beobachtete Declination	Varial. App.	auf Sec. Th. 90 red. Declination	Beobachter	Datum	beobachtete Declination	Varial. App.	auf Sec. Th. 90 red. Declination	Beobachter
10. 6.	9° 43' 35"	72° 40	10° 1' 16"	Kessitz	15. 6.	9° 37' 33"	60° 3	9° 58' 3	Rüssler
11. 6.	9 39 55	68° 73	10 1° 19	"	"	9 39 10	70° 7	9 58' 5	"
15. 6.	9 38 50	67° 50	10 1° 03	"	16. 6.	9 38 49	70° 5	9 58' 4	"
"	9 40 35	69° 75	10 0° 50	Macdon *	17. 6.	9 41 38	71° 5	9 58' 3	"
					"	9 41 46	72° 8	9 58' 4	"
					19. 6.	9 35 41	67° 5	9 58' 2	"
Mittel = 10° 1' 75"					Mittel = 9° 58' 35"				

Nach der Reise Schneider-Jones = +3' 4.

Vor " " " " = +1' 7.

Gesammt-Mittel = +2' 5.

* K. und k. Leutenschoff-Gehilich Charles A. Macdon, zugetheilt der geophysischen Abtheilung des hydrographischen Amtes.

b) Endconstante »C«.

Magnet I.

Datum	Corrigirter Ablenkungswinkel	t_p	Corrigirte Schwungsdauer	t_1	Int. 1	t_2	gerechnete Horiz.-Int.	»C«	Beobachter
30. 6.	14° 4' 25"	25' 25	2' 50.20	24' 30	93' 9	19' 55	0' 22086	9' 49887	Rösler
"	14 4 25	25' 25	2' 50.14	24 45	93' 8	"	0' 22084	9' 49871	"
"	14 4 29	25' 22	2' 50.03	25 00	92' 5	"	0' 22070	9' 49859	"
"	14 4 29	25' 22	2' 50.55	25 52	92' 1	"	0' 22078	9' 49880	"
1. 7.	11 1 33	25' 13	2' 50.45	24' 58	91' 5	"	0' 22074	9' 49871	"
3. 7.	14 4 51	25' 20	2' 50.45	25' 20	91' 5	"	0' 22088	9' 49895	"
"	14 4 51	25' 20	2' 50.40	25' 15	91' 1	"	0' 22080	9' 49860	"

Mittel, 9' 49884 - 10

Magnet II.

23. 6.	12° 45' 51"	26' 25	3' 07.43	27' 00	90' 4	19' 15	0' 22064	9' 50308	Rösler
24. 6.	12 44 7	27' 30	3' 07.43	28' 18	94' 5	19' 30	0' 22087	9' 50384	"
30. 6.	12 44 48	25' 20	3' 07.12	23' 40	94' 1	19' 35	0' 22080	9' 50305	"
"	12 41 42	25' 20	3' 07.15	23' 78	93' 7	"	0' 22085	9' 50305	"
"	12 44 23	25' 25	3' 07.43	25' 50	92' 7	"	0' 22080	9' 50304	"
"	12 44 23	25' 25	3' 07.41	25' 50	92' 3	"	0' 22078	9' 50301	"
1. 7.	12 41 50	24' 72	3' 07.23	24' 32	91' 0	"	0' 22074	9' 50345	"

Mittel, 9' 50304 - 10

Vergleicht man die beobachteten Werthe von »C« vor und nach der Reise, so ergibt sich für beide Magnete eine Abnahme des magnetischen Momentes.

Magnet I. I. Serie—2. Serie = 0.00030 C. G. S.

" II. I. " —2. " = 0.00031 C. G. S.

Um diese Differenzen in Rechnung bringen zu können, wurde angenommen, dass die Abnahme des magnetischen Momentes proportional der Zeit erfolgte. Dementsprechend ergeben sich die Werthe der Constanten »C« für die einzelnen Stationen, wie folgt.

	Magnet I	Magnet II		Magnet I	Magnet II
Poln, Anfang der Expedition	9' 49 815	9' 50 328	Ras abu Somir	9' 49 853	9' 50 348
Suez	827	334	Shadwan	854	348
The Brothers	829	335	Ras Abu zenima	859	350
Jidda	830	336	Tor	859	350
Mersa-Halab	833	337	Ras Gharib	859	350
St. Johns	834	337	Zafarana	860	351
Berenice	835	338	Mersa Dahab	864	351
Sherm Kabegh	837	339	Nawibi	864	351
Yenbo	842	342	Akabuh	866	356
Sherm Sheikh	843	342	Bir al Mashiya	867	356
Mersa Dhiba	844	343	Mujawan	868	357
Hassani	844	343	Senafir	869	357
Sherm Habban	845	343	Sherm-Sheikh a. d. Sinaiküste	870	358
Koseir	846	343	Suez	871	359
Noman	851	347	Pola, Ende der Expedition	884	365

c) Inclination.

Datum 1890	Nadel	beobachtete Inclination Barrow 50	Lloyd- Wage	Refilar	Tempe- ratur am Refilar	gerechnete Horizontal- Intensität	gerechnete Vertical- Intensität	gerechnete Inclination Dover 63	Differenz Dov. - Barr.	Beobachter
6. 7.	III	60° 30' 0	60° 9	88 0	20° 15	0° 22005	0° 39032	60° 31' 2	+1' 2	Rössler
"	"	60 29' 7	60° 3	88 3	20° 15	0° 22000	0° 39020	60 31' 0	+1' 3	"
"	"	60 29' 6	65° 9	88 2	20° 15	0° 22005	0° 39026	60 31' 0	+1' 4	"
Mittel . . +1' 3										
6. 7.	IV	60° 29' 8	63° 8	87° 6	20° 15	0° 22002	0° 39015	60° 30' 8	+1' 0	Rössler
"	"	60 29' 5	64 1	88° 0	20° 15	0° 22005	0° 39017	60 30' 7	+1' 2	"
"	"	60 29' 7	64° 2	88° 3	20° 15	0° 22006	0° 39017	60 30' 6	+0' 9	"
Mittel . . +1' 0 3										

Zur Berechnung der Inclination Dover 63 diente der im Juni 1893 ermittelte Normalwerth der Vertical-Intensität $I^{30}_{15} = 0.38945$ und der Normalstand der Horizontal-Intensität $H^{22}_{15} = 0.21891$ C. G. S.

Mittelt man die Werthe der Nadeln III und IV, so ergibt sich die Reduction:

$$\begin{array}{rcl}
 \text{Nach der Reise Incl. Dover}_{63} - \text{Incl. Barrow}_{50} & = & +1' 17 \text{ und} \\
 \text{vor} \quad " \quad " \quad " \quad " \quad " \quad " & = & +0' 65 \\
 \hline
 \text{Gesamtmittel} & = & +0' 91
 \end{array}$$

Vorgang bei den Beobachtungen.

1. Astronomische Beobachtungen.

Das Azimut der Miren wurde mit dem Theodoliten »Starke und Kammerer Nr. 172« durch Beobachtung von Sonnenpassagen gemessen. Der Stand der Beobachtungsuhr ergab sich aus dem directen Vergleiche mit den Chronometern, deren Uhr correctionen aus den täglichen Zeitbestimmungen bekannt waren.

Zur Controle nahm man immer zwei Miren.

Die geographische Position ergaben die angeführten Zeit- und Breitenbeobachtungen.

Die astronomischen Beobachtungen wurden vom k. und k. Linienschiffs-Lieutenant Karl Koss durchgeführt.

2. Magnetische Beobachtungen.

a) Declination.

Anschliessend an die Azimutmessung wurde die Declination beobachtet. Die Kreislesung des magnetischen Meridianes ergab sich aus mehreren Einstellungen der Declinationsnadel und aus je einer der Torsionsnadel in beiden Spiegellagen.

Vor und nach der Declinations-Beobachtung wurden die Miren anvisirt. Die Torsionsconstante (in Sekunden) variierte zwischen 6.456 und 5.724 oder auf Minuten reducirt, zwischen 0.1076 und 0.0954; der in Pola eingezogene Coconfaden hielt die ganze Reise hindurch.

b) Horizontal-Intensität.

In jeder Station beobachtete ich mindestens 2 Sätze, deren jeder die Beobachtung der Intensität für jeden Magnet (I und II) in sich begreift.

Für die Ablenkungsbeobachtungen wurde zur Einstellung der Schienenstrich 24 benützt, für den die Constante C beobachtet war.

An dem aus vier Einstellungen gemessenen Ablenkungswinkel wurde die Correction wegen Ungleichheit der Winkel angebracht; die Torsionscorrection konnte wegen der Kleinheit der Winkel immer vernachlässigt werden.

Zur Messung der Schwingungsdauer diente ein zweites Suspensionsrohr mit einem Doppelfaden, in den der Magnet mit seinem Häkchen direct eingehängt wurde.

Die Torsionscorrection variierte nur unbedeutend, und es war in den seltensten Fällen die Schwingungsdauer wegen des Uhganges zu corrigiren. Sie wurde aus der 11mal gemessenen Zeitdauer von 100 Schwingungen bestimmt. Vor und nach je 50 Schwingungen wurde das Thermometer im Schwingungskasten abgelesen.

Sämmtliche Beobachtungen wurden in einem eisenfreien, vom k. und k. Seearsenale in Pola erzeugten Zelte gemacht.

Das vom k. und k. hydrographischen Amte für diese Zwecke bestimmte Zelt entsprach nicht den Anforderungen, es war zu klein und zu schwach; die Temperatur stieg in diesem Zelte in kürzester Zeit so bedeutend und schnell, dass der Werth der Beobachtung illusorisch und die Existenz für den Beobachter unerträglich wurde. Auch hielt es den frischen Winden im Beobachtungsgebiete nicht stand. Das grosse Zelt bewährte sich vorzüglich, es war geräumig und liess eine starke Vertäuerung zu, so dass selbst bei einem schweren stürmischen Südwestwind im Golfe von Akaba die Beobachtung sicher gemacht werden konnte. Um jeden Luftzug abzuhalten, wurde der untere, am Boden liegende Theil des Zeltes mit Steinen und Sand beschwert, beziehungsweise winddicht abgeschlossen.

Und auch dieses Zelt dürfte bei höheren als den auf dieser Expedition beobachteten Temperaturen seinen Zweck nicht erfüllen; es stieg in Sherm Sheikh an der Sinaiküste die Temperatur im Zelte auf 42°C., was im Vercine mit der durchs Zelt fühlbaren Insolation den Aufenthalt fast unerträglich gestaltete.

c) Inclination.

Die Inclination wurde mit dem Inclinatorium Barrow Nr. 50 und den Nadeln III und IV gemessen. Das Ummagnetisiren geschah nach der Methode des Doppelstriches mit zwei starken Magneten.

Terminbeobachtungen.

(Tafel.)

In Suez, Koseir und Jidda wurde der tägliche Gang der Declination beobachtet, um die Resultate der Stationen auf das Tagesmittel reduciren zu können.

Wohl ist es nicht ganz correct mit nur einer 24stündigen Terminbeobachtung Reductionen auf das Tagesmittel zu machen, weil man dadurch annimmt, dass die eine Beobachtung einen mittleren Werth darstellt, doch werden die auf diese Art erhaltenen Werthe der Stationen eher vergleichbar sein, als wenn sie gar nicht reducirt wären.

Ich wählte die erwähnten drei Stationen, weil sie in Bezug auf das Beobachtungsgebiet ziemlich symmetrisch liegen.

Wäre ich in der Lage gewesen, die Beobachtung der einzelnen Elemente immer zur gleichen Tageszeit zu machen, so hätte die mühevoll Bestimmung der Variation durch stündliche Beobachtungen entfallen können.

Die Construction eines Bifilars mit einem der Schwingungsmagnete musste leider entfallen, da ich keine Messingfäden besass, und die Torsionskraft der Coconfäden viel zu gering war, um eine Ablenkung der starken Magnete um 90° zu erzielen. Ich suchte die Variation durch stündliche Intensitätsbeobachtungen mit einem Magnet zu bestimmen, musste es aber aufgeben, weil ich keine eisenfreien Lampen besass; bei der Declinationsbeobachtung kam dies weniger in Betracht, weil die Lampen während der Beobachtung nicht transportirt werden mussten.

Ich glaube, dass bei dem geringen Gange der Elemente in diesen Gegenden und weiters mit Berücksichtigung auf die Grenze der Genauigkeit von Feldbeobachtungen der Horizontalintensität und Inclination

unter vielfach sehr ungünstigen Verhältnissen eine Reduktion auf das Tagesmittel bei diesen Elementen entfallen kann.

Im Nachfolgenden sind die Resultate der Terminbeobachtungen für die Stationen Suez, Koseir und Jidda gegeben. Die Lesungen sind das Mittel beider Nonien. In der graphischen Darstellung sind die Curven auf wahre Ortszeit reduziert.

Terminbeobachtungen der Declination.

Suez			Koseir			Jidda		
Datum	Mittlere Ortszeit	Lesung	Datum	Mittlere Ortszeit	Lesung	Datum	Mittlere Ortszeit	Lesung
30. 4. 1890	4 ^h 30 ^m p. m.	142° 52' 53"	10. 1. 1890	5 ^h p. m.	245° 38' 19"	5. 11. 1893	5 ^h p. m.	271° 4' 53"
	5 30	52 49		6	38 11		6	5 15
	6 30	53 12		7	38 35		7	5 39
	7 30	53 38		8	40 48		8	0 3
	8 30	53 42		9	38 47		9	0 57
	9 30	54 37		10	39 23		10	0 8
	10 30	54 32		11	39 52		11	0 7
	11 30	55 9		12	40 35		12	0 9
1 5. 1890	12 30 a. m.	55 49	17. 1. 1890	1 a. m.	40 34	11. 11. 1893	1 a. m.	0 4
	1 30	53 35		2	40 33		2	0 5
	2 30	53 37		3	40 31		3	0 0
	3 30	53 38		4	39 15		4	0 8
	4 30	53 38		5	38 0		5	0 0
	5 30	54 31		6	37 24		6	5 9
	6 30	50 11		7	38 34		7	5 40
	7 30	57 40		8	40 3		8	0 37
	8 30	57 35		9	41 9		9	7 21
	9 30	59 22		10	41 8		10	0 47
	10 30	53 31		11	40 28		11	0 14
	11 30	50 40		12	38 12		12	5 40
	12 30	50 41		1 p. m.	37 23		1 p. m.	5 19
	1 30	50 58		2	37 2		2	4 43
	2 30	50 38		3	37 45		3	0 29
	3 30	51 29		4	37 28		4	0 0
Mittel		142° 53' 43"	Mittel		245° 39' 22"	Mittel		271° 5' 55"

Abweichungen vom Tagesmittel.

(Den Curven entnommen.)

Mittlere Ortszeit	Suez	Koseir	Jidda
Mitternacht	+1' 0	+1' 8	+1' 4
1 ^h a. m.	-0' 1	+1' 3	+0' 2
2	-0' 2	+1' 3	+0' 3
3	-0' 1	+1' 2	+0' 2
4	+0' 2	+1' 0	+0' 1
5	+0' 4	+1' 2	+0' 1
6	+1' 0	+1' 8	+0' 7
7	+1' 0	+0' 7	+0' 2
8	+1' 3	+0' 9	+0' 5
9	+1' 3	+1' 0	+1' 5
10	+1' 5	+1' 0	+1' 9
11	+1' 9	+1' 1	+1' 4
Mittag	-2' 1	-0' 0	-0' 1
1 ^h p. m.	-3' 0	-1' 8	-0' 6
2	-2' 9	-2' 1	-1' 2
3	-3' 0	-1' 5	-1' 0
4	-2' 7	-1' 8	-1' 1
5	-0' 8	-0' 9	-1' 1
6	-0' 5	-0' 6	-0' 6
7	+1' 0	-0' 7	-0' 2
8	+1' 0	+1' 5	-0' 8
9	+1' 4	+0' 4	-1' 0
10	+1' 7	+1' 2	-1' 3
11	+1' 2	+1' 4	-1' 3

II. Theil.

Zusammenstellung der Beobachtungen.

(In chronologischer Reihenfolge.)

Vorbemerkungen.

Breite und Länge der Orte sind dem astronomischen Theil der Aufnahme entnommen.

Der Stand der Beobachtungsuhr bezieht sich auf die Zeit der Azimuthmessung und ist gegen mittlere Ortszeit gegeben.

In den Stationen Koseir, Nomän, Ras Abu Somer, Shadwan und Ras Abu Zenima wurde das Azimuth mit dem grossen astronomischen Theodolithen gemessen, indem man directe von dem durch Polarsternbeobachtungen ermittelten Nordpunkt ausgieng. Die Declination wurde sodann auf demselben Steinpfeiler bestimmt.

Die Declinationen und Inclinationen in den Orten Nomän, Ras Abu Somer und Shadwan beobachtete der k. und k. Linienschiffsleutenant Cäsar Arbesser v. Rasburg, die Horizontal-Intensitäten der k. und k. Linienschiffsleutenant Carl Koss, weil ich während dieser Zeit krankheitshalber ausgeschifft war.

1. Suez.

$$\varphi = 29^{\circ} 56' 4'' \text{ N}; \quad \lambda = 32^{\circ} 33' 36'' (2^h 10^m 13^s 7) \text{ Ost von Gr.}$$

Stand der Beobachtungsuhr = $+ 2^h 11^m 50^s 3$.

Beobachtungsort: Südöstlicher Begrenzungsmolo des Ibrahim-Bassins, 100 Schritte vom Sanitätsgebäude entfernt, aufgeführtes Terrain, Sand und Schotter.

Miren: I. Eiserner Flaggenstock eines hohen Gerüstbaues.

II. Thurmspitze der katholischen Kirche in Port Tewfik.

$$I = N 52^{\circ} 48' 30'' \text{ O.}$$

$$II = N 56^{\circ} 12' 50'' \text{ O.}$$

Hohe Temperatur, frischer Wind.

a) Declination.

(Torsions-Constante = $5^{\circ} 724$.)

1895	Mittlere Ortszeit	Meridian-Lesung	Magnet-Lesung -1. Tors.-Coer.	Beobachtete Declination	Reduction auf das Tagesmittel	Reducirte Declination
23. October	$3^h 29^m$ p. m.	$200^{\circ} 29' 40''$	$202^{\circ} 27' 59''$	$-4^{\circ} 1' 41''$	$+ 2' 9$	$-3^{\circ} 58' 8$
	3 40	$200 29 40^s$	$202 27 49$	$-4 1 51$	$+ 2' 8$	$-3 59^o 0$
Mittel (4) = $3^{\circ} 59' 9$						

b) Horizontal-Intensität.

1895	Mittlere Ortszeit	Magnet	φ	l_0	T	h	Beobachtete	Aus I und II gemittelte
							Horiz.-Intens.	
21. October	3 ^h 0 ^m p. m.	I	10° 37' 45"	33° 0	2° 44' 0	37° 8	0° 30384	0° 30374
		II	10 19 30	32° 6	2° 45' 11	37° 7	0° 30360	
	3 10	I	10 37 58	32° 7	2° 44' 75	38° 4	0° 30374	0° 30357
		II	10 20 28	32° 4	2° 48' 17	37° 5	0° 30339	
22. October	3 6	I	10 38 10	33° 7	2° 44' 8	33° 2	0° 30339	0° 30345
		II	10 19 51	33° 0	2° 47' 81	33° 7	0° 30350	
	4 30	I	10 38 10	33° 7	2° 44' 05	34° 4	0° 30330	0° 30332
		II	10 19 51	33° 0	2° 48' 00	34° 4	0° 30333	
24. October	8 20 a m.	I	10 40 12	38° 1	2° 44' 15	30° 9	0° 30353	0° 30304
		II	10 20 37	29° 8	2° 47' 50	30° 5	0° 30309	
Mittel 0 30354								

Mittel 0 30354

$$H^* \cos \delta^* = X^* = 0.30286,$$

$$H^* \sin \delta^* = Y^* = -0.02115.$$

c) Inclination.

1895	Mittlere Ortszeit	Nadel	Inclination
22. October	4 ^h 50 ^m p.m.	III	40° 28' 5
	5 2	III	40 28' 1
23. October	4 44	IV	40 25' 8
	4 52	IV	40 27' 3

Mittel 40° 27' 4

$$H \lg i^* = Z = \text{Vertical-Intensität} = 0.25889,$$

$$H \sec i^* = \text{Total-Intensität} = 0.39890.$$

2. Nördliche Insel von The Brothers.

$$\varphi = 20^\circ 18' 40'' \text{ N}; \quad \lambda = 34^\circ 50' 38'' \text{ (2h 19m 22s) Ost von Gr.}$$

Stand der Beobachtungs-Uhr = + 2^h 21^m 7^s 0.

Beobachtungsort: Declination und Inclination am 30 Fuss hohen Plateau der Insel; Horizontal-Intensität wegen steifen NW-Windes in Lee am Strande.

Miren: Tangententeilungen an dem NO-, beziehungsweise SW-Rande der südlichen Insel von The Brothers.

$$I = S 52^\circ 24' 27'' \text{ O.},$$

$$II = S 54 17 36 \text{ O.}$$

Die Insel besteht aus einem vulkanischen Unterbau (Basalt, Porphyr) mit einer Kalksteindecke, die an der Oberfläche schon zu Tuff verwittert ist.

Der Leuchtturm ist aus Stein.

Sehr hohe Temperatur, besonders im Zelt; steifer NW-Wind.

* H bedeutet die Horiz.-Intens., δ die Declination, i die Inclination, X und Y die Componenten der erdmagnetischen Kraft, die nach wahr Nord, beziehungsweise Ost wirken.

a) Declination.

(Torsions-Constante = 5'919.)

1895	Mittlere Ortszeit	Meridian-Lesung	Magnet-Lesung + Tors.-corr.	Beobachtete Declination	Reduction auf das Tagesmittel	Reduzierte Declination
28. October	9 ^h 57 ^m a. m. 10 12	335° 11' 54" 335 11 54	335° 11' 17" 335 10 32	-3° 0' 37" -3 1 22	-2'0 -1'8	-3° 2'0 -3 3'2
						Mittel 3° 2'9

b) Horizontal-Intensität.

1895	Mittlere Ortszeit	Magnet	φ	I_t	T	I_h	Beobachtete	Aus I und II gemittelte
Horiz.-Intens.								
28. October	3 ^h 34 ^m p. m.	I	10° 11' 23"	27.5	2'3389	30.1	0.31700	{ 0.31754
		II	9 53 44	28.1	2'4210	29.8	0.31748	
	3 43	I	10 11 21	27.0	2'3590	29.0	0.31754	
		II	9 52 35	27.9	2'4212	29.7	0.31783	
Mittel 0.31761								

$$H \cos \delta = X = 0.31716,$$

$$H \sin \delta = Y = -0.01686.$$

c) Inclination.

1895	Mittlere Ortszeit	Nadel	Inclination
28. October	6 ^h 53 ^m a. m.	III	33° 17' 1
I	7 19	III	33 17.1
	8 5	IV	33 16.5
	8 12	IV	33 16.1
			Mittel 33° 16' 7

$$H \operatorname{tg} i^* = Z = \text{Vertical-Intensität} = 0.20846,$$

$$H \sec i = \text{Total-Intensität} = 0.37990.$$

3. Jidda.

 $\varphi = 21^\circ 28' 55'' \text{ N}; \lambda = 39^\circ 11' 31'' \text{ (2h } 36^m 46^s) \text{ Ost von Gr.}$
Stand der Beobachtungs-Uhr = + 2^h 39^m 43^s.

Beobachtungsort: Horizontal-Intensität und Inclination in einem ehemaligen Getreidespeicher der türkischen Regierung. Das ganze Gebäude ist nur aus Korallenkalkstein aufgeführt, ohne irgend einer Metallconstruction. Das Dach besteht aus einfachen Holztraversen und Strohmatten; es wurde an mehreren Stellen geöffnet, um den Raum etwas zu beleuchten. Die Declinations-Bestimmung musste wegen der Miren vor den Thoren der Stadt, und zwar auf der südlich gelegenen Sandebene zwischen dem christlichen Friedhofe und dem Grabe der Leila gemacht werden.

Für die Dauer dieser Beobachtung war mir eine starke militärische Bedeckung mitgegeben worden, weil ohne dieser ein Aufenthalt ausserhalb der Stadtmauern nicht gestattet ist.

Miren: I Flaggenstock der Quarantine-Station.

II steinerne Einlaufbacke.

I N 100° 46' 23" W.

II N 109 11 16 W.

a) Declination.

(Torsions-Constate = $5^{\circ}9'19''$)

1895	Mittlere Ortszeit	Meridian-Lesung	Magnet-Lesung → Tors.-Const.	Beobachtete Declination	Reduction auf das Tagesmittel	Reducirte Declination
9. November	10 ^h 14 ^m a. m. 10 42	400° 33' 30" 400 33 30"	403° 30' 42" 403 30 35"	-2° 50' 54" -2 57 1	-0° 6 -0° 5	-2° 57' 5 -2 57' 5

Mittel - 2° 57' 5

b) Horizontal-Intensität.

1895	Mittlere Ortszeit	Magnet	φ	I_2	T	I_1	Beobachtete	Aus I und II gemittelte
Horiz.-Intens.								
7. November	11 ^h 0 ^m a. m.	I	9° 29' 33"	29° 7	2° 2804	28° 5	0° 33894	0° 33894
		II	9 13 0	29° 3	2° 3494	28° 7	0° 33894	
	11 30	I	9 29 33	29° 7	2° 2801	28° 4	0° 33898	0° 33904
		II	9 13 0	29° 3	2° 3495	28° 6	0° 33911	
	12 42	I	9 29 33	29° 7	2° 2880	29° 5	0° 33874	0° 33875
		II	9 13 0	29° 3	2° 3498	29° 3	0° 33875	
	12 46 p. m.	I	9 29 33	29° 7	2° 2884	29° 3	0° 33873	0° 33878
		II	9 13 0	29° 3	2° 3492	29° 1	0° 33882	
8. November	10 9 a. m.	I	9 28 29	28° 1	2° 2900	28° 6	0° 33882	0° 33915
		II	9 12 12	28° 3	2° 3495	28° 3	0° 33939	

Mittel 0° 33893

$$H \cos \delta = X = 0.33847,$$

$$H \sin \delta = Y = -0.01749.$$

c) Inclination.

1895	Mittlere Ortszeit	Nadel	Inclination
6. November	3 ^h 51 ^m p. m.	III	24° 51' 0
		III	24 55' 8
		IV	24 50' 3
7. November	7 37 a. m.	IV	25 0' 8
		IV	24 57' 9
		IV	24 57' 7

Mittel 24° 57' 0

$$H \operatorname{tg} i = Z = \text{Vertical-Intensität} = 0.15780,$$

$$H \sec i = \text{Total-Intensität} = 0.37386.$$

4. Mersa-Halaib.

 $\varphi = 22^{\circ} 13' 20''$ N; $\lambda = 36^{\circ} 40' 0''$ (2^h 30^m 40^s) Ost von Gr.Stand der Beobachtungs-Uhr = 2^h 39^m 30^s 2.

Beobachtungsort: Grosser freier Platz ausserhalb des Dorfes; Alluvium, Sand, Schutt.
Miren: Auffallendes Gebüsch am Nordstrande.

I N 24° 41' 25" W.

Beobachtung wegen Einfallens eines grossen Heuschreckenschwarmes theilweise gestört.

a) Declination.

(Torsion's Constant = $5^{\circ}19'$.)

1895	Mittlere Ortszeit	Meridian-Lesung	Magnet-Lesung + Tors.-Corr.	Beobachtete Declination	Reduction auf das Tagesmittel	Reducirte Declination
18. November	3 ^h 42 ^m p. m. 4 4	34° 3' 3" 34 3 3	30° 26' 58" 30 26 28	- 3° 36' 5" - 3 36 35	- 0' 2 - 0 1	- 3° 36' 3" - 3 36 7

Mittel - 3° 36' 5"

b) Horizontal-Intensität.

1895	Mittlere Ortszeit	Magnet	φ	I_2	T	H	Beobachtete	Aus I und II gemittelte
Horiz.-Intens.								
18. November	7 ^h 39 ^m a. m.	I	9° 37' 0" 9 23 4	19 5 20 7	2 3349 2 3061	23 8 22 5	0' 33309 0' 33302	0' 33306
	8 9	I	9 37 3 9 22 43	20 1 21 4	2 3120 2 3059	23 9 22 7	0' 33304 0' 33371	0' 33308

Mittel 0' 33307

$$H \cos \delta = X = +0.33317,$$

$$H \sin \delta = Y = -0.02101.$$

c) Inclination.

1895	Mittlere Ortszeit	Nadel	Inclination	
17. November	9 ^h 42 ^m a. m.	III	26° 22' 2" 26 22 7	} Werthe der Nadel III gleich 2 " " " IV " 1
	9 51	III	26 22 7	
	10 48	IV	26 27 8	
	10 55	IV	26 28 7	
Mittel 26° 25' 2"				

$$H \lg i = Z = \text{Vertical-Intensität} = 0.16586,$$

$$H \sec i = \text{Total-Intensität} = 0.37276.$$

5. Insel St. Johns.

 $\varphi = 23^{\circ} 35' 47'' \text{ N}; \lambda = 30^{\circ} 12' 2'' (2^{\text{h}} 24^{\text{m}} 48^{\text{s}}) \text{ Ost von Gr.}$
Stand der Beobachtungs-Uhr = $\pm 2^{\text{h}} 27^{\text{m}} 43^{\text{s}} 4$.

Beobachtungsort: Südausgang der Schlucht, die sich von Süd nach Nord durch die ganze Insel zieht. Die Localität hatte den Vortheil, dass schon bald nach Mittag alles beschattet war.

Die Insel ist vulkanischen Ursprunges, Porphyr und Urgestein, an vielen Stellen mit Korallenkalk überlagert.

Nach der grossen Anomalie in der Horizontal-Intensität zu schliessen, dürften magnetiseisensteinhaltige Erzgänge vorhanden sein.

Miren: Auffallende Felspartien östlich vom Beobachtungsort.

I N 64° 35' 17" O,

II N 123 28 33 O.

Ein Tag starker Regen, sonst meist bewölkt.

a) Declination.

(Torsions-Constante = $5^{\circ} 919$)

1895	Mittlere Ortszeit	Meridian-Lesung	Magnet-Lesung - Tors.-Corr.	Beobachtete Declination	Reduction auf das Tagesmittel	Reduirte Declination
22. November	8 ^h 52 ^m a. m.	08 ^h 31' 15"	04 ^h 53' 18"	-3° 37' 52"	-1' 4"	-3° 39' 4"
	9 13	08 31 15	04 53 18	-3 37 52"	-1' 4"	-3 39' 4"
						Mittel -3° 39' 4"

b) Horizontal-Intensität.

1895	Mittlere Ortszeit	Magnet	φ	i_2	T	t_2	Beobachtete	Aus I und II gemittelt	
							Horiz.-Intens.		
21. November	4 ^h 23 ^m p. m.	I	0° 38' 18"	20' 0	2' 3231	25' 2	0' 33118	I 0' 33121	
		II	9 24 38	25' 7	2' 3783	25' 5	0' 33123		
	4 31	I	9 38 10	20' 0	2' 3220	24' 8	0' 33125	I 0' 33120	
		II	9 24 42	25' 7	2' 3778	25' 3	0' 33127		
								Mittel	0' 33124

Die Horizontal-Intensität, sowie sämtliche mit dieser Grösse erhaltenen Werthe sind bei der Construction der Curven wegen der grossen Anomalie nicht verwendet worden.

$$H \cos \delta = X = +0.33057,$$

$$H \sin \delta = Y = -0.02111.$$

c) Inclination.

1895	Mittlere Ortszeit	Nadel	Inclination	
22. November	10 ^h 40 ^m a. m.	III	29° 3' 2"	
		III	29 0' 9"	
	4 41 p. m.	IV	28 59' 6"	
		IV	29 0' 6"	
	Mittel			29° 0' 8"

$$H \operatorname{tg} i = Z = \text{Vertical-Intensität} = 0.18371,$$

$$H \sec i = \text{Total-Intensität} = 0.37877.$$

6. Berenice.

$$\varphi = 23^{\circ} 50' 27'' \text{ N}; \quad \lambda = 35^{\circ} 29' 42'' \text{ (21. 21. 5971) Ost von Gr.}$$

$$\text{Stand der Beobachtungs-Uhr} = + 2^{\text{h}} 25^{\text{m}} 0^{\text{s}} 8.$$

Beobachtungsort: Am Strande, nördlich vom Ankerplatz; Alluvium, Sand.

Miren: Bergspitze.

$$I \text{ N } 20^{\circ} 28' 28'' \text{ W.}$$

Frischer Wind und damit verbundenes Sandtreiben stören die Arbeiten.

a) Declination.

(Torsions-Constante = 0.289.)

1895	Mittlere Ortszeit	Meridian-Lesung	Magnet-Lesung + Tors.-Corr.	Beobachtete Declination	Reduction auf das Tagesmittel	Reducirte Declination
27. November	4 ^h 20 ^m p. m.	90° 55' 47"	87° 1' 19"	- 3° 54' 28"	- 0.4	- 3° 54' 1"
	4 37	90 55 47	87 1 40	- 3 53 58	+ 0.0	- 3 53.4
						Mittel - 3.7

b) Horizontal-Intensität.

1895	Mittlere Ortszeit	Magnet	φ	l_p	T	l_t	Beobachtete	Aus I und II gemittelt
							Horiz.-Intens.	
27. November	10 ^h 5 ^m a. m. 10 12	I	9° 40' 30"	23.1	2.3403	20.5	0.32777	0.32778
		II	9 25 31	24.2	2.4030	20.1	0.32780	
		I	9 20 12	23.8	2.3403	20.8	0.32781	0.32788
		II	9 25 8	25.1	2.4030	20.4	0.32788	
Mittel								0.32783

$$H \cos \delta = X = +0.32708,$$

$$H \sin \delta = Y = -0.02228.$$

c) Inclination.

1895	Mittlere Ortszeit	Nadel	Inclination
25. November	4 ^h 27 ^m p. m.	III	30° 2.0
	4 35	III	30 0.8
	5 18	IV	30 2.0
	5 26	IV	30 1.1
			Mittel 3° 1.5

$$H \lg i = Z = \text{Vertical-Intensität} = 0.18947,$$

$$H \sec i = \text{Total-Intensität} = 0.37804.$$

7. Sperm Rabegh.

$$\varphi = 22^\circ 45' 8'' \text{ N}; \lambda = 39^\circ 0' 39'' \text{ (23 } 30'' \text{ 20' Ost von Gr.)}$$

Stand der Beobachtungs-Uhr = + 2^h 39^m 35^s.

Beobachtungsort: Zeitweise inunndirtes Terrain, Zelt 200 Schritte von den Hütten am Strande.

Miren: Bergsattel östlich und Hütte südlich vom Beobachtungsort.

I N 79° 4' 31" O.

II S I 38 8 W.

a) Declination.

(Torsions-Constante = 0.289.)

1895	Mittlere Ortszeit	Meridian-Lesung	Magnet-Lesung + Tors.-Corr.	Beobachtete Declination	Reduction auf das Tagesmittel	Reducirte Declination
4. December	4 ^h 45 ^m p. m. 4 57	243° 7' 50"	240° 18' 19"	- 2° 49' 37"	- 0.0	- 2° 49' 0"
		243 7 50	240 17 58	- 2 49 38	+ 0.0	- 2 49.0
						Mittel - 2° 49.0

b) Horizontal-Intensität.

Jahr	Mittlere Ortszeit	Magnet	φ	I_1	T	t_1	Beobachtete	Aus I und II gemittelte
							Horiz.-Intens.	
4. December	8 ^h 45 ^m a. m.	I	9° 25' 57"	27.3	2.3207	31.4	0.33479	0.33466
		II	9 12 13	28.0	2.3827	30.7	0.33452	
	9 9	I	9 20 3	27.7	2.3209	31.7	0.33471	0.33468
		II	9 11 39	29.2	2.3828	31.0	0.33464	

Mittel 0.33467

$$H \cos \delta = X = 0.33427,$$

$$H \sin \delta = Y = -0.01644.$$

c) Inclination.

Jahr	Mittlere Ortszeit	Nadel	Inclination
4. December	10 ^h 20 ^m a. m.	IV	27° 32' 7"
		IV	27 32.0
	10 1	III	27 35.6
		III	27 34.4

Mittel 27° 33' 7"

$$H \operatorname{tg} i = Z = \text{Vertical-Intensität} = 0.17468,$$

$$H \sec i = \text{Total-Intensität} = 0.37701.$$

8. Yenbo.

$$\varphi = 24^{\circ} 4' 31'' \text{ N}; \lambda = 38^{\circ} 3' 50'' (2^{\text{h}} 32^{\text{m}} 15^{\text{s}}) \text{ Ost von Gr.}$$

$$\text{Stand der Beobachtungs-Uhr} = + 2^{\text{h}} 30^{\text{m}} 27^{\text{s}} 8.$$

Beobachtungsort: Grösserer Platz in der Nähe des Strandes, der einzige zur Zeit verfügbare Ort; alle anderen waren von einer grossen Medina-Karawane (1500 Kameele) überfüllt. Ein längerer Aufenthalt war wegen der unerträglichen Ausdünstung bei Ebbe nicht denkbar. Wegen der angeführten sanitären Missstände musste die Beobachtung abgekürzt werden.

Miren: Auffallende Theile eines Scheichgrabes.

$$\text{I N } 165^{\circ} 18' 8'' \text{ O.}$$

$$\text{II N } 166^{\circ} 30' 38'' \text{ O.}$$

Infolge heftiger Gewitterregen war der Beobachtungsplatz 2 Tage unter Wasser.

a) Declination.

(Torsions-Constante = 0.289.)

Jahr	Mittlere Ortszeit	Meridian-Lesung	Magnet-Lesung	Beobachtete Declination	Reduction auf das Tagesmittel	Reducirte Declination
			-1 Tors.-Corr.			
24. December	10 ^h 51 ^m a. m.	341° 16' 8"	338° 10' 29"	-3° 59' 30"	-0.3	-3° 0' 1"
		341 10 8	338 9 48	-3 0 20	-0.3	-3 0 0

Mittel -3° 0' 3"

b) Horizontal-Intensität.

1895	Mittlere Ortszeit	Magnet	φ	t_2	T	t_1	Beobachtete	Aus I und II gemittelte
Horiz.-Intens.								
20. December	8 ^h 50 ^m a. m.	I	9° 33' 10"	28° 0'	2' 34.29	27° 0'	0° 32960	0° 32960
		II	9 18 4	29° 9'	2' 40.11	24° 9'	0° 32953	
	9 5	I	9 32 50	29° 5'	2' 34.47	28° 9'	0° 32971	0° 32963
		II	9 18 1	30° 8'	2' 40.10	29° 5'	0° 32953	

$$H \cos \delta = X = 0.32921,$$

$$H \sin \delta = Y = -0.01728.$$

Mittel 0° 32960

c) Inclination.

1895	Mittlere Ortszeit	Nadel	Inclination
24. December	8 ^h 45 ^m a. m.	III	30° 8' 2"
		IV	30 13 1
		Mittel	30° 10' 7"

$$H \operatorname{tg} i Z = \text{Vertical-Intensität} = 0.19170,$$

$$H \sec i = \text{Total-Intensität} = 0.38175.$$

9. S herm Sheikh.

$$\varphi = 24^{\circ} 30' 48'' \text{ N}; \lambda = 35^{\circ} 0' 59'' \text{ (24 } 20'' \text{ 27' 0) Ost von Gr.}$$

Stand der Beobachtungs-Uhr = + 24^m 40^s 9.

Beobachtungsort: 150 Schritte vom Strand. Alluvialboden, in der Nähe grosse Gypslager, Sanddünen, Urgestein, viel Quarz.

Miren: Berge.

$$I \text{ S } 17^{\circ} \quad 0' \quad 56' \quad 0.$$

$$II \text{ S } 3 \quad 58 \quad 4 \quad 0.$$

a) Declination.

(Torsions-Constante = 0.289.)

1895	Mittlere Ortszeit	Meridian-Lesung	Magnet-Lesung + Tors.-Corr.	Beobachtete Declination	Reduction auf das Tages-mittel	Reducirte Declination
30. December	10 ^h 50 ^m a. m.	274° 23' 53"	270° 44' 24"	-3° 39' 29"	-1' 1	-3° 40' 0
		274 23 8	270 43 30	-3 39 32	-0' 3	-3 40' 8
	11 23					
						Mittel -3° 40' 7

b) Horizontal-Intensität.

1895	Mittlere Ortszeit	Magnet	φ	t_2	T	t_1	Beobachtete	Aus I und II gemittelte
Horiz.-Intens.								
31. December	11 ^h 1 ^m a. m.	I	9° 41' 21"	29° 0'	2' 30.10	25° 4'	0° 32509	0° 32527
		II	9 35 44	29° 3'	2' 44.51	29° 5'	0° 32545	
	11 5	I	9 40 58	29° 5'	2' 30.11	29° 0'	0° 32520	0° 32532
		II	9 29 4	29° 1'	2' 44.80	27° 1'	0° 32545	

$$H \cos \delta = X = 0.32463,$$

$$H \sin \delta = Y = -0.02086,$$

Mittel 0° 32530

c) Inclination.

Jahr	Mittlere Ortszeit	Nadel	Inclination
11. December	3 ^h 40 ^m p. m.	III	34° 8' 8
		III	34 10' 2
		IV	34 10' 5
		IV	34 10' 4
		Mittel	34° 9' 0

$$H \sin i = Z = \text{Vertical-Intensität} = 0.19062.$$

$$H \sec i = \text{Total-Intensität} = 0.38010.$$

10. Mersa-Dhiba.

$$\varphi = 23^{\circ} 20' 13'' \text{ N.}, \quad \lambda = 34^{\circ} 41' 17'' \text{ (25 48' 57.5) Ost vom Gr.}$$

$$\text{Stand der Beobachtungslin.} = 1.25 \text{ 23'' 1475.}$$

Beobachtungsort: Inundirtes Terrain, 200 Schritte vom Strande.

Miren: Berg-Sattel Süd vom Beobachtungsort.

$$\text{I S } 7^{\circ} 48' 54'' \text{ O.}$$

$$\text{II S } 9^{\circ} 16' 31'' \text{ O.}$$

a) Declination.

(Torsions-Constante = 0.300.)

Jahr	Mittlere Ortszeit	Meridian-Lesung	Magnet-Lesung + Tors.-Corr.	Beobachtete Declination	Reduction auf das Tagesmittel	Reduirte Declination
3. Jänner	11 ^h 3 ^m a. m.	278° 50' 52"	275° 8' 28"	-3° 42' 20"	-1' 1	-3° 43' 0 Mittel -3° 43' 0

b) Horizontal-Intensität.

Jahr	Mittlere Ortszeit	Magnet	φ	t_1	T	t_2	Beobachtete	Aus I und II gemittelte		
							Horiz.-Intens.			
3. Jänner	8 ^h 40 ^m a. m.	I	9° 47' 25"	18.4	2' 300.4	21.5	0° 32332	{ 0° 32317		
		II	9 34 48	20.1	2' 255	22.2	0° 32302			
	8 55	I	9 47 22	19.4	2' 300.0	23.5	0° 32322	{ 0° 32317		
		II	9 34 34	20.8	2' 253	22.5	0° 32314			
		Mittel							0° 32317	

$$H \cos \delta = X = 0.32250.$$

$$H \sin \delta = Y = -0.02101.$$

c) Inclination.

Jahr	Mittlere Ortszeit	Nadel	Inclination
3. Jänner	2 ^h 39 ^m p. m.	IV	32° 30' 2
		III	32 33' 3
		Mittel	32° 31' 8

$$H \sin i = Z = \text{Vertical-Intensität} = 0.20613.$$

$$H \sec i = \text{Total-Intensität} = 0.38331.$$

Wegen der kurzen verfügbaren Zeit mussten die Beobachtungen der Declination und der Inclination nur eine Serie beschränkt bleiben.

11. Insel Hassani.

 $\varphi = 24^{\circ} 57' 8'' \text{ N.}; \lambda = 32^{\circ} 0' 29'' \text{ E.} \pm 28^{\circ} 25' \text{ Ost von Gr.}$
Stand der Beobachtungs-Uhr = + 2^h 32' 00.0.

Beobachtungsort: Ein trockener Fluss-lauf (Wadi). Flug- und auf Fels.

Miren: Berge an der arabischen Küste

I S 53° 1' 30" O.

II S 53° 50' 23" O.

Hohe Temperatur.

a) Declination.

(Torsions-Constante = 0' 39'')

1890	Mittlere Ortszeit	Meridian-Lesung	Magnet-Lesung 1- Tors.-Corr.	Beobachtete Declination	Reduction auf das Tagesmittel	Reducirte Declination
7. Jänner	9 ^h 52 ^m a. m. 10 13	104° 12' 25" 104 12 28	101° 42' 45" 101 41 15	-2° 59' 43" -3 1 10	-2' 0 -1 8	-3° 1' 7" -3 3' 0
						Mittel -3° 2' 3

b) Horizontal-Intensität.

1890	Mittlere Ortszeit	Magnet	φ	i_0	T	I_1	Beobachtete	Aus I und II gemittelte
Horiz.-Intens.								
7. Jänner	3 ^h 10 ^m p. m.	I	9° 39' 12"	23' 0	2' 30.80	28' 9	0' 32504	0' 32551
		II	9 24 9	28' 0	2' 42.28	20 4	0' 32517	
	3 23	I	9 39 4	28' 4	2' 30.30	28' 8	0' 32557	0' 32550
		II	9 24 7	28' 0	2' 42.27	29' 4	0' 32543	
Mittel								0' 32551

$$H \cos \delta = X = 0.32580,$$

$$H \sin \delta = Y = -0.01727.$$

c) Inclination.

1890	Mittlere Ortszeit	Nadel	Inclination
10. Jänner	4 ^h 1 ^m p. m.	III	31° 24' 0
		III	31 41' 8
	4 43	IV	31 30' 7
		IV	30 39 8
	Mittel		

$$H \operatorname{tg} i = Z = \text{Vertical-Intensität} = 0.20132,$$

$$H \sec i = \text{Total-Intensität} = 0.38337.$$

12. Schem Habban.

 $\varphi = 20^{\circ} 4' 2'' \text{ N.}; \lambda = 30^{\circ} 34' 2'' \text{ (20^m 20^s) Ost von Gr}$
Stand der Beobachtungs-Uhr = + 2^h 30^m 27^s.

Beobachtungsort: 30 Schritte vom Strande, geschützt hinter einem Lehn- und Sandhügel.

Miren: Berg östlich von der Station.

I S 112° 37' 29" O.

a) Declination.

(Torsions-Constante = 0.396.)

1896	Mittlere Ortszeit	Meridian-Lesung	Magnet-Lesung + Tors.-Corr.	Beobachtete Declination	Reduction auf das Tagesmittel	Reducirte Declination
12. Jänner	4 ^h 4 ^m p. m. 4 17	10° 1' 27" 09 1 27	15° 52' 3" 15 52 43	3° 0' 25" -3 8 41	-1' 7 -1' 6	-3° 7' 2 -3 0' 6 Mittel -3° 7' 3

b) Horizontal-Intensität.

1896	Mittlere Ortszeit	Magnet	φ	t_p	T	t_z	Beobachtete	Aus I und II gemittelte
Horiz.-Intens.								
11. Jänner	3 ^h 49 ^m p. m.	I	9° 47' 43"	20.2	2.3777	20.7	0.32119	0.32113
		II	9 32 33	20.4	2.4377	27.2	0.32100	
	3 50	I	9 47 47	20.4	2.3780	20.6	0.32113	0.32109
		II	9 32 29	20.5	2.4380	27.3	0.32105	
							Mittel 0.32111	

$$H \cos \delta = X = 0.32064,$$

$$H \sin \delta = Y = -0.01749.$$

c) Inclination.

1896	Mittlere Ortszeit	Nadel	Inclination
11. Jänner	11 ^h 13 ^m a. m.	III	34° 3' 4
	11 18	III	34 2' 0
	2 20 p. m.	IV	33 57' 2
	2 30	IV	33 58' 4
			Mittel 34° 0' 3

$$H \operatorname{tg} i = Z = \text{Vertical-Intensität} = 0.21603,$$

$$H \sec i = \text{Total Intensität} = 0.38735.$$

13. Koseir.

$$\varphi = 29^{\circ} 0' 17'' \text{ N.}, \quad \lambda = 34^{\circ} 17' 12'' \text{ (} 21^{\circ} 17' 55'' \text{ Ost von Gr.)}$$

Beobachtungsort: Hof der Quarantaine-Station.

Miren: Künstlich, wegen Mangels an freier Aussicht.

$$I \text{ N } 14^{\circ} 6' 18'' \text{ O.}$$

d) Declination.

(Torsions-Constante = 0.396.)

1896	Mittlere Ortszeit	Meridian-Lesung	Magnet-Lesung + Tors.-Corr.	Beobachtete Declination	Reduction auf das Tagesmittel	Reducirte Declination
18. Jänner	4 ^h 10 ^m p. m.	07° 28' 41"	03° 40' 1"	-3° 48' 40"	+1' 0	-3° 47' 4
						Mittel -3° 47' 4

b) Horizontal-Intensität.

1896	Mittlere Ortszeit	Magnet	φ	t_p	T	t_f	Beobachtete	Aus I und II gemittelte
Horiz.-Intens.								
10. Jänner	10 ^h 0 ^m a. m.	I	9° 51' 10"	23.4	2.3834	20.1	0.31971	0.31978
		II	9 8 58	25.7	2.4980	20.1	0.31984	
	10 11	I	9 50 43	24.0	2.3827	20.4	0.31990	0.31987
		II	9 8 39	20.2	2.4980	20.1	0.31984	
Mittel							0.31982	

$$H \cos \delta = X = 0.31913,$$

$$H \sin \delta = Y = 0.02107.$$

c) Inclination.

1896	Mittlere Ortszeit	Nadel	Inclination
10. Jänner	3 ^h 10 ^m p. m.	III	33° 53' 2
		III	33 53.3
		IV	33 54.4
		IV	33 54.0
		Mittel	

$$H \lg i = Z = \text{Vertical-Intensität} = 0.21470,$$

$$H \sec i = \text{Total-Intensität} = 0.38520.$$

14. Nöman.

$$\varphi = 27^{\circ} 6' 20'' \text{ N}; \lambda = 35^{\circ} 40' 2'' (2^{\text{h}} 23^{\text{m}} 4^{\text{s}} \text{ t}) \text{ Ost von Gr.}$$

Beobachtungsort: 60 Schritte vom Strande, Sand,

Miren: Bergspitzen (siehe Vorbemerkungen).

$$I \text{ S } 78^{\circ} 43' 17'' \text{ O.}$$

$$II \text{ S } 78^{\circ} 0' 0'' \text{ O.}$$

a) Declination.

$$(\text{Torion's-Constante} = 0.432)$$

1896	Mittlere Ortszeit	Meridian-Lesung	Magnet-Lesung + Tor.-Corr.	Beobachtete Declination	Reduction auf das Tagesmittel	Reducirte Declination
9. Februar	11 ^h 5 ^m a. m.	185° 10' 38"	185° 7' 0"	-3° 9' 38"	-0.9	-3° 10' 5"
						Mittel -3° 10' 5"

b) Horizontal-Intensität.

1896	Mittlere Ortszeit	Magnet	S	t_p	T	μ	Beobachtete	Aus I und II gemittelte
Horiz.-Intens.								
10. Februar	11 ^h 25 ^m a. m.	I	9° 50' 25"	21.1	2.3704	28.2	0.31791	0.31781
		II	9 11 13	20.0	2.5095	28.6	0.31771	
11. Februar	10 35	I	9 54 18	23.2	2.3040	26.9	0.31700	0.31760
		II	9 13 31	23.1	2.5003	23.1	0.31754	
$H = 23.1$ $N = 0.31750$							Mittel 0.31770	

$$H \cos \delta = X = 0.31722,$$

$$H \sin \delta = Y = -0.01702.$$

c) Inclination.

1896	Mittlere Ortszeit	Nadel	Inclination
9. Februar	3 ^h 0 ^m p. m.	III	35° 36' 8
	3 55	IV	35 37' 9
Mittel			35° 37' 4

$$H \lg i = Z = \text{Vertical-Intensität} = 0.22763,$$

$$H \sec i = \text{Total-Intensität} = 0.30086.$$

15. Ras Abu Somer.

$$\varphi = 26^{\circ} 54' 7'' \text{ N}; \lambda = 33^{\circ} 59' 0'' \text{ (2h } 15^m 50^s) \text{ Ost von Gr.}$$

Beobachtungsort: Trostlose Sandebene.

Miren: Bergspitzen (Siehe Vorbemerkungen).

$$\text{I S } 17^{\circ} 50' 24'' \text{ W,}$$

$$\text{II S } 17^{\circ} 43' 6'' \text{ W.}$$

Warm, frischer Wind.

a) Declination.

(Torsions-Constante = 0.459.)

1896	Mittlere Ortszeit	Meridian-Lesung	Magnet-Lesung + Tors.-Corr.	Beobachtete Declination	Reduction auf das Tagesmittel	Reduzierte Declination
16. Februar	10 ^h 32 ^m a. m.	68° 59' 30"	65° 8' 40"	-3° 50' 50"	-1' 5	-3° 52' 3
						Mittel -3° 52' 3

b) Horizontal-Intensität.

1896	Mittlere Ortszeit	Magnet	S	I_p	T	I_t	Beobachtete	Aus I und II gemittelt
Horiz.-Intens.								
15. Februar	11 ^h 36 ^m a. m.	I II	9° 51' 5" 9 5 15"	25' 9 20' 5	2.4002 2.5284	28' 4 27' 4	0.31757 0.31724	0.31741
								Mittel 0.31741

$$H \cos \delta = X = 0.31668,$$

$$H \sin \delta = Y = -0.02143.$$

c) Inclination.

1896	Mittlere Ortszeit	Nadel	Inclination
15. Februar	3 ^h 35 ^m p. m.	III	35° 20' 1
	3 55	IV	35 19' 0
Mittel			35 19' 0

$$H \lg i = 0.224105,$$

$$H \sec i = 0.389005.$$

16. Insel Shadwan.

 $\varphi = 27^{\circ} 30' 8'' \text{ N.}, \quad \lambda = 33^{\circ} 48' 44'' \text{ (2}^{\text{h}} 15^{\text{m}} 14^{\text{s}} 01 \text{ Ost von Gr.)}$

Beobachtungsort: Felschlucht 400 Schritte vom Ufer.

Miren: Bergspitzen (Siehe Vorbemerkungen).

I S $47^{\circ} 22' 0''$ W.II S $47^{\circ} 52' 32''$ W.

a) Declination.

(Torsions-Constante = $0^{\circ} 450.4$)

1890	Mittlere Ortszeit	Mendian-Lesung	Magnet-Lesung + Tors.-Corr.	Beobachtete Declination	Reduction auf das Tages-mittel	Reducirte Declination
19. Februar	3 ^h 0 ^m p. m.	24° 5' 0"	26° 33' 33"	- 3° 31' 27"	- 1 2' 2"	- 3° 29' 3"
20. Februar	9 0 a. m.	24 4 14	20 34 42	- 3 29 32	- 2' 5"	- 3 32' 0"
						Mittel - 3° 30' 0"

b) Horizontal-Intensität.

1890	Mittlere Ortszeit	Magnet	φ	I_2	T	I_1	Beobachtete	Aus I und II gemittelte
Honz.-Intens.								
20. Februar	11 ^h 30 ^m a. m.	I	9° 58' 35"	24' 1	2' 41.80	20' 3	0' 31.383	0' 31.370
		II	9 12 45	23' 4	2' 54.12	25' 3	0' 31.357	
								Mittel 0' 31.370

$$H \cos \delta = X = 0.31313,$$

$$H \sin \delta = Y = -0.01904.$$

c) Inclination.

1890	Mittlere Ortszeit	Nadel	Inclination
19. Februar	30 ^h 0 ^m p. m.	III	30° 54' 0"
20. Februar	10 0 a. m.	IV	30 52' 5"
			Mittel 30° 53' 0"

$$H \lg i = Z = \text{Vertical-Intensität} = 0.23548,$$

$$H \sec i = \text{Total-Intensität} = 0.39225.$$

17. Ras Abu Zenima.

 $\varphi = 29^{\circ} 2' 35'' \text{ N.}, \quad \lambda = 33^{\circ} 6' 32'' \text{ (2}^{\text{h}} 12^{\text{m}} 20^{\text{s}} 11 \text{ Ost von Gr.)}$

Beobachtungsort: Sandebene; 100 Schritte vom Strande.

Miren: Berge (Siehe Vorbemerkungen).

I N $130^{\circ} 35' 0''$ O.II N $142^{\circ} 7' 18''$ O.

a) Declination.

(Torsions-Constante = 5774.)

1890	Mittlere Ortszeit	Meridian-Lesung	Magnet-Lesung -1 Tors.-Corr.	Beobachtete Declination	Reduction auf das Tagesmittel	Reducirte Declination
6. März	4 ^h 20 ^m p. m.	72° 50' 30"	109° 10' 15"	-3° 40' 15"	+1 2' 4	3° 37' 9"
						Mittel 3° 37' 9"

b) Horizontal-Intensität.

1890	Mittlere Ortszeit	Magnet	φ	t_p	γ	t_f	Beobachtete	Aus I und II gemittelte
Horiz.-Intens.								
6. März	10 ^h 54 ^m a. m.	I	10° 13' 51"	24.5	2' 4450	24.5	0' 30519	0' 30570
		II	9 26 24	25.0	2' 5720	22.8	0' 30572	
		I	10 13 44	25.0	2' 4400	24.7	0' 30505	
		II	9 20 7	25.3	2' 5719	23.3	0' 30582	
								Mittel 0' 30572

$$H \cos \bar{\alpha} = X = 0.20511,$$

$$H \sin \bar{\alpha} = Y = -0.01946,$$

c) Inclination.

1896	Mittlere Ortszeit	Nadel	Inclination
6. März	8 ^h 37 ^m a. m.	III	39° 16' 3
		IV	39 15' 4
		IV	39 14' 4
		IV	39 14' 4
		IV	39 14' 1
			Mittel 39° 15' 1

$$H \tan i = Z = \text{Vertical-Intensität} = 0.24981,$$

$$H \sec i = \text{Total-Intensität} = 0.30480.$$

18. Tor.

$\varphi = 26^\circ 14' 12''$ N; $\lambda = 33^\circ 30' 27''$ (3^b 14^m 25^s 3) O-1 von Gr.

Stand der Beobachtungs-Chr = + 2^b 15^m 55^s 8.

Beobachtungsort: Freier Platz nächst dem Orte. Alluvium.

Miren: Parthien des Berges Umu Schomer.

I N 06° 5' 4" O,

II N 65 43 10' O.

a) Declination.

(Torsions-Constante = 4071.)

1890	Mittlere Ortszeit	Meridian-Lesung	Magnet-Lesung + Tors.-Corr.	Beobachtete Declination	Reduction auf das Tagesmittel	Reducirte Declination
9. März	5 ^h 20 ^m p. m. 5 20	130° 19' 18" 130 19 18	120° 18' 35" 120 38 20	-3° 40' 43" -3 40 58	+0 8 +0.7	-3°39'0" -3 40.3
						Mittel -3°40'

b) Horizontal-Intensität.

1896	Mittlere Ortszeit	Magnet	φ	l_{φ}	T	l_T	Beobachtete	Aus I und II gemittelte
Horz. Intens.								
9. März	10 ^h 27 ^m a. m.	I	10° 2' 41"	24° 1'	2° 42' 15"	24° 0'	0° 31150	0° 31148
		II	9 10 19	24° 7'	2° 54' 00"	22° 7'	0° 31139	
	10 35	I	10 2 38	24° 1'	2° 42' 17"	24° 2'	0° 31153	0° 31153
		II	9 15 55	24° 0'	2° 54' 00"	23° 0'	0° 31103	

Mittel 0° 31150

$$H \cos \delta = X = 0.31087,$$

$$H \sin \delta = Y = -0.01002.$$

c) Inclination.

1896	Mittlere Ortszeit	Nadel	Inclination
10. März	8 ^h 48 ^m a. m.	III	37° 44' 5"
		III	37 44' 2"
		IV	37 43' 0"
		IV	37 42' 0"

Mittel 37° 43' 10"

$$H \lg i = Z = \text{Vertical-Intensität} = 0.24000,$$

$$H \sec i = \text{Total-Intensität} = 0.30384.$$

19. Ras Gharib.

$$\varphi = 28^{\circ} 21' 3'' \text{ N}; \lambda = 33^{\circ} 0' 22'' (2^{\text{h}} 12^{\text{m}} 25^{\text{s}}) \text{ Ost von Gr.}$$

$$\text{Stand der Beobachtungs-Uhr} = + 2^{\text{h}} 13^{\text{m}} 42^{\text{s}}.$$

Beobachtungsort: 1000 Meter vom Leuchthum. Sandboden. Ein Versuch ergab, dass die Vergrößerung der Distanz von 225 m auf 430 m eine Änderung der Horizontalkraft von 0.00119 C. Gr. S. beflagte.

Miren: Berge der Sinai-Gruppe.

$$\text{I N } 131^{\circ} 20' 16'' \text{ O,}$$

$$\text{II N } 131^{\circ} 32' 19'' \text{ O.}$$

Der Leuchthurm ist 57 m hoch und ganz aus Stahl construit.

a) Declination.

$$(\text{Torsions-Constante} = 0.191.)$$

1896	Mittlere Ortszeit	Meridian-Lesung	Magnet-Lesung + Tors.-Corr.	Beobachtete Declination	Reduction auf das Tagesmittel	Reducirte Declination
14. März	10 ^h 3 ^m a. m.	240° 30' 24"	236° 44' 30"	-3° 45' 54"	-1' 2"	-3° 47' 1"
	10 30	240 30 24	236 42 40	-3 47 44	-0' 5"	-3 47' 2"

Mittel -3° 47' 1"

b) Horizontal-Intensität.

1896	Mittlere Ortszeit	Magnet.	φ	l_p	T	l_t	Beobachtete	Aus I und II gemittelte
Horiz.-Intens.								
13. März	10 ^h 3 ^m a. m.	I	10° 4' 59"	23' 7	2' 4308	29' 0	0' 31032	{ 0' 31027
		II	9 17 37	26' 0	2' 5577	25' 2	0' 31022	
	10 10	I	10 4 37	24' 9	2' 4311	29' 2	0' 31027	{ 0' 31026
		II	9 17 37	26' 0	2' 5573	25' 5	0' 31025	
							Mittel 0' 31027	

$$H \cos \delta = X = 0.30960,$$

$$H \sin \delta = Y = -0.02045.$$

c) Inclination.

1896	Mittlere Ortszeit	Nadel	Inclination
13. März	3 ^h 23 ^m p. m.	III	38° 10' 5
		III	38 9' 0
	4 9	IV	38 6' 9
		IV	38 7' 0
	Mittel 38° 8' 5		

$$H \lg i = Z = \text{Vertical-Intensität} = 0.24365,$$

$$H \sec i = \text{Total-Intensität} = 0.39450.$$

20. Zafarana.

$$\varphi = 29^\circ 0' 39'' \text{ N}; \lambda = 32^\circ 39' 48'' (\text{2}^h 10^m 39^s 2)$$

Stand der Beobachtungs-Uhr $m = + 2^h 11^m 40^s 0$.

Beobachtungsort: 200 Schritte vom steinernen Leuchthurm auf einem Sandhügel.

Miren: Berge der Sinai-Gruppe.

$$\text{I S } 18^\circ 32' 50'' \text{ O,}$$

$$\text{II S } 18^\circ 48' 5'' \text{ O.}$$

Frischer NW-Wind.

a) Declination.

(Torsions-Constante = 0' 475.)

1890	Mittlere Ortszeit	Meridian-Lesung	Magnet-Lesung + Tors.-Corr.	Beobachtete Declination	Reduction auf das Tagesmittel	Reducirte Declination
18. März	3 ^h 41 ^m p. m. 4 13	358° 40' 12" 358 40 12	354° 56' 15" 354 56 42	-3° 49' 53" -3 49 30	1' 2' 8 +2 5	-3° 47' 1 -3 47 0
						Mittel -3 47' 0

b) Horizontal-Intensität.

1890	Mittlere Ortszeit	Magnet	φ	I_2	T	I_1	Beobachtete	Aus I und II gemittelte
Horiz.-Intens.								
17. März	4 ^h 32 ^m p. m.	I	10° 11' 22"	22' 5"	2' 44.17	23' 0"	0' 30012	0' 30012
		II	9 20 2	23' 2"	2' 57.15	23' 5"	0' 30011	
	4 40	I	10 13 24	22' 7"	2' 44.16	22 7	0' 30008	0' 30008
		II	9 20 15	23' 1"	2' 57.12	23' 4	0' 30008	

Mittel 0' 30010

$$H \cos \delta = X = 0.30542,$$

$$H \sin \delta = Y = -0.02029.$$

c) Inclination.

1890	Mittlere Ortszeit	Nadel	Inclination
18. März	9 ^h 57 ^m a. m.	III	39° 14' 0"
		III	39 14' 4"
		IV	39 8' 9"
		IV	39 8' 9"

Mittel 39° 11' 7"

$$H \operatorname{tg} i = Z = \text{Vertical-Intensität} = 0.24960,$$

$$H \sec i = \text{Total-Intensität} = 0.39497.$$

21. Mersa Dahab.

$$\varphi = 28^{\circ} 28' 30'' \text{ N}; \lambda = 34^{\circ} 30' 9'' (28^{\circ} 18' 0' \text{ Ost von Gr.})$$

$$\text{Stand der Beobachtungs-Uhr} = -4^{\text{h}} 17^{\text{m}} 58^{\text{s}}.$$

Beobachtungsort: Am Strande, Urgestein.

Miren: Berge.

$$\text{I. S } 32^{\circ} 18' 21'' \text{ W.}$$

$$\text{II. S } 32^{\circ} 51' 7'' \text{ W.}$$

a) Declination.

$$(\text{Torsions-Constante} = 0.230.)$$

1890	Mittlere Ortszeit	Meridian-Lesung	Magnet-Lesung -!- Tors.-Corr.	Beobachtete Declination	Reduction auf das Tagesmittel	Reducirte Declination
5. April	10 ^h 27 ^m a. m. 10 55	343° 19' 48"	340° 11' 25"	-3° 8' 23"	± 0.0	-3° 8' 4"
		343 19 48	340 10 42	-3 9 0	+ 1.0	-3 7 5

Mittel -3° 8' 10"

b) Horizontal-Intensität.

1890	Mittlere Ortszeit	Magnet	φ	I_2	T	I_1	Beobachtete	Aus I und II gemittelte
Horiz.-Intens.								
4. April	3 ^h 18 ^m p. m.	I	9° 58' 23"	20' 9"	2' 43.00	30' 8"	0' 31160	0' 31164
		II	9 13 31	28' 6"	2' 55.03	31' 4"	0' 31161	
	3 20	I	9 58 50	28' 9"	2' 43.00	30' 8"	0' 31164	0' 31164
		II	9 13 40	28' 3"	2' 55.02	31' 2"	0' 31159	

Mittel 0' 31163

$$H \cos \delta = X = 0.31117,$$

$$H \sin \delta = Y = -0.01704.$$

c) Inclination.

1890	Mittlere Ortszeit	Nadel	Inclination
5. April	4 ^h 43 ^m p. m.	III	38° 26' 0
	4 49	III	38 25' 2
	5 34	IV	38 21' 0
	5 41	IV	38 22' 0

Mittel 38° 23' 9

 $H \lg i = Z = \text{Vertical-Intensität} = 0.24634.$ $H \sec i = \text{Total-Intensität} = 0.39443.$

22. Nawibi.

 $\varphi = 28^{\circ} 57' 40'' \text{ N}; \lambda = 34^{\circ} 39' 0'' \text{ (2h 18m 30s) Ost von Gr.}$ Stand der Beobachtungs-Uhr = + 2^h 18^m 40^s 1.Beobachtungsort: Mündung einer grossartigen Schutthalde; Urgestein.
Miren: Berge.

I N 10° 14' 36" W,

II N 10 22 41 W.

Am 9. April schweres Südewetter.

a) Declination.

(Torsions-Constante = 0.230)

1890	Mittlere Ortszeit	Meridian-Lesung	Magnet-Lesung + Tors.-Corr.	Beobachtete Declination	Reduction auf das Tagesmittel	Reduirte Declination
8. April	2 ^h 57 ^m p. m. 3 13	201° 43' 33" 201 43 33	258° 17' 42" 258 18 18	-3° 25' 51" -3 25 15	+3' 0 +2' 9	-3° 22' 8 -3 22' 3
						Mittel -3° 22' 5

b) Horizontal-Intensität.

1890	Mittlere Ortszeit	Magnet	φ	l_{φ}	T	h	Beobachtete	Aus I und II ermittelte
							Horiz.-Intens.	
9. April	10 ^h 31 ^m a. m.	I	10° 7' 14"	26.0	2.4405	25.2	0.30705	0.30801
		II	90 20 20	20.3	2.5070	20.1	0.30807	
	10 38	I	10 7 37	20.0	2.4405	25.2	0.30787	0.30787
		II	9 21 24	25.7	2.5070	20.1	0.30780	
	11 17	I	10 7 40	26.1	2.4406	25.4	0.30782	0.30785
		II	9 21 17	25.4	2.5070	25.9	0.30789	
10. April	3 0 p. m.	I	10 7 34	23.3	2.4380	23.4	0.30827	0.30829
		II	9 20 51	23.1	2.5052	23.4	0.30831	
								Mittel 0.30801

 $H \cos \delta = X = 0.30748,$ $H \sin \delta = Y = 0.01817.$

c) Inclination.

1890	Mittlere Ortszeit	Nadel	Inclination
10. April	9 ^h 20 ^m a. m.	III	38° 40' 3
	9 26	III	38 45' 7
	9 59	IV	38 45' 3
	10 5	IV	38 44' 9
		Mittel	38° 45' 5

$$H \operatorname{tg} i = Z = \text{Vertical-Intensität} = 0.24728,$$

$$H \sec i = \text{Total-Intensität} = 0.30408.$$

23. Akabah.

$$\varphi = 29^{\circ} 31' 14'' \text{ N}; \lambda = 34^{\circ} 59' 13'' \text{ (2}^{\text{h}} 19^{\text{m}} 57^{\text{s}} 2) \text{ Ost von Gr.}$$

$$\text{Stand der Beobachtungs-Uhr} = + 2^{\text{h}} 19^{\text{m}} 50^{\text{s}} 3.$$

Beobachtungsort: Palmengarten im Orte.

Miren: Berge.

$$\text{I S } 43^{\circ} 10' 53'' \text{ W.}$$

$$\text{II S } 42^{\circ} 35' 17'' \text{ W.}$$

a) Declination.

$$(\text{Torsions-Constante} = 0.143.)$$

1890	Mittlere Ortszeit	Meridian-Lesung	Magnet-Lesung + Tors.-Corr.	Beobachtete Declination	Reduction auf das Tagesmittel	Reducirte Declination
15. April	4 ^h 55 ^m p. m.	279° 8' 43"	276° 3' 41"	-3° 5' 10"	+0° 9	-3° 4' 3
	5 21	279 8 53	276 4 37	3 4 10	+0° 7	-3 3° 0
						Mittel -3° 3' 9

b) Horizontal-Intensität.

1890	Mittlere Ortszeit	Magnet	φ	I_5	T	H	Beobachtete	Aus I und II gemittelte
							Horiz. Intens.	
14. April	4 ^h 7 ^m p. m.	I	10° 10' 37"	27° 3	2° 4493	28 8	0° 30-24	0° 30022
		II	9 8 50	27° 8	2° 6105	28 5	0° 30021	
	4 14	I	10 10 15	27° 7	2° 4495	28 8	0° 30020	0° 30024
		II	9 8 50	28° 1	2° 6105	28° 7	0° 30022	
							Mittel 0° 30023	

$$H \cos \delta = X = 0.30580,$$

$$H \sin \delta = Y = -0.01020.$$

c) Inclination.

1890	Mittlere Ortszeit	Nadel	Inclination
10. April	10 ^h 11 ^m a. m.	III	39° 30' 1
	10 15	III	39 31' 3
	10 53	IV	39 20' 4
	10 59	IV	39 27' 0
		Mittel	39° 28' 7

$$H \operatorname{tg} i = Z = \text{Vertical-Intensität} = 0.25224,$$

$$H \sec i = \text{Total-Intensität} = 0.30674.$$

24. Bir al Mashiya.

 $\varphi = 28^{\circ} 52' 28'' \text{ N}; \lambda = 34^{\circ} 49' 3'' \text{ (2h 19m 10s 2) Ost von Gr.}$
Stand der Beobachtungs-Uhr = $\pm 2^h 19^m 10^s 0$.

Beobachtungsort: Wüstenstrecke in der Nähe des Strandes. Urgestein.

Miren: Berge.

I S $57^{\circ} 30' 50'' \text{ W.}$ II S $57^{\circ} 8' 15'' \text{ W.}$

a) Declination.

(Torsions-Constante = $\mu' 143$.)

1890	Mittlere Ortszeit	Meridian-Lesung	Magnet-Lesung + Tors.-Corr.	Beobachtete Declination	Reduction auf das Tagesmittel	Reducierte Declination
19 April	11 ^h 14 ^m a. m.	184° 21' 17"	184° 10' 58"	-3° 10' 19"	+2' 1	-3° 8' 2
	11 20	184 21 17	181 10 44	-3 10 37	+2' 4	-3 8' 2
						Mittel -3° 8' 2

b) Horizontal-Intensität.

1890	Mittlere Ortszeit	Magnet	φ	I_p	T	I_t	Beobachtete	Aus I und II gemittelte
							• Horiz.-Intens.	
18 April	4 ^h 21 ^m p. m.	I	10° 5' 10"	30' 4	2' 4454	32' 0	0' 30812	0' 30805
		II	9 4 38	30' 8	2' 0054	31' 2	0' 70798	
	4 28	I	10 5 10	30' 6	2' 4453	32' 5	0' 30813	0' 30808
		II	9 4 34	31' 0	2' 0052	31' 4	0' 30802	
							Mittel 0' 30800	

$$H \cos \delta = X = 0.30758,$$

$$H \sin \delta = Y = -0.01687.$$

c) Inclination.

1890	Mittlere Ortszeit	Nadel	Inclination	
19 April	9 ^h 3 ^m a. m.	III	38° 39' 9"	
		III	38 39' 4"	
	9 39	IV	38 30' 5"	
		IV	38 38' 0"	
			Mittel	38° 38' 5"

$$H \lg i = Z = \text{Vertical-Intensität} = 0.24634,$$

$$H \sec i = \text{Total-Intensität} = 0.39440.$$

25. Mujawan.

 $\varphi = 28^{\circ} 10' 30'' \text{ N}; \lambda = 34^{\circ} 39' 30'' \text{ (2h 18m 38s 4)}$

Beobachtungsort: Am Nordstrande der Bucht. Urgestein, Korallen. Stürmischer Nordwestwind.
Wegen schlechten Wetters und Kürze der Zeit nur eine Serie Horizontal-Intensität beobachtet.

b) Horizontal-Intensität.

1890	Mittlere Ortszeit	Magnet.	φ	t_p	t_t	T	Beobachtete	Aus I und II gemittelte
Horiz.-Intens.								
23. April	5 ^h 23 ^m p. m.	I	10° 4' 4"	24' 6"	2' 43.05	25' 6"	0' 31099	0' 31108
		II	9 1 30	24' 4"	2' 58.8	25' 3"	0 31110	

Mittel 0' 31108

26. Insel Senafir.

$$\varphi = 27^{\circ} 50' 12'' \text{ N}; \lambda = 34^{\circ} 39' 27'' \text{ (ab } 18^{\text{m}} 37' 8'')$$

Stand der Beobachtungs-Uhr = + 2^h 24^m 6^s 4.

Beobachtungsort: Plateau am südwestlichen Theil der Insel. Korallenkalk.

Miren: Riffe zwischen Senafir und Tiran.

$$\text{I S } 65^{\circ} 33' 10'' \text{ W,}$$

$$\text{II S } 68^{\circ} 2' 58'' \text{ W.}$$

a) Declination.

(Torsions-Constante = 6' 143.)

1890	Mittlere Ortszeit	Meridian-Lesung	Magnet-Lesung -1. Tors.-Corr.	Beobachtete Declination	Reduction auf das Tagesmittel	Reducirte Declination
24. April	9 ^h 35 ^m a. m. 9 50	129° 54' 6"	120° 23' 36"	-3° 30' 30"	-2' 1"	-3° 32' 16"
		129 54 6	126 22 58	-3 34 8	-1' 7"	-3 32 8

Mittel -3° 32' 17"

b) Horizontal-Intensität.

1890	Mittlere Ortszeit	Magnet.	φ	t_p	T	t_t	Beobachtete	Aus I und II gemittelte
Horiz.-Intens.								
23. April	4 ^h 51 ^m p. m.	I	9° 59' 1"	27' 9"	2' 42.80	27' 6"	0' 31107	0' 31104
		II	9 59 19	28' 4"	2' 58.2	28' 1"	0' 31104	
	5 0	I	9 58 52	28' 2"	2' 47.80	27' 5"	0' 31107	0' 31104
		II	8 59 23	28' 2"	2' 58.71	27' 9"	0' 31100	

Mittel 0' 31104

$$H \cos \delta = X = 0' 31105,$$

$$H \sin \delta = Y = -0' 01026.$$

c) Inclination.

1890	Mittlere Ortszeit	Nadel	Inclination
24. April	10 ^h 37 ^m a. m.	III	37° 23' 9"
	10 44	III	37 23' 4"
	10 15	IV	37 24' 7"
	10 21	IV	37 24' 9"

Mittel 37° 24' 2"

$$H \sin i = Z = \text{Vertical-Intensität} = 0' 23830.$$

$$H \sec i = \text{Total-Intensität} = 0' 39231.$$

27. Sherm Sheikh an der Sinaiküste.

 $\varphi = 27^{\circ}51'0''$ N., $\lambda = 34^{\circ}10'51''$ (2b 17^m 754) Ost von Gr.Stand der Beobachtungs-Uhr = $\mp 2^h 14^m 34^s$.

Beobachtungsort: Am Nordstrande des Hafens; Sand.

Miren: Berge.

I S 18° 35' 28" W.

II S 25 37 25 W.

Sehr hohe Temperatur, Chamsin; während der Beobachtung der Inclination im Zelte 42° Celsius.

a) Declination.

(Torsions-Constante = 6.143)

1890	Mittlere Ortszeit	Meridian-Lesung	Magnet-Lesung + Tors.-Corr.	Beobachtete Declination	Reduction auf das Tagesmittel	Reducirte Declination
25. April	8 ^h 45 ^m a. m. 9 3	58° 4' 32" 58 4 33	54° 30' 44" 54 30 15	-3° 33' 49" -3 34 18	-2.7 -2.5	-3° 30' 5" -3 36.8

Mittel -3° 35.7

b) Horizontal-Intensität.

1890	Mittlere Ortszeit	Magnet	φ	I_2	T	I_1	Beobachtete	Aus I und II gemittelte
							Horiz.-Intens.	
26. April	9 ^h 40 ^m a. m.	I II	9° 53' 9" 8 50 44	32.1 30.7	2.4239 2.5770	31.5 30.7	0.31371 0.31302	0.31307
27. April	9 10	I II	9 49 18 8 53 20	38.1 37.7	2.4200 2.5798	37.9 30.0	0.31407 0.31404	0.31405

Mittel 0.31380

$$H \cos \delta = X = 0.31324,$$

$$H \sin \delta = Y = -0.01968.$$

c) Inclination.

1890	Mittlere Ortszeit	Nadel	Inclination
27. April	2 ^h 30 ^m p. m. 2 45	III IV	32° 11' 5" 37 8.5

Mittel 37° 10' 0"

$$H \operatorname{tg} i = Z = \text{Vertical-Intensität} = 0.23794,$$

$$H \sec i = \text{Total-Intensität} = 0.30386,$$

Schlussbemerkungen.

Instrumente.

Der Theodolit «Jones» entsprach als rein magnetisches Instrument vollkommen. Theilung und Nonien sind gut, das Zusammensetzen der einzelnen Theile, sowie die Verpackung sind handlich und bequem.

Ein Übelstand wäre wohl zu bemerken, das ist der Mangel eines astronomischen Aufsatzes. Die Beobachtung des Azimuthes mit einem eigenen astronomischen Theodoliten ist schon im Allgemeinen unbequem, man hat ein Instrument mehr zu transportiren und die Theilung der Beobachtung ist entschieden ein Grund vieler Fehler.

Die Fernrohre beider Instrumente haben eine verschiedene Vergrößerung, das eine (astronomischer Theodolit) ist ein rein astronomisches Rohr, kehrt also ganz um, während der magnetische Theodolit ein astronomisches Rohr mit Prisma besitzt und auch in der Horizontalen umkehrt; daher haben die Objecte durch die beiden Rohre besehen ein sehr geändertes Aussehen, was bei nicht ganz scharf markirten Miren zu Fehlern Anlass geben kann.

Ferner sind die Horizontalkreise der beiden Theodoliten im entgegengesetzten Sinne getheilt, was bei Berechnung der Meridianlesung viel Überlegung und Rechnung erfordert.

Das Inclinatorium entspricht seinem Zwecke, das Ummagnetisiren der Nadeln mit Streichmagneten nicht, weil diese immer verrostet und durch den Sandstaub auch bei grösster Vorsicht die Spitzen der Nadeln beim Streichen gefährdet werden.

Magnete.

Torsions- und Declinationsnadeln sind gut; die Schwingungsmagnete in ihrer jetzigen Gestalt äusserst unbequem.

Das directe Einhängen mit dem kleinen Hälchen in den Cocondoppelfaden erfordert viel Geschick und Übung, weil man den Faden leicht abreißen kann. Auch ist es nothwendig, den Magnet direct anzugreifen, was bei der Empfindlichkeit der Beobachtungen für Temperatursänderungen nicht richtig ist; ein Manipuliren mit Handschuhen oder Seidenlappen ist unthunlich, weil die Hand ungenau wird.

Die direct aufgeschliffenen Spiegel bewährten sich nicht gut, sie brauchen eine zu starke Lichtquelle. Wenn der Himmel bewölkt war, konnte ich nur mit grösster Mühe beobachten.

Allen diesen Übelständen wäre abgeholfen, wenn die alte Construction mit Ring, Spiegel und einem mit jenem verbundenen Aufhängehaken angebracht würde.

(Die Magnete werden schon im erwähnten Sinne umgearbeitet.)

Die für die Beobachtungen erforderlichen Thermometer sind nicht einwurfsfrei, denn die Temperaturannahme bei Magnet und Thermometer sind entschieden nicht gleich, daher eine erneuerte Fehlerquelle, die bei Feldbeobachtungen, wo die Temperatur im Zeit in kürzester Zeit bedeutend steigen kann, grosse Differenzen in den beobachteten Werthen der Horizontal-Intensität bedingt. Ein Metallthermometer wäre das richtigste.

Der Verlauf der Curven.

Allgemeines: Ein bedeutendes Störungsgebiet bildet die Halbinsel Sinai, der Golf von Akabah und die Inseln.

a) Declination: Der Verlauf der Isogonen ist im Allgemeinen von NW nach SO gerichtet. Über dem Südtheil von der Halbinsel Sinai biegen sie stark nach Osten ab und kehren an der arabischen Küste

wieder um. Über dem Golfe von Akabah ist eine Abweichung nach Westen zu beobachten. An der ägyptischen Küste drängen sich die Linien näher aneinander wie im Osten (der Abfall des Seebodens ist im Westen steiler). Das Seegebiet zwischen den Inseln The Brothers, Nomán und Hassani zeigt einen grösseren Abstand der Curven.

Im südlichen Theil des Beobachtungsgebietes laufen die Curven regelmässig, wohl deshalb, weil Inselbeobachtungen fehlen und die Linien linear interpolirt werden mussten.

- b) Horizontal-Intensität: Die erwähnten Störungsgebiete kommen auch hier zum Ausdruck. Auffallend ist der Unterschied der Intensitätswerthe über dem Lande und über der See.

In Bezug auf die angrenzenden Landgebiete ist die Horizontal-Intensität über der See bedeutend kleiner, was durch ihre Werthe auf den Inseln (Shadwan, The Brothers, Senafir) zu ersehen ist. Dem entgegen hat der Golf von Akabah keinen Seecharakter, denn die Intensitätswerthe sind sogar grösser als die entsprechenden Grössen am Lande.

Auch die Isodynamen sind an der Westküste des Meeres dichter als an der Ostküste.

Die Horizontal-Intensität der Insel St. Johns wurde wegen der bedeutenden Anomalie nicht zur Construction der Curven verwendet.

Ob ein Beobachtungsfehler vorliegt, oder ob magnetische Massen der vulkanischen Insel störend eingewirkt haben, kann ich nicht entscheiden: eine Unrichtigkeit in der Beobachtung erscheint mir unwahrscheinlich, da beide getrennten Serien eine gute Übereinstimmung zeigen.

- c) Inclination: Hier zeigen sich keine solchen Störungen wie bei den anderen Elementen. See- und Landwerthe sind aber doch bedeutend verschieden, erstere sind beträchtlich kleiner.
- d) $X (H \cos \delta)$: Der Verlauf dieser Curven zeigt viel Ähnlichkeit mit dem der Isodynamen, da bei der kleinen Declination, deren Cosinus nahe gleich ist, die Werthe der Horizontal-Intensität wenig geändert werden.
- e) $Y (H \sin \delta)$: Hier folgt der Verlauf der Linien der Richtung der Isogonen.
- f) $Z (H \operatorname{tg} \delta)$: Die Vertical-Intensität zeigt ungefähr den Zug der Isoclinen, nur sind die Anomalien stärker ausgeprägt, in-thesondere zeigt sich der Unterschied zwischen dem allgemeinen Charakter des Meeres und dem des Golfes von Akabah sehr auffallend; am meisten in der Südhälfte dieses nach der Theorie durch einen Erdbruch entstandenen Beckens.

Schlussfolgerungen.

1. Land- und Seegebiete zeigen einen auffallenden Unterschied in der Grösse der Elemente Horizontal-Intensität und Vertical-Intensität, beide sind über Seegebieten kleiner. (Die Schwere grösser).
2. Die Werthe dieser Elemente auf Inseln zeigen, je nachdem ob diese nahe der Küste liegen (Hassani, Nomán) oder weiter davon entfernt sind (The Brothers, Shadwan, Senafir), einen Land-, beziehungsweise Seecharakter.
3. Die Gestaltung des Seebodens kommt bei der Vertheilung der magnetischen Kraft insofern zum Ausdruck, als bei einem steileren Abfall die Linien mehr zusammengedrängt sind (die Schwerelinien ergaben dasselbe). Steilerer Abfall an der ägyptischen als an der arabischen Seite.
4. Durch die Terminbeobachtung bestätigt sich die Abnahme der täglichen Schwankung der Elemente gegen den magnetischen Äquator.
5. Die secundären Maxima und Minima treten im Süden stärker hervor.

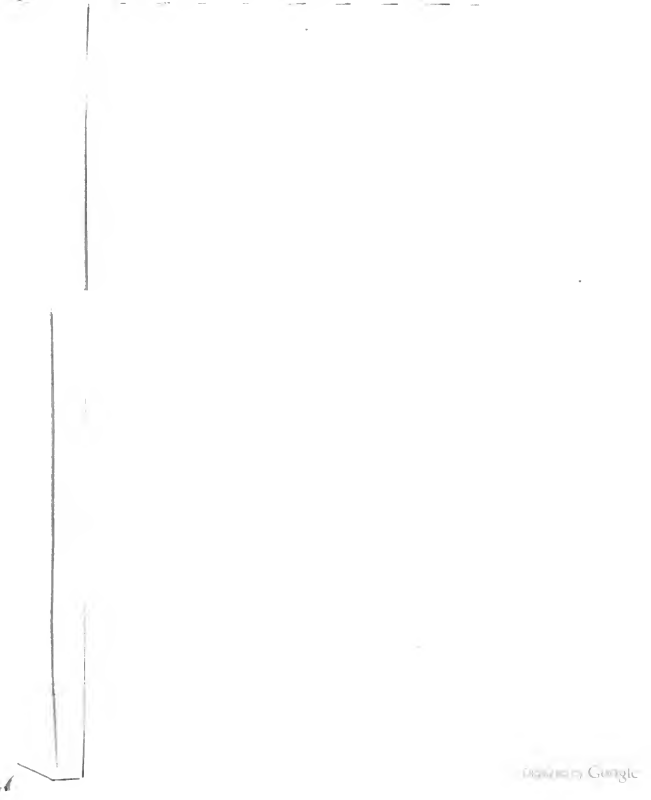
Reduction

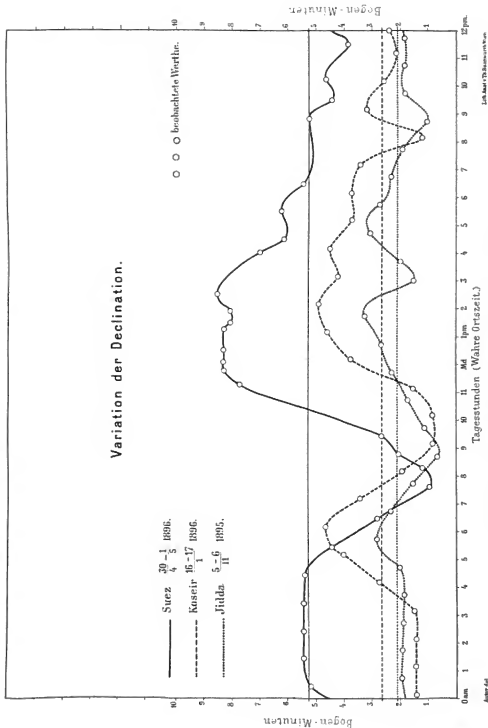
der beobachteten Werthe auf die Normalinstrumente der k. und k. Kriegsmarine.

Station	Declination Theod. Jones	Declination Theod. Schneider	Inclination Incl. Barrow 50	Inclination Incl. Dover 53
Suez	-3° 59' 9	-4° 2' 4	40° 27' 4	40° 25' 3
Nordl. Insel von The Brothers	-3 2' 9	-3 5' 4	33 10' 7	33 17' 0
Jidda	-2 57' 5	-3 0' 0	24 57' 0	24 55' 5
Mersa Halab	-3 30' 5	-3 39' 0	20 25' 2	20 20' 1
Insel St. Johns	-3 39' 4	-3 41' 9	20 0' 8	20 1' 7
Berenice	-3 53' 8	-3 50' 3	20 1' 5	20 2' 4
Rabegh	-2 49' 0	-2 51' 5	27 33' 2	27 34' 0
Yenbo	-3 0' 3	-3 2' 5	30 10' 7	30 11' 0
Sherm Shikh an der ägyptischen Küste ..	-3 40' 7	-3 43' 2	31 9' 0	32 0' 9
Mersa Dhib	-3 43' 0	-3 40' 1	32 1' 8	32 3' 2
Insel Havari	-3 2' 3	-3 4' 8	34 40' 0	34 41' 5
Sherm Habb	-3 7' 3	-3 10' 8	34 0' 1	34 1' 2
Koseir	-3 47' 1	-3 40' 0	33 52' 4	33 51' 3
Noman	-3 10' 5	-3 13' 0	35 37' 4	35 38' 3
Ras Abu Somer	-3 52' 3	-3 54' 8	35 19' 0	35 20' 5
Insel Shadwan	-3 30' 0	-3 33' 1	30 51' 0	30 54' 5
Ras Abu zenima	-3 37' 9	-3 40' 4	39 15' 1	39 10' 0
Tor	-3 40' 1	-3 42' 0	37 43' 0	37 44' 5
Ras Gharib	-3 47' 1	-3 49' 0	38 8' 5	38 0' 4
Zafarana	-3 47' 0	-3 49' 5	39 18' 7	39 17' 0
Mersa Dahab	-3 8' 0	-3 10' 5	38 23' 9	38 24' 8
Nawbi	-3 22' 5	-3 25' 0	38 45' 5	38 44' 4
Akabah	-5 3' 9	-3 0' 4	39 28' 7	39 29' 0
Bir al Mashiga	-3 8' 2	-3 10' 7	38 38' 5	38 39' 4
Insel Senafir	-3 32' 7	-3 35' 2	37 24' 2	37 25' 1
Sherm Shikh an der Sinaiküste	-3 30' 7	-3 29' 2	37 10' 0	37 10' 9









EXPEDITION S. M. SCHIFF „POLA“ IN DAS ROTHE MEER

NÖRDLICHE HÄLFTE.

(OCTOBER 1895 — MAI 1896.)

IV.

METEOROLOGISCHE BEOBACHTUNGEN.

ANGESTELLT AN BORD S. M. SCHIFFES „POLA“ AUF THE BROTHERS, IN KOSEIR UND
IN JIDDA.

BEARBEITET VON

CÄSAR ARBESSER v. RASTBURG,

K. UND K. LIEBES-THIEFS-LIEUTENANT

(Mit 5 Tafeln und 3 Textfiguren.)

(VORLIEGT IN DER SITZUNG AM 7. OCTOBER 1907.)

Instrumente.

Für die Anstellung meteorologischer Beobachtungen war S. M. Schiff „Pola“ mit einer Ausrüstung an Instrumenten versehen, welche zum Theile aus den Mitteln der kais. Akademie der Wissenschaften neu angekauft, theils von der k. k. Centralanstalt für Meteorologie und Erdmagnetismus leihweise beigestellt, zum Theile endlich den Vorräthen des k. k. hydrographischen Amtes in Pola entnommen worden sind.

In beistehender Tabelle erscheint die Art, Anzahl und die Vertheilung dieser Instrumente auf die verschiedenen Stationen in übersichtlicher Weise zusammengestellt; zur näheren Orientirung dient die nachfolgende kurze Beschreibung des Instrumentariums.

Vertheilung der meteorologischen Instrumente.

Instrumente	S. M. S. „Pola“	Brothers	Koseir	Jidra	Summe	Anmerkung
Stationsbarometer Kapeller	1	1	1	1	4	
Schiffsbarometer Hydrog. Amt	2	1	1	1	5	
Aneroid „ Feigstock	3	1	1	1	6	
Thermometer Kapeller	3	3	1 1)	2	9	1) als Reserve.
„ Geissler	1	1	2	1	5	
Maximum-Thermometer Fuess	1	1	1	1	4	
Minimum- „ „	1	1	1	1	4	
Assmann-Aspirations-Psychrometer, gr. Fuess	1	1	1	1	4	
Assmann-Aspirations-Psychrometer, kl. Fuess	1	1	1	1	4	
Insulations-Maximum-Thermometer Kapp.	1	1	1	1	4	
Radiations-Minimum- „ Kapp.	1	1	1	1	4	
Handanemometer Kraft	1	1	1	1	4	
Regenmesser mit je 2 Messgläsern . . .	1	1	1	1	4	

Instrumente	S. M. S. + Pola	Brothers	Koseir	Jidda	Summe	Anmerkung
Barograph Richard fr.	.	1	1	1	3	
Thermograph "	.	1	.	.	1	
Hydrograph "	.	1	.	.	1	
Thermometer-Blechschirmung, gr. . .	.	1	.	.	1	
" " kl.	1	.	1	1	3	
Cajüten-Compass	1	1	1	3	
Sanduhr zu 5 m.	2 1/2	1	1	1	3	1) unbrauchbar.
Taschenchronometer	1	1	
Loupe	1	1	1	1	4	

Barometer. Die zur Aufstellung in den Landstationen bestimmten Barometer waren die Kappeller'schen Stationsbarometer Nr. 10, 1005 und 1006, welche nach Vergleich mit dem dortigen Normalbarometer von der k. k. Centralanstalt in Wien übernommen worden sind.

Die beiden Schiffsbarometer Nr. 15 und 23 — Barometer mit fixem Boden in cardanischer Suspension — sind im k. u. k. hydrographischen Amte in Pola erzeugt und sowie die drei Feiglstock'schen Aneroidbarometer Nr. 89, 228 und 50720 dem Inventare des Instrumentendepots entnommen und mit dem Normalbarometer des hydrographischen Amtes verglichen worden.

Thermometer. Für die Psychrometer wurden gewöhnliche Kappeller'sche Thermometer mit Papierscala und Einteilung in 0.2 Grade verfertigt; nur Koseir erhielt zwei Geissler'sche Thermometer mit Porzellanscala, weil für diese Station kein Assmann'sches Aspirationspsychrometer als Controlinstrument zur Verfügung stand.

Alle Thermometer wurden nach Vergleich mit dem Normalinstrumente des hydrographischen Amtes mit von 0°—40° reichenden Correctionstabellen versehen.

Der schlechte Ruf, welcher den Papierscalen anhaftet, fand bei den wiederholt vor und nach der Reise, bei trockenem und bei Regenwetter vorgenommenen Vergleichen keine Bestätigung, die Vergleichsresultate zeigten unter allen Umständen eine Übereinstimmung, welche innerhalb der Grenzen des Beobachtungsfehlers ($\pm 0.1^\circ$) blieb; allerdings waren bei der Abreise unter einer Auswahl von 15 Stück die neun besten Thermometer färgewählt worden.

Von den Maximum- und Minimum-Thermometern (Fuess) wurden je drei auf Kosten der kais. Akademie der Wissenschaften angekauft, ein paar von der Abtheilung Geophysik des hydrographischen Amtes entlehnt.

Die Correctionen dieser Instrumente betrugen durchwegs weniger als 0.1° , konnten also ganz vernachlässigt werden, ebenso wie jene der drei gleichfalls neu angeschafften Assmann'schen Aspirations-Psychrometer.

Bei diesen lehrte aber die Erfahrung, dass die Instrumente des kleineren Modells eine derart sorgfältige Behandlung erfordern, dass sie nur in der Hand eines sehr geübten Beobachters fortdauernd verlässliche Angaben erwarten lassen, während das grosse Aspirations-Psychrometer unter allen Umständen gute Dienste leistete.

Zur Messung der Intensität der Sonnenstrahlung wurde ein Walferdin'sches Maximum-Thermometer mit geschwärzter Kugel im Vacuum, für die Bestimmung der nächtlichen Strahlung des Erdbodens ein Baudin'sches Minimum-Thermometers (à marteau) verwendet, beide Instrumente waren vom hydrographischen Amte beigelegt und in Pola verglichen.

Händanemometer. Für die Angabe der Windstärke dienten Kraft'sche Anemometer (drei von der kais. Akademie angekauft, eines vom Instrumentendepot entlehnt), deren Umrechnungscoefficienten — zur Berechnung der Windstärke in Kilometern per Stunde aus der nach 5 Minuten langer Beobachtungsdauer vom Zählwerke angezeigten Anzahl Umdrehungen des Schalenkreuzes — durch Vergleich mit dem Munro'schen Anemographen des hydrographischen Amtes bestimmt wurden.

Regenmesser. Zur Messung der Niederschlagsmengen wurden die gewöhnlichen, in den österreichischen Beobachtungsstationen gebräuchlichen Regenmesser mit Auffanggefässen von 0.05 m² Öffnung und die zugehörigen Messgläser bestimmt.

Registrirapparate. Drei Barographen — von der kais. Akademie angekauft —, ein Thermo- und ein Hygograph — von der k. k. Centralanstalt entliehen — wurden behufs Aufstellung in den Landbeobachtungsstationen mitgenommen. Alle Apparate — von der Firma Richard frères in Paris — waren mit Wochen-uhrenwerk versehen und wurden vor Artritt der Reise durch längere Zeit in Betrieb erhalten, um die Uhren zu reguliren und kleinen Mängeln, die sich bei der Erprobung zeigten, abzuheffen. Dank der soliden Ausführung aller Constructionstheile und der Einfachheit ihrer Handhabung functionirten die Registrirapparate während der ganzen Zeit der Verwendung klaglos.

Thermometerbeschirmungen. Für die Aufstellung der Psychrometer und der Extremthermometer waren nach dem Muster der vom königl. preussischen meteorologischen Institute für das deutsche Beobachtungsnetz eingeführten Thermometergehäuse mit drehbaren Jalousieschirmen drei Stück im k. u. k. See-arsenale hergestellt worden.

Ein ebendasselbst erzeugtes cubisches Zinkblechgehäuse von 0.7 m Seitenlänge mit jalousieartig gemachten Boden- und Seitenwänden und zwei gegenüber liegenden versperzbaren Thüren hatte die Bestimmung, für die Installirung der Thermometer, des Thermographen und des Hygographen auf The Brothers zu dienen.

Kajüteneompass. Zum Zweck der Bestimmung der herrschenden Windrichtung wurde für jede Landstation ein handlicher Compass vom Instrumentendepot mitgenommen.

Sanduhren. Um den Beobachtern das mit der Taschenuhr lästige Einhalten der 5 Minuten wahren Beobachtungszeit zu erleichtern, waren vier Sanduhren angeschafft worden, deren Ablaufzeit genau 5 Minuten betragen sollte. Die an Bord oft wiederholte Prüfung derselben ergab jedoch, dass zwei davon bei feuchter Luft und wenn nicht durch den Propellerschlag oder anderswie hervorgerufene Vibrationen das Abfliessen des Sandes befördert wurde, äusserst unverlässliche Angaben lieferten, ja sich oft ganz verstopften. Deshalb wurden nur die zwei Sanduhren, deren Fehler ± 3 sec nicht überschritt, für die Beobachtungen verwendet, die dritte Landstation aber mit einem Taschenchronometer bedacht.

Lupen dienten für die Nonius-Ablesung an den Quecksilberbarometern.

Wahl der Beobachtungsstationen und des Beobachtungsvorganges.

Für die Errichtung der Landbeobachtungsstationen wurden schon von vornherein »The Brothers«, »Koscierz« und »Jiddah« in Aussicht genommen, ausserdem für eine meteorologische Station an Bord S.M. Schiffes »Pola« vorgesehen.

Das vom k. u. k. Reichs-Kriegs-Ministerium »Marine-Section« im Einvernehmen mit der k. k. Centralanstalt für Meteorologie und Erdmagnetismus aufgestellte Programm konnte in allen Punkten durchgeführt, in den Landstationen sogar eine Verlängerung der ursprünglich nur für die Dauer der Expedition festgesetzten Beobachtungsdauer erreicht werden. Die drei genannten Aufzeichnungen aus früheren Jahren die Wahl erster Ordnung, die Bordstation als solche zweiter Ordnung eingerichtet. Als Terminstunden für die directen Ablesungen wählte man die in Mitteleuropa gebräuchlichen Beobachtungsstunden 7^h a., 2^h und 9^h p. (mittl. Ortszeit), da in Ermangelung von stündlichen Aufzeichnungen aus früheren Jahren die Wahl einer anderen Stundencombination nicht gerechtfertigt erschien. Als Ablesungszeit für sämtliche Extremthermometer wurde 7^h p. festgesetzt, da in der in Betracht kommenden Gegend die in Jelinek's »Anleitung« empfohlene Ablesung des Temperaturminimums um 2^h p. nicht mehr dringend geboten und durch gleichzeitiges Ablesen beider Extreme ein Irrthum — etwa durch Ergreifen des falschen Thermometers und Nichteintragen der gemachten Ablesung — sicherer ausgeschlossen erschien. Die Messung der Windstärken durch die ziemlich zeitraubende Anemometerbeobachtung konnte deshalb nicht umgangen werden weil durch blosses Schätzen keine verlässlichen Daten zu erlöffen waren, da es schwer möglich gewesen

wäre, den in ziemlich vegetationslosen Gegenden situirten Beobachtern bequeme Anhaltspunkte für die Schätzung der Stärkegrade anzugeben.

Die Beobachtungsstationen. S. M. Schiff »Pola«.

An Bord S. M. Schiffes »Pola« wurde am Kreuzmaste in 17² über dem Hüttendeck eine Thermometerbeschrümung, enthaltend ein August'sches Psychrometer und zwei Extremthermometer angebracht. Für die fortlaufenden Aufzeichnungen des Luftdruckes diente ein in der Officiersmesse 47⁰ über der See installirtes Aneroid, dessen Angaben jederzeit durch Vergleich mit den zwei im chemischen und im zoologischen Laboratorium aufgehängten Quecksilber-Schiffsbarometern controlirt werden konnten. Von den zwei noch an Bord befindlichen Aneroiden stand eines als Höhenmessinstrument in Verwendung, das andere in der Kajüte zum Gebrauche des Schiffscapitäns. Gleichzeitig mit den Ablestungen am August'schen Psychrometer wurde auch der Stand des Assmann'schen Aspirations-Psychrometers beobachtet. Hierzu wurden während des ersten Monates, des Vergleiches wegen, je ein grosses und ein kleines Assmann'sches Psychrometer verwendet, und bei dieser Gelegenheit, wo der Behandlung beider Instrumente die gleiche Sorgfalt gewidmet war, oftmals constatirt, dass der »kleine Assmann« höhere Temperaturen anzeigte, als das gewöhnliche Psychrometer, während das grosse Instrument immer eine schöne Übereinstimmung, d. h. meist etwas kleinere Werthe angab. Es wurde deshalb das grosse Psychrometer zur Hinausgabe an die mit dem Thermographen bedachte Station The Brothers, das kleine für die minder wichtigen Bordbeobachtungen bestimmt. Die Angabe der Windstärke erfolgte durch Schätzung, bei häufiger Controle durch Messung mit dem Handanemometer, welches zu diesem Zwecke an der Luvsseite der Commandobrücke über dem Kartenhäuschen exponirt wurde. In See erfuhr das Ergebniss einer jeden solchen Messung noch die durch die Fahrt des Schiffes bedingte Correctur.

Die Niederschlagsmengen konnten nicht gemessen werden, da kein Regenmesser für die Aufstellung an Bord systemisirt war, man begnügte sich deshalb mit der Notirung des Zeitpunktes und der Dauer der Niederschläge.

Die Wolkenbeobachtungen beschränkten sich meistens auf die Angabe von Art und Grad — eventuell auch Radiation — der Bewölkung; der Wolkenzug gelangte nur dann zur Beobachtung, wenn das Schiff ruhig oder vor Anker lag. Nur bei sehr raschem Wolkenfluge — also blos bei niedrigen Wolken — wird man unter allen Umständen die Zugrichtung mit einiger Sicherheit zu bestimmen vermögen; bei den hohen Wolken und überhaupt bei langsamem Wolkenzuge wird fast jede Bordbeobachtung dadurch illusorisch gemacht, dass, was immer man als Fixpunkt zum Anvisiren der ins Auge gefassten Wolke wählt, eine aus Fahrt, Gierschlägen und Schlingerbewegungen combinirte unberechenbare Eigenbewegung besitzt, welche in der Regel die Grösse der relativen Verschiebung der Wolke gegen einen wirklich fix gedachten Punkt bei weitem übertrifft.

Eine kurze Notiz wurde täglich der Bezeichnung des allgemeinen Witterungscharakters und allfällig wahrgenommenen meteorologischen Erscheinungen gewidmet.

Für die Aufschreibungen bediente man sich eines Beobachtungsmanuales, dessen Blätter nach beistehendem Muster rubricirt, für je eine Woche ausreichen. Vom selben Formate, nur mit entsprechend geänderter Rubrikeneintheilung versehen, waren die Aufschreibebücher, welche an die meteorologischen Landstationen zur Ausgabe gelangten.

Die Beobachtungen wurden anfangs persönlich vom Verfasser vorgenommen, vom December 1895 an aber wegen meiner häufigen Verhinderung durch den Schiffsdienst oder die Aufnahmarbeiten am Lande dem Schiffscapitän, Waffenquartiermeister J. Putre übertragen.

Die regelmässigen Terminbeobachtungen begannen am 9. October 1895, dem Tage des Verlassens der Adria, und wurden bei der Rückkunft in die heimischen Gewässer am 15. Mai 1896 abgeschlossen, umfassen demnach einen Zeitraum von 220 Tagen.

Meteorologische Beobachtungen.

S. M. Schiff

Beobachter.....

Ort	Datum Stunde	Wind- richtung u. Stärke 0-10 km	Nieder- schlag	Art u. Grad der Be- wöl- kung 0-10	Wolkengang	Radiation (R) Streuung (S)	Witterungs- Charakter	Luftdruck		Temperatur				An- merkung
								Thermo- meter	Baro- meterstand auf 0° reducirt	Psychrometer		Aspirations- Psychrometer		
										trocken	feucht	trocken	feucht	
P = k mm	7 ^h													
	8 ^h													
	9 ^h													

Meteorologische Beobachtungen

in

Beobachter.....

Datum	Stunde	Wind		Be- wölkung 0—10	Luftdruck		Regen- menge in mm	Temperatur in Celsiusgraden						Anmerkung
		Richtung	Stärke in km		Thermo- meter am Barometer	Barometer 760 mm +		Max.	Min.	Psychrometer		Aspirations- Psychrometer		
										trocken	feucht	trocken	feucht	
	7 ^h a.													
	2 ^h p.													
	9 ^h p.													

The Brothers. Ungefähr in der Mitte des ca. 80 m breiten und 500 m langen, 10 m über der See gelegenen Plateaus der nordwestlichen Brothers-Insel erhebt sich der 14 m hohe Leuchthurm, flankirt von



The Brothers Leuchthaus.

zwei die Wohn- und Vorrathsräume des Leuchthauspersonales enthaltenden ebenerdigen Gebäuden, welche im Vereine mit den sie verbindenden Mauern um den Thurm einen viereckigen Hofraum abgrenzen.

Die Insel ist gänzlich vegetationslos, von den Verwitterungsproducten des Gesteins — Schutt von Sand bis zu Faustgrösse — bedeckt.

Ihre vollkommen isolirte Lage qualificirt sie ganz besonders zur Errichtung einer meteorologischen Station, der die Aufgabe gestellt wird, Beiträge zur Klimatologie der nördlichen Partie des Rothen Meeres zu liefern.

Eine sehr geeignete Persönlichkeit zur Durchführung dieser Aufgabe wurde in Herrn J. Johnson, dem Vorstände des Leuchthauses, gefunden, der sich gerne bereit erklärte, die meteorologischen Beobachtungen zu übernehmen.

Das Barometer und der Barograph wurden im geräumigen Bureau des Vorstandes 10·0 m über dem Meeresniveau installiert, der Regenschirm in das Dach eines etwa 70 m SE vom Thurme frei stehenden kleinen Materialschuppens eingelassen, so dass der Rand des Auffangegefässes 2·5 m über dem Erdboden zu stehen kam.

Die grosse Blechhütte für die Thermometer, den Thermo- und den Hydrographen fand nahe der Westecke der gegen NNE weisenden Mauerfront ihre Aufstellung, so dass sich die Thermometerkugeln 1·5 m über dem Erdboden befanden und die bei der Ablesung zu öffnende Thür gegen WNW gerichtet war.

Da die Thermometer in 0·5 m Abstand von der der Morgensonne ausgesetzten Hüttenwand aufgehängt waren, ist anzunehmen, dass der Einfluss der Bestrahlung zur Zeit der 7^h a. m.-Ablesung nur ein unbedeutender gewesen sein dürfte.

Ungünstig stand es jedoch um die Verhinderung der Insolation des Hüttendaches für die Zeit des hohen Sonnenstandes, da die Mauer nicht hoch genug war, um die Hütte zu allen Jahreszeiten zu beschatten und die Anfertigung eines soliden Schutzdaches oder Zeltes aus Bordmitteln nicht möglich war.

Die Messung der Windstärke erfolgte mit dem Handanemometer, das für die Druer der Beobachtung — je nach der Windrichtung — auf einem der zwei 2 m hohen Pfähle aufgestellt wurde, welche zu diesem Behufe im NW und im S des Leuchthauses eingerammt worden waren. Dem Beobachter wurde empfohlen, die Ablaufzeit der Sanduhr häufig zu controliren und sich der Taschenuhr für die Anemometerbeobachtungen zu bedienen, sobald sich eine Ungenauigkeit von mehr als ± 5 sec dabei herausstellen sollte.

Die Errichtung der Station fand am 27. und 28. October 1895 statt; am 13. Jänner 1896 berührte S. M. Schiff »Pola« die Station nochmals für wenige Stunden, welchen Aufenthalt ich dazu benützte, mich von der gewissenhaften Führung der Beobachtung Überzeugung zu verschaffen und dem Beobachter Auskunft zu ertheilen über alle einschlägigen Fragen, welche die erste kurze Schulung noch offen gelassen hatte.

Das eingelieferte Beobachtungsmaterial besteht aus den Terminlesungen und den Registrirungen von Luftdruck, Temperatur und Feuchtigkeit für die Zeit vom 28. October 1895 bis zum 6. Juli 1896 (252 Tage).

Leider war man nicht im Stande, die Verlängerung der Beobachtungsreihe auf ein ganzes Jahr zu erreichen, da Herr Johnson anfangs Juli einen dreimonatlichen Urlaub antrat, nach dessen Ablauf er als Leuchthausvorstand nach Ras Gharib versetzt wurde; der mit der Stellvertretung des Vorstandes von The Brothers betraute Leuchthurmwächter zeigte sich weder geneigt noch geeignet, die Beobachtungen fortzusetzen.

Koseir. Durch eine niedrige kahle Hügelkette gegen Landwinde etwas geschützt, ist die Stadt am flachen felsigen Strande nahe der Mündung eines versandeten »Wadi« erbaut. Koseir bietet, da die dicht beisammen stehenden Häuser ihre Seefront gegen SE gerichtet haben und die flachen Dächer keinen Zugang besitzen, kaum eine allen Anforderungen entsprechende Localität für die Errichtung einer meteorologischen Beobachtungsstation, ausgenommen etwa die Festung, welche, auf einer Anhöhe gelegen, allen Winden freien Zutritt gestattet.

Der Chef der Sanität und Quarantaine-Station Herr Dr. Josef Fronista, welcher sich bereitwilligst zur Vornahme der Beobachtungen erboten hatte, bewohnte das einstöckige Amtsgebäude, an das im NE ein geräumiger, von hohen Mauern umschlossener Hof als Isolirungs- und Observationsplatz für importirte Kameele und Schafe grenzte.

Die schmale, gegen NNW weisende Front dieses Hauses erwies sich als günstiger Installationsort für die Thermometerbeschränkung, welcher dort auch in den Nachmittagsstunden durch ein an das Haus angebautes, gegen dessen Front etwas vorspringendes Minaret Beschattung zu Theil wurde. Die Beschirmung wurde nahe dem Fenster des Empfangszimmers 6.0 m über dem Erdboden angebracht, das Barometer und der Barograph in demselben Zimmer in 7.3 m Seehöhe aufgestellt.



Kaiser Samiat

Die Ermittlung der Windrichtung war durch die vom hohen Signalmaste des Amtsgebäudes wehende Flagge erleichtert. Auf verlässliche Angaben der Windstärke musste jedoch verzichtet werden, da nur ganz ausserhalb der Stadt ein freier Platz für die Aufstellung des Anemometers zu finden ist und zu fürchten war, dass die Bereitwilligkeit des Beobachters bei der Zumuthung einer so mühsamen und zeitraubenden Beobachtung eine Grenze gefunden hätte. Der Beobachter wurde daher angewiesen, die Windstärke nach Schätzung einzutragen, sich aber recht oft durch Anwendung des Anemometers von der Richtigkeit seiner Schätzung zu überzeugen.

Auf Daten über die Regenmenge war nicht reflectirt worden, deshalb die Station mit keinem Regenmesser theilt — für den einen geeigneten Aufstellungsort zu finden hier übrigens Verlegenheit bereitet hätte.

Die Errichtung der Station

geschah am 29. und 30. October 1895, der zweite und längere Besuch dieses Hafens vom 14. bis 20. Jänner 1896 bot Gelegenheit, die Schulung des Beobachters zu vervollständigen und wegen eventueller Fortführung der Beobachtungen die Verhandlungen zu pflegen.

Das bisher eingesendete Beobachtungsmaterial umfasst die Terminablesungen vom 4. November 1895 bis zum 20. April 1896 und die Barographencurven bis zum 13. Juli 1896. Die somit noch ausstehenden Ablesungsdaten (vom 27. April bis 13. Juli) werden erst zusammen mit den — zufolge eines später getroffenen Übereinkommens — über das Jahr 1897 ausgedehnten Beobachtungen zur Bearbeitung gelangen können.

Jidda. Die grosse mauerumgürtete Stadt bietet trotz ihrer hiefür ungünstig scheinenden Lage in vegetationsloser Sandebene eine Menge geeigneter Plätze für die Etablierung einer meteorologischen Beob-

achtungsstation. Besonders passend erscheinen die fast durchwegs mit der Hauptfront gegen N schauenden vier und mehr Stockwerke hohen Consulatgebäude und die ausserhalb des Seethores am Hafen gelegene Sanität.



Jidda Sanität.

Da sich der k. u. k. Honorar-Viceconsul nicht gewillt zeigte, die meteorologischen Beobachtungen zu übernehmen, wandte sich das Schiffscommando — mit Erfolg — an den Commandirenden der kais. ottom. Schiffsstation im Rothen Meere, Sg. Excellenz Herrn Contre-Admiral Sami Pascha, welcher für die Vornahme der gewünschten Beobachtungen den Navigationsofficier des in Jidda stationirten Dampfers »Kunfidah« Schiffsfähnrich Faruk Effendi zur Verfügung stellte.

Mit Zustimmung des Gouverneurs der Stadt und des Directors des Sanitätsamtes Dr. Yeronimakis wurde die meteorologische Station im Sanitätsgebäude errichtet. Barometer und Barograph wurden in der Kanzlei des Chefs 7·0 m über der See, der Regenmesser und das Insolationsmaximum-Thermometer, sowie die Stange zum Aufstecken des Handanemometers am flachen Dache des Hauses 10 m über dem Erdboden aufgestellt.

Die Thermometerbeschirmung fand ihre Installirung an der Nordseite der um den ersten Stock laufenden gedeckten Galerie derart, dass sie die freie Passage nicht behinderte und gegen die Wärmestrahlung des etwa 0·6 m darüber befindlichen Holzdaches durch ein dazwischen gespanntes Stück Segelleinwand thunlichst geschützt war.

Das vom hydrographischen Amte nachgesandte Radiationsminimum-Thermometer traf etwas verspätet ein und konnte erst gelegentlich des zweiten Aufenthaltes in Jidda — vom 16. December 1895 an — der Beobachtung zugeführt werden. Als Aufstellungsplatz wurde hiefür der nahe dem Mekka-Thore gelegene Garten des türkischen Militärsptales gewählt, ausser dem der hohen Bäume wegen nicht für den Zweck geeigneten Gouverneursgarten, die einzige cultivirte Bodenfläche im ganzen Weichbilde der Stadt.

Die übrigen Beobachtungen begannen am 11. November 1895 und wurden mit einigen — durch dienstliche Verhinderung des Beobachters bedingten — Unterbrechungen bis zu dessen definitiver Abcomandirung am 6. Juni 1896 fortgeführt.

der Correctionen die corrigirten Ordinatenwerthe zu den Terminstunden möglichst mit den directen Beobachtungen übereinstimmen. Beim Hydrographen war durch Versuche gefunden worden, dass die durch Änderung der Luftfeuchtigkeit hervorgerufene Längenänderung des Haares etwas grösser war als jene, welche der Eintheilung der Curvenblätter als Massstab gedient hatte.

Es mussten darum an den gemessenen Ordinatenwerthen Correctionen angebracht werden, welche mit zunehmender Feuchtigkeit im negativen Sinne grösser wurden; z. B. wenn bei 70% Feuchtigkeit der Curvenwerth mit der Psychrometerangabe übereinstimmte, betrug für den Ordinatenwerth 90 die Correction nahezu -5 , bei Ordinate 50 aber $+5$. Eine nach Art der Rechenschieber angeordnete Correctionstabelle ermöglichte rasch das sonst etwas umständliche Ermitteln der an jeder Ordinate anzubringenden Correctur.

Windstärke. Die in den Manualen enthaltenen Angaben über die Windstärke in Kilometern per Stunde wurden für die Tabellen in die entsprechenden Zahlen der 10theiligen Stärkescala umgerechnet.

Zusammenstellung und Besprechung der Beobachtungsergebnisse.

Sämmtliche durch die Expedition S. M. Schiffes »Pola« vom nördlichen Theile des Rothen Meeres gewonnenen, bisher vorliegenden meteorologischen Daten finden sich in den Tabellen 1—77 zusammengestellt. Hierbei wurde der allgemein eingeführten Gepflogenheit gemäss die Anordnung monatsweise getroffen und sind kürzere Zeitabschnitte als volle Pentaden, weil zur Bildung von Mittelwerthen nicht geeignet, von der Aufnahme in die Tabellen ausgeschlossen worden.

Die Tagesmittel wurden aus den Terminbeobachtungen für die Temperatur nach der Formel $\frac{7^h + 2^h + 9^h + 9^h}{4}$ berechnet, im übrigen als die arithmetischen Mittel der 3 Lesungen $\frac{7^h + 2^h + 9^h}{3}$ angegeben.

Am Fusse jeder Tabelle sind die Monatsmittel der einzelnen Beobachtungsstunden, sowie des Gesamtmonates gebildet und die Extremwerthe, welche überdies in den Tabellen durch fetten Druck hervorgehoben sind, separat angeführt; eine gesonderte kleine Tabelle enthält Angaben über die Häufigkeit des Auftretens der verschiedenen Windrichtungen zu den 3 Beobachtungsstunden. Als »Tage mit Sturm« wurden solche gerechnet, an welchen Windstärken von 50 km per Stunde und darüber — nach der 10theiligen Scala von Stärke 6 an — beobachtet wurden.

Eine umfassende Besprechung des Verhaltens der einzelnen meteorologischen Elemente überhaupt und in den verschiedenen Monaten, sowie eine Charakterisirung der gefundenen Wittertypen kann erst erfolgen, wenn die noch im Gange befindlichen und die für die nächste »Pola«-Expedition noch in Aussicht genommenen meteorologischen Beobachtungen abgeschlossen und bearbeitet vorliegen werden.

Im Nachstehenden wird bei getrennter Behandlung der 4 Beobachtungsstationen nur dasjenige besprochen, was sich nicht bei der Durchsicht der Monatstabellen von selbst ergibt und was geeignet ist über den Genauigkeitsgrad der gebotenen Daten Aufklärung zu verschaffen.

S. M. Schiff »Pola«. Die Beobachtungen an Bord nahmen unter meiner Controle einen ununterbrochenen, fast ungestörten Verlauf. Nur das Aneroidbarometer Nr. 50720, welches am 7. Februar bei starken Rollbewegungen des Schiffes Schaden gelitten hatte, musste von diesem Tage an durch das Aneroid Nr. 89 als Ablesungsinstrument ersetzt werden. Da der gegenseitige Stand beider Aneroide durch wiederholte Vergleiche genau bestimmt war und alle Angaben auf die vorhandenen Quecksilber-Schiffsbarometer bezogen werden konnten, blieb dieser Unfall für die Luftdruckbeobachtungen belanglos. Das Minimum-Thermometer brach am 4. December, das Maximum-Thermometer am 10. März; als Ersatz diente für beide Instrumente »das Kappeller'sche« Maximum- und Minimum-Thermometer (mit Stahlstift-Index) Nr. 7134, dessen Correction durch Vergleichsbeobachtungen mit 0°0 bestimmt worden war. Bei einer Reinigung dieses Instrumentes vom angesetzten Salze und Kohlenstaube verschob sich am 31. März die Scala, so dass von diesem Tage an eine Correction von $+1.2$ an den Lesungen dieses Instrumentes angebracht werden musste. Die Angaben der an Bord in Verwendung gestandenen Extremthermometer sind nur wenig verlässlich, da sich deren Indices in Folge von Rollbewegungen und der fortwährenden

Vibrationen des Häuschens durch Wind, Propellerschlag u. s. w. wahrscheinlich oft verschoben haben dürften. Die Installirung der Thermometerbeschrümung erwies sich sonst als zweckentsprechend und war, wie durch die Controlbeobachtungen am Aspirations-Psychrometer festgestellt wurde, der Schutz, welchen die Beschrümung den Thermometern gegen directe Bestrahlung gewährte, fast vollkommen ausreichend, nur bei windstillem Wetter waren die Temperaturangaben im Häuschen viel zu hoch.

Die an Bord angestellten meteorologischen Beobachtungen können aus dem Grunde einigen Anspruch auf Interesse erheben, weil sich das Schiff auf den meisten Kreuzungen durch längere Zeit innerhalb eines eng begrenzten Gebietes bewegte; es gestatten die gewonnenen Resultate — Tabellen 1—8 —, ergänzt durch die im Schifftagebuche vorhandenen Aufzeichnungen, einen Schluss zu ziehen auf die Wind- und Wetterverhältnisse, welche dort in der betreffenden Jahreszeit wahrscheinlicher Weise anzutreffen sind.

Im Folgenden wird kurz eine Schilderung des Wetters gegeben, welches S. M. Schiff »Pola« während der Expedition 1895/96 begleitete; als Ergänzung hiezu mögen die graphischen Darstellungen auf Tafel 1 dienen, in welchen das Verhalten des Luftdruckes, der mittleren Tagestemperatur und aller anderen Witterungserscheinungen übersichtlich zusammengefasst erscheinen. Die Windrichtung und Stärke wurde jedoch nur an solchen Tagen verzeichnet, an welchen stürmische oder Winde aus den zwei südlichen Quadranten auftraten.

Das Wetter während der Reise.

October. Die Fahrt vom Ionischen Meere nach Port Said ging bei heiterem Wetter und günstigen — nördlichen und westlichen — Winden rasch von Statten. Schon am 10. October 1895 — in der Nähe von Corfu — machte sich eine derartige Zunahme der Temperatur fühlbar, dass das Anlegen der Tropenadjustirung anbefohlen wurde, welche man von nun an mit wenigen Ausnahmen bis zur Rückreise nicht mehr ablegte. Bei anhaltend schönem Wetter und mässigen nördlichen Brisen wurde am 17. und 18. October der Suezcanal passirt, hiebei bot sich über den erhitzten Sandflächen der im Osten des Canales liegenden Wüste häufig das Schauspiel von Luftspiegelungen und zahlreichen Sandtromben. Nach 8tägigem Aufenthalte bei warmer Witterung mit theilweise bewölktem Himmel und flauen, variablen — meist nördlichen — Winden verliess das Schiff am 26. October Suez und fand im Golfe mässige — in den Morgenstunden frischere — nordwestliche Brisen, die bei klarem Wetter, zwischen NW und NNE spielend, bis nach dem Passiren des Wendekreises anhielten.

November. Am 2. November war die Zone erreicht, in der sich schon häufig Winde aus dem 2. und 3. Quadranten geltend machen. Als Ergebniss des Wettstreites zwischen den nördlichen und den um diese Jahreszeit in der Südhälfte des Rothen Meeres dominirenden südlichen Luftströmungen zeigte sich während des Aufenthaltes in Jidda häufige Wolkenbildung und Neigung zu Gewittern, Böen und Niederschlägen, welche erdönschte Abkühlung in die oft drückende Hitze brachten. Am 3. um 9^h a. m. setzte, nachdem schon längere Zeit hindurch bei flauem NE die gelbe Färbung der Luft und die Bildung von Sandhosen über dem Festlande das Herannahen des Samum angekündigt hatten, steifer warmer SSE-Wind mit Regen ein, der um 11^h a. m. die Stärke 6 erreichte, dann aber rasch abflaute und windstillem heiteren Wetter Platz machte. Nach fünf warmen, wenig bewölkten Tagen mit nordöstlichen Brisen umzog sich wieder der Himmel, südliche Winde brachten böiges und regnerisches Wetter, das bis zum 14. anhielt. Auf der Fahrt nach Mersa Halaib machte sich am 13. schon auf 50 Seemeilen die Nähe der afrikanischen Küste — ausser durch die weithin sichtbaren Elba Mountains — durch das Erscheinen von Heuschrecken an Bord bemerkbar, einer Landplage, welche bei der Schilderung des Klimas jener Gegenden nicht mit Schweigen übergangen werden darf.

In der Nacht vom 14. auf den 15. wurde bei heftigem Böenwetter ein echt tropisches Wetterleuchten beobachtet; fast 7 Stunden lang leuchtete und zuckte es in allen Quadranten fortwährend auf, so dass der Himmel die ganze Zeit hindurch mit einer Helle überzogen erschien, deren rascher Wechsel auf die Dauer dem Auge uncrträglich wurde. Bei fortwährendem Abnehmen des Barometerstandes zeigten sich

nach theilweiser Aushreitung in den Vormittagsstunden gegen Mittag wieder drohende Wolkenbänke im N, über dem Lande wirbelte der heisse Südwind den Sand in beträchtliche Höhe und trieb dichte Heuschreckenschwärme vor sich her, über der See erhoben sich mehrere Wasserhosen, und während nach einer kurzen Regenböe aus SSE das Barometer um 8^h wieder zu steigen begann, stiegen die Wolken im N immer höher, bis endlich um 4 $\frac{1}{2}$ p. m. der Wind nach W umsprang, später gegen NW drehte und damit Aushreitung eintrat. Abends war noch heftiges Wetterleuchten im E, die folgenden Tage waren etwas kühler, Vormittags setzte regelmässig leichte nordwestliche Brise ein, welche tagsüber frischend gegen NE drehte und Abends wieder einlullte. Der 20. brachte einige schwache Regenböen, der 21. einen mehrstündigen Regenguss und bei anhaltend nördlichen Winden — während das Schiff an der Südseite der Insel S. Johns vertäut lag — dunkle Wolkenbänke im 2. und 3. Quadranten und die eigenthümliche, vom Sandgehalt der Luft herrührende gelbe Färbung des Himmels.

Diese drohenden Anzeichen hatten keinerlei Witterungsumschlag im Gefolge, erst am 23., während des Aufenthaltes in Berenice, drehte der Wind für einige Stunden in den 2. Quadranten, wechselte aber sonst in der Richtung nur zwischen NW und NE, welch' letzterer hier bei Tag als Seewind häufig auftrat; bei fast immer heiterem Himmel wehte der Wind vom 28. an vorwiegend aus N oder dem 1. Quadranten. In angenehmem Gegensatze zu den Temperaturverhältnissen an der arabischen Küste wurden hier die Morgenstunden kühl gefunden, weil der rapide Anstieg der Temperatur zum Tagesmaximum sich erst später einzustellen pflegte.

December. Die Überfahrt und der Aufenthalt in Rabegh brachten wechselnd bewölkte heisse Tage mit flauen Brisen aus dem 1. und 4. Quadranten, während der Wolkenzug ausnahmslos aus WSW bis SE beobachtet wurde. Wiederholt wurden Polarbanden und eine deutlich ausgeprägte Radiation der Völkern verzeichnet. Während der Fahrt von Rabegh nach Jidda umzog sich wieder der Himmel, die nördlichen Winde räumten am 5. und 6. December südlichen Luftströmungen den Platz. Nun folgte in Jidda eine Reihe heisser Tage mit vorwiegend heiterem Himmel und nördlichen Brisen. Das Auftreten südlicher Winde wurde immer etwas vorher durch zunehmende Feuchtigkeit, mistigen Südhorizont und Wolkenbildung angekündigt. Vom 14.—17. machte sich ein ziemlich regelmässiger Wechsel zwischen Land- (E) und Seebisen (SW) bemerkbar. Die Weiterreise war von leichten südlichen Winden begleitet; während des Aufenthaltes in Yenbo zog am 22. und 23. eine Depression über diesen Ort, in deren Folge sich Gewitterbildung und Regengüsse einstellten, denen ein empfindlicher Temperatursturz folgte, so dass am 24. Morgens das Minimum-Thermometer 13°1 anzeigte. Nach drei heiteren, verhältnissmässig kühlen Tagen mit flauen Land- und Seewinden fand man auf der Traversade nach Sherm Sheikh und dortselbst wärmeres, dunstiges Wetter, grösstentheils bedeckten Himmel und mässige nördliche Brisen, deren Stärke bei der Annäherung an die ägyptische Küste wieder abnahm. Auch in Sherm Sheikh wurde ein ziemlich regelmässiger Wechsel der Windrichtung beobachtet: bei Tag NE, bei Nacht W oder SW; am 29. fielen einige Regentropfen, am 30. trat Aushreitung ein, welche aber nur kurz den Jahreswechsel überdauerte.

Jänner 1896. Schon am 3., während das Schiff in Mersa Dhiba vor Anker lag, stellte sich Trübung ein und sprang leichter SE-Wind auf, welcher die »Pola« zwang, noch Abends den schlecht geschützten Ankerplatz zu verlassen. Auf der Überfahrt nach Hassani fand man flauere, östliche Brisen, in der Nähe der Insel jedoch frischen NW, welcher heiteres Wetter brachte, das nun für längere Zeit anhielt. Morgens hatte man dunstigen Horizont, tagsüber kühlende, nördliche Winde, welche nur am 8. für kurze Zeit von SSE und SW abgelöst wurden. Auf der Fahrt nach Sherm Wej wurde frischer Gegenwind (NW bis zur Stärke 6) angetroffen, in Sherm Habban am 11. und 12. wieder flauere Land- und Seebisen.

An den heiteren Abenden war von nun an häufig intensives Zodiaklicht am Westhimmel zu sehen. Bald nach dem Erreichen von Koseir schloss die Reihe schöner Tage ab, es machte sich Neigung zur Nebelbildung geltend, häufig griffen südliche Winde durch, das Barometer fiel anfangs langsam, dann rasch; vom 16.—18. war der Himmel von einer dichten Stratusdecke überzogen, die Winde blieben flau und vorwiegend südlich, erst am Abend des 18. war, nachdem den ganzen Tag böige Westwinde am Zer-

reissen der Wolkendecke gearbeitet, der Himmel wieder soweit rein, dass die astronomischen Beobachtungen zu Ende geführt und die Rückfahrt nach Suez angetreten werden konnte.

Im Golfe von Suez traf man flauere nördliche Winde, während des Aufenthaltes in Suez selbst trübes, unbeständiges, oft regnerisches Wetter mit variablen, doch vorwiegend nördlichen Winden. Der Temperaturunterschied gegen den warmen Süden war recht unangenehm fühlbar; am 31. zeigte das Minimum-Thermometer 7°!!

Februar. Erst nach dem Verlassen von Suez hatte man wieder einige schöne Tage, mässige, zwischen NW und E spielende Winde förderten die Fahrt; am 6. Februar trübte sich wieder der Himmel und am Morgen des 7., kurz vor dem Erreichen der Insel Nomän frischte der NW bis zur Stärke 7, in kurzer Zeit verhältnissmässig hohen Seegang erzeugend. Die folgenden Tage in Nomän waren heiter und Dank den immer herrschenden Land- oder Seebrisen nicht sehr heiss. Am 10. zeigte sich das Herannahen einer tieferen Depression durch rasch zunehmende Bewölkung und Niederschläge bei fast windstillen Wetter an. Am 11. wehte steifer böiger W, dem bei steigendem Luftdrucke wieder klares Wetter mit mässigen, nördlichen Winden folgte. Erst am 14. bei Ras Abu Somer fand man wieder heftigen NW, welcher, allmählig an Stärke abnehmend, zeitweise gegen N drehend bis zum 16. anhält. Am 17. wehten schwache südliche, am 18. Morgens frische SWliche Winde, welche um $\frac{1}{2}$ 7^h a.m. plötzlich auf NNW (Stärke) umsprangen — dort Massrje, ägyptischer Wind genannt —. Zwischen W und NNW spielend wehte der Wind tagsüber in steifen Böen, Nachts etwas flauend, während der 2 Tage, welche das Schiff unter Shadwan vor Anker zu brachte. Bei der Rückfahrt nach Suez fand man mässigen Gegenwind, in Suez selbst trübes, oft neblig-wes Wetter mit flauen variablen Winden.

März. Während der nun folgenden Kreuzung im Golfe von Suez herrschten fast unbestritten — mitunter sehr frische — Winde aus dem 1. und 4. Quadranten. Dunstige Luft und kühles Wetter hielten an, der meist klare Himmel trübte sich jedesmal dann, wenn der Luftdruck zu sinken begann, an Niederschlägen wurden nur am 8. in Tor einige Regentropfen wahrgenommen. Während des Aufenthaltes in Suez zeigte sich wieder, wie in den Vormonaten, jener unbeständige Witterungscharakter, welcher in der unmittelbaren Nachbarschaft mehrerer grundverschiedenen klimatischen Bedingungen unterwerfener Gebiete seine Erklärung findet. Am 20. und 21. war dunstiges, ruhiges Wetter, am 22. trat mit dem Fallen des Barometers Trübung ein und fielen einige Regentropfen, am 23. zog eine tiefe Depression über Suez, Morgens wehte leichter SSE, Vormittags stellte sich Nebel ein, gegen Mittag drehte der Wind nach S und erreichte bald die Stärke 7; um 4^h p.m. trat nach kurzer Windstille SW, um $\frac{1}{2}$ 9^h p.m. Nordbrise auf, welche 2 Tage lang anhält. Schon am 26. gelangten im Gefolge einer neuen Depression wieder südliche Winde zur Herrschaft, welche manchmal sehr steif und böig, meistens flau und spielend, Regen-, Nebel- und Gewitterbildung mit sich brachten. Am 29. Abends trat mit zunehmendem Luftdrucke Ausheiterung ein.

April. Bei der Abreise fand man am 31. März und am 1. April im Golfe von Suez frischen NW, am Ausgange des Golfes SE-Brise und in Sherm Sheikh Windstille. Am 2. wurde bei heftigem Gegenwinde die Einfahrt in den Golf von Akabah passiert, dessen meteorologische Verhältnisse noch wenig bekannt und aus der Aera der Segelschiffahrt her — mit Recht — übel berüchtigt sind. Im Ganzen verweilte das Schiff 21 Tage in diesem Meeresarme, es wird daher nicht uninteressant sein hier eine übersichtliche Zusammenstellung der in dieser Zeit angetroffenen Windverhältnisse zu finden. Das Vorwiegen der nördlichen Winde ist ein ausgesprochenes, an den 63 Beobachtungsterminen wurden 47 mal N bis NE, 5 mal NW, 5 mal Windstille und nur 6 mal — auf 3 Tage vertheilt — südliche Winde verzeichnet. Der Windstärke nach war die Vertheilung folgende: zu 30 Terminen wurde 0 und 1, 17 mal 2 oder 3, Wind von Stärke 4 und darüber 10 mal gefunden. Etwas weniger günstig erscheint dieses Bild, wenn hinzugefügt wird, dass sich die stärkeren, meist böig auftretenden und oft der Navigation hinderlichen Winde auf 11 Tage vertheilten; hievon fallen jedoch 3 Tage — mit 7 Terminen — auf die Zeit, welche in der Nähe des Südens zugebracht wurde, wo, durch die Einengung des Luftcirculationsweges bedingt, das frischere Wehen des Nordwindes die Regel sein dürfte.

In Folge der häufigen Luftdruckschwankungen war der Witterungscharakter ein ziemlich unbeständiger; in der Regel wurde beobachtet, dass bei fallendem Barometer Verminderung der Windstärke oder Ablenkung gegen NW und nur bei tiefen Depressionen eine Umkehrung der herrschenden Windrichtung eintrat.

Die Temperatur war im Allgemeinen eine milde, doch innerhalb ziemlich weiter Grenzen schwankende; heiss war die Luft immer dann, wenn sie kurz vor dem Erreichen des Schiffes über eine Sandfläche zu streichen gezwungen war, relativ kühl, wenn sich das Schiff in See befand. Der häufige Wechsel des Schiffsortes bedingte einen fortwährenden Wechsel der localen Einflüsse, unter welchen die Höhe der Temperatur stand; es ist somit nicht gestattet, aus den Beobachtungen irgend welche allgemeine Schlüsse auf die Temperaturverhältnisse ziehen zu wollen; aus diesem Grunde sei hier auch die Wahrnehmung, dass man am arabischen Ufer höhere Temperaturen antraf, als an der Sinaiseite des Golfes, nur als Thatsache angeführt, ohne daraus eine Regel abzuleiten.

Der Bewölkungsgrad war immer dem Verhalten des Luftdruckes angepasst, Niederschlag kam nur an 4 Tagen als Tropenregen zur Beobachtung.

Sofort nach dem Verlassen des Golfes wurde wieder Zunahme der Wärme constatirt, welche in Senafir durch frische N-Winde etwas gemildert, in Sherm Sheikh aber, wo man laue variable Brisen antraf, sich zur drückenden Hitze steigerte. Besonders fühlbar war sie am Lande durch das Treiben des feinen heissen Flugsandes. Am 27. gelegentlich der Aufnahme des Sherm el Moiya war ich genöthigt die Vorname barometrischer Höhenmessungen einzustellen, weil die Quecksilbersäule des Thermometers am Aneroid in Folge dieses Sandtreibens plötzlich von 34° bis zum Ende der bis 46° getheilten Scala gelangte und bei weiterem Steigen ein Zerspringen des Thermometers zu befürchten war. An Bord zeigte das Maximum-Thermometer 37½, die höchste, während der ganzen Expeditionsdauer zur Beobachtung gelangte Temperatur.

Am 28. wurde sofort nach Doublirung des Ras Muhammed wieder frischer NW angetroffen, der bei dunstigem Wetter bis dicht vor Suez anhielt, wo man wieder variable, doch vorwiegend nördliche Winde und unbeständiges, schon sehr warmes Wetter antraf.

Mai. Am 30. April und 1. Mai lag eine tiefe Depression über Suez, die an beiden Tagen nach flauen, spielenden Winden Nachmittags frische NW-Böen mit Regen am 1., zudem auch Gewitter und solche Sandmengen brachte, dass die Luft gegen Abend davon braungelb gefärbt erschien.

Nun folgte eine Reihe schöner, aber heisser Tage mit flauen, nördlichen Luftströmungen, bis am 8. wieder ein Luftdruck-Minimum über Port Said zog, welches in gleicher Weise, wie die eine Woche zuvor über Suez gelegene Depression das Auftreten eines heftigen Chamsins (bis Stärke 7) zur Folge hatte, der hier aber von SW wehte und die Luft so erhitze, dass noch um 9^h p. m. 31½° C. abgelesen wurden.

Nach diesem letzten heissen Grusse aus der Wüste erschien die während der Rückreise nur selten mehr 20° erreichende Temperatur schon als sehr kühl, und als nach dem am 13. westlich von Kreta bestandenen, von 16stündigem Regengüsse begleiteten Oststürme das Thermometer bis auf 12° sank, sogar empfindlich kalt. Mit Ausnahme dieses einen Tages herrschte während der ganzen Mittelmeerfahrt heiteres Wetter mit mässigen nordwestlichen bis nordöstlichen Winden.

Am 15. war wieder die Breite von Corfu erreicht, bei der mit dem 10. October die Witterschilderung begonnen hat.

Landbeobachtungen.

Die Terminbeobachtungen der drei am Lande errichteten Stationen finden sich in den Tabellen 9—30 zusammengestellt, die aus den Angaben der Registrirapparate gewonnenen stündlichen Daten in den Tabellen 32—49. Oberdies wurden in Tabelle 31 die aus den Terminablesungen erhaltenen Monatsmittel und Extremwerthe zusammengefasst, mit Beifügung der Differenzen, welche sich gegen die aus den registrirten Daten deducirten Werthe ergeben. Die Monatsmittel von Luftdruck, Temperatur und Feuchtigkeit

sind durch Curven (Tafeln II—IV) graphisch dargestellt worden und veranschaulichen den täglichen Gang dieser Elemente in den einzelnen Monaten.

The Brothers. Die von dieser Station gewonnenen Beobachtungsergebnisse sind in den Tabellen 9—17, 32—39, 48, 49 und den Tafeln II—IV enthalten und bedürfen nur betreffs der Temperatur- und Feuchtigkeitsangaben eines Commentars. Trotzdem die Ventilation der Thermometer- (und Thermographen-)Hütte in Folge der fast continuirlich herrschenden nördlichen Winde eine sehr ausgiebige war, machte sich ausser der schon in der Einleitung erwähnten directen Bestrahlung noch ein Übelstand geltend, dem nur durch sehr hohe Aufstellung der Instrumente abzuhelfen gewesen wäre, d. i. die Vorwärmung der Luft durch den erhitzten Boden und den aufgewirbelten heissen Sand. Bei Errichtung der Station war diesem Bedenken kein Raum gegeben worden, da die Kleinheit des Eilandes vermuthen liess, dass — bei Wind — die Luft nicht Zeit haben werde, sich durch die Ausstrahlung des Bodens merklich zu erwärmen.

Beim Betrachten der Curven des täglichen Ganges der Temperatur in den Frühlings- und Sommermonaten (Tafel IV) wird man jedoch sofort die Grösse dieses Einflusses gewahr, besonders wenn sich in den Nachmittagsstunden die Einwirkung der Bestrahlungen durch die Sonne und den Boden summiren. Inwieweit dieser Temperatureurven-Anstieg thatsächlicher Temperaturzunahme, und wieviel davon den eben genannten Einflüssen zuzuschreiben ist, wird erst erwiesen werden können, wenn von The Brothers in grösserer Installationshöhe und in den Verhältnissen angepasster Beschirmung angestellte Comparativ-Beobachtungen vorliegen werden. Da sonach die vom Thermo- und Hydrographen gewonnenen stündlichen Aufzeichnungen wohl nur für die Nachtstunden — etwa von 8^h p. bis 8^h a. — der Wahrheit annähernd entsprechen dürften, wurden dieselben nicht in extenso publicirt, sondern bloss eine Zusammenstellung der Monatsmittelwerthe in Tabelle 49 und Tafel IV gebracht. Hierbei sind schon die in den Curven augenfällig aufgetretenen Bestrahlungseinflüsse durch graphische Interpolation in den einzelnen Tagescurven beseitigt und in den Curven (Taf. IV) sind die Originalangaben des Thermographen voll ausgezogen, die interpolirten Stundenwerthe durch punktirte Linien angegeben worden.

Die Curven des täglichen Ganges der relativen Feuchtigkeit sind mit denen der Temperatur zusammen gezeichnet worden, um die Reciprocität beider Grössen deutlich hervortreten zu lassen.

Bei der Berechnung des Dunstdruckes wurde der Wunsch rege, einen Registrirapparat zu besitzen, der Temperatur und Feuchtigkeit auf derselben Walze — womöglich auf demselben Papierblatte — verzeichnet. Da bei den Apparaten mit Wochenblättern eine Ungenauigkeit von $\pm 10^{\text{th}}$ — entspricht 0.3 mm Abscissenlänge — in der Zeiteinstellung kaum zu vermeiden ist, so kann sich leicht bei Anwendung von zwei getrennten Apparaten eine relative Verschiebung der zusammengehörigen Curvenblätter um mehr als eine Viertelstunde ergeben. Bei den oft sehr raschen Änderungen des Feuchtigkeitsgehaltes der Luft — bis zu 25th in 10 Minuten — involvirt nun eine solche Verschiebung nicht nur grobe Fehler in der Berechnung des Dunstdruckes, sondern sie lässt auch oft gar nicht mehr deutlich die sonst augenfällige Zusammengehörigkeit solcher Feuchtigkeitsänderungen mit gleichzeitigen Temperaturschwankungen erkennen.

Um nicht der für eine spätere Zeit vorbehaltenen Resumirung des ganzen Beobachtungsmateriales vorzugreifen, sei hier nur auf das Vorherrschen nördlicher Winde hingewiesen, welche nur dann südlichen weichen, wenn ein Depressionsgebiet über oder nahe der Insel vorbeizieht.

Das Klima steht ganz unter dem Einflusse der benachbarten Festländer, nur in den Temperatur-extremen macht sich schon stark der mildernde Einfluss der umliegenden Wassermasse geltend.

Koseir. Die in den Tabellen 18—23 niedergelegten Beobachtungsergebnisse dieser Station zeigen grosse Lücken in den Angaben der Feuchtigkeit, weil leider öfters längere Zeit hindurch das Benetzen der Umhüllung des feuchten Thermometers verabsäumt worden ist. Der geringen Verlässlichkeit der Windstärkeangaben wurde schon in der einleitenden Beschreibung der Station Erwähnung gethan; die Bezeichnung 0—1 wurde dann angewendet, wenn im Beobachtungsmannuale zwar eine Windrichtung angegeben, aber als Windstärke <Calm> notirt gefunden wurde.

Die Windrichtung ist auch hier vorwiegend nördlich und lässt sich aus den vorliegenden Angaben ziemlich deutlich eine Tendenz zu regelmässigem Wechsel zwischen Land- und Seebrisen nachweisen.

Eine Verwerthung der Barographencurven zur Zusammenstellung von Tabellen stündlicher Luftdruckangaben war aus dem Grunde nicht möglich, weil auf den Curvenblättern keinerlei Zeitmarken vorgefunden wurden, welche zum Vergleiche der Curvenordinaten mit den Terminablesungen hätten dienen können. Es gelang jedoch, von jedem Monate ein Blatt zur Vergleichung mit der gleichzeitig in The Brothers entstandenen Curve zu verwenden.

Als Ergebniss dieser Nebeneinanderstellung wurde die Curventafel III gezeichnet, aus welcher hervorgeht, dass sich in Koseir die tägliche Luftdruckschwankung völlig synchron mit der auf The Brothers vollzieht, nur erscheinen die Extreme während des Winterhalbjahres — November bis April — etwas stärker ausgeprägt, der Luftdruck im Mittel etwas niedriger als über der Inselstation.

Ebenso ist während dieser Jahreszeit die Temperatur niedriger als auf The Brothers — ein Verhältniss, dass sich im April umzukehren beginnt und, wie die noch erwartenden Beobachtungsdaten jedenfalls bestätigen werden, während der wärmeren Jahreszeit umgekehrt bleibt.

Jidda. Die Tabellen 24—30 geben die Resultate der Terminablesungen, an welchen die unter 7^h a.m. und 2^h p.m. eingetragene, wirklich genau diesen Terminstunden entsprechen, während die Abendablesung sehr oft nicht um 9^h p.m., sondern schon zur Zeit des Sonnenunterganges vorgenommen wurde.

Die Schwierigkeit der Navigation in der Finsterniss von der Stadt zum Ankerplatze der »Kuntidah« und die persönliche Unsicherheit auf jedem ausserhalb der Stadtmauern von Jidda zur Nachtzeit zu machenden Wege werden trotzdem jeden Kenner der dortigen Verhältnisse das Verdienst des Beobachters gebühlich hoch veranschlagen lassen.

Von der Bildung der Tagesmittel und der Monatsmittel für die Abend-Beobachtungsstunde musste aus dem erwähnten Grunde abgesehen werden, doch ist zu hoffen, dass sich bei der Bearbeitung umfangreicheren Beobachtungsmaterials Relationen finden lassen werden, welche es ermöglichen, aus den vorhandenen Terminlesungen und den Extremwerthen der Temperatur nachträglich die fehlenden Mittelwerthe zu bestimmen. Bezüglich der Lücken in den Feuchtigkeitsangaben und der Windstärkebezeichnung 0—1 gilt auch hier das bei der Besprechung von Koseir Gesagte.

Die Registrirungen des Barographen finden sich in den Tabellen 40—48 und den zugehörigen Curven (Taf. V) verarbeitet. Aus letzteren ersieht man eine sehr grosse, in manchen Monaten schon 2 mm überschreitende tägliche Schwankung, welche die auf Brothers beobachtete Amplitude im Winterdurchschnitte um 0.35 mm übertrifft, während der Monate Mai und Juni aber etwas hinter dieser zurückbleibt. Die Temperatur ist im Allgemeinen sehr hoch, sie steigt, wenn der Wind flau oder von der Landseite her weht, besonders aber gelegentlich des Auftretens des Samum, mit welchem Namen hier alle heissen sandführenden Wüstenwinde zusammengefasst werden, welche häufig im Gefolge tiefer Depressionen auftreten.

Windrichtung und Bewölkung sind, so lange in der südlichen Hälfte des Rothen Meeres SE-Wind vorherrscht, sehr variabel, bleiben aber in den Sommermonaten ziemlich constant — der Wind nördlich, der Himmel klar oder nur wenig bedeckt. Schon bei der Besprechung der Bordbeobachtungen wurde hervorgehoben, dass sich auch hier der Wechsel zwischen Land- und Seebrise in der Regel wahrnehmen lässt.

Die Niederschlagsverhältnisse scheinen ganz abnorme gewesen zu sein, im Monate November 1895 allein gab es 15 Regentage — mehr als sonst in mehreren Jahren zusammen genommen; die hier, wohl eben so wie überall, dem Klima angepasste Bauart der Häuser hielt den häufigen Niederschlägen nicht Stand, mehrere Häuser stürzten in Folge dessen ein viele Inwohner unter sich begrabend. Von Interesse werden ferner die Radiationsminimum- und Insulationsmaximum-Temperaturen sein, welche bisher in Jidda noch nicht beobachtet worden sind.

Schlusswort.

Die in der vorliegenden Bearbeitung die durch die Expedition S. M. Schiffes »Pola« gewonnenen meteorologischen Daten beobachtete Zurückhaltung in der Aufstellung von Schlussfolgerungen erschien dem Verlasser besonders dadurch aufertigt, dass nach den Aussagen vertrauenswürdiger, in Hafenorten des Rothen Meeres ansässiger Personen die Witterungsverhältnisse der in Rede stehenden Zeitperiode durchaus nicht den normalen entsprachen, also nicht geeignet waren, daraus allgemein gültige Wetterregeln abzuleiten.

Es hätten sich dabei mannigfache Widersprüche mit den auf langjährige Erfahrungen basirten Angaben des von der königl. englischen Admiralität herausgegebenen »Red Sea Pilot« ergeben und auch nur wenig Übereinstimmung mit den anderweitigen die Meteorologie des untersuchten Gebietes behandelnden Arbeiten gezeigt.

Es liegt nämlich von Jidda schon eine im »Nederlandsch Meteorologisch Jaarboek« veröffentlichte längere, ziemlich zusammenhängende Beobachtungsreihe vor, welche die im königl. niederländischen Consulate im Laufe der Jahre 1881—91 dreimal täglich angestellten meteorologischen Beobachtungen umfasst.¹⁾

Mit Zuhilfenahme dieser Publication, der von Suez, Koseir, Massaua, Assab und Aden erhaltenen Daten des von königl. englischen Kriegsschiffen und den Dampfern der Peninsular & Oriental Steam Navigation Company eingesandten Beobachtungsmateriales hat endlich im Jahre 1895 das königl. englische Meteorological Office in den »Meteorological Charts of the Red Sea« ein Werk herausgegeben, welches sich durch die besondere Berücksichtigung und anschauliche Darstellung der Wind- und Strömungsverhältnisse in erster Linie für den Gebrauch des Seemanns nützlich erweist, aber auch Angaben über die Monatsmittelwerthe von Luftdruck, Temperatur und Feuchtigkeit, sowie über spezifisches Gewicht und die Temperatur des Seewassers enthält.

Die 75.000 Beobachtungen, welche in diesem Werke zur Bearbeitung gelangt sind, beziehen sich zum grössten Theile auf die mit der Axe des Meeres nahe zusammenfallende Haupttroute der zwischen Suez und Aden verkehrenden Dampfer und vertheilen sich auf eine ansehnliche Reihe von Jahren, sie repräsentiren demnach wahrscheinlich wirkliche Durchschnitts-Mittelwerthe der behandelten meteorologischen Elemente.

Eine Fülle von Beobachtungsmaterial findet sich endlich noch in den seit vielen Jahren bei allen Sanitätsämtern und Leuchthäusern theils obligatorisch, theils freiwillig — um 9^h a. m. oder 10^h a. m. — gemachten meteorologischen Aufschreibungen, von denen die Notirungen des Luftdruckes — weil der Zeit des Vormittagsmaximums entsprechend — gewiss für weitere Bearbeitung geeignet wären. Die denselben Quellen entstammenden Temperaturangaben dürften nur geringen Werth besitzen, weil die Thermometer nirgends im Freien und gegen Strahlungseinflüsse geschützt, sondern durchwegs einfach an der Zimmerwand aufgehängt gefunden worden sind. Durch an Ort und Stelle vorzunehmenden Vergleich der in Verwendung stehenden Instrumente mit guten Reiseinstrumenten und Einsammeln der vorhandenen Aufzeichnungen liesse sich noch ein schätzbarer Zuwachs an Daten gewinnen. Namentlich könnten die das Wetter kurz charakterisirenden Notizen Aufschlüsse über den Witterungscharakter von Orten liefern, in denen es wohl kaum je zur Errichtung einer modernen Anforderungen genügenden meteorologischen Beobachtungsstation kommen dürfte.

Die von S. M. Schiff »Pola« in Scene gesetzten meteorologischen Beobachtungen werden — wenn das gesammte Beobachtungsmaterial bearbeitet vorliegen wird — unserer Kenntniss der klimatischen Verhältnisse am Rothen Meere jedenfalls eine erwünschte Bereicherung zuführen, insbesondere jener des täglichen Ganges der einzelnen meteorologischen Elemente, welche jetzt zum ersten Male durch längeren Betrieb registrirender Apparate zur Aufzeichnung gelangt sind.

¹⁾ Die Seehöhe des dort in Verwendung gestandenen Barometers wurde durch wiederholte Messung mit 1600 bestimmt.

Tabelle I.

Meteorologische

October

Beobachtungsstation: S. M. Schiff »Pola«.

Gattung und Nummer des Barometers:

Beobachter: Linienschiffs-Lieutenant C. v. Arbesser.

Seehöhe

Datum	Schiffswind (Mutagshöhe)		Luftdruck Barometerstand, reducirt auf 0°, Meeresebene und 45° Breite			Tempe- ratur- Angaben des Max. und Min. Thermo- meters		Temperatur des trockenen Thermometers nach Celsius			Dampfdruck in Millimetern			Relative Feuchtigkeit in Procenten															
	Länge	Breite	7h	2h	9h	Tages- mittel	Max.	Min.	7h	2h	9h	Tages- mittel	7h	2h	9h	Tages- mittel													
1	—	—	—	—	—	—	—	—	—	—	—	—	—	—	—	—	—												
2	—	—	—	—	—	—	—	—	—	—	—	—	—	—	—	—	—												
3	—	—	—	—	—	—	—	—	—	—	—	—	—	—	—	—	—												
4	—	—	—	—	—	—	—	—	—	—	—	—	—	—	—	—	—												
5	—	—	—	—	—	—	—	—	—	—	—	—	—	—	—	—	—												
6	—	—	—	—	—	—	—	—	—	—	—	—	—	—	—	—	—												
7	—	—	—	—	—	—	—	—	—	—	—	—	—	—	—	—	—												
8	—	—	—	—	—	—	—	—	—	—	—	—	—	—	—	—	—												
9	—	—	—	—	—	—	—	—	—	—	—	—	—	—	—	—	—												
10	39° 30'	20° 0'	92	4 02	0 62	8 02	7	25	1 17	6	21	5	23	7	22	7	16	3	13	0	14	6	74	60	71				
11	37 2	31 15	92	6 01	7 01	2 01	8	28	2 30	4	21	4	22	9	20	9	21	5	14	5	15	3	77	74	84				
12	35 0	23 40	59	7	59	6	50	4	50	6	21	3	15	6	21	7	23	3	20	11	3	15	3	10	2	16	9		
13	33 30	27 0	58	5	58	6	59	9	58	4	25	2	18	4	22	4	14	1	21	9	22	4	15	7	10	8	17	9	
14	32 30	30 0	59	7	59	8	59	9	59	8	20	2	20	0	21	3	21	5	21	3	21	5	12	2	11	5	11	1	
15	Port Said		60	8	61	1	101	8	61	2	28	5	21	6	21	7	24	2	22	3	22	6	10	2	12	7	9	8	
16	Suez Canal		60	9	60	1	61	3	24	9	20	0	22	3	23	1	23	0	22	3	25	1	11	1	11	2	11	5	
17	Suez		91	2	60	3	59	0	60	5	20	5	20	5	20	0	24	0	22	0	22	2	11	0	12	3	13	1	
18	Suez		59	4	58	6	60	1	59	4	29	0	20	0	20	8	28	3	22	0	21	5	12	4	11	0	14	0	
19	Suez		59	8	58	3	59	0	59	3	27	0	19	5	20	1	17	0	12	0	12	0	13	1	13	4	14	5	
20	Suez		60	4	58	2	60	0	59	7	27	5	17	4	18	4	20	0	21	0	21	6	0	10	0	13	3	5	
21	Suez		60	5	58	4	60	1	59	7	29	2	16	2	17	3	25	0	22	9	22	1	13	2	11	5	8	0	
22	Suez		59	3	58	0	59	0	59	1	29	2	17	7	60	0	25	4	23	3	23	9	11	0	13	0	10	0	
23	Suez		60	9	59	0	60	4	60	1	28	2	18	10	1	17	0	23	0	23	0	21	12	9	9	2	10	6	
24	Suez		61	8	59	8	60	4	60	3	27	4	17	8	18	5	25	7	23	2	22	6	11	3	12	4	10	6	
25	Suez		61	3	60	4	60	7	60	8	20	2	10	0	12	0	12	0	12	0	12	0	12	0	12	0	12	0	
26	27 41	33 51	61	7	61	1	60	5	61	1	—	16	1	22	4	26	0	24	0	24	5	—	13	8	14	2	—	—	
27	The Brothers		60	0	60	6	60	7	60	0	20	0	10	0	25	0	27	4	25	7	25	0	16	2	14	2	18	5	
28	Koseiz		59	1	58	3	57	8	58	4	20	5	—	8	5	27	5	20	0	26	2	19	0	15	0	14	2	—	
29	Koseiz		57	5	57	5	57	4	57	5	—	23	0	25	0	28	4	20	7	20	8	—	—	15	2	—	—	—	
30	26 2	34 20	58	7	58	6	58	7	58	7	20	1	—	20	4	28	1	15	5	16	1	15	0	21	0	—	—	—	
31	24 38	30 0	58	7	57	0	58	2	58	2	20	8	25	—	20	7	27	9	20	8	27	1	18	9	6	18	4	7	8
M.	—	—	—	—	—	—	—	—	—	—	—	—	—	—	—	—	—	—	—	—	—	—	—	—	—	—	—	—	

Zahl der beobachteten Wind-

	N	NNE	NE	ENE	E	ESE	SE	SSE
7h a. m.	3	4	2	1	—	—	1	—
2h p. m.	3	1	3	—	—	—	—	—
9h p. m.	4	3	—	—	—	—	—	—
Summe	10	8	5	1	—	—	1	—

Maximum des Luftdruckes 62.9 mm am 10.

Minimum „ „ 57.4 „ „ 29.

Maximum der Temperatur 30.7° C. „ 30.

Minimum „ „ 15.0 „ „ 26.

Tabelle II. Beobachtungsstation: S. M. Schiff »Pola«.

November

Datum	Schiffsort (Mittagsheute.)		Luftdruck (Barometerstand, reducirt auf 0°, Meeressniveau und 45° Breite.)					Temperatur- Anzeigen des Max. und Min. Thermometers		Temperatur des trockenen Thermometers nach Celsius					Dampfdruck in Millimetern					Relative Feuchtigkeit in Procenten				
	Länge	Breite	7°	24°	9h	Tages- mittel	Max.	Min.	7°	24°	9h	Tages- mittel	7°	24°	9h	Tages- mittel	7°	24°	9h	Tages- mittel				
1	23° 20'	37° 23'	57.4	57.3	57.5	57.4	11.7	25.7	27.0	28.0	28.1	28.1	19.5	21.1	20.8	—	71	71	73	—				
2	23 39	37 45	57.5	57.6	58.5	57.9	11.0	26.4	28.7	28.4	27.2	27.8	20.6	21.6	21.3	—	60	61	56	—				
3		Jidda	58.0	58.8	60.0	58.9	11.5	27.1	30.7	29.7	29.0	27.7	20.8	21.3	21.3	—	52	40	50	—				
4			59.0	59.2	60.1	59.4	12.1	27.0	30.7	30.0	27.4	27.8	21.0	21.0	21.0	—	53	60	60	—				
5			60.0	60.0	61.0	60.3	12.4	26.1	30.4	28.8	26.0	26.0	21.1	21.1	21.1	—	70	62	75	—				
6			61.0	61.0	62.0	61.3	13.2	25.7	30.0	28.1	25.9	25.9	21.5	21.5	21.5	—	61	60	55	—				
7			61.5	61.5	62.0	61.5	13.5	25.0	28.0	26.0	23.1	23.1	21.7	21.7	21.7	—	51	50	—	—				
8			60.5	59.9	60.0	60.0	12.5	24.5	28.1	26.0	22.0	22.0	20.8	20.8	20.8	—	61	60	70	—				
9			59.0	58.0	60.1	59.0	12.0	23.5	26.0	24.0	21.0	21.0	19.2	19.2	19.2	—	53	60	70	—				
10			60.7	60.0	60.0	60.5	12.0	23.0	26.0	24.0	20.5	20.5	18.1	18.1	18.1	—	84	69	71	—				
11			61.2	61.0	60.0	60.7	12.4	22.5	25.4	22.2	21.7	21.7	—	—	—	—	—	—	—	—				
12	21 29	30 3	61.0	60.9	60.2	60.7	11.6	22.0	24.7	22.5	20.8	20.8	16.8	17.4	17.4	—	81	64	67	—				
13	21 27	30 22	61.7	60.0	60.1	60.6	11.5	21.1	23.0	20.6	21.7	21.7	16.8	17.4	17.4	—	63	72	60	—				
14	22 0	28 19	59.8	58.8	58.8	59.1	11.2	20.5	22.7	20.0	17.4	17.4	17.2	17.2	17.2	—	55	74	—	—				
15		Mersa Matruh	57.0	54.0	56.1	55.0	11.6	20.5	22.0	19.1	17.5	17.5	16.8	16.8	16.8	—	50	79	—	—				
16			55.5	55.0	56.0	55.4	11.5	21.4	23.0	20.5	20.5	18.7	18.7	—	—	—	60	50	—	—				
17			60.0	59.4	59.7	59.7	12.0	20.5	21.0	19.0	17.5	17.5	—	—	—	—	—	—	—	—				
18			57.4	58.2	59.5	59.0	11.8	18.8	20.5	17.3	17.3	15.9	—	15.9	—	—	—	75	—	—	—			
19			59.4	59.1	59.0	59.2	11.9	18.8	20.8	17.7	17.5	16.4	16.4	15.1	15.1	—	85	80	62	—				
20	23 32	30 11	59.0	59.0	59.0	59.0	12.0	18.0	20.7	17.5	16.0	16.0	13.1	13.1	13.1	—	57	54	58	—				
21		St. Johns	59.7	59.0	59.6	59.4	12.5	20.0	22.4	20.4	17.4	17.4	12.3	12.3	12.3	—	54	54	—	—				
22			59.7	58.8	58.6	58.9	12.7	20.0	21.0	19.5	17.4	17.4	12.0	12.0	12.0	—	54	60	—	—				
23			59.5	58.3	58.5	58.7	12.7	20.0	21.0	19.5	17.4	17.4	12.0	12.0	12.0	—	54	60	—	—				
24		Bernice	59.7	58.0	75.9	70.7	20.0	20.4	20.5	22.1	22.1	14.1	14.1	13.1	13.1	—	58	69	—	—				
25			62.0	61.2	61.0	61.4	15.2	22.0	25.5	22.0	22.8	14.7	13.0	13.1	13.1	—	75	54	67	—				
26			62.0	60.0	60.2	60.7	15.0	19.4	20.4	22.0	22.0	12.0	13.4	—	—	—	73	38	64	—				
27			61.7	60.0	60.0	60.6	14.0	18.0	19.0	20.5	20.5	12.0	13.5	13.5	13.5	—	80	54	65	—				
28			60.1	58.5	59.7	59.4	13.0	16.0	17.0	18.0	18.0	10.0	13.7	13.8	13.8	—	67	57	66	—				
29			59.0	60.0	60.5	60.0	15.5	15.5	15.5	14.5	14.5	9.4	13.0	14.6	14.6	—	71	58	64	—				
30	23 52	37 17	60.0	59.8	58.0	59.1	12.8	16.0	15.0	15.8	14.2	14.2	15.7	15.7	15.7	—	64	70	—	—				
31	23 0	36 36	60.0	59.0	59.0	59.3	11.0	16.0	16.0	15.1	15.1	14.5	14.5	14.7	14.7	—	50	67	—	—				
M.																								

Zahl der beobachteten Wind-

	N	NNE	NE	ENE	E	ESE	SE	SSE
7 ^h a. m.	5	2	3	5	2	1	—	—
2 ^h p. m.	4	5	2	2	1	1	3	1
9 ^h p. m.	4	—	3	2	3	—	1	2
Summe	18	9	8	9	4	2	4	3

Maximum des Luftdruckes 62.9 mm am 25.

Minimum „ „ 54.0 „ 15.

Maximum der Temperatur 32.7° C. „ 6.

Minimum „ „ 15.3 „ 28.

1895.

Art und Grad der Bewölkung geschätzt nach Zehnteilen der sichtbaren Himmelsfläche. Zugrichtung der Wolken				Windrichtung und Stärke nach der 10-theiligen Scale			Nieder- schlag binnen 24 Stunden gemessen um 7 ^h a. m.	Anmerkung								
7h	2h	9h	Tages- mittel	7h	2h	9h	Dauer und Form									
o	Al Cu 2	Cl St 4	1	N 3	NW 2	NW 3	—	1. Heiter, 7 ^h p. m. c in ESE. 2. 2 ^h p. m. abie aus SE, 9 ^h p. m. c in S. 3. 9 ^h a. m. abie aus NNE, über d. Fest- lande d. Luft v. Sande gelb gefärbt, zahlreiche Sandhosen, 11 ^h a. m. Windstärke 4, dann abfliegend, auf- heiternd 4. Heiter $\frac{5}{10}$. Wechselnd bew. 6. a. m. drohend, dann heiter. 7. Heiter 8. Heiter. 9. 3—11 ^h p. m. a. a. m. heiter, p. m. regensch. 10. 4-8 ^h a. m. wiederh. a. 10 ^h 11. 5 ^h p. m. abie a SE, 6-10 ^h p. m. a. 12. umw. 13. 11 ^h a. m. a. 14. 15 ^h a. m. a. SE, Wilkenhke, Heuschrecken a. Bord, 5 ^h 30 ^h p. m. a. 11. a. m. c in S, Wilkenhke, 2 ^h 50 ^h p. m. a. Bie d. a. NW, 10 ^h p. m. a., 11 ^h 55 ^h a. m. a. a S, blendend. c. 15. 16 ^h 3 ^h a. m. inten- sives c, dann klärend, 2 ^h p. m. abie, zahlreiche Wasserhöhen, über Land Heuschrecken und Sand, 4 ^h 3 ^h p. m. Drohend Windes a W, 6 p. m. c. 16. Heiter. 17. Heiter, 8 ^h 3 ^h a. m. Eins d. NW, 5 ^h p. m. Polarbände SE, 18. Heiter. 19. Heiter. 20. 3 ^h a. m. a. 20. 10 a. m. mehrere a. m. NW, 2 p. m. heiter. 21. 7 ^h a. m. leicht, 8-11 ^h a. m. a. SE drohend, gelb. Nebel, Wolken- bänke, p. m. heit. 22. Heit. 23. Heit. Mittags Windwechsel n. ESE. 24. Heiter, p. m. meist. Horiz. 25. Heit. 26. a. m. Wolkenbänke im N, böig. Wind, p. m. heit. 27. Dinst. 28. Heit. 9 ^h 3 ^h p. m. Polarbände WSW, 29. Heit., 10 ^h p. m. u. 30. Heit., 3 ^h a. m. u.	—	—	—	—	—	—	—	—
o	Ni Cu 9	Ni Cu 7 SW 5	5	E 3	SE 3	NE 1	—	—								
Cu St 2	Cl St 4	Cl St 1	2	NE 1	S 1	—	—	—								
Cu St 2	Cd St 2	Cu 1	1	NW 1	NW 2	X 2	—	—								
St Cu 9	Cl St 6	Cu 1	5	ESE 1	N 1	E 3	—	—								
Cl St 2	3	St 1	2	ESE 2	ESE 2	—	—	—								
2	Cu 4	o	2	—	W 2	EKE 1	—	—								
Ni 9	St 6	St 9	8	EKE 1	SW 3	SE 1	3 ^h a	—								
5	St 6	St 9	8	NNE 1	W 1	—	3 ^h a	—								
Cl St 2	St Cu 7	St Cu 2	4	E 2	ESE 2	ESE 3	1 ^h a	—								
St Cu 2	St Cu 5	St Cu 1	2	ESE 2	SE 2	—	—	—								
St 2	Cu Ni 5	St 2	3	NE 1	—	ESE 3	1 ^h a	—								
Cu St 3	Cu Ni 5	St 2	3	SW 3	ESE 3	NW 2	1 ^h a	—								
o	Cu St 3	St 1	1	NW 1	NW 1	S 1	—	—								
2	Cl St 5	o	2	—	N 1	NE 1	—	—								
Cu 2	St 1	St 1	1	NW 1	NNE 2	NW 1	—	—								
St Cu 2	4	St 4	4	EKE 1	NNE 1	NNE 1	1 ^h a	—								
Cu Ni 9 NW	St 2	St 1	4	N 3	NNE 2	N 2	3 ^h a	—								
St 2	Al Cu 4	o	2	N 2	NNE 1	N 1	—	—								
Cl Cu 3	St 3	Cl Cu 3	3	NNE 2	NE 1	NW 1	—	—								
St 2	Cu 1	o	1	NW 2	NNE 2	NW 1	—	—								
Cu 2	Cu 1	o	0	NW 2	N 2	NW 2	—	—								
St 2	Cl St 2	N 2	2	NW 1	NW 1	NW 1	—	—								
St 1	St 2	o	0	NW 1	E 2	NW 1	—	—								
St 1	St 2	St 1	1	NW 1	NE 2	E 1	—	—								
2	Cu 7 N	o	3	N 2	N 1	N 1	—	—								
2	Cl St 4	Cl St 10	5	N 1	NE 1	NE 2	—	—								

richtungen und Windstillen.

S	SSW	SW	WSW	W	WNW	NW	NNW	Calm
.	.	1	.	1	.	4	3	3
2	.	.	.	2	1	2	2	1
2	6	3	6
4	.	3	.	3	1	11	8	9

Zahl der Tage mit Niederschlag 10

• • • • • Gewitter 0
• • • • • Nebel 0
• • • • • Sturm 1

Tabelle III. Beobachtungs-Station. S. M. Schiff „Pola“.

December

Datum	Schiffsort (Mittagsbesteck)		Luftdruck (Barometerstand, reduirt auf 0°, Meeresebene und 15° Breite)					Temperatur- Angaben des Max- und Min- Thermo- meters		Temperatur des trockenen Thermometers nach Celsius					Dampfdruck in Millimetern			Relative Feuchtigkeit in Procenten				
	Longe	Breite	7h	2h	0h	Tag- mittel	Max.	Min.	7h	2h	0h	Tag- mittel	7h	2h	0h	Tag- mittel	7h	2h	0h	Tag- mittel		
1	22° 54'	38° 4'	61.000	0.01	0.00	7.11	5.19	8.24	9.27	0.26	2.20	2.22	10.4	12.0	10.0	15.1	61	46	64	57		
2	22 45	38 40	61.100	0.02	1.00	7.11	5.20	8.25	9.27	0.27	2.20	2.22	10.4	12.0	10.0	15.1	55	70	64	57		
3	Rabegh		61.140	0.01	2.00	7.11	5.21	8.26	9.28	0.28	2.21	2.23	10.4	12.1	10.1	15.2	55	70	74	57		
4			59.852	8.50	2.58	7.11	7.28	5.24	0.29	4.25	4.26	0.58	18.4	10.0	18.7	18.7	51	63	75	55		
5			58.858	1.58	8.55	6.28	5.23	7.24	3.27	3.27	3.20	5.08	18.4	10.0	18.7	18.7	51	62	75	55		
6	22 44	38 45	58.858	1.59	8.58	6.30	7.27	5.27	0.27	4.27	4.27	3.27	18.4	10.0	20.5	20.4	77	70	70	70		
7	21 11	38 11	60.051	7.07	0.00	7.10	5.20	8.27	9.27	0.27	2.20	2.20	18.4	10.0	18.7	18.7	81	75	72	72		
8	Joida		60.051	7.07	0.00	7.10	5.20	8.27	9.27	0.27	2.20	2.20	18.4	10.0	18.7	18.7	80	80	74	74		
9			59.852	1.59	8.58	6.30	7.27	5.27	0.27	4.27	4.27	3.27	18.4	10.0	20.5	20.4	75	82	73	73		
10			58.052	5.58	0.58	8.10	6.28	5.27	7.27	5.28	6.00	10.5	18.4	10.0	18.7	18.7	71	75	75	75		
11			58.052	5.58	0.58	8.10	6.28	5.27	7.27	5.28	6.00	10.5	18.4	10.0	18.7	18.7	74	75	75	75		
12			61.700	0.02	0.01	4.24	1.10	5.23	1.19	7.21	3.27	10.5	18.4	10.0	18.7	18.7	61	68	70	70		
13			61.059	8.01	5.11	6.28	5.17	8.11	4.20	5.22	0.22	4.27	8.12	7.15	12.1	12.1	50	70	70	70		
14			61.059	8.01	5.11	6.28	5.17	8.11	4.20	5.22	0.22	4.27	8.12	7.15	12.1	12.1	77	70	75	75		
15			61.200	0.00	8.01	6.28	5.30	0.23	4.27	2.25	0.24	9.58	18.4	10.0	18.7	18.7	62	05	80	82		
16			61.059	8.01	5.11	6.28	5.17	8.11	4.20	5.22	0.22	4.27	8.12	7.15	12.1	12.1	70	71	85	82		
17			60.050	0.01	4.00	8.20	7.22	1.23	1.28	1.25	2.25	5.24	10.4	12.0	7.10	7.10	91	03	87	80		
18			62.300	1.02	8.02	6.11	5.21	1.23	8.20	5.24	8.25	5.18	13.0	8.20	5.10	5.10	63	85	88	88		
19			61.702	3.01	8.01	9.11	8.20	0.22	4.20	4.24	0.24	9.58	8.12	8.20	7.15	7.15	68	00	00	04		
20	21 35	38 45	61.801	2.01	8.01	8.20	5.20	4.21	7.18	1.25	0.25	3.80	10.0	10.0	8.15	8.15	70	70	70	70		
21	21 55	38 4	61.801	2.01	8.01	8.20	5.20	4.21	7.18	1.25	0.25	3.80	10.0	10.0	8.15	8.15	01	73	72	72		
22	Yenbo		60.358	1.58	0.50	0.10	5.19	8.21	5.25	0.24	2.23	8.22	11.0	11.0	11.0	11.0	75	88	70	70		
23			58.450	1.50	5.58	8.27	0.10	10.5	8.24	7.10	8.21	0.22	10.4	12.0	11.0	11.0	69	77	81	81		
24			60.059	3.00	0.00	1.25	18.1	1.15	2.24	0.19	7.19	6.20	10.0	11.0	4.00	4.00	65	11	01	00		
25			60.800	3.00	3.00	5.27	0.14	1.10	1.25	0.10	1.09	9.58	9.13	10.0	10.11	10.11	72	85	06	84		
26			60.002	0.02	4.02	4.02	3.10	0.10	1.17	5.27	7.22	0.27	30.0	10.11	1.11	7.11	41	01	00	00		
27			62.502	5.02	5.02	4.05	1.17	0.21	1.25	2.24	7.25	0.27	31.0	1.10	4.14	4.14	08	71	07	07		
28	24 4	37 47	61.450	8.00	3.00	4.20	0.21	0.24	0.24	0.23	1.23	0.10	1.15	0.15	0.15	0.15	73	72	72	72		
29	Sherm Shalkh		59.257	5.57	5.55	2.20	2.21	1.22	1.25	5.22	0.20	9.01	13.0	10.0	10.15	10.15	00	00	81	73		
30			59.000	0.50	1.57	0.20	0.18	1.20	7.25	1.24	5.22	0.15	0.15	0.15	0.15	0.15	80	00	80	77		
31	M.		60.559	0.62	3.00	0.10	10.0	0.18	2.21	7.20	3.20	1.11	7.0	0.10	4.05	4.05	45	20	39	39		
32			60.559	0.62	3.00	0.10	10.0	0.18	2.21	7.20	3.20	1.11	7.0	0.10	4.05	4.05	45	20	39	39		

Zahl der beobachteten Wind-

	N	NNE	NE	ENE	E	ESE	SE	SSE
7h a. m.	0	1	7	1	4	1	0	1
2h p. m.	5	1	3	1	1	1	1	1
7h p. m.	4	1	4	1	3	1	1	1
Summe	15	2	14	1	7	1	10	1


Maximum des Luftdruckes 62.5 mm am 27.

Minimum „ „ 56.6 „ 30.

Maximum der Temperatur 33.8° C. „ 9.

Minimum „ „ 13.1 „ 24.

1895.

Art und Grad der Bewölkung geschätzt nach Zehnteilen der azutheren Himmelsfläche.				Windrichtung und Stärke nach der 10-theiligen Scale			Nieder- schlag hinwen 24 Stunden gemessen um 7 ^h e. m.	Anmerkung
Zugrichtung der Wolken				7h	2h	9h	Dauer und Form	
Ci 4	Ci St 3	AlCu9WSW	5	E 1	N 2	NW 1	—	Heiter.
CiSt9WSW	Ci St 7	Ci 4SW	7	—	NW 1	NNE 1	—	Heiter, 3 ^h p. m. Polarbunde N—S
CiSt 6 SE	Ci 3 SW	Ci 4 NW	5	NW 1	W 1	—	—	Heiter.
St 1	Ci 2 SW	—	1	NE 1	W 1	—	—	Heiter, 0 ^h Windwechsel, W.
CiSt 3 SW	CiSt 6 NW	CiSt 5 NW	5	NW 1	NW 1	S 1	—	Heiter, drohend im W. a.
St 6 E	Ci St 5	St 1	4	NE 1	NNE 2	SSW 2	—	Heiter, a.  W.
St 5 NE	Ci St 3	—	3	NE 2	NNW 2	NE 1	—	Heiter, a.
CiSt 2 SW	St 1	—	1	N 1	NNW 2	NE 1	—	Heiter.
—	St Cu 2	—	1	ENE 1	WSW 1	—	—	Heiter.
Ci St 2	Cu St 1	—	1	—	SW 2	SSW 1	—	Heiter.
Cu 3 W	Ni 9 S	St 1	4	NE 1	N 4	N 2	21 ^h 1 ^h	a. m. trüb, abds. heiter, 1 ^h 2 ^h a. m.
St 1	St 1	—	1	NE 1	N 3	N 1	—	•••••, NNW 3. 12. Heiter.
—	Ci St 1	—	0	N 2	N 3	N 1	—	a. m. u. p. m. dunstig. Horizont.
Ci 1	Ci St 8	St 1	1	NE 1	S 2	E 1	—	p. m. dunstiger Horizont.
Cu St 1	CuSt 1 NE	—	1	NE 1	NW 1	SE 1	—	p. m. dunstiger Horizont.
—	CuSt 1 NE	—	0	E 1	NW 2	—	—	a. m. dunstiger Horizont, p. m. a.
Ci Cu 5	CuSt 7 NE	—	4	E 1	NW 2	E 1	—	p. m. dunstiger Horizont.
CiSt 8 SW	CiSt 5 SE	—	4	NE 1	NW 2	NE 1	—	p. m. dunstiger Horizont.
St 1	St 1	—	1	E 1	NE 1	NE 1	—	—
—	Ci St 4	Ci 1	2	SE 1	SE 1	SW 1	—	20. 31 ^h p. m. grün leuchtendes
CiSt 4	—	—	1	SE 1	SE 1	E 1	—	Meteor in SW. 21. p. m. dunstig.
CiCu 9 RW	Ni Cu 9 SW	Ni 8 W	9	SE 1	SE 1	NW 1	2 ^h	22. trüb, 0 ^h ••••• NW 5, 3-4 ^h p. m. •
Ni 10 NW	CiSt 10 W	Ci 4 N	3	NW 3	SW 1	NW 1	11 ^h 1 ^h	dunn ESE 1, 7 1/2-7 1/2 ^h p. m. • 23
CiSt 2 NW	Ci St 2	—	1	NE 1	—	NW 1	—	a. m. trüb, p. m. heiter; 1 1/2, 2, 3 u. 4
St 1	—	—	0	NE 1	NW 1	NW 1	—	a. m. kurze • 24. a. m. dunstig.
—	St 1	St 1	1	N 1	W 1	NW 1	—	25. a. 26. Sehr dunstig.
CiSt 2 NW	CiSt 2 S	CuSt 6 S	3	N 1	W 1	NW 2	—	Sehr dunstig.
CiSt 7 SW	CiSt 4 W	StCu 5 E	3	N 2	N 3	N 3	—	Wechselsind bewölkt
CiSt 4 NE	CiSt 3 SW	StCu 7 SW	5	N 2	NNE 2	N 3	1 1/2 ^h wir.	—
CiSt 4 SW	CiSt 5 NW	CiSt 3 W	4	W 1	NE 1	W 1	—	a. m. a., heiter.
CiSt 1 S	—	—	0	SW 1	NE 1	W 1	—	Heiter.
—	—	—	—	—	—	—	—	—

richtungen und Windstillen.

S	SSW	SW	WSW	W	WNW	NW	NNW	Calm
—	—	1	—	1	—	3	—	2
1	—	6	1	4	—	1	2	1
1	2	2	—	3	—	6	—	4
2	2	9	1	8	—	12	2	7

Zahl der Tage mit Niederschlag 4

• • • • Gewitter 0
• • • • Nebel 0
• • • • Sturm 0

Tabelle IV. Beobachtungsstation: S. M. Schiff „Pola“.

Jänner

Datum	Schiffsort (Mittheilungsbereich)		Luftdruck (Barometerstand, reducirt auf 0°, Meeresebene und 45° Breite)			Temperatur Angaben des Max. und Min. Thermo- meters		Temperatur des trocknen Thermometers nach Celsius				Dampfdruck in Millimetern				Relative Feuchtigkeit in Procenten			
	Länge	Breite	7°	2°	9°	Max.	Min.	7°	2°	9°	Tages- mittel	7°	2°	9°	Tages- mittel	7°	2°	9°	Tages- mittel
1	24° 26'	35° 13'	95.0	95.3	95.2	95.2	95.1	18.3	21.5	18.9	19.4	8.2	12.3	8.3	9.0	53	55	52	57
2		Mersa Dhaba	95.1	95.3	95.2	95.2	95.1	18.3	21.5	18.9	19.4	8.2	12.3	8.3	9.0	53	55	52	57
3			95.0	95.0	95.0	95.0	95.0	18.3	21.5	18.9	19.4	8.2	12.3	8.3	9.0	53	55	52	57
4	25 35	36 0	95.0	95.8	95.8	95.7	95.6	18.3	21.5	18.9	19.4	8.2	12.3	8.3	9.0	53	55	52	57
5		Hassanu	95.0	95.9	95.9	95.8	95.7	18.3	21.5	18.9	19.4	8.2	12.3	8.3	9.0	53	55	52	57
6			95.1	95.9	95.9	95.8	95.7	18.3	21.5	18.9	19.4	8.2	12.3	8.3	9.0	53	55	52	57
7			95.1	95.9	95.9	95.8	95.7	18.3	21.5	18.9	19.4	8.2	12.3	8.3	9.0	53	55	52	57
8	24 52	36 37	95.1	95.9	95.9	95.8	95.7	18.3	21.5	18.9	19.4	8.2	12.3	8.3	9.0	53	55	52	57
9	24 32	36 0	95.1	95.9	95.9	95.8	95.7	18.3	21.5	18.9	19.4	8.2	12.3	8.3	9.0	53	55	52	57
10		El Wej	95.1	95.9	95.9	95.8	95.7	18.3	21.5	18.9	19.4	8.2	12.3	8.3	9.0	53	55	52	57
11		Sherm Habbün	95.1	95.9	95.9	95.8	95.7	18.3	21.5	18.9	19.4	8.2	12.3	8.3	9.0	53	55	52	57
12			95.1	95.9	95.9	95.8	95.7	18.3	21.5	18.9	19.4	8.2	12.3	8.3	9.0	53	55	52	57
13	26 11	35 7	95.1	95.9	95.9	95.8	95.7	18.3	21.5	18.9	19.4	8.2	12.3	8.3	9.0	53	55	52	57
14		Kineir	95.1	95.9	95.9	95.8	95.7	18.3	21.5	18.9	19.4	8.2	12.3	8.3	9.0	53	55	52	57
15			95.1	95.9	95.9	95.8	95.7	18.3	21.5	18.9	19.4	8.2	12.3	8.3	9.0	53	55	52	57
16			95.1	95.9	95.9	95.8	95.7	18.3	21.5	18.9	19.4	8.2	12.3	8.3	9.0	53	55	52	57
17			95.1	95.9	95.9	95.8	95.7	18.3	21.5	18.9	19.4	8.2	12.3	8.3	9.0	53	55	52	57
18			95.1	95.9	95.9	95.8	95.7	18.3	21.5	18.9	19.4	8.2	12.3	8.3	9.0	53	55	52	57
19	26 23	34 24	95.1	95.9	95.9	95.8	95.7	18.3	21.5	18.9	19.4	8.2	12.3	8.3	9.0	53	55	52	57
20	26 0	33 21	95.1	95.9	95.9	95.8	95.7	18.3	21.5	18.9	19.4	8.2	12.3	8.3	9.0	53	55	52	57
21		Susa	95.1	95.9	95.9	95.8	95.7	18.3	21.5	18.9	19.4	8.2	12.3	8.3	9.0	53	55	52	57
22			95.1	95.9	95.9	95.8	95.7	18.3	21.5	18.9	19.4	8.2	12.3	8.3	9.0	53	55	52	57
23			95.1	95.9	95.9	95.8	95.7	18.3	21.5	18.9	19.4	8.2	12.3	8.3	9.0	53	55	52	57
24			95.1	95.9	95.9	95.8	95.7	18.3	21.5	18.9	19.4	8.2	12.3	8.3	9.0	53	55	52	57
25			95.1	95.9	95.9	95.8	95.7	18.3	21.5	18.9	19.4	8.2	12.3	8.3	9.0	53	55	52	57
26			95.1	95.9	95.9	95.8	95.7	18.3	21.5	18.9	19.4	8.2	12.3	8.3	9.0	53	55	52	57
27			95.1	95.9	95.9	95.8	95.7	18.3	21.5	18.9	19.4	8.2	12.3	8.3	9.0	53	55	52	57
28			95.1	95.9	95.9	95.8	95.7	18.3	21.5	18.9	19.4	8.2	12.3	8.3	9.0	53	55	52	57
29			95.1	95.9	95.9	95.8	95.7	18.3	21.5	18.9	19.4	8.2	12.3	8.3	9.0	53	55	52	57
30			95.1	95.9	95.9	95.8	95.7	18.3	21.5	18.9	19.4	8.2	12.3	8.3	9.0	53	55	52	57
31			95.1	95.9	95.9	95.8	95.7	18.3	21.5	18.9	19.4	8.2	12.3	8.3	9.0	53	55	52	57
M.																			

Zahl der beobachteten Wind-

	N	NNE	NE	ENE	E	ESE	SE	SSE
7 ^h a. m.	5	2	2	-	-	2	-	1
2 ^h p. m.	2	2	3	-	1	-	2	1
6 ^h p. m.	3	2	2	-	1	-	1	1
Summe	15	6	7	-	3	-	3	2

Maximum des Luftdruckes 67.9 mm am 30.

Minimum „ „ 53.4 „ 17.

Maximum der Temperatur 28.6° C. „ 13.

Minimum „ „ 7.1 „ 31.

1896.

Art und Grad der Bewölkung geschätzt nach Zehntheilen der sichtbaren Himmelsfläche. Zugrichtung der Wolken				Windrichtung und Stärke nach der 10 theiligen Scale			Nieder- schlag binnen 24 Stunden gemessen um 7 ^h a. m.	Anmerkung
7h	2h	9h	Tages- mittel	7h	2h	9h	Dauer und Form	
St 2	St Cu 5	St Cu 3 NE	3	W 2	N 2	N 1	—	Heiter.
St Ni 5 N	St 3 NE	St 2 NE	3	N 1	N 1	NW 1	—	» 4. m. a.
St Cu 1 N	0	St Cu 2 SE	1	W 1	E 1	SE 1	—	
St Cu 7 W	St 7 NE	0	5	ESE 1	NE 1	E 1	—	Wechselnd bewölkt, p. m. 4 im SE.
Cu 4 S	St 3 N	Cu 1	3	NW 5	NW 3	N 2	—	1 ^h a. m. setzt böiger NW ein.
St Cu 1	0	0	0	N 2	N 1	W 1	—	3 ^h a. m. abflauender NW, heiter.
0	St Cu 2	0	1	NNE 1	N 1	NNW 1	—	Heiter, a. m. dunstiger Horizont.
Cu 1	St Cu 1	0	1	SSE 2	NW 1	SW 1	—	» intensives Zodiaccallicht.
St 1	0	0	0	NW 0	NW 4	NW 2	—	Böig, a. m. dunstig.
Cl St 1	St Cu 2 N	0	1	NW 1	NW 2	—	—	» a. m. sehr dunstig.
0	0	0	0	—	NW 1	NNE 1	—	» p. m. leichter e. Zodiaccallicht
0	0	0	0	N 1	SW 1	NE 1	—	» p. m. » ».
Cl St 1	0	0	0	NW 1	NNW 1	—	—	Dunstiger Horizont.
St Cu 1 SW	0	0	0	SW 1	SE 1	SW 2	—	Trüb, dunstiger Horizont.
Cl 1	Cu 1	0	1	NW 1	NE 1	—	—	» sehr leicht.
Cl St 6	St 9	St 10	5	W 1	NE 2	SSE 1	—	Tagsüber bedeckt, e. abends heiter.
Ni 10	St Cu 10	Ni 10	10	—	—	SW 1	—	a. m. a., heiter, p. m. »Dunst.
Ni 9	St 10	St 1	7	WNW 3	WSW 4	WSW 1	—	a. m. a., »
0	0	0	0	W 1	N 1	N 1	—	a. m. a., »
Cl St 2 WSW	Cl St 6 WSW	0	3	N 1	N 1	NW 2	—	a. m. a., Dunst, 1 ^h 45 ^m p. m. str., 5 ^h p. m. » 25. a. m. drohend i. S. 10 ^h a. m. str., 2 ^h 1/2 p. m. » oben SW 1, 5 ^h zeitw. str. 2 ^h a. m. drohend, 10 a. m. str., trüb. 25. a. m. dunstig, trüb.
St Cu 7 W	Ni 9 W	St Cu 7 W	8	—	—	—	—	26. Trüb, p. m. wiederholt leichter » 10 ^h 1/2 p. m. » 27. a. m. a., dunstig.
St 1	Cu St 5 SW	Ni Cu 4 SW	3	—	WSW 2	W 1	—	» 1 ^h ».
Cu Ni 8 NW	St 10	St 9	8	W 1	W 2	—	—	1 ^h ».
St 7	St 6 NNW	St 10 WNW	8	ESE 1	SSW 1	NNE 1	—	» 1 ^h ».
Cl St 3	Ni 10	St 10	8	—	NNW 1	NE 1	—	2 ^h 1/2 ».
St 2	Ni 9	St 7 W	0	NNW 1	8 1	—	—	—
St 2	0	Cl 1	1	N 1	NNE 1	NW 1	—	—
0	St Cu 6 S	St 3 NE	1	N 1	NNE 1	NW 1	—	a. m. a., heiter.
Cu St 4 N	Cu St 4	Cu St 3 N	4	N 1	N 1	NW 1	—	Heiter, a.
Ni 6 N	Ni 9 NNW	St 1 W	5	—	NNW 1	—	—	Wechselnd bewölkt.
—	—	—	—	—	—	—	—	Trüb, 11 ^h 1/2 p. m. » tropfen.

richtungen und Windstillen.

S	SSW	SW	WSW	W	WNW	NW	NNW	Calm
—	—	1	—	5	1	5	1	6
1	1	1	2	1	—	5	3	2
—	1	2	1	2	—	6	1	8
1	2	4	3	8	1	16	5	16

Zahl der Tage mit Niederschlag 5

» » » Gewitter	0
» » » Nebel	4
» » » Storn	2

Tabelle V. Beobachtungsstation: S. M. Schiff »Poln«.

Februar

Barometer: Bis zum 7. Aneroid
Vom 7. an

Datum	Schiffsort (Mittagsbesteck)		Luftdruck (Barometerstand, reducirt auf 0°, Meeressniveau und 45° Breite)				Temperatur- Angehen des Max. und Min. Thermo- meters		Temperatur des trockenen Thermometers nach Celsius				Dampfdruck in Millimetern				Relative Feuchtigkeit in Procenten			
	Länge	Breite	7h	2h	9h	Tages- mittel	Max.	Min.	7h	2h	9h	Tages- mittel	7h	2h	9h	Tages- mittel	7h	2h	9h	Tages- mittel
1		Suez	60°0'05"	5°00'	0'05"	18°0'	117°17'	4°15'	7°15'	22	7°5'	2°2'	7°3'	72	49	50	50			
2	29°38'	" 32°33'	64°0'03"	3°04'	4°05"	21°0'	111°13'	7°17'	15°15'	24	7°3'	0°0'	7°7'	62	40	58	55			
3	27°30'	34°2'	7°00'	5°07'	1°00'	20°0'	112°11'	12°14'	14°0'	14°0'	7°7'	5°5'	5°0'	70	45	47	54			
4	27°30'	34°35'	10°0'	0'00'	3°00'	22°0'	112°03'	4°10'	2°18'	21°0'	5°0'	0°0'	7°5'	59	49	54	54			
5	27°7'	35°1'	10°5'44"	0'04'	9°21'	0°13'	118°0'21"	0'20'	6°20'	23	7°1'	0°1'	7°0'	45	34	41	40			
6	27°7'	35°37'	02°0'01"	3°02'	0'02"	25°0'	112°02'	2°21'	2°21'	21°72	10°11'	1°0'	10°5'	54	00	40	54			
7		Noman	04°4'	29°18'	04°8'	7°23'	0°20'	4°20'	02	11°3'	0°4'	5°2'	8°0'	54	45	39	43			
8		"	05°1'02"	9°03'	7°03'	0°24'	0°15'	117°4'22"	3°18°9'	10°85	0°0'	5°0'	8°1'	4°1'	5°0'	50	40			
9		"	02°0'01"	3°02'	0'02"	3°23'	1°15'	117°3'22"	0°20'	1°20°02	8°3'	8°7'	9°4'	8°8'	50	43	54	51		
10		"	01°8'00'	4°50'	1°00'	4°23'	0°40'	0°17°3'22"	0°21'	4°20°07	10°8'	8°7'	10°1'	9°7'	00	43	54	55		
11		"	59°0'59"	0°00'	8°00'	0°22'	117°0'00"	3°05'	10°17°10°85	11°5'	9°2'	8°1'	9°0'	04	55	38	52			
12		"	02°3'02"	0°04'	0°03'	3°17°0'	10°0'	0°18°0'20°3'	10°15°05	9°3'	7°3'	7°4'	7°0'	63	41	40	50			
13	29°40'	35°17'	10°2'05"	7°00'	3°00'	12°21'	14°10°1'	21°5'18°5'	18°05	7°5'	8°0'	8°4'	7°0'	55	42	53	50			
14		Ras Abu Somet	10°8'05"	5°00'	5°00'	3°21°0'	14°17°0'	2°10'	2°10°55	5°5'	8°0'	6°0'	8°2'	60	48	48	54			
15		"	10°1'04"	5°05'	0°05'	4°19°0'	13°01°5'	8°10°8'10°17°30	0°4'	5°1'	7°7'	7°4'	48	47	55	50				
16		"	05°4'03"	2°03'	5°04'	0°20'	4°14°0'	10°1'20°2'17°0'17°57	0°0'	7°2'	0°0'	0°0'	51	44	48	44				
17	27°4'	34°10'	04°0'02"	7°02'	4°03'	0°22°0'	10°11°3'	0°22°0'20°0'18°75	0°0'	4°4'	7°5'	0°1'	54	25	43	44				
18		Shadwan	02°0'00'	5°03'	5°02'	0°18°0'	14°0'0'	18°0'15°0'16°00	7°2'	5°4'	4°3'	5°0'	35	34	38					
19		"	05°2'04"	0°00'	0°05'	5°20°0'	11°0'11°9'	11°9'21°0'15°07	0°2'	0°0'	5°0'	5°0'	60	44	42	40				
20		"	10°1'05"	0°00'	3°05'	8°20°0'	11°0'11°5'	2°20°0'10°18°17°30	0°1'	7°3'	5°7'	0°4'	40	42	40	41				
21	27°52'	33°31'	07°2'05"	0°05'	8°00'	3°21°0'	11°11°5'	1°10°3'10°2'10°70	7°4'	7°2'	7°5'	7°4'	58	42	55	52				
22		Suez	10°1'03"	5°05'	4°05'	0°20°5'	14°21°5'	0°20°1'15°8'10°00	0°5'	0°2'	8°8'	8°3'	50	55	05	50				
23		"	05°1'04"	5°03'	0°04'	4°21°0'	12°11°4'	7°12°17°18°05	0°8'	0°0'	10°10°18°10°40	70	48	71	03					
24		"	04°5'03"	5°05'	0°04'	4°10°0'	13°11°0'	12°22°2'10°9'18°57	0°8'	0°0'	10°10°18°10°40	91	70	57	73					
25		"	02°7'01"	1°00'	0°01'	5°25°1'	11°11°3'	8°24°24°31°20°40°40	0°0'	0°2'	8°4'	8°1'	77	40	44	54				
26		"	59°0'59"	5°01'	3°00'	0°23'	11°4'11°8'	2°21°3'20°4'20°07	12°2'10°0'	11°7'11°5'	78	50	00	07						
27		"	03°3'02"	4°01'	0°02'	5°20°0'	12°0'12°0'	15°5'23°2'10°7'18°00°10°7'	8°3'10°5'	0°0'	62	39	74	58						
28		"	10°5'04"	5°59'	7°59'	0°21°0'	11°11°4'	1°21°3'15°0'10°10°05	10°8'	0°0'	0°0'	0°0'	91	48	73	71				
29		"																		
M.	—	—	—	—	—	—	—	—	—	—	—	—	—	—	—	—	—	—	—	—

Zahl der beobachteten Wind-

	N	NNE	NE	ENE	E	ENE	SE	SSE
7h a. m.	4	1	1	1	4	1	1	1
2h p. m.	2	1	1	1	1	1	1	1
9h p. m.	5	2	3	1	1	1	1	3
Summe	16	3	4	2	4	2	4	4

Maximum des Luftdruckes 107.4 mm am 3.

Minimum " " 98.5 " 20.

Maximum der Temperatur 29.4° C. " 7.

Minimum " " 9.0 " 1.

1896.

Feiglsock Nr. 50720.
Nr. 80.

Art und Grad der Bewölkung geschätzt nach Zehnthellen der sichtbaren Himmelsfläche. Zugrichtung der Wolken				Windrichtung und Stärke nach der 10-theiligen Scala			Nieder- schlag Stunden gemessen um 7 ^h a. m.	Anmerkung
7 ^h	2 ^h	9 ^h	Tages- mittel	7 ^h	2 ^h	9 ^h	Dauer und Form	
St 7 NW	St 6 SW	St 2 0		WNW 1	WSW 1	SW 1	—	Trüb.
Ni 10 WSW	Ni 6 W	St 6 8		SW 3	WSW 2	NW 1	—	• a. m. böiger Wind.
Cst 3 NW	Cst 4 NW	0 3		NNW 2	N 3	N 1	—	Wechselnd bewölkt. p. m. heiter.
St 1	Cst 1	0 1		N 3	NE 1	NNE 2	—	Heiter.
0	St 3 SW	0 1		NNE 1	NNW 1	N 1	—	Dunstiger Horizont. p. m. 2 m NW.
Cst 1	St 2 WSW	St 1 5		E 1	NW 1	SW 2	—	Trüb. p. m. 4 m N, 11 ^h 2 ^h a. m. frischen
0	St 2 WSW	0 1		SW 4	NW 1	NE 1	—	und Drehen des Windes über SW auf
0	Cst 4 W	0 1		E 1	W 1	—	—	NW. 7 ^h a. m. böig bis Stärke 7, 10 ^h
Cst 8 W	Cst 5 W	0 4		E 1	W 1	NE 1	—	a. m. ablaufend, p. m. heiter 8, Heiter.
Cst 5	Cst 10	St 10 8		E 1	—	ENE 1	2 ^h 1/2 •	9, Heiter. 10, Trüb. 2 ^h u. 11 ^h 2 ^h a. m.
St 10 WSW	Cst 5 W	0 5		WNW 3	W 6	W 6	1 ^h 1/2 •	10, Heiter. 10, Trüb. 2 ^h u. 11 ^h 2 ^h a. m.
Cu 1 WSW	St 2 W	0 1		N 3	NNW 3	WNW 2	—	• 11 ^h a. m. w. böiger WSW bis 8, 10 ^h
0	St 1	0 0		ENE 1	N 1	SE 2	—	p. m. Einwand. 12, Heiter. frischer
Cu 1	St 1	0 0		NW 2	NNW 5	N 2	—	Wind. 18, Heiter. p. m. dunst. Horiz.
0	0	0 0		NW 2	N 4	NNW 3	—	11, Heiter. 15, Heiter. a. m. a. 16,
0	St 1	0 0		NW 2	N 2	NNW 2	—	Heiter. a. m. a. 17, Heiter. p. m.
0	0	0 0		WNW 1	N 1	SSE 1	—	Drehen des Windes über E nach S.
St 4	St 10 WSW	St 3 0		W 5	NW 6	WNW 4	—	18, Trüb und bog. 6 ^h 50 ^m a. m.
St 10 N	St 1 St 10 WSW	2 2		NNW 3	NNW 3	NNW 2	—	Umspringen des Windes von SW auf
St 10 N	St 1	0 0		NNW 2	NW 2	NNW 2	—	WNW. 19, a. m. trüber Horiz.
St 10	St 1	0 0		NNW 2	NNW 2	NW 1	—	heiter u. windig. 20, 21, 22, Heiter.
St 10	St 1	0 0		NNW 1	S 1	NE 1	—	23, a. m. leicht bedeckt. dann heiter
St 10 WSW	St 6	Cst 1 5		SE 1	SW 1	SSE 1	—	24, Heiter. 25, Dunstig. p. m. w.
Cst 4 WSW	0	0 1		SSE 1	—	NNW 1	—	26, a. m. dunstiger Horiz. Mittags
Cst 1 WSW	Cst 2	0 6		—	NW 1	SSE 1	—	heiter. p. m. trüb. 27, a. m. p.
Cst 1	Cst 2 NW	St 10 4		—	NW 1	SSE 1	—	p. m. heiter. 7 ^h 50 ^m nach Calm Auf-
St 10 W	St 10 W	St 1 7		S 1	NNW 1	N 2	—	springen von NW 3. 28, a. m. trüb.
St 10 WSW	St 4	St 2 5		N 1	N 1	N 1	—	p. m. heiter 29, a. m. z. trüb.
Ni 10 N	Cst 10 W	Cst 5 8		N 2	N 2	NW 1	—	
—	—	—	—	—	—	—	—	

richtungen und Windstillen.

S	SSW	SW	WSW	W	WNW	NW	NNW	Calm
1	1	1	1	1	5	5	1	2
1	1	2	2	3	1	4	4	3
1	1	1	1	1	2	4	5	1
2	2	4	2	5	8	13	10	6

Zahl der Tage mit Niederschlag 2

• • • • • Gewitter 0

• • • • • Nebel 2

• • • • • Sturm 4

Tabelle VI. Beobachtungsstation: S. M. Schiff »Pola«.

März

Datum	Schiffsort (Mittagsbest.)		Luftdruck (Barometerstand, reducirt auf 0°, Meeressniveau und 45° Breite)					Temperatur- Angaben des Max- und Min- Thermo- meters		Temperatur des trockenen Thermometers nach Celsius					Dampfdruck in Millimetern					Relative Feuchtigkeit in Procenten				
	Länge	Breite	7h	8h	9h	Tages- mittel	Max.	Min.	7h	8h	9h	Tages- mittel	7h	8h	9h	Tages- mittel	7h	8h	9h	Tages- mittel				
1		Suez	38° 57'	35° 5'	38° 5'	38° 5'	11° 0'	13° 22'	13° 10'	10° 92'	10° 0'	8° 4'	8° 0'	9° 0'	8° 9'	89	45	61	65					
2		"	39° 50'	36° 18'	36° 5'	36° 5'	11° 0'	12° 4'	10° 15'	11° 0'	10° 15'	10° 15'	8° 4'	8° 0'	8° 5'	85	40	67	67					
3		"	39° 50'	36° 18'	36° 5'	36° 5'	11° 0'	12° 4'	10° 15'	11° 0'	10° 15'	10° 15'	8° 4'	8° 0'	8° 5'	85	40	67	67					
4	29° 37'	33° 31'	39° 50'	36° 18'	36° 5'	36° 5'	11° 0'	12° 4'	10° 15'	11° 0'	10° 15'	10° 15'	8° 4'	8° 0'	8° 5'	85	40	67	67					
5	29° 0'	33° 9'	39° 50'	36° 18'	36° 5'	36° 5'	11° 0'	12° 4'	10° 15'	11° 0'	10° 15'	10° 15'	8° 4'	8° 0'	8° 5'	85	40	67	67					
6		Rev. Abu Zenima	39° 50'	36° 18'	36° 5'	36° 5'	11° 0'	12° 4'	10° 15'	11° 0'	10° 15'	10° 15'	8° 4'	8° 0'	8° 5'	85	40	67	67					
7	28° 23'	33° 21'	39° 50'	36° 18'	36° 5'	36° 5'	11° 0'	12° 4'	10° 15'	11° 0'	10° 15'	10° 15'	8° 4'	8° 0'	8° 5'	85	40	67	67					
8		Tor	39° 50'	36° 18'	36° 5'	36° 5'	11° 0'	12° 4'	10° 15'	11° 0'	10° 15'	10° 15'	8° 4'	8° 0'	8° 5'	85	40	67	67					
9		"	39° 50'	36° 18'	36° 5'	36° 5'	11° 0'	12° 4'	10° 15'	11° 0'	10° 15'	10° 15'	8° 4'	8° 0'	8° 5'	85	40	67	67					
10		"	39° 50'	36° 18'	36° 5'	36° 5'	11° 0'	12° 4'	10° 15'	11° 0'	10° 15'	10° 15'	8° 4'	8° 0'	8° 5'	85	40	67	67					
11		"	39° 50'	36° 18'	36° 5'	36° 5'	11° 0'	12° 4'	10° 15'	11° 0'	10° 15'	10° 15'	8° 4'	8° 0'	8° 5'	85	40	67	67					
12		Ras Ghanb	39° 50'	36° 18'	36° 5'	36° 5'	11° 0'	12° 4'	10° 15'	11° 0'	10° 15'	10° 15'	8° 4'	8° 0'	8° 5'	85	40	67	67					
13		"	39° 50'	36° 18'	36° 5'	36° 5'	11° 0'	12° 4'	10° 15'	11° 0'	10° 15'	10° 15'	8° 4'	8° 0'	8° 5'	85	40	67	67					
14		"	39° 50'	36° 18'	36° 5'	36° 5'	11° 0'	12° 4'	10° 15'	11° 0'	10° 15'	10° 15'	8° 4'	8° 0'	8° 5'	85	40	67	67					
15		"	39° 50'	36° 18'	36° 5'	36° 5'	11° 0'	12° 4'	10° 15'	11° 0'	10° 15'	10° 15'	8° 4'	8° 0'	8° 5'	85	40	67	67					
16	28° 40'	33° 42'	39° 50'	36° 18'	36° 5'	36° 5'	11° 0'	12° 4'	10° 15'	11° 0'	10° 15'	10° 15'	8° 4'	8° 0'	8° 5'	85	40	67	67					
17		Zafarana	39° 50'	36° 18'	36° 5'	36° 5'	11° 0'	12° 4'	10° 15'	11° 0'	10° 15'	10° 15'	8° 4'	8° 0'	8° 5'	85	40	67	67					
18		"	39° 50'	36° 18'	36° 5'	36° 5'	11° 0'	12° 4'	10° 15'	11° 0'	10° 15'	10° 15'	8° 4'	8° 0'	8° 5'	85	40	67	67					
19		"	39° 50'	36° 18'	36° 5'	36° 5'	11° 0'	12° 4'	10° 15'	11° 0'	10° 15'	10° 15'	8° 4'	8° 0'	8° 5'	85	40	67	67					
20		Suez	39° 50'	36° 18'	36° 5'	36° 5'	11° 0'	12° 4'	10° 15'	11° 0'	10° 15'	10° 15'	8° 4'	8° 0'	8° 5'	85	40	67	67					
21		"	39° 50'	36° 18'	36° 5'	36° 5'	11° 0'	12° 4'	10° 15'	11° 0'	10° 15'	10° 15'	8° 4'	8° 0'	8° 5'	85	40	67	67					
22		"	39° 50'	36° 18'	36° 5'	36° 5'	11° 0'	12° 4'	10° 15'	11° 0'	10° 15'	10° 15'	8° 4'	8° 0'	8° 5'	85	40	67	67					
23		"	39° 50'	36° 18'	36° 5'	36° 5'	11° 0'	12° 4'	10° 15'	11° 0'	10° 15'	10° 15'	8° 4'	8° 0'	8° 5'	85	40	67	67					
24		"	39° 50'	36° 18'	36° 5'	36° 5'	11° 0'	12° 4'	10° 15'	11° 0'	10° 15'	10° 15'	8° 4'	8° 0'	8° 5'	85	40	67	67					
25		"	39° 50'	36° 18'	36° 5'	36° 5'	11° 0'	12° 4'	10° 15'	11° 0'	10° 15'	10° 15'	8° 4'	8° 0'	8° 5'	85	40	67	67					
26		"	39° 50'	36° 18'	36° 5'	36° 5'	11° 0'	12° 4'	10° 15'	11° 0'	10° 15'	10° 15'	8° 4'	8° 0'	8° 5'	85	40	67	67					
27		"	39° 50'	36° 18'	36° 5'	36° 5'	11° 0'	12° 4'	10° 15'	11° 0'	10° 15'	10° 15'	8° 4'	8° 0'	8° 5'	85	40	67	67					
28		"	39° 50'	36° 18'	36° 5'	36° 5'	11° 0'	12° 4'	10° 15'	11° 0'	10° 15'	10° 15'	8° 4'	8° 0'	8° 5'	85	40	67	67					
29		"	39° 50'	36° 18'	36° 5'	36° 5'	11° 0'	12° 4'	10° 15'	11° 0'	10° 15'	10° 15'	8° 4'	8° 0'	8° 5'	85	40	67	67					
30	29 21	32 30	39° 50'	36° 18'	36° 5'	36° 5'	11° 0'	12° 4'	10° 15'	11° 0'	10° 15'	10° 15'	8° 4'	8° 0'	8° 5'	85	40	67	67					
31			39° 50'	36° 18'	36° 5'	36° 5'	11° 0'	12° 4'	10° 15'	11° 0'	10° 15'	10° 15'	8° 4'	8° 0'	8° 5'	85	40	67	67					
M.																								

Zahl der beobachteten Wind-

	N	NNE	NE	ENE	E	ESE	SE	SSE
7h a. m.	3	6	5	1	-	-	1	2
2h p. m.	9	3	-	-	-	-	-	1
9h p. m.	10	4	2	-	1	-	1	-
Summe	22	13	7	1	2	-	2	3

Maximum des Luftdruckes 63.8 mm am 3.

Minimum „ „ 48.1 „ 23.

Maximum der Temperatur 35.6° C. „ 22.

Minimum „ „ 8.0 „ 5.

1896.

Art und Grad der Bewölkung geschätzt nach Zehnteilen der sichtbaren Himmelsfläche.				Windeichtung und Stärke nach der 10-theiligen Scala			Nieder- schlag binnen 24 Stunden gemessen um 7 ^h a. m.	Anmerkung
Zugrichtung der Wolken							Dauer und Form	
7 ^h	2 ^h	9 ^h	Tages- mittel	7 ^h	2 ^h	9 ^h		
ClSt 5 NW	ClSt 3 WNW	St 10	6	NNW 1	N 2	NW 1	—	1. a. m. dunstiger Horiz., heiter,
ClSt 1 W	StCu 4 NNW	St 1	2	NNE 1	N 1	NNE 2	—	p. m. trüb. 2. a. m. a. heiter. 3. a. m.
ClSt 3 NW	o	o	1	NNE 1	N 1	N 1	—	a. Mittags dunstiger Horizont, p. m.
o	o	o	0	N 1	NW 1	SE 1	—	heiter. 4. a. m. a. dunstig. 5. Heiter
ClSt 3	ClSt 2	o	2	SE 1	S 1	NW 1	—	6. a. m. w. am Horizont, Mittags-
o	o	o	0	NNW 2	NW 4	N 1	—	dunstig. 7. Heiter, dunstiger Horiz.
o	o	o	0	NW 3	NW 3	NW 2	—	8. a. m. heiter, 12 ^{1/2} p. m. Frischen
o	Ni 6	o	2	NE 1	N 5	N 4	1/2 ^h str.	des Windes, 1 ^h p. m. str. 8. Heiter.
o	o	o	0	NW 2	N 3	N 1	—	10. Dunstig und schwül, 9 ^h p. m.
o	St 10	Ni 3	4	NE 1	N 1	NE 1	—	Windwechsel v. SSW auf NE, Ab-
o	CuSt 2 W	o	1	NE 2	NNW 2	NNW 1	—	seiterung u. Abkühlung. 11. Dunstig
o	CuSt 5 SW	St 10	5	NNE 1	E 1	—	—	12. a. m. schwül, Mittags heiter, p. m.
St 3	o	o	1	NE 1	NW 2	N 3	—	trüb. 13. Heiter, 7 ^{1/2} p. m. WSW-
Cu 1 NW	St 1	o	1	N 4	N 4	WSW 2	—	hitz 4 14., 15., 16. Dunstig, windig.
o	o	o	0	NNW 3	N 3	N 2	—	17., 18., 19. a. m. a. dunstig, windig.
StCu 2 N	St 2 N	o	1	NNW 0	N 5	N 4	—	p. m. heiter. 20. a. m. a. heiter, ruhig.
StCu 2	ClSt 1 NW	o	1	NNW 1	NNE 3	NNW 2	—	21. Dunstig. 22. 4 ^{1/2} —5 ^{1/2} p. m. a.
StCu 2 W	ClSt 3	o	3	NNE 3	N 3	NNE 2	—	str. 23. a. m. Dunst, 9 ^h a. m. v.
ClSt 2	ClSt 2 NE	o	1	NNE 1	NNE 1	N 1	—	Frischen des Windes, 4 ^h p. m. Calm.
o	ClSt 2 W	o	1	—	—	NE 1	—	dann SW, 4 ^{1/2} p. m. frischer NW
o	ClSt 4 NW	ClSt 2 WNW	3	NNE 2	—	NW 1	1/2 ^h str.	(bis 7 ^h), 7 ^h p. m. R. 24. Heiter.
StCu 1	o	Ni 10 NNW	4	SSE 1	S 6	N 2	—	25. Dunstig, Mittags lebhafte Böen.
Cu 1 WNW	StCu 4 WNW	ClSt 4 W	2	NW 2	NNW 1	N 1	—	26. Dunstig. 27. 3 ^h a. m. Frischen
StCu 5 W	StCu 6 W	Cl 1 NW	4	—	NNW 2	NNW 1	—	des Windes, dunstig, 6 ^h p. m. str.
StCl 4 WSW	Ni 10 W	St 10	8	ENE 1	S 1	NNW 1	—	böig (bis 7 ^h), 9 ^h p. m. < 28. trüb.
St 10	St 10	St 10	10	SSE 5	S 3	NNW 1	1/2 ^h str.	11 ^{1/2} a. m. a. m. 3 ^{1/2} p. m. fortwährend.
St 10	St 8	Ni 10	10	SW 2	Variable	NNW 1	1/2 ^h str.	Spülen des Windes, zeitweise a.
StCu 7	StCu 6	St 1 W	5	—	SSE 1	E 1	—	im 5 a. 29. a. m. trüb, p. m. windig
o	o	o	0	NE 1	S 1	NNE 1	—	u. heiter. 30., 31. a. m. a. Mittags-
o	o	o	0	NNW 1	NW 1	NNW 1	—	dunstig.
—	—	—	—	—	—	—	—	—

richtungen und Windstillen.

S	SSW	SW	WSW	W	NNW	NW	NNW	Calm
.	.	1	.	.	1	3	5	3
5	3	5	.	3
.	2	.	1	.	3	4	2	1
5	2	1	1	.	7	12	7	7

Zahl der Tage mit Niederschlag 4

- • • • Gewitter 1
- • • • Nebel 3
- • • • Sturm 3

Tabelle VII. Beobachtungsstation: S. M. Schiff „Pola“.

April

Datum	Schiffsort (Mittagsbest.)		Luftdruck (Barometerstand, reduirt auf 0°, Meeressniveau und 45° Breite)					Tempe- ratur, Angaben des Max. und Min. Thermo- meters		Temperatur des trockenen Thermometers nach Celsius					Dampfdruck in Millimetern					Relative Feuchtigkeit in Procenten				
	Länge	Breite	7h	2h	9h	Tages- mittel	Max	Min	7h	2h	9h	Tages- mittel	7h	2h	9h	Tages- mittel	7h	2h	9h	Tages- mittel				
1	27° 41'	34° 12'	59.3	58.5	58.6	58.7	28.2	17.1	20.7	20.5	25.0	24.3	12.3	11.6	7.2	10.4	68	45	31	48				
2	28 14	34 27	57.8	56.3	56.4	56.8	27.3	20.3	23.9	24.9	26.1	25.3	11.2	14.1	0.9	11.8	52	60	40	51				
3	28 35	34 41	56.7	56.0	57.1	56.6	26.9	21.0	25.5	27.9	25.0	25.8	10.9	14.8	15.0	15.3	60	54	64	62				
4	"	Dahab	57.2	57.0	57.7	57.8	28.3	21.1	22.9	27.8	28.3	24.4	10.7	15.0	17.4	14.1	88	54	84	75				
5	"	"	59.3	58.5	58.5	58.8	31.2	19.3	23.3	30.2	24.7	25.7	13.2	3.4	11.1	10.0	62	36	48	44				
6	"	"	53.1	50.8	53.7	52.4	31.3	20.3	22.0	28.3	24.6	25.1	13.3	3.5	12.5	13.7	66	54	54	58				
7	28 36	34 37	56.8	56.5	57.7	57.0	25.3	19.2	20.4	23.7	23.5	23.0	10.4	10.2	0.4	0.0	58	47	30	45				
8	"	Nawabi	59.7	57.6	56.7	58.0	28.2	17.2	24.4	25.6	21.7	23.1	7.0	7.0	13.2	9.4	48	20	35	47				
9	"	"	54.0	53.2	56.4	54.8	27.3	15.2	21.0	27.0	23.4	23.1	10.6	10.8	9.0	10.1	57	41	42	47				
10	"	"	59.6	60.0	61.0	60.5	28.3	18.2	28.9	26.5	26.3	26.0	8.7	7.5	6.2	7.5	53	47	35	45				
11	28 54	34 47	61.1	60.0	61.1	60.7	21.3	14.3	16.2	16.9	20.3	19.7	7.2	0.8	5.4	6.5	53	40	31	41				
12	29 4	34 45	61.9	61.2	60.8	61.3	22.2	14.3	16.0	20.7	20.9	19.6	7.0	8.1	8.7	7.0	53	45	47	58				
13	29 18	34 50	61.1	61.4	61.3	61.3	23.3	15.2	18.5	16.7	18.9	18.6	8.8	8.4	6.7	7.0	57	50	41	49				
14	"	Akaba	65.1	64.2	64.3	64.3	22.1	11.2	14.8	14.5	20.4	20.0	8.8	5.0	4.7	6.2	70	22	20	39				
15	"	"	62.3	61.0	61.0	61.1	21.3	13.5	16.7	16.0	20.7	22.6	7.1	0.5	0.1	5.0	71	16	21	28				
16	"	"	62.0	61.1	61.1	61.1	20.9	14.3	18.5	15.7	24.2	23.0	7.0	0.1	5.2	6.4	59	23	25	33				
17	29 23	31 56'	63.5	61.2	60.0	61.6	22.2	16.2	18.9	24.9	20.5	24.2	8.0	10.7	5.1	8.5	55	40	26	40				
18	"	Bir al-Maschja	60.0	58.5	58.0	59.2	31.3	10.3	30.5	26.4	27.0	25.3	0.7	9.4	9.5	9.5	53	37	36	42				
19	"	"	61.7	60.0	60.1	60.4	27.3	19.3	30.3	20.4	24.5	23.9	8.0	9.0	6.0	8.1	49	28	25	37				
20	"	"	60.1	59.5	60.0	59.9	24.3	18.3	30.0	21.8	22.8	21.9	10.0	9.1	5.0	10.7	62	50	48	56				
21	"	Dahab	62.3	61.0	60.6	61.3	20.2	14.3	16.0	22.0	24.2	22.5	8.0	5.4	5.7	6.0	53	26	25	34				
22	"	Sherm Mukawar	60.3	59.2	60.1	59.7	25.3	18.3	19.0	24.5	23.3	22.4	8.5	11.0	0.1	9.9	49	40	41	40				
23	"	Sennar	61.1	59.5	59.2	59.9	20.2	10.3	16.3	15.4	24.3	23.3	27.3	10.0	10.2	10.5	11.1	78	43	47	50			
24	"	Sherm Sherah	59.0	57.5	57.5	58.1	31.3	21.3	22.2	20.5	26.1	26.0	12.4	11.4	11.1	11.0	55	48	41	48				
25	"	"	59.3	58.0	58.1	58.7	29.2	21.2	25.1	18.7	27.3	27.0	14.4	12.9	12.4	13.2	41	40	45	50				
26	"	"	58.4	57.2	58.0	58.2	21.3	15.3	22.0	18.3	26.0	26.0	13.4	13.3	12.9	14.5	51	41	62	51				
27	"	"	59.7	58.4	58.0	58.7	22.2	20.2	28.5	31.0	31.0	28.0	12.2	11.6	11.7	12.0	43	50	51	50				
28	27 40	34 6	58.8	57.4	57.2	57.8	23.3	20.3	24.3	20.3	23.2	23.7	17.5	17.0	15.5	16.0	70	29	23	27				
29	29 48	32 38	56.8	57.0	57.8	57.4	20.2	20.3	20.3	22.8	22.0	21.7	11.5	12.0	12.4	11.0	64	58	64	62				
30	"	Suez	56.0	53.7	56.2	55.3	17.2	18.8	30.3	32.4	5.4	5.2	10.2	10.3	11.4	10.8	60	32	50	49				
M.	—	—	—	—	—	—	—	—	—	—	—	—	—	—	—	—	—	—	—	—				

Zahl der beobachteten Wind-

	N	NNE	NE	ENE	E	ESE	SE	SSE
7h a. m.	6	9	6	1
2h p. m.	4	5	6	.	.	.	1	3
9h p. m.	5	8	4
Summe	15	22	16	.	.	.	3	4

Maximum des Luftdruckes 65.1 mm am 14.

Minimum „ „ 50.3 „ 6.

Maximum der Temperatur 37.2° C. „ 27.

Minimum „ „ 11.2 „ 14.

1896.

Art und Grad der Bewölkung gezeichnet nach Zehnteilen der sichtbaren Himmelsfläche.				Windrichtung und Stärke nach der 10-theiligen Scale			Nieder- schlag binnen 24 Stunden gemessen um 7 ^h n. m.	Anmerkung
Zugrichtung der Wolken							Dauer und Form	
7h	2h	9h	Tages- mittel	7h	2h	9h		
o	CSSt 0 NE	St 1	2	WNW 4	NE 1	—	—	1. Dunst, d. Golfe v. Suex frisch NW.
o	CSSt 1	St 3	1	NNE 5	NE 4	NNE 1	—	2. Dunst, a. d. Fm. d. Golfe v. Akabuh
CSSt 10	CSSt 5	St 9	4	SW 1	SSW 1	SSW 1	—	binger W. d. 3 ^h p. m. flüchtig. 3. Dunst.
CSSt 2	CSSt 4 NW	St 9	5	NE 1	NNE 4	SSW 1	—	2 ^h 30 ^m p. m. setzt SWind 2 cm. 4.
CSSt 4	St 4	St 10	0	NNE 4	SSW 1	NE 4	—	5. Dunst, a. m. Δ. 8 ^h a. m.
St 6 SW	St 5	St 10	4	NNE 4	SSW 1	NE 4	1/4 str.	Frischen d. NE. p. m. trüb. 6. 6 ^h a. m.
o	o	o	0	NE 6	N 3	NNE 1	—	a. m. str. a. m. „, langsb. dunst, 3 ^h p. m.
o	CSSt 1	St 0	3	NW 1	—	—	—	p. m. Wiedereinsetzen d. frischen NE.
St 8 SW	St 10	St 7	8	N 1	SSE 6	N 1	1 str.	heiter. 7. Boig, heiter, abds. flüchtig
St 10 W	St 10	St 9	10	SSW 3	NNE 2	NE 1	1/2 str.	8. Heiter, abds. bedeckt. 9. Trüb, 10 ^h
St 10 WNW	St 8	St 9	9	NE 1	NE 1	N 1	—	a. m. setzt frischer S. w. d. 11 ^h a. m.
CSSt 9	St 9	St 8 W	0	N 2	NE 2	NE 1	—	Stärke 8 erreicht, 2-4 ^h wieder str.
CSSt 9 W	St 8	St 0	6	NNE 5	NE 3	NNE 1	—	ab. blau u. Umspann. a. N 10. Trüb, 6 ^h
o	o	o	0	NNE 1	N 2	NE 1	—	30 ^m p. m. str. 11. Trüb, 8 ^h a. m. 2 ^h p. m.
CSSt 7 W	CSSt 7 SW	St 5	0	N 1	NNE 2	N 1	—	boig 12., 13. Thäler, bed. n. m. Fr.
CSSt 5 SW	St 9 WNW	St 10	5	N 2	N 2	N 4	—	sehen, 2 ^h p. m. Flauen des W. d. 14.
CSSt 5 W	CSSt 7 W	St 9	7	NNE 1	NNE 3	NNE 1	—	Heit, a. m. Δ. Mittags dunst. 15. Heit.
St 8 W	CSSt 7 W	CSSt 4 W	0	—	SSW 1	NNE 4	—	a. m. Δ. Mittags donstig; 8-12 ^h a. m.
St 10 W	St 10 W	St 5 W	8	N 3	NNE 2	NNE 2	—	frisch NNE 5. 16. Heit, a. m. Δ. Mitt.
CSSt 3 W	CSSt 4 W	St 7 WSW	5	NNE 2	NE 5	NNE 3	1 str.	dunst. 17. Theilw. bew. ; abds. trüb.
CSSt 4	CSSt 4 W	St 7 WSW	7	NE 7	SE 6	WSW 2	—	11 ^h p. m. Frisch d. W. d. 18. Thäler.
o	CSSt 8 W	St 10	1	NNE 6	N 5	SSW 6	—	w. bew. abds. trüb; 7 ^h p. m.
o	o	CSSt 3 W	1	NE 4	NW 2	N 2	1	Fr. ch. d. W. d. 19. Theilw. bew. abds.
o	Cu 1	o	0	NNE 3	NW 1	W 1	—	heiter 20. Trüb, windig; 9 ^h 40 ^m a. m.
o	o	o	0	N 3	SSE 1	—	—	3 ^h 30 ^m p. m. str. 21. Theilw. bew. ; p. m.
o	o	o	0	SSE 1	SSW 1	—	—	dunst. a. boig 22. boig, trüb. 23. Heit.
o	CSSt 1	CSSt 9	3	NE 1	SSE 1	—	—	a. m. boig. r. 24. Heit, n. m. windig.
o	CSSt 10	St 3	3	NNE 2	NW 2	NW 3	—	25. a. m. heiterer ; am Südlende des
CSSt 5	CSSt 9 NW	St 5	5	NW 4	NW 1	NW 4	—	Golfe frischer NE. p. m. heit. u. ruh.
CSSt 5 W	CSSt 8 W	St 10	8	—	—	NW 4	1/2 str.	26. Dunst. 27. Sehr dunst. u. schwül.
—	—	—	—	—	—	—	—	u. L. n. d. unerträgl. heiss. 28. Dunst, n.
—	—	—	—	—	—	—	—	Passirung v. Rev. Muhammed NW. 29.
—	—	—	—	—	—	—	—	a. m. a. trüb u. windig; vor Suet Calm
—	—	—	—	—	—	—	—	a. heit. 30. n. m. heit. p. m. dunst. u. bew.
—	—	—	—	—	—	—	—	7 ^h 1/2 p. m. NW böe mit stropfen.

richtungen und Windstillen.

8	SSW	SW	WSW	W	WNW	NW	NNW	Calm
—	—	1	—	—	1	1	2	3
—	3	—	—	—	—	4	1	3
—	2	—	—	—	—	3	2	5
—	5	1	—	1	1	8	5	11

Zahl der Tage mit Niederschlag 5

» » » » Gewitter	0
» » » » Nebel	3
» » » » Sturm	4

Tabelle VIII. Beobachtungsstation: S. M. Schiff »Pola«.

Mai

Datum	Schiffsort (Mittagsbesteck)		Luftdruck (Barometerstand, reducirt auf 0°, Meeressniveau und 45° Breite)					Temperatur- Angaben des Max- und Min- Thermometers		Temperatur des trockenen Thermometers nach Celsius					Dampfdruck in Millimetern			Relative Feuchtigkeit in Procenten				
	Länge	Breite	7h	2h	0h	Tages- mittel	Max.	Min.	7h	2h	0h	Tages- mittel	7h	2h	0h	Tages- mittel	7h	2h	0h	Tages- mittel		
1		Suez	55° 5' 58"	20° 0' 55"	55° 5'	55° 4'	—	—	25° 1' 26"	9° 24'	25° 41'	9° 12'	21° 3'	10° 8'	38	46	48	44				
2		"	56° 6' 37"	20° 0' 6"	56° 1'	—	—	—	24° 5' 28"	1° 24'	25° 40'	11° 2' 13"	—	13° 8'	43	40	—	55				
3		"	52° 1' 00"	0° 0' 1'	52° 3'	35° 1'	—	—	10° 3' 27"	2° 10'	21° 57'	—	9° 0' 12'	2° 10'	—	34	70	52				
4		"	52° 1' 00"	0° 0' 1'	52° 3'	35° 1'	—	—	10° 3' 27"	2° 10'	21° 57'	—	9° 0' 12'	2° 10'	—	34	70	52				
5		"	52° 1' 00"	0° 0' 1'	52° 3'	35° 1'	—	—	10° 3' 27"	2° 10'	21° 57'	—	9° 0' 12'	2° 10'	—	34	70	52				
6		Suez Canal	52° 1' 00"	0° 0' 1'	52° 3'	35° 1'	—	—	10° 3' 27"	2° 10'	21° 57'	—	9° 0' 12'	2° 10'	—	34	70	52				
7		"	52° 1' 00"	0° 0' 1'	52° 3'	35° 1'	—	—	10° 3' 27"	2° 10'	21° 57'	—	9° 0' 12'	2° 10'	—	34	70	52				
8		Port Said	52° 1' 00"	0° 0' 1'	52° 3'	35° 1'	—	—	10° 3' 27"	2° 10'	21° 57'	—	9° 0' 12'	2° 10'	—	34	70	52				
9	31° 30'	32° 12'	57° 0' 57"	0° 50' 6"	57° 0'	11° 1'	20° 6'	22° 0' 23"	8° 30'	3° 21'	7° 15'	15° 0' 16'	6° 15'	15° 0'	77	76	85	79				
10	32 28	29 39	57° 4' 59"	1° 04' 0"	59° 2'	20° 2'	17° 0'	18° 7' 10"	2° 17'	0° 18'	4° 12'	14° 5' 13'	5° 13'	5° 12'	90	82	79	84				
11	33 15	27 11	51° 7' 02"	0° 02' 1"	51° 9'	21° 0'	17° 5'	19° 9' 20"	2° 18'	3° 19'	12° 8'	12° 3' 12'	8° 12'	8° 12'	74	70	82	75				
12	34 16	24 59	51° 2' 00"	0° 00' 0"	51° 1'	17° 3'	18° 1' 18"	2° 17'	4° 17'	7° 78"	11° 7'	12° 5' 12'	8° 12'	8° 12'	75	80	87	81				
13	35 55	22 25	57° 3' 54"	1° 55' 0"	55° 4'	18° 1'	13° 1'	16° 0' 14"	0° 13'	9° 14'	16° 7'	10° 4' 10'	0° 10'	10° 4'	72	88	55	82				
14	37 57	20 29	54° 0' 17"	1° 50' 5"	57° 2'	21° 0'	12° 1'	17° 0' 17"	0° 17'	0° 17'	8° 5' 12'	8° 9' 10'	9° 10'	9° 10'	58	84	97	69				
15	39 33	19 22	51° 7' 43"	2° 03' 0"	52° 6'	20° 0'	16° 0'	17° 0' 18"	1° 16'	3° 16'	9° 21'	11° 5' 12'	7° 11'	11° 5'	80	82	80	81				
16	—	—	—	—	—	—	—	—	—	—	—	—	—	—	—	—	—	—	—			
17	—	—	—	—	—	—	—	—	—	—	—	—	—	—	—	—	—	—	—			
18	—	—	—	—	—	—	—	—	—	—	—	—	—	—	—	—	—	—	—			
19	—	—	—	—	—	—	—	—	—	—	—	—	—	—	—	—	—	—	—			
20	—	—	—	—	—	—	—	—	—	—	—	—	—	—	—	—	—	—	—			
21	—	—	—	—	—	—	—	—	—	—	—	—	—	—	—	—	—	—	—			
22	—	—	—	—	—	—	—	—	—	—	—	—	—	—	—	—	—	—	—			
23	—	—	—	—	—	—	—	—	—	—	—	—	—	—	—	—	—	—	—			
24	—	—	—	—	—	—	—	—	—	—	—	—	—	—	—	—	—	—	—			
25	—	—	—	—	—	—	—	—	—	—	—	—	—	—	—	—	—	—	—			
26	—	—	—	—	—	—	—	—	—	—	—	—	—	—	—	—	—	—	—			
27	—	—	—	—	—	—	—	—	—	—	—	—	—	—	—	—	—	—	—			
28	—	—	—	—	—	—	—	—	—	—	—	—	—	—	—	—	—	—	—			
29	—	—	—	—	—	—	—	—	—	—	—	—	—	—	—	—	—	—	—			
30	—	—	—	—	—	—	—	—	—	—	—	—	—	—	—	—	—	—	—			
31	—	—	—	—	—	—	—	—	—	—	—	—	—	—	—	—	—	—	—			
M.	—	—	—	—	—	—	—	—	—	—	—	—	—	—	—	—	—	—	—			

Zahl der beobachteten Wind-

	N	NNE	NE	ESE	E	ESE	SE	SSE
7h a. m.	1	1	—	—	1	1	1	—
7h p. m.	4	1	1	1	—	—	—	—
2h p. m.	4	1	1	—	2	—	—	—
Summe	9	3	3	1	3	1	1	—

Maximum des Luftdruckes 63.3 mm am 3. u. 15.

Minimum » » 53.8 » 1.

Maximum der Temperatur 36.0° C. » 4.

Minimum » » 12.1 » 14.

1896.

[illegible]

richtungen und Windstillen.

S	SSW	SW	WSW	W	WNW	NW	NNW	Calm
•	•	•	•	•	1	2	4	3
•	1	•	•	•	1	3	2	1
•	•	•	1	•	•	2	2	1
•	1	•	1	•	2	7	8	5

Zahl der Tage mit Niederschlag 5

•	•	•	•	Gewitter	1
•	•	•	•	Nebel	1
•	•	•	•	Sturm	3

Tabelle IX.

Meteorologische

November

Beobachtungsstation: The Brothers.

Gattung und Nummer des Barometers:

Beobachter: Leuchthaus-Vorstand: J. Johnson.

Seeshöhe des Barometers:

Datum.	Luftdruck (Barometerstand, reducirt auf 0°, Meeresniveau und 45° Breite)				Temperatur Angaben des Max und Min- Thermo- meters		Temperatur des trockenen Thermometers nach Celsius				Dampfdruck in Millimetern				Relative Feuchtigkeit in Procenten			
	7 ^h	2 ^h	9 ^h	Tages- mittel	Max.	Min.	7 ^h	2 ^h	9 ^h	Tages- mittel	7 ^h	2 ^h	9 ^h	Tages- mittel	7 ^h	2 ^h	9 ^h	Tages- mittel
1	59.1	58.5	58.8	58.8	24.9	25.1	25.8	27.1	26.3	26.3	19.0	17.8	19.0	—	77	97	77	—
2	59.7	58.5	59.7	59.1	28.5	24.7	26.8	26.0	25.2	25.5	12.0	14.4	12.9	—	40	56	75	—
3	59.0	58.4	59.4	59.1	27.8	24.0	26.0	26.1	24.4	24.0	18.3	18.0	16.4	—	78	72	72	—
4	59.0	60.0	61.4	60.1	27.8	22.7	25.2	25.0	25.2	25.1	18.0	16.4	15.7	—	70	60	66	—
5	63.0	63.0	63.7	63.7	28.0	24.4	25.7	25.0	25.4	25.2	11.8	11.0	10.9	—	40	45	70	—
6	64.0	64.0	64.2	64.0	28.0	24.8	25.2	25.5	24.8	25.0	12.0	10.0	10.2	—	51	44	70	—
7	64.4	63.0	62.9	63.4	28.0	24.3	25.4	25.4	25.0	25.2	12.2	13.4	13.0	—	51	46	58	—
8	62.1	61.2	61.2	61.2	25.8	22.8	24.2	24.0	24.0	24.0	14.0	14.4	14.8	—	05	03	04	—
9	60.9	60.1	60.1	60.1	25.8	21.2	24.0	24.2	23.0	23.0	17.1	16.2	16.8	—	77	72	78	—
10	61.5	60.7	61.2	61.1	25.5	22.1	22.2	23.0	23.0	23.0	17.1	17.2	16.2	—	87	80	73	—
11	61.4	60.9	61.2	61.2	26.0	22.7	23.7	24.0	24.1	24.0	19.2	17.9	16.0	—	87	77	88	—
12	61.9	61.4	62.1	61.8	26.0	23.0	24.0	24.5	23.8	24.0	19.3	19.4	17.7	—	87	85	81	—
13	62.3	61.3	61.0	61.5	27.3	21.8	23.0	25.4	23.2	23.7	19.0	18.3	19.0	—	94	76	90	—
14	60.4	59.0	58.3	59.3	25.5	22.0	23.8	24.8	24.1	24.0	18.0	19.3	17.3	—	85	83	78	—
15	57.4	55.9	57.4	56.9	24.2	19.4	21.8	22.0	20.7	21.3	10.2	12.0	15.9	—	84	87	80	—
16	58.1	58.2	59.5	58.6	25.8	19.2	21.4	22.7	23.2	22.0	13.1	12.1	12.3	—	69	59	63	—
17	59.2	58.0	59.1	58.7	26.7	21.9	22.7	23.0	21.0	22.5	14.5	12.2	12.2	—	71	56	62	—
18	58.3	58.3	59.0	58.5	23.8	18.1	19.9	22.8	21.2	21.7	15.1	14.1	13.2	—	88	68	70	—
19	59.2	59.0	59.8	59.3	24.5	19.8	22.0	22.4	21.0	21.9	13.9	13.1	10.7	—	71	65	56	—
20	60.0	59.5	60.2	59.9	24.1	20.0	21.6	22.1	21.7	21.7	10.2	11.3	10.5	—	53	58	64	—
21	60.0	59.6	59.7	59.7	23.8	21.0	22.1	22.2	21.0	21.9	11.3	12.4	11.0	—	58	62	57	—
22	59.0	58.3	58.6	58.9	24.0	20.8	21.9	22.7	22.2	22.2	12.0	11.5	11.5	—	61	56	58	—
23	59.0	58.7	60.1	59.2	23.7	20.8	21.2	23.0	21.4	21.7	11.7	12.0	10.5	—	63	58	55	—
24	61.9	61.5	62.2	61.8	24.7	20.8	22.2	23.2	22.4	22.5	12.5	12.0	12.4	—	63	57	62	—
25	62.1	61.7	62.0	61.9	26.4	21.7	23.1	24.4	22.9	23.3	15.9	14.9	14.7	—	75	60	71	—
26	61.5	61.2	61.0	61.2	25.7	22.5	23.0	23.4	22.0	23.0	12.2	12.5	11.6	—	50	58	57	—
27	59.8	58.6	58.8	59.0	24.4	21.2	22.0	23.0	21.0	22.0	12.8	12.5	12.7	—	65	60	60	—
28	58.9	58.0	59.9	58.9	27.1	20.3	22.2	22.6	22.4	22.4	10.1	13.2	12.0	—	51	65	63	—
29	60.4	59.9	61.4	60.5	24.5	20.3	20.8	22.0	20.4	20.9	10.0	11.7	10.8	—	60	59	61	—
30	61.2	60.6	61.0	60.9	23.8	18.6	21.2	23.2	22.1	22.1	11.0	12.1	14.1	—	54	57	72	—
M.	60.5	60.0	60.5	60.3	26.1	21.7	23.1	23.8	23.1	23.4	14.3	14.3	14.5	14.4	68	64	69	67

Zahl der beobachteten Wind-

	N	NNE	NE	ENE	E	ESE	SE	SSE
7 ^h a. m.	4	3	1	—	1	1	—	—
2 ^h p. m.	5	—	—	2	1	—	1	—
9 ^h p. m.	6	—	—	—	—	—	2	—
Summe.	15	3	1	3	2	1	3	—

Maximum des Luftdruckes 65.0 mm am 6.

Minimum „ „ 55.9 „ 15.

Maximum der Temperatur 28.9° C. „ 1.

Minimum „ „ 18.1 „ 18.

Maximum der Windstärke NNW 47 km pr. Std. „ 8

Beobachtungen.

1895.

Stationsbarometer Kappeller Nr. 10.
10.2 Meter.

Höhe des Thermometers über dem Erdboden 1.5 Meter.
- - - - - Regenmessers - - - - - 2.4 -

Bewölkung, geschätzt nach Zehnteilen der sichtbaren Himmelsfläche				Windrichtung und Stärke nach der 10-theiligen Scale			Nieder- schlag binnen 24 Stunden gemessen um 7 u. m.	Anmerkun-
7 ^h	2 ^h	9 ^h	Tages- mittel	7 ^h	2 ^h	9 ^h	Höhe u. mm und Form	
0	0	0	0	N 2	NNW 2	N 4	0	
0	0	0	0	E 5	ENE 2	NNW 3	0	
1	1	0	1	NNW 4	N 4	N 2	0	
0	1	0	0	NNW 5	NNW 3	NNW 4	0	
0	0	0	0	ENE 4	ENE 3	NNW 5	0	
0	0	0	0	ENE 5	NNW 4	NNW 4	0	
0	0	1	0	NNE 4	NNW 3	NNW 4	0	
2	2	1	2	NNW 5	NNW 4	NNW 5	0	
2	2	1	2	NNW 5	NNW 5	NNW 3	0	
0	0	1	0	NNW 5	N 4	NNW 2	0	
1	1	0	1	NNW 5	NNW 4	NNW 3	0	
4	1	0	2	NNW 3	NNW 3	Calm	0	
4	1	0	2	N 3	N 2	N 1	0	
1	0	3	5	NNW 2	NW 2	W 1	14.10	
0	5	10	7	NE 4	E 4	NNW 4	31.10	
2	1	7	3	W 5	W 2	SE 4	0	
1	2	8	4	W 4	W 1	Calm	0.10	
7	4	3	5	NNE 3	NNW 3	N 1	0	
4	1	1	2	N 2	N 3	W 2	1.70	
1	1	1	1	NW 3	NW 3	NW 3	0	
3	1	1	2	NNW 4	NNW 5	NNW 3	0	
1	0	1	1	NNW 5	NNW 4	NNW 2	0	
1	0	1	1	NNW 2	NNW 1	NW 1	0	
1	1	0	1	N 3	NNW 3	N 4	0	
0	0	1	0	NNW 3	NNW 1	NNW 5	0	
1	0	0	0	NNE 4	N 4	NW 3	0	
0	0	0	0	NNW 4	NNW 3	W 1	0	
1	0	1	1	W 3	NNW 3	N 1	0	
1	4	0	2	NNW 2	NNW 2	NNW 1	0	
0	0	0	0	Calm	SE 1	SE 2	0	
1.5	1.2	1.6	1.4	3.6	3.0	2.6	—	

richtungen und Windstillen.

S	SSW	SW	WSW	W	WNW	NW	NNW	Calm
.	.	.	.	3	.	1	14	1
.	.	.	.	2	.	2	17	.
.	.	.	1	3	.	3	18	2
.	.	.	1	8	.	6	44	3

Zahl der Tage mit Niederschlag 4

• • • • Gewitter 0
• • • • Nebel 0
• • • • Sturm 0

Tabelle X. Beobachtungsstation: The Brothers.

December

Datum	Luftdruck (Barometerstand, reducirt auf 0°, Meeressniveau und 45° Breite)				Temperatur Angehen des Max- und Min. Thermo- meters		Temperatur des barometrischen Thermometers nach Celsius				Dampfdruck in Millimetern				Relative Feuchtigkeit in Procenten			
	7h	2h	9h	Tages- mittel	Max	Min.	7h	2h	9h	Tages- mittel	7h	2h	9h	Tages- mittel	7h	2h	9h	Tages- mittel
1	60.5	59.9	60.5	60.0	46	26.4	22.2	24.0	23.6	23.60	15.3	12.0	15.3	—	77	52	71	—
2	61.8	62.5	62.1	62.4	26	22.2	22.0	23.5	23.3	23.18	17.8	13.6	13.7	—	80	63	65	—
3	63.3	62.4	62.3	62.7	25.0	22.0	22.0	23.3	22.0	22.55	15.6	13.1	11.1	—	60	62	56	—
4	60.8	59.5	59.1	59.8	25.4	21.4	23.0	23.7	22.8	23.07	13.4	13.4	13.2	—	64	62	64	—
5	58.4	57.9	58.0	58.3	25.5	21.4	22.4	24.2	23.0	23.15	14.3	14.0	16.5	—	71	65	79	—
6	58.3	58.9	60.5	59.2	27.0	22.2	23.4	23.0	22.3	22.85	19.0	17.8	10.0	—	89	82	84	—
7	61.7	61.0	62.1	61.6	24.5	21.3	22.4	22.0	22.8	22.65	10.5	13.3	13.8	—	82	65	67	—
8	61.0	60.1	60.9	60.7	24.2	20.7	22.6	23.0	23.0	22.95	16.2	15.2	13.7	—	75	73	60	—
9	59.9	59.3	58.0	59.0	24.2	20.4	21.0	23.3	21.9	21.80	15.0	12.4	13.2	—	75	50	70	—
10	58.2	58.1	59.7	58.7	24.3	20.2	21.2	23.4	21.4	21.75	11.7	11.6	10.4	—	63	55	55	—
11	61.8	62.6	64.5	62.9	10.5	15.0	15.5	17.0	18.0	17.12	7.2	5.0	7.1	—	50	41	40	—
12	64.0	63.3	64.7	64.0	20.9	16.3	18.4	18.5	19.3	18.75	9.2	9.7	9.1	—	59	61	55	—
13	64.1	63.1	64.0	63.7	22.0	17.4	20.2	20.3	20.0	20.12	10.2	10.2	10.7	—	57	58	62	—
14	63.8	62.0	62.7	62.8	24.4	18.7	21.8	22.0	21.6	21.75	9.5	11.1	10.4	—	49	50	54	—
15	60.8	59.7	60.4	60.3	24.0	20.7	21.0	22.8	21.3	21.83	10.0	13.5	13.4	—	54	66	71	—
16	60.4	60.2	60.7	60.4	24.0	20.7	22.4	22.9	22.3	22.57	13.7	15.1	15.5	—	68	73	77	—
17	61.2	61.4	62.1	61.6	23.5	21.4	21.8	22.2	22.0	22.00	15.6	14.0	14.4	—	81	70	73	—
18	63.8	63.4	64.0	63.7	24.5	20.0	22.2	22.0	22.5	22.45	15.0	13.6	10.1	—	75	67	76	—
19	64.1	63.0	63.8	63.5	25.5	22.0	23.3	23.0	22.0	22.58	14.8	13.4	15.4	—	70	64	78	—
20	63.0	61.5	62.2	62.3	24.4	21.5	22.0	23.2	22.2	22.55	15.3	15.8	17.1	—	74	75	80	—
21	61.0	60.5	60.3	60.5	25.4	20.7	21.3	23.0	22.0	22.17	16.4	16.2	18.0	—	88	77	83	—
22	59.4	57.3	57.0	57.9	25.7	20.7	22.8	23.0	22.4	22.86	18.9	18.3	17.4	—	92	85	87	—
23	59.1	58.8	60.6	59.5	21.4	18.4	18.4	19.4	20.0	19.45	9.2	8.4	7.4	—	59	50	43	—
24	62.2	60.6	61.7	61.1	22.1	17.7	19.8	21.0	19.3	19.15	10.8	10.1	9.9	—	62	55	57	—
25	62.3	61.9	63.1	62.4	22.8	19.2	20.2	20.0	20.8	20.45	11.7	12.6	12.5	—	60	73	68	—
26	63.5	63.0	63.9	63.4	23.8	19.7	21.4	22.0	20.8	21.25	11.8	9.4	13.1	—	62	48	71	—
27	63.1	62.1	62.5	62.6	24.5	21.1	22.0	22.0	21.0	21.50	13.8	14.4	13.0	—	66	73	68	—
28	61.6	60.4	60.1	60.7	23.0	21.0	21.0	21.1	20.7	20.85	12.5	14.2	11.7	—	66	70	64	—
29	59.2	57.4	57.3	57.7	24.0	20.8	20.5	21.4	21.0	20.67	13.0	12.9	14.1	—	78	68	76	—
30	60.9	59.8	58.4	59.7	24.2	20.0	21.0	21.8	21.5	21.45	14.7	11.2	9.5	—	80	58	50	—
31	60.0	59.1	61.5	60.3	22.1	18.1	18.4	19.8	18.5	18.86	7.2	7.7	7.7	—	40	45	49	—
M.	61.24	60.82	61.34	61.07	24.1	20.1	21.38	22.09	21.49	21.60	13.3	12.7	12.9	13.0	70	64	67	67

Zahl der beobachteten Wind-

	N	NNE	NE	ENE	E	ESE	SE	SSE
7h a. m.	2	—	1	—	—	—	1	—
2h p. m.	5	—	1	—	1	—	—	—
9h p. m.	4	—	—	—	—	—	—	2
Summe.	11	—	2	—	1	—	1	2

Maximum des Luftdruckes 64.7 mm am 12.

Minimum „ „ 56.8 „ 30

Maximum der Temperatur 27.0° C. „ 6.

Minimum „ „ 15.0 „ 11.

Maximum der Windstärke W 63 km pr. Std. „ 10.

1896.

Bewölkung, geschätzt nach Zehnteilen der sichtbaren Himmelsfläche				Windrichtung und Stärke nach der 10-theiligen Scala			Nieder- schlag in 24 Stunden gemessen um 7 h a. m.	Anmerkung
7h	2h	9h	Tages- mittel	7h	2h	9h	Höhe und Form	
2	0	7	5	S 3	S 1	S 2	0	Ungewöhnlich kalt.
4	2	1	0	Calm	NNW 4	NNW 2	0	
0	0	1	0	NNW 4	NNW 4	NNW 2	0	
0	0	1	0	NNW 4	NNW 4	NNW 3	0	
0	1	0	0	NNW 1	W 1	SE 3	0	
2	3	1	2	SE 1	NNW 4	NNW 1	0	
1	0	0	0	NNW 5	NNW 4	NNW 5	0	
1	1	0	1	NNW 4	NNW 4	NNW 3	0	
1	2	0	1	NNW 2	NNW 1	W 2	0	
1	0	0	0	NNW 1	NW 1	W 7	0	
5	1	1	2	NW 3	NW 2	NNW 4	0	
8	4	2	5	NNW 4	NNW 4	N 4	0	
2	2	0	1	N 4	N 3	N 3	0	
0	0	0	0	SE 3	NE 3	NNW 1	0	
3	3	1	2	NNW 1	N 2	NW 1	0	
7	0	2	3	NNW 2	NNW 2	NW 2	0	
2	2	1	2	NNW 5	NNW 5	NNW 5	0	
0	0	0	0	NNW 6	NNW 4	NNW 5	0	
1	0	0	0	N 5	N 4	NNW 3	0	
1	2	3	2	NNW 3	N 3	N 1	0	
3	4	2	3	Calm	E 1	SE 2	0	
5	1	0	2	S 1	Calm	S 2	0	
0	1	0	0	NNW 5	NNW 5	NNW 4	0	
4	4	1	3	NNW 3	NNW 3	NNW 3	0	
2	0	0	1	NNW 5	NNW 5	NNW 5	0	
0	0	0	0	NNW 5	N 2	N 4	0	
0	2	2	1	NNW 4	NNW 4	NNW 1	0	
2	4	0	2	NNW 4	NNW 4	NNW 2	0	
4	0	2	2	NNW 3	NNW 2	W 1	0	
2	2	1	2	W 1	NNW 3	NW 2	0	
0	0	2	1	NW 3	W 2	NW 0	0	
2'0	1'5	1'0	1'5	3'1	2'9	2'0	0	

richtungen und Windstillen.

S	SSW	SW	WSW	W	WNW	NW	NNW	Calm
2	-	-	-	1	-	2	20	2
1	-	-	-	2	-	2	18	1
2	-	-	-	3	-	4	16	-
5	-	-	-	6	-	8	54	3

Zahl der Tage mit Niederschlag 0

• • • • Gewitter 0

• • • • Nebel 0

• • • • Sturm 2

Tabelle XI. Beobachtungsstation: The Brothers.

Jänner

Datum	Luftdruck (Barometerstand reducirt auf 0°, Meeresebene und 45° Breite)				Temperatur- Angaben des Max- und Min- Thermo- meters		Temperatur des trocknen Thermometers nach Celsius				Dampfdruck in Millimetern				Relative Feuchtigkeit in Procenten			
	7h	2h	9h	Tages- mittel	Max.	Min.	7h	2h	9h	Tages- mittel	7h	2h	9h	Tages- mittel	7h	2h	9h	Tages- mittel
1	00.4	03.9	03.8	02.7	20.2	10.1	10.7	18.4	17.0	17.2	5.4	9.0	8.7	—	59	01	57	—
2	01.0	00.3	00.8	00.7	21.2	10.8	17.8	20.3	18.5	18.0	8.2	11.2	9.3	—	57	03	54	—
3	00.3	00.0	00.1	00.1	23.7	10.0	18.4	20.4	19.0	18.0	9.1	11.3	9.0	—	59	03	57	—
4	59.7	58.5	58.7	58.8	23.5	18.8	18.8	21.9	19.5	19.0	7.0	8.8	8.4	—	44	50	50	—
5	00.3	00.1	01.4	00.6	20.4	15.7	15.9	19.0	18.5	18.1	7.0	8.6	8.2	—	57	53	57	—
6	00.0	00.1	59.4	00.1	21.0	10.1	15.0	20.4	19.0	19.4	10.1	9.0	10.0	—	60	54	63	—
7	58.5	58.0	59.3	58.6	21.2	17.4	10.0	10.7	19.0	19.1	8.4	7.5	9.0	—	51	44	40	—
8	10.1	58.0	59.7	59.2	21.5	18.2	10.4	20.3	17.4	18.0	7.0	9.3	8.3	—	43	30	50	—
9	01.0	01.5	02.7	01.7	18.7	14.0	15.3	18.0	19.5	19.7	7.0	9.4	9.2	—	54	48	44	—
10	05.1	05.1	06.0	05.4	19.5	14.8	15.4	17.3	18.0	17.1	9.2	7.1	8.8	—	45	49	57	—
11	05.0	05.0	05.1	05.1	21.2	10.7	10.1	10.0	19.2	19.2	8.8	8.1	8.5	—	54	48	51	—
12	03.0	02.4	02.7	02.6	21.5	15.4	10.3	10.0	19.8	19.0	10.0	10.1	8.8	—	63	59	51	—
13	01.7	00.3	01.5	01.1	22.0	18.5	10.3	20.8	18.5	19.5	9.0	11.5	9.0	—	60	03	01	—
14	01.4	59.4	59.3	00.0	23.0	17.8	20.2	23.2	22.0	22.1	9.8	10.5	11.0	—	50	50	58	—
15	00.4	59.4	58.0	00.0	24.5	19.0	23.5	23.1	21.0	22.1	7.7	11.2	13.2	—	38	53	69	—
16	01.4	59.4	58.0	00.0	24.0	20.0	21.5	23.4	22.5	22.0	13.0	10.6	15.3	—	65	77	74	—
17	55.5	53.7	55.0	54.7	25.5	21.0	23.2	24.7	23.8	23.8	10.3	10.7	20.4	—	61	85	03	—
18	55.7	50.0	00.8	57.7	10.7	17.5	17.8	19.3	17.4	17.0	7.5	7.6	9.7	—	50	40	05	—
19	02.0	01.3	01.7	01.4	20.5	15.5	10.3	18.8	18.4	17.9	7.0	8.7	8.7	—	57	54	55	—
20	00.5	00.2	01.3	00.6	21.0	15.0	18.3	19.5	19.2	19.1	8.0	9.0	7.0	—	54	58	40	—
21	01.2	00.5	00.5	00.6	20.0	17.0	18.0	18.4	18.0	17.0	8.4	8.4	9.5	—	55	53	42	—
22	59.7	59.2	59.0	59.0	18.7	15.1	15.7	17.6	17.0	16.0	7.7	5.1	8.1	—	38	54	50	—
23	01.7	02.3	02.3	02.0	15.7	14.2	15.0	17.3	16.0	16.0	6.2	6.0	7.0	—	49	45	50	—
24	05.0	05.3	06.0	05.4	18.0	14.4	10.3	17.0	17.0	16.0	9.5	9.0	7.5	—	47	40	52	—
25	00.8	05.1	04.0	05.1	10.0	15.8	17.4	18.3	17.6	17.0	9.2	8.8	8.8	—	65	57	59	—
26	04.0	01.0	01.5	02.3	21.4	10.7	15.2	18.9	18.5	18.0	9.5	10.0	9.2	—	61	62	58	—
27	00.4	59.3	00.0	00.0	24.5	17.0	10.8	20.3	18.5	19.4	10.0	9.7	10.5	—	58	55	05	—
28	59.3	59.1	00.0	59.5	24.7	18.3	20.0	23.0	20.0	21.0	11.4	12.5	13.0	—	65	60	75	—
29	00.1	00.4	00.5	00.0	22.7	19.1	19.5	20.0	19.0	19.0	10.7	9.0	9.0	—	62	57	57	—
30	02.2	02.3	03.1	02.5	20.7	19.8	17.5	18.5	18.4	18.4	9.7	10.0	10.1	—	65	62	64	—
31	03.2	03.0	03.7	03.3	19.0	15.3	15.0	15.0	19.0	18.0	9.0	8.2	8.5	—	73	62	64	—
M.	01.27	00.74	01.30	01.14	21.4	16.8	18.23	10.29	18.05	18.90	9.4	9.7	9.7	9.0	57	55	58	57

Zahl der beobachteten Wind-

	N	NNE	NE	ENE	E	ESE	SE	SSE
1. A =	2	—	—	—	1	—	—	—
2. B =	3	—	—	—	1	—	—	—
3. C =	2	—	—	—	2	—	1	—
Summe.	5				4		1	

Maxim. des Luftdruckes 60.3 mm am 25.

Minimum „ „ 53.0 „ „ 17.

Maxim. der Temperatur 25.3° C „ 17.

Minimum „ „ 14.2 „ „ 23.

Maxim. der Windstärke W 3 km pro Std. „ 18.

1896

Bewölkung, geschätzt nach Zehnthellen der sichtbaren Himmelsfläche				Windrichtung und Stärke nach der 10-theiligen Scala			Nieder- schlag binnen 24 Stunden gemessen um 7 ^h a. m.	Anmerkung
7 ^h	2 ^h	9 ^h	Tages- mittel	7 ^h	2 ^h	9 ^h	Höhe und Form	
3	2	1	2	NNW 4	NNW 3	N 2	0	a. m. starker A., klares Wetter.
2	2	0	1	W 1	NNW 3	NNW 1	0	" " A., " " p. m. vorüber-
2	0	0	1	W 2	W 2	W 1	0	" " A., " " gehend
2	1	1	1	WNW 2	NW 2	W 5	0	" " A., " " drohend.
0	0	2	1	W 5	NW 4	NW 4	0	" " A., " "
2	1	3	2	W 1	W 1	SE 3	0	" " A., " "
0	1	0	0	WSW 3	W 2	SSW 3	0	
0	0	0	0	W 4	NW 3	W 5	0	
1	0	0	0	NW 5	NW 4	W 4	0	Dunstg.
0	0	0	0	NW 3	NW 4	NNW 3	0	"
0	0	0	0	NNW 4	NNW 3	NNW 4	0	a. m. klar, p. m. dunstg.
0	0	0	0	N 6	N 4	N 4	0	a. m. dunstg, p. m. klar.
1	0	0	0	NNW 4	NNW 2	W 1	0	
2	1	1	1	SW 2	S 4	S 4	0	
5	5	7	4	W 4	NNW 1	E 1	0	
10	7	10	9	E 2	S 3	S 3	0	a. m. a.
7	5	3	5	S 4	S 2	S 3	0	Trüb, p. m. c.
1	1	2	1	W 6	W 5	W 4	0	
8	0	4	6	W 4	N 2	E 1	0	8 ^h 30 ^m sehr hohe Fluth.
2	2	1	2	NW 2	NW 4	NW 2	0	
1	2	2	2	NNW 4	NNW 4	NW 3	0	
5	2	2	3	NNW 5	NNW 4	W 0	0	
3	2	3	3	NW 4	NW 3	NW 3	0	a. m. drohend, schwarze Wolken und <
3	3	0	2	NNW 4	NNW 3	NNW 4	0	in NE.
3	0	5	3	NNW 3	N 4	N 2	0	
0	1	2	1	N 2	E 1	W 1	0	
3	1	3	2	Calm	W 1	W 2	0	
0	3	5	3	NNW 5	NNW 3	NNW 4	0	a. m. sehr klare Luft.
5	3	3	4	NW 5	NW 5	NNW 5	0	7 ^h a. m. einige Tropfen.
2	1	3	2	NNW 5	NNW 6	NNW 6	0	
2.4	1.7	2.0	2.0	3.5	3.1	3.1	0	

richtungen und Windstillen.

S	SSW	SW	WSW	W	WNW	NW	NNW	Calm
1	-	1	2	8	-	0	9	1
3	-	-	-	5	-	8	11	-
3	1	-	-	9	-	4	8	-
7	1	1	2	22	-	18	28	1

Zahl der Tage mit Niederschlag 1

" " " " Gewitter 0
 " " " " Nebel 2
 " " " " Sturm 3

Tabelle XII. Beobachtungsstation: The Brothers.

Februar

Datum	Luftdruck (Barometerstand reducirt auf 0°, Meereshöhe und 45° Breite)				Temperatur Angaben des Max und Min. Thermo- meters		Temperatur des trockenen Thermometers nach Celsius				Dampfdruck in Millimetern				Relative Feuchtigkeit in Procenten			
	7h	2h	9h	Tages- mittel	Max.	Min.	7h	2h	9h	Tages- mittel	7h	2h	9h	Tages- mittel	7h	2h	9h	Tages- mittel
1	64.5	65.4	65.5	65.2	10.1	14.7	10.0	17.0	17.0	17.20	9.0	8.2	8.8	—	71	55	45	—
2	65.3	64.7	64.4	64.8	20.6	15.0	16.2	17.6	16.8	16.85	9.6	8.5	8.9	—	48	43	48	—
3	64.7	64.2	64.9	64.6	20.5	15.8	16.8	18.1	18.4	17.95	7.4	8.9	8.7	—	52	57	55	—
4	65.0	64.8	65.7	65.3	19.7	10.2	16.7	17.0	17.8	17.32	8.3	8.9	7.5	—	50	62	50	—
5	64.6	64.0	64.2	64.2	21.3	10.3	19.1	19.2	19.1	19.12	8.5	9.2	9.3	—	52	55	57	—
6	63.0	61.7	63.0	62.5	23.7	7.6	20.2	21.1	21.0	20.82	10.1	11.9	9.7	—	57	65	52	—
7	64.0	63.1	64.2	63.7	22.7	10.5	17.8	18.8	19.3	18.75	10.8	10.1	9.3	—	71	63	50	—
8	64.1	63.1	63.2	63.4	20.5	10.4	16.2	18.8	17.4	18.20	9.3	9.2	9.4	—	50	57	60	—
9	61.8	61.0	62.1	61.6	21.3	16.5	18.5	19.1	19.2	19.15	10.3	11.0	9.8	—	64	66	59	—
10	61.3	60.0	59.4	60.2	20.7	18.6	20.0	20.2	20.0	20.05	10.7	10.9	11.0	—	62	62	63	—
11	58.9	59.8	61.0	59.9	20.6	17.1	18.7	19.4	18.4	18.73	9.3	7.7	8.2	—	54	49	52	—
12	62.8	63.3	64.5	63.5	20.0	10.3	17.2	19.1	19.0	18.60	8.6	8.3	8.9	—	60	50	58	—
13	65.7	65.2	65.9	65.6	19.8	16.6	18.0	18.6	18.6	18.45	9.9	9.3	7.9	—	65	58	49	—
14	65.1	64.8	64.9	64.9	21.0	17.5	18.1	19.0	19.7	19.38	10.3	10.4	10.0	—	63	64	59	—
15	64.5	63.8	64.3	64.3	21.2	18.2	18.8	18.8	19.2	19.00	8.5	9.0	9.0	—	53	60	60	—
16	64.1	62.3	62.0	62.3	21.0	18.4	18.6	19.1	18.8	18.82	9.0	10.0	9.8	—	60	61	42	—
17	61.0	62.4	61.0	62.4	22.3	17.2	18.6	21.2	18.8	19.35	8.1	6.8	7.0	—	51	30	47	—
18	60.0	60.8	61.8	60.6	23.8	15.7	19.8	20.4	17.0	18.55	9.8	7.0	5.2	—	54	39	30	—
19	64.4	65.0	65.5	64.9	17.8	14.0	14.2	16.4	16.0	15.65	7.0	6.2	6.8	—	58	45	50	—
20	65.3	64.6	65.0	64.9	19.3	15.7	16.3	17.4	17.7	17.28	6.4	—	7.1	—	47	41	47	—
21	62.0	64.9	64.0	65.3	20.0	15.7	16.7	19.2	17.2	17.58	8.6	6.8	7.4	—	61	41	50	—
22	65.3	64.2	64.7	64.8	22.2	10.5	18.8	20.2	18.5	19.15	8.4	9.8	10.1	—	52	59	63	—
23	64.1	63.1	62.8	63.3	23.0	17.3	20.2	22.7	21.0	21.25	12.5	13.6	14.1	—	71	67	70	—
24	63.4	62.5	63.1	63.0	21.8	19.5	20.2	22.9	21.6	21.82	14.0	17.9	16.9	—	75	80	88	—
25	62.7	62.2	62.0	62.3	23.9	20.2	21.0	22.3	21.7	21.83	17.2	15.2	16.5	—	90	76	80	—
26	61.3	60.0	60.3	60.7	24.1	21.5	22.6	24.2	22.0	22.56	17.0	15.6	16.1	—	87	70	82	—
27	60.0	59.3	59.8	59.7	24.0	20.1	22.2	21.5	21.4	21.62	17.2	17.1	16.7	—	87	90	88	—
28	59.9	59.3	58.6	59.2	24.4	20.2	21.7	22.4	21.8	21.92	17.0	16.2	16.8	—	91	81	87	—
29	58.2	57.2	56.6	57.3	24.7	20.5	21.5	22.0	21.6	21.83	15.1	16.7	17.4	—	75	82	91	—
M.	63.2	62.6	62.9	62.9	21.7	17.4	18.7	19.8	19.2	19.28	10.6	10.5	10.3	10.5	64	60	61	62

Zahl der beobachteten Wind-

	N	NNE	NE	ENE	E	ESE	SE	SSE
9h a. m.	3	.	.	.
2h p. m.	1	.	.	.
9h p. m.
Summe.	3	.	.	.

Maximum des Luftdruckes 65.9 mm am 13.

Minimum „ „ 50.6 „ 29.

Maximum der Temperatur 24.8° C. „ 24.

Minimum „ „ 14.0 „ 19.

Maximum der Windstärke W 63 km pr. Std. „ 18.

1896.

Bewölkung, geschätzt nach Zehnteilen der sichtbaren Himmelsfläche				Windrichtung und Stärke nach der 10-theiligen Scale			Nieder- schlag binnen 24 Stunden gemessen um 7 ^h a. m.	Anmerkung
7 ^h	2 ^h	9 ^h	Tages- mittel	7 ^h	2 ^h	9 ^h	Höhe und Form	
3	3	4	3	NNW 5	NNW 4	NW 2	0	7 ^h p. m. ungewöhnlich tiefe Ebbe.
1	0	2	1	NNW 2	NNW 1	NW 2	0	
2	2	0	1	NW 3	NW 5	NW 0	0	
3	1	0	1	NNW 5	NNW 5	NNW 3	0	
0	1	0	0	NNW 3	NNW 5	NNW 3	0	
4	2	2	3	E 1	NNW 3	NNW 5	0	
2	3	0	2	NNW 0	NNW 0	NNW 5	0	
1	1	0	1	NNW 5	NNW 4	NW 2	0	
7	5	4	5	E 3	NNW 4	NW 3	0	
4	3	7	5	NNW 5	NNW 4	NNW 2	0	
3	2	2	2	NNW 5	NNW 4	NNW 4	0	
2	2	1	2	NNW 5	NNW 4	NNW 5	0	
2	2	2	2	NNW 4	NNW 4	NNW 2	0	
2	1	0	1	NNW 4	NNW 5	NNW 5	0	
1	1	1	1	NNW 4	NNW 5	NNW 4	0	
1	1	0	1	NNW 4	NNW 4	NW 3	0	
0	0	0	0	NW 3	NW 2	SW 1	0	
0	0	0	0	SW 4	W 4	W 7	0	
3	2	3	3	NNW 5	NNW 4	NNW 2	0	
3	1	2	2	NW 3	NNW 3	NNW 3	0	
3	1	0	1	NNW 4	NNW 3	NNW 2	0	
0	0	0	0	NNW 2	NNW 3	W 1	0	
0	0	0	0	NNW 2	NNW 2	NW 2	0	
0	0	1	0	W 2	NNW 3	W 2	0	
0	2	1	1	NNW 4	NNW 3	NNW 3	0	
1	0	3	1	NNW 2	NNW 1	NNW 2	0	
3	4	1	3	SW 1	E 1	Calm	0	
0	0	0	0	NNW 2	NNW 3	W 2	0	
1	2	3	2	NW 3	NNW 2	NNW 1	0	
1	2	3	2	NW 3	NNW 2	NNW 1	0	
1	2	3	2	NW 3	NNW 2	NNW 1	0	
1	2	3	2	NW 3	NNW 2	NNW 1	0	
1	2	3	2	NW 3	NNW 2	NNW 1	0	
1	2	3	2	NW 3	NNW 2	NNW 1	0	
1	2	3	2	NW 3	NNW 2	NNW 1	0	
1	2	3	2	NW 3	NNW 2	NNW 1	0	
1	2	3	2	NW 3	NNW 2	NNW 1	0	
1	2	3	2	NW 3	NNW 2	NNW 1	0	
1	2	3	2	NW 3	NNW 2	NNW 1	0	
1	2	3	2	NW 3	NNW 2	NNW 1	0	
1	2	3	2	NW 3	NNW 2	NNW 1	0	
1	2	3	2	NW 3	NNW 2	NNW 1	0	
1	2	3	2	NW 3	NNW 2	NNW 1	0	
1	2	3	2	NW 3	NNW 2	NNW 1	0	
1	2	3	2	NW 3	NNW 2	NNW 1	0	
1	2	3	2	NW 3	NNW 2	NNW 1	0	
1	2	3	2	NW 3	NNW 2	NNW 1	0	
1	2	3	2	NW 3	NNW 2	NNW 1	0	
1	2	3	2	NW 3	NNW 2	NNW 1	0	
1	2	3	2	NW 3	NNW 2	NNW 1	0	
1	2	3	2	NW 3	NNW 2	NNW 1	0	
1	2	3	2	NW 3	NNW 2	NNW 1	0	
1	2	3	2	NW 3	NNW 2	NNW 1	0	
1	2	3	2	NW 3	NNW 2	NNW 1	0	
1	2	3	2	NW 3	NNW 2	NNW 1	0	
1	2	3	2	NW 3	NNW 2	NNW 1	0	
1	2	3	2	NW 3	NNW 2	NNW 1	0	
1	2	3	2	NW 3	NNW 2	NNW 1	0	
1	2	3	2	NW 3	NNW 2	NNW 1	0	
1	2	3	2	NW 3	NNW 2	NNW 1	0	
1	2	3	2	NW 3	NNW 2	NNW 1	0	
1	2	3	2	NW 3	NNW 2	NNW 1	0	
1	2	3	2	NW 3	NNW 2	NNW 1	0	
1	2	3	2	NW 3	NNW 2	NNW 1	0	
1	2	3	2	NW 3	NNW 2	NNW 1	0	
1	2	3	2	NW 3	NNW 2	NNW 1	0	
1	2	3	2	NW 3	NNW 2	NNW 1	0	
1	2	3	2	NW 3	NNW 2	NNW 1	0	
1	2	3	2	NW 3	NNW 2	NNW 1	0	
1	2	3	2	NW 3	NNW 2	NNW 1	0	
1	2	3	2	NW 3	NNW 2	NNW 1	0	
1	2	3	2	NW 3	NNW 2	NNW 1	0	
1	2	3	2	NW 3	NNW 2	NNW 1	0	
1	2	3	2	NW 3	NNW 2	NNW 1	0	
1	2	3	2	NW 3	NNW 2	NNW 1	0	
1	2	3	2	NW 3	NNW 2	NNW 1	0	
1	2	3	2	NW 3	NNW 2	NNW 1	0	
1	2	3	2	NW 3	NNW 2	NNW 1	0	
1	2	3	2	NW 3	NNW 2	NNW 1	0	
1	2	3	2	NW 3	NNW 2	NNW 1	0	
1	2	3	2	NW 3	NNW 2	NNW 1	0	
1	2	3	2	NW 3	NNW 2	NNW 1	0	
1	2	3	2	NW 3	NNW 2	NNW 1	0	
1	2	3	2	NW 3	NNW 2	NNW 1	0	
1	2	3	2	NW 3	NNW 2	NNW 1	0	
1	2	3	2	NW 3	NNW 2	NNW 1	0	
1	2	3	2	NW 3	NNW 2	NNW 1	0	
1	2	3	2	NW 3	NNW 2	NNW 1	0	
1	2	3	2	NW 3	NNW 2	NNW 1	0	
1	2	3	2	NW 3	NNW 2	NNW 1	0	
1	2	3	2	NW 3	NNW 2	NNW 1	0	
1	2	3	2	NW 3	NNW 2	NNW 1	0	
1	2	3	2	NW 3	NNW 2	NNW 1	0	
1	2	3	2	NW 3	NNW 2	NNW 1	0	
1	2	3	2	NW 3	NNW 2	NNW 1	0	
1	2	3	2	NW 3	NNW 2	NNW 1	0	
1	2	3	2	NW 3	NNW 2	NNW 1	0	
1	2	3	2	NW 3	NNW 2	NNW 1	0	
1	2	3	2	NW 3	NNW 2	NNW 1	0	
1	2	3	2	NW 3	NNW 2	NNW 1	0	
1	2	3	2	NW 3	NNW 2	NNW 1	0	
1	2	3	2	NW 3	NNW 2	NNW 1	0	
1	2	3	2	NW 3	NNW 2	NNW 1	0	
1	2	3	2	NW 3	NNW 2	NNW 1	0	
1	2	3	2	NW 3	NNW 2	NNW 1	0	
1	2	3	2	NW 3	NNW 2	NNW 1	0	
1	2	3	2	NW 3	NNW 2	NNW 1	0	
1	2	3	2	NW 3	NNW 2	NNW 1	0	
1	2	3	2	NW 3	NNW 2	NNW 1	0	
1	2	3	2	NW 3	NNW 2	NNW 1	0	
1	2	3	2	NW 3	NNW 2	NNW 1	0	
1	2	3	2	NW 3	NNW 2	NNW 1	0	
1	2	3	2	NW 3	NNW 2	NNW 1	0	
1	2	3	2	NW 3	NNW 2	NNW 1	0	
1	2	3	2	NW 3	NNW 2	NNW 1	0	
1	2	3	2	NW 3	NNW 2	NNW 1	0	
1	2	3	2	NW 3	NNW 2	NNW 1	0	
1	2							

Tabelle XIII. Beobachtungsstation: The Brothers.

März

Datum	Luftdruck (Barometerstand reducirt auf 0°, Meeressniveau und 45° Breite)				Temperatur des Max- und Min- Thermo- meters		Temperatur des trockenen Thermometers nach Celsius				Dampfdruck in Millimetern				Relative Feuchtigkeit in Procenten			
	7h	2h	9h	Tages- mittel	Max.	Min.	7h	2h	9h	Tages- mittel	7h	2h	9h	Tages- mittel	7h	2h	9h	Tages- mittel
1	58.0	55.5	55.3	55.0	24.2	20.5	20.5	22.4	21.0	21.7	10.1	10.3	15.0	—	55	81	81	—
2	58.3	55.7	57.1	56.3	22.3	20.0	20.5	21.5	21.0	21.3	14.0	12.3	10.7	—	53	65	90	—
3	59.0	60.1	61.0	60.3	20.7	19.4	18.2	19.0	19.0	19.0	11.3	9.7	10.1	—	76	57	90	—
4	62.2	61.3	61.2	61.5	22.5	18.7	19.0	21.0	20.2	20.2	12.3	11.6	10.9	—	73	63	92	—
5	60.4	58.8	58.7	59.3	22.3	18.2	21.3	24.0	22.0	22.3	12.0	11.8	14.8	—	68	53	75	—
6	59.0	59.4	60.3	59.5	22.5	20.5	21.2	21.2	21.4	21.3	15.5	13.3	12.8	—	83	71	68	—
7	60.0	60.2	60.0	60.3	21.8	19.4	19.5	20.4	20.3	20.3	11.3	11.6	10.1	—	60	95	57	—
8	58.0	57.3	59.0	58.0	24.4	20.2	20.4	21.3	19.0	20.4	12.0	10.9	9.1	—	67	54	54	—
9	61.5	61.3	61.0	61.0	21.1	17.5	18.3	20.3	18.4	18.8	10.0	9.5	7.2	—	64	53	40	—
10	62.0	61.1	61.0	61.0	25.0	17.4	10.7	23.4	20.2	20.8	9.5	10.6	9.8	—	57	10	50	—
11	61.0	60.2	59.0	60.2	23.7	18.3	20.5	12.2	10.5	10.5	12.3	10.4	11.1	—	69	52	05	—
12	59.6	59.0	59.2	59.2	22.2	18.6	21.5	24.8	21.4	21.2	0.0	11.2	13.3	—	51	48	70	—
13	59.2	54.8	59.7	55.9	25.7	20.0	21.8	24.0	22.2	22.0	14.0	13.8	11.2	—	77	60	57	—
14	57.9	57.0	58.2	58.0	22.5	19.1	20.0	21.2	21.0	20.0	12.3	11.3	10.9	—	71	61	58	—
15	59.3	59.0	59.0	59.0	23.0	19.4	21.0	20.8	20.0	20.4	11.8	12.1	10.4	—	104	90	90	—
16	58.5	59.4	59.7	59.3	22.6	19.2	20.4	21.2	20.8	20.8	13.0	12.9	12.2	—	70	69	67	—
17	59.2	58.5	58.2	58.0	21.7	19.4	19.0	20.4	20.1	20.3	13.1	11.0	10.9	—	77	65	61	—
18	59.0	58.5	58.8	58.7	21.0	17.3	13.2	21.2	20.8	20.3	11.9	9.1	10.5	—	74	48	59	—
19	58.3	58.7	58.2	58.4	21.0	18.0	19.4	20.4	20.5	20.2	10.7	10.4	10.7	—	64	58	60	—
20	58.2	58.1	58.5	58.4	21.5	18.0	19.3	20.4	19.4	19.2	11.4	9.7	10.0	—	68	54	59	—
21	58.1	57.3	57.0	57.4	25.0	18.5	19.6	22.7	21.0	21.1	11.1	11.2	13.5	—	64	57	73	—
22	59.5	58.0	58.5	58.5	25.5	19.0	21.5	23.0	22.0	22.5	12.9	15.5	15.7	—	73	78	80	—
23	52.8	47.9	50.0	50.0	25.4	21.0	22.4	24.3	23.4	23.3	10.0	17.7	12.3	—	80	79	58	—
24	55.3	55.0	57.3	55.7	22.0	18.5	23.1	20.0	21.0	20.0	13.7	10.9	9.9	—	78	61	54	—
25	58.2	57.5	59.1	58.2	24.1	17.0	20.0	20.5	19.3	19.7	7.4	7.0	7.8	—	43	48	47	—
26	59.3	59.3	59.0	59.2	28.2	18.4	20.5	23.0	20.8	21.2	8.3	8.3	10.3	—	46	40	50	—
27	59.4	53.7	49.4	53.7	27.5	19.8	21.6	27.1	22.6	22.6	11.0	12.4	14.1	—	63	63	68	—
28	53.1	53.3	55.7	54.0	27.7	20.5	22.3	20.5	21.0	23.0	9.3	9.3	11.0	—	40	30	57	—
29	57.0	57.0	60.5	58.4	25.0	20.1	21.3	31.0	20.2	20.2	9.1	9.1	10.6	—	48	47	60	—
30	61.3	60.9	60.1	60.7	24.3	19.6	22.0	22.4	21.2	21.7	9.7	10.2	9.0	—	49	51	51	—
31	58.5	57.9	57.7	58.1	24.2	20.7	22.0	22.8	21.5	21.0	13.0	15.7	13.2	—	69	70	70	—
M.	58.45	57.92	58.24	58.21	24.13	19.01	20.45	22.20	20.80	21.10	12.00	11.50	11.00	11.10	67	59	61	62

Zahl der beobachteten Wind-

	N	NNE	NE	ESE	E	ESE	SE	SSE
7 h. u. m.	—	—	1	—	—	—	2	—
2 h. p. m.	—	—	3	—	2	—	3	1
9 h. p. m.	—	—	—	—	1	1	1	—
Summe	—	—	4	—	3	1	5	1

Maximum des Luftdruckes 62.2 mm am 4.

Minimum „ „ 49.4 „ 27.

Maximum der Temperatur 29.2° C. „ 12.

Minimum „ „ 17.4 „ 10.

Maximum der Windstärke 57 m pro Std. „ 27.

1896.

Bewölkung, geschätzt nach Zehnteilen der sichtbaren Himmelsfläche				Windrichtung und Stärke nach der 10-theiligen Scale			Nieder- schlag binnen 24 Stunden gemessen um 7 ^h a. m.	Anmerkung
7 ^h	2 ^h	9 ^h	Tages- mittel	7 ^h	2 ^h	9 ^h	Höhe und Form	
4	0	5	5	NNW 2	NNW 2	NNW 1	0	Frohendes Wetter.
4	0	0	1	NNW 5	NNW 6	NNW 0	0	
2	0	0	1	NNW 6	NNW 5	NNW 4	0	
0	0	0	0	NNW 4	NNW 2	Calm	0	
0	0	0	0	SW 1	S 2	S 2	0	
2	0	0	1	NNW 4	NNW 4	NNW 4	0	
0	0	1	0	NNW 4	NNW 4	NNW 3	0	
3	1	0	1	NNW 5	NNW 1	NNW 0	0	
3	2	0	2	NNW 4	NNW 3	W 1	0	
1	3	1	2	NNW 2	NNW 1	SE 1	0	
0	3	1	2	NNW 2	NNW 3	W 2	0	2 ^h p.m. flauw. Brise, 5 ^h p.m. heftige Böen.
3	1	5	2	NNW 1	E 2	SW 1	0	
3	0	0	1	SE 3	SE 2	NNW 6	0	
2	1	0	1	NNW 0	NNW 4	NNW 4	0	
0	0	0	0	NNW 4	NNW 4	NNW 3	0	
1	0	0	0	NNW 4	NNW 4	NNW 4	0	
0	0	0	0	NNW 0	NNW 5	NNW 0	0	
4	0	0	1	NNW 6	NNW 0	NNW 6	0	
0	3	0	1	NNW 6	NNW 4	NNW 4	0	
0	0	0	0	NNW 0	NNW 3	NNW 3	0	
0	1	7	3	NNW 2	E 2	W 4	0	8 ^h p.m. einige Tropfen.
0	6	5	5	SE 2	SE 2	S 1	0	
1	3	5	4	S 4	SE 6	W 5	0	
2	0	0	1	NNW 0	NNW 6	NNW 5	0	
0	0	0	0	NNW 3	NNW 3	W 1	0	
3	5	7	5	NNW 3	SE 1	SE 2	0	
3	0	8	7	NE 4	S 1	S 8	0	
8	0	0	1	W 4	W 1	E 2	0	
0	0	2	1	NNW 5	NE 3	W 3	0	
3	4	0	2	NNW 4	NE 3	NNW 4	0	
0	0	0	0	NNW 5	NNW 5	NNW 3	0	Abends Stürmisch bewegte See.
1	7	1	7	4	3	3	0	

richtungen und Windstillen.

S	SSW	SW	WSW	W	WNW	NW	NNW	Galm
1	-	1	-	1	-	1	24	-
1	-	-	-	1	-	-	30	-
3	-	1	-	6	-	-	17	1
0	-	2	-	5	-	1	61	1

Zahl der Tage mit Niederschlag 4

• • • • Gewitter 0

• • • • Nebel 0

• • • • Sturm 11

Tabelle XIV. Beobachtungsstation: The Brothers.

April

Datum	Luftdruck (Barometerstand reducirt auf 0° Meeressniveau und 45° Breite)				Temperatur- Angaben des Max und Min Thermo- meters		Temperatur des trockenen Thermometers nach (Celsius)				Luftdruck in Millimetern				Relative Feuchtigkeit in Procenten			
	7 ^h	2 ^h	9 ^h	Tages- mittel	Max.	Min.	7 ^h	2 ^h	9 ^h	Tages- mittel	7 ^h	2 ^h	9 ^h	Tages- mittel	7 ^h	9 ^h	9 ^h	Tages- mittel
1	57.4	57.0	57.0	57.1	25.1	20.5	22.4	23.4	23.4	23.1	13.4	15.0	14.7	—	67	60	60	—
2	56.0	55.5	55.6	55.7	27.5	20.9	21.0	25.3	23.2	23.8	11.0	15.1	17.0	—	17	66	81	—
3	55.8	55.4	56.0	55.8	24.0	21.0	23.0	27.0	23.2	24.0	17.7	15.5	17.1	—	71	58	79	—
4	50.1	55.0	50.5	50.1	25.4	24.7	23.0	24.9	23.2	23.5	18.0	17.9	17.1	—	86	77	72	—
5	55.3	54.8	51.8	54.6	25.5	21.5	21.2	24.1	23.4	23.5	18.7	17.5	17.3	—	89	79	81	—
6	51.8	49.7	52.8	51.4	30.0	21.6	23.8	20.0	24.1	24.7	17.7	16.0	15.2	—	81	62	67	—
7	50.2	50.1	50.6	50.3	24.0	21.2	22.6	23.0	22.0	22.4	16.0	16.3	12.8	—	57	49	05	—
8	50.8	50.0	50.7	50.8	25.5	21.3	22.2	22.0	21.4	21.7	10.5	12.3	11.1	—	51	63	59	—
9	55.1	53.8	50.0	53.0	27.1	20.1	21.5	20.5	21.8	21.4	14.4	13.7	16.3	—	67	51	74	—
10	57.3	48.2	59.0	55.1	23.8	20.7	22.1	21.4	21.0	21.7	13.3	13.0	12.0	—	67	71	65	—
11	58.9	51.3	59.4	53.2	21.8	19.2	20.4	20.2	20.0	20.4	13.3	12.0	10.3	—	75	68	57	—
12	59.0	50.0	58.0	55.6	21.3	18.4	19.7	20.2	21.3	20.6	12.0	12.1	12.1	—	70	70	65	—
13	58.5	54.0	59.3	58.9	22.1	18.0	20.2	20.4	20.0	20.4	13.4	12.1	11.2	—	70	68	62	—
14	60.8	60.3	59.0	60.0	23.4	17.5	20.0	21.8	21.8	21.5	12.0	10.6	10.3	—	73	55	61	—
15	59.0	59.4	59.3	59.4	24.2	11.2	21.0	22.5	21.0	22.0	12.8	11.5	13.4	—	65	59	60	—
16	59.1	59.0	58.0	58.7	24.5	21.5	22.2	23.4	23.4	23.0	14.1	12.0	11.7	—	71	59	69	—
17	59.2	58.6	58.0	58.8	25.2	21.2	22.8	21.0	23.4	23.4	13.3	14.3	14.4	—	74	64	67	—
18	58.2	58.4	58.1	58.2	25.4	22.2	23.2	24.5	22.7	23.2	14.2	13.0	15.4	—	67	61	75	—
19	59.0	58.5	58.0	58.8	24.0	19.1	21.0	23.1	22.5	23.4	15.3	14.7	14.0	—	80	70	69	—
20	59.2	59.1	60.2	59.5	23.0	21.5	21.8	22.2	22.4	22.0	14.0	14.1	12.0	—	77	71	61	—
21	60.7	60.8	61.8	60.8	23.7	20.2	21.0	21.4	22.0	21.9	12.5	12.5	13.0	—	73	66	64	—
22	61.2	60.5	60.1	60.7	24.0	20.6	20.8	21.0	22.0	22.0	14.7	12.3	12.5	—	75	63	71	—
23	59.2	59.1	58.5	58.9	24.5	20.7	21.1	23.2	22.6	22.3	15.0	13.1	14.8	—	81	61	73	—
24	58.4	57.6	57.4	57.8	25.0	20.7	21.6	23.7	22.8	23.7	14.1	14.3	10.0	—	74	60	78	—
25	58.1	57.6	57.5	57.7	27.0	21.4	23.4	24.8	22.0	23.9	10.3	18.2	17.9	—	70	78	86	—
26	57.4	57.0	57.4	57.2	25.6	21.0	22.3	25.4	23.4	23.1	10.2	17.1	17.0	—	72	71	82	—
27	58.4	57.4	57.1	57.6	25.6	18.9	24.2	20.0	24.0	24.5	18.4	18.1	17.7	—	83	73	80	—
28	57.1	56.5	55.7	56.4	26.0	23.5	21.0	25.0	21.1	24.0	17.0	17.1	17.8	—	80	71	81	—
29	55.6	55.3	55.1	55.3	26.5	23.9	24.3	26.0	24.1	24.7	16.0	15.9	16.1	—	71	62	71	—
30	54.9	51.7	53.7	54.4	20.0	23.5	24.4	20.2	24.7	25.0	17.4	18.0	20.2	—	77	71	85	—
M.	57.6	57.8	57.4	57.5	25.5	21.2	22.4	23.7	22.7	23.9	14.9	14.4	14.0	14.8	74	66	72	70

Zahl der beobachteten Wind-

	N	NNE	NE	ENE	E	ESE	SE	SSE
7 ^h a. m.	1	—	—	—	—	—	1	1
2 ^h p. m.	—	—	—	—	—	—	3	1
9 ^h p. m.	—	—	1	—	—	—	1	—
Summe.	1	—	1	—	—	—	5	2

Maximum des Luftdruckes 61.3 mm am 21.

Minimum „ „ 49.7 „ 6.

Maximum der Temperatur 31.0° C. „ 3.

Minimum „ „ 17.5 „ 14.

Maximum der Windstärke SNW 65 km pr. Std. „ 17.

1896.

Bewölkung, geschätzt nach Zehnteilen der sichtbaren Himmelsfläche				Windrichtung und Stärke nach der 10-theiligen Skala			Nieder- schlag binnen 24 Stunden gemessen um 2 ^h a. m.	Anmerkung
7h	2h	9h	Tages- mittel	7h	2h	9h	Höhe und Form	
0	2	3	2	NNW 5	NNW 4	NNW 3	0	Starker Δ .
0	2	3	2	N 0	NNW 3	Calm	0	
2	0	0	1	W 1	SE 1	SE 1	0	
4	2	2	3	SSE	SSE 5	SW 1	0	
2	2	3	2	NW 2	NNW 1	NW 2	0	
3	2	2	2	SW 4	SE 5	NNW 5	0	
2	1	1	1	NNW 0	NNW 5	W 3	0	
1	0	2	1	NNW 5	NNW 4	W 2	0	
0	0	3	1	SE 1	SE 2	NE 2	0	
7	8	10	8	NNW 5	NNW 5	NNW 5	0-8	
9	0	0	0	NNW 5	NNW 0	NNW 5	0	a m. lichte Δ -schauer.
8	7	5	7	NNW 5	NNW 5	NNW 5	0	Nachts zeitweise Δ -tropfen.
7	7	11	7	NNW 0	NNW 0	NNW 7	0	p m. Δ -tropfen.
0	0	0	0	NNW 0	NNW 5	NNW 5	0	
0	0	0	0	NNW 5	NNW 5	NNW 4	0	
4	3	3	3	NNW 5	NNW 5	NNW 5	0	
2	1	1	1	NNW 5	NNW 0	NNW 4	0	
3	2	1	2	NNW 4	NNW 4	NNW 2	0	
2	1	1	1	NNW 7	NNW 0	NNW 5	0	
2	5	1	3	NNW 0	NNW 0	NNW 0	0	
2	0	0	0	NNW 0	NNW 5	NNW 5	0	2 ^h p m. drohend, 10 ^h p Δ -tropfen.
5	5	0	5	NNW 0	NNW 0	NNW 0	0	
0	0	0	0	NNW 0	NNW 5	NNW 4	0	
0	0	0	0	NNW 5	NNW 4	W 2	0	Starker Δ .
0	0	0	0	NW 4	NW 4	SW 1	0	" Δ .
0	0	0	0	WSW 2	NNW 2	WSW 3	0	" Δ .
0	0	4	1	W 3	NNW 2	NW 1	0	
3	2	3	3	NNW 4	NNW 2	W 2	0	
2	1	1	1	NNW 4	NNW 4	W 2	0	
3	3	1	2	W 4	W 1	Calm	0	
2-4	2-3	2-6	2-4	4-5	4-2	3-3	0-8	

richtungen und Windstillen.

S	SSW	SW	WSW	W	WNW	NW	NNW	Calm
.	.	1	1	3	.	2	22	.
.	.	.	.	1	.	1	24	.
.	.	2	2	5	.	2	15	2
.	.	3	3	9	.	5	61	2

Zahl der Tage mit Niederschlag 4

" " " " Gewitter 0

" " " " Nebel 0

" " " " Sturm 10

Tabelle XV. Beobachtungsstation: The Brothers.

Mai

Datum	Luftdruck (Barometerstand reduirt auf 0°, Meeresebene und 45° Breite)				Temperatur Angaben des Max. und Min. Thermom- eters		Temperatur des trockenen Thermometers nach Celsius				Dampfdruck in Millimetern				Relative Feuchtigkeit in Procenten			
	7h	2h	9h	Tages- mittel	Max	Min	7	2h	9h	Tages- mittel	7	2h	9h	Tages- mittel	7h	2h	9h	Tages- mittel
1	53.5	53.2	53.2	53.3	30.4	23.4	25.0	27.1	25.1	25.5	21.1	18.3	19.9	—	87	69	84	—
2	52.7	54.1	54.3	53.7	27.4	24.0	25.2	25.0	24.5	25.0	16.0	15.2	16.8	—	82	74	74	—
3	55.8	55.0	55.0	55.3	25.2	22.2	23.0	24.0	23.0	23.5	10.5	10.7	10.2	—	79	73	73	—
4	55.0	55.4	55.3	55.3	20.0	19.5	21.0	24.8	24.0	25.3	13.0	14.3	15.7	—	68	64	71	—
5	59.0	57.3	57.1	57.0	26.3	20.7	22.8	21.5	24.4	24.0	10.0	14.2	10.1	—	81	62	71	—
6	58.4	59.0	58.3	58.5	27.3	22.2	24.2	24.9	24.4	24.7	10.7	17.2	17.1	—	74	78	70	—
7	58.5	58.4	57.8	58.2	27.3	21.2	24.0	20.4	24.0	24.3	10.7	16.2	15.0	—	72	75	84	—
8	57.7	57.0	57.4	57.0	30.2	25.0	25.9	25.0	24.8	25.7	20.0	19.9	18.2	—	81	71	78	—
9	57.2	57.2	50.3	57.0	26.7	21.7	20.0	25.4	24.8	20.4	16.0	23.4	21.3	—	70	75	90	—
10	59.7	57.5	57.8	57.1	31.3	22.0	25.7	27.3	25.4	25.0	22.0	22.6	21.1	—	86	83	88	—
11	57.6	57.5	57.7	57.0	32.7	24.5	25.0	32.2	25.4	27.1	21.4	22.1	20.7	—	88	62	86	—
12	59.7	50.5	50.3	50.5	25.7	23.0	24.0	25.0	24.1	24.3	17.0	15.5	13.8	—	77	60	62	—
13	50.5	50.0	50.0	50.4	27.5	23.3	24.1	25.2	23.5	24.0	14.7	14.5	13.3	—	66	61	81	—
14	54.5	55.4	52.5	54.4	28.7	22.0	24.2	28.0	25.0	25.8	18.0	16.9	18.5	—	80	60	70	—
15	50.5	50.5	57.5	50.5	25.9	23.0	25.0	24.6	24.4	24.6	14.7	14.8	14.2	—	63	64	63	—
16	50.4	58.5	57.8	58.5	25.0	21.3	22.4	23.2	24.2	23.5	13.7	13.7	13.0	—	65	55	58	—
17	50.0	59.4	59.7	59.3	25.4	21.2	22.4	23.4	23.8	23.5	14.9	13.9	14.7	—	74	62	67	—
18	59.0	58.6	57.8	58.4	20.5	22.0	23.8	24.0	23.0	23.0	13.3	13.8	16.2	—	61	62	77	—
19	57.4	50.9	55.8	50.7	28.0	22.7	24.4	26.5	25.2	25.3	10.1	10.0	17.0	—	71	62	71	—
20	50.1	55.4	50.0	55.3	34.6	22.8	25.4	33.0	20.0	27.0	18.7	18.4	20.0	—	78	56	80	—
21	50.2	50.2	50.0	50.3	34.6	24.3	27.8	34.3	30.0	28.0	13.5	20.0	17.0	—	45	55	71	—
22	50.0	50.7	50.0	50.3	28.1	24.1	25.0	20.7	25.4	25.0	10.5	18.0	18.0	—	85	69	78	—
23	58.3	58.2	56.1	58.0	20.2	23.4	24.2	25.3	25.5	15.1	18.2	17.5	10.2	—	81	73	67	—
24	58.0	58.1	57.8	58.2	20.5	23.1	23.6	25.4	24.0	24.2	15.0	14.7	16.5	—	73	61	74	—
25	57.0	57.7	57.6	57.7	27.2	23.0	24.2	25.5	24.4	24.0	10.5	17.2	18.8	—	94	69	83	—
26	57.6	57.8	57.7	57.7	31.1	23.2	25.6	27.1	30.0	30.1	17.8	17.0	19.0	—	73	70	70	—
27	50.9	50.5	50.2	50.5	32.1	25.2	28.8	27.0	30.4	27.2	10.0	18.0	17.1	—	65	68	67	—
28	57.4	50.3	50.2	50.3	28.2	23.7	25.2	26.1	25.3	25.4	15.0	13.5	10.0	—	66	53	67	—
29	57.9	58.0	58.0	58.0	27.4	23.7	24.6	25.5	24.1	24.5	10.3	14.0	15.3	—	71	58	60	—
30	58.5	58.1	57.0	57.8	31.6	23.2	30.0	27.1	20.6	30.5	17.0	10.5	17.7	—	68	73	68	—
31	59.8	59.7	55.8	59.4	31.1	25.3	28.0	28.6	27.1	27.2	20.2	21.0	18.4	—	77	72	69	—
M.	57.00	57.01	56.70	56.89	28.0	23.2	24.77	26.95	24.89	25.3	17.3	17.1	17.2	17.2	74	66	74	73

Zahl der beobachteten Wind-

	N	NNE	NE	ENE	E	ESE	SE	SSE
1 a. m.	1	—	—	—	—	—	1	—
2 p. m.	—	—	1	—	1	—	3	—
9 p. m.	—	—	1	1	—	—	—	—
Summe	1	—	2	1	1	—	4	—

Maximum des Luftdruckes 59.8 mm am 17.

Minimum „ „ 52.7 „ 2.

Maximum der Temperatur 34.6° C. „ 20, 21

Minimum „ „ 19.5 „ 4.

Maximum der Windstärke NNW 31 km pr. Std. „ 5.

1866.

Bewölkung, geschätzt nach Zehnteilen der sichtbaren Himmelsfläche				Windrichtung und Stärke nach der 10-theiligen Scale			Nieder- schlag binnen 24 Stunden gemessen um 7 ^h a. m.	Anmerkung
7 ^h	2 ^h	9 ^h	Tages- mittel	7 ^h	2 ^h	9 ^h	Höhe und Form	
2	3	3	3	N 2	NE 4	NE 1	• tr.	Starker d., einige • tropfen.
0	1	1	1	W 3	N 3	NNW 5	•	• d.
0	0	0	0	NNW 0	NNW 4	NNW 0	•	• d.
0	0	0	0	NNW 0	NNW 0	NNW 5	•	• d.
1	0	0	0	NNW 0	NNW 5	NNW 5	•	• d.
0	0	0	0	NNW 0	NNW 4	NNW 2	•	• d.
0	0	0	0	NNW 3	NNW 2	NW 2	•	• d.
1	1	1	1	Calm	NE 2	NW 2	•	• d.
1	1	1	1	SE 4	SE 4	S 4	•	0 ^h p. m. II m NE.
2	3	3	4	S 1	E 3	ENE 5	•	7 ^h a. m. • tropfen.
0	5	6	7	SSW 2	NNW 2	NNW 1	• tr.	
5	0	6	6	NNW 5	NNW 4	NNW 4	•	
1	1	1	1	NNW 5	NNW 3	Calm	•	
3	5	5	4	S 4	NE 4	NNW 2	•	a. m. n., hier sehr seltenes Ereigniss.
10	10	2	7	NNW 4	NNW 5	NNW 4	•	
3	3	0	2	NNW 0	NNW 0	NNW 5	•	
0	0	0	0	NNW 5	NNW 5	NNW 5	•	
0	0	0	0	NNW 5	NNW 4	NNW 2	•	
0	0	0	0	NNW 4	NNW 2	NW 2	•	
5	4	4	4	NW 1	W 1	W 2	•	Nachmittagsablesung 2 ^h 50 ^m gemacht.
4	3	2	3	W 1	Calm	SW 2	•	
1	2	2	2	NNW 0	NNW 3	NNW 3	•	
4	1	1	2	NNW 5	NNW 5	NNW 4	•	
1	1	0	1	NNW 0	NNW 4	W 2	•	
0	0	2	1	NNW 4	NNW 4	W 2	•	
0	0	1	0	NNW 4	NNW 2	W 2	•	
0	1	0	0	W 1	NNW 4	NNW 4	•	
0	1	3	1	NNW 0	NNW 5	hSW 3	•	SSW-Strömung.
1	2	1	1	NNW 5	NNW 4	W 2	•	
0	0	0	0	NNW 4	NNW 3	NNW 1	•	
0	0	0	0	W 1	NNW 4	W 3	•	
1 ⁷	1 ⁷	1 ⁶	1 ⁷	3 ⁰	3 ⁰	3 ⁰	•	

richtungen und Windstillen.

S	SSW	SW	WSW	W	WNW	NW	NNW	Calm
3	1	-	-	4	-	1	20	1
-	1	-	-	1	-	-	22	1
1	-	4	-	0	-	1	16	1
4	2	4	-	11	-	2	58	3

Zahl der Tage mit Niederschlag 2

• • • • Gewitter 1
• • • • Nebel 1
• • • • Sturm 7

Tabelle XVI. Beobachtungsstation: The Brothers.

Juni

Datum	Luftdruck (Barometerstand, reducirt auf 0°, Meeress-niveau und 15° Breite)				Temperatur Anzeigen des Max- und Min- Thermo- meters		Temperatur des trockenen Thermometers nach Celsius				Dampfdruck in Millimetern				Relative Feuchtigkeit in Procenten			
	7 ^h	9 ^h	9 ^h	Tages- mittel	Max.	Min.	7 ^h	9 ^h	9 ^h	Tages- mittel	7 ^h	9 ^h	9 ^h	Tages- mittel	7 ^h	9 ^h	9 ^h	Tages- mittel
	mm	mm	mm	mm	mm	mm	mm	mm	mm	mm	mm	mm	mm	mm	mm	mm	mm	mm
1	55.0	55.4	54.0	55.2	32.0	25.0	22.0	25.1	20.5	20.02	18.4	19.4	19.1	—	71	69	74	—
2	54.7	54.8	55.0	54.8	31.2	25.7	23.1	27.2	20.2	20.50	18.5	19.1	21.4	—	72	71	85	—
3	54.1	52.0	52.2	52.9	30.7	24.5	20.5	21.0	8.8	29.42	21.2	22.0	19.4	—	71	65	66	—
4	55.1	55.4	50.1	55.0	28.0	20.4	20.5	27.0	21.0	20.83	10.0	10.8	10.2	—	62	63	62	—
5	57.1	50.0	50.0	50.8	27.2	24.4	25.1	20.1	25.82	17.8	15.9	15.9	—	70	63	63	—	
6	58.1	57.8	50.0	55.7	30.0	24.2	25.0	20.7	27.4	20.77	17.2	16.1	14.0	—	71	62	52	—
7	58.1	58.1	62.1	57.7	31.4	24.5	25.8	27.0	27.5	27.16	17.7	17.5	16.7	—	72	64	61	—
8	57.2	50.0	50.3	50.8	34.8	25.5	20.8	20.1	27.4	27.02	21.3	22.4	17.8	—	81	71	66	—
9	50.0	55.0	54.7	55.7	25.1	24.7	20.0	27.4	20.0	20.80	17.3	10.3	15.0	—	69	60	—	—
10	54.0	54.0	53.5	54.1	20.3	24.3	24.4	20.0	20.7	20.80	10.0	10.5	17.3	—	74	74	68	—
11	54.5	55.1	54.5	54.7	30.0	25.3	25.4	27.4	20.8	20.00	18.1	18.0	10.3	—	75	60	74	—
12	55.2	55.6	54.0	55.1	30.7	25.0	20.5	28.0	27.0	27.42	19.7	20.5	18.0	—	77	73	69	—
13	54.5	54.5	52.9	51.7	32.1	20.2	21.8	28.0	27.8	27.75	20.4	19.0	20.3	—	78	68	73	—
14	52.0	52.8	51.7	52.4	30.4	25.8	20.4	27.0	27.8	27.40	19.2	18.9	10.1	—	75	60	58	—
15	52.0	51.5	51.2	51.9	28.7	24.5	25.4	20.5	20.4	20.23	15.0	15.2	10.8	—	65	58	60	—
16	51.0	51.3	50.6	51.7	20.1	23.0	24.4	20.5	20.2	25.82	10.8	17.1	17.5	—	74	67	69	—
17	51.4	51.3	51.5	51.8	30.2	23.2	25.2	20.7	20.4	20.17	17.0	18.0	18.5	—	75	73	74	—
18	53.0	53.4	53.9	53.4	30.4	24.2	25.0	27.2	20.0	20.28	17.0	18.4	17.0	—	71	60	71	—
19	54.0	53.8	53.4	53.7	30.4	24.8	25.4	20.0	20.4	20.20	17.0	18.0	17.4	—	73	70	68	—
20	54.2	52.0	52.8	53.0	31.1	25.0	30.2	20.0	20.6	20.50	10.0	18.2	10.4	—	67	70	75	—
21	52.8	52.7	52.1	52.7	32.0	24.5	27.4	27.5	20.7	27.15	17.4	19.2	19.7	—	64	69	75	—
22	51.3	52.0	53.0	52.3	30.5	26.0	27.0	25.9	20.3	35.18	18.1	18.9	18.4	—	70	71	74	—
23	55.2	55.0	54.8	55.0	30.4	25.1	20.0	27.0	25.4	25.95	17.3	18.0	18.8	—	69	68	78	—
24	50.0	55.3	54.0	55.4	31.0	24.0	20.2	27.2	25.2	25.05	18.0	10.4	10.8	—	74	61	83	—
25	54.0	53.9	53.5	54.1	30.4	24.3	20.1	20.8	20.1	20.28	18.3	18.4	19.5	—	73	70	78	—
26	51.8	51.1	53.0	53.8	30.0	23.5	27.0	27.0	20.4	20.86	17.8	18.0	19.5	—	67	65	76	—
27	51.0	54.1	54.0	54.2	30.5	23.5	27.0	27.2	20.0	20.53	17.3	18.9	20.1	—	65	70	81	—
28	50.0	50.7	50.1	50.2	30.9	24.0	20.4	20.0	20.0	20.38	17.4	18.4	20.4	—	68	70	82	—
29	50.8	57.0	55.9	50.5	31.8	24.3	20.6	28.5	20.4	20.08	19.8	20.1	21.3	—	70	71	83	—
30	55.0	55.4	53.9	55.7	32.5	23.7	20.8	27.5	27.3	27.23	21.9	20.0	20.8	—	84	74	77	—
M.	54.80	54.57	54.15	54.58	30.7	24.0	20.18	27.40	20.00	20.78	18.2	18.4	18.5	18.4	72	68	71	70

Zahl der beobachteten Wind-

	N	NNE	NE	ENE	E	ESE	SE	SSE
7 ^h a. m.	.	.	1
2 ^h p. m.	.	.	1	.	.	.	1	.
9 ^h p. m.	1
Summe.	.	.	2	.	.	.	1	1

Maximum des Luftdruckes 58.4 mm am 6.

Minimum „ „ 50.0 „ 16.

Maximum der Temperatur 35.7° C. „ 3.

Minimum „ „ 23.0 „ 16.

Maximum der Windstärke NNW 61 km pr. Std. „ 4.

1896.

Bewölkung, geschätzt nach Zehnteilen der sichtbaren Himmelsfläche				Windrichtung und Stärke nach der 10 theiligen Scale			Nieder- schlag binnen 24 Stunden gemessen um 7 ^h a. m.	Anmerkung
7h	2h	9h	Tages- mittel	7h	2h	9h	Höhe und Form	
0	0	0	0	NNW 5	NNW 3	NNW 2	0	Stärker SW-Strom. 11 ^h p. m. heftiger Windschw.
0	0	0	0	NNW 4	NNW 3	SW 1	0	
0	0	1	0	NE 1	SE 3	SSW 4	0	
2	1	2	1	NNW 2	NNW 5	NNW 3	0	
3	5	3	4	NNW 0	NNW 2	NNW 0	0	Stärker W-Strom.
0	0	0	0	NNW 0	NNW 5	NNW 5	0	
0	0	0	0	NNW 5	NNW 2	NNW 3	0	
0	0	0	0	NNW 2	NE 2	NW 3	0	
0	0	0	0	NNW 0	NNW 5	NNW 5	0	1 ^h p. m. ungewöhnlich klarer Horizont.
0	0	0	0	NNW 0	NNW 5	NNW 5	0	
0	0	0	0	NNW 0	NNW 5	NNW 5	0	
0	0	0	0	NNW 0	NNW 5	NNW 5	0	
0	0	0	0	NNW 0	NNW 5	NNW 5	0	2 ^h 30 ^h p. m. unterirdische Geräusch wahr- genommen, wie bei einem Erdbeben.
0	0	0	0	NNW 4	NNW 3	NNW 2	0	
0	0	0	0	NNW 4	NNW 3	NNW 2	0	
0	0	0	0	NNW 0	NNW 5	NNW 0	0	
1	1	0	1	NNW 0	NNW 5	NNW 0	0	p. m. heftige Regen, a. m. * * hoher Steigung.
0	0	0	0	NNW 0	NNW 4	NNW 3	0	
0	0	0	0	NNW 0	NNW 4	W 2	0	
0	0	0	0	NNW 0	NNW 2	NNW 2	0	
0	0	0	0	NNW 0	NNW 3	NNW 3	0	* * *
0	1	0	0	NNW 0	NNW 3	NNW 3	0	
0	0	0	0	NNW 4	NNW 3	SW 2	0	
0	0	0	0	NNW 4	NNW 2	SW 2	0	
0	0	0	0	NNW 0	NNW 4	NNW 2	0	1 ^h p. m. Erdbeben, Schonnes Wetter.
0	0	0	0	NNW 5	NNW 4	W 3	0	
0	0	0	0	NNW 4	NNW 4	W 2	0	
0	0	0	0	NNW 0	NNW 5	SW 1	0	
0	0	0	0	NNW 4	NNW 4	W 3	0	* * *
0	0	0	0	NNW 4	NNW 2	W 3	0	
0	0	2	1	NNW 4	NNW 4	W 3	0	
0	0	0	0	NNW 4	NNW 4	W 1	0	
0	0	0	0	NNW 4	NNW 4	W 3	0	* * *
0	0	0	0	NNW 4	NNW 4	NNW 2	0	
0.2	0.3	0.3	0.2	4.8	3.0	3.3	0	

richtungen und Windstillen.

S	SSW	SW	WSW	W	WNW	NW	NNW	Calm
.	1	28	.
.	1	28	.
.	.	4	2	5	1	1	16	.
.	.	4	2	5	1	2	72	.

Zahl der Tage mit Niederschlag 0

* * * * Gewitter 0
* * * * Nebel 0
* * * * Sturm 14

Tabelle XVII. Beobachtungsstation: The Brothers.

Juli

Datum	Luftdruck (Barometerstand reducirt auf 0°, Meeressniveau und 45° Breite)				Temperatur- Anzeigen des Max- und Min- Thermo- meters		Temperatur des trockenen Thermometers nach Celsius				Dampfdruck in Millimetern				Relative Feuchtigkeit in Procenten			
	7h	2h	9h	Tages- mittel	Max.	Min.	7h	2h	9h	Tages- mittel	7h	2h	9h	Tages- mittel	7h	2h	9h	Tages- mittel
1	54.0	51.8	52.0	53.57	31.3	29.4	27.2	25.0	25.4	28.34	20.4	19.3	19.5	—	70	65	67	—
2	54.3	54.8	54.8	54.46	31.2	29.5	27.4	26.1	25.2	28.27	18.9	18.5	18.1	—	69	62	64	—
3	54.5	54.4	54.2	54.37	30.0	25.8	26.6	27.8	26.0	26.90	19.4	19.2	20.0	—	75	70	84	—
4	54.6	53.7	53.0	53.77	31.0	25.8	26.0	27.0	27.0	27.13	20.5	20.7	21.1	—	78	75	84	—
5	53.8	53.5	54.4	54.00	32.3	25.8	26.0	27.5	27.07	19.0	18.5	21.9	—	74	65	84	—	
6	—	—	—	—	—	—	—	—	—	—	—	—	—	—	—	—	—	—
7	—	—	—	—	—	—	—	—	—	—	—	—	—	—	—	—	—	—
8	—	—	—	—	—	—	—	—	—	—	—	—	—	—	—	—	—	—
9	—	—	—	—	—	—	—	—	—	—	—	—	—	—	—	—	—	—
10	—	—	—	—	—	—	—	—	—	—	—	—	—	—	—	—	—	—
11	—	—	—	—	—	—	—	—	—	—	—	—	—	—	—	—	—	—
12	—	—	—	—	—	—	—	—	—	—	—	—	—	—	—	—	—	—
13	—	—	—	—	—	—	—	—	—	—	—	—	—	—	—	—	—	—
14	—	—	—	—	—	—	—	—	—	—	—	—	—	—	—	—	—	—
15	—	—	—	—	—	—	—	—	—	—	—	—	—	—	—	—	—	—
16	—	—	—	—	—	—	—	—	—	—	—	—	—	—	—	—	—	—
17	—	—	—	—	—	—	—	—	—	—	—	—	—	—	—	—	—	—
18	—	—	—	—	—	—	—	—	—	—	—	—	—	—	—	—	—	—
19	—	—	—	—	—	—	—	—	—	—	—	—	—	—	—	—	—	—
20	—	—	—	—	—	—	—	—	—	—	—	—	—	—	—	—	—	—
21	—	—	—	—	—	—	—	—	—	—	—	—	—	—	—	—	—	—
22	—	—	—	—	—	—	—	—	—	—	—	—	—	—	—	—	—	—
23	—	—	—	—	—	—	—	—	—	—	—	—	—	—	—	—	—	—
24	—	—	—	—	—	—	—	—	—	—	—	—	—	—	—	—	—	—
25	—	—	—	—	—	—	—	—	—	—	—	—	—	—	—	—	—	—
26	—	—	—	—	—	—	—	—	—	—	—	—	—	—	—	—	—	—
27	—	—	—	—	—	—	—	—	—	—	—	—	—	—	—	—	—	—
28	—	—	—	—	—	—	—	—	—	—	—	—	—	—	—	—	—	—
29	—	—	—	—	—	—	—	—	—	—	—	—	—	—	—	—	—	—
30	—	—	—	—	—	—	—	—	—	—	—	—	—	—	—	—	—	—
31	—	—	—	—	—	—	—	—	—	—	—	—	—	—	—	—	—	—
M.	54.12	53.96	53.98	54.03	31.3	26.1	27.04	25.24	27.44	27.54	19.8	19.3	20.5	19.9	74	68	70	73

Zahl der beobachteten Wind-

	N	NNE	NE	ENE	E	ESE	SE	SSE
7h a. m.	—	—	—	—	—	—	—	—
2h p. m.	—	—	—	—	—	—	—	—
9h p. m.	—	—	—	—	—	—	—	—
Summe.	—	—	—	—	—	—	—	—

Maximum des Luftdruckes —

Minimum „ —

Maximum der Temperatur —

Minimum „ —

Maximum der Windstärke NNW 45 km pr. Std. „ 2

Tabelle XVIII.

Meteorologische

November

Beobachtungsstation: Koschir.

Gattung und Nummer des Barometers:

Beobachter: Dr. J. Fronista.

Seehöhe des Barometers:

Datum	Luftdruck (Barometerstand, reducirt auf 0°, Meeressniveau und 35° Breite)				Temperatur- Angaben des Max und Min- Thermometers		Temperatur des trockenen Thermometers in Celsius				Thermometer in Millimetern				Relative Feuchtigkeit in Procenten			
	7	2h	9h	Tages- mittel	Max	Min	7	2	9	Tages- mittel	7	2	9	Tages- mittel	7h	2h	9h	Tages- mittel
1	—	—	—	—	—	—	—	—	—	—	—	—	—	—	—	—	—	—
2	—	—	—	—	—	—	—	—	—	—	—	—	—	—	—	—	—	—
3	—	—	—	—	—	—	—	—	—	—	—	—	—	—	—	—	—	—
4	60.7	60.5	60.6	60.6	25.8	21.4	24.4	21.9	22.5	23.85	—	—	—	—	—	—	—	—
5	64.4	64.3	63.8	64.1	27.1	20.5	20.5	25.3	22.7	22.77	—	—	—	—	—	—	—	—
6	65.7	65.2	64.1	65.0	27.1	20.6	20.2	21.1	21.6	21.25	—	—	—	—	—	—	—	—
7	65.3	63.5	63.4	64.0	25.5	20.2	21.0	24.7	21.7	22.93	—	—	—	—	—	—	—	—
8	61.1	61.2	61.5	61.9	25.4	19.2	20.0	24.0	22.6	22.60	—	—	—	—	—	—	—	—
9	62.5	60.7	60.6	61.2	25.0	20.1	22.0	24.4	22.0	22.75	—	—	—	—	—	—	—	—
10	62.6	60.5	61.3	61.4	25.1	19.6	21.2	24.3	22.3	22.47	—	—	—	—	—	—	—	—
11	62.0	61.0	61.2	61.4	20.5	17.3	22.4	24.4	22.3	22.09	—	—	—	—	—	—	—	—
12	62.8	61.9	62.0	62.2	20.0	20.4	22.8	24.4	22.3	22.95	—	—	—	—	—	—	—	—
13	63.6	61.0	61.4	62.2	25.7	19.6	24.2	24.5	22.7	23.60	—	—	—	—	—	—	—	—
14	60.8	59.0	58.3	59.3	20.1	19.9	22.5	25.7	23.4	23.60	—	—	—	—	—	—	—	—
15	57.8	55.9	57.6	57.1	23.7	20.4	20.7	22.0	19.7	20.52	—	—	—	—	—	—	—	—
16	58.0	58.8	59.2	58.9	25.4	19.0	18.8	22.7	22.0	21.67	—	—	—	—	—	—	—	—
17	60.5	58.9	59.7	59.3	20.4	17.5	22.5	25.8	22.7	23.42	—	—	—	—	—	—	—	—
18	58.4	58.4	59.2	58.6	23.8	18.5	20.1	23.1	21.6	21.60	—	—	—	—	—	—	—	—
19	59.9	58.9	60.4	59.7	24.0	18.2	20.0	23.0	21.2	21.35	—	—	—	—	—	—	—	—
20	61.1	59.0	60.5	60.5	23.0	17.4	10.3	21.9	19.4	20.00	—	—	—	—	—	—	—	—
21	61.6	59.0	60.5	60.6	22.9	19.2	19.3	21.9	21.0	20.80	—	—	—	—	—	—	—	—
22	60.3	58.7	58.0	59.3	23.0	15.8	18.5	22.1	19.7	19.90	—	—	—	—	—	—	—	—
23	59.7	58.9	59.8	59.4	23.2	19.0	18.0	21.2	20.0	19.99	—	—	—	—	—	—	—	—
24	63.1	61.6	63.1	62.4	23.7	16.4	20.1	23.5	20.0	20.60	—	—	—	—	—	—	—	—
25	63.6	62.0	63.0	63.0	24.0	16.0	23.3	23.4	20.5	21.02	—	—	—	—	—	—	—	—
26	63.0	61.5	61.4	61.9	24.1	19.9	21.1	23.0	20.0	21.32	—	—	—	—	—	—	—	—
27	60.4	58.8	59.5	59.5	24.5	15.4	19.3	23.8	19.7	20.62	—	—	—	—	—	—	—	—
28	60.1	58.5	60.5	59.7	25.7	16.2	21.3	24.1	20.5	21.00	—	—	—	—	—	—	—	—
29	62.0	59.7	61.7	61.1	24.5	19.8	22.0	23.3	19.6	21.27	—	—	—	—	—	—	—	—
30	62.1	59.9	61.4	61.1	23.1	15.7	19.5	22.6	21.8	21.42	—	—	—	—	—	—	—	—
M.	61.49	60.35	60.89	60.98	24.7	18.0	21.1	23.0	21.3	21.85	—	—	—	—	—	—	—	—

Zahl der beobachteten Wind-

	N	NNE	NE	ENE	E	ESE	SE	SSE
7h a. m.	15	—	7	—	2	—	—	—
2h p. m.	12	—	12	—	—	—	1	—
9h p. m.	3	—	10	—	2	—	2	—
Summe.	30	—	29	—	4	—	3	—

Maximum des Luftdruckes 65.7 mm am 6.

Minimum „ „ 55.9 „ 15.

Maximum der Temperatur 27.1° C. „ 5.

Minimum „ „ 15.2 „ 28.

Maximum der Windstärke NNW 37 km pr. Std. „ 17.

Beobachtungen.

1895.

Stationsbarometer Kappeller Nr. 1005.

7.3 Meter.

Höhe des Thermometers über dem Erdboden 6.0 Meter.

Bewölkung, geschätzt nach Zehnteilen der sichtbaren Himmelsfläche				Windrichtung und Stärke nach der 10-theiligen Skala			Nieder- schlag binnen 24 Stunden gemessen um 7 ^h a. m.	Anmerkung
7 ^h	2 ^h	9 ^h	Tages- mittel	7 ^h	2 ^h	9 ^h	Höhe und Form	
—	—	—	—	—	—	—	0	
—	—	—	—	—	—	—	0	
0	0	0	0	N 4	N 4	N 4	0	
0	0	0	0	N 4	N 4	NW 4	0	
0	0	0	0	NE 4	NE 4	NE 4	0	
0	0	0	0	N 4	N 4	N 3	0	
0	0	0	0	N 4	N 4	NE 4	0	
0	0	0	0	N 4	N 4	N 4	0	
0	0	0	0	N 4	N 4	NE 3	0	
0	0	0	0	N 3	N 3	NE 3	0	
0	0	0	0	N 3	N 2	NE 1	0	
0	0	0	0	N 1	N 1	NE 1	0	
3	9	10	7	N 1	NE 1	E 1	0	
9	5	6	8	NE 4	NE 2	SE 2	•	2 ^h a. m. stärker •, Tagüber wiederholt •
1	5	8	5	E 1	W 3	E 4	0	
1	3	5	3	SW 2	SW 1	NE 1	0	
8	8	7	8	NE 1	NE 1	NE 1	0	
7	2	3	4	NE 1	NE 2	NE 1	0	
1	0	3	1	NW 1	NE 1	NE 1	0	
1	3	4	2	NE 1	NE 3	NE 4	0	
0	0	2	1	N 1	NE 1	NE 1	0	
0	3	3	2	NE 1	NE 1	NE 1	0	
1	1	0	1	W 1	NE 1	NE 1	0	
1	0	2	1	N 4	N 4	NE 1	0	
0	2	0	1	N 4	N 2	NE 1	0	
0	0	0	0	NE 1	NE 1	NE 0—1	0	
0	0	0	0	N 0—1	N 1	NE 0—1	0	
5	8	1	5	N 0—1	N 1	NE 0—1	0	
0	4	2	2	E 0—1	SE 3	SE 2	0	
1.4	2.1	2.3	1.0	2.2	2.3	2.0	—	

richtungen und Windstillen.

S	SSW	SW	WSW	W	WNW	NW	NNW	Calm
.	.	1	.	1	.	1	.	.
.	.	1	.	1	.	1	.	.
.	1	.	.
.	.	2	.	2	.	2	.	.

Zahl der Tage mit Niederschlag :

• • • • Gewitter 0
• • • • Nebel 0
• • • • Sturm 0

Tabelle XIX. Beobachtungsstation: Koseff.

December

Datum	Luftdruck (Barometerstand, reducirt auf 0°, Meeressniveau und 35° Breite)				Temperatur- Angaben des Max- und Min- Thermo- meters		Temperatur des trockenen Thermometers nach Celsius				Dampfdruck in Millimetern				Relative Feuchtigkeit in Procenten			
	7h	2h	9h	Tages- mittel	Max.	Min.	7h	2h	9h	Tages- mittel	7h	2h	9h	Tages- mittel	7h	2h	9h	Tages- mittel
1	01:2	59:0	01:2	00:07	25.5	10:0	20:4	25.2	22.3	22:50	—	—	—	—	—	—	—	—
2	02:4	02:0	03:5	02:8	24:9	17:2	19:7	21:7	20:8	21:25	—	—	—	—	—	—	—	—
3	04:1	02:5	02:4	03:00	24:2	17:5	20:2	22.8	18.0	20:05	—	—	—	—	—	—	—	—
4	01:5	59:0	59:0	00:23	24:2	10:5	19:3	22:7	20:2	20:00	—	—	—	—	—	—	—	—
5	58:7	57:4	58:7	58:27	24:2	10:0	17:8	23:8	22.0	21:40	—	14:4	10:4	—	—	60	83	—
6	58:8	58:9	00:4	59:37	20:1	17:5	20:2	24:2	20:4	21:30	13.1	10:5	14:8	—	74	74	83	—
7	02:0	02:2	02.3	02.37	23.5	18:0	19:0	23:0	20:4	22:72	8:8	—	—	—	58	70	70	—
8	02:3	00:5	01:2	01:30	23:0	17:5	20:0	22:0	22:7	22:07	13:0	14:0	10:9	—	75	70	54	—
9	00:0	58:0	59:3	59:00	23:5	15:0	19:0	22:2	19:0	20:40	10:2	12:0	12:0	—	60	64	70	—
10	59:2	57:0	00:4	59:07	20:1	10:0	19:2	25:1	19:7	20:02	6:0	8:3	7:1	—	42	35	42	—
11	04:4	02:2	04:0	03:83	19:0	10:0	10:6	18:9	14:0	10:17	—	—	—	—	—	—	—	—
12	06:2	03:9	05:2	05:20	19:3	12:0	10:3	18:0	15:4	10:42	—	—	—	—	—	—	—	—
13	05:0	04:0	04:0	04:83	21:0	13:2	15:0	19:2	10:0	17:00	—	10:3	9:7	—	62	69	—	—
14	04:1	02:5	03:2	03:27	22:4	14:1	16:8	21:5	17:4	18:30	10:8	11:5	11:2	—	70	61	70	—
15	02:0	19:0	00:7	00:77	23:2	14:4	18:3	23:0	19:0	19:30	11:0	13:1	11:3	—	70	63	69	—
16	01:3	59:9	01:5	00:57	23:5	10:5	20:8	22:8	20:9	21:35	11:0	15:2	13:4	—	72	74	74	—
17	03:1	02:5	03:4	03:00	23.1	18:5	21:5	22:5	19:5	20:00	8:2	10:0	10:0	—	43	52	01	—
18	05:2	04:1	04:0	04:73	23:0	17:0	19:3	22:0	19:8	20:38	7:9	13:3	10:0	—	47	60	01	—
19	05:8	03:0	04:3	04:37	23:0	17:0	21:2	22:2	18:9	20:30	10:9	14:4	11:2	—	59	72	69	—
20	04:0	01:9	02:2	02:70	24:2	10:5	20:8	22:7	19:4	20:57	8:0	18:5	11:8	—	49	91	70	—
21	02:1	59:9	00:0	00:97	24:2	10:0	20:0	23:2	20:8	21:20	10:2	—	—	—	58	79	80	—
22	59:2	57:0	58:3	58:37	25:7	19:0	20:3	24:0	20:0	21:52	14:9	17:3	9:9	—	84	70	54	—
23	00:4	59:2	01:1	00:23	20:4	14:2	16:0	10:8	18:3	18:33	5:4	6:8	0:0	—	38	39	43	—
24	03:5	03:3	02:0	01:93	21:0	13:2	18:2	20:2	11:8	18:00	6:4	9:7	8:8	—	41	55	63	—
25	03:5	02:0	04:0	03:37	21:2	13:9	15:2	20:5	17:0	17:72	7:0	9:0	0:0	—	59	54	44	—
26	05:2	03:7	04:4	04:43	21:7	12:9	18.1	21.0	17:8	18:07	7:5	9:9	10:0	—	49	54	69	—
27	04:7	02:0	03:9	03:83	22:0	14:1	18:1	21:5	19:4	19:00	0:0	13:4	12:0	—	44	71	72	—
28	02:0	00:3	01:0	00:43	25:5	13:1	18:1	21:7	17:5	18:75	7:7	11:1	10:5	—	49	58	70	—
29	59:6	57:2	57:5	58:10	22:4	13:0	19:0	22:1	18:9	19:88	9:9	11:3	12:4	—	58	57	76	—
30	59:1	56:5	01:8	59:13	25:4	11:0	18:2	24:0	20:0	18:83	13.1	7:5	0:8	—	84	33	49	—
31	00:9	59:9	02:3	01:03	21:5	11:0	16:8	19:8	15:6	10:95	6:4	5:3	0:0	—	45	31	50	—
M.	02:36	00:78	01:98	01:70	23:2	15:4	18:8	22:2	19:0	19:82	9:9	12:2	10:9	10:9	58	61	65	61

Zahl der beobachteten Wind-

	N	NNE	NE	ENE	E	ESE	SE	SSE
7h a. m.	15	.	2	.	1	.	1	.
2h p. m.	22	.	1	.	2	.	.	.
9h p. m.	8	.	13	.	3	.	2	.
Summe.	46	.	18	.	6	.	3	.

Maximum des Luftdruckes 66.5 mm am 12.

Minimum » » 56.5 » 30.

Maximum der Temperatur 26.1° C. » 10.

Minimum » » 11.5 » 31.

Maximum der Windstärke E 56 km pr. Std. » 18.

1895.

Bewölkung, geschätzt nach Zehnthteilen der sichtbaren Himmelsfläche				Windrichtung und Stärke nach der 10-theiligen Scale			Niederschlag binnen 24 Stunden gemessen um 7 ^h a. m.	Anmerkung
7h	2h	9h	Tages- mittel	7h	2h	9h	Höhe und Form	
2	5	10	7	SE 1	E 1	SE 1	o	
4	1	0	2	NE 0-1	N 1	E 0-1	o	
0	0	0	0	N 1	N 1	N 0-1	o	
0	0	0	0	N 1	N 1	NE 0-1	o	
0	0	2	1	NE 0-1	E 0-1	SE 0-1	o	
3	0	1	1	NW 0-1	N 1	N 0-1	o	
0	2	3	2	N 1	N 3	N 3	o	
0	3	0	1	N 4	N 3	NE 2	o	
8	10	5	8	N 1	N 1	NE 1	o	
0	0	2	1	NW 1	NW 1	N 1	o	
0	0	2	1	NW 4	NW 4	NW 1	o	
3	2	5	3	NW 3	N 1	N 1	o	
4	5	2	4	NW 4	N 4	NE 2	o	
0	2	3	2	NW 4	N 2	NE 1	o	
5	0	0	3	NW 1	N 1	NE 1	o	
2	8	10	7	NW 1	SE 1	NW 1	o	
2	0	3	2	N 4	N 4	NE 3	o	
0	0	3	1	N 5	N 7	NE 0	o	
0	0	0	0	N 4	N 4	NE 2	o	
0	10	2	4	N 1	N 1	NE 1	o	
4	5	1	4	N 1	NE 1	E 0-1	o	
4	1	0	2	E 0-1	NE 1	E 0-1	o	
1	0	2	1	NW 1	N 1	NE 1	o	
0	5	3	5	NW 1	N 4	NE 2	o	
0	2	4	2	N 4	N 5	N 5	o	
0	0	2	1	N 5	N 4	NE 3	o	
0	0	8	3	N 2	N 1	N 1	o	
2	10	0	4	N 1	N 1	N 1	o	
2	0	2	1	N 1	N 0-1	NW 0-1	o	
2	3	0	2	NW 1	NW 1	NW 1	o	
0	0	2	1	NW 1	NW 1	NW 1	o	
1.8	2.0	2.5	2.3	2.0	2.0	1.5	o	

richtungen und Windstillen.

S	SSW	SW	WSW	W	WNW	NW	NNW	Calm
.	12	.	.
.	4	.	.
.	5	.	.
.	21	.	.

Zahl der Tage mit Niederschlag o

* * * * Gewitter o

* * * * Nebel o

* * * * Sturm 1

Tabelle XX. Beobachtungsstation: Koseir.

Jänner

Datum	Luftdruck (Barometerstand, reducirt auf 0°, Meeressniveau und 35° Breite)				Thermometer Angaben des Max. und Min. Thermometers		Temperatur des trocknen Thermometers nach Celsius				Dampfdruck in Millimetern				Relative Feuchtigkeit in Procenten			
	7h	2h	9h	Tages- mittel	Max.	Min.	7h	2h	9h	Tages- mittel	7h	2h	9h	Tages- mittel	7h	2h	9h	Tages- mittel
1	04.0	03.1	03.4	03.70	18.5	11.4	14.5	15.2	16.2	15.28	0.8	7.7	8.7	—	55	50	03	—
2	02.0	00.8	01.1	01.00	20.0	13.2	18.4	18.7	19.7	17.02	7.0	10.3	9.9	—	51	04	09	—
3	01.8	00.0	00.4	00.73	21.2	12.5	15.0	20.8	19.0	17.48	6.8	7.3	10.3	—	51	41	73	—
4	00.4	58.3	53.1	50.72	22.0	12.5	15.3	21.2	18.7	18.53	7.4	8.5	6.4	—	57	40	40	—
5	01.0	00.7	02.0	01.43	20.0	12.2	15.0	19.8	17.0	17.20	5.8	7.0	7.7	—	49	41	54	—
6	01.7	59.3	50.3	00.10	20.5	12.5	14.8	20.2	19.0	17.20	7.1	9.1	11.3	—	57	52	79	—
7	59.2	57.9	59.4	58.83	20.8	12.1	15.2	19.9	15.9	16.73	6.6	8.3	8.4	—	51	48	02	—
8	59.8	58.5	10.0	59.43	22.3	12.1	14.8	19.9	15.0	16.18	4.7	5.9	9.0	—	38	34	48	—
9	02.0	01.4	02.5	01.62	19.0	11.4	12.5	18.3	12.5	14.17	6.1	7.0	5.0	—	55	31	51	—
10	00.5	01.5	00.5	00.58	18.0	9.5	11.2	17.3	15.0	15.38	4.4	6.5	7.0	—	39	44	55	—
11	07.3	05.5	05.0	06.13	19.0	11.1	14.1	17.7	12.4	14.20	5.5	9.0	8.1	—	40	00	70	—
12	05.3	02.4	01.7	01.93	19.5	11.2	14.5	18.9	15.4	10.55	5.8	8.8	9.4	—	42	54	72	—
13	03.3	01.2	02.2	02.21	20.0	11.0	18.0	20.4	15.8	17.50	5.2	10.1	8.7	—	37	57	04	—
14	01.7	59.5	50.5	50.13	21.5	12.5	17.7	21.0	19.8	19.30	7.9	11.0	7.8	—	53	50	47	—
15	00.0	00.0	02.2	01.00	25.0	18.0	20.3	21.7	19.5	20.75	0.2	9.4	12.0	—	35	43	74	—
16	01.9	59.0	59.0	100.70	21.4	10.2	18.0	23.4	21.1	21.05	12.2	10.3	10.9	—	72	72	91	—
17	54.8	51.0	53.5	51.97	24.5	18.5	19.4	24.1	22.0	22.17	14.8	17.5	10.1	—	89	79	79	—
18	55.9	50.8	01.3	58.04	20.5	14.5	14.7	19.0	14.8	15.08	5.3	4.5	0.4	—	43	39	51	—
19	03.3	02.0	02.0	02.03	19.0	11.0	13.2	18.0	17.4	10.05	6.0	7.0	7.8	—	53	48	53	—
20	01.7	00.7	02.1	01.50	20.0	12.5	14.5	19.0	15.0	16.10	7.1	5.5	0.3	—	57	38	50	—
21	02.4	00.5	01.9	01.17	19.5	10.0	13.0	18.0	15.0	15.40	4.7	7.0	5.5	—	40	44	44	—
22	01.0	59.4	02.2	00.55	18.0	8.0	10.0	17.4	15.3	14.50	3.4	5.3	4.2	—	38	30	33	—
23	03.0	02.4	04.0	01.63	18.7	9.0	13.4	18.4	14.0	15.25	5.0	5.1	5.0	—	49	38	45	—
24	00.2	05.5	07.0	06.23	17.5	11.1	14.2	17.2	14.8	15.25	4.0	6.2	6.4	—	38	42	51	—
25	07.0	05.1	05.9	06.00	18.2	10.5	12.0	17.0	15.4	15.10	5.3	8.7	7.0	—	51	59	54	—
26	04.9	03.8	03.0	03.90	19.2	10.8	13.0	14.0	16.2	15.00	7.0	10.1	3.8	—	01	82	04	—
27	01.2	59.0	00.0	00.40	21.1	12.5	16.2	21.0	18.0	18.30	8.5	9.0	10.4	—	04	49	08	—
28	59.8	59.5	00.7	00.00	22.0	15.0	15.7	22.2	18.7	18.70	10.0	13.1	12.3	—	81	00	77	—
29	01.1	00.4	01.8	01.10	21.0	14.8	14.0	20.4	17.6	17.55	4.9	14.7	6.7	—	38	80	45	—
30	03.7	03.0	04.1	03.90	19.0	12.0	16.2	18.1	16.3	16.72	6.3	8.1	7.0	—	40	58	51	—
31	04.5	02.5	04.8	03.91	19.8	10.0	11.4	10.2	12.4	12.10	5.0	6.2	4.8	—	58	45	45	—
M.	02.35	00.89	01.98	01.74	20.3	12.4	15.1	19.5	16.4	16.85	7.3	8.7	8.4	8.1	52	51	58	53

Zahl der beobachteten Wind-

	N	NNE	NE	ENE	E	ESE	SE	SSE
7h a. m.	3
2h p. m.	3	1	9	.	1	.	1	.
9h p. m.	5	.	18	.	2	.	3	.
Summe.	16	1	22	.	3	.	4	.

Maximum des Luftdrucks 07.0 mm am 24.25.

Minimum „ „ 33.5 „ 17.

Maximum der Temperatur 25.5° C. „ 15.

Minimum „ „ 8.9 „ 22.

Maximum der Windstärke NW 46 km pr. Std. „ 31.

1896.

Bewölkung, geschätzt nach Zehnteilen der Himmelsfläche				Windrichtung und Stärke nach der 10-theiligen Skale			Nieder- schlag binnen 24 Stunden gemessen um 7 ^h a. m.	Anmerkung
7 ^h	2 ^h	9 ^h	Tages- mittel	7 ^h	2 ^h	9 ^h	Höhe und Form	
0	0	0	0	NW 1	NW 1	NW 1	0	Sehr küh.
2	3	0	2	NW 1	NW 1	N 1	0	
0	0	0	0	NW 1	N 0-1	NE 1	0	
0	0	0	0	NW 0-1	N 0-1	NE 0-1	0	
0	0	0	0	NW 4	NW 3	N 2	0	
0	0	0	0	NW 1	NE 2	NE 1	0	
0	0	0	0	NW 1	NE 1	NE 1	0	
0	0	2	1	NW 1	NW 1	NW 1	0	
0	2	0	1	NW 1	NW 4	NW 2	0	
0	0	2	1	NW 2	NW 2	NW 2	0	
3	0	0	1	NW 4	N 4	N 2	0	
2	3	0	2	N 4	N 3	NE 4	0	
0	0	0	0	N 3	N 2	NE 1	0	
0	1	0	0	NW 1	E 2	SE 1	0	
0	0	0	0	NW 1	NE 2	E 1	0	
4	9	10	8	NW 1	SE 2	SE 1	0	
10	10	10	10	NW 1	NE 1	SE 1	0	
9	10	7	9	NW 3	NW 4	NW 3	0	
8	0	4	4	NW 3	NE 2	E 3	0	
10	10	5	5	NW 0-1	NW 0-1	NE 0-1	0	
0	2	0	1	NW 3	NW 3	NE 3	0	
0	0	2	1	NW 3	NW 3	NW 3	0	
2	0	0	1	NW 3	NW 3	NW 0-1	0	
0	0	8	3	NW 0-1	NNE 3	NE 4	0	
2	0	0	1	NW 0-1	NE 3	NE 0-1	0	
0	0	2	1	NW 0-1	N 1	N 0-1	0	
0	0	0	0	NW 0-1	NE 1	NE 0-1	0	
7	0	8	5	N 0-1	NE 0-1	NE 0-1	0	
0	0	10	3	NW 0-1	NE 0-1	NE 0-1	0	
0	0	2	1	NW 5	N 4	N 5	0	
0	0	0	0	NW 4	N 5	NW 5	0	
2 ⁰	1 ⁰	2 ³	2 ⁰	1 ⁸	2 ¹	1 ⁷	0	

richtungen und Windstillen.

S	SSW	SW	WSW	W	WNW	NW	NNW	Calm
.	28 11 8	.	.
.	47	.	.

Zahl der Tage mit Niederschlag o

* * * * * Gewitter o
 * * * * * Nebel o
 * * * * * Sturm o

Tabelle XXI. Beobachtungsstation: Koseir.

Februar

Datum	Luftdruck (Barometerstand, reducirt auf 0°, Meeressniveau und 35° Breite)				Temperatur- Angaben des Max und Min. Thermometers		Temperatur des trockenen Thermometers nach Celsius				Luftdruck in Millimetern				Relative Feuchtigkeit in Procenten			
	7h	2h	9h	Tages- mittel	Max.	Min.	7h	2h	9h	Tages- mittel	7h	2h	9h	Tages- mittel	7h	2h	9h	Tages- mittel
1	04.7	05.7	05.4	05.5	17.5	9.5	10.0	17.2	14.0	18.0	4.8	5.1	7.1	—	50	30	00	—
2	06.0	03.8	05.0	04.6	18.5	10.0	11.2	17.3	14.4	14.4	6.2	5.0	7.4	—	03	37	00	—
3	05.3	04.5	04.9	04.5	18.0	10.0	12.2	16.8	13.4	13.0	6.5	10.0	7.1	—	02	70	02	—
4	06.2	05.5	06.0	05.9	18.0	11.0	13.0	17.1	14.4	14.4	7.2	7.8	8.0	—	00	53	73	—
5	05.1	04.4	04.5	04.5	19.0	12.0	13.4	18.7	17.0	21.0	8.7	11.5	9.7	—	70	71	00	—
6	03.7	01.7	03.0	03.0	22.2	13.0	10.8	21.0	17.0	18.0	12.5	11.0	9.5	—	00	01	00	—
7	05.2	04.1	05.0	04.7	19.2	13.0	10.8	18.0	11.4	17.5	11.1	9.4	8.3	—	70	59	50	—
8	05.1	03.5	04.2	04.2	19.0	11.0	14.5	17.5	10.0	10.0	8.1	0.1	9.3	—	05	00	03	—
9	03.2	02.1	02.1	02.1	19.5	12.0	14.7	18.5	17.8	17.1	0.5	8.4	7.5	—	54	52	49	—
10	02.3	01.5	00.2	01.1	19.5	14.2	14.7	18.0	17.0	17.2	0.3	9.2	8.0	—	51	59	58	—
11	00.0	59.8	02.0	00.0	21.5	15.5	10.0	21.2	17.0	18.0	5.5	3.7	8.1	—	44	20	54	—
12	01.4	03.3	05.5	04.0	19.0	12.2	12.0	18.7	17.4	18.5	5.7	0.9	0.8	—	52	43	40	—
13	06.8	05.4	06.3	06.1	18.5	11.5	12.8	19.0	17.5	18.0	5.8	7.1	0.7	—	53	44	40	—
14	06.0	05.2	06.0	05.5	19.0	12.1	11.0	19.4	17.4	18.0	5.2	11.8	8.2	—	45	70	50	—
15	05.0	05.1	05.1	05.1	19.5	12.0	12.0	18.5	18.4	17.0	10.0	7.5	7.2	—	08	47	40	—
16	04.9	02.5	02.1	03.1	19.0	12.5	15.0	18.0	17.0	17.5	11.8	8.4	8.0	—	10	53	58	—
17	02.3	01.1	02.0	01.2	22.5	15.7	10.4	22.4	17.4	17.4	11.4	7.8	7.2	—	80	47	53	—
18	00.4	01.3	02.0	01.4	21.5	18.0	15.2	19.0	15.0	15.0	—	—	8.0	—	—	04	—	—
19	05.4	04.0	03.0	04.1	17.0	9.0	11.0	19.4	15.4	14.0	—	—	11.0	—	—	59	—	—
20	06.2	04.0	05.4	05.0	17.5	10.0	15.2	15.8	15.4	15.4	—	—	—	—	—	—	—	
21	06.0	04.5	05.4	05.0	18.2	10.5	15.0	19.0	15.4	15.0	—	2.9	7.0	—	—	50	—	—
22	05.8	03.8	05.0	04.7	20.5	10.5	14.5	19.5	17.4	17.0	0.7	10.3	8.1	—	54	01	55	—
23	04.9	02.7	03.5	03.7	23.0	13.5	10.0	22.2	17.4	18.0	7.2	12.5	9.2	—	55	03	00	—
24	04.1	02.5	03.5	03.3	20.0	15.0	22.0	22.8	20.4	21.0	5.0	15.7	13.7	—	25	70	77	—
25	03.0	02.4	01.5	02.2	20.0	19.5	20.2	20.2	22.4	22.0	5.4	10.2	9.5	—	48	48	47	—
26	01.9	01.3	00.9	01.3	25.0	14.0	22.4	24.2	20.8	22.0	10.0	11.9	14.0	—	30	53	77	—
27	00.4	59.8	00.4	00.4	25.8	17.0	20.9	24.0	21.8	22.2	9.1	14.9	14.0	—	50	05	73	—
28	00.2	59.3	00.1	00.1	23.0	16.5	17.0	23.0	20.2	20.0	7.0	15.8	8.8	—	50	70	50	—
29	58.5	56.6	56.6	57.1	23.8	17.0	20.0	23.7	19.8	20.8	9.5	15.5	15.5	—	55	73	90	—
M.	03.93	02.82	03.45	03.40	20.0	12.7	15.3	19.0	17.4	17.33	7.7	9.9	9.2	9.0	60	50	62	59

Zahl der beobachteten Wind-

	N	NNE	NE	ENE	E	ESE	SE	SSE
7h a. m.	5	—	1	—	1	—	—	—
2h p. m.	20	—	4	—	1	—	—	—
9h p. m.	14	—	9	—	3	—	—	—
Summe.	39	—	14	—	5	—	—	—

Maximum des Luftdruckes 60.8 mm am 13.

Minimum „ „ 50.5 „ 29.

Maximum der Temperatur 26.5° C. „ 27.

Minimum „ „ 9.0 „ 19.

Maximum der Windstärke N 75 km pr. Std. „ 7.

Tabelle XXII. Beobachtungsstation: Kosch.

März

Datum	Luftdruck (Barometerstand, reducirt auf 0°, Meeressniveau und 35° Breite)				Tempe- ratur- Angaben des Max- und Min- Thermo- meters		Temperatur des trocknen Thermometers nach Celsius				Dampfdruck in Millimetern				Relative Feuchtigkeit in Procenten			
	7h	2h	9h	Tages- mittel	Max.	Min.	7h	2h	9h	Tages- mittel	7h	2h	9h	Tages- mittel	7h	2h	9h	Tages- mittel
1	50° 4	54° 8	55° 7	55° 93	23° 4	18° 0	10° 8	21° 2	21° 0	20° 75	10° 5	14° 3	10° 1	—	01	78	87	—
2	50° 9	58° 3	57° 0	50° 93	23° 5	18° 6	21° 4	22° 4	18° 0	20° 40	8° 4	8° 5	8° 1	—	44	42	50	—
3	60° 6	00° 0	01° 7	00° 72	21° 0	16° 0	12° 4	30° 4	17° 0	18° 25	7° 0	8° 0	10° 5	—	48	48	70	—
4	63° 2	00° 9	03° 0	02° 33	22° 0	18° 0	10° 4	20° 2	19° 4	18° 85	—	—	—	—	—	—	—	—
5	60° 4	58° 2	58° 3	58° 97	21° 2	14° 5	20° 0	22° 4	18° 8	20° 00	—	—	—	—	—	—	—	—
6	60° 7	59° 7	01° 7	00° 70	21° 5	10° 5	19° 2	21° 0	21° 4	20° 98	—	—	—	—	—	—	—	—
7	62° 0	00° 2	00° 7	00° 02	21° 6	10° 0	12° 8	19° 8	18° 9	18° 85	—	—	—	—	—	—	—	—
8	59° 1	57° 3	01° 2	59° 22	22° 5	10° 5	21° 5	25° 2	20° 0	21° 02	—	—	—	—	—	—	—	—
9	62° 5	01° 0	01° 0	02° 22	22° 0	13° 0	10° 1	21° 4	18° 4	18° 58	—	—	—	—	—	—	—	—
10	61° 1	00° 7	01° 7	01° 83	22° 0	13° 2	19° 6	21° 2	20° 1	20° 25	—	—	—	—	—	—	—	—
11	61° 7	01° 4	00° 2	01° 10	24° 0	18° 2	20° 8	21° 0	20° 2	20° 78	—	—	—	—	—	—	—	—
12	59° 9	58° 1	58° 4	58° 50	24° 5	18° 0	23° 8	22° 8	22° 5	22° 00	—	—	—	—	—	—	—	—
13	58° 5	54° 0	57° 3	50° 13	25° 0	10° 0	23° 0	24° 0	21° 0	22° 85	—	—	—	—	—	—	—	—
14	58° 8	57° 0	58° 0	58° 45	22° 8	10° 5	17° 8	22° 4	19° 0	20° 08	—	—	—	—	—	—	—	—
15	60° 2	58° 4	59° 0	59° 40	22° 0	10° 2	20° 0	21° 4	19° 4	20° 28	—	—	—	—	—	—	—	—
16	60° 2	59° 5	60° 7	60° 13	23° 2	14° 5	20° 4	21° 0	19° 4	20° 28	—	—	—	—	—	—	—	—
17	60° 8	57° 0	58° 0	59° 10	23° 8	14° 5	20° 4	23° 0	20° 0	21° 12	—	—	—	—	—	—	—	—
18	60° 3	58° 8	57° 9	59° 00	23° 0	15° 0	19° 4	21° 0	19° 4	19° 80	—	—	—	—	—	—	—	—
19	60° 3	58° 4	58° 0	59° 10	23° 0	10° 0	19° 5	21° 2	19° 4	19° 87	—	—	—	—	—	—	—	—
20	58° 8	58° 0	59° 5	58° 97	22° 0	15° 5	19° 4	19° 8	19° 4	19° 50	—	—	—	—	—	—	—	—
21	59° 1	50° 0	57° 0	57° 52	21° 2	13° 0	18° 4	21° 0	19° 0	19° 80	—	—	—	—	—	—	—	—
22	57° 0	59° 4	50° 4	51° 80	22° 5	14° 5	19° 4	21° 4	20° 4	20° 4	—	—	—	—	—	—	—	—
23	57° 0	57° 0	49° 7	51° 43	22° 8	18° 0	21° 9	22° 0	23° 4	22° 00	—	—	—	—	—	—	—	—
24	50° 5	55° 8	58° 4	50° 00	23° 0	18° 0	18° 8	23° 0	20° 8	20° 00	—	—	—	—	—	—	—	—
25	58° 9	57° 7	58° 5	58° 72	23° 0	14° 0	19° 4	30° 8	19° 5	19° 80	—	—	—	—	—	—	—	—
26	60° 5	58° 0	57° 7	59° 22	24° 0	14° 5	21° 8	23° 4	20° 0	21° 00	—	—	—	—	—	—	—	—
27	57° 7	52° 0	51° 0	53° 18	25° 1	17° 0	22° 2	22° 4	19° 4	20° 85	13° 7	11° 1	11° 5	—	60	60	68	—
28	53° 7	54° 2	59° 8	54° 90	20° 5	19° 0	23° 4	23° 4	21° 4	22° 40	8° 4	13° 5	12° 7	—	39	63	67	—
29	58° 0	58° 4	01° 1	59° 17	28° 0	10° 5	20° 4	22° 0	18° 8	20° 13	15° 2	10° 4	10° 4	—	85	51	64	—
30	01° 7	00° 9	01° 5	01° 37	23° 8	10° 9	19° 4	22° 0	20° 4	20° 53	—	—	—	—	—	—	—	—
31	00° 4	58° 0	58° 3	58° 00	25° 5	10° 0	23° 3	25° 0	19° 8	21° 48	—	—	—	—	—	—	—	—
M.	59° 32	57° 90	58° 79	58° 62	23° 8	15° 0	20° 1	22° 0	20° 0	20° 58	—	—	—	—	—	—	—	—

Zahl der beobachteten Wind-

	N	NNE	NE	ENE	E	ESE	SE	SSE
7h a. m.	28	—	1	—	—	—	—	1
2h p. m.	18	—	10	—	—	—	5	—
9h p. m.	18	—	4	—	0	—	4	—
Summe.	49	—	15	—	0	—	9	1

Maximum des Luftdruckes 63° 2 mm am 4.

Minimum „ „ 49° 7 „ 23.

Maximum der Temperatur 29° 5° C. „ 28.

Minimum „ „ 13° 0 „ 4.

Maximum der Windstärke N 79 km pr. Std. „ 28.

1896.

Bewölkung, geschätzt nach Zehnteilen der sichtbaren Himmelsfläche				Windrichtung und Stärke nach der 10-theiligen Scale			Nieder- schlag binnen 24 Stunden gemessen um 7 a. m.	Anmerkung:
7 ^h	2 ^h	9 ^h	Tages- mittel	7 ^h	2 ^h	9 ^h	Höhe in mm und Form	
10	10	10	10	N 4	NE 0-1	E 0-1	0	Trüb a. m. trüb
8	0	0	3	N 0	N 7	N 7	0	
0	0	0	0	N 7	N 0	N 4	0	
0	0	0	0	N 4	NE 4	NE 0-1	0	
0	0	0	0	NE 0-1	SE 4	SE 0-1	0	
0	0	0	0	N 4	NE 4	E 0-1	0	
0	0	0	0	N 4	NE 4	NE 0-1	0	
0	0	0	0	N 4	NW 8	NW 4	0	
0	0	0	0	N 0-1	NE 0-1	E 0-1	0	
8	10	0	0	NW 0-1	NE 0-1	E 0-1	0	
8	5	4	0	NW 0-1	NE 0-1	E 0-1	0	
0	0	2	1	N 0-1	SE 0-1	S 0-1	0	
0	0	0	0	S 1	S 0-1	S 0-1	0	
0	0	0	0	N 7	N 0	N 0	0	
0	0	0	0	N 6	N 4	S 0-1	0	
0	0	0	0	N 6	N 4	N 0-1	0	
0	0	0	0	N 4	N 7	N 7	0	
0	0	0	0	N 7	N 6	N 4	0	
10	8	0	5	N 7	N 4	N 4	0	
3	0	0	1	N 0	N 4	N 0-1	0	
0	0	5	2	N 0-1	SE 0-1	SE 0-1	0	
1	10	10	10	N 0-1	NW 0-1	NE 0-1	0	
10	10	10	10	SNE 4	S 5	S 4	● ▲	16 ^h a. m. 1 ^h 2 ^h 3 ^h mit ● und ▲
8	0	0	0	N 5	N 7	N 4	0	p. m. böig, kurzer ●
0	0	0	0	N 4	N 0-1	N 0-1	0	
0	3	8	4	N 0-1	NE 0-1	E 0-1	0	
0	10	10	7	N 0-1	NE 0	SE 0	●	
5	2	2	3	NW 4	SE 4	SE 4	0	
0	0	0	0	NW 4	NE 4	NE 0-1	0	
3	0	2	2	NW 0-1	N 4	N 0-1	0	
0	0	0	0	N 4	N 0-1	N 0-1	0	
2 7	2 1	2 2	2 3	3 4	3 4	2 1		

richtungen und Windstillen.

8	SSW	SW	WSW	W	WNW	NW	NNW	Calm
1	-	-	-	-	-	5	-	-
2	-	-	-	-	-	1	-	-
3	-	-	-	-	-	1	-	-
6	-	-	-	-	-	7	-	-

Zahl der Tage mit Niederschlag 2

• • • • Gewitter 1
• • • • Nebel 0
• • • • Sturm 11

Tabelle XXIII. Beobachtungsstation: Kositz.

April

Datum	Luftdruck (Barometerstand reducirt auf 0°, Meeressniveau und 45° Breite)				Temperatur des Max und Min Thermo- meters		Temperatur des trockenen Thermometers nach Celsius				Quecksilber in Millimetern				Relative Feuchtigkeit in Procenten			
	7	2	9	Tages- mittel	Max	Min	7h	2h	9h	Tages- mittel	7	2	9h	Tages- mittel	7h	2h	9h	Tages- mittel
1	58°	57°2	58°1	55°07	27°0	17°0	24°8	21°4	18°0	21°30	—	—	—	—	—	—	—	—
2	57°3	55°7	55°0	50°24	20°0	18°4	24°4	27°1	23°8	24°28	—	—	—	—	—	—	—	—
3	56°0	54°7	57°0	55°00	16°0	20°0	21°4	28°7	24°5	24°22	—	—	—	—	—	—	—	—
4	56°4	57°0	56°5	56°19	17°0	21°0	21°0	21°8	21°8	21°56	—	—	—	—	—	—	—	—
5	57°1	54°4	56°4	—	—	—	22°5	23°0	21°4	23°05	—	—	—	—	—	—	—	—
6	—	—	—	—	10°0	—	—	—	—	—	—	—	—	—	—	—	—	—
7	57°	56°2	57°5	52°07	22°0	20°0	22°0	20°0	22°5	22°88	12°0	—	—	—	—	—	—	—
8	57°	56°4	55°5	50°07	20°0	17°0	22°2	21°1	20°2	21°25	10°0	13°0	10°1	—	51	68	57	—
9	55°	53°3	57°0	55°17	20°0	17°5	24°3	29°3	21°2	24°02	13°4	19°4	12°4	—	59	65	59	—
10	58°0	58°9	59°4	58°46	21°0	19°5	20°0	21°8	19°1	20°23	10°8	9°1	10°2	—	62	47	60	—
11	56°2	56°7	56°0	50°07	21°0	17°1	18°0	19°4	18°4	18°20	14°0	—	—	—	64	—	76	—
12	59°2	59°5	59°2	59°16	27°0	17°0	17°8	18°4	17°4	17°26	—	—	—	—	—	—	—	—
13	59°3	59°9	59°0	59°00	21°5	17°1	20°5	21°4	17°0	19°50	—	—	—	—	—	—	—	—
14	61°2	60°0	60°2	60°07	21°3	18°0	19°4	22°0	18°9	19°30	—	—	—	—	—	—	—	—
15	61°2	59°0	60°0	59°37	20°0	18°0	18°4	23°4	22°0	21°80	—	—	—	—	—	—	—	—
16	60°1	58°4	58°9	59°17	22°0	19°0	24°4	23°8	21°4	22°23	11°2	15°5	—	—	51	83	—	—
17	60°	59°3	58°5	59°01	22°5	20°0	20°0	23°7	22°4	24°20	12°0	10°4	—	—	—	—	—	—
18	59°1	58°4	58°0	58°07	20°5	19°5	23°2	23°7	21°4	24°13	10°2	12°2	—	—	44	59	—	—
19	59°1	58°7	59°4	59°13	20°0	19°2	24°0	25°0	25°5	25°37	—	—	—	—	—	—	—	—
20	59°3	60°8	61°0	60°13	25°0	19°0	21°8	25°0	19°0	24°05	—	—	—	—	—	—	—	—
21	62°3	61°3	62°0	61°21	24°5	21°0	23°4	23°16	21°4	22°45	—	—	—	—	—	—	—	—
22	62°1	60°9	60°4	60°23	24°5	20°5	22°2	23°4	20°4	21°15	—	—	—	—	—	—	—	—
23	60°1	59°0	58°5	59°00	20°5	18°5	22°0	21°3	20°7	21°23	—	—	16°6	—	—	—	93	—
24	59°4	57°0	58°1	58°17	20°0	18°0	24°0	24°8	21°0	23°00	10°2	15°4	—	—	69	80	—	—
25	59°1	57°3	58°0	58°27	20°0	17°5	20°9	24°8	23°4	24°03	10°9	—	—	—	73	—	—	—
26	58°1	57°7	57°9	57°08	18°0	20°0	23°5	20°7	22°4	20°30	15°0	8°8	—	—	40	44	—	—
27	59°1	59°9	58°0	58°17	22°5	21°0	30°3	20°5	21°4	25°03	12°2	11°9	—	—	39	74	—	—
28	58°0	58°0	58°4	58°06	13°5	23°5	20°0	28°9	30°2	27°05	13°5	—	—	—	52	—	—	—
29	59°6	55°1	59°0	59°19	24°5	22°5	20°4	28°7	25°4	26°47	—	—	—	—	—	—	—	—
30	55°1	59°5	53°9	55°31	11°0	22°5	27°2	30°0	27°2	28°02	—	—	—	—	—	—	—	—
31	—	—	—	—	—	—	—	—	—	—	—	—	—	—	—	—	—	—
M.	58°30	57°30	58°32	58°37	22°0	19°0	23°02	24°93	22°07	23°17	—	—	—	—	—	—	—	—

Zahl der beobachteten Wind-

	N	NNE	NE	ENE	E	ESE	SE	SSE
7h a. m.	27	—	1	—	1	—	—	—
2h p. m.	24	—	1	—	3	—	1	—
9h p. m.	24	—	1	—	3	—	2	—
Summe.	75	—	3	—	6	—	3	—

Maximum des Luftdruckes 62°9 mm am 21.

Minimum „ „ 53°3 „ 9.

Maximum der Temperatur 34°5° C. „ 26.

Minimum „ „ 17°0 „ 12.

Maximum der Windstärke N 75 km pr. Std. „ 21.

15063.

Bewölkung, geschätzt nach Zehnteilen der sichtbaren Himmelsfläche				Windrichtung und Stärke nach der 10-theiligen Scale			Niederschlag binnen 2 1/2 Stunden gemessen um 7 ^h a. m.	Anmerkung
7 ^h	2 ^h	9 ^h	Tages- mittel	7 ^h	2 ^h	9 ^h	Hebe und Form	
0	10	5	5	N 0-1	N 4	N 0-1	0	
0	0	0	0	N 4	N 0-1	N 0-1	0	
2	5	8	5	N 0-1	NE 0-1	E 0-1	0	
10	2	0	4	SE 0-1	E 0-1	SE 0-1	0	
2	5	2	3	N 0-1	E 0-1	NE 0-1	0	
0	0	0	0	N 0	N 4	N 0-1	0	
0	0	0	0	N 0-1	E 0-1	E 0-1	0	
0	0	0	0	E 0-1	SE 0-1	SE 0-1	0	
10	10	10	10	N 0	N 0	N 4	0	
10	10	10	10	N 0	N 4	N 0-1	0	
10	10	10	10	N 4	N 3	N 4	0	
10	0	10	10	N 0	N 0	N 0	0	
10	0	0	5	N 7	N 4	N 4	0	
2	0	0	1	N 0	N 4	N 0-1	0	
3	10	10	8	N 5	N 4	N 4	0	
2	3	3	3	N 5	N 4	N 4	0	
10	3	10	9	N 4	N 1	N 0-1	0	
3	4	2	1	N 0	N 5	N 1	0	
3	10	5	0	N 0	N 0	N 5	0	
5	10	10	6	N 7	N 0	N 5	0	
8	10	10	10	N 0	N 5	N 5	0	
2	0	0	1	N 0	N 4	N 0-1	0	
3	0	0	1	N 4	N 4	N 0-1	0	
0	0	0	0	N 0-1	N 0-1	N 0-1	0	
0	0	0	0	N 0-1	N 0-1	N 0-1	0	
0	8	10	6	N 0-1	N 0-1	N 0-1	0	
0	10	10	7	N 0-1	N 0-1	N 0-1	0	
8	10	10	9	N 5	N 4	N 0-1	0	
0	10	N	10	N 0-1	N 0-1	N 0-1	0	
4'0	5'3	4'8	4'7	3'6	3'0	4'9	—	

Zertrümmung

Trüb.

9^h p. m.

richtungen und Windstillen.

[illegible]Zahl der Tage mit Niederschlag x

• • • • • [Gewitter](#) •

+	+	+	+	Neibel	6
---	---	---	---	--------	---

1	2	3	4	5	6	7	8	9	10	11	12	13	14	15	16	17	18	19	20	21	22	23	24	25	26	27	28	29	30	31	32	33	34	35	36	37	38	39	40	41	42	43	44	45	46	47	48	49	50	51	52	53	54	55	56	57	58	59	60	61	62	63	64	65	66	67	68	69	70	71	72	73	74	75	76	77	78	79	80	81	82	83	84	85	86	87	88	89	90	91	92	93	94	95	96	97	98	99	100	101	102	103	104	105	106	107	108	109	110	111	112	113	114	115	116	117	118	119	120	121	122	123	124	125	126	127	128	129	130	131	132	133	134	135	136	137	138	139	140	141	142	143	144	145	146	147	148	149	150	151	152	153	154	155	156	157	158	159	160	161	162	163	164	165	166	167	168	169	170	171	172	173	174	175	176	177	178	179	180	181	182	183	184	185	186	187	188	189	190	191	192	193	194	195	196	197	198	199	200	201	202	203	204	205	206	207	208	209	210	211	212	213	214	215	216	217	218	219	220	221	222	223	224	225	226	227	228	229	230	231	232	233	234	235	236	237	238	239	240	241	242	243	244	245	246	247	248	249	250	251	252	253	254	255	256	257	258	259	260	261	262	263	264	265	266	267	268	269	270	271	272	273	274	275	276	277	278	279	280	281	282	283	284	285	286	287	288	289	290	291	292	293	294	295	296	297	298	299	300	301	302	303	304	305	306	307	308	309	310	311	312	313	314	315	316	317	318	319	320	321	322	323	324	325	326	327	328	329	330	331	332	333	334	335	336	337	338	339	340	341	342	343	344	345	346	347	348	349	350	351	352	353	354	355	356	357	358	359	360	361	362	363	364	365	366	367	368	369	370	371	372	373	374	375	376	377	378	379	380	381	382	383	384	385	386	387	388	389	390	391	392	393	394	395	396	397	398	399	400	401	402	403	404	405	406	407	408	409	410	411	412	413	414	415	416	417	418	419	420	421	422	423	424	425	426	427	428	429	430	431	432	433	434	435	436	437	438	439	440	441	442	443	444	445	446	447	448	449	450	451	452	453	454	455	456	457	458	459	460	461	462	463	464	465	466
---	---	---	---	---	---	---	---	---	----	----	----	----	----	----	----	----	----	----	----	----	----	----	----	----	----	----	----	----	----	----	----	----	----	----	----	----	----	----	----	----	----	----	----	----	----	----	----	----	----	----	----	----	----	----	----	----	----	----	----	----	----	----	----	----	----	----	----	----	----	----	----	----	----	----	----	----	----	----	----	----	----	----	----	----	----	----	----	----	----	----	----	----	----	----	----	----	----	----	-----	-----	-----	-----	-----	-----	-----	-----	-----	-----	-----	-----	-----	-----	-----	-----	-----	-----	-----	-----	-----	-----	-----	-----	-----	-----	-----	-----	-----	-----	-----	-----	-----	-----	-----	-----	-----	-----	-----	-----	-----	-----	-----	-----	-----	-----	-----	-----	-----	-----	-----	-----	-----	-----	-----	-----	-----	-----	-----	-----	-----	-----	-----	-----	-----	-----	-----	-----	-----	-----	-----	-----	-----	-----	-----	-----	-----	-----	-----	-----	-----	-----	-----	-----	-----	-----	-----	-----	-----	-----	-----	-----	-----	-----	-----	-----	-----	-----	-----	-----	-----	-----	-----	-----	-----	-----	-----	-----	-----	-----	-----	-----	-----	-----	-----	-----	-----	-----	-----	-----	-----	-----	-----	-----	-----	-----	-----	-----	-----	-----	-----	-----	-----	-----	-----	-----	-----	-----	-----	-----	-----	-----	-----	-----	-----	-----	-----	-----	-----	-----	-----	-----	-----	-----	-----	-----	-----	-----	-----	-----	-----	-----	-----	-----	-----	-----	-----	-----	-----	-----	-----	-----	-----	-----	-----	-----	-----	-----	-----	-----	-----	-----	-----	-----	-----	-----	-----	-----	-----	-----	-----	-----	-----	-----	-----	-----	-----	-----	-----	-----	-----	-----	-----	-----	-----	-----	-----	-----	-----	-----	-----	-----	-----	-----	-----	-----	-----	-----	-----	-----	-----	-----	-----	-----	-----	-----	-----	-----	-----	-----	-----	-----	-----	-----	-----	-----	-----	-----	-----	-----	-----	-----	-----	-----	-----	-----	-----	-----	-----	-----	-----	-----	-----	-----	-----	-----	-----	-----	-----	-----	-----	-----	-----	-----	-----	-----	-----	-----	-----	-----	-----	-----	-----	-----	-----	-----	-----	-----	-----	-----	-----	-----	-----	-----	-----	-----	-----	-----	-----	-----	-----	-----	-----	-----	-----	-----	-----	-----	-----	-----	-----	-----	-----	-----	-----	-----	-----	-----	-----	-----	-----	-----	-----	-----	-----	-----	-----	-----	-----	-----	-----	-----	-----	-----	-----	-----	-----	-----	-----	-----	-----	-----	-----	-----	-----	-----	-----	-----	-----	-----	-----	-----	-----	-----	-----	-----	-----	-----	-----	-----	-----	-----	-----	-----	-----	-----	-----	-----	-----	-----	-----	-----	-----	-----	-----	-----	-----

Tabelle XXIV.

Meteorologische

November

Beobachtungsstation: Jidda.

Gattung und Nummer des Barometers:

Beobachter: kais, ottom. Schiffsführer Faruk Effendi.

Seehöhe des Barometers:

Datum	Luftdruck (Barometerstand reducirt auf 0°, Meeressniveau und 45° Breite)				Temperatur Angaben des Max- und Min- Thermo- meters		Temperatur des trockenen Thermometers nach Celsius				Dampfdruck in Millimetern				Relative Feuchtigkeit in Procenten			
	7h	2h	9h	°	Max.	Min.	7h	2h	9h	°	7h	2h	9h	Tages- mittel	7h	2h	9h	Tages- mittel
	Tages- mittel	Tages- mittel	Tages- mittel	Tages- mittel	Tages- mittel	Tages- mittel	Tages- mittel	Tages- mittel	Tages- mittel	Tages- mittel	Tages- mittel	Tages- mittel	Tages- mittel	Tages- mittel	Tages- mittel	Tages- mittel	Tages- mittel	Tages- mittel
1	—	—	—	—	—	—	—	—	—	—	—	—	—	—	—	—	—	—
2	—	—	—	—	—	—	—	—	—	—	—	—	—	—	—	—	—	—
3	—	—	—	—	—	—	—	—	—	—	—	—	—	—	—	—	—	—
4	—	—	—	—	—	—	—	—	—	—	—	—	—	—	—	—	—	—
5	—	—	—	—	—	—	—	—	—	—	—	—	—	—	—	—	—	—
6	—	—	—	—	—	—	—	—	—	—	—	—	—	—	—	—	—	—
7	—	—	—	—	—	—	—	—	—	—	—	—	—	—	—	—	—	—
8	—	—	—	—	—	—	—	—	—	—	—	—	—	—	—	—	—	—
9	—	—	—	—	—	—	—	—	—	—	—	—	—	—	—	—	—	—
10	—	—	—	—	—	—	—	—	—	—	—	—	—	—	—	—	—	—
11	60° 3	59° 3	61° 0	—	28° 0	24° 3	23° 5	28° 1	22° 2	—	18° 0	27° 0	10° 0	—	80	62	81	—
12	61° 0	60° 5	61° 5	—	30° 5	21° 2	22° 9	20° 3	25° 0	—	10° 3	40° 1	10° 3	—	78	53	82	—
13	62° 1	60° 3	60° 0	—	29° 2	22° 2	22° 0	28° 9	27° 3	—	17° 5	10° 0	17° 9	—	85	57	60	—
14	60° 1	58° 0	58° 2	—	30° 7	22° 7	24° 8	30° 1	26° 8	—	10° 0	13° 0	15° 0	—	60	50	60	—
15	58° 0	55° 8	50° 7	—	34° 2	24° 1	25° 3	32° 1	31° 8	—	15° 8	12° 8	16° 2	—	60	50	40	—
16	59° 0	58° 4	58° 5	—	25° 5	10° 0	20° 9	24° 8	23° 8	—	17° 2	15° 0	14° 2	—	64	68	65	—
17	59° 0	58° 5	58° 2	—	27° 5	20° 4	23° 1	35° 0	24° 8	—	15° 3	15° 5	19° 4	—	73	75	83	—
18	58° 8	57° 0	58° 5	—	29° 8	20° 6	21° 0	27° 5	21° 4	—	17° 3	17° 4	15° 0	—	60	64	84	—
19	58° 5	57° 4	58° 1	—	29° 1	20° 4	22° 0	28° 8	20° 4	—	15° 0	10° 0	10° 0	—	77	65	78	—
20	58° 2	57° 4	58° 3	—	28° 8	20° 0	22° 9	28° 0	27° 2	—	14° 0	14° 0	15° 0	—	70	54	57	—
21	58° 0	57° 7	58° 7	—	21° 8	20° 0	21° 0	21° 3	21° 3	—	14° 5	15° 5	15° 0	—	78	83	85	—
22	58° 0	50° 9	57° 0	—	28° 1	20° 4	21° 4	28° 1	21° 1	—	10° 4	16° 0	16° 0	—	85	59	70	—
23	58° 5	57° 4	57° 7	—	28° 1	21° 5	22° 1	27° 4	20° 1	—	10° 1	15° 4	14° 2	—	81	57	57	—
24	59° 7	59° 2	59° 7	—	27° 0	19° 8	22° 2	27° 5	20° 1	—	10° 0	17° 0	10° 1	—	85	61	77	—
25	60° 3	59° 1	59° 0	—	27° 1	21° 8	23° 0	20° 9	20° 1	—	14° 4	10° 8	18° 0	—	66	64	74	—
26	59° 4	58° 0	59° 8	—	28° 2	23° 0	23° 4	27° 8	23° 0	—	10° 3	17° 7	14° 4	—	77	64	60	—
27	58° 2	57° 0	57° 0	—	27° 5	22° 3	23° 2	27° 1	20° 0	—	10° 1	15° 8	18° 3	—	76	59	73	—
28	59° 2	57° 7	60° 2	—	28° 9	21° 5	23° 0	27° 0	21° 0	—	17° 0	10° 4	10° 0	—	82	68	75	—
29	58° 0	58° 9	59° 7	—	27° 4	22° 1	22° 0	27° 0	25° 5	—	13° 8	10° 1	17° 1	—	68	60	71	—
30	60° 0	59° 5	59° 8	—	30° 0	22° 2	23° 7	27° 5	20° 0	—	13° 3	14° 8	10° 5	—	61	55	60	—
S.	—	—	—	—	—	—	—	—	—	—	—	—	—	—	—	—	—	—
M.	59° 40	58° 20	—	—	28° 4	21° 5	22° 8	27° 0	—	—	15° 9	16° 4	—	—	77	61	—	—

Zahl der beobachteten Wind.

	N	NNE	NE	E	ESE	SE	SSE
7h a. m.	3	3	5	3	5	—	—
2h p. m.	1	—	—	—	1	2	1
9h p. m.	1	—	—	—	1	2	3
Summe	5	3	5	3	7	4	4

Maximum des Luftdruckes 62° 1 mm am 13.

Minimum „ „ 55° 8 „ 15.

Maximum der Temperatur 34° 2° C. „ 15.

Minimum „ „ 19° 0 „ 16.

Maximum der Windstärke SE 67 km pr. Std. „ 15.

¹ Die Regenmenge dürfte noch zu klein angegeben sein, da der Regenschirm am 15. vom Sturm umgeworfen wurde und
² Weil die Abendelesung nicht regelmässig zur selben Stunde, sondern je nach Zustand der Windstärke zwischen 6h p. und

Tabelle XXV. Beobachtungsstation: Jidda.

December

Datum	Luftdruck (Barometerstand, reducirt auf 0°, Meeresniveau und 45° Breite)				Temperatur Angaben des Max. und Min.- Thermo- meters		Temperatur des trocknen Thermometers nach Celsius				Dampfdruck in Millimetern				Relative Feuchtigkeit in Procenten			
	7 ^h	2 ^h	9 ^h	Tages- mittel	Max.	Min.	7 ^h	2 ^h	9 ^h	Tages- mittel	7 ^h	2 ^h	9 ^h	Tages- mittel	7 ^h	2 ^h	9 ^h	Tages- mittel
1	60.7	59.5	59.0	—	30.0	23.2	23.2	28.7	22.8	—	12.0	10.3	12.0	—	57	59	61	—
2	61.7	60.2	61.4	—	30.0	23.4	23.0	29.3	27.4	—	12.7	18.9	19.0	—	80	62	70	—
3	61.5	60.8	60.7	—	29.0	23.4	24.0	28.0	27.1	—	12.3	20.7	20.0	—	73	70	77	—
4	59.0	58.1	59.1	—	28.4	23.4	24.0	28.1	25.7	—	10.0	19.1	19.0	—	80	67	80	—
5	59.0	57.8	58.7	—	30.0	23.1	23.9	29.0	24.5	—	18.5	21.5	20.3	—	84	70	59	—
6	59.4	58.4	59.7	—	30.5	23.2	23.7	30.4	25.0	—	18.8	17.7	19.7	—	80	54	81	—
7	60.4	59.6	60.1	—	28.5	23.1	23.2	28.3	25.0	—	18.0	18.2	19.5	—	80	64	83	—
8	60.2	58.0	60.1	—	28.2	22.5	23.8	27.2	20.4	—	18.4	18.2	17.1	—	85	60	67	—
9	59.9	58.2	59.3	—	29.0	23.4	23.5	28.9	20.2	—	12.7	19.0	19.3	—	82	60	77	—
10	59.1	57.5	58.9	—	29.0	23.1	23.0	28.6	25.4	—	12.0	19.3	19.7	—	82	60	81	—
11	58.5	59.7	60.0	—	21.4	23.1	23.8	22.7	22.5	—	18.8	14.0	16.2	—	80	71	80	—
12	62.4	60.7	62.3	—	22.5	17.4	17.3	22.2	18.7	—	10.3	8.7	10.0	—	70	44	62	—
13	61.7	59.0	60.4	—	20.7	16.2	17.2	25.7	33.2	—	10.7	10.3	9.7	—	40	43	50	—
14	61.0	60.0	60.7	—	28.0	18.4	19.0	28.1	30.1	—	9.0	19.3	17.7	—	57	68	71	—
15	60.7	59.4	58.5	—	28.0	20.4	21.1	28.1	27.4	—	10.4	17.7	16.0	—	68	63	62	—
16	60.5	59.3	59.8	—	21.5	21.0	22.0	29.2	24.1	—	10.0	19.2	17.1	—	87	63	77	—
17	60.8	60.0	60.3	—	30.0	27.1	23.1	30.0	23.1	—	18.8	18.3	18.1	—	90	60	88	—
18	62.4	60.7	62.2	—	30.8	22.1	22.4	29.8	24.8	—	10.0	19.8	20.5	—	84	63	88	—
19	61.8	61.0	61.5	—	11.0	20.1	21.1	28.3	25.0	—	7.2	12.4	17.4	—	38	61	81	—
20	61.0	61.7	61.2	—	27.8	20.5	21.4	27.7	25.3	—	16.0	18.8	18.7	—	85	67	88	—
21	61.9	60.0	61.0	—	29.5	21.1	21.8	28.0	23.7	—	15.8	19.0	18.4	—	81	67	85	—
22	60.2	58.1	59.8	—	29.0	21.8	22.8	28.0	25.2	—	17.0	19.0	19.4	—	83	64	60	—
23	58.4	56.1	59.0	—	29.7	21.5	22.0	28.7	23.2	—	12.0	19.7	18.7	—	85	67	80	—
24	59.5	58.7	59.8	—	25.2	20.0	20.9	25.0	21.3	—	13.4	15.5	13.0	—	74	60	60	—
25	60.2	59.0	61.4	—	25.4	20.5	20.7	25.1	21.2	—	12.8	11.8	11.2	—	71	61	74	—
26	61.4	60.0	62.4	—	26.2	20.9	21.1	26.2	23.4	—	12.5	10.5	11.3	—	73	66	60	—
27	61.7	60.0	60.7	—	28.0	20.4	21.3	27.0	23.0	—	15.1	17.9	19.1	—	80	64	77	—
28	60.1	58.0	59.8	—	31.0	21.5	22.4	27.7	23.1	—	17.1	10.8	16.0	—	85	59	70	—
29	59.0	56.5	57.0	—	30.0	22.2	22.8	30.7	20.8	—	14.5	20.0	17.8	—	70	60	68	—
30	57.5	56.8	58.2	—	31.9	21.0	22.4	29.1	20.1	—	17.8	20.8	17.7	—	89	69	71	—
31	58.0	57.5	61.0	—	30.2	21.5	22.2	29.0	22.3	—	17.2	21.5	17.0	—	87	72	91	—
M.	60.22	59.21	—	—	28.7	21.9	22.7	27.9	—	—	10.0	17.7	—	—	78	63	—	—

Zahl der beobachteten Wind-

	N	NNE	NE	ENE	E	ESE	SE	SSE
7 ^h a. m.	10	1	5	4	0	2	.	2
2 ^h p. m.	1
9 ^h p. m.	10	1	.	.	1	.	.	.
Summe.	21	2	7	4	7	3	.	2

Maximum des Luftdruckes 62.5 mm am 12.

Minimum „ 56.1 „ 23.

Maximum der Temperatur 31.9° C. „ 30.

Minimum „ 10.2 „ 13.

Maximum der Windstärke SW 70 km pr. Std. „ 30.

* Wech der Windrichtung ist regelmässig, bis 5 Uhr Stunde, sondern je nach Zustand der Umstände zwischen 6^h p. und

1885.

Bewölkung, geschätzt nach Zehntheilen der sichtbaren Himmelsfläche				Windrichtung und Stärke nach der 10 theiligen Scale			Nieder- schlag binnen 24 Stunden gemessen um 7 ^h a. m.	Höhe und Form	Insulations-Maximum	Radiations-Minimum	Anmerkung
7 ^h	2 ^h	9 ^h	Tages- mittel	7 ^h	2 ^h	9 ^h					
St 2	St 2	St 3		E 0-1	WSW 1	WSW 1	—	14.0	—	—	2.7 a. m. setzt NW ein
St 1	St 1	St 1	—	ESE 1	WSW 0-1	WSW 0-1	—	11.8	—	—	[p. m. abgeblaut
St 3	St 2	St 1	—	ESE 0-1	NW 1	WSW 2	—	15.9	—	—	7 ^h a. m. setzt NW ein, 11 ^h
0	St 2	St 1	—	N 0-1	NW 1	WSW 1	—	37.5	—	—	7 ^h a. m. " " " "
0	St 2	St 1	—	ESE 0-1	WSW 1	WSW 2	—	37.0	—	—	10 ^h a. m. setzt NW ein, 7 ^h
St 1	St 1	St 4	—	E 0-1	S 1	WSW 2	—	10.5	—	—	7 ^h p. m. WSW [p. m. WSW
St 4	St 1	0	—	N 0-1	WSW 3	N 2	—	14.0	—	—	
Cu 2	St 1	0	—	N 0-1	WSW 2	N 1	—	47.0	—	—	
0	Cu 2	0	—	NE 1	SW 3	NW 0-1	—	52.1	—	—	
Cu Cl 2	Cu 2	0	—	NE 0-1	SW 4	SW 3	—	14.0	—	—	
Cu 0	Cu 9	Cu 4	—	E 1	N 1	N 2	10.0 •	30.9	—	—	7 ^h a. m. Beginn des •
Cu 1	0	0	—	N 2	WSW 0	NNE 1	—	30.0	—	—	
0	Cu 2	0	—	N 3	SW 5	NW 2	—	27.0	—	—	
Cu 2	St 7	St 0	—	NE 1	SW 1	SW 0-1	—	30.9	—	—	
0	Cu 2	St 3	—	E 1	SW 3	SW 0-1	—	20.0	—	—	
Cu 2	Cu 1	Cu 4	—	ESE 0-1	SW 3	SE 4	—	31.5	18.0	—	
Cu 2	Cu St 0	Cu 0	—	NE 0-1	WSW 1	E 0-1	—	55.5	18.2	—	
St 8	St 5	0	—	N 2	NW 2	NE 1	—	30.0	17.0	—	
St 1	Cu 1	Cu 7	—	ESE 2	SW 5	N 0-1	—	55.0	14.6	—	9 ^h p. m. cumuli am Horiz.
Cu 4	Cu St 7	Cu 7	—	E 1	SW 3	SW 0-1	—	55.0	10.0	—	
St Cu 7	St 3	Cu 4	—	ESE 2	WSW 1	WSW 0-1	—	50.0	15.0	—	
St Cu 8	St Cu 8	St Cu 8	—	E 2	S 4	S 0-1	—	54.0	18.0	—	7 ^h a. m. cumuli am Horiz.
St Cu 10	St Cu 10	St N 10	—	NE 0-1	S 1	N 0-1	10.5 •	40.0	10.5	—	7 ^h a. m. " " mit NW 7.
St Cu 9	St 5	St 5	—	N 1	WSW 4	N 1	—	50.4	17.0	—	Mildes Weiter.
St 2	St Cu 4	St 4	—	N 1	WSW 5	N 0-1	—	50.0	17.4	—	
St Cu 1	St 8	St 4	—	NNE 0-1	NW 4	N 0-1	—	50.0	17.0	—	
Cu 4	St 8	0	—	N 1	SW 3	N 0-1	—	55.0	17.0	—	
Cu 2	0	0	—	N 0-1	SW 1	NE 0-1	—	30.0	15.2	—	
0	Cu St 4	Cu 4	—	NE 0-1	SW 4	SW 3	—	55.0	10.0	—	
0	0	0	—	SNE 0-1	SW 5	SW 0-1	—	55.0	10.0	—	10 ^h a. m. Wind-Stärke 7.
0	Cu 7	Cu 5	—	SW 0-1	SW 4	N 2	1.0 •	52.0	15.8	—	10 ^h p. m. starker Wind •
2.8	3.7	.	—	1.0	3.2	—	21.5	43.3	10.4	—	

richtungen und Windstillen.

S	SSW	SW	WSW	W	WSW	NW	NNW	Calm
.	.	1
3	3	12	.	.	3	5	4	.
1	1	0	2	.	2	1	3	.
4	4	19	2	.	5	0	7	.

Zahl der Tage mit Niederschlag 3

• • • • • Gewitter 0
• • • • • Nebel 0
• • • • • Sturm 3

9^h p. m. gemacht wurde, sind keine Tagesmittel gebildet worden

Tabelle XXVI. Beobachtungsstation: Jidda.

Jänner

Datum	Luftdruck (Barometersstand reduziert auf 0° Meereshöhe und 45° Breite)				Temperatur des Max. und Min. Thermometers		Temperatur des trockenen Thermometers nach Reaumur				Dampfdruck in Millimetern				Relative Feuchtigkeit in Procenten			
	7 ^h	2 ^h	9 ^h	Tages- mittel	Max.	Min.	7 ^h	2 ^h	9 ^h	Tages- mittel	7 ^h	2 ^h	9 ^h	Tages- mittel	7 ^h	2 ^h	9 ^h	Tages- mittel
1	61.8	60.2	61.5	—	24.8	20.6	20.5	21.4	21.1	—	11.4	11.7	11.9	—	63	52	75	—
2	60.5	58.0	60.0	—	25.5	17.6	18.5	21.4	22.4	—	8.5	14.2	14.8	—	55	39	71	—
3	59.5	58.7	60.0	—	28.2	18.5	20.0	22.0	22.2	—	14.0	12.3	18.1	—	61	60	91	—
4	59.0	57.0	57.0	—	28.0	20.8	21.0	28.1	27.8	—	17.2	10.5	10.1	—	63	69	70	—
5	57.2	58.8	59.4	—	25.5	20.8	23.1	22.2	21.2	—	10.8	12.9	13.7	—	82	65	74	—
6	60.4	58.7	60.8	—	25.5	15.6	16.0	21.0	23.1	—	9.1	10.0	11.2	—	68	53	53	—
7	68.0	57.4	59.7	—	25.5	15.1	20.0	24.0	22.2	—	11.2	14.2	15.5	—	64	61	78	—
8	59.2	57.1	57.9	—	27.0	20.0	21.0	29.2	24.0	—	15.4	18.0	18.4	—	79	72	80	—
9	59.6	59.5	62.1	—	24.0	19.0	21.8	24.4	20.2	—	12.3	12.1	14.5	—	64	53	81	—
10	61.1	62.3	65.3	—	23.0	18.7	19.7	22.4	19.1	—	10.0	10.7	9.1	—	58	51	55	—
11	64.3	60.8	62.8	—	24.5	18.0	18.8	23.7	19.8	—	10.2	10.5	10.2	—	67	49	59	—
12	61.8	60.1	61.5	—	24.5	18.1	19.1	24.0	21.2	—	9.5	11.8	12.1	—	58	54	60	—
13	60.0	58.4	61.6	—	25.0	18.4	19.1	24.1	21.4	—	9.1	13.2	11.8	—	55	62	60	—
14	61.3	60.0	60.0	—	25.0	18.6	19.3	25.0	21.5	—	8.8	9.7	15.3	—	53	41	50	—
15	61.0	60.1	60.8	—	20.4	18.0	18.0	20.1	23.2	—	9.2	15.5	10.7	—	78	62	51	—
16	61.4	60.0	58.8	—	28.0	18.8	20.8	24.1	24.2	—	11	7.5	9.0	—	62	33	40	—
17	57.0	55.1	55.2	—	32.9	20.8	25.1	31.5	29.1	—	8.4	10.1	20.0	—	30	55	68	—
18	54.7	64.2	59.2	—	31.0	22.1	25.4	27.1	24.2	—	20.0	20.5	15.3	—	71	78	60	—
19	61.1	59.6	59.5	—	25.5	19.1	19.1	24.0	23.2	—	11.8	14.1	14.3	—	72	63	68	—
20	59.7	59.3	57.0	—	20.6	20.0	21.1	20.3	20.5	—	14.3	18.0	19.1	—	77	72	74	—
21	59.6	58.5	55.7	—	25.5	21.5	24.4	25.0	24.7	—	12.1	18.2	10.1	—	70	57	83	—
22	57.4	57.0	58.5	—	20.2	18.8	19.7	18.6	19.2	—	10.4	17.0	13.5	—	90	82	82	—
23	61.7	61.0	62.1	—	21.0	14.0	17.1	20.8	17.1	—	9.1	8.5	7.0	—	64	40	52	—
24	61.1	62.3	62.9	—	21.0	12.0	14.0	20.2	18.3	—	8.2	4.0	6.1	—	67	26	40	—
25	61.3	61.8	62.1	—	24.8	18.0	18.2	21.3	19.1	—	8.5	9.1	12.0	—	71	43	72	—
26	62.5	60.5	61.5	—	24.0	19.0	17.7	21.2	21.4	—	10.1	13.5	11.2	—	68	65	65	—
27	59.5	58.9	58.5	—	27.5	17.5	19.0	23.2	24.2	—	12.0	11.1	9.0	—	74	53	40	—
28	59.4	58.5	58.5	—	28.4	19.0	24.2	20.0	27.0	—	6.0	20.4	11.8	—	40	77	54	—
29	57.0	57.0	58.0	—	28.4	22.0	24.7	27.4	25.2	—	15.0	21.3	19.0	—	65	78	83	—
30	59.4	60.3	60.4	—	18.0	21.8	22.2	23.2	21.8	—	18.1	14.3	14.0	—	91	68	68	—
31	60.7	60.1	61.3	—	27.5	20.0	23.2	23.2	24.0	—	15.0	13.0	13.4	—	70	61	61	—
S																		
M	60.30	59.20		—	26.0	18.5	20.5	24.1		—	12.4	13.2		—	68	60		—

Zahl der beobachteten Wind-

	N	NNE	NE	ENE	E	ESE	SE	SSE
7 ^h a. m.	7	3	10	2	4	.	.	2
2 ^h p. m.	8	.	.	.	1	.	.	.
9 ^h p. m.	19	1	1	.	1	.	.	.
Summe.	34	4	11	2	6	.	.	2

Maximum des Luftdruckes 65.3 mm am 10.

Minimum „ „ 54.2 „ „ 18.

Maximum der Temperatur 32.9° C. „ 17.

Minimum „ „ 13.0 „ 25.

Maximum der Windstärke 5 102 km pr. Std. „ 17.

* Weil die Ablesung nicht regelmässig zur selben Stunde, sondern je nach Zulass der Umstände zwischen 6^h p. und

1896.

Bewölkung, geschätzt nach Zehnthellen der sichtbaren Himmelsfläche				Windrichtung und Stärke nach der 10-theiligen Scale			Nieder- schlag in 24 Stunden gemessen um 7 ^h a. m.	In- solations-Maximum	Radiations-Minimum	Anmerkung
7 ^h	2 ^h	9 ^h	Tages- mittel	7 ^h	2 ^h	9 ^h				
Cu St 8	Cu Cu 10	Cu 8	—	N 2	N 5	N 2	0	40° 0	17° 0	9 ^h 3 ^h a. m. setzt NW ein, schönes Wetter. 6 ^h setzt WSW ein, 5 ^h p. 0 ^h a. m. setzt N ein [in .]
Cu 9	Cu 2	Cu 4	—	N 2	NNW 2	N 0-1	0	53° 0	12° 2	
Cu 0	Cu 9	Cu 5	—	N 0-1	W 3	W 0-1	0	54° 0	17° 0	
0	Cu 9	Ni 1	—	E 0-1	WSW 2	WSW 3	1° 0	58° 0	15° 3	Mildes Wetter.
Ni 10	Ni 10	Ni 4	—	NW 4	N 0	N 3	13° 5	51° 0	10° 0	
Cu 5	Cu 4	0	—	NE 1	NW 3	N 0-1	0	54° 0	12° 0	
Cu 8	Cu 9	Cu 5	—	NE 1	NNW 0-1	N 0-1	0	54° 0	15° 0	17. 9 ^h 3 ^h a. m. Windst. 8. 11 ^h 3 ^h a. m. Stärke 0 18. 3 ^h p. m. setzt N ein 19. Sehr mist. Atmosph. 20. 11 ^h a. m. . der ganze Tag regnerisch
Cu 10	Cu 7	Cu 5	—	NNE 0-1	W 2	N 2	0	55° 0	10° 0	
Cu 10	Cu 10	Cu 10	—	N 1	N 0	N 4	0	44° 0	18° 2	
Cu 10	Cu 7	Cu 10	—	NNE 3	NNW 0	NNW 4	0	48° 0	14° 0	6° 0
Cu 4	Cu 4	Cu 5	—	NNW 1	N 0	NE 0-1	0	50° 0	10° 0	
Cu 7	Cu 8	Cu 10	—	NE 0-1	NW 4	N 1	0	54° 0	10° 0	
Ci 5	Ci 0	Ci 2	—	ENE 0-1	NW 4	N 1	0	54° 2	15° 0	6° 0
Ci 8	Ci 5	Ci 2	—	NE 1	NW 5	N 1	0	53° 0	10° 0	
0	0	0	—	SSE 0-1	W 1	W 0-1	0	50° 0	9° 0	
St 0	Cu 5	Cu 2	—	E 0-1	WSW 5	WSW 2	0	50° 0	14° 0	6° 0
Cu 0	Cu 5	Cu 5	—	SSE 1	S 7	S 7	0	53° 0	18° 0	
Cu 0	Cu 0	Cu 2	—	N 7	S 2	N 5	0	55° 0	10° 0	
Cu 8	Cu 2	Cu 4	—	N 2	NW 0	N 0-1	0	50° 0	10° 0	6° 0
Cu 8	Cu 0	Cu 5	—	NE 0-1	NNW 0-1	S 0-1	0	40° 0	18° 0	
Cu 10	Ni 8	Ni 10	—	E 0-1	E 4	N 2	10° 0	32° 0	18° 0	
Ni 10	Ni 10	Ni 5	—	N 1	N 3	N 2	9° 0	37° 0	17° 0	6° 0
Ci 2	Ci 4	Ci 4	—	N 1	N 3	N 1	0° 7	31° 0	15° 0	
Ci 2	Cu 5	Ci 0	—	NE 0-1	SW 4	NW 3	0	54° 0	14° 0	
Ci 2	Cu 5	Cu 5	—	NW 1	NW 0	N 1	0	55° 0	12° 0	6° 0
Ci 2	Ci 5	Ci 5	—	NE 0-1	NW 4	N 1	0	54° 0	14° 2	
Cu Ci 8	Cu 5	Cu 5	—	ENE 0-1	SW 1	E 0-1	0	55° 0	10° 0	
Ci 3	Ci 5	0	—	E 0-1	WSW 1	W 0-1	0	50° 0	10° 0	6° 0
Ci 8	0	0	—	NE 0-1	WSW 1	W 1	0	55° 0	18° 0	
0	Cu 5	Ci 0	—	NE 1	N 0	N 2	0	55° 5	13° 2	
Cu 0	Cu 5	Ci 5	—	NE 0-1	NW 4	N 2	0	53° 0	18° 0	6° 0
6° 0	5° 9	—	—	1° 2	3° 0	—	40° 2	50° 5	15° 1	

richtungen und Windstillen.

S	SSW	SW	WSW	W	WNW	NW	NNW	Calm
1	.	.	1	.	.	1	.	.
2	.	1	4	3	.	9	4	.
3	.	.	3	4	.	1	.	.
5	.	1	7	7	.	11	4	.

Zahl der Tage mit Niederschlag 5

• • • • Gewitter 0
• • • • Nebel 0
• • • • Sturm 8

0^h p. m. gemacht wurde, sind keine Tagesmittel gebildet worden.

Tabelle XXVII. Beobachtungsstation: Jidda.

Februar

Datum	Luftdruck (Barometerstand, reduziert auf 0° Meereshöhe und 35° Breite)				Temperatur des Lufts des Tages des Maximums und Minimums Thermometer		Temperatur des trockenen Thermometers nach Lécluse				Dampfdruck in Millimetern				Relative Feuchtigkeit in Procenten			
	7h	2h	9h	Tages- mittel	Max.	Min.	7h	2h	9h	Tages- mittel	7h	2h	9h	Tages- mittel	7h	2h	9h	Tages- mittel
1	02.3	05.0	—	—	25.0	10.5	23.0	21.5	—	—	12.1	11.8	—	—	57	62	—	—
2	01.3	00.5	00.0	—	25.0	11.2	19.2	22.7	22.2	—	5.0	12.6	12.0	—	54	62	63	—
3	02.5	02.2	02.2	—	26.0	12.6	17.7	22.0	23.2	—	10.3	14.3	14.8	—	68	70	55	—
4	02.0	01.0	01.0	—	27.0	12.4	20.5	22.0	22.8	—	9.0	15.0	14.5	—	55	72	70	—
5	02.2	01.7	02.3	—	20.5	15.6	23.1	22.4	24.8	—	11.2	16.3	15.0	—	51	60	64	—
6	02.8	01.8	01.3	—	27.0	10.4	20.8	25.0	20.0	—	13.2	17.3	16.3	—	73	71	60	—
7	02.1	00.5	02.4	—	26.0	20.6	24.0	20.3	23.2	—	15.4	17.0	17.7	—	70	69	34	—
8	01.2	0.0	0.0	—	24.0	10.5	23.8	21.0	24.2	—	17.1	15.2	15.0	—	70	73	67	—
9	00.6	0.4	0.1	—	25.8	12.0	19.1	24.0	25.2	—	12.1	15.2	15.2	—	74	75	78	—
10	00.8	0.0	0.7	—	26.0	10.8	19.1	20.2	25.0	—	12.8	18.0	18.4	—	74	77	75	—
11	00.8	0.7	0.0	—	26.0	18.4	25.0	28.0	24.2	—	18.4	16.2	16.2	—	75	66	85	—
12	01.4	01.3	01.8	—	26.0	18.0	22.8	22.8	23.0	—	12.0	11.3	11.5	—	88	55	50	—
13	01.4	02.1	03.6	—	21.5	18.4	22.2	22.2	22.2	—	12.0	11.7	11.7	—	84	50	50	—
14	02.3	01.2	02.2	—	24.0	18.5	18.7	22.2	22.8	—	12.0	18.5	18.2	—	70	88	78	—
15	01.0	01.3	02.0	—	25.0	18.0	20.5	21.8	22.4	—	10.0	16.0	18.2	—	81	70	60	—
16	01.0	0.0	0.7	—	24.0	18.0	19.5	21.4	23.2	—	10.5	16.3	18.7	—	80	80	83	—
17	01.3	0.0	0.0	—	24.0	18.0	19.1	23.8	22.8	—	11.5	12.3	12.0	—	70	57	62	—
18	01.5	0.0	0.0	—	24.0	18.8	20.3	23.0	23.5	—	15.4	16.4	17.5	—	83	78	81	—
19	02.0	02.0	02.0	—	24.7	10.5	19.5	21.5	22.1	—	12.0	11.8	12.1	—	77	62	61	—
20	01.2	01.4	01.2	—	24.7	15.5	19.3	21.5	21.5	—	13.2	12.0	10.7	—	76	66	57	—
21	01.5	02.5	02.4	—	22.0	13.0	12.3	21.5	22.2	—	11.7	11.8	10.0	—	80	62	81	—
22	01.1	01.8	02.0	—	27.0	12.4	19.1	21.8	22.8	—	10.0	12.0	12.7	—	74	67	82	—
23	01.0	0.0	0.0	—	26.0	18.0	24.2	25.2	24.2	—	10.2	20.5	19.8	—	75	80	88	—
24	0.4	0.0	0.7	—	24.2	12.5	18.0	12.4	22.2	—	13.1	20.0	19.0	—	87	81	85	—
25	0.0	0.4	0.0	—	28.0	12.5	20.1	27.8	23.8	—	10.0	24.3	12.3	—	81	87	57	—
26	0.0	0.0	0.0	—	24.0	12.5	20.0	22.0	25.1	—	24.4	28.2	21.0	—	85	80	70	—
27	0.2	—	—	—	18.0	18.0	25.8	—	24.8	—	23.5	—	20.0	—	95	—	90	—
28	0.8	0.8	0.0	—	18.0	18.0	20.2	20.1	25.5	—	28.2	27.4	10.7	—	84	62	82	—
29	0.1	0.0	0.7	—	12.0	19.0	24.8	20.0	26.1	—	18.1	24.0	21.2	—	70	70	75	—
M.	01.43	00.00	—	—	20.0	12.4	21.3	24.7	—	—	14.5	17.2	—	—	70	71	—	—

Zahl der beobachteten Wind-

	N	NNE	NE	ENE	E	ESE	SE	SSE
7h a. m.	14	0	4	—	—	—	—	—
2h p. m.	3	—	1	—	—	—	—	—
9h p. m.	17	—	—	—	1	1	—	—
Summe	34	0	5	1	1	2	1	—

Maximum des Luftdruckes 63.6 mm am 13.

Minimum „ „ 50.0 „ 29.

Maximum der Temperatur 34.2° C. „ 24.

Minimum „ „ 13.0 „ 22.

Maximum der Windstärke N 75 km pr. Std. „ 19

* Wind die Windstärke nach richtiger Zeit zu selben Stunde, sondern je nach Zulass der Umstände zwischen 6h p. und

1896.

Bewölkung, geschätzt nach Zehnthellen der sichtbaren Himmelsfläche.				Windrichtung und Stärke nach der 10-theiligen Scale			Nieder- schlag binnen 24 Stunden gemessen um 7 ^h a. m.	Prognose-Maximum Minimum		Anmerkung
7 ^h	2 ^h	9 ^h	Tages- mittel	7 ^h	2 ^h	9 ^h		Höhe und Form	Reflexions-Minimum	
Cu 4	Cu Ci 3	—	—	N 2	N 5	—	0	51°0	11°2	9 ^h Beobachtung wegen diesd. Verhinderung unterblieben.
St 1	0	Cu 2	—	N 3	NNW 7	N 4	0	55°0	10°0	
Cu Ci 7	Cu Ci 2	Cu 3	—	NNE 0-1	NNW 0	N 2	0	51°0	12°0	10°0
Ci Cu 7	Ci 4	Cu 5	—	NNE 0-1	NNW 0	N 0-1	0	55°0	14°0	
St 0	St 4	St 3	—	NNE 0-1	WSW 0-1	ESE 0-1	0	54°8	10°0	4 ^h p. m. setzt N ein.
Cu St Ci 8	Ci Cu 4	Ci 4	—	ESE 0-1	W 1	SW 0-1	0	55°0	17°0	
Ci 4	Ci 0	Cu 5	—	NE 0-1	NNW 2	N 5	0	54°0	18°0	Mildes Wetter, 10 ^h p. m. setzt N ein.
St 2	St Ci 0	St 5	—	N 0-1	NNW 4	NNW 2	0	54°8	10°0	
St Ci 8	St 2	St 4	—	NE 0-1	SW 3	SW 2	0	53°0	17°0	Mildes Weiter.
Cu Ci 8	0	0	—	NNE 0-1	NNW 3	NNW 1	0	54°0	15°0	
0	Cu 7	Ci 2	—	NNE 0-1	SW 5	W 1	0	54°8	10°0	7 ^h a. m. setzt N ein.
Ci 5	Cu 10	Cu 10	—	N 4	N 5	N 2	0	50°0	15°8	
Cu 2	Ci 2	Cu 0	—	N 1	SW 0	N 2	0	53°0	10°8	[diesd. Verhinderung 9 ^h Beobachtung wegen 10 ^h p. m. totale Mondes- finsternis.
Cu 9	0	0	—	N 0-1	NW 0	N 1	0	53°0	10°0	
Ci 5	Cu 0	Cu 3	—	N 0-1	NW 0	N 1	0	53°8	14°0	unterblieben.
Ci 4	Cu 2	0	—	N 0-1	NNW 5	N 1	0	54°0	15°8	
Cu 4	0	0	—	N 0-1	NNW 1	N 0-1	0	56°0	10°0	[diesd. Verhinderung 9 ^h Beobachtung wegen 10 ^h p. m. totale Mondes- finsternis.
0	Ci 5	0	—	N 0-1	NNW 1	N 0-1	0	56°0	15°0	
0	Cu 0	Cu 0	—	NE 0-1	N 8	N 2	0	55°0	14°0	7 ^h a. m. setzt N ein.
Cu 2	Ci 2	Ci 5	—	N 2	NNW 0	N 3	0	54°0	13°2	
Cu 4	0	Ci 2	—	N 2	NNW 0	NNW 2	0	55°0	12°0	[diesd. Verhinderung 9 ^h Beobachtung wegen 10 ^h p. m. totale Mondes- finsternis.
0	0	0	—	NNE 1	NNW 0	N 1	0	55°8	13°9	
0	0	0	—	N 0-1	WSW 2	WSW 0-1	0	55°8	10°0	[diesd. Verhinderung 9 ^h Beobachtung wegen 10 ^h p. m. totale Mondes- finsternis.
0	0	0	—	N 0-1	NW 0-1	N 3	0	60°0	10°8	
0	0	0	—	NE 0-1	W 1	NE 0-1	0	62°0	17°0	[diesd. Verhinderung 9 ^h Beobachtung wegen 10 ^h p. m. totale Mondes- finsternis.
0	0	0	—	ESE 0-1	SW 4	E 0-1	0	50°9	18°0	
0	0	0	—	N 0-1	—	N 0-1	0	60°0	17°4	[diesd. Verhinderung 9 ^h Beobachtung wegen 10 ^h p. m. totale Mondes- finsternis.
0	Cu 4	Ci 2	—	NNW 0-1	SSW 0-1	N 0-1	0	62°0	18°2	
Cu 2	Ci 2	0	—	NE 0-1	SSW 4	ESE 0-1	0	59°0	18°8	
3°2	2°0	—	—	1°0	3°9	—	0	55°2	15°1	

richtungen und Windstillen.

S	SSW	SW	WSW	W	WNW	SW	NNW	Calm
1	2	2	1	2	1	5	12	3
1	2	2	1	3	2	7	10	1

Zahl der Tage mit Niederschlag 0

* * * * * Gewitter 0

* * * * * Nebel 0

* * * * * Sturm 11

10^h p. m. gemacht wurde, sind keine Tagesmittel gebildet worden.

Tabelle XXVIII. Beobachtungsstation: Jidda.

März

Datum	Luftdruck (Barometerstand, reducirt auf 0°, Meeressniveau und 45° Breite)				Temperatur- Angaben des Max.- und Min.- Thermo- meters		Temperatur des inneren Thermometers nach Celsius				Dampfdruck u. Millimetern				Relative Feuchtigkeit in Procenten			
	7 ^h	2 ^h	9 ^h	Tages- mittel	Max.	Min.	7 ^h	2 ^h	9 ^h	Tages- mittel	7 ^h	2 ^h	9 ^h	Tages- mittel	7 ^h	2 ^h	9 ^h	Tages- mittel
1	50.4	54.7	50.3	—	35.0	19.8	25.1	31.1	21.1	—	—	—	—	—	—	—	—	—
2	55.2	55.1	50.1	—	32.8	22.1	21.8	31.1	25.1	—	—	—	—	—	—	—	—	—
3	57.1	57.0	50.0	—	27.0	21.0	21.2	21.0	21.2	—	—	—	—	—	—	—	—	—
4	60.2	58.8	60.1	—	27.0	19.0	20.1	25.0	22.2	—	—	—	—	—	—	—	—	—
5	60.3	58.2	59.0	—	20.4	22.2	20.0	21.0	21.0	—	—	—	—	—	—	—	—	—
6	—	—	—	—	—	—	—	—	—	—	—	—	—	—	—	—	—	—
7	—	—	—	—	—	—	—	—	—	—	—	—	—	—	—	—	—	—
8	—	—	—	—	28.0	—	—	—	—	—	—	—	—	—	—	—	—	—
9	60.1	50.2	50.2	—	21.0	18.1	20.5	22.0	21.0	—	—	—	—	—	—	—	—	—
10	60.0	57.0	58.0	—	22.0	18.8	21.8	21.4	25.2	—	—	—	—	—	—	—	—	—
11	58.1	58.5	50.5	—	22.5	15.8	21.8	20.0	25.8	—	—	—	—	—	—	—	—	—
12	60.1	58.2	58.4	—	20.5	18.0	18.4	20.2	20.0	—	—	—	—	—	—	—	—	—
13	50.2	55.0	50.3	—	21.1	18.4	20.2	20.1	22.1	—	—	—	—	—	—	—	—	—
14	55.0	55.3	50.1	—	20.5	22.4	21.2	20.0	20.2	—	—	—	—	—	—	—	—	—
15	50.8	50.2	50.0	—	20.5	22.2	25.1	25.0	24.2	—	—	—	—	—	—	—	—	—
16	57.0	58.8	50.3	—	22.0	18.1	20.5	20.0	22.2	—	—	—	—	—	—	—	—	—
17	60.1	57.2	57.8	—	20.0	19.0	22.2	24.2	21.2	—	—	—	—	—	—	—	—	—
18	57.2	57.2	57.8	—	20.0	18.5	20.8	24.2	21.2	—	—	—	—	—	—	—	—	—
19	58.3	57.2	57.5	—	25.0	17.2	21.5	21.2	25.2	—	—	—	—	—	—	—	—	—
20	58.1	50.3	50.2	—	20.0	19.0	22.2	23.4	22.2	—	—	—	—	—	—	—	—	—
21	57.0	55.8	50.0	—	27.0	17.0	22.2	24.2	24.2	—	—	—	—	—	—	—	—	—
22	50.0	55.0	50.8	—	30.2	18.5	22.8	20.2	25.2	—	—	—	—	—	—	—	—	—
23	50.2	55.0	55.1	—	13.5	22.5	23.2	30.3	20.1	—	—	—	—	—	—	—	—	—
24	55.0	54.0	57.0	—	19.0	21.0	28.1	18.0	24.2	—	—	—	—	—	—	—	—	—
25	58.1	57.1	57.3	—	27.0	20.2	23.2	25.2	21.2	—	—	—	—	—	—	—	—	—
26	61.8	58.0	58.4	—	27.0	23.0	21.3	25.0	25.3	—	—	—	—	—	—	—	—	—
27	57.0	50.5	50.0	—	28.0	15.0	23.2	25.0	24.2	—	—	—	—	—	—	—	—	—
28	62.0	53.0	54.0	—	12.3	10.0	23.2	20.0	20.2	—	—	—	—	—	—	—	—	—
29	55.0	50.8	58.4	—	10.0	10.0	25.2	20.0	20.2	—	—	—	—	—	—	—	—	—
30	50.2	57.2	57.0	—	27.0	20.5	21.3	25.4	25.0	—	—	—	—	—	—	—	—	—
31	57.0	50.0	50.0	—	27.0	21.0	20.8	25.0	25.2	—	—	—	—	—	—	—	—	—
M.	58.01	50.28	—	—	28.3	19.2	23.2	20.3	—	—	—	—	—	—	—	—	—	—

Zahl der beobachteten Wind-

	N	NNE	NE	ESE	E	ESE	SE	SSE
7 ^h a. m.	18	1	2	.
2 ^h p. m.	3
9 ^h p. m.	14	.	.	.	1	.	.	2
Summe.	35	.	.	.	1	1	2	2

Maximum des Luftdruckes 61.5 mm am 26.

Minimum „ „ 52.0 „ 28.

Maximum der Temperatur 35.0° C. „ 1.

Minimum „ „ 15.5 „ 27.

Maximum der Windstärke 8 So km pr. Std. „ 2.

* Weil die Abendablesung nicht regelmässig zur selben Stunde, sondern je nach Zulass der Umstände zwischen 0^h p. und

1896.

Bewölkung, geschätzt nach Zehnthellen der sichtbaren Himmelsfläche				Windrichtung und Stärke nach der 10-theiligen Scala			Nieder- schlag hinnen 24 Stunden gemessen um 7 ^h a. m.	Niederschlag Maximum Minimum		Anmerkung
7 ^h	2 ^h	9 ^h	(Tages- mittel)	7 ^h	2 ^h	9 ^h		Hohe und Form	Radiations	
o	Cu 4	Cl 2	—	SSW 4	SSW 5	S 1	o	65.0	16.0	Beobachtung unter- brochen, weil Kunkidat- zur Bergung eines auf- gefahrenen englischen Postdampfers entsendet worden ist.
Cu Cl 4	Cl 5	Cl 5	—	SE 0 1	SE 8	S 1	o	50.0	21.0	
Cu 10	Cu Cl 10	Cu Cl 10	—	N 3	NW 0	NW 3	o	50.0	21.0	
Cl 5	Cl 5	o	—	N 3	NW 4	N 0-1	o	54.0	18.0	
o	Cu 5	Cl 2	—	N 0-1	NW 3	N 0-1	o	—	19.0	
—	—	—	—	—	—	—	o	—	—	
—	—	—	—	—	—	—	o	—	—	
—	—	—	—	—	—	—	o	—	—	
—	Cu Cl 8	Cl 5	—	N 0-1	NW 0	N 0-1	o	54.0	—	
o	Cu 3	Cu 2	—	N 3	NW 0	NW 1	o	55.0	17.0	
Cu 4	Cu 3	Cu 2	—	N 3	NW 0	NW 1	o	55.0	18.0	Mistiges Wetter
o	Cu Cl 4	o	—	N 0-1	NW 0	N 0-1	o	45.0	13.0	
Cl 1	Cl 2	Cu 5	—	N 0-1	WSW 2	W 0-1	o	60.0	17.0	
Cl 2	Cl 4	Cl 2	—	WSW 0-1	WSW 1	SSE 0-1	o	65.0	17.5	
Cl 5	Cl 1	o	—	WSW 0-1	WSW 0	WSW 5	o	58.0	21.0	
Cl 4	Cl 2	o	—	NW 4	NW 0	N 0-1	o	60.0	24.0	
o	o	Cl 1	—	N 0-1	S 0	N 1	o	55.0	19.0	
Cl 2	Cl 2	Cl 2	—	N 1	WSW 0	NNW 2	o	58.0	19.0	
Cl 1	Cl 2	o	—	N 0-1	NNW 0	NNW 1	o	50.0	18.0	
o	Cl 2	Cl 2	—	N 0-1	NNW 0	N 3	o	59.1	16.5	
Cl 1	Cu 2	St 2	—	N 2	N 0	N 3	o	59.5	16.0	
St 5	Cu 1	Cl 1	—	N 1	NNW 3	N 1	o	60.0	10.5	
o	o	o	—	NW 0-1	WSW 4	E 0-1	o	62.0	17.0	
Cu 1	Cu St 10	Cu 5	—	SE 0-1	S 0	S 0	o	60.0	21.0	
Cu 3	Cu 5	Cl 1	—	S 0	WSW 3	N 4	o	50.0	22.0	
Cu 1	Cl 2	Cl 4	—	N 4	N 7	N 2	o	60.0	18.0	
St 2	St 1	St 4	—	N 2	NNW 4	N 2	o	60.0	18.5	
o	o	Cl 2	—	N 0-1	S 3	SSE 5	o	50.0	14.0	
o	o	o	—	WSW 0-1	WSW 4	N 0-1	o	55.0	15.0	
Ni 10	—	—	—	N 0-1	NW 7	NW 4	o	57.0	18.0	
Cu 7	Cu 2	Cu 2	—	N 2	NW 0	N 3	o	58.5	19.0	
Cu 1	Cu Cl 3	Cu 2	—	N 1	NW 3	NW 1	o	60.0	20.0	
2.8	3.0	.	—	1.5	5.0	—	o	57.4	18.4	

richtungen und Windstillen.

S	SSW	SW	WSW	W	WNW	NW	NNW	Calm
1	2	.	1	2	.	1	.	.
3	1	.	4	.	3	7	7	.
3	.	.	.	1	1	3	3	.
7	3	.	5	3	4	11	10	.

Zahl der Tage mit Niederschlag o

„ „ „ Gewitter o

„ „ „ Nebel 2

„ „ „ Sturm 17

9^h p. m. gemacht wurde, sind keine Tagesmittel gebildet worden.

Tabelle XXIX. Beobachtungsstation: Jidda.

April

Datum	Luftdruck (Barometerstand, reducirt auf 0°, Meeressniveau und 35° Breite)				Temperatur Angaben des Max und Min- Thermometers		Temperatur des trockenen Thermometers nach Celsius				Dampfdruck in Millimetern				Relative Feuchtigkeits in Procenten			
	7 ^h	2 ^h	9 ^h	Tages- mittel	Max.	Min.	7 ^h	2 ^h	9 ^h	Tages- mittel	7 ^h	2 ^h	9 ^h	Tages- mittel	7 ^h	2 ^h	9 ^h	Tages- mittel
1	56.7	55.4	55.9	—	10.5	20.1	25.0	20.0	20.4	—	—	—	—	—	—	—	—	—
2	55.9	54.7	55.1	—	10.8	21.5	25.2	21.5	20.7	—	—	—	—	—	—	—	—	—
3	55.4	54.7	55.5	—	10.0	21.5	20.7	21.7	21.2	—	—	—	—	—	—	—	—	—
4	56.0	54.7	—	—	11.4	20.0	22.7	21.2	—	—	—	—	—	—	—	—	—	—
5	—	—	—	—	—	21.1	—	—	—	—	—	—	—	—	—	—	—	—
6	—	—	—	—	—	—	—	—	—	—	—	—	—	—	—	—	—	—
7	—	—	—	—	—	—	—	—	—	—	—	—	—	—	—	—	—	—
8	—	—	—	—	—	—	—	—	—	—	—	—	—	—	—	—	—	—
9	—	—	—	—	—	—	—	—	—	—	—	—	—	—	—	—	—	—
10	—	—	—	—	—	—	—	—	—	—	—	—	—	—	—	—	—	—
11	—	—	—	—	—	—	—	—	—	—	—	—	—	—	—	—	—	—
12	—	—	—	—	—	—	—	—	—	—	—	—	—	—	—	—	—	—
13	—	—	—	—	—	—	—	—	—	—	—	—	—	—	—	—	—	—
14	57.5	50.7	57.2	—	20.0	10.5	24.0	20.4	25.2	—	—	—	—	—	—	—	—	—
15	57.2	50.0	57.1	—	25.0	22.5	24.8	20.0	25.0	—	—	—	—	—	—	—	—	—
16	57.0	50.8	50.5	—	27.5	21.0	24.7	20.7	25.2	—	—	—	—	—	—	—	—	—
17	57.0	57.1	57.1	—	28.8	20.0	24.7	27.1	20.6	—	—	—	—	—	—	—	—	—
18	57.2	50.5	57.0	—	28.5	22.0	25.0	27.0	27.1	—	—	—	—	—	—	—	—	—
19	57.7	50.5	57.7	—	24.0	21.0	24.2	20.0	20.5	—	—	—	—	—	—	—	—	—
20	57.2	57.5	57.2	—	20.0	21.4	24.7	27.1	20.0	—	—	—	—	—	—	—	—	—
21	57.8	57.5	57.1	—	24.5	21.0	24.0	20.8	25.2	—	—	—	—	—	—	—	—	—
22	57.8	57.5	57.7	—	20.5	21.1	25.0	20.0	25.6	—	—	—	—	—	—	—	—	—
23	50.0	50.7	50.5	—	20.0	21.0	20.1	20.2	20.0	—	—	—	—	—	—	—	—	—
24	57.1	50.5	57.4	—	31.5	24.0	20.2	21.1	27.7	—	—	—	—	—	—	—	—	—
25	57.0	50.0	50.8	—	31.2	22.5	25.7	20.0	28.1	—	—	—	—	—	—	—	—	—
26	57.4	50.0	50.0	—	31.0	22.5	28.0	31.2	31.4	—	—	—	—	—	—	—	—	—
27	57.5	55.7	55.7	—	35.0	21.0	30.1	18.0	31.6	—	—	—	—	—	—	—	—	—
28	55.1	54.4	50.0	—	34.5	24.0	30.8	12.4	30.0	—	—	—	—	—	—	—	—	—
29	55.0	54.8	54.0	—	34.0	24.0	29.7	30.0	29.0	—	—	—	—	—	—	—	—	—
30	—	—	—	—	—	—	—	—	—	—	—	—	—	—	—	—	—	—
M.	56.88	56.10	—	—	30.2	22.3	25.7	25.1	—	—	—	—	—	—	—	—	—	—

Zahl der beobachteten Wind-

	N	NNE	NE	ESE	E	ENE	SE	SSE
7 ^h a. m.	10	—	1	—	—	—	2	—
2 ^h p. m.	—	—	—	—	—	—	—	—
9 ^h p. m.	2	—	6	—	—	—	—	—
Summe.	12	—	7	—	—	—	2	—

Maximum des Luftdruckes 57.8 mm am 22. u. 23.

Minimum „ „ 54.3 „ 30.

Maximum der Temperatur 35.0° C. „ 28.

Minimum „ „ 19.5 „ 15.

Maximum der Windstärke NW 60 km pr. Std. „ 21.

* Wenn die Abmahlung nicht rechtwinklig zur selben Stunde, sondern je nach Zulass der Umstände zwischen 9^h p. und

1896.

Bewölkung, geschätzt nach Zehnteilen der sichtbaren Himmelsfläche				Windrichtung und Stärke nach der 10-theiligen Skala			Nieder- schlag binnen 24 Stunden gemessen um 7 h a. m.		Anmerkung	
7h	2h	9h	Tages- mittel	7h	2h	9h	Höhe und Form	Insolations-Maximum	Radia- tions-Minimum	
Cl 1	0	0	—	NE 0-1	NW 3	NW 2	0	60° 0	20° 0	Wegen Abwesenheit der »Kunfath« Beobach- tungen unterbrochen.
Cl 1	Cu 2	Cu 1	—	N 0-1	NW 1	NW 0-1	0	65° 0	21° 0	
0	0	0	—	SE 0-1	NW 0-1	NE 0-1	0	60° 0	20° 5	
0	0	0	—	N 0-1	NW 0-1	—	0	—	20° 0	
—	—	—	—	—	—	—	0	—	—	
—	—	—	—	—	—	—	0	—	—	
—	—	—	—	—	—	—	0	—	—	
—	—	—	—	—	—	—	0	—	—	
—	—	—	—	—	—	—	0	—	—	
—	—	—	—	—	—	—	0	—	—	
Cu 2	0	0	—	N 0-1	NW 0	NW 1	0	62° 0	18° 5	Mistiges Wetter.
Cl 2	0	0	—	SNW 0-1	NW 0	NW 1	0	64° 0	21° 0	
Cl 4	Cl 1	0	—	SNW 0-1	NW 0	NW 1	0	64° 2	20° 0	
0	0	0	—	SNW 1	NW 1	SNW 0-1	0	65° 0	20° 0	
Cl 2	Cu 1	Cl 1	—	N 0-1	NW 1	N 1	0	64° 0	22° 0	
0	Cu 1	Cl 1	—	N 1	NW 5	NW 2	0	65° 0	22° 0	
0	Cl 2	Cl 1	—	N 1	NW 0	NW 1	0	65° 0	22° 1	
0	Cl 1	Cl 1	—	N 1	NW 0	NW 1	0	65° 2	22° 0	
0	Cl 1	Cu 1	—	N 0-1	NW 1	NW 1	0	65° 8	22° 0	
0	Cl 1	0	—	N 0-1	NW 1	N 0-1	0	65° 9	22° 0	
0	Cl Cu 4	0	—	N 0-1	W 0-1	NE 0-1	0	66° 0	22° 0	
0	0	0	—	N 0-1	W 1	NE 0-1	0	66° 2	21° 0	
0	St 1	St 1	—	N 0-1	NW 1	NE 0-1	0	68° 0	21° 5	
0	0	0	—	SE 0-1	NW 0-1	W 0-1	0	69° 0	22° 0	
St 2	0	0	—	NW 0-1	NW 1	NE 0-1	0	68° 0	22° 0	
Cu 2	Cl 1	0	—	SNW 0-1	NW 1	NE 0-1	0	68° 0	22° 5	
0-8	0-8	—	—	0-6	3-2	—	0	65° 3	21° 2	

richtungen und Windstillen.

S	SSW	SW	WSW	W	WSW	NW	NNW	Calm
2	•	•	•	•	•	1	4	•
•	•	•	•	2	•	18	•	•
•	•	•	•	1	•	0	1	•
2	•	•	•	3	•	28	5	•

Zahl der Tage mit Niederschlag 0

• • • • Gewitter 0

• • • • Nebel 0

• • • • Sturm 5

9h p. m. gemacht wurde, sind keine Tagesmittel gebildet worden

Tabelle XXX.

Datum	Luftdruck (Barometerstand, reducirt auf 0°, Meeressniveau und 35° Breite)				Tempe- ratur Angaben des Max- und Min- Thermo- meters		Temperatur des inischen Thermometers nach Celsius				Dampfdruck in Millimetern				Relative Feuchtigkeit in Procenten			
	7h	2h	9h	Tages- mittel	Max.	Min.	7h	2h	9h	Tages- mittel	7h	2h	9h	Tages- mittel	7h	2h	9h	Tages- mittel
1	54.9	53.3	53.1	—	38.0	25.4	20.1	15.7	15.0	—	—	—	—	—	—	—	—	—
2	54.5	53.1	54.4	—	41.2	24.8	14.0	18.0	10.0	—	—	—	—	—	—	—	—	—
3	55.1	54.7	55.1	—	38.0	20.4	28.1	10.2	20.1	—	—	—	—	—	—	—	—	—
4	54.0	53.1	54.8	—	70.5	24.7	25.8	20.2	20.2	—	—	—	—	—	—	—	—	—
5	55.4	54.4	—	—	22.8	24.0	20.1	—	—	—	—	—	—	—	—	—	—	—
6	—	—	—	—	35.0	—	—	—	—	—	—	—	—	—	—	—	—	—
7	50.2	57.4	57.7	—	30.5	25.0	11.2	13.0	11.1	—	—	—	—	—	—	—	—	—
8	58.0	58.4	58.6	—	37.0	24.0	11.3	14.0	12.5	—	—	—	—	—	—	—	—	—
9	58.4	57.0	58.3	—	32.8	20.2	11.1	14.4	28.5	—	—	—	—	—	—	—	—	—
10	58.2	57.2	58.1	—	35.0	20.0	28.1	13.5	14.1	—	—	—	—	—	—	—	—	—
11	58.1	57.4	50.9	—	37.2	20.2	10.1	14.8	14.2	—	—	—	—	—	—	—	—	—
12	50.1	54.0	55.7	—	37.4	20.8	15.2	19.4	15.0	—	—	—	—	—	—	—	—	—
13	55.8	54.0	55.2	—	14.0	20.5	13.0	10.5	10.1	—	—	—	—	—	—	—	—	—
14	50.0	55.3	55.8	—	35.0	20.0	10.0	11.0	11.4	—	—	—	—	—	—	—	—	—
15	54.8	54.0	55.7	—	10.0	25.7	17.0	11.0	12.2	—	—	—	—	—	—	—	—	—
16	50.1	50.2	50.5	—	14.4	25.0	10.1	10.4	10.0	—	—	—	—	—	—	—	—	—
17	50.7	50.3	50.1	—	70.0	25.4	20.5	20.1	20.0	—	—	—	—	—	—	—	—	—
18	50.4	55.1	50.0	—	20.3	21.0	20.5	28.5	28.1	—	—	—	—	—	—	—	—	—
19	50.5	54.0	55.4	—	20.0	24.0	17.1	20.1	18.1	—	—	—	—	—	—	—	—	—
20	50.2	54.2	55.1	—	30.5	23.2	27.0	20.7	20.1	—	—	—	—	—	—	—	—	—
21	55.7	54.8	55.4	—	15.0	23.8	20.0	11.5	10.0	—	—	—	—	—	—	—	—	—
22	55.5	55.5	50.0	—	14.0	24.5	12.0	12.3	11.3	—	—	—	—	—	—	—	—	—
23	50.7	50.4	50.8	—	13.2	20.2	20.0	10.1	10.4	—	—	—	—	—	—	—	—	—
24	50.1	50.2	57.0	—	11.0	25.0	20.5	20.5	20.1	—	—	—	—	—	—	—	—	—
25	50.0	55.4	55.0	—	11.4	24.5	20.2	10.5	10.7	—	—	—	—	—	—	—	—	—
26	50.1	54.0	55.0	—	13.0	25.5	20.4	10.5	10.7	—	—	—	—	—	—	—	—	—
27	55.3	53.8	54.3	—	11.0	13.8	20.2	20.3	10.0	—	—	—	—	—	—	—	—	—
28	54.1	54.4	54.7	—	11.0	24.8	20.5	10.5	10.0	—	—	—	—	—	—	—	—	—
29	54.7	55.7	55.3	—	13.2	25.0	20.4	10.7	10.1	—	—	—	—	—	—	—	—	—
30	55.0	55.4	55.1	—	11.0	23.5	20.4	20.3	20.1	—	—	—	—	—	—	—	—	—
31	55.2	54.0	53.9	—	13.5	23.8	20.0	20.0	20.5	—	—	—	—	—	—	—	—	—
M.	50.98	55.40	—	—	34.0	24.8	20.7	11.3	—	—	—	—	—	—	—	—	—	—

Zahl der beobachteten Wind-

	N	NNE	NE	ENE	E	ESE	SE	SSE
7h a. m.	14	—	0	—	3	—	2	—
2h p. m.	14	—	10	—	—	—	—	—
9h p. m.	14	—	10	—	—	—	—	—
Summe	26	—	10	—	3	—	2	—

Maximum des Luftdruckes 56.8 mm am 8.

Minimum „ „ 53.1 „ 2.

Maximum der Temperatur 41.2° C „ 2.

Minimum „ „ 21.5 „ 18.

Maximum der Windstärke 8 44 km pr. Std. „ 2.

* Weil die Abendslesung nicht regelmässig zur selben Stunde, sondern je nach Zulass der Umstände zwischen 6h p. und

1896.

Bewölkung, geschätzt nach Zehnteilen der sichtbaren Himmelsfläche				Windrichtung und Stärke nach der 10-theiligen Scale			Nieder- schlag binnen 24 Stunden gemessen um 7 ^h a. m.	Insolation- Maximum	Radiations- Minimum	Anmerkung
7 ^h	2 ^h	9 ^h	Tages- mittel	7 ^h	2 ^h	9 ^h	Höhe und Form			
0	Cl 4	0	—	E 0—1	S 0	W 1	0	70.5	22.0	2 ^h p. m. Samum
0	Cl 1	Cl 4	—	S 7	S 7	S 1	0	75.0	23.5	
Cl 5	Cl Cu 7	0	—	W 0—1	W 1	W 0—1	0	50.0	25.0	Nicht beobachtet, weil Überwurf der Kanba aus Aegypten angekommen ist.
0	Cl St 7	0	—	NE 0—1	NNW 0	NNW 1	0	02.0	27.5	
0	Cl 2	—	—	NE 1	NNW 5	—	0	—	21.5	Wegen Reparatur des Quarantainehauses keine Windmessung vorgenommen.
0	—	—	—	—	—	—	0	05.0	—	
Cl 5	Cl 1	0	—	E 4	WSW 4	NE 0—1	0	00.0	21.0	7 ^h a. m. Samum.
Cl 5	Cl 2	Cl 2	—	SW 3	SW 0	SW 0—1	0	02.0	23.0	
Cl 2	Cl 2	Cl 2	—	SW 0—1	WSW 3	NE 0—1	0	01.0	25.0	Wegen Reparatur des Quarantainehauses keine Windmessung vorgenommen.
0	Cl 1	0	—	E 0—1	WSW 3	NE 0—1	0	03.0	25.0	
St 2	St 5	St 6	—	NE 0—1	WSW 7	NE 0—1	0	04.0	25.5	7 ^h a. m. Samum.
0	St 5	St 2	—	SE 0—1	SW 3	NE 0—1	0	—	20.0	
St 1	Cl 2	Cl 1	—	NE 0—1	NNW 1	NE 0—1	0	03.0	25.8	Wegen Reparatur des Quarantainehauses keine Windmessung vorgenommen.
St 2	St 4	Cl 2	—	NE 0—1	NNW 1	NE 0—1	0	03.2	25.0	
St 2	St 4	St 2	—	S 0—1	W 0—1	NE 0—1	0	01.0	24.5	7 ^h a. m. leichter •
St 1	0	0	—	N 2	NNW 7	N 4	0	02.8	24.0	
Cl 1	0	St 2	—	N 1	NNW 5	N 2	0	01.0	21.0	7 ^h a. m. leichter •
St 4	0	St 1	—	N 1	NNW 0	N 0—1	0	00.5	20.0	
Cl 1	0	0	—	NE 0—1	NNW 5	NE 0—1	0	00.0	23.0	7 ^h a. m. leichter •
Cl 2	0	0	—	N 0—1	NW 3	N 0—1	0	04.5	22.0	
0	0	0	—	NE 0—1	W 1	N 0—1	0	03.0	23.0	7 ^h a. m. leichter •
0	Cl 2	Cl 1	—	—	WSW 2	N 0—1	0	02.0	23.8	
Cl 2	Cl Cu 8	Cl 0	—	N 0—1	NNW 1	N 0—1	0	01.0	25.0	7 ^h a. m. leichter •
St 2	St 1	St 1	—	N 0—1	NNW 1	N 1	0	01.0	20.0	
Cl 0	Cl 5	Cl 5	—	N 0—1	NNW 4	N 3	0	00.5	23.0	7 ^h a. m. leichter •
Cl 1	St 4	Cl 5	—	N 1	NNW 7	N 3	0	00.0	24.2	
St 2	Cl 3	Cl 4	—	N 0—1	NNW 3	N 1	0	00.2	22.5	7 ^h a. m. leichter •
NI 4	Cl 3	Cl 4	—	N 0—1	NNW 0	NE 2	0.2	03.0	23.4	
Cl 7	St 7	St 2	—	N 3	NNW 0	N 3	0	02.0	24.0	7 ^h a. m. leichter •
Cl 4	Cl 1	Cl 1	—	N 2	NNW 5	N 2	0	01.0	22.5	
St 1	St 1	0	—	N 1	NNW 3	N 0—1	0	01.0	22.5	7 ^h a. m. leichter •
2.7	2.7	—	—	1.2	3.9	—	0.2	02.7	23.7	

richtungen und Windstillen.

N	NSW	SW	WSW	W	WNW	NW	NNW	Calm
2	—	2	—	1	—	—	—	—
2	—	2	5	3	—	2	16	—
1	—	1	—	2	—	—	1	—
5	—	5	5	0	—	2	17	—

Zahl der Tage mit Niederschlag :

„ „ „ „ Gewitter 0
 „ „ „ „ Nebel 2
 „ „ „ „ Sturm 9

1^h p. m. gemacht wurde, sind keine Tagesmittel gebildet worden.

Druckschriften der mathem.-naturw. Cl. f. XV. Bd.

Monatsmittel aus den Terminbeobachtungen

In den Klammern die Differenz gegen den Werth, welcher aus den Aufzeichnungen der Registerraparate gewonnen wurde

In Einheiten der letzten Stelle der nebenstehenden Zahl.

Monat	Luftdruck			Temperatur			Absolute Feuchtigheit			Relative Feuchtigheit		
	7h	2h	9h	Tages- mittel	7h	2h	9h	Tages- mittel	7h	2h	9h	Tages- mittel
The Brothers.												
November	10078 (-10073)	10052 (-10047)	10073 (-10068)	10073 (-10068)	52.12 (-52.07)	52.12 (-52.07)	52.12 (-52.07)	14.3	14.3	14.3	14.3	14.3
December	10124 (-10119)	10102 (-10097)	10124 (-10119)	10124 (-10119)	53.13 (-53.08)	53.13 (-53.08)	53.13 (-53.08)	14.3	14.3	14.3	14.3	14.3
Jänner	10177 (-10172)	10154 (-10149)	10177 (-10172)	10177 (-10172)	54.14 (-54.09)	54.14 (-54.09)	54.14 (-54.09)	14.3	14.3	14.3	14.3	14.3
Februar	10223 (-10218)	10200 (-10195)	10223 (-10218)	10223 (-10218)	55.15 (-55.10)	55.15 (-55.10)	55.15 (-55.10)	14.3	14.3	14.3	14.3	14.3
März	10268 (-10263)	10245 (-10240)	10268 (-10263)	10268 (-10263)	56.16 (-10261)	56.16 (-10261)	56.16 (-10261)	14.3	14.3	14.3	14.3	14.3
April	10313 (-10308)	10290 (-10285)	10313 (-10308)	10313 (-10308)	57.17 (-10312)	57.17 (-10312)	57.17 (-10312)	14.3	14.3	14.3	14.3	14.3
Mai	10358 (-10353)	10335 (-10330)	10358 (-10353)	10358 (-10353)	58.18 (-10353)	58.18 (-10353)	58.18 (-10353)	14.3	14.3	14.3	14.3	14.3
Juni	10403 (-10398)	10380 (-10375)	10403 (-10398)	10403 (-10398)	59.19 (-10404)	59.19 (-10404)	59.19 (-10404)	14.3	14.3	14.3	14.3	14.3
Koselr.												
November	10099 (-10094)	10076 (-10071)	10099 (-10094)	10099 (-10094)	52.12 (-52.07)	52.12 (-52.07)	52.12 (-52.07)	14.3	14.3	14.3	14.3	14.3
December	10144 (-10139)	10121 (-10116)	10144 (-10139)	10144 (-10139)	53.13 (-53.08)	53.13 (-53.08)	53.13 (-53.08)	14.3	14.3	14.3	14.3	14.3
Jänner	10189 (-10184)	10166 (-10161)	10189 (-10184)	10189 (-10184)	54.14 (-54.09)	54.14 (-54.09)	54.14 (-54.09)	14.3	14.3	14.3	14.3	14.3
Februar	10234 (-10229)	10211 (-10206)	10234 (-10229)	10234 (-10229)	55.15 (-55.10)	55.15 (-55.10)	55.15 (-55.10)	14.3	14.3	14.3	14.3	14.3
März	10279 (-10274)	10256 (-10251)	10279 (-10274)	10279 (-10274)	56.16 (-56.11)	56.16 (-56.11)	56.16 (-56.11)	14.3	14.3	14.3	14.3	14.3
April	10324 (-10319)	10301 (-10296)	10324 (-10319)	10324 (-10319)	57.17 (-57.12)	57.17 (-57.12)	57.17 (-57.12)	14.3	14.3	14.3	14.3	14.3
Jidda.												
November	10040 (-10035)	10017 (-10012)	10040 (-10035)	10040 (-10035)	52.12 (-52.07)	52.12 (-52.07)	52.12 (-52.07)	14.3	14.3	14.3	14.3	14.3
December	10085 (-10080)	10062 (-10057)	10085 (-10080)	10085 (-10080)	53.13 (-53.08)	53.13 (-53.08)	53.13 (-53.08)	14.3	14.3	14.3	14.3	14.3
Jänner	10130 (-10125)	10107 (-10102)	10130 (-10125)	10130 (-10125)	54.14 (-54.09)	54.14 (-54.09)	54.14 (-54.09)	14.3	14.3	14.3	14.3	14.3
Februar	10175 (-10170)	10152 (-10147)	10175 (-10170)	10175 (-10170)	55.15 (-55.10)	55.15 (-55.10)	55.15 (-55.10)	14.3	14.3	14.3	14.3	14.3
März	10220 (-10215)	10197 (-10192)	10220 (-10215)	10220 (-10215)	56.16 (-56.11)	56.16 (-56.11)	56.16 (-56.11)	14.3	14.3	14.3	14.3	14.3
April	10265 (-10260)	10242 (-10237)	10265 (-10260)	10265 (-10260)	57.17 (-57.12)	57.17 (-57.12)	57.17 (-57.12)	14.3	14.3	14.3	14.3	14.3
Mai	10310 (-10305)	10287 (-10282)	10310 (-10305)	10310 (-10305)	58.18 (-58.13)	58.18 (-58.13)	58.18 (-58.13)	14.3	14.3	14.3	14.3	14.3
Juni	10355 (-10350)	10332 (-10327)	10355 (-10350)	10355 (-10350)	59.19 (-59.14)	59.19 (-59.14)	59.19 (-59.14)	14.3	14.3	14.3	14.3	14.3

The Brothers, Mai 1874.

Tabelle XXXVIII.

Tag		Angaben des Instrumentes für die Beobachtungsstunden																								Mittel	
Max.	Min.	1h	2h	3h	4h	5h	6h	7h	8h	9h	10h	11h	Mittg.	1h	2h	3h	4h	5h	6h	7h	8h	9h	10h	11h	Min	Mittel	
54.1	51.0	1	53.7	53.0	53.4	53.0	52.1	52.7	58.2	59.0	59.1	59.2	59.2	59.1	59.1	58.8	58.3	58.1	58.0	57.9	58.0	58.3	58.4	58.4	58.1	58.20	
54.1	51.8	2	52.5	51.9	51.8	51.4	51.4	51.0	52.0	52.7	52.7	52.7	52.7	52.7	52.7	52.8	52.8	52.8	52.8	52.8	52.7	52.8	52.7	52.8	52.7	52.85	
54.5	51.1	3	54.0	54.0	54.0	54.0	54.0	54.0	54.0	54.0	54.0	54.0	54.0	54.0	54.0	54.0	54.0	54.0	54.0	54.0	54.0	54.0	54.0	54.0	54.0	54.28	
54.5	51.4	4	54.0	54.0	54.0	54.0	54.0	54.0	54.0	54.0	54.0	54.0	54.0	54.0	54.0	54.0	54.0	54.0	54.0	54.0	54.0	54.0	54.0	54.0	54.0	54.30	
54.8	51.5	5	55.4	55.4	55.3	55.3	55.5	55.7	59.5	60.0	60.0	60.0	60.0	60.0	60.0	60.0	60.0	60.0	60.0	60.0	60.0	60.0	60.0	60.0	60.0	60.30	
50.7	50.2	6	52.0	50.0	50.5	50.7	52.1	52.7	48.2	50.0	50.1	50.2	50.2	50.1	50.1	50.1	50.1	50.1	50.1	50.1	50.1	50.1	50.1	50.1	50.1	50.20	
50.1	52.7	7	52.8	52.7	52.7	52.7	52.7	52.7	52.7	52.7	52.7	52.7	52.7	52.7	52.7	52.7	52.7	52.7	52.7	52.7	52.7	52.7	52.7	52.7	52.7	52.75	
50.0	50.5	8	52.5	52.5	52.4	52.4	52.4	52.4	52.4	52.4	52.4	52.4	52.4	52.4	52.4	52.4	52.4	52.4	52.4	52.4	52.4	52.4	52.4	52.4	52.4	52.75	
50.0	50.0	9	50.7	50.5	50.4	50.0	50.0	50.7	50.9	52.5	52.8	52.9	52.9	52.9	52.9	52.9	52.9	52.9	52.9	52.9	52.9	52.9	52.9	52.9	52.9	53.00	
48.0	55.1	10	50.5	50.0	55.8	55.0	55.0	55.0	49.7	57.1	57.2	57.0	58.0	57.9	57.8	57.8	57.0	55.0	55.0	55.0	55.0	55.0	55.0	55.0	55.0	55.10	
50.0	50.7	11	52.8	52.1	50.8	52.1	52.4	52.4	52.7	48.2	48.0	50.1	48.0	48.0	48.0	48.0	48.0	48.0	48.0	48.0	48.0	48.0	48.0	48.0	48.0	50.72	
52.5	55.7	12	50.7	50.4	50.2	50.7	50.4	50.4	50.0	50.9	52.2	52.5	52.4	52.4	52.4	52.4	52.4	52.4	52.4	52.4	52.4	52.4	52.4	52.4	52.4	50.80	
52.4	55.1	13	50.5	50.4	50.2	50.3	50.4	50.4	50.9	52.2	52.1	52.1	52.1	52.1	52.1	52.1	52.1	52.1	52.1	52.1	52.1	52.1	52.1	52.1	52.1	50.90	
55.0	53.3	14	55.0	54.8	54.4	54.4	54.1	54.7	54.4	54.7	54.9	54.8	54.3	53.8	53.2	53.0	52.9	52.9	52.9	52.9	52.9	52.9	52.9	52.9	52.9	50.95	
52.7	53.0	15	54.1	54.0	53.9	54.0	54.1	54.8	55.0	50.0	50.0	50.0	50.0	50.0	50.0	50.0	50.0	50.0	50.0	50.0	50.0	50.0	50.0	50.0	50.0	51.01	
52.8	52.0	16	52.7	52.7	52.8	52.8	52.8	52.8	52.7	48.2	48.0	50.1	48.0	48.0	48.0	48.0	48.0	48.0	48.0	48.0	48.0	48.0	48.0	48.0	48.0	51.07	
50.0	52.0	17	52.8	52.7	52.8	52.8	52.8	52.8	52.7	48.2	48.0	50.1	48.0	48.0	48.0	48.0	48.0	48.0	48.0	48.0	48.0	48.0	48.0	48.0	48.0	51.13	
49.0	52.0	18	52.8	52.7	52.8	52.8	52.8	52.8	52.7	48.2	48.0	50.1	48.0	48.0	48.0	48.0	48.0	48.0	48.0	48.0	48.0	48.0	48.0	48.0	48.0	51.19	
48.1	55.3	19	52.1	50.0	50.0	50.1	52.1	52.5	52.8	58.1	58.1	58.0	57.9	57.7	57.7	57.7	57.7	57.7	57.7	57.7	57.7	57.7	57.7	57.7	57.7	51.25	
57.1	54.9	20	55.2	55.1	55.0	55.1	55.3	55.4	50.0	50.0	52.0	52.1	52.0	52.0	52.0	52.0	52.0	52.0	52.0	52.0	52.0	52.0	52.0	52.0	52.0	51.31	
57.3	54.9	21	55.7	55.1	55.1	55.1	55.2	50.1	50.7	57.0	57.2	57.2	57.1	57.0	57.0	57.0	57.0	57.0	57.0	57.0	57.0	57.0	57.0	57.0	57.0	51.37	
57.0	55.4	22	57.0	56.7	56.7	56.7	56.7	56.7	56.7	56.7	56.7	56.7	56.7	56.7	56.7	56.7	56.7	56.7	56.7	56.7	56.7	56.7	56.7	56.7	56.7	51.43	
58.0	57.0	23	57.7	57.0	57.0	57.0	57.0	57.0	57.0	57.0	57.0	57.0	57.0	57.0	57.0	57.0	57.0	57.0	57.0	57.0	57.0	57.0	57.0	57.0	57.0	51.49	
58.5	57.2	24	57.7	57.0	57.0	57.0	57.0	57.0	57.0	57.0	57.0	57.0	57.0	57.0	57.0	57.0	57.0	57.0	57.0	57.0	57.0	57.0	57.0	57.0	57.0	51.55	
58.0	50.6	25	57.0	50.0	50.0	50.0	50.0	50.0	50.0	50.0	50.0	50.0	50.0	50.0	50.0	50.0	50.0	50.0	50.0	50.0	50.0	50.0	50.0	50.0	50.0	51.61	
57.0	55.4	26	57.0	50.5	50.4	50.3	50.5	50.5	50.0	52.2	52.2	52.2	52.2	52.2	52.2	52.2	52.2	52.2	52.2	52.2	52.2	52.2	52.2	52.2	52.2	51.67	
58.1	55.1	27	50.0	50.0	50.0	50.0	50.0	50.0	50.0	50.0	50.0	50.0	50.0	50.0	50.0	50.0	50.0	50.0	50.0	50.0	50.0	50.0	50.0	50.0	50.0	51.73	
58.0	49.0	28	52.5	52.3	52.4	52.4	52.4	52.4	52.4	52.4	52.4	52.4	52.4	52.4	52.4	52.4	52.4	52.4	52.4	52.4	52.4	52.4	52.4	52.4	52.4	51.79	
57.5	55.3	29	50.3	50.1	50.1	50.1	50.1	50.1	50.1	50.1	50.1	50.1	50.1	50.1	50.1	50.1	50.1	50.1	50.1	50.1	50.1	50.1	50.1	50.1	50.1	51.85	
57.0	55.5	30	50.3	50.1	50.0	50.0	50.0	50.0	50.0	50.0	50.0	50.0	50.0	50.0	50.0	50.0	50.0	50.0	50.0	50.0	50.0	50.0	50.0	50.0	50.0	51.91	
57.0	55.3	M.	50.13	50.13	50.08	50.11	50.14	50.01	52.02	52.38	52.46	52.48	52.72	52.72	52.74	52.90	53.02	53.10	53.16	53.24	53.31	53.41	53.51	53.61	53.72	53.79	
55.53																										50.02	

Tabelle XL.

Jidda, November 1845.

[illegible]

Tabella X

Jidda, Jänner 1895.

Angaben des Instrumentes für die Beobachtungsstunden														Mittel											
Tag	1 ^h	2 ^h	3 ^h	4 ^h	5 ^h	6 ^h	7 ^h	8 ^h	9 ^h	10 ^h	11 ^h	Mittg.	1 ^h	2 ^h	3 ^h	4 ^h	5 ^h	6 ^h	7 ^h	8 ^h	9 ^h	10 ^h	11 ^h	Mittg.	
1	607,7	607,7	607,7	606,8	614,0	617,8	621,3	625,9	631,3	635,9	641,7	647,4	653,1	658,8	664,5	670,2	675,9	681,6	687,3	693,0	698,7	704,4	710,1	715,8	721,5
2	600,4	599,4	598,4	597,4	596,4	595,4	594,4	593,4	592,4	591,4	590,4	589,4	588,4	587,4	586,4	585,4	584,4	583,4	582,4	581,4	580,4	579,4	578,4	577,4	576,4
3	595,4	594,4	593,4	592,4	591,4	590,4	589,4	588,4	587,4	586,4	585,4	584,4	583,4	582,4	581,4	580,4	579,4	578,4	577,4	576,4	575,4	574,4	573,4	572,4	571,4
4	588,4	587,4	586,4	585,4	584,4	583,4	582,4	581,4	580,4	579,4	578,4	577,4	576,4	575,4	574,4	573,4	572,4	571,4	570,4	569,4	568,4	567,4	566,4	565,4	564,4
5	580,4	579,4	578,4	577,4	576,4	575,4	574,4	573,4	572,4	571,4	570,4	569,4	568,4	567,4	566,4	565,4	564,4	563,4	562,4	561,4	560,4	559,4	558,4	557,4	556,4
6	572,4	571,4	570,4	569,4	568,4	567,4	566,4	565,4	564,4	563,4	562,4	561,4	560,4	559,4	558,4	557,4	556,4	555,4	554,4	553,4	552,4	551,4	550,4	549,4	548,4
7	565,4	564,4	563,4	562,4	561,4	560,4	559,4	558,4	557,4	556,4	555,4	554,4	553,4	552,4	551,4	550,4	549,4	548,4	547,4	546,4	545,4	544,4	543,4	542,4	541,4
8	558,4	557,4	556,4	555,4	554,4	553,4	552,4	551,4	550,4	549,4	548,4	547,4	546,4	545,4	544,4	543,4	542,4	541,4	540,4	539,4	538,4	537,4	536,4	535,4	534,4
9	551,4	550,4	549,4	548,4	547,4	546,4	545,4	544,4	543,4	542,4	541,4	540,4	539,4	538,4	537,4	536,4	535,4	534,4	533,4	532,4	531,4	530,4	529,4	528,4	527,4
10	544,4	543,4	542,4	541,4	540,4	539,4	538,4	537,4	536,4	535,4	534,4	533,4	532,4	531,4	530,4	529,4	528,4	527,4	526,4	525,4	524,4	523,4	522,4	521,4	520,4
11	537,4	536,4	535,4	534,4	533,4	532,4	531,4	530,4	529,4	528,4	527,4	526,4	525,4	524,4	523,4	522,4	521,4	520,4	519,4	518,4	517,4	516,4	515,4	514,4	513,4
12	530,4	529,4	528,4	527,4	526,4	525,4	524,4	523,4	522,4	521,4	520,4	519,4	518,4	517,4	516,4	515,4	514,4	513,4	512,4	511,4	510,4	509,4	508,4	507,4	506,4
13	523,4	522,4	521,4	520,4	519,4	518,4	517,4	516,4	515,4	514,4	513,4	512,4	511,4	510,4	509,4	508,4	507,4	506,4	505,4	504,4	503,4	502,4</			

Tabelle XLIII.

Jidda, Februar 1865.

Max. Min		Angaben des Instrumentes für die Beobachtungsstunden														Mittel	
Tag.		1 ⁿ	2 ⁿ	3 ⁿ	4 ⁿ	5 ⁿ	6 ⁿ	7 ⁿ	8 ⁿ	9 ⁿ	10 ⁿ	11 ⁿ	12 ⁿ	13 ⁿ	14 ⁿ	15 ⁿ	16 ⁿ
1	01.5	01.0	01.1	01.0	01.5	01.7	02.2	02.0	01.0	01.5	01.8	01.0	01.7	02.1	02.0	02.2	01.5
2	01.5	01.7	01.4	01.2	02.0	02.0	02.7	01.4	01.1	01.5	01.5	01.5	01.8	02.5	02.2	01.5	01.5
3	01.5	01.5	01.7	01.4	01.8	02.0	02.7	01.4	01.1	01.5	01.5	01.5	01.8	02.5	02.2	01.5	01.5
4	01.5	01.7	01.4	01.8	02.0	02.7	01.4	01.1	01.5	01.5	01.5	01.5	01.8	02.5	02.2	01.5	01.5
5	01.5	01.5	01.7	01.4	01.8	02.0	02.7	01.4	01.1	01.5	01.5	01.5	01.8	02.5	02.2	01.5	01.5
6	01.5	01.5	01.7	01.4	01.8	02.0	02.7	01.4	01.1	01.5	01.5	01.5	01.8	02.5	02.2	01.5	01.5
7	01.5	01.5	01.7	01.4	01.8	02.0	02.7	01.4	01.1	01.5	01.5	01.5	01.8	02.5	02.2	01.5	01.5
8	01.5	01.5	01.7	01.4	01.8	02.0	02.7	01.4	01.1	01.5	01.5	01.5	01.8	02.5	02.2	01.5	01.5
9	01.5	01.5	01.7	01.4	01.8	02.0	02.7	01.4	01.1	01.5	01.5	01.5	01.8	02.5	02.2	01.5	01.5
10	01.5	01.5	01.7	01.4	01.8	02.0	02.7	01.4	01.1	01.5	01.5	01.5	01.8	02.5	02.2	01.5	01.5
11	01.5	01.5	01.7	01.4	01.8	02.0	02.7	01.4	01.1	01.5	01.5	01.5	01.8	02.5	02.2	01.5	01.5
12	01.5	01.5	01.7	01.4	01.8	02.0	02.7	01.4	01.1	01.5	01.5	01.5	01.8	02.5	02.2	01.5	01.5
13	01.5	01.5	01.7	01.4	01.8	02.0	02.7	01.4	01.1	01.5	01.5	01.5	01.8	02.5	02.2	01.5	01.5
14	01.5	01.5	01.7	01.4	01.8	02.0	02.7	01.4	01.1	01.5	01.5	01.5	01.8	02.5	02.2	01.5	01.5
15	01.5	01.5	01.7	01.4	01.8	02.0	02.7	01.4	01.1	01.5	01.5	01.5	01.8	02.5	02.2	01.5	01.5
16	01.5	01.5	01.7	01.4	01.8	02.0	02.7	01.4	01.1	01.5	01.5	01.5	01.8	02.5	02.2	01.5	01.5
17	01.5	01.5	01.7	01.4	01.8	02.0	02.7	01.4	01.1	01.5	01.5	01.5	01.8	02.5	02.2	01.5	01.5
18	01.5	01.5	01.7	01.4	01.8	02.0	02.7	01.4	01.1	01.5	01.5	01.5	01.8	02.5	02.2	01.5	01.5
19	01.5	01.5	01.7	01.4	01.8	02.0	02.7	01.4	01.1	01.5	01.5	01.5	01.8	02.5	02.2	01.5	01.5
20	01.5	01.5	01.7	01.4	01.8	02.0	02.7	01.4	01.1	01.5	01.5	01.5	01.8	02.5	02.2	01.5	01.5
21	01.5	01.5	01.7	01.4	01.8	02.0	02.7	01.4	01.1	01.5	01.5	01.5	01.8	02.5	02.2	01.5	01.5
22	01.5	01.5	01.7	01.4	01.8	02.0	02.7	01.4	01.1	01.5	01.5	01.5	01.8	02.5	02.2	01.5	01.5
23	01.5	01.5	01.7	01.4	01.8	02.0	02.7	01.4	01.1	01.5	01.5	01.5	01.8	02.5	02.2	01.5	01.5
24	01.5	01.5	01.7	01.4	01.8	02.0	02.7	01.4	01.1	01.5	01.5	01.5	01.8	02.5	02.2	01.5	01.5
25	01.5	01.5	01.7	01.4	01.8	02.0	02.7	01.4	01.1	01.5	01.5	01.5	01.8	02.5	02.2	01.5	01.5
26	01.5	01.5	01.7	01.4	01.8	02.0	02.7	01.4	01.1	01.5	01.5	01.5	01.8	02.5	02.2	01.5	01.5
27	01.5	01.5	01.7	01.4	01.8	02.0	02.7	01.4	01.1	01.5	01.5	01.5	01.8	02.5	02.2	01.5	01.5
28	01.5	01.5	01.7	01.4	01.8	02.0	02.7	01.4	01.1	01.5	01.5	01.5	01.8	02.5	02.2	01.5	01.5
29	01.5	01.5	01.7	01.4	01.8	02.0	02.7	01.4	01.1	01.5	01.5	01.5	01.8	02.5	02.2	01.5	01.5
30	01.5	01.5	01.7	01.4	01.8	02.0	02.7	01.4	01.1	01.5	01.5	01.5	01.8	02.5	02.2	01.5	01.5
31	01.5	01.5	01.7	01.4	01.8	02.0	02.7	01.4	01.1	01.5	01.5	01.5	01.8	02.5	02.2	01.5	01.5
32	01.5	01.5	01.7	01.4	01.8	02.0	02.7	01.4	01.1	01.5	01.5	01.5	01.8	02.5	02.2	01.5	01.5
33	01.5	01.5	01.7	01.4	01.8	02.0	02.7	01.4	01.1	01.5	01.5	01.5	01.8	02.5	02.2	01.5	01.5

Tabelle XLV.

Jidda, April 1896.

[illegible]

Tabelle XLVII.

Juli, Juni 1893.

Mon.	Tag	Angaben des Instrumentes für die Beobachtungssunden																Mittel									
		1 ^h	2 ^h	3 ^h	4 ^h	5 ^h	6 ^h	7 ^h	8 ^h	9 ^h	10 ^h	11 ^h	12 ^h	1 ^h	2 ^h	3 ^h	4 ^h	5 ^h	6 ^h	7 ^h	8 ^h	9 ^h	10 ^h	11 ^h	12 ^h	Mittel	
1 ^h	1	53.3	53.4	53.1	53.2	53.2	53.3	53.5	53.7	53.8	53.9	54.0	54.1	54.2	54.3	54.4	54.5	54.6	54.7	54.8	54.9	55.0	55.1	55.2	55.3	55.4	55.5
2 ^h	2	54.0	54.1	54.2	54.3	54.4	54.5	54.6	54.7	54.8	54.9	55.0	55.1	55.2	55.3	55.4	55.5	55.6	55.7	55.8	55.9	56.0	56.1	56.2	56.3	56.4	56.5
3 ^h	3	54.7	54.8	54.9	55.0	55.1	55.2	55.3	55.4	55.5	55.6	55.7	55.8	55.9	56.0	56.1	56.2	56.3	56.4	56.5	56.6	56.7	56.8	56.9	57.0	57.1	57.2
4 ^h	4	55.4	55.5	55.6	55.7	55.8	55.9	56.0	56.1	56.2	56.3	56.4	56.5	56.6	56.7	56.8	56.9	57.0	57.1	57.2	57.3	57.4	57.5	57.6	57.7	57.8	57.9
5 ^h	5	56.1	56.2	56.3	56.4	56.5	56.6	56.7	56.8	56.9	57.0	57.1	57.2	57.3	57.4	57.5	57.6	57.7	57.8	57.9	58.0	58.1	58.2	58.3	58.4	58.5	58.6
6 ^h	6	56.8	56.9	57.0	57.1	57.2	57.3	57.4	57.5	57.6	57.7	57.8	57.9	58.0	58.1	58.2	58.3	58.4	58.5	58.6	58.7	58.8	58.9	59.0	59.1	59.2	59.3
7 ^h	7	57.5	57.6	57.7	57.8	57.9	58.0	58.1	58.2	58.3	58.4	58.5	58.6	58.7	58.8	58.9	59.0	59.1	59.2	59.3	59.4	59.5	59.6	59.7	59.8	59.9	60.0
8 ^h	8	58.2	58.3	58.4	58.5	58.6	58.7	58.8	58.9	59.0	59.1	59.2	59.3	59.4	59.5	59.6	59.7	59.8	59.9	60.0	60.1	60.2	60.3	60.4	60.5	60.6	60.7
9 ^h	9	58.9	59.0	59.1	59.2	59.3	59.4	59.5	59.6	59.7	59.8	59.9	60.0	60.1	60.2	60.3	60.4	60.5	60.6	60.7	60.8	60.9	61.0	61.1	61.2	61.3	61.4
10 ^h	10	59.6	59.7	59.8	59.9	60.0	60.1	60.2	60.3	60.4	60.5	60.6	60.7	60.8	60.9	61.0	61.1	61.2	61.3	61.4	61.5	61.6	61.7	61.8	61.9	62.0	62.1
11 ^h	11	60.3	60.4	60.5	60.6	60.7	60.8	60.9	61.0	61.1	61.2	61.3	61.4	61.5	61.6	61.7	61.8	61.9	62.0	62.1	62.2	62.3	62.4	62.5	62.6	62.7	62.8
12 ^h	12	61.0	61.1	61.2	61.3	61.4	61.5	61.6	61.7	61.8	61.9	62.0	62.1	62.2	62.3	62.4	62.5	62.6	62.7	62.8	62.9	63.0	63.1	63.2	63.3	63.4	63.5
13 ^h	13	61.7	61.8	61.9	62.0	62.1	62.2	62.3	62.4	62.5	62.6	62.7	62.8	62.9	63.0	63.1	63.2	63.3	63.4	63.5	63.6	63.7	63.8	63.9	64.0	64.1	64.2
14 ^h	14	62.4	62.5	62.6	62.7	62.8	62.9	63.0	63.1	63.2	63.3	63.4	63.5	63.6	63.7	63.8	63.9	64.0	64.1	64.2	64.3	64.4	64.5	64.6	64.7	64.8	64.9
15 ^h	15	63.1	63.2	63.3	63.4	63.5	63.6	63.7	63.8	63.9	64.0	64.1	64.2	64.3	64.4	64.5	64.6	64.7	64.8	64.9	65.0	65.1	65.2	65.3	65.4	65.5	65.6
16 ^h	16	63.8	63.9	64.0	64.1	64.2	64.3	64.4	64.5	64.6	64.7	64.8	64.9	65.0	65.1	65.2	65.3	65.4	65.5	65.6	65.7	65.8	65.9	66.0	66.1	66.2	66.3
17 ^h	17	64.5	64.6	64.7	64.8	64.9	65.0	65.1	65.2	65.3	65.4	65.5	65.6	65.7	65.8	65.9	66.0	66.1	66.2	66.3	66.4	66.5	66.6	66.7	66.8	66.9	67.0
18 ^h	18	65.2	65.3	65.4	65.5	65.6	65.7	65.8	65.9	66.0	66.1	66.2	66.3	66.4	66.5	66.6	66.7	66.8	66.9	67.0	67.1	67.2	67.3	67.4	67.5	67.6	67.7
19 ^h	19	65.9	66.0	66.1	66.2	66.3	66.4	66.5	66.6	66.7	66.8	66.9	67.0	67.1	67.2	67.3	67.4	67.5	67.6	67.7	67.8	67.9	68.0	68.1	68.2	68.3	68.4
20 ^h	20	66.6	66.7	66.8	66.9	67.0	67.1	67.2	67.3	67.4	67.5	67.6	67.7	67.8	67.9	68.0	68.1	68.2	68.3	68.4	68.5	68.6	68.7	68.8	68.9	69.0	69.1
21 ^h	21	67.3	67.4	67.5	67.6	67.7	67.8	67.9	68.0	68.1	68.2	68.3	68.4	68.5	68.6	68.7	68.8	68.9	69.0	69.1	69.2	69.3	69.4	69.5	69.6	69.7	69.8
22 ^h	22	68.0	68.1	68.2	68.3	68.4	68.5	68.6	68.7	68.8	68.9	69.0	69.1	69.2	69.3	69.4	69.5	69.6	69.7	69.8	69.9	70.0	70.1	70.2	70.3	70.4	70.5
23 ^h	23	68.7	68.8	68.9	69.0	69.1	69.2	69.3	69.4	69.5	69.6	69.7	69.8	69.9	70.0	70.1	70.2	70.3	70.4	70.5	70.6	70.7	70.8	70.9	71.0	71.1	71.2
24 ^h	24	69.4	69.5	69.6	69.7	69.8	69.9	70.0	70.1	70.2	70.3	70.4	70.5	70.6	70.7	70.8	70.9	71.0	71.1	71.2	71.3	71.4	71.5	71.6	71.7	71.8	71.9
25 ^h	25	70.1	70.2	70.3	70.4	70.5	70.6	70.7	70.8	70.9	71.0	71.1	71.2	71.3	71.4	71.5	71.6	71.7	71.8	71.9	72.0	72.1	72.2	72.3	72.4	72.5	72.6
26 ^h	26	70.8	70.9	71.0	71.1	71.2	71.3	71.4	71.5	71.6	71.7	71.8	71.9	72.0	72.1	72.2	72.3	72.4	72.5	72.6	72.7	72.8	72.9	73.0	73.1	73.2	73.3
27 ^h	27	71.5	71.6	71.7	71.8	71.9	72.0	72.1	72.2	72.3	72.4	72.5	72.6	72.7	72.8	72.9	73.0	73.1	73.2	73.3	73.4	73.5	73.6	73.7	73.8	73.9	74.0
28 ^h	28	72.2	72.3	72.4	72.5	72.6	72.7	72.8	72.9	73.0	73.1	73.2	73.3	73.4	73.5	73.6	73.7	73.8	73.9	74.0	74.1	74.2	74.3	74.4	74.5	74.6	74.7
29 ^h	29	72.9	73.0	73.1	73.2	73.3	73.4	73.5	73.6	73.7	73.8	73.9	74.0	74.1	74.2	74.3	74.4	74.5	74.6	74.7	74.8	74.9	75.0	75.1	75.2	75.3	75.4
30 ^h	30	73.6	73.7	73.8	73.9	74.0	74.1	74.2	74.3	74.4	74.5	74.6	74.7	74.8	74.9	75.0	75.1	75.2	75.3	75.4	75.5	75.6	75.7	75.8	75.9	76.0	76.1
31 ^h	31	74.3	74.4	74.5	74.6	74.7	74.8	74.9	75.0	75.1	75.2	75.3	75.4	75.5	75.6	75.7	75.8	75.9	76.0	76.1	76.2	76.3	76.4	76.5	76.6	76.7	76.8

Anmerkung: Der Barograph wurde nach Einstellung der Termbeobachtungen am 7. Juni nach einem Monat lang in Betrieb erhalten und täglich mit einer Zentimeter verschoben. Die Zahlen der obigen Tabelle geben demnach — vom 7. Juni an — nur die Quantenwerte der Barographenscurven, nicht den tatsächlichen Luftdruck, veranschaulicht aber hinreichend genau dessen täglichen Gang im Monat Juni (s. Taf. II).

Tabelle XLVIII.

Täglicher Gang des Luftdruckes.

The Brothers												Jidda											
1895/96	Nov.	Dec.	Jan.	Febr.	März	April	Mai	Juni	1895/96	Nov.	Dec.	Jan.	Febr.	März	April	Mai	Juni						
1 a.	100.03	101.00	01.09	03.00	58.14	57.37	50.33	54.05	1 a.	58.94	100.10	100.91	01.38	57.37	50.33	55.28	50.18						
2	59.95	100.90	01.00	02.00	57.77	57.08	50.08	51.88	2	58.98	59.98	59.93	01.13	57.09	55.92	55.08	50.10						
3	59.94	100.70	01.00	02.00	57.77	57.08	50.08	51.88	3	58.98	59.98	59.93	01.13	57.09	55.92	55.08	50.10						
4	59.94	100.70	01.00	02.00	57.77	57.08	50.08	51.88	4	58.98	59.98	59.93	01.13	57.09	55.92	55.08	50.10						
5	100.04	100.71	00.82	02.04	57.82	57.03	50.34	54.13	5	58.04	59.81	59.97	01.04	57.08	50.04	55.22	51.34						
6	100.05	01.24	01.34	03.14	58.41	57.05	57.03	54.28	6	59.40	100.52	100.27	01.00	57.24	50.28	55.83	51.76						
7	100.05	01.24	01.34	03.14	58.41	57.05	57.03	54.28	7	59.40	100.52	100.27	01.00	57.24	50.28	55.83	51.76						
8	100.90	01.51	01.07	03.48	58.70	57.04	57.38	55.03	8	59.85	100.80	100.08	01.03	58.07	57.13	50.09	51.76						
9	01.37	01.05	02.12	03.80	59.08	58.19	57.00	55.24	9	00.00	01.00	00.99	02.21	58.20	57.32	50.27	51.76						
10	01.34	02.00	02.55	04.08	59.11	58.33	57.88	55.14	10	00.00	01.00	00.99	02.21	58.20	57.32	50.27	51.76						
Mittel	100.71	01.17	01.22	03.53	58.77	57.77	57.57	55.33	Mittel	58.90	59.90	100.10	01.30	57.93	50.83	55.95	51.76						
1	100.34	100.72	100.03	02.00	58.42	57.87	57.32	55.03	1	58.51	59.49	59.57	00.94	57.01	50.42	55.03	51.76						
2	59.98	100.55	02.05	02.05	57.07	57.43	50.99	54.07	2	58.14	59.20	59.18	00.54	50.02	55.97	55.32	50.74						
3	59.83	100.50	00.58	02.48	57.04	57.10	50.00	54.20	3	58.02	59.14	59.08	00.28	50.43	55.99	54.97	50.74						
4	59.74	100.50	00.58	02.48	57.04	57.10	50.00	54.20	4	58.02	59.14	59.08	00.28	50.43	55.99	54.97	50.74						
5	59.74	100.50	00.58	02.48	57.04	57.10	50.00	54.20	5	58.02	59.14	59.08	00.28	50.43	55.99	54.97	50.74						
6	59.74	100.50	00.58	02.48	57.04	57.10	50.00	54.20	6	58.02	59.14	59.08	00.28	50.43	55.99	54.97	50.74						
7	100.10	100.75	00.80	02.48	57.54	50.85	55.98	53.71	7	58.50	59.75	59.54	00.02	50.20	55.99	54.95	50.74						
8	100.10	100.75	00.80	02.48	57.54	50.85	55.98	53.71	8	58.50	59.75	59.54	00.02	50.20	55.99	54.95	50.74						
9	100.33	01.40	01.37	02.92	58.04	57.20	50.37	53.93	9	58.15	100.40	100.31	01.32	57.39	55.89	55.48	51.09						
10	100.42	01.40	01.40	03.00	58.30	57.58	50.72	54.13	10	58.14	100.40	100.31	01.32	57.39	55.89	55.48	51.09						
Mittel	100.37	01.31	01.31	03.03	57.76	50.83	50.83	54.13	Mittel	59.14	100.37	100.25	01.47	57.03	50.81	55.01	51.09						
Mittel	100.22	02.10	01.28	02.94	58.35	57.50	50.67	54.15	Mittel	59.14	100.37	100.25	01.47	57.03	50.81	55.01	51.09						
Mittel	100.32	01.07	01.19	02.99	58.17	57.45	50.73	54.39	Mittel	58.95	100.10	100.01	01.23	57.34	50.75	55.50	51.09						
Mittel. Max.	01.47	02.30	02.00	04.27	59.05	58.04	57.94	55.32	Mittel. Max.	100.11	01.35	01.40	02.44	58.73	57.42	50.50	—						
* Min.	59.34	59.95	59.89	01.02	50.07	50.27	55.53	53.73	* Min.	57.77	58.97	58.05	59.98	55.94	55.21	54.47	—						
Absol. Max.	100.00	05.3	07.0	00.7	02.8	02.0	02.0	58.8	Absol. Max.	03.0	03.1	04.0	04.7	00.9	58.7	59.2	—						
* Min.	55.9	50.2	53.0	50.5	48.0	49.5	51.8	50.0	* Min.	55.2	55.7	54.2	55.8	53.0	51.8	50.0	—						

Tabelle XLIX.

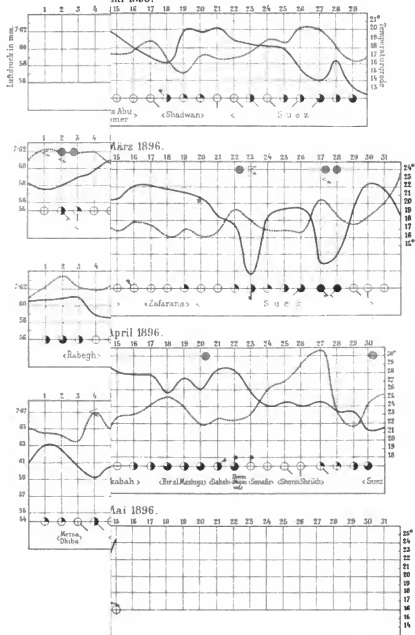
The Brothers.

Täglicher Gang des Dampfdruckes																
Täglicher Gang der relativen Feuchtigkeit																
Täglicher Gang der Temperatur																
1853/54	Novr.	Dec.	Jan.	Febr.	März	April	Mai	Junli	Novr.	Dec.	Jan.	Febr.	März	April	Mai	Junli
1. a.	22.8	21.2	18.5	18.8	20.0	22.0	24.5	20.3	70	68	59	61	64	71	72	64
2	23.1	21.3	18.5	18.8	20.5	22.5	24.5	20.2	70	68	59	62	65	72	71	68
3	23.1	21.3	18.5	18.8	20.4	22.4	24.5	20.0	69	68	59	62	67	72	72	69
4	23.0	21.2	18.4	18.7	20.3	22.4	24.4	25.9	69	68	58	63	67	72	73	71
5	22.9	21.1	18.3	18.6	20.2	22.2	24.2	25.7	70	68	58	64	67	74	74	72
6	22.8	21.0	18.2	18.0	20.0	22.0	24.2	25.8	70	69	58	64	67	74	74	72
7	23.2	21.2	18.5	18.8	20.4	22.5	24.5	20.2	68	69	58	63	66	72	71	69
8	23.2	21.2	18.5	18.8	20.4	22.5	24.5	20.2	68	69	58	63	66	72	71	69
9	23.2	21.2	18.5	18.8	20.4	22.5	24.5	20.2	68	69	58	63	66	72	71	69
10	23.9	22.0	19.4	19.7	21.7	23.2	25.9	20.7	64	60	53	59	59	69	70	68
11	24.0	22.2	19.0	19.0	21.9	23.3	26.1	20.9	64	60	54	60	58	69	70	69
Mittel	24.1	22.2	19.7	19.0	22.1	23.4	26.2	27.0	64	60	54	60	58	68	69	69
1	24.0	22.2	19.8	20.0	22.2	23.5	26.4	27.1	65	60	55	61	65	72	71	68
2	23.9	22.1	19.9	19.9	22.2	23.7	26.6	27.4	65	60	55	60	57	67	67	65
3	23.9	22.1	19.8	19.8	22.0	23.8	26.7	27.0	65	60	55	60	57	67	67	65
4	23.7	22.0	19.7	19.7	21.7	23.7	26.7	27.0	65	60	55	60	57	67	67	65
5	23.6	21.8	19.4	19.5	21.0	23.7	26.0	28.1	67	65	50	61	61	67	66	66
6	23.4	21.6	19.2	19.2	21.5	23.7	26.3	27.0	65	60	55	60	57	67	67	65
7	23.4	21.6	19.2	19.2	21.5	23.7	26.3	27.0	65	60	55	60	57	67	67	65
8	23.2	21.0	18.9	19.3	21.0	23.2	25.3	27.3	68	66	57	60	62	70	71	70
9	23.2	21.0	18.9	19.3	21.0	23.2	25.3	27.3	68	66	57	60	62	70	71	70
10	23.0	21.4	18.9	19.1	20.8	22.9	24.9	26.5	69	66	57	60	63	71	74	71
11	23.0	21.2	18.8	19.1	20.8	22.8	24.7	26.4	68	66	56	60	63	72	74	71
Mittel	23.1	21.1	18.7	19.1	20.7	22.7	24.5	26.3	70	66	60	60	63	72	73	69
Mittel	23.4	21.4	19.0	19.3	21.1	23.0	25.4	26.8	67	60	57	61	62	70	71	69
Max.	27.7	25.5	24.7	23.8	20.3	26.0	29.3	32.5								
Min.	19.6	15.6	15.2	14.0	18.2	19.7	22.1	23.8								

pre etc.

C. v. Arbesser : Me
 ar 1896.

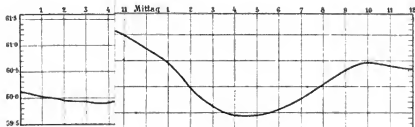
Tafel I



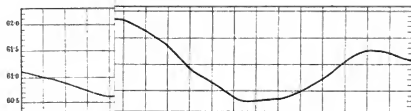
Autor del

Ed. Anst v. Th. Bauer u. W. N.

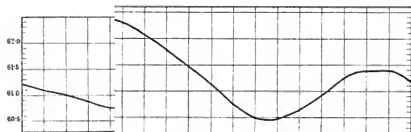
März 1896.



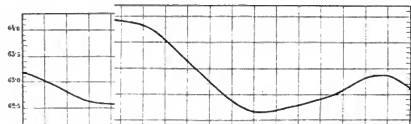
April 1896.



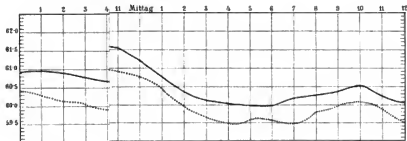
Mai 1896.



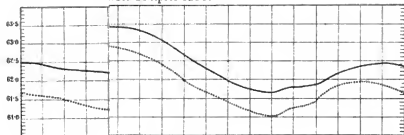
Juni 1896.



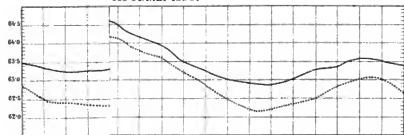
bis 22. März 1896.



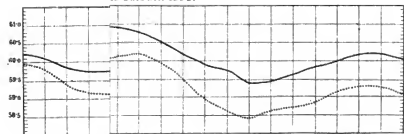
bis 26. April 1896.

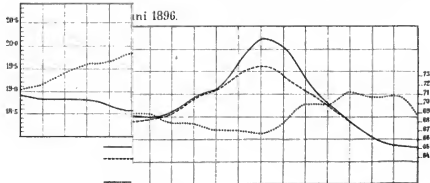
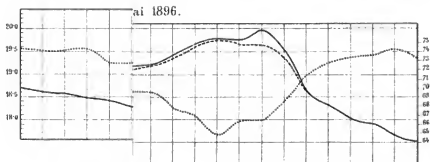
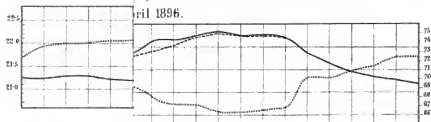
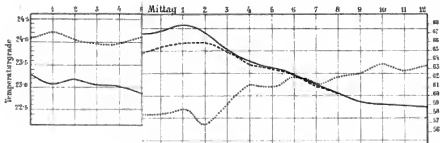


bis 31. Mai 1896.

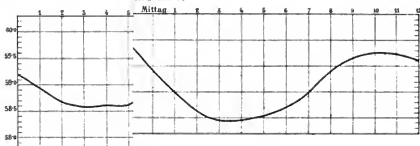


is 28. Juni 1896.

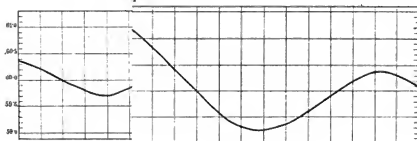




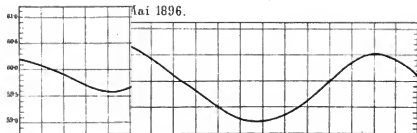
März 1896.



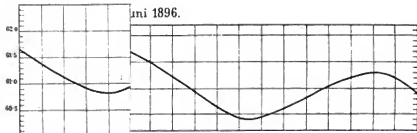
April 1896.



Mai 1896.



Juni 1896.



Aster 641

Lith. Inst. v. Th. Baumgarten.

EXPEDITION S. M. SCHIFF „POLA“ IN DAS ROTHE MEER

NÖRDLICHE HÄLFTE.

(OCTOBER 1895 — MAI 1896.)

V.

GEODÄTISCHE ARBEITEN.

AUSGEFÜHRT VON DEN SCHIFFS-OFFICIEREN,

BEARBEITET VON

CÄSAR ARBESSER v. RASTBURG,

K. UND K. LINIENSCHIFFS-LIEUTENANT.

(Mit 13 Karten, 2 Tafeln und 2 Textfiguren.)

(VORGELEGT IN DER SITZUNG AM 2. OCTOBER 1897.)

Dem Arbeitsprogramme S. M. Schiffes »Pola« erst an letzter Stelle angegliedert, war die Vornahme geodätischer Arbeiten nur in solchem Maasse in Aussicht genommen worden, dass dadurch nirgends die Dauer des Aufenthaltes über die für die anderweitigen Beobachtungen nöthige Zeit ausgedehnt werden durfte.

Diese Zeitbeschränkung, sowie hauptsächlich die Ungewissheit über die Dauer der für die Aufnahmearbeiten zur Verfügung stehenden Zeit erschwerten wesentlich die fallweise Bestimmung des Arbeitsvorganges und machten es in den meisten Fällen, in denen es zur Vervollständigung der Hafenpläne wünschenswerth erschienen wäre, unmöglich, die Uferberge in das Aufnahmesterrain einzubeziehen. Aus demselben Grunde konnte auch nie der mitgeführte grosse Messtisch zur Verwendung gelangen; es wurden alle Aufnahmen mit dem Detailirbrette ausgeführt, und wo es möglich war, zur Ergänzung dieser Arbeit noch das photogrammetrische Verfahren in Anwendung gebracht.

Die Ausrüstung des Schiffes mit Aufnahmehelfen bestand in:

- 1 grossen Messtische mit Stativ,
- 1 Perspektivdioptr,
- 1 Messkette,
- 1 Detailirbrette (370×315 mm) sammt Stativ,
- 1 Diopterlineale,
- 1 Dosenlibelle,
- 1 Boussole,
- 1 Messbande zu 20 m (Hanf mit eingeflochtenen Stahldrähten),

1 Stampfer'scher Distanzmesser,

1 Nivellirlatte,

Signalstangen — als solche dienten Absteckstäbe, Bootsmasten, Spieren, Flaggenstöcke etc. mit angebundenen Signalflaggen und

1 Messtisch-Photogrammter (Plattenformat 12×16 cm), Construction Major A. Frh. v. Hübl.

Bis auf den letztangeführten Apparat, welcher vom k. u. k. militär-geographischen Institute der Expedition leihweise zur Verfügung gestellt war, wurde die ganze Ausrüstung vom k. u. k. hydrographischen Amte beigestellt.

Von einer Beschreibung der Apparate kann hier abgesehen werden, weil dieselben durchwegs der einfachsten der jetzt noch gebräuchlichen Formen angehörten, und der Messtisch-Photogrammter im letzten Bande (XVI.) der »Mittheilungen des k. u. k. militär-geographischen Institutes 1896« besprochen und in der »Photographischen Correspondenz 1892« ausführlich beschrieben ist. Hier sei nur erwähnt, dass das Objectiv des Apparates eine unverrückbare Bildweite von 155 mm besass, und dass die Standpunktbestimmung, sowie die Orientirung der Bilder durch die am Messtischplatte auf der Camera gezogenen Rayons für den bei unseren Aufnahmen angestrebten Genauigkeitsgrad vollkommen ausreichten. Am Lande wurde der Apparat in seiner normalen Dreifuss-Stativaufstellung verwendet.

Da es voraussichtlich war, dass an vielen Küstenorten die Anwendung des Messtisch-Photogrammeters am Lande der flachen Terrainconfiguration wegen nicht vortheilhaft und das Aufsuchen hoch gelegener Aufstellungspunkte der Unzuverlässigkeit der Bevölkerung wegen nicht thunlich sein werde, wurde darauf Bedacht genommen, auch vom Schiffe aus photographische Aufnahmen ausführen zu können. Um nicht durch die Takelage, Boote etc. in der freien Rundschau behindert zu sein, wurde als Installationsort für den Apparat der höchste zugängliche Punkt in der Takelage ausersehen, der über die Bramflechtung emporgedragene Theil der Vorbramstenge — bei mittlerer Tauchung 30.3 m über dem Wasserspiegel. Obwohl die correspondirende Stelle am Grossmaste eine um 1.5 m grössere Apparatöhe ergeben hätte, wurde der Fockmast färgewählt, weil von hier aus nur auf dem in der Richtung gegen Achter aufgenommenen Bilde Theile der Bemastung mitphotographirt werden mussten, während vom Grossmaste aus, sowohl gegen Achter als gegen vorne photographirend, ein Masttop störend auf den Bildern erscheinen wäre. Als Standpunkt für den Photographen diente die so weit als möglich gehisste Bramraa, als Gehilfe ein Unterofficier, dem nebst verschiedenen Handreichungen auch die Aufgabe zufiel, als Gegengewicht auf der anderen Bordseite das Aufkippen der Raa zu verhindern, was die an sich schon etwas unbequeme Arbeit zu lebensgefährlich gemacht hätte. Der Apparat wurde an den Flaggenleinen — um Beschädigungen hintanzuhalten in seine Transportkiste verpackt — bis in die Installationshöhe gehisst und erst dort mit einer cardanischen Suspensionsvorrichtung verbunden, welche eigens für diesen Zweck nach Angabe des Verfassers im k. u. k. Secarsenale hergestellt worden ist. Aus den Textbildern auf S. 10 ist die Anordnung der Suspensionsringe, sowie deren Verbindung mit der photogrammetrischen Camera ersichtlich.

Der äusserste Tragring, welcher mittelst eines breiten Chamierbandes durch Schrauben mit Flügelmuttern solid und doch leicht abnehmbar an der Stenge befestigt werden konnte, hatte an seiner oberen Fläche acht gleichweit — also um je 45° — von einander abstehende Lager für die Zapfen des ersten Suspensionsringes. Dieser hatte an seiner Innenseite im rechten Winkel gegen die Zapfen angeordnet zwei Lager für die Zapfen des inneren Ringes, der die Camera zu tragen bestimmt war.

Die Camera wurde durch Schrauben an die Messingwinkel befestigt, welche drehbar mit den unteren Enden der drei im inneren Suspensionsringe gelagerten Stellschrauben verbunden waren.

Die erforderliche Stabilität des Systems wurde dadurch erreicht, dass sich das ganze Apparatgewicht unterhalb der Lagerebene befand und noch durch ein in den Boden der Camera eingeschaubtes Bleigewicht erhöht, welches gleichzeitig eine kleine Unsymmetrie in der Gewichtvertheilung auszubalanciren hatte. Bei expositionsbereitem Apparate genügte meist schon eine geringe Drehung der früher erwähnten Stellschrauben, um das Einspielen beider Cameralinien — Horizontalität der optischen Axe und der Verbindungsline der Horizontmarken des Plattenrahmens — zu erreichen.

Da das für den Gebrauch des Photogrammeters am Dreifuss-Stative bestimmte ziemlich schwere Diopterfernrohr bei der Mastinstallation eine einseitige, bei jeder Visurrichtung verschiedene Belastung der Camera bedingt hätte, war ein in Bezug auf den Drehpunkt nahezu symmetrisch geformtes leichteres Fadendiopter eigens für diesen Zweck in der mechanischen Werkstätte des k. u. k. militär-geographischen Institutes hergestellt worden.

Die zur Aufnahme eines Panoramas nöthige successive Horizontaldrehung der Camera um je 45° liess sich sehr einfach dadurch bewerkstelligen, dass man nach jeder Aufnahme beide Suspensionsringe sammt dem Apparate aus den Lagern des Tragringes hob und in die nächst benachbarten Lager derselben einlegte. Sobald hiebei das Objectiv gegen den Mast gerichtet gewesen wäre, wurden die Schrauben des Charnierbandes etwas gelüftet und der ganze Apparat an der Stange soweit verdreht, dass das Gesichtsfeld in der Aufnahmerichtung durch nichts mehr beeinträchtigt war. Weil das Schiff, somit auch die mit ihm fest verbundene Camera in steter Hin- und Herdrehung begriffen waren, musste das genaue Zusammenfallen der optischen Axe mit der gewünschten Aufnahmerichtung den Schwaibewegungen und Gierschlägen des Schiffes überlassen bleiben. Die Gummibirne des Verschlusses in der Hand, wartete der Photograph den Moment ab, in dem die durch das Diopterlineal gegebene — auch mitdrehende — Visurlinie gegen den zur Orientirung der Bilder dienenden Terrainpunkt gerichtet war; natürlich war dann immer nur die Anwendung kurzer Expositionszeiten gestattet. Obwohl dem Apparate kein eigentlicher Momentverschluss, sondern nur ein einfacher, pneumatisch wirkender Klappenverschluss beigegeben war, machte sich nur in wenigen Fällen eine störende Unschärfe der Bilder durch zu lange Expositionsdauer bemerkbar, selbst während rascher Schwaigung gemachte Aufnahmen zeigten noch vollkommen scharfe Conturen.

Die ganze Manipulation, vom Hissen des Apparates bis zur Völigkeit der Aufnahme eines ganzen Panoramas, nahm in der Regel nicht mehr als eine halbe Stunde in Anspruch.

Zu den Aufnahmen am Lande wurden bei Anwendung einer dunklen Gelbscheibe orthochromatische Platten (Schlussner) verwendet, vom Schiffe aus wurde nur auf gewöhnliche Platten photographirt.

Die Platten blieben bis zu ihrem Gebrauche zu je 2 Dutzend in Zinkbüchsen verlötet im Fleisch-Kühlräume deponirt, wurden aber nach der Belichtung bis zur Entwicklung einfach übereinander gelegt in ihren Cartonschachteln in der Dunkelkammer stehen gelassen, deren Temperatur sich wiederholt durch längere Zeit auf namhafter Höhe — über 30° C. — gehalten hat. Da der schädlichen Einwirkung dieser Hitze auf die Gelatine beim Entwickeln nur durch Anwendung von Alkohol und Eis entgegengewirkt werden konnte, und letzteres nicht immer in genügender Menge zur Hand war, wurden, um nicht den Verlust wichtiger Aufnahmen zu riskiren, alle vom März 1890 an aufgenommenen Bilder unentwickelt mitgeführt und erst im photographischen Atelier des k. u. k. marine-technischen Comité in Pola hervorgerufen.

Gegen Erwarten zeigten sich selbst die, als dem Verderben sehr ausgesetzt geschilderten, orthochromatischen Platten vollkommen verlässlich, ebenso bewährte sich das mitgenommene Aristo-Copirpapier ausgezeichnet, während mit den versuchsweise in Gebrauch genommenen Celluloid- und Platinpapieren schon nach dem zweiten Reisemonate keine guten Resultate mehr zu erzielen waren.

Die Copien wurden nur zum kleinen Theil an Bord, die Mehrzahl im k. u. k. militär-geographischen Institute hergestellt, wo die Verwerthung der photogrammetrischen Aufnahmen zur Construction oder Ergänzung der Hafenpläne, sowie deren definitive Fortigstellung dem k. u. k. Linienschiffs-Lieutenant Alexander Hansa übertragen war.

Weil vom Gewöhnlichen etwas abweichend, wird hier der Arbeitsvorgang geschildert, welcher es ermöglichte, in oft recht kurz bemessener Zeit eine complete Hafenaufnahme zu schaffen, die zwar nicht auf die Genauigkeit eines Planes, wohl aber darauf Anspruch erheben kann, dem Schiffer beim Aufsuchen des Ankerplatzes dann ein nützlicher Behelf zu sein, wenn der in diesen Gewässern wohl nie ganz entbehrliche Lootse über die Tiefenverhältnisse des betreffenden Hafens nicht genügenden Aufschluss zu geben im Stande ist.

Die vor Beginn jeder Aufnahmsarbeit unerlässliche Recognoscirung des Terrains wurde schon während des Einlaufens von der Commandobrücke oder aus der Takelage vorgenommen und gleich der

dem Mappeure zugetheilten Mannschaft gezeigt, welche Punkte sie durch Aufstellung von Flaggensignalen oder die Errichtung von Steinyramiden als Triangulirungspunkte zu bezeichnen habe.

Mit dem ersten Boote, das von Bord stliess, giengen die hiefür bestimmten 2—3 Mann an's Land und machten sich sofort an die Errichtung der Signale, welche je nach der Färbung des Hintergrundes durch lichte oder dunkle Flaggen sichtbar gemacht wurden.

Diese Zeit benützte der Mappeur, um die Basis zu wählen, auszustecken und mit dem Messbande zu messen. Fast ausnahmslos genügten zwei Messungen, um den wahrscheinlichen Fehler in der Basislänge unterhalb der gewünschten Grenze von 1:3700 der gemessenen Strecke, d. i. unter 0.5 m auf 1 Seemeile zu erhalten. Infolge der bald erlangten Übung wurde es erreicht, dass die wahrscheinlichen Fehler der 5 letzten Basismessungen nur $\frac{1}{3}$ bis $\frac{1}{4}$ dieses Toleranzmaasses betrugen, trotzdem mit Hilfsmitteln primitivster Art und öfters unter schwierigen Verhältnissen gearbeitet wurde; so z. B. führte in Nawibi die Basislinie durch Gebüsch, in Dahab durch 1.5 m tiefes Wasser, mehrmals endlich erschwerte frischer Seitenwind die Vornahme der Messung.

Nach Beendigung dieser Arbeit wurden von den Basispunkten aus alle sichtbaren Signale anrayonnirt und sofort mit der Detailirarbeit begonnen, so dass, bei successiver Begehung aller mit Signalen bezeichneten Netzkpunkte, mit der Aufstellung des Detailirbretes auf dem letzten Signalpunkte auch die Skizzirung des ganzen dazwischen liegenden Terrains absolvirt war. Es erübrigte dann nur noch die Aufnahme jener Partien, deren Details nicht schon während der graphischen Triangulirung durch gute Schnitte festgelegt werden konnten.

Die photogrammetrischen Aufnahmen wurden sammt den zugehörigen Winkelmessungen auf den hiefür gewählten Standpunkten unmittelbar nach der Messtischarbeit erledigt, so dass ihre Ausführung keinen erheblichen Mehraufwand an Zeit erforderte. Die Raschheit des Arbeitsfortschrittes war immer hauptsächlich davon abhängig, ob — eine zweckmässige Vertheilung der Signalpunkte vorausgesetzt — in der Reihenfolge der Messtischaufstellungen eine glückliche Wahl getroffen wurde; Glück war insofern dabei im Spiele, als man, ohne vorher selbst dort gewesen zu sein, nicht immer mit Bestimmtheit wissen konnte, ob vom nächsten Standpunkte aus das Anrayonniren der zunächst zu bestimmenden Signale oder Terrainpunkte möglich sein werde.

Grundsätzlich wurde die Punktbestimmung durch Rückwärtseinschneiden vermieden und nur nach der Methode des Vorwärts-, eventuell des Seitwärtseinschneidens gearbeitet.

Die Orientirung des Messtisches geschah immer nach anderen Signalpunkten und nicht nach der Boussole, weil beim Arbeiten mit dieser die Waffen hätten abgelegt werden müssen. Bei jeder Aufnahme wurde die Situation des für die astronomischen Ortsbestimmungen dienenden Instrumentpfählers durch mehrfache Schnitte genau bestimmt. Linienschiffsleutenant Koss ermittelte von dort aus die wahren Azimuthe einiger Triangulirungszeichen, wodurch die zur Orientirung der fertigen Pläne erforderliche Meridianrichtung festgelegt war.

Die Höhengoten wurden grösstentheils durch barometrische Höhenmessung gewonnen, ein Theil wurde trigonometrisch durch Messung von Höhenwinkeln bestimmt, einige endlich aus den Ordinatenabmessungen auf den Photographien berechnet. Oft war es möglich die Höhe eines Punktes nach 2 oder allen 3 genannten Methoden zu bestimmen, in allen Fällen ergab diese mehrfache Berechnung sehr befriedigende Übereinstimmung der Resultate.

Bei der Wahl der Signalstandpunkte wurde schon von vornherein darauf Bedacht genommen, dass dieselben der Form des Hafens entsprechend derart vertheilt waren, dass ihre Verbindungslinien, als Directionslinien für das lothende Boot verwendet, derart situirte Lothpunkte ergaben, um schon aus wenigen Sonden ein Bild des Meeresbodenprofils zu gewinnen. Wo diese Signale nicht dazu ausreichten, wurden noch Deckpeilungslinien ausgesteckt oder am Strande noch so viele Zeichen errichtet, als für die erste Auslothung erforderlich schienen. Die Vornahme der Lothungen oblag dem Steuermeister, welcher mit einer Skizze des Hafens versehen wurde, in der die auszulothenden Linien eingezeichnet waren. Der Unterofficier hatte den Auftrag, längs dieser Linien steuernd, in möglichst gleichen Abständen zu sondiren,

auf der Skizze die Lothpunkte mit Nummern zu bezeichnen und die jeder Nummer zugehörige Tiefe im Lothbuche zu notiren — bei jeder zehnten Lothung mit Angabe der Zeit. Ausserdem musste zur Controle und genaueren Orientirung auch immer angemerkt werden, wenn das Passiren der Deckpoilung von Signalen oder anderen markanten Terrainobjecten Anhaltspunkte für das Auftragen der Lothpunkte liefern konnte. In Sherm Habbian, Mersa Dahab und Akabah, wo diese Methode zu ungenau oder gar nicht anwendbar schien, wurden mit Unterstützung durch Linienschiffsfähnrich Rössler die Lothpunkte durch gleichzeitiges Anrayoniren der Lothleine von zwei Landpunkten aus festgelegt; in Nawibi endlich erfolgte die Punktbestimmung vom Boote aus durch Winkelmessung mit dem Sextanten.

Ergab die erste Auslothung noch grössere Lücken, oder führte sie zur Kenntniss gefährlicher Untiefen, dann wurde durch das Auslothen neu ausgesteckter Linien für die Gewinnung ausreichender Sonden gesorgt.

Da der Unterschied zwischen Ebbe und Flut im Durchschnitte 0·6 m beträgt, wurden alle Lothungen geringerer Tiefen als 10 m auf Niedrigwasser reducirt. Wo es die localen Verhältnisse gestatteten, wurde eine als Flutpegel adaptirte — in Centimeter getheilte — Rayonnirstange nahe dem Ufer im Wasser aufgestellt und von der als Schutzwache der Beobachtungszelte commandirten Mannschaft stündlich — zur Zeit des Hoch- und Niedrigwassers alle 10 Minuten — die Höhe des Wasserstandes abgelesen und nebst Zeitangabe notirt.

Die Ergebnisse dieser Beobachtungen finden sich in den Tafeln I und II graphisch dargestellt, mit deren Hilfe es leicht war die Reduction der Lothungen durchzuführen.

Um aus diesen Flutbeobachtungen auch auf die Hafenzeiten schliessen zu können, wurde in Ermanglung jedweder Daten über den Betrag der halbmonatlichen Ungleichheit in jenem Gebiete, Herr Johnson, der Leuchthausvorstand von The Brothers, ersucht, öfters die Zeit des Eintrittes von Hoch- und Niedrigwasser zu beobachten.

Aus den leider nur spärlichen, von Herrn Johnson gelieferten Angaben wurden wahrscheinliche Werthe für die halbmonatlichen Ungleichheiten abgeleitet und mit diesen die Hafenzeiten berechnet, welche auf den Plänen angegeben worden sind.

Trotz der geringen täglichen Schwankung des Wasserniveaus liegen in einigen Häfen breite, zur Flutzeit von Wasser bedeckte Uferstreifen zur Zeit der Ebbe trocken. Da deren Aufnahme, sowie die der Riffgrenzen weder mit dem Messtische noch durch Lothungen oder sonstige Messungen von einem Boote aus hätte in der verfügbaren Zeit durchgeführt werden können, wurde, wenn thunlich, immer die Zeit des niedrigsten Wasserstandes für die photogrammetrischen Aufnahmen vom Schiffe aus gewählt. In dieser speciellen Anwendung zeigt sich das photogrammetrische Verfahren allen anderen Methoden weit überlegen, wenn nur das Vermessungsschiff eine hohe Takelage besitzt, oder am Ufer selbst hochgelegene Standpunkte zu finden sind.

Die Karten X—XIV geben auf die Hälfte verkleinerte Copien der gemachten Originalaufnahmen und sollen — bei Hineinweglassung jeder Terrainzeichnung — die Anordnung der Basis und der Standpunkte für die graphische Triangulirung veranschaulichen. Auch die für die photogrammetrischen Aufnahmen gewählten Standpunkte sind durch besondere Zeichen hervorgehoben, und ist nebstbei angedeutet, welcher Theil des Panoramas von jeder Aufstellung aus photographirt worden ist.

Im Folgenden werden die einzelnen Planskizzen kurz in der Reihenfolge, in der sie aufgenommen wurden, besprochen, und die bei deren Aufnahme obwaltenden Umstände erörtert

Mersa Halaib. (Aufnahmesmassstab 1 : 4000, Karten I und XI.)

Die Aufnahme dieses Hafenortes wurde deswegen vorgenommen, weil auf der englischen Admiraltätskarte, welche einen Plan der zwischen Sandy-Insel und dem Südende des Barrière-Riffes gelegenen Küste enthält, weder die vorhandenen Gebäude, noch der neue Molo und die Tiefenverhältnisse in dessen Nähe zum Ausdruck gebracht worden sind.

Die Detailarbeit wurde vom Linienschiffsleutnant Gustav Kosarek, die Messung der 418 m langen Basis vom Linienschiffsleutnant Karl Koss — mit dem Stampfer'schen Distanzmesser — ausgeführt.

Der Verfasser bewirkte durch Triangulirung mit dem Theodoliten den Anschluss des Detailplanes an die englische Aufnahme, bei welcher sich die astronomische Ortsbestimmung auf Sandy-Island bezieht.

Das Ergebniss dieser Messung, welches in das Kapitel »Astronomische Ortsbestimmungen« aufgenommen wurde, ermöglicht es, die englische Karte durch die bei der Neuaufnahme gewonnenen Details zu ergänzen.

Sherm Sheikh. (1:5000, Karten II und X.)

Die für eine Aufnahme sehr günstige Form des Hafenbeckens liess schon mit wenigen Signalpunkten das Auslangen finden. Die Basis wurde auf einem Plateau nahe dem Südostende der Bucht ausgesteckt, deren Länge durch viermalige Messung mit 224·27 *m* bestimmt.

Da nur zwei Tage für die Aufnahme zur Verfügung standen, mussten die Terraindetails für die Planzeichnung durch Anfertigung eines Bildpanoramas vom Schiffe aus gewonnen werden. Aus demselben Grunde war es auch nicht möglich, die als Anlaufmarke dienliche, etwa 1 Seemeile vom Ufer entfernte Bergkette in die Aufnahme einzubeziehen. Als Ergänzung wurde deshalb dem Plan eine von See aus skizzierte Küstenansicht beigegeben. Die Tiefenverhältnisse wurden durch 50 Lothungen bestimmt.

Mersa Dhiba. (1:5000, Karten III und X.)

Die 257·29 *m* lange Basis war am flachen Sandufer der Bucht ausgesteckt worden; die einfache und übersichtliche Terrainconfiguration gestattete hier einen so raschen Arbeitsfortschritt, dass während des 34-stündigen Aufenthaltes die Aufnahme über einen Kilometer weit landeinwärts ausgedehnt und an 97 Stellen gelothet werden konnte. Photographirt wurden nur die zur Festlegung der Riffgrenzen nöthigen Uferpartien im N und S der Bucht, da eine Ergänzung der Terrainzeichnung nach photographischen Ansichten nicht mehr notwendig erschien.

Sherm Habbán. (1:7500, Karten IV und XII.)

Der grösseren Ausdehnung des Hafenbeckens wegen wurde hier die am flachen Nordstrande ausgesteckte Basis etwas länger gewählt, ihre Messung ergab 409·41 *m*. Das Vorhandensein zahlreicher erhöhter Terrainpunkte und die geschlossene Form der Bucht machten die Terrainaufnahme sehr leicht, schwierig war dagegen die Auslothung des Hafens wegen der vielen in der Einfahrt, sowie in der Bucht selbst gelegenen Riffe. Zuerst wurde durch 100 Lothungen längs mehreren geraden Linien eine Anzahl Bodenprofile zwischen den beiderseitigen Ufern ermittelt und dann noch ein Boot beordert, lothend längs der Riffgrenzen zu steuern, so dass durch das Anrayoniren des Bootes von zwei Landpunkten aus die Contouren der Einfahrtsriffe genau festgestellt werden konnten.

Da schon bei der Fahrt von Sherm Wej hieher constatirt worden war, dass die Insel Marduna auf der englischen Karte unrichtig eingezeichnet sei, wurde ein Signal so weit im Norden errichtet, dass sich für die Bestimmung der Lage von Marduna eine 2¼ *km* lange Standlinie ergab. Durch die photogrammetrische Aufnahme vom Schiffe aus erhielt man die Begrenzung der nur zur Ebbezeit trocken liegenden Uferstrecken.

Sherm en Nomán. (1:5000, Karten V und XI.)

Ursprünglich nur für den Entwurf eines Planes der Ankerbucht — Sherm en Nomán — angelegt konnte die Aufnahme dank der durch trübes Wetter verursachten Verlängerung des Aufenthaltes auf die ganze Insel ausgedehnt werden. Die Basis war schon mit Rücksicht auf diese Eventualität entsprechend situirt worden, ihre Länge betrug 449·09 *m*. Da ein zweites Detailirbret nicht zur Verfügung stand, wurde der Hafenplan im Massstabe 1:5000 und die Aufnahme der ganzen Insel in 1:18300 auf dasselbe Blatt gezeichnet, hiebei war der westliche Basisendpunkt beiden Planskizzen gemeinsam.

Um das Dreiecknetz auf Karte XI nicht ganz unentwirrbar zu machen, wurden die Dreiecksseiten der Inselaufnahme gestrichelt, jene des Specialplanes voll ausgezogen. Die photogrammetrische Aufnahme erfolgte von drei Landstandpunkten aus und hatte die Gewinnung von Details für die Terrainzeichnung in

der Bucht zum Zwecke. Vom Schiffe aus konnte nicht photographirt werden, da des stürmischen Wetters wegen die Bramstengen gestrichen waren, und sich eine solide Installirung des Photogrammeters anderswo in der Takelage mit Bordmitteln nicht herstellen liess. Gerade hier wäre es von Nutzen gewesen, vom Maste aus zu photographiren, weil von einem die steilen Uferfelsen überhöhenden Standpunkte aus aufgenommene Bilder nicht nur weitere Anhaltspunkte für die Zeichnung des Schemen Nomän und seiner Einfahrtstriffe, sondern auch für die ganze Insel Nomän und die Uferlinie des arabischen Festlandes geliefert hätten.

Die 57 Lothungen wurden grösstentheils in radial vom Ankerplatze ausgehenden Linien ausgeführt, von den 70 aus der südlichen Bucht erhaltenen Sonden wurden nur jene für die Karte verwendet, deren Lage sich mit einiger Sicherheit bestimmen liess; es handelte sich bei der letzteren Auslosthung nur darum, andeuten zu können, dass das Anlaufen der Bucht, der weit hineinragenden Riffe wegen, grosse Vorsicht erheischt. Die Riffgrenzen an den beiden Enden, sowie längs der Westküste der ganzen Insel wurden nur nach Schätzung der Riffbreite durch Augenmass in die Karte eingezeichnet, eine Auslosthung dieser entlegenen Uferparthien hätte sehr viel Zeit und günstigere Witterungsverhältnisse erfordert, als S. M. Schiff »Pola« während des 4tägigen Aufenthaltes dort antraf; zudem war hier die Zeit des Mappers durch die Vornahme erdmagnetischer Beobachtungen in Substitution des erkrankten Linienschiffsführers Rössler theilweise in Anspruch genommen.

Mersa Dahab. (1:7500, Karten VI und XIII.)

In der Absicht, hier, von wo noch die in der Einfahrt des Golfes von Akabah liegenden Inseln sichtbar sind, den Grund zu einer auf den ganzen Golf auszudehnenden Reambulirung zu legen, wurde am Ostrande der Ras Kirah benannten Landzunge eine über 1 km (1032·25 m) lange Basis ausgesteckt und eine 3 km weit im N gelegene Bergspitze mit guter Fernsicht in die Aufnahme einbezogen. Von dort aus hätte sich im Vereine mit den Vermessungsarbeiten in den anderen programmässig anzulaufenden Hafenorten, sowie den von mehreren Tiefsee-Lothpunkten aus anzufertigenden photogrammetrischen Aufnahmen die Lage vieler für die Navigation wichtiger Landmarken bestimmen lassen, doch behinderte der oft sehr frische Wind die Arbeit so sehr, dass der dreitägige Aufenthalt kaum für die Aufnahme des kleinen Mersa Dahab ausreichte, da gerade die der Messsicherheit günstigen Stunden mit flauen Brisen für die Vornahme der Lothungen ausgenützt werden mussten.

Die während der Aufnahme gemachten 140 Lothungen wurden gelegentlich des zweiten kurzen Aufenthaltes in Dahab noch durch 40 Sonden ergänzt.

Es erübrigte keine Zeit mehr, den Messtisch am erwähnten Bergstandpunkte aufzustellen, man musste demnach die ausgesprochene Absicht ganz fallen lassen, deren Durchführung übrigens, wie die Folge lehrte, auch durch die Witterung zum grössten Theile vereitelt worden wäre.

Des frischen, manchmal stürmischen Windes wegen blieb nämlich die Takelage während dieser ganzen Kreuzung in Hohl gestrichen, es gab daher am ganzen Schiffe keinen Punkt mit freier Rundschau. Einige vom Dache des Kartenhäuschens auf der Commandobrücke gemachte Aufnahmen zeigten schon die Nachtheile des zu niedrigen Standpunktes, indem die Riffcontouren nicht mehr deutlich zum Vorschein kamen, ja selbst manchmal die Trennungslinie zwischen dem Wasser und dem hellen Ufersande nicht zu unterscheiden war. Solche Bilder behalten wohl immer als Küstenansichten einigen Werth, eignen sich aber nur selten für die Verwendung zu photogrammetrischer Construction.

Nawibi. (1:10,000, Karten VII und XIV.)

Mit Rücksicht auf den voraussichtlich nur kurzen Aufenthalt auf dieser gegen S völlig ungeschützten Rhede war hier nur die Anfertigung eines Lothungsplanes der nächsten Umgebung des Ankerplatzes beabsichtigt und deshalb eine verhältnissmässig kurze Basis — 311·97 m — angenommen worden. Da jedoch trübes Wetter das Auslaufen verzögerte, wurde die Aufnahme bis zur Ostspitze des sandigen Landvorsprunges ausgedehnt. Um einerseits gute Schnitte für die Bestimmung der entlegenen Uferpunkte zu erhalten, anderseits, um eventuell das ca. 8 km nördlich vom Beobachtungsorte (♣) gelegene Fort Nawibi

in die Aufnahme einbeziehen zu können, wurde auch hier ein $2\frac{1}{4}$ km weit im NNW hoch gelegener Standpunkt aufgesucht.

Der Plan dieser zweiten Aufnahmserweiterung wurde zwar durch die Ungunst des Wetters durchkreuzt, doch gelang die Aufnahme des ganzen Südufers und eine gründliche Auslothung (89 Lothungen), der darum besondere Sorgfalt zugewendet wurde, weil im westlichen Theile der Rhede einige Korallenbänke ganz unermittelt aus grosser Tiefe bis nahe unter die Wasserlinie emporragen.

Der schmale, längs des Strandes hinziehende Palmenhain ist so dicht, dass er das Auffinden geeigneter Signalstandpunkte fast unmöglich machte, mehrfache Baumfrevell mussten verübt werden, bis es gelang, die nöthige Zahl Uferpunkte durch zuverlässliche Schnitte zu bestimmen. Photographirt wurde hier nicht, weil von den Bildern kein Beitrag zur Aufnahmezeichnung zu erwarten war.

Akabah. (1:10,000, Karten VIII und XII.)

Auch hier bereitete der das Ufer einsäumende Palmenwald der Aufnahme manche Schwierigkeit, umso mehr als jede Beschädigung der Bäume der die Vermessungsarbeiten misstrauisch verfolgenden Ortsinsassen wegen vermieden werden musste. Die 500-600 m lange Basis lag im Süden der Ortschaft, gab aber für die Uferpunkte nur sehr spitze unverlässliche Schnitte. Deshalb wurden die Standpunkte für die photogrammetrische Aufnahme ziemlich weit landeinwärts auf die Vorberge verlegt; leider liess auch hier der stürmische Wind das Aufstellen des Apparates auf dem nördlichsten Punkte nicht zu, sonst wäre eine 2 Seemeilen lange Standlinie gewonnen und dadurch die Bestimmung des ganzen nördlichen Golfabschlusses möglich geworden. Einige von Bord aus aufgenommene Bilder sollten für den Plan ergänzende Details von der seewärts des Palmenwaldes gelegenen Uferpartie liefern, entsprachen aber der geringen Apparathöhe wegen nur wenig den in sie gesetzten Erwartungen. Die Tiefenverhältnisse der Rhede wurden durch 88 Lothungen festgestellt.

Sherm Sheikh und Sherm ul Moiya. (1:15,000, Karten IX und XIV.)

Diese beiden benachbarten Buchten wurden von einer quer über die sie trennende Landzunge gelegten 511-77 m langen Basislinie ausgehend mit dem Detailirraparate, sowie auf photogrammetrischem Wege aufgenommen. Für die Anwendung beider Verfahren, besonders aber des letzteren, war hier die Terrainconfiguration sehr günstig, weil es möglich war, von hohen, nahe dem Ufer gelegenen Standpunkten aus zu arbeiten. Da die herrschende Hitze die Feldarbeit oft sehr behinderte, wurde der Auslothung des Sherm ul Moiya mehr Zeit zugewendet, weil die bezüglichlichen Angaben des »Red Sea Pilot« mit der Wirklichkeit nicht vollkommen übereinstimmen. In Sherm ul Moiya wurde 130 mal, in Sherm Sheikh, wo das Profil des Meeresgrundes keinerlei Unregelmässigkeiten zeigt, bloss 58 mal gelothet.

Senafir. (Karte XIII.)

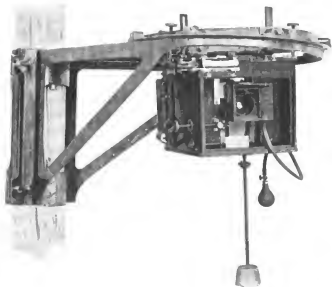
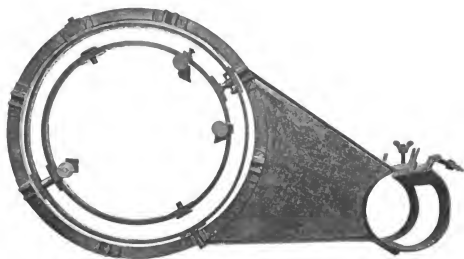
Nach Besprechung der gelungenen, doch zumeist auch nicht in der ganzen beabsichtigten Ausdehnung durchgeführten Aufnahmearbeiten sei auch des misslungenen Versuches gedacht, die Aufnahme des geräumigen, an der Südseite der Insel Senafir befindlichen Hafenbeckens mit Verwendung des photogrammetrischen Apparates allein zu bewirken. Hiezu waren fünf entsprechend vertheilte Standpunkte, darunter die zwei Endpunkte der etwas über 1 km langen Basis auserselbst worden, deren gegenseitige Lage sich nach den am Zeichenblatte des Photogrammeters gezogenen Rayons feststellen liess. Da dem Apparate bloss sechs Doppelcassetten beigegeben waren, war es nöthig, nach je zwölf Aufnahmen an Bord zurückzukehren, um frische Platten einzulegen. Der damit verbundene Zeitverlust hatte zur Folge, dass nur jene vier Standpunkte absolvirt werden konnten, welche als die wichtigsten erkannt, und für den Fall eintretenden Zeitmangels als eventuell für die ganze Aufnahme hinreichend erachtet worden waren. Die Möglichkeit, einen grösseren Plattenvorrath mitzuführen, hätte in die Lage gesetzt, die Aufnahme in zwei Tagen ganz programmgemäss durchzuführen. Wie die Erfahrung später lehrte, hätten aber nur bei Anwendung eines Apparates mit grösserer Bildweite die von den vier Standpunkten aus gemachten photogrammetrischen Aufnahmen hingereicht, um aus den erhaltenen Bildern die ganze Uferlinie des Hafen-

beckens zu construiren. Die mit dem kleinen Messtisch-Photogrammeter erhaltenen Bilder geben nämlich eine so starke Verkleinerung der Natur, dass gut ausgeprägte Terrainformen selbst bei grosser Entfernung, wohl noch zu constatiren sind, dass jedoch kleinere, dem freien Auge noch ganz gut wahrnehmbare Terrainedetails, die über 2 km vom Standpunkte entfernt liegen, auf den Bildern selbst mit der Loupe nicht mehr zu identificiren sind. Die Breite der Bucht von Senafir war schon zu gross, um aus den photographischen Aufnahmen noch Punkte des gegenüberliegenden, flachen Ufers mit einiger Sicherheit bestimmen zu können, während bei der Construction der Uferlinie des Sherm Sheikh, wo auf nahezu eben so grosse Distanzen photographirt wurde, die Bilder in den felsigen Partien des Ufers dank der hohen Aufstellung des Instrumentes noch eine Menge von Constructionsdaten lieferten. Da an eine Auslothung der ganzen Bucht wegen der kurz bemessenen Zeit nicht gedacht werden konnte, wurde dieselbe gar nicht in Angriff genommen.

Die Skizze auf Karte XIII veranschaulicht die Anlage und das Resultat der unvollendet gebliebenen Aufnahme.


















Da es sich hier um die Bekanntmachung eines bisher in der k. u. k. Kriegsmarine noch nicht zur Anwendung gelangten, unter Umständen sehr lohnenden Aufnahmeverfahrens handelt, sind auch negative Resultate werth, der Öffentlichkeit preisgegeben zu werden.

Die Besprechung des vorliegenden Falles, in welchem die bei anderer Küstenbeschaffenheit noch ausreichende Leistungsfähigkeit des photogrammetrischen Apparates überschätzt worden ist, soll dem Marine-Photographen vor jeder Aufnahme eine Anregung zum Nachdenken darüber geben, welche Anforderungen er bei den vorgefundenen Terrainverhältnissen an seinen Apparat stellen darf.

Cardanische Suspensionsvorrichtung.

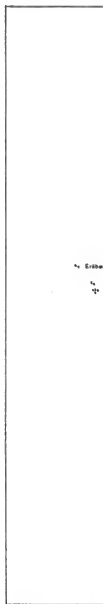
LEGENDE

zu den Karten I-IX.

	Wohngebäude (Hütten)		Zaun (Dornenhecke)
	Zelte		Mauer
	Palmen, Bananen		10 m
	Laubbäume		5 m
	Akazien		seichtes Wasser
	Buschwerk		bei Ebbe trocken
	mit Binsen	s.	Sand -
	Sumpf	sch.	Schlamm -
	Gebüsch oder Wald	corl.	Corallen -
	Wiese oder Hutweide		Corallenriff

Tiefenlinien

Grund



Erber

Erber

SHERM SHE

S.M. Schiff, Polka

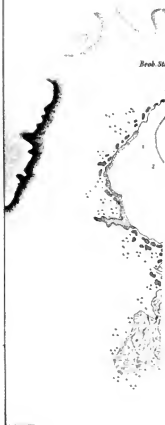
Commandant Fregatten Capitän Paul

Aufgenommen durch Linien-Schiff

Cesar Arbesser von Rasi

Beobachtungsort $\left\{ \begin{array}{l} \text{Breite } 24^{\circ} \\ \text{Länge } 35^{\circ} \end{array} \right.$

Messzeitung 1896-3⁴
Höhen und Sonden in f



MERS

o. M. S. o.

Commandant Fregatte

Aufgenommen durch Linien-Schi

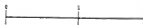
Beobachtungsort

Missweis

Höhen und



Dunkler Bergkegel 436



Auf der Art



Anter. Bild

Denkschriften d. kais. Akad.

DAHAB

S.M. Schiff, Salda 1895/6

Commandant Fregatten-Capitan Paul Edler von Pott

Aufgenommen durch Linien-Schiffshauptenaut César Arbesser von Rastburg.

Beobachtungsort { Breite $28^{\circ}28'37''$ N.
Länge $34^{\circ}29'36''$ ost v. G.

Missweisung 1896 = $3^{\circ}8.0'$ W.
Höhen und Sonden in Metern
Hafenzeit $7^h 0^m$



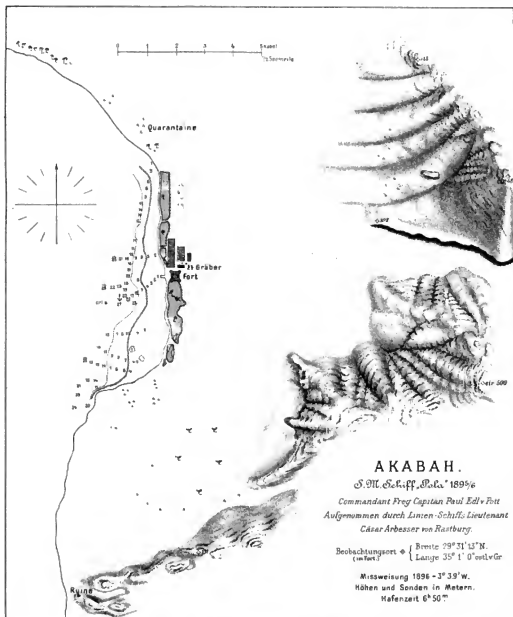
Autor del.

Denkschriften d. kais. Akad. d. Wiss. math.-natur.



Aut. d. d.

Denkschriften d. kais. Akad. d.



Ant. Del.

Denkschriften d. kais. Akad. d. Wiss. math.-naturw. Classe, Bd. LXV.

Verlag v. Th. Neumann, Neudamm.

SHERM S
SHERM EL

S.M. Schiffel

Commandant Fregatten-Capit.

Aufgenommen durch Linie

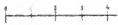
Cesar Arbesser v.

Beobachtungsort \diamond { Bren
{ Lan

Messweisung 189

Hohen und Sonde

Hafenzeit



Sherm Sheikh.

1 : 10.000.

Zeichenerklärung zu den Karten I-IV.

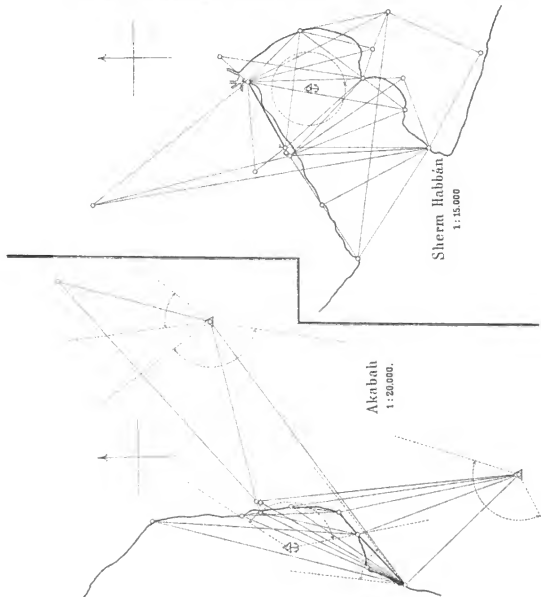
- Triangulierungspunkt.
- ⊙ Basisendpunkt.
- ◇ Beobachtungsort der astron. Ortsbestimmung.
- △ Standpunkt bei der photographischen Aufnahme.

Photogrammetrische Aufnahme eines Theilpanoramas.

Photogrammetrische Aufnahme eines vollen Panoramas.

Mersa Dhiba

1 : 10.000.



Zeichenerklärung.

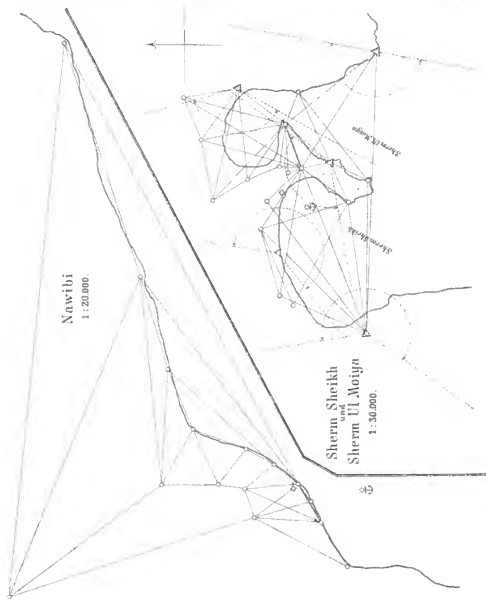
- Triangulierungspunkt.
- ⊗ Basisendpunkt.
- ◇ Beobachtungsort der astron. Ortsbestimmung.
- △ Standpunkt bei der photographischen Aufnahme.

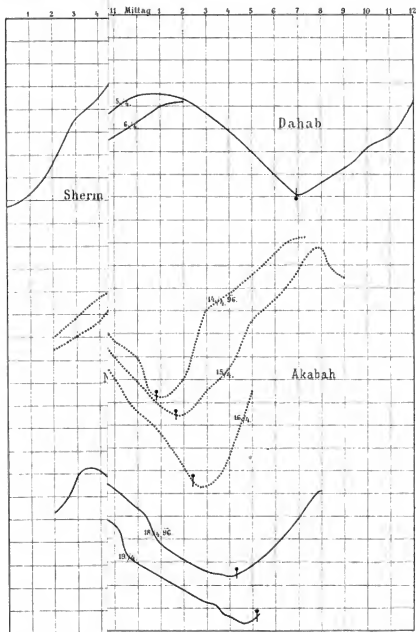
Photogrammetrische Aufnahme eines Theilpanoramas.

Photogrammetrische Aufnahme eines vollen Panoramas.

Senafir
1: 75.000.

Mersa Dahab
1: 15.000.

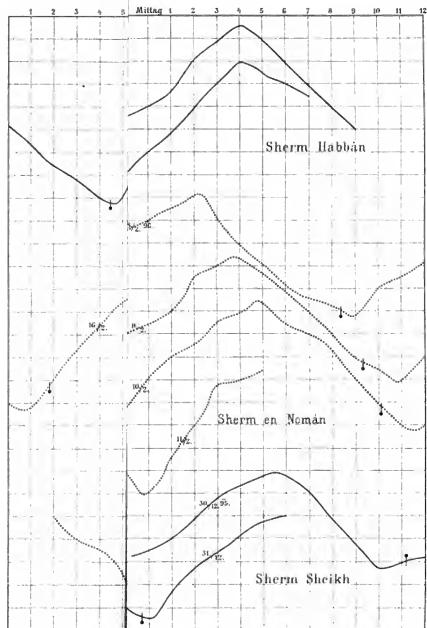




Anker del

Zeit de

Lith. 1887 - Th. Bauer und Sohn



Arbesser del ↑ Zeit der ob

↓ " " un

186 Arab. v. Th. Bassoworth. Vanc.

EXPEDITION S. M. SCHIFF „POLA“ IN DAS ROTHE MEER.

NÖRDLICHE HÄLFTE.

(OCTOBER 1895 — MAI 1896)

WISSENSCHAFTLICHE ERGEBNISSE.

VI.

PHYSIKALISCHE UNTERSUCHUNGEN

AUSGEFÜHRT VON

JOSEF LUKSCH,

PROFESSOR DER K. U. K. MARINE-AKADEMIE A. D. K. K. REGIERUNGSRATH.

(Mit 6 Tafeln [18 Faltblätter] und 1 Skizze.)

VORGELEGT IN DER SITZUNG AM 7. OCTOBER 1907

I. Vorbemerkung.

Schon vor Beendigung der Untersuchungsfahrten im östlichen Theile des Mittelmeeres und in dessen Nebenmeeren — der Adria und dem Marmara-Meere — erschien es in massgebenden Kreisen festgesetzt, dass hiemit die im Zuge befindlichen Forschungen zur See nicht abzuschliessen seien, sondern dass dieselben eine Fortsetzung, wenn auch in einem entlegeneren Meeresgebiete, finden sollten. Die oberste Marine-Leitung lud dementsprechend die kaiserliche Akademie der Wissenschaften in Wien zur Theilnahme an dem neu geplanten Unternehmen ein, und man entschied sich, das Rothe Meer als Untersuchungsgebiet zu wählen. Diese Wahl muss als eine sehr glückliche bezeichnet werden. Nahe an den bereits zum Abschluss gelangten früheren Operationsgebiete gelegen und mit demselben, nur durch eine enge, seichte und künstliche Wasserstrasse verbunden, durch eine unterseeische Barriere von den tieferen Gewässern des Indischen Oceans geschieden und nur durch eine schmale Strasse mit demselben in Verbindung stehend, stellt das Rothe Meer ein abgeschlossenes Becken von eminentester wissenschaftlicher Bedeutung dar.

Im Sinne von Ost-West relativ schmal, in jenem von Nord-Süd aber sich über 18 Breitengrade erstreckend, ohne perenne Süsswasserzuflüsse von irgend einer Bedeutung, der Wirkung tropischer Sonnengluth während des grössten Theiles des Jahres ausgesetzt und unter abnormen meteorologischen Verhältnissen stehend, bot dieses Meeresgebiet ein dankbares Feld für Untersuchungen nach jeder Richtung hin, und dies umso mehr, als es bis nun relativ nur wenig wissenschaftlich erforscht war.

Entsprechend diesen Verhältnissen musste der Arbeitsplan auch ein wesentlich ausgedehnter sein, als bei den früheren Expeditionen. Die vorzunehmenden Studien sollten sich nicht nur auf zoologischem, physikalisch-oceanographischem und chemischem Gebiete bewegen, sondern auch eine Erwei-

terung dadurch erfahren, dass ihnen die Durchführung relativer Erdschwere-Messungen, magnetischer und meteorologischer Beobachtungen, astronomischer Orts- und Zeitbestimmungen auf 27 Örtlichkeiten an den beiden Gestaden des Rothen Meeres, weiters regelmässige meteorologische Beobachtungen an Bord und an den drei fixen Stationen: Koseir, Brothers Island und Jidda, endlich geodätische Aufnahmen von Hafen- und Ankerplätzen angegliedert wurden, für welche Arbeiten die oberste Marine-Leitung fünf Officiere des Seecorps wählte, während für die früher erwähnten Untersuchungen von Seite der kaiserlichen Akademie der Wissenschaften in Wien der schon während der Mittelmeerfahrten thätige Stab neuerlich designirt wurde. Als Expeditionsschiff trat der in dieser Richtung bereits mehrfach bewährte Kriegsdampfer »Pola« unter Commando des k. u. k. Linienschiffs-Capitains Paul Edler von Pott in Verwendung. Die Ausrüstung des Expeditionsschiffes wurde angesichts der wenig günstigen navigatorischen, klimatischen und sanitären Verhältnisse des Untersuchungsgebietes und der in Aussicht genommenen längeren Reisedauer auf das umsichtigste von Sr. Majestät Kriegsmarine besorgt, während die kaiserliche Akademie der Wissenschaften die Beistellung der nöthigen Instrumente und Vorrichtungen zum grössten Theile übernahm. Die Entfernung des Untersuchungsgebietes von der Heimat, dessen Ausdehnung bei grosser Armuth an Hilfsquellen, die neuangegliederten Arbeiten auf den Landstationen — welche eine nicht unerhebliche Zeit beanspruchten —, endlich die Rücksicht, welche auf das Klima und auf die Gesundheitsverhältnisse in den zu befahrenden Gegenden zu nehmen waren, liessen es empfehlenswerth erscheinen, den Herbst, Winter und das Frühjahr als Arbeitszeit zu wählen, den Sommer aber hievon auszuschliessen, was dazu führte, die Befahrung des Gesamtgebietes auf zwei Jahres-Campagnen, und zwar derart zu vertheilen, dass während der ersten der nördliche Abschnitt des Rothen Meeres bis zur geographischen Breite von Jidda, während der zweiten aber jener südlich davon bis zur Strasse von Bab-el-Mandeb untersucht werden sollte.

Im Sommer 1895 waren alle Reisevorbereitungen vollendet und S. M. Schiff »Pola« lag seeklar im Centralhafen bereit. Die Fahrt wurde am 6. October 1895 angetreten; am 18. Mai 1896 kehrte das Expeditionsschiff nach dem Centralhafen zurück.

Es hatte während einer Reisedauer von etwa $7\frac{1}{2}$ Monaten 7400 Seemeilen zurückgelegt, und war fast genau 8 Monate in Ausrüstung gestanden. Wir sehen von einer Darstellung des Reiseverlaufes der ersten Campagne aus dem Grunde ab, weil die Einleitung¹ des die sämtlichen Untersuchungen dieser Fahrt enthaltenden Gesamtwerkes — von welchen die physikalisch-oceanographischen Arbeiten nur einen Abschnitt bilden — den Verlauf der Reise zum Gegenstand hat, und überdies auf der dieser Schrift beifolgenden Tafel I. die Reiselinien in graphischer Weise dargestellt und in Tabelle I die chronologischen Anhaltspunkte für den Verlauf der Reise gegeben sind, was zur Orientierung immerhin genügen dürfte.

Was nun die Untersuchungen betrifft, welche auf physikalisch-oceanographischem Gebiete vorgenommen wurden, so erstreckten sich dieselben — gleichwie während der Mittelmeerfahrten — auf die Beobachtung von Seetemperaturen und von specifischen Gewichten, beziehungsweise Salzgehalten des Wassers an der Meeresoberfläche, nahe dem Grunde und in den Zwischentiefen, auf die Untersuchung der Transparenz und auf die Feststellung der Farbe des Seewassers; auf Beobachtungen über den Seegang und über die auftretenden Strömungen — für letztere dann directe, wenn das Schiff vor Anker lag. Da die meteorologischen Beobachtungen, wie eingangs erwähnt, egenstand eines speciellen Arbeitsgebietes waren, so wurden derlei Beobachtungen von unserer Seite nur für die Zeit ausgeführt während welcher das Schiff sich auf den Seebeobachtungsstationen befand, um über die während der einschlägigen Untersuchungen obwaltenden meteorologischen Verhältnisse noch genauere Anhaltspunkte zu gewinnen.

In Bezug auf die Ausrüstung mit Instrumenten, Vorrichtungen und Behelfen kann mit Dank ausgesprochen werden, dass dieselbe die möglichst beste gewesen ist und durch ihre Reichhaltigkeit der grösseren Entfernung vom Mutterlande und der Schwierigkeit eines eventuellen Ersatzes volle Rechnung

¹ Vergleiche: I. Abschnitt: Beschreibender Theil, verfasst vom Commandanten S. M. Schiff »Pola«, Linienschiffs-Capitain Paul v. Pott.

trug. Wir werden es nicht unterlassen an geeigneter Stelle diesem Gegenstande specieller näher zu treten und die gemachten Wahrnehmungen an den Instrumenten unseren Lesern zur Kenntniss zu bringen.

Bei dem Umstande, dass die 1895 auf 1896 unternommene Expedition sich nur auf die nördliche Hälfte des Rothen Meeres erstreckte und die Forschung im südlichen Abschnitte dieses Seegebietes erst in einer weiteren, voraussichtlich Herbst, Winter und Frühjahr 1897 auf 1898 zu unternehmenden Fahrt zum Abschluss gelangen wird, würde es sich vielleicht empfehlen, mit der Veröffentlichung des Materiales bis zu diesem Zeitpunkte zuzuwarten, um dasselbe sodann in seiner Gesamtheit gleichzeitig mit den sich daraus ergebenden Schlüssen bringen zu können. Wir zogen es aber vor, die bereits gesicherten und bearbeiteten Daten schon jetzt der Öffentlichkeit zu übergeben, um Rechenschaft über das bis nun Geleistete zu geben.

Die Untersuchungen über die Transparenz, die Farbe und über den Seegang jedoch haben wir uns vorbehalten erst dann zu bringen, wenn die Fahrten im Rothen Meere endgiltig zum Abschluss gekommen sein werden.

II. Das Untersuchungsgebiet.

Die horizontale Gestaltung.

Im Westen von Egypten, im Osten von arabischen Landschaften begrenzt, bildet das Untersuchungsgebiet ein im Allgemeinen nordnordwest-südsüdost orientirtes Meereshecken von etwa 600 Seemeilen Axenlänge und 180 solcher Meilen Maximalbreite. Nördlich des 28. Breitenparallels endet die eigentliche Hochschule, und es zweigen sich von derselben zwei, durch die Halbinsel Sinai getrennte Golfe ab, von welchen der eine nahe Nordnordwest verlaufend, etwa 180 Meilen lang und bis zu 25 Meilen breit, der von Suez, der andere, fast 100 Meilen lang und im Maximum 15 Meilen breit, Nordnordost verlaufend, der von Akaba genannt wird. Die Küsten der Hochschule, zum Theil auch jene des Golfes von Suez haben zumeist eine flache, mehr oder weniger breite Strandregion, auf welche landeinwärts in der Regel Hügelland folgt, während im tieferen Hintergrunde sich Gebirgsgruppen erheben, welche mitunter bis zur Höhe der Alpenregion aufsteigen.

Im Golfe von Suez treten diese mitunter, im Golfe von Akaba, wo besonders am Sinai-Ufer der Flachstrand weniger ausgebildet erscheint, zumeist bis hart an das Meeresufer heran, den Verkehr längs desselben erschwerend. Mächtige Schutthaldden, die Ergebnisse der Arbeit von Giesebach, schieben sich stellenweise in diesem Golfe weit in die See vor und bieten kleineren Fahrzeugen — so bei Dahab, Nawihi, Bir-el-Maschia — Schutz gegen den von Norden kommenden Seegang. Das Flachgestade und das demselben folgende Hinterland ist Wüste. Sand, Korallen, Muscheln und Gesteinsfragmente bilden die Decke desselben, welche vermorscht, häufig mit Salzblüthen bedeckt, fast gar keine Vegetation trägt. Nur einige Salzpflanzen, büschelartig angeordnet, sehr selten Bäume, und diese zumeist nur dort, wo sich Ansiedlungen vorfinden, repräsentiren die Flora. Die dem Vorterrain folgenden Berggruppen sind gleichfalls vegetationslos, in abwechselnd dunklen und lichten Gesteinsfarben, vielfach zerrissen, mit den sonderbarsten Kuppen, Hörnern und Spitzen versehen. Ränder von Gyps, welche das Gestein durchziehen und der durch den Wind hoch hinauf in die Spalten und Risse gewehrte Wüstensand geben diesen Höhenzügen ein eigenthümliches Gepräge. Auf den Brothers Inseln und auf St. Johns fand sich vulkanisches Gestein mit darüber gelagerten Korallenkalk, am Golfe von Akaba häufig Urgestein, sonst an den Küsten zumeist Kalk vor. Perenne Süßwasserflüsse gibt es keine, doch waren ausgewaschene Rinnen, welche bis zum Meere führen und von feuchtem Sande bedeckt, einige Vegetation zeigten, häufig zu bemerken. Gleich der Flora ist die Küstenfauna armseelig, auch sind die in Rede stehenden Küstengebiete, wenige Örtlichkeiten ausgenommen, fast menschenleer. An brauchbaren Hafen- und Ankerplätzen ist der vom Expeditionsschiff befahrene Theil des Rothen Meeres sehr arm.

Die den Ufern oft bis auf 20 bis 25 Seemeilen vorgelagerten Korallenriffe erschweren überdies den Zugang zu diesen Plätzen in hohem Masse. Das Ein- und Auslaufen in oder von einem Ankerplatz —

bei Nacht vollkommen ausgeschlossen — ist auch bei Tage nur unter bestimmten Beleuchtungsverhältnissen, die geeignet sind, die Riffe bei Zeiten sichtbar zu können, möglich. Diese Verhältnisse, die Armuth an Leuchthürmen (im Hochseegebiete nur auf den Brothers-Inseln und auf dem Dädalus-Riffe — im Golfe von Akaba kein einziges Feuer — und blos der Golf von Suez gerade genügend beleuchtet), sowie die vorherrschenden, aus dem ersten und vierten Quadranten häufig sehr heftig wehenden Winde, vereint mit einem hohen und turbulenten Seegange, endlich die Strömungen machen die Navigation, selbst bei Verwendung eines erfahrenen einheimischen Piloten zu einer höchst schwierigen, und erfordert dieselbe ausserordentliche Umsicht und Aufmerksamkeit.¹

Das Seebodenrelief.

(Vergl. Karte L.)

Die Seekarten der englischen Admiralität gestatteten schon vor Antritt der Expedition eine allgemeine Vorstellung über die Tiefenverhältnisse, speciell in der Axe der Hochsee, wie auch im Golfe von Suez. Für die Hochsee fanden sich bereits drei Lothungslinien — entsprechend dem Verlaufe der unterseeisch führenden Telegraphenkabel — vor. Die einzelnen Sonden lagen in Abständen von etwa 10—15 Seemeilen eine von der anderen ab. Eine Reihe von weiteren Tiefenangaben fanden sich im südlichen Theile des Arbeitsgebietes — zwischen dem 22. und 23. Breitengrade —, sowie im nördlichen Theile, seawärts der Halbinsel Sinai, verzeichnet. Der Golf von Suez war vor Beginn der Expedition bereits so reich mit Tiefenangaben ausgestattet, dass eine Vermehrung derselben kaum mehr nöthig erschien; dagegen entbehrte der Golf von Akaba — wenige vereinzelte Küstenlothungen ausgenommen — aller genauen Angaben für das Tiefenwasser und fanden sich weitere, mehr oder minder bedeutende Lücken 20 bis 25 Seemeilen seawärts von der arabischen und ägyptischen Küste vor. Es war daher Aufgabe der Expedition, in den angedeuteten sondennarmen Räumen der Hochsee, sowie in dem aller Tiefenangaben fast baarem Golfe von Akaba eine entsprechende Anzahl von Sonden vorzunehmen.

Von den, durch S. M. Schiff »Pola« ausgeführten 103 Lothungen im tiefen Wasser entfallen auf die Hochsee 57, auf den Golf von Suez 7 und auf den Golf von Akaba 39, wobei die Hafenlothungen und die beim Anlaufen der Ankerplätze ausgeführten selbstverständlich ausgeschlossen sind.

In dem nachfolgenden Verzeichnisse, Tabelle I, sind sämtliche Tieflothungen, unter Angabe ihrer geographischen Lage aufgenommen. Die Beschaffenheit, im Besonderen die Farbe des Meeresgrundes erscheint in dieser Tabelle nur mit einigen Worten charakterisirt; die Grundproben jedoch, welche man theilweise mit dem Lothe, in grösserer Menge aber mit dem Tiefseenetze gewann, wurden zur wissenschaftlichen Untersuchung entsprechend aufbewahrt und heimggebracht.

Tabelle I.

Lothdaten, gewonnen während der Expedition S. M. Schiffes »Pola« 1895 auf 1896 im Rothen Meere.

Laufende Zahl	Nummer der Beobachtung	Geographische Position		Tiefe in Metern	Grundbeschaffenheit	Anmerkung
		Ostl. Länge von Greenw.	Nördliche Breite			
1	12	32° 29'	29° 32'	48	Sand und Muscheln	
2	18	34 2	27 24.5	547	• • •	
3	21	34 50.5	26 18.8	65	• • •	Dicht unter der Insel Brothers ¹ / ₁ , Kabel vom Lände.

¹ Ausführlicheres über diese, sowie über die meteorologischen Verhältnisse findet sich in jenen Kapiteln des Gesamtwerkes, welche den Reiseverlauf und die meteorologischen Ergebnisse besprechen.

Lau- fende Zahl	Nummer der Beobach- tungs- station	Geographische Position		Tiefe in Metern	Grundbeschaffenheit	Anmerkung
		Ostl. Länge von Greenw.	Nördliche Breite			
4	22	34° 30' 5	20° 18' 8	92	Sand und Muscheln	Dicht unter der Insel Brothers 1. Kabel vom Lande, doch umge- schwenkt.
5	27	34 35	25 58	620	lichtgelber zäher Schlamm	
6	30	30 15	24 25	400	—	Lothung nicht bis zum Grunde ausgeführt.
7	33	37 37	23 21	791	Sand und Schlamm	
8	42	37 22	21 27	700	" " "	
9	44	37 5	21 39	690	" " "	
10	46	38 19	22 0	570	" " "	
11	47	38 32' 5	22 20' 5	590	" " "	
12	55	30 45	22 20	845	gelber Schlamm mit Sand	
13	57	30 20	23 10	780	graugelber Schlamm mit Sand	
14	58	30 9' 7	23 35 8	105	Sand und Schlamm	3 Kabel südlich der Insel St. Johns. In gleicher Position, nur umge- schwenkt.
15	59	30 9' 7	23 35 8	73	" " "	
16	67	35 54	23 40	900	" " "	
17	69	37 3	24 4	725	" " "	
18	70	37 23	23 41	747	" " "	
19	72	37 9	23 6	1150	" " "	
20	73	30 28	23 50	820	" " "	
21	75	37 48	22 35	1804	dunkelbrauner Schlamm und Muscheln	
22	76	38 19	23 12	900	gelber Schlamm und Sand	
23	79	38 20	22 42	512	" " " "	
24	85	38 0	22 4	2160	rothbrauner Schlamm und Sand	
25	86	38 0	22 7	2190	" " " "	Tiefstgelegte Stelle im Rothen Meere.
26	88	38 33	21 30	902	Sand und Schlamm	
27	95	38 9	23 40 5	611	gelber Schlamm und Sand	
28	99	37 45	24 5	700	lichtgelber Schlamm und Sand	
29	101	30 18	24 8	1200	gelber Schlamm und Sand	
30	102	35 37	24 15	502	" " " "	
31	104	35 25	24 47' 7	535	" " " "	
32	110	34 55	25 23	582	" " " "	
33	113	35 41	25 22	910	" " " "	
34	114	30 10	25 43	780	" " " "	
35	119	30 35	24 55	990	lichtgelber Schlamm und Sand	
36	120	30 51	24 35	528	" " " "	
37	125	30 8	20 19	880	" " " "	
38	128	35 27	20 8	1108	" " " "	
39	129	34 40	20 10' 7	800	grauer Schlamm, viel Sand	
40	131	34 27	20 28	700	lichtgelber Schlamm und Sand	
41	130	34 41	20 51	1135	gelber Schlamm und Sand	
42	145	32 43' 5	19 24' 2	62	grauer Schlamm	
43	149	34 30	27 25	1082	gelber zäher Schlamm und Sand	
44	151	35 17	27 24	704	gelber Schlamm und Sand	
45	153	34 47	27 43	900	" " " "	
46	155	35 17' 5	26 53	740	" " " "	
47	156	34 54	27 11	986	gelber zäher Schlamm, Sand und Muscheln	
48	160	35 33	20 34	825	gelber Schlamm und Sand	
49	165	34 10	27 4	1012	" " " "	
50	166	34 2	27 25	504	" " " "	
51	178	32 35' 6	29 43' 7	45	grauer Schlamm, wenig Sand	
52	179	32 50	29 7' 6	50	" " " "	

Laufende Zahl	Nummer der Hoch- bucht- station	Geographische Position		Tiefe in Metern	Grundbeschaffenheit	Anmerkung
		Ostl. Länge von Greenwich	Nördliche Breite			
53	183	33° 6' 4	28° 44' 5	50	grauer Schlamm, wenig Sand	
54	188	33 25' 3	28 9' 3	58	" " " "	
55	189	33 20 0	28 9' 1	72	lichtgrauer Schlamm, wenig Sand	
56	197	34 36' 3	29 28' 5	58	zäher grauer Schlamm, ohne Sand	
57	202	33 43	27 50	73	wenig lichtgelber Schlamm und Sand	
58	303	34 3	27 37	878	etwas Sand	
59	207	36 31	28 11	1077	gelber Schlamm und Sand	
60	208	34 27' 2	28 14' 4	534	gelber Schlamm, wenig Sand	
61	209	34 39	28 20' 2	792	" " " "	
62	210	34 34' 5	28 21' 2	978	gelber Schlamm, Sand u. Muscheln	
63	211	34 31	28 25	725	gelber Schlamm mit Sand	
64	212	34 33 4	28 30 2	502	hellgelber Schlamm, wenig Sand	
65	213	34 39	28 30' 2	1175	gelber Schlamm mit Sand	
66	214	34 41' 8	28 23' 5	1150	" " " "	
67	215	34 45' 2	28 30' 8	1090	" " " "	
68	216	34 48	28 37' 2	485	" " " "	
69	219	34 37' 4	28 37' 7	917	braungelber Schlamm mit Sand	
70	220	34 42 8	28 39' 2	1287	braungelber Schlamm, wenig Sand	Tiefstgelegene Stelle im Golfe von Akaba.
71	221	34 48' 6	28 44' 5	582	gelbgrauer Schlamm, wenig Sand	
72	222	34 44' 5	28 49' 2	1090	gelbbrauner Schlamm und Sand	
73	225	34 42	28 51' 8	521	" " " "	
74	226	34 40' 5	28 53 0	940	" " " "	
75	227	34 50 5	29 3	910	" " " "	
76	228	34 43' 4	29 0' 8	545	gelber Schlamm und Sand	
77	229	34 40	28 58' 5	671	" " " "	
78	230	34 49' 5	29 7' 5	920	gelber Schlamm, wenig Sand	
79	231	34 44' 0	29 4' 4	702	gelber Schlamm und Sand	
80	232	34 43' 7	28 58' 0	314	" " " "	
81	233	34 54' 5	29 11' 8	558	gelbbrauner Schlamm, wenig Sand	
82	234	34 47' 7	29 12' 7	168	Muscheln und Sand	
83	235	34 49' 5	29 18' 2	505	gelber Schlamm und Sand	
84	236	34 52' 8	29 18' 1	874	" " " "	
85	237	34 50' 0	29 17' 8	1000	gelbgrauer Schlamm und Sand	
86	238	34 57' 5	29 22' 0	842	gelbbrauner Schlamm, wenig Sand	
87	241	34 55' 4	29 23' 5	675	braungelber Schlamm, wenig Sand	
88	242	34 50' 5	29 25' 4	606	" " " "	
89	243	34 58' 7	29 27' 2	509	" " " "	
90	244	34 47' 8	29 13' 5	350	gelbbrauner Schlamm und Sand	
91	247	34 48' 8	28 48' 8	821	gelbbrauner Schlamm, wenig Sand	
92	248	34 39' 3	28 44' 3	826	gelber Schlamm und Sand	
93	249	34 38' 5	28 48	1108	gelber Schlamm, etwas Sand	
94	250	34 38' 5	28 43	1190	Schlamm und Sand	
95	252	34 30	28 2' 5	958	Schlamm, etwas Sand	
96	255	34 26' 2	27 51' 2	1100	wenig Sand, gelber zäher Schlamm	
97	256	34 22	27 50' 2	877	" " " "	
98	258	34 22	27 44' 3	1042	gelber Schlamm, wenig Sand	
99	259	34 28 8	27 44' 6	1022	" " " "	
100	260	34 25' 2	27 39' 4	990	zäher gelber Schlamm, wenig Sand	
101	—	34 28' 3	27 57' 7	170	gelber Schlamm und wenig Sand	In der Straße von Tiran (Golf von Akaba), mit dem Thomson Loth gemessen.
102	—	34 28' 3	27 57' 5	141	" " " "	
103	—	34 28' 2	27 57' 3	250	" " " "	

Sammtliche Lothungen im tiefen Wasser wurden mit der schon während der früheren Expeditionen wohl erprobten Lothmaschine, System »Le Blanc« ausgeführt. Sie functionirte auch bei weniger gutem Wetter und höherem Seegange stets tadellos, und wenn mit Rücksicht auf ihre mehrjährige Verwendung in dem dieser Schrift vorangegangenen Vorberichte¹ empfohlen wurde, sie vor Antritt einer weiteren Expedition durch eine kundige Hand auf ihre weitere Leistungsfähigkeit prüfen zu lassen, so ist man dennoch vollkommen überzeugt, dass es nur kleiner Nachhilfen an den Lagern, Büchsen und Gelenkstücken — welche in Folge der bisher geleisteten Arbeit etwas abgenützt sind — bedürfen wird, um die gedachte Vorrichtung wieder vollkommen in Ordnung zu setzen.

Gleich der Lothmaschine bewährte sich auch diesmal der von der Firma »Carl Bamberg«, Friedenau bei Berlin bezogene blanke unverzinnzte Klaviersaitendraht von 0.9 mm Durchmesser und 180 kg Tragfähigkeit ganz vortrefflich. Das einmalige Reissen² desselben im Verlaufe der ganzen Campagne kann auf eine schadhafte gewordene Stelle zurückgeführt werden. Als Lothe wurden wieder die Belknap'schen, als Ballast Kugeln, u. zw. je nach der zu erwartenden Tiefe von 14, 24 und 34 kg Gewicht verwendet.

Die durch das Expeditionsschiff vorgenommenen Sonden, combinirt mit jenen, welche bereits vorhanden waren, dürften nun so ziemlich ausreichen, um mittelst der in der beifolgenden Karte I verzeichneten Isobathen³ von 200, 500, 800, 1000, 1500 und 2000 m die Gestalt des Seebodens zum genügend genauen Ausdruck zu bringen. In der Hauptsache gibt die gedachte Karte allein schon eine Vorstellung über die Seebodengestalt des in Rede stehenden Untersuchungsgebietes, und es werden daher einige erläuternde Worte genügen.

Die Hochsee.

(Vergl. hierzu Tafel I, Haupt- und Nebenkarten, die Hochsee und die Golfe von Suez und Akaba darstellend.)

Von Ras Mohammed (Südspitze der Sinai-Halbinsel) bis zur geographischen Breite von Jidda lassen sich zwei Depressionsgebiete von über 1000 m Tiefe unterscheiden, welche durch eine unterseeische Bodenschwelle von höchster Erhebung bis zu 585 m unter dem Meerespiegel — etwa in der geographischen Breite von 25° 30' Nord liegend — getrennt sind. Im Norden dringt diese über 1000 m betragende Senkung einerseits bis nahe zur Einfahrt nach dem Golfe von Akaba, andererseits bis zu jener des Golfes von Suez vor. Während man aber im Golfe von Akaba gleichfalls Tiefen bis über 1000 m vorfindet und das Depressionsgebiet der Hochsee von jenem dieses Golfes durch eine unterseeische Bodenschwelle, welche sich bis 141 m zum Meeresspiegel erhebt, getrennt ist, steigt der Seeboden am südlichen Ausgange des Golfes von Suez fast unvermittelt von 1000 m betragenden Tiefen der Hochsee bis zu 80 m der Goltiefe an.

Das nördliche der früher erwähnten zwei Depressionsgebiete von 1000 m misst in der Längsaxe etwa 160 Seemeilen und ist zwischen 20 und 40 solcher Meilen breit. Die in diesem Gebiete bis nun gemessene tiefste Stelle beträgt 1108 m und liegt unter 26° 8' Nordbreite und 25° 27' Ostlänge von Gr. (gemessen von S. M. Schiff »Pola« am 13. Jänner 1896).

Das südliche Depressionsgebiet besitzt eine wechselnde Breite von 20 bis 60 Seemeilen und erstreckt sich von Nordwest gegen Südost bis über die geographische Breite von Jidda — also über das Untersuchungsgebiet — hinaus. In diesem Senkungsfelde findet man drei an Umfang kleinere und eine an solchem grössere Senkung von 1500 m und innerhalb der letzteren noch eine weitere Depression von über 2000 m mit der in diesem Theile gemessenen tiefsten Stelle von 2190 m (unter 22° 7' Nordbreite und 8° 0' östlichen Länge von Gr. gelothet von S. M. Schiff »Pola« am 6. December 1895).

¹ Vorläufiger Bericht über die physikalisch-oceanographischen Untersuchungen im Rothen Meere etc. von J. Luksch. Aus den Sitzungsberichten der kais. Akad. d. Wissensch. Mathem.-naturw. Cl. Bd. CV, Abth. I.

² Der Lothdraht riss in etwa 400 m ohne sichtlichen Grund und gingen mit demselben 1 Sigbee's Schöpfperforat, 1 Umkehr Tiefensternometer und 1 Belknap-Loth verloren.

³ Die zur Herstellung der Isobathen erforderlichen Interpolationen geschahen nicht mittelst Rechnung, sondern mittelst Curven, welche als Verticalprofile des Meeresbodens aufzufassen sind. Vergleiche darüber: Bericht der Commission zur Erforschung des östlichen Mittelmeeres; Denkschriften der kais. Akad. d. Wissensch. Bd. LX, p. 110.

Die Isobathen von 500 *m* und 200 *m* Tiefe verlaufen in der Hoehsee des Rothen Meeres relativ nahe an den Küsten, mitunter nur wenige Seemeilen von den ihnen vorgelagerten Korallenriffen entfernt. Zu dieser Annahme berechtigen die seawärts der Korallenzone vorgenommenen, wenn auch fast durchwegs unvollendeten Lothungen, die auf den englischen Admiralitätskarten vorgemerkt sind, sowie eine Reihe beim Anlaufen der Küsten von S. M. Schiff »Pola« mit dem Thomson-Loth gewonnener Sonden, welche auf ausserordentlich steile Abstürze hindeuten. So finden sich 3 Seemeilen seawärts von S herm Rabegh schon 300 *m*, in der gleichen Entfernung vom Ufer, südlich der Insel Hassani 219 *m* und vor S herm El Wej 300 *m* eingezeichnet. Gleiche Verhältnisse wie die arabische Küste bietet auch die Gegenküste von Egypten, an welcher der Abschnitt von der Insel Schadwan südwärts bis Koseir — der dicht unter der Küste gut ausgelothet ist — die oben gemachte Annahme erhärtet, während in dem weiteren südlichen Abschnitte zwar vollkommen durchgeführte Sonden fehlen, aber schon die unvollendeten — so bei Mersa Dhiba, S herm Scheich, in der Foul-Bai und südlich Mersa-Häla-ib — Tiefen bis zu 238 *m* dicht unter der Küste oder dicht unter den dem Festlande vorgelagerten Korallenriffen ergaben.

Was nun die eingehende Constaturirung der Tiefenverhältnisse unter den Küsten, sowie jener in den Riffcanälen anbelangt — wo man gleichfalls Tiefen bis über 100 *m* findet —, so konnte dies nicht Aufgabe der Expedition sein, da die hiezu nöthigen zahlreichen Lothungen angesichts der bemessenen Expeditionsdauer und der anderweitig zu lösenden Aufgaben nicht auszuführen waren, und es muss daher die detaillierte Aufklärung dieser Tiefenverhältnisse billigerweise eigens dazu bestimmten Küstenvermessungsschiffen vorbehalten bleiben.

Die Golfe von Suez und von Akaba.

Im früheren wurde bereits hervorgehoben, dass von der Hochsee des Rothen Meeres aus der Seeboden nach dem Golfe von Suez fast unvermittelt von 1000 *m* betragenden Tiefen zu solchen bis etwa 80 *m* (in der Jubal-Strasse) ansteigt. Von der Jubal-Strasse nordwärts bis Suez flacht sich der gleichnamige Golf allmählig ab und überschreitet hiebei nirgends eine Tiefe von 82 *m*; seine Tiefenaxe liegt, soferne von einer solchen gesprochen werden kann, etwa gleichweit von beiden Ufern entfernt. In der geographischen Breite von El Tor wird diese Axe durch eine Bank — jene von Tor — unterbrochen. Diese Bank reicht im Maximum bis etwa auf 5 *m* zum Wasserspiegel heran, lässt aber seitlich Kanäle bis über 60 *m* Tiefe frei. Wie in der Hochsee, sind auch im Golfe von Suez die Abfälle von den Ufern und den ihnen vorgelagerten Korallenbänken der See zu steil und ziemlich unvermittelt.

Der Golf von Akaba bietet in seinen Tiefenverhältnissen ein wesentlich verschiedenes Bild von jenem des Golfes von Suez dar. Ist letzterer auffallend seicht, so kann ersterer mit Rücksicht auf seine geringere Längen- und Breitenausdehnung auffallend tief genannt werden. Da, wie im früheren hervorgehoben wurde, — vereinzelte Küstenlothungen ausgenommen — nichts, oder doch nur sehr wenig über das Bodenrelief dieses Golfes bekannt war, indem keine der in den englischen Admiralitätskarten verzeichneten Lothungen im tiefen Wasser bis zum Grunde ausgeführt wurden, und daher nur aussagen, dass der Golf Tiefen über 300 *m* haben müsse, fiel es S. M. Schiff »Pola« zu, sich eingehender mit der Klarstellung der Tiefen-Verhältnisse dieses Golfes zu beschäftigen.

Die schwierigen Verhältnisse, unter welchen seinerzeit (1833) das englische Vermessungsschiff »Palinurus« arbeitete,¹ dem wir wohl weitaus das meiste, was über den Golf von Akaba in navigatorischer Richtung bis nun bekannt war, zu danken haben, fanden sich während des Aufenthaltes S. M. Schiffes »Pola« in den beregten Gewässern mitunter auch vor, dennoch gelang es dem Expeditionsschiff 39 Tiefseelothungen auszuführen, welche uns nunmehr gestatten, ein ausreichend sicheres Bild über die Gestaltung des Seebodens zu gewinnen, wozu die planmässige Vertheilung der an sich mässigen Anzahl von Sonden wesentlich beiträgt.

¹ Vergl. »Red Sea and Gulf of Aden Pilot« fourth Edition, 1862, p. 260, wo Captain Moresby »die Verhältnisse in diesem beruchten Golf, welchen er im Jahre 1833 mit dem Palinurus« besuch und untersuchte, in Kürze schildert.

Der Golf von Akaba ist in der Zugangsstrasse von Tiran durch eine unterseeische Bodenschwelle, welche an ihrer tiefsten Stelle bis auf 141 m unter die Meeresoberfläche ansteigt und durch eine zweite Barrière, welche mindestens bis auf 16 m vom Niveau aufreicht und zwischen der Insel Tiran und dem arabischen Festlande liegt, von den tieferen Gewässern der Hochsee des Rothen Meeres geschieden. Die Breite der ersten genannten Zugangsstrasse beträgt etwa 4-5 Seemeilen, jene des praticablen Fahrwassers in derselben kaum 7 Kabel. Die Breite der zweitgenannten Verbindung beträgt etwa 4 Seemeilen, wovon 6 Kabel ein für Schiffe sehr mässigen Tiefganges geeignetes Fahrwasser bieten. Von den beiden Zugangsstrassen nordwärts senkt sich der Seeboden rasch bis zu 1000 m Tiefe, wobei die Isobathen von 200 und 500 m fast ausnahmslos dicht unter den Küsten, häufig nur 1 bis 2 Seemeilen von denselben entfernt verlaufen und sich den Uferländern anschmiegen. Im südlichen und mittleren Theile des Golfes fällt der Seeboden auf der arabischen Seite (Ostküste) schon 2 Seemeilen vom Lande bis zu 1000 m ab, während die Küstengewässer der Sinai-Halbinsel (Westufer) mässiger Tiefen aufweisen. Die Tiefenaxe liegt also dem arabischen Ufer näher als jenem der Sinai-Halbinsel. Etwa 6 Seemeilen von dem nördlichen Abschlusse des Golfes — bei dem Orte Akaba — und ebenso viele Meilen nach Passirung der Zugangsstrassen im Süden, trifft man bereits auf Tiefen von 800 m. Das von der 1000 m Isobathe umschlossene Gebiet füllt den mittleren und südlichen Theil des Golfes in einer Länge von etwa 50 und einer Maximalbreite von etwa 10 Meilen aus. Die gelothete tiefste Stelle im Golfe ergab 1287 m in 31° 42' 2" Ostlänge n. Gr. und 28° 29' 2" Nordbreite, etwa in der Mitte der Längenausdehnung desselben und ziemlich gleichweit von beiden Ufern abgehend.

Die Lage des Golfes, dessen Alligement im Sinne der Richtung des Jordans und des Todten Meeres, seine Einbettung zwischen hohen und steilen Bergketten, welche sich nordwärts fortsetzen, die bei einer geringen Breite relativ grosse Längenausdehnung, endlich die Ufer- und Seebodenbildung lassen den Golf als das letzte Glied der Kette von Einsenkungen, die das todtte Meer umschliesst, erscheinen.

Bemerkenswerth erscheint überdies noch, dass man grosse Tiefen häufig unter flachem Strande, geringere unter Steilufern zu messen Gelegenheit hatte, und dass der Golf von Akaba im Gegensatze zu den sonst ausgesprochenen Ansichten an seinen Küsten mehrfach mit Rifffkorallen besetzt ist, was zu constatiren das Expeditionsschiff bei Danab, Nawibi, Akaba, Bir-al-Mashija, Sherm Mujawan etc. die Gelegenheit hatte.

III. Die physikalischen Untersuchungen.

Das Beobachtungsmaterial.

Die während der Expedition 1895 auf 1896 in der Nordhälfte des Rothen Meeres gewonnenen Beobachtungsdaten wurden im Vereine mit den Ergebnissen ihrer Reduction in der nachfolgenden Tabelle 2 aufgenommen.

Diese Tabelle enthält zunächst die fortlaufenden Stationsnummern, auf welchen Beobachtungen zur See vorgenommen wurden, weiters das Datum und die Zeit, innerhalb welcher man diese Beobachtungen ausführte.

In Bezug auf die nach ihren geographischen Längen und Breiten eingetragenen Beobachtungs-Positionen, deren Lage auf der Karte I graphisch verzeichnet erscheint, sei bemerkt, dass den Bestimmungen jener Positionen, in welchen man Lothungen ausführte, astronomische Beobachtungen zu Grunde liegen, während für die Positionen, wo nur auf die Meeresoberfläche sich beziehende Observationen vorgenommen wurden — diese vorwiegend bei Nacht als Zwischenglieder eingeschaltet — die durch spätere astronomische Beobachtung rectifizierte Giessung als Basis diente.

Tabelle 2.

Temperatur, specifisches Gewicht und Farbe des Seewassers, beobachtet an Bord S. M. Schiffs „Pola“ im Rothen Meere, Herbst und Winter 1895, Frühjahr 1896.

1 Ein der Tiefenangabe beigefügtes „Gr.“ bedeutet „Grund“.

2 P = Plümethermometer von Baudin, N = Maximum- und Minimum-Tiefthermometer von Negretti & Zambra. Die diesen Buchstaben angehängten Indizes bedeuten die Buchstaben der betreffenden Instrumente. NT = Normalthermometer.

3 E = gewöhnlicher Eimer, P = Flauch nach Angabe der Commission zur Erforschung der ägyptischen Meere, M = Dr. H. Meyer's Apparat, S = Sigbee's Wasser-Scaph-Apparat.

4 F = ruhige See, B = leicht bewegt, b = bewegt, st = stark bewegt, id = todte See, g = gekrümmte See, Fa = Farbe der See nach der Scala von Forel (in etwas modifiziert, vergl. Text, pag. 49. Anmerkung 4), hebel bedeutet sch, dass eine schwarze Unterlage, w. s., dass eine weisse Unterlage verwendet wurde.

5 T = Lufttemperatur, ba = auf 0° reduzierter Barometerstand in mm, B = Bemöhlung, u. zw. 0 = vollkommen unbedeckt, 10 = vollkommen bedeckt; Wd = Richtung und Stärke des Windes, u. zw. 0 = Windstille, 12 = Orkan; N = Niederschlag.

6 Die mit diesem Zeichen versehenen Angaben des specifischen Gewichtes wurden mittelst Plänometers bestimmt.

Anmerkung. Von den zwei, für jede Station anzuhebenden Zeiten gilt nämlich die Temperatur der oberen Wasserschichten, sowie der meteorologischen Daten die voraussetzende. Ich habe Untersuchungen des Seewassers wurden wese Schichten vermischt und gleichzeitig Sonnenhitzen genommen. In der Rubrik „Bemöhlung“, erscheint jedoch nur verzeichnet, dass solche Beobachtungen ausgeführt wurden, gleichwie das für die vorgenommenen Witterungszeiten der Fall ist. Die Ergebnisse werden separat zur Veröffentlichung gelangen.

Nummer der Station	Datum und Zeit	Position (0 = östliche Länge, von Greenwich, 9 = Nordbreite)	Tiefe in Metern	Beobachter Instru- ment	Corrig. Ablesung f	Benutzter Schöpf- Apparat	Atmosphäre-Ausgabe	Specifisches Gewicht und Salzigkeit				Zustand und Farbe des See	Anmerkung		
								S 17.5° S	S 17.5° N	S 17.5° E	S 17.5° W				
1	10. October 10 ^h 31 ^m 30 ^s et 15" n. n.		0 2 5 6 Gr.	Pd M ₁ M ₂ Ud	24.0 23.8 23.7 20.5	1.0200124.0 1.0200123.1 1.0211525.7 1.0279130.3	E P P P	1.0200124.0 1.0200123.1 1.0211525.7 1.0279130.3	1.021311.02094 1.021241.02090 1.021351.02120 1.021351.02155	1.021311.02094 1.021241.02090 1.021351.02120 1.021351.02155	1.021311.02094 1.021241.02090 1.021351.02120 1.021351.02155	1.021311.02094 1.021241.02090 1.021351.02120 1.021351.02155	Fa = 11.0 Wd = NW Salzigkeit und Trübung	T = 24.0 Ba = 10.0 Wd = N ₁	
2	10. October 3 ^h 30 ^m bis 3 ^h 40 ^m		0 2 5 6 Gr.	Pd M ₁ M ₂ Ud	23.5 23.5 23.7 24.0	1.0208623.5 1.0208623.5 1.0213525.7 1.0279130.3	E P P P	1.0208623.5 1.0208623.5 1.0213525.7 1.0279130.3	1.0208623.5 1.0208623.5 1.0213525.7 1.0279130.3	1.0208623.5 1.0208623.5 1.0213525.7 1.0279130.3	1.0208623.5 1.0208623.5 1.0213525.7 1.0279130.3	1.0208623.5 1.0208623.5 1.0213525.7 1.0279130.3	Fa = 11.0 Wd = NW Salzigkeit und Trübung	T = 23.5 Ba = 10.0 Wd = N ₁ bis N ₂	
3	12. October 10 ^h 15. n. n.		0 7 Gr.	Pd M ₁	23.5 23.7	1.0217023.5 1.0213525.7	E P	1.0217023.5 1.0213525.7	1.0217023.5 1.0213525.7	1.0217023.5 1.0213525.7	1.0217023.5 1.0213525.7	1.0217023.5 1.0213525.7	Fa = 11.0 Wd = NW Salzigkeit und Trübung	T = 24.4 Ba = 10.0 Wd = N ₁	
4	17. October 2 ^h 40 ^m bis 2 ^h 50 ^m p. n.		0	Pd	23.7	1.0209023.7	E	1.0209023.7	1.0209023.7	1.0209023.7	1.0209023.7	1.0209023.7	1.0209023.7	Fa = 11.0 Wd = NW Salzigkeit und Trübung	T = 23.0 Ba = 10.0 Wd = NW bis NW ₁

5	17. October 4°15' bis 4°40' n. m.	o 1 2 3 4 5 6 7 Gr.	P ₁ P ₂ M ₁ M ₂ U ₁ U ₂	23.6 23.6 23.8 23.8 24.7	E				1.03603 1.03603 1.03603 1.03603 1.03603 1.03603 1.03603	35 35 35 35 35 35 35	34 34 34 34 34 34 34	4796 4796 4796 4796 4796 4796 4796	lb Fa = 11 w	T = 23.6 B = 0 Wd = NNE ₂ bis NNW ₄
6	18. October 8° bis 8°30' n. m.	o	P ₁	23.9	E	1.0404	22.3	1.0410	1.0401	40	388	319	5.45	T = 22.0 B = 0 Wd = ESE ₂ bis ESE ₃
7	18. October 9° bis 9°15' n. m.	o 1 2 3 4 5 6 7 8 9 10 Gr.	P ₁ P ₂ M ₁ M ₂ U ₁ U ₂	23.9 23.9 23.9 23.9 23.9 23.9 23.9 23.9 23.9 23.9	E	1.0417	24.3	1.0434	1.0419	42	400	411	5.68	T = 22.8 B = 0 Wd = ESE ₂ bis ESE ₃
8	18. October 11°15' bis 11°30' n. m.	o	P ₁	22.6	E	1.0497	1.0440	1.0440	1.0440	42	411	411	5.72	T = 20.0 B = 2 Wd = N ₂
9	18. October 12°15' n. m.	o	P ₁	22.9	E	1.0424	1.0428	1.0428	1.0428	41	400	400	5.96	T = 20.4 B = 1 Wd = N ₂
10	18. October 13°15' n. m.	o	P ₁	22.9	E	1.0387	1.0360	1.0360	1.0360	38	303	303	5.99	T = 20.4 B = 1 Wd = NE ₂
11	24. October 9°15' bis 9°45' n. m.	o 1 2 3 4 5 6 7 8 9 10 Gr.	P ₁ P ₂ M ₁ M ₂ U ₁ U ₂	23.2 23.2 23.2 23.2 23.2 23.2 23.2 23.2 23.2 23.2	E	1.0315	23.9	1.0332	1.0318	32	305	311	4.35	T = 23.5 B = 0 Wd = N ₂
12	25. October 10°15' bis 10°45' n. m.	o 1 2 3 4 5 6 7 8 9 10 Gr.	P ₁ P ₂ M ₁ M ₂ U ₁ U ₂	24.2 24.2 24.2 24.2 24.2 24.2 24.2 24.2 24.2 24.2	E	1.0390	24.5	1.0444	1.0360	31	295	304	4.24	T = 20.2 B = 200.1 Wd = N ₂
13	25. October 10°15' bis 10°45' n. m.	o	P ₁	23.1	E	1.0390	24.5	1.0444	1.0360	31	295	304	4.24	T = 20.2 B = 200.1 Wd = N ₂
14	26. October 11°15' bis 11°45' n. m.	o	P ₁	22.9	E	1.0380	22.4	1.0393	1.0308	31	293	294	4.18	T = 20.0 B = 0 Wd = N ₂ bis N ₃
15	26. October 12°15' bis 12°45' n. m.	o	P ₁	23.0	E	1.0360	22.3	1.0340	1.0304	31	297	304	4.24	T = 23.5 B = 0 Wd = N ₂ bis N ₃
16	26. October 13°15' bis 13°45' n. m.	o	P ₁	24.5	E	1.0292	22.4	1.0360	1.0317	29	279	284	4.04	T = 24.1 B = 0 Wd = N ₂ bis N ₃

Nummer der Station	Datum und Zeit	Position (λ = östliche Länge von Greenwich, φ = Nordbreite)	Tiefe in Metern	Sectentemperatur			Spezifisches Gewicht und Salzgehalt					Zustand und Farbe der See	Zustand der Atmosphäre während der Beobachtung	Anmerkung
				Reindes In- trument	Corrig. Ablesung	Reindes Schöpf- apparats	Asometer-Angabe	Zugewogene Tempe- ratur	Beim gewöhn- lichen Druck	Beim Druck in 17.5°	17.5° S ^{17.5°}			
17	20. October Mittag bis 12.15 p.m.	$\lambda = 33^{\circ} 58'$ $\varphi = 27^{\circ} 40'$	0	P ₁	20.3	E	1.02860	29	27.403	1b	T = 20.0 B = 1 Wd = NNW ₅			
18	20. October 3.40 bis 3.15 p.m.	$\lambda = 34^{\circ} 2' 0''$ $\varphi = 27^{\circ} 24' 30''$ Südlich der Insel Sulabran	0	P ₁	27.1	E	1.02860	28	27.403	1b	T = 20.4 B = 1 Wd = NNW ₅	Weisse Schelle vermischt		
			10	P ₁	27.2	E	1.02860	28	27.403	1b	T = 20.4 B = 1 Wd = NNW ₅			
			20	M ₁	27.1	F	1.02860	28	27.403	1b	T = 20.4 B = 1 Wd = NNW ₅			
			30	M ₁	27.0	F	1.02860	28	27.403	1b	T = 20.4 B = 1 Wd = NNW ₅			
			40	M ₁	26.8	S	1.02860	28	27.403	1b	T = 20.4 B = 1 Wd = NNW ₅			
19	27. October 12.15 bis 12.30 p.m.	$\lambda = 34^{\circ} 20'$ $\varphi = 20^{\circ} 40'$	0	P ₁	24.7	E	1.02860	29	27.404	1b	T = 24.7 B = 1 Wd = NNW ₅			
20	27. October 4.15 bis 4.15 p.m.	$\lambda = 34^{\circ} 44'$ $\varphi = 20^{\circ} 25'$	0	P ₁	25.7	E	1.02860	29	27.403	1b	T = 25.7 B = 1 Wd = NNW ₅			
21	27. October 4.15 bis 4.15 p.m. Südlich der Nordinsel von The Kookerns vom Land	$\lambda = 34^{\circ} 50' 30''$ $\varphi = 20^{\circ} 18' 45''$	0	P ₁	20.1	E	1.02860	29	27.403	1b	T = 27.1 B = 1 Wd = NNW ₅	Weisse Schelle vermischt		
			10	P ₁	20.0	E	1.02860	29	27.403	1b	T = 27.1 B = 1 Wd = NNW ₅			
			20	M ₁	25.9	F	1.02860	29	27.403	1b	T = 27.1 B = 1 Wd = NNW ₅			
			30	M ₁	25.9	F	1.02860	29	27.403	1b	T = 27.1 B = 1 Wd = NNW ₅			
			40	M ₁	25.9	S	1.02860	29	27.403	1b	T = 27.1 B = 1 Wd = NNW ₅			
22	28. October 4.50 bis 4.55 p.m. (wie Station 21)	$\lambda = 34^{\circ} 50' 30''$ $\varphi = 20^{\circ} 18' 45''$	0	P ₁	20.1	E	1.02860	29	27.403	1b	T = 27.5 B = 1 Wd = NNW ₅			

23	29. October 11 ^h 15' a.m. 1 st 30' a.m.	$\lambda = 34^{\circ} 40'$ $\varphi = 20^{\circ} 14'$	o	P ₄	25.5	E	1 02865 40.3 1 03064 1 02855	29	276	28	4 064	lb	T = 20.5 Wd = NNW ₄ bis NNW ₂
24	29. October 6 ^h 45' a.m.	$\lambda = 34^{\circ} 27'$ $\varphi = 20^{\circ} 10'$	o	P ₄	25.2	E	1 02915 24.3 1 03062 1 02895	29	277	28	4 032	lb	T = 20.0 Wd = WNW ₄
25	29. October 11 ^h 30' a.m.	$\lambda = 34^{\circ} 12'$ $\varphi = 20^{\circ} 5'$	1 2 10 14	P ₄ P ₄ P ₄ M ₁₆	20.2 20.3 20.2 20.0	E	1 02860 20.5 1 03060 1 02870 1 02850 20.6 1 03061 1 02875 1 02852 20.8 1 03061 1 02880	29 29 29 29	274 275 275 275	27 28 28 28	4 064 4 064 4 056 4 056	lb Pa = 3 w	T = 20.0 Wd = 760 1 Wd = N ₁ bis N ₂
26	29. October 2 ^h bis 2 ^h 15' p.m.	$\lambda = 34^{\circ} 28'$ $\varphi = 20^{\circ} 0'$	o	P ₄	20.3	E	1 02850 20.7 4 1 03064 1 02860	29	273	27	4 056	lb dann r Pa = 2 w	T = 27.6 Wd = o Wd = NW ₁
27	30. October 2 ^h 30' bis 4 55' p.m.	$\lambda = 34^{\circ} 35'$ $\varphi = 20^{\circ} 58'$	1 2 10 30 50 100 020 Gr	P ₄ P ₄ M ₁₆ M ₁₆ M ₁₆ M ₁₆ M ₁₆	20.3 20.3 20.2 20.2 20.3 20.5 21.0	E	1 02850 27.2 1 03064 1 02860 1 02847 27.2 1 03065 1 02872 1 02835 27.4 1 03069 1 02882 1 02835 27.4 1 03069 1 02882 1 02860 20.3 1 03102 1 03005 1 02854 20.7 1 03065 1 02875	29 29 29 29 29 29 29	273 274 274 274 288 288	27 27 27 27 32 32	4 064 4 064 4 064 4 064 4 064 4 064	lb Pa = 2 w	T = 27.7 Wd = 758.5 Wd = o Wd = NW
28	31. October 13 ^h 15' bis 12 ^h 45' a.m.	$\lambda = 34^{\circ} 55'$ $\varphi = 20^{\circ} 39'$	o	P ₄	25.8	E	1 02854 20.7 1 03065 1 02875	29	275	28	4 064	r	T = 20.2 Wd = o Wd = N ₂
29	31. October 0 ^h 30' bis 0 ^h 45' a.m.	$\lambda = 35^{\circ} 41'$ $\varphi = 20^{\circ} 30'$ (Bam Leichter von Dülmen)	o	P ₄	20.6	E	1 02844 20.6 1 03072 1 02844	28	271	27	4 021	lb	T = 27.1 Wd = NNE ₂
30	31. October 2 ^h 17' bis 3 45' p.m.	$\lambda = 30^{\circ} 15'$ $\varphi = 24^{\circ} 55'$	0 2 10 30 50 100 40 Gr	P ₄ P ₄ M ₁₆ M ₁₆ M ₁₆ M ₁₆ M ₁₆	27.5 27.5 27.3 27.1 27.0 25.7 22.0	E	1 02790 28.4 1 03061 1 02790 1 02781 28.3 1 03064 1 02810 1 02781 28.3 1 03064 1 02810 1 02800 28.4 1 03065 1 02854	28 28 28 29	266 266 266 273	27 27 27 27	3 996 4 091 4 091 4 064	T = 27.0 Wd = 757.0 Wd = 1 st diam bis 2 nd diam Wd = 1 st diam NNF ₁	
31	31. October 11 ^h 15' p.m.	$\lambda = 30^{\circ} 34'$ $\varphi = 24^{\circ} 4'$	o	P ₄	27.9	E	1 02785 27.7 1 03065 1 02785	28	266	27	4 064	lb	T = 27.7 Wd = 1 st Wd = NNE ₁ bis ₁
32	1. November 0 ^h 15' a.m.	$\lambda = 30^{\circ} 53'$ $\varphi = 23^{\circ} 45'$	o	P ₄	27.4	E	1 02775 27.0 1 03068 1 02785	28	266	27	3 976	lb	T = 27.0 Wd = 1 st Wd = NNE ₂

Nummer der Station	Datum und Zeit	Position (λ = östliche Länge von Greenwich, φ = Nordbreite)	Tiefe in Metern	Barometrische Instru- ment	Corrig. Ablesung	Barometrische Schöpf- Apparat	Atmosphärische Tempe- ratur	Spezifisches Gewicht und Salzgehalt	Zustand und Farbe der See	Zustand der Atmosphäre beobachtet	Anmerkung
33	1. November 2 ^h 10 ^m bis 4 ^h p. m.	$\lambda = 38^{\circ} 37'$ $\varphi = 23^{\circ} 21'$	0 1 2 10 20 30 40 50 60 70 80 90 100 110 120 130 140 150 160 170 180 190 200 210 220 230 240 250 260 270 280 290 300 310 320 330 340 350 360 370 380 390 400 410 420 430 440 450 460 470 480 490 500 510 520 530 540 550 560 570 580 590 600 610 620 630 640 650 660 670 680 690 700 710 720 730 740 750 760 770 780 790 800 810 820 830 840 850 860 870 880 890 900 910 920 930 940 950 960 970 980 990 1000 1010 1020 1030 1040 1050 1060 1070 1080 1090 1100 1110 1120 1130 1140 1150 1160 1170 1180 1190 1200 1210 1220 1230 1240 1250 1260 1270 1280 1290 1300 1310 1320 1330 1340 1350 1360 1370 1380 1390 1400 1410 1420 1430 1440 1450 1460 1470 1480 1490 1500 1510 1520 1530 1540 1550 1560 1570 1580 1590 1600 1610 1620 1630 1640 1650 1660 1670 1680 1690 1700 1710 1720 1730 1740 1750 1760 1770 1780 1790 1800 1810 1820 1830 1840 1850 1860 1870 1880 1890 1900 1910 1920 1930 1940 1950 1960 1970 1980 1990 2000 2010 2020 2030 2040 2050 2060 2070 2080 2090 2100 2110 2120 2130 2140 2150 2160 2170 2180 2190 2200 2210 2220 2230 2240 2250 2260 2270 2280 2290 2300 2310 2320 2330 2340 2350 2360 2370 2380 2390 2400 2410 2420 2430 2440 2450 2460 2470 2480 2490 2500 2510 2520 2530 2540 2550 2560 2570 2580 2590 2600 2610 2620 2630 2640 2650 2660 2670 2680 2690 2700 2710 2720 2730 2740 2750 2760 2770 2780 2790 2800 2810 2820 2830 2840 2850 2860 2870 2880 2890 2900 2910 2920 2930 2940 2950 2960 2970 2980 2990 3000 3010 3020 3030 3040 3050 3060 3070 3080 3090 3100 3110 3120 3130 3140 3150 3160 3170 3180 3190 3200 3210 3220 3230 3240 3250 3260 3270 3280 3290 3300 3310 3320 3330 3340 3350 3360 3370 3380 3390 3400 3410 3420 3430 3440 3450 3460 3470 3480 3490 3500 3510 3520 3530 3540 3550 3560 3570 3580 3590 3600 3610 3620 3630 3640 3650 3660 3670 3680 3690 3700 3710 3720 3730 3740 3750 3760 3770 3780 3790 3800 3810 3820 3830 3840 3850 3860 3870 3880 3890 3900 3910 3920 3930 3940 3950 3960 3970 3980 3990 4000 4010 4020 4030 4040 4050 4060 4070 4080 4090 4100 4110 4120 4130 4140 4150 4160 4170 4180 4190 4200 4210 4220 4230 4240 4250 4260 4270 4280 4290 4300 4310 4320 4330 4340 4350 4360 4370 4380 4390 4400 4410 4420 4430 4440 4450 4460 4470 4480 4490 4500 4510 4520 4530 4540 4550 4560 4570 4580 4590 4600 4610 4620 4630 4640 4650 4660 4670 4680 4690 4700 4710 4720 4730 4740 4750 4760 4770 4780 4790 4800 4810 4820 4830 4840 4850 4860 4870 4880 4890 4900 4910 4920 4930 4940 4950 4960 4970 4980 4990 5000 5010 5020 5030 5040 5050 5060 5070 5080 5090 5100 5110 5120 5130 5140 5150 5160 5170 5180 5190 5200 5210 5220 5230 5240 5250 5260 5270 5280 5290 5300 5310 5320 5330 5340 5350 5360 5370 5380 5390 5400 5410 5420 5430 5440 5450 5460 5470 5480 5490 5500 5510 5520 5530 5540 5550 5560 5570 5580 5590 5600 5610 5620 5630 5640 5650 5660 5670 5680 5690 5700 5710 5720 5730 5740 5750 5760 5770 5780 5790 5800 5810 5820 5830 5840 5850 5860 5870 5880 5890 5900 5910 5920 5930 5940 5950 5960 5970 5980 5990 6000 6010 6020 6030 6040 6050 6060 6070 6080 6090 6100 6110 6120 6130 6140 6150 6160 6170 6180 6190 6200 6210 6220 6230 6240 6250 6260 6270 6280 6290 6300 6310 6320 6330 6340 6350 6360 6370 6380 6390 6400 6410 6420 6430 6440 6450 6460 6470 6480 6490 								

40	12. November Mitternachts bis 2 ^h 15 ^m p.m.	$\lambda = 34^{\circ} 3'$ $\varphi = 21^{\circ} 25'$	0	Pd 28.9	E	1°0274027.7 1°03053 1°027506	27 23.8	26 3903	td dann lb Fa = zw	T = 20.5 B = 3 Wd m SE ₁ bis SE ₂
41	12. November 12 ^h 30 ^m a.m.	$\lambda = 34^{\circ} 58'$ $\varphi = 21^{\circ} 27'$	0	Pd 28.1	E	1°0277027.2 1°03053 1°02738	27 20.1	26 3946	lb	T = 27.5 B = 2 Wd m SE ₂
42	13. November 6 ^h 30 ^m bis 7 ^h a.m.	$\lambda = 34^{\circ} 22'$ $\varphi = 21^{\circ} 27'$	0 1 2 3 10 20 30 50 70 100 700 Gr	Pd 28.1 Pd 28.1 M ₁ 27.9 M ₂ 27.9 M ₃ 27.8 M ₄ 27.7 M ₅ 27.3 M ₆ 27.5 M ₇ 27.5	E F F S	1°0277027.2 1°03053 1°027506 1°0277027.2 1°03053 1°027506 1°0277027.2 1°03053 1°027506 1°0281227.2 1°03053 1°02877	28 26.2 28 20.1 28 20.4 29 27.5 28 4.019	26 3906 26 3974 26 3975	tdt Fa = 4 w	Schlebe wegen starken Bergang nach Nord Rechts von NE
43	13. November Miting bis 12 ^h 30 ^m p.m.	$\lambda = 34^{\circ} 16'$ $\varphi = 21^{\circ} 30'$	0	Pd 26.7	E	1°0276827.7 1°03053 1°027508	28 20.7	27 3909	lb Fa m 3 w	T = 28.6 B = 3 Wd = S ₁ bis S ₂
44	14. November 2 ^h 30 ^m bis 4 ^h 15 ^m p.m.	$\lambda = 34^{\circ} 5'$ $\varphi = 21^{\circ} 39'$	0 1 2 5 10 20 30 50 70 100 300 oppo Gr	Pd 28.5 Pd 28.3 M ₁ 28.2 M ₂ 27.9 M ₃ 27.5 M ₄ 27.0 M ₅ 27.5 M ₆ 27.5 M ₇ 27.5	E F F S	1°0275538.4 1°03060 1°02757 1°0275538.4 1°03060 1°02757 1°0275538.4 1°03060 1°02757 1°0281027.0 1°03063 1°02882	28 20.3 28 20.3 28 20.3 29 27.5 28 4.021	26 3985 26 3985 26 3985 27 37.4004	lb Fa m 2 w	T = 28.3 B = 3 Wd m SE ₂ bis SE ₃
45	14. November Mitternachts bis 12 ^h 25 ^m p.m.	$\lambda = 34^{\circ} 50'$ $\varphi = 21^{\circ} 58'$	0	Pd 28.2	E	1°0277527.4 1°03053 1°027553	28 20.7	26 3909	t	T = 28.0 B = 1 Wd = 0
46	14. November 6 ^h 30 ^m bis 7 ^h 15 ^m a.m.	$\lambda = 34^{\circ} 19'$ $\varphi = 21^{\circ} 0'$	0 1 2 3 5 10 20 30 40 70 100 850 Gr	Pd 28.7 Pd 28.7 M ₁ 28.8 M ₂ 28.8 M ₃ 28.6 M ₄ 28.6 M ₅ 27.8 M ₆ 27.8 M ₇ 27.8	E F F S	1°0275538.4 1°03060 1°02757 1°0275538.4 1°03060 1°02757 1°0275538.4 1°03060 1°02757 1°0280537.1 1°03113 1°02805	27 20.0 27 20.0 27 20.0 28 27.5974 28 27.5974	26 3956 26 3956 26 3956 27 33.4074	lb Fa = 3 w	T = 20.5 B = 1 Wd = NT ₂ bis NT ₃

53	18. November 2 ^h 45 ^m a.m.	Hafen von Mersa-Halla-ib	0 1 2 3 5 8 18 Gr	P ₁ P ₂ M ₁ M ₂ M ₃ M ₄	27.2 27.4 27.3 27.2 27.2 27.1	E	1° 02' 30" 140.3 1° 02' 30" 140.3 1° 02' 30" 140.3 1° 02' 30" 140.3 1° 02' 30" 140.3 1° 02' 30" 140.3	28 205 27 3969	1° 02' 17" 1° 02' 17" 1° 02' 17" 1° 02' 17" 1° 02' 17" 1° 02' 17"	lb Fa = 9w	T = 27.4 B = 0 Wd = Nef ₁ bis Nef ₂	Wulste Scheibe vermerkt
54	18. November 4 ^h bis 4 ^h 50 ^m a.m.		0 1 2 3 5 8 18 Gr	P ₁ P ₂ M ₁ M ₂ M ₃ M ₄	27.3 27.3 27.2 27.2 27.2 27.1	E	1° 02' 30" 140.3 1° 02' 30" 140.3 1° 02' 30" 140.3 1° 02' 30" 140.3 1° 02' 30" 140.3 1° 02' 30" 140.3	28 205 27 3969	1° 02' 17" 1° 02' 17" 1° 02' 17" 1° 02' 17" 1° 02' 17" 1° 02' 17"	lb Fa = 6w	T = 20.0 B = 1 Wd = Nef ₁ bis Nef ₂	
55	19. November 3 ^h 52 ^m bis 4 ^h 50 ^m p.m.	$\lambda = 30^{\circ} 45'$ $\varphi = 22^{\circ} 26'$	0 1 2 3 5 8 18 Gr	P ₁ P ₂ M ₁ M ₂ M ₃ M ₄	27.9 28.1 28.0 27.9 27.7 27.1	E	1° 02' 30" 140.3 1° 02' 30" 140.3 1° 02' 30" 140.3 1° 02' 30" 140.3 1° 02' 30" 140.3 1° 02' 30" 140.3	28 205 27 3969	1° 02' 17" 1° 02' 17" 1° 02' 17" 1° 02' 17" 1° 02' 17" 1° 02' 17"	lb Fa = 3w	T = 27.9 B = 1 Wd = Nef ₁ bis Nef ₂	Starker Strom von N nach S
56	20. November Mitternacht bis 12 ^h 20 ^m a.m.	$\lambda = 30^{\circ} 30'$ $\varphi = 22^{\circ} 50'$	0	P ₁	25.7	E	1° 02' 30" 140.3 1° 02' 30" 140.3 1° 02' 30" 140.3 1° 02' 30" 140.3 1° 02' 30" 140.3 1° 02' 30" 140.3	28 205 27 3969	1° 02' 17" 1° 02' 17" 1° 02' 17" 1° 02' 17" 1° 02' 17" 1° 02' 17"	lb	T = 25.7 B = 1 Wd = N	
57	20. November 3 ^h 30 ^m bis 8 ^h 5 ^m a.m.	$\lambda = 30^{\circ} 20'$ $\varphi = 23^{\circ} 16'$	0 1 2 3 5 8 18 Gr	P ₁ P ₂ M ₁ M ₂ M ₃ M ₄	20.6 20.6 20.7 20.7 20.6 20.5	E	1° 02' 30" 140.3 1° 02' 30" 140.3 1° 02' 30" 140.3 1° 02' 30" 140.3 1° 02' 30" 140.3 1° 02' 30" 140.3	28 205 27 3969	1° 02' 17" 1° 02' 17" 1° 02' 17" 1° 02' 17" 1° 02' 17" 1° 02' 17"	lb Fa = 3w	T = 20.7 B = 159.6 Wd = N ₁ bis N ₂	Wulste Scheibe vermerkt
58	21. November 8 ^h 30 ^m bis 8 ^h 50 ^m a.m.	Städtchen der Insel 3 Meilen Lande vor Anker	0 1 2 3 5 8 18 Gr	P ₁ P ₂ M ₁ M ₂ M ₃ M ₄	20.5 20.7 20.6 20.6 20.5 20.5	E	1° 02' 30" 140.3 1° 02' 30" 140.3 1° 02' 30" 140.3 1° 02' 30" 140.3 1° 02' 30" 140.3 1° 02' 30" 140.3	28 205 27 3969	1° 02' 17" 1° 02' 17" 1° 02' 17" 1° 02' 17" 1° 02' 17" 1° 02' 17"	lb Fa = 2sch	T = 23.2 B = 159.6 Wd = N ₁ bis N ₂	Strom von W nach E

Nummer der Station	Datum und Zeit	Position (λ = östliche Länge von Greenwich, φ = Nordbreite)	Tiefe in Metern ¹	Sensitivität					Spezielles Gewicht und Salzgehalt					Zustand der Atmosphäre während der Beobachtung ⁵	Anmerkung
				Beobachtet Instru- ment ²	Corrig. Ablesung ³	Barometrischer Apparat ⁴	Atmosphärische Tempe- ratur ⁵	Barometrischer Druck ⁶	Barometrischer Druck ⁷	Salzgehalt in Proc. ⁸	Zustand und Farbe der See ⁴	Zustand der Atmosphäre während der Beobachtung ⁵			
59	21. November 10 ^h bis 10 ^h 40 ^m a. m.		0	P ₁	20.4	S	1.02815-24.4	1.02801	29.277	28.4034	lb	T = 25.5 ba = 750.0 Wd = NE ₁ bis NE ₄	Strom von W nach E Beobachtungen unterschieden, weil das Schiff gegen die Rinde trieb		
			1	P ₂	20.8	E	1.02800-25.1	1.02804	28.200	27.4013					
			2	P ₃	20.8										
			30	M ₁	20.7										
60	21. November Mittag bis 12 ^h 30 ^m p. m.	Südlich der Insel St. Johns auf 3 Kabel vom Lande vor Anker	0	P ₁	20.8	E	1.02805-25.7	1.02801	28.270	27.4021	lb	T = 24.5 ba = 750.2 Wd = NE ₁ bis NE ₂ in Boden	Strom von W nach E Schiff liegt bei		
			1	P ₂	20.8										
			2	M ₁	20.7										
			30	U ₁	20.7										
61	21. November 2 ^h 15 ^m bis 2 ^h 45 ^m p. m.		40	M ₂	20.5	S	1.02870-25.7	1.02875	28.271	27.4024					
			50	U ₂	20.5										
			70	C ₁	25.5										
			100 Gr	U ₃	25.0										
62	21. November 2 ^h 15 ^m bis 2 ^h 45 ^m p. m.		0	P ₁	20.4						lb	T = 24.3 ba = 750.1 Wd = NE ₁ bis NE ₂			
			1	P ₂	20.4										
			2	P ₃	20.5										
			10	M ₃	20.0										
63	21. November 7 ^h 30 ^m bis 8 ^h a. m.	λ = 36° 1' φ = 23° 50'	20	N ₁	20.0										
			40	N ₂	20.0										
			50	U ₂	20.2										
			70	M ₁	25.4										
64	21. November Mitternacht bis 12 ^h 15 ^m a. m.	λ = 35° 48' φ = 23° 50'	0	P ₁	25.9	E	1.02800-27.7	1.02801	28.271	27.3993	lb	T = 24.7 Wd = N ₁ bis N ₂ Stärke 0.5 Meilen pr. Stunde	Strom liegt der Küste NNW setzend		
			1	P ₂	26.0	E	1.02870-27.8	1.02861	28.274	27.4013					
			2	P ₃	26.0										
			30	U ₁	26.0										

64	25. November 8 ³⁰ bis 9 ⁰⁰ a.m.	Hafen von Bierenise	0 1 2 3 10 14 Gr	P ₁ 24.8 P ₂ 24.9 P ₃ 24.8 M ₁ 24.8 M ₂ 24.9 M ₃ 24.8 U ₁ 24.8 U ₂ 24.9 U ₃ 24.8	E S E	1° 02' 10" 21.8 1° 02' 10" 21.8 1° 02' 10" 21.8	1° 02' 10" 21.8 1° 02' 10" 21.8 1° 02' 10" 21.8	19 277 19 277 19 277	28 4 026 28 4 026 28 4 026	lb Fa = 5 w	T = 22.8 B = 0.1 m Wd = NW ₁	1 Umkehr- thermometer unterschiedlich geworden
65	25. November Mittag bis 12 ³⁰ p.m.		0 1 2 3 10 14 Gr	P ₁ 24.5 P ₂ 24.6 P ₃ 24.5 M ₁ 24.5 M ₂ 24.6 M ₃ 24.5 U ₁ 24.5 U ₂ 24.6 U ₃ 24.5	S E	1° 02' 50" 24.5 1° 02' 50" 24.5	1° 02' 50" 24.5 1° 02' 50" 24.5	19 275 19 275	28 4 034 28 4 034	P Fa = 5 w	T = 25.0 B = 1 Wd = NW ₂ N ₁	
66	25. November 4 ⁰⁰ bis 4 ³⁰ p.m.		0 1 2 3 10 14 Gr	P ₁ 24.4 P ₂ 24.5 P ₃ 24.4 M ₁ 24.4 M ₂ 24.5 M ₃ 24.4 U ₁ 24.4 U ₂ 24.5 U ₃ 24.4	S E	1° 02' 50" 24.4 1° 02' 50" 24.4	1° 02' 50" 24.4 1° 02' 50" 24.4	19 277 19 277	28 4 034 28 4 034	P Fa = 5 w	T = 20.3 B = 0 Wd = SSE ₁ bis SSE ₂	
67	26. November 5 ¹⁵ bis 5 ⁴⁵ p.m.		0 1 2 3 10 14 Gr	P ₁ 24.0 P ₂ 24.1 P ₃ 24.0 M ₁ 24.0 M ₂ 24.1 M ₃ 24.0 U ₁ 24.0 U ₂ 24.1 U ₃ 24.0	S E	1° 02' 50" 24.0 1° 02' 50" 24.0	1° 02' 50" 24.0 1° 02' 50" 24.0	19 260 19 260	28 4 064 28 4 064	P Fa = 3 w	T = 25.0 B = 0 Wd = E ₁ bis E ₂	
68	29. November Mitternacht bis 12 ¹⁵ a.m.		0 1 2 3 10 14 Gr	P ₁ 24.4 P ₂ 24.5 P ₃ 24.4 M ₁ 24.4 M ₂ 24.5 M ₃ 24.4 U ₁ 24.4 U ₂ 24.5 U ₃ 24.4	E S	1° 02' 58.4 24.7 1° 02' 58.4 24.7	1° 02' 58.4 24.7 1° 02' 58.4 24.7	19 276 19 276	28 4 009 28 4 009	lb Fa = 3 w	T = 23.8 B = 2 Wd = 0	
69	29. November 6 ²⁰ bis 7 ⁰⁰ a.m.		0 1 2 3 10 14 Gr	P ₁ 27.5 P ₂ 27.6 P ₃ 27.5 M ₁ 27.5 M ₂ 27.6 M ₃ 27.5 U ₁ 27.5 U ₂ 27.6 U ₃ 27.5	E S	1° 02' 50" 25.5 1° 02' 50" 25.5	1° 02' 50" 25.5 1° 02' 50" 25.5	19 263 19 263	28 3 934 28 3 934	lb Fa = 4 w	T = 25.0 B = 0 Wd = NW ₁	Weisse Scheibe verbraut
70	29. November 2 ³⁵ bis 4 ⁵⁵ p.m.		0 1 2 3 10 14 Gr	P ₁ 27.0 P ₂ 27.1 P ₃ 27.0 M ₁ 27.0 M ₂ 27.1 M ₃ 27.0 U ₁ 27.0 U ₂ 27.1 U ₃ 27.0	S E	1° 02' 55.5 25.0 1° 02' 55.5 25.0	1° 02' 55.5 25.0 1° 02' 55.5 25.0	19 262 19 262	28 3 934 28 3 934	lb Fa = 3 w	T = 25.8 B = 0 Wd = N ₁	
71	30. November 12 ³⁰ bis 12 ⁴⁵ a.m.		0 1 2 3 10 14 Gr	P ₁ 24.7 P ₂ 24.8 P ₃ 24.7 M ₁ 24.7 M ₂ 24.8 M ₃ 24.7 U ₁ 24.7 U ₂ 24.8 U ₃ 24.7	E S	1° 02' 50" 25.0 1° 02' 50" 25.0	1° 02' 50" 25.0 1° 02' 50" 25.0	19 275 19 275	28 4 009 28 4 009	lb Fa = 3 w	T = 25.4 B = 1 Wd = N ₁	

Nummer der Station	Datum und Zeit	Position (λ = östliche Länge von Greenwich, φ = Nordbreite)	Stereometrie		Barometrischer Schöpf- apparat	Specifisches Gewicht und Salzigkeit		Zustand und Farbe der See	Zustand der Atmosphäre während der Beobachtung	Anmerkung
			Hermetischer In- strument	Corrig. Ablesung		Barometrische Temp.	$S_{17.5}^{\circ}$ Temperatur 17.5° Barometrisch	$S_{17.5}^{\circ}$ Salzigkeit in Pro.		
72	30. November 6 ^h 19' bis 7 ^h 47' a. m.	$\lambda = 33^{\circ} 9'$ $\varphi = 23^{\circ} 0'$	0 P4	20.8	3	1.028 05 4.1	1.027 85	26	260 27	706
			1 P4	20.9	3	1.028 05 4.1	1.027 85	26	260 27	706
			2 M4	27.0	3	1.028 05 4.1	1.027 85	26	260 27	706
			30 M4	27.3	3	1.028 05 4.1	1.027 85	26	260 27	706
			30 M4	27.3	3	1.028 05 4.1	1.027 85	26	260 27	706
73	30. November 4 ^h 57' p. m.	$\lambda = 36^{\circ} 28'$ $\varphi = 23^{\circ} 56'$	0 P4	20.4	3	1.028 05 4.1	1.027 85	26	260 27	706
			1 P4	20.5	3	1.028 05 4.1	1.027 85	26	260 27	706
			2 M4	20.3	3	1.028 05 4.1	1.027 85	26	260 27	706
			30 M4	20.2	3	1.028 05 4.1	1.027 85	26	260 27	706
			30 M4	20.1	3	1.028 05 4.1	1.027 85	26	260 27	706
74	1. December 11 ^h 20' a. m.	$\lambda = 34^{\circ} 8'$ $\varphi = 23^{\circ} 47'$	0 P4	25.7	3	1.028 05 4.1	1.027 85	26	260 27	706
			1 P4	25.7	3	1.028 05 4.1	1.027 85	26	260 27	706
			2 M4	27.1	3	1.028 05 4.1	1.027 85	26	260 27	706
			30 M4	27.2	3	1.028 05 4.1	1.027 85	26	260 27	706
			30 M4	27.2	3	1.028 05 4.1	1.027 85	26	260 27	706
75	1. December 8 ^h 30' a. m.	$\lambda = 34^{\circ} 48'$ $\varphi = 22^{\circ} 35'$	0 P4	25.8	3	1.028 05 4.1	1.027 85	26	260 27	706
			1 P4	25.8	3	1.028 05 4.1	1.027 85	26	260 27	706
			2 M4	27.1	3	1.028 05 4.1	1.027 85	26	260 27	706
			30 M4	27.2	3	1.028 05 4.1	1.027 85	26	260 27	706
			30 M4	27.2	3	1.028 05 4.1	1.027 85	26	260 27	706
76	2. December 3 ^h bis 3 ^h 40' p. m.	$\lambda = 38^{\circ} 10'$ $\varphi = 23^{\circ} 12'$	0 P4	27.9	3	1.028 05 4.1	1.027 85	26	260 27	706
			1 P4	27.9	3	1.028 05 4.1	1.027 85	26	260 27	706
			2 M4	28.0	3	1.028 05 4.1	1.027 85	26	260 27	706
			30 M4	27.8	3	1.028 05 4.1	1.027 85	26	260 27	706
			30 M4	27.5	3	1.028 05 4.1	1.027 85	26	260 27	706

77	1. December 8 ^h 30 ^m p.m.	$\lambda = 38^{\circ} 2'$ $\varphi = 23^{\circ} 24'$	40 70 100 600 Gr	M_1 M_2 M_3	27.4 20.7 25.0 21.0	S S	1° 0270 27.2 1° 0301 28 200 27 3934 1° 0240 27.0 1° 0303 1° 0218 33 235 31 4904	lb	$T = 27.2$ $B = 0$ $Wd = NW_1$	
78	2. December Mitternacht bis 12 ^h 30 ^m a.m.	$\lambda = 38^{\circ} 22'$ $\varphi = 23^{\circ} 2'$	0	P_1	27.4	E	1° 02755 27.1 1° 0300 1° 02755 28 200 27 3934	lb	$T = 26.7$ $B = 0$ $Wd = N_1$	
79	2. December 7 ^h 30 ^m a.m.	$\lambda = 38^{\circ} 29'$ $\varphi = 22^{\circ} 42'$	0 2 10 20 30 40 60 100 512 Gr	P_1 P_2 M_1 M_2 M_3 M_4 M_5 M_6	27.7 27.9 27.8 27.5 27.3 27.1 26.3 25.7 21.6	E E E E S S	1° 02738 27.0 1° 0300 1° 02738 27 201 20 3944 1° 02738 27.5 1° 0300 1° 02740 27 201 20 3944 1° 02786 27.2 1° 0303 1° 02830 28 270 27 2972 1° 0254 26.9 1° 0303 1° 02990 31 280 31 4904	r $Fa = 2w$	$T = 27.5$ $Ba = 702.1$ $B = 2$ $Wd = N \approx N_1$	Wdise Scheibe zweimal versenkt
80	4. December 8 ^h 30 ^m a.m.		0 1 2 12 Gr	P_1 P_2 M_1 M_2	27.2 27.3 27.4	E E E E	1° 02800 20.1 1° 0303 1° 02700 28 212 20 3944 1° 02800 20.2 1° 0301 1° 02700 28 281 20 3944 1° 02800 20.2 1° 0303 1° 02700 28 282 20 3944	r $Fa = 5c$	$T = 28.5$ $B = 0$ $Wd = N_1$	
81	4. December Mitternacht bis 12 ^h 30 ^m p.m.	Sherrn Rabigh vor Anker	0 1 2 12 Gr	P_1 P_2 M_1 M_2	27.7 27.6 27.7 27.6	E E E E	1° 02790 20.2 1° 0303 1° 02740 27 201 20 3934 1° 02790 20.2 1° 0303 1° 02750 28 202 20 3944 1° 02755 20.2 1° 0300 1° 02740 27 201 20 3934	r $Fa = 5c$	$T = 30.0$ $B = 0$ $Wd = WNW_2$	
82	4. December 5 ^h bis 5 ^h 30 ^m p.m.		0 1 2 6 12 Gr	P_1 P_2 M_1 M_2 M_3	27.6 27.7 27.9 27.9	E E E E	1° 02705 20.2 1° 0300 1° 02740 27 201 20 3944 1° 02810 20.2 1° 0303 1° 02752 28 202 20 3934	r $Fa = 5c$	$T = 27.7$ $B = 1$ $Wd = NW_2$	
83	5. December 6 ^h 30 ^m p.m.	$\lambda = 38^{\circ} 24'$ $\varphi = 23^{\circ} 24'$	0	P_1	27.7	E	1° 02735 27.4 1° 02890 1° 02728 27 200 20 3944	lb	$T = 28.2$ $B = 1$ $Wd = SSW_2$	
84	6. December Mitternacht bis 12 ^h 30 ^m a.m.	$\lambda = 38^{\circ} 9'$ $\varphi = 22^{\circ} 14'$	0	P_1	27.7	E	1° 02750 27.1 1° 02994 1° 02740 27 201 20 3944	lb	$T = 27.0$ $B = 1$ $Wd = S_2$	

Nummer der Station	Datum und Zeit	Position (λ = östliche Länge von Greenwich, φ = Nordbreite)	Tiefe in Metern	Seetemperatur θ II	Barometrische Höhe in m	Korrekt. Ablesung	Spezifisches Gewicht und Salzgehalt					Zustand und Farbe der See	Zustand der Atmosphäre während der Beobachtung	Anmerkung
							Barometrische Höhe in m	Temperatur in °C	Temperatur in °C	Temperatur in °C	Salzgehalt in ‰			
85	6. December 10 ^h 30 ^m a.m.	$\lambda = 38^{\circ} 0'$ $\varphi = 22^{\circ} 4'$	0	P ₁ 28.1	1	1	1	1	1	1	1	lb	T = 27.0 B = 758.8 Wd = Si ₂	Nicht setzt von E nach W
			1	P ₂ 28.2	2	2	2	2	2	2	2			
			10	M ₁ 28.3	10	10	10	10	10	10	10			
			30	M ₂ 28.3	30	30	30	30	30	30	30			
			40	M ₃ 28.2	40	40	40	40	40	40	40			
86	6. December 11 ^h 10 ^m p.m.	$\lambda = 38^{\circ} 0'$ $\varphi = 22^{\circ} 7'$	70	L ₁ 27.6	70	70	70	70	70	70	70	lb	T = 27.8 B = 758.5 Wd = Si ₂	Weisse Schleihe vermischt
			100	M ₁ 28.1	100	100	100	100	100	100	100			
			2100 Gr	P ₁ 28.5	2100 Gr	2100 Gr	2100 Gr	2100 Gr	2100 Gr	2100 Gr	2100 Gr			
			0	P ₂ 28.2	0	0	0	0	0	0	0			
			1	P ₃ 28.4	1	1	1	1	1	1	1			
87	7. December 10 ^h 30 ^m a.m.	$\lambda = 38^{\circ} 20'$ $\varphi = 21^{\circ} 47'$	0	P ₁ 28.9	0	0	0	0	0	0	0	lb	T = 27.8 B = 758.7 Wd = Si ₂	Weisse Schleihe vermischt
			1	P ₂ 28.4	1	1	1	1	1	1	1			
			10	M ₁ 28.0	10	10	10	10	10	10	10			
			30	M ₂ 28.7	30	30	30	30	30	30	30			
			70	L ₁ 27.8	70	70	70	70	70	70	70			
88	7. December 10 ^h 30 ^m bis 11 ^h 30 ^m a.m.	$\lambda = 38^{\circ} 33'$ $\varphi = 21^{\circ} 30'$	0	P ₁ 28.5	0	0	0	0	0	0	0	f	T = 27.0 B = 758.0 Wd = Si ₂	Weisse Schleihe vermischt
			1	P ₂ 28.4	1	1	1	1	1	1	1			
			10	M ₁ 28.0	10	10	10	10	10	10	10			
			30	M ₂ 28.7	30	30	30	30	30	30	30			
			70	L ₁ 27.8	70	70	70	70	70	70	70			
89	12. December 10 ^h 30 ^m bis 11 ^h 30 ^m p.m.	Hafen von Jidda	0	P ₁ 28.3	0	0	0	0	0	0	0	f	T = 27.0 B = 758.0 Wd = Si ₂	Weisse Schleihe vermischt
			1	P ₂ 28.4	1	1	1	1	1	1	1			
			10	M ₁ 28.0	10	10	10	10	10	10	10			
			30	M ₂ 28.7	30	30	30	30	30	30	30			
			70	L ₁ 27.8	70	70	70	70	70	70	70			
90	14. December 10 ^h 30 ^m a.m.	Hafen von Jidda	0	P ₁ 28.3	0	0	0	0	0	0	0	f	T = 27.0 B = 758.0 Wd = Si ₂	Weisse Schleihe vermischt
			1	P ₂ 28.4	1	1	1	1	1	1	1			
			10	M ₁ 28.0	10	10	10	10	10	10	10			
			30	M ₂ 28.7	30	30	30	30	30	30	30			
			70	L ₁ 27.8	70	70	70	70	70	70	70			

91	14. December Mitternacht bis 12 ³⁰ p.m.	Hafen von Jidda	0 1 2 3 10 Gr	P ₁ P ₂ M ₁ M ₂	20.1 20.2 25.3 24.0	E P P E	1°02'40" 20.8 1°02'55" 28 20.3 20.3 869	1°02'50" 20.8 1°02'55" 28 20.7 27 3945 1°02'50" 20.8 1°02'55" 28 20.7 27 3945 1°02'50" 20.8 1°02'55" 28 20.7 27 3945 1°02'50" 20.8 1°02'55" 28 20.7 27 3945	lb Fa = 5'w	T = 27.9 B = 0 Wd = NW, S ₁	Weisse Scherbe versenkt. Grundwasser schlammig und unrein, daher genommen
92	14. December 4 ⁴⁰ a bis 4 ⁴⁵ p.m.	Hafen von Jidda	0 1 2 5 11 Gr	P ₁ P ₂ M ₁ M ₂	20.1 20.2 25.3 24.0	E P P E	1°02'40" 20.8 1°02'55" 28 20.3 20.3 869	1°02'50" 20.8 1°02'55" 28 20.7 27 3945 1°02'50" 20.8 1°02'55" 28 20.7 27 3945 1°02'50" 20.8 1°02'55" 28 20.7 27 3945 1°02'50" 20.8 1°02'55" 28 20.7 27 3945	lb Fa = 5'w	T = 27.9 B = 0 Wd = NW, S ₁	
93	15. December 5 ⁰⁰ a bis 5 ²⁰ p.m.	Hafen von Jidda	0 1 2 5 11 Gr	P ₁ P ₂ M ₁ M ₂	20.1 20.2 25.3 24.0	E P P E	1°02'40" 20.8 1°02'55" 28 20.3 20.3 869	1°02'50" 20.8 1°02'55" 28 20.7 27 3945 1°02'50" 20.8 1°02'55" 28 20.7 27 3945 1°02'50" 20.8 1°02'55" 28 20.7 27 3945 1°02'50" 20.8 1°02'55" 28 20.7 27 3945	lb Fa = 5'w	T = 27.9 B = 0 Wd = NW, S ₁	
94	31. December Mitternacht bis 12 ³⁰ a m.	Hafen von Jidda	0 1 2 5 11 Gr	P ₁ P ₂ M ₁ M ₂	20.1 20.2 25.3 24.0	E P P E	1°02'40" 20.8 1°02'55" 28 20.3 20.3 869	1°02'50" 20.8 1°02'55" 28 20.7 27 3945 1°02'50" 20.8 1°02'55" 28 20.7 27 3945 1°02'50" 20.8 1°02'55" 28 20.7 27 3945 1°02'50" 20.8 1°02'55" 28 20.7 27 3945	lb Fa = 5'w	T = 27.9 B = 0 Wd = NW, S ₁	
95	21. December 8 ⁴⁰ a bis 10 ¹⁵ a m.	Hafen von Jidda	0 1 2 5 11 Gr	P ₁ P ₂ M ₁ M ₂	20.1 20.2 25.3 24.0	E P P E	1°02'40" 20.8 1°02'55" 28 20.3 20.3 869	1°02'50" 20.8 1°02'55" 28 20.7 27 3945 1°02'50" 20.8 1°02'55" 28 20.7 27 3945 1°02'50" 20.8 1°02'55" 28 20.7 27 3945 1°02'50" 20.8 1°02'55" 28 20.7 27 3945	lb Fa = 5'w	T = 27.9 B = 0 Wd = NW, S ₁	Weisse Scherbe versenkt. Grundwasser schlammig und unrein, daher genommen
96	25. December 8 ⁴⁰ a bis 10 ¹⁵ a m.	Hafen von Jidda	0 1 2 5 11 Gr	P ₁ P ₂ M ₁ M ₂	20.1 20.2 25.3 24.0	E P P E	1°02'40" 20.8 1°02'55" 28 20.3 20.3 869	1°02'50" 20.8 1°02'55" 28 20.7 27 3945 1°02'50" 20.8 1°02'55" 28 20.7 27 3945 1°02'50" 20.8 1°02'55" 28 20.7 27 3945 1°02'50" 20.8 1°02'55" 28 20.7 27 3945	lb Fa = 5'w	T = 27.9 B = 0 Wd = NW, S ₁	
97	25. December 11 ¹⁵ bis 11 ³⁰ a m.	Hafen von Jidda	0 1 2 5 11 Gr	P ₁ P ₂ M ₁ M ₂	20.1 20.2 25.3 24.0	E P P E	1°02'40" 20.8 1°02'55" 28 20.3 20.3 869	1°02'50" 20.8 1°02'55" 28 20.7 27 3945 1°02'50" 20.8 1°02'55" 28 20.7 27 3945 1°02'50" 20.8 1°02'55" 28 20.7 27 3945 1°02'50" 20.8 1°02'55" 28 20.7 27 3945	lb Fa = 5'w	T = 27.9 B = 0 Wd = NW, S ₁	
98	25. December 5 ¹⁵ bis 5 ²⁰ p.m.	Hafen von Jidda	0 1 2 5 11 Gr	P ₁ P ₂ M ₁ M ₂	20.1 20.2 25.3 24.0	E P P E	1°02'40" 20.8 1°02'55" 28 20.3 20.3 869	1°02'50" 20.8 1°02'55" 28 20.7 27 3945 1°02'50" 20.8 1°02'55" 28 20.7 27 3945 1°02'50" 20.8 1°02'55" 28 20.7 27 3945 1°02'50" 20.8 1°02'55" 28 20.7 27 3945	lb Fa = 5'w	T = 27.9 B = 0 Wd = NW, S ₁	
99	27. December 1 ¹⁵ bis 2 ²⁰ p.m.	Hafen von Jidda	0 1 2 5 11 Gr	P ₁ P ₂ M ₁ M ₂	20.1 20.2 25.3 24.0	E P P E	1°02'40" 20.8 1°02'55" 28 20.3 20.3 869	1°02'50" 20.8 1°02'55" 28 20.7 27 3945 1°02'50" 20.8 1°02'55" 28 20.7 27 3945 1°02'50" 20.8 1°02'55" 28 20.7 27 3945 1°02'50" 20.8 1°02'55" 28 20.7 27 3945	lb Fa = 5'w	T = 27.9 B = 0 Wd = NW, S ₁	Weisse Scherbe versenkt

Nummer der Station	Datum und Zeit	Position (λ = Mittellänge v. Greenwich, φ = Nordbreite)	Tiefe in Metern	Sextantemperatur				Spezifisches Gewicht und Salzgehalt				Zustand der Atmosphäre während der Probearbeitung	Anmerkung
				Resultat Instru- ment	Corrig. Ablesung	Densität Schöpf- apparat	Atmosphäre Temp- ratur	Temperatur in 17,5° S	Temperatur in 17,5° S	Temperatur in 17,5° S	Salzgehalt in Proc.		
100	28. December Mitternacht bis 12 ^h 30 ^m a. m.	$\lambda = 10^{\circ} 45'$ $\varphi = 24^{\circ} 0'$	0	P _A 21.5		G	1.02850 24.4 1.02850 24.4 1.02850 24.4 1.02850 24.4	17.5° S 27.5	17.5° S 27.5	17.5° S 27.5	26.3 99%	lb	T = 24.4 Ba = 0 Wd = N ₁
101	28. December 6 ^h 30 ^m bis 8 ^h 30 ^m a. m.	$\lambda = 10^{\circ} 15'$ $\varphi = 24^{\circ} 5'$	0 1 3 10 20 30 40 50 60 70 100 350 1000 1200 Gr	P _A 25.4 P _A 25.4 M ₁₄ 25.5 M ₁₄ 25.5 M ₁₄ 25.4 M ₁₄ 25.4 U ₁ 25.2 U ₁ 25.1 U ₁ 25.0 M ₁₄ 21.5 U ₁ 21.5		G	1.02885 24.4 1.02850 24.4 1.02850 24.4 1.02850 24.4	17.5° S 27.5	17.5° S 27.5	17.5° S 27.5	27.3 99%	lb, dann lb Pa = 3.0	T = 24.0 Ba = 701.4 Wd = N ₁
102	28. December 1 ^h 14 ^m 30 ^s p. m.	$\lambda = 10^{\circ} 32'$ $\varphi = 24^{\circ} 15'$	0 1 3 10 20 30 40 50 60 70 100 350 1000 1200 Gr	P _A 25.0 P _A 25.1 P _A 25.1 M ₁₄ 25.2 M ₁₄ 25.2 M ₁₄ 25.2 U ₁ 25.2 U ₁ 25.2 U ₁ 25.0 M ₁₄ 21.5 U ₁ 21.0		G P S S	1.02900 24.4 1.02850 24.4 1.02850 24.4 1.02850 24.4 1.02910 24.4 1.02850 24.4 1.02850 24.4 1.02850 24.4 1.02920 24.4 1.02850 24.4 1.02850 24.4 1.02850 24.4 1.02930 24.4 1.02850 24.4 1.02850 24.4 1.02850 24.4	17.5° S 27.5	17.5° S 27.5	17.5° S 27.5	27.7 28 404 27.0 28 404 27.7 28 404 27.7 28 404	b, dann lb Pa = 3.0	T = 24 Ba = 701.2 Wd = NW ₁ bis NW ₂
103	29. December Mitternacht bis 1 ^h 30 ^m a. m.	$\lambda = 10^{\circ} 30'$ $\varphi = 24^{\circ} 30'$	0	P _A 25.2		G	1.02935 24.4 1.02850 24.4 1.02850 24.4 1.02850 24.4	17.5° S 27.5	17.5° S 27.5	17.5° S 27.5	27.4 27 400%	lb	T = 25 Ba = 701.5 Wd = N ₁ bis N ₂
104	29. December 0 ^h 30 ^m bis 2 ^h 25 ^m a. m.	$\lambda = 10^{\circ} 21'$ $\varphi = 24^{\circ} 47'$	0 1 3 10 20 30 40 50 60 70 100 350 1000 1200 Gr	P _A 24.5 P _A 24.7 M ₁₄ 25.0 M ₁₄ 25.0 M ₁₄ 25.0 M ₁₄ 24.9 M ₁₄ 24.7 U ₁ 21.7		G P S	1.02930 24.5 1.02905 24.5 1.02905 24.5 1.02905 24.5 1.02940 24.5 1.02905 24.5 1.02905 24.5 1.02905 24.5 1.02955 24.5 1.02905 24.5 1.02905 24.5 1.02905 24.5	17.5° S 27.5	17.5° S 27.5	17.5° S 27.5	27.7 28 404 27.7 28 404 27.7 28 404	lb Pa = 2.968	T = 22.1 Ba = 697.3 Wd = NW ₁

105	30. December 9 ^h bis 0 ^h 30 ^m a. m.	0 1 2 3 4 5 6 7 8 9 10 11 12 Gr	P ₁ P ₂ P ₃ M ₁ M ₂ M ₃ M ₄ M ₅ M ₆ M ₇ M ₈ M ₉ M _{10M_{11M₁₂}}	24.6 24.7 24.7 24.5 24.6 24.6 24.6 24.6 24.6 24.6 24.6 24.6 24.6 24.6 24.6	E E E E E E E E E E E E E E E	1° 02' 50.01 1° 02' 50.01 1° 02' 50.01 1° 02' 50.01 1° 02' 50.01 1° 02' 50.01 1° 02' 50.01 1° 02' 50.01 1° 02' 50.01 1° 02' 50.01 1° 02' 50.01 1° 02' 50.01 1° 02' 50.01 1° 02' 50.01 1° 02' 50.01	24.7 24.7 24.7 24.5 24.6 24.6 24.6 24.6 24.6 24.6 24.6 24.6 24.6 24.6 24.6	28.4 28.4 28.4 28.4 28.4 28.4 28.4 28.4 28.4 28.4 28.4 28.4 28.4 28.4 28.4	T = 24.9 B = 24.9 Wd = 24.9 bis NNW ₁ bis NNW ₂	
106	30. December 12 ^h 30 ^m p. m.	0 1 2 3 4 5 6 7 8 9 10 11 12 Gr	P ₁ P ₂ P ₃ M ₁ M ₂ M ₃ M ₄ M ₅ M ₆ M ₇ M ₈ M ₉ M _{10M_{11M₁₂}}	24.8 24.8 24.8 24.8 24.8 24.8 24.8 24.8 24.8 24.8 24.8 24.8 24.8 24.8 24.8	E E E E E E E E E E E E E E E	1° 02' 50.01 1° 02' 50.01 1° 02' 50.01 1° 02' 50.01 1° 02' 50.01 1° 02' 50.01 1° 02' 50.01 1° 02' 50.01 1° 02' 50.01 1° 02' 50.01 1° 02' 50.01 1° 02' 50.01 1° 02' 50.01 1° 02' 50.01 1° 02' 50.01	24.8 24.8 24.8 24.8 24.8 24.8 24.8 24.8 24.8 24.8 24.8 24.8 24.8 24.8 24.8	28.4 28.4 28.4 28.4 28.4 28.4 28.4 28.4 28.4 28.4 28.4 28.4 28.4 28.4 28.4	T = 25.0 B = 25.0 Wd = 25.0 bis NNW ₁ bis NNW ₂	
107	30. December 4 ^h 30 ^m bis 5 ^h p. m.	0 1 2 3 4 5 6 7 8 9 10 11 12 Gr	P ₁ P ₂ P ₃ M ₁ M ₂ M ₃ M ₄ M ₅ M ₆ M ₇ M ₈ M ₉ M _{10M_{11M₁₂}}	24.9 24.9 24.9 24.9 24.9 24.9 24.9 24.9 24.9 24.9 24.9 24.9 24.9 24.9 24.9	E E E E E E E E E E E E E E E	1° 02' 50.01 1° 02' 50.01 1° 02' 50.01 1° 02' 50.01 1° 02' 50.01 1° 02' 50.01 1° 02' 50.01 1° 02' 50.01 1° 02' 50.01 1° 02' 50.01 1° 02' 50.01 1° 02' 50.01 1° 02' 50.01 1° 02' 50.01 1° 02' 50.01	24.9 24.9 24.9 24.9 24.9 24.9 24.9 24.9 24.9 24.9 24.9 24.9 24.9 24.9 24.9	28.4 28.4 28.4 28.4 28.4 28.4 28.4 28.4 28.4 28.4 28.4 28.4 28.4 28.4 28.4	T = 24.4 B = 24.4 Wd = 24.4 bis S bis S	
108	1. Jänner 1896 1 ^h bis 1 ^h 30 ^m	0 1 2 3 4 5 6 7 8 9 10 11 12 Gr	P ₁ P ₂ P ₃ M ₁ M ₂ M ₃ M ₄ M ₅ M ₆ M ₇ M ₈ M ₉ M _{10M_{11M₁₂}}	20.4 20.4 20.4 20.4 20.4 20.4 20.4 20.4 20.4 20.4 20.4 20.4 20.4 20.4 20.4	E E E E E E E E E E E E E E E	1° 02' 50.01 1° 02' 50.01 1° 02' 50.01 1° 02' 50.01 1° 02' 50.01 1° 02' 50.01 1° 02' 50.01 1° 02' 50.01 1° 02' 50.01 1° 02' 50.01 1° 02' 50.01 1° 02' 50.01 1° 02' 50.01 1° 02' 50.01 1° 02' 50.01	20.4 20.4 20.4 20.4 20.4 20.4 20.4 20.4 20.4 20.4 20.4 20.4 20.4 20.4 20.4	28.4 28.4 28.4 28.4 28.4 28.4 28.4 28.4 28.4 28.4 28.4 28.4 28.4 28.4 28.4	T = 20.0 B = 20.0 Wd = 20.0 bis S bis S	
109	2. Jänner Mitternacht bis 1 ^h 30 ^m a. m.	0 1 2 3 4 5 6 7 8 9 10 11 12 Gr	P ₁ P ₂ P ₃ M ₁ M ₂ M ₃ M ₄ M ₅ M ₆ M ₇ M ₈ M ₉ M _{10M_{11M₁₂}}	21.0 21.0 21.0 21.0 21.0 21.0 21.0 21.0 21.0 21.0 21.0 21.0 21.0 21.0 21.0	E E E E E E E E E E E E E E E	1° 02' 50.01 1° 02' 50.01 1° 02' 50.01 1° 02' 50.01 1° 02' 50.01 1° 02' 50.01 1° 02' 50.01 1° 02' 50.01 1° 02' 50.01 1° 02' 50.01 1° 02' 50.01 1° 02' 50.01 1° 02' 50.01 1° 02' 50.01 1° 02' 50.01	21.0 21.0 21.0 21.0 21.0 21.0 21.0 21.0 21.0 21.0 21.0 21.0 21.0 21.0 21.0	28.4 28.4 28.4 28.4 28.4 28.4 28.4 28.4 28.4 28.4 28.4 28.4 28.4 28.4 28.4	T = 19.7 B = 19.7 Wd = 19.7 bis NNW ₁ bis NNW ₂	
110	2. Jänner 2 ^h 10 ^m bis 2 ^h 35 ^m a. m.	0 1 2 3 4 5 6 7 8 9 10 11 12 Gr	P ₁ P ₂ P ₃ M ₁ M ₂ M ₃ M ₄ M ₅ M ₆ M ₇ M ₈ M ₉ M _{10M_{11M₁₂}}	22.9 23.7 23.8 23.8 23.8 23.8 23.8 23.8 23.8 23.8 23.8 23.8 23.8 23.8 23.8	E E E E E E E E E E E E E E E	1° 02' 50.01 1° 02' 50.01 1° 02' 50.01 1° 02' 50.01 1° 02' 50.01 1° 02' 50.01 1° 02' 50.01 1° 02' 50.01 1° 02' 50.01 1° 02' 50.01 1° 02' 50.01 1° 02' 50.01 1° 02' 50.01 1° 02' 50.01 1° 02' 50.01	22.9 23.7 23.8 23.8 23.8 23.8 23.8 23.8 23.8 23.8 23.8 23.8 23.8 23.8 23.8	28.4 28.4 28.4 28.4 28.4 28.4 28.4 28.4 28.4 28.4 28.4 28.4 28.4 28.4 28.4	T = 22.7 B = 22.7 Wd = 22.7 bis NNW ₁ bis NNW ₂	Weisse Scheibe versenkt Schieber in 300 m nördl. ausströmendes Unterwasser
111	2. Jänner 1 ^h 1 ^m bis 1 ^h 30 ^m a. m.	0 1 2 3 4 5 6 7 8 9 10 11 12 Gr	P ₁ P ₂ P ₃ M ₁ M ₂ M ₃ M ₄ M ₅ M ₆ M ₇ M ₈ M ₉ M _{10M_{11M₁₂}}	24.0 24.0 24.0 24.0 24.0 24.0 24.0 24.0 24.0 24.0 24.0 24.0 24.0 24.0 24.0	E E E E E E E E E E E E E E E	1° 02' 50.01 1° 02' 50.01 1° 02' 50.01 1° 02' 50.01 1° 02' 50.01 1° 02' 50.01 1° 02' 50.01 1° 02' 50.01 1° 02' 50.01 1° 02' 50.01 1° 02' 50.01 1° 02' 50.01 1° 02' 50.01 1° 02' 50.01 1° 02' 50.01	24.0 24.0 24.0 24.0 24.0 24.0 24.0 24.0 24.0 24.0 24.0 24.0 24.0 24.0 24.0	28.4 28.4 28.4 28.4 28.4 28.4 28.4 28.4 28.4 28.4 28.4 28.4 28.4 28.4 28.4	T = 22.7 B = 22.7 Wd = 22.7 bis NNW ₁ bis NNW ₂	
112	4. Jänner Mitternacht bis 1 ^h 30 ^m a. m.	0 1 2 3 4 5 6 7 8 9 10 11 12 Gr	P ₁ P ₂ P ₃ M ₁ M ₂ M ₃ M ₄ M ₅ M ₆ M ₇ M ₈ M ₉ M _{10M_{11M₁₂}}	22.0 22.0 22.0 22.0 22.0 22.0 22.0 22.0 22.0 22.0 22.0 22.0 22.0 22.0 22.0	E E E E E E E E E E E E E E E	1° 02' 50.01 1° 02' 50.01 1° 02' 50.01 1° 02' 50.01 1° 02' 50.01 1° 02' 50.01 1° 02' 50.01 1° 02' 50.01 1° 02' 50.01 1° 02' 50.01 1° 02' 50.01 1° 02' 50.01 1° 02' 50.01 1° 02' 50.01 1° 02' 50.01	22.0 22.0 22.0 22.0 22.0 22.0 22.0 22.0 22.0 22.0 22.0 22.0 22.0 22.0 22.0	28.4 28.4 28.4 28.4 28.4 28.4 28.4 28.4 28.4 28.4 28.4 28.4 28.4 28.4 28.4	T = 21.7 B = 21.7 Wd = 21.7 bis S bis S	
113	4. Jänner 0 ^h bis 8 ^h 30 ^m p. m.	0 1 2 3 4 5 6 7 8 9 10 11 12 Gr	P ₁ P ₂ P ₃ M ₁ M ₂ M ₃ M ₄ M ₅ M ₆ M ₇ M ₈ M ₉ M _{10M_{11M₁₂}}	21.3 21.3 21.3 21.3 21.3 21.3 21.3 21.3 21.3 21.3 21.3 21.3 21.3 21.3 21.3	E E E E E E E E E E E E E E E	1° 02' 50.01 1° 02' 50.01 1° 02' 50.01 1° 02' 50.01 1° 02' 50.01 1° 02' 50.01 1° 02' 50.01 1° 02' 50.01 1° 02' 50.01 1° 02' 50.01 1° 02' 50.01 1° 02' 50.01 1° 02' 50.01 1° 02' 50.01 1° 02' 50.01	21.3 21.3 21.3 21.3 21.3 21.3 21.3 21.3 21.3 21.3 21.3 21.3 21.3 21.3 21.3	28.4 28.4 28.4 28.4 28.4 28.4 28.4 28.4 28.4 28.4 28.4 28.4 28.4 28.4 28.4	T = 21.3 B = 21.3 Wd = 21.3 bis NNW ₁ bis NNW ₂	Weisse Scheibe versenkt

Nummer der Station	Datum und Zeit	Position (Länge östlich von Greenwich, Breite nördlich von Nordbreite)	Tiefe in Metern	Sextantenzeit		Specifics Gewicht und Salzgehalt										Zustand und Farbe der See	Zustand der Atmosphäre während der Beobachtung	Anmerkung
				Benutzte Instrumente	Corr. Abw. u. d. Zeit	Benutzter Schöpf. Apparat	Atmosph. Anhöhe	Temperatur	S ^{17.5°}	S ^{17.5°}	S ^{17.5°}	S ^{17.5°}	S ^{17.5°}	S ^{17.5°}	S ^{17.5°}			
114	4. Jänner 2 ^h 11 ^m bis 2 ^h 43 ^m p.m.	$\lambda = 30^{\circ} 10'$ $\varphi = 25^{\circ} 43'$	0	P ₁	25.2	3	1.03800	24.9	1.03041	1.02850	20	272	27	398				Weisse Schiebele vermischt
			2	P ₁	25.4													Ein M. vermischt
			10	M ₁	25.4	P	1.02850	24.9	1.03050	1.02853	20	273	27	396				Minimale Tiefen: 1
			20	M ₁	25.4													Thermometer beim
			40	U ₁	25.3													Auflösen
115	5. Jänner Mittnacht bis 1 ^h 30 ^m a.m.	$\lambda = 30^{\circ} 31' 27''$ $\varphi = 25^{\circ} 22' 0''$	0	P ₁	24.9	E	1.03900	22.8	1.03038	1.02845	28	272	27	396				unbrauchbar geworden
			10	P ₁	24.9													
			20	P ₁	24.2	E	1.03900	22.8	1.03150	1.02802	29	271	27	395				
			40	P ₁	24.2													
			5 Gr	M ₁	24.2	P	1.03900	22.8	1.03053	1.02853	29	274	27	392				
117	6. Jänner Mittacht bis 1 ^h 30 ^m a.m.	Vor Anker bei der Insel Haccan	0	P ₁	25.5	E	1.03800	21.5	1.03995	1.02792	28	266	27	395				
			10	P ₁	25.2													
			20	P ₁	24.6													
			5 Gr	M ₁	24.6	S	1.03855	21.5	1.03051	1.02874	29	274	27	396				
			10 Gr	M ₁	24.1													
118	7. Jänner 8 ^h 30 ^m bis 9 ^h 30 ^m a.m.		0	P ₁	25.3	E	1.03850	22.3	1.03001	1.02802	28	267	27	393				
			10	P ₁	25.3													
			20	P ₁	25.5													
			40	M ₁	25.2	P	1.03850	22.3	1.03001	1.02802	28	267	27	393				
			5 Gr	M ₁	25.3													
119	8. Jänner 11 ^h 30 ^m bis 1 ^h 30 ^m a.m.	$\lambda = 30^{\circ} 25'$ $\varphi = 24^{\circ} 55'$	0	P ₁	25.1	E	1.03850	24.0	1.03040	1.02851	29	272	27	398				
			10	P ₁	25.2													
			20	M ₁	25.1	P	1.03855	24.4	1.03040	1.02851	29	272	27	398				
			40	U ₁	25.0													
			70	U ₁	25.0													

Nummer der Station	Datum und Zeit	Position (λ = östliche Länge von Greenwich, φ = Nordbreite)	Tiefe in Metern	Sextantenur		Spezifisches Gewicht und Salzigkeit										Zustand der Atmosphäre während der Beobachtung	Anmerkung	
				Baromet.-Instru- ment	Corrig. Ablesung	Baromet. Schöp- f-Apparat	Zeitgehörige Temperatur	$S^{17.5^\circ}$	$S^{17.5^\circ}$	Barom. Druck in Atmosph.-Druck	$S^{17.5^\circ}$	Barom. Druck in Atmosph.-Druck	Salzigkeit in Proc.	Zustand und Farbe der See				
129	13. Jänner 3 ^h 55 ^m bis 4 ^h 40 ^m p.m.	$\lambda = 34^\circ 40'$ $\varphi = 20^\circ 10' 42''$	0	P ₁	23.2	P	1 ^o 02560 21.0	1 ^o 02561	1 ^o 02545	20	282	25	4.035	F _a = 4 tch lb	T = 24.3 Ba = 704.4 B = 0 Wd = NW ₃	Strom setzt lang- sam abwärts, Küste aufwärts, Wiese Schiffe verweht		
			2	P ₂	23.4	P	1 ^o 02560 22.8	1 ^o 03083	1 ^o 02945	30	282	25	4.035					
			10	M ₁₆	23.5	F	1 ^o 02560 22.8	1 ^o 03083	1 ^o 02945	30	282	25	4.035					
			20	M ₁₆	23.2	S	1 ^o 02560 22.5	1 ^o 03060	1 ^o 02950	30	282	25	4.034					
			40	M ₁₆	23.2	S	1 ^o 02560 21.7	1 ^o 03042	1 ^o 02975	34	285	30	4.051					
			100	M ₁₆	23.2	S	1 ^o 02565 22.0	1 ^o 03149	1 ^o 03025	34	290	33	4.005					
130	13. Jänner 9 ^h bis 9 ^h 30 ^m p.m.	$\lambda = 14^\circ 08'$ $\varphi = 20^\circ 30'$	0	P ₁	22.3	E	1 ^o 02590 22.0	1 ^o 03100	1 ^o 02985	30	286	20	4.001	lb	T = 21.0 B = 0 Wd = SW ₁	Strom setzt lang- sam abwärts, Küste aufwärts, Wiese Schiffe verweht		
			2	P ₂	22.9	E	1 ^o 02570 22.0	1 ^o 03076	1 ^o 02960	30	283	25	4.035					
			10	M ₁₆	23.4	F	1 ^o 02594 22.0	1 ^o 03099	1 ^o 02945	30	282	25	4.006				F _a = 2 tch lb	
			20	M ₁₆	23.4	F	1 ^o 02595 22.0	1 ^o 03100	1 ^o 02905	34	288	29	4.011					
			40	M ₁₆	23.1	S	1 ^o 02560 21.9	1 ^o 03105	1 ^o 03011	34	288	27	4.001					
			100	M ₁₆	21.5	S	1 ^o 02560 21.9	1 ^o 03105	1 ^o 03011	34	288	27	4.001					
132	15. Jänner 8 ^h 30 ^m bis 9 ^h a.m.	$\lambda = 34^\circ 27'$ $\varphi = 20^\circ 28'$	0	P ₁	23.3	E	1 ^o 02550 23.0	1 ^o 02582	1 ^o 02540	20	281	25	4.037	ldt	T = 24.8 B = 0 Wd = NW ₂	Wiese Schiffe verweht		
			1	P ₂	23.3	F	1 ^o 02562 23.0	1 ^o 02586	1 ^o 02551	30	282	25	4.045				F _a = 5 tch ldt	
			2	P ₂	23.3	F	1 ^o 02568 23.3	1 ^o 02688	1 ^o 02560	30	283	25	4.035					
			10	M ₁₆	22.8	E	1 ^o 02585 21.6	1 ^o 02685	1 ^o 02545	30	282	25	4.044					F _a = 5 w t
			20	M ₁₆	23.4	F	1 ^o 02585 21.7	1 ^o 02687	1 ^o 02550	30	282	25	4.044					
			100	M ₁₆	23.1	S	1 ^o 02595 21.7	1 ^o 02684	1 ^o 02546	30	284	25	4.006					
133	15. Jänner 3 ^h 40 ^m bis 4 ^h p.m.	Hafen von Kessir vor Anker	0	P ₁	23.4	E	1 ^o 02515 24.4	1 ^o 02684	1 ^o 02543	30	281	25	4.046	t	T = 23.7 B = 4 bis 5 Wd = F ₃	T = 24.8 B = 8 bis 7 Wd = SE ₁		
			1	P ₂	23.4	E	1 ^o 02515 24.4	1 ^o 02684	1 ^o 02543	30	281	25	4.046				F _a = 5 w t	
			2	P ₂	23.4	F	1 ^o 02510 24.5	1 ^o 02685	1 ^o 02552	30	282	25	4.041					
			10	M ₁₆	23.0	F	1 ^o 02515 24.5	1 ^o 02690	1 ^o 02561	30	283	25	4.056					
			20	M ₁₆	23.0	F	1 ^o 02510 24.5	1 ^o 02685	1 ^o 02552	30	282	25	4.041					
			100	M ₁₆	23.0	F	1 ^o 02515 24.5	1 ^o 02690	1 ^o 02561	30	283	25	4.056					
134	16. Jänner 12 ^h 50 ^m bis 1 ^h 45 ^m p.m.	$\lambda = 34^\circ 27'$ $\varphi = 20^\circ 28'$	0	P ₁	23.4	E	1 ^o 02515 24.4	1 ^o 02684	1 ^o 02543	30	281	25	4.046	lb	T = 24.8 B = 8 bis 7 Wd = SE ₁	T = 24.8 B = 8 bis 7 Wd = SE ₁		
			1	P ₂	23.4	E	1 ^o 02515 24.4	1 ^o 02684	1 ^o 02543	30	281	25	4.046				F _a = 5 w t	
			2	P ₂	23.4	F	1 ^o 02510 24.5	1 ^o 02685	1 ^o 02552	30	282	25	4.041					
			10	M ₁₆	23.0	F	1 ^o 02515 24.5	1 ^o 02690	1 ^o 02561	30	283	25	4.056					
			20	M ₁₆	23.0	F	1 ^o 02510 24.5	1 ^o 02685	1 ^o 02552	30	282	25	4.041					
			100	M ₁₆	23.0	F	1 ^o 02515 24.5	1 ^o 02690	1 ^o 02561	30	283	25	4.056					

135	10. Jänner Mittag bis 12 ^h 30 ^m p. m.	$\lambda = 34^{\circ} 24'$ $\varphi = 10^{\circ} 10'$	0	P ₁	23.1	E	1.0305013.81	1.030701.03043	29	28	4.036	$\lambda = 19^{\circ} 0'$ bis 19 ^h 0 ^m Wd = N ₁ bis N ₂
136	10. Jänner 5 ^h 30 ^m bis 5 ^h 40 ^m p. m.	$\lambda = 35^{\circ} 44'$ $\varphi = 10^{\circ} 51'$	0 1 2 3 4 5 6 7 8 9 10 11 12 13 14 15 16 17 18 19 20 21 22 23 24 25 26 27 28 29 30 31 32 33 34 35 36 37 38 39 40 41 42 43 44 45 46 47 48 49 50 51 52 53 54 55 56 57 58 59 60 61 62 63 64 65 66 67 68 69 70 71 72 73 74 75 76 77 78 79 80 81 82 83 84 85 86 87 88 89 90 91 92 93 94 95 96 97 98 99 100	P ₁ P ₂ P ₃ P ₄ P ₅ P ₆ P ₇ P ₈ P ₉ P ₁₀ P ₁₁ P ₁₂ P ₁₃ P ₁₄ P ₁₅ P ₁₆ P ₁₇ P ₁₈ P ₁₉ P ₂₀ P ₂₁ P ₂₂ P ₂₃ P ₂₄ P ₂₅ P ₂₆ P ₂₇ P ₂₈ P ₂₉ P ₃₀ P ₃₁ P ₃₂ P ₃₃ P ₃₄ P ₃₅ P ₃₆ P ₃₇ P ₃₈ P ₃₉ P ₄₀ P ₄₁ P ₄₂ P ₄₃ P ₄₄ P ₄₅ P ₄₆ P ₄₇ P ₄₈ P ₄₉ P ₅₀ P ₅₁ P ₅₂ P ₅₃ P ₅₄ P ₅₅ P ₅₆ P ₅₇ P ₅₈ P ₅₉ P ₆₀ P ₆₁ P ₆₂ P ₆₃ P ₆₄ P ₆₅ P ₆₆ P ₆₇ P ₆₈ P ₆₉ P ₇₀ P ₇₁ P ₇₂ P ₇₃ P ₇₄ P ₇₅ P ₇₆ P ₇₇ P ₇₈ P ₇₉ P ₈₀ P ₈₁ P ₈₂ P ₈₃ P ₈₄ P ₈₅ P ₈₆ P ₈₇ P ₈₈ P ₈₉ P ₉₀ P ₉₁ P ₉₂ P ₉₃ P ₉₄ P ₉₅ P ₉₆ P ₉₇ P ₉₈ P ₉₉ P ₁₀₀	1.0305514.01	1.030871.03094	29	28	4.041	Wd = N ₁ bis N ₂		
137	20. Jänner Mitternacht bis 12 ^h 30 ^m a. m.	$\lambda = 34^{\circ} 11'$ $\varphi = 27^{\circ} 17'$	0	P ₁	22.5	E	1.0306515.61	1.030901.03070	30	28	4.036	T = 19.2 B = 1 Wd = N ₁ bis N ₂
138	20. Jänner 6 ^h bis 6 ^h 30 ^m a. m.	$\lambda = 35^{\circ} 58'$ $\varphi = 27^{\circ} 52'$	0	P ₁	21.4	E	1.0306014.21	1.030881.03094	30	26	4.043	T = 18.2 B = 1 Wd = N ₁ bis N ₂
139	20. Jänner Mittag bis 12 ^h 30 ^m a. m.	$\lambda = 37^{\circ} 20'$ $\varphi = 28^{\circ} 3'$	0	P ₁	21.1	E	1.0306314.71	1.030901.03087	30	26	4.042	T = 18.2 B = 1 Wd = N ₁ bis N ₂
140	20. Jänner 6 ^h bis 6 ^h 30 ^m p. m.	$\lambda = 38^{\circ} 41'$ $\varphi = 28^{\circ} 42'$	0	P ₁	18.5	E	1.0311310.01	1.031181.03110	32	30	4.117	T = 19.4 B = 1 Wd = N ₁ bis N ₂
141	21. Jänner Mitternacht bis 12 ^h 30 ^m a. m.	$\lambda = 32^{\circ} 41'$ $\varphi = 29^{\circ} 14'$	0	P ₁	17.4	E	1.0306021.81	1.030951.03106	32	30	4.116	T = 18.8 B = 1 Wd = N ₁ bis N ₂
142	21. Jänner 7 ^h bis 7 ^h 30 ^m a. m.	$\lambda = 32^{\circ} 31'$ $\varphi = 29^{\circ} 47'$	0	P ₁	10.7	E	1.0307824.11	1.030971.03083	32	30	4.116	T = 18.8 B = 1 Wd = N ₁ bis N ₂
143	31. Jänner 12 ^h bis 12 ^h 30 ^m p. m.	Suez in Portbecken vor Anker	0 1 2 3 4 5 6 7 8 9 10 11 12 13 14 15 16 17 18 19 20 21 22 23 24 25 26 27 28 29 30 31 32 33 34 35 36 37 38 39 40 41 42 43 44 45 46 47 48 49 50 51 52 53 54 55 56 57 58 59 60 61 62 63 64 65 66 67 68 69 70 71 72 73 74 75 76 77 78 79 80 81 82 83 84 85 86 87 88 89 90 91 92 93 94 95 96 97 98 99 100	P ₁ P ₂ P ₃ P ₄ P ₅ P ₆ P ₇ P ₈ P ₉ P ₁₀ P ₁₁ P ₁₂ P ₁₃ P ₁₄ P ₁₅ P ₁₆ P ₁₇ P ₁₈ P ₁₉ P ₂₀ P ₂₁ P ₂₂ P ₂₃ P ₂₄ P ₂₅ P ₂₆ P ₂₇ P ₂₈ P ₂₉ P ₃₀ P ₃₁ P ₃₂ P ₃₃ P ₃₄ P ₃₅ P ₃₆ P ₃₇ P ₃₈ P ₃₉ P ₄₀ P ₄₁ P ₄₂ P ₄₃ P ₄₄ P ₄₅ P ₄₆ P ₄₇ P ₄₈ P ₄₉ P ₅₀ P ₅₁ P ₅₂ P ₅₃ P ₅₄ P ₅₅ P ₅₆ P ₅₇ P ₅₈ P ₅₉ P ₆₀ P ₆₁ P ₆₂ P ₆₃ P ₆₄ P ₆₅ P ₆₆ P ₆₇ P ₆₈ P ₆₉ P ₇₀ P ₇₁ P ₇₂ P ₇₃ P ₇₄ P ₇₅ P ₇₆ P ₇₇ P ₇₈ P ₇₉ P ₈₀ P ₈₁ P ₈₂ P ₈₃ P ₈₄ P ₈₅ P ₈₆ P ₈₇ P ₈₈ P ₈₉ P ₉₀ P ₉₁ P ₉₂ P ₉₃ P ₉₄ P ₉₅ P ₉₆ P ₉₇ P ₉₈ P ₉₉ P ₁₀₀	1.0312215.71	1.03131.03123	32	31	4.112	T = 14.8 B = 1 Wd = N ₁ bis N ₂		
144	1. Februar 12 ^h 30 ^m p. m.	$\lambda = 33^{\circ} 33'$ $\varphi = 28^{\circ} 38'$	0	P ₁	17.0	E	1.0312017.01	1.031191.03120	32	30	4.115	T = 15.9 B = 2 bis 3 Wd = N ₁ bis N ₂
145	3. Februar 12 ^h 30 ^m bis 3 ^h 45 ^m p. m.	$\lambda = 33^{\circ} 41'$ $\varphi = 29^{\circ} 24'$	0 10 20 30 40 50 60 70 80 90 100	P ₁ P ₂ P ₃ P ₄ P ₅ P ₆ P ₇ P ₈ P ₉ P ₁₀ P ₁₁ P ₁₂ P ₁₃ P ₁₄ P ₁₅ P ₁₆ P ₁₇ P ₁₈ P ₁₉ P ₂₀ P ₂₁ P ₂₂ P ₂₃ P ₂₄ P ₂₅ P ₂₆ P ₂₇ P ₂₈ P ₂₉ P ₃₀ P ₃₁ P ₃₂ P ₃₃ P ₃₄ P ₃₅ P ₃₆ P ₃₇ P ₃₈ P ₃₉ P ₄₀ P ₄₁ P ₄₂ P ₄₃ P ₄₄ P ₄₅ P ₄₆ P ₄₇ P ₄₈ P ₄₉ P ₅₀ P ₅₁ P ₅₂ P ₅₃ P ₅₄ P ₅₅ P ₅₆ P ₅₇ P ₅₈ P ₅₉ P ₆₀ P ₆₁ P ₆₂ P ₆₃ P ₆₄ P ₆₅ P ₆₆ P ₆₇ P ₆₈ P ₆₉ P ₇₀ P ₇₁ P ₇₂ P ₇₃ P ₇₄ P ₇₅ P ₇₆ P ₇₇ P ₇₈ P ₇₉ P ₈₀ P ₈₁ P ₈₂ P ₈₃ P ₈₄ P ₈₅ P ₈₆ P ₈₇ P ₈₈ P ₈₉ P ₉₀ P ₉₁ P ₉₂ P ₉₃ P ₉₄ P ₉₅ P ₉₆ P ₉₇ P ₉₈ P ₉₉ P ₁₀₀	1.0311917.01	1.031181.03119	32	30	4.117	Strom stark nach NW. Temperatur beobachtungen Wd = N ₁ bis N ₂ bis N ₃ bis N ₄ bis N ₅ bis N ₆ bis N ₇ bis N ₈ bis N ₉ bis N ₁₀ bis N ₁₁ bis N ₁₂ bis N ₁₃ bis N ₁₄ bis N ₁₅ bis N ₁₆ bis N ₁₇ bis N ₁₈ bis N ₁₉ bis N ₂₀ bis N ₂₁ bis N ₂₂ bis N ₂₃ bis N ₂₄ bis N ₂₅ bis N ₂₆ bis N ₂₇ bis N ₂₈ bis N ₂₉ bis N ₃₀ bis N ₃₁ bis N ₃₂ bis N ₃₃ bis N ₃₄ bis N ₃₅ bis N ₃₆ bis N ₃₇ bis N ₃₈ bis N ₃₉ bis N ₄₀ bis N ₄₁ bis N ₄₂ bis N ₄₃ bis N ₄₄ bis N ₄₅ bis N ₄₆ bis N ₄₇ bis N ₄₈ bis N ₄₉ bis N ₅₀ bis N ₅₁ bis N ₅₂ bis N ₅₃ bis N ₅₄ bis N ₅₅ bis N ₅₆ bis N ₅₇ bis N ₅₈ bis N ₅₉ bis N ₆₀ bis N ₆₁ bis N ₆₂ bis N ₆₃ bis N ₆₄ bis N ₆₅ bis N ₆₆ bis N ₆₇ bis N ₆₈ bis N ₆₉ bis N ₇₀ bis N ₇₁ bis N ₇₂ bis N ₇₃ bis N ₇₄ bis N ₇₅ bis N ₇₆ bis N ₇₇ bis N ₇₈ bis N ₇₉ bis N ₈₀ bis N ₈₁ bis N ₈₂ bis N ₈₃ bis N ₈₄ bis N ₈₅ bis N ₈₆ bis N ₈₇ bis N ₈₈ bis N ₈₉ bis N ₉₀ bis N ₉₁ bis N ₉₂ bis N ₉₃ bis N ₉₄ bis N ₉₅ bis N ₉₆ bis N ₉₇ bis N ₉₈ bis N ₉₉ bis N ₁₀₀		

Nummer der Station	Datum und Zeit	Position (λ = östliche Länge von Greenwich, φ = nördliche Breite)	Tiefe in Metern ³	Barometrisches Instru- ment ⁴	Form. Ablesung	Reduzierter Schöpf- apparat ⁵	Asymmetrie-Angabe	Spezifisches Gewicht und Salzgehalt			Zustand der Atmosphäre während der Beobachtung ²	Anmerkung
								Wasser-Temp. S ^{17,5°}	S ^{17,5°} im freien Tauch	Salzgehalt in Promille		
140	4. Februar Mitternacht bis 12 ^h 30 ^m a. m.	$\lambda = 33^{\circ} 4' 30''$ $\varphi = 28^{\circ} 28' 0''$	0	P ₂	27.4	E	1.0310	10.01	1.0113	31.300	lb	T = 10.7 Wd = N. bis N ₁ Strom setzt von S nach N
141	4. Februar 8 ^h 30 ^m bis 2 ^h 30 ^m p. m.	$\lambda = 33^{\circ} 45' 0''$ $\varphi = 27^{\circ} 48' 30''$	0	P ₂	20.9	E	1.0286	12.01	1.0203	30.287	lb	T = 15.4 Wd = N Stromwechsel S nach N dem Auszug des Gefäßes von N nach S
142	4. Februar Mittag bis 12 ^h 30 ^m p. m.	$\lambda = 34^{\circ} 2' 0''$ $\varphi = 27^{\circ} 30''$	0	P ₁	21.5	E	1.0202	10.01	1.0205	30.284	lb	T = 18.2 Wd = NE ₁
143	4. Februar 3 ^h 15 ^m bis 4 ^h p. m.	$\lambda = 34^{\circ} 30''$ $\varphi = 27^{\circ} 25''$	0	P ₂	22.0	E	1.0205	10.01	1.0215	29.280	lb	T = 10.2 Wd = NE ₁ Wiese Schiefe versenkt.
144	5. Februar Mitternacht bis 12 ^h 30 ^m a. m.	$\lambda = 34^{\circ} 54' 0''$ $\varphi = 27^{\circ} 23' 0''$	0	P ₂	21.0	E	1.0250	15.34	1.0287	30.286	lb	T = 19.0 Wd = N ₁ NE ₁
145	5. Februar 0 ^h 24 ^m bis 2 ^h 10 ^m a. m.	$\lambda = 35^{\circ} 17' 0''$ $\varphi = 27^{\circ} 24' 0''$	0	P ₂	21.0	E	1.0285	20.01	1.0255	29.281	lb	T = 10.0 Wd = 200.4 Wiese Schiefe versenkt
146	5. Februar 2 ^h 10 ^m bis 4 ^h 10 ^m p. m.	$\lambda = 35^{\circ} 17' 0''$ $\varphi = 27^{\circ} 24' 0''$	0	P ₂	21.0	E	1.0285	20.01	1.0255	29.281	lb	T = 10.0 Wd = 200.4 Wiese Schiefe versenkt
147	5. Februar Mittag bis 12 ^h 30 ^m p. m.	$\lambda = 35^{\circ} 17' 0''$ $\varphi = 27^{\circ} 24' 0''$	0	P ₂	21.0	E	1.0285	20.01	1.0255	29.281	lb	T = 10.0 Wd = 200.4 Wiese Schiefe versenkt

Nummer der Station	Datum und Zeit	Position (= mittlere Länge von Greenwich, + im Nordbreite)	Tiefe in Metern	Reinheits- Instrument	Temperatur in °C	Corrig. Ablesung	Reinheits-Schöpf- Apparat	Spezifisches Gewicht und Salzgehalt					Zustand und Farbe der See	Zustand der Atmosphäre während der Beobachtung	Anmerkung
								Artemeter-Ablesung	Temperatur	Salzgehalt	Spezifisches Gewicht	Salzgehalt in Proc.			
100	13. Februar 11 ⁵¹ bis 11 ⁵⁸ p. m.	3 = 34° 31' p = 20° 34'	0	P ₁	23.2	E	E	1.020024	1.02022	20.280	28.4	0.01			
			1	P ₂	23.0										
			2	P ₃	23.0										
			10	M ₁	23.1			1.020202	1.02048	29.28	28	4.03			
			20	M ₂	22.5										
101	14. Februar Mitternacht bis 12 ¹⁵ a. m.	A = 34° 51' p = 20° 40'	0	P ₁	21.4	E	E	1.020017	1.02041	20.280	28	4.03			
			1	P ₂	21.4										
			2	P ₃	22.0										
			13 Gr	M ₁	20.2			1.020215	1.02051	30.280	29	4.03			
				M ₂	20.2										
102	15. Februar 9 ⁵ bis 9 ¹⁰ a. m.	Hafen von Salaja unter Cap. von-Somer	0	P ₁	22.1	E	E	1.020028	1.02051	20.280	28	4.03			
			1	P ₂	22.1										
			2	P ₃	21.8										
			13 Gr	M ₁	20.2			1.020021	1.02051	30.280	29	4.03			
				M ₂	20.2										
103	16. Februar 11 ¹⁰ a. m. bis Mittern.		0	P ₁	22.1	E	E	1.020021	1.02051	20.280	28	4.03			
			1	P ₂	22.1										
			2	P ₃	21.8										
			13 Gr	M ₁	20.2			1.020021	1.02051	30.280	29	4.03			
				M ₂	20.2										
104	17. Februar 7 ⁵⁰ bis 8 ⁴⁰ a. m.	A = 34° 0' p = 20° 40' bei Cap. von-Somer	0	P ₁	22.0	E	E	1.020021	1.02051	20.280	28	4.03			
			1	P ₂	22.4										
			2	P ₃	22.2										
			10	M ₁	22.3			1.020021	1.02051	30.280	29	4.03			
			20	M ₂	22.3										
105	17. Februar 10 ⁵⁰ bis 10 ⁵⁰ a. m.	A = 34° 40' p = 22° 4'	0	P ₁	22.4	E	E	1.020021	1.02051	20.280	28	4.03			
			1	P ₂	22.4										
			2	P ₃	22.3										
			10	M ₁	22.3			1.020021	1.02051	30.280	29	4.03			
			20	M ₂	22.3										

166	17. Februar 3 ⁴⁰ bis 3 ⁵⁰ p. m.	$\lambda = 34^{\circ} 21'$ Ber der Insel Shadwan	0 1 2 10 20 40 70 100 504 Gr	P ₁ P ₂ M ₁ M ₂ M ₃ M ₄ M ₅ M ₆ M ₇ M ₈	22.2 22.2 22.3 22.3 22.3 22.2 22.2 21.6	E F S S E	1° 02' 50" 21' 8" 1° 02' 58" 1° 02' 58" 30' 284" 28' 40" 32"	lb dann r Fa = 4 w	T = 22° 0 B = 20° 7 H = 0 Wd = N ₁	Strom von NW Wiese Schärbe versteckt
167	16. Februar 3 ⁴⁰ bis 3 ⁵⁰ p. m.		0 1 2 12 Gr	P ₁ P ₂ M ₁ M ₂	21.2 21.3 21.3 21.0	E	1° 02' 50" 10' 8" 1° 02' 57" 1° 02' 50" 30' 280" 29' 40" 2"	lb dann b Fa = 5 w	T = 21° 7 B = 18° 5 Wd = NW ₂ bis NW ₃	Wellenmessung vorgenommen
168	16. Februar Mittag bis 12 ²⁰ p. m.	Ber der Insel Shadwan von Akaba	0 1 2 12 Gr	P ₁ P ₂ M ₁ M ₂	21.5 21.5 21.4 21.1	E	1° 02' 50" 18' 6" 1° 02' 57" 1° 02' 50" 30' 285" 29' 40" 2"	lb dann lb Fa = 5 w	T = 19° 2 B = 16° 1 Wd = NW ₁ bis NW ₂	Starker Strom Hinter Schärbe der Insel von NW nach SE
169	16. Februar 4 ¹⁰ bis 4 ²⁰ p. m.		0 1 2 12 Gr	P ₁ P ₂ M ₁ M ₂	21.7 21.7 21.2 21.1	E	1° 02' 50" 10' 7" 1° 02' 54" 1° 02' 56" 30' 283" 28' 40" 0"	lb Fa = 5 w	T = 17° 5 B = 15° 1 Wd = NNW ₁	
170	21. Februar 8 ⁴⁰ bis 8 ⁵⁰ a. m.	$\lambda = 33^{\circ} 50'$ $\varphi = 27^{\circ} 32'$	0	P ₁	21.7	E	1° 02' 50" 18' 3" 1° 02' 50" 1° 02' 50" 30' 280" 29' 40" 3"	lb Fa = 4 w	T = 10° 0 B = 2 Wd = NW ₁	Strom aus dem Golf von Such. Wellenmessung vorgenommen
171	21. Februar 9 ³⁰ bis 9 ⁵⁰ a. m.	$\lambda = 33^{\circ} 40'$ $\varphi = 27^{\circ} 40'$	0	P ₁	20.7	E	1° 02' 50" 18' 2" 1° 02' 50" 1° 02' 50" 30' 285" 29' 40" 3"	lb Fa = 4 w	T = 19° 8 B = 1 Wd = NNW ₁	
172	21. Februar 11 ¹⁰ bis 11 ³⁰ a. m.	$\lambda = 33^{\circ} 43'$ $\varphi = 27^{\circ} 50'$	0	P ₁	19.9	E	1° 02' 50" 18' 1" 1° 02' 50" 1° 02' 50" 30' 291" 29' 40" 4"	lb Fa = 5 w	T = 17° 5 B = 0 Wd = NNW ₁	
173	21. Februar 6 ¹⁰ bis 6 ¹⁵ p. m.	$\lambda = 33^{\circ} 10'$ $\varphi = 28^{\circ} 23'$	0	P ₁	17.7	E	1° 02' 12" 18' 01" 01' 13" 1° 02' 13" 31' 300" 30' 41" 0"	lb Fa = 4 w	T = 17° 2 B = 0 Wd = NW ₁ bis NW ₂	Strom von NW nach SE
174	22. Februar Mitternacht bis 11 ³⁰ a. m.	$\lambda = 34^{\circ} 44'$ $\varphi = 29^{\circ} 7'$	0	P ₁	17.5	E	1° 02' 10" 18' 1" 01' 18" 1° 02' 17" 32' 304" 30' 41" 0"	F	T = 10° 8 B = 0 Wd = 0	
175	22. Februar 9 ¹⁰ bis 9 ³⁰ a. m.	$\lambda = 34^{\circ} 35'$ $\varphi = 29^{\circ} 31'$	0	P ₁	17.2	E	1° 02' 13" 17' 01" 02' 12" 1° 02' 13" 32' 310" 31' 42" 2"	lb Fa = 4 w	T = 10° 0 B = 0 Wd = NW ₁ (doubt.)	Strom von S

183	7. März 8 ^h 45' bis 9 ^h 25' a.m.	λ = 33° 0' 24" φ = 28° 44' 30"	0 P ₁ 2 P ₂ 10 M ₁ 50 Gr	0 P ₁ 17.7 17.7 17.7 17.3 16.8	E 1° 0313 17.5 1° 0313 1° 0312 31 299 30 410	1° 0313 17.5 1° 0313 1° 0312 31 299 30 410	Ström von NW nach SE. Wellenmessung vergenommen	T = 17.0 B = 1 W ₁ = NW ₁ W ₂ = NW ₂ W ₃ = NW ₃ bis NW ₄
184	7. März 10 ^h 10' a.m.	λ = 33° 8' φ = 28° 33'	0 P ₁	0 P ₁ 17.8	E 1° 0312 17.0 1° 0312 1° 0311 31 298 30 409	1° 0312 17.0 1° 0312 1° 0311 31 298 30 409	Ström von NW nach SE	T = 17.2 B = 1 W ₁ = NW ₁ W ₂ = NW ₂
185	7. März 10 ^h 30' p.m.	λ = 33° 20' φ = 28° 20'	0 P ₁	0 P ₁ 20.4	E 1° 0300 20.0 1° 0315 1° 0305 31 293 29 409 ₁	1° 0300 20.0 1° 0315 1° 0305 31 293 29 409 ₁	Wellenmessung vergenommen	T = 10.0 B = 0 W ₁ = NW ₁
186	α. März 12 ^h 15' p.m.	λ = 33° 18' φ = 28° 15'	0 P ₁ 19.9 19.9 19.9 19.5 Gr	E 1° 0300 19.8 1° 0315 1° 0302 31 293 29 408 ₁	1° 0300 19.8 1° 0315 1° 0302 31 293 29 408 ₁	1° 0300 19.8 1° 0315 1° 0302 31 293 29 408 ₁		T = 10.8 B = 0 bis 1 W ₁ = NW ₁ W ₂ = NW ₂ W ₃ = NW ₃ W ₄ = NW ₄
187	9. März 5 ^h 30' bis 6 ^h p.m.	λ = 33° 0' φ = 28° 0'	0 P ₁ 20.0 20.0 20.0 95 Gr	E 1° 0310 17.0 1° 0310 1° 0305 31 292 29 400	1° 0310 17.0 1° 0310 1° 0305 31 292 29 400	1° 0310 17.0 1° 0310 1° 0305 31 292 29 400		T = 21.0 B = 0 bis 1 W ₁ = N ₁
188	12. März 8 ^h 55' bis 9 ^h 55' a.m.	λ = 33° 31' 18" φ = 28° 9' 18"	0 P ₁ 20.9 20.9 20.9 20.1 20.1 20.1 58 Gr	E 1° 0304 19.2 1° 0300 1° 0302 30 289 29 400	1° 0304 19.2 1° 0300 1° 0302 30 289 29 400	1° 0304 19.2 1° 0300 1° 0302 30 289 29 400	Ström von SE nach NW, sehr schwach	T = 10.5 B = 25.9 W ₁ = NW ₁ W ₂ = NW ₂ bis NW ₃
189	12. März 9 ^h 45' bis 9 ^h 15' a.m.	λ = 33° 20' 0" φ = 28° 0' 0"	0 P ₁ 20.9 20.9 20.9 20.3 20.4 19.2	E 1° 0300 20.3 1° 0310 1° 0300 30 290 29 407 ₁	1° 0300 20.3 1° 0310 1° 0300 30 290 29 407 ₁	1° 0300 20.3 1° 0310 1° 0300 30 290 29 407 ₁		T = 20.5 B = 200.9 W ₁ = 0
190	13. März 10 ^h 15' bis 11 ^h 30' a.m.	λ = 33° 10' 0" φ = 28° 10' 0"	0 P ₁ 18.9 18.9 18.9 18.5 Gr	E 1° 0302 20.7 1° 0310 1° 0300 31 292 29 408 ₁	1° 0302 20.7 1° 0310 1° 0300 31 292 29 408 ₁	1° 0302 20.7 1° 0310 1° 0300 31 292 29 408 ₁	Ström von SE nach NW	T = 20.5 B = 200.9 W ₁ = 0
191	13. März 5 ^h 30' bis 6 ^h p.m.	λ = 33° 2' 0" φ = 28° 2' 0"	0 P ₁ 18.5 18.5 18.5 18.5 Gr	E 1° 0302 20.9 1° 0310 1° 0300 31 290 30 408 ₁	1° 0302 20.9 1° 0310 1° 0300 31 290 30 408 ₁	1° 0302 20.9 1° 0310 1° 0300 31 290 30 408 ₁	Wellenmessung vergenommen	T = 21.2 B = 2 bis 3 W ₁ = NW ₁ W ₂ = NW ₂ bis NW ₃
192	14. März 8 ^h 15' bis 8 ^h 30' a.m.	λ = 33° 2' φ = 28° 2' 0"	0 P ₁	E 1° 0308 19.3 1° 0318 1° 0310 31 299 30 410 ₁	1° 0308 19.3 1° 0318 1° 0310 31 299 30 410 ₁	1° 0308 19.3 1° 0318 1° 0310 31 299 30 410 ₁		T = 17.3 B = 0 W ₁ = NW ₁ bis NW ₂

Nummer der Station	Datum und Zeit	Position (Auss. östliche Länge von Greenwich, φ = Südbreite)	Tiefe in Metern	Sensitivität		Spezifisches Gewicht und Salzgehalt					Zustand der Atmosphäre während der Beobachtung ²	Anmerkung		
				Reduziertes Instru- ment ⁵	Corrig. Ablesung ⁶	Barometer-Schöpf- apparat ⁷	Atmosph.-Anzeige ⁸	Zugheftete Temp. natur	$S_{17.5^\circ}$ beim gewöhn- lichen Atmosph.-druck	$S_{17.5^\circ}$ beim Druck in H. in gewöhn- lichen Atmosph.-druck			Salzgehalt in Proc. beim Druck in H. in gewöhn- lichen Atmosph.-druck	Zustand und Farbe der See ⁴
193	10. März 11 ³⁰ bis 2 ³⁰ p.m.	$\lambda = 12^\circ 40'$ $\varphi = 25^\circ 54'$	0	P ₁	17.9	3	1.0312	19.51	1.0317	1.0310	32.203	30.444	$T = 19.5$ $B = 0$ $Wd = N$, bis N_2	Wellenmenge vorgekommen
194	18. März 6 ³⁰ bis 7 ³⁰ a.m.	Vor Anker beim Leuchtturm von Zafarna	0 1 11 Gr	P ₁ P ₂ P ₃	17.4 17.5 16.9	3	1.0319	10.41	1.0310	1.0310	32.103	30.444	$T = 13.1$ $B = 1$ $Wd = N_2$	
195	18. März 1 ¹⁵ bis 1 ³⁰ p.m.		0 1 11 Gr	P ₁ P ₂ P ₃ M ₁	17.7 17.7 17.5	3	1.0315	18.61	1.0317	1.0310	32.203	30.415	$T = 18.0$ $B = 1$ $Wd = NNE$, bis NNE_1	
196	10. März 4 ³⁰ bis 4 ³⁰ p.m.	$\lambda = 12^\circ 37'$ $\varphi = 25^\circ 20'$	0	P ₁	17.4	3	1.0318	18.11	1.0319	1.0319	32.100	30.418	$T = 19.8$ $B = 1$ $Wd = N_2$	Strom von N
197	10. März 5 ²⁰ bis 5 ³⁵ p.m.	$\lambda = 12^\circ 34' 18''$ $\varphi = 25^\circ 28' 30''$	0 1 2 10 30 58 Gr	P ₁ P ₂ M ₁ M ₂ M ₃	17.9 17.9 17.2 17.1 16.8	3	1.0318	18.11	1.0319	1.0318	32.305	31.418	$T = 20.4$ $B = 3$ bis 4 $Wd = N$, bis N_2	
198	20. März 6 ³⁰ bis 6 ⁴⁵ a.m.	Stützpunkt Ibrahim vor Anker	0 1 1 1 8.5 Gr	P ₁ P ₂ P ₃ M ₁ M ₂	17.9 17.9 17.9 17.8	3	1.0320	17.91	1.0322	1.0324	32.311	31.420	$T = 10.7$ $B = 5$ bis 6 $Wd = NSW_1$	
199	20. März 11 ³⁰ bis Mittag		0 1 1 1 10 Gr	P ₁ P ₂ P ₃ M ₁ M ₂	18.7 18.6 18.0 17.7	3	1.0323	18.71	1.0320	1.0323	32.310	31.420	$T = 21.8$ $B = 3$ bis 4 $Wd = SSE_1$	
200	31. März Mittag bis 12 ³⁰ p.m.	$\lambda = 12^\circ 39'$ $\varphi = 25^\circ 21'$	0	P ₁	19.4	3	1.0320	22.91	1.0320	1.0319	32.302	30.419	$F = 21.8$ $B = 0$ bis 1 $Wd = NW_3$	
201	1. April Mitternacht bis 1 ³⁰ a.m.	$\lambda = 13^\circ 10'$ $\varphi = 25^\circ 20'$	0	P ₁	20.3	3	1.0323	20.71	1.0312	1.0305	30.202	29.4074	$T = 22.0$ $B = 0$ $Wd = N_2$	

202	1. April 0 ^h bis 0 ^h 55 ^m a. m.	$\lambda = 31^{\circ} 43'$ $\varphi = 27^{\circ} 30'$	0 1 2 3 4 5 6 7 8 9 10 11 12 13 14 15 16 17 18 19 20 21 22 23 24	P ₁ 21.8 P ₂ 21.9 P ₃ 22.0 P ₄ 22.1 M ₁ 21.9 M ₂ 22.0 M ₃ 22.1 M ₄ 22.2 M ₅ 22.3 M ₆ 22.4 M ₇ 22.5 M ₈ 22.6 M ₉ 22.7 M ₁₀ 22.8 M ₁₁ 22.9 M ₁₂ 23.0 M ₁₃ 23.1 M ₁₄ 23.2 M ₁₅ 23.3 M ₁₆ 23.4 M ₁₇ 23.5 M ₁₈ 23.6 M ₁₉ 23.7 M ₂₀ 23.8 M ₂₁ 23.9 M ₂₂ 24.0 M ₂₃ 24.1 M ₂₄ 24.2	E 1.0301021.4 1.031001.02993 30 285 29 400; F 1.0301021.3 1.031007.03032 30 286 29 400; S 1.0301021.4 1.031008.03030 30 290 29 400; S 1.03055 21.4 1.03148 1.03100 31 297 30 412; E 1.03055 27 1.03100 1.02986 30 285 29 400; F 1.03086 30 3 1.03100 1.02991 30 286 29 400; S 1.03090 24 1 1.03101 1.02992 30 286 29 400; S 1.03090 23 8 1.03205 1.03108 33 298 34 410; E 1.03094 25.9 1.03090 1.02993 30 285 29 400; F 1.03113 24.2 1.03094 1.02995 30 281 28 400; F 1.03093 24.2 1.03085 1.02994 30 283 28 400; E 1.03095 24.3 1.03090 1.02997 30 284 28 400; F 1.03090 23.5 1.03095 1.02986 30 285 29 400; F 1.03090 23.7 1.03099 1.02990 30 286 29 400; S 1.03092 23.1 1.03108 1.03045 30 286 29 400; S 1.03090 22.8 1.03145 1.03030 35 290 34 400; E 1.03090 24 4 1.03099 1.02986 30 285 29 400; F 1.03097 24 4 1.03104 1.02992 30 286 29 400; S 1.03090 24 5 1.03100 1.03030 30 285 29 400; S 1.03090 24 6 1.03112 1.03039 33 290 34 400;	T = 20.7 b = 759.7 H = 0 Wd = NNW; bit NNW ₄ T = 21.3 b = 759.7 H = 0 Wd = NNW; bit NNW ₄ T = 20.0 b = 759.7 H = 1 Wd = NW; bis NW ₂ T = 20.1 b = 759.7 H = 1 Wd = SW; bis SE; T = 24.0 b = 759.7 H = 1 Wd = NE; T = 24.9 b = 757.4 H = 1 Wd = NNW; bis NNE; T = 25.2 b = 757.0 H = 5 (damaged) Wd = NNE; T = 25.2 b = 757.0 H = 5 (damaged) Wd = NNE; T = 25.2 b = 757.0 H = 5 (damaged) Wd = NNE;	Sturm setzt bei 12 ^h ein (Sind Halbes) von E nach W	Weitenmessung vorgenommen	Weisse Schreibe versenkt																																																																																																																																																																																																																																																																																																																																																																																																																																																																																																																																																																																																																																																																																																																																																		
203	1. April 10 ^h bis 10 ^h 50 ^m a. m.	$\lambda = 34^{\circ} 3'$ $\varphi = 27^{\circ} 37'$	0 1 2 3 4 5 6 7 8 9 10 11 12 13 14 15 16 17 18 19 20 21 22 23 24	P ₁ 22.0 P ₂ 22.1 P ₃ 22.2 P ₄ 22.3 M ₁ 22.0 M ₂ 22.1 M ₃ 22.2 M ₄ 22.3 M ₅ 22.4 M ₆ 22.5 M ₇ 22.6 M ₈ 22.7 M ₉ 22.8 M ₁₀ 22.9 M ₁₁ 23.0 M ₁₂ 23.1 M ₁₃ 23.2 M ₁₄ 23.3 M ₁₅ 23.4 M ₁₆ 23.5 M ₁₇ 23.6 M ₁₈ 23.7 M ₁₉ 23.8 M ₂₀ 23.9 M ₂₁ 24.0 M ₂₂ 24.1 M ₂₃ 24.2 M ₂₄ 24.3	E 1.0301021.4 1.031001.02993 30 285 29 400; F 1.0301021.3 1.031007.03032 30 286 29 400; S 1.0301021.4 1.031008.03030 30 290 29 400; S 1.03055 21.4 1.03148 1.03100 31 297 30 412; E 1.03055 27 1.03100 1.02986 30 285 29 400; F 1.03086 30 3 1.03100 1.02991 30 286 29 400; S 1.03090 24 1 1.03101 1.02992 30 286 29 400; S 1.03090 23 8 1.03205 1.03108 33 298 34 410; E 1.03094 25.9 1.03090 1.02993 30 285 29 400; F 1.03113 24.2 1.03094 1.02995 30 281 28 400; F 1.03093 24.2 1.03085 1.02994 30 283 28 400; E 1.03095 24.3 1.03090 1.02997 30 284 28 400; F 1.03090 23.5 1.03095 1.02986 30 285 29 400; F 1.03090 23.7 1.03099 1.02990 30 286 29 400; S 1.03092 23.1 1.03108 1.03045 30 286 29 400; S 1.03090 22.8 1.03145 1.03030 35 290 34 400; E 1.03090 24 4 1.03099 1.02986 30 285 29 400; F 1.03097 24 4 1.03104 1.02992 30 286 29 400; S 1.03090 24 5 1.03100 1.03030 30 285 29 400; S 1.03090 24 6 1.03112 1.03039 33 290 34 400;	T = 21.3 b = 759.7 H = 0 Wd = NNW; bit NNW ₄ T = 20.0 b = 759.7 H = 1 Wd = NW; bis NW ₂ T = 20.1 b = 759.7 H = 1 Wd = SW; bis SE; T = 24.0 b = 759.7 H = 1 Wd = NE; T = 24.9 b = 757.4 H = 1 Wd = NNW; bis NNE; T = 25.2 b = 757.0 H = 5 (damaged) Wd = NNE; T = 25.2 b = 757.0 H = 5 (damaged) Wd = NNE; T = 25.2 b = 757.0 H = 5 (damaged) Wd = NNE;	Sturm setzt bei 12 ^h ein (Sind Halbes) von E nach W	Weitenmessung vorgenommen	Weisse Schreibe versenkt																																																																																																																																																																																																																																																																																																																																																																																																																																																																																																																																																																																																																																																																																																																																																		
204	1. April 12 ^h bis 12 ^h 15 ^m p. m.	$\lambda = 34^{\circ} 12'$ $\varphi = 27^{\circ} 40'$	0 1 																																																																																																																																																																																																																																																																																																																																																																																																																																																																																																																																																																																																																																																																																																																																																								

Nummer der Station	Datum und Zeit	Position (2m. seitliche Lage von Greenwich, 9 = Nordbreite)	Tiefe in Meters	Sectentemperatur			Barometrisches Instru- ment	Temp. Ablesung	Barometrischer Schöpf- apparat	Argumente-Ausbe- rathung	Spezifisches Gewicht und Salzgehalt			Zustand der Atmosphäre während der Beobachtung ⁵	Zustand und Farbe der See ⁴	Anmerkung	
												$S \frac{P}{17.5}$	$S \frac{P}{17.5}$				
209	2. April 9 ^h 30 ^m p.m.	$\lambda = 34^{\circ} 29' 0''$ $\varphi = 28^{\circ} 20' 12''$	0	P ₂	22.8		P ₂	22.8	3	1.029600	24.1	0.02922	30	281	28	4.00 ₁	T = 24.9 ba = 740.3 Wd = N ₁ Weisse Scheibe verkratzt
			1	P ₂	22.5		P ₂	22.5	3	1.029600	24.1	0.02922	30	281	28	4.00 ₁	
			2	P ₂	22.2		P ₂	22.2	3	1.029600	24.1	0.02922	30	281	28	4.00 ₁	
			30	M ₁₆	21.9		M ₁₆	21.9	3	1.029600	24.1	0.02922	30	281	28	4.00 ₁	
			40	M ₁₆	21.6		M ₁₆	21.6	3	1.029600	24.1	0.02922	30	281	28	4.00 ₁	
210	2. April 9 ^h 40 ^m p.m.	$\lambda = 34^{\circ} 34' 30''$ $\varphi = 28^{\circ} 21' 12''$	0	P ₂	22.6		P ₂	22.6	3	1.029600	24.1	0.02922	30	281	28	4.00 ₁	T = 24.7 ba = 740.2 Wd = N ₁ Weisse Scheibe verkratzt
			1	P ₂	22.3		P ₂	22.3	3	1.029600	24.1	0.02922	30	281	28	4.00 ₁	
			2	P ₂	22.0		P ₂	22.0	3	1.029600	24.1	0.02922	30	281	28	4.00 ₁	
			30	M ₁₆	21.8		M ₁₆	21.8	3	1.029600	24.1	0.02922	30	281	28	4.00 ₁	
			40	M ₁₆	21.5		M ₁₆	21.5	3	1.029600	24.1	0.02922	30	281	28	4.00 ₁	
211	2. April 9 ^h 51 ^m p.m.	$\lambda = 34^{\circ} 31' 0''$ $\varphi = 28^{\circ} 25' 0''$	0	P ₂	22.6		P ₂	22.6	3	1.029600	24.1	0.02922	30	281	28	4.00 ₁	T = 25.5 ba = 740.6 Wd = N ₁ Weisse Scheibe verkratzt
			1	P ₂	22.3		P ₂	22.3	3	1.029600	24.1	0.02922	30	281	28	4.00 ₁	
			2	P ₂	22.0		P ₂	22.0	3	1.029600	24.1	0.02922	30	281	28	4.00 ₁	
			30	M ₁₆	21.8		M ₁₆	21.8	3	1.029600	24.1	0.02922	30	281	28	4.00 ₁	
			40	M ₁₆	21.5		M ₁₆	21.5	3	1.029600	24.1	0.02922	30	281	28	4.00 ₁	
212	2. April 9 ^h 59 ^m a.m.	$\lambda = 34^{\circ} 33' 24''$ $\varphi = 28^{\circ} 30' 12''$	0	P ₂	22.6		P ₂	22.6	3	1.029600	24.1	0.02922	30	281	28	4.00 ₁	T = 25.2 ba = 740.8 Wd = N ₁ Weisse Scheibe verkratzt
			1	P ₂	22.3		P ₂	22.3	3	1.029600	24.1	0.02922	30	281	28	4.00 ₁	
			2	P ₂	22.0		P ₂	22.0	3	1.029600	24.1	0.02922	30	281	28	4.00 ₁	
			30	M ₁₆	21.8		M ₁₆	21.8	3	1.029600	24.1	0.02922	30	281	28	4.00 ₁	
			40	M ₁₆	21.5		M ₁₆	21.5	3	1.029600	24.1	0.02922	30	281	28	4.00 ₁	
213	2. April 9 ^h 59 ^m a.m.	$\lambda = 34^{\circ} 39' 0''$ $\varphi = 28^{\circ} 30' 12''$	0	P ₂	22.6		P ₂	22.6	3	1.029600	24.1	0.02922	30	281	28	4.00 ₁	T = 25.2 ba = 740.8 Wd = N ₁ Weisse Scheibe verkratzt
			1	P ₂	22.3		P ₂	22.3	3	1.029600	24.1	0.02922	30	281	28	4.00 ₁	
			2	P ₂	22.0		P ₂	22.0	3	1.029600	24.1	0.02922	30	281	28	4.00 ₁	
			30	M ₁₆	21.8		M ₁₆	21.8	3	1.029600	24.1	0.02922	30	281	28	4.00 ₁	
			40	M ₁₆	21.5		M ₁₆	21.5	3	1.029600	24.1	0.02922	30	281	28	4.00 ₁	

Nummer der Station	Datum und Zeit	Position (λ = östliche Länge von Greenwich, φ = Nordbreite)	Tiefe in Metern ¹	Sextempertur in Grad Celsius	Barometrische Instru- mente ²	Corrig. Ablesung	Barometrischer Schöpf- apparat ³	Spezifisches Gewicht und Salzgehalt				Zustand und Farbe der See ⁴	Zustand der Atmosphäre während der Beobachtung ⁵	Anmerkung
								Aerometer, Angabe relativer Tempe- ratur	Salzgehalt S 17,5°	Salzgehalt S 17,5°	Salzgehalt in Proc. S 17,5°			
220	7. April 4 ^h 30 ^m bis 4 ^h 53 ^m p. m.	$\lambda = 34^{\circ} 42' 48''$ $\varphi = 26^{\circ} 39' 12''$	0	21.8	P ₁	21.8	E	1.02020 22.2 1.02010 1.02010	30.280	29.4 0.01	10.280	29.4 0.01		
			1	22.0	P ₂	22.0	F	1.02050 22.8 1.02010 1.02010	30.287	29.4 0.05	10.287	29.4 0.05		
			2	21.8	M ₁	21.8	F	1.02050 22.8 1.02010 1.02010	30.287	29.4 0.05	10.287	29.4 0.05		
			30	21.8	M ₂	21.8	F	1.02050 22.8 1.02010 1.02010	30.287	29.4 0.05	10.287	29.4 0.05		
			40	21.8	M ₃	21.8	F	1.02050 22.8 1.02010 1.02010	30.287	29.4 0.05	10.287	29.4 0.05		
221	7. April 3 ^h 37 ^m bis 3 ^h 52 ^m p. m.	$\lambda = 34^{\circ} 48' 30''$ $\varphi = 26^{\circ} 44' 30''$	0	21.8	P ₁	21.8	E	1.02020 22.2 1.02010 1.02010	30.288	29.4 0.04	10.288	29.4 0.04		
			1	22.0	P ₂	22.0	F	1.02050 22.8 1.02010 1.02010	30.287	29.4 0.05	10.287	29.4 0.05		
			2	21.8	M ₁	21.8	F	1.02050 22.8 1.02010 1.02010	30.287	29.4 0.05	10.287	29.4 0.05		
			30	21.8	M ₂	21.8	F	1.02050 22.8 1.02010 1.02010	30.287	29.4 0.05	10.287	29.4 0.05		
			40	21.8	M ₃	21.8	F	1.02050 22.8 1.02010 1.02010	30.287	29.4 0.05	10.287	29.4 0.05		
222	7. April 4 ^h 55 ^m bis 5 ^h 27 ^m p. m.	$\lambda = 34^{\circ} 44' 30''$ $\varphi = 26^{\circ} 40' 12''$	0	21.8	P ₁	21.8	E	1.02020 22.2 1.02010 1.02010	30.288	29.4 0.04	10.288	29.4 0.04		
			1	22.0	P ₂	22.0	F	1.02050 22.8 1.02010 1.02010	30.287	29.4 0.05	10.287	29.4 0.05		
			2	21.8	M ₁	21.8	F	1.02050 22.8 1.02010 1.02010	30.287	29.4 0.05	10.287	29.4 0.05		
			30	21.8	M ₂	21.8	F	1.02050 22.8 1.02010 1.02010	30.287	29.4 0.05	10.287	29.4 0.05		
			40	21.8	M ₃	21.8	F	1.02050 22.8 1.02010 1.02010	30.287	29.4 0.05	10.287	29.4 0.05		
223	8. April 8 ^h 30 ^m bis 8 ^h 50 ^m a. m.	Bei Niveth vor Anker	0	21.8	P ₁	21.8	E	1.02020 22.2 1.02010 1.02010	30.288	29.4 0.04	10.288	29.4 0.04		
			1	22.0	P ₂	22.0	F	1.02050 22.8 1.02010 1.02010	30.287	29.4 0.05	10.287	29.4 0.05		
			2	21.8	M ₁	21.8	F	1.02050 22.8 1.02010 1.02010	30.287	29.4 0.05	10.287	29.4 0.05		
			30	21.8	M ₂	21.8	F	1.02050 22.8 1.02010 1.02010	30.287	29.4 0.05	10.287	29.4 0.05		
			40	21.8	M ₃	21.8	F	1.02050 22.8 1.02010 1.02010	30.287	29.4 0.05	10.287	29.4 0.05		
224	9. April 8 ^h 30 ^m bis 8 ^h 50 ^m a. m.		0	21.8	P ₁	21.8	E	1.02020 22.2 1.02010 1.02010	30.288	29.4 0.04	10.288	29.4 0.04		
			1	22.0	P ₂	22.0	F	1.02050 22.8 1.02010 1.02010	30.287	29.4 0.05	10.287	29.4 0.05		
			2	21.8	M ₁	21.8	F	1.02050 22.8 1.02010 1.02010	30.287	29.4 0.05	10.287	29.4 0.05		
			30	21.8	M ₂	21.8	F	1.02050 22.8 1.02010 1.02010	30.287	29.4 0.05	10.287	29.4 0.05		
			40	21.8	M ₃	21.8	F	1.02050 22.8 1.02010 1.02010	30.287	29.4 0.05	10.287	29.4 0.05		
225	11. April 10 ^h 30 ^m bis 10 ^h 42 ^m n. m.	$\lambda = 33^{\circ} 42' 0''$ $\varphi = 26^{\circ} 51' 48''$	0	21.8	P ₁	21.8	E	1.02020 22.2 1.02010 1.02010	30.288	29.4 0.04	10.288	29.4 0.04		
			1	22.0	P ₂	22.0	F	1.02050 22.8 1.02010 1.02010	30.287	29.4 0.05	10.287	29.4 0.05		
			2	21.8	M ₁	21.8	F	1.02050 22.8 1.02010 1.02010	30.287	29.4 0.05	10.287	29.4 0.05		
			30	21.8	M ₂	21.8	F	1.02050 22.8 1.02010 1.02010	30.287	29.4 0.05	10.287	29.4 0.05		
			40	21.8	M ₃	21.8	F	1.02050 22.8 1.02010 1.02010	30.287	29.4 0.05	10.287	29.4 0.05		

Nummer der Station	Datum und Zeit	Position (= östliche Länge von Greenwich, φ = Northrate)	Tiefe in Metern	Sectentemperatur			Specificches Gewicht und Salzgehalt					Zustand der Atmosphäre während der Beobachtung.	Anmerkung
				Benutzer ment	Corr. m	Ablesung	Barometer Apparat	Arten- Anzeige	Tempe- ratur	Salzgehalt in 1000	Specificches Gewicht		
231	12. April 11 ^h 55 ^m a. m. bis 12 ^h 10 ^m p. m.	$\lambda = 34^{\circ} 44' 30''$ $\varphi = 29^{\circ} 4' 24''$	0	P ₁	21.6	21.6	3	1.0300	21.2	1.0300	30	287	20 4.054
			1	P ₂	21.7	21.7	3	1.0300	21.2	1.0300	30	287	20 4.054
			2	M ₁	21.4	21.4	4	1.0300	21.1	1.0300	30	288	20 4.061
			20	M ₁₀	21.4	21.4							
			40	M ₂₀	21.3	21.3							
232	12. April 1 ^h 15 ^m bis 1 ^h 45 ^m p. m.	$\lambda = 34^{\circ} 41' 30''$ $\varphi = 28^{\circ} 58' 30''$	0	P ₁	21.6	21.6	3	1.0300	21.5	1.0300	30	287	20 4.054
			1	P ₂	21.7	21.7	3	1.0300	21.5	1.0300	30	287	20 4.054
			2	M ₁	21.4	21.4	4	1.0300	21.5	1.0300	30	288	20 4.061
			20	M ₁₀	21.4	21.4							
			40	M ₂₀	21.3	21.3							
233	13. April 9 ^h 10 ^m bis 9 ^h 35 ^m a. m.	$\lambda = 34^{\circ} 54' 30''$ $\varphi = 29^{\circ} 11' 48''$	0	P ₁	21.4	21.4	3	1.0300	19.6	1.0300	30	288	20 4.054
			1	P ₂	21.5	21.5	3	1.0300	19.6	1.0300	30	288	20 4.054
			2	M ₁	21.5	21.5	4	1.0300	19.7	1.0300	30	288	20 4.061
			20	M ₁₀	21.5	21.5							
			40	M ₂₀	21.4	21.4							
234	13. April 11 ^h 30 ^m a. m.	$\lambda = 34^{\circ} 47' 42''$ $\varphi = 29^{\circ} 3' 42''$	0	P ₁	21.5	21.5	3	1.0300	20.3	1.0300	30	286	20 4.032
			1	P ₂	21.5	21.5	3	1.0300	20.4	1.0300	30	287	20 4.040
			2	M ₁	21.4	21.4	4	1.0300	20.3	1.0300	30	287	20 4.040
			20	M ₁₀	21.4	21.4							
			40	M ₂₀	21.3	21.3							

Nummer der Station	Datum und Zeit	Position (λ = Ostliche Länge von Greenwich, φ = Nördliche)	Tiefe in Metern	Reduzierte Instru- ment	Korrekt. Abweichung p II	Barometrischer Schöpf- apparat	Spezifisches Gewicht und Salzgehalt				Zustand und Farbe der See	Zustand der Atmosphäre während der Beobachtung	Anmerkung
							Atmosph. Anzeig.	Zugest. Tempe- ratur	$S^{17.5^\circ}$	Rein gewaschen Atmosph.-druck in mm Quecksilber	$S^{17.5^\circ}$	Rein gewaschen Atmosph.-druck in mm Quecksilber	
243	15. April 9 ^h 41 ^m bis 9 ^h 50 ^m a. m.	$\lambda = 24^\circ 15' 24''$ $\varphi = 29^\circ 35' 24''$	0	P ₁	21.2	E	1.02970 21.2	1.03020	1.03020	30 289	20 4.07 ₂		
			1	P ₂	21.4	F	1.02970 21.2	1.03020	1.03020	30 289	20 4.07 ₂		
			10	P ₃	21.4								
			20	M ₁	21.4								
			40	M ₂	21.3								
			100	M ₃	21.3	S	1.02985 21.9	1.03111	1.03025	30 290	20 4.07 ₂		
242	15. April 9 ^h 54 ^m bis 10 ^h 10 ^m a. m.	$\lambda = 24^\circ 50' 30''$ $\varphi = 29^\circ 35' 24''$	0	P ₁	21.5	E	1.02940 21.7	1.03091	1.03095	30 287	20 4.04 ₂		
			1	P ₂	21.5								
			5	P ₃	21.5								
			10	M ₁	21.5	F	1.02930 21.5	1.03090	1.03095	30 285	20 4.04 ₂		
			20	M ₂	21.4								
			40	M ₃	21.4								
243	15. April 10 ^h 35 bis 10 ^h 50 a. m.	$\lambda = 24^\circ 58' 42''$ $\varphi = 29^\circ 37' 42''$	0	P ₁	21.3	S	1.02975 21.8	1.03104	1.03104	30 288	20 4.06 ₂		
			1	P ₂	21.3								
			5	P ₃	21.3								
			10	M ₁	21.2	E	1.02975 21.4	1.03095	1.03090	30 285	20 4.03 ₁		
			20	M ₂	21.5								
			40	M ₃	21.5	F	1.02970 21.1	1.03102	1.03100	30 285	20 4.04 ₂		
244	17. April 10 ^h 45 bis 2 ^h p. m.	$\lambda = 24^\circ 47' 48''$ $\varphi = 29^\circ 13' 30''$	0	P ₁	21.7	E	1.02930 21.4	1.03095	1.03090	30 287	20 4.05 ₂		
			1	P ₂	21.6								
			5	P ₃	21.6								
			10	M ₁	21.4	S	1.02945 21.7	1.03103	1.03102	30 285	20 4.06 ₂		
			20	M ₂	21.4								
			40	M ₃	21.3	S	1.02975 21.8	1.03104	1.03100	30 289	20 4.06 ₂		
245	18. April 10 ^h 30 a. m. bis Mittag	Vor Anker in Bucht Mischig	0	P ₁	21.9	E	1.02965 21.9	1.03110	1.03095	30 285	20 4.07 ₂		
			1	P ₂	21.7								
			5	P ₃	21.7								
			10	M ₁	21.7	F	1.02965 21.9	1.03111	1.03094	30 289	20 4.07 ₂		
			20	M ₂	21.3								
			40	M ₃	21.2	S	1.02964 22.0	1.03111	1.03090	30 290	20 4.07 ₂		

246	19. April 7 ^h 50 ^m bis 8 ^h a. m.	Vor Anker in Bucht Manhiya	o P P P P Ud 60 Gr	21.4 21.4 21.5 21.5 21.2 21.2	E F S	1° 03' 05" 21.3 1° 03' 05" 21.2 1° 03' 10" 21.4 1° 03' 11" 21.4 1° 03' 12" 21.4 1° 03' 12" 21.4	1° 03' 05" 30 1° 03' 05" 30 1° 03' 05" 30 1° 03' 05" 30 1° 03' 05" 30 1° 03' 05" 30	285 29 4' 05" 285 29 4' 05" 290 29 4' 07" 290 29 4' 07" 290 29 4' 07" 290 29 4' 07"	Fa = 4 sch lb	T = 20° 0 Ba = 4 bis 6 Wd = N ₂ bis N ₄	
247	20. April 6 ^h 45 ^m bis 7 ^h 15 ^m a. m.	λ = 34° 46' 48" φ = 28° 48' 48"	o P P P P Ud 40 70 100 841 Gr	21.5 21.5 21.5 21.5 21.5 21.5 21.5 21.5 21.5	E F S	1° 03' 05" 21.0 1° 03' 05" 21.1 1° 03' 05" 21.1 1° 03' 05" 21.1 1° 03' 05" 21.1 1° 03' 05" 21.1 1° 03' 05" 21.1 1° 03' 05" 21.1 1° 03' 05" 21.1	1° 03' 05" 30 1° 03' 05" 30 1° 03' 05" 30 1° 03' 05" 30 1° 03' 05" 30 1° 03' 05" 30 1° 03' 05" 30 1° 03' 05" 30 1° 03' 05" 30	285 29 4' 05" 285 29 4' 05" 290 29 4' 07" 290 29 4' 07" 290 29 4' 07" 290 29 4' 07" 290 29 4' 07" 290 29 4' 07" 290 29 4' 07"	Fa = 4 sch lb	T = 20° 0 Ba = 4 bis 1 Wd = NN ₂ bis NN ₅	Weine Scheibe versenkt
248	20. April 8 ^h 15 ^m bis 9 ^h 10 ^m a. m.	λ = 34° 36' 18" φ = 28° 44' 18"	o P Ud 840 Gr	21.5 21.2	E S	1° 03' 05" 21.4 1° 03' 05" 21.4 1° 03' 05" 21.4 1° 03' 05" 21.4	1° 03' 05" 30 1° 03' 05" 30 1° 03' 05" 30 1° 03' 05" 30	285 29 4' 05" 285 29 4' 05" 285 29 4' 05" 285 29 4' 05"	Fa = 4 sch b	T = 20° 8 Ba = 10 Wd = NN ₂ NN ₇ bis NN ₉	Wellenmessung vorgenommen
249	22. April 9 ^h bis 9 ^h 15 ^m a. m.	λ = 34° 38' 30" φ = 28° 18' 0"	o P Ud 1195 Gr	21.6 21.2	E S	1° 03' 05" 22.3 1° 03' 05" 22.4 1° 03' 05" 22.4 1° 03' 05" 22.4	1° 03' 05" 30 1° 03' 05" 30 1° 03' 05" 30 1° 03' 05" 30	285 29 4' 05" 285 29 4' 05" 285 29 4' 05" 285 29 4' 05"	Fa = 4 sch ab	T = 19° 5 Ba = 3 bis 3 Wd = 70° 7 Wd = N ₂ bis N ₄ bis N ₉	
250	22. April 8 ^h 45 ^m bis 8 ^h 35 ^m a. m.	λ = 34° 18' 30" φ = 28° 13' 0"	o P P Ud 1180 Gr	21.5 21.5 21.5 21.2	E P S	1° 03' 05" 22.7 1° 03' 05" 22.7 1° 03' 05" 22.7 1° 03' 05" 22.7	1° 03' 05" 30 1° 03' 05" 30 1° 03' 05" 30 1° 03' 05" 30	285 29 4' 05" 285 29 4' 05" 285 29 4' 05" 285 29 4' 05"	Fa = 4 sch ab	T = 20 2 Ba = 2 bis 3 Wd = 70° 5 Wd = N ₂ bis N ₄ N ₉ im Süden	
251	22. April 9 ^h 50 ^m a. m.	Hafen von Muyassar vor Anker	o P P P P Ud 5 Gr	18.3 18.3 18.3 17.6	E P	1° 03' 05" 22.5 1° 03' 05" 22.5 1° 03' 05" 22.5 1° 03' 05" 22.5 1° 03' 05" 22.5	1° 03' 05" 30 1° 03' 05" 30 1° 03' 05" 30 1° 03' 05" 30 1° 03' 05" 30	285 29 4' 05" 285 29 4' 05" 285 29 4' 05" 285 29 4' 05" 285 29 4' 05"	Fa = 4 sch Wasser	T = 19° 0 Ba = 3 bis 3 Wd = N ₂ bis N ₄ N ₉ im Süden	
252	22. April 7 ^h 10 ^m bis 7 ^h 13 ^m a. m.	λ = 34° 36' 0" φ = 28° 2' 30"	o P Ud 958 Gr	22.4 21.2	E S	1° 03' 05" 22.3 1° 03' 05" 22.3 1° 03' 05" 22.3 1° 03' 05" 22.3	1° 03' 05" 30 1° 03' 05" 30 1° 03' 05" 30 1° 03' 05" 30	285 29 4' 05" 285 29 4' 05" 285 29 4' 05" 285 29 4' 05"	Fa = 4 sch ab	T = 20° 3 Ba = 74° 1 Wd = 0 Wd = NN ₂ bis NN ₄	

257	25. April 13°50' bis 5° p. m.	Sturm. Stenich (auf der Siml- schiffen) vor Anker.	0 1 2 10 20 30 Gr.	P ₁ 24.4 P ₂ 24.3 P ₃ 24.3 M ₁ 23.0 M ₂ 22.6	E	1°02'35" 10.8 1°03'00" 1°03'00" 297 28 4°02'	r Fa = 4 w	T = 25°0 Ba = 0 bis 4 Ba = 25°3 Wd = WSW bis WSW	Weisse Schleihe versenkt.
258	25. April 0°10' bis 0°30' a. m.	λ = 34° 22' 0" φ = 27° 44' 18"	0 1 2 10 20 30 40 70 100 1042 Gr.	P ₁ 23.0 P ₂ 23.0 P ₃ 23.0 M ₁ 22.7 M ₂ 22.6 U ₁ 22.3 U ₂ 22.2 M ₁ 21.5	E	1°02'05" 24.1 1°02'08" 1°02'35" 29 28 4°01 1/2	lb Fa = 4 ach	T = 24°0 Ba = 25°2 Ba = 0 Wd = NNE	Weisse Schleihe versenkt.
259	25. April 7°15' a. m.	λ = 34° 28' 48" φ = 27° 44' 30"	0 1 2 10 20 30 40 70 100 1022 Gr.	P ₁ 23.0 P ₂ 23.0 P ₃ 23.0 M ₁ 22.6 M ₂ 22.5 U ₁ 22.4 U ₂ 22.3 M ₁ 21.5	E	1°02'55" 24.5 1°03'00" 1°03'00" 29 28 4°02'	lb Fa = 4 ach	T = 25°2 Ba = 25°0 Ba = 0 Wd = NNE	Weisse Schleihe versenkt. Strom aus dem Golf von Akaba.
260	25. April 8°45' bis 9°30' a. m.	λ = 34° 25' 12" φ = 27° 39' 24"	0 1 2 10 20 30 40 70 100 990 Gr.	P ₁ 23.4 P ₂ 23.4 P ₃ 23.4 M ₁ 22.8 M ₂ 22.7 U ₁ 22.5 U ₂ 22.4 M ₁ 21.5	E	1°02'57" 25.7 1°03'00" 1°03'00" 29 27 28 4°00 1/2	lb Fa = 4 ach	T = 26°0 Ba = 25°9 Ba = 0 Wd = NNE	Weisse Schleihe versenkt. Strom von E nach W
261	25. April 11°30' a. m. bis Mittag.	λ = 34° 5' φ = 27° 40'	0	P ₁ 23.8	E	1°02'05" 23.0 1°03'15" 1°03'25" 30 28 5 29 4°10'	lb Fa = 4 w	T = 24°2 Ba = 5 Wd = NW	
262	25. April Mittag bis 12°45' a. m.	λ = 35° 15' φ = 28° 21'	0	P ₁ 19.8	E	1°02'05" 23.0 1°03'30" 1°03'40" 31 29 5 30 4°10'	lb	T = 24°0 Ba = 25°4 Wd = NW	Strom von N
263	25. April 12°45' bis 15° a. m.	λ = 35° 44' φ = 28° 5'	0	P ₁ 19.1	E	1°03'40" 22.7 1°03'40" 1°03'48" 31 30 0 30 4°13 1/2	lb Fa = 4 ach	T = 22°4 Ba = 4 bis 5 Wd = N ₁ bis N ₂	

Nummer der Station	Datum und Zeit	Position (Läng. östlich, Länge von Greenwich, φ = Nordbreit.)	Tiefe in Metern	Sesstemperatur	Spezifisches Gewicht und Salzgehalt					Zustand und Farbe der See	Zustand der Atmosphäre während der Beobachtung	Anmerkung
					Baromet. Hölzle. m. m.	Temper. in m. m.	Baromet. Hölzle. m. m.	Temper. in m. m.	Salzgehalt in Promille			
262	26. April 11 ^h 45 ^m bis 1 ^h p. m.	$\lambda = 2^{\circ} 40'$ $\varphi = 29^{\circ} 21'$	0	P. 1 18.8	T. 1.03075 22.5	1.03109 1.03164	30 301 30 418	163	36 418	fb	T. 24.8 B. m. o Wd. m. SSW	Strom von S
265	2. Mai 11 ^h bis 1 ^h 30 ^m a. m.	Suez, Port Ibrahim.	0 1 2 5 10 Gr	P. 4 21.5 P. 4 21.5 P. 4 21.5 M. 20.9 M. 20.9	T. 1.03095 23.2	1.03232 1.03140	31 301 30 423	163	30 423	r	T. 20.5 B. m. o (mild)	Wd. m. N, bis N ₄
266	6. Mai 8 ^h bis 8 ^h 10 ^m a. m.	Suez Canal Süd-Einfahrt	0	P. 4 10.5	E. 1.03042 25.1	1.03212 1.03107	32 304 30 426	163	30 426	r	T. 21.0 B. m. o Wd. m. N ₁	
267	6. Mai Mittag bis 12 ^h 10 ^m p. m.	Suez Canal bei Gut Schahuf	0	P. 4 20.8	E. 1.03024 24.7	1.03220 1.03144	31 301 30 421 ₈	163	30 421 ₈	r	T. 30.0 B. m. o Wd. m. N ₁ bis N ₆	Strom von S
268	6. Mai 6 ^h bis 6 ^h 30 ^m a. m.	Ismaïlia vor Anker	0 1 2 7.5 Gr	P. 4 23.3 P. 4 23.3 P. 4 23.3 M. 23.2	E. 1.03094 26.8	1.03288 1.03274	31 301 30 508	163	30 508	r	T. 30.2 B. m. o Wd. m. NE	
269	7. Mai 11 ^h 15 ^m bis 1 ^h 15 ^m a. m.	20 Seemeilen von Nordende des Suez Canals	0	P. 4 23.5	E. 1.03097 27.0	1.03301 1.03270	38 303 30 514 ₂	163	30 514 ₂	r	T. 24.0 B. m. o Wd. m. S ₁ bis S ₂	
270	8. Mai 10 ^h bis 10 ^h 15 ^m a. m.	Port Said vor Anker	0 1 2 10 Gr	P. 4 23.3 P. 4 23.1 P. 4 22.9 M. 22.8	E. 1.03235 25.1	1.03228 1.03290	30 306 27 358 ₁	163	27 358 ₁	r	T. 30.3 B. m. o Wd. m. ESE	
271	8. Mai 10 ^h bis 10 ^h 15 ^m a. m.	Port Said vor Anker	0 1 2 10 Gr	P. 4 23.3 P. 4 23.1 P. 4 22.9 M. 22.8	E. 1.03235 25.1	1.03228 1.03290	30 306 27 358 ₁	163	27 358 ₁	r	T. 30.3 B. m. o Wd. m. ESE	

Die in Metern am Lothapparat abgelesenen Tiefencoten erfuhren keinerlei Rectification, da man durchwegs nur Lothungen bei vollkommen vertical stehendem Draht verzeichnete. Die Correctur gewonnener Coten auf Grund der geschätzten oder gemessenen Winkel, welche der Lothdraht mit der Verticalen in Folge des Abtreibens des Schiffes oder vorhandener Strömungen über Wasser einschliesst, erscheint wegen Mangels an sicheren Anhaltspunkten über den weiteren Verlauf des Drahtes unter Wasser anfechtbar.

Die Angaben der Meerestemperatur sind in Graden der hunderttheiligen Scala ausgedrückt und auf Grund vor und nach der Expedition vorgenommenen Thermometer-Vergleiche corrigirt.

Die in der Tabelle eingetragenen specifischen Gewichte wurden, gleichwie dies bei den Mittel meerfahrten geschah,¹ auf die Formen

$$S_{\frac{17.5^{\circ}}{17.5^{\circ}}}^{\frac{17.5^{\circ}}{17.5^{\circ}}}, \quad S_{\frac{t^{\circ}}{17.5^{\circ}}}^{\frac{t^{\circ}}{17.5^{\circ}}} \quad \text{und} \quad S_{\frac{t^{\circ}}{4^{\circ}}}^{\frac{t^{\circ}}{4^{\circ}}}$$

reducirt, wobei t° diejenige Temperatur bezeichnet, welche die Wasserprobe vor ihrer Förderung besass.

Die Reduction der Ablesungen auf $S_{\frac{17.5^{\circ}}{17.5^{\circ}}}^{\frac{17.5^{\circ}}{17.5^{\circ}}}$ und sodann auf $S_{\frac{t^{\circ}}{17.5^{\circ}}}^{\frac{t^{\circ}}{17.5^{\circ}}}$ erfolgte auf Grund der Tabelle von O. Krümmel, welche man für die höheren specifischen Gewichte in etwas erweiterte. Der Vergleich der so gewonnenen Daten mit den Pyknometer-Ergebnissen rechtfertigt die Verwendung dieses höchst handlichen Diagrammes vollständig. Für die aussergewöhnlich hohen specifischen Gewichte (Canal von Suez) acceptirte man jedoch nur die Pyknometer-Angaben, da die Krümmel'sche Tabelle hier nur Näherungswerte zulässt. Die Gewinnung der Zahlen für die Form $S_{\frac{t^{\circ}}{4^{\circ}}}^{\frac{t^{\circ}}{4^{\circ}}}$ geschah mittelst der Proportion:

$$S_{\frac{t^{\circ}}{4^{\circ}}}^{\frac{t^{\circ}}{4^{\circ}}} : S_{\frac{t^{\circ}}{17.5^{\circ}}}^{\frac{t^{\circ}}{17.5^{\circ}}} = 0.968746 : 1$$

wobei 0.968746 die Dichte des destillirten Wassers bei 17.5° C., bezogen auf die Dichte solchen Wassers bei 4° C., als Einheit vorstellt.²

Die in der Columnne Salzgehalt in Percenten eingetragenen Zahlen wurden analog, wie dies für das Wasser des östlichen Mittelmeeres geschah, aus den specifischen Gewichten mit Hilfe des Coefficienten 131 berechnet.

Auf Grund der Untersuchungen des Chemikers der Expedition Dr. Konrad Natterer gestattet es die chemische Zusammensetzung des im Hochseewasser des Rothen Meeres gelösten Salzes, den in Rede stehenden Coefficienten zu benützen. Anders verhält sich die Verwendung desselben für das Wasser des Suezcanals. Die in demselben gelösten Salze zeigen eine etwas verschiedene Zusammensetzung, weshalb mit der Zahl 131 nur Näherungswerte erhaltbar sind.³

Die letzten Columnen der Tabelle 2 endlich enthalten Aufzeichnungen über den Zustand der See, über die Farbe des Meerwassers nach der in unserem Berichte für die Untersuchungen im östlichen Mittelmeere modificirten Forel'schen Scala,⁴ endlich meteorologische Daten über die Lufttemperatur, den Barometerstand, die Windrichtung und Stärke des Windes und die Bewölkung — doch nur für die Zeit der vorgenommenen Beobachtungen. Hiebei wurde die Lufttemperatur mit dem Schleuderthermometer beobachtet, dessen Angaben unter den schwierigen Bordverhältnissen grössere Sicherheit gewähren, während die Windstärke und die Bewölkung auf Grund von Schätzungen bestimmt wurden.

¹ Vergl. unsere Berichte für die Expeditionen im östlichen Mittelmeer; Denkschriften der kais. Akad. d. Wissensch. Wien Bd. LIX, LX und LXI.

² Nach Rosetti.

³ Dieselben sind gleichfalls in der Tabelle 2 eingetragen und beziehen sich auf die Stationen 3 bis 10 und 206 bis 209.

⁴ Vergl.: Berichte der Commission für Erforschung des östlichen Mittelmeeres. Zweite Reihe. LX. Band der Denkschriften der kais. Akad. d. Wissensch. in Wien.

Der Luftdruck ist nach einem, im chemisch-physikalischen Laboratorium installirten Quecksilberbarometer, welches 2 m über dem Wasserniveau angebracht war, verzeichnet. Die Daten über die Lufttemperatur und den Barometerstand erscheinen bereits corrigirt eingetragen.

Die letzte Columnne »Anmerkung« enthält Aufzeichnungen, welche einige Orientirung über die, während der Beobachtungszeit vorgekommenen Zwischenfälle, Instrumentenverluste etc. gewähren, endlich Angabe, wo Durchsichtigkeits-Beobachtungen und Wellenmessungen vorgenommen wurden.

a) Die Seetemperatur.

Für die Beobachtung der Temperatur des Seewassers standen der Expedition neben einer ausreichenden Anzahl gewöhnlicher, gut vergleichener Thermometer noch weiter zur Verfügung:

19 Maximum- und Minimum-Tiefseethermometer nach Negretti & Zambra und nach Miller Casella's Construction,

6 Tiefseethermometer, System Negretti & Zambra, eingerichtet auf Umkehrung mittels Schraube und 2 Pinselthermometer nach Baudin.

Die grosse Anzahl von Tiefseethermometern erschien in Anbetracht der Entfernung des Untersuchungsgebietes und des Umstandes, dass ein sich im Verlaufe der Expedition eventuell einstellender Bedarf nicht zu decken gewesen wäre, gerechtfertigt. Da die kaiserliche Akademie der Wissenschaften mir die Wahl des Systems vollkommen freistellte, so mag die überwiegende Anzahl von Maximum- und Minimum-Instrumenten darauf hindeuten, dass ich diese Thermometer jenen mit Umkehrung durch eine Schraube vorziehe. In der That ist dem so. Ohne die Vortheile der letztgenannten Thermometer zu verkennen, muss dennoch auf Grund einer längeren Erfahrung zugegeben werden, dass sie nicht jene absolute Sicherheit bieten, um das erstgenannte System vollkommen ersetzen zu können und so vorzüglich sich sich als Control-Instrumente eignen, glaube ich ihre alleinige Verwendung mindestens im Allgemeinen nicht empfehlenswerther hinstellen zu können, als jene des Maximum- und Minimum-Systems. In verschiedenen Berichten¹ an die kaiserliche Akademie der Wissenschaften habe ich schon dieser Anschauung Ausdruck gegeben und bereits im Jahre 1877 in einer kleinen Schrift: Über Negretti und Zambra's Tiefsee-Thermometer² auf die schwierige Handhabung der gedachten Umkehrthermometer bei Seegang, Wind und Strömung aufmerksam gemacht, sowie weiter angedeutet, dass diesen Instrumenten betreffs ihrer richtigen Functionirung kritische Aufmerksamkeit geschenkt werden müsse. Die Möglichkeit des Umkippens noch vor dem Aufholen in Folge des Seeganges oder in Folge eines stärkeren Stromes, die Hinderung der richtigen Functionirung der Schraube in Folge eines in die Schraube gelangten Hindernisses — Seetang, von Bord aus in die See gelangtes Werk etc. — welches die Functionirung der Schraube ganz oder theilweise hindern kann, das Abreissen des Quecksilberfadens an der nicht richtigen Stelle sind meist schwer zu behebende und was noch mehr in das Gewicht fällt, mitunter nicht zu constatirende Mängel. Dass ich in diesem Urtheile nicht vereinzelt dastehe, ergibt eine jüngst erschienene Relation über die physikalischen Untersuchungen in der Faröer-Rinne,³ in welcher Relation den Maximum- und Minimum-Thermometern das Wort gesprochen und die Verwendung der Schraube zum Zwecke des Umkippens bei Tiefseethermometern als bedenklich hingestellt wird.

¹ Sitzungsbericht der mathem.-naturw. Classe vom 9. October 1890; Vorbericht an die kais. Akademie über die Expedition 1892 von J. Luksch, publicirt in den Sitzungsberichten, Bd. CI, Abth. I, October 1892, S. 8 und 9; Sitzungsber. d. kais. Akad. Bd. CII, Abth. I, October 1893, S. 15 etc.

² Vergl. Über Negretti u. Zambra's Tiefsee-Thermometer, mitgetheilt von den Prof. J. Wolf und J. Luksch. (Mittheilungen aus dem Gebiete des Seewesens, 1877.)

³ Vergl. Capt. W. U. Moore R. N. H. M. S. »Research«. Physical Conditions of water of the Faeroe Channel. Hydrographic Department. London Admiralty. London 1896.

In Würdigung der gemachten Erfahrungen habe ich nun schon vor der Ausreise zu der in Rede stehenden Fahrt von 1895 auf 1896 den Rahmen eines der Umkehr-Thermometer in der Weise umändern lassen, dass die Umdrehung nicht durch die Schraube, sondern durch ein Laufgewicht bewirkt werden konnte und überdies, um das Thermometer vor Verletzungen beim Aufholen zu schützen, die Drehungs-Axe vom untern Ende des Rahmens nach der Mitte desselben verlegen lassen. Die entsprechende Anordnung mag aus der nebenstehenden bildlichen Darstellung ersehen werden, welche eine breitere Erklärung unnöthig machen dürfte.

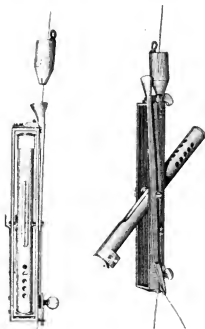
Das in solcher Weise umgestaltete Instrument bewährte sich ganz befriedigend, die Anbringung an dem Lothdraht machte keinerlei Schwierigkeiten und die Functionirung ging stets anstandslos vor sich.

Wenn man nun trotzdem für die Zwecke der bevorstehenden zweiten Expedition von einer Umformung sämtlicher im Vorrathe befindlichen derartigen Umkehr-Thermometer absah, und sich mit dem einen, bereits umgeformten begnügte, so mögen die Gründe hiefür kurz angedeutet werden.

Eine längere Erprobung erscheint zunächst noch angezeigt, um die Sicherheit zu gewinnen, dass das Schlaggewicht keinen nachtheiligen Einfluss auf das Thermometer ausübe. Wir meinen hiebei nicht nur die Möglichkeit einer Verletzung desselben in Folge des Auffallens des Gewichtes, welcher Möchlichkeit bereits bei der Umformung gedacht und dadurch zu steuern gesucht wurde, dass man das Schlaggewicht nicht direct auf den Rahmen, sondern auf eine seitlich angebrachte Feder wirken liess, sondern auch eine Einwirkung des Gewichtes auf das richtige Abreissen des Quecksilberfadens, wie überhaupt auf die Lagerung und die Continuität der Quecksilbersäule. Erst dann, wenn diese fraglichen Punkte in einem günstigen Sinne geklärt sind, wird man daran gehen können, nicht nur die Thermometer in der versuchten Art umzuändern, sondern auch an die Methode zu denken, um mehrere, an ein und demselben Drahte übereinander angeordnete Thermometer, behufs rascherer Gewinnung von Reihentemperaturen zum Umkippen mittelst Fallgewichtes zu bringen.¹

Im Ubrigen mag noch bemerkt werden, dass sämtliche zur Verwendung gelangten Tiefseethermometer — von den ihnen anhaftenden principiellen Mängeln abgesehen — sich sonst gut bewährten, und der Verlust an solchen Instrumenten während der Expedition ein relativ geringer war.²

Vor Besprechung der gewonnenen Daten über die Seetemperatur sei bemerkt, dass man in Anbetracht des Umstandes, dass die Untersuchungsfahrt sich auf die Herbst-, Winter- und Frühjahrszeit bezieht, ein Auseinanderhalten der Temperatur-Daten in dem gedachten Sinne als nöthig erachtete und die



¹ Man würde zu diesem Zwecke am Fusspunkte eines jeden Thermometerrahmens je ein Fallgewicht dergestalt anzubringen suchen, dass dasselbe in Folge des Aufschlagens des nächst höheren Gewichtes auf die Feder ausgeschaltet wird und an dem Drahte herabsteigend das nächst unten angebrachte Instrument zur Functionirung bringt.

² Verloren wurden: 2 Tiefseethermometer in Folge Reissens des Lothdrahtes; unbrauchbar wurden: 2 Tiefseethermometer in Folge Anschlagens an die Bordwand beim Aufholen unter Segelgang.

graphischen Darstellungen¹ demontsprechend anordnete. Man zerlegte das Hochseegebiet in einen südlichen und in einen nördlichen Abschnitt, wobei für den ersteren die Herbst-, für den letzteren die Winterverhältnisse dargestellt erscheinen, während die Ergebnisse für die Golfe von Suez und Akaba sich auf die Erscheinungen im Frühjahr beziehen.

Temperatur-Curven.

(Vergl. Taf. II.)

Wie bei den Untersuchungen im östlichen Mittelmeere wurden auch diesmal für die im Rothen Meere gewonnenen Temperatur-Reihen Curven construirt, welche nicht nur den verticalen Verlauf der Temperatur zur Anschauung bringen, sondern auch für eventuelle Interpolationen zur Herstellung der weiteren graphischen Darstellungen zu dienen hatten. In Bezug auf den Vorgang bei der Construction dieser Curven verweisen wir auf die bereits mehrfach citirten Mittelmeerberichte. Aus der Gesamtzahl dieser Curven wählte man für die verschiedenen Untersuchungs-Gebiete unter Berücksichtigung der Jahreszeit, in welcher die ihnen zu Grunde liegenden Temperatur-Ablesungen gewonnen wurden, die auf der Tafel II verzeichneten Linien aus, und zwar.

Für den südlichen Abschnitt und für die Monate November und December 1895 die Curven I bis VII, für den nördlichen Abschnitt und für die Monate Jänner und Februar 1896 die Curven VIII bis XI; für die Gewässer am Ausgange des Golfes von Suez und für die Monate October 1895, Februar und April 1896 die den nahe aneinander gelegenen Beobachtungsstationen entsprechenden Curven XII bis XV; für den Golf von Suez die Curven XVI bis XIX für die Monate October 1895 und März 1896, endlich für den Golf von Akaba die Curve XX, dem Monat April 1896 zugehörig.

Der Vergleich dieser Curven ergibt nun folgende typische Formen:

Die Curven für den südlichen Abschnitt und für die Monate November und December 1895 I bis VII deuten in ihren obersten Theilen bis etwa zu 60 m entweder auf eine gleiche Durchwärmung oder eine sehr langsame Abnahme der Temperatur hin. Von 60 m ab stellt sich eine raschere Abnahme ein, welche bis zu 400 m anhält, worauf wieder eine langsamere, aber stetige Abnahme bis zu 700 m erfolgt. Von 700 m an geht die Curve in eine gerade Linie, entsprechend der Ordinate von 21°5 C. über. Dieser, im Allgemeinen skizzirte Verlauf wird einigermassen durch die geographische Lage, welcher die Temperatur-Curven angehören, modificirt. Die Curven I und II für den südlichsten, jene III, IV und V für den mittleren, endlich VI und VII für den nördlichen Theil des in Rede stehenden Abschnittes stimmen unter sich in ihrem Verlaufe am meisten überein. In dem oberen Theile der letztgenannten zwei Curven prägt sich bereits der Übergang von den Herbst- zu den Winterverhältnissen aus.

Die Curven VIII, IX, X und XI für den nördlichen Abschnitt des Untersuchungsgebietes für die Monate Jänner und Februar 1896, zeigen für die höheren Wasserschichten — die ganz obersten, weil in Folge meteorologischer Verhältnisse vorübergehend beeinflusst, ausgenommen — bis zu etwa 100 m Tiefe grösstentheils eine ganz gleichmässige Durchwärmung, von da ab jedoch bis wieder etwa 400 m eine allmällige Abkühlung der Wassertemperatur an, um sodann rascher in die homotherme Temperatur von 21°5 C. überzugehen, welche auch hier bei 700 m erreicht wird.

Die Curven XII, XIII, XIV und XV der Lage ihrer Stationen nach, der Hochsee des Rothen Meeres und nicht dem Golfe von Suez angehörend, sind dennoch durch die Gewässer dieses Golfes beeinflusst und liegen überdies nahe unter der Küste und der dort situirten Inseln. Die diesen Curven entsprechenden Temperatur-Ablesungen gehören drei Positionen dieser verschiedenen Beobachtungszeiten u. z. den Monaten October 1895, Februar und April 1896 an. Die Positionen dieser Curven liegen überdies so nahe aneinander, dass dieselben als ein und derselben Station zugehörig, zum Vergleiche gebracht werden können.

¹ Speziell für die Tafeln IV, die horizontale Vertheilung der Seetemperatur in der Hochsee des Rothen Meeres, gültig.

Curve XII, für den Monat October, zeigt nahezu den Verlauf der Curven I und II des südlichen Abschnittes; Curve XIII, für den Monat Februar gültig, stimmt in ihrem Verlaufe mit Curve XI der Hochsee im nördlichen Abschnitte überein.

Die Curven XIV und XV für den Monat April, tragen ebenfalls die Charakteristik der Curve XI an sich und liefern hiedurch den Beweis, dass die Winterverhältnisse sich hier noch im April geltend machen, was auf ihre Lage am Ausgange des Golfes zurückzuführen ist, aus welchem durch alle Jahreszeiten Wasser von relativ niederer Temperatur nach der Hochsee abströmt.

Wir gehen nun zu den Temperaturlinien in den Golfen von Suez und in jenem von Akaba über.

Für den Golf von Suez wurden die Curven XV bis XIX construiert, wobei ihrer Lage nach XVI und XIX dem nördlichen, XVIII dem mittleren und XVII dem südlichsten Theile des Golfes — der Zeit nach XVI dem Monat October 1895, die übrigen Curven aber dem Monate März 1896 zu gehören.

Curve XVI für October, deutet in ihrem gewundenen Verlaufe, speciell für die obersten Schichten die Einwirkung des durch den Canal von Suez einströmenden, bereits abgekühlten Mittelmeerswassers auf das noch stark erwärmte Wasser des Rothen Meeres an, während die Curven XIX, XVIII und XVII für März und ihrer Lage nach für den Nord-, Mittel- und Südtheil des Golfes gültig, den Übergang der Temperatur des Golfwassers zu jener der Hochsee charakterisiren.

Für den Golf von Akaba wurde nur eine Temperaturlinie, XX construiert. Dieselbe entspricht der Station 220, etwa im Kreuzungspunkte der Längen- und Breitenaxe des gedachten Golfes gelegen, sie ist für den Monat April 1897 gültig und zeigt in ihrem Verlaufe eine fast vollkommen gleiche Durchwärmung von der Oberfläche zum Grunde. Der Übergang der Curve in eine gerade Linie, entsprechend der Ordinate von 21°C tritt aber hier schon in 400 m, in welcher Tiefe die isotherme Wasserschichte des Golfes von Akaba beginnt.

Das Studium eines täglichen Ganges der Temperatur an der Oberfläche und in der Tiefe — so werthvoll dasselbe auch erscheint — konnte nicht Aufgabe der Forschungsfahrt sein, da der Natur der Expedition nach die Bedingungen zu einem gedeihlichen Erfolge fehlten. Die in der nachfolgenden Zusammenstellung (Tabelle 3) gebrachten 45 Temperatur-Reihenpaare dürften jedoch zum Theile geeignet sein, auch in dieser Hinsicht einige Anhaltspunkte über den Gang der Temperatur im Verlaufe kürzerer Zeiträume sowohl an ein und demselben Punkte, als auch auf verschiedenen Örtlichkeiten, an welchen beobachtet wurde, zu geben.

Tabelle 3.

Vergleich der in kurzen Zeitintervallen vorgefundenen Temperaturen auf nahe aneinander gelegenen Stationen. October 1895 bis April 1896.

Stationen und Beobachtungszeiten	Tiefe in Metern	Seetemperatur in Celsius-Graden		Differenzen totale	Stationen und Beobachtungszeiten	Tiefe in Metern	Seetemperatur in Celsius-Graden		Differenzen totale
		Stat. 21.	Stat. 22.				Stat. 30.	Stat. 33.	
27. October 1895, 4 ^h 0 ^m p. m.	0	26° 1	26° 1	0° 0	31. October 1895, 2 ^h 15 ^m p. m.	0	27° 5	28° 0	1° 1
	1	26° 0	26° 0	0° 0		1	27° 5	28° 0	1° 1
	2	26° 0	26° 0	0° 0		2	27° 5	28° 5	1° 0
	10	26° 0	26° 0	0° 0		10	27° 1	28° 2	1° 1
	20	25° 9	26° 0	0° 1		20	27° 1	28° 1	1° 0
28. October 1895, 4 ^h 5 ^m p. m.	30	25° 9	25° 9	0° 0	1. November 1895, 2 ^h 10 ^m p. m.	30	27° 0	28° 0	1° 0
	40	25° 5	25° 6	0° 1		50	26° 9	27° 8	0° 9
	50	25° 1	25° 1	0° 0		100	25° 7	25° 6	0° 1
	65	24° 1	21° 1	0° 0					
21.					30.				
22.					33.				

Stationen und Beobachtungs- zeiten	Tiefe in Metern	Seetemperatur in Celsius-Graden		Differenzen totale	Stationen und Beobachtungs- zeiten	Tiefe in Metern	Seetemperatur in Celsius-Graden		Differenzen totale
12. November 1895. 42. 0 ^h 30' a. m.		Stat. 42.	Stat. 44.		14. November 1895. 46. 0 ^h 30' a. m.		Stat. 46.	Stat. 47.	
13. November 1895. 44. 2 ^h 30' p. m.	0	28° 1'	28° 5'	0° 4'	11. November 1895. 47. 2 ^h 10' p. m.	0	28° 7'	29° 5'	0° 8'
	1	28° 1'	28° 5'	0° 4'		1	28° 7'	29° 5'	0° 8'
	2	28° 0'	28° 3'	0° 3'		2	28° 7'	29° 5'	0° 8'
	10	27° 9'	28° 2'	0° 3'		10	28° 8'	29° 2'	0° 4'
	20	27° 9'	28° 1'	0° 2'		20	28° 8'	29° 0'	0° 2'
	30	27° 8'	27° 9'	0° 1'		40	28° 6'	28° 8'	0° 2'
	50	27° 7'	27° 5'	—0° 2'		70	27° 2'	27° 5'	0° 3'
	70	27° 3'	27° 0'	—0° 3'		100	25° 8'	26° 0'	0° 2'
	100	25° 2'	25° 1'	—0° 1'					
21. November 1895. 58. 8 ^h a. m.	0	Stat. 58.	Stat. 59.		21. November 1895. 59. 10 ^h a. m.	0	Stat. 59.	Stat. 60.	
21. November 1895. 59. 10 ^h a. m.	1	26° 7'	26° 8'	0° 1'	21. November 1895. 60. Mittag	1	26° 8'	26° 8'	0° 2'
	2	26° 7'	26° 8'	0° 1'		2	26° 8'	26° 9'	0° 1'
	10	26° 6'	26° 7'	0° 1'		2	26° 8'	26° 9'	0° 1'
	20	26° 6'	26° 6'	0° 0'		10	26° 7'	26° 8'	0° 1'
	30	26° 6'	26° 6'	0° 0'		20	26° 6'	26° 7'	0° 1'
	40	26° 5'	26° 5'	0° 0'		30	26° 6'	26° 7'	0° 1'
	70	25° 6'	25° 5'	—0° 1'		40	26° 5'	26° 6'	0° 1'
	100	25° 0'	24° 9'	—0° 1'		70	25° 5'	25° 5'	0° 0'
						100	24° 9'	25° 0'	—0° 1'
21. November 1895. 60. Mittag	0	Stat. 60.	Stat. 61.		20. November 1895. 69. 0 ^h 20' a. m.	0	Stat. 69.	Stat. 70.	
21. November 1895. 61. 2 ^h 15' p. m.	1	26° 8'	26° 4'	—0° 4'	20. November 1895. 70. 2 ^h 5' p. m.	1	27° 5'	27° 6'	0° 1'
	2	26° 9'	26° 4'	—0° 5'		2	27° 4'	27° 6'	0° 2'
	10	26° 9'	26° 5'	—0° 4'		2	27° 7'	27° 6'	—0° 1'
	20	26° 8'	26° 6'	—0° 2'		10	27° 8'	27° 6'	—0° 2'
	30	26° 7'	26° 6'	—0° 1'		20	27° 8'	27° 5'	—0° 3'
	40	26° 7'	26° 6'	—0° 1'		30	27° 6'	27° 4'	—0° 2'
	70	25° 5'	25° 4'	—0° 1'		40	27° 5'	27° 3'	—0° 2'
	100	25° 0'	24° 9'	—0° 1'		70	27° 0'	26° 5'	—0° 5'
						100	25° 6'	25° 2'	—0° 4'
30. November 1895. 72. 0 ^h 10' a. m.	0	Stat. 72.	Stat. 73.		1. December 1895. 75. 0 ^h 20' a. m.	0	Stat. 75.	Stat. 76.	
30. November 1895. 73. 2 ^h 20' p. m.	1	26° 8'	26° 4'	—0° 4'	1. December 1895. 76. 3 ^h 0' p. m.	1	26° 8'	27° 9'	1° 1'
	2	26° 9'	26° 4'	—0° 5'		1	26° 9'	27° 9'	1° 0'
	10	27° 0'	26° 3'	—0° 7'		2	27° 0'	28° 0'	1° 0'
	20	27° 2'	26° 3'	—0° 9'		2	27° 1'	27° 8'	0° 7'
	30	27° 3'	26° 2'	—1° 1'		20	27° 1'	27° 0'	0° 5'
	40	27° 2'	26° 1'	—1° 2'		30	27° 2'	27° 5'	0° 3'
	70	27° 2'	26° 1'	—1° 1'		40	27° 2'	27° 4'	0° 2'
	100	25° 5'	25° 4'	—0° 1'		70	26° 6'	26° 7'	0° 1'
						100	25° 8'	25° 6'	—0° 2'
28. December 1895. 101. 0 ^h 30' a. m.	0	Stat. 101.	Stat. 102.		4. Januar 1896. 113. 0 ^h 45' a. m.	0	Stat. 113.	Stat. 114.	
28. December 1895. 102. 3 ^h p. m.	1	25° 4'	25° 0'	—0° 4'	4. Januar 1896. 114. 2 ^h 11' p. m.	1	24° 8'	25° 2'	0° 4'
	2	25° 4'	25° 1'	—0° 3'		2	25° 0'	25° 4'	0° 4'
	10	25° 5'	25° 3'	—0° 2'		2	25° 1'	25° 4'	0° 3'
	20	25° 5'	25° 2'	—0° 3'		10	25° 1'	25° 4'	0° 3'
	40	25° 3'	25° 2'	—0° 1'		20	25° 1'	25° 4'	0° 3'
	70	25° 2'	25° 2'	0° 0'		40	25° 1'	25° 3'	0° 2'
	100	25° 1'	24° 9'	—0° 2'		70	25° 1'	25° 2'	0° 1'
						100	25° 0'	25° 2'	0° 2'

Stationen und Beobach- zeiten	Tiefe in Metern	Seetemperatur in Celsius-Graden		Differenzen totale	Stationen und Beobach- zeiten	Tiefe in Metern	Seetemperatur in Celsius-Graden		Differenzen totale
215. 3. April 1896. 1 ^h 40 ^m p. m.	0	Stat. 215.	Stat. 216.		219. 7. April 1896. 12 ^h 16 ^m p. m.	0	Stat. 219.	Stat. 220.	
216. 3. April 1896. 3 ^h 57 ^m a. m.	1	22° 0	22° 5	- 0° 1	220. 7. April 1896. 1 ^h 40 ^m p. m.	1	22° 0	21° 8	- 0° 2
	2	22° 0	22° 5	0° 0		2	22° 2	22° 0	- 0° 2
	10	22° 1	22° 1	0° 0		10	21° 9	21° 9	0° 0
	20	21° 5	21° 0	0° 1		20	21° 9	21° 8	- 0° 1
	40	21° 7	21° 5	0° 1		40	21° 8	21° 8	0° 0
	70	21° 6	21° 6	0° 0		70	21° 7	21° 7	0° 0
	100	21° 5	21° 5	0° 0		100	21° 5	21° 5	0° 0
220. 7. April 1896. 1 ^h 40 ^m p. m.	0	Stat. 220.	Stat. 221.		221. 7. April 1896. 3 ^h 7 ^m p. m.	0	Stat. 221.	Stat. 222.	
221. 7. April 1896. 3 ^h 7 ^m p. m.	1	21° 8	21° 8	0° 0	222. 7. April 1897. 4 ^h 25 ^m p. m.	1	21° 8	22° 0	0° 2
	2	22° 0	22° 0	0° 0		2	22° 0	22° 1	0° 1
	10	22° 0	21° 9	- 0° 1		10	21° 9	22° 0	0° 1
	20	21° 9	21° 7	- 0° 2		20	21° 7	21° 6	- 0° 1
	40	21° 8	21° 6	- 0° 2		40	21° 6	21° 5	- 0° 1
	70	21° 7	21° 5	- 0° 2		70	21° 5	21° 4	- 0° 1
	100	21° 5	21° 4	- 0° 1		100	21° 4	21° 3	- 0° 1
225. 11. April 1896. 10 ^h 30 ^m a. m.	0	Stat. 225.	Stat. 226.		226. 11. April 1896. 11 ^h 37 ^m a. m.	0	Stat. 226.	Stat. 227.	
226. 11. April 1896. 11 ^h 37 ^m a. m.	1	21° 5	21° 5	- 0° 2	227. 11. April 1896. 1 ^h 51 ^m p. m.	1	21° 5	21° 7	0° 2
	2	21° 5	21° 6	0° 1		2	21° 6	21° 7	0° 1
	10	21° 6	21° 7	0° 1		10	21° 7	21° 7	0° 0
	20	21° 5	21° 7	0° 2		20	21° 7	21° 7	0° 0
	40	21° 5	21° 7	0° 2		40	21° 6	21° 6	0° 0
	70	21° 4	21° 6	0° 2		70	21° 5	21° 5	0° 0
	100	21° 4	21° 5	0° 1		100	21° 4	21° 4	0° 0
227. 11. April 1896. 1 ^h 51 ^m p. m.	0	Stat. 227.	Stat. 228.		228. 11. April 1896. 3 ^h 4 ^m p. m.	0	Stat. 228.	Stat. 229.	
228. 11. April 1896. 3 ^h 4 ^m p. m.	1	21° 7	21° 7	0° 0	229. 11. April 1896. 3 ^h 45 ^m p. m.	1	21° 7	21° 6	- 0° 1
	2	21° 7	21° 7	0° 0		2	21° 7	21° 7	0° 0
	10	21° 7	21° 6	- 0° 1		10	21° 6	21° 6	0° 0
	20	21° 6	21° 6	0° 0		20	21° 6	21° 6	0° 0
	40	21° 5	21° 5	0° 0		40	21° 5	21° 5	0° 0
	70	21° 4	21° 4	0° 0		70	21° 4	21° 4	0° 0
	100	21° 3	21° 3	0° 0		100	21° 3	21° 3	0° 0
230. 12. April 1896. 9 ^h 22 ^m a. m.	0	Stat. 230.	Stat. 231.		231. 12. April 1896. 11 ^h 55 ^m a. m.	0	Stat. 231.	Stat. 232.	
231. 12. April 1896. 11 ^h 55 ^m a. m.	1	21° 5	21° 0	0° 1	232. 12. April 1896. 1 ^h 45 ^m p. m.	1	21° 0	21° 5	0° 1
	2	21° 5	21° 6	0° 1		2	21° 0	21° 0	0° 0
	10	21° 7	21° 7	0° 0		10	21° 7	21° 7	0° 0
	20	21° 6	21° 4	- 0° 2		20	21° 4	21° 4	0° 0
	40	21° 6	21° 4	- 0° 2		40	21° 4	21° 4	0° 0
	70	21° 5	21° 3	- 0° 2		70	21° 3	21° 3	0° 0
	100	21° 4	21° 3	- 0° 1		100	21° 3	21° 3	0° 0

Stationen und Beobachtungs- zeiten	Tiefe in Metern	Sectemperatur in Celsius-Graden		Differenzen totale	Stationen und Beobachtungs- zeiten	Tiefe in Metern	Sectemperatur in Celsius-Graden		Differenzen totale
		Stat. 233.	Stat. 234.				Stat. 234.	Stat. 235.	
13. April 1896, 9 ^h 10 ^m a. m.	0	21° 4	21° 5	0° 1	13. April 1896, 10 ^h 30 ^m a. m.	0	21° 5	21° 4	-0° 1
12. April 1896, 10 ^h 30 ^m a. m.	1	21° 5	21° 5	0° 0	13. April 1896, 12 ^h 15 ^m p. m.	1	21° 5	21° 5	0° 0
233.	2	21° 6	21° 5	-0° 1	234.	2	21° 5	21° 5	0° 0
234	10	21° 5	21° 4	-0° 1	235.	10	21° 4	21° 4	0° 0
	20	21° 5	21° 4	-0° 1		20	21° 4	21° 4	0° 0
	40	21° 4	21° 4	0° 0		40	21° 4	21° 4	0° 0
	70	21° 4	21° 4	0° 0		70	21° 4	21° 4	0° 0
	100	21° 3	21° 3	0° 0		100	21° 3	21° 3	0° 0
		Stat. 235.	Stat. 236.				Stat. 236.	Stat. 237.	
13. April 1896, 12 ^h 15 ^m p. m.	0	21° 4	21° 5	0° 1	13. April 1896, 1 ^h 20 ^m p. m.	0	21° 5	21° 5	0° 0
11. April 1896, 1 ^h 22 ^m p. m.	1	21° 5	21° 6	0° 1	13. April 1896, 2 ^h 17 ^m p. m.	1	21° 6	21° 5	-0° 1
235.	2	21° 5	21° 6	0° 1	236.	2	21° 6	21° 6	0° 0
236.	10	21° 4	21° 5	0° 1	237.	10	21° 5	21° 6	0° 1
	20	21° 4	21° 5	0° 1		20	21° 5	21° 6	0° 1
	40	21° 4	21° 4	0° 0		40	21° 4	21° 5	0° 1
	70	21° 4	21° 4	0° 0		70	21° 4	21° 4	0° 0
	100	21° 3	21° 3	0° 0		100	21° 3	21° 3	0° 0
		Stat. 237.	Stat. 238.				Stat. 241.	Stat. 242.	
13. April 1896, 2 ^h 17 ^m p. m.	0	21° 5	21° 3	-0° 2	13. April 1896, 9 ^h 10 ^m a. m.	0	21° 4	21° 5	0° 1
12. April 1896, 3 ^h 33 ^m p. m.	1	21° 5	21° 4	-0° 1	15. April 1896, 9 ^h 54 ^m a. m.	1	21° 4	21° 5	0° 1
237.	2	21° 6	21° 4	-0° 2	241.	2	21° 4	21° 5	0° 1
238.	10	21° 6	21° 4	-0° 2	242.	10	21° 4	21° 5	0° 1
	20	21° 6	21° 4	-0° 2		20	21° 4	21° 4	0° 0
	40	21° 5	21° 4	-0° 1		40	21° 3	21° 4	0° 1
	70	21° 4	21° 3	-0° 1		70	21° 3	21° 3	0° 0
	100	21° 3	21° 3	0° 0		100	21° 3	21° 3	0° 0
		Stat. 242.	Stat. 243.				Stat. 255.	Stat. 256.	
15. April 1896, 9 ^h 14 ^m a. m.	0	21° 5	21° 5	0° 0	25. April 1896, 9 ^h 40 ^m a. m.	0	23° 0	23° 3	0° 3
15. April 1896, 10 ^h 15 ^m a. m.	1	21° 5	21° 5	0° 0	256.	1	22° 9	23° 2	0° 3
242.	2	21° 5	21° 5	0° 0	257.	2	22° 9	23° 2	0° 3
243.	10	21° 5	21° 6	0° 1		10	22° 5	22° 7	0° 2
	20	21° 4	21° 6	0° 2		20	22° 5	22° 6	0° 1
	40	21° 4	21° 6	0° 2		40	22° 4	22° 5	0° 1
	70	21° 3	21° 4	0° 1		70	22° 4	22° 4	0° 0
	100	21° 3	21° 3	0° 0		100	22° 3	22° 3	0° 0
		Stat. 258.	Stat. 259.				Stat. 259.	Stat. 260.	
28. April 1896, 4 ^h 30 ^m a. m.	0	23° 0	23° 0	0° 0	28. April 1896, 7 ^h 51 ^m a. m.	0	23° 0	23° 4	0° 4
259.	1	23° 0	23° 0	0° 0	28. April 1896, 8 ^h 45 ^m a. m.	1	23° 0	23° 4	0° 4
260.	2	23° 0	23° 0	0° 0		2	22° 6	22° 8	0° 2
	10	22° 7	22° 6	-0° 1		10	22° 6	22° 7	0° 1
	20	22° 7	22° 6	-0° 1		20	22° 6	22° 7	0° 1
	40	22° 6	22° 5	-0° 1		40	22° 5	22° 5	0° 0
	70	22° 3	22° 4	0° 1		70	22° 4	22° 4	0° 0
	100	22° 2	22° 3	0° 1		100	22° 3	22° 3	0° 0

Die Temperaturreihen der Stationen 58, 59, 60 und 61 wurden an einem und demselben Tage und in ein und derselben Örtlichkeit (vor Anker bei der Insel St. Johns) gewonnen. Die Differenzen der zusammengestellten Reihenpaare lassen einen Schluss auf den täglichen Gang der Temperatur während der Beobachtungszeit und bis zu einer Tiefe von 100 *m* ziehen. Es ergibt sich zunächst ein Wachsen der Temperatur durch alle Schichten von der Oberfläche bis zu 100 *m* Tiefe in dem Zeitraume von 8^h a. m. bis Mittag, dagegen eine Abnahme der Wärme von 2^h 45^m p. m. an. Dieser Rückgang erscheint allerdings etwas verfrüht; bei Betrachtung der während der Beobachtungszeit stattgefundenen meteorologischen Verhältnisse aber wird derselbe ebenso erklärbar wie der kleine Betrag des Wachsens der Temperatur in den Stunden vom Morgen bis zum Mittag, indem der kühle Nordostwind im Laufe des Tages zunahm¹ und die Bewölkung die volle Wirkung der Sonne beeinträchtigte.

Man wird zu dem Schlusse berechtigt sein, dass die Fortpflanzung der Wärme von der Meeresoberfläche bis zu 100 *m* Tiefe und darüber innerhalb 24 Stunden im Laufe des Monats November in den Gewässern des Rothen Meeres ausgesprochen erscheint.

Die Temperaturpaare der Stationen 21 und 22 dann 30 und 33 führen zu einem weiteren Schluss. Die erstgenannten Paare wurden in ein und derselben Örtlichkeit, die zweitgenannten an zwei verschiedenen, von einander um 100 Seemeilen entfernten, Nord-Süd orientirten Positionen gewonnen, wobei Station 33 die südlicher gelegene ist.

Die Differenz des erstgenannten Paares weisen (mit Ausnahme der kleinen Beträge² von 0·1 in 20 und in 40 *m*) bis zu 50 *m* Tiefe 0·0, jene des zweitgenannten Paares aber bis 50 *m* 1st C. auf. Aus diesen Differenzen geht hervor, dass: die Zunahme der Temperatur des Seewassers mit dem Vorschreiten nach den niederen Breiten im Rothen Meere bis zu 50 *m* Tiefe eine im Monate October noch ganz erhebliche ist, dagegen sich in 100 *m*, wo die Differenz auf — 0·1 zurückging, nicht mehr nachweisen liess.

Wir gehen nun zu den übrigen 37 Temperaturpaaren der Tabelle 3 über, welche auf nahe aneinander gelegenen Örtlichkeiten innerhalb Zeitintervallen von 1 bis 9 Stunden bis zur Tiefe von 100 *m* beobachtet wurden.

Von denselben zeigen die Stationspaare 46—47, 75—76, 113—114, 119—120, 128—129, 208—209, 253—256 und 259—260 eine ausgesprochene Zunahme der Temperatur mit dem Vorschreiten der Tageszeit bis zu 100 *m* Tiefe. Die angeführten Differenzen sind mit einer einzigen Ausnahme (Paar 75—76 in 100 *m*, — 0·2) positiv und nehmen die Beträge mit zunehmender Wassertiefe ab. Die Grösse der Differenzen hängt mit der geographischen Lage und der Jahreszeit zusammen, welchen die zum Vergleiche kommenden Stationen zugehören. Dieselben sind am grössten für die Paare 46 und 47, 75 und 76 (November und December 1895, südlichster Theil des Untersuchungsgebietes) und werden für die Temperatur-Reihen 113 und 114, 119 und 120, endlich 128 und 129 (Jänner 1896, dem mittleren Theil des Untersuchungs-Gebietes angehörend) geringer.

Die Paare 72 und 73, dann 101 und 102 zeigen in allen Wasserschichten bis zur Tiefe von 100 *m* eine Abnahme der Temperatur mit dem Vorschreiten der Tageszeit. Hier ist die gegenseitige Lage der Stationen entscheidend. Wie im späteren nachgewiesen werden wird, nimmt die Temperatur des Seewassers im Rothen Meere nicht nur — wie bereits gesagt wurde, und in vorhinein anzunehmen ist — von Norden nach Süden, sondern auch von Westen nach Osten hin zu. Die graphischen Darstellungen³ für die verticale, als auch jene für die horizontale Vertheilung der Wärme, construiert auf Grund der gewonnenen Daten, zeigen diese Erscheinung bis zur Evidenz. Nicht nur während der Beobachtungszeit, sondern auch einige Tage früher waren die meteorologischen Verhältnisse an den Stationen

¹ Um 8^h a. m. NE₁, Bewölkung 8, — um 10^h NE₃₋₄, Bewölkung 8; — um Mittag NE₅ in Boen, Bewölkung 5 und Nachmittag 2^h 15^m NE₄₋₅, Bewölkung 6.

² Man ist geneigt, diese kleinen Differenzen auf eventuelle Ablesungsfehler zurückzuführen.

³ Mit der unbedeutenden Ausnahme in 2 *m* Tiefe.

⁴ Vergl. die Tafeln III.

72 und 73, dann 101 und 102 vollkommen normale, es ist daher die Lage der Stationen 72 und 101 westwärts von jenen 73 und 102, welchen die Abnahme der Temperatur trotz der vorgeschrittenen Tageszeit zuzuschreiben sein wird.

Die gegenseitige Lage der Stationen 155 und 156 — diesmal Nord-Süd — wobei auf der nördlicher gelegenen Station später beobachtet wurde, weiters aber die meteorologischen Verhältnisse: NW, bewegte See, fast vollkommene Bevölkerung (vergl. Tabelle 2), welche vor und im Laufe der Untersuchungen stattfanden, erklären gleichfalls die in den Differenzen ausgedrückten Anomalien für die genannten Stationen.

Die Stationspaare 42 und 44, 69 und 70 zeigen für die oberen Schichten positive, für die unteren geringe negative Differenzen, sohin dem Gange der Wärme entsprechende Änderungen.

Was endlich die hier nicht angeführten, in der Tabelle 3 aber aufgenommenen übrigen 24 Temperaturpaare betrifft, so weisen deren Differenzen so kleine Beträge auf, dass aus denselben nicht gut ein Gesetz über die Temperaturbewegung in den einzelnen Wasserschichten abzuleiten ist und daher eine Diskussion der einzelnen Reihenpaare kaum zu einem Ergebniss führen würde.

Einige Bemerkungen seien jedoch gestattet. Mit Ausnahme der Reihenpaare 151 und 153, dann 165 und 166, für welche die Beobachtungen in den Monat Februar 1896 fallen, gehören alle übrigen 22 Paare dem Golfe von Akaba¹ an, wo im Laufe des Monates April 1896 gearbeitet wurde. Der Temperatur-Unterschied der ganzen Wassersäule von der Oberfläche bis zur Tiefe von 100 m erreicht nur bei drei Reihen den Betrag von 1°4 C., bleibt aber bei der weit überwiegenden Zahl unter 1° C. zurück. Die sich ergebenden Differenzen bewegen sich hiebei zwischen den Grenzen 0·2 und 0°0 C. für das ganze Zeitintervall zwischen zwei jeweilig vorgenommenen Beobachtungen, welches Zeitintervall im Minimum etwa 1, im Maximum etwa 9 Stunden betrug. Ein täglicher Gang kann somit nicht gut ziffermässig nachgewiesen werden.

Dagegen gewährt die nachfolgende Zusammenstellung einen Einblick in die Temperatur-Bewegung der in Rede stehenden Gewässer für einen längeren Zeitraum.

	Stat. 243. Nordende des Golfes von Akaba 15. April 1896.		Stat. 207. Südende des Golfes von Akaba 2. April 1896.		Stat. 255. Südende des Golfes von Akaba 25. April 1896.
	Differenz		Differenz		
0 ^m	21·5 C.	0·9	22°4 C.	0·6	23°0
1	21·5	0·9	22·4	0·5	22·9
2	21·5	0·8	22·3	0·6	22·9
10	21·6	0·5	22·1	0·4	22·5
20	21·6	0·4	22·0	0·5	22·5
40	21·6	0·1	21·7	0·7	22·4
70	21·4	0·2	21·6	0·8	22·4
100	21·3	0·2	21·5	0·8	22·3

Aus den Differenzen für die Stationen 243 und 207 geht hervor, dass das Wasser im Nordgolf von Akaba, trotz der vorgeschrittenen Jahreszeit, in welcher dort beobachtet wurde (15 April auf 243 gegen 2. April auf 207), tiefere Temperaturen aufwies, als jenes im Südgolf; aus dem Vergleich der nahe gelegenen Stationen 207 und 255 aber, dass sich innerhalb eines Zeitraumes von 23 Tagen (2. April auf 207, 25. April auf 255) die Temperatur aller Wasserschichten bis zur Tiefe von 100 m um einen nicht unwesentlichen Betrag gehoben hatte.

¹ Das Temperatur-Paar 255 und 256 ist zwar nicht in dem Inneren des Golfes von Akaba, sondern nahe am Ausgange desselben beobachtet worden, gehört aber dennoch hieher, da die oberen Schichten bis zu 100 m Tiefe von dem Golfwasser beeinflusst erscheinen.

Verticale und horizontale Vertheilung der Seetemperatur.

Die Tafeln III, IV, V und VI bringen die beobachteten Seetemperaturen durch Isothermen in Vertical- und Horizontal-Schnitten graphisch zur Darstellung. Die letzteren beziehen sich für die Hochsee des Rothen Meeres und für den Golf von Akaba auf die Meeresoberfläche und auf die Tiefen von 10 und 100 Metern, sowie auf den Meeresgrund, für den Golf von Suez jedoch — in Anbetracht der mässigen Anzahl von Stationen, an welchen Reihentemperaturen gewonnen wurden und der geringen Tiefen (der Golf besitzt nur solche bis 82 m) — nur auf die Oberfläche und auf den Grund. Es sei noch weiter hervorgehoben, dass man, wie schon in der Vorbemerkung gesagt wurde, auf die Jahreszeit, in welche die Beobachtungen fallen, Rücksicht genommen hat und sohin die Hochsee bei der Darstellung sowohl der verticalen als auch der horizontalen Vertheilung der Temperatur in einen südlichen Abschnitt für die Monate November und December 1895 und in einen nördlichen Abschnitt für die Monate Jänner und Februar 1896 theilte. Die entsprechende Darstellung für den Golf von Suez dagegen bezieht sich auf den Monat März und jene für den Golf von Akaba auf den Monat April 1896, in welche Zeit die Untersuchungen fielen. Nur das Profil A macht insofern eine Ausnahme, als auf denselben alle, während der Fahrt von Suez nach Jidda (24. Oktober bis 11. November 1895) gewonnenen Beobachtungsstationen aufgenommen erscheinen.¹

Bei der Darstellung über den Horizontalen Verlauf des Salzgehaltes wurde jedoch mit Rücksicht auf die grössere Stetigkeit dieses Momentes von einer Theilung der Hochsee nach Jahreszeiten abgesehen.

Bei der Herstellung der Profile wurden die einzelnen Stationen ohne Rücksicht auf den Tag und die Stunde, an welchen auf denselben beobachtet wurde, so aneinander gereiht, wie sie eben in die Schnitte fielen. Es erscheinen somit weder die Witterungsverhältnisse, noch der tägliche und jährliche Gang eliminiert. In gleicher Weise wurde auch bei der Herstellung der Horizontal-Isothermen verfahren.

Aus den, der Profiltafel III beigelegten Orientierungskärtchen lässt sich die Lage der Profile entnehmen.

Verticale Vertheilung der Seewassertemperatur.

(Vergl. Taf. III.)

Gehen wir zur Besprechung derselben über:

Profil A — von Suez bis zur geographischen Breite von Jidda, also durch das ganze Untersuchungsgebiet — mit Ausnahme des Golfes von Akaba — axial verlaufend, bezieht sich auf den Zeitraum vom 24. Oktober bis 11. November 1896² und umfasst sieben Beobachtungsstationen.

Mit Ausnahme einer einzigen Anomalie auf Station 22 verlaufen die Linien gleicher Temperatur derart, dass auf eine Zunahme der Temperatur in allen Schichten gegen Süden hin geschlossen werden muss, obwohl mit dem Vorschreiten zur kälteren Jahreszeit beobachtet wurde. Die mit diesem Vorschreiten verbundene gesetzmässige Abkühlung der Wasserschichten innerhalb der Beobachtungsdauer genügte daher nicht, um die bestehende Wärmevertheilung — höhere Temperatur im Süden als im Norden — zu verwischen.

Wie früher bemerkt, findet sich aber eine bemerkenswerthe Ausnahme für die Station 22. Aus Tafel I lässt sich ersehen, dass diese Station relativ nahe unter der ägyptischen Küste situiert ist, und da im Folgenden nachgewiesen werden wird, dass das Wasser näher derselben durchwegs niedrigere Temperaturen besitzt als das Wasser in der Mitte des Rothen Meeres und an der Arabischen Küste, findet das Aufbiegen der Isothermen eine ungezwungene Erklärung. Obwohl eine Hinweglassung der gedachten Station aus

¹ In Bezug auf die Construction dieser Darstellungen verweisen wir auf unsere Berichte über die Expeditionen im östlichen Mittelmeere, 1891, 1892 und 1893. Vergl. Denkschriften der kais. Akad. d. Wissensch. Mathem.-naturw. Cl.

² Nimmt man Station 46, woselbst erst nach längerem Aufenthalte in Jidda beobachtet wurde, aus, so umfasst der Beobachtungszeitraum für das in Rede stehende Profil nur 9 Tage (24. October bis 1. November 1895).

dem Profile zu rechtfertigen gewesen wäre,¹ wurde dieselbe dennoch — auf dem Wege nach Jidda liegend — in den Schnitt aufgenommen.

Wir gelangen nun zu dem südlichsten Abschnitt unseres Untersuchungsgebietes für die Beobachtungszeit von November und December 1895. Dasselbe erstreckt sich von der geographischen Breite Jidda's bis etwa zu jener von Jembo und wurden für dieses Gebiet die Profile B, C, D und E, und zwar B für die Gewässer unter der afrikanischen, C für jene in der Axe, D für die Gewässer an der arabischen Küste im Sinne von Nord nach Süd, E aber als Querprofil im Sinne von Westen nach Osten verlaufend, construiert.

Profil B von Berenice, südwärts in die hohe See zu Station 42 verlaufend, umfasst sieben Stationen für die Zeit vom 13. bis letzten November 1895, also von 17 Beobachtungstagen. Aus Tafel I ist ersichtlich, dass die einzelnen Stationen nicht in der Reihe, in welcher sie im Profil geordnet sind, angelaufen wurden. Der Verlauf der Isothermen spricht eine Zunahme der Temperatur von Norden nach Süden hin u. z. auffallend ausgeprägt in den Schichten bis zu 100 m, und noch immer erkennbar in den tieferen, bis zu 700 m aus. Von da ab ist eine Änderung der Temperatur bis zum Grunde hin, nicht mehr nachweisbar. (Vergl. Abschnitt über die Temperatur-Curven.)

Profil C, in der Axe der in Rede stehenden Meeresabschnitte, gleichfalls Nord-Süd, von der geographischen Breite Jembo's bis zu jener von Jidda verlaufend, umfasst fünf Stationen für die Zeit vom 20. November bis 6. December, und da Station 41 keine Reihenbeobachtungen aufweist, für die Beobachtungsdauer von 8 Tagen. Die Stationen erscheinen diesmal mit dem Vorschreiten von Süden nach Norden geordnet.

Der Verlauf der Isothermen, eine ganz unbedeutende Anomalie ausgenommen (vergl. Station 75, Isotherme von 22° C.) zeigt gleichfalls ein ausgesprochenes Herabsinken derselben von Norden nach Süden, sohin eine Zunahme der Temperatur in diesem Sinne. Verglichen mit dem vorhergehenden Profil B ergibt sich wieder, dass die gleichwerthigen Isothermen bei C tiefer herabreichen als beim Profil B, somit, dass das Wasser unter der ägyptischen Küste tiefere Temperaturen aufweist, als jenes in der Axe der Hochsee.

Profil D, gleichfalls Nord-Süd orientirt, verläuft längs des arabischen Gestades, umfasst sieben Stationen, von welchen die letzte keine Reihentemperaturen aufweist, und eine Beobachtungszeit von 14 Tagen (14. November bis 25. December 1895). Die Anordnung der Stationen entspricht, wie bei Profil B, nicht dem fortlaufenden Datum, in welchem sie angelaufen wurden.

Die Isothermen dieses Profiles bringen gleichfalls die Zunahme der Wassertemperatur gegen Süden zum Ausdruck. Verglichen mit den Linien gleicher Wärme der Profile C und D zeigt es sich, dass das Wasser an der arabischen Küste am stärksten durchwärmt ist, jenes in der Axe geringere Temperaturen aufweist, und die niedersten Temperaturen an der ägyptischen Küste gefunden wurden, somit eine Zunahme der Temperatur nicht nur von Norden nach Süden, sondern auch von Westen nach Osten deutlich ausgesprochen ist.

Das Querprofil E, die Stationen 73, 72 und 76 verbindend, von welchen Station 72 in keinem anderen Profil vorkommt, bringt die Zunahme der Temperatur von Westen nach Osten gleichfalls deutlich zum Ausdruck.

Für den nördlichen Abschnitt der Hochsee und für die Monate Jänner und Februar 1896 wurden gleichfalls Profile, und zwar ähnlich verlaufend wie jene für den südlichen Abschnitt, hergestellt. Mit Rücksicht auf die grössere Ausdehnung des Gebietes erscheinen statt eines zwei Querprofile aufgenommen.

Der Verlauf der Linien gleicher Temperatur in dem Längenschnitte F für die ägyptische Küste sechs Stationen umfassend, welche von links nach rechts verkehrt nach der Zeit, in welcher auf denselben beobachtet wurde, geordnet sind und eine Beobachtungsdauer von einem Monat und 18 Tagen umfassen):

¹ In Folge ihrer Lage dicht unter der Insel »Brothers« streng genommen keine Station in hoher See

in jenem für die Axe *G* (fünf Stationen und eine Beobachtungszeit von einem Monat und 6 Tagen umfassend, und zwar bei gleicher Anordnung wie bei *F*), endlich in jenem für die arabischen Gewässer *H* (sechs Stationen bei einer Beobachtungsdauer von einem Monat und in der Anordnung gleichwie in den früheren Schnitten, entgegen der Beobachtungszeit), lassen auf einen Blick die Erscheinung erkennen, die in dem südlichen Abschnitte zum Ausdruck kommt: Zunahme der Seetemperatur von Norden nach Süden und von Westen nach Osten.

Das Gleiche sagen das Querprofil *J* (für den nördlichsten Theil der Hochsee, welches die verkehrt in der Zeit ihrer Beobachtung angeordneten Stationen 163, 149 und 151 enthält und eine Beobachtungsdauer von 12 Tagen erfordert), sowie das Querprofil *K*, gleichfalls drei Stationen: 110, 113 und 114 enthaltend, welche jedoch nach der Zeitfolge der Beobachtungen angeordnet werden konnten, und die eine Beobachtungsdauer von 2 Tagen erforderten, in Bezug auf den Temperaturverlauf von Westen nach Osten aus.

Zusammengefasst lässt es sich somit aussprechen:

Dass in dem Gebiete der Hochsee des Rothen Meeres, in welchem 1895 auf 1896 beobachtet wurde, die Temperatur während der Herbst- und Wintermonate — October, November, December, Jänner und Februar — mit dem Vorschreiten von Norden nach Süden und von Westen nach Osten eine höhere wird.

Es erübrigt noch, die Betrachtung der Längen- und Querschnitte für den Golf von Suez: *L* und *M* und für jenen von Akaba: *N* und *O* zu besprechen.

Das Längenprofil *L* für den Golf von Suez, Nord-Süd orientirt, umfasst sechs Stationen, auf deren ersten fünf vom 2. bis 13. März 1896, auf dem südlichst gelegenen Punkt 166 aber am 2. Februar beobachtet wurde. Der Verlauf der Isothermen zeigt eine Zunahme der Temperatur nach Süden hin, während im Querprofil *M* — vier Stationen, an welchen innerhalb dreier Tage beobachtet wurde, umfassend — eine Zunahme der Temperatur von Westen nach Osten zum Ausdruck gelangt.

Im Längenprofil *N* für den Golf von Akaba, welches Nord-Süd orientirt ist, zehn Stationen umfasst und wo die Beobachtungen innerhalb 23 Tage ausgeführt wurden, kommt gleichfalls eine Zunahme der Temperatur nach Süden hin, wenngleich nur schwach zum Ausdruck, während das Querprofil *O*, West-Ost orientirt, drei Stationen umfassend, welche verkehrt zur Beobachtungszeit angeordnet sind, und wo die Beobachtungen 4 Tage erforderten, die Zunahme der Temperatur von Westen nach Osten erkennen lässt.

Es kann somit für die Golfe von Suez und von Akaba in Bezug auf die verticale Temperaturvertheilung dasselbe — allerdings nur auf Basis der Beobachtungen im Monate März, beziehungsweise April 1896 — ausgesprochen werden, was für das Hochseegebiet gesagt wurde.

Für den Golf von Akaba muss weiter noch hervorgehoben werden, dass die homotherme Wasserschichte schon bei 500 Meter Tiefe beginnt und nur 21°2 C. aufweist, während für die Hochsee, wie im Früheren ausgeführt, erst die Wasserschichten von 700 Meter Tiefe abwärts eine gleichmässige Durchwärmung, und zwar von 21°5 C. zeigen.

Horizontale Vertheilung der Seewassertemperatur.

(Vergl. Taf. IV, V und VI.)

Wir gehen nun zur Besprechung der weiteren Darstellungen der Seewassertemperatur und des Salzgehaltes, nämlich zu den Horizontalschnitten über, werden uns aber zunächst nur mit der Vertheilung der Temperatur beschäftigen. Der erhöhten Übersichtlichkeit dieser Darstellung gegenüber den Verticalprofilen und des Grundes hiefür, nämlich, dass alle drei Coordinaten besser zum Ausdruck gelangen, haben wir schon in unseren Berichten über die Mittelmeerfahrten gedacht; hier sei nur nochmals betont, dass die in Rede stehenden Horizontalschnitte Schlüsse auf das Vorhandensein von Meeresströmungen aus der Beschaffenheit des vorgefundenen Wassers in Bezug auf Temperatur und speciell auf Salzgehalt besonders leicht gestatten.

Unter Hinweisung auf die Tafel IV sei zunächst der südliche Abschnitt der Hochsee, und dessen horizontale Vertheilung der Temperatur für die Zeit von November und December 1895 in Besprechung gezogen.

a) Wir finden hier an der Meeresoberfläche ein sehr stark durchwärmtes Gebiet von über $+20^{\circ}$ C. nord- und westwärts von Jidda. Dasselbe ist auf die arabischen Küstengewässer beschränkt und von mässiger Ausdehnung gegen Norden und Süden.

b) Von dem Westrande dieses Gebietes bis ziemlich nahe an die ägyptische Gegenküste erscheint das Wasser noch immer sehr stark erwärmt — bis 28° C. Die Isotherme von 28° verläuft im Westen, entsprechend den Küstencontouren, nordwärts hin aber in zwei vorspringenden Zungen, von welchen die westliche bis in die geographische Breite von Mersa—Halaib, die östliche fast bis zur Höhe von Jembo vordringt.

c) Ein Gebiet, umgrenzt von der 27° Isotherme, schliesst diese Zungen ein und reicht bis zum Nordabschluss des in Rede stehenden Meeresabschnittes.

d) Die niedrigste Temperatur findet sich an der ägyptischen Küste, gegen die Hochsee von der 26° Isotherme abgegrenzt.

Die Temperaturvertheilung in 10 Meter Tiefe deckt sich nahezu mit jener an der Meeresoberfläche nur erscheint ein Gebiet tieferer Temperatur auch an den Gestaden Arabiens, u. zw. in den Küstengewässern von Jembo.

In 100 Meter Tiefe treten nur mehr die Isothermen von 26° und 25° C. auf. Die erstere schliesst das Küstengewasser Arabiens, die letztere jenes Egyptens von der Hochsee ab, deren Temperatur zwischen 25° und 26° C. liegt. Das Gebiet niedriger Temperatur bei Jembo hat in 100 Meter bedeutend an Umfang abgenommen. Die nach der Mitte der Hochsee vordringende Zunge höher temperirten Wassers von Jidda aus gegen Nordwest verlaufend, ist auffallend an Areal verkleinert, die westliche, in 0 und 10 Meter bestehende kleinere Zunge aber kommt in 100 Meter nicht mehr zum Ausdruck.

Die Vertheilung der Wassertemperatur am Grunde, bei geringeren Tiefen mit der Gestaltung des Seebodens zusammenhängend und auch mit der geographischen Position in Beziehung stehend, zeigt uns im allgemeinen ein Bild grosser Gleichmässigkeit, indem mit Ausnahme der Gewässer unter den beiden Küsten, an welchen die Temperatur im Verhältnisse zur Abnahme der Tiefe zunimmt, und eines kleinen Gebietes um die Inseln, in den Tiefen von 700 Meter abwärts stets die gleiche Temperatur von 21.5° C herrscht.

Für den nördlichen Abschnitt der Hochsee ergibt die Temperatur-Vertheilung für die Monate Jänner und Februar 1896 das folgende Bild:

a) Die Isotherme von 25° verläuft Nordost-Südwest von El Wej gegen Berenice, einen scharfen Einbug vom Dädalus-Riff gegen Hassani und eine vorspringende Zunge Nordwest gegen die Hochsee zu bildend. Das Wasser östlich dieser Isotherme bis zu der Küste Arabiens ist das höchsttemperirte im ganzen nördlichen Meeresabschnitte und zwar mit 25° C und darüber.

b) Die Isothermen von 24 und 23° C verlaufen nach Richtung und Gestalt sehr ähnlich jener von 25° C. Der Einbug und die nach Nordwesten vorspringende Zunge sind auch hier deutlich ausgeprägt und zwar am stärksten an der 23° C Linie. Die Isotherme von 22° C endlich verläuft fast Nord-Süd, zieht unter der Küste von Afrika, beginnt bei Koseir und reicht bis über die Insel Schadwan hinaus.

Wir finden somit, wie im früher besprochenen südlichen Abschnitte, die höchsten Temperaturen im Südosten und Osten nahe den arabischen Gestaden, die niedersten aber an der ägyptischen Gegenküste.

Der Verlauf der Isothermen in 10 Meter Tiefe schmiegt sich jenen der Oberfläche ziemlich nahe an und sind auch hier die Einbüge und Zungen ausgeprägt, gleichwie beim Oberflächenwasser.

In 100 Meter Tiefe stossen wir zwar auf einen ähnlichen, doch sich mit jenem von 0 und 10 Meter nicht ganz deckenden Verlauf der Linien gleicher Wärme von 25, 24 und 23° C. Die Isotherme von 22° C erscheint nicht ausgeprägt, doch dies nur darum, weil die Tiefen westlich von Schadwan 100 Meter nicht erreichen.

Für die Temperatur am Grunde gilt dasselbe, was für den südlichen Abschnitt gesagt wurde. In der Hochsee treffen wir bei Tiefen über 700 Meter auch hier durchwegs $21^{\circ}5\text{C.}$, während nach Massgabe des Anstiegens des Seebodens zu den beiden Küsten, die Bodentemperaturen entsprechend zunehmen. In dem nächsten Bereiche der in diesem Meeresschnitt vertheilten Inseln finden sich selbstredend ähnliche Verhältnisse vor, wie unter den Küsten.

Die Darstellung der Vertheilung der Temperatur im Golfe von Suez (vergl. Taf. V) gilt für den Monat März 1896 und zeigt zunächst für die Oberfläche eine Abnahme der Wärme von Südost nach Nordwest, also ähnlich wie in der Hochsee, wobei unter gleicher geographischer Breite, das Wasser an der Sinai-Halbinsel höhere Temperaturen aufweist als jenes unter der ägyptischen Küste. Die in der Hochsee hervorgehobenen, nach Nordwest vorspringenden Zungen erscheinen auch hier, jedoch sehr schwach ausgeprägt.

Ein ähnliches Bild ergibt auch die Darstellung der Temperatur-Vertheilung am Grunde, bei welcher jedoch hervorzuheben ist, dass ein an der Ostseite bemerkbarer Streifen erwärmten Wassers bis nahe zum Ausgange der Suez-Canales reicht.

Bemerkt sei noch, dass die Temperaturen im Golfe von Suez die niedersten im ganzen Gebiete des Untersuchungsfeldes sind und sich zwischen den Grenzen 21° und 17°C bewegen.

Wir gelangen nun zum letztuntersuchten Meeresgebiete, dem Golfe von Akaba (vergl. Taf. V), in welchem die Untersuchungen in den Monat April 1896 fielen. Die Tafel VI gibt die Vertheilung der Temperatur für die Horizonte von 0, 10 und 100 Meter und für den Grund. Da die Temperatur-Schwankungen im Verlaufe des genannten Monates sehr geringe sind und sich nur zwischen 21° und 23°C . bewegen, wurden die Isothermen vermehrt, u. z. für die Oberfläche auch die Linien von $21^{\circ}4$, $21^{\circ}5$, $21^{\circ}9$, $22^{\circ}6$, $22^{\circ}8$ und $22^{\circ}9$ aufgenommen. So charakteristisch nun auch die gewonnene Darstellung erscheint, glauben wir doch, angesichts der betonten kleinen Temperatur-Unterschiede, uns bei der Besprechung der Isothermen eine gewisse Reserve auferlegen zu müssen.

An der Oberfläche erscheint eine Abnahme der Temperatur von Norden nach Süden und von Westen nach Osten — also in demselben Sinne wie dies im früheren für die übrigen Gebiete des Rothen Meeres nachgewiesen wurde, entschieden ausgesprochen. Die Linien gleicher Wärme verlaufen aber nicht regelmässig, und es machen sich auch hier mehrere Zungen, u. z. jene gegen Dahab — nach Westen verlaufend — dann eine zweite nördliche der erstgenannten — gegen Nawibi gerichtet — und noch weiter nördlich zwei weitere — bemerkbar. Ausnahmen von der allgemeinen Regel machen sich auch in den Häfen — so bei Dahab und Nawibi — geltend, doch erscheinen diese Ausnahmen nur von localer Bedeutung und dürften durch die Configuration der Ankerplätze hervorgerufen sein.

Sehr ähnlich dem Verlaufe der Isothermen an der Oberfläche gestaltet sich der Verlauf in 10 Meter Tiefe. Die Abnahme der Temperatur von Norden nach Süden und von Osten nach Westen, die nach Westen vorspringenden Zungen bei Dahab und Nawibi etc. machen sich wieder kenntlich, desgleichen sind die Anomalien der Hafentemperaturen in Nawibi und Akaba, ausgeprägt.

In 100 Meter Tiefe ist zwar der Verlauf der Temperatur analog wie bei 10 Meter und an der Oberfläche; die hervorgehobenen Zungen jedoch erscheinen entweder sehr stark abgeschwächt oder kommen gar nicht mehr zum Ausdruck.

Die Temperatur am Grunde zeigt im seichten Wasser die Anschmiegung an die Bodenconfiguration, gleichwie in der Hochsee, bleibt aber constant $21^{\circ}2\text{C.}$ von 500 Meter an, in welcher Tiefe die homotherme Schichte beginnt, deren obere Begrenzung um 200 Meter höher liegt und die eine $0^{\circ}3\text{C.}$ niedrigere Temperatur besitzt, als dies für die Hochsee nachgewiesen wurde. Die geographische Lage des Golfes, die Jenseits von den tieferen Gewässern der Hochsee abschliessende unterseische Barriere, welche bis auf 141 Meter zur Meeresoberfläche hinaufreicht, bilden eine genügende Erklärung für die gedachte Erscheinung. Die Gewässer an den Küstenrändern haben dem Anstiegen des Seebodens entsprechend wachsende Temperaturen; die Temperatur der Hafengewässer von Muyawan, Bir-al-Maschyja und Akaba wurden aber ausnahmsweise nieder gefunden.

Vergleichen wir nun die beiden Golfe, jenen von Suez und den von Akaba, so ergibt sich das Folgende:

Beide sind unter gleicher geographischer Breite situirt, beide vorherrschend heftig wehenden Winden, — der Golf von Suez dem Nordwest, der Golf von Akaba dem Nordost — durch einen grossen Theil des Jahres ausgesetzt, beide sind in ihrer horizontalen Gestaltung ähnlich.

Im Golfe von Akaba wurden in dem Monate April, in jenem von Suez im Monate März zahlreiche Temperaturbeobachtungen ausgeführt, welche ergaben, dass das Wasser im Golfe von Akaba wärmer ist als jenes von Suez. Die vorgeschrittene Jahreszeit, in welcher der Golf von Akaba durchforscht wurde, gibt zunächst eine Erklärung für diese Erscheinung. Nun liegen aber für den Golf von Suez vereinzelte Beobachtungen auch für den Monat April vor und aus der nachfolgenden kleinen Zusammenstellung:

Golf von Suez.				Golf von Akaba.			
Stat.-Nr.	Geogr. Breite	Zeit	Seetemp. in 0 m	Stat.-Nr.	Geogr. Breite	Zeit	Seetemp. in 0 m
262	28°21'	29. April 1896	19°8 C	250	28°13'	22. April 1896	21°5 C.
263	29 8	29. „ „	19·1	244	29 13	17. „ „	21·7
264	29 21	29. „ „	18·8	243	29 27	15. „ „	21·5
202	27 40	28. „ „	23·8	256	27 50	25. „ „	23·3

lässt sich, mit der einzigen Ausnahme der Vergleichsstationen 202 und 256, welche aber schon im freien Wasser an dem Ausgange der betreffenden Golfe liegen, erschen, dass: auch im Monate April das Wasser des Golfes von Suez unter gleicher geographischer Breite und bei geringem Unterschiede in der Beobachtungszeit bedeutend tiefere Temperaturen beitzit, als jenes im Golfe von Akaba.

Für die niederen Temperaturen im Golfe von Suez spricht auch die folgende Zusammenstellung:

Station Suez (Port Tewfik).

	October 1895	Jänner 1896	Februar 1896	März 1896	Mai 1896
In 0 m Tiefe	23°2 C.	14°7 C.	15°8 C.	17°4 C.	21°5 C.
„ 1 „	23·2	14·8	15·7	17·4	21·5
„ 2 „	23 2	14·9	15 7	17·4	21·5
„ 5 „	23·3	14·9	15·4	17·2	20·9
„ 8 Grund	23·3	14·0	15·0	16·9	20·9

Aus derselben geht hervor, dass: im Nordtheil des Golfes von Suez die im Golfe von Akaba schon im April angetroffenen Temperaturen erst im Monate Mai auftreten.

Die Zahlen der nachfolgenden Tabelle:

Am südlichen Ausgang		In der Mitte des Golfes von Suez.	Am nördlichen Ausgang
Stat. 188, 12. März 1896.		Stat. 197, 19. April 1896.	Stat. 178, 4. März 1896.
In 0 m Tiefe	20°9 C.	17°9 C.	17°1 C.
» 1 »	20·9	17·9	17·0
» 2 »	20·9	17·9	16·9
» 10 »	20·8	17·2	16·9
» 20 »	20·8	17·1	16·8
» 30 »	20·7	17·1	16·8
» 58 Grund	19·7	in 58 m Gr. 16·8	in 45 m Gr. 16·8

zeigen endlich gleich wie die Profile und Horizontalschnitte für den gedachten Golf, dass eine Abnahme der Temperatur von Süden nach Norden stattfindet, was speciell bei den Stationen 188 und 197 zum Ausdruck gelangt, indem auf ersterer am 19. auf letzterer aber schon am 12. März beobachtet wurde und sich das Wasser trotzdem auf der Station 197 kälter erweist als auf Station 188.

Es genügt sonach der Unterschied in der Beobachtungszeit, April für den Golf von Akaba, März für jenen von Suez, nicht, um die tiefen Temperaturen des Wassers des letzteren zu erklären und wir dürfen nicht fehlgehen anzunehmen, dass der Grund hierfür sowohl in der früher hervorgehobenen Luftströmungen als auch in dem Zufluss abgekühlteren Wassers aus dem Mittelmeer durch den Canal von Suez nach dem gleichnamigen Golfe zu suchen sein dürfte.

b) Der Salzgehalt des Meerwassers.

Für die Beobachtung des specifischen Gewichtes standen der Expedition zur Verfügung:

Ein Satz Aräometer, fünf Instrumente umfassend, s. g. »kleiner Satz«.

Ein Satz Aräometer, zehn Instrumente umfassend, s. g. »grosser Satz«.

Zwei Stück Aräometer des »grossen Satzes« mit der Eintheilung: 1·0270—1·0305.

Zwei Stück Aräometer für Ablesungen von 1·030 bis 1·037 und 1·037 bis 1·044. Sämmtliche Aräometer waren von Steger in Kiel geliefert, endlich

Ein Doppelbild Refractometer nach Abbe, geliefert von Karl Zeiss in Jena.

Alle diese Instrumente waren vollkommen befriedigend ausgeführt und bewährten sich bestens.

Wie schon während der früheren Untersuchungen im östlichen Mittelmeere wurde auch diesmal eine Anzahl von Seewasserproben aus verschiedenen Theilen des Untersuchungsgebietes und aus verschiedenen Tiefen heimgebracht und behufs Controle der mit Aräometer und Refractometer gefundenen Resultate mittelst Pyknometers auf ihr specifisches Gewicht geprüft. Die Resultate finden sich in den nachfolgenden Tabellen 4 und 5 zusammengestellt.

Tabelle 4 weist 15 Vergleiche von specifischen Gewichten auf, welche mittelst Aräometers und Pyknometers gefunden wurden. Das arithmetische Mittel der Differenzen betrug hiebei +0·00006, im specifischen Gewichte, was einer Differenz von +0·008, % im Salzgehalte entspricht. Die Differenzen sind fast durchwegs positiv (nur dreimal finden sich negative Vorzeichen) und es würde eine Erhöhung der mittelst Aräometers gewonnenen Werthe um eine Einheit in der vierten Decimalstelle des specifischen Gewichtes, beziehungsweise um eine Einheit in der zweiten Decimalstelle des Salzgehaltes genügen, um die Resultate des Aräometers jenen des Pyknometers gleichzustellen. Eine solche Correction wurde jedoch nicht vorgenommen, da anzunehmen ist, dass die in Frage stehenden — im Übrigen sehr mässigen — Differenzen nicht bis zur ganzen Höhe dem verwendeten Aräometer allein zugeschrieben werden dürfen und es sich auch bei Verwendung der gewonnenen Daten in erster Reihe nur um relative Werthe handelt.

Tabelle 4.

Mittelst Pyknometers gefundene spezifische Gewichte und Vergleiche derselben mit den Aräometerangaben.

Nummern der Beob- achtungs- stationen	Tiefe in Metern	$\sigma_{17.5^\circ}$ $\sigma_{17.5^\circ}$ bestimmt mittelst Pyknometers	$\sigma_{17.5^\circ}$ $\sigma_{17.5^\circ}$ bestimmt mittelst Aräometers	Differenzen
1	0	1'02195	1'02218	-0'00020
7	10 Gr.	1'04197	1'0417	+0'00027
8	0	1'04219	1'0423	+0'00009
10	0	1'03286	1'0329	-0'00003
40	0	1'03007	1'03005	+0'00002
55	2160 Gr.	1'03115	1'03100	+0'00015
151	400	1'03103	1'03100	+0'00003
179	20	1'03201	1'0319	+0'00011
230	874 Gr.	1'03108	1'03120	-0'00012
241	0	1'03110	1'03109	+0'00007
*	10	1'03117	1'03109	+0'00008
257	0	1'03079	1'03078	+0'00001
*	10	1'03104	1'03080	+0'00024
264	0	1'03112	1'0311	+0'00002
204	0	1'03219	1'0320	+0'00019

Arithm. Mittel der Differenzen: $+0'000092$, entsprechend einer Differenz im Salzgehalte von: $+0'004 \text{ ‰}$.

Für eine Reihe von Wasserproben aus dem Canal von Suez konnten keine Aräometer-Ablesungen vorgenommen werden, weil die Eingänge dieses Abschnittes angeführten Aräometer für hohe spezifische Gewichte erst nach Ankuft des Expeditionsschiffes in Jidda von Kiel aus einlangten. Man nahm in Folge dieses Umstandes die Untersuchung des spezifischen Gewichtes mit dem Doppelbild-Refractometer allein vor und brachte noch überdies Wasserproben behufs Untersuchung mittelst Pyknometers heim.

In der nachfolgenden Tabelle 5 sind die Ergebnisse dieser Untersuchungen zusammengestellt:

Tabelle 5.

Mittelst Pyknometers gefundene spezifische Gewichte von Wasser aus dem Canal von Suez und Vergleiche derselben mit den Angaben des Doppelbild-Refractometers.

Nummern der Beob- achtungs- stationen	Tiefe in Metern	$\sigma_{17.5^\circ}$ $\sigma_{17.5^\circ}$ bestimmt mittelst Pyknometers	$\sigma_{17.5^\circ}$ $\sigma_{17.5^\circ}$ bestimmt mittelst des Doppelbild- Refractometers	Differenzen
4	0	1'03003	1'0300	+0'00003
5	0	1'03065	1'0309	-0'00027
*	7 Gr.	1'04175	1'0410	-0'00015
7	10 Gr.	1'04197	1'0418	+0'00017
8	0	1'04219	1'0422	-0'00001
9	0	1'03187	1'0316	+0'00027
10	0	1'03280	1'0328	-0'00000

Arithm. Mittel der Differenzen: $0'000041$, entsprechend einer Differenz im Salzgehalte von: $-0'004 \text{ ‰}$.

Aus dieser Zusammenstellung geht nun hervor, dass sich hier die Differenzen im Allgemeinen ungünstiger stellen, als bei den Vergleichen zwischen den Pyknometer- und Aräometer-Ergebnissen. Abgesehen von den absolut höheren Beträgen, schwanken die Vorzeichen auffallend und beweisen, dass sich die Mittel — obwohl an sich nicht hoch — für eine sichere Correctur der Angaben nicht gut eignen.

In ähnlicher Weise stellen sich die Ergebnisse beim Vergleich der übrigen, während der Expedition vorgenommenen zahlreichen refractometrischen Untersuchungen,¹ welche dormalen aus dem Grunde nicht aufgenommen erscheinen, weil für dieselben nur Ariometer-Beobachtungen zum Vergleiche vorliegen. Die im Zuge befindliche Expedition nach dem südlichen Abschnitt des Rothen Meeres, wo noch bedeutend höhere Temperaturen zu erwarten sind als jene, die während der in Rede stehenden Forschungsfahrt aufgetreten sind, dürfte geeignet sein, noch weitere Erfahrungen zu sammeln und Anhaltspunkte zu gewinnen, um die bis nun für die Reduction nur vorläufig aufgestellten Constanten zu rectificiren.

Immerhin aber möchte ich aussprechen, dass das in Rede stehende Instrument ein höchst werthvoller Behelf in allen jenen Fällen ist, wo die Ermittlung des specifischen Gewichtes in anderer Weise nicht vorgenommen werden kann.

Verticale Vertheilung des Salzgehaltes.

(Vergl. Taf. III.)

Aus den graphischen Darstellungen für die verticale Vertheilung der Temperatur (vergl. Taf. III) lässt sich auch die Vertheilung des Salzgehaltes im Rothen Meere entnehmen. Es wurden zu diesem Zwecke die Linien gleichen Salzgehaltes eingetragen und leitet die Betrachtung ihres Verlaufes zu den folgenden Bemerkungen:

Profil *A*, Suez bis Jidda, also durch die ganze Längsaxe des Arbeitsfeldes verlaufend, ergibt eine Abnahme der Salinität mit dem Vorschreiten nach Süden. Während wir im äussersten Norden an der Meeresoberfläche Salzgehalte bis zu 4·35‰ vorfinden, treffen wir im Süden nur mehr 4·04‰ am Meeresgrunde und nur mehr 3·98‰ an der Meeresoberfläche.

Die Profile *B*, *C* und *D* gehören dem südlichen Abschnitte des Arbeitsgebietes an und bilden Schnitte längs der afrikanischen Küste, der Axe der Hochsee und längs der Gestade Arabiens. Alle drei Profile sind von Norden gegen Süden orientirt. Die Anordnung der Linien gleichen Salzgehaltes ergibt im Allgemeinen eine Abnahme der Salinität von Norden nach Süden, und zwar unzweifelhaft ausgesprochen in den Profilen *C* und *D*, mit einigen Ausnahmen im Profile *B*, wo die Lage der Stationen näher oder entfernter von der Küste für den grösseren oder geringeren Salzgehalt ausschlaggebend erscheint.

Das Querprofil *E* zeigt zur Evidenz, dass das Wasser unter der afrikanischen Küste salzreicher ist, als jenes unter der arabischen.

Die Profile *F*, *G* und *H* entsprechen in der Anlage der Richtung und in dem Verlauf den vorgenannten Längenschnitten und gelten für den nördlichen Abschnitt des Rothen Meeres.

Eine Abnahme des Salzgehaltes von Norden nach Süden spricht sich auch in diesen Darstellungen aus, doch stossen wir auf mehrfache örtliche Anomalien, so im Profile *F* auf den Stationen welche dichter unter dem Festland und unter der Insel Schadwan situiert sind, desgleichen auch im Profile *G* auf Station 156, welche näher der Region des salzärmeren Wassers Arabiens liegt. Profil *H* weist dagegen eine entschiedene Abnahme des Salzgehaltes von Norden nach Süden auf.

Die Querprofile *I* und *K* lassen keinen Zweifel darüber aufkommen, dass auch im nördlichen Abschnitte des Arbeitsgebietes das Wasser im Osten weniger Salinität aufweist als jenes im Westen.

Gehen wir nun zu den Schnitten für den Golf von Akaba und für jenen von Suez über, so lässt sich aus den Linien gleichen Salzgehaltes für den erstgenannten Golf, Profil *N*, nicht gut eine Abnahme

¹ Solche Untersuchungen wurden an allen während der Expedition geschöpften Seewasserproben vorgenommen.

der Salinität von Norden nach Süden hin — wie dies für die Hochsee der Fall ist — erkennen. Aus dem Querprofile *O*, sowie aus den später zu besprechenden Horizontalprofilen für den gedachten Golf ergibt sich aber, dass die Westküste desselben von schwererem und salzreicherem Wasser bespült wird als die Ostküste, dass aber diese Gebiete nicht durch eine gerade verlaufende Linie in der Axe des Golfes scharf getrennt sind. Je nachdem nun die einzelnen Stationen des in Rede stehenden Längenschnittes *N* in die salzreichere oder salzärmere Region fielen, musste dies durch ein Heben oder Senken der Isohalinen zum Ausdruck gelangen. Das Querprofil *O* dagegen spricht, wie bereits gesagt wurde, eine Zunahme des Salzgehaltes im Sinne von Osten nach Westen deutlich aus.

Die letzter zu besprechenden Profile *L* und *M* zeigen, dass im Golfe von Suez die Salinität von Norden nach Süden, beziehungsweise von Westen nach Osten abnimmt. Hierbei sind die Differenzen im Salzgehalt zwischen dem Wasser im Norden und jenem im Süden dieses Golfes ganz auffallend hohe, indem bei Suez 4.35% , am Ausgange des Golfes aber nur mehr 4.04% gefunden wurde.

Betrachten wir nun den verticalen Verlauf der Salinität im Untersuchungsgebiete, so spricht sich fast durchwegs eine Zunahme des Salzgehaltes von der Oberfläche dem Grunde zu aus.

Die Schwankungen in der Hochsee des Rothen Meeres sind an der Ostküste am grössten geringer an der Westküste, am geringsten in den Golfen von Suez und Akaba.

Aus der folgenden Zusammenstellung mögen die Beträge der Maximal-Differenzen zwischen Oberfläche und Grund entnommen werden:

Golf von Akaba	0.07
" " Suez	0.04.

In der Hochsee des Rothen Meeres:

Nördlicher Abschnitt {	Ostküste: 0.13%	Südlicher Abschnitt {	Ostküste: 0.06%
	Westküste: 0.11%		Westküste: 0.06%

Horizontale Vertheilung des Salzgehaltes.

(Vergl. Taf. IV, V und VI.)

Wir haben uns nun noch mit jenen Darstellungen zu beschäftigen, welche die horizontale Vertheilung des Salzgehaltes in den Tiefen von 0, 10 und 100 Meter, endlich am Grund zur Anschauung bringen.

Bei Herstellung der Linien gleicher Salinität durch Verbindung der einzelnen gleichwerthigen Daten wurde von einer Theilung des Hochseegebietes in einen nördlichen und einen südlichen Abschnitt — wie dies für die Temperatur geschah — abgesehen, da der Salzgehalt erfahrungsgemäss nicht den erheblichen jährlichen Schwankungen ausgesetzt ist, wie die Temperatur.

Betrachten wir vorerst den Verlauf der Isohalinen für die Oberfläche der Hochsee. (Taf. IV.) Dieselben ergeben im Allgemeinen, dass die Salinität von Nordwest und West gegen Südost und Ost abnimmt, im Nordwesten am höchsten, im Südosten am geringsten ist. Die Linien gleichen Salzgehaltes verlaufen aber nicht gleichförmig, sondern treten zum Theile weit nach Ost und Südost zungenförmig vor, derart, dass salzreiches Wasser zwischen salzärmeres hineingeschoben erscheint. Es gilt dies speciell für die Horizonte von 0, 10 und 100 Meter, während die Vertheilung des Salzgehaltes am Grunde sich, wie zu erwarten, im Grossen und Ganzen den Tiefenverhältnissen anpasst. Solche Zungen finden sich mehr weniger ausgeprägt, im Norden gegen Noman Island und El Wej streichend, im südlichen Theile gegen Hansasi, Jumbo und Rahgeh gerichtet. Am ausgebildetsten an der Meeresoberfläche, erscheinen sie in 10 und 100 Meter etwas abgeschwächt, was zum Theile wohl auf den Umstand zurückgeführt werden könnte, dass für die Meeresoberfläche viel zahlreichere Daten vorliegen, als für die nnderen Horizonte.

Das Bild der Salzvertheilung am Grunde weicht von den besprochenen jedoch ab und gibt nur zu erkennen, dass selbst in den grösseren Tiefen im Osten weniger Salinität vorhanden ist als im Westen.

Endlich mag noch darauf hingewiesen werden, dass die Isohalinen für 10 und 100 Meter schon wegen der Zunahme des Salzgehaltes mit der Tiefe, weiter gegen Osten vorrücken als jene für die Oberfläche.

Die Darstellungen über die horizontale Vertheilung des Salzgehaltes im Golfe von Akaba (vergl. Taf. V) sprechen für die Horizonte von 0, 10 und 100 Meter unzweifelhaft aus, dass das Wasser an der Küste der Sinai-Halbinsel höhere Salzgehalte besitzt als jenes am arabischen Gegenüber. Am Grundtritt eine relativ höhere Versalzung, und zwar entsprechend den Tiefen, zur Erscheinung. Auch im Golfe von Akaba finden wir das zungenartige Vorspringen der Isohalinen und das Einschließen salzärmeren Wassers in das Gebiet des salzreicheren, entsprechend der Temperaturvertheilung, vor.

Im Golf von Suez (vergl. Taf. VI), für welchen mit Rücksicht auf die sehr mässigen Tiefen nur für das Oberflächen- und Grundwasser graphische Darstellungen hergestellt wurden, tritt die Erscheinung zu Tage, dass der Salzgehalt mit dem Vorschreiten nach Norden aussergewöhnlich zunimmt, immerhin aber ist auch hier die Tendenz einer Abnahme der Salinität von Osten nach Westen hin ausgesprochen. Dass der ungewöhnlich hohe Salzgehalt nicht der regeren Verdunstung und den zumeist energisch wehenden Nordwest-Winden allein, sondern dem Einfluss des hochversalzten Wassers des Suezcanales — speciell der Bitter-seen — zuzuschreiben ist, beweist der rasche Übergang von unverhältnissmässig schwerem Wasser zu demjenigen des normalen in der Hochsee des Rothen Meeres.

So finden wir nur im obersten nördlichsten Theile des Golfes, welcher unmittelbar unter dem Einfluss des Suezcanales liegt, über 4.18‰, wenige Seemeilen südlicher aber schon 4.14‰, dann 4.10‰, bei El Tor nur mehr 4.06‰ und am Ausgange des Golfes 4.04‰ Salz, und zwar nicht nur an der Meeresoberfläche, sondern auch am Grunde.

IV. Schlusswort.

In der Einleitung zu dieser Schrift wurde bereits hervorgehoben, dass man beabsichtige, das während der Fahrt 1895 auf 1896 gewonnene Material gesichtet und bearbeitet vorzulegen, sich aber vorbehält, die sich daraus ergebenden Schlüsse erst dann zu ziehen, wenn auch die zweite Fahrt, — welche sich bis zur Strasse von Bab-el-Mandeb, beziehungsweise bis Aden ausdehnen wird — beendet und das hiebei gesammelte Beobachtungsmaterial vorliegen wird.

Wenn wir nun auch von der Ansicht ausgehen, dass es nicht nur verfrüht, sondern auch schwer zu rechtfertigen wäre, aus den bis nun vorliegenden Daten nur eines Theiles des Rothen Meeres auf Vorgänge in dessen ganzem Gebiete schliessen zu wollen, so glauben wir dennoch schon jetzt einige Andeutungen machen zu dürfen, welche speciell auf die, in dem in Rede stehenden Gebiete sich abspielenden Wasserbewegungen Bezug haben und sich bei Betrachtung des gewonnenen Materiales unwillkürlich aufdrängen.

Fassen wir zunächst dasjenige kurz zusammen was aus diesem Materiale ersichtlich ist und durch die Curven und Diagramme etc. zum Ausdruck gelangt:

a) Das Wasser des Rothen Meeres, in der von der Expedition untersuchten Nord-Hälfte erscheint stärker durchsalzen, als das aus dem Mittelmeere in den Canal von Suez eintretende (im Mittelmeere 3.86‰) und als jenes aus dem Indischen Ocean bei Bab-el-Mandeb als Ersatz des verdunsteten Wassers eindringende Oceanwasser (3.04‰ bei Perim und erst bei Jidda 3.01‰).

b) Auch die Temperatur des Seewassers ist relativ zu jener der Nachbarmeere sehr hoch.

c) Die Vertheilung der Temperatur und des Salzgehaltes im Rothen Meere ergibt:

Höhere Temperatur im Südosten und Osten als im Nordwesten und Westen, dagegen:

Höherer Salzgehalt im Nordwesten und Westen als im Südosten und Osten.

d) Mit der Abnahme des Salzgehaltes von Norden nach Süden und von Westen nach Osten geht eine Temperatur-Zunahme einher.

Die starke Verdunstung in Folge der herrschenden hohen Temperatur und der über See zumeist heftig wehenden Winde, der Mangel an Niederschlägen und an Süßwasserzuflüssen bringt notwendig einen Verlust an Wasser mit sich, welcher, um das Niveau zu erhalten, ersetzt werden muss. Diesen Ersatz kann im genügenden Masse nur der Indische Ocean liefern, da die Compensation durch den engen und wenig tiefen Suezcanal von Seite des Mittelmeeres wenig in Betracht kommt.

Das nun vom Indischen Ocean bei Perim einströmende Wasser muss sich den Stromgesetzen zufolge an die Ostküste lehnen und nachdem dasselbe leichter ist, als jenes im Rothen Meere, die oberen Schichten einnehmen, mit dem Vordringen nach Norden aber einer allmählichen Versalzung und Abkühlung unterliegen. Am Nordsaume des Rothen Meeres angelangt, ist dieses strömende Wasser — nachdem es Zweige in den Golf von Akaba gesendet hat — genöthigt, sich nach Westen zu wenden, sendet im weiteren Verlauf Zweige nach dem Golfe von Suez, gelangt aber seiner Hauptmasse nach an die afrikanische Küste um dort, durch den Einfluss des aus dem Golfe von Suez abströmenden schweren Wassers noch stärker versalzen, längs dieser Küste südwärts zu setzen.

Dieser regelmässige, circuläre Verlauf längs der beiden Gestade des Rothen Meeres erleidet aber wesentliche Störungen durch die Configuration der Küsten und der denselben oft weit in die See vorgelagerten Korallenbänke. Dort wo die Küsten vorspringen, oder die Bänke dem strömenden Wasser entgegenstehen, wird dasselbe aus seiner Richtung gegen die Axe des Meeres hin abgelenkt und sogar bis an das Gegenufer geführt. Die nach Westen abgelenkten Zweige des leichteren Wasser führenden, nach Norden setzenden Stromes im Osten werden von dem südwärts ziehenden Strom im Westen erfasst und kehren, ohne ihre Bahn bis zum Nordsaume vollendet zu haben, nach Süden zurück, während das aus dem Südstrom ostwärts abgelenkte schwerere Wasser allmählig untersinkend, sich mit dem nach Norden ziehenden Oststrom vereinigt und nach seiner Provenienzstelle zurückkehrt.

Die Annahme des dargestellten Verlaufes wird durch die Tafeln, welche die horizontale Vertheilung der Temperatur und des Salzgehaltes im Rothen Meere ersichtlich machen, zur Anschauung gebracht. Bei Jidda, Jembo, Hassani zeigen sowohl die Isothermen als auch die Isohalinen Ablenkungen nach Westen bei Ras Benas, Mersa-Häla-ib solche nach Osten. Diese Ablenkungen entsprechen nun den in Red Sea Pilot mehrfach betonten Transversalströmungen, wie dies auch die häufigen Stromversetzungen, welchen S. M. Schiff „Pola“ ausgesetzt war, erweisen. So finden wir in unserem Journal verzeichnet:

Bei St. Johns, Strom von West nach Ost; in der Höhe von El Wej, Strom von Nordwest nach Südost; bei Hassani, Strom von Südwest nach Nordost; eine weitere Versetzung des Schiffes bei El Wej nach der Arabischen Küste im Betrage von 14 Meilen innerhalb 12 Stunden; nördlich von Noman Island, Süd-südost-Strom; bei Koseir Nordweststrom; bei Ras Mohammed (Südspitze der Sinai-Halbinsel) Strom von West nach Ost, bei dem Ausgange des Golfes von Akaba, Strom südwärts; bei Jidda, Versetzung des Schiffes nach Nordwest etc. Bringt man diese verschiedenen Stromrichtungen mit den in den Tafeln für die horizontale Vertheilung der Temperatur und des Salzgehaltes eingetragenen Isothermen und Isohalinen in Beziehung, so findet man die ungezwungene Bestätigung dessen, was diese in Bezug auf die Wasserbewegung aussprechen.

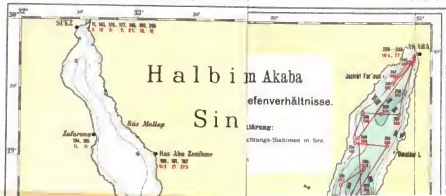
Eine ähnliche Circulation scheint, wie die betreffenden graphischen Darstellungen aussagen, auch in den Golfen von Akaba und von Suez vor sich zu gehen.

Wir schliessen unsere Ausführungen und möchten dieselben, wie bereits früher gesagt, nur als vorläufige Andeutungen gelten lassen, welche einer weiteren Erläuterung bedürfen. Noch sind uns die zur See und auf den von dem Expeditionsschiffe eingerichteten Stationen gewonnenen meteorologischen Ergebnisse nicht vollständig zugänglich, noch muss abgewartet werden, ob die im südlichen Abschnitte des Rothen Meeres zu gewinnenden Ergebnisse die gemachten Annahmen bestätigen, oder eine Bichtigung derselben nöthig machen werden.

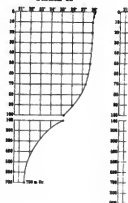
Inhalt.

	<u>Seite</u>
I. Vorbemerkung	1 [351]
II. Das Untersuchungsgebiet	5 [353]
Die horizontale Gestalt	5 [353]
Das Seebodenrelief	6 [354]
III. Die physikalischen Untersuchungen	11 [359]
Das Beobachtungsmaterial	11 [359]
a) Die Sactemperatur	52 [409]
b) Der Salzgehalt des Meerwassers	68 [416]
V. Schlusswort	72 [420]





I
Station 42

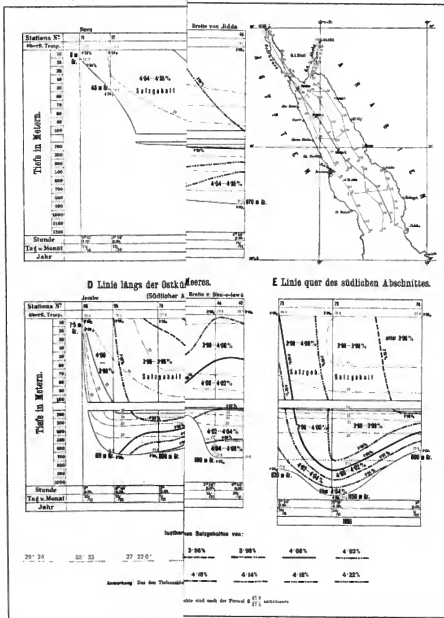


IX
Station 129

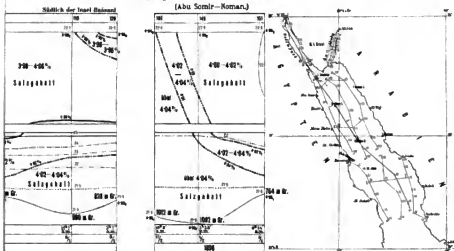


X
Station 128

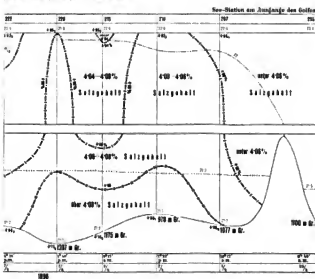




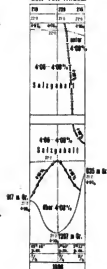
I Querprofil für den Nordabschnitt. (Abu Samir—Roman.)

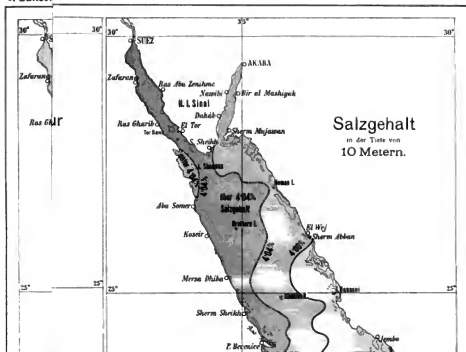


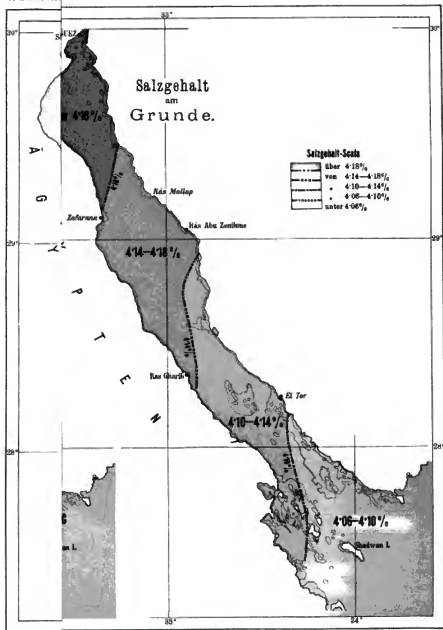
maxe des Golfes von Akaba.



0 Querprofil. Golf von Akaba.







Photolithographie und Druck des k. und k. militär-geographischen Institutes.

Temperatur
in der Tiefe von
100 Meter



rv. Classe, Bd. LX

EXPEDITION S. M. SCHIFF „POLA“ IN DAS ROTHE MEER.

NÖRDLICHE HÄLFTE.

(OCTOBER 1895 — MAI 1896)

ZOOLOGISCHE ERGEBNISSE

VII.

SAPPHIRINEN DES ROTHEN MEERES.

BEARBEITET VON

DR. ADOLF STEUER,

(Mit 1 Karte.)

VORGELEGT IN DER SITZUNG AM 11. OCTOBER 1897.

Als Fortsetzung der im Jahre 1895 erschienenen Publication (10) schien mir eine Bearbeitung der Sapphirinen des Rothen Meeres umso wünschenswerther, als über die Copepoden dieses Meeres erst eine Arbeit (6) vorliegt.

Das Material wurde mir von Herrn Director Hofrath Dr. F. Steindachner übergeben, während zur Ausführung der Arbeit mir wiederum im Institute des Herrn Prof. Dr. C. Grobben ein Arbeitsplatz eingeräumt wurde. Beiden Herren bin ich zu grossem Danke verpflichtet.

Während der letzten Expedition S. M. Schiff „Pola“ in den nördlichen Theil des Rothen Meeres (October 1895 bis April 1896) wurden im Ganzen 50 pelagische Fänge gemacht, davon enthielten 35 Sapphirinen in 8, beziehungsweise 10 Arten (da zwei Jugendformen nicht sicher bestimmt werden konnten).

Es fanden sich folgende Formen vor:

Sapphirina anronitens Claus ♂♀, j.
 „ *bicuspidata* Giesbrecht ♂♀.
 „ *lacteus* Giesbrecht ♀.
 „ *metallina* Dana ♂♀, j.
 „ *nigromaculata* Claus ♂♀, j.
 „ *opatina* Dana ♂♀, j.

Sapphirina oratolamcolata Dana ♀, j.
 „ *sinicauda* Brady ♂♀, j.
 „ *iris* Dana j. (?)

und eine zweite, nicht sicher bestimmbare und stark beschädigte Jugendform.

Zunächst mag eine Übersicht über das gesammte Material in Form einer Tabelle Platz finden.

Unter Nr. a sind wie im vorläufigen Bericht (11) die allgemeinen Stationen verzeichnet, während die Zahlen in der Rubrik Nr. b sich auf die Planktonfänge beziehen.

Nr.	<i>S. auronitens</i>		<i>S. bispinulata</i>		<i>S. lactens</i>		<i>S. metallina</i>		<i>S. nigromaculata</i>		<i>S. opalina</i>		<i>S. oratolanceolata sinuicanda</i>		<i>S. tris?</i>		<i>S. sp.</i>		Summe											
	a	b	juv. ♀	♂	juv. ♀	♂	juv. ♀	♂	juv. ♀	♂	juv. ♀	♂	juv. ♀	♂	juv. ♀	♂	juv. ♀	♂												
3	1																		2											
4	2					1								1	1				2											
7	4						1									1	3		4											
8	5													1			3	1	6											
10	6													1	1				10											
14	10						2							1	2				5											
17	11																		1											
19	13																		3											
21	14						1								1				1											
22	15																		3											
23	16																		3											
24	17													1	1				2											
25	18																		1											
26	19																		4											
32	22																		2											
33	23																		3											
36	25																		10											
37	26																		5											
39	27																		3											
40	28														5				10											
42	29																		1											
43	30																		22											
46	32																		4											
49	33																		2											
53	37																		4											
65	43																		8											
67	44																		5											
68	45																		4											
73	49																		23											
74	50																		5											
77	51																		9											
78	52																		2											
80	53																		9											
82	54																		2											
ohne																			3											
Summe			6	3	2	0	31	13	0	2	0	12	17	31	5	1	1	3	17	64	3	2	0	5	5	4	1	1	1	238

Bemerkungen zu den einzelnen Species.

Sapphirina auronitens Claus.

Diese Species wurde bisher nur im Mittelmeer, u. zw. von Claus und Haeckel bei Messina, von Giesbrecht bei Neapel gefunden. Die „Pola“ brachte sie von der I. III. und IV. Mittelmeer-Expedition und von der Adria-Tiefsee-Expedition heim. Am zahlreichsten fand sie sich während der III. Mittelmeer-Expedition (Sept. 1892) im östlichen Theile des Mittelmeeres.

Aus dem Rothen Meer war diese Species bisher noch nicht bekannt; ich fand sie in 8 Fängen und 11 Individuen (6 juv., 3 ♀, 2 ♂), also nicht gerade sehr häufig. Fünf von diesen 8 Fundorten liegen in dem von mir schon früher (11) als reich bezeichneten Gebiete in der Richtung des nördlichsten Seitenastes des nach Süden streichenden Weststromes.

In dem von mir als individuenarm bezeichneten Gebiete wurde keine *Sapphirina auronitens* gefischt.

Die Exemplare zeichneten sich fast durchgehends durch grosse Undurchsichtigkeit aus und konnten in den meisten Fällen erst nach Einlegen in Glycerin untersucht werden.

Sapphirina auronitens wurde zugleich mit *S. lactens*, *bicuspidata*, *oratolanceolata*, *nigromaculata*, *sinuicanda* (?), *opalina* und *metallina* gelangen.

Sapphirina bicuspidata Giesbr.

Vorliegende Art wurde durch Giesbrecht aus dem Stillen Ocean und dem Mittelmeer (Neapel) bekannt. Von der »Pola« wurde sie im östlichen Mittelmeere (I. und III. Reise) in einer geringen Anzahl von Fängen erbeutet. Entgegen den bisherigen Angaben über ihre Seltenheit, deren auch Giesbrecht in einer Anmerkung (4., p. 224) Erwähnung thut, gehört *Sapphirina bicuspidata* nach den Ergebnissen der I. Pola-Expedition im Rothen Meere wenn auch nicht der Individuenzahl nach zu den häufigen, so doch im Vorkommen zu den weitest verbreiteten Sapphirinen. 44 Thiere dieser Art (31 ♀, 13 ♂) wurden in den 20 unter den circa 34 Fängen, welche Sapphirinen enthielten, erbeutet.

Über ihre Verbreitung im durchforschten Gebiete lässt sich Folgendes berichten: Nur einer der 20 Fundorte liegt im nördlichsten Theile (Nr. 52), nur einer im individuenarmen Theile (Nr. 4); beidemale wurde bloß je ein Exemplar gefangen. Alle übrigen Fänge liegen im Süden.

Zur Morphologie dieser Art wäre Folgendes erwähnenswerth: Die Furca schien mir in vielen Fällen länger als sie Giesbrecht in seiner Monographie zeichnet, und das Endglied des Innenastes des vierten Fusses war vollkommen symmetrisch und nicht, wie Giesbrecht (Taf. 53, Fig. 54) es darstellt, auf einer Seite ausgebuchtet; im Übrigen stimmten die Exemplare des Rothen Meeres vollkommen mit der Diagnose und den Zeichnungen Giesbrecht's überein.

Zugleich mit dieser Form kamen in den verschiedenen Fängen *S. sinnicauda*, *opalina*, *ovato lanceolata*, *auronitens*, *lactens*, *nigromaculata* und *iris* (?) ins Netz.

Sapphirina lactens Giesbr.

Sapphirina lactens gilt derzeit noch als Rarität. Giesbrecht entdeckte einige Weibchen an den Ammen von *Dolchinia mirabilis* im Golfe von Neapel. Ich beschrieb später das zugehörige Männchen nach einem einzigen Exemplare, welches im Jonischen Meere von der Pola-Expedition aufgesammelt wurde.

Im Rothen Meere wurden zwei Weibchen gefischt, u. zw. in Nr. 2 und 10 im Verein mit *auronitens*, beim zweiten Fang zugleich mit *bicuspidata*.

Sapphirina metallina Dana.

Dieses durch seinen prachtvollen Metallglanz, den es auch im Alkohol nicht einbüßte, und die Gestalt der Furca auffallende Thier wurde nach Giesbrecht schon an verschiedenen Stellen im Stillen und Atlantischen Ocean (zuletzt von Scott im Golf von Guinea, 8), von Giesbrecht selbst in einem Exemplare (♂) im Golf von Neapel gefunden. Der Adria-Tiefsee-Expedition verdanken wir vier weitere Fundorte aus der Adria und dem Jonischen Meere. Bemerkenswerth ist das reichliche Vorkommen dieser Species im Rothen Meere: 60 Individuen (12 juv., 17 ♀, 31 ♂) in 9 Fängen.

Im Gegensatz zu *Sapphirina bicuspidata* wurde *Sapphirina metallina* ausschliesslich im nördlichsten Theile des Rothen Meeres gefunden. Den südlichsten Punkt stellt Fang 37 (vor Mersa Dhibá) dar. Nur ein Fang fällt in das individuenarme Gebiet, während dessen nördlicher Rand die ergiebigsten Fundstellen bot.

In den unterschiedlichen Fängen, welche *Sapphirina metallina* enthielten, fanden sich auch *Sapphirina auronitens* und *opalina*.

Sapphirina nigromaculata Claus.

Eine der gemeinsten Sapphirinen, bisher bekannt aus dem Mittelmeere (Messina, Malta), dem Stillen Ocean und dem Atlantischen Ocean.¹ Ausserdem fand Giesbrecht diese Form ziemlich häufig bei

¹ Scott führt p. 122 eine Form *S. inaequalis* Dana »not *S. nigromaculata* Claus« an; sie war die gemeinste in der Ausbeute, und das würde für *nigromaculata* sprechen. Es ist sehr zu bedauern, dass der Verfasser keine Diagnose und Abbildung seiner Thiere gibt, da wohl zu erwarten ist, dass manche der von ihm angeführten Species mit den Sapphirinen der Giesbrecht'schen Monographie synonym sind.

Neapel. In dem bisher von der »Pola« aufgesammelten Materiale war vorliegende Art die gemeinste *Sapphirina*, und kam namentlich in der dritten, noch mehr bei der Adria-Tiefsee-Expedition in geradezu kolossalen Mengen ins Netz. Diese *Sapphirina* ist auch die einzige, die man bisher aus dem Rothen Meere kannte (Giesbrecht, 6, p. 317 u. 319). Die »Pola« brachte aus dem Rothen Meere nur 7 Exemplare (5 juv., 1 ♂, 1 ♀) heim, die alle einem einzigen, südlich von Jembô (Jenbo) ausgeführten Fange (Nr. 25) angehörten, der ausser diesen Formen noch je eine *S. aurouitens*, *bicispidata* und *sinuicauda* (?) enthielt.

Sapphirina opalina Dana.

Sapphirina opalina wurde schon oft gefunden: im Stillen, im Atlantischen Ocean (hier neuerdings wieder von T. Scott [8] im Golf von Guinea), im Mittelmeer (Messina, Malta), von Giesbrecht auch bei Neapel. Von der Adria-Tiefsee-Expedition wurde dieser Copepode im Ionischen Meere und überdies auch in der Adria gefunden. Während ihn die Adria-Tiefsee-Expedition nur in vier Fängen erbeutete, kam er im Rothen Meere 15 Mal ins Netz, in einer Individuenzahl von 84 Stück (3 juv., 17 ♀, 64 ♂), und kann daher zu den häufigsten Sapphirinen gezählt werden.

Über die Verbreitung dieses Thieres im Rothen Meere lässt sich Folgendes berichten: es fehlte weder dem nördlichen, noch dem südlicheren Theile, war hier an der Ostküste am häufigsten, fehlte aber auch der Westküste und im dazwischen gelegenen Theile nicht vollständig (Nr. 5, 33, 10). Dagegen enthielt wiederum kein einziger der im individuenarmen Gebiete ausgeführten Fänge unsere Species. Fang 26 brachte 49 dieser Thiere — die grösste Anzahl von Sapphirinen, die auf dieser Expedition überhaupt mit einem Fischzuge erbeutet wurden. *Sapphirina opalina* gehört mit *metallina* zu jenen Formen, welche ihren schönen Metallschimmer auch im Tode noch am besten erhielten.

Zugleich mit ihr kamen in den 15 Fängen noch *Sapphirina bicispidata*, *sinuicauda*, *aurouitens*, *metallina* und *iris* (?) ins Netz.

Sapphirina ovato lanceolata Dana.

Diese *Sapphirina* gilt als häufige Form, welche bereits mehrmal im Atlantischen Ocean und im Mittelmeer (Messina, Nizza) gesehen wurde. Giesbrecht fand sie auch bei Neapel. Ich selbst konnte sie nach dem Materiale der »Pola«-Expedition noch für das östliche Mittelmeer und die Adria nachweisen (I. III. Adria-Tiefsee-Expedition); während aller fünf Expeditionen kam sie nur 6mal ins Netz, im Rothen Meer sogar nur 3mal in fünf Exemplaren (3 juv., 2 ♀). Eine der Fundstellen liegt im Norden, der Westküste genähert, die beiden anderen sind südlicher, ebenfalls in der Richtung des Weststromes.

Zugleich mit ihr wurden noch *S. aurouitens* und *bicispidata* gesammelt.

Sapphirina sinuicauda Brady.

Vorliegende Species wurde bisher im Stillen Ocean und im Mittelländischen Meer (Malta) beobachtet, in letzter Zeit auch von Scott (8), wie man nach den bisherigen Fundorten erwarten konnte, im Atlantischen Ocean (Golf von Guinea), dagegen weder von Giesbrecht bei Neapel, noch früher von mir im Adriatischen Meere und im östlichen Theile des Mittelmeeres. Scott nennt diese Form »one of the rarest of the Sapphirines observed in the »Buccaneer« collections«.

Im Rothen Meer kam diese Form im Ganzen in 13 Individuen (2 juv., 5 ♀, 6 ♂) in 4 Fängen vor, die dem südlichen Theile des untersuchten Gebietes angehören.

Ein Fang Nr. 4 gehört ausnahmsweise dem individuenarmen Gebiete an und brachte neben *Sapphirina sinuicauda* noch die *S. bicispidata* ins Netz.

Sapphirina iris Dana (?)¹.

Diese Form ist aus dem Atlantischen und Stillen Ocean, aus letzterem jüngst wieder durch Giesbrecht (5, S. 261) bekannt worden, ausserdem im Mittelländischen Meere (Nizza), wo sie auch von Giesbrecht im Golfe von Neapel gefunden wurde. In dem Materiale, das die »Pola« von den ersten fünf Expeditionen heimbrachte, konnte ich *Sapphirina iris* nicht finden, dagegen glaube ich sie in dem Materiale aus dem Rothen Meere gefunden zu haben. Es handelt sich hier um eine in Fang Nr. 5 in einem Exemplare erbeutete *Sapphirina* (Jugendform), die leider wegen ihres nicht günstigen Erhaltungszustandes nicht ganz sicher bestimmt werden konnte. Das Thier fand sich in Gesellschaft von *S. sinuicanda*, *opalina* und *bicuspidata*.

Aus dem gleichen Grunde konnte auch eine in Fang Nr. 37 enthaltene Jugendform, die dort neben drei Individuen der *S. metallina* gefunden wurde, nicht bestimmt werden.

Faunistische Bemerkungen.

Fragen wir zunächst nach der Häufigkeit der einzelnen untersuchten Species, so ermöglicht es diesmal die genauere Untersuchungsmethode, zwei Reihen aufzustellen, von dem Seltenen zum Häufigeren aufsteigend.

Nach der Individuenzahl geordnet, ergibt sich folgende Reihe:

S. iris (?) 1, *lacteus* 2, *ovotolancolata* 5, *nigromaculata* 7, *auronitens* 11, *sinuicanda* 13, *bicuspidata* 44, *metallina* 60, *opalina* 84.

Nehmen wir die Zahl der Fänge, in denen die betreffende Species gefunden wurde, als Massstab, so hätten wir folgende Reihenfolge:

S. iris (?) 1, *nigromaculata* 1, *lacteus* 2, *ovotolancolata* 3, *sinuicanda* 4, *auronitens* 8, *metallina* 9, *opalina* 15, *bicuspidata* 20.

Wir sehen, dass beide Reihen, von geringen Schwankungen abgesehen, im Grossen und Ganzen übereinstimmen. Der günstigste Fang war der von Nr. 26 (vor Rübüg [Sherm Rabegh]), wo 52 Sapphirinen, davon 49 von der Species *opalina*, gefunden wurden. Als weitere günstige Fänge sind noch Nr. 30 und 49 zu verzeichnen. Überhaupt erwies sich wiederum die Gegend vor Senaflr (Senaflr) und Jembó (Jenbo) — Rübüg (Sherm Rabegh) am ergiebigsten, während das dazwischen gelegene Gebiet, »planktonarmes Gebiet« von mir (11) früher genannt, auch von Sapphirinen fast gar nichts enthielt. Nur auf Station 4 und 43 wurden einige dieser Thiere erbeutet. Sonst scheinen diesmal, natürlich mit Ausnahme des »planktonarmen Gebietes«, die östlichen Fangplätze die westlichen, was die Menge des Erbeuteten anbelangt, übertroffen zu haben. Diese Thatsache, die indessen nur für *Sapphirina* Geltung hat, kann — glaube ich — meine Hypothese über die Planktonvertheilung im Rothen Meere nicht gefährden, da ich für den Westen die Copepoden in ihrer Gesamtheit im Auge hatte. Diese aber wurden tatsächlich an der Westküste in grösserer Anzahl gesammelt, abgesehen von den in »Stromschlüssen« (Chun²) »Mischgebiete«¹) und in günstig gelegenen Buchten ausgeführten Fängen, welche immer die reichsten sind. Bezüglich des letzten Punktes machte allerdings der Golf von Suez rücksichtlich der Sapphirinen eine Ausnahme, da hier keine einzige *Sapphirina* gefangen wurde; ich messe indessen diesem Umstande keine allzu grosse Bedeutung bei, da im Übrigen die pelagische Crustaceenfauna in diesem Golfe sehr reich war.

Weit mehr muss es uns überraschen, dass keiner der Tiefenfänge Sapphirinen enthielt, während auf den früheren Expeditionen der »Pola« Sapphirinen nicht gerade so selten mit dem Tannernetz, oft

¹ Giesbrecht schreibt (5) S. 261: »Ich hatte in meiner oben citirten Monographie S. 622 die Identität von *Sapphirina salpa* Claus mit *Sapphirina iris* davon abhängig gemacht, ob *salpa* im grossen Ocean, wo *Dana* seine *iris* gefunden, vorkäme. Da sie nunmehr tatsächlich daselbst aufgefunden ist, so steht nichts im Wege, die Bezeichnung *Dana's* für die Art zu adoptiren.«

² Über die hohe Bedeutung der Ströme im Meere vergleiche Chun (2).

sogar in bedeutenden Tiefen (*angusta, opalina*) gefischt wurden, und Scott (8) fast regelmässig mehr Tiefenfänge verzeichnet, als Oberflächenfänge. Wir müssen auch diese Thatsache, dass die Sapphirinen im Rothen Meer bisher nur als Oberflächenthiere angetroffen wurden, vorläufig dem Zufalle zuschreiben, und dürfen nicht vergessen, dass bei dieser »Pola«-Fahrt nur wenig Tiefenfänge gemacht werden konnten.

Wie aus den Scott'schen Angaben zu ersehen, wurden an der Oberfläche fast durchwegs am Tage weniger Sapphirinen gefangen, als in der Nacht, in tieferen Schichten waren umgekehrt die Tagfänge reicher als die Nachtfänge. Dies würde doch für eine tägliche verticale Wanderung sprechen. Wenn ich in meiner früheren Arbeit (10) in Übereinstimmung mit Apsteins¹ an Salpen gewonnenen Ergebnissen zu der gegentheiligen Ansicht hinneigte, so hatte ich eben die immerhin nicht unerheblichen Ausnahmefälle im Auge, wie auch bei Scott einzelne Daten der Annahme einer täglichen verticalen Wanderung nicht günstig schienen. Es weist Manches darauf hin, dass bei der täglich stattfindenden Erwärmung, beziehungsweise Abkühlung des Wassers nicht die Thierwelt gleichmässig und vollständig, sondern immer nur ein kleinerer Theil derselben, welcher von den durch die Temperaturdifferenzen bedingten Strömungen betroffen wird, die verticalen Ortsveränderungen mitmacht.

Die Expedition bietet zu dieser Frage keine Anhaltspunkte, da immer nur am Abend und am Morgen gefischt wurde.

Trotzdem die Sapphirinen nach unseren bisherigen Kenntnissen fast² nur die warme Zone bewohnen, müssen wir sie vorläufig doch als in gewissem Sinne eurytherme Thiere betrachten, da sie gegen Temperaturschwankungen ziemlich unempfindlich sind und die Oberfläche des Meeres leicht und ohne Schaden mit tieferen, beziehungsweise kälteren Wasserschichten vertauschen können.

So wäre die Möglichkeit nicht ausgeschlossen, dass Sapphirinen auch in einem kälteren Meere existiren könnten, wenn sie von warmen Strömungen nach Norden transportirt würden, wie denn auch Chun vor Kurzem (2, p. 23) die Beobachtung eines mediterranen Venusgürtels im Weissen Meere erwähnte.

Wir müssen uns daher einermassen wundern, dass man Sapphirinen bisher noch nicht im Norden, sondern fast ausschliesslich in der warmen Zone fand, umso mehr als die Salpen, welche sich gegen äussere Einflüsse sehr ähnlich verhalten, wie die Sapphirinen und die Nährthiere der Sapphirinen sind, speciell *Salpa mucronata* (nach Giesbrecht [4], S. 625 Anm. von *Sapphirina gemma* und *ovatulaculata* bevorzugt) bereits in hohen Breiten (s. Apstein [1], Taf. III) bis fast zum 60. Grad beobachtet wurden.

Es würde bei so kosmopolitischen Thieren, wie es die Sapphirinen sind, gewiss selbstverständlich scheinen, wenn nur auf Fragen der quantitativen Planktonforschung Rücksicht genommen werden würde.³ Indessen lässt sich auch qualitativ einiges Interessante hauptsächlich über jene Species berichten, die in grösseren Mengen vorkommen; es gilt dies besonders von *Sapphirina bicuspidata* und *metallina*. Aus der beigegebenen Tabelle ersieht man, dass die erstere nur im Süden gefangen wurde und dort so gemein war, dass sie bei vielen Fängen die einzige Species blieb, die überhaupt aus unserer Gruppe ins Netz kam, während genau von Nr. 33 an nur *metallina* gefunden wurde. Fang Nr. 52 macht wohl eine Ausnahme, allein in ihm fehlte dafür wieder *metallina*.

Sollte diese so augenfällige Substitution der beiden Species nur ein Spiel des Zufalls sein?

¹ Apstein (1) sagt S. 49 ausdrücklich: »Gleichzeitig muss ich feststellen, dass die Salpen nicht mit Tagesanbruch von der Oberfläche verschwinden, also keine Verticalwanderung ausführen.«

² Giesbrecht sagt (4, S. 786): »...*Sapphirina angusta* würde unter die Arten gezählt werden müssen, die aus dem warmen Gebiete in den benachbarten Strich des südlich-kalten übertreten.«

³ Man könnte bei marinen Kosmopoliten eine gewisse Eintönigkeit in Bezug auf ihr Vorkommen vermuthen, und beispielsweise glauben, dass Sapphirinen überall und zu jeder Zeit in der gleichen Menge und in ähnlicher Mischung anzutreffen sind. Auch in Bezug auf die Süswasserkrebse war man meist dieser Meinung. Heute wissen wir, wie bedeutend sich die Süswasserfauna im Laufe eines Jahres regelmässig ändert, und dass wir auch über die früher schlechthin als Kosmopoliten bezeichneten Süswasserkrebse interessante zoogeographische Resultate erwarten dürfen; freilich sind die Verbreitungsgebiete der Süswasserkrebse nicht immer von einander streng geschieden, sondern man kann nur für einzelne Örtlichkeiten gewisse Arten als charakteristisch bezeichnen. Es lassen sich auch hier Verbreitungscentra constatare, und solche Verbreitungscentra glauben z. B. für gewisse Cyclopiden in letzter Zeit Mrázek in Afrika und ich im Karst gefunden zu haben.

Da nach meiner Ansicht die im Rothen Meere herrschenden Stromverhältnisse, wie an anderer Stelle bereits berichtet wurde (11), eine Trennung der Formen unmöglich machen, vielmehr gerade ein Vermischen, beziehungsweise Anhäufen des Planktons in gewissen, nicht durch den Breitengrad, sondern die Küstenform bedingten Partien des Meeres begünstigen, müssen wir den Grund dieser Substitution wo anders suchen.

Der Zeit nach wurde *Sapphirina bispidalis* vom 30. October bis zum 21. December, ausserdem einmal am 6. Februar in einem Stück gefangen, *Sapphirina metallina* dagegen in der Zeit vom 2. Jänner bis zum 6. Februar.

Nun wissen wir (s. Luksch [7], S. 9), dass gerade die Monate November und December in diesen Breiten unserem Herbst, die Monate Jänner und Februar dagegen unserem Winter entsprechen. Es wäre also die Annahme wohl möglich, dass hier zwei Species auf äussere Einflüsse in ungleicher Weise reagiren. Alle weiteren Fragen, welcher Art diese Einflüsse sind, könnten nur zu allzu gewagten Hypothesen führen, und mögen vorderhand unerörtert bleiben, so lange wir über die Biologie unserer Thiere nicht besser unterrichtet sind; vielleicht wird uns die nächste Expedition auch darüber wieder etwas aufklären. Jedenfalls ersehen wir daraus, wie nothwendig es ist, in solchen Fragen jede einzelne Species zu untersuchen und zu beobachten, denn es hat den Anschein, als würden selbst bei diesen kleinen kosmopolitischen Herdenthiere die Lebensgewohnheiten der einzelnen Species recht verschieden sein (s. die Anm. S. 8); eine Behandlung ganzer Gruppen kann, wie wir gesehen, leicht zu ungenauen oder gar falschen Resultaten führen.

Anhangsweise sei bemerkt, dass *Sapphirina anrouiteus* und *opalina* zu jeder Zeit gefunden wurden, und zwar *Sapphirina opalina* in grösserer Menge im December.

In meiner Arbeit über die Sapphirinen des Mittelmeeres und der Adria (10, S. 19) wurde u. a. auch die alte Frage in Erwägung gezogen, welches Geschlecht bei *Sapphirina* in Bezug auf Individuenzahl überwiegt.

Der Umstand, dass Giesbrecht (5) in seinem Bericht über die bei den Galapagos-Inseln gesammelten Copepoden nur männliche Thiere aufzählt (das Material war allerdings bezüglich der Gattung *Sapphirina* nicht sehr reichhaltig), würde gegen meine seinerzeit ausgesprochene Ansicht sprechen, dass nämlich die Männchen nicht zahlreicher sind als die Weibchen.

Dem Materiale aus dem Rothen Meere sind diesbezüglich ziemlich widersprechende Daten zu entnehmen; das Verhältniss der Männchen zu den Weibchen gestaltet sich hier bei den verschiedenen Species wie folgt:

3:2, 31:13, 17:31, 1:1, 17:64, 5:6;

in zwei Fällen wurden nur zwei Weibchen gefunden.

Bei einer Gesamtsumme von 79 Weibchen und 117 Männchen ergibt sich ein Verhältniss der Weibchen zu den Männchen wie 2:3.

Allerdings muss ich zur Erklärung der sich widerstrebenden Ergebnisse in meinen beiden Arbeiten hinzufügen, dass das Sapphirinenmaterial in beiden Fällen nicht gleiche Zusammensetzung zeigte. So war es bei den früheren Expeditionen hauptsächlich *Sapphirina nigromaculata*, bei der ich die grosse Zahl der Weibchen im Verhältniss zu den Männchen constatirte; es wäre nicht unmöglich, dass *Sapphirina nigromaculata* in beiden Geschlechtern eine mehr freie Lebensweise liebt, während sich unter dem Materiale aus dem Rothen Meere Formen finden dürften, deren Weibchen möglicherweise eine mehr parasitische Lebensweise führen, und daher in den Fängen nicht so häufig zu finden sind.

Die Forscher, welche seinerzeit von der geringen Zahl der Weibchen berichteten, untersuchten hauptsächlich *Sapphirina*- (*Pyrumma* ¹⁾)-Arten, die in Neapel die häufigsten sind (*P. angusta*, *gemma*, *ovato*-

¹⁾ Haeckel theilte nämlich (1864) die Sapphirinen nach der Farbe des Augenpigmentes in zwei Gruppen ein und nannte sie *Pyrumma* und *Gyromma*. Später gab man diese Einteilung auf (Giesbrecht, 4, p. 638), obwohl sie ungefähr den verwandtschaftlichen Beziehungen der Arten entspricht.

lancolata und *salpae* [iris]); und gerade von diesen sagt Giesbrecht (4) S. 625, Anm.: »Die ♀ der *Pyronoma*-Arten jedoch fanden sich meistens in Salpen vor...«

Da die Weibchen in Folge ihrer parasitischen Lebensweise den Forschern früher vielfach entgingen, lassen sich, glaube ich, ihre Angaben bezüglich der Häufigkeit der Sapphirinen-Männchen leicht verstehen.

Zum Schlusse mag nur noch ein Vergleich der Sapphirinen des Rothen Meeres mit denen in anderen Meeren gelundenen mit Rücksicht auf ihre Verbreitung gestattet sein.

Aus einem solchen Vergleich ergibt sich Folgendes:

Bisher war nur eine *Sapphirina* aus dem Rothen Meere bekannt, nämlich *Sapphirina nigromaculata*. Alle übrigen von mir aufgeführten Arten sind für das Rothe Meer neu. Mit Ausnahme von *Sapphirina sinicauda* wurden die gleichen Formen von Giesbrecht bei Neapel gefangen und auch von mir (mit Ausnahme der fraglichen *Sapphirina iris*) für das östliche Mittelmeer und die Adria nachgewiesen.

Mit Rücksicht auf die Häufigkeit des Auftretens der einzelnen Species sei noch Folgendes hinzugefügt.

Nach Giesbrecht sind bei Neapel die vier *Sapphirina*-(*Pyronoma*-)Arten, nämlich *Sapphirina angusta*, *gemma*, *ocutolancolata* und *salpae* (iris) am häufigsten, im Golf von Triest wurde bisher nur *gemma* beobachtet. Während bei der Adria-Tiefsee-Expedition *Sapphirina nigromaculata* und *maculosa* überwiegen, war bei der dritten Mittelmeerexpedition *anrouitens* am zahlreichsten.

Nach Scott (8) fand sich im Golf von Guinea seine fragliche *S. inaequalis* in grösster Menge und im Rothen Meer endlich waren *opalina*, *bicuspidata* und *metallina* am reichsten vertreten.

Bezüglich der Menge aller bisher von der »Pola« erbeuteten Sapphirinen ergibt sich, wenn wir die Zahl der Fänge als Mass verwenden, folgendes Verhältniss:

Von den 167 Fängen der Expeditionen ins Mittelmeer und die Adria enthielten 99 Fänge Sapphirinen von 59 Fängen im Rothen Meer 31 dieser Thiere. Eine einfache Rechnung ergibt als Mass der Häufigkeit mit Rücksicht auf die Zahl der Fänge in beiden Fällen 1:7. Trotz dieser auffallenden Übereinstimmung in letzter Hinsicht sind dennoch bezüglich der Individuenzahl die nicht im Rothen Meere ausgeführten Fänge unvergleichlich reicher gewesen; namentlich *S. nigromaculata* und an zweiter Stelle *anrouitens* kamen wohl in vielen Hunderten von Exemplaren vor, während, wie schon erwähnt, im Rothen Meere nur 7 *nigromaculata* und 11 *anrouitens* gesammelt wurden.

Es wäre natürlich voreilig, daraus schon einen vergleichswweisen Sapphirinenreichtum des Mittelmeeres zu folgern, eine Möglichkeit, welche in Folge der günstigen Stromverhältnisse etc. in demselben nicht ausgeschlossen ist.

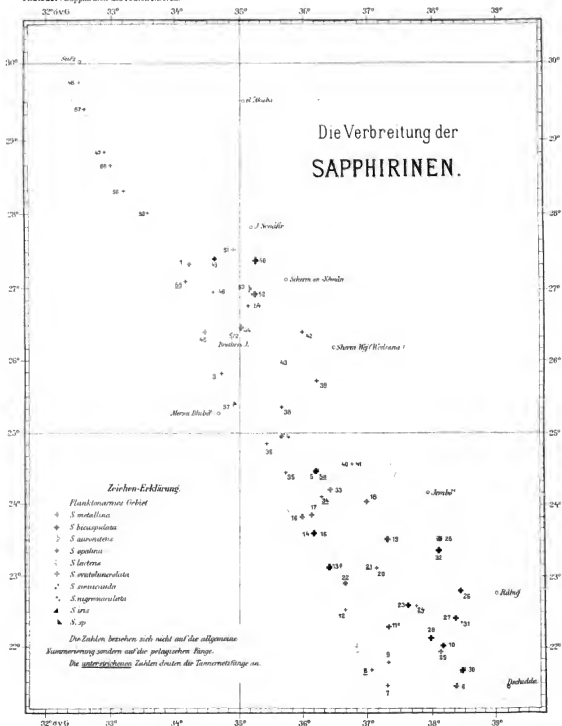
Wenn wir resumierend, all' diese Verschiedenheiten in der Verbreitung der einzelnen Species überblicken, der *Pyronoma*- und einiger *Cyanozoma*-Arten im westlichen und östlichen Mittelmeer, die Substitution der *Sapphirina metallina* und *bicuspidata* im Rothen Meere, der ein Gegenstück in der Verbreitung von *Copilia mirabilis* und *mediterranea* im Atlantischen Ocean zur Seite steht,¹ dann müssen wir zugeben, dass wir diese Thatsachen nicht lediglich dem Zufalle zuschreiben dürfen. Sie zu deuten, ist Aufgabe zukünftiger Expeditionen. Bei dem grossen Interesse, das die Planktonforschung in weiten Kreisen erregt, wäre es sehr wünschenswerth, wenn spätere diesbezügliche Forschungen, wie schon mehrfach angeregt wurde, sich über grössere Zeiträume erstrecken und uns so das gewiss sehr fruchtbringende Studium möglichst vollständiger Beobachtungsreihen von der Minimaldauer eines Jahres ermöglichen würden, während unsere bisherigen Beobachtungen fast ausschliesslich in der kurzen Zeit der Sommermonate gemacht wurden.

¹ Dahl sagt in seiner trefflichen zoogeographischen Studie (3) S. 500: »Zwei weitere Arten, die als *Copilia mirabilis* und *C. mediterranea* bezeichnet sind, vertreten einander gewissermassen in verschiedenen Gebieten. Die letztere kommt im östlichen Sargasso-Meer und nördlich davon, und die erstere im ganzen Süden oder tropischen Gebiete vor. Nur im Floridatrom treten beide neben einander auf.«

Literaturverzeichnis.

1. Apstein, C. Die Thaliaceen der Plankton Expedition. B. Vertheilung der Salpen. In: *Ergebn. d. i. d. Atlant. Ocean . . . ausgeführten Plankton-Expedition der Humboldt-Station*, Kiel, Leipzig, 1894.
2. Chun, C. Die Beziehungen zwischen dem arktischen und antarktischen Plankton. Stuttgart, F. Nagel, 1897.
3. Dahl, Fr. Die Gattung *Copilia* (*Sapphirinella*). In: *Zoolog. Jahrb. Abthell. f. Syst. Geogr. u. Biol. d. Thiere*. Bd. VI, 1892, p. 499.
4. Giesbrecht, W. Systematik und Faunistik der pelagischen Copepoden des Golfes von Neapel und der angrenzenden Meeresabschnitte. Berlin, 1892.
5. — Die pelagischen Copepoden. Report on the dredging operation of the west coast of central America to the Galapagos. U. S. Fish Comm. Steamer "Albatross" XVI. In: *Bull. Mus. Comp. Zool. Harv. Coll.* Vol. XXV, Nr. 12, p. 243, 1895.
6. — Über pelagische Copepoden des Rothen Meeres, gesammelt vom Marine-Stabsarzt Dr. Aug. Krauer. In: *Zool. Jahrb. Abthell. f. Syst., Geol. u. Biol. d. Thiere*. Bd. IX, Heft 2, p. 315, 1896.
7. Luksch, J. Vorläufiger Bericht über die physikalisch-oceanographischen Untersuchungen im Rothen Meere. In: *Sitzungsber. d. kais. Akad. d. Wiss. in Wien. Mathem.-naturw. Cl.* Bd. CV, Abth. I, Mai Heft, 1896.
8. Scott, T. Report on Entomostraca from Gulf Guinea. In: *Trans. Linn. Soc. London. Zool.* 2. Serie. Vol. VI, p. 1, 1894.
9. Steindachner, F. Vorläufiger Bericht über die zool. Arbeiten im nördlichen Theile des Rothen Meeres während der Expedition S. M. Schiff "Pola" in den Jahren 1895—1896. In: *Sitzungsber. d. kais. Akad. d. Wiss. in Wien. Mathem.-naturw. Cl.* Bd. CV, Abth. I, p. 553, 1896.
10. Steuer, Ad. Sapphirinen des Mittelmeeres und der Adria. Gesammelt während der fünf Expeditionen S. M. Schiff "Pola" 1890—1894. In: *Denkschr. d. mathem.-naturw. Cl. d. kais. Akad. d. Wiss.* Bd. LXII, 1895.
11. — Vorläufiger Bericht über die pelagische Thierwelt des Rothen Meeres. In: *Sitzungsber. d. kais. Akad. d. Wiss. in Wien. Mathem.-naturw. Cl.* Bd. CVI, Abth. I, Juli-Heft, 1897.





EXPEDITION S. M. SCHIFF „POLA“ IN DAS ROTHE MEER.

NÖRDLICHE HÄLFTE.

(OCTOBER 1895 — MAI 1896)

VIII.

ZOOLOGISCHE ERGEBNISSE.

BEITRÄGE

ZUR

MORPHOLOGIE UND ANATOMIE DER TRIDACNIDEN

VON

PROF. CARL GROBBEN

IN WIEN, W. M. K. AKADEMIE.

(Mit 3 Tafeln.)

(VORGELEGT IN DER SITZUNG VOM 31. MÄRZ 1896)

Die erste Expedition von S. M. Schiff „Pola“ in das Rothe Meer im Winter 1895—1896 brachte eine ziemliche Anzahl von Exemplaren der Gattung *Tridacna* mit, und zwar sowohl Schalen, als auch mehrere in Alkohol conservirte Thiere. So bot sich mir willkommene Gelegenheit, diese eigenthümliche Lamellibranchierform zu untersuchen.

Über *Tridacna* liegt bereits eine Reihe von Arbeiten vor, von denen jedoch bloss jene von Vaillant¹ auf den gesammten Bau des Thieres eingeht, die übrigen² sich auf Hervorhebung der wichtigsten Eigenthümlichkeiten beschränken.

In Folgendem wird auch nicht die ganze Anatomie des Thieres behandelt, es sollen vielmehr bloss einige Punkte berücksichtigt werden, und zwar: 1. die Morphologie und Orientirung des Körpers, 2. der Bulbus arteriosus, 3. die Pericardialdrüse, 4. die Geschlechtsverhältnisse.

I. Morphologie und Orientirung des Körpers.

Innerhalb der Schalen, welche beim ersten Anblick nach vorn und hinten vom Umbo wie die Schalen anderer Lamellibranchier gebildet zu sein scheinen, hat das Thier, was keinem der bisherigen Beobachter entgangen ist, eine ganz eigenthümliche Lage. An der Hand einiger Abbildungen, an denen besser als an den bisher von diesem Thiere bestehenden, einige bauliche Besonderheiten hervortreten, sollen nochmals in Kürze die Eigenthümlichkeiten hervorgehoben und eingehender berücksichtigt werden.

¹ L. Vaillant, Recherches sur la famille des Tridacnides. Ann. des scienc. natur. 5. sér., t. IV, 1895.

² So: Blainville, Manuel de malacologie et de conchyliologie. Paris 1825, p. 543. — Deshayes, Encyclopédie méthodique. Vers. t. II, 1830, p. 1044. — Quoy et Gaimard, Voyage de l'Atalante. Zoologie, t. III. Paris 1834, p. 483. — Woodward an später a. O.

Der Eingeweidesack (vergl. Fig. 1 und 6) liegt hinter dem Umbo und erstreckt sich bogenförmig nach vorn und ventralwärts, sich dabei allmählig verschmälernd. Vorn lehnt er sich an den Adductor (*Ap*) an, welcher subcentral und vor dem Umbo gelegen ist. Dieser Adductor entspricht dem hinteren Adductor der übrigen Lamellibranchiaten. Der vordere Adductor fehlt.

Die Mundöffnung liegt dorsal hinter dem Umbo, die Afteröffnung (*Af*) ventral vom hinteren Adductor.

Der Fuss (*F*) erscheint nach der Dorsalseite gekehrt. Er ist klein, sein oralwärts gerichteter Abschnitt fingerförmig, ähnlich dem einiger *Auisomyaric* gestaltet und von einer Furche durchzogen; sein vorderer, breiter Byssusabschnitt producirt einen mächtigen Byssus (Fig. 1 *T*), der wie aus Bändern zusammengesetzt erscheint.¹ Zum Fusse geht ein hinter dem Adductor gelegener mächtiger hinterer Retractor (*Rp*). Ein vorderer Retractor ist nur sehr schwach entwickelt und entspringt hinter dem Umbo der Schale (*Ra*). Der hintere Retractor wurde von Neumayr² irthümlich für den zweiten (vorderen) Adductor gehalten.

Es ist übrigens zu bemerken, dass der hintere Retractor des Fusses bei *Tridacna* functionell die Bedeutung eines Adductors besitzt. Dieselbe ergibt sich aus der eigenthümlichen Lage dieses Retractors in der Mitte des freien Schalenrandes. Sie wird noch dadurch erhöht, dass in Folge der Befestigung des Thieres mittels des Byssus der fixe Punkt bei Contraction des Retractors an jene Befestigungsstelle verlegt ist. Bereits Vaillant³ ist die Wirkungsweise des hinteren Retractors als Adductor nicht entgangen.

Die beiden Lappen des Mantels sind bis auf drei Öffnungen vollständig mit einander verwachsen. Die grösste dieser Öffnungen ist der Fusschlitz (*Fs*) zum Durchtritt des Fusses. Derselbe liegt vor dem Umbo und ist nach oben gekehrt; ihm entspricht der klaffende Schalenheil. Die Mantelränder am Fusschlitz sind von mehreren Reihen warzenförmiger Tentakelbildungen besetzt.

Als zweitgrösste Öffnung erscheint die nach unten und vorn gekehrte Einströmungsöffnung (*Mc*), deren Ränder mit kleinen einfachen oder am Ende getheilten Tentakeln besetzt sind. Die kleinste Öffnung ist die nach unten gerichtete Ausströmungsöffnung (*Ma*). Die Ränder derselben sind glatt und bei *Tridacna rudis* schornsteinartig verlängert.

Der Zwischenraum des Körpers und den Mantellappen gelegene Mantelraum wird durch eine Scheidewand in einen oberen (Einströmungs-) und unteren (Ausströmungs-) Abschnitt geschieden. Diese Scheidewand kommt dadurch zu Stande, dass die beiden Kiemen einerseits vor dem Fusse durch eine breite Membran (Fig. 1 *J*) untereinander vereinigt, und weiter nach hinten an den Fuss, beziehungsweise den Eingeweidesack mittels dieser Membran angewachsen sind, andererseits mit der Seite des Körpers verwachsen erscheinen. Vorn schliesst diese Scheidewand an den Vorderrand der Verwachsungsstelle des Mantels zwischen Einströmungs- und Ausströmungsabschnitt an; die mediale und seitliche Verwachsungslinie zieht von hier gegen die Mundlappen wie bei anderen Lamellibranchiern. Offenbar im Zusammenhange mit der eingetretenen Drehung des Eingeweidesackes ist jedoch diese Verwachsungslinie mit den Kiemen, anderen Lamellibranchiaten gegenüber, weit gegen den Fuss hin verschoben, indem der Eingeweidesack zwischen den Kiemen nach hinten und unten gleichsam vorgedrängt erscheint. Durch diese eingetretenen Verschiebungen entsteht ein tiefer lateraler Nebenraum der Mantelhöhle, welcher sich längs der Kiemen seitlich am Eingeweidesack hinaufzieht und an seinem oberen Ende mit einer blindgeschlossenen Bucht endigt (vergl. Fig. 6 *Q*).

Zufolge der Drehung des Eingeweidesackes hat auch der unterhalb der Kiemen gelegene Theil der Mantelhöhle (Ausströmungsabschnitt) eine bedeutende Längenausdehnung erfahren und zwar jene Partie desselben, welche unterhalb vom Schalenschliesser gelegen ist und die bei anderen Lamellibranchiern, wie

¹ Ich finde, dass die Abbildung von A. Müller besser die Form der Byssusfäden von *Tridacna elongata* wiedergibt, als jene Vaillant's. (Vergl. A. Müller, Über die Byssus der Acephalen, nebst einigen Bemerkungen zur Anatomie des *Tichogonia Chemnitzii* Ross. in: *Mytilus polymorphus* Pahl.) Archiv f. Naturg. III. Jahrg. 1837, Taf. I, Fig. 1.)

² Beiträge zu einer morphologischen Einteilung der Bivalven. Aus den hinterlassenen Schriften des Prof. M. Neumayr. Mit einem Vorworte von E. Suess. Denkschr. d. mathem.-naturw. Cl. d. kais. Akad. d. Wiss. in Wien. Bd. I.VIII, 1891, p. 84 des Separatdruckes.

³ Vaillant, a. a. O. p. 101

bei den verwandten Cardien, dorsal vom hinteren Adductor liegt, sich jedoch nicht über denselben hinaus nach vorn ausdehnt. Diese Partie erscheint bei *Tridacna* als tiefe, um den ganzen Eingeweidessack sich hinaufziehende Ausbuchtung (Fig. 6 g). Da auch, wie bereits beschrieben wurde, der Einstromungsabschnitt der Mantelhöhle eine gleichgerichtete seitliche Ausdehnung besitzt, sehen wir den seitlichen Zusammenhang des Eingeweidessackes mit dem Mantel auf eine dünne Membran verengt, welche als Scheidewand zwischen diesen beiden Räumen, wie bereits Vaillant erkannte, im Niveau des Mantelmuskels verläuft (Fig. 8 Str).

Die durch die Verwachsung beider Kiemen entstandene Scheidewand fand ich bei den grösseren mir zur Untersuchung vorliegenden Exemplaren von *Tridacna elongata* von ein bis drei grösseren Öffnungen durchbrochen. Jedes dieser Exemplare wies diesbezüglich Verschiedenheiten auf. Bei einem Individuum lagen die beiden Öffnungen symmetrisch vor dem Fusse, waren von mittlerer Grösse und zeigten ihre Ränder gegen den Ausströmungsabschnitt der Mantelhöhle hinein verlängert. Bei einem zweiten Exemplare waren drei Öffnungen vorhanden, eine grosse vor dem Fusse gelegene, eine mittelgrosse etwas rechts seitlich gelegene und überdies eine kleine linksseitige, die noch weiter oralwärts zur Seite des Fusses lag. Bei einem dritten Exemplare fand sich bloss eine grosse Öffnung vor dem Fusse in der Mitte der Scheidewand. Ein dem zuletzt erwähnten Falle gleiches Verhalten hat Vaillant ¹ für *Tridacna elongata* angegeben. Nach der Abbildung Vaillant's zu schliessen, wäre jedoch der Umfang dieser Öffnung kein sehr grosser; ihre Ränder erschienen trichterförmig verlängert und gegen den oberen Kiemenraum gerichtet.

Diese Öffnungen machen nicht den Eindruck von Zerreissungen. Sie sind wohl als secundäre Durchbrechungen der Scheidewand anzusehen. Ihr unregelmässiges Auftreten, das Fehlen derselben bei einem jüngeren Individuum lassen diese Auffassung begründet erscheinen. Ihre Entstehung lässt sich so verstehen, dass sich beim raschen Schliessen der Schale und in Folge des Umstandes, dass das Thier mittelst des Byssus an die Unterlage befestigt, gegen diese angezogen wird, ein nicht genügend rasches Abfliessen des Wassers aus dem oberen Theile der Mantelhöhle oder auch aus dem unteren Theile, der bloss durch eine relativ kleine Öffnung nach aussen mündet, erfolgen kann. Der gegen die Scheidewand ausgeübte erhöhte Druck mag zu stellenweiser Verdünnung und schliesslicher Durchbrechung dieser Wand führen.

Bei *Tridacna rufis* fand ich keine solchen Durchbrechungen der Scheidewand vor.

Nach dieser kurzen Beschreibung der Eigenthümlichkeiten in der Körperform möchte ich auf die Orientirung des Körpers die Aufmerksamkeit lenken, da mir die bisher gegebene nicht ganz zutreffend scheint.

Abgesehen von der älteren Orientirungsweise von De shayes ² und d'Orbigny finden wir bei Woodward ³ und Vaillant ⁴ die Tridacniden in der Weise Blainville's orientirt, dass der Umbo der Schale nach oben zu liegen kommt und die oberste Spitze des Körpers bezeichnet, der Schlossrand schräg nach hinten abfällt, der klapfende Schalenrand nach unten gekehrt erscheint. Von dieser in der Regel geübten Orientirung weicht nur jene Pelseneer's ab. Pelseneer ⁵ orientirt die *Tridacna* derart, dass der Umbo der Schale nach vorn gerichtet erscheint, der Schlossrand nach aufwärts aufsteigt und der gezackte Schalenrand nach hinten sieht. Bei dieser Art der Orientirung ist offenbar zunächst auf die Lage von Mund und After Rücksicht genommen.

Schon bei der früher von den meisten Autoren gegebenen Orientirung des Körpers ergibt sich, dass das Thier von *Tridacna* im Vergleiche mit den übrigen Lamellibranchiaten eine weitgehende Lageveränderung erfahren hat. Der vordere Theil des Körpers ist verkürzt und kommt sogar hinter den Umbo

¹ Vaillant, n. a. O. p. 88; vergl. dessen Fig. 1 auf Taf. 9 u. 11.

² Règne animal de Cuvier. Grande édition. Mollusques.

³ S. F. Woodward, Description of the Animals of certain Genera of Bivalve Shells. Ann. and Magaz. of natur. hist. II. sér. vol. XV, 1855, p. 100.

⁴ Vaillant, l. c. p. 76.

⁵ P. Pelseneer, Introduction à l'étude des Mollusques. Bruxelles 1894, p. 169. — Ebenso in: Traité de Zoologie publié sous la direction de Raphaël Blanchard. Fasc. XVI. Mollusques. Paris 1897, p. 142.

der Schale zu liegen, der hintere Abschnitt desselben ist nach vorn und unten gedreht, so dass die Afteröffnung und Einstömungsöffnung des Mantels nach vorn sehen. Aus dem Verlaufe der Kiemen ist am deutlichsten die eigenthümliche Lageveränderung des Thieres zu erkennen. Im Zusammenhange mit der Verkürzung des vorderen Körperabschnittes erfolgte auch die Rückbildung des vorderen Adductors.

Unter Berücksichtigung der eingetretenen Lageveränderungen scheint mir jene Orientierung des Thieres die richtigste zu sein, bei welcher der Schlossrand der Schale horizontal oder annähernd horizontal gerichtet wird. Es geht bei dieser Art der Orientierung auch am klarsten die Verschiebung des Eingeweidesackes nach hinten, sowie die Drehung desselben nach vorn und unten hervor. In dieser Weise sind auch die beigegebenen Abbildungen (Fig. 1, 2, 3, 4 und 6) orientirt.

In Übereinstimmung mit dieser Auffassung steht die phylogenetische Ableitung der Tridacniden. Die Tridacniden werden von den Cardiden abgeleitet. Diese Ansicht hat einen hohen Grad von Wahrscheinlichkeit. Insbesondere hat Neumayr¹ ausgeführt, dass zur Ableitung der Tridacniden »nicht die normalen Formen der Gattung *Cardium* — sondern die stark ungleichseitigen Hemicardien mit ganz vorne gelegenen Wirbel und abgestutzter Vorderseite« heranzuziehen sind. Immerhin sind die Hemicardien echte Cardiden, welche im Schloss zwei Cardinalzähne sowie vorderen und hinteren Lateralzahn besitzen, ebenso in der Ausbildung der beiden Schalenschliesser die Eigenthümlichkeiten der Gruppe an sich tragen. Dagegen zeigt die fossile Gattung *Lithocardium* zu den Tridacniden hinführende Charaktere in dem Schwunde der vorderen Lateralzähne, sowie in der verschiedenen Ausbildung der beiden Adductoren, von denen der vordere sehr klein, der hintere gross und subcentral gelagert ist.

Von den Lithocardien sind die Tridacniden in der Weise abzuleiten, dass eine weitere Reduction der Vorderseite mit Verlust des einen Cardinalzahnes und des vorderen Adductors eingetreten ist, sowie mit der Entwicklung eines Byssus auschnitt am Vorderrande der Schale ausbildete.

Als Übergangsform, welche den directen Anschluss an die Tridacniden bildet, wird mit Recht die fossile Gattung *Byssocardium* angesehen, welche von Munier-Chalmas² für das *Cardium emarginatum* von Deshayes³ und eine von Tournouër⁴ neu beschriebene Form *Byssocardium Andraea* gebildet wurde. Bei dieser Gattung sind bereits alle jene Veränderungen eingetreten, welche die Tridacniden charakterisiren: die Schale ist an ihrer Vorderseite nicht bloss abgestutzt, sondern auch schräg nach vorwärts geschwungen, ebenso zeigt sich im Schloss und in dem Vorhandensein eines gewulsteten Byssusausschnittes diese Übereinstimmung. Doch ist bei *Byssocardium* die Schale nicht so stark nach vorn geschwungen wie bei *Tridacna* und *Hippopus*.

Es kann daher wohl kein Zweifel über die Richtigkeit der Auffassung bestehen, dass die Byssocardien in ihren Charakteren als phylogenetische Vorläufer der Tridacniden anzusehen sind. Dagegen vermag ich der Einordnung der Gattung *Byssocardium* in die Familie der Cardiden, welche in verschiedenen Werken⁵ wiederkehrt, nicht beizustimmen. *Byssocardium* zeigt, wie oben hervorgehoben wurde, alle Eigenthümlichkeiten, welche auch die Tridacniden auszeichnen; es wird daher diese Gattung in die Familie der Tridacniden direct einzureihen sein. Die Beibehaltung einer besonderen Gattung *Byssocardium* erscheint jedoch vorläufig gerechtfertigt.

Schon Deshayes⁶ ist die Ähnlichkeit seines *Cardium emarginatum* mit den Tridacnen nicht entgangen, wie aus dessen Hinweise hervorgeht, dass der Schalenausschnitt des ersteren ein wenig jenem

¹ Neumayr, a. a. O.

² Munier-Chalmas, Sur le genre *Byssocardium*. Bull. Soc. géol. de France. Vol. X, 1882, p. 226.

³ G. P. Deshayes, Description des coquilles fossiles des environs de Paris, t. I. Paris 1824, p. 178.

⁴ Tournouër, Sur une nouvelle espèce de coquille des marnes de Gaas (étage tongrien) voisine de *Tridacna*. Bull. Soc. géol. de France. Vol. X, 1882, p. 221 u. ff.

⁵ So vergl. ausser Deshayes: Zittel, Grundzüge der Paläontologie (Paläozoologie). München u. Leipzig 1885. — Cossmann, Catalogue illustré des Coquilles fossiles de l'Éocène des environs de Paris. Fasc. I. Bruxelles 1886, p. 166. (*Byssocardium* wird hier als Sectio vom Charakter des Subgenus in die Gattung *Lithocardium* gestellt.) — P. Fischer, Manuel de Conchyliologie, Paris 1887, p. 1035.

⁶ Deshayes in Lamarck, Histoire naturelle des animaux sans vertèbres. 2. édit. Paris 1835, p. 423.

der Tridacnen gleiche; auch die Aufstellung eines eigenen Genus für sein *Cardium emarginatum* drängte sich später¹ Deshayes auf. Tournouër spricht sich bezüglich des von ihm beschriebenen *Byssocardium Andraeae* dahin aus, dass, wenn dasselbe auch nicht eine wirkliche *Tridacna* »hémicardioides«, so doch vielleicht wenigstens eine Tridacnide ist, die Gattung *Byssocardium* jedenfalls den Tridacniden näher steht als den Cardiden. Tournouër betrachtet sie als eine Zwischenform, welche durch ihre Mischcharaktere den *Cardium*- und *Tridacna*-Typus verbindet. Neumayr scheint *Byssocardium Andraeae* »näher mit *Tridacna* als mit *Byssus emarginatum* verwandt, und die Vereinigung mit diesem letzteren zu einer Gattung daher etwas bedenklich; vermuthlich wird für *Byssus Andraeae* eine neue Gattung errichtet werden müssen, welche in die Familie der Tridacniden anstatt in jene der Cardiden zu stellen sein wird, während *Byssus emarginatum* ungefähr auf der Grenze beider bleibt«.

Ich muss nach den vorliegenden Abbildungen auch das *Byssocardium emarginatum* als Tridacnide ansehen und halte somit für das Richtigste, die Gattung *Byssocardium* in die Familie der Tridacniden direct aufzunehmen. In dieser repräsentirt sie einen ursprünglichen Formtypus.

Für die Zuthellung der Gattung *Byssocardium* zu den Tridacniden spricht die Ausbildung des Schlosses und der Schale. Dem stelleren Abfall des Vorderrandes der Schale von *Byssocardium* im Vergleiche zu der Tridacnenschale kann nicht ein so grosser Wert zugeschrieben werden, um die Trennung von den Tridacniden begründet erscheinen zu lassen.

Auch unter den Tridacnen ist der Schwung der Schale, beziehungsweise des Thieres, nach vorn ein verschiedenes weitgehender, wie z. B. aus einem Vergleiche der von mir abgebildeten *Tridacna elongata* (Fig. 6) mit der in Fig. 1 abgebildeten *Tridacna rudis* hervorgeht, bei welcher letzterer der vordere Schalen-theil fast die gleiche Höhe wie der Schlossrand erreicht.

Zur Bekräftigung der Zuthellung von *Byssocardium* zu den Tridacniden dient ein von der Pola-Expedition im Rothen Meere bei Berenice aufgesammeltes Exemplar von *Tridacna*, welches vollends den Habitus von *Byssocardium Andraeae* besitzt (vergl. Fig. 2 und 3). Der Vorderrand der Schale ist bei diesem Exemplar schräg abgestutzt, der Schalenrand sehr kurz. Im Zusammenhang damit steht eine viel weniger weit gehende Vorwärtsdrehung des Thieres, als dies sonst bei Tridacnen beobachtet wird. Sehr deutlich wird die Lage des Thieres aus dem steilen Verlaufe der Kiemen in Fig. 3 ersichtlich, welche in ihrem oberen Theile fast senkrecht stehen, nur im unteren ein wenig nach vorn gebogen sind. Auch die Lage der übrigen Organe entspricht den eben auseinandergesetzten Verhältnissen, wie aus einem Vergleiche der Fig. 3 mit der in Fig. 1 abgebildeten *Tridacna* besser als aus einer langen Beschreibung hervorgeht. Der hintere Schalenschliesser liegt bei diesem Exemplare hinter der Ebene des Wirbels, während er sonst vor der Ebene des Wirbels seine Lage hat.

Es handelt sich in diesem Exemplare wahrscheinlich um eine *Tridacna rudis*, welche, wie die Tridacniden überhaupt, in ihrer Formgestaltung sehr variabel ist. Dass dasselbe bloss eine Jugendform repräsentire, kann nicht angenommen werden, wenngleich es sich nach der geringen Grösse als ein jugendliches Individuum erweist. Denn unter den kleineren, somit jedenfalls noch jüngeren Exemplaren, welche nach den bisherigen Bestimmungsmitteln alle zu *Tridacna rudis* zu zählen sind,² finden sich Exemplare mit wechselndem Abfalle des Vorderrandes der Schale, immer aber mit einer bereits sehr starken Verlängerung derselben nach vorn.

Ein solches noch jüngeres Exemplar von *Tridacna rudis* habe ich zum Vergleiche und zwar gleichfalls in natürlicher Grösse in Fig. 4 auf Taf. I abgebildet. An demselben ist die Schale stark nach vorn verlängert. Gegenüber dem in Fig. 1 abgebildeten ausgewachsenen Exemplare fällt vornehmlich der Unterschied in die Augen, dass die Schale der Jugendform stark schräg nach vorn abfällt, während bei dem

¹ Deshayes, Description des animaux sans vertèbres découverts dans le bassin de Paris, t. I, Paris 1860, p. 578.

² Die Bestimmungen der Thiere wurden von Herrn Dr. R. Sturany am kais. Hofmuseum in Wien gemacht, dessen Zuverlässigkeit und Liebenswürdigkeit in Beschaffung von Literatur und Vergleichsmaterial mir sehr werthvoll war und dankbar hier hervorgehoben werde.

grossen Exemplare der vordere Schalenrand fast in gleicher Flucht mit dem Schlossrande liegt; zweitens ist bei der Jugendform der vor dem Umbo gelegene Schalenabschnitt im Vergleiche zu dem hinter dem Umbo gelegenen relativ viel länger als bei dem grossen Exemplare.

Abgesehen von den Abweichungen in der Gestalt der Jugendformen wird die Mannigfaltigkeit der Erscheinung innerhalb der Species bei *Tridacna*, somit auch die beschriebene Form vom *Byssocardium*-Typus, wahrscheinlich aus der Anpassung an besondere örtliche Verhältnisse zu erklären sein. Selbstverständlich ist zur Erlangung voller Sicherheit eine weitere Untersuchung, welche sich auf zahlreiche Exemplare an ihren Aufenthaltsorten ausdehnt, nothwendig.

II. *Bulbus arteriosus*.

Tridacna besitzt einen umfangreichen *Bulbus arteriosus*, welcher bereits von Vaillant¹ im allgemeinen richtig beschrieben worden ist. Diese Angaben bestätigte später Menegaux.²

Wie bei den übrigen Lamellibranchiaten, denen ein *Bulbus* zukommt, gehört auch bei *Tridacna* der *Bulbus arteriosus* dem Anfange der hinteren Aorta an und ragt in den Pericardialraum hinein. Seine Gestalt ist birnförmig und wird am besten aus den Abbildungen zu beurtheilen sein (Fig. 5, 7 und 8 *Ba*). Während derselbe jedoch sonst entsprechend der ventralen Lage der hinteren Aorta ventralwärts vom Darm gelegen ist, sehen wir denselben bei *Tridacna* den Darm umgeben, so dass der Darm den *Bulbus*, ähnlich wie die Herzkammer, durchsetzt. Schon aus Vaillant's Abbildungen ist dieses Lagerungsverhältnis zu ersehen und ich habe bereits gelegentlich meiner Publication³ über den *Bulbus arteriosus* der Lamellibranchier auf diese abweichende Lage des *Bulbus* nach Vaillant's Figuren hingewiesen. Der grössere Theil des *Bulbus* kommt sogar nach unten vom Darm, dorsal in morphologischer Hinsicht (bezogen auf die normalen Verhältnisse der Lamellibranchier), zu liegen. Ein Längsschnitt (Fig. 7 *Ba*) zeigt, dass auch die Klappe (*K'*) des *Bulbus* im unteren (dorsalen) Theile des *Bulbus* gelegen ist, im Zusammenhange mit der Lage der hinteren Aorta unterhalb (dorsal) des Darmes. Mit Rücksicht auf die sonstige Lagerung des Arterienbulbus bei Lamellibranchiern erscheint derselbe bei *Tridacna* mit der hinteren Aorta dorsalwärts (nach unten) gewandt. Diese Wanderung mag mit der eigenthümlichen Drehung des Eingeweidetasches zusammenhängen, zufolge welcher das Herz an die Unterseite des Eingeweidetasches zu liegen kommt.

Die Klappe des Arterienbulbus (*K'*) von *Tridacna* entspringt wie sonst im Arterienbulbus der Lamellibranchier an der dem Ventrikel des Herzens zugekehrten Wand des *Bulbus* und ragt weit in das Lumen desselben hinein; sie hemmt demnach den Rückfluss des Blutes zur Herzkammer.

Eine gute Ansicht über die Form der Klappe verschafft man sich, wenn man den *Bulbus* von der Unterseite (Dorsalseite) öffnet. (Vergl. Fig. 8.) Man erkennt sodann ihre läng-zungenförmige Gestalt. Die Klappe ist un den einspringenden Enddarm herumgelagert, somit nach unten, beziehungsweise dorsalwärts, vorgewölbt. Ihr freier Rand steht durch muskulöse Fäden mit der *Bulbus*wand in Verbindung. Die Klappe des Arterienbulbus von *Tridacna* erinnert somit vollständig an jene von mir bei *Cytherea chione* beschriebene, bloss mit dem Unterschiede, dass die Klappe bei *Cytherea*, entsprechend der ventralen Lagerung des *Bulbus*, ventral vom Darm gelegen ist.

Die Klappe am Arterienbulbus von *Tridacna* wurde bereits von Vaillant gesehen. Nach der von diesem Autor gegebenen Beschreibung findet die Verbindung zwischen Herzkammer und *Bulbus* nur an einer Stelle statt, indem der Darm an dem Übergange des Ventrikels in den *Bulbus* mittelst einer zarten Membran vereinigt ist, welche sich unten, wo die Höhlungen mit einander communiciren, gegen den *Bulbus*raum hin einsenkt und auf diese Art eine Klappe, vergleichbar einer Semilunarklappe, bildet. Mene-

¹ Vaillant, l. c. p. 140, 148—149, sowie pl. 11, fig. 2, 3.

² A. Menegaux, Recherches sur la circulation des Lamellibranches marins. Besançon 1890, p. 132.

³ K. Grobben, Über den *Bulbus arteriosus* und die Aortenklappen der Lamellibranchiaten. Arb. d. zool. Inst. zu Wien, Bd. IX, 1891, p. 11.

gaux bestätigte die Angaben Vaillant's und bezeichnete die Klappe als »semilunaire«. Aus meiner früheren Darstellung geht jedoch bereits hervor, dass die Klappe nicht nach dem Typus der Semilunarklappen gebaut ist. Der von mir für die Bezeichnung der Klappe gewählte Ausdruck »zuzaugnförmig« scheint mir am zutreffendsten deren Form zu charakterisiren.

Der Bulbus arteriosus besteht aus einem Flechtwerk von Muskelfasern. Zwischen denselben sind Blutlacunen, so dass das ganze Organ in seinen Wandtheilen eine schwammige Beschaffenheit besitzt. Die Räume dieses Schwammwerkes stehen durch Lücken mit dem grossen centralen Raume des Bulbus in Verbindung (zum Theil aus Fig. 8 ersichtlich).

Den histologischen Aufbau des Bulbus hat auch bereits Vaillant untersucht. Allerdings sind die Angaben mangelhaft; ebensowenig gibt die von Vaillant beigegebene Figur eine richtige Vorstellung von den Geweben.

Die ein Flechtwerk bildenden Muskelfasern des Bulbus sind in einer Bindesubstanz eingelagert (Fig. 14). Kerne finden wir in den Balken des Gewebes, welche zum Theil den Muskeln, zum Theil dem Bindegewebe zugehören. Der Erhaltungszustand des zur Untersuchung dienenden Thieres gestattete nicht die Bindegewebszellen so klar zu erkennen, wie dies beim Bulbus anderer frisch conservirter Lamellibranchier früher von mir beschrieben wurde. Auch concrementführende Zellen finden sich im Bulbus von *Tridacna*, und zwar stellenweise in grosser Menge vor (Fig. 14 Z). Wie bereits Vaillant richtig beobachtete, sind dieselben im unteren Theile des Bulbus reichlicher vorhanden. Sie liegen zumeist in Haufen, haben rundliche, fast kugelige Gestalt und weisen im Zelloib stark lichtbrechende bräunliche Inhaltskörper von variirender Grösse auf. Bei genügend intensiv gefärbten Präparaten lässt sich auch der Zellkern beobachten, der aber häufig durch die concrementartigen Inhaltskörper, besonders bei ungenügender Tinction verdeckt wird. Diese Zellen bedingen die braungelbe Färbung des Bulbus.

Diese Elemente des Bulbus hat, wie bereits hervorgehoben wurde, schon Vaillant beschrieben, ihren Zellencharakter jedoch nicht erkannt. Er nennt dieselben »corpuscules« oder »corps réfringents«. Derselbe Autor gibt auch an, dass diese Körperchen in unregelmässigen Gruppen angeordnet sind, welche eine Art Acini bilden, in denen es jedoch unmöglich war, excretorische Canälchen zu finden.

Wenn auch die Auffassung dieser Zellhaufen als Acini nicht zutreffend ist, so hat sich doch insofern Vaillant einer richtigen Vorstellung über die Bedeutung derselben genähert, als er ihre excretorische Natur erkannt zu haben scheint. In der That handelt es sich hier wohl um excretorische Zellen, wie sie bei vielen anderen Thieren beschrieben sind und deren Function darin besteht, dass sie gewisse Substanzen aus dem Blute abscheiden und in sich aufspeichern.

Ich möchte nur noch bemerken, dass derartige concrementführende Zellen auch an anderen Stellen des Körpers zu finden sind, dieselben somit nicht als spezifische Elemente des Arterienbulbus betrachtet werden können.

In dem abgebildeten Schnitt (Fig. 14) durch den Bulbus erkennt man ferner die von dem Netzwerk der Muskeln eingeschlossenen Blutlacunen und in denselben einzelne Blutkörper (Cs), als Bedeckung des Bulbus das Pericardialepithel (E). Ich richtete auch, angeregt durch eine vor kurzem erschienene Publication von Bergh,¹ mein Augenmerk auf das Vorhandensein eines die Räume des Bulbus auskleidenden Endothels, vermochte aber keines zu erkennen. Bergh vermisse ein inneres Epithel im Gefässsystem von Pulmonaten und *Anodonta* in Bestätigung der älteren Angaben Eberth's, in denen für das Herz und die grösseren Gefässe bei den Mollusken der Mangel eines Endothels hervorgehoben wurde. Immerhin möchte ich meinen Beobachtungen an *Tridacna* in dieser Beziehung keine entscheidende Bedeutung zuschreiben, da ich vornehmlich an Schnitten untersuchte und mir auch bloss conservirtes Material zur Verfügung stand.

¹ R. S. Bergh, Beiträge zur vergleichenden Histologie. Anatom. Hefte, herausgeg. von Fr. Merkel und R. Bonnet. 1896.

III. Die Pericardialdrüse.

Eröffnet man den Herzbeutel von *Tridacna elongata*, indem man die Aussenwand desselben durchschneidet, so gewahrt man in demselben die Herzkammer mit den beiden etwas asymmetrisch entwickelten Vorhöfen, sowie gegen die Afterseite hin den Bulbus arteriosus. Zieht man nach Durchtrennung am Ostium atrioventriculare die Vorhöfe seitwärts, so wird in dem Winkel zwischen der inneren Wand des Vorhofes und der proximalen Wand des Pericardiums keine Anzahl von Gruben sichtbar. Bei dem in Fig. 5 abgebildeten Exemplare sind jederseits fünf solche Gruben (*Or*) zu zählen, welche, wohl im Zusammenhange mit der asymmetrischen Ausbildung des Körpers, beiderseits etwas verschieden angeordnet erscheinen; linkerseits stehen dieselben weiter auseinander als rechterseits.

Die im hintersten (mit Bezug auf die Orientirung der Figur) Winkel des Pericardialraumes gelegene Grube (*W*) ist die Einmündung des Wimpertrichters der Niere, welcher von Vaillant vermisst wurde. Die vier übrigen Gruben jederseits sind die Mündungen einer im Mantel gelegenen Pericardialdrüse, wie ich dieselbe früher für eine grosse Zahl von Lamellibranchiaten nachgewiesen habe.¹

Die Zahl dieser Öffnungen war bei verschiedenen Individuen nicht gleich. So fanden sich zuweilen einerseits bloss zwei solche Einmündungsstellen vor. Bei einem weiteren Exemplare vermochte ich nur eine grössere Öffnung unterhalb des Vorhofes nachzuweisen, in deren Tiefe weitere kleinere Öffnungen sichtbar waren. Diese grosse Einmündungsstelle der Pericardialdrüse ist in ihrem weiteren Verlaufe nach dem Eingeweidesacke zu gerichtet gewesen. Eine weitere Einmündungsstelle war nicht mit Sicherheit auffindbar. Das zuletzt erwähnte Exemplar von *Tridacna elongata* war um Vieles kleiner als die übrigen von mir untersuchten, so dass an die Möglichkeit zu denken wäre, ob eine einzige grosse Einmündungsstelle der Pericardialdrüse nicht einen Entwicklungszustand des sonstigen Verhaltens bei *Tridacna elongata* vorstelle. Dafür spräche auch der Befund an einer jungen *Tridacna nudis*, und zwar jenes Exemplares, welches ich in Fig. 4 auf Taf. I abgebildet habe. Hier fand sich nur eine grosse Stelle im hintersten (morphologisch vordersten) Winkel des Pericardialraumes, an welcher zahlreiche Einmündungen der Pericardialdrüse zu finden waren. Diese Stelle reichte nur wenig unter den hintersten Theil des Vorhofes.

Doch muss ich hier noch hinzufügen, dass bei einem grösseren Exemplare von *Tridacna nudis* die Verhältnisse bezüglich der Einmündungsstellen der Pericardialdrüse wie bei *Tridacna elongata* lagen. Hier waren mit einiger Sicherheit drei solche Stellen zu unterscheiden, von denen zwei unterhalb des Vorhofes weiter gegen vorn (beziehungsweise hinten in morphologischer Hinsicht) lagen, die dritte im hintersten (morphologisch vordersten) Winkel der Pericardialraumes gelegen war.

Es folgt daraus, dass die ursprünglichen Verhältnisse der Einmündungsstelle bei den Tridacniden mit jenen bei *Cardium*, welches, wie früher bereits erwähnt wurde, mit den Tridacniden nächst verwandt ist, übereinstimmen; bei *Cardium*² sehen wir mehrfache Drüsenöffnungen, neben einer grösseren noch einige kleinere, nur an einer Stelle im vordersten Winkel des Pericardiums vor dem Vorderende des Vorhofes gelegen.

Es ergibt sich jedoch aus dem Vergleiche der Befunde bei der jungen *Tridacna nudis*, bei *Cardium*, sowie bei anderen Lamellibranchiaten, bei denen die Mündungen der Pericardialdrüse des Mantels gleichfalls im vorderen Winkel des Pericardialraumes vor dem Vorhofe liegen, noch weiter, dass die Lage der Einmündungsstellen der Pericardialdrüse unterhalb des Vorhofes bei *Tridacna elongata* und *Tridacna nudis* eine abweichende und wohl als Folge der eingetretenen Verschiebungen der übrigen Organe zu erklären ist.

Schnitte lehren, dass die Pericardialdrüse von *Tridacna* eine ähnliche Ausbreitung besitzt wie sonst bei Lamellibranchiaten. Ihre Gänge finden sich zwischen den Mantellamellen vor dem Vorhofe und unter-

¹ C. Grobben, Die Pericardialdrüse der Lamellibranchiaten. Ein Beitrag zur Kenntniss der Anatomie dieser Molluskenklasse. Arb. d. zool. Institut zu Wien, Bd VII, 1888.

² Grobben, am eben a. O., p. 50 und Fig. 18.

halb desselben; sie reichen hier bis an die Basis der Kiemen herab und strahlen gegen die Einmündungsstellen hin zusammen. Die Pericardialdrüse erstreckt sich jedoch auch dorsalwärts vom Pericardialraum, wo man ihre Gänge im hinteren Theile desselben zwischen Pericardium und Leibeswand antrifft. Wie aus den in Fig. 9—12 abgebildeten Querschnitten hervorgeht, hat die Pericardialdrüse ihre grösste Ausbreitung in der Gegend der hinteren Winkel des Pericardialraumes, während nach vorne zu in der Gegend des hintersten Theiles der Herzkammer nur mehr wenige Gänge derselben zu finden sind.

An den Pericardialdrüsenlängen ist ein langer, sich vielfach verästelnder ausführender Theil von den eigentlichen Drüsenschläuchen, die sich gleichfalls reichlich verzweigen, zu unterscheiden.

Die Ausführungsgänge (Fig. 13a) werden von einem Epithel bekleidet, welches mit dem Pericardialepithel übereinstimmt. Es besteht aus mehr oder minder hohen Zellen mit feinkörnigem Plasma und stösst an den Übergangsstellen unvermittelt an das charakteristische Epithel der Drüsenschläuche. Letzteres erinnert an jenes der Mantelpericardialdrüse anderer Lamellibranchiaten (Fig. 13). Die Zellen desselben sind hoch, von unregelmässiger Gestalt und bilden kein geschlossenes Epithel, sondern ragen einzeln hügelartig in das Drüsenlumen vor. Der Zelleib weist verschieden grosse, oft concrementartige bräunlich gefärbte Körnchen auf; der Kern liegt nahe der Basis.

Es zeigt sich hier wie bei anderen Lamellibranchiern, dass Drüsenzellen, welche mit concrementartigen Körperchen reich beladen sind, abgestossen und durch die Ausführungsgänge in den Pericardialraum hinausbefördert werden. Man beobachtet nämlich sowohl im Lumen der Drüsengänge, als auch besonders reichlich in den Ausführungsgängen Klumpen solcher abgestossener Drüsenzellen.

Die Drüsengänge sind allenthalben von Blutlacunen umgeben und werden von einem Gebälk von Bindegewebe gestützt, in welchem reichlich Muskelfasern verlaufen (vergl. Fig. 13, Bl, Bg, Mf).

So zeigt sich auch in dieser Hinsicht die Übereinstimmung mit der Mantel-Pericardialdrüse anderer Lamellibranchiaten.

IV. Die Geschlechtsverhältnisse von *Tridacna*.

Über die Geschlechtsverhältnisse von *Tridacna elongata* bemerkt Vaillant,¹ dass von den zahlreichen Individuen, welche ihm zur Untersuchung vorlagen, sich alle als Weibchen erwiesen, Männchen sich keine fanden. Anknüpfend an diese Beobachtung meint Vaillant, man könnte vielleicht zu der Ansicht gelangen, dass sich die Samendrüse zu anderer Zeit entwickle, und damit weiter zu der Auffassung, dass *Tridacna elongata* hermaphroditisch sei, ein Schluss, der jedoch erst weitere Beobachtungen voraussetze.

Meine eigenen Untersuchungen zeigten, dass *Tridacna elongata* und *Tridacna rudis* thatsächlich Hermaphroditen sind. Sowohl an Schnitten als an Zupfpräparaten kann man sich leicht hievon überzeugen. Männliche und weibliche Genitalproducte entstehen in einer einheitlichen Keimdrüse, deren Schläuche stellenweise nur Eier und Sperma erzeugen, doch werden beiderlei Geschlechtsproducte auch untermischt getroffen (Fig. 15).

Die Eier stehen durch kurze Stiele mit dem Keimlager bis zur Reife in Zusammenhang, das Sperma bildet kegelförmige Massen; solches ist auch selbst bei der schwachen Vergrösserung in Fig. 15 zu erkennen.

Bei einigen Exemplaren sah ich die männlichen Producte die weiblichen überwiegen; bei anderen hingegen das umgekehrte Verhältniss, so dass es unter den letztgenannten Fällen bei einem Exemplare sogar den Anschein hatte, als sei dasselbe ausschliesslich weiblich. Doch erwies eine mikroskopische Untersuchung auch hier das Vorhandensein männlicher Keimproducte, deren Vorhandensein übrigens bei aufmerksamer Beobachtung bereits unter der Lupe erkennbar ist.

Aus diesen Befunden ergibt sich somit der Schluss, dass wahrscheinlich die männliche und die weibliche Reife zu verschiedenen Zeiten eintreten. Vielleicht überwiegt auch bei manchen Individuen die

¹ Vaillant, a. a. O., p. 165.

Production des Spermii, bei manchen die Eierproduction zeitlebens, so dass individuelle Unterschiede vorliegen. Darüber müssten erst Untersuchungen an einem viel reicheren Materiale entscheiden. Auch wäre die Frage ins Auge zu fassen, ob sich nicht jüngere Exemplare vornehmlich männlich, ältere vornehmlich weiblich verhalten.

Nach Fertigstellung des Druckes dieser Abhandlung wurde mir noch eine kleine Mittheilung von J. D. Macdonald »On the Anatomy of *Tridacna*« (Annals and Magaz. of natur. history, II. ser. vol. XX, 1857, p. 302—303) bekannt. In derselben wird vor Vaillant, dem die erwähnte Arbeit offenbar entgangen ist, der Bulbus arteriosus von *Tridacna* beschrieben, sowie auch die Angabe gemacht, dass der Darm den Bulbus durchsetze. Endlich wird auch die Klappe gut beschrieben, allerdings als eine Mehrzahl von kleinen Klappen aufgefasst, wie aus der betreffenden Stelle, die hier citirt werden möge, hervorgeht: »that part of the intestine which traverses the bulbus arteriosus is closely surrounded with elongated membranous valvulae, which arise from the anterior part of the chamber where the gut enters, and are fixed by a number of chordae tendineae to the posterior wall, where it makes its exit; »a contrivance which permits the blood to pass between the rectum and the little valves, but prevents its reflux«.

Tafelerklärung.

Buchstabenbezeichnung.

A Atrium des Herzens.

Af Afteröffnung.

Ao Vordere Aorta.

Ao' Hintere Aorta.

Ap Hinterer Adductor.

Ar Arteria recurrens pericardii.

Ba Bulbus arteriosus.

Bg Bindegewebe.

Bl Blutlaeunen.

Br Kiemen.

Cx Blutkörperchen.

D Darmcanal.

E Pericardialepithel.

F Fuss.

Fv Fusschlitz des Mantels.

G Gendrüse.

H Leber.

J Verwachsungsmembran zwischen den Kiemen.

K Klappe am Beginne der vorderen Aorta.

K' Klappe am Anfange der hinteren Aorta.

L Schalenligament.

M Mundgegel.

Ma Auströmungsöffnung des Mantels.

Me Einströmungsöffnung des Mantels.

Mf Muskelflecken.

N Niere (Bojanus'sches Organ).

Oe Einmündung der Mantel-Pericardialdrüse in den Pericardialraum.

P Pericardialraum.

p Median zipfelförmige Ausbuchtung des Pericardiums.

Pf Schläuche der Mantel-Pericardialdrüse.

Q Lateraler Nebenraum des Einströmungsabschnittes der Mantelhöhle.

q Hintere Ausbuchtung des Auströmungsabschnittes der Mantelhöhle.

Ka Vorderer Retractor des Fusses.

Kp Hinterer Retractor des Fusses.

S Schale.

Sw Scheidewand zwischen Ein- und Auströmungsabschnitt der Mantelhöhle.

T Byssus.

T' Herzkammer.

W Wimpertrichter der Niere.

Z Concrementsführende Zellen.

TAFEL I.

Fig. 1. *Tridacna rudis* Kve. Thier in der Schale von der linken Seite gesehen. Linke Schale und linker Mantellappen abgehoben, Eingeweidesack theilweise aufpräparirt. Der Pericardialraum ist linksseits eröffnet und der linke Vorhof abgetragen. Die Niere, sowie der hintere Retractor und Adductor erscheinen im sagittalen Durchschnitte. Natürl. Grösse.

- 2. *Bryozoon*-ähnliche *Tridacnide* (wahrscheinlich eine eigenthümlich ausgebildete *Tridacna rudis*) mit sehr verkürzter und ziemlich steil abfallender Vorderseite, die auch nur wenig nach vorn geschwungen erscheint. Das Thier in der Schale von der linken Seite gesehen, nach Abhebung der linken Schalenklappe. Natürl. Gr.
- 3. Dasselbe Thier in gleicher Ansicht nach Abpräparierung des linken Mantellappens, um die im Verlaufe zu dem sonstigen Verhalten stück Lage des Eingeweidesackes sowie der Kiemen zu zeigen. Natürl. Gr.
- 4. Junge *Tridacna rudis*, von der linken Seite gesehen. Natürl. Gr.
- 5. Der Pericardialraum von *Tridacna elongata*, dorswärts (distal) eröffnet, mit den benachbarten Körperpartien. Die Vorhöfe sind am Ostium atrioventriculäre abgeschnitten und schrägs zurückgelegt, um die Einmündungen der Pericardialdrüse zu zeigen; dabei werden zugleich die Wimpertrichter der Nieren sichtbar. Natürl. Gr.

TAFEL II.

Fig. 6. *Tridacna elongata* Lm., Thier in der Schale von der linken Seite gesehen. Linke Schale und Mantelhälfte abgehoben. Der Byssus ist aufgefallen. Natürl. Gr.

- 7. Der Pericardialraum mit den benachbarten Körperpartien von *Tridacna elongata*, im Medianschnitte. Orientierung des Präparates übereinstimmend mit der normalen Lage des Pericardiums bei Lamellibranchiaten. Natürl. Gr.
- 8. Der Bulbus arteriosus von *Tridacna elongata* mit den umgebenden Körpertheilen, distal (morphologisch der Dorsalseite der übrigen Lamellibranchier entsprechend) eröffnet, um die Klappe in demselben zur Anschauung zu bringen. Vergr. 2½.
- 9. Querschnitt durch einen Theil des Eingeweidesackes der in Fig. 4 abgebildeten Jungen *Tridacna rudis*, in der Gegend des hinteren (morphologisch vorderen) Winkels des Pericardiums mit den Einmündungsstellen der Pericardialdrüse, deren Ausbreitung aus diesem und den folgenden Schnitten ersichtlich ist. Vergr. etwa 15mal.
- 10. Etwas weiter nach vorne zu folgender Querschnitt vom Eingeweidesacke desselben Exemplares, in der Gegend des hinteren Vorhofendes. Die hinteren Enden des Pericardialraumes sind in der Mitte verschmolzen. Bei p ist das hintere Ende einer kleinen, blinden medianen Ausbuchtung des Pericardialraumes getroffen. Auch in diesem Schnitte ist eine Anzahl von Einmündungen der Pericardialdrüse zu beobachten. Vergr. etwa 15mal.

TAFEL III.

Fig. 11. Ein noch weiter nach vorne (anabwärts-) zu folgender Querschnitt derselben jungen *Tridacna rudis*. Die mediane obere Bucht des Pericardiums (*p*) entspricht der kleinen in Fig. 10 getroffenen blinden Ausbuchtung des Pericardiums, welche somit hier an ihrer Communicationsstelle mit dem grossen Pericardialraum getroffen ist. Der Pericardialraum reicht gegenüber dem Bulbe in Fig. 10 lateral weiter hinab. Vergr. etwa 15mal.

- 12. Querschnitt derselben Serie aus der Gegend des hinteren Kammereendes des Herzens. Von Schläuchen der Pericardialdrüse finden sich nur nicht wenige an der Basis der Kiemen; oberhalb des Pericardiums sind keine mehr zu beobachten. Vergr. etwa 15mal.
- 13. Stück eines Querschnittes durch die Pericardialdrüse von *Tridacna elongata*. Bei (*a*) ist ein Ausführungsgang getroffen und im Lumen desselben ein Klumpchen abgestossener Drüsenzellen gelegen. Vergr. 520mal.
- 14. Theil eines Längsschnittes durch den Bulbus arteriosus von *Tridacna elongata*. Vergr. 520mal.
- 15. Theil eines Querschnittes durch die Genitaldrüse von *Tridacna elongata*. Aus zwei Stellen erkennt man, dass männliche und weibliche Keimproducte in einer einheitlichen Drüse neben einander entstehen. Die Räume zwischen den Genitalschläuchen sind Blutlacunen, von Bindegewebe durchzogen, in welchem auch Muskelfasern verlaufen. Vergr. 70mal.



Fig 1

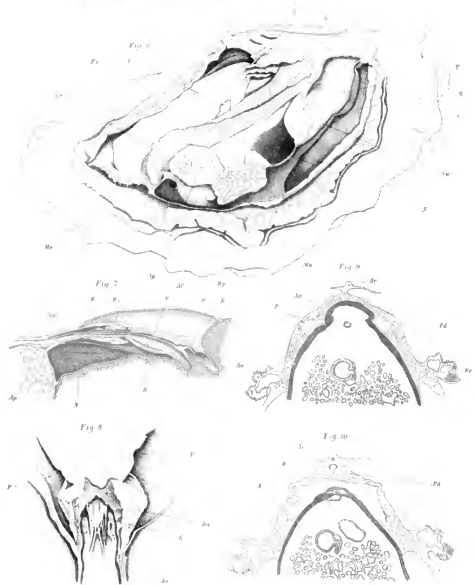


Fig 2



Antergel

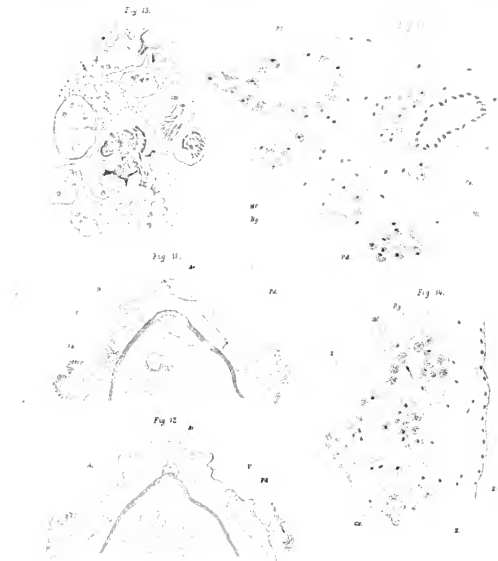
Denkschriften



Author's address

Linda Sussman & Dr. Hans-Joachim W. 100

Denkschriften d. kais. Akad. d. Wiss. math.-naturw. Classe, Bd. LXV.



EXPEDITION S. M. SCHIFF „POLA“ IN DAS ROTHE MEER

NÖRDLICHE HÄLFTE.

(OCTOBER 1895 — MAI 1896.)

IX.

CHEMISCHE UNTERSUCHUNGEN

AUSGEFÜHRT VON

DR. KONRAD NATTERER.

(AUS DEM K. K. UNIVERSITÄTS-LABORATORIUM DES HOFRATHES AD. LIEBEN IN WIEN.)

(Mit 11 Tafeln.)

VORGELEGT IN DER SITZUNG AM 12. MAI 1896

Einleitung.

Seit dem Jahre 1890 mit Tiefseeforschungen beschäftigt,¹ benützte ich die Gelegenheit, mich neuerdings an einer Tiefsee-Expedition theiligen zu können, dazu, Schlussfolgerungen, welche sich bei den Arbeiten im östlichen Mittelmeer und im Marmara-Meer ergeben hatten und welche geologisch-chemische Vorgänge betreffen, nochmals auf ihre Richtigkeit zu prüfen, um sie etwa erweitern zu können.

Hatte sich das zuletzt, im Jahre 1894 untersuchte, zwischen Bosporus und Dardanellen gelegene Marmara-Meer, insofern es wegen des Durchfließens von viel Wasser aus den beiden angrenzenden Meeren eine Ausnahmestellung einnimmt, als ganz besonders geeignet erwiesen, an ihm in chemischen, physikalischen und biologischen Beziehungen die Bewegungsercheinungen der gesammten, zwischen Meeresoberfläche und Meeresgrund befindlichen Wassermasse zu verfolgen, so bot der nunmehr zu untersuchende, »Roths Meer« genannte Arabische Meerbusen nach zwei Richtungen Interesse.

Einerseits handelte es sich darum, festzustellen, in welcher Weise die auch hier zu erwartenden, bis an den Grund reichenden Wasserbewegungen an sich und in ihren biologischen und geologischen Folgeerscheinungen durch den Umstand beeinflusst werden, dass dieses Meer ein schmales langes Becken erfüllt, welches gegen Norden in zwei, durch die Halbinsel Sinai getrennte, langgestreckte Golfe, den von Suez und den von Akaba, endet. Für einen Austausch von Wasser, für den Anschluss an die anderen Meere sorgt in ganz kleinem Maasse der Canal von Suez, in reichlicherem Grade die Strasse von Bab el Mandeb, welche dieses Meer an den Indischen Ocean angliedert.

¹ Fünf Abhandlungen in den Monatsheften für Chemie, Bd. 13 — 16 (1892 — 1895), aus den Berichten der Commission für Erforschung des östlichen Mittelmeeres, beziehungsweise für Tiefseeforschungen in den Denkschriften d. mathem.-naturw. Cl., Bd. 59 — 62. — Eine zusammenfassende Darstellung meiner im östlichen Mittelmeer, Marmara-Meer und nördlichen Theil des Rothens Meeres ausgeführten Untersuchungen habe ich unter dem Titel »Chemische Resultate der österreichisch-ungarischen Tiefsee-Expeditionen« nach einem in der »Wiener chemisch-physikalischen Gesellschaft« gehaltenen Vortrag in den Mittheilungen aus dem Gebiete des Seewesens, Pola 1898, 4. Heft, veröffentlicht. (Auch erschienen in den Vierteljahresberichten des Vereines zur Förderung des physikalischen und chemischen Unterrichtes, III, 30; Wien 1898).

Andererseits zielte die Untersuchung darauf ab, den Einfluss der Lage zwischen der arabischen und der ägyptischen Wüste, des Umstandes, dass in der südlichen Hälfte des Meeres selten, in der nördlichen Hälfte fast nie Regen fällt, auf die Beschaffenheit dieses Meeres und seiner Küstenländer nachzuweisen. Unter Anderem konnten Beiträge zur Beantwortung einer Frage erwartet werden, zu deren Aufstellung mich einige Erscheinungen auf dem Grunde des östlichen Mittelmeeres,¹ die Analyse einiger Quellwässer im Gebiete dieses Meeres,² sowie die Untersuchung einiger von dem Botaniker Dr. O. Stapf aus Persien mitgebrachter salzhaltiger Erd- und Wasserproben³ geführt hatte, nämlich der, inwieweit gegen trockene, wüste Theile der Erdoberfläche vom Meeresgrunde aus ein capillares Aufsteigen von Meerwasser durch Festlandsmassen stattfindet. Gelegenheit zu diesbezüglichen Beobachtungen bot das gegen früher geänderte Programm der Expedition, indem — ausser den zoologischen, physikalischen und chemischen Arbeiten zur See, für welche, wie jedesmal seit dem Jahre 1891, Herr Hofrath Fr. Steindachner, Intendant des k. k. naturhistorischen Hofmuseums, als Vertreter der Akademie der Wissenschaften und als Leiter des wissenschaftlichen Stabes an Bord S. M. Schiffes „Pola“ war — auf 27 Land- und Inselstationen unter Leitung des Schiffcommandanten Herrn Linienschiffscapitän Paul v. Pott von Marineofficieren Küstenaufnahmen, astronomische Ortsbestimmungen, erdmagnetische Messungen und Bestimmungen der Schwerkraft mittelst Pendelschwingungen ausgeführt und mitunter meteorologische Stationen mit selbstregistrierenden Apparaten angelegt wurden. Das Schiffcommando förderte Excursionen in unsichere arabische und ägyptische Gebiete durch Beistellung bewaffneter Matrosen.

Die Expedition fand in der Zeit vom October 1895 bis Mai 1896 statt. Die durch die Nothwendigkeit der Maschinenreinigung, sowie der Kohlen- und Lebensmitteleinschiffung bedingten längeren Aufenthalte in Suez und in Dschidda, der Hafenstadt von Mekka, verwendete ich zum Theil dazu, im Schiffslaboratorium die Untersuchung der Wasser- und Grundproben möglichst weit durchzuführen. Während sich im östlichen Mittelmeer und im Marmara-Meer mit Rücksicht auf die Kürze der einzelnen fünf Fahrten die Thätigkeit im Schiffslaboratorium darauf beschränkt hatte, an Wasser- und Grundproben jene quantitativen Bestimmungen auszuführen, deren sofortige Inangriffnahme wegen der leichten Veränderlichkeit der betreffenden Bestandtheile nothwendig war, konnte diesmal ein Theil der sonst erst in Wien vorgenommenen Analysen im Schiffslaboratorium begonnen und zu Ende gebracht werden.

Untersuchungsmethoden.

Die bei Aufarbeitung des von den früheren Expeditionen gesammelten Materiales benützten analytischen Methoden erfuhren nur geringe, durch die Verhältnisse des Schiffes oder durch die Eigenarten des Rothen Meeres bedingte Veränderungen.

Im Kopfe der Tabellen II sind in Kürze die an Bord zur Untersuchung der Meerwasserproben angewandten Verfahren gekennzeichnet. Die nähere Beschreibung ist zumeist in den früheren Abhandlungen, zumal in der ersten, auf die im Sommer 1890 stattgefundene Expedition bezüglichen und in der über die Expedition im Marmara-Meer enthalten.

Da zum Zwecke des Wassers schöpfens fast ausschließlich der an dünnem Lothdraht befestigte, nur $\frac{2}{3}l$ aufnehmende Sigsbee'sche Apparat⁴ (von Mechaniker H. Haeccke, Berlin) zur Anwendung kam, so wurde nur in seltenen Fällen die 254 cm³ fassende Stüpselflasche, fast immer eine kleinere, zu 133·5 oder 138 cm³, zum Behufe der auf der leichten Oxydirbarkeit von gefülltem Manganoxydhydrat beruhenden Sauerstoffbestimmung mit dem frisch emporgeholten Meerwasser gefüllt. In Ermangelung eigentlicher, am Apparat angebrachter Hähne wurde dieses Füllen einer Stüpselflasche in der Art vorgenommen, dass

¹ Siehe besonders meine vierte Abhandlung (Schlussbericht) über dieses Meer (1894), und zwar hauptsächlich den Abschnitt 1. Aufsteigen von Meerwasser in Festlandsmassen.

² In der zweiten und vierten Abhandlung über das östliche Mittelmeer (1892 und 1894).

³ Monatshefte für Chemie XVI, 639 und besonders 658—668 (1895) aus den Sitzungsberichten d. mathem.-naturw. Cl., Bd. 104, Abth. II, S. 405, beschreibungsweise 514—524.

⁴ Etwas grösser (länger) als bei der ersten Expedition.

zunächst in den Hohlkonus unter der unteren Ventilscheibe ein Kautschukstopfen gedrückt wurde, der mittelst einer in seiner Bohrung steckenden Glasröhre und mittelst eines über das herausragende Ende der letzteren gezogenen Kautschukschlauches die Verbindung mit der spritzflaschenartig montirten Stöpselflasche herstellte. Dann wurden die beiden durch einen Metallstab mit einander verbundenen Ventilscheiben rasch und vollständig gehoben. Die herabfallende Wassermasse stiess die kleine im Hohlkonus, in der Glasröhre und im Kautschukschlauch befindliche Luftmenge vor sich her, worauf sich die Stöpselflasche vom Boden aus mit Wasser füllte. Ein Theil des Wassers wurde durch die Flasche hindurchgelassen, ein anderer Theil wurde im Schöpfapparat zurückgehalten. So liess sich ein störender Einfluss des Luftsauerstoffes vermeiden.

Zur Beurtheilung der Mengen von leicht oxydablen, von Pflanzen- und Thierkörpern herrührenden organischen Substanzen wurden ebenso wie bei den früheren Expeditionen je 100 cm^3 der dem Meere als solchem entnommenen Wasserproben für die quantitative Behandlung mit übermangansaurem Kalium verwendet, d. h. so viel, dass bei den absolut genommen sehr geringen Beträgen die Unterschiede leichter wahrgenommen werden konnten. Diejenigen Wasserproben, welche aus dem Grundschlamm stammten und in der Art erhalten wurden, dass der Inhalt des Belknap-Lothes filtrirt wurde, waren auch wieder ungemein reich an organischen Substanzen. Deshalb und weil zu anderweitigen Analysen Theile der Proben benöthigt wurden, kamen von ihnen meistens nur 50, manchmal nur 25 cm^3 zur Anwendung.

Die Zahlen der 6. Columne der Tabellen II zeigen an, wie viel Ammoniak in 40 cm^3 der Meerwasserproben bereits fertig vorhanden ist, die Zahlen der 7. Columne ermöglichen die Berechnung derjenigen Ammoniakmengen, welche von eben diesen 40 cm^3 bei der Oxydation wegen Zerfalles der von den Pflanzen- und Thierkörpern herrührenden organischen Substanzen geliefert werden.

Was Salpetersäure und Schwefelwasserstoff betrifft, so wurden dieselben auch diesmal in keiner von den vielen Wasserproben, wenn dieselben frisch geschöpft waren, vorgefunden.

Salpetrige Säure wurde nur im Golfe von Akaba in halbwegs grossen Mengen angetroffen. Dieselben waren geringer als die in Theilen des östlichen Mittelmeeres und des Marmara-Meeres nachgewiesenen. Bei ihrer später folgenden Besprechung werden einer willkürlichen Scala angehörende Zahlen benützt, welchen die bei der colorimetrischen Prüfung mit Jodzinkstärkelösung und Schwefelsäure erhaltenen Färbungen zu Grunde liegen. 1 bedeutet, dass sich dabei nach zwei Stunden eine kaum merkbliche Spur Violett eingestellt hat, 2 zeigt den Eintritt eines ganz schwachen Violettes an, 3 den einer Spur Blauviolett, 4 den eines ganz schwachen Blauviolets, 5 den einer Spur Blau, 6 den eines ganz schwachen Blau's, 7 den eines schwachen Blau's. Viele von den frisch geschöpften Wasserproben waren frei von salpetriger Säure.

Ziemlich bedeutenden Schwankungen unterworfen zeigte sich auch im Rothen Meer der Grad der alkalischen Reaction des Meerwassers. Wie in den früheren Jahren wurde darauf mittelst einer weingeistigen Lösung von Phenolphthalein (0.25 g in $\frac{1}{4}\text{ l}$) geprüft. Fast alle Wasserproben erwiesen sich dabei als alkalisch reagirend. Hat sich im frei beweglichen Meerwasser auch hier, wie im Ocean und im Mittelmeer immer, im Marmara-Meer fast immer keine freie Kohlensäure vorgefunden, so gaben doch sehr viele Wasserproben des Rothen Meeres eine auffallende Verringerung der alkalischen Reaction zu erkennen. Bei dem den Grundschlamm durchsetzenden Wasser war an vielen Stellen wegen Anhäufung von Kohlensäure der Grad der alkalischen Reaction in einem bedeutend höherem Grade verringert, als irgendwo im östlichen Mittelmeer und im Marmara-Meer gefunden worden, an einigen Stellen sogar zum Verschwinden gebracht. Die Zahl 1 bedeutet, dass an der betreffenden Meeresstelle das Wasser eben dieselbe alkalische Reaction besass, wie das gewöhnliche Meerwasser, bei welchem sich ein bestimmtes Verhältniss zwischen halb- und ganzgebundener Kohlensäure in Folge langer Berührung mit der Atmosphäre eingestellt hat. — 1 bedeutet, dass beim Versetzen von 5 cm^3 Meerwasser mit fünf Tropfen obiger Lösung von Phenolphthalein eine um ganz wenig geringere Rothfärbung eintrat, als es bei gewöhnlichem Meerwasser der Fall ist. — 2 bedeutet ein schwaches Roth, — 3 ein noch schwächeres, — 4 wenig mehr als eine Spur Roth. Bei — 5 ist die Rothfärbung kaum sichtbar, — 6 sagt, dass 5 cm^3 Meerwasser, mit fünf Tropfen der Phenolphthaleinlösung versetzt, keine Färbung annahm, nach Zugabe von zehn Tropfen jedoch eine

Spur Roth aufwiesen. Ein Theil der Wasserproben reagirte stärker alkalisch als gewöhnliches Meerwasser. + 1 sagt, dass sich bei dem Versetzen mit Phenolphthalein eine kaum merklich stärkere Rothfärbung als bei jenem einstellte. Bei + 2 war die Rothfärbung wenig stärker, bei + 3 viel stärker als bei gewöhnlichem Meerwasser.

Die 5. Columne der Tabellen II zeigt, wie viel Salzsäure nothwendig war, um die ganz gebundene Kohlensäure auszutreiben. Da diesmal im Gegensatz zu dem viel Flusswasser aufnehmenden Marmara-Meer nur geringe Unterschiede im Gehalte an ganz gebundener Kohlensäure zu erwarten waren, wurde nicht die dort angewandte schnelle Methode der Titration bei gewöhnlicher Temperatur mit Methylorange als Indicator beibehalten, sondern zu der im östlichen Mittelmeer ausgeführten Titration mittelst Phenolphthalein als Indicator zurückgekehrt, bei welcher nach dem am Rückflusskühler und unter Durchleiten von Luft bewerkstelligten Kochen mit überschüssiger Salzsäure mittelst Barytwasser zurücktitrirt wurde. Es war dies um so nothwendiger, als meistens nur kleine Wassermengen zur Verfügung standen.

Während die bisher erwähnten Bestandtheile des Meerwassers unter dem Einfluss pflanzlicher und thierischer Organismen Änderungen in mehr oder weniger hohem Maasse unterworfen sind, ist dies bei den eigentlichen Salzbestandtheilen nicht oder in sehr geringem Grade der Fall.

Durch die Wirkung von Organismen, sowie durch chemische und physikalische Vorgänge auf und in dem Meeresgrunde könnte die Schwefelsäure locale Verminderung, beziehungsweise Anreicherung erfahren. Um den Gehalt an Schwefelsäure und an anderen Salzbestandtheilen auf einander beziehen zu können, wurde auch das Chlor, als der Änderungen so gut wie gar nicht ausgesetzte Salzbestandtheil bestimmt. Die Chlor- und Schwefelsäurebestimmungen, sowie eine Anzahl von Brombestimmungen wurden an Bord vorgenommen, in der Absicht, nur solche Wasserproben nach Wien zur weiteren Salzuntersuchung mitzunehmen, bei welchen sich von der gewöhnlichen Zusammensetzung abweichende Zahlen ergeben hatten.

Zur Vorhard'schen Chlorbestimmung wurde 1 cm^3 Meerwasser genau abgemessen, mit 200 cm^3 destillirtem Wasser verdünnt, mit 10 cm^3 salpetersaurer Eisenaufanlösung (gleiche Volumina gesättigter Ammoniak-Eisenaufanlösung und concentrirter Salpetersäure) als Indicator, dann aus einer Bürette (Nachfüllbürette mit Glashahn) mit titrirter, salpetersaurer Silberlösung in geringem Überschuss versetzt, welcher Überschuss mittelst einer äquivalenten Lösung von Schwefelcyanammonium durch Zutropfenlassen bis zum Eintritt eines lichtbräunlichen Farbentones festgestellt wurde. Controlbestimmungen wurden an mitgeführten Wasserproben aus dem östlichen Mittelmeer mit gewichtsanalytisch bestimmtem Chlorgehalt ausgeführt.

Zur Schwefelsäurebestimmung wurden 50 cm^3 Meerwasser zunächst unter Zugabe von 5 Tropfen concentrirter Salzsäure 10 Minuten lang gekocht, um die Kohlensäure auszutreiben, dann wurde in der Hitze titrirte Chlorbaryumlösung portionenweise unter Umschwenken in zur Fällung der Schwefelsäure ungenügender Menge dazugebracht. Nun kamen, um die Gegenwart der Magnesiums Salze des Meerwassers unschädlich zu machen, einige cm^3 Salmiaklösung und, um später das schwefelsaure Baryum schneller abwaschen zu lassen, einige Tropfen Chloraluminiumlösung hinein, worauf mit kohlenstofffreiem Ammoniak deutlich alkalisch gemacht wurde. 0.2 cm^3 einer titrirten Lösung von Kaliumdichromat, die halb so stark war als die Chlorbaryumlösung, genügte, um der Flüssigkeit eine blassgelbe Färbung zu ertheilen. Zuletzt wurde das Zufließenlassen der titrirten Chlorbaryumlösung fortgesetzt, bis die Flüssigkeit farblos war.

Zur Brombestimmung wurden 500 cm^3 Meerwasser zunächst nach der in der Abhandlung über das Marmara-Meer beschriebenen Art mit $200-300\text{ cm}^3$ einer angesäuerten Silberlösung versetzt, welche das ganze Brom und einen Theil des Chlor ausfällt. Nachdem 24 Stunden im Dunkeln stehen gelassen worden, wurde der Niederschlag durch Decantation gewaschen, mit Wasser und etwas Schwefelsäure angerührt, mit Zink (zuerst mit Messerspitze voll Zinkspähnen, einen Tag später mit ebensoviel Zinkstaub) zusammengebracht, 2 Tage lang damit in Berührung gelassen und filtrirt. In dem gegen 50 cm^3 einnehmenden Filtrat gelangte der Bromwasserstoff auf die Art zur colorimetrischen Bestimmung, dass von einer Reihe, mit Glasstopfen versehener Messcylinder einer damit beschickt und dann zum Zufügen von $2-3\text{ cm}^3$

Chloroform und zum Umschütteln beim tropfenweisen Versetzen mit Chlorwasser bis zum Überschreiten des Maximums der Gelbfärbung des Chloroforms benützt wurde. Die anderen Messcylinder dienten dazu, aus titrierter Bromkaliumlösung zur Vergleichung das Brom abzuscheiden.

Die an 14 Meerwasserproben in Wien ausgeführte Untersuchung, deren Originalzahlen in Tabelle III wiedergegeben sind, betraf zunächst eine mittelst Pyknometers vorzunehmende Bestimmung des specifischen Gewichtes, welche vorwiegend auf Ersuchen des Physiklers der Expedition, Herrn Regierungsrath J. Luksch, Professor an der Marineakademie in Fiume i. R., geschah, unter dessen Aufsicht so wie im mittelländischen Meere die Temperaturen in den verschiedenen Wasserschichten festgestellt worden sind und dessen Freundlichkeit ich auch diesmal die Mittheilung der zur Vergleichung der gefundenen Sauerstoffmengen mit den nach der Oberflächenabsorption berechneten notwendigen Wassertemperaturen verdanke. Die Pyknometerwägungen dienten zur Control der an Bord mittelst Aräometers und Refractometers ausgeführten Bestimmungen des specifischen Gewichtes.

Die Bestimmung des Calcium, Magnesium, Kalium und des Sulfatrückstandes wurden ebenso wie in den früheren Jahren vorgenommen. Auf die Bestimmung des Gesamtsalzes in Form des Abdampfungsrückstandes wurde diesmal verzichtet, da dieselbe, wie ich in der dritten Abhandlung über das östliche Mittelmeer gezeigt habe, wegen des wechselnden Gehaltes des Meerwassers an organischen Substanzen, beziehungsweise wegen des durch sie in verschiedenem Maasse zurückgehaltenen Wassers zu hohe Werthe liefert. Die Wägung des durch Abdampfen mit Schwefelsäure, Abrauchen und Glühen gewonnenen Sulfatrückstandes ermöglicht, wenn Calcium, Magnesium und Kalium bestimmt sind, wegen des nur spurenweisen Vorhandenseins anderer Metalle, die Berechnung des Natrium, gestattet aber auch schon im Zusammenhalt mit der Bestimmung des einen oder anderen Salzbestandtheiles eine Beurtheilung der Gleichheit oder Ungleichheit des im Wasser verschiedener Meere und Meerestheile gelösten Salzgemisches.

Was die Grundproben betrifft, so wurde ihre Analyse mit Ausnahme der Kalium- und Natriumbestimmungen, welche eine analytische Waage und ein auf dem Schiffe schwer auszuführendes Abrauchen von Flusssäure erfordern, durchaus an Bord vorgenommen. Zu diesen Bordbestimmungen wurde eine möglichst empfindliche Hornschalenwaage benützt.

Tabelle VII zeigt Art und Umfang der Grundprobenanalysen. Die zur Analyse gelangenden Substanzen, entweder als feinste Theile von lehmartigen Grundproben durch Schlämmen gewonnen, oder durch Pulvern von Steingemälen erhalten, wurden auch diesmal in einfacher Weise auf ihr Vermögen Wasser (destillirtes Wasser) zurückzuhalten geprüft. Mit Wasser angerührt, auf ein Filter gebracht, daselbst mit destillirtem Wasser gewaschen und hernach bei zugedecktem Trichter bis zum vollkommenen Abtropfen des Wasserüberschusses liegen gelassen, gaben gewogene Theile davon beim Liegen an der Luft und später beim Erhitzen auf 100° vorwiegend wegen des wechselnden Thongehaltes sehr verschiedene Wassermengen ab. Während auf den früheren Expeditionen der offenen Luft ausgesetzt wurde, mussten diesmal, um rasches Trocknen zu erzielen, die in dünner Schicht in einer Platinschale ausgebreiteten Theile der nassen Grundproben in einen Exsiccator über Chlorcalcium gebracht werden, weil die Luft über dem Rothen Meer zumeist mit Wasserdampf fast gesättigt ist. Zu dem darauf folgenden Erhitzen auf 100° wurde ein mit Weingeist geheiztes V. Meyer'sches Wasserbad verwendet.

Das Vermögen, wegen des Gehaltes an organischen Substanzen und an Eisenoxydul Sauerstoff aufzunehmen, sowie der Gehalt an fertig oder fast fertig vorhandenem Ammoniak und an solchen organischen Substanzen, welche bei der Oxydation Ammoniak liefern, wurden so wie in den Vorjahren und in analoger Art wie bei den Wasserproben festgestellt.

Die in den Grundproben enthaltenen Mengen von Carbonaten wurden in Anpassung an die Bordverhältnisse titrimetrisch bestimmt mittelst Salzsäure, Barytwasser und Phenolphthalein. Bei den drei ersten untersuchten Grundproben wurde in derselben Art, wie während der zweiten Expedition im östlichen Mittelmeer bei vielen Grundproben, die ausgetriebene Kohlensäure in titrirtem Barytwasser aufzufangen und der Bestimmung zugeführt. 0.10 g Schlamm aus Lothprobe von Station 12 (48 m) verbrauchten

beim Kochen damit 5.45 cm^3 der titrirten Salzsäure, während die ausgetriebene Kohlensäure nur 5.4 cm^3 eines der Salzsäure gleichwerthigen Barytwassers neutralisirte. Das geringe Plus an verbrauchter Salzsäure könnte auf die Gegenwart basischer Mineralbestandtheile in der Grundprobe und auch auf die leichte Abspaltbarkeit von Ammoniak aus in der Grundprobe enthaltenen organischen Substanzen zurückgeführt werden. 0.15 g Schlamm aus Schleppnetz (Dredsch) von Station 27 (620 m) verbrauchten 7.8 cm^3 Salzsäure, während die ausgetriebene Kohlensäure etwas mehr, nämlich 8 cm^3 des Barytwassers neutralisirte. Diesmal dürfen, wie in der Mehrzahl der im östlichen Mittelmeer untersuchten Fälle, in der Grundprobe vorhandene organische Substanzen beim Kochen mit Salzsäure etwas Kohlensäure abgespalten haben. 0.15 g des Schlammes aus Schleppnetz von Station 33 (791 m) verbrauchten 8 cm^3 Salzsäure, und die ausgetriebene Kohlensäure neutralisirte ebenfalls 8 cm^3 Barytwasser. Ebenso wie im östlichen Mittelmeer waren auch hier die Differenzen zu gering, um die Anwendung dieses umständlichen Controlverfahrens zu empfehlen. Über die Natur der organischen Substanzen, über das Vorwiegen der Ammoniak- oder Kohlensäureabspaltung bei ihrer Zersetzung gaben andere Beobachtungen und Versuche Auskunft.

Während zu den bisher besprochenen, spätestens 24 Stunden nach dem Emporholen der Grundproben ausgeführten Bestimmungen kleine Theile der gewaschenen, feuchten Grundproben zur Verwendung kamen, wurde die Hauptmenge dieser Proben zur einstweiligen Aufbewahrung bei 100° getrocknet. Wie die Tabellen VIa und b zeigen, wurden vor der Zusammenstellung der später erhaltenen Analysenresultate, um die Übereinstimmung mit den Arbeiten der früheren Expeditionen zu wahren, in empirisch festgestellter Weise die angewandten Substanzmengen auf «lufttrockene Grundprobe» umgerechnet. Die im Schiffslaboratorium ausgeführten diesbezüglichen Analysen begannen damit, dass eine gewogene Menge mit zwanzigprocentiger Salzsäure, im Verhältniss von 25 cm^3 auf 3 g, 1 Stunde lang gekocht wurde, wobei sich ein in den allermeisten Fällen nur schwacher Chlorgeruch bemerkbar machte. Eine Probe, nämlich ein haselnussgrosses, leicht zerreibliches, innen fast weisses Steinklumpchen vom Schleppnetz auf Station 86¹ (2190 m) entwickelte kein oder fast kein Chlor. Etwas mehr Chlor als sonst gab der lehmartige Schlamm von der Lothung auf Station 155 (740 m), bei weitem am meisten Chlor entwickelte das Pulver eines etwas mehr als haselnussgrossen, fast allseitig dunkelbraunen, im Innern braunen, harten Steinstückchens vom Schleppnetz der Station 86. Diese Probe enthielt so viel Mangansuperoxyd, dass sich in Berührung mit ihr die Salzsäure zunächst wegen Bildung von Manganichlorid dunkel färbte. Die in den Grundproben in sehr wechselnden Mengen enthaltenen organischen Substanzen und Eisenoxydulverbindungen mussten immer Theile des Chlors als Oxydationsmittel in Anspruch nehmen, weshalb auf die quantitative Bestimmung des sich entwickelnden Chlors verzichtet und nur das in die salzsaure Lösung übergegangene Mangan bestimmt wurde. Ein Theil desselben war als Oxydul vorhanden gewesen. Um vergleichbare Werthe zu haben, wurde so wie in den früheren Jahren das ganze Mangan in Oxydul umgerechnet. — Der Gehalt an organischen Substanzen war bei einer Grundprobe, bei dem grauen Schlamm von Station 145 (62 m) im Golfe von Suez so gross, dass die salzsaure Lösung auch nach dem Kochen und Wiedererkalten einen caramellartigen Geruch aufwies.

Nach dem Kochen mit Salzsäure wurde verdünnt und filtrirt.

Der aus der salzsauren Lösung mit Ammoniak und Schwefelammonium erhaltene, auf ein Filter gebrachte Niederschlag wurde mit ganz verdünnter Salzsäure angerührt, wonach sich der rückständige Schwefel wegen Spuren von Schwefelnickel mehr oder weniger grau gefärbt zeigte. Am dunkelsten war die Graufärbung bei dem grauen Schlamm von Station 145. Ein etwas schwächeres Grau gaben der rothbraune Schlamm von Station 85, die hellbraunen Krustensteinstückchen und die rothbraunen Gesteinstücke von Station 86, die Krustensteinstückchen von Station 88, der lehmartige Schlamm von Station 155 und der röthlich-bräunliche Schlamm von Station 207. Hellgrau war jener Lösungsrückstand bei den Analysen der Schlammproben von den Stationen 12, 27 und 33, sowie bei der des etwas mehr als haselnuss-

¹ Die Position dieser Station war: $22^\circ 7' \text{ n Br. } 28^\circ 0' \text{ ö. L. v. Gr.}$ — Die Positionen aller anderen Beobachtungspunkte, von welchen chemische Analysen vorliegen, sind in den Tabellen I 1–21 verzeichnet.

grossen, im Innern braunen Steinstückchens von Station 80. Fast weiss waren die Schwefelrückstände bei den Analysen der Krustensteinstückchen von Station 33 und bei der leicht zerreiblichen, innen fast weissen Klümpchens von Station 80. In Anbetracht dieser Unterschiede wurde in Wien eine Reihe von Grundproben auf Nickel und andere Schwermetalle quantitativ geprüft.

An Bord wurde die salzsaure Lösung des Schwefelammonium-Niederschlages gekocht, mit Salpetersäure oxydirt, unter Zugabe von Salmiak mit Ammoniak alkalisch gemacht und heiss filtrirt. Von dem auf das Filter gebrachten Aluminium-Eisenniederschlag wurde bei zugedecktem Trichter das überschüssige Wasser ablaufen gelassen. Anderweitigen Versuchen über den Grad des Durchtränktheits verschiedener Niederschläge mit Wasser vorgehend, wurden die Gewichte der so erhaltenen feuchten Niederschläge in den Tabellen VII und VI eingesetzt. Für die Analyse wurde von dem jeweiligen, in einem Platintiegel zur Wägung gebrachten Gemisch der beiden Hydroxyde die Hälfte herausgenommen. Die rückständige Hälfte wurde geglüht, das erhaltene $Al_2O_3 + Fe_2O_3$ gewogen, in der ersten Hälfte nach Behandlung mit Zink und Schwefelsäure das Eisen mittelst übermangansauren Kaliums titirt. Aus dem ammoniakalischen Filtrat des Aluminium-Eisenniederschlages gelangte das Mangan durch Schwefelammonium zur Fällung. Seine quantitative Bestimmung geschah colorimetrisch, indem es in starker Salpetersäure gelöst und darin durch Kochen mit Bleisuperoxyd in übermangansaure übergeführt wurde. Zur Farbenvergleichung wurden Eprovetten von gleichen Querschnitten und wechselnde, kleine Mengen einer titrirten Manganlösung, erhalten durch Auflösen von fast bis zum Glühen erhitztem Mangansulfat, benützt.

Das Filtrat des ersten Schwefelammonium-Niederschlages wurde angesäuert und gekocht. Calcium kam nach der Fällung mit oxalsaurem Ammonium als $CaCO_3$ und Magnesium als $Mg_2P_2O_7$ zur Wägung.

Der in Salzsäure unlösliche Theil der Grundproben wurde mit Sodalösung in einem Porzellanbecher gekocht, um den darin löslichen Theil der Kieselsäure zu entfernen, wovon am meisten in dem leicht zerreiblichen, innen fast weissen Gesteinsklümpchen von Station 80 vorhanden war, beziehungsweise sich beim Kochen mit der Salzsäure gebildet hatte. Dabei färbte sich die Sodalösung je nach Menge und Art der in den Grundproben enthaltenen organischen Substanzen in verschiedenem Maasse: fast gar nicht bei den gewöhnlichen Krustensteinen der Stationen 33 und 80, sowie auch bei den drei anderen Gesteinsarten von letzterer Station, ganz schwach gelblich-bräunlich bei den Schlammproben von Station 33 und 85, etwas stärker, nämlich weingelb bei dem Schlamm von Station 155, schwach braungelb bei den Schlammproben der Stationen 12, 27 und 207, sowie beim Krustenstein von Station 88, ziemlich stark braungelb beim grauen Schlamm von Station 145.

Das in Salzsäure und in Sodalösung Unlösliche wurde auf ein Filter gebracht, getrocknet, geglüht und gewogen.

Für die Bestimmung der Alkalien wurden eigene Theile der gut gewaschenen Grundproben direct mit Flusssäure behandelt.

An einer Anzahl von Grundproben und von Gesteinsproben aus den Küstengebieten des Rothen Meeres wurden in Wien noch folgende Versuche ausgeführt.

Grössere Mengen der einzelnen Proben, immer pulverförmig und mit Wasser gewaschen, wurden mit concentrirter Sodalösung $\frac{1}{4}$ Stunde lang gekocht, heiss filtrirt und mit heissem Wasser nachgewaschen. Aus dem Filtrat wurden durch Chlorecalcium in essigsaurer Lösung kleine Mengen von Oxalsäure gefällt und dann durch Titration mit übermangansaurem Kalium bestimmt. Zur Extraction von Nickel und Kupfer, sowie von eventuell vorhandenen kleinen Mengen von Silber und Gold wurde das in Sodalösung Ungelöste mit starker Cyankaliumlösung in einer Flasche, durch welche, auch den Bodensatz aufrührend, ein langsamer Luftstrom strich, drei Tage lang in Berührung gelassen, dann filtrirt. In das Filtrat wurden einige, grosse Oberflächen aufweisende Stückchen von granulirtem Zink gegeben, damit in offenem Kolben drei Tage unter öfterem Umschwenken stehen gelassen, dann abgossen. Die einen schwarzen Belag tragenden Zinkreste wurden gewaschen, dann ein paar Stunden lang in ganz verdünnter Salzsäure liegen gelassen, zuletzt einige Minuten lang mit etwas stärkerer Salzsäure erwärmt, um das Zink vollständig zu

entfernen. Der schwarze erdig ausschende Rückstand wurde durch Decantation gut gewaschen, mit heisser concentrirter Salpetersäure behandelt, die Lösung verdünnt und nach einigem Stehen filtrirt. Das Gewicht des als Filter, beziehungsweise Glührückstandes bleibenden Goldes war bei den einzelnen Meeresgrundproben verschieden, jedoch immer sehr gering. Die Proben vom Wüstenboden enthielten kein oder fast kein Gold. Im Filtrat wurde stets mit negativem Erfolge auf Silber geprüft. Nickel und Kupfer fehlten in den Wüstenproben ganz oder waren nur in Spuren vorhanden; die kleinen, in den Meeresgrundproben enthaltenen Mengen wurden nach Abdampfen der salpetersauren Lösung und Glühen des Rückstandes als Oxydgemisch gewogen und in etwas Königswasser gelöst, worauf das als Sulfid gefällte Kupfer nach der Behandlung mit Salpetersäure und nach dem Glühen als Oxyd zur Wägung gelangte.

Ferner wurden Proben sowohl vom Meeresgrund als auch vom Wüstenboden auf den Gehalt an jener Schwefelsäure, welche, als in Form von basischen Sulfaten (von Eisen, Aluminium und Magnesium) darin enthalten, erst in kochender Salzsäure löslich war, und auf den Gehalt an Phosphorsäure geprüft.

Sauerstoff.

Während der auf Karte I dargestellten Zickzackfahrten wurde an 48 Stellen der Sauerstoffgehalt unter anderem auch in annähernd 100 m Tiefe festgestellt. Da die Wasserproben mit dem Sigsbee'schen Schüppapparat gewonnen waren, stammten sie nicht genau aus 100 m Tiefe, bis zu welcher der Apparat versenkt worden, sondern aus einer dünnen Meeresschicht, deren untere Grenze in 100 m Tiefe lag. Es genügte dies vollkommen, da es sich nur um vergleichende Untersuchungen in einer bestimmten Wasserschicht handelte.

Die Tabellen I-35 geben den Sauerstoffgehalt in Kubikcentimetern auf 1 l Meerwasser an und daneben jene Sauerstoffmengen, welche das Wasser dieser in 100 m Tiefe befindlichen Meeresschicht bei den eben dort angetroffenen, zwischen 21.3 und 28.2° C. schwankenden Temperaturen enthalten würde, wenn der Sauerstoffgehalt bloss auf eine an der Meeresoberfläche vor sich gegangene Sauerstoffabsorption aus der Luft zurückzuführen wäre.

In dem Horizont der 100 m-Schicht wurde fast immer weniger Sauerstoff gefunden, als nach der Temperatur zu erwarten war, ein Zeichen, dass jener Sauerstoff, der aus der Atmosphäre stammte oder in der obersten, ungefähr 50 m mächtigen, dem vollen Einfluss des Sonnenlichtes ausgesetzten Meeresschicht durch pflanzliche Organismen producirt worden ist, schon in 100 m Tiefe fast überall durch den Sauerstoffbedarf belebter und todtter organischer Stoffe verringert wurde.

Unter den 48 Proben war nur eine, die noch dieselbe Menge Sauerstoff enthielt, welche das Wasser, als es sich vor kürzerer oder längerer Zeit das letzte Mal an der Meeresoberfläche befand, aus der Atmosphäre hatte aufnehmen können. Es traf dies unter Station 101 zu. Würde man absehen von der grossen Mannigfaltigkeit der Beziehungen zwischen Sauerstoff und organischen Substanzen, welche sich bei den Untersuchungen im östlichen Mittelmeer und im Marmara-Meer herausgestellt haben, und welche, wie aus den folgenden Abschnitten dieser Abhandlung erhellt, auch im Rothen Meer vorhanden sind, so könnte man glauben, dass hier unter Station 101 der durch locale oder weitreichende Strömungen bewirkte Austausch von Wasser zwischen der Meeresoberfläche und dem 100 m-Horizonte am ausgiebigsten vor sich gehe. Die daraus folgende Unveränderlichkeit des Sauerstoffes würde im Zusammenhange stehen mit einem dem betreffenden Meerestheile eigenen Unvermögen, in Folge chemischer Änderungen des Wassers Lösungs- oder Fällungserscheinungen hervorzurufen. Mögen sonst diese Erscheinungen im Wasser selbst, am auffallendsten auf dem Meeresgrunde vor sich gehen oder wegen des capillaren Aufsteigens von Meerwasser in Festlandsmassen auch auf dem Strande und selbst in grösseren Entfernungen hindeutend von der Uferlinie sich vollziehen, so könnte, wenn sie einem beschränkten Meeresgebiete mehr oder weniger vollständig fehlen und gefehlt haben, in der Nähe dieses Meeresgebietes das Strandgebiet wenig oder keine Veränderung erleiden und erlitten haben. Während auf Station 101 genau 100% des nach der Wassertemperatur berechneten Sauerstoffes gefunden worden sind, wiesen auf den nord-

westlich davon und der afrikanischen Küste etwas näher gelegenen Stationen 104 und 110 die aus 100 m emporgeholtten Wasserproben ganz unbedeutend mehr Sauerstoff, nämlich 102 und 101 $\frac{1}{2}$ % des berechneten auf. Man könnte also annehmen, dass die sich südlich von der ägyptischen Hafenstadt Koseir erstreckende Festlandsküste seit langem unverändert geblieben ist, und dass die zum Ras (Vorgebirge) Benas verlaufende Halbinsel und die in Verlängerung dieser Halbinsel gelegenen Mukawar- oder Smaragd- und Zebirget- oder St. John's Inseln Reste eines alten Strandgebietes darstellen.

Eine Verringerung des Sauerstoffgehaltes lässt eine, allerdings bei weitem unter der Proportionalität sich bewegende Zunahme der Kohlensäure, mithin ein erhöhtes Lösungsvermögen des Meerwassers erwarten. Unter Station 102, unter welcher eine gegen die Seeseite des Ras Benas gerichtete unterseeische Einbuchtung liegt, wurden nur 89 $\frac{1}{2}$ %, zwischen der Spitze des Ras Benas, beziehungsweise zwischen der demselben unmittelbar vorgelagerten Smirginsel und der Insel St. John's wurden unter Station 97 93 $\frac{1}{2}$ % des berechneten Sauerstoffes gefunden. Zeigten diese Verringerungen des Sauerstoffgehaltes das Bestreben des Meerwassers an, auch in diesem Gebiete alter Strandlinien und Inseln Anderrungen hervorzurufen, so könnte der weiter südöstlich unter Station 73 ebenfalls in 100 m Tiefe ange-troffene geringere, 93 $\frac{1}{2}$ % des berechneten betragende Sauerstoffgehalt, insofern diese Station einer ziemlich weit in das afrikanische Festland einschneidenden Bucht vorgeliegt ist, ein Zeichen der hier schon seit langem vor sich gegangenen Auflösungsprozesse sein.

Bei der dem Golfe von Suez vorgelagerten Insel Scheduan wurde unter Station 160 eine Verringerung des Sauerstoffgehaltes, nämlich der Betrag von 94 $\frac{1}{2}$ % des berechneten, gefunden. Etwas weiter südsüdöstlich zeigte sich unter Station 165 eine Erhöhung des Sauerstoffgehaltes, nämlich 104 $\frac{1}{2}$ % des berechneten. Die Ras Abu Somer genannte flache Halbinsel liegt ebenso ein wenig südwärts von dieser Station 165, wie sich eine unterseeische Einbuchtung nördlich von Koseir südwärts von der in 100 m Tiefe nur 93 $\frac{1}{2}$ % des berechneten Sauerstoffgehaltes aufweisenden Station 131 befindet. Der Mangel an Lösungsvermögen in ersterem Falle und das Vorhandensein des Bestrebens aufzulösen in letzterem Falle mussten sich den mitunter augenscheinlichen, seit Alters für die Schifffahrt ausgenützten, mit den Erfahrungen im Mittelmeer übereinstimmenden Strömungsverhältnissen gemäss, welche eine an der afrikanischen Küste des Rothen Meeres gegen Süden, beziehungsweise gegen SSO gerichtete Strömung in sich schliessen, nach eben dieser Richtung hin auch in geologischer Beziehung bemerkbar machen.

Der östlich von der Sinaihalbinsel gelegene Golf von Akaba wies in 100 m Tiefe immer eine Verringerung des Sauerstoffgehaltes auf. Stellenweise war diese Verringerung so bedeutend, dass sie sich dem während der ganzen Expedition in 100 m Tiefe beobachteten Minimum von 80 $\frac{1}{2}$ % des berechneten Sauerstoffgehaltes näherte. In der nördlichen Hälfte des Golfes sank der Sauerstoffgehalt nie unter 90 $\frac{1}{2}$ % und war überdies geringen Schwankungen unterworfen, indem er im Maximum 94 $\frac{1}{2}$ % betrug. Unter den näher der Ostküste des Golfes oder gegen sein Nordende zu gelegenen, folglich der sauerstoffarmen Tiefenwasser aus der südlichen Golfhälfte zuführenden Strömung voraussichtlich ausgesetzten Stationen 221, 227 und 336 wurde weniger Sauerstoff, nämlich 90, 90 und 91 $\frac{1}{2}$ % des berechneten, gefunden als unter Stationen, welche nahe der Westküste der nördlichen Golfhälfte lagen oder überhaupt mehr dem Einflusse der voraussichtlich hier gegen Süden setzenden, aus relativ seichteren Golfgebieten kommenden Strömung ausgesetzt waren. Unter letzteren Stationen, nämlich 234, 230, 232 und 225 betrug der Sauerstoffgehalt in 100 m Tiefe 94 und 93 $\frac{1}{2}$ % des berechneten. Anders waren die Verhältnisse in der südlichen Hälfte des Gebietes der grössten Tiefen (über 1000 m). Hier können aus den grossen Tiefen überall, an manchen Stellen aber in besonders hohem Grade Strömungen aufsteigen und sauerstoffärmeres Wasser dem 100 m-Horizont beimengen. Unter Station 220 wurden 88, unter Station 219 90, unter Station 215 85, unter Station 213, sowie auch unter Station 212 84 $\frac{1}{2}$ % des berechneten Sauerstoffes angetroffen. Unter den nahe dem Südende des Golfes gelegenen Stationen 209 und 207 ergaben sich 93 und 92 $\frac{1}{2}$ %.

¹ Siehe die Karte IV.

Ebenso wie im Golfe von Akaba über und neben dem Gebiet der grössten Tiefen die kleinsten Sauerstoffgehalte und die bedeutendsten Differenzen an benachbarten Stellen des 100 *m*-Horizontes gefunden worden sind, ist dies auch in der Hochsee des Rothen Meeres der Fall. Gebiete tiefer als 1500 *m* und selbst tiefer als 2000 *m* sind im südlichsten Theile der untersuchten Meereshälfte vorhanden.

Die Minima des Sauerstoffgehaltes, nämlich 77 und 80%, des berechneten, zeigten sich unter den Stationen 47 und 79. Es ist wahrscheinlich, dass, ebenso wie es für das Marmara-Meer nachgewiesen worden ist, eine wirbelartige Bewegung der gesamten Wassermasse sauerstoffarmes Wasser über dem Meeresgrund aus den grössten Meeres-tiefen gegen die Meeresränder drängt. Die Gestaltung des Meeresgrundes könnte bewirken, dass dies hier besonders stark gegen die arabische Küste bei der Beduinenniederlassung Rabugh, vor welcher die beiden genannten Stationen liegen, geschieht.

Erleichtert die vor Rabugh vorhandene Ausbuchtung des Meeres die eben angeführte Art des Hin- und Empordringens von Tiefenwasser, so lässt die vor Dschidda in der Mitte der Längsrichtung des gesamten Rothen Meeres vorhandene Verengung von der bis in die grössten Tiefen reichenden Bewegung der Wassermasse eine rasche Durchmischung auch in den obersten Schichten erwarten, so dass sich daselbst der Sauerstoffgehalt mit der Wassertemperatur, d. h. mit der Sauerstoffabsorption an der Meeresoberfläche in Einklang befinden könnte. Unter Station 88 wurden in der That 97% des berechneten Sauerstoffgehaltes gefunden.

In der Mitte der Meeresbreite steht hier über dem Gebiet der grössten Tiefen in den oberen Schichten im Allgemeinen ein Zuströmen des Wassers von den Meeresrändern her in Aussicht. Je nachdem ob dieses zuströmende Wasser vorher, als es vor kürzerer oder längerer Zeit aus der Tiefe emporgeschoben worden war, in die oberste Meeresschicht, wo Sauerstoff von freischwimmenden kleinen Algen producirt wird, oder an die Meeresoberfläche gelangt oder nicht gelangt ist, muss sein Sauerstoffgehalt sehr verschieden sein. Unter Station 72 wurden — immer in 100 *m* Tiefe — 103, unter Station 75 80% des berechneten Sauerstoffgehaltes angetroffen.

Weiter nördlich sind im Küstengebiet, weil daselbst das 100 *m*-Wasser den aus den grössten Tiefen emporsteigenden Strömungen mehr entrückt ist, nur unbedeutende Verringerungen des Sauerstoffgehaltes und deshalb auch geringe örtliche Unterschiede im Sauerstoffgehalt zu gewärtigen. Unter Station 76 wurden 88, unter Station 95 93, unter Station 70 89, unter Station 96 99, unter Station 99 90 und unter Station 119 95% des berechneten Sauerstoffgehaltes gefunden.

Noch etwas weiter nördlich muss ein quer über die Meeresbreite sich erstreckender unterseeischer Rücken ähnlich wie in der Adria¹ bewirken, dass «ein grosser Theil der bis dahin durch Vorwärtstreben an der O-seite der Meeresabschnitte gelangten Wassermassen von dem weiteren Vordringen gegen Norden abgehalten, durch Bildung kürzerer Stromschlüsse zum Abschnellen gegen Westen, beziehungsweise gegen Süden veranlasst wird.» Damit dürften die bedeutenden unter den Stationen 114 und 125 gefundenen, 106 und 107% betragenden Sauerstoffgehalte zusammenhängen, welche die Maxima des 100 *m* Horizontes darstellen. Ein Mangel oder geringer Grad verticaler Durchmischung ermöglicht theils freischwimmenden Algen, theils in benachbarten seichten Korallengebieten festsitzenden pflanzlichen Organismen den Sauerstoffgehalt derart zu erhöhen.

Im übrigen noch nicht besprochenen Theil des nördlichsten Abschnittes der Hochsee wurde immer weniger Sauerstoff gefunden als der Oberflächenabsorption entspricht, und waren die Unterschiede im Sauerstoffgehalt, anscheinend wegen der ziemlich regelmässigen Form des Beckenthalles nur gering. Es ergaben sich unter den Stationen 113, 128, 129, 160, 136, 155, 150, 151, 149, 153, 203 und 255 95, 89, 96, 98, 92, 85, 85, 96, 98, 92, 94 und nochmals 94% des berechneten Sauerstoffgehaltes.

Zur Besprechung des knapp über dem Meeresgrunde vorhandenen Sauerstoffes übergehend, mochte ich zunächst daran erinnern, dass dieselbe den Vortheil bietet, sich nicht auf Hochsee und Golf von

¹ Siehe Abhandlung über das Marmara-Meer, I. Abschnitt: «Über die Stellung des Marmara-Meeres anderen Meeren gegenüber» (1892).

Akaba beschränken zu müssen, sondern sich auch auf den weniger als 100 m tiefen Golf von Suez erstrecken zu können.

Mit dem südlichsten, tiefsten Gebiet der Hochsee, d. h. der nördlichen Hochseehälfte beginnend, ist hervorzuheben, dass ebenso wie im 100 m-Horizont die geringsten Sauerstoffmengen unter den Stationen 47 und 79 angetroffen worden sind. Die betreffenden Wassermassen hatten anscheinend am längsten in den Sauerstoff zur Oxydation organischer Stoffe verbrauchenden Meerestiefen verweilt, indem sie aus Stellen der grössten Tiefen durch die Gesamtwasserbewegung über dem Meeresboden gegen die Küste bei Rabugh gedrängt wurden. Im östlichen Mittelmeer hatte sich als Minimum für den Sauerstoff der Werth 3.8 cm^3 (bei 0° und 760 mm Druck) auf 1 l Wasser, im Marmara-Meer der Werth 1.8 cm^3 ergeben. Unter Station 47 der Expedition im Rothen Meer wurden knapp über dem Grunde nur 1.41, unter Station 79 nur 1.33 cm^3 Sauerstoff pro l Meerwasser angetroffen. Noch an zwei Stellen fand sich über dem Grunde sauerstoffärmeres Wasser als im Marmara-Meer, nämlich unter den Stationen 76 und 99, und zwar in beiden Fällen 1.49 cm^3 Sauerstoff enthaltend. Sinkt also nur ausnahmsweise der Sauerstoffgehalt in den Tiefen des Rothen Meeres unter den in den Tiefen des Marmara-Meeres beobachteten, besonders geringen, so sind knapp über dem Grunde des Rothen Meeres und auch bedeutend darüber weite Gebiete der Wassermassen doch fast immer ärmer an Sauerstoff als die vom unterseischen Abfall der syrischen Küste emporgelohnten, sauerstoffärmsten Wasserproben des östlichen Mittelmeeres.

Auch im Rothen Meer wurde festgestellt, dass durchaus nicht die tiefsten Wassermassen die sauerstoffärmsten sein müssen, dass vielmehr ein ungemein verwickelt scheinendes Nebeneinander verschiedener Sauerstoffgehalte vorhanden ist.

Die Stellen, an welchen die oben angeführten geringsten Sauerstoffgehalte angetroffen worden sind, befinden sich nur 590, 512, 600 und 700 m unter der Meeresoberfläche. Die bedeutende Sauerstoffverringering hängt eben damit zusammen, dass die aus den grössten Tiefen emporgedrückten Wassermassen sich am steilen unterseischen Abfall der arabischen Küste gegen Norden bis über Jambo, der Hafenstadt von Medina, hinaus weiter bewegt haben, und dass sie dabei unter dem Einfluss der aus den grossen Korallengebieten vor jener Küste in See getragenen, sich zu Boden setzenden Pflanzen- und Thierkörperchen ihres Sauerstoffgehaltes in besonders hohem Maasse beraubt worden sind. So ist es verständlich, dass sich unter jenen vier Stationen knapp über dem Grunde nur 27, 26, 29 und nochmals 29% des berechneten Sauerstoffgehaltes ergeben haben.

Nördlich von Jambo besteht eine, wenn auch nur geringe Verengung des Meeresbeckens. Wegen des Anstossens an dem vorspringenden unterseischen Abhang der arabischen Küste ist also ein theilweises Abweichen von bis in die Nähe gelangtem, sauerstoffarmem Wasser zu erwarten. In der That wurden unter den Stationen 70 und 69 über dem Grunde nur 35 und 38% des berechneten Sauerstoffes gefunden.

An der afrikanischen Küste des in Rede stehenden, eine Erweiterung des Meeres darstellenden Meerestheiles südlich von Ras Benas kommt das nach Süden strömende und wegen der Erdrotation nach rechts drängende Wasser aus seichteren Gebieten, und ist überdies durch der Küste weit vorgelagerte Korallenriffe und Inseln einer beträchtlicheren Durchmischung unterworfen als an der arabischen Küste. Schon in der eben erwähnten, auf der Höhe von Ras Benas liegenden Meerungsverengung stehen den unter der östlichen Station 120 über dem Grunde gefundenen 48% des berechneten Sauerstoffgehaltes die unter der westlichen Station 101 angetroffenen 51% gegenüber. Ebenfalls 51% ergaben sich unter der dem Ras Benas vorgelagerten Station 67. In dem seichten, weiter unten näher besprochenen, auf Karte VI skizzirten Korallengebiet vor der zur Verhinderung von Sklavenausfuhr angelegten ägyptischen Militärstation Mersa Halaib betrug der durchschnittliche Sauerstoffgehalt über dem Grunde 86% des berechneten. In annähernd 700—850 m Tiefe fanden sich über dem Grunde unter Station 57 45, unter den weiter südlich gelegenen, also dem unterseischen Zuströmen von sauerstoffarmem Wasser aus dem Gebiet der grössten Tiefen mehr ausgesetzten Stationen 73, 55 und 44 jedesmal 42% des berechneten Sauerstoffes.

Auf das über dem Gebiet der grössten Tiefen durch die wirbelartige Bewegung der gesamten Wassermasse bewirkte Einschlürfen von sauerstoffreichem Wasser aus den oberen Meeresschichten deuten die

hier in Tiefen von 1150, 1804 und 2100 m gefundenen, relativ hohen Sauerstoffgehalte, nämlich 54, 51 und nochmals 51%, der berechneten, hin. Auch unter den, östlich von den grössten Tiefen gelegenen Stationen 46 und 88 gelangen anscheinend noch Theile sauerstoffreichen Wassers bis an den ungefähr 900 m tiefen Meeresgrund, da hierselbst in beiden Fällen 45% angetroffen wurden. Zwischen diesen beiden Grundstellen ist eine auffallende, gegen die arabische Küste gerichtete Ausbuchtung der 1000 m-Grundlinie vorhanden. Diese Ausbuchtung mag es dem südlich und südwestlich davon vorhandenen Tiefenwasser erleichtern über dem Grunde den Stationen 47 und 79, d. h. gegen Kabugh zuzuströmen. Unter Station 33 zeigt sich jedoch schon wieder der Einfluss der gegen die Mittellinie des Meeres gerichteten, sauerstoff-reicheren Wasser in die Tiefen führenden Bewegung, indem daselbst über dem Grunde 42% des berechneten Sauerstoffgehaltes waren.

In dem nördlich vom Dädalus-Riff gelegenen Meerestheil wurden über dem Grunde die niedrigsten Sauerstoffgehalte — in Folge der an der arabischen Küste gegen Norden gerichteten Wasserbewegung — unter den Stationen 114, 125 und 155 gefunden, in allen drei Fällen 45% des berechneten Sauerstoffgehaltes.

In dem Gebiete der grössten Tiefen dieses Meerestheiles, welches annähernd das mittlere Drittel der Meeresbreite einnimmt, zeigten sich wieder über dem Grunde grössere Sauerstoffgehalte als in den beiden seichteren, den Küsten zu gelegenen Dritteln der Meeresbreite. Unter Station 113, die über der niedrigen, die Grenze zwischen den beiden tiefsten Gebieten der Hochsee ausmachenden Bodenschwellung liegt, ergaben sich 58%; unter Station 128, nach deren Lage über einem grösseren, mehr als 1000 m tiefen Gebiet ein stärkeres Zutliessen von sauerstoffreichem Wasser der oberen Meeresschichten und darauf folgendes Untertauchen zu erwarten ist, ergaben sich 61%. Unter den in Norden und mehr gegen den Rand des Gebietes der grössten Tiefen gelegenen Stationen 156 und 149 waren wieder nur 58% vorhanden.

Unter Station 22, knapp neben den beiden, am Rande des Gebietes grösster Tiefen gelegenen Brüderinseln wies das Bodenwasser 84% des berechneten Sauerstoffes auf, also einen etwas geringeren Gehalt als zumeist im 100 m-Horizont der Hochsee gefunden worden. Wegen der nur 87 m betragenden Meerestiefe und wegen des Pflanzenlebens der an die beiden Inseln angebauten Korallenriffe hätte man eher einen höheren Gehalt erwarten können. Theile von aus dem Randgebiet grösserer Tiefen emporgeschobenen Wassermassen konnten die Sauerstoffverringerng bewirkt haben. Obgleich kann zwischen den Korallenriffen wenigstens zeitweise der Verbrauch von Sauerstoff durch lebende und todt Organismen überwiegen.

Unter der ganz wenig südlich von den Brüderinseln gelegenen Station 129, wo das Meer 806 m tief ist, wurden ebenso wie unter Station 160, welche fast die gleiche Tiefe aufweist, und welche fast in derselben Entfernung von der arabischen Küste liegt wie Station 129 von der afrikanischen, über dem Grunde 51% des berechneten Sauerstoffgehaltes gefunden. Die räumliche Ausdehnung der Brüderinseln, beziehungsweise ihres unterseischen Sockels ist zu gering, als dass wegen einer rührerartigen Wirkung der unterseischen Abhänge auf die sich vorwiegend horizontal bewegend Wassermassen die vertikale Durchmischung bis zu einem Hinabgelangen sauerstoffreicher Theile der oberen Meeresschichten gefördert werden würde.

Eigenthümlichkeiten in Bezug auf den Sauerstoffgehalt über dem Grunde zeigen die an die Golfe von Akaba und Suez sich anschliessenden Theile der Hochsee. Die Beimengung von sauerstoffreicherem mit dem Golfe von Akaba ausgetauschtem Wasser zu dem aus dem Gebiete grösster Tiefen der Hochsee emporgedringten Wasser bedingt hier anscheinend höhere Sauerstoffgehalte, nämlich 67% des berechneten über dem Grunde unter Station 255 und 68% unter Station 203.

Südlich von der dem Golfe von Suez vorgelagerten Insel Scheduan, wo etwas Wasser aus diesem Golf durch die mit kleinen Inseln und Korallenriffen übersäte Meeresstrasse zwischen ihr und der afrikanischen Festlandsküste ausströmt, wurden Ende October unter Station 18 über dem 547 m tiefen Grunde nur 42% des berechneten Sauerstoffgehaltes gefunden. Das Wasser im Golfe von Suez ist ungemein reich an organischen Schwimmkörperchen, bestehend aus lebenden und todtten kleinen Pflanzen und Thieren. Das im Herbste aus dem Golfe ausströmende und in Folge seines grösseren specifischen Gewichtes im

Wasser der Hochsee rasch untersinkende Wasser¹ dürfte besonders viele abgestorbene Organismen mit sich führen, welche bei ihrer Verwesung Sauerstoff verbrauchen. Im Winter (Mitte Februar) wurden bei nahe an derselben Stelle, unter Station 166 in 564 *m* Tiefe, 64% des berechneten Sauerstoffes angetroffen, etwas weiter südlich, unter Station 165 in 1012 *m* Tiefe, 61%.

Im Golfe von Akaba ist das Wasser über dem Grunde bedeutend reicher an Sauerstoff als das Bodenwasser in der nur wenig tieferen Hochsee. Das 69% des berechneten Sauerstoffgehaltes betragende Minimum ergab sich unter Station 215 in 1000 *m* Tiefe. Wenn im Golfe von Akaba ebenfalls eine kreisende, wirbelartige Bewegung des gesammten Wassers stattfindet, konnte sich zu der am Rande des Gebietes der grössten Tiefen und bei dem steilen unterseischen Abhang der arabischen Küste gelegenen Stelle Tiefenwasser längere Zeit über dem Meeresgrunde aus den centralen oder südlichen Theilen des Gebietes der grössten Tiefen bewegt haben, dabei Sauerstoff zur Oxydation organischer Stoffe abgebend. Der relativ kleine Betrag der Sauerstoffverringering kann daher rühren, dass nur wenige organische Stoffe zur Oxydation angeboten worden sind, und daher, dass die eine verticale Durchmischung der Wassermassen bewirkende Bewegung zu rasch erfolgt.

Im südlichen Drittel des Golfes, in welchem das über 1000 *m* tiefe Gebiet bis nahe an die 128 *m* tiefe Strasse von Tiran heranreicht, wurde fast durchaus ein dem Minimalwerth nahezu gleicher Sauerstoffgehalt im Wasser über dem Grunde festgestellt. 70% des berechneten Sauerstoffgehaltes fanden sich in den Bodenwässern der Stationen 207 (1077 *m*), 209 (792 *m*), 213 (1175 *m*), 214 (1150 *m*), 219 (917 *m*), 250 (1180 *m*) und 252 (958 *m*). Die Steilheit des unterseischen Abfalles der beiderseitigen Küsten und des nördlich der Strasse von Tiran befindlichen Seebodens erleichtert es dem sich über ziemlich ebenem Meeresboden bewegendes Tiefenwasser, eine gleichmässige Vertheilung des Sauerstoffes zu bewirken. Anders ist es in den nördlichen zwei Dritteln der Golfänge, in welchen ein Auflaufen von Bodenwasser aus dem Gebiet der grössten Tiefen entlang der arabischen Küste durch das allmähliche Ansteigen des Seebodens begünstigt wird. Durch eben dieses raschere Auflaufen von Theilen des Tiefenwassers müssen aber Theile des Wassers der oberen Meeresschichten angesaugt, zum Hinabtauchen gebracht werden. So erklärt sich die im Vergleich zur gleichmässigen Vertheilung des Sauerstoffes in den Tiefen des südlichen Goldrittels so auffallende Mannigfaltigkeit der Sauerstoffgehalte über dem Grunde der nördlichen zwei Drittel dieses Golfes. Es fanden sich hier 70% des berechneten Sauerstoffgehaltes unter den Stationen 227 (910 *m*) und 230 (920 *m*), 72% unter Station 236 (874 *m*), 73% unter Station 216 (685 *m*), 75% unter Station 221 (582 *m*), 77% unter Station 225 (521 *m*), 84% unter Station 212 (302 *m*), 89% unter den Stationen 234 (108 *m*) und 232 (314 *m*). Deutlicher als sonst zeigt sich hier eine Abhängigkeit des Sauerstoffgehaltes von der Meerestiefe.

Wie die geringe Tiefe des Golfes von Suez erwarten liess, wurden daselbst über dem Grunde hohe Gehalte an Sauerstoff nachgewiesen. Es ergaben sich 89% des berechneten unter Station 145 (62 *m*), 94% unter den Stationen 179 (50 *m*) und 183 (50 *m*), 97% unter Station 178 (45 *m*) und 98% unter Station 202 (73 *m*).

Bisher wurde der Sauerstoffgehalt in der 100 *m* unter der Meeresoberfläche gelegenen Wasserschicht und über dem sehr verschieden tiefen Meeresgrund in Betracht gezogen.

An einer Anzahl von Stellen gelangten unter dem 100-*m*-Horizont und über dem Meeresgrunde vorhandene Zwischentiefen zur Prüfung.

Unter der vor Mersa Halaib nahe der afrikanischen Küste gelegenen Station 55, wo das knapp über dem Grunde (845 *m*) befindliche Wasser 42% des berechneten Sauerstoffes besass, wurde in 500 *m* Tiefe ein etwas geringerer Sauerstoffgehalt, nämlich 40% des berechneten angetroffen. Es stimmt dies mit der Annahme überein, dass in den aus dem Gebiet der grössten Tiefen stammenden, gegen die Küste und gegen die obersten Meeresschichten zu gedrängten Wassermassen wegen des Fortschreitens der Oxydation organischer Stoffe der Sauerstoff verringert wird.

¹ Diesbezüglich: Contre-Admiral S. Mekaroff: *Le «Vilaz» et l'Océan Pacifique*; St. Petersburg 1894.

Unter Station 129, ganz wenig südlich von den Brüdern-Ineln, wo der Sauerstoffgehalt in 100 m Tiefe 105% des berechneten betrug, war derselbe in 200 m Tiefe auf 60% des berechneten gesunken, näherte sich also schon dem knapp über dem 800 m tiefen Grunde gefundenen Werth (51%^a).

Unter der weit nördlich von den Brüdern-Ineln, in grösserer Entfernung von der afrikanischen Küste und über dem Gebiet grösster Tiefen gelegenen Station 130 wurden, wohl in Folge des Umstandes, dass hier durch die Bewegung der gesamten Wassermasse Theile der sauerstoffreichen obersten Meeresschicht zum Untertauchen veranlasst werden, in 600 m (bei einer Meerestiefe von 1135 m) 64% des berechneten Sauerstoffes gefunden, also mehr als auf Station 129 in 200 m.

Unter der näher der arabischen Küste gelegenen Station 151 überwiegt wieder das Aufsteigen von sauerstoffarmem Wasser gegen die Oberfläche und gegen die Küste zu. Dasselbst wurden in 400 m Tiefe (bei einer Meerestiefe von 764 m) nur 48% des berechneten Sauerstoffes vorgefunden.

Unter der weiter nördlich und näher dem Gebiet der grössten Tiefen gelegenen Station 153 ergab sich in 300 m Tiefe (bei einer Meerestiefe von 600 m) wieder ein etwas höherer Sauerstoffgehalt, nämlich 54% des berechneten.

Im Golf von Akaba wurden unter der annähernd in seiner Mitte befindlichen Station 220 in 500 m Tiefe (bei 1267 m Meerestiefe) 70% des berechneten Sauerstoffgehaltes angetroffen, d. h. ebensoviel als fast überall knapp über dem Grunde des südlichen Drittels dieses Golfes. Wegen der Schmalheit des Golfes kann offenbar in der Golfmitte das sauerstoffreiche Wasser des 100 m-Horizontes nicht zum Untertauchen bis 500 m gebracht werden. Der den immerhin sehr hohen Sauerstoffgehalt in den Tiefen des südlichen Golf Drittels mitbedingende verticale Wasseraustausch vollzieht sich, wie schon bei der Besprechung der Verhältnisse knapp über dem Grunde hervorgehoben wurde, in den nördlichen, einen allmähig ansteigenden Boden besitzenden Golftheilen.

Zum Schlusse die Vertheilung des Sauerstoffes in ganz geringen Wassertiefen besprechend, sei zunächst erwähnt, dass in dem Wasserbecken, welches das Gebiet der ehemaligen Bitterseen auf der Landenge von Suez ausfüllt und durch den Suezcanal mit Mittelmeer und Rothem Meer in Verbindung steht, unter Station 7¹ knapp über dem nur 10 m tiefen Grunde ein auffallend geringer Sauerstoffgehalt, gleich 83%, des berechneten angetroffen wurde. Der etwas grössere Salzgehalt der unteren Wasserschichten erschwert ihre Durchmischung mit dem sauerstoffreichen Wasser der Oberfläche, so dass die am Grunde vorhandenen, zum Theil von Dampfern herrührenden organischen Stoffe den Sauerstoff in dem angeführten Masse verringern konnten.

Im Golf von Suez wurden an vier Stellen Wasserproben aus 20 m auf ihren Sauerstoffgehalt geprüft, und zwar Anfangs März. Der grösste Sauerstoffgehalt, um 5%^a mehr als nach der Wassertemperatur zu erwarten, ergab sich unter der in der Mitte der Golfänge gelegenen Station 183; je 106% des berechneten Sauerstoffes fanden sich unter den an den beiden Golfenden gelegenen Stationen 178 und 202, 94%^a unter Station 170. Die Meerestiefen betrugen 50, 45, 73 und 50 m. Die in 20 m angetroffenen Sauerstoffmengen waren gleich oder nahezu gleich den oben angeführten, knapp über dem Grunde gefundenen. Unter der nahe bei Suez gelegenen Station 178 war das Wasser in 20 m sogar ein wenig ärmer an Sauerstoff als knapp über dem 45 m tiefen Grunde.

Muss es schon auffallen, dass im Golf von Suez, welcher wegen seiner geringen Tiefe Pflanzenleben in seiner ganzen Wassermasse ermöglicht, nur an einer Stelle ein Überschuss von Sauerstoff angetroffen worden ist, so zeigte sich in dem einer speciellen Untersuchung unterworfenen, von Korallenriffen umschlossenen und durchzogenen, seichten Gebiet vor Mersa Halaib noch deutlicher, dass durchaus nicht immer in seichten, an Organismen reichen Meerestheilen besonders viel Sauerstoff producirt wird und erhalten bleibt.

An zwei aufeinander folgenden Novembertagen wurde dieses Korallengebiet, welches, wie die Karte¹ zeigt, durch eine (flache) Insel vor der hier aus Norden kommenden Uferströmung geschützt ist,

¹ Siehe Karte V.

² Siehe Karte VI.

sich also in der Lage befindet, Eigenthümlichkeiten des zwischen Korallenriffen vorhandenen Wassers festzuhalten, in einem Boote des Expeditionsschiffes befahren. Wasserproben wurden mit Hilfe des Meyer-Mill'schen Schöpfapparates¹ emporgeholt, und jedesmal Theile von ihnen unter Ausschluss des Luftsauerstoffes in Literflaschen einfließen gelassen. Um sie auch fernerhin, bis zu der erst einige Stunden später im Schiffslaboratorium auszuführenden Sauerstoffbestimmung, vor der Berührung mit Luft zu schützen, wurden vor dem Verschliessen der bis an den Rand gefüllten Fritznier'schen Flaschen in dieselben als Luftpolster an beiden Enden durch Kautschukplättchen geschlossene Kautschukröhren von 14 cm Länge und 14 cm² Rauminhalt gebracht.

Am meisten Sauerstoff, gleich 89% des berechneten, fand sich knapp über nur 3 1/2 m tiefem Meeresboden unter Beobachtungspunkt α in einer vor jeder Strömung besonders geschützten kleinen Bucht an der Westseite des der Küste vorgelagerten Riffstreifens. 87% des berechneten Sauerstoffes waren unter dem benachbarten Punkt λ knapp über 2 m tiefem Grunde und zwischen mächtigen, vielfarbigen Korallenstöcken vorhanden, 86% unter Punkt β , knapp bei der Landungsstelle von Mersa Halaib, über 6 m tiefem Grunde, sowie auch unter ϵ , im Tiefenwasser zwischen der Küste und dem vorgelagerten Riffstreifen, über 21 m tiefem Grunde. An einer weiter nördlich gelegenen Stelle dieses Tiefenwassers, unter Punkt γ wurden über dem daselbst 40 m tiefen Grunde 83% gefunden.

Es ist möglich, dass von den aus den grössten Tiefen der Hochsee gegen die Küste und zur Oberfläche drängenden sauerstoffarmen Wassermassen Theile zwischen die einzelnen Korallenriffe, besonders durch das zwischen dem Nordende des Riffstreifens und der Insel gelegenen tiefen Fahrwasser insoweit gelangen, dass sie die Sauerstoffproduction im Korallengebiet an den Prozentzahlen des Sauerstoffes nicht bemerken lassen.

Kohlensäure.

Ein sehr einfaches Mittel, auch ganz geringe Änderungen im Kohlensäuregehalt festzustellen, bietet die Prüfung auf den Grad der alkalischen Reaction des Meerwassers.

Ist unter dem Einfluss pflanzlicher Organismen ein Theil der halbgebundenen Kohlensäure unter Kohlenstoffassimilation und Sauerstoffproduction gespalten worden, dann zeigt sich die dadurch vergrößerte Menge von Monocarbonat durch eine verstärkte alkalische Reaction zu Phenolphthalein an. Ist durch Oxydation organischer Stoffe Kohlensäure entstanden, so gibt sich dies durch Verringerung oder Fehlen der alkalischen Reaction kund.

Ebenso wie beim Sauerstoff wurden auch bei der Kohlensäure bei Weitem die meisten Prüfungen einerseits in der 100 m unter der Meeresoberfläche befindlichen Wasserschicht, anderseits knapp über dem Meeresgrunde vorgenommen.

Im 100 m-Horizont des Golfes von Akaba wurde nur an einer Stelle, nämlich unter Station 230 der normale Grad von alkalischer Reaction des Meerwassers angetroffen. An den 14 anderen untersuchten Stellen war die alkalische Reaction immer geringer als in gewöhnlichem Meerwasser. Die Verringerung war gleich —1 unter den in der südlichen Golfhälfte gelegenen Stationen 207, 209, 212, 213, 215, 219 und 220, während die nördliche Hälfte — wegen stellenweisen Stattfindens reichlicheren Emportreibens von Tiefenwasser — grössere Schwankungen aufwies. Hier war die Verringerung der alkalischen Reaction gleich —1 unter den Stationen 225, 234 und 236, gleich —2 unter den Stationen 227, 232 und 238, gleich —3 unter der Station 221.

¹ H. R. Mill in: The Scottish Marine Station for scientific research, Granton near Edinburgh, its work and prospects, 1885. Der von Negretti & Zambra (London) bezogene Apparat stellt eine handliche Modification des H. A. Meyer'schen Wasser-schöpfers dar. Durch den Muschelnichter S. M. Schiffes »Pola«, Herrn Hübm waren im Seeresenal zu Pola die beiden Kautschuk-ringe, auf welche das Mantelrohr in der Meeresiefe aufzuhalten hat, durch messingene Ventilplatten mit konischen Rändern ersetzt worden.

² In Betreff der Scala, welche die Grade der Verringerung und Verstärkung der alkalischen Reaction des Meerwassers angibt, siehe Abschnitt »Untersuchungsmethoden«.

Im Verhältniss zur Ausdehnung der Oberfläche ist der Golf von Akaba viel tiefer als die Hochsee des Rothen Meeres. In letzterer wird insofern eine Durchmischung der übereinander befindlichen Wasserschichten leichter erfolgen, als wegen der grossen horizontalen Ausdehnung der Wassermassen unter dem Einfluss der Bewegung des gesammten Wassers schon eine ganz geringe Abweichung der Strömungsrichtung von der Horizontalen genügt, um zu einer bestimmten Wasserschicht, z. B. zu der in 100 *m* Tiefe aus grösseren oder geringeren Entfernungen Wasser der unteren oder oberen Schichten gelangen zu lassen. Sollte hierbei in Folge rascherer Durchmischung der oberen Meeresschichten der Austausch von Wasser zwischen der Meeresoberfläche und dem 100 *m*-Horizont grösser sein, als der Austausch zwischen ihm und den unteren Schichten, so müssten sich in diesem Horizont wegen der an der Meeresoberfläche möglichen Abgabe von Kohlensäure an die Atmosphäre und wegen der in den obersten Wasserschichten durch pflanzliche Organismen verursachten Kohlensäureverringering vorwiegend normale oder verstärkte alkalische Reactionen des Meerwassers finden.

Wegen der Kleinheit seines Beckens, wegen des häufigen Anpralles seiner sich bewegenden Wassermasse an unterseische Abhänge kann im Golte von Akaba die Bewegungsrichtung leichter von der Horizontalen abweichen als in der Hochsee.¹ Dadurch, dass immer wieder neue Wassermassen an die Golf-oberfläche oder nahe an dieselbe gebracht werden, wird sowohl der Kohlensäureaustausch mit der Atmosphäre, als auch das Gedeihen pflanzlicher, freischwimmender Organismen und somit die Verstärkung der alkalischen Reaction des Meerwassers erschwert. Wenn sich in der Hochsee das Wasser der obersten Schichten nahezu horizontal weiterbewegt, also dem Sonnenlicht zugänglich bleibt, so muss dies das Pflanzenleben so weit fördern, dass die alkalische Reaction des Meerwassers im 100 *m*-Horizont zumeist verstärkt oder wenigstens vor einer Verringerung bewahrt wird.

Es wurden in der Hochsee 38 Stellen des 100 *m*-Horizontes auf die alkalische Reaction des Wassers geprüft. Nur an 7 Stellen ergab sich eine schwächere Reaction als in gewöhnlichem Meerwasser, und zwar war die Verringerung der alkalischen Reaction immer nur gleich -1 . An 16 Stellen wurde die normale Reaction des Meerwassers angetroffen, an 15 Stellen eine verstärkte Reaction.

Das im 100 *m*-Horizont der Hochsee gefundene Maximum der alkalischen Reaction war gleich $+3$. Es war unter Station 101, also in dem mittleren Theil der Meeresbreite, über dem Gebiet der grössten Tiefen. Dahin konnte sich Wasser der obersten Schichten lange Zeit im Sonnenlichte bewegt haben. Ebenfalls in diesem mittleren Theile der Meeresbreite wurden Verstärkungen der alkalischen Reaction gleich $+2$ angetroffen unter den Stationen 70, 72, 88, 113, 114 und 149. Näher den Küsten wurde dieselbe Verstärkung $+2$ als ein Zeichen des Fehlens daselbst aufsteigender Strömungen beobachtet: in der gegen Jambo gerichteten Ausbuchtung des Meeres unter den Stationen 95 und 99, sowie an der afrikanischen Küste unter den Stationen 104 und 110, wo wegen der Nachbarschaft des beide Gebiete grösster Tiefen trennenden unter-seischen Rückens ein langsames Zuströmen von Wassermassen gegen die Mittellinie des Meeres, mithin ein längeres Verweilen derselben Wassermassen im Küstengebiet zu erwarten ist.

Eine geringere Verstärkung der alkalischen Reaction, gleich $+1$, wurde unter den in den mittleren Theilen der Meeresbreite gelegenen Stationen 30, 33 und 100 angetroffen und näher der arabischen Küste unter Station 125, über einer gegen die Küste gerichteten Ausbuchtung des mehr als 500 *m* tiefen Gebietes.

Die normale alkalische Reaction ergab sich in den mittleren Theilen der Meeresbreite unter den Stationen 75, 119, 128, 136 und 155. Näher der Küste wurde, wegen des Fehlens oder wegen des geringen Masses aus der Tiefe aufsteigender Bewegung, die normale Reaction angetroffen unter den in einer Erweiterung des Seebeckens gelegenen Stationen 47, 73, 76 und 79, ferner unter Station 102 über einer gegen Ras Benas zugekehrten Ausbuchtung des mehr als 500 *m* tiefen Gebietes, ferner unter den Stationen 129 und 131. Vor der diesen beiden Stationen benachbarten Stadt Koseir tritt das mehr als 500 *m* tiefe Gebiet bis knapp an die Küste heran, so dass sich ein auch für die Verhältnisse des Rothen Meeres besonders

¹ Es ist möglich, dass die dadurch verursachte Unregelmässigkeit der Niveaufläche des Golfes es den Winden erleichtert, in kurzer Zeit, wie oftens Gelegenheit war zu beobachten, hohe Wellen zu erzeugen.

steller unterseeischer Abfall der Küste ergibt. Hier dürfte also das Aufsteigen von Tiefenwasser unmittelbar an der Küste erfolgen.¹ Die normale alkalische Reaction ergab sich ferner unter den Stationen 151 und 153, also an Stellen, welche zwar von der Küste weit entfernt, jedoch dem der Küste vorgelagerten seichten Korallengebiet nahe sind. Wenig südlich von der Strasse von Tiran, östlich vom Ras Mohammed, der Südspitze der Sinaihalbinsel, noch über dem 1000 m tiefen Gebiet, wurde unter Station 255 in 100 m Tiefe ebenfalls die normale Reaction des Meerwassers festgestellt.

Etwas südlich von der, dem Golfe von Suez vorgelagerten Insel Scheduan wurde unter Station 18 Ende October in 100 m Tiefe die normale alkalische Reaction, unmittelbar daneben unter Station 163 Mitte Februar eine verringerte alkalische Reaction, gleich -1 , vorgefunden. Dieselbe unbedeutende Verringerung ergab sich unter den Stationen 42, 67, 69, 156, 165 und 203.

Was das knapp über dem Grunde befindliche Wasser betrifft, so ergab sich, wie schon bei der Beschreibung der Untersuchungsmethoden hervorgehoben worden ebenso wie im östlichen Mittelmeer und mit einer einzigen Ausnahme auch im Marnara-Meer, dass die alkalische Reaction des Meerwassers trotz der in den Meerestiefen vor sich gehenden Oxydation organischer Substanzen erhalten bleibt. Die Oxydation schreitet eben auch hier nur zum allergeringsten Theil bis zur Bildung von Kohlensäure vor. Der grösste Theil des verbrauchten Sauerstoffes dient nur zur Bildung von Zwischenproducten der Oxydation organischer Substanzen.

Wenn man von den weniger als 100 m tiefen Meerestheilen absieht, so ist ferner hervorzuheben, dass über dem Meeresgrund an allen untersuchten Stellen eine geringere alkalische Reaction des Wassers gefunden wurde als in gewöhnlichem Meerwasser. In den Tiefen des Golfes von Akaba ist die Verringerung der alkalischen Reaction bedeutender als in den Tiefen der Hochsee, das Wasser in jenem Golfe ist also mehr befähigt lösend auf Bestandtheile des Meeresgrundes einzuwirken, als das Wasser der Hochsee.

Im Golfe von Akaba wurde an 18 Stellen durch Prüfung auf die alkalische Reaction des Wassers die über dem Meeresgrunde eingetretene Zunahme der Kohlensäure nachgewiesen. An der Hälfte der Stellen war der Grad der alkalischen Reaction gleich -4 ; es war dies der Fall unter den Stationen 210, 219, 221, 227, 230, 231, 238, 250 und 252. An vier Stellen war der Grad der alkalischen Reaction gleich -3 , nämlich unter den Stationen 213, 215, 225 und 232. Unter den Stationen 207, 209, 212, 214 und 231 war der Grad der alkalischen Reaction gleich -2 .

Von 36 in der Hochsee knapp über dem Meeresgrunde geschöpften Wasserproben zeigten nur 3, nämlich die von den Stationen 129, 131 und 255, den mit -4 bezeichneten geringen Grad der alkalischen Reaction. -3 wurde angetroffen unter den Stationen 67, 69, 79, 88, 99, 101, 120, 125, 128, 160 und 163, -2 unter den Stationen 33, 47, 70, 153, 156, 165 und 203, -1 unter den Stationen 18, 27, 44, 46, 55, 57, 72, 73, 75, 76, 85, 95, 113, 114 und 149.

Von den 15 letztgenannten Stationen liegen 10 in dem südlichen, eine Erweiterung des Beckens der Hochsee darstellenden Theile zwischen Ras Benas und der Stadt Dschidda. Wenn man einen zwischen Ras Benas und der gegenüber befindlichen arabischen Küstenstrecke nördlich von Jambo gelegenen Meeresstreifen als etwas verengtes Grenzgebiet zwischen dem südlichen, erweiterten Theile und dem nördlichen, ängeren und gleichmässig breiten zunächst aussser Acht lässt, so vertheilen sich die erhaltenen Werthe in folgender Weise:

In dem südlich von Ras Benas gelegenen Meerestheil ist das Wasser knapp über dem Grunde an 15 Stellen auf den Grad seiner alkalischen Reaction geprüft worden; an 10 Stellen hat sich dieselbe gleich -1 , an 3 Stellen gleich -2 und an 2 Stellen gleich -3 gezeigt.

— — — — —

¹ Während des zweiten Aufenthaltes in Kosair erwarb der leitende Zoologe der Expedition Herr Hofrath Steindachner von einem Bewohner der Stadt einen eingetrocknet aufbewahrten Tiefseefisch, welcher am Strande gefunden, vorher wohl durch die aus den Tiefen aufsteigende Wasserbewegung zur Oberfläche gebracht worden war. Bei Sherm Shleich neben der Südspitze der Sinaihalbinsel, wo das mehr als 500 m tiefe Gebiet ebenfalls bis knapp an die Küste herantritt, fand Herr Custos-Adjunct Siebenrock am Strand einen todtten Tiefseefisch.

In dem nördlich von Ras Benas gelegenen Meerestheil haben von 16 Stellen 5 Stellen -1 , 4 Stellen -2 , 4 Stellen -3 und 3 Stellen -4 ergeben.

Das Wasser im nördlichen Theil der Hochsee ist also durchschnittlich weniger alkalisch, d. h. reicher an Kohlensäure und deshalb mehr befähigt lösend auf Theile des Meeresgrundes zu wirken als das Wasser im südlichen Theil der Hochsee.

In dem diese beiden Theile der Hochsee trennenden Gebiet zwischen Ras Benas und der arabischen Küste hat sich an allen fünf untersuchten Stellen die alkalische Reaction gleich gering, nämlich gleich -3 gezeigt. Es ist also hier in besonders hohem Maasse eine Bedingung für das Vorgehen von Lösungserscheinungen auf dem Meeresgrunde vorhanden.

Die Vermehrung der Kohlensäure ist durchaus nicht immer abhängig von der Verminderung des Sauerstoffgehaltes in den Meerestiefen. Während in den Tiefen der beiden Theile der Hochsee und des Golfes von Akaba die Kohlensäure umso mehr vorwaltet, die alkalische Reaction umso schwächer ist, je weiter nördlich ein jedes von diesen drei Gebieten liegt, nimmt, wie sich aus den im vorhergehenden Abschnitt besprochenen Zahlen ergibt, der Sauerstoffgehalt gegen Norden zu. Je nach Menge und Art der zur Oxydation gelangenden organischen Stoffe, vor Allem je nachdem ob es sich dabei um kleine von den Strömungen fortgetragenen Organismen pflanzlicher oder thierischer Natur handelt, je nach Geschwindigkeit und Richtung der Wasserbewegung, je nachdem ob die organischen Schwimmkörperchen früher oder später auf dem Meeresgrund zur Ablagerung gelangen, führt der in den Meerestiefen verbrauchte Sauerstoff blos zur Bildung von Zwischenproducten der Oxydation oder auch zu der kleiner Mengen von Kohlensäure.

Im seichten Golf von Suez wurde an sechs Stellen das Wasser über dem Grunde auf seine alkalische Reaction geprüft. An vier Stellen, nämlich unter den Stationen 12, 145, 178 und 183, fand sich die gewöhnliche alkalische Reaction des Meerwassers, an zwei Stellen, unter den Stationen 179 und 202, war sie um ganz wenig verringert, gleich -1 .

Was die Strecke des Canals von Suez betrifft, so wurde auf der noch im Hafen von Port Said gelegenen Station 1 die alkalische Reaction des Wassers etwas verringert gefunden, nämlich an der Oberfläche gleich -1 , in 5 m gleich -2 und über dem 9 m tiefen Grunde gleich -3 . Das Oberflächenwasser der im nördlichen Theil der ausgebagerten Canalstrecke gelegenen Station 4 besaß die gewöhnliche alkalische Reaction des Meerwassers. Auf Station 5 im Timsahsee, in welchen etwas Nilwasser aus dem Süßwassercanal gelangt, war die alkalische Reaction des Oberflächenwassers und des Wassers in 5 m Tiefe etwas verstärkt, gleich $+2$, während das Wasser über dem 7 m tiefen Grunde die normale alkalische Reaction zeigt. In dem das Gebiet der ehemaligen Bitterseen einnehmenden Wasserbecken der südlichen Canalhälfte wurden drei Stellen geprüft. Das Oberflächenwasser der Station 6 wies die normale, das der Station 8 eine ganz schwach verringerte, -1 betragende, alkalische Reaction auf; unter Station 7 war knapp über dem 10 m tiefen Grunde eine ziemlich starke Verringerung, gleich -4 . Im südlichsten Theil der ausgebagerten Canalstrecke zeigte auf Station 10 das Oberflächenwasser die normale alkalische Reaction des Meerwassers.

An einer Anzahl von Stellen des Rothen Meeres wurde Oberflächenwasser auf den Grad der alkalischen Reaction untersucht, sowie auch Wasser aus Meeresschichten, welche weder dem 100 m-Horizont angehören noch knapp über dem Grunde sich befinden.

Von diesen Wasserproben zeigten die normale Reaction die Oberflächenwässer der Stationen 12, 18, 26 und 40, sowie das 20 m-Wasser der Station 183. Eine verstärkte alkalische Reaction, und zwar eine solche gleich $+1$, war den Oberflächenwässern der Stationen 16, 67, 69 und auf Station 22, an der Südseite der Brüderinseln, sowohl dem Oberflächen-, als dem 10 m- und dem Boden- (87 m-) Wasser eigen. Eine verringerte alkalische Reaction fand sich, und zwar gleich -1 in den 20 m-Wässern der Stationen 178, 179 und 202, sowie im 500 m-Wasser der Station 55, gleich -2 im 400 m-Wasser der Station 151, gleich -3 im 200 m-Wasser der Station 129, im 600 m-Wasser der Station 136, im 300 m-Wasser der Station 153 und im 500 m-Wasser der Station 220.

Dienen diese Werthe zur Ergänzung und Bestätigung des über die Vertheilung der Kohlensäure im 100 m-Horizont und knapp über dem Meeresgrunde Gesagten, so bezieht sich das Folgende auf einen Theil jenes Rundes des Rothen Meeres, welcher in erheblicher Breite von Korallenbildungen erfüllt ist.¹

In dem Gebiet der Korallenriffe vor Mersa Halaïb gelangten 13 Stellen zur Prüfung auf den Grad der alkalischen Reaction. Die normale alkalische Reaction wurde in den Oberflächenwässern der Punkte α , β und γ , sowie im Boden-(6 m-)Wasser des Punktes δ beobachtet. Etwas verstärkte alkalische Reaction, nämlich gleich +1, fand sich im Oberflächen- und Boden- (40-) Wasser des Punktes ζ , sowie in den Oberflächenwässern der Punkte η und χ . Verringert war die alkalische Reaction, und zwar gleich -1 im Oberflächenwasser des Punktes ξ und im Boden-(21 m-)Wasser des Punktes ι , gleich -3 im Oberflächenwasser des Punktes θ und im Boden-(2 m-)Wasser des Punktes λ , gleich -4 im Boden-(3 $\frac{1}{2}$ m-) Wasser des Punktes μ .

Die zahlreichen und vielverzweigten Korallenstöcke, welche ein Riff zusammensetzen, tragen gallertartige, verschiedene Färbungen aufweisende Hüllen. Diese Hüllen, sowie die mannigfach geformten und gefärbten Thiere, welche sich oft in erstaunlicher Menge im Riffgebiet festsitzend, kriechend und schwimmend aufhalten, liefern Kohlensäure und andere, zumeist organische Säuren, welche aus den im Meerwasser gelösten Carbonaten Kohlensäure austreiben, also die alkalische Reaction des Meerwassers vermindern.

Während in den an Leben überhaupt, sowie auch an Pflanzenleben ungemein reichen Gebieten der Korallenriffe, ebenso wie in den obersten Schichten des tiefen Meeres die Möglichkeit vorhanden ist, dass Kohlensäure durch die Pflanzen entfernt wird, entfällt in den so gut wie vollständig finsternen Meerestiefen diese Möglichkeit ganz oder fast ganz, was eben, wenn nicht die gesammte Wassermasse eines Meeres entsprechend durchmischt wird, zur Folge hat, dass in den Tiefen die alkalische Reaction des Wassers verringert ist.

Was das im Schlamm des Meeresgrundes vorhandene, mit dem Belknap-Loth emporgelohnte und dann filtrirte Wasser betrifft, auf dessen Reaction zu Phenolphthaleïn an 39 Stellen geprüft wurde, so ergab sich Folgendes:

An fünf ziemlich weit von einander entfernten Stellen der Hochsee, nämlich unter den Stationen 73, 110, 125, 128 und 131 war im Schlammwasser die alkalische Reaction verschwunden und hatte dieselbe einer ganz schwach sauren, kohlensauren Reaction Platz gemacht.

Eine kaum merkbare alkalische Reaction, gleich -7, fand sich in den Schlammwässern der Stationen 85, 114 und 215, von welchen die letzte dem Golfe von Akaba angehört, eine etwas stärkere, gleich -6, in den Schlammwässern der Stationen 72, 101, 149, 155, 160, 209 und 216, von welchen die beiden letzten dem Golfe von Akaba angehören.

Eine alkalische Reaction gleich -5, d. h. auch noch eine schwächere alkalische Reaction als in irgend einer der dem freibeweglichen Meerwasser entnommenen Proben, fand sich in den Schlammwässern der Stationen 44, 57, 90, 129, 153, 165, ferner der im Golfe von Akaba gelegenen Stationen 232 und 235, endlich der im Golfe von Suez gelegenen Stationen 145 und 179.

Die alkalische Reaction -4, d. h. die gleiche Stärke derselben wie bei den über dem Meeresgrunde, in der Hochsee und im Golfe von Akaba, gefundenen Minimalfällen, war dem Wasser des Grundschlammes in der Hochsee unter den Stationen 42, 55, 95, im Golf von Akaba unter den Stationen 207, 213, 219, 230, 236, im Golf von Suez unter der Station 178 eigen.

Die alkalische Reaction -3 wurde nur im Schlammwasser der Station 46, -2 nur in dem der Station 212 (Golf von Akaba), -1 nur in dem von Station 18 angetroffen. Die normale alkalische Reaction des Meerwassers ergab sich im Grundschlamm bloß unter der, nahe der afrikanischen Küste bei Koseïr gelegenen Station 27 und unter der im nördlichsten Theil des Golfes von Suez, ebenfalls nahe unter Land gelegenen Station 12.

¹ Siehe die Karte III.

An 35 Stellen des Meeresgrundes ist sowohl das den Schlamm durchdringende als auch das knapp über dem Schlamm befindliche Wasser auf die alkalische Reaction geprüft worden. Nur an 6 Stellen stimmten in diesen beiden Wässern die Grade der alkalischen Reaction mit einander überein, und zwar in der Hochsee nur unter Station 18, im Golf von Suez nur unter Station 12, im Golf von Akaba nur unter den Stationen 212, 219, 230 und 236. An allen anderen Stellen war die alkalische Reaction im Schlammwasser geringer als im Wasser über dem Grunde. Die Verringerung der alkalischen Reaction, beziehungsweise die an den oben angeführten fünf Stellen vorgefundene schwach saure, kohlensäure Reaction des Schlammwassers ist wohl darauf zurückzuführen, dass die auf dem Meeresgrunde abgelagerten organischen Schwammkörperchen mehr oder weniger befähigt sind, bei fortschreitender Oxydation Kohlensäure zu liefern, oder organische Säuren, welche aus den im Wasser gelösten oder aus den in den Schlammtheilen selbst enthaltenen Carbonaten Kohlensäure freimachen.

An einer grossen Anzahl von Stationen wurde durch Kochen mit überschüssiger titrirter Salzsäure und Zurücktitriren mittelst Barytwassers unter Zuhilfenahme von Phenolphthalein als Indicator jene Kohlensäure festgestellt, welche im Meerwasser an Basen gebunden, ganz gebunden ist.

Als mittleren Werth für den Atlantischen Ocean hat Tornøe¹ per Liter 0.053 g ganz gebundener Kohlensäure erhalten, für alle Océane Dittmar² 0.054 g. In beiden Fällen waren die grössten Differenzen zwischen verschiedenen Wasserproben 4—5 mg.

Was das den Grundschlamm durchsetzende Wasser betrifft, so ergaben sich als Maximum 0.050 g unter Station 42, dann 0.047 g unter den Stationen 178 und 212, 0.044 g unter den Stationen 131, 153, 165, 179 und 213, 0.043 g unter der Station 145, 0.042 g unter den Stationen 95, 119, 125, 128, 155, 216, 230, 235 und 236, 0.041 g unter Station 207, 0.040 g unter den Stationen 99, 101, 114, 219 und 232, 0.039 g unter den Stationen 85 und 215, endlich als Minimum 0.037 g unter Station 129.

Das knapp über dem Meeresgrunde geschöpfte Wasser enthielt durchaus etwas grössere Mengen ganz gebundener Kohlensäure als das an denselben Beobachtungsstationen durch Filtriren der schlammigen Lothproben erhaltene Wasser. Knapp über dem Meeresgrunde ergaben sich im Maximum 0.051 g unter Station 178, 0.050 g unter Station 69, 0.049 g unter den Stationen 202 und 203, 0.048 g unter den Stationen 165, 166, 207 und 212, 0.047 g unter den Stationen 120, 128, 129, 131, 179, 215 und 230, endlich im Minimum 0.040 g unter den Stationen 213 und 238.

Unter Station 153 wurden in 300 m Tiefe, bei 900 m Meerestiefe, 0.044 g ganz gebundener Kohlensäure per Liter gefunden, mithin weniger als an irgend einer Stelle knapp über dem Meeresgrunde. Derselbe geringe Gehalt an ganz gebundener Kohlensäure zeigte sich an zwei Stellen des 100 m-Horizontes, nämlich unter den Stationen 102 und 125. An zwei anderen Stellen dieses Horizontes, unter den Stationen 30 und 230, waren 0.048 g, an vier anderen Stellen, unter den Stationen 165, 193, 203 und 207 waren 0.049 g vorhanden. Ebenfalls 0.049 g fanden sich im Oberflächenwasser der Station 26, 0.050 g im Oberflächenwasser der Station 40.

Der Gehalt an ganz gebundener Kohlensäure ist also knapp über dem Grunde viel gleichmässiger als in den oberen Schichten des Meeres. Der in manchen Gebieten der letzteren besonders grosse Reichtum an Organismen kann — neben der für die oberste, pflanzenreiche Schicht die Regel ausmachenden Verstärkung der alkalischen Reaction — eine erhebliche Bildung saurer Stoffwechsel- und Verwesungsproducte, mithin eine deutliche Verringerung des Gehaltes an Carbonaten veranlassen.

In dem von Korallenriffen umsäumten und durchzogenen Gebiet vor Mersa Halaïb war das locale Schwanken des Gehaltes an Carbonaten noch auffallender.

0.049 g ganz gebundener Kohlensäure per Liter waren im Oberflächenwasser des Punktes η am Nordende der dem offenen Meere nahen kleinen Sandinsel, sowie auch im Boden-(3 1/2 m-)Wasser des Punktes μ am Innenrand des breiten geraden Riffstreifens, 0.047 g im Boden-(21 m-)Wasser des Punktes ι im Tiefen-

¹ Aus den «Vooringen»-Berichten im Journal f. prakt. Chemie, N. F. 20, 44 (1879).

² «Challenges»-Berichte, Physics and Chemistry, Vol. I (1883).

wasser zwischen der Festlandsküste und dem Riffstreifen. Zwischen diese und die an Nachbarstellen beobachteten Werthe 0.041, 0.042, 0.044 und 0.016 fällt der im Boden-(40 m-)Wasser des Punktes γ ebenfalls im Tiefenwasser zwischen Festlandsküste und Riffstreifen gefundene Werth 0.028 und der im Oberflächenwasser am Westrand der kleinen Sandinsel angetroffene Werth 0.002 g. Es war an diesen beiden Stellen der Gehalt an ganz gebundener Kohlensäure viel geringer als in irgend einer der oben angeführten Proben des den Schlamm der Tiefsee durchsetzenden Wassers.

In der Suezcanal-Strecke wurde an vier Stellen das Wasser auf den Gehalt an ganz gebundener Kohlensäure untersucht. 0.007 g, also etwas mehr als der Zunahme des specifischen Gewichtes entspricht, fanden sich im Oberflächenwasser der Station 4, welche in der durch neue Baggerungen verbreiteten Canalhälfte liegt, 0.037 g im Boden-(7 m-)Wasser der Station 5 im Timsahsee, 0.044 g im Boden-(10 m-)Wasser der Station 7 im Gebiet der ehemaligen Bitterseen und 0.047 g im Oberflächenwasser der Station 9 am Südeinde dieses Seengebietes.

Zum Vergleiche sei noch angeführt, dass im östlichen Mittelmeer, wo das Wasser in der Regel unter Berücksichtigung des etwas grösseren specifischen Gewichtes, denselben oder fast denselben Gehalt wie das Ozeanwasser aufweist, als Minima erhalten worden sind: für die obersten Wasserschichten 0.047 g, für die knapp über dem Boden befindliche Wasserschicht 0.051 g und für das den Grundschlamm durchsetzende Wasser 0.046 g ganz gebundener Kohlensäure per Liter.

Organische Substanzen.

Die Mengen der im Meerwasser gelösten oder in ganz feiner Vertheilung suspendirt enthaltenen organischen Substanzen wurden durch Behandlung mit übermangansaurem Kalium bei 100° einer vergleichenden Bestimmung unterzogen.

Zunächst seien die im Rothen Meere gefundenen Mengen den im östlichen Mittelmeer angetroffenen gegenübergestellt.

Die Suezcanal-Strecke und das Gebiet der Korallenriffe vor Mersa Halaib einstweilen bei Seite lassend, ist zu erwähnen, dass an 25 Stellen der nördlichen Hälfte des Rothen Meeres das den Schlamm des Meeresgrundes durchsetzende, durch Filtriren der Lothproben gewonnene Wasser mit der alkalischen Lösung von übermangansaurem Kalium behandelt worden ist, und dass dabei im Mittel 7.42 cm^3 Sauerstoff, bei 0° und 760 mm Druck gemessen, von einem Liter Schlammwasser aufgenommen worden sind. Im östlichen Mittelmeer hatte die an 90 Stellen vorgenommene Untersuchung des Schlammwassers den Mittelwerth 5.80 cm^3 ergeben.

Das Wasser knapp über dem Meeresgrunde (Bodenwasser) wurde in der nördlichen Hälfte des Rothen Meeres an 27 Stellen auf den Gehalt an organischen Substanzen geprüft. Im Mittel war die Sauerstoffaufnahme gleich 1.28 cm^3 . Der im östlichen Mittelmeer bei der an 34 Stellen ausgeführten Untersuchung erhaltene Mittelwerth war gleich 1.58 cm^3 .

Das Mittelländische Meer ist im Allgemeinen bedeutend tiefer als das Rothe Meer. Die aus Pflanzen und Thieren bestehenden oder von ihnen abstammenden organischen Schwimmkörperchen finden unter sonst gleichen Umständen im Rothen Meer viel leichter Gelegenheit, sich auf dem Meeresgrunde abzulagern und erst hier bei beginnender oder fortschreitender Verwesung theilweise in Lösung zu gehen, als in dem beiläufig doppelt so tiefen Mittelländischen Meere. Deshalb wohl der grössere Reichthum des Schlammwassers an gelösten organischen Substanzen im Rothen Meer.

Von den einzelnen Theilen des Rothen Meeres erwies sich der seichte Golf von Suez als derjenige, welcher bei weitem am meisten organische Substanzen im Wasser des Grundschlammes enthielt. Das Maximum drückt sich darin aus, dass auf Station 145 ein Liter Schlammwasser aus der Lösung des übermangansauren Kalium 12.09 cm^3 Sauerstoff aufnahm. Diese Station liegt in der Mitte der Golfbreite, wo sich bei verlangsamer horizontaler Bewegung des Wassers besonders viele organische Schwimmkörperchen zu Boden setzen können. Auf der, in einer Ausbuchtung des nördlichsten Golftheiles gelegenen Sta-

tion 12, wo sich ebenfalls kleine freischwimmende Organismen, an welchen der Golf von Suez ungemein reich ist, leichter ablagern können, fand sich ein Schlammwasser, welches 12·32 cm^3 Sauerstoff aufnahm. Auf der in der Nähe, jedoch vor einer geraden Küstenstrecke gelegenen Station 178 verbrauchte das Schlammwasser bei der Oxydation der gelösten organischen Substanzen nur 10·53 cm^3 , auf der ähnlich gelegenen Station 179 nur 8·74 cm^3 Sauerstoff.

Übertraf also im seichten Golf von Suez der Gehalt des Schlammwassers an organischen Substanzen immer den für das Rote Meer als Durchschnittswert gefundenen Betrag, so war das Gegenteil im tiefen Golf von Akaba der Fall. Hier kann in Form kleiner Organismen nur in der obersten, dem vollen Sonnenlichte zugänglichen Wasserschicht reichliches Leben herrschen. In den darunter befindlichen, immer dunkleren Wassermassen werden die zu Boden sinkenden organischen Schwimmkörperchen mit oder ohne Vermittlung von Mikroorganismen durch den im Wasser gelösten Sauerstoff so weit verändert, dass sich überhaupt wenige organische Stoffe auf dem Meeresgrunde ablagern, und dass die, welche zur Ablagerung kommen, weil sie eben schon mehr der Lösung und Oxydation unterlegen sind, nur in geringem Masse an das den Schlamm durchsetzende Wasser leicht oxydable Theile abgeben können.

Von allen während der Fahrt im Roten Meere untersuchten Schlammwässern enthielt am wenigsten organische Substanzen, indem es per l nur 4·82 cm^3 Sauerstoff aus übermangansaurem Kalium aufzunehmen vermochte, dasjenige der Station 207, welche in dem südlichsten Theil des mehr als 1000 m tiefen Gebietes im Golfe von Akaba liegt. An den Grenzen des nördlichen Theiles dieses Gebietes liegen die Stationen 216 und 219 einander gegenüber. Beide befinden sich über steilen unterseischen Abhängen. Unter Station 216 vor der Ostküste ist das Meer 685 m, unter Station 219 vor der Westküste 917 m tief. Der ersten Meeresgrundstelle strömt Wasser aus dem tiefen Golftheil, der letzteren hingegen solches aus der seichteren Golfhälfte zu, welches organische Schwimmkörperchen in grösserer Menge und von geringerem Grade der Verwesung mitbringt. Deshalb wohl beanspruchte die in einem Liter des Schlammwassers der Station 219 gelösten organischen Substanzen 7·39 cm^3 Sauerstoff, während die im Schlammwasser der Station 216 gelösten nur 5·38 cm^3 verbrauchten.

Nach dem für den Sauerstoffverbrauch gefundenen Werth 7·28 cm^3 sind unter der im nördlichsten Theil des Golfes, nahezu in der Mitte der Golfbreite gelegenen Station 236 die Bedingungen für Ablagerung organischer Schwimmkörperchen fast ebenso günstig wie unter der Station 219, wo den aus der nördlichen, seichteren Golfhälfte durch die Wasserbewegung fortgeführten organischen Körperchen Gelegenheit geboten ist, sich an einem steilen unterseischen Abhang abzusetzen. Etwas geringer, nämlich entsprechend 6·72 und 7·06 cm^3 Sauerstoff, war der Gehalt an organischen Substanzen in den Schlammwässern der ebenfalls in der nördlichen Golfhälfte gelegenen Stationen 230 und 232.

Was die Hochsee betrifft, so ergab sich das Maximum an organischen Substanzen im Schlammwasser der Station 72. Dieselbe liegt über dem Gebiet der grössten Tiefen und weist selbst eine Tiefe von 1150 m auf. Hier, beiläufig in der Mitte der südlich vom Ras Benas vorhandenen Meeresverbreiterung beanspruchten die in einem Liter Schlammwasser gelösten organischen Substanzen 9·52 cm^3 Sauerstoff.

Das Minimum an organischen Substanzen, entsprechend 4·93 cm^3 Sauerstoff, ergab sich in der Hochsee unter Station 155, sodass die zwei während der Untersuchungsfahrt überhaupt gefundenen geringsten Werthe an die beiderseitigen Abhänge der unterseischen Bodenschwellung zwischen dem Becken der Hochsee und dem Becken des Golfes von Akaba geknüpft sind.

In den dreizehn übrigen Fällen, in welchen Schlammwasser der Hochsee auf den Grad der möglichen Sauerstoffaufnahme aus übermangansaurem Kalium geprüft wurde, ergab sich neunmal ein kleinerer und nur viermal ein grösserer Werth als das 7·42 cm^3 Sauerstoff betragende Mittel aus allen während der Expedition an Schlammwässern ausgeführten Bestimmungen.

Ebenso wie das in der Hochsee beobachtete Maximum betreffen auch die vier anderen, das Mittel übersteigenden Werthe Stellen des Grundes in der Meeresverbreiterung südlich vom Ras Benas. In diesem, die grössten Tiefen aufweisenden, nahezu die Mitte der Gesamtlänge des Roten Meeres einnehmenden Gebiet kann anscheinend die wirbelartige Bewegung des gesamten Wassers auf dem Wege

absteigender Strömungen organische Schwimmkörperchen leichter und in weniger verwestem Zustande zum Meeresgrunde führen und dort ablagern, als in den nördlichen zwei Dritteln der untersuchten Hochsee, deren Wasserbewegung sich an die der Meereserweiterung angliedert, und wo in dem, einen fast flachen Boden aufweisenden und von parallelen Gestaden begrenzten Becken ein ausgesprochenes Nordwärtsziehen der Wassermassen längs der Ostküste und Südwärtsziehen längs der Westküste zu erwarten ist.

Vor, beziehungsweise etwas südlich von Jambo, an der Nordgrenze der Meereserweiterung, erstreckt sich die über 500 *m* tiefe Hochsee in Form zweier unterseeischer Buchten in das Gebiet der Korallenriffe hinein. In der nördlichen Ausbuchtung, unter Station 90, beanspruchten die im Schlammwasser gelösten organischen Substanzen 7.62, in der etwas weiter südlich, unter Station 95 gelegenen, 8.06 *cm*³ Sauerstoff. Die zwei anderen, den Mittelwerth übertreffenden Beträge wurden unter Station 42 in der Südwestecke der Meereserweiterung und unter Station 101 in der Höhe von Ras Benas festgestellt. Letztere Station liegt ebenso wie die das Maximum aufweisende Station 72 in dem tiefsten, annähernd das mittlere Drittel der Meeresbreite einnehmenden Streifen.

Im südlichen Theil dieses Meeresstreifens ist der Grund sehr mannigfach gestaltet. Ein ganz kleines Gebiet ist über 2000 *m* tief. Unter den benachbarten Stationen 46 und 85 beträgt die Meerestiefe 870 und 2160 *m*. An der minder tiefen Meeresstelle beanspruchte das Schlammwasser 7.06, an der anderen, nahezu tiefsten Stelle des Rothen Meeres überhaupt, nur 5.38 *cm*³ Sauerstoff zur Oxydation der gelösten organischen Substanzen. In diesem tiefsten Hochseethell wurde ein an Eisenoxyd und Mangandioxyd reicher rothbrauner Schlamm nebst eben solchen Steinplattenstücken emporgeholt. Weniger die bedeutende Tiefe an sich, als der Umstand, dass die unterseeischen Strömungen die suspendirten organischen Körperchen über die tiefsten Stellen hinwegführen und an seichteren Stellen des Meeresgrundes ablagern, dürfte bewirkt haben, dass in der Meereserweiterung, deren Schlammwasser im Allgemeinen an organischen Substanzen reich ist, die geringsten Mengen von ihnen in den über 2000 *m* betragenden Tiefen anzutreffen waren.

Etwas Anderes hat sich auf den ebenfalls nahe bei einander liegenden Stationen 57 und 72 ergeben. Unter ersterer ist das Meer 780, unter letzterer 1150 *m* tief. Die trichterartige Form des Meeresbodens in der Umgebung der Grundstelle unter Station 72 bringt es wohl mit sich, dass sich daselbst besonders viele organische Schwimmkörperchen ablagern, welche theilweise in Lösung gehen und zur Oxydation den beobachteten Maximalbetrag von 9.52 *cm*³ Sauerstoff beanspruchten. An der weniger günstig gelegenen Stelle unter Station 57 würde das Schlammwasser nur 6.94 *cm*³ Sauerstoff verbrauchen.

Wie schon bemerkt, wurde in den nördlichen zwei Dritteln der Hochsee der Gehalt des Schlammwassers an organischen Substanzen immer relativ gering gefunden. Mit den Strömungsverhältnissen und mit dem Umstand, dass von der Meereserweiterung südlich vom Ras Benas aus suspendirte organische Körperchen weggeführt werden, hängt es wohl zusammen, dass an der Ostseite des Meeres im Schlammwasser grössere Mengen organischer Substanzen gelöst sind als an der Westseite. So ergaben sich unter den Stationen 155 und 160 7.28 und 8.72, unter der Station 27 nur 5.04 *cm*³ Sauerstoff, als von den organischen Substanzen beansprucht. Die Untersuchung des während der Expedition unter der Leitung des Herrn Hofrathes Steindachner an vielen Stellen mittelst des Schwebenetzes gesammelten Plankton-Materials hat gezeigt,¹ dass die östliche Meereshälfte in der Strecke zwischen den Inseln Hassani und Noman auffallend arm an kleinen freischwebenden Organismen ist. Da die aus dem Süden stammenden mehr oder weniger schon Gelegenheit gefunden haben, sich auf dem Meeresgrunde abzusetzen, hier selbst wenig Neues zuwächst, können am Nordende dieser östlichen Meereshälfte nur wenig organische Substanzen im Schlammwasser zur Lösung kommen. Unter Station 153 wurde, wie schon hervorgehoben, thatsächlich das Minimum an leicht oxydablen organischen Substanzen, 4.93 *cm*³ Sauerstoff entsprechend,

¹ A. Steuer, Vorräufiger Bericht über die pelagische Thierwelt des Rothen Meeres. Sitzungsber. mathem.-naturw. Cl. 106: 407 (1897).

angetroffen. Die Schlammwässer der im nordwestlichsten Theil der Hochsee gelegenen Stationen 149 und 165 enthielten wieder etwas mehr organische Substanzen, entsprechend 6.83 und 5.26 cm^3 Sauerstoff, herrührend von Pflanzen und Thieren, welche in der Hochsee oder in den beiden, sich in der Nähe dieser Stationen daran anschliessenden Golfen zur Entwicklung gekommen sind. Besonders aus dem planktonreichen Golf von Suez könnten grosse Mengen von organischen Schwimmkörperchen in die Hochsee, und zwar zunächst in den westlichen Theil ihres nördlichsten Abschnittes gelangen. Dass dies nicht der Fall ist, zeigen die geringen in den Schlammwässern der Stationen 27 und 165 vorhandenen Mengen organischer Substanzen. Wegen der durch Inseln und Korallenriffe bewirkten Verengung des Einganges zum Golfe von Suez sind bis zu einem gewissen Grade die Bewegungserscheinungen der Hochsee und dieses Golfes von einander unabhängig gestellt, oder, besser gesagt, sie führen in dem seichten und vielverzweigten Eingangsgebiet des Golfes, wo sich die hier von NO nach SW gerichtete Strömung der Hochsee und die entgegengesetzt gerichtete Strömung des Südendes des Golfes von Suez begegnen, zu einem Stillstand oder zu einer Verlangsamung der Wasserbewegung, welche die aus dem Golfe von Suez hierher vertragenen organischen Schwimmkörperchen zu fast vollständiger Ablagerung bringen. Selbst noch am Aussenrand dieses Gebietes, unter den Stationen 18 und 166, machten sich die Folgen dieser Anhäufung von organischen Stoffen bemerkbar, indem das Schlammwasser Fäulnisprodukte und Spuren von Petroleum enthielt.

Was das frei bewegliche Wasser betrifft, so sei zuerst die knapp über dem Grunde befindliche Schicht, das Bodenwasser, besprochen.

Nach den im östlichen Mittelmeer gesammelten Erfahrungen entziehen die zumeist aus der obersten Schicht des Meeres stammenden organischen Schwimmkörperchen dem Meerwasser, indem sie sich dem Boden zu bewegen, Sauerstoff, ohne dabei in irgend bedeutendem Masse in Lösung zu gehen. Die auf dem Meeresgrunde abgelagerten organischen Stoffe sind, besonders dort, wo locale Anhäufung stattgefunden hat, geeignet, entweder an sich eine geologische Rolle zu spielen, oder dadurch, dass sie chemische und physikalische Änderungen in den Mineralbestandtheilen des Meeresgrundes und der mit ihm zusammenhängenden Festlandsmassen veranlassen. Die geringen, im Meere selbst enthaltenen organischen Substanzen unterliegen mit oder ohne Mitwirkung von Organismen der weiteren Zersetzung und Oxydation, zuletzt Kohlensäure und Ammoniak liefernd, welche, sofern sie nicht von den Pflanzenleben der obersten Meeresschicht in Anspruch genommen werden, in die Atmosphäre entweichen.

Sowie zu erwarten, zeigte das Bodenwasser des Golfes von Suez den grössten Gehalt an organischen Substanzen. Als Maximum ergab sich, dass 3.19 cm^3 Sauerstoff aus Kaliumpermanganat bei der Oxydation der in einem Liter Wasser vorhandenen organischen Substanz verbraucht wurden, und zwar auf Station 145. Das Bodenwasser der Station 12 verbrauchte 2.52 , das der Station 178 1.51 und das der Station 179 1.18 cm^3 Sauerstoff. Wie überhaupt im Golfe von Suez ist die Meerestiefe an diesen, nahe bei einander gelegenen Stellen nur gering und schwankt blos zwischen 45 und 62 m . Der Grund für die grossen Unterschiede im Gehalt an organischen Substanzen dürfte darin zu suchen sein, dass die betreffenden Wasserproben zu verschiedenen Jahreszeiten geschöpft wurden: auf Station 12 zu Ende October, auf Station 145 Anfangs Februar und auf den Stationen 178 und 179 Anfangs März. Es sieht aus, als ob bei Beginn des Winterhalbjahres abgestorbene, der Verwesung zugeführte Meeresorganismen zunächst eine bedeutende Vermehrung der organischen Substanzen bewirkt hätten, dass aber dann einerseits wegen der fortschreitenden Oxydation, anderseits deshalb, weil im Winter durch pflanzliche, im Meere schwimmende Organismen weniger organische Substanzen neu gebildet werden, eine Verminderung stattgefunden hätte. Im südlichsten Theil des Golfes von Suez waren Anfangs April unter Station 202 im Bodenwasser so wenig organische Substanzen enthalten, dass nur 0.50 cm^3 Sauerstoff zu ihrer Oxydation verbraucht wurden.

Ein ähnlicher Unterschied im Gehalt des Bodenwassers je nach der Jahreszeit machte sich auf den unmittelbar bei einander gelegenen Stationen 18 und 166 bemerkbar. Hier zwischen der Hochsee und dem riff- und inselreichen Eingangsgebiet des Golfes von Suez war das Wasser knapp über dem mehr als 500 m

tiefen Meeresgründe Ende October so reich an organischen Substanzen, dass $2\cdot11\text{ cm}^3$ Sauerstoff beansprucht wurden, Mitte Februar so arm daran, dass $0\cdot50\text{ cm}^3$ Sauerstoff zu ihrer Oxydation genügen. Dabei ist hervorzuheben, dass nicht etwa ein'ach der im Tiefenwasser enthalten gewesene Sauerstoff während des Winters zur theilweisen Oxydation der organischen Substanzen herangezogen worden ist. Ende October wurden im Tiefenwasser per Liter $2\cdot16$, Mitte Februar $3\cdot32\text{ cm}^3$ freien Sauerstoffes gefunden. Durch absteigende Meeresströmungen war also an organischen Stoffen armes und dabei sauerstoffreiches Wasser zugeführt worden.

In den Tiefen des Golfes von Akaba, dessen Untersuchung in den Monat April fiel, ist, wie früher dargelegt, an allen Stellen sauerstoffreiches Wasser gefunden worden, was wohl darauf zurückzuführen ist, dass da-elbst während des ganzen Jahres der Verbrauch von Sauerstoff gering ist. Wäre im Herbst in den Tiefen nur wenig Sauerstoff, so könnte bei der grossen Tiefe des Golfes im Laufe der wenigen Wintermonate wohl kaum eine für eine nahezu gleichmässige Vertheilung des Sauerstoffgehaltes genügende Durchmischung der Wassermassen erfolgen. Wenn sich demnach von organischen Substanzen blos wenig im Bodenwasser vorfand, so ist dies nur zum Theil auf den Umstand zurückzuführen, dass die betreffenden Wasserproben im Frühjahr geschöpft wurden, zumeist darauf, dass in diesem Golfe, wegen des zu raschen, das Gedeihen schwimmender Pflanzen störenden Wasseraustausches zwischen der obersten Meeresschicht und den finsternen Meerestiefen, überhaupt weniger organische Substanzen producirt werden.

Im südlichsten Theil des Golfes waren unter Station 207 über dem 1077 m tiefen Meeresgrunde im Liter Wasser nur so viel organische Substanzen enthalten, als $0\cdot45\text{ cm}^3$ Sauerstoff entsprechen. Die Bodenwässer der Stationen 230 und 238 (Meerestiefe 920 und 842 m) beanspruchten $0\cdot95$ und $0\cdot73\text{ cm}^3$ Sauerstoff, Schlamm- und Bodenwasser enthalten also beide im nördlichen Theile des Golfes etwas grössere Mengen von organischen Substanzen, als im südlichen Theil.

Auch in der Hochsee wiesen Schlamm- und Bodenwasser insoferne Übereinstimmung auf, dass beide im Allgemeinen in der Meereserweiterung südlich vom Ras Benas reicher an organischen Substanzen waren, als nördlich vom Ras Benas. Dabei zeigten sich jedoch manchmal bemerkenswerthe Unterschiede. Während z. B. das Maximum an organischen Substanzen im Schlammwasser der Station 72 angetroffen wurde, fand sich das Maximum unter den Bodenwässern, $2\cdot18\text{ cm}^3$ Sauerstoff entsprechend, auf der in der Nähe gelegenen Station 33. Ferner machten sich, wohl infolge der mannigfachen Arten, nach welchen suspendirte organische Substanzen auf dem Grunde abgelagert und gelöste organische Substanzen im Wasser selbst bereits oxydirt werden konnten, in der Meereserweiterung sehr grosse Schwankungen im Gehalte des Bodenwassers an organischen Substanzen bemerkbar. Schliesslich ist zu erwähnen, dass sich der Minimalwerth von $0\cdot45\text{ cm}^3$ Sauerstoff, beansprucht von organischen Substanzen, sowohl unter Station 203 an der Nordgrenze der Hochsee, als auch unter Station 88 vor Dschidda an der Südgrenze der untersuchten Meereshälfte fand.

In der Hochsee und im Golfe von Akaba wurde an 14 Stellen das Wasser des 100 m -Horizontes auf den Gehalt an leicht oxydablen organischen Substanzen geprüft. Durchschnittlich wurden von einem Liter $1\cdot10\text{ cm}^3$ Sauerstoff zur Oxydation beansprucht, während, wie oben erwähnt, das knapp über dem Meeresgrunde befindliche Wasser im Mittel nur wenig mehr, nämlich $1\cdot28\text{ cm}^3$ verbrauchte. Der Unterschied ist noch geringer, wenn man das Bodenwasser des nirgends die Tiefe von 100 m erreichenden, wegen seines Reichthums an organischen Schwimmkörperchen eine Ausnahmstellung einnehmenden Golfes von Suez bei Seite lässt. Der mittlere Sauerstoffverbrauch des Bodenwassers in der Hochsee und im Golf von Akaba ist nämlich nur gleich $1\cdot17\text{ cm}^3$.

Das Maximum an organischen Substanzen wurde auch im 100 m -Horizont im südlichen Theil der Hochsee gefunden, und zwar unter Station 95. Es entsprach $2\cdot13\text{ cm}^3$ Sauerstoff. In der südlichen Hälfte der Hochsee übertrafen alle erhaltenen Werthe das Mittel. In der nördlichen Hälfte waren mit einer einzigen Ausnahme alle Werthe kleiner als der Durchschnittswerth. Das Minimum, entsprechend $0\cdot39\text{ cm}^3$ Sauerstoff, wurde unter Station 207 im südlichsten Theil des Golfes von Akaba angetroffen.

Das Oberflächenwasser, welches, als zufälligen Änderungen zu sehr ausgesetzt überhaupt wenig Berücksichtigung fand, wurde nur an vier Stellen auf den Gehalt an leicht oxydablen organischen Substanzen untersucht, und zwar in der kurzen Zeit zwischen 23. October und 12. November. Zwei Stellen, nämlich die Stationen 12 und 16 gehören dem Golfe von Suez an. Auf der ersteren, am Nordende des Golfes befindlichen wurden 2.91, auf der letzteren, am Südende des Golfes in der Jubalstrasse gelegenen, durch welche ein Austausch von Wasser mit der Hochsee am leichtesten erfolgt, nur 2.02 cm^3 Sauerstoff beansprucht. Von den beiden anderen Stellen liegt die eine, Station 26, im nördlichen Theil der Hochsee, nahe bei der Westküste. Dasselbst wurden 1.90 cm^3 Sauerstoff verbraucht. In dem an suspendirten organischen Stoffen reichen Rangelgebiet zwischen der Hochsee und den Korallenriffen vor Dschidda waren auf Station 40 3.70 cm^3 Sauerstoff erforderlich.

Als Nachtrag zu dem früher Gesagten ist noch Folgendes anzuführen. Im nördlichsten Theil des Golfes von Suez wurden unter Station 178 in 20 m Tiefe 1.40 cm^3 Sauerstoff beansprucht. Es war Anfang März, wo sich eine bedeutende Verminderung der leicht oxydablen organischen Substanzen eingestellt hatte, welche sich knapp über dem 45 m tiefen Grunde dadurch bemerkbar machte, dass nur 1.51 cm^3 Sauerstoff aufgenommen werden konnten. Unter Station 153 an der Nordgrenze der Hochsee, nahe bei dem Eingang zum Golfe von Akaba ergaben sich (bei 900 m Meerestiefe) in 300 m 0.93 cm^3 Sauerstoff als zur Oxydation der organischen Substanzen nöthig. Fast ebensoviel, nämlich 0.73 cm^3 waren in 100 m Tiefe beansprucht worden.

Was das Wasser der Suezcanalstrecke betrifft, so ergab sich im Betrage der von leicht oxydablen organischen Substanzen aufnehmbaren Sauerstoffmenge kein wesentlicher Unterschied zwischen ihm und dem Wasser des Meeres. Sowohl das knapp über dem 7 m tiefen Grunde der Station 5 im Timsahsee befindliche Wasser als auch das Oberflächenwasser der Station 8 im südlichen Theil der Wasserausfüllung des Gebietes der ehemaligen Bitterseen verbrauchte 1.68 cm^3 Sauerstoff. Im nördlichen Theil des letzteren Wasserbeckens verlangte auf Station 7 das knapp über dem 10 m tiefen Grunde geschöpfte Wasser 1.96, im südlichsten ausgebaggerten Theil der Canalstrecke das Oberflächenwasser der Station 10 2.24 cm^3 Sauerstoff.

Innerhalb der Korallenriffe ist das Wasser in der Regel wegen der geringen Mengen suspendirter Theilchen durch einen besonders hohen Grad der Durchsichtigkeit ausgezeichnet. In dem ausgedehnten Riffgebiet vor Mersa Halaib wurde Wasser von 13 Stellen mit Kaliumpermanganat behandelt. Der hier erhaltene Durchschnittswert war nur ganz wenig grösser als der des 100 m -Horizontes der Hochsee und des Golfes von Akaba. Von dem, 1.17 cm^3 Sauerstoffverbrauch betragenden Durchschnittswert wichen die Einzelwerte nur unbedeutend ab. Das Maximum, gleich 1.90, ergab sich auf Punkt 3, nahe dem Landungsplatze in dem knapp über 6 m tiefem Grunde geschöpften Wasser. Das Minimum, gleich 0.78, wurde im Oberflächenwasser des Punktes x am Südende des Riffstreifens in der nur für Boote benützbarcn Einfahrt angetroffen. —

In einer grossen Anzahl von Wasserproben ist sowohl der in Lösung vorhandene Sauerstoff bestimmt worden, als auch jener Sauerstoff, welcher von den gleichzeitig darin enthaltenen organischen Substanzen aufgebraucht werden kann. Es ist zwar zweifelhaft, ob in den betreffenden Wassermassen, wenn sie durch lange Zeit vor der Berührung mit der Atmosphäre bewahrt und sich selbst überlassen blieben, bei den mit oder ohne Beteiligung von Organismen vor sich gehenden Oxydationen genau ebensoviel Sauerstoff aufgenommen werden würde, wie es im Laboratorium bei dem 10 Minuten langen Erhitzen mit übermangelsaurem Kalium der Fall war. Immerhin darf die Zusammenstellung der in letzterer Art aufgenommenen Sauerstoffmengen mit den gefundenen Mengen freien Sauerstoffes zur Vergleichenden Beurtheilung der verschiedenen Meeresträume herangezogen werden.

In dem Korallengebiet vor Mersa Halaib wird an der an organischen Substanzen reichsten Wasserstelle, im Bodenwasser des Punktes 3, fast die Hälfte des dort vorhandenen Sauerstoffes, nämlich 47%, zur Oxydation beansprucht. Im Bodenwasser des benachbarten Punktes 7 (40 m) würden 44%, im Bodenwasser des ebenfalls in der Nähe gelegenen Punktes 1 (21 m) 31%, im Bodenwasser (2 m)

zwischen Korallenstöcken unter Punkt λ 26% und in der Vertiefung des dammartig der Festlandsküste vorgelagerten Riffstreifens unter Punkt μ knapp über dem $3\frac{1}{2}$ m tiefen Grunde nur 25% des gefundenen Sauerstoffes verbraucht werden.

Auf der Strecke des Suezcanales kämen im Bodenwasser der Station 7 48% des gefundenen Sauerstoffes bei der Oxydation der vorhandenen organischen Substanzen zur Wirkung. Im Golf von Suez wären unter Station 178 (Anfang März) in 20 m Tiefe 26% des freien Sauerstoffes zu dieser Oxydation erforderlich.

Im 100 m-Horizont der Hochsee und des Golfes von Akaba liegen von 10 Stellen die beiden, hier in Beziehung zu einander gebrachten Sauerstoffwerthe vor. 47% des gefundenen Sauerstoffes würden unter der am Aussenrande des ausgedehnten Korallenriff-Gebietes vor Jamba befindlichen Station 95, dagegen nur 22 und 21% unter den Stationen 104 und 160 beansprucht werden, welche beide im nördlichsten Theil der Hochsee, erstere nahe der Westküste, letztere nahe der Ostküste liegen. An der Nordgrenze der Hochsee sind in annähernd gleichen Entfernungen von jener geraden Linie, welche die Eingangsgebiete der Golfe von Suez und Akaba mit einander verbindet, die drei Stationen 149, 153 und 165. Die erstgenannte Station nimmt ungefähr die Mitte der Meeresbreite ein, die beiden anderen befinden sich in gleichen Abständen von ihr. Unter Station 149 würden 26%, unter der nahe der Ostküste gelegenen Station 153 16% und unter der nahe der Westküste gelegenen Station 165 18% des Sauerstoffes benötigt werden. Anbei sei erwähnt, dass unter Station 153 in 300 m Tiefe 34% des Sauerstoffes verbraucht werden würden. Ganz nahe dem zum Becken des Golfes von Suez ansteigenden Abhang wurden unter den Stationen 106 und 203 in 100 m Tiefe 10 und 9% des Sauerstoffes als den organischen Substanzen entsprechend gefunden. Im Golfe von Akaba wären unter der im südlichsten Theil gelegenen Station 207 8% und unter der im nördlichen Theil gelegenen Station 230 14% des Sauerstoffes hinreichend für die Oxydation der organischen Substanzen.

Knapp über dem Meeresgrund sind 25 Stellen, welche in Bezug auf den eventuell eintretenden Verbrauch des freien Sauerstoffes verglichen werden können. Im Golfe von Akaba kämen unter der Station 230 26% und unter der Station 207 12% des Sauerstoffes durch die organischen Substanzen in Wegfall. Im nördlichen Theil des Golfes von Suez wären es unter Station 145 (Anfang Februar) 64%, unter den Stationen 178 und 179 (Anfang März) 28 und 22%, im südlichen Golftheil, beziehungsweise in der Einfahrtstrasse, nämlich unter den Stationen 202 und 203 (Anfang April) 10 und 13%. Unter den davor gelegenen, knapp bei einander befindlichen Stationen 18 und 160 wären Ende October 112, Mitte Februar 15% des Sauerstoffes zur Oxydation nothwendig gewesen. In der Hochsee besass das Wasser unter den fünf Stationen 46, 57, 88, 114 und 155 den gleichen Sauerstoffgehalt, nämlich 45% des nach der Temperatur berechneten. Von diesem Sauerstoffgehalt würden an den einzelnen fünf Stellen sehr verschiedene Theile verbraucht werden, nämlich 75, 60, 19, 38 und 36%, 23, 27, 32, 34, 50, 53, 57, 67, 67, 101 und 117% des Sauerstoffes wären unter den Stationen 22, 165, 149, 160, 72, 75, 101, 27, 79, 33 und 10 erforderlich. Wenn der freie Sauerstoff aufgebraucht wäre, würde der gebundene Sauerstoff der Sulfate herangezogen werden.

Die grossen Unterschiede in der eventuell eintretenden Inanspruchnahme von Sauerstoff durch organische Substanzen weisen darauf hin, wie mannigfach die in Folge der Anwesenheit organischer Substanzen sich vollziehenden chemischen Änderungen im Meeresgrunde sein werden. Sobald Theile des knapp über dem Meeresgrunde befindlichen Wassers in den Grundschlamm eingedrungen sind, gehören sie nicht mehr dem freibeweglichen Meerwasser an. Es kann in ihnen, was sonst durch den fortwährenden Wasseraustausch zwischen den verschiedenen Meeresschichten verhindert oder in engen Grenzen gehalten wird, der Sauerstoff aufgebraucht werden. Ferner können sich die gelösten organischen Substanzen und ihre Oxydationsproducte anhäufen. Für die Frage, ob in Folge dessen Lösungs- oder Fällungserscheinungen zu erwarten sind, sowie zur Charakteristik der organischen Substanzen, ist jenes Ammoniak in Betracht zu ziehen, welches bei der Oxydation der organischen Substanzen entsteht.

Ammoniak.

Zunächst seien die Mengen des nicht erst bei der Oxydation organischer Substanzen entstehenden, sondern bereits fertig vorhandenen Ammoniaks besprochen.

Als Durchschnittswerte wurden erhalten:

In 100 *m* Tiefe (14 Stellen untersucht) 0·074 *cm*³ Ammoniakgas (bei 0° und 760 *mm* Druck), aus 1 l Wasser durch Kochen mit Magnesia austreibbar; knapp über dem Meeresgrunde (27 Stellen untersucht) 0·077 *cm*³; in dem den Grundschlamm durchsetzenden Wasser (25 Stellen untersucht) 0·36 *cm*³.

Im östlichen Mittelmeer war das knapp über dem Grunde befindliche Wasser an 53 und das den Grundschlamm durchsetzende Wasser an 80 Stellen auf den Gehalt an Ammoniak geprüft worden, und hatten sich als Mittelwerthe 0·035 und 0·25 *cm*³ ergeben.

Im Rothen Meer zeigte sich das Maximum, gleich 0·65 *cm*³, im Schlammwasser der Station 95, d. h. am NO-Rand der Meereserweiterung südlich von Ras Benas in 611 *m* Tiefe, knapp unter dem steil zum Korallengelicht vor Jambo ansteigenden Abhang. Hier und unter der benachbarten Station 99, wo ein fast ebenso grosser Ammoniakgehalt, gleich 0·59 *cm*³, angetroffen wurde, wird die Ablagerung von pflanzlichen und thierischen Körperchen, welche bei der Oxydation Ammoniak geben, dadurch erleichtert, dass sich die betreffenden Stellen in unterseeischen Ausbuchtungen der Tiefsee befinden. Gleichfalls unter einem steilen unterseeischen Abhang, nämlich unter Station 42, etwas nördlich vom Westrand der Meereserweiterung wurden im Schlammwasser 0·49 *cm*³ Ammoniak gefunden. Unter Station 72, wo wegen der trichterartigen Gestalt des benachbarten Meeresbodens durch die Wasserströmungen auf dem 1150 *m* tiefen Grunde auch reichliche Mengen von organischen Schwimmkörperchen aus dem Gebiete der Meereserweiterung zur Ablagerung gelangen können, waren im Schlammwasser 0·52 *cm*³ Ammoniak. An der Nordgrenze der Meereserweiterung fand sich im Gebiet der über 1000 *m* betragenden Tiefen unter Station 101 ein Gehalt von 0·39 *cm*³. In der Hochsee zeigten sich nur in dieser Meereserweiterung und an ihren Grenzen Werthe, welche den durchschnittlichen Gehalt der Schlammwasserproben von 0·36 *cm*³ übertreffen. Diesen mittleren Ammoniakgehalt besass die Probe von Station 160 im nördlichen Drittel des untersuchten Hochseegebietes nahe der Westgrenze des über 500 *m* tiefen, den grössten Theil der Wasserbreite einnehmenden Meeresstreifens. Der Werth 0·33 *cm*³ wurde zweimal erhalten, und zwar in der Meereserweiterung auf den in den südöstlichen und nordwestlichen Theilen derselben in annähernd gleichen Entfernungen von den beiderseitigen Küsten gelegenen Stationen 40 und 57. Über den betreffenden Stellen des Meeresgrundes steigen die unterseeischen Abhänge viel weniger steil an, eine Ablagerung von organischen Schwimmkörperchen ist daselbst weniger zu erwarten als an den Stellen unter den oben angeführten Stationen 42, 95 und 99. Noch an einer dritten Grundstelle der Meereserweiterung wurde weniger Ammoniak gefunden als der Durchschnittswert beträgt, nämlich in dem kleinen über 2000 *m* tiefen Gebiet unter Station 85 (2160 *m*; 0·29 *cm*³ Ammoniak). Hier war ja auch die von den organischen Substanzen in Anspruch genommene Sauerstoffmenge auffallend gering. Durch den Umstand, dass die über die grösste Vertiefung theilweise hinwegstreichenden unterseeischen Strömungen auf deren Grunde weniger organische Schwimmkörperchen absitzen lassen, hat die bei der Oxydation entstandene Ammoniakmenge eine Einschränkung erfahren. Noch kleinere Werthe für Ammoniak waren nur der nördlichen Hälfte der Hochsee eigen. 0·26 *cm*³ Ammoniak gab das Schlammwasser, welches auf Station 18 vor dem zum Golf von Suez steil ansteigenden Abhang emporgeholt worden war. 0·23 *cm*³ wurden an drei Stellen nachgewiesen: unter Station 149 nahe dem Nordende des über 1000 *m* tiefen Meeresstreifens, unter Station 155 auf dem von diesem tiefsten Bodenstreifen gegen die arabische Küste ansteigenden Terrain und unter der etwas südlich von Station 18 gelegenen Station 165. Sehr viel weniger Ammoniak, nämlich 0·16 *cm*³ waren im Schlammwasser der Station 27 nahe der Westküste bei Koseir und 0·13 *cm*³, als das in Schlammwässern überhaupt angetroffene Minimum, unter Station 153 auf der südlichen Abdachung der die Becken der Hochsee und des Golfes von Akaba trennenden Bodenschwellung.

Im Golfe von Akaba schwankte der Gehalt des Schlammwassers an Ammoniak zwischen 0.49 und 0.26 cm^3 . Wie oben dargelegt, ist die Menge des von den organischen Substanzen des Schlammwassers beanspruchten Sauerstoffes im Golfe von Akaba immer geringer als der für die Hochsee und die beiden Golfe erhaltene Durchschnittswerth. Von den sechs untersuchten Stellen wiesen drei einen grösseren Gehalt auf, als der Ammoniak-Durchschnittswerth beträgt, zwei einen nur wenig geringeren und eine die 0.26 cm^3 . Unmittelbar vergleichbar sind die beiderseitigen Werthe insofern nicht, als im Grundschlamm die Oxydation der vorhandenen organischen Substanzen erst stattfinden wird und ebenda die Bildung von Ammoniak aus vorher zugegen gewesenen organischen Substanzen bereits stattgefunden hat. Sonst könnte man an zwei Möglichkeiten denken, nämlich daran, dass im Golfe von Akaba die von Pflanzen und Thieren herrührenden, auf dem Meeresgrunde zur Ablagerung, Auflösung und Oxydation gelangenden, organischen Körperchen mehr Ammoniak bei der Oxydation liefern als die in der Hochsee sich ablagernden, oder daran, dass sich das bei solcher Oxydation entstandene Ammoniak, etwa wegen des geringeren Grades capillaren Aufsteigens von Meerwasser in benachbarten Festlandsmassen, im Schlammwasser des Golfes von Akaba mehr anhäufte als in dem der Hochsee. — Auch zwischen den einzelnen Stationen des Golfes von Akaba gibt es Unterschiede in Bezug auf das Verhältniss von Ammoniak zu dem für die organischen Substanzen erforderlichen Sauerstoff. Das Maximum des möglichen Sauerstoffverbrauches hatte sich im Schlammwasser der Station 219 gezeigt, d. h. in 917 m Tiefe knapp bei der Westküste des Golfes im ersten Drittel der Entfernung zwischen den Dahab und Naueba genannten Plätzen, welche zeitweise von Beduinen besuchte Palmenwäldchen darstellen. Das Maximum des Ammoniak, 0.49 cm^3 Gas auf 1 l, war im Schlammwasser der Station 216, d. h. in 685 m knapp bei der Ostküste des Golfes, der Station 219 gegenüber. Während sonst der Gehalt von Akaba und auch die Hochsee des Rothens Meeres fast immer von allmählig ansteigenden Küstenebenen eingesäumt sind, welche zumeist aus Sandwüsten bestehen und weiter landein stets von hohen kahlen Gebirgen überragt werden, treten bei Station 216 steile Felsberge bis an das Ufer heran. Es wäre möglich, dass hier die benachbarten Festlandsmassen auf das Schlammwasser weniger capillar ansaugend wirken als anderwärts, was die Anhäufung von Ammoniak zur Folge hätte. Fast ebensoviel Ammoniak, nämlich 0.42 cm^3 , wurden im Schlammwasser der Station 232 angetroffen. Auch hier liegt die Möglichkeit vor, dass sich in geringerem Maasse als sonst ein capillares Aufsteigen von Meerwasser in Festlandsmassen vollzieht, und zwar deshalb, weil die benachbarte Schutt- und Sandhalde von Naueba am Ausgange eines Wadi (zumeist trockenen Thales) liegt, durch welches ein Theil des wenigen, und fast nur im Winter auf die Sinai-Halbinsel niederfallenden Regenwassers dem Meere zugeführt wird, oder, besser gesagt, in dessen Sandboden es vorher Gelegenheit findet, einzusickern. Dieses Durchtränktsein der Schutt- und Sandhalde mit Süßwasser, welches sich auch noch knapp beim Meeresstrand in den von Beduinen gegrabenen Brunnen als zur brackischen Trinkwasser bemerkbar macht, würde also dem capillaren Eindringen von Meerwasser im Wege stehen und könnte so am unterseeischen Abhang (in 314 m Meerestiefe), wo in demselben Schlammwasser durch längere Zeit zu Boden gesunkene organische Schwimmkörperchen der Oxydation unterworfen gewesen sind, die Zunahme des Ammoniakgehaltes bewirkt haben. — 0.39 cm^3 Ammoniak wurden im Schlammwasser der Station 230 gefunden. Die betreffende Grundstelle liegt 874 m tief im nördlichsten Theil des Golfes und liess wegen des grossen Gehaltes an organischen Substanzen auch einen relativ grossen Ammoniakgehalt erwarten. Der erstere hatte den zweitgrössten Werth des Golfes von Akaba dargestellt. Das Schlammwasser der Station 219, welches den grössten diesbezüglichen Werth aufgewiesen hatte, gab weniger Ammoniak, nämlich nur 0.33 cm^3 . Station 236 liegt fast in der Mitte der Meeresbreite, Station 219 nahe der Küste, von welcher hier ein zwischen Dahab und Naueba fast parallel zu ihr verlaufender Gebirgszug das sich zeitweise in vielverzweigten Thalsystemen des Inneren der Sinai-Halbinsel sammelnde Wasser der atmosphärischen Niederschläge abhält, was ein capillares Aufsteigen von Meerwasser in die Festlandsmassen der rechten Strandebene und des parallelen Gebirgszuges erleichtert und damit einer Anhäufung von Ammoniak im Schlammwasser entgegenarbeitet. — Derselbe Ammoniakgehalt von 0.33 cm^3 kam am Südende des mehr als 1000 m tiefen Gebietes, also ganz nahe der Nordabdachung der den Golf von der Hochsee

trennenden unterseelischen Bodenschwellung, unter Station 207 zum Vorschein. Das Schlammwasser wies hier das im Golfe von Akaba überhaupt beobachtete Minimum an organischen Substanzen auf. Wenn der Ammoniakgehalt nicht in denselben Verhältniss verringert ist, so könnte dies daher rühren, dass an dieser, 1077 m tiefen, in der Mitte der Golfbreite gelegenen Stelle ein längeres Verweilen eines und desselben Wassers in der obersten Schicht des Grundschlammes ermöglicht war. Das im Golfe von Akaba im Schlammwasser vorgefundene Ammoniakminimum betrug 0.26 cm^3 , während das Minimum der Hochsee 0.13 cm^3 betragen hatte. In der Hochsee war die Stelle des Ammoniakminimums identisch mit der Stelle des Minimums an organischen Substanzen (unter Station 153 am Südbahng der Bodenschwellung zwischen Golf von Akaba und Hochsee). Im Golfe von Akaba gehört die Stelle des Ammoniakminimums dem an organischen Substanzen reicheren Gebiet an, welches das nördliche Drittel des Golfes, und zwar fast in seiner ganzen Breite einnimmt, Tiefen von mehr als 500 m und weniger als 1000 m aufweisend.

Während das Schlammwasser des Golfes von Akaba meist mehr Ammoniak enthält, als die darin vorhandenen Mengen von organischen Substanzen erwarten liessen, ist das Gegentheil im Schlammwasser des Golfes von Suez der Fall. Die geringe Tiefe des Golfes und die Art seiner Umrahmung, welche aus Sandwüsten und aus Gebirgen mit grossem Reichthum an lockeren, stark Wasser aufsaugend wirkenden Gesteinen besteht, befördern eine relativ rasche Erneuerung des Schlammwassers durch Theile des knapp über dem Meeresgrunde befindlichen Wassers. Die wegen Ablagerung organischer Schwimmkörperchen dem Schlammwasser fortwährend zur Lösung dargebotenen und von ihm in Lösung gebrachten organischen Substanzen können deshalb viel bedeutender sein, als irgendwo in der Hochsee und im Golfe von Akaba, ohne dass der Ammoniakgehalt desselben Schlammwassers die Maximalbeträge der Hochsee erreicht. Er wurde gleich oder nur wenig grösser als der des Schlammwassers im Golfe von Akaba gefunden. 0.49 cm^3 stellten das unter Station 12 gefundene Maximum dar. Etwas weniger, nämlich 0.42 cm^3 wurden unter der ebenfalls im äussersten Norden des Golfes gelegenen Station 178 angetroffen. Noch etwas weniger, nämlich 0.39 cm^3 ergaben sich sowohl unter Station 145 als auch unter Station 179. Gerade die beiden letzteren Schlammwasser hatten in Bezug auf den Gehalt an organischen Substanzen den grössten Unterschied ergeben, indem das erstere von ihnen das Maximum und das andere das Minimum an Sauerstoff zur Oxydation der gelisten organischen Substanzen verlangte, und indem ferner, wie hier schon bemerkt sei, das erstere bei der künstlichen Oxydation auch das Maximum an Ammoniak und das andere das Minimum davon lieferte. Übrigens war auch bei dem Stationspaar 12 und 178 der Unterschied im Gehalt an organischen Substanzen viel grösser als der im Ammoniakgehalt. Vielleicht bewirkt der Umstand, dass sich in der obersten Schicht des Grundschlammes das ihn durchsetzende Wasser horizontal oder parallel zur Grundfläche gegen Theile der Küstengebiete bewegt, eine gleichmässige Vertheilung des vorher entstandenen Ammoniaks.

Die Schwankungen im Gehalte des knapp über dem Meeresgrunde der Hochsee, sowie der beiden Golfe befindlichen Wassers an Ammoniak, welcher Gehalt im Mittel 0.077 cm^3 Ammoniakgas per Liter betrug, waren nur gering. Das Maximum, gleich 0.13 cm^3 , wurde unter Station 145 im Golfe von Suez angetroffen. Auch an den anderen untersuchten Stellen dieses Golfes war das Bodenwasser reicher an Ammoniak, als dem Durchschnittswerth entspricht; unter den Stationen 12, 178, 179 und 202 konnte jedesmal 0.10 cm^3 nachgewiesen werden. Im Golfe von Akaba ergab sich unter den Stationen 207, 230 und 238, also sowohl nahe beim Südende im Gebiet der grössten Tiefen, als auch im nördlichen und nördlichsten Theil bei etwas geringeren Tiefen, der gleiche Ammoniakgehalt von 0.07 cm^3 . In der Hochsee wurde der Werth 0.10 in den Bodenwässern der Stationen 27, 46, 72, 88 und 99 vorgefunden. Von diesen Stationen liegt nur eine, nämlich 27, im nördlichen Theil, und zwar nahe der Westküste südlich von Kosair. Die vier anderen befinden sich im südlichen Drittel, welches durch einen grösseren Reichthum an organischen Substanzen ausgezeichnet ist. 0.07 cm^3 war 10 Stellen eigen, nämlich den Bodenwässern der Stationen 18, 33, 57, 79, 114, 149, 160, 165, 166 und 203. Diese Stationen vertheilen sich über das ganze Gebiet der Hochsee. Dabei ist hervorzuheben, dass sich an jeder Stelle ein anderer Gehalt an leicht oxydablen organischen Substanzen gezeigt hatte. Und zwar waren die Unterschiede in den von diesen organi-

sehen Substanzen in Anspruch genommenen Sauerstoffmengen sehr gross, der grösste Werth war mehr als fünfmal so gross als der kleinste. Die Oxydation, für deren möglichen Betrag die Mengen des beim Kochen mit einer Lösung von übermangansaurem Kalium verbrauchten Sauerstoffes einen Maassstab abgibt, verläuft offenbar in den Meerestiefen so langsam, führt in der Zeiteinheit zu so unbedeutenden Ammoniakmengen, dass die örtlichen Unterschiede durch die Wasserverbewegung mehr oder weniger vollkommen ausgeglichen werden. Es erübrigt noch, darauf zu verweisen, dass an diesen zehn Stellen knapp über dem Grunde der Hochsee in sehr verschiedenem Maasse eine Oxydation stattgefunden hat, wie sich aus den daselbst gefundenen wechselnden Mengen freien Sauerstoffes ergibt. Die grösste gefundene Sauerstoffmenge ist mehr als doppelt so gross als die kleinste. Dass trotzdem der Ammoniakgehalt überall gleich war, dürfte einerseits daher rühren, dass bei der vor sich gegangenen Oxydation organischer Substanzen je nach der pflanzlichen oder thierischen Abstammung derselben verschiedene Mengen von Ammoniak zur Bildung gekommen sind, anderseits daher, dass, wie sich schon bei den Untersuchungen im östlichen Mittelmeer und im Marmara-Meer ergeben hatte, der in den Meerestiefen verbrauchte Sauerstoff hauptsächlich dazu dient, im Wasser suspendirte, zu Boden sinkende organische Körperchen einer theilweisen Oxydation zu unterziehen, worauf früher oder später eine Ablagerung dieser Körperchen auf dem Meeresgrund erfolgt. Unter Station 101 betrug der Ammoniakgehalt 0.05 cm^3 . Der Minimalbetrag von 0.03 wurde an drei Stellen knapp über dem Grunde der Hochsee, unter den Stationen 22, 75 und 155 wahrgenommen. Auch diese Stellen gleichen Ammoniakgehaltes sind in Bezug auf geographische Lage, Meerestiefe und die von organischen Substanzen beanspruchten und von ihnen verbrauchten Sauerstoffmengen sehr verschieden.

Ein weiterer Beweis dafür, dass in den Meerestiefen, d. h. in ihrem frei beweglichen Wasser, trotz der daselbst vor sich gehenden Oxydation stickstoffhaltiger Substanzen nur wenig Ammoniak entsteht, dass vielmehr diese Oxydation fast nur zur Bildung von Zwischenproducten führt, welche auf dem Meeresgrunde abgelagert werden und erst dort, in ihm, bei fortschreitender Oxydation grössere Ammoniakmengen liefern, würde darin liegen, wenn die tieferen Meeresschichten eben so arm oder nur wenig reicher an Ammoniak wären, wie die obersten Meeresschichten.

Der für das knapp über dem Grunde befindliche Wasser gefundene Durchschnittswerth von 0.077 cm^3 ist thatsächlich nur ganz wenig grösser als der Durchschnittswerth des 10 m -Horizontes, welcher 0.074 cm^3 beträgt. Die Abweichungen von letzterem Mittelwerth sind noch geringer als die von ersterem. In zehn von vierzehn Fällen wurden 0.07 cm^3 Ammoniak angetroffen. In drei Fällen betrug der Ammoniakgehalt 0.10 cm^3 , wobei zu erwähnen ist, dass dieselben Wasserproben — es waren die der Stationen 30, 42 und 95, von allen 100 m -Wässern auch den grössten Gehalt an organischen Substanzen aufgewiesen hatten. In einem Falle, nämlich unter Station 104, ergab sich der geringe Ammoniakgehalt von 0.03 cm^3 .

Als Zeichen des etwas grösseren Ammoniakgehaltes des Golfes von Suez der Hochsee gegenüber ist noch anzuführen, dass auf Station 178 in 20 m Tiefe 0.10 , dagegen auf Station 153 in 300 m Tiefe 0.05 cm^3 nachgewiesen worden sind.

In Folge grösseren Reichthums an Organismen, unter welchen sich vermuthlich auch stickstoffassimilirende Mikroorganismen befinden, nimmt das Oberflächenwasser öfters eine Ausnahmestellung ein. Auf Station 12 im nördlichsten Theil des Golfes von Suez waren ihm 0.20 , auf Station 16 im südlichsten Theil desselben Golfes 0.13 , auf Station 26 am Westrand der nördlichen Hochseehälfte 0.07 und auf Station 40 am Aussenrand der Korallenriffe vor Dschidda 0.20 cm^3 Ammoniak eigen. Eben diese Wasserproben gehörten auch zu den mit grösserem Gehalt an organischen Substanzen ausgestattet. In der zuletzt angeführten Wasserprobe waren so viele organische Körperchen¹ vorhanden, dass sie sich erst nach längerem Stehen genug geklärt hatte, um der Untersuchung zugeführt werden zu können. Diese und die zuerst angeführte Probe übertrafen sowohl in Bezug auf den Ammoniakgehalt als auch in Bezug

¹ Anscheinend durch Wellenschlag von den äusseren Riffen losgelöst und durch Strömungen zusammengetragen.

auf den Gehalt an organischen Substanzen alle sonstwo dem freibeweglichen Meerwasser entnommenen Proben.

Im Gebiet der Korallenriffe vor Mersa Halaib wurden an dreizehn Stellen die Ammoniakmengen ermittelt. In sieben Fällen waren es 0·07, in zwei Fällen, und zwar im Oberflächenwasser des am Nordende des Riffgebietes und nahe dem offenen Meere gelegenen Punktes χ und im Oberflächenwasser der Mitte des hafentartigen Beckens zwischen Riffstreifen und Festlandsküste, waren es 0·03 cm^3 . Auf den neben χ an den anderen Seiten der, die nördliche Einfahrt nach Mersa Halaib begrenzenden kleinen Sandinsel gelegenen Punkten ξ , ζ und η wurden im Oberflächenwasser nur 0·02 cm^3 Ammoniak gefunden. Der grösste Ammoniakgehalt, gleich 0·10 cm^3 , ergab sich im Oberflächenwasser des Punktes α , d. h. in der Süd- (Boots-)Einfahrt. Es stimmt dies damit überein, dass sich im südlichen Theil des Riffgebietes nirgends weniger als 0·07 cm^3 gezeigt hatten. Da Mersa Halaib an der Westküste liegt, ist davor eine gegen Süden, beziehungsweise gegen Südosten gerichtete Bewegung der Wassermassen zu erwarten.¹ Das dem Korallengebiet bei der neben der Nordeinfahrt gelegenen Sandinsel zuströmende ammoniakarme Wasser kann in der Brandung des dortigen ganz seichten Gebietes einen Theil seines früheren Ammoniakgehaltes an die Atmosphäre abgegeben haben. Während der durch das Korallengebiet selber ganz langsam verlaufenden Wasserbewegung mag dann die unbedeutende Vermehrung des Ammoniakgehaltes stattgefunden haben, welche sich in den angeführten Zahlen zu erkennen gibt.

In der Suezcanalstrecke zeigten sich geringere Werthe für den Ammoniakgehalt als jener, welcher im Golfe von Suez auf der nahe dem Süden des Canales gelegenen Station 12 im Oberflächenwasser angetroffen worden ist. Ferner machte sich eine Abnahme des Ammoniakgehaltes mit zunehmender Entfernung vom Golfe von Suez bemerkbar, aus welchem besonders zur Zeit der Fluth Wasser in den Canal einströmt, während sich als Unterstrom salzreicheres Wasser in den Golf bewegt. Im Oberflächenwasser der in der südlichsten Canalstrecke gelegenen Station 10 ergaben sich 0·16, im Oberflächenwasser der im südlichen Theil der Wasseranfüllung des Gebietes der ehemaligen Bitterseen gelegenen Station 8 0·13 cm^3 Ammoniak. Im nördlichen Theil dieser Wasseransammlung enthielt unter Station 7 das knapp über dem 10 m tiefen Grunde befindliche Wasser 0·10 und im Timsahsee unter Station 5 das in 7 m Tiefe befindliche Bodenwasser 0·05 cm^3 . —

Ebenso wie im östlichen Mittelmeer wurden auch diesmal in den einzelnen Wasserproben nicht bloss die Mengen des fertig vorhandenen Ammoniaks bestimmt, sondern auch jene Ammoniakmengen, welche bei der durch Erhitzen mit einer alkalischen Lösung von übermangansaurem Kalium bewirkten Oxydation von den organischen Substanzen geliefert werden können.

Knapp über dem Meeresgrund waren im östlichen Mittelmeer 53 Stellen auf diese aus organischen Substanzen abspaltbaren Ammoniakmengen geprüft worden, und hatten sich dabei im Mittel 0·08 cm^3 Ammoniakgas per l Wasser ergeben. Im Rothen Meer betrug, wieder zunächst abgesehen von dem Gebiete der Korallenriffe vor Mersa Halaib und von der Suezcanalstrecke, der aus 27 Stellen sich ergebende Durchschnittswerth 0·19 cm^3 .

Das den Grundschlamm durchsetzende Wasser lieferte im östlichen Mittelmeer nach den für 80 Stellen ausgeführten Bestimmungen durchschnittlich 0·30 cm^3 Ammoniak, dagegen im Rothen Meere 1·04 cm^3 , wie die Untersuchung von 25 Stellen gelehrt hat.

Während der mittlere Ammoniakgehalt, wie sich aus den früher gebrachten Zahlen ergibt, knapp über dem Grunde im Rothen Meer doppelt so gross ist als im östlichen Mittelmeer, zeigt sich der Ammoniak-

¹ Als das Expeditionsschiff „Pola“ bei der Insel St. Johns, welche südöstlich von Ras Benas der Westküste vorgelagert ist, über tiefem Wasser an einem Korallenriff verlor, war, ergab eine Messung in 8 m Tiefe eine mit der Geschwindigkeit von 400 m in der Stunde gegen Südwest setzende Strömung. Es wurde dazu ein vom Schiffe aus versenkt und mittelt zweier Fallgewichte in Gang und zum Stillstand gebrachter Apparat verwendet, welcher im Wesentlichen mit dem von Magnaghi bei den Strömungsmessungen in den Dardanellen und im Bosporus benutzten, in meiner Arbeit über das Marmara-Meer besprochenen übereinstimmt und von dem Mechaniker S. Marcus (H) in Wien angefertigt worden ist. Im Gebiete der Korallenriffe vor Mersa Halaib war die Strömung so gering, dass sie mit dem Apparat, der an mehreren Stellen vom verankerten Boote aus versenkt wurde, nicht nachgewiesen werden konnte.

gehalt des Schlammwassers im ersten Meere nur um die Hälfte grösser als in letzterem Meere. Bei der im Laboratorium rasch durchgeführten, in der Natur nur langsam sich vollziehenden Oxydation der daneben vorhandenen organischen Substanzen würde, wenn kein Tiefenwasser durch Strömungen zur Oberfläche gelangte, wo Ammoniakgas in die Atmosphäre entweicht,¹ knapp über dem Grunde in beiden Meeren der Ammoniakgehalt auf etwas mehr als das Dreifache steigen. — Im Schlammwasser würde bei dieser Oxydation der Ammoniakgehalt im östlichen Mittelmeer bis zum zweieinhalbfachen, im Rothcu Meer bis zum vierfachen Betrage wachsen, wenn nicht durch capillar vordringendes Wasser die eine besonders grosse Diffusionsgeschwindigkeit besitzenden Ammoniumsalze aus dem Grundschlamm in die angrenzenden Festlandsmassen und zur Erdoberfläche weggeführt werden würden.

Entsprechend dem grossen Reichthum des Golfes von Suez an organischen Schwimmkörperchen (Plankton) wurden dieselben die grössten Mengen des bei der künstlichen Oxydation aus den organischen Substanzen entstehenden Ammoniak angetroffen. Das Schlammwasser der Station 145 gab 2.60, das der Station 178 1.95 cm^3 Ammoniak. Diesen grössten Werthen stehen jedoch auch kleinere gegenüber, in einem Falle sank sogar der Werth unter den Durchschnittsbetrag des Rothcu Meeres. Je nachdem, ob das Plankton mehr pflanzlicher oder thierischer Natur ist, und je nach dem Ort und Zeit wechselnden Grade, bis zu welchem die Körperchen auf dem Meeresgrunde zur Ablagerung gelangen, müssen Mengen und Art der im Wasser des Grundschlammes sich lösenden organischen Substanzen verschieden sein. Die geringen Werthe wurden auf den Stationen 12 und 179 erhalten, im Schlammwasser der ersten Station 1.14, in dem der letzteren 0.98 cm^3 . Hierbei sei an die oben besprochene relativ geringe Menge und an die fast gleichmässige Vertheilung des fertigen Ammoniak im Grundwasser des Golfes von Suez erinnert, und jetzt schon hervorgehoben, dass, um dieselbe neue Ammoniakmenge zu liefern, von den organischen Substanzen an den verschiedenen Meeresstellen sehr verschiedene Sauerstoffmengen beansprucht wurden. Im Golfe von Suez lieferte immerhin dasjenige Schlammwasser, welches am meisten Sauerstoff aufzunehmen vermochte, auch das meiste Ammoniak, und gab dasjenige Schlammwasser, welches am wenigsten Sauerstoff beanspruchte, auch am wenigsten Ammoniak. Von den Schlammwässern der Stationen 12 und 178 entwickelte hingegen dasjenige mehr Ammoniak, welches weniger Sauerstoff aufzunehmen vermochte.

In der Hochsee brachte bei der Oxydation das Maximum an Ammoniak, nämlich 1.63 cm^3 , das Schlammwasser der Station 149 hervor, also das einer Stelle ihrer nördlichen Hälfte, welche sich durch geringen Sauerstoffverbrauch seitens organischer Substanzen auszeichnet. In eben dieser Hälfte liegt ferner die Station 155, deren Schlammwasser 1.14 cm^3 Ammoniak abgespalten, dabei aber wenigstens unter den Grundwässern dieses Meerestheiles auch am meisten Sauerstoff verbraucht hat. Drei andere, den Mittelwerth übersteigende Mengen von abspaltbarem Ammoniak wurden in der südlichen Meereserweiterung erhalten. 1.30 cm^3 Ammoniak gab die in einer Ausbuchtung des über 500 m tiefen Gebietes gelegene Grundstelle unter Station 95, 1.14 cm^3 die in einer benachbarten Ausbuchtung, ebenfalls unter dem steilen unterseeischen Abhang vor Jambo gelegenen Grundstelle unter Station 90, 1.20 cm^3 der durch seine Lage in der Verengung eines trichterartig gestalteten Bodenstückes eine besondere Stellung einnehmende Ort unter Station 72. In zehn von fünfzehn Fällen war bei den Schlammwässern der Hochsee die Menge des abspaltbaren Ammoniaks geringer als der aus allen Schlammwässern sich ergebende Durchschnittswerth von 1.04 cm^3 . 0.98 cm^3 zeigten sich auf der an der Südgrenze des untersuchten Hochseegbietes befindlichen Station 42, 0.94 cm^3 im nordwestlichen Theil der Hochsee auf Station 165, 0.91 cm^3 auf der an der Nordgrenze der Meereserweiterung befindlichen Station 101, 0.81 cm^3 im östlichen Theil

¹ Die relativ reichliche Ammoniakproduktion des Rothcu Meeres könnte (Helmholz jun. «Dampfe und Nebel» in Ann. d. Phys. u. Chem. N. F. 27, 508 [1886], 32, 1 [1887] und 40, 161 [1890]) in Folge «Störung des chemischen Gleichgewichtes in der Atmosphäre» einerseits zur Entstehung der über diesem Meere meistens herrschenden Trübung der untersten Luftschichten, zum starken Thaufall und zu den räumlich und zeitlich sehr begrenzten Regen- und Gewitterbildungen beitragen, anderseits verhindern, dass sich in den oberen Luftschichten Wasserdampf ansammelt. Die Regenarmuth und die Wäsencharakter der umgebenden Länder würden darnach zum Theil mit jenen aufsteigenden Meeresströmungen zusammenhängen.

des nördlichen Gebietes auf Station 100. Gleich dem auf Station 12 im nördlichsten Theil des Golfes von Suez knapp über dem Grunde angetroffenen Maximum von 0.65 cm^3 war der für die Schlammwässer der Stationen 57 und 85 erhaltene Betrag. Erstere Station liegt im nordwestlichen Theil der Hochseerweiterung, letztere über dem kleinen, mehr als 2000 *m* tiefen Gebiet. 0.55 cm^3 lieferte das Schlammwasser der nahe bei Station 165 befindlichen Station 18. 0.49 cm^3 , welcher Betrag knapp über dem Grunde ebenfalls im Golfe von Suez und zwar auf Station 145 erhalten worden ist, ergaben sich sowohl auf Station 46 im Schlammwasser vom unter-eischen Abfall zu dem kleinen Stück des mehr als 2000 *m* tiefen Meeresgrundes, als auch auf Station 153 im Schlammwasser vom unter-eischen Abhang der den Golf von Akaba trennenden Bodenschwellung. Das Minimum der Hochsee und des Kothen Meeres überhaupt beträgt 0.33 cm^3 und wurde unter Station 27 nahe der Westküste des nördlichen Hochseethalles angetroffen.

Im Golfe von Akaba gelangten 6 Grundstellen zur Untersuchung. Für zwei Stellen ergaben sich Werthe, welche zwischen dem Maximum der Hochsee und dem aus allen Bestimmungen an Schlammwässern gezogenen Mittel liegen. An den anderen Stellen waren die Beträge kleiner als dieser Mittelwerth, giengen unter das Minimum des Golfes von Suez herab, übertrafen aber viele der in der Hochsee erhaltenen Werthe. Die kleinsten waren gleich der im Golfe von Suez auf Station 12 erhaltenen Zahl, welche das Maximum der knapp über dem Meeresgrunde abspaltbaren Ammoniakmengen anzeigt. Diese 0.65 cm^3 liessen sich aus den Schlammwässern der Stationen 207 und 230 gewinnen; erstere Stelle liegt am Südeinde des tiefsten Gebietes, letztere an seinem östlichen Abhang, zu welchem voraussichtlich planktonarmes Wasser aus diesem Gebiete zuströmt. 0.81 cm^3 lieferte das Schlammwasser des Abhanges der Schutthalde von Naueba unter Station 232. Im seichteren nördlichsten Theil des Golfes gab Station 236 0.98 cm^3 , weiter südlich in dem über 900 *m* tiefen Golftheil Station 230 1.79 cm^3 . Auf Station 210, wo voraussichtlich planktonreiches Wasser aus dem nördlichen Golftheil zuströmt, wurden aus dem Schlammwasser 1.30 cm^3 Ammoniak bei der Oxydation gewonnen.

Von den 27 knapp über dem Meeresgrunde geschöpften und auf die Menge des abspaltbaren Ammoniak geprüften Wasserproben entfallen 5 auf den Golf von Suez, 19 auf die Hochsee und 3 auf den Golf von Akaba. Im Mittel wurden, wie schon gesagt, 0.19 cm^3 pro *l* erhalten.

Die grössten Werthe waren wieder dem Golfe von Suez eigen, nämlich die schon erwähnten 0.65 und 0.49 cm^3 der Stationen 12 und 145. Die Zeit der erstenen Station war Ende October, die der letzteren Anfang Februar. Am Ende des Winters wurden auf den diesen Stationen benachbarten Stationen 178 und 179 0.23 und 0.16 cm^3 erhalten, einen Monat später im Bodenwasser der im südlichsten Golftheil gelegenen Station 202 0.20 cm^3 .

In der Hochsee wurden sieben Werthe gefunden, welche grösser sind als die Mittelwerthe sämtlicher Bodenwässer. Von ihnen betrafen vier den nördlichen Theil der Hochsee, welchem auch das auf Station 114 angetroffene Maximum von 0.20 cm^3 angehörte. Von den zwölf kleineren Werthen bezog sich die Hälfte auf den nördlichen Theil, darunter auch der in den Bodenwässern der Stationen 22 und 155 gefundene Minimalbetrag von 0.10 cm^3 .

Im Golfe von Akaba waren die von den Bodenwässern der Stationen 207, 230 und 238 bei der Oxydation gelieferten Ammoniakmengen ausnehmend klein. Die der beiden erstenen Stationen betragen 0.13 , die der zuletzt genannten 0.10 cm^3 .

Im 100 *m*-Horizont der Hochsee und des Golfes von Akaba wurden 14 Stellen untersucht. Als Mittel ergab sich der Werth 0.16 cm^3 , d. h. ein etwas geringerer als in den Bodenwässern. Ferner sind die Schwankungen in den an den einzelnen Stellen bei der Oxydation abspaltbaren Ammoniakmengen noch unbedeutender als bei den Bodenwässern. Als grösster Werth wurde die Zahl 0.20 auf den Stationen 30, 42, 95, 119 und 165 erhalten, als kleinster Werth die Zahl 0.13 auf den Stationen 104, 166, 203, 207, 230 und 238.

Das auf Station 153 in 300 *m*, bei 900 *m* Meerestiefe, geschöpfte Wasser gab 0.13 , das auf Station 178 im Golfe von Suez in 20 *m*, bei 45 *m* Meerestiefe, geschöpfte Wasser gab 0.23 cm^3 Ammoniak.

Die vier der Meeresoberfläche entnommenen Wasserproben lieferten bei der Oxydation mehr Ammoniak als das Minimum der Schlammwässer beträgt. Am Nordende des Golfes von Suez gab Station 12

0° 72', am Südende dieses Golfes Station 16 0° 30', am Westrand des nördlichen Hochseethales Station 26 0° 23' und am Ostrande des südlichen Hochseethales Station 40 0° 49' cm^3 .

Das Oberflächenwasser der südlichsten Strecke des Suezcanales entwickelte auf Station 10 0° 65' und das der Wasseranfüllung des Gebietes der ehemaligen Bitterseen auf Station 8 0° 55' cm^3 . Das auf den Stationen 5 und 7 knapp über dem Grunde dieser Wasseransammlung und des Timsahsees geschöpfte Wasser lieferte 0° 33' cm^3 , d. h. ebensoviel als das Minimum der Schlammwässer des Rothen Meeres beträgt.

Im Gebiete der Korallenriffe vor Mersa Halaib schwankte die bei der Oxydation entstehende Ammoniakmenge zwischen dem Werthe 0° 20', welcher beim Bodenwasser der Punkte β und γ , beide in der Bucht zwischen Festland und Riffstreifen, erhalten wurde, und dem Werthe 0° 07', welcher dem Oberflächenwasser des Punktes α in der Süd-(Boots-)Einfahrt und dem Wasser zwischen mannshohen Korallenstöcken auf Punkt λ eigen war. —

Es seien im Folgenden die für die beiden Ammoniakarten gefundenen Zahlen so mit einander verglichen, dass für die Glieder der verschiedenen Reihen von Wasserproben angegeben wird, wie vielmal mehr Ammoniak bei der Oxydation der organischen Substanzen entsteht, als schon fertig vorhanden ist.

Von den 25 Schlammwässern lieferten 10 bei der Oxydation doppelt so viel Ammoniak, als darin schon enthalten war. Von den betreffenden Stellen des Meeresgrundes gehört keine dem Golfe von Suez an, sie vertheilen sich über das ganze Gebiet der Hochsee und des Golfes von Akaba, indem sie sich unter den Stationen 18, 27, 42, 57, 85, 95, 99, 160, 207 und 232 befinden. Weniger als das Doppelte des fertig vorhandenen Ammoniak ergab sich an zwei Stellen, nämlich 1·5mal unter Station 46 und 1·3mal so viel unter Station 216. An der ersteren, am Abhang des kleinen, mehr als 2000 m tiefen Bodenstückes gelegenen Stelle war im Vergleich zu den für benachbarte Grundstellen erhaltenen Werthen die Menge des bei der Oxydation entstehenden Ammoniak auffallend gering, wahrscheinlich deshalb, weil die sich daselbst zu Boden setzenden Schwammkörperchen, durch (in Form von Spirallinien) verlaufende Strömungen lange Zeit getragen, bereits in hohem Grade der Oxydation unterlegen sind. An der anderen, dem Abhang des tiefsten Gebietes im Golfe von Akaba angehörigen Stelle kommt zu dieser Ursache des Zurücktretens der zweiten Ammoniakart noch der Umstand hinzu, dass dieselbe den übrigen Golfgrund, voraussichtlich wegen geringen Wegdiffundirens von Ammoniaksalzen, in Bezug auf den Reichthum an fertigen Ammoniak übertrifft. In allen übrigen Fällen gaben die Schlammwässer bei der Oxydation mehr als das Doppelte des bereits darin vorhandenen Ammoniak. Im südlichen Theil der Hochsee traf sich dies nur zweimal, nämlich auf den Stationen 72 und 101, unter welchen also Ablagerung weniger oxydierter Reste von Pflanzen und Thieren anzunehmen ist. Auf der ersteren Grundstelle kann dies durch die trichterartige Umgebung, auf der anderen durch den Umstand bewirkt werden, dass an der Nordgrenze der Meereserweiterung wegen quer über die Meeresbreite setzender Stromschlüsse im Wasser schwebende Körperchen rascher dem Meeresgrunde zugeführt werden. Im nördlichen Theile der Hochsee waren es vier Stellen, und zwar übertraf in bedeutend höherem Grade die Menge des erst bei der Oxydation entstehenden Ammoniak das bereits vorhandene. Es wurde die vierfache Menge erhalten für die Stationen 153 und 165, die fünffache für Station 155 und die siebenfache für Station 149, wobei höchstwahrscheinlich der Umstand eine Rolle spielte, dass die Untersuchung dieses Meeresstheilcs am Ende des Winters vorgenommen wurde, sich also in den obersten Wasserschichten wegen niedrigerer Temperatur und geringerer Lichtwirkung die Oxydation darin befindlicher und später zu Boden sinkender organischer Körperchen innerhalb beschränkterer Grenzen gehalten haben dürfte. Eben deswegen zu einer bedeutenderen Ammoniakentwicklung befähigte organische Reste dürften auf dem Grunde des im April untersuchten Golfes von Akaba dort zur Ablagerung gekommen sein, wohn die Wasserströmungen für den raschesten und reichlichsten Transport gesorgt haben. Das Schlammwasser der Station 236 gab bei der Oxydation den 2·5fachen, das der Station 219 den vierfachen und das der Station 230 den siebenfachen Betrag des bereits vorhandenen Ammoniak. Im Golfe von Suez lieferte von den Schlammwässern der nahe bei einander befindlichen Stationen 12 und 178 das der ersteren Station im Herbst das 2·3fache, das der letzteren Station am Ende des Winters das Fünffache des bereits vorhan-

jenen Ammoniak. Das Schlammwasser der Station 145 gab das 67fache, das der Station 179 das 25fache. Station 145 liegt in einer Verengung, 179 in einer Erweiterung des Golfes.

Unter den 27 knapp über dem Meeresgrunde befindlichen Stellen waren 14, an welchen das Wasser bei der Oxydation doppelt so viel neues Ammoniak abgeben konnte, als schon fertig zugegen war. Dieses bei weitem am häufigsten vorgefundene Verhältniss zwischen den beiden Ammoniakarten, welches einem bestimmten Grade der im Meere stattfindenden Oxydation der organischen Reste zu entsprechen scheint, ist in der Hochsee bei den Bodenwässern viel deutlicher als bei den Schlammwässern an die Nähe der Küste geknüpft. Es ist ein Ergebniss sehr lange andauernder Oxydation, insoferne als unter dem Einfluss der Bewegung der gesammten Wassermassen das Tiefenwasser, wenigstens in weiteren Meerestheilen, gegen die Küsten zu gedrängt wird. Von den 14 Stellen dieses Ammoniakverhältnisses im Bodenwasser entfallen 10 auf die Hochsee, nämlich die unter den Stationen 27, 33, 57, 79, 88, 99, 160, 165, 166 und 203. Ebenso wie an diesen, den Küsten zumeist nahen Stellen wurden auch sonst in der Hochsee Boden- und Schlammwasser in Bezug auf das Verhältniss zwischen den beiden Ammoniakarten mehr oder weniger in Übereinstimmung gefunden. Bei den welten, in der Hochsee für den Transport von organischen Schwimmkörperchen durch Strömungen zur Verfügung stehenden Räumen scheint eben meistens bereits im freibeweglichen Meerwasser die Oxydation so weit vorgeschritten zu sein, dass dann das, was von solchen Schwimmkörperchen auf dem Meeresgrund zur Ablagerung kommt, an das Schlammwasser Ammoniak und organische Substanzen in denselben oder ähnlichen Verhältniss zur Lösung abgibt, als vorher über dem Meeresgrund der Fall gewesen war. Begünstigt wird dies dadurch, dass sowohl die in Form pflanzlicher und thierischer Reste zugeführten organischen Substanzen, als auch das den Schlamm durchsetzende, in tiefere Grund- und in Festlandsmassen capillar eindringende Wasser fortwährend, wenn auch an den einzelnen Grundstellen mit verschiedenen Geschwindigkeiten, sich erneuern.

Nur an einer Bodenstelle der Hochsee, unter Station 46, war, anscheinend wegen der vorausgegangenen langen Berührung der organischen Substanzen mit Meerwasser, die Ammoniakbildung bereits so weit vorgeschritten, dass bei der Oxydation mit übermangansaurem Kalium weniger als das Doppelte des bereits vorhandenen Ammoniaks erhalten wurde. Hier, am Abhang des kleinen, mehr als 2000 m tiefen Bodenstückes ergab nämlich das Bodenwasser nur den 1·6fachen Betrag.

Ein striemenartiges Hinabfliessen von Theilen des an organischen Schwimmkörperchen reichsten Oberflächenwassers in die Tiefen ermöglicht ein Nebeneinander sehr verschiedener Grade bereits eingetretener Oxydation. So gab das Bodenwasser der nahe bei Station 46 gelegenen Station 75 bei der Oxydation an Ammoniak das Fünffache der bereits vorhandenen Menge.

Unter der nahezu in der Mitte der Hochseerweiterung gelegenen Station 72, wo, wie schon öfters hervorgehoben, wegen der gegen das Gebiet grösster Tiefen offenen Form des Meeresbodens eine fortwährende und rasche Ablagerung organischer Schwimmkörperchen zu erwarten ist, war das Bodenwasser, ebenso wie das Schlammwasser, im Stande, 2·3mal so viel Ammoniak zu liefern, als schon da war. Unter Station 101 in der nördlich von der Hochseerweiterung vorhandenen Meeresverengung, wo je nach Richtung und Stärke quer über das Meer setzender Strömungen wechselnde Mengen von organischen Schwimmkörperchen dem Meeresgrunde zugeführt werden können, war der Unterschied zwischen Boden- und Schlammwasser in Bezug auf das Verhältniss der beiden Ammoniakarten zu einander immerhin nur gering, indem das erstere das 2·6fache, das letztere das 2·3fache lieferte.

Unter Station 114, auf der die beiden mehr als 1000 m tiefen Gebiete trennenden niedrigen Bodenschwellung, wo das Bodenwasser bei der Oxydation per l mehr Ammoniak ergab als alle anderen Bodenwässer der Hochsee, war die Menge desselben das Vierfache des bereits fertig vorhandenen Ammoniaks. Unter der etwas nördlich davon gelegenen Station 155 und unter der neben den Brüderinseln befindlichen Station 22, wo in den Bodenwässern die Minimalwerthe der Hochsee an abspaltbarem Ammoniak beobachtet worden, war dieses Ammoniak das Dreifache des bereits vorhandenen.

Im nordwestlichsten Theil der Hochsee, wo im Schlammwasser das Verhältniss zwischen dem fertigen und dem erst bei der Oxydation entstehenden Ammoniak grossen Schwankungen unterworfen war, und

wo unter Station 149 die Menge des letzteren derart gross war, dass sie das Siebenfache des ersteren betrug, gab das knapp über dem Grunde befindliche, zu verschiedenen Jahreszeiten untersuchte Wasser nur Zwei und Drei als Verhältnisszahlen, Zwei auf den Stationen 105, 106 und 203, Drei auf den Stationen 18 und 149. Anzunehmen, dass in diesem nördlichen Theil der Hochsee und auch sonst bedeutendes Überwiegen des erst bei der Oxydation entstehenden Ammoniak über das fertige dadurch mitveranlasst worden, dass Theile des letzteren aus dem Grundschlamm durch capillare Wasserbewegung in benachbarte Festlandsmassen gelangt sind, wäre gestattet, wenn auf benachbartem Festland auffallende, durch die Wirkung von Ammoniaksalzen leicht zu erklärende Erscheinungen vorhanden wären. Vielleicht sind solche die später zu besprechenden Eisenoxyd- und Braunsteinvorkommen am Südende der Sinaihalbinsel und an anderen Orten.

Im Golfe von Akaba zeigte sich ein ähnlicher Unterschied zwischen Schlamm- und Bodenwasser in Bezug auf das Ammoniakverhältniss. Im Schlammwasser schwankte dasselbe zwischen den Zahlen 1·3 und 7, für das Bodenwasser wurde auf Station 207 (südlichster Theil der grössten Tiefen und des Golfes) und auf Station 230 (nördlicher Theil der grössten Tiefen) die Zahl 2 und auf Station 238 (nördlichster, immerhin noch über 800 *m* tiefer Theil des Golfes) die Zahl 1·4 gefunden.

In dem an organischen Schwimmkörperchen reichen Golf von Suez sind die Strömungen offenbar viel weniger im Stande, die aus Jahreszeit und Örtlichkeit sich ergebenden Unterschiede im Verhältniss der beiden Ammoniakarten auszugleichen. Dabel ist zu bemerken, dass im Bodenwasser enthaltene organische Substanzen, beziehungsweise die neben ihnen vorhandenen, aus ihnen bereits entstandenen Ammoniakmengen viel eher in Zusammenhalt mit der jeweiligen Jahreszeit der Untersuchung gebracht werden können, als das, was davon im Grundschlamm vorhanden ist, wo die Ablagerung in einer vorausgegangenen Jahreszeit stattgefunden hat. 6·5mal soviel Ammoniak entwickelte sich bei künstlicher Oxydation, als schon fertig vorhanden war, im Bodenwasser der Herbst-Station 12, 3·7mal soviel im Bodenwasser der Winter-Station 145 und 2, beziehungsweise 1·6mal soviel in den Bodenwässern der gegen Ende des Winters fallenden Stationen 178 und 179. Erwähnenswerth ist, dass sich also auch hier die Verhältnisszahl Zwei oder eine davon wenig abweichende als Ausdruck des Ergebnisses längere Zeit anhaltender natürlicher Oxydationen oder sonstiger Veränderungen, welche eine Abspaltung von Ammoniak aus den organischen Substanzen des Meeres bewirken, herausgestellt hat.

Dieses Verhältniss, welches besagt, dass bei der Oxydation von organischen Substanzen doppelt so viel Ammoniak neu gebildet wird, als schon vorhanden ist, wurde im 100 *m*-Horizont unter 14 Fällen elfmal angetroffen, und zwar auf den Stationen 30, 33, 42, 95, 153, 160, 160, 203, 207, 230 und 238, von welchen die drei zuletzt genannten dem Golfe von Akaba angehören. Es hat den Anschein, als ob unter dem Einfluss der wirbelartigen Gesamtbewegung der Wassermassen das knapp über dem Grunde befindliche Wasser, welchem besonders an den Rändern des Hochseebeckens dasselbe Verhältniss der beiden Ammoniakarten eigen ist, zu den Meeresrändern emporgedrückt wird, dabei jedoch nur zum kleinsten Theil die eine Abgabe von Ammoniak an die Atmosphäre gestattende Oberfläche erreicht, sondern zumeist unter der Oberfläche, darunter auch in 100 *m* Tiefe, den Mittellinien länglicher Seebecken zuströmt, um in ihrer Nähe wieder unterzutauken. Einer Beimischung von Wasser aus obersten an organischen stickstoffhaltigen Substanzen reichen Wassertheilen ist es zuzuschreiben, dass auf den im nordwestlichen Theil der Hochsee gelegenen Stationen 149 und 105 aus den in 100 *m* Tiefe geschöpften Wasserproben dreimal so viel Ammoniak bei der Oxydation erhalten wurde, als fertig vorhanden war. Auf Station 104, nahe der Küste nördlich von Ras Benas wurde viermal so viel, als vorhanden war, gewonnen. Hier am Südende der geraden, steil zu grossen Tiefen abfallenden afrikanischen Küstenstrecke, längs welcher das Wasser gegen Süden fliesst, ist das 100 *m*-Wasser sehr arm an fertigem Ammoniak, offenbar desshalb, weil grössere Mengen von Oberflächenwasser, welches Ammoniak an die Atmosphäre abgegeben hat, beigemischt sind.

Der Normalwerth Zwei ergab sich ferner auf der im Golfe von Suez gelegenen Station 178 für 20 *m* Tiefe (bei 45 *m* Meerestiefe) und ein nur wenig grösserer, nämlich 2·6, auf der südöstlich vom Eingang in den Golf von Akaba gelegenen Station 153 für 300 *m* Tiefe (bei 900 *m* Meerestiefe).

Das Oberflächenwasser der vor Dschidda befindlichen Station 40 lieferte bei der Oxydation 2·5mal, das der Stationen 16 und 20, von welchen die eine im südlichsten Theil des Golfes von Suez, die andere nahe der Westküste des nördlichen Hochseethales liegt, 3mal, das der im nördlichen Theil des Golfes von Suez gelegenen Station 12 3·6mal so viel Ammoniak, als schon fertig vorhanden war.

Das Oberflächenwasser der im südlichsten Theil der Suezcanalstrecke, beziehungsweise im südlichen Theil der Wasserausfüllung des Gebietes der ehemaligen Bitterseen gelegenen Stationen 8 und 10 gab bei der Oxydation viermal, das auf Station 7 im nördlichen Theil dieser Wasserausfüllung knapp über dem 10 m tiefen Grunde geschöpfte Wasser 3mal und das auf Station 5 im Timsahsee knapp über dem 7 m tiefen Grunde geschöpfte Wasser 6·6mal so viel Ammoniak, als vorher bei der blossen Destillation. Also auch in dieser Beziehung wich die Suezcanalstrecke nur unbedeutend von dem im Rothen Meer und im Mittelmeer zumeist Gefundenen ab.

Im Korallengebiet vor Mersa Halaib waren die das Verhältniss zwischen den beiden Ammoniakarten ausdrückenden Zahlen grossen Schwankungen unterworfen. 7mal so viel Ammoniak, als schon da war, bildeten sich bei der Oxydation im Oberflächenwasser des Punktes λ , welcher, als an der Westseite der kleinen nördlich vom Rifffstreifen befindlichen Sandinsel gelegen, vor dem aus dem offenen Meer zuströmenden Wasser so weit geschützt ist, dass sich in seinem seichten Wasser von Organismen abtammende stickstoffhaltige Substanzen in Lösung und in feiner Suspension anhäufen können. Der Umstand, dass durch die Brandung, welche das Entweichen von Ammoniak in die Atmosphäre, aber auch Oxydation befördert, rund um die kleine Insel vom seichten Grund und vom flachen Strand Organismen oder Reste von Organismen abgerissen werden, erhöht offenbar auch vor den drei anderen Seiten der Insel die Menge des erst bei der künstlichen Oxydation entstehenden Ammoniak bedeutend über das Normale; die betreffenden Oberflächenwässer gaben 5mal mehr davon, als fertig vorhanden war. Die Strömungsverhältnisse in dem durch den Rifffstreifen gebildeten hafenartigen Becken, beziehungsweise die durch sie in der Oberflächennitte fortwährend verursachten Anhäufungen von frischen, noch wenig oxydirten, organischen Schwimmkörperchen dürften die Ursache sein, dass das Oberflächenwasser auf Punkt γ bei der Oxydation das Fünffache, auf den Punkten α und β hingegen nur das Doppelte von dem bereits oder noch vorhandenen Ammoniak lieferte. Unter der Oberfläche waren in diesen hafenartigen Becken die Unterschiede in den Verhältnisszahlen geringer. Die auf den Punkten β und γ knapp über 6 und 40 m tiefem Grunde geschöpften Wasserproben gaben die Zahl Drei, die auf Punkt ϵ knapp über 21 m tiefem Grunde geschöpfte Wasserprobe gab die Zahl Zwei. In dem durch seine Klarheit ausgezeichneten Wasser zwischen den einzelnen Korallenriffen erwies sich die Menge des erst bei der Oxydation entstehenden Ammoniak überhaupt und besonders auch im Vergleich zu dem vorhandenen als ausnehmend klein. Das in der buchtartigen Vertiefung am Westrand des südlichen Theiles des Rifffstreifens auf Punkt μ knapp über 31 m tiefem Grunde geschöpfte Wasser gab nur 1·4mal so viel von dem ersten Ammoniak als von dem letzteren. Bei dem auf Punkt λ zwischen Korallenstöcken knapp über 2 m tiefem Grunde geschöpften Wasser waren die beiden Ammoniakmengen gleich gross. In der Süd-(Boots-)Einfahrt zeigte, wie schon oben gesagt, das Oberflächenwasser der Station α , welches höchstwahrscheinlich einige Zeit früher zwischen eben solchen Korallenstöcken in dem hier besonders breiten Rifffstreifen verweilt hatte und daraus durch die ganz langsame, direct nicht wahrnehmbare Strömung fortgeführt worden war, unter allen vor Mersa Halaib untersuchten Wasserproben den grössten Gehalt an fertigem Ammoniak. An stickstoffhaltigen organischen Substanzen war es derart arm, dass bei der Oxydation relativ ein Minimum von Ammoniak, nur 0·7 des vorhandenen entstanden. —

Ein weiteres Interesse, besonders deshalb, weil sich diesbezüglich bereits ein theilweiser Gegensatz zwischen östlichem Mittelmeer und Marmara-Meer herausgestellt hat, bietet das Verhältniss zwischen der bei Oxydation mit übermangansaurem Kalium entstehenden Ammoniakmenge zu der bei solcher Oxydation von den organischen Substanzen aufgenommenen Sauerstoffmenge. Einerseits deutet dieses Verhältniss an, ob die in Wasserproben enthaltenen organischen Substanzen mehr pflanzlichen oder thierischen Ursprungs sind und ob sie bereits, in Lösung oder während des Zubodensinkens, beziehungsweise Vertragenwerdens organischer Schwimmkörperchen, mehr oder weniger der Stickstoff als Ammoniak

absplittenden Oxydation unterliegen sind. Andererseits gibt dieses Verhältniss einen Anhaltspunkt zur Beurtheilung der Frage, ob speciell im Meeresgrund bei fortschreitender Oxydation der organischen Substanzen wegen reichlicher Bildung von Ammoniak Fällung von im Meerwasser gelösten Mineralbestandtheilen oder wegen reichlicher Bildung von Kohlensäure und von nicht alkalisch oder sogar sauer reagirenden organischen Substanzen, als Zwischenproducten der Oxydation, Lösungsprocesse zu erwarten sind.

Ebenso wie in der Abhandlung über das Marmara-Meer sei das Verhältniss in Zahlen ausgedrückt, welche angeben, wie viele Moleküle Sauerstoff aufgenommen werden, wenn bei der Oxydation der organischen Substanzen ein Molekül Ammoniak entsteht.

Im Marmara-Meer bleibt durch lange Zeit dasselbe Wasser wegen seines geringen specifischen Gewichtes obenauf, ferner ist fast die ganze südliche Hälfte dieses Meeres weniger als 100 m tief, Verhältnisse, welche die überwiegende Bildung pflanzlichen Planktons begünstigen. Das, was in der tiefen Meereshälfte an organischen Schwimmkörperchen auf dem Grunde abgelagert wird, ist ferner wegen des langen Vertragswerdens durch Strömungen schon derart der Oxydation unterlegen, dass dort nur mehr wenig Ammoniak entstehen kann. Im Schlammwasser der grössten Tiefe (1350 m) kamen 30, in dem geringeren Tiefen 20 Moleküle Sauerstoff auf 1 Molekül Ammoniak.

Im östlichen Mittelmeer hielt nur an einzelnen Stellen das Schlammwasser solche organische Substanzen in Lösung, dass bei ihrer Oxydation 30 und sogar etwas mehr Moleküle Sauerstoff bei Bildung je eines Moleküles Ammoniaks aufgenommen wurden. Es war dies der Fall vor der afrikanischen Küste im Westen von Alexandrien, wo, nach der Art der Vertheilung von Brom und Jod zu schliessen, hauptsächlich Algen, also Theile von pflanzlichem Plankton zur Ablagerung kommen, dann stellenweise vor der syrischen Küste und im Süden von Kleinasien, wo die an den Grund gelangenden organischen Schwimmkörperchen bereits eine weitgehende Oxydation erlitten haben können, nämlich dort, wo sie vorher von Strömungen durch die ausgedehnten Räume des östlichsten Theiles des Mittelmeerbeckens getragen worden sind. Am weitesten vorgeschritten war die Ammoniakabsplittung bewirkende Oxydation bei jenen organischen Substanzen, welche im Schlammwasser zwischen den Inseln Rhodus und Karpatho (zwischen Kreta und Kleinasien) enthalten waren. Hier kamen bei der künstlichen Oxydation 37 Moleküle Sauerstoff auf 1 Molekül Ammoniak. Hier und an einigen anderen Stellen des östlichen Mittelmeeres war von der im Meeresgrunde selbst verlaufenden Oxydation so viel Ammoniak geliefert worden, dass bei der künstlichen Oxydation weniger Ammoniak erhalten wurde, als schon fertig vorhanden war. Etwas Derartiges ist besonders dort möglich, wo in höherem Grade als sonst das den Grundschlamm durchsetzende Wasser stagnirt, in geringerem Masse von benachbarten Festlandsmassen angesaugt wird, und dort, wo nur wenige organische Schwimmkörperchen zur Ablagerung kommen. Zwischen Kreta und Kleinasien führen Strömungen aus dem östlichsten Theil des Mittelmeerbeckens in das Ägäische Meer, bringen stark oxydirte organische Schwimmkörperchen mit und verhindern wegen grösserer Geschwindigkeit der Wasserbewegung in den engen Meeresstrassen mehr oder weniger die Ablagerung dieser Schwimmkörperchen. Auch in der zwischen Cap Malea, der Südspitze von Griechenland und der Insel Cerigo gelegenen Meeresstrasse dürfte die im Vergleiche zum Sauerstoffverbrauch nur geringe Menge von Ammoniak, welche sich bei der Oxydation bildet, darauf zurückzuführen sein, dass die raschere Strömung einem reichlichen Zubodensenken organischer Schwimmkörperchen entgegenarbeitet.

Somit kamen im Schlammwasser des östlichen Mittelmeeres immer weniger als 30 Moleküle Sauerstoff auf 1 Molekül Ammoniak. In einer grossen Anzahl von Fällen waren weniger als 20 Moleküle Sauerstoff erforderlich, und zeigten sich auch hier wieder mit der Lage, beziehungsweise mit Strömungserscheinungen zusammenhängende Unterschiede, z. B. im jonisch-afrikanischen Meere, wo das Schlammwasser bei der Oxydation viel Ammoniak abgab, und wo das Minimum an dazu nothwendigem Sauerstoff, nämlich 4 Moleküle auf 1 Molekül Ammoniak, angetroffen wurde. Nur in der Mitte dieses rüdlichen Theilbeckens des östlichen Mittelmeeres, in einem Gebiet grösster, fast 4000 m betragender Tiefen und am nördlichen

Rand dieses Theilbeckens, und zwar in Fortsetzung der Westküste der Adria, wo die Strömung aus der Adria herausführt, kamen ungefähr 20 Moleküle Sauerstoff auf 1 Molekül Ammoniak.

Was das Rother Meer betrifft, so waren sowohl im Schlammwasser als auch im freibeweglichen Meerwasser ausnehmend kleine Sauerstoffmengen erforderlich, um bei der Oxydation der organischen Substanzen Ammoniak zu liefern.

Im Schlammwasser enthielten im Maximum 15 Moleküle Sauerstoff auf 1 Molekül Ammoniak, und zwar auf Station 27, also vor der gerade verlaufenden und steil zu grossen Tiefen abfallenden Westküste, nördlich von Ras Benas. Das entlang derselben gegen Süd-üdosten strömende Wasser enthält weniger neue organische Schwimmkörperchen, und deshalb solche, welche stark oxydirt sind, bevor sie sich auf dem Meeresgrund ablagern. Im nordwestlichen Theil der Hochsee, aus welchem diese Strömung kommt, wurden in den Schlammwässern der nahe bei einander liegenden Stationen 18 und 165 nur 12 und 6 Moleküle Sauerstoff auf 1 Molekül Ammoniak verlangt. Der erstere Werth, ein Zeichen, dass die organischen Substanzen vor ihrer Ablagerung oder an der betreffenden Stelle des Meeresgrundes bereits eine ziemlich weitgehende Oxydation erfahren haben, wurde am Schluss des Sommers, der letztere Werth, welcher die Möglichkeit einer bedeutend reichlicheren Ammoniakentwicklung anzeigt, gegen Ende des Winters gefunden. Das Analoge drückt sich im Golfe von Suez darin aus, dass im Herbst auf Station 11 10 und im Winter auf den Stationen 145 und 178 5 Moleküle Sauerstoff aufgenommen wurden, wenn ein Molekül Ammoniak entstand. Auf der nicht in der Mitte der Golfänge gelegenen Station 179 waren auch im Winter 9 Moleküle Sauerstoff erforderlich. Sowie hier, wegen des verschiedenen Grades der Zufuhr und wegen der verschiedenen Art der zugeführten organischen Substanzen, zur selben Jahreszeit an nahe bei einander gelegenen Stellen sehr verschiedene Sauerstoffmengen zur Bildung gleicher Ammoniakmengen beansprucht wurden, zeigte sich dies auch im Golfe von Akaba und in der Hochsee. In ersterem wurde der, an einer Stelle der Hochsee sich wiederholende Minimalbetrag von 4 Molekülen auf Station 230 angetroffen. Noch etwas weiter im Norden des Golfes ergaben sich auf Station 238 7 Moleküle, welche auch am Südende des Gebietes grösster Tiefen auf Station 207 nothwendig waren. Am unterseischen Abhang von Naubea waren es auf Station 232 9 Moleküle. Was endlich die beiden einander gegenüber liegenden Stationen 216 und 219 anbelangt, so wurden auf ersterer, welche vor der hier bis an das Meer herantretenden arabischen Gebirgsmasse gelegen ist, 8 Moleküle Sauerstoff in Anspruch genommen, auf letzterer hingegen, in deren Nähe zwischen dem Gebirge der Sinaihalbinsel und dem Strande ein Streifen Sandwüste liegt, nur 5 Moleküle, wohl deshalb, weil aus ihrem Grundschlamm der Oxydation unterlegene Theile der organischen Substanzen in Folge reichlicheren capillaren Aufstiegs von Wasser in benachbarte Festlandsmassen rascher weggeführt werden.

In der Hochsee wurde der Minimalbetrag von 4 Molekülen im Schlammwasser der ihrem nördlichen Theil angehörenden Station 149 gefunden; nahebei zeigte sich auf Station 153 der Betrag von 10 Molekülen. Vor der Ostküste des nördlichen Hochseethiles ergaben sich auf Station 155 6 und auf Station 160 8 Moleküle. Ebenfalls 8 Moleküle Sauerstoff waren in den Schlammwässern der Stationen 42, 72, 85 und 101, welche in dem südlichen, eine Meeresweiterung darstellenden Theil der Hochsee oder an seinen Grenzen liegen, erforderlich. In diesem Hochseethail ergaben von vier anderen Stellen des Grundes zwei einen etwas geringeren und zwei einen etwas grösseren Werth für den bei der Bildung von Ammoniak aus den organischen Substanzen des Schlammwassers aufnehmbaren Sauerstoff. Auf den Stationen 95 und 99, vor der arabischen Küste bei Jambou, beziehungsweise unmittelbar vor dem dortigen breiten Streifen von Korallenriffen kamen 6 und 7, auf der über dem sinken Abfall des nordwestlichen Theiles der Meeresweiterung gelegenen Station 57 11 und auf der über dem Abfall zum kleinen, mehr als 2000 m tiefen Gebiet gelegenen Station 46 14 Moleküle Sauerstoff auf ein Molekül Ammoniak.

Für das knapp über dem Meeresgrunde befindliche Wasser schwankten die Verhältnisszahlen fast genau innerhalb derselben Grenzen wie für das Schlammwasser, doch vertheilten sich die Werthe in einer Anzahl von Fällen in einer anderen Weise. Sowohl das Maximum als das Minimum der erforderlichen Sauerstoffmengen gehören dem südlichen Theil der Hochsee an. Es kamen nämlich im Bodenwasser der

Station 33 14 und in dem der Station 88 2 Moleküle Sauerstoff auf 1 Molekül Ammoniak. Der Umstand, dass viele Stellen des schlammigen Grundes der Hochsee mit Siemplatten bedeckt sind, also ein Eindringen des Belknap-Lotthes in den Schlamm und somit eine Gewinnung von Schlammwasser verhindern oder erschweren, brachte es mit sich, dass von diesen Stationen, sowie von zwei anderen in diesem Hochseethail befindlichen die auf das Schlammwasser bezüglichen Zahlen nicht vorliegen. Diese anderen sind die Stationen 75 und 79, für deren Bodenwässer 9 und 7 Moleküle Sauerstoff erforderlich waren, um bei der künstlichen Oxydation je 1 Molekül Ammoniak zu liefern. Von fünf Stellen dieses Hochseethailes konnten sowohl für Schlamm- als für Bodenwasser die entsprechenden Werthe gewonnen werden. In einem Falle, nämlich auf Station 57, stimmten die Zahlen vollkommen, in drei anderen Fällen fast vollkommen überein. In den Bodenwässern der Stationen 46, 72 und 90 wurden nämlich 11, 6 und 9 und in den Schlammwässern derselben Stationen 14, 8 und 7 Moleküle Sauerstoff verlangt. Auf der am Nordrande der Meereserweiterung gelegenen Station 101 war der Unterschied grösser, indem im Bodenwasser 12, im Schlammwasser 8 Moleküle auf 1 Molekül Ammoniak kamen. In der Hochsee wurde nur noch auf Station 27, vor der Westküste des nördlichen Theiles eine grössere Differenz zwischen Boden- und Schlammwasser, nämlich die zwischen den Zahlen 8 und 15, gefunden. Die bedeutende Länge der Strecken, welche die organischen Schwimmkörperchen, von Strömungen getragen, im Becken der Hochsee zurücklegen können, bevor sie auf dem Meeresgrunde abgelagert werden, bringt es offenbar mit sich, dass zumeist bereits im freibeweglichen Meerwasser die Oxydation zu einem gewissen Abschluss gelangt. Was sich dann im Schlammwasser von derart veränderten Körperchen auflöst, kann in Bezug auf das Verhältniss zwischen der bei weiterer Oxydation aufnehmbaren Sauerstoffmenge und der dabei abspaltbaren Ammoniakmenge mehr oder weniger mit dem übereinstimmen, was sich in dem knapp über dem Grunde befindlichen Wasser von den mitgeführten Schwimmkörperchen gelöst hat oder darin in ganz feiner Vertheilung suspendirt ist. Im nördlichen Theil der Hochsee war diese Übereinstimmung an zwei Stellen, nämlich unter den Stationen 18 und 165 vollkommen, an drei anderen Stellen fast vollkommen. Es kamen in den Bodenwässern der Stationen 149, 155 und 160 5, 8 und 7, in den Schlammwässern derselben Stationen 4, 6 und 8 Moleküle Sauerstoff auf ein Molekül Ammoniak. Auf den Stationen 22, 114, 160 und 203 wurde nur das knapp über dem Grunde befindliche Wasser untersucht. Die erhaltenen Werthe, nämlich 10, 5, 4 und 3 Moleküle Sauerstoff auf ein Molekül Ammoniak reihen sich an jene an, welche sich bei Schlammwässern auf benachbarten Stationen und zur selben Jahreszeit ergeben haben.

Auf Station 202, welche in der den Haupteingang zum Golfe von Suez bildenden Jubalstrasse liegt, wurden für das über dem 72 m tiefen Grunde befindliche Wasser, ebenso wie für das über dem 878 m tiefen der am Aussenrand dieser Strasse gelegenen Station 203 nur 3 Moleküle Sauerstoff als zur Bildung von 1 Molekül Ammoniak erforderlich gefunden. Im nördlichsten Theil des Golfes von Suez hatte die Untersuchung des Schlammwassers von Station 12 gezeigt, dass bei der Oxydation 11 Moleküle Sauerstoff auf 1 Molekül Ammoniak kamen. Im Bodenwasser derselben Station waren nur 4 Moleküle Sauerstoff notwendig. Auf den drei anderen Stationen des Golfes 145, 178 und 179 ergab das Bodenwasser immer 7 Moleküle Sauerstoff auf 1 Molekül Ammoniak. Auf den beiden ersten Stationen verlangte das Schlammwasser 5 und auf der zuletzt genannten 9 Moleküle Sauerstoff. Auf Station 178 erforderte das aus 20 m Tiefe geschöpfte Wasser 6 Moleküle.

Im Golfe von Akaba zeigte sich auf Station 207, am Südende des Gebietes der grössten Tiefen ein analoger Unterschied wie auf Station 12 des Golfes von Suez. Im Schlammwasser kamen 7, im Bodenwasser nur 3 Moleküle Sauerstoff auf 1 Molekül Ammoniak. Auf der am Nordende des Golfes gelegenen Station 238 herrschte Übereinstimmung zwischen Schlamm- und Bodenwasser, auf Station 230 erforderte das letztere 7 Moleküle, während das erstere nur 4 beansprucht hatte.

In 100 m Tiefe waren die Schwankungen in der Grösse der Verhältnisszahl zwischen dem von den organischen Substanzen beanspruchten Sauerstoff und dem abspaltbaren Ammoniak noch geringer. Auf Station 95 ergaben sich 11, auf den Stationen 30, 33, 42 und 104 9 Moleküle Sauerstoff auf 1 Molekül Ammoniak. Diese Stationen gehören der südlichen Hälfte der Hochsee an. In der nördlichen Hälfte waren

auf Station 169 7, auf Station 149 6, auf den Stationen 153 und 163 5, auf Station 163 4 und auf Station 203 3 Moleküle Sauerstoff zur Bildung von einem Molekül Ammoniak erforderlich. Auf Station 153 bedurfte das in 300 m Tiefe geschöpfte Wasser 7 Moleküle Sauerstoff. Im 100 m-Horizont des Golfes von Akaba kamen unter Station 238 7, unter Station 230 5 und unter Station 207 3 Moleküle Sauerstoff auf 1 Molekül Ammoniak.

Schliesslich sind noch einige Werthe für seichtes Wasser und für Oberflächenwasser anzuführen.

Auf Station 5, im Timahsee der Suezcanalstrecke, kamen in dem knapp über 7 m tiefem Grunde geschöpften Wasser 5, auf Station 7, in der Wasserausfüllung dieses Gebietes der ehemaligen Bitterseen, in eben solchem Wasser 6, auf Station 8, im südlichen Theil dieser Wasseransammlung, im Oberflächenwasser, sowie auch auf Station 10 im Oberflächenwasser der südlichsten Canalstrecke 3 Moleküle von organischen Substanzen beanspruchte Sauerstoffmoleküle auf 1 bei der Oxydation entstehendes Ammoniakmolekül.

Auf den am Nord- und Süden des Golfes von Suez gelegenen Stationen 12 und 16 ergab die Untersuchung des Oberflächenwassers 4 und 5 Moleküle Sauerstoff, während sich 8 Moleküle, als in Beziehung zu 1 Molekül Ammoniak stehend, sowohl im Oberflächenwasser der Station 26, im nördlichen Theil der Hochsee, als auch in dem der Station 40 vor Dschidda herausstellte.

In dem Gebiet der Korallenriffe vor Mersa Halaib schwankte diese Verhältnisszahl zwischen 6 und 15. 6 Moleküle Sauerstoff erforderten zur Bildung von 1 Molekül Ammoniak die Oberflächenwässer der Punkte 7 und 8, ersterer am Nordende der kleinen Sandinsel in der Nähe der nördlichen Einfahrt nach Mersa Halaib, 7 Moleküle das Oberflächenwasser des Punktes 7 im hafentartigen Wasserbecken zwischen Festlandsküste und dem Riffstreifen; 8 Moleküle ergaben sich für das nahebei auf Punkt 8 über 6 m tiefem Grunde geschöpfte Wasser, 9 Moleküle für das auf Punkt 7 über 10 m tiefem Grunde geschöpfte Wasser. 10 Moleküle stellten sich für fünf Stellen heraus, nämlich für die Wasseroberfläche der Punkte 2, 3, 4 und 5, sowie für das Wasser knapp über 21 m tiefem Grunde unter Punkt 1. 11 Moleküle Sauerstoff kamen auf 1 Molekül Ammoniak im Oberflächenwasser der südlichen (Boots-)Einfahrt nach Mersa Halaib und in der Vertiefung an der Westseite des südlichen Rifftheiles (3¹/₂ m). Auf Punkt 1 zwischen grossen Korallenstücken aus 2 m Tiefe geholt Wasser nahm bei der Oxydation der organischen Substanzen 15 Moleküle Sauerstoff auf und lieferte dabei 1 Molekül Ammoniak.

Salpetrige Säure.

Wie die Untersuchungen im östlichen Mittelmeer und im Marmara-Meer gelehrt haben, kann sich die unter Mitwirkung von Mikroorganismen in den finsternen Meerestiefen bei der Oxydation organischer Substanzen entstandene salpetrige Säure nur dort zu grösseren Mengen (als Salz gebunden) ansammeln, wo die Durchmischung der über einander befindlichen Wasserschichten gering ist. Denn in den obersten, dem Sonnenlichte zugänglichen Schichten verschwindet die salpetrige Säure wieder, ihren Stickstoff pflanzlichen Organismen zur neuen Bildung organischer Substanzen oder zur Bildung von Ammoniak abgebend. —

Auf der Strecke des Suezcanals wurden zehn Wasserproben auf salpetrige Säure geprüft. Es waren die Oberflächenwässer der Stationen 1, 4, 5, 6 und 10, die Wasser aus 5 m der Stationen 1 und 5 und die Bodenwässer der Stationen 1, 5 und 7 aus 9, 7 und 10 m Tiefe. Keine von diesen Proben gab, mit Schwefelsäure und Jodzinkstärkelösung versetzt und dann zwei Stunden lang stehen gelassen, eine Färbung. Auf Station 1, noch im Hafen von Port Said, und zwar in seinem südlichen, für Kriegsschiffe bestimmten Theil, zeigte sich zwischen dem Oberflächenwasser und dem Wasser aus 5 m Tiefe einerseits und dem Bodenwasser andererseits insofern ein ganz kleiner Unterschied, als bei der Prüfung der beiden ersten Proben auch bei sechsstündigem Stehenlassen keine Reaction eintrat, während die letztere Wasserprobe hiernach ein kaum merkliches Violett aufwies.

Etwas Ähnliches, nämlich, dass bei Gegenwart von grossen Mengen organischer Substanzen schon wenige Meter unter der Wasseroberfläche Spuren von (während der Nächte entstandener) salpetriger Säure vorhanden sind, ergab sich im Gebiete der Korallenriffe vor der afrikanischen Küste bei Mersa Halaib. Auf dem ganz nahe bei dem primitiven Molo und bei der kleinen ägyptischen Soldatenniederlassung gelegenen Punkt 3, knapp über 6 m tiefem Meeresgrund geschöpftes Wasser gab nach einer Stunde keine Färbung, nach zwei Stunden eine Spur Violett,¹ nach 24 Stunden ein ziemlich starkes Violett. Auf dem vom Strande entfernteren Punkt 7 gab das knapp über dem 40 m tiefen Grunde geschöpfte Wasser auch bei 24 stündigem Stehenlassen mit Jodzinkstärke und Schwefelsäure keine Reaction auf salpetrige Säure. In dem schmälern, südlichen Theil des hafenartigen Beckens zwischen der Festlandsküste und dem Koffstreifen enthielt das auf Punkt 1 knapp über 21 m tiefem Boden geschöpfte Wasser wieder eine, zwar kaum nachweisbare Menge von salpetriger Säure, indem sich bei der Prüfung darauf nach zwei Stunden keine Färbung, nach 24 Stunden eine Spur Violett eingestellt hat. Auf Punkt 2 zwischen Korallenstöcken aus 2 m Tiefe emporgeholtes Wasser zeigte auch nach 24 Stunden keine Reaction, während auf dem benachbarten Punkt 8, welcher mit dem tieferen Wasser im hafenartigen Becken in freier Verbindung steht, die knapp über dem 3 1/2 m tiefen Boden geschöpfte Probe nach zwei Stunden keine Färbung, nach 24 Stunden eine Spur Violett hervorrief.

Bei den, dem offenen Meere entnommenen Wasserproben wurde in den meisten Fällen nach Zugabe von Schwefelsäure und Jodzinkstärkelösung im Maximum nach zwei Stunden auf den eventuellen Eintritt einer Reaction geachtet. War keine eingetreten, so wurde auf den Nachweis vielleicht vorhandener, ganz geringer Spuren verzichtet, und der Gehalt des betreffenden Wassers an salpetriger Säure »gleich Null« bezeichnet.

Die geringe Tiefe des Golfes von Suez, d. h. der Umstand, dass das Sonnenlicht bis an seinen Grund reicht, bringt es mit sich, dass in diesem Golfe, mit Ausnahme des südlichsten Theiles, in welchen etwas Tiefenwasser aus der Hochsee durch die Jubalstrasse einzudringen vermag, keine oder fast keine salpetrige Säure angetroffen wurde. »Gleich Null« ergab sich im Oberflächenwasser der Stationen 12 und 16, ferner sowohl im Boden- als im Schlammwasser der Stationen 12 und 145 (bei 48 und 62 m Meerestiefe). Das auf Station 145 knapp über dem Boden geschöpfte Wasser wies, mit Schwefelsäure und Jodzinkstärkelösung versetzt, auch nach sechs Stunden keine Färbung auf, jedoch nach 24 Stunden ein ganz schwaches Violett, während das durch Filtriren des Belknap-Loth-Inhaltes gewonnene Schlammwasser nach 24 Stunden keine Reaction anzeigte. Auch dies stimmt mit den im östlichen Mittelmeere, selbst für bedeutend grössere Tiefen gemachten Erfahrungen, welche darauf hindeuten, dass wohl wegen Lichtabsorption auf der Decke des Meeresgrundes in der dem Loth zugänglichen obersten Schicht des Grundschlammes der Gehalt an salpetriger Säure hinter dem des knapp über dem Grunde befindlichen Wassers zurücksteht. Auf der im südlichsten Theil des Golfes gelegenen Station 202, in der Nähe des steilen unterseeischen Abhanges des Hochseebeckens wurde in 20 m Tiefe eine ganz geringe Menge von salpetriger Säure (gleich 1) nachgewiesen, knapp über dem 73 m tiefen Grunde eine etwas grössere Menge (gleich 5).

In der Hochsee ergab die Prüfung des Oberflächenwassers auf den Stationen 18, 26 und 40 Null. Aus 100 m Tiefe wurden 33 Wasserproben untersucht. Davon enthielten 19 Null, 18 die ganz geringe Menge 1 und eine die wenig grössere Menge 2. In der Verengung des Hochseebeckens auf der Höhe von Ras Benas, wo eine lebhaftere Durchmischung der über einander befindlichen Wasserschichten, ein stetes Hineingelangen von Wassermassen, welche in den obersten Schichten unter dem Einfluss des Sonnenlichtes, beziehungsweise von Pflanzen ihres eventuellen Gehaltes an salpetriger Säure beraubt worden, zu erwarten ist, wurde durchaus Null gefunden, nämlich unter den Stationen 30, 67, 69, 99, 101, 102, 104 und 119. Dementsprechend war auch im Süden der Meereserweiterung, in der Höhe von Dschida unter den Stationen 42 und 88 Null. In der Meereserweiterung wurden unter den gegen die Küsten

¹ Nach der in dem Abschnitt über die »Untersuchungsmethoden« besprochenen willkürlichen Scala war der Gehalt an salpetriger Säure gleich 1.

zu gelegenen Stationen 17, 73, 76, 79 und 95, infolge des Hindrängens von Theilen des Tiefenwassers, geringe Mengen von salpetriger Säure, allerdings nur gleich 1, angetroffen. In der Mitte der Meeresverweiterung, wo ein spiralförmiges Untertauchen von Theilen des Wassers der obersten Meeres-schichten und auch ein unmittelbarer Zufluss von gegen die Meeresränder emporgestiegenem Tiefenwasser zu erwarten ist, hat sich unter den Stationen 33, 71 und 72 Null, unter der Station 75 die Menge 1 ergeben. Im nördlichen Theil der Hochsee zeigte sich in 6 von 19 Fällen Null, und zwar unter den Stationen 18, 110, 114, 125, 129 und 253. Davon liegen 125, 129 und 253 auf jener Seite von Inseln, nämlich den der Ortschaft El Wedsch und dem Shern Habban vorgelagerten Inseln, den Bräderinseln, den Inseln Tiran und Scharf, auf welcher die Strömungsverhältnisse, beziehungsweise die von den Inseln wegfließenden tieferen Meerwassermassen ein Hinabsinken von Theilen des benachbarten Oberflächenwassers in Aussicht stellen. 110 und 114 liegen über oder neben der niedrigen Bodenschwellung, welche die beiden mehr als 1000 m tiefen Grundgebiete trennt, einer Meeresverengung ähnlich wirkt, d. h. eine raschere Durchmischung der Wasserschichten begünstigt. Bei 110, welche über einer unterseeischen Bucht liegt, kommt noch dazu, dass das vorüber strömende Tiefenwasser, ähnlich wie bei den Inseln, ansaugend auf Theile des benachbarten Oberflächenwassers, auch auf das der unterseeischen Bucht wirken kann. Das Fehlen der salpetrigen Säure unter 18 kann auf die Nähe der Insel Scheduan zurückgeführt werden, wenn man annimmt, dass, wenigstens zur Zeit der Probeentnahme, nämlich im Herbst, Wassermassen der Hochsee an der Südspitze der Sinai-Halbinsel vorbei gegen die Insel Scheduan und dann über die Stellen unter Station 18 hinaus fliessen. Im Winter, wo der Spiegel des Rothen Meeres steigt, wo bei Suez die Strandlinie eine um ca. 1 m grössere Höhe als im Sommer erreicht, konnte bei verstärktem Drängen des Hochsee-Tiefenwassers zu den Meeresrändern auf der neben 18 befindlichen Station 166 in 100 m Tiefe salpetrige Säure, wenn auch nur gleich 1, gefunden werden. Auf das Eindringen von etwas Tiefenwasser in den südlichsten Theil des Golfes von Suez wurde schon oben das Vorkommen von salpetriger Säure, gleich 5, über 73 m tiefem Grunde (1. April) zurückgeführt. Im Übrigen dürfte die ziemlich regelmässige Form eines kurzen Troges, welche dem Becken der Hochsee nördlich von den Bräderinseln eigen ist, die gleichmässige Beimischung von Tiefenwasser zum 100 m-Horizont bewirken, welche sich darin äussert, dass hier über die ganze Meeresbreite der Werth 1 gefunden wurde, nämlich unter den Stationen 131, 136, 149, 151, 155, 156, 160, 165 und 203. Nur unter Station 153, nahe dem Abhang des den Golf von Akaba von der Hochsee trennenden unterseeischen Höhenrückens zeigte sich ein etwas grösserer Gehalt an salpetriger Säure, gleich 2. Hierher kann Tiefenwasser reichlicher emporsteigen. In dem Hochseegebiet südlich von den Bräderinseln schieben sich über unregelmässig gestalteten Meeresgrund zwischen die schon angeführten Orte ohne salpetrige Säure unter den Stationen 113 und 128 Wassermassen mit einem Gehalt gleich 1 ein.

Während im 100 m-Horizont der Hochsee als Maximum der Werth 2, und zwar nur einmal gefunden wurde, ergab sich im 100 m-Horizont des Golfes von Akaba siebenmal der Werth 6. In Übereinstimmung mit der Hochsee wurde nur in dem regelmässig trogartig gestalteten Theil des Beckens, welcher auch hier der nördlichste Theil ist, eine gleichmässige Zumischung von Tiefenwasser bemerkt. Es war dies unter den Stationen 231, 236, 238 und 241, wo immer der Werth 6 gefunden wurde, der Fall. Unter der zuletzt genannten, neben dem Inselchen Faraün gelegenen Station war die Menge 5 in 10 m-Wasser und selbst noch im Oberflächenwasser vorhanden. Derselbe Werth 5 wurde in 100 m Tiefe auf den noch dem nördlichen, gleichmässig tiefen Golftheil angehörenden Stationen 227 und 230 erhalten. Etwas weiter südlich beginnt das über 1000 m tiefe Gebiet und damit auch ein Durcheinander verschiedener Gehalte an salpetriger Säure. Die Menge 6 wurde unter den Stationen 219, 221 und 225 angetroffen, welche, wie die Karte IV zeigt, nahe der Küste und etwas ausserhalb der 1000 m-Tiefenlinie gelegen sind, so dass zu ihnen Tiefenwasser reichlich emporgeschoben werden kann. Die Menge 5 ergab sich unter Station 220, die Menge 4 unter Station 209, die Menge 3 unter Station 215, die Menge 2 unter Station 232, die Menge 1 unter den Stationen 207 und 212. Hieran anschliessend sei noch bemerkt, dass auf Station 250 im Oberflächenwasser, sowie auch im 10 m-Wasser der Werth 2 und im Oberflächenwasser der Station 252 Null

gefunden wurde. — Das Emporkommen von Tiefenwasser an sich, noch mehr der Umstand, dass es an benachbarten Stellen fehlt und vorhanden ist, muss Störungen der Niveauläche des Meeres oder von Meerestheilen verursachen.

Was das knapp über dem Grunde befindliche Wasser betrifft, so wurden manchmal etwas grössere Werthe für den Gehalt an salpetriger Säure als im 100 *m*-Horizont vorgefunden, doch war oft, weil eben auch schon für die Verhältnisse des 100 *m*-Horizontes die Gestaltung des Meeresgrundes von Einfluss ist, eine Übereinstimmung wahrzunehmen.

In der Hochsee wurden 36 knapp über dem Grunde geschöpfte Wasserproben (Bodenwässer) auf salpetrige Säure geprüft. 16 davon gaben Null, 12 den Werth 1, sechs den Werth 2 und zwei den Werth 3; fast nirgends wurde also Wasser angetroffen, dass lange genug in den finsternen Meerestiefen verweilt hatte, um halbwegs bedeutende Mengen von salpetriger Säure entstehen zu lassen.

Ebenso wie im 100 *m* Horizont zeigte sich »Null« auch knapp über dem Grunde hauptsächlich in der Verengung der Hochsee und über unregelmässig geformtem Meeresgrunde, in welchen beiden Fällen die Durchmischung der Wasserschichten besonders rasch verläuft, so dass nach und nach alle Theile des Tiefenwassers in die oberste Schicht gelangen, daselbst ihres eventuellen Gehaltes an salpetriger Säure beraubt werden. Das strömformige Wegfliessen von derartigem Wasser oder das Untertauchen von Theilen des Wassers der obersten Schichten überhaupt bringt es mit sich, dass ab und zu auch in salpetrige Säure haltigen Gebieten des Bodenwassers auf Stellen gestossen wurde, welche frei von salpetriger Säure waren. Solche Stellen fanden sich unter den Stationen 27, 79, 88, 149 und 255. Der ungleichmässigen Gestaltung des Meeresgrundes, beziehungsweise der Nähe von Inseln, ist es zuzuschreiben, dass sich unter den Stationen 114, 125 und 129 Null ergab. In der Meeresverengung und in dem angrenzenden Theil der Meereserweiterung ergab sich Null in den Bodenwässern der Stationen 33, 67, 69, 70, 72, 90 und 101, sowie im 500 *m*-Wasser der Station 55. Der Umstand, dass an vielen dieser Stellen der Sauerstoffgehalt bedeutend verringert war, zeigt, um wie viel langsamer die Bildung der salpetrigen Säure erfolgt, als der Verbrauch des Sauerstoffes, ja dass beide als nahezu unabhängig von einander betrachtet werden können. Übrigens spricht Vieles dafür, dass von der Meeresoberfläche aus die Zerstörung der salpetrigen Säure in bedeutend grössere Tiefen hinabreicht, als die Sauerstoffproduction, beide wahrscheinlich zum Theil durch verschiedene Arten pflanzlicher Organismen veranlasst. In der Meereserweiterung wurde von salpetriger Säure die Menge 1 im Bodenwasser der Stationen 46, 47, 55, 57, 75, 85 und 95, die Menge 2 im Bodenwasser der Stationen 44, 73 und 76 gefunden. Im nördlichen Theil der Hochsee ergab sich der Werth 1 im Bodenwasser der Stationen 113, 120, 128, 131 und 166, sowie im 600 *m*-Wasser der Station 136 und im 400 *m*-Wasser der Station 151, der Werth 2 im Bodenwasser der Stationen 155, 156 und 203, der Werth 4 im 300 *m*-Wasser der Station 153, der Werth 5 im Bodenwasser der Stationen 160 und 165. Es ist wahrscheinlich, dass der etwas grössere Gehalt des Tiefenwassers im nördlichen Theil der Hochsee im Vergleich zu dem im Tiefenwasser des südlichen Theiles gefundenen mit dem Umstand zusammenhängt, dass der nördliche Theil im Winter untersucht wurde, wo weniger Sonnenlicht in die Meerestiefen gelangt.

Wenn im Golf von Akaba das Tiefenwasser einen noch bedeutenderen Gehalt an salpetriger Säure aufwies, so dürfte dies zum Theil daher rühren, dass die Untersuchung am Ende des Winters stattgefunden hat, während dessen die Bildung der salpetrigen Säure in reichlicherem Masse vor sich gegangen ist, zum Theil daher, dass wegen der grossen Tiefe und Schmalheit dieses Golfes die Hauptmasse des Wassers trotz seiner Bewegung längere Zeit in der Tiefe verweilt. Dabei ist wieder an die Unabhängigkeit von dem Betrage des Sauerstoffverbrauches, der hier wegen der geringeren Mengen von vorhandenen organischen Substanzen sehr hinter dem in den Tiefen der Hochsee beobachteten zurückbleibt, zu erinnern. Sowie im 100 *m*-Horizont wurde ein gleicher oder fast gleicher Gehalt an salpetriger Säure in dem durch seinen fast ebenen Boden ausgezeichneten nördlichen Theil des Golfes gefunden. Der Werth 6 ergab sich im Bodenwasser der Stationen 227, 230, 238 und 241, der Werth 7 im Bodenwasser der Station 236 und der Werth 5 in dem der Station 232. Auf den beiden, an der Nordgrenze des mehr als 1000 *m*

tiefen Gebietes gelegenen Stationen 221 und 225 wurde im Bodenwasser die Menge 7 angetroffen. In der südlichen Hälfte des Golfes waren die Schwankungen im Gehalte des Tiefenwassers an salpetriger Säure viel grösser. Die Menge 6 wurde im Bodenwasser der Station 219 gefunden, die Menge 5 im Bodenwasser der Stationen 207, 212 und 214, sowie im 500 m-Wasser der Station 220, die Menge 4 im Bodenwasser der Stationen 200, 213 und 215, die Menge 2 im Bodenwasser der Station 250, die Menge 1 im Bodenwasser der Stationen 216 und 252.

Was das, die oberste Schicht des Grundschlammes durchdringende, mit dem Belknap-Loth emporgelohnte und dann durch Filtration gewonnene Wasser betrifft, so stimmte in der Hochsee sein Gehalt an salpetriger Säure ganz oder fast ganz mit dem des jeweilig knapp über dem Meeresgrund befindlichen, freibeweglichen Wassers überein. Null wurde auf den Stationen 27, 72, 99, 101, 114, 119, 125, 129 und 131, die Menge 1 auf den Stationen 55, 57, 85, 95, 128, 149, 153, 160 und 165, die Menge 2 auf den Stationen 42, 46 und 153, die Menge 4 auf Station 18 gefunden. Dabei sei erwähnt, dass ebenso wie bei den Schlammwässern des östlichen Mittelmeeres die von Jodzinkstärkelösung und Schwefelsäure veranlasste Färbung, falls sie zu gering war, um ein deutliches Blau erkennen zu lassen, sehr oft (wegen Gegenwart organischer Substanzen) anstatt blaviolett rothviolett erschien.

In dem an salpetriger Säure relativ reichen Golf von Akaba wies das Schlammwasser nirgends den Wert Null auf, immer trat aber die im Schlammwasser enthaltene Menge hinter der im Wasser knapp über dem Grunde befindlichen zurück, derart, dass sie sich mit der im Schlammwasser der Hochsee gefundenen in Übereinstimmung zeigte. Es ergab sich nämlich die Menge 1 auf den Stationen 207, 212, 230 und 232, die Menge 2 auf den Stationen 200, 219 und 230, die Menge 4 auf Station 215. Es scheint sich hier mit dem Grundwasser ähnlich zu verhalten wie im östlichen Mittelmeere. Wenn über einem kleinen Gebiet des Grundes das freibewegliche Wasser einen anderen Gehalt an salpetriger Säure aufweist als über der Hauptfläche des Grundes, so kann wegen capillarer Weiterbewegung von Wasser gegen die Küsten hin doch auch für das Schlammwasser jenes kleinen Gebietes der Gehalt des Wassers im grossen Gebiet, hier der des Schlammwassers der benachbarten Hochsee massgebend sein. Im Golfe von Akaba und in der Hochsee würde, vorausgesetzt, dass das Bodenwasser grössere Mengen von salpetriger Säure enthält, nur dort der Gehalt des Schlammwassers daran etwas zunehmen, wo benachbartes Festland besonders wenig geeignet ist, ansaugend auf das Grundwasser und damit ausgleichend auf seinen Gehalt an salpetriger Säure zu wirken. Bei Station 215 treten die arabischen Felsberge bis an das Ufer des Golfes von Akaba heran. Station 18 liegt neben dem aus sehr dichtem Gestein bestehenden östlichen Theil der Insel Suedan.

Brom.

In Übereinstimmung mit dem Ocean sind im östlichen Mittelmeere durchschnittlich 0.07 g Brom auf 1000 g Wasser gefunden worden. Nur vor der afrikanischen Küste im Westen von den Nilmündungen, wo während des Sommers im vorbeiströmenden Wasser in den obersten Meeresschichten durch freischwimmende Algen eine bedeutende Wegnahme von Brom und Jod aus Salzen des Meerwassers stattfindet, hat sich eine starke Verringerung des Bromgehaltes gezeigt, indem im Minimum 0.036 g Brom in 1000 g Wasser vorhanden waren.

Im Herbst das diesmalige Arbeitsgebiet erreichend, wurde sofort das Wasser des Golfes von Suez und das der Hochsee auf eine etwa eingetretene Verringerung des Bromgehaltes geprüft.

Sowohl das Oberflächenwasser der Station 12, als auch das Oberflächen- und das 10m-Wasser der Station 18 enthielten in 1000 g 0.068 g Brom. Es hatte also keine auffallende Änderung des Bromgehaltes stattgefunden. Die überall vor sich gehende Wasserbewegung, beziehungsweise die durch dieselbe bewirkte Durchmischung der übereinander befindlichen Wassermassen ist eben einer reichlichen Entwicklung von brom- und jodaufspeichernden Algen hinderlich.

In Verfolgung eines in der III. Abhandlung (1893) über das östliche Mittelmeer ausgesprochenen Gedankens wurde das Wasser im Gebiete der Korallenriffe von Mersa Halaib auf seinen Bromgehalt

untersucht. Bei der den Korallenstöcken eigenthümlichen Symbiose von Pflanzen und Thieren¹ kann es geschehen, dass durch die Bildung von brom- und jodhaltigen organischen Verbindungen,² d. h. durch die Wegnahme von Brom und Jod aus Salzen des Meerwassers die Abscheidung von Metallen als Metalloxyde³ vielleicht unter Mitwirkung organischer Säuren oder als Carbonate von Calcium und Magnesium erleichtert wird. Eine Verringerung des Bromgehaltes wurde thatsächlich nachgewiesen. Als Minimum ergab sich ein Gehalt von 0.031 g Brom auf 1000 g Wasser unter Punkt λ zwischen grossen Korallenstöcken knapp über 2 m tiefem Grunde. 0.054 g enthielt das Oberflächenwasser des durch die kleine Sandinsel im Norden des Riffstreifens und durch Aussenriffe vor raschem Wasseraustausch mit dem offenen Meere geschützten Punktes β, 0.08 g sowohl das unter Punkt ι im nördlichen Theile des hafenartigen Beckens zwischen Festland und Korallenstreifen knapp über 21 m tiefem Grunde befindliche Wasser als auch das Oberflächenwasser des Punktes α am Südcnde des Riffstreifens. Dass der Betrag der Verringerung des Bromgehaltes vor der afrikanischen Küste im Westen von den Nilmündungen grösser war als im Riffgebiet vor Mersa Halaib ist verständlich. Dort sind es viele kleine Algen, welche das Wasser freischwimmend durchsetzen und so diesem grössere Mengen von Brom entziehen können, als es hier geschieht, wo das Wasser zumeist ungemein klar ist und sein Brom vorwiegend an die schleimigen Hüllen der Korallenstöcke abgeben mag.

Auf der Strecke des Suezcanales, wo ebenfalls durch Algen oder vielleicht durch Auslaugung früher (vor Eröffnung des Suezcanales) vorhanden gewesener Salzablagerungen der Bromgehalt des Wassers eine Änderung erfahren haben konnte, wurden zwei Stellen daraufhin untersucht. Auch hier musste auf die Bestimmung des quantitativ kaum verfolgbaren Jod verzichtet werden. Der das Gebiet der ehemaligen Bitterseen ausfüllenden Wasseransammlung wurde auf Station 6 eine Probe von der Oberfläche und auf Station 7 eine knapp über 10 m tiefem Grunde entnommen. Die erstere wies 0.097, die letztere 0.101 g Brom in 1000 g auf. Der Mehrbetrag, gewöhnlichem Meerwasser gegenüber, entspricht dem nicht sehr bedeutend vergrösserten Salzgehalt überhaupt. Bezieht man die gefundenen Brommengen auf die in denselben Wasserproben vorhandenen Chlormengen, so zeigt sich eine nahezu vollkommene Übereinstimmung mit dem Oceanwasser. Dieses enthält auf 100 Theile Chlor 0.34 Theile Brom, das Oberflächenwasser der Station 6 0.305 und das Bodenwasser der Station 7 0.31 Theile Brom.

Schwefelsäure und Chlor.

Wegen der raschen Ausführbarkeit der massanalytischen Bestimmung von Schwefelsäure und Chlor wurde eine grosse Zahl von Wasserproben auf ihren Gehalt an diesen beiden Salzbestandtheilen untersucht.

Beim gewöhnlichen Meerwasser, als welches trotz etwas grösserer spezifischer Gewichte auch die Wassermassen des Mittelländischen und Rothen Meeres betrachtet werden können, schwankt der Schwefelsäuregehalt nur unbedeutend um den Werth 3 g SO₄ in 1000 g Wasser. Als normaler Gehalt gelten 2.9—3.1 g SO₄.

In der Hochsee des Rothen Meeres wurden 2 Wasserproben von der Oberfläche, 8 Wasserproben aus Zwischentiefen, 14 knapp über dem Grunde geschöpfte Bodenwasser und 21 Schlammwasserproben geprüft. Fast alle ergaben obigen normalen Gehalt. Nur im Bodenwasser der Station 128 und in den Schlammwässern der Stationen 125 und 128 wurde etwas mehr, nämlich je 3.13 g und in den Schlammwässern der Stationen 46 und 57 etwas weniger, nämlich 2.82 und 2.77 g SO₄ in 1000 g gefunden. Die unbedeutende Vergrösserung des Schwefelsäuregehaltes könnte durch im Grundschlamm sich abspielende Diffusionsvorgänge, die unbedeutende Verringerung durch Abscheidung basischer Sulfate von Thonerde und Eisenoxyd im Grundschlamm bedingt sein.

¹ Brandt, Archiv für Physiologie. Jahrg. 1882, S. 147 etc.

² Darüber unter Anderem: Hundeshagen »Zeitschr. f. angewandte Chemie. Jahrg. 1895, S. 473, Drechsel »Z. f. Biolog. 33, 85 und die Arbeiten von Baumann.

³ Nach Forchhammer enthalten einzelne Korallenarten Silber, Blei und Kupfer.

Auf eine Aufspeicherung von Schwefel in Organismen kann die auch nur kleine Verringerung des Schwefelsäuregehaltes zurückgeführt werden, welche sich im Gebiete der Korallenriffe vor Mersa Halahb herausstellte. Von sieben Stellen wies dasselbst nur eine einen normalen Gehalt auf, nämlich 2.92 g SO_4 in 1000 g Wasser. In einem anderen Falle betrug der Gehalt 2.87 , in vier Fällen 2.77 und in einem Falle 2.72 g SO_4 .

Im Golfe von Akaba wurden zwei Wasserproben aus 100 m , fünf knapp über dem Grunde geschöpft und zehn Schlammwasserproben untersucht. Es hat sich immer ein normaler Gehalt, nur schwankend zwischen 2.92 und 3.08 g SO_4 , ergeben.

Im Golfe von Suez gelangten zwei Oberflächenwässer, ein 20 m -Wasser, drei Bodenwässer und vier Schlammwässer zur Untersuchung. Hier, wo der Salzgehalt ein wenig grösser ist, schwankte der Schwefelsäuregehalt zwischen den Werthen 2.97 und 3.13 .

Auf der Strecke des Suezcanales stammten acht Proben von der Wasseroberfläche, drei aus 5 m Tiefe und waren drei knapp über 7 bis 10 m tiefem Grunde geschöpft worden. Entsprechend dem wechselnden Salzgehalt, welcher im Hafen von Port Said (Station 1) durch Beimischung von Nilwasser stark verringert, sonst in sehr verschiedenem Maasse erhöht ist, schwankte auch der Schwefelsäuregehalt sehr bedeutend. Unter Station 1 nahm der Gehalt von der Oberfläche bis zum Grunde stark zu, ohne den für gewöhnliches Meerwasser charakteristischen zu erreichen. Das Oberflächenwasser enthielt nämlich in 1000 g 1.97 g , das 5 m -Wasser 2.30 g und das Boden- (9 m -) Wasser 2.78 g SO_4 . Im Oberflächenwasser der südlich vom Mensaleh-See gelegenen Station 4 waren schon 3.71 g , also mehr als in gewöhnlichem Meerwasser vorkommend. Im kleinen Timsah-See, in welchen durch den Süswasserkanal etwas Nilwasser gelangt, drückte sich die Zunahme des Salzgehaltes von der Oberfläche bis zum Grunde darin aus, dass das Oberflächenwasser 3.83 , das 5 m -Wasser 4.21 und das Boden- (7 m -) Wasser 4.26 g SO_4 aufwies. Im nördlichen breiten Theil der Wasseransammlung auf dem Gebiete der ehemaligen Bitterseen wurden noch etwas höhere und weniger schwankende Werthe erhalten. Die Untersuchung des Oberflächenwassers ergab 4.32 , die des 5 m -Wassers 4.26 und die des Boden- (10 m -) Wassers 4.47 g SO_4 . In dem südlichen, schmäleren Theil dieser Wasseransammlung war der Salzgehalt und damit der Schwefelsäuregehalt des Oberflächenwassers wegen Einflusses von neuem Wasser aus dem Rothen Meere wieder geringer. Auf Station 8 wurden nämlich 4.11 und auf Station 9 3.76 g SO_4 gefunden. In der südlichsten, ausgebaggerten Canalstrecke, bereits nahe bei Suez, war das Oberflächenwasser der Station 10 nur wenig reicher an Salz als gewöhnliches Meerwasser; es wies 3.28 g SO_4 in 1000 g auf.—

Um zu erfahren, ob durch, im Schlamm des Meeresgrundes vor sich gehende Diffusionserscheinungen das Verhältniss zwischen Chlor und Schwefelsäure auch nur annähernd eine so bedeutende Änderung erfahren hat, wie es sich im östlichen Mittelmeere in den einzelne Gebiete und Stellen des Grundschlammes membranartig bedeckenden, einige millimeter- bis centimeterdicken Steinkrusten herausgestellt hat,¹ wurde in allen Wasserproben nicht nur die Schwefelsäure, sondern auch das Chlor bestimmt.

Im gewöhnlichen Meerwasser kommen auf 100 Theile Chlor ungefähr 14 Theile SO_4 .

In der wässrigen Flüssigkeit eines aus dem Ägäischen Meere stammenden Steinkrustenstückes habe auf dem Meeresgrunde eine derartige Anhäufung von wasserlöslichen schwefelsauren Salzen stattgefunden, dass auf 100 Theile Chlor etwas mehr als 33 Theile SO_4 vorhanden waren.

Ebenso wenig als im Mittelmeer und im Marmara-Meer zeigte im Rothen Meer das den Grundschlamm selbst durchsetzende Wasser eine nennenswerthe Änderung des Verhältnisses zwischen Chlor und Schwefelsäure. In der dem Lothe zugänglichen obersten Schicht des Grundschlammes wird durch die capillare Weiterbewegung des Wassers in den tieferen Schichten des Schlammes und in den angrenzenden Festlandsmassen eine so rasche Erneuerung des Wassers bewirkt, dass es in Bezug auf die Salzbestandtheile den Charakter des gewöhnlichen Meerwassers nicht oder fast nicht verliert.

¹ Chemische Untersuchungen im östlichen Mittelmeer, IV. Abhandlung (Schlussbericht) 1904.

In den Schlammwässern, welche von 31, sich auf die Hochsee und die beiden Golfe von Suez und Akaba vertheilenden Stellen herührten, kamen auf 100 Theile Chlor $11.7-14.3$ Theile SO_4 . In den 23 knapp über dem Grunde geschöpften Wasserproben schwankte die Anzahl der SO_4 -Theile zwischen 12.5 und 14.1 . Bei den 15 der Meeresoberfläche oder den oberen Meeresschichten entnommenen Wasserproben bewegen sich die gefundenen Verhältnisszahlen zwischen 12.61 und 14.32 , bei den sieben Wasserproben aus dem Gebiet der Korallenriffe von Mersa Halaib, wo sich eine kleine Verringerung des Schwefelsäuregehaltes ergeben hat, zwischen 12.03 und 12.80 , endlich bei den 14 Wasserproben der Suezcanalstrecke zwischen 12.61 und 14.11 .

Weitere Bestandtheile der Wasserproben.

Weisen schon die zahlreichen an Bord zur Orientirung ausgeführten maassanalytischen Bestimmungen von Schwefelsäure und Chlor auf die in allen Theilen des Rothen Meeres und auch der Suezcanalstrecke, wegen des steten durch Strömungen veranlassten Wasseraustausches mit dem Ocean vorhandene, vollkommene oder fast vollkommene Constanz der Zusammensetzung des gelösten «Salzes» hin, so ergibt sich diese Constanz noch deutlicher aus einer Reihe gewichtsanalytischer Bestimmungen, welche in Wien vorgenommen wurden.

Die erhaltenen Werthe seien in der Art in Beziehung zum specifischen Gewicht der einzelnen Wasserproben gebracht, oder, besser gesagt, behufs Vergleichung von diesem specifischen Gewicht unabhängig gemacht, dass aus letzterem mittelst des für Meerwasser üblichen Coefficienten der Salzgehalt berechnet und dann als Theile von diesem die einzelnen Beträge ungegeben werden.

Um Procente Salzgehalt zu bekommen, wurde dns auf 17.5°C . reducirte specifische Gewicht um 1 verringert und mit dem Coefficienten 131 multiplicirt.

Nach Dittmar's Analysen der «Challenger» Proben kommen auf 100 Theile des so berechneten Salzes im Oceanwasser: 55.29 Theile Cl, 7.69 Theile SO_4 , 0.21 Theile CO_3 , 0.19 Theile Br, 30.59 Theile Na, 3.72 Theile Mg, 1.20 Theile Ca und 1.11 Theile K. 100 Theile Meeressalz liefern bei Abrauchen mit Schwefelsäure und Glühen 119.49 Theile Sulfatrückstand.

Für zehn Wasserproben aus dem Rothen Meere wurde, um zu erfahren, ob die gelösten Salze in demselben Mengenverhältniss zu einander stehen wie im Oceanwasser und im Mittelmeer, die möglichst genaue Bestimmung des Sulfatrückstandes, des Calcium und des Kalium gewählt. Es waren dies: das Oberflächenwasser der unmittelbar vor den Korallenriffen bei Dschidda an der arabischen Küste gelegenen Station 40, dann das Loth-(Schlamm-)Wasser der vor dem gegenüberliegenden afrikanischen Ufer befindlichen Station 44, dann die knapp über 40 und $3\frac{1}{2}$ m tiefem Grunde innerhalb des Korallenstreifens vor Mersa Halaib auf den Schöpfstellen γ und η genommenen Proben, dann das in der Hochseerweiterung auf Station 83 knapp über 2160 m tiefem Grunde geschöpfte Wasser, dann das 400 m-Wasser der im nordöstlichen Theil der Hochsee gelegenen Station 151, dann das Schlammwasser der im nördlichsten Theil des Golfes von Suez gelegenen Station 178, dann das 20 m-Wasser der näher der Mitte der Golfänge gelegenen Station 179, dann das Schlammwasser der im südlichen Theil des Golfes von Akaba gelegenen Station 209 und endlich das im nördlichsten Theil dieses Golfes auf Station 230 knapp über 874 m tiefem Grunde geschöpfte Wasser.

Für diese Wasserproben schwankt die Zahl, welche angibt, wie viele Theile Calcium in 100 Theilen des aus den specifischen Gewichten berechneten Gesamtsalzes enthalten sind, zwischen den Werthen 1.17 und 1.18 , diejenige, welche die Theile Kalium angibt, zwischen den Werthen 1.02 und 1.28 , und diejenige, welche angibt, wie viele Theile Sulfatrückstand von 100 Theilen Gesamtsalz geliefert werden, zwischen den Werthen 118.96 und 119.76 .

Der Reichthum des Rothen Meeres an Korallen und Muschelthieren kann also den Kalkgehalt seines Wassers nur ganz unbedeutend verringern. Im Übrigen haben sich ebenso oder fast ebenso unbedeutende Schwankungen der einzelnen Werthe im östlichen Mittelmeer bei Bestimmung der Fehlergrenzen durch wiederholtes Analysiren der gleichen Wasserproben und bei der Analyse von Wasserproben, welche in

wenigen Metern Entfernung von einander geschöpft worden waren, gezeigt. Sie fallen demnach innerhalb der Fehlergrenzen oder bewegen sich wenig ausserhalb derselben.

Von der Strecke des Suezcanales wurden vier Wasserproben gewichtsanalytisch auf den Salzgehalt und auf die Zusammensetzung des Salzes untersucht, und zwar wurden zur Beurtheilung der Constanz der Zusammensetzung nach Natrium und Magnesium herangezogen.

Die Proben waren: Das Oberflächenwasser der in der nördlichen ausgebaggerten Canalstrecke gelegenen Station 4, das im Timsahsee knapp über 7 Meter tiefem Grunde geschöpfte Wasser, das in der Wasseransammlung auf dem Gebiete der ehemaligen Bitterseen auf Station 7 knapp über 10 m tiefem Grunde geschöpfte Wasser und das ebenda, jedoch im südlichen Theil auf Station 9 geschöpfte Oberflächenwasser.

In den drei zuerst genannten Proben war der Calciumgehalt im Verhältniss zum Salzgehalt etwas grösser als im gewöhnlichen Meerwasser, anscheinend deshalb, weil die betreffenden Wassermassen Gelegenheit gehabt haben, auf dem Grunde einzelner Theile der Canalstrecke Gyps aufzulösen. In der Umgebung von Ismailia waren vor dem Jahre 1869 bei der Herstellung des Canalbettes grosse Blöcke von krystallisiertem Gyps aus dem Wüstenboden ausgehoben und Gypslagen blossgelegt worden. Bei der auf Station 7 in der Wasseransammlung auf dem Gebiete der ehemaligen Bitterseen vorgenommenen Lothung konnten Stückchen von Gypskrystallen heraufgeführt werden.

Wie gering die so veranlasste Zunahme des Calciumgehaltes ist, und dass im Übrigen die Zusammensetzung des im Wasser des Suezcanales gelösten Salzes mit der des gewöhnlichen Meersalzes übereinstimmt, ergibt sich daraus, dass, bezogen auf 100 Theile des aus den spezifischen Gewichten berechneten Gesamtsalzes 30.32—30.68 Theile Natrium, 3.60—3.81 Theile Magnesium, 1.19—1.26 Theile Calcium, 1.04—1.11 Theile Kalium und 119.00—119.32 Theile Sulfatrückstand kamen.

Was das Mengenverhältniss des über alle Meere sich so constant erhaltenden Salzgemisches zu Wasser (H_2O) betrifft, so sei daran erinnert,¹ dass der Salzgehalt im Ocean 3.5—3.7‰ beträgt, in den Polar-meeren bis 3.2 und an der Oberfläche noch mehr sich verringert. Im Mittelmeerwasser sind 3.8—3.9, im Wasser des Rothen Meeres 3—4.1‰ Salz. In der Wasserausfüllung des Gebietes der ehemaligen Bitterseen steigt der Salzgehalt bis 5.8‰.

Wie weit in Bezug auf den Hauptbestandtheil des Salzgemisches diese Salzgehalte von der Sättigung, von der Möglichkeit, dass am Grunde der Wasseransammlungen Salzabscheidung stattfindet, entfernt sind, ergibt sich daraus, dass eine gesättigte Chlornatriumlösung 20‰ Salz enthält.

Untersuchung der Grundproben.

Die Sauerstoffmengen, welche von den einzelnen, mit destillirtem Wasser gewaschenen, vorher eventuell gepulverten Grundproben vermöge ihres Gehaltes an organischen Substanzen und an Eisen-oxydulverbindungen aus einer kochenden alkalischen Lösung von übermangansaurem Kalium aufgenommen wurden, bewegten sich innerhalb derselben Grenzen, wie bei den Grundproben des östlichen Mittelmeeres.

Im östlichen Mittelmeere hatten sich die grössten Werthe bei Grundproben vom unterseeischen Abfall der syrischen Küste ergeben, wo von der Nordküste Afrikas her durch Strömungen fortgetragene organische Schwimmkörperchen beim Umbiegen dieser Strömungen gegen Norden abgelagert werden; im Rothen Meere zeigten sich die grössten Werthe im Golfe von Suez, welcher wegen seiner geringen Tiefe zu reichlicher Entwicklung des Pflanzen- und Thierlebens, sowie zur baldigen Ablagerung von schwimmenden, abgestorbenen Organismen besonders geeignet ist.

Die beiden Maximalwerthe betragen 0.8 g Sauerstoff auf 100 g der lufttrockenen Grundproben, des gelblich-grauen Schlammes der Station 12 und des grauen Schlammes der Station 145. Einen wenig kleineren Werth ergab die dritte aus dem Golfe von Suez stammende Grundprobe, der hellgraue Schlamm der Station 179, welcher 0.72‰ Sauerstoff aufnahm.

Die in der Hoehsee und im Golfe von Akaba gefundenen Beträge sind bedeutend geringer.

¹ Allgemeine Erdkunde. I. Theil, von J. Hann, S. 237 (1860).

Was die Hochsee betrifft, so schwankten die Werthe zwischen 0.08 und 0.4%, wobei im Mittel 0.25% aufgenommen wurden.

Grösser als dieser Mittelwerth war der Betrag der Sauerstoffaufnahme in folgenden Fällen, welche in der Reihenfolge des abnehmenden Sauerstoffverbrauches angeführt sind. Am meisten Sauerstoff nahm von Hochsee-Grundproben der hellgelbliche Schlamm der Station 27, südlich von Koseir auf, wo der unterseeische Abhang der afrikanischen Küste etwas vorspringt, sich der Strömung, welche von der Mündung des Golfes von Suez gegen Süden gerichtet ist, entgegenstellt, so dass mitgeführte organische Schwimmkörperchen zur Ablagerung gelangen können. Fast ebensoviel Sauerstoff vermochten die Proben lehmartigen Schlammes von den Stationen 42 und 46 aufzunehmen, beide an der Südgrenze der Meereserweiterung zwischen Ras Benas und Dschidda. Dann folgt der rüthlich-gelbliche Schlamm von Station 153, d. h. von dem Abhang der Hochsee und Golf von Akaba trennenden unterseeischen Bodenschwellung, hierauf der lehmartige Schlamm der Station 33, welche mehr in der Mitte der Meereserweiterung zwischen Ras Benas und Dschidda gelegen ist, endlich der lehmartige Schlamm der Station 101 an der Nordgrenze dieser Meereserweiterung.

Genau der Mittelwerth wurde bei der Untersuchung des lehmartigen Schlammes der Station 155 vor der Ostküste des nördlichen Hochseethalles erhalten. Weniger Sauerstoff als dem Mittelwerth entspricht, wurde aufgenommen von folgenden Grundproben: von einem leicht zerreiblichen Stücken, von einem rothbraunen Gesteinstücke und von einem hellbraunen Steinkrustenstücke der Station 86 im Gebiet der grössten Tiefen, vom dunkelrothbraunen Schlamm der benachbarten Station 85, von grauen Steinkrustenstücken der Stationen 33 und 86 und von hellbraunen Steinkrustenstücken der Station 86, welche letztere das Minimum verbrauchten. Es sind diese Ergebnisse in Übereinstimmung mit denen der Wasseruntersuchung. Insbesondere bei dem Gebiete der grössten Tiefen hat es sich ja gezeigt, dass durch die Wasserströmungen die organischen Schwimmkörperchen über den Meeresgrund hinweggeführt werden können.

Im Golfe von Akaba schwankte die aus übermangansaurem Kalium aufnehmbare Sauerstoffmenge zwischen 0.08 und 0.468%. Das Maximum ergab sich im bräunlichen Schlamm der Station 230, welche im nördlichen seichteren Theil des Golfes liegt. Von den einander gegenüber liegenden Stationen 219 und 216 lieferte die erstere, gegen welche die Strömung aus dem nördlichen Golftheil gerichtet ist, einen Schlamm, der 0.32% Sauerstoff aufnahm, die letztere, zu welcher die Strömung aus dem südlichen, zumeist mehr als 1000 m tiefen Golftheil führt, einen Schlamm, der das Minimum an Sauerstoff verbrauchte. Der rüthlich-bräunliche, aus 1077 m Tiefe stammende Schlamm der am Südende des Golfes gelegenen Station 207 verbrauchte wenig mehr Sauerstoff, nämlich 0.10%.

Auch die immer nur ganz kleinen Ammoniakmengen, welche in den mit destillirtem Wasser gewaschenen Grundproben fertig, d. h. in einer durch Kochen mit Wasser und Magnesia austreibbaren Form vorhanden waren, bewegten sich ungefähr innerhalb derselben Grenzen wie im östlichen Mittelmeer.

Im Golf von Suez zeigten alle drei untersuchten Stellen einen relativ grossen Gehalt daran, nämlich 0.0021—0.0033 g NH₃ auf 100 g lufttrockener Grundprobe. In der Hochsee ergaben von 14 Stellen nur 4 einen derart hohen Ammoniakgehalt, und zwar unter den Stationen 27 und 101 ein lehmartiger Schlamm und unter Station 80 sowohl das harte rothbraune Gestein als auch das leicht zerreibliche. In den übrigen Grundproben der Hochsee sank der Ammoniakgehalt von 0.0016% bis zu dem in den Steinkrustenstücken der Station 33 beobachteten Minimum von 0.0007%. Im Golfe von Akaba fand sich das Maximum von 0.0039% im Schlamm der Station 236. Die Schlammproben der Stationen 216 und 219, welche in Bezug auf ihren Gehalt an organischen Substanzen sehr verschieden waren, enthielten nahezu dieselben Ammoniakmengen, nämlich 0.0025 und 0.0026%. Der Schlamm der Station 207 gab beim Kochen mit Wasser und Magnesia 0.0019% Ammoniak. Je näher der Hochsee, um so geringer also der Ammoniakgehalt.

Was die Menge des bei der Oxydation mit übermangansaurem Kalium entstehenden Ammoniaks betrifft, so wurden nur im Golfe von Suez höhere Werthe als im östlichen Mittelmeer erhalten.

Die im Golfe von Suez bei den Schlammproben der Stationen 12, 145 und 179 gewonnenen Zahlen liegen zwischen 0.040 und 0.046%, wobei zu bemerken, dass das Maximum auf der in einer Verengung des Golfes gelegenen Station 145 angetroffen wurde.

In der Hochsee schwankten die Werthe viel mehr, und zwar zwischen 0.0026 und 0.0195 $\frac{1}{100}$. Bei sämmtlichen gesteinsartigen Grundproben waren die durch künstliche Oxydationen gewonnenen Ammoniakmengen geringer als der 0.0089 $\frac{1}{100}$ betragende Mittelwerth. Die in ihrem Innern vorhanden gewesenen organischen Substanzen sind eben schon auf dem Meeresgrunde der Oxydation verfallen, worauf je nach Consistenz und Wasserdurchlässigkeit der Gesteinsarten mehr oder weniger vom entstandenen Ammoniak in lose gebundener Form zurückgehalten worden. Von den Schlammproben gab nur die in der Hochseeverengung vor Ras Benas auf Station 101 mit dem Lothe aus 1200 *m* Tiefe erhaltene bei der Oxydation eine, allerdings nur unbedeutend geringere Ammoniakmenge, als dem Mittelwerthe entspricht. Während in dem seichten und kleinen Golf von Suez die Strömungsgeschwindigkeit in den Verengungen geringer zu sein scheint, insoferne sie die fortwährende Ablagerung organischer Körperchen gestattet, ist in der Verengung der Hochsee das Wasser in besonders rascher Bewegung begriffen, so dass die Ablagerung suspendirter Körperchen erschwert wird, und das, was sich doch abgelagert hat, dort eine weitgehende Oxydation erfährt.

Im Golfe von Akaba schwankten die bei der künstlichen Oxydation entstehenden Ammoniakmengen zwischen 0.0094 und 0.0175 $\frac{1}{100}$. Ersteren Werth zeigte der Schlamm, welcher am Südende des Golfes auf Station 207 aus 1077 *m* emporgeholt worden, letzteren der Schlamm der nahe dem Nordende des Golfes gelegenen Station 236. Von den beiden einander gegenüber liegenden Stationen 216 und 219 gab die vor der arabischen Küste, wo Gebirgsmassen bis an das Ufer heranreichen und weniger aufliegend auf das Wasser im angrenzenden Grundschlamm wirken, einen etwas höheren Werth, nämlich 0.0113 gegen 0.0103 $\frac{1}{100}$. Wegen des geringeren Durchsickerns von Meerwasser konnte eben die Oxydation an Ort und Stelle weniger weit vorsehreiten. Hier stehen die Mengen des durch künstliche Oxydation abspaltbaren Ammoniak in umgekehrtem, bei den aus den beiden Golfenden stammenden Schlammproben dagegen in geradem Verhältniss zu den Mengen abgelagerter organischer Substanzen, beurtheilt nach der Aufnahmefähigkeit für Sauerstoff.

Was das Mengenverhältniss zwischen den beiden Ammoniakarten anbelangt, so ergaben die vier verschiedenen Gesteinsarten, welche auf Station 80 mit dem Schleppnetz heraufgeführt und analysirt worden sind, bei der Oxydation mit übermangansaurem Kalium nur das Doppelte von jenem Ammoniak, welches beim blossen Kochen mit Wasser und Magnesia überdestillirte. Die auf den Stationen 33 und 88 erhaltenen Stückchen von Steinkrustenplatten, welche letztere im Rothen Meer nie eine grosse Ausdehnung besitzen, lieferten das Vierfache. Von anderen Grundproben der Hochsee gab der Schlamm der in der Meeresverengung vor Ras Benas gelegenen Station 101 nur das Dreifache. Die Schlammproben der an der Südgrenze der Meereserweiterung gelegenen Stationen 42 und 46, unter welchen Stationen der Meeresgrund sehr unregelmässig gestaltet ist und dadurch Gelegenheit zur andauernden Ablagerung frischer organischer Schwimmkörperchen bietet, lieferten das Zwölf- und Vierzehnfache, dagegen der Schlamm der mehr gegen die Mitte der Meereserweiterung und über allmählig ansteigendem Grunde gelegenen Station 33, sowie der Schlamm aus 2160 *m* der neben 86 gelegenen Station 85 nur das Neunfache. Im nördlichen Theil der Hochsee lieferte die Schlammprobe der Station 27 das Fünffache, die der Station 155 das Siebenfache, die der Station 153 das Neunfache.

Im Golfe von Akaba gaben die Schlammproben 4—5, im Golfe von Suez hingegen 12—22 mal so viel Ammoniak bei Oxydation als bei der Destillation mit Wasser und Magnesia.

Um beurtheilen zu können, inwiefern das bei Oxydation entstehende Ammoniak im Grundschlamm oder in daran anschliessenden Festlandsmassen, in welche es auf dem Wege capillaren Vordringens von Meerwasser gelangen kann, entweder unmittelbar Fällungen bewirken könnte oder, nachdem es vorher als Ammoniumsals bei Abwesenheit von freiem Sauerstoff lösend auf Eisen- und Manganoxydul gewirkt hat, ist es lehrreich zu sehen, dass die verschiedenen Grundproben zur Bildung einer bestimmten Ammoniakmenge sehr verschiedene Sauerstoffmengen beanspruchen. In den Steinen, die ein Product derartiger Fällungen darstellen, sind die geringen darin enthaltenen Mengen organischer Substanzen nicht im Stande, bei Oxydation viel Ammoniak zu bilden.

Von den vier Gesteinsarten, welche das Schleppnetz auf Station 86 aus 2190 *m* Tiefe emporgeholt hatte, sind 17–25 Moleküle Sauerstoff aufgenommen worden, bevor sich ein Molekül Ammoniak abgespalten hat. Der auf der Nachbarstation 85 erhaltene Schlamm lieferte dagegen sehr leicht Ammoniak. Um ein Molekül davon zu bekommen, brauchten nur 9 Moleküle Sauerstoff, das Minimum der Hochsee, zugeführt zu werden. Dies begünstigt die gerade in diesem Gebiete der grössten Tiefen am deutlichsten ausgeprägte Anhäufung von Eisen und Mangan in der Decke des Grundschlammes, wo die ammoniakalische Lösung ihrer Oxydulverbindungen mit Theilen des sauerstoffreichen freibeweglichen Meerwassers zusammentreffen kann.

Ein gleicher Unterschied zwischen Stein und Schlamm zeigte sich auf Station 33. Von ersterem wurden 32, von letzterem nur 14 Moleküle Sauerstoff aufgenommen, wenn bei der Oxydation der organischen Substanzen ein Molekül Ammoniak entstand. Hier hat sich auf dem Meeresgrund, wie immer bei Steinkrusten, die oberste an das freibewegliche Meerwasser grenzende Fläche mit einem dünnen Belag von schwarzem Mangandioxyd überzogen.

Bei der Oxydation des Steinkrustenpulvers der Station 88 kamen 21 Moleküle Sauerstoff auf ein Molekül Ammoniak, während die unter den gleichfalls an der Südgrenze der Meereserweiterung gelegenen Stationen 42 und 46 angetroffenen Schlammmassen nur 10 und 13 Moleküle Sauerstoff zur Bildung von einem Molekül Ammoniak erforderten.

Doch wurden auch Schlammmassen gefunden, welche im Verhältniss zum Sauerstoffverbrauch nur wenig Ammoniak lieferten. So kamen auf der in der Meeresverengung vor Ras Benas gelegenen Station 101, sowie auch auf der vor der afrikanischen Küste südlich von Koseir gelegenen Station 27 20 Moleküle Sauerstoff auf ein Molekül Ammoniak. Auf den im nordöstlichen Theil der Hochsee gelegenen Stationen 153 und 155 waren 14 und 16 Moleküle Sauerstoff erforderlich.

Noch grössere Differenzen als die zuletzt angeführten wiesen die Schlammproben aus dem Golfe von Akaba auf. Unter den Stationen 207 und 216, wo voraussichtlich weniger Meerwasser zum capillaren Eindringen in den Grundschlamm veranlasst wird, wären 6 und 4, unter den Stationen 219 und 236, wo anscheinend durch das rascher eindringende Meerwasser der stickstoffhieltige Theil der organischen Substanzen bereits in reichlicherem Maasse oxydirt worden ist, wären 17 und 15 Moleküle Sauerstoff nothwendig, um bei fortschreitender Oxydation ein Molekül Ammoniak zu liefern.

Der Schlamm aus dem Golf von Suez nahm bei der Bildung von einem Molekül Ammoniak 9 bis 11 Moleküle Sauerstoff auf, wäre also darnach ebenso oder fast ebenso befähigt, Fällungen zu bewirken und besonders zur Anhäufung von Eisen und Mangan beizutragen, wie der Schlamm unter Station 85, wo unmittelbar daneben wirklich eisen- und manganreiche Steinplatten angetroffen worden sind. Ein Unterschied besteht jedoch darin, dass im Golf von Suez und in geringerem Maasse auch im Golfe von Akaba und in Theilen der Hochsee wegen der Nähe wasseraufsaugender Festlandsmassen das Meerwasser zu rasch in den Meeresgrund eindringen kann, als dass eine durch Auflösung von Theilen des Grundschlammes entstandene Lösung bis an die Oberfläche des Grundschlammes hinaufdiffundiren würde, wo dann das frei bewegliche Meerwasser Fällungen veranlassen könnte. Thatsächlich wurden im Golfe von Suez nirgends, im Golfe von Akaba nur unter Station 207, am Südende des Golfes, den Grundschlamm bedeckende Steinkrusten gefunden. —

Den mit destillirtem Wasser gewaschenen, vorher eventuell gepulverten Grundproben haften sehr verschiedene Mengen von Wasser an. Der durch die Wasserabgabe beim Liegen über Chlorcalcium veranlasste Gewichtsverlust betrug, auf die lufttrockenen Rückstände berechnet, 33.90–130.12%.

Das Maximum wurde bei dem dunkelrothbraunen Schlamm der Station 85 erhalten. Diese Fähigkeit des Schlammes, mehr als sein eigenes Gewicht an Wasser zurückzuhalten, wird auf dem 2160 *m* tiefen Meeresgrund Wechselwirkungen zwischen den festen Schlammtheilchen und dem Meerwasser, z. B. theilweise Lösungen und spätere Wiederabscheidungen gefördert haben.

Ebenfalls mehr als zur Hälfte aus Wasser bestanden die Schlammproben des Golfes von Suez und diejenige der Station 42. Es waren also auch hier auf dem Meeresgrunde Schlammmassen, deren Reichthum

an Meerwasser den Eintritt chemischer, von Lösung oder Fällung begleiteter oder sie zur Folge habender Reactionen erleichtert. Es zeigten sich jedoch hier auf benachbarten Festland auffallendere Ergebnisse solcher Reactionen, nämlich Gyps, Braunstein- und Eisenoxydvorkommen als auf dem Meeresgrund.

Es waren übrigens auch alle anderen Schlammproben stark von Meerwasser durchtränkt. Das beim Waschen, Filtriren und Ablaufenlassen zurückgehaltene Wasser betrug 90—100% der lufttrockenen Proben für die gegen die Mitte, beziehungsweise an der Südgrenze der Hochseerweiterung gelegenen Stationen 33 und 46, sowie für die Stationen des Golfes von Akaba 219 und 230, 80—90% für die in der Hochseeverengung gelegene Station 101, für die dem nördöstlichen Theil der Hochsee angehörenden Stationen 153 und 155, sowie für die Stationen des Golfes von Akaba 207 und 216. Von den untersuchten Schlammproben war am wenigsten von Wasser durchtränkt die der Station 27 vom Küstenabfall südlich von Koseir. Diese konnte bloß 73·8% zurückhalten.

Von den gesteinsartigen Grundproben war die am leichtesten zerreibliche, nämlich das innen fast weisse, aussen graue Stückchen von Station 86 am meisten befähigt, Wasser, und zwar 64·5% der lufttrockenen Substanz zurückzuhalten. Alle compacten, einen ausgesprochenen Gesteins- oder erzähnlichen Charakter tragenden Proben konnten, mit Wasser verrieben und auf ein Filter gebracht, nur 34—50% Wasser festhalten. In nicht gepulvertem Zustande ist die anhaftende Wassermenge noch viel geringer. Mit wenig Meerwasser in Berührung, sind also Gesteinsmassen auf dem Meeresgrunde in viel geringerem Grade der Gefahr einer theilweisen Lösung ausgesetzt. Der Umstand, dass sie den Grundschlamm membranartig bedecken, kann vielmehr Diffusionsvorgänge und damit die Bildung von Niederschlägen in und auf den Platten veranlassen, so dass die Platten dichter und mächtiger werden müssen.¹

An Theilen der lufttrockenen Grundproben wurde die Menge des erst beim Erhitzen auf 100° weggehenden Wassers festgestellt. Von den Pulvern der sechs gesteinsartigen Proben erlitten die von drei Steinkrustenstücken keinen oder so gut wie keinen Gewichtsverlust. Bei zweien, nämlich bei einem Krustenstein und bei dem leicht zerreiblichen, innen fast weissen Stückchen der Station 86 trat die geringe Gewichtsabnahme von 1·37 und 2·15% ein. Die an Eisenoxyd ungemein reichen, rothbraunen, platten Gesteinsstücke der Station 86 enthielten, nachdem sie unter Wasser zerrieben, auf's Filter gebracht und bei gewöhnlicher Temperatur über Chlorealcium getrocknet worden, noch 7·03% Wasser, welche erst bei 100° entwichen.

Von den sieben Schlammproben enthielt am meisten erst bei 100° weggehendes Wasser, nämlich 6·25% die der Station 12. Bei der Schlammprobe der anderen Station des Golfes von Suez 145 waren es nur 2·04%. Fast eben solche Mengen, nämlich 1·81% ergaben sich bei dem dunkelrothbraunen Schlamm der Station 85. Von den übrigen Schlammproben enthielten drei 1·07—1·28% erst bei 100° weggehendes Wasser; eine erlitt, nachdem sie lufttrocken geworden, beim Erhitzen auf 100° keinen Gewichtsverlust.—

Sehr verschieden war in den einzelnen Grundproben der Gehalt an durch kochende Salzsäure nicht zerlegbaren Silicaten. Von den darauf untersuchten Grundproben enthielten am meisten die beiden Schlammproben aus dem Golfe von Suez, indem 22·12 und 16·01% von ihnen in Salzsäure und kochender Sodalösung unlöslich waren. Entweder haben sich auf dem Meeresgrunde grössere Mengen von gegen Säuren bestandigen Silicaten gebildet, oder es waren solche schon vorhanden gewesen und durch die Entfernung in Meerwasser leichter löslicher Theile zur Anhäufung gebracht worden, oder es haben Wüstenwinde Staub von den allerdings ziemlich weit entfernten Umgebungsgebirgen in den Golf hineingetragen.

Etwas weniger in Salzsäure und Sodalösung Unlösliches, nämlich 14%, gab die Schlammprobe der vor der afrikanischen Küste südlich von Koseir gelegenen Station 27. 12·09% fanden sich im dunkelrothbraunen Schlamm der Station 85, 11·55% im Schlamm der Station des Golfes von Akaba 207, 8·25% im Schlamm der fast in der Mitte der Hochseerweiterung gelegenen Station 33, endlich 6·91% im Schlamm der dem nördlichen Theil der Hochsee angehörenden Station 155.

¹ Siehe III. Abhandlung über das östliche Mittelmeer (1893).

Von den gesteinsartigen Grundproben waren geringere Mengen in Salzsäure und in Sodälösung unlöslich. 0·25%₀ ergaben sich in den platten rothbraunen Gesteinsstücken der Station 86, 4·30%₀ in dem leicht zerreiblichen, innen fast weissen Stückchen derselben Station, 3·50%₀ in den Steinkrustenstücken der Station 88, 2·07%₀ in den hellbraunen Steinkrustenstücken der Station 86, 2%₀ in den Steinkrustenstücken der Station 33, endlich 1%₀ in dem aussen dunkelgrauen, innen braunen Steinstückchen der Station 86.—

Je kleiner in diesen 13 Grundproben der in Salzsäure und Sodälösung unlösliche Theil war, um so grösser war der Gehalt an Carbonaten. Bei den beiden an Eisenoxyd, beziehungsweise an Eisenoxydulsilicat reichsten Grundproben, nämlich bei den rothbraunen platten Gesteinsstücken und bei dem leicht zerreiblichen, innen fast weissen, aussen eine blaugraue Zone aufweisenden Stückchen der Station 86 war dies auch, aber nur in geringem Maasse, der Fall. Bei ihnen betrug das in Salzsäure und Sodälösung Unlösliche nur 0·25%₀ und die Menge der nach dem Salzsäureverbrauch geschätzten Kohlensäure auch nur 11·20, beziehungsweise 14·86%₀.

Im Ganzen wurde der Kohlensäuregehalt von 21 Grundproben festgestellt. Er schwankte zwischen 11·20 und 44·16%₀.

Das Maximum zeigte sich in dem braunen, aussen dunkelgrauen Steinstückchen der Station 86. Mehr als 40%₀ Kohlensäure wiesen noch auf: die vierte Grundprobe vom Schleppnetzzug auf Station 86, d. h. die hellbraunen Steinkrustenstücke von dort, und die Steinkrustenstücke der Station 33. Mehr als 30%₀ ergaben, nach abnehmendem Kohlensäuregehalt geordnet: die Steinkrustenstücke der Station 88, der lehmartige Schlamm der Station 33, der dunkelrothbraune der Station 85, sowie die lehmartigen Schlammproben der Stationen 101, 153, 27, 155 und 207. Noch weniger Kohlensäure, aber immerhin mehr als 20%₀ enthielten, ebenso geordnet: die lehmartigen Schlammproben der Stationen 46, 42, 219, sowie die Schlammproben der drei im Golfe von Suez gelegenen Stationen 179, 12 und 145. Weniger als 20%₀ Kohlensäure enthielten die beiden schon oben erwähnten, eine Ausnahmestellung einnehmenden, mehr erz- als gesteinsartigen Grundproben der Station 86 und die Schlammproben der Stationen 216 und 236. —

Für 13 Grundproben wurden die Kalk-, Magnesia-, Thonerde-, Eisen- und Manganmengen bestimmt, welche beim Kochen mit Salzsäure in Lösung gegangen waren.

Was den Kalk betrifft, so war seine Menge fast immer der Kohlensäure entsprechend, nämlich etwas grösser als die Menge dieser. Der dunkelrothbraune Schlamm der Station 85 und noch mehr die rothbraunen platten Gesteinsstücke der Station 86 verbrauchten zwar bei der Austreibung der Kohlensäure auffallend grosse Mengen von Salzsäure, doch ist dies auf ihren bedeutenden Eisenoxydgehalt zurückzuführen.

Nur diese rothbraunen platten Gesteinsstücke und das leicht zerreibliche, an Kieselsäure reiche und eine Zone von kiesel-saurem Eisenoxydul enthaltende Stückchen derselben Station 86 waren eigenartig zusammengesetzt. Sonst bestehen ebenso wie im östlichen Mittelmeer die den Schlamm stellenweise bedeckenden Steinkrusten und die durch theilweise Auflösung von solchen entstandenen losen Steinstücke im Wesentlichen aus kohlensau-rem Kalk, der über 80%₀ von ihnen ausmacht. Die feinsten, durch Schlamm mit Wasser von kleinen Muscheln etc. getrennten Theile der schlammigen Grundproben enthalten immer weniger kohlensau-ren Kalk, als die den Meeresgrund membranartig bedeckenden, die Fällung von Mineralbestandtheilen, welche im Meerwasser und im Wasser des Grundschlammes gelöst sind, besonders begünstigenden Steinkrusten. Doch bestehen auch die feinsten Theile der Schlammproben zumeist mehr als zur Hälfte aus kohlensau-rem Kalk. —

Die Steinkrusten enthielten mehr Magnesia in Form von Carbonat und von in Salzsäure löslichem Silicat als die Schlammproben. In ersteren waren es 2·82—4, in letzteren 0·33—2·14%₀. In den rothbraunen, platten Gesteinsstücken der Station 86 waren nur 0·84, dagegen in dem leicht zerreiblichen, innen weissen Stückchen derselben Station 3·87%₀. In letzterem Fall war die Magnesia zumeist als Silicat vorhanden. —

Die Steinkrusten sind im Allgemeinen ärmer an Thon als die feinsten, von den Muscheln getrennten Theile der schlammartigen Grundproben. Von den vier zumeist aus kohlensau-rem Kalk bestehenden Stein-

krustenproben enthielten drei nur $0.63-0.60\%$ in kochender starker Salzsäure lösliche Thonerde, eine, die der Station 88, unter entsprechender Verringerung der Menge des kohlensauren Kalkes, 2.16% , 0.06% hingegen waren in den rothbraunen platten Gesteinsstücken der Station 86, 8.82% in dem leicht zerbrechlichen Stückchen derselben Station.

Auch bei den Schlammproben stand der Thongehalt zumeist im umgekehrten Verhältniss zum Gehalt an kohlensaurem Kalk. Die lehmartigen Schlammproben der Golfe von Suez und Akaba enthielten $3.33-5.07$, die lehmartigen Schlammproben der Hochsee nur $1.78-2.97\%$ in Salzsäure lösliches Al_2O_3 . Der dunkelrothbraune Schlamm der Station 85 im kleinen Gebiet der mehr als 2000 m betragenden Tiefen zeichnete sich unter den Hochseeproben durch 3.92% aus. —

Eisen und Mangan, deren Oxydule in Lösungen von Ammoniumsätzen, welche im Meeresgrund vorkommen, löslich sind, treten in sehr wechselnden Mengen auf. Sowohl in Bezug auf diese Löslichkeit als auch in Bezug auf die Schnelligkeit der Wiederabscheidung in Form von Oxyd, beziehungsweise von Superoxyd verhalten sich Eisen und Mangan verschieden, wesshalb wohl das Verhältniss zwischen ihnen ebenfalls starken Schwankungen unterworfen ist.

Die Menge des in Salzsäure löslichen Eisens betrug, durchaus als Oxyd berechnet, $0.30-20.64\%$.

In den hellfarbigen und grauen Schlammproben entsprach der Eisengehalt $0.30-1.09\%$ Fe_2O_3 in dem dunkelrothbraunen Schlamm der Station 85 aus dem mehr als 2000 m tiefen Gebiet entsprach er 3.32% . In diesem, in der Mitte der Hochseebreite gelegenen Gebiet der grössten Tiefen dürfte das den Schlamm durchsetzende Wasser von Festlandsmassen in geringerem Grade capillar angesaugt werden als in den seichteren und den Küsten näheren Gebieten des Meeresgrundes. Die dadurch verursachte, wenn auch noch so unbedeutende Anreicherung der Zersetzungsproducte organischer Substanzen, vor Allem der Kohlensäure und des Ammoniak könnte zu besonders auffallenden Lösungs- und Fällungserscheinungen führen. Wegen des Umstandes, dass hier die sich sonst über weite Strecken des Meeresgrundes capillar vorwärts bewegendes Wassermengen mehr oder weniger fehlen würden, könnten ferner auf einer kleinen Strecke, wie es die vom Schleppnetz auf dem Meeresgrunde zurückgelegte ist, sehr verschiedene Neubildungen oder Lösungsrückstände neben einander entstehen und erhalten bleiben. Der Eisengehalt des leicht zerbrechlichen Stückes der Station 86 war gleich 8.30 , der der platten, rothbraunen Gesteinsstücke gleich 20.64% Fe_2O_3 . Die beiden gleichfalls zu Station 86 gehörenden Stücke von zumeist aus kohlensaurem Kalk bestehenden Steinkrusten zeigten im Eisengehalt einen erheblichen Unterschied, indem sie 0.60 und 1.51% Fe_2O_3 aufwiesen, während Stücke ebensolcher Steinkrusten von den Stationen 33 und 88 mit einander im Eisengehalt (1.1% Fe_2O_3) übereinstimmten.

Die Menge des in Salzsäure löslichen Mangan betrug, durchaus auf Mangnoxydul berechnet, 0.004 bis 0.17% . Dabei ist jedoch zu bemerken, dass in dem papierdünnen, grauen bis schwarzen, festhaftenden Belag, welchen die den Grundschlamm bedeckenden Steinkrustenplatten tragen und welcher bei Auflösung der Steinkrusten (auf dem Meeresgrunde) unter mannigfacher Formänderung erhalten bleibt, eine noch bedeutendere Anhäufung von Mangan, und zwar von braunsteinartigem Superoxyd vorhanden ist.

Bei den hellfarbigen und grauen Schlammproben schwankte der Mangangehalt zwischen 0.004 und 0.017% MnO. Der dunkelrothbraune Schlamm der Station 85 gab 0.082% MnO.

In den zumeist aus kohlensaurem Kalk bestehenden Krustensteinen der Stationen 33 und 88 betrug der Mangangehalt 0.008 und 0.003% MnO.

Die vier steinigen Proben vom Schleppnetz der Station 86 wiesen sehr verschiedene Mangangehalte auf. Die platten rothbraunen Gesteinsstücke ergaben 0.005 , das leicht zerbrechliche, innen fast weisse Stück 0.024 , das hellbraune Krustenstück 0.067 und das dunkelgraue, durch die ganze Masse braune Gesteinsstück, vielleicht der Rest eines auf dem Meeresgrunde der theilweisen Auflösung verfallenen Steinkrustenstückes, 0.17% MnO. —

Was die in den Grundproben in der Form von Silicaten vorhandenen Kalium- und Natriummengen anbelangt, so waren dieselben ebenso gering oder noch geringer als in den Grundproben des

östlichen Mittelmeeres (und des Oceans). So wie zumeist auch dort, waren die Steinkrusten etwas ärmer daran als die Schlammproben.

Die beiden zumeist aus kohlensaurem Kalk bestehenden Steinkrustenstücke der Stationen 33 und 86 enthielten 0·14 und 0·24% K_2O und 0·14 und 0·16% Na_2O .

Bei den sechs darauf untersuchten Schlammproben, unter welchen sich auch der dunkelrothbraune Schlamm der Station 85 befand, schwankte der Kaliumgehalt zwischen 0·32 und 0·83% K_2O und der Natriumgehalt zwischen 0·23 und 0·83% Na_2O .

Ebenso wie bei den Schlamm- und Steinkrustenproben des östlichen Mittelmeeres war der Kaliumgehalt entweder ungefähr gleich dem Natriumgehalt oder grösser als dieser.¹ Das letztere war bei Steinkrustenstücken der Station 86 der Fall. Ganz nahe dabei zeigte der Schlamm gleichen Kalium- und Natriumgehalt. Von den sechs Schlammproben besaßen zwei einen grösseren Kalium- als Natriumgehalt trotz dem im Meerwasser so bedeutenden Überwiegen der Natriumsalze über die Kaliumsalze, welche beide bei Neubildungen oder Umbildungen fester Grundtheilchen herangezogen werden können.

Unter Station 33 war der lehmartige Schlamm reicher an Kalium als an Natrium, die Steinkrustendecke hingegen enthielt gleich viel von beiden. Eine andere, relativ kalireiche Schlammprobe war die der Station 107 im Golfe von Akaba. Der Schlamm der Station 145 im Golfe von Suez enthielt dagegen ebenso wie die dunkelrothbraune Schlammprobe der Station 85 und wie die Schlammproben zweier anderer Hochseestationen, 27 und 155, ungefähr gleich viel Kalium und Natrium. —

Wie schon erwähnt, findet sich auf der oberen Fläche der Steinkrusten relativ viel Mangan als dunkles braunsteinartiges Superoxyd, was gleichzeitig eine Ansammlung von Sauerstoff, der unter Umständen in Reaction treten kann, bedeutet. Es war von Interesse zu untersuchen, ob auf, beziehungsweise in dem Meeresgrunde als Stoffe, welche unter Umständen Sauerstoff, besonders den in braunsteinartigen Mangansuperoxyd lose gebundenen aufnehmen können, nicht blos Eisenoxydulverbindungen, sondern auch bestimmte organische Verbindungen in unlöslicher Form zur Abscheidung kommen. Es könnte sich z. B. bei der Oxydation der auf dem Meeresgrunde vorhandenen Reste von Thieren und pflanzlichen Organismen Oxalsäure gebildet und als Kalksalz abgeschieden haben.

In der obersten, dem Lothe und dem Schleppnetz zugänglichen Schicht des Meeresgrundes ist dies, wie folgende Zahlen zeigen, nur in sehr geringem Maasse geschehen.

Der grüne Schlamm der Station 145 im Golf von Suez enthielt im feinsten durch Wasser abschlämmbaren Theil, auf lufttrockene Probe berechnet, nur 0·0041% wasserfreie Oxalsäure.

Der röthlich-bräunliche Schlamm der Station 207 im Golf von Akaba enthielt 0·0050% Oxalsäure.

Der lehmartige Schlamm der im nördlichen Theil der Hochsee über steilem, etwas vorspringendem unterseemischem Abhang der afrikanischen Küste gelegenen Station 27 lieferte bei der Untersuchung 0·0031, das mit Wasser gewaschene Steinkrustenpulver der in der Nähe über fast flachem Meeresgrunde befindlichen Station 155 0·0016% Oxalsäure.

Von der fast in der Mitte der Hochseerweiterung gelegenen Station 33 gelangten sowohl Schlamm als Steinkrustenstücke zur Untersuchung. Für ersteren ergaben sich 0·0021, für letztere 0·0039%.

Am meisten Oxalsäure, allerdings auch nur 0·0059%, wurden in dem dunkelrothbraunen Schlamm der Station 85 gefunden. —

Dieselben Grundproben, welche zur Bestimmung der als unlösliches Salz vorhandenen Oxalsäure dienten, wurden verwendet, um das spurenweise Vorkommen von Nickel, Kupfer und Gold zu verfolgen.

Der graue Schlamm aus dem Golfe von Suez enthielt 0·004% Nickel, 0·0027% Kupfer und höchstens 0·0005% Gold, der Schlamm aus dem Golfe von Akaba 0·0024, 0·004 und 0·0001%, der Schlamm der Station 27 0·0039, 0·0022 und 0·0003%.

Von der Station 155 stammende Steinkrustenstücke ergaben 0·0047, 0·0026 und 0·0001%.

¹ Bimssteinstücke aus dem Agäischen Meer enthielten ein wenig mehr Na_2O als K_2O , übrigen von beiden über 9%.

Die Schlammprobe der Station 33 enthielt 0.0025, 0.0018 und 0.0002% die Steinkrustenstücke derselben Station enthielten 0.0029, 0.0023 und 0.0001%.

Der dunkelrothbraune Schlamm der Station 85 ergab 0.0016, 0.0008 und 0.0003% —

In fünf, mit destillirtem Wasser gewaschenen Grundproben wurden die Mengen jener Schwefelsäure bestimmt, welche in einer erst in Salzsäure löslichen Form zugegen war. Basische Sulfate von Thonerde und Eisenoxyd können im Meeresgrund durch das dort vorhandene kohlen-saure Calcium in derselben Art gefällt werden, wie es im Laboratorium durch kohlensaures Baryum geschieht.

Der Gehalt an solcher Schwefelsäure betrug: im grünen Schlamm der Station 145 im Golfe von Suez 0.14, im lehmartigen Schlamm der Station 33 0.15, im dunkelrothbraunen Schlamm der Station 85 0.21, in den beim Zerreiben ein helles Pulver gebenden Steinkrustenstücken der Station 86 0.27 und im Schlamm der Station 155 0.20% SO_2 —

Auf Phosphorsäure wurden fünf Grundproben geprüft. Der graue Schlamm aus dem Golfe von Suez und die lehmartigen Schlammproben der Stationen 155 und 207, sowie der dunkelrothbraune Schlamm der Station 85 enthielten nur Spuren von Phosphorsäure. Etwas mehr Phosphorsäure als blosse Spuren besaßen die ein helles Pulver liefernden Steinkrustenstücke der Station 86. —

Zur Ergänzung der in Column 3 der Tabellen VI vorhandenen Beschreibung von Grundproben und überhaupt zur Erweiterung des bisher Gesagten sei noch Folgendes angeführt.

In der, einen Theil der südlichen Suezcanal-Strecke ausmachenden Wasserausfüllung des Gebietes der ehemaligen Bitterseen brachte das Loth ausser den schon erwähnten Gypskrystallen kleine Muscheln und feinen schwarzen Schlamm herauf. Nach 24-stündigem Liegen an der Luft war die schwarze Farbe verschwunden, denn sie rührte von Schwefeleisen her. Noch grössere Mengen schwarzen Schlammes waren mittelst des Schleppnetzes erhalten worden.

Die graue Farbe der Schlammproben aus dem Golfe von Suez war zum Theil durch die Gegenwart von Schwefeleisen bedingt; beim Zusammenbringen mit Schwefelsäure entwickelte sich ein wenig Schwefelwasserstoff. An organischen Substanzen ungemein reich, verdanken sie zum anderen Theil diesen, sowie auch Eisenoxydulverbindungen ihre dunkle Farbe. Die abgeschlammten feinsten Theile der Schlammproben auf Filtern über Nacht stehen gelassen, verloren nur an ihren äussersten Rändern die graue Farbe, dafür eine gelbliche annehmend. In dünner Schicht und in feuchtem Zustande drei Tage lang der Luft ausgesetzt, bewahrten sie ihre Farbe fast vollkommen, obwohl, wie die Prüfung mittelst Schwefelsäure ergab, die beigemengten Schwefeleisentheilchen bald oxydirt waren.

Der grosse Gehalt der Schlammproben aus dem Golfe von Suez an organischen Stoffen machte sich auch dadurch bemerkbar, dass sie bei 100° getrocknet und zerrieben einen empyreumatischen Geruch aufwiesen.

Je nach dem Grade, in welchem kleine Muscheln bei ihrem Zubodensinken durch Strömungen vertragen und eventuell gelöst worden, sind dem Schlamm sehr wechselnde Mengen von ihnen beigemischt.

Im Golfe von Suez waren die Schlammproben der Stationen 145, 178 und 179 fast gar nicht sandig, d. h. fast ganz frei von kleinen Muschelschalen. Sehr wenige Muschelschalen waren in den Schlammproben der Stationen 183, 189 und 202. Am meisten sandig waren die Schlammproben der in der nördlichsten Ausbuchtung der Westküste des Golfes gelegenen Station 12. Weder Steinkrustenplatten, noch lose Steinstücke wurden im Golfe von Suez vorgefunden.

Im Golfe von Akaba war wegen grösseren Gehaltes an Eisenoxyd oder wegen dessen Überwiegens über Eisenoxydulverbindungen der Schlamm zumeist etwas rüthlich. Sehr oft besass er wegen eines etwas grösseren Gehaltes an Mangansuperoxyd eine bräunliche Farbe.

Eine gelbliche, lehmartige Farbe besaßen die Schlammproben der Stationen 208, 210 und 252. Rüthlich-bräunlich waren die Schlammproben der Stationen 207, 209 und 212.

Die Lothprobe der Station 232 von dem unterseeischen Abhange der Schutthalden eines bei Naueba das Meer erreichenden Thalsystems der Sinai-Halbinsel, auf welchem Abhange ein geringeres capillares Eindringen von Meerwasser in den Grundschlamm zu erwarten ist, zeigte deutlich, dass daselbst

eine nur 1 mm dicke Decke von röthlich-braunem, d. h. oxydreichen Schlamm über grauem Schlamm gelagert ist.

Die Schlammproben der übrigen Stationen dieses Golfes 216, 219, 221, 225, 226, 230, 233, 235, 236, 241 und 250 besaßen eine bräunliche Farbe. Doch fanden sich in vielen von ihnen auch röthliche Theilchen, welche vielleicht von einer dünnen Decke des Bräunlichen herrührten.

Am ausgesprochensten braun war die Schlammprobe der Station 210. Diese Station befindet sich an der Ostküste des Golfes in der Nahe hoher brauner Berge, von welchen manganreiche Theilchen durch Winde in den Golf getragen worden und auf den Grund gelangt sein könnten.

Bestimmter machten sich vom Festland stammende Gesteintheilchen im nördlichsten Theile des Golfes bemerkbar. Am reichsten daran, und zwar an rothen, grauen und weissen Sandkörnern, unter welchen sich deutliche Quarzstückchen fanden, war die Probe der Station 233 nördlich von der kleinen Insel Omelider und vor einer Strecke der Ostküste des Golfes, längs welcher geschichtete, theils graue, theils gelbliche, theils röthliche, theils dunkelgraue Felshügel bis an den Strand heranreichen, also der Brandung zugänglich sind. Der bräunliche Schlamm des nördlichen Golftheiles wies oft auch schwarze Punkte auf.

Kleine Muschelschalen waren in reichlicherem Masse beigemengt als im Golfe von Suez. Die meisten enthielt die Schlammprobe der Station 212. Der nordöstliche unterseeische Abhang der kleinen Dohab-Halbinsel stellt sich daselbst der von Norden kommenden Strömung derart entgegen, dass mitgeführte Muscheln und Muschelschalen abgelagert werden können. Auch noch viele kleine Muschelschalen fanden sich im Schlamm der weniger weit vorspringenden unterseeischen Abhänge unter den Stationen 215 und 221. Noch geringer war der Muschelgehalt der Schlammproben von den Stationen 207, 209, 210, 216, 219, 225, 226 und 234. Ganz wenig Muschelschalen enthielten die Schlammproben der Stationen 208, 214, 230 und 252.

Im Golfe von Akaba ergaben sich nirgends sichere Anzeichen von Steinkrusten als Decken des Grundschlammes. Darnn erinnernde Steinstückchen waren in der Lothprobe der Station 207 enthalten, doch fehlte ihnen der für die Steinkrusten charakteristische graue bis schwarze Manganbelag auf der einen (oberen) Fläche. Sie waren auf allen Seiten gelblichgrau und stellten wahrscheinlich Reste eines der Auflösung und dem Einsinken im Grundschlamm verfallenen Steinkrustenstückes dar. Auf den Stationen 210, 226 und 234 fanden sich in den schlammigen Grundproben Stückchen von Compositen, d. h. zusammenge kitteten Muschelschalen, Wurmröhren u. dgl. Die vom Schleppnetzzeug der Station 210 waren auf der einen von lehmartigem Schlamm freien Seite dunkler und manganreicher. Auf einigen von diesen unregelmässig geformten Plattenstückchen sassen kleine lebende Tiefseekorallen auf.

Vor der näheren Beschreibung der Hochschule sei noch hervorgehoben, dass die vor manchen Küstenstreifen der Hochschule und des Golfes von Suez eine bedeutende Breite besitzenden Gebiete der Korallenriffe¹ zweckten einen sandigen, aus abgebrochenen weissen Korallenstückchen und aus stark corrodirtten Muschelschalen bestehenden Theil des Meeresgrundes bilden, in welchem nur stellenweise lebende Korallenstöcke verschiedener Grösse vorkommen. Diese sandige Beschaffenheit ermöglicht für den Fall des Vorhandenseins benachbarter, aufsteigend wirkender Festlandsmassen ein rasches Einsickern von Meerwasser und verhindert damit, dass sich die vielen von dem reichen Pflanzen- und Thierleben der Korallengebiete herrührenden organischen Stoffe blos im Korallengebiet anhäufen. Für die dabei vorausgesetzte Auflösung (und Verseifung von Fetten² und fettartigen Körpern) kommt die alkalische Reaction des Meerwassers als förderndes Moment in Betracht. Vielleicht unter Mitwirkung der Capillarität kann aus diesen organischen Stoffen Petroleum entstehen und einerseits auf dem Meeresgrunde aufquellen, anderseits eben auch auf dem Wege capillaren Aufsteigens in benachbarten Bergen oder überhaupt in Festlandsmassen zur Ansammlung kommen. Jedenfalls wären dazu besonders grosse Mengen von organischen Stoffen nothwendig.

¹ Siehe Karte III.

² Siehe III. Abhandlung über das östliche Mittelmeer (1893).

Fraas und Andere¹ haben das bereits den Alten bekannte Petroleumvorkommen an einer in die afrikanische Küste einschneidenden Bucht des ausgedehnten Korallengebietes am Ausgange des Golfes von Suez beschrieben. Am Strande und in dem benachbarten hügeligen Wüstengebiet gibt es Petroleumstellen. Vor einer Reihe von Jahren ausgeführte Bohrungen haben zumeist eine Abnahme der Petroleummengen mit der Tiefe, jedoch auch eine Zunahme ergeben. Gerade dem Korallengebiete am Ausgange des Golfes von Suez führt, wie schon oben hervorgehoben wurde, die aus dem Golfe von Suez kommende Strömung viele organische Schwimmkörperchen zu, welche in dem ruhigen Wasser zwischen den Korallenriffen und Inseln zur Ablagerung gelangen, die dort von Pflanzen und Thieren producirten organischen Stoffe noch vermehrend.

Ein Hinabgelangen von Muschelschalen und Korallenstücken, welche durch die Brandung vom Aussenrand der Rifffgebiete des Rothen Meeres losgelöst worden sind, in die Meerestiefen wird dadurch erleichtert, dass fast überall der an die Rifffgebiete grenzende unterseelische Abhang sehr steil ist. Es ist dies auch bei den wenigen kleinen Inseln, welche fast durchaus von Korallenriffen umgeben sind, der Fall.

Sowohl auf der knapp neben der grösseren der beiden Brüderinseln gelegenen Station 22, als auch auf der wenig südlicher gelegenen Station 129, wo das Meer bereits 800 m tief ist, wurden mit dem Loth Schlammproben erhalten, welchen viele kleine Muschelschalen u. dgl. beigemischt waren. Unter letzterer Station waren, wie fast immer im Rothen Meere, die Muschelschalen zum grössten Theile corrodirt. Je nach dem Maasse, in welchem die Muschelschalen von der Brandung mechanisch bearbeitet worden, und je nachdem, ob sie mit gewöhnlichem schwach alkalisch reagirendem oder mit kohlen-saurem Meerwasser in Berührung gewesen sind, haben sie die Schärfe ihrer Spitzen und Kanten mehr oder weniger eingebüsst.

Durchaus nicht immer waren die Schlammproben, welche von steilen unterseelischen Abhängen der Rifffgebiete oder überhaupt aus der Nähe der Küste stammten, so reich an Muschelschalen wie hier. Von 14 derartigen Lothproben wiesen nur noch vier, nämlich die der Stationen 131, 149, 151 und 166 einen grossen Gehalt an Muschelschalen auf. Am grössten, und zwar gleich dem im Golfe von Akaba beobachteten Maximum zeigte er sich unter Station 151. Auf den anderen Stationen, nämlich 18, welche unmittelbar neben 166 liegt, auf welcher ersterer aber im Herbst statt im Winter gelodhet wurde, ferner 27, 42, 44, 55, 95, 102, 104, 153 und 203 waren in den Lothproben wenige kleine Muscheln vorhanden, aber doch wie immer in der Hochsee des Rothen Meeres etwas mehr als im grössten Theile der Schlammproben des östlichen Mittelmeeres.

Beiläufig dasselbe Zahlenverhältniss zwischen sandigen muschelreichen und zählehmigen muschelarmen Proben ergab sich in dem die Mitte der Hochseebreite einnehmenden Gebiet. Von 15 küstenfernen Stationen gaben vier, nämlich 69, 101, 120 und 156 Lothproben ersterer, die übrigen, nämlich 33, 46, 57, 72, 75, 83, 88, 113, 114, 119 und 128 Lothproben letzterer Art. Nirgends waren im Schlamm so wenig Muscheln enthalten wie in einigen Lothproben des Golfes von Akaba oder gar des Golfes von Suez.

Für die Vertheilung der zu Boden sinkenden kleinen Muscheln und Muschelschalen können die Strömungen unmittelbar mitbestimmend sein. Weniger unmittelbar wird es von den Strömungen abhängen, ob auf dem Meeresgrunde durch Organismen (Mikroorganismen) oder wegen des Vorkommens rein chemischer Fällungen Muschelschalen, Wurmröhren u. dgl. verkittet werden, oder ob sich wirkliche Steinplatten bilden. Stückchen von Compositen und von Steinplatten fanden sich naturgemäss nur selten im Lothe. Für die Beurtheilung ihrer Verbreitung sind die Schleppnetzzüge massgebend.

Reine Breccien-Compositen oder solche mit undeutlichen Anzeichen des Vorhandenseins von Steinkrusten wurden auf den Stationen 149, 151 und 203 erhalten. Nebenbei sei erwähnt, dass der Schlamm

¹ Siehe III. Abhandlung über das östliche Mittelmeer (1895).

der Station 149 eine sehr helle, etwas röthliche Lehmfarbe besass. Von anderen Stationen des nördlichsten Theiles der Hochsee gab 153 einige Steinkrustenstücke und es war auch daselbst beim Dredschon zweimal ein starker Zug auf das Drahtseil ausgeübt worden, offenbar, weil sich das Netz, beziehungsweise der Netzrahmen in den Unebenheiten oder an den Rändern von Steinplatten verfangen hatte.

Über dem, der Hochsee zugekehrten unterseeseischen Abhang des an organischen Stoffen reichsten Korallengebietes am Ausgang des Golfes von Suez liegen nebeneinander die Stationen 18 und 160. Die Lothproben beider Stationen waren vorwiegend lehmartig. Dass jedoch neben schlammigen Grundstellen auch solche mit Steinplatten da waren, ergab sich aus dem unregelmässigen Zug beim Dredschon (bis über 3000 kg). Beidemale riss das zwischen Schleppnetz und unterem Drahtseilende eingeschaltete Hanfseil, nachdem in einem Falle der Zug plötzlich bis 4000 kg gestiegen war. Die Lothprobe der Station 160 enthielt übrigens einige kleine Steinchen, welche anscheinend durch das mit einer 27 kg schweren Eisenkugel belastete Loth von einer Steinkruste abgebrochen worden waren.

Auf Station 156 brachte das Belknap-Loth, weil sich in seinem unteren Ventil eine Muschelschale eingeklebt hatte, und deshalb der Schlamm ausgewaschen werden konnte, fast nur Muschelschalen herauf. Dieselben waren in viel geringerem Maasse als sonst corrodirt.

Auf Station 155 brachte das Schleppnetz, welches mit einem Maximalzug von 2300 kg gearbeitet hatte, grosse Stücke von Steinkrusten herauf, von welchen einige stellenweise schwarz und wie Lava klingend waren. Es hatte an dieser Stelle des Meeresgrundes eine besonders grosse Anhäufung von brauneisernartigem Mangansuperoxyd stattgefunden.

In der stark sandigen Lothprobe der Station 131 waren fast alle Muschelschalen stark corrodirt. Es fand sich darinnen auch ein Paar linsengrosser Steinchen mit frischen Bruchkanten. Auf der einen Fläche dunkler, wenn auch nur hellgrau-braun, als auf der anderen, erinnerten sie an Steinkrusten. In einem Steinchen steckte eine kleine Muschelschale. Um diese hatte eine wesentlich aus kohlen-saurem Kalk bestehende Abscheidung stattgefunden.

Auf Station 160 brachte das Schleppnetz kleine Stücke von Steinkrusten herauf.

Auf Station 128 ergab die Lothung neben Schlamm und zumeist runden Muschelresten einige hanf-grosse Steinchen. Die Dredschung lieferte eine Anzahl von bohnen- und haselnussgrossen Steinkrusten-stückchen, welche fast allseitig dunkelgrau und von kleinen Wurm-röhren überzogen waren. Wegen Auflösung und Tiefsinkens darunter liegenden Schlammes dürften Reste von Steinplatten auch an der unteren Fläche mit sauerstoffreichen Meerwasser in lange dauernde Berührung gekommen sein.

Unter Station 129 und auch anderweitig waren manche Muschelschalen an ihren Oberflächen ebenso grau bis dunkelgrau wie einzelne Flächen von Steinkrustenstücken. Nach vorhergegangener, entweder durch Ammoniumsalze oder durch Kohlensäure vermittelter Auflösung konnte auch hier eine stellenweise Ansammlung von Mangan als Superoxyd stattgefunden haben.

Grauer Schlamm war den Grundproben aus der Hochsee (und aus dem Golfe von Akaba, mit einer Ausnahme) nicht beigemengt. Es zeigte sich dies besonders bei den mitunter sehr grossen Mengen, welche das Schleppnetz lieferte. So wurden auf Station 27 1500 kg durchaus hellgelblichen Schlammes erhalten. Das Einsickern von sauerstoffhaltigem Meerwasser verhindert die Bildung dunkel gefärbter organischer Stoffe und die von Schwefeleisen.

In dem wenige Muschelschalen enthaltenden Schlamm von der Dredschung auf Station 33 fanden sich viele kleine Stücke von sehr harten Steinkrusten, welche nur auf den oberen von Schlamm freien Flächen grau-braun, dagegen auf den frischen Bruchflächen und unten, wo der Schlamm anklebte, hellgrau waren. Nach dem Zerreiben unter Wasser liess sich zuerst fast weisser, dann gelblicher, zuletzt relativ sehr schwerer röthlich-bräunlicher Schlamm abschlämmen.

Das aus dem Belknap-Loth in einen Glaszylinder entleerte Gemenge von Meerwasser und lehm-artigem Schlamm wurde jedesmal nach dem Umrühren eine Minute lang stehen gelassen, damit sich die größeren Theile des Schlammes absetzen. Wenn dann die trübe Flüssigkeit auf ein Filter gebracht wurde, blieb immer in den ersten Theilen des Filtrats die Trübung erhalten, was vielleicht nicht geschehen wäre,

wenn der auf dem Meeresgrunde lagernde Schlamm blos durch mechanische Sedimentation der vom Festlande stammenden, in das Rother Meer durch Landwinde oder durch die seltenen Regengüsse getragenen Theilchen entstanden wäre und nicht auch Fällungs- und Lösungserscheinungen zu seiner Bildung beigetragen hätten. Da bei einer Auflösung von Steinkrusten, wie sich schon im Agäischen Meere gezeigt hatte, bei Gegenwart von sauerstoffreichem Meerwasser eine Anreicherung von Mangan und Eisen, weil deren Oxyde am schwersten löslich sind, stattfindet und auch bei dem Schlammie zu erwarten ist, eine solche Anreicherung aber im grössten Theile des östlichen Mittelmeeres und der Hochsee des Rothen Meeres nicht vorhanden ist, müsste man in erster Linie daran denken, dass durch Fällungsprocesse sehr feine, durch das Filter leicht hindurchgehende Schlammtheilchen entstehen.

Über der, die beiden mehr als 1000 m tiefen Gebiete der Hochsee trennenden niedrigen Bodenschwellung liegen die Stationen 113 und 114. Auf ersterer Station lieferte das Loth lehmartigen Schlamm mit zumeist abgerundeten Muschelschalen und mit kleinen Steinkrustenstückchen, welche aussen nicht sehr, innen ganz wenig graubraun gefärbt waren und sich in verdünnter Salzsäure unter starkem Brausen zum grössten Theile lüsten, einen rostfarbigen flockigen Rückstand hinterlassend. Auf Station 114 enthielt das Loth neben wenigen Muschelschalen einen lehmartigen Schlamm, der etwas weisslicher als gewöhnlich war. Das Schleppnetz lieferte dasselbe einige Dutzend ganz kleiner Stückchen von dünnen Steinkrusten. Die meisten waren auf der einen Seite hellgrau, dagegen auf den anderen und im Innern weisslich, einige Stücke waren auf allen Seiten hell, andere auf allen Seiten dunkelgrau. Sie wiesen kleine, von Anneliden (Ringelwürmern) herrührende Löcher und kleine Wurmrohre auf. Manche Stücke trugen Wurmrohre auf allen Flächen mit Ausnahme der frischen Bruchflächen.

Auf Station 104 war das Loth fast leer, es hatte sich ein Steinkrustenstückchen in das untere Ventil eingeschoben. Bei der Dredschung zeigte sich ein unregelmässiger Zug, welcher einmal bis 1500 kg stieg. Das Netz kam zerrissen herauf, doch fanden sich im Sackende neben Schlamm drei ziemlich grosse Stücke von Steinkrusten, viele kleine Stücke, von welchen ein Theil zahlreiche Wurmrohre trug, ferner Muschelschalen, Krebse, Seesterne und Würmer. Das grösste Steinkrustenstück war 27 cm lang, 17 cm breit und 2–6 cm dick. Es war fast allseitig dunkelgrau, nur an der unteren Fläche klebte an den Stellen, wo die Steinplatte auf dem Grundschlamm aufgelegt war, etwas von diesem lehmartigen Grundschlamm. Es war auch hier durch Lösungsvorgänge die Steinplatte wegen Bildung von Hohlräumen unter ihr zum grössten Theil in fast allseitige Berührung mit sauerstoffreichem Meerwasser gekommen.¹ Auf allen Seiten sehr uneben, theils wie fein eiseltig aussehend, theils grössere Vertiefungen aufweisend, war es überdies an zahlreichen Stellen durchlocht. Einige Löcher waren nur 2–5 mm weit, vier Löcher waren grösser und conisch; es betrug ihr «unterer» Durchmesser 12, ihr «oberer» 22 mm. Während diese Öffnungen frei waren, zeigten sich andere ebenso conische Löcher entweder blos «unten» oder in ihrer ganzen Länge durch festgewachsene, vor Zeiten beim Einbrechen der Steinplatte in Hohlräume hineingeschobene oder hineingefallene Steinplattenstückchen verstopft. Die frischen Bruchflächen waren hellgrau, stellenweise weisslich. Wie immer im Rothen Meere war das Gefüge mehr körnig, weniger homogen als bei den Steinkrusten des Mittelmeeres. Beim Zerschlagen des Steinstückes kam aus einem kleinen «Bohrloche» von 1 mm Durchmesser eine lebende, wurmförmige Holothurie heraus. An der «oberen» Fläche hatte sich stellenweise eine hautähnliche thierische Absonderung von phosphorartigem Geruch, wie ihn auch die gallertartigen Hüllen von Korallenstücken besitzen,² gezeigt. Ein kleineres, im Netz vorgefundenes Steinkrustenstück war besonders stark körnig, sah wie cementirter Muschelsand aus und besass stellenweise eine Rostfarbe, bedingt durch Anhäufungen von Eisenoxyd.³ Ferner waren im Netz zwei Steinkrusten-

¹ Wie denn überhaupt die oberste Schicht, auch des nur «schlammigen» Meeresgrundes, fast immer von der Auflösung verschont bleibt und durch Bildung von Niederschlägen aus klarem Meerwasser, sowie durch Sedimentation eine Zunahme erfährt, während in den unteren Schichten des Meeresgrundes das Überhandnehmen der bei der Oxydation organischer Substanzen (auf Kosten des gebildeten Sauerstoffes von Sulfaten) entstehenden Kohlensäure Lösungsvorgänge begünstigt.

² Ozen konnte in der Luft neben diesen, theils der Entrocknung, theils der Fauniss unterliegenden Korallenhüllen nicht nachzuweisen werden.

³ Siehe Beschreibung von Steinkrusten-tücken in der III. Abhandlung über das östliche Mittelmeer (1884).

stücke gewesen, von welchen das eine die Form eines conischen Rohres besass, dessen innere Durchmesser mit den Weiten der früher erwähnten das grosse Steinkrustenstück durchsetzenden Löcher übereinstimmten, während das andere aus zwei dünnen Platten bestand, die unter Zwischenlagerung einer wenig corrodirtcn Muschelschale und einiger Steinkrustenstückchen aneinander gekittet waren. Steinkrustenstücke beider Arten habe ich im Agäischen Meere vorgefunden und im Schlussbericht über das östliche Mittelmeer besprochen. Lösungsvorgänge konnten nicht nur eine Erweiterung ehemals vielleicht ganz enger, von Anneliden herrührender, von ihnen entweder gebohrter oder während der Steinkrustenbildung frei gehaltener Canäle bewirken, sondern auch zur Entfernung der durch Mangansuperoxydbeläge nicht oder wenig vor der Wiederauflösung geschützten Steinkrustentheile und somit zur Entstehung der Röhrenform geführt haben. Andersorts konnten Steinkrustenstücke, welche beim Einbrechen von dünnen Steinplatten in Hohlräume aneinander gerathen waren, durch neuerliche Fällungsvorgänge verkittet worden sein.

Über dem Steilabfall des Korallenriffsaumes der afrikanischen Küste befand sich Station 102. Das Schleppnetz brachte daselbst einige Stücke von abgestorbenen Korallen herauf, welche vermuthlich durch die Brandung am Rande eines Riffgebietes abgebrochen und dann hinabgesunken, beziehungsweise durch die Meeresströmung vertragen worden waren. Ferner fanden sich im Netz zwei platte Steinkrustenstückchen, von welchen das eine fast allseitig dunkelgrau, vielleicht durch die Strömung vertragen und das andere fast allseitig hell lehmfarbig, durch das Netz frisch abgebrochen war.

Ebenfalls über dem Steilabfall eines Riffgebietes, diesmal vor der asiatischen Küste befand sich Station 120. Im Schlamm der Lothprobe waren neben Muschelschalen viele kleine Steinkrustenstückchen. Nur an wenigen grösseren von ihnen haftete etwas Lehm, die meisten waren allseitig dunkelgrau. Alle waren sehr hart und im Innern hellgrau. Beim Dredschen zeigte sich kein besonderer Zug, wie ihn ausgedehnte Steinkrustenplatten veranlassen. Das Netz kam fast leer herauf; Schlamm und »Sand« waren anscheinend beim Herausziehen zumeist ausgewaschen worden. Es dürften auch unter dieser Station nur Reste einer zum grössten Theil der Wiederauflösung verfallenen Steinkrustenbedeckung des schlammigen Meeresgrundes vorhanden gewesen sein.

Auf Station 69 brachte das Schleppnetz kleine, nur 3—6 mm dicke Steinkrustenstücke herauf, welche wahrscheinlich auch Reste ehemaliger dicker und ausgedehnter Platten darstellten. Doch wies hier der Umstand, dass alle Stücke hellbraun und die meisten sehr mürbe waren, darauf hin, dass sie vor längerer Zeit im Schlamm des Meeresgrundes eingebettet worden waren. Nachdem Steinplatten im Schlamm eingesunken oder mit einer neuen Schlammsschicht überdeckt worden waren, hat anscheinend die reducirende Thätigkeit der im Schlamm enthaltenen organischen Substanzen den Mangansuperoxydbelag zum Verschwinden gebracht, so dass die Steine leichter der Auflockerung und Lösung zugeführt werden konnten.

Auf Station 57 wurden mit dem Schleppnetz sehr harte, aber auch nur kleine Steinkrustenstücke erhalten.

Auf Station 46 übte das Schleppnetz einen starken Zug auf das Drahtseil aus. Es kam leer herauf vielleicht hatte sich auf dem Meeresgrund der Netsack umgestülpt. In einer der eisernen Netzrahmen hängenden Hanquasten (Schwabber) fand sich ein hartes, dünnes, wenig graubraunes Steinkrustenstückchen.

Von den auf Station 88 mit dem Schleppnetz erhaltenen Steinkrustenstückchen trug eines eine lebende Tiefseekoralle, an einem anderen haftete eine lebende kleine Muschel. An einem dritten Steinkstückchen war eine aus zusammengeklebten weissen Muschelkörnchen bestehende, in verdünnter Salzsäure unter Aufbrausen vollkommen lösliche Wurmöhre vom inneren Durchmesser 3 mm.

Was endlich das hier im Süden angetroffene, mehr als 1500 m tiefe Gebiet betrifft, so brachte das Loth nicht nur auf Station 85, sondern auch auf Station 75 dunkelrothbraunen Schlamm herauf. Annähernd dieselbe Farbe zeigten, und zwar ebenfalls wegen Anreicherung von Eisenoxyd und Mangansuperoxyd, manche Theile der Wüstenlandschaften im Gebiete des Rothen Meeres, z. B. die höheren Theile der kleinen Insel St. Johns, sowie Hügel und Berge längs vieler Strecken der Festlandsküsten. In den

Schlammproben der beiden Stationen 75 und 85 waren einige kleine spitze Muschelschalen. Die bei diesen Lothungen erhaltenen Mischungen von Schlamm und Meerwasser gaben, aufgerührt und nach einer Minute filtrirt, sofort klare Filtrate. Die feinsten Theilchen waren also etwas grösser als in den lehmfarbigen Schlammproben.

Am mannigfaltigsten war, wie sich schon aus dem früher Gesagten ergibt, der Inhalt des Schleppnetzes auf Station 86 (Meerestiefe = 2190 m). Der durch Steinkrustenplatten veranlasste Zug war daselbst so stark gewesen, dass der aus mehr als armdicken eisernen Gasröhren hergestellte Netzzahmen verbogen ward.

In Betreff der analysirten vier Gesteinsarten¹ sei zunächst noch Folgendes erwähnt:

Das durch Zerreiben des hellbraunen Steinkrustenstückes erhaltene feuchte Pulver war heller als der Schlamm der Stationen 75, 85 und 86, jedoch etwas dunkler als der lehmartige Schlamm, welcher den grössten Theil des Grundes im Rothen Meere und im Mittelmeer bedeckt.

Das durch die ganze Masse braune Steinkrustenstückchen stellt vielleicht einen durch theilweise Lösung bedingten Übergang zu einem Manganknollen dar. Letztere sind charakteristisch für einige, zumeist sehr tiefe Gebiete des Oceans, wurden jedoch von Sir John Murray auch vor der Küste (zumal in Buchten) Schottlands in reichem Wasser gefunden.²

Die blaugraue Zone des kleinen leicht zerreiblichen Stückes enthielt weder Schwefeleisen noch braunsteinartiges Manganoxyd. Die Farbe dürfte theils durch organische Substanzen, theils durch Eisenoxydulsilicat bedingt gewesen sein. Die ein sehr geringes specifisches Gewicht besitzenden Bruchstücke verloren bei fünfzigem Liegenlassen an der Luft die Farbe der Zone nicht und gaben beim Zerreiben ein graues Pulver, welches wie das in heisser Salzsäure Unlösliche des dunkelrothbraunen Schlammes der Station 85 aussah.

Die beiden platten, erzartigen Gesteinsstückchen schliesslich gaben beim Zerreiben ein dunkelrothbraunes Pulver, welches etwas mehr roth als der dunkelrothbraune Schlamm der Stationen 75 und 85 war.

Der an dem Grade der Rothfärbung erkennbare Eisengehalt war nicht nur bei diesen vier Gesteinsarten und an einzelnen Stellen der beiden platten, rothbraunen Gesteinsstückchen verschieden gross. Er wechselte auch bei den anderen Gesteinsstücken und Gesteinsstücktheilen. Einige von den zumeist aus kohlensaurem Kalk bestehenden Steinkrustenstücken dieses Schleppnetzuges in der grössten Tiefe der Hochsee waren stellenweise mit einer weissen, mürben Masse bedeckt, die zum Theil aus Quarzpulver, zum Theil aus kleinen stark verwittert aussehenden Muschelschalen bestand. Eine Säure hätte, wenn sie an die betreffenden Stellen der Steinkrusten gekommen wäre, einen derartigen Lösungsrückstand bilden können. Auch die ungemein grossen Schwankungen im Gehalt an kohlensaurem Kalk, welche nahe bei einander befindlichen Grundstellen dieses tiefsten Hochseegebietes eigenthümlich sind, würden sich durch die Annahme des stellen- oder zeitweisen Vorkommens einer Säure leicht erklären lassen, besonders dann, wenn die Säure dadurch entstände, dass schwach basisches Eisenoxyd zur Abscheidung gelangt.

Wenn wirklich, wie es nach den oben dargelegten Thatsachen wahrscheinlich ist, das Rothe Meer ebenso wie das Marmara-Meer und das Ägäische Meer dadurch eine Vertiefung erleidet, dass stellen- oder zeitweise bereits in der obersten Lage des Grundschlammes Lösung vor sich geht, so ist es möglich, dass ehemals in tieferen Lagen gewesener schwefeleisenhaltiger Schlamm, in dem Masse, als die darüber befindlichen Schlammsschichten gelöst werden, mehr oder weniger blossgelegt wird. Das Schwefeleisen oxydirt sich, sobald es mit sauerstoffhaltigem Meerwasser in Berührung gekommen, zu Eisenvitriol. Bei überschüssigem Sauerstoff ist die Bildung von basischem Eisenoxysulfat und von Schwefelsäure, beziehungsweise, weil immer kohlenaurer Kalk vorhanden, die von Eisenoxydhydrat und Gyps zu erwarten. Die fortwährende Erneuerung des Meer-

¹ Siehe Tabelle VIa.

² Buchanan, Trans. Roy. Soc. Edin. 36, 459 (1891); Murray und Irvine, ebenda, 37, 721 (1894).

wassers in der Decke des Grundschlammes verhindert auch für diesen Fall eine Anreicherung des Gyps, so dass er nirgends auskrystallisiren kann.

Im Ocean ist bei einer bis an den Grund reichenden Wasserbewegung wegen der viel bedeutenderen Länge der Strecken, durch welche Schwimmkörperchen vertragen werden können, eine vollständige Auflösung solcher Körperchen, seien es kleine Muschelschalen u. dgl. oder kosmische Staubtheilchen, besonders wahrscheinlich. Es ist vielleicht auch im Ocean das Vorhandensein grösserer Mengen von Eisenoxyd auf dem Meeresgrund, welches für die tiefsten Gebiete charakteristisch ist, ein Zeichen, dafür, dass bereits in der obersten Lage des Meeresgrundes theilweise Lösungen vor sich gehen, so dass der Meeresgrund langsam tiefer sinkt.

Ein Steinkrustenstück vom Schleppnetzzug auf Station 80 macht es wahrscheinlich, dass auf dem Meeresgrunde zeitweise an denselben Stellen, an welchen sich sonst Steinkrusten bilden, pulverige schlammige Niederschläge entstehen.

Ein 30 cm² grosses, 1 cm dickes Steinstück mit frischen, von der Dredschung herrührenden Bruchkanten war auf beiden Seiten mit etwas heller braun gefärbtem, festhaftendem Schlamm bedeckt. Sowie in früher erwähnten Fällen, wo es sich jedoch immer um kleine Steine gehandelt hat, zeigte sich als eine Folge dessen, dass die Steinplatte im Schlamm eingebettet war, eine gegen sonst verringerte Härte, es war der zur Verfestigung beitragende Mangandioxydbelag verschwunden. Geänderte Strömungsverhältnisse, das Hinabgelangen von organischen, später kohlen saures Ammonium liefernden Schwimmkörperchen, sowie von Muschelschalen und anderen Hartkörperchen, welche den chemischen Fällungsprocess fortwährend stören, könnten die Ursachen der zeitweisen Bildung pulveriger Niederschläge sein. Die Bildung der letzteren hängt vielleicht auch damit zusammen, dass in den Meerestiefen Schlamm aufgewühlt werden kann, entweder in Folge eines Erdbebens oder dann, wenn Theile sehr steiler schlammiger Abhänge, welche im Gebiete der grössten Tiefen des Rothen Meeres vorhanden sind, nach vorausgegangenen Lösungen, durch welche untere Theile der Abhänge entfernt oder Hohlräume im Schlamm geschaffen worden sind, abrutschen oder einbrechen.¹ Den aufgewühlten Schlamm lässt das Meerwasser (als Salzlösung), bevor er noch durch Strömungen weit vertragen worden, wenigstens theilweise wieder zu Boden sinken.

Darauf, dass ein auf einer Steinplatte zur Ablagerung gekommener Schlamm sich in eine neue Steinplatte verwandeln oder sich mit einer solchen bedecken kann, deutet das letzte zu erwähnende Gesteinsstück dieses Schleppnetzuges (von Station 89) hin. Es war geschiebt; die Dicke der beiden Schichten schwankte etwas an den einzelnen Stellen, wich jedoch zumeist wenig von je 5 mm ab. Die obere Schichte war, besonders an und nahe der oberen Fläche des ganzen Stückes, an welcher kein Schlamm klebte, viel härter als die untere Schicht. Die scharfe Grenze zwischen den beiden Schichten wies Spuren des Manganbelages auf, der hier gewesen war, bevor sich darauf Schlamm abgelagert hatte und darüber die neue Steinplatte entstanden war. Besonders in dem unteren Theile der oberen Schichte waren sehr mürbe kleine Muschelschalen eingeklemmt und eingekittet. Endlich ist noch anzuführen, dass 1–3 mm weite Wurmbohrungen beide Schichten durchzogen. Die meisten von ihnen waren gekrümmt, einige gingen so gerade durch beide Schichten, dass man hindurch sehen konnte.

Diese Wurmbohrungen sind auf dem Meeresgrunde insoferne von Bedeutung gewesen, als sie, ebenso wie alle anderen Unterbrechungen der Plattenbildungen, dem sauerstoffhaltigen Meerwasser Gelegenheit geboten haben, auch in den von Steinkrusten bedeckten Grundschlamm zu gelangen.

¹ Auch im Marmara-Meer sind, wie ich bereits in der auf dieses Meer bezüglichen Abhandlung hervorhob, solche Erscheinungen begünstigende Verhältnisse vorhanden. Es ist möglich, dass Derartiges die Ursache der dortigen Erd- und Seebeben im Sommer 1894 war. Nach diesen Beben ist von einer russischen Expedition an einigen Stellen des Marmara-Meeres eine dabei eingetretene Zunahme der Meerestiefe nachgewiesen worden.

Untersuchungen und Beobachtungen auf dem Festlande und auf Inseln.

Etwas südwestlich von dem kleinen Fort Mersa Halalib an der afrikanischen Küste, zwischen ihm und dem Ende eines von niedrigen Hügeln gebildeten, spärliche Vegetation aufweisenden Thales (Wadi) ohne perennirenden Wasserlauf befindet sich ein Brunnen, welcher das Trinkwasser für die längs des Strandes sich hinziehende Soldatenniederlassung liefert. Erst weit landein ragt hohes, kahles, mannigfach geformtes Gebirge auf. Der Wasserspiegel des Brunnens liegt 1·5 m tief und befindet sich genau oder fast genau in der Höhe des Meeresniveau. Am 16. November 1895 Morgens wurde Wasser, das nahezu vollkommen klar war, zur Analyse genommen. Seine Temperatur betrug 27·8° C; es schmeckte schwach salzig. Infolge Gehaltes an salpetriger Säure und Salpetersäure gab es mit Jodzinksäure-Schwefelsäure und mit Diphenylamin-Schwefelsäure sofort starke Blaufärbungen. Relativ gross waren auch die Mengen von Ammoniak und organischen Substanzen. Auf 1 l Wasser wurden 0·03 cm³ = 0·00025 g fertig vorhandenes und 0·29 cm³ bei Oxydation der organischen Substanzen sich bildendes, gasförmiges Ammoniak gefunden; die beim Kochen mit einer alkalischen, titrirten Lösung von übermangansaurem Kalium aufgenommene Sauerstoffmenge betrug 3·58 cm³ pro Liter Wasser. Beim Austreiben mit titrirter Salzsäure und Zurücktitriren mit Barytwasser ergaben sich 17·00 cm³ ganz gebundener Kohlensäure (ebenfalls auf 0° und 760 mm Druck bezogen). Der Umstand, dass das Wasser erst nach dem Erhitzen (und Wiedererkalten) mit Phenolphthalein eine Rothfärbung gab, zeigte die Gegenwart überschüssiger, freier Kohlensäure an. Wegen des geringen Carbonatgehaltes trübte sich das Wasser nicht oder fast nicht beim Kochen.

1000 g Wasser enthielten 0·330 g Cl, 0·449 g SO₄, 0·018 g CO₂ (Ausdruck für die ganz gebundene Kohlensäure) und lieferten nach dem Abrauchen mit Schwefelsäure 1·498 g Sulfatrückstand.

Auf 100 Theile Chlor kommen: 133·63 Theile SO₄, 14·20 Theile CO₂, 445·83 Theile Sulfatrückstand, 0·0077 Theile NH₃. —

Von der durch das Ras Benas gebildeten Bucht aus, an welcher in spätrömischer Zeit die kleine Stadt Berenice lag, und deren Umgebung heutzutage nur selten von Beduinen besucht wird, benützte ich einen Vormittagsausflug, um in verschiedenen Entfernungen vom Meere den zumeist flachen und sandigen Boden auf seinen Salzgehalt zu prüfen.

Circa 1000 Schritte vom Strande entfernt aufgelesener Sand ergab in 100 Theilen 0·205 cm³ = 0·00016 g fertig vorhandenes und 0·186 cm³ bei Oxydation der organischen Substanzen entstehendes Ammoniak. Die aus übermangansaurem Kalium aufgenommene Sauerstoffmenge betrug 1·912 cm³. Beim Erhitzen mit Salzsäure entwichen 1·20 cm³ CO₂ = 0·0032 g CO₂. Der Chlorgehalt belief sich auf 5·46, der SO₄-Gehalt auf 0·67%.

Circa 2 Kilometer vom Strande entfernt gesammelter Sand ergab in 100 Theilen 0·397 cm³ = 0·00031 g fertig vorhandenes und 0·126 cm³ bei Oxydation der organischen Substanzen sich bildendes Ammoniak. Die aus übermangansaurem Kalium aufgenommene Sauerstoffmenge betrug 2·457 cm³. Carbonate waren nicht vorhanden. Der Chlorgehalt belief sich auf 4·61, der SO₄-Gehalt auf 0·51%.

In 4 und in 6 Kilometer Entfernung vom Strande (in circa 3 und 6 m Höhe, in letzterem Falle zwischen Felsbügeln, welche von Flug- und stark corrodirt waren), enthielt der Steppensand so geringe Mengen von Chloriden, Sulfaten und Carbonaten, dass je 60 g von ihm nicht genügten, um die Gewichtsverhältnisse zwischen ihnen festzustellen.

Im Meerwasser kommen auf 100 Theile Chlor 14 Theile SO₄ und 0·4 Theile CO₂.

Das Salz in 1000 Schritt Entfernung vom Strande enthielt auf 100 Theile Chlor 12·3 Theile SO₄ und 0·06 Theile CO₂, das in 2 km Entfernung vom Strande 11·1 Theile SO₄ und keine Kohlensäure.

Der Ammoniakgehalt des den Schlamm des Meeresgrundes durchsetzenden Wassers ist grossen Schwankungen unterworfen. Im Maximum enthielt das Schlammwasser des Rothen Meeres auf 100 Theile Chlor 0·0017 und das des östlichen Mittelmeeres 0·0025 Theile NH₃.

Das Salz in 1000 Schritt Entfernung vom Strande wies neben 100 Theilen Chlor 0·0031 Theile NH₃ und das in 2 km Entfernung 0·0072 Theile NH₃ auf.

Während das Verhältniss zwischen Chloriden und Sulfaten vorwiegend dadurch gestört worden sein dürfte, dass sie wegen ihrer verschiedenen Diffusionsgeschwindigkeiten in dem vom Meeresgrunde aus im Steppenboden vordringenden (und den Salzen vorausseilenden) Wasser eine theilweise Trennung erfahren haben, kommt bei den Ammoniumsalzen der Umstand dazu, dass aus organischen Substanzen, welche in Lösung mitgeführt werden, neues Ammoniak entstehen kann.

Anscheinend deshalb, weil eine Ammoniak bildende Oxydation von organischen Substanzen stattgefunden hat, übertrifft das fertig vorhandene Ammoniak an Menge bedeutend das bei künstlicher Oxydation entstehende Ammoniak. Aus dem näher beim Meere gesammelten Sande liessen sich bei der Oxydation mit übermangansaurem Kalium nur vier und aus dem anderen Sande nur drei Zehntel von dem bereits vorhandenen Ammoniak gewinnen. Um ein Molekül Ammoniak zu bekommen, mussten im ersteren Falle 22 und in letzterem Falle 20 Moleküle Sauerstoff zugeführt werden.

Sowohl das freibewegliche Meerwasser als auch das den Grundschinn durchsetzende sind frei von Salpetersäure und nahezu frei von salpetriger Säure gefunden worden.¹ Das Salz des Steppenbodens in 1000 Schritt Entfernung vom Strande gab eine ziemlich starke, das in 2 km Entfernung eine schwache Reaction auf Salpetersäure. Der Gehalt an salpetriger Säure war in beiden Fällen gleich und nicht grösser, als er sich auch im Meere öfters gezeigt hatte. In 4 und 6 km Entfernung konnten weder Salpetersäure noch salpetrige Säure nachgewiesen werden.

Von den wässrigen Auszügen der beiden stark salzigen Sandproben reagierte (gegen Phenolphthalein) der eine etwas stärker alkalisch als gewöhnliches Meerwasser, der andere (der des Sandes aus 2 km Entfernung vom Strande) war neutral. Von den beiden nur Spuren von Salzen enthaltenden Sandproben gab die aus 4 km Entfernung vom Strande eine wässrige Lösung, welche viel stärker alkalisch, und die aus 6 km Entfernung eine solche, welche nur wenig stärker alkalisch reagierte als gewöhnliches Meerwasser. Leichte Verwitterungen von Gesteintheilen mögen zum Zustandekommen letzterer Unterschiede beigetragen haben. —

Südwestlich von der Stadt Suez befindet sich der steile, in der Richtung des Golfes von Suez und der Hochsee des Rothen Meeres, nämlich von NNW zu SSO verlaufende Abhang des Ataka-Gebirges. Würde sich das Gebirge gegen SSO fortsetzen, so würde es nennähernd in die Mitte der Golfbreite fallen. In dem schmalen und kurzen Raum zwischen seinem südlichsten Theile und dem nördlichsten Theile der ziemlich gerade verlaufenden Ostküste des Golfes von Suez liegt die Bucht von Suez.

Am Vormittag des 20. März 1896 wurde der untere Theil des Abhanges und sein schmales Vorland dort abgegangen,² wo das Wasser der Bucht von Suez am nächsten heranreicht.

In der ca. 1000 Schritte breiten Ebene zwischen dem Fuss des Gebirges und dem Meeresstrand werden in nächster Nähe des letzteren Steine gebrochen, und zwar besonders im Sommer, da im Winter das Meerwasser die niedrigeren Theile der Bruchstellen bedeckt, umso mehr als landeinwärts auch Vertiefungen ausgehoben worden sind, welche unter die Meereshöhe hinabreichen. Das harte, poröse, theils breccien-, theils conglomeratartige Gestein besteht aus hellen und dunklen Steinchen, aus Muschelschalen und Korallenstückchen, welche durch ein feines und grobes, sich zumeist aus Fragmenten von Muschelschalen und Korallenskeletten zusammensetzendes, erhärtetes Pulver verkittet sind. An den Aussenseiten des Gesteines haften manchmal kleine Gypskristalle, einen dünnen, glänzenden Überzug bildend. Zur Untersuchung wurden nur Stücke verwendet, welche mit dem Hammer derart hermusgeschlagen worden waren, dass sie nur frische Bruchflächen aufwiesen. Solche Stücke wurden später in einer Reibschale weiter zerschlagen. Das die Steinchen und grösseren Muschelschalen verbindende zerfiel dabei leicht. Steinchen, Muschelschalen etc. wurden möglichst vollkommen entfernt, und dann das feinkörnige

¹ Nur dann, wenn die Wasserproben zugleich nach ihrer Gewinnung untersucht wurden. — Siehe III. Abhandlung über das rothe Mittelmeer (1893).

² Der Gouverneur von Suez stellte Bedeckungsmannschaft zur Verfügung.

Verbindende pulverisirt. Das so erhaltene Pulver wog beiläufig halb so viel als die Gesteinsstücke vor dem Zerschlagen.

25 g dieses Gesteinspulvers wurden mit 180 cm³ ausgekochten Wassers bei Zimmertemperatur behandelt, wobei noch etwas, durch blosser Verdunstung von Meerwasser zur Abscheidung gekommener Gyps ungelöst blieb. Es wurde deshalb eine kleine Menge des Pulvers mit viel Wasser vollkommen extrahirt. Die Untersuchung der beiden wässrigen Lösungen ergab, dass im Gesteinspulver 0.47% Cl und 1.10% Salz (Abdampfungsrückstand, bei 175° getrocknet) enthalten waren. Bei vollkommener Extraction enthielt die wässrige Lösung doch nicht viel mehr Gyps als das Meerwasser, denn es kamen darin auf 100 Theile Chlor nur 234 Theile Salz¹⁾. Die zuerst bereitete wässrige Lösung reagirte viel weniger alkalisch als Meerwasser und gab eine relativ sehr starke Reaction auf salpetersaure Salze.

Das mit Wasser bis zur vollständigen Auflösung des Gypses gewaschene und dann bei 100° getrocknete Gesteinspulver bestand zumeist aus kohlenisaurem Kalk (81.55%). Daneben waren 12.50% Magnesiumcarbonat. Es kamen also auf 100 Moleküle CaCO₃ nur 18 Moleküle MgCO₃. In heisser Salzsäure hatten sich ferner 0.36% Al₂O₃, 0.22% Fe₂O₃, 0.027% MnO und 0.33% SO₃ gelöst. Die letzte Zahl zeigt die Menge der in Form von basischen Sulfaten (von Eisenoxyd, Thonerde, Magnesia) im Gestein vorhandenen Schwefelsäure an. Sowohl in Salzsäure, als auch in kochender Sodälösung, welche sich ganz schwach gelbbraun färbte, waren 3.42% unlöslich; es waren theils graubraune Flocken, theils fein krySTALLISIRTE glänzende Quarztheilchen.

Eine grössere Menge des Gesteinspulvers wurde, um unlösliche oxalsäure Salze zu zerlegen, mit concentrirter Sodälösung gekocht. Diese Auskochung gab beim Ansäuern einen starken, gallertartigen Kieselsäure-Niederschlag. Von Oxalsäure (wasserfrei) wurden nur 0.004% gefunden. Der Goldgehalt betrug höchstens 0.00008%, der Gehalt an Nickel und an Kupfer höchstens 0.00067 und 0.00013%.

Wegen des Gehaltes an organischen Substanzen und an Eisenoxydulverbindungen wurde von dem nicht mit destillirtem Wasser gewaschenen Gesteinspulver 0.1% Sauerstoff aufgenommen. Bei der Destillation mit Wasser und Magnesia wurden 0.0135 und bei der Oxydation mit übermangansaurem Kalium 0.0015% Ammoniak gewonnen. Es kommt also auf einen Theil des fertig vorhandenen Ammoniak nur 0.1 Theil bei der Oxydation entziehenden. Damit ein Molekül Ammoniak entstand, mussten 35 Moleküle Sauerstoff zugeführt werden.

In der Nähe der Landungsstelle bildet ein älterer, aufgelassener Steinbruch, welcher für den Bau der Hafenanlagen am Süende des Suezcanals benützt worden war, den untersten Theil des eigentlichen Gebirgsabhanges. Während die oberen Theile des Abhanges aus mächtigen horizontalen oder fast horizontalen Schichten bestehen, sind hier unten nur undeutliche Anzeichen einer Schichtung vorhanden. Versteinerungen, Muschelschalen u. dgl. fehlen hier, in den höheren Lagen dieses Abhanges und in fast allen übrigen besuchten Gebirgen um das Rother Meer ganz oder fast ganz. Es ist wahrscheinlich, dass vorhandene gewesene Muschelschalen etc. wegen eingetretener Lösung unter gleichzeitiger chemischen Änderungen oder ohne solche verschwanden, oder derart verändert wurden, dass sie nicht mehr zu erkennen sind.

In diesem Steinbruch war stellenweise die Aussenfläche des Gesteines mit einer weissen, ca. 1 mm dicken, krystallisirt aussehenden Kruste bedeckt. Im Innern des Gesteines kamen beim Zerschlagen eben so dünne oder wenig dickere, blättrige Lagen zum Vorschein, welche dasselbe Aussehen hatten und anscheinend die Ausfüllung ehemaliger Gesteinsprünge darstellten. Zum Theil unter dem Einfluss des hier zwar sehr seltenen Regenwassers mag in Folge Lösung und Wiederabscheidung diese an sich unbedeutende Stoffzufuhr und Gesteinsbildung stattgefunden haben. Sowohl die blättrigen Lagen im Innern des Hauptgesteines als auch die von den Steinbrucharbeitern vor einigen Jahren blossgelegten Gesteinslamellen, welche jetzt den Eindruck von Krusten machen, liessen sich durch Daraufschlagen mit dem Pistill vom Hauptgestein abtrennen. Sie schmeckten nicht salzig, enthielten nur Spuren von Gyps,

¹⁾ Im Meerwasser kommen auf 100 Theile Chlor 181 Theile Gesamtsalz.

ganz wenig Magnesiumcarbonat und bestanden zumeist aus kohlensaurem Kalk. Zum Theil kann in ihnen die Substanz ehemaliger Muschelschalen u. dgl. vorliegen.

Vom hell-gelblichgrauen, sehr harten Hauptgestein hatte nur ein Theil der Bruchflächen einen salzigen Geschmack. Nach dem Zerschlagen in kleine Stücke wurden von diesen solche ohne weisse Lagen von kohlensaurem Kalk ausgesucht und gepulvert.

Gyps war nur in ganz geringen Mengen darin, so dass für 25 g des Pulvers 220 cm^3 Wasser genüigten, um alles Lösliche zu entfernen. Die Untersuchung der Lösung ergab, dass im Gesteinspulver 0.04% Chlor und 0.14% Gesamtsalz (bei 175° getrocknet) enthalten waren. Es kamen also auf 100 Theile Chlor 350 Theile Salz, welches Verhältniss ziemlich bedeutend von dem für Meerwasser charakteristischen abweicht. Die Lösung hatte viel stärker alkalisch reagirt als Meerwasser und nur eine ganz schwache Salpetersäurereaction gegeben. Der Abdampfungsrückstand der Lösung stellte ein amorphes Häutehen dar, welches beim Erhitzen auf dem Platinbleche verkohlte.

Die Zusammensetzung des mit Wasser gewaschenen Gesteinspulvers näherte sich der des Dolomites. Neben 55.53% CaCO_3 waren 41.96% MgCO_3 . Auf 100 Moleküle des ersteren kamen 90 Moleküle des letzteren. Die gefundene Kohlensäure (Bestimmung aus dem Gewichtsverlust mit heisser Salzsäure) genügte übrigens nicht für die gesamte Menge der alkalischen Erden. 1.55% MgO waren darnach als Silicat vorhanden. Als in einer in kochender, fast concentrirter Salzsäure löslichen Form zugegen haben sich ferner 0.08% Al_2O_3 , 0.07% Fe_2O_3 , 0.008% MnO und 0.024% SO_2 gezeigt. In Salzsäure und Sodalösung unlöslich waren nur 0.14%.

Von Oxalsäure fanden sich 0.0049 und von Gold höchstens 0.00011%,¹ Nickel und Kupfer waren nicht vorhanden.

Von Ammoniak waren 0.007% fertig vorhanden und entstanden 0.0005% bei der Oxydation der organischen Substanzen. Es kamen also auf einen Theil des ersteren nur 0.07 Theile des letzteren. Um ein Molekül Ammoniak zu bekommen, mussten 43 Moleküle Sauerstoff zugeführt werden. Es wurden nämlich 0.04% Sauerstoff aus Kaliumpermanganat aufgenommen.

Beim Aufstieg wurden von der ersten weissen (fast weissen) Schicht des Abhanges gelblich-röthlich-weisse, ziemlich mürbe Steinstücke genommen. Am stärksten röthlich waren die Innenflächen der andeutungsweise vorhandenen Risse (Flächen leichterer Spaltbarkeit). Das specifisch leichte Gestein gab ein lockeres Pulver,² welches etwas röthlicher war als das Pulver der manche Stellen des Meeresgrundes bedeckenden, zumeist aus kohlensaurem Kalk bestehenden Steinkrusten.

Gyps war nur in sehr geringen Mengen vorhanden, sodass eine kleine Wassermenge hinreichte, alles Lösliche zu entfernen. Die wässrige Lösung war gegen Phenolphthalein und Congo-roth neutral und gab eine ebenso starke Salpetersäurereaction wie der wässrige Auszug des aus zusammengeklüfteten Muschelschalen etc. bestehenden Gesteines neben dem Strande. Auf 100 Theile Chlor kamen 310 Theile Salz; es waren nämlich 0.78% des ersteren und 2.42% des letzteren vorhanden.

Beim Auflösen des mit Wasser gewaschenen und bei 100° getrockneten Gesteinspulvers in warmer Salzsäure besass die sich entwickelnde Kohlensäure einen an Petroleum erinnernden Geruch. Als nachher das in Salzsäure Unlösliche mit Sodalösung gekocht wurde, farbte sich die letztere wegen der Anwesenheit organischer Substanzen gelbbraun.

Die Zusammensetzung der Hauptmasse dieses Gesteinspulvers näherte sich noch mehr der des Dolomites. Es kamen auf 100 Moleküle CaCO_3 94 Moleküle MgCO_3 , und zwar waren von ersterem 53.9 und von letzterem 42.4% zugegen. 1.34% MgO waren als in Salzsäure lösliches Silicat vorhanden. Als in Salzsäure löslich ergaben sich ferner 0.36% Al_2O_3 , 0.17% Fe_2O_3 , 0.022% MnO und 0.007% SO_2 . 1.49% waren in Salzsäure und Sodalösung unlöslich. Von Gold fanden sich höchstens 0.0001%,³

¹ Eine Goldgewinnung wäre bei den auch hier kaum mehr als Spuren betragenden Mengen und bei dem Umstand, dass ihre gleichmässige Vertheilung eine Anreicherung durch Schlämmen des Pulvers ausschliesst, selbstverständlich nicht lohnend.

² 7 g davon nahmen 6 cm^3 ein, während schon 5 cm^3 des Pulvers des harten Gesteines aus dem ehemaligen Steinbruche am unteren Theil des Abhanges 7 g wogen.

von Nickel und Kupfer nicht bestimmbare Spuren. Von Oxalsäure ergaben sich 0.0011%/. Die Soda-Ausko-
 chung des Gesteinspulvers hatte beim Anäuern mit Essigsäure einen ziemlich starken, gallertartigen
 Kieselsäure-Niederschlag fallen lassen.

0.013% Ammoniak waren fertig vorhanden, 0.0005% entstanden bei der Oxydation; auf einen Theil
 des ersteren kommen also 0.04 Theile des letzteren. Aus übermangansaurem Kalium wurden 0.04%
 Sauerstoff aufgenommen. 43 Moleküle Sauerstoff entfielen auf ein sich bildendes Ammoniakmolekül.

Ein grosser Theil des Abhanges trägt über thonigen Massen eine, zum Theil aus losen Stücken
 bestehende Decke von einem porösen Gestein, welches innen hell, fast weiss oder gelblich-bräunlich
 ist, dagegen aussen einen grauen bis schwarzen manganreichen Belag aufweist. Der letztere ist ebenso
 dünn wie der für Steinkrusten des Meeresgrundes charakteristische.

Dieses Deckgestein liess sich schwerer als das der fast weissen Schicht, aber leichter als das des che-
 maligen Steinbruches zerschlagen und pulvern. An manchen Stellen der Oberfläche haben sich Andeutungen
 gezeigt, dass im Gestein umgeänderte Korallenskelette (Orgelkorallen) enthalten sind.

Nach der Behandlung mit destillirtem Wasser wurden 0.02% Chlor und 0.48% Salz gefunden. Letz-
 teres konnte nur durch Verwendung von viel Wasser ausgezogen werden, denn es war zumeist Gyps. Auf
 100 Theile Chlor kommen 2400 Theile Gesamtsalz. Der erste Auszug, welcher alles mit Ausnahme
 des Restes von Gyps enthielt, war schwach alkalisch und gab nur eine schwache Salpetersäurereaction.

Der Gehalt an $MgCO_3$ war grösser als in dem Gesteinskitt der Steine aus der unmittelbaren Nähe des
 Strandes, aber kleiner als in den beiden anderen Gesteinsarten des Abhanges. Es kamen auf 100 Mole-
 küle $CaCO_3$ 72 Moleküle $MgCO_3$. Von ersterem waren 60.28, von letzterem 36.29% vorhanden. Ferner
 ergaben sich als in Wasser unlöslich und in kochender starker Salzsäure löslich 1.44% MgO , 0.18%
 Al_2O_3 , 0.19% Fe_2O_3 und 0.03% SO_2 . Mangan war in dem Deckgestein selbst nur spurenweise vorhan-
 den, der graue bis schwarze Belag enthielt, wie schon gesagt, viel Mangan, und zwar als Superoxyd.

In Salzsäure und Sodälösung unlöslich waren nur 0.25% Gold, Nickel und Kupfer wurden nicht
 gefunden. Von Oxalsäure ergaben sich 0.0059, von Ammoniak 0.010%/. 0.00009% Ammoniak entstanden
 bei der Oxydation, d. h. nur 0.009 Theile auf einen Theil des bereits vorhandenen. Bei der Behandlung
 mit übermangansaurem Kalium wurden 0.03% Sauerstoff aufgenommen; auf ein sich bildendes Ammo-
 niakmolekül kamen 200 Moleküle Sauerstoff.

Die zweite weisse Schicht, bis zu welcher emporgestiegen wurde, ist viel mächtiger als die erste
 und reich an Gyps, welcher zum Theil ausgedehnte Krystallaggregat bildet. In der weissen Hauptmasse
 fanden sich rothe Striche, manchmal zeigten sich auch dünne grünliche Lagen.

Ein 300 g schweres, schön krystallisirtes Gypsstück war innen fast rein weiss. Die beiden Hauptflächen
 des plattenförmigen Stückes, sowie alle Spaltflächen waren leithaft. Der Chlorgehalt betrug nur 0.0086%/.
 Der wässrige Auszug reagierte gegen Phenolphthalein und Congo-roth neutral und gab fast keine Salpeter-
 säurereaction. Es war fast reiner Gyps (mit zwei Molekülen Krystallwasser). Gold und Nickel wurden
 nicht gefunden, Kupfer nur in unbestimmbaren Spuren. Von Oxalsäure ergaben sich 0.0063, von Ammo-
 niak 0.000%/. Bei der Oxydation bildeten sich 0.0001% Ammoniak, also 0.01 Theil auf einen Theil des
 bereits vorhandenen. Von Sauerstoff wurden nur 0.0001% aufgenommen oder 100 Mole-
 küle bei Bildung eines Ammoniakmoleküles. —

Am Nachmittag des 29. März wurden die in der flachen Wüste auf der asiatischen Seite der Bucht
 von Suez, eine halbe Stunde landein gelegenen Mosesquellen besucht. Aus dem Bassin der am stärksten
 fliessenden Quelle im südlichsten Theil des Palmehaines wurde Wasser zur Analyse geschöpft.

Das Wasser war schwach kohlsauer. Vom schlammigen Boden des teichartigen Bassin steigen
 kohlen-säurehaltige Gasblasen auf. Die reichlich vorhandenen Algen führen dem Schlamm organische Sub-
 stanzen zu. Von ganz gebundener Kohlensäure wurden auf 11.28.04 cm^3 (bei 0° und 760 mm Druck)
 gefunden.

In beziehungsweise für 1000 g Wasser ergaben sich 0.546 g Ca, 0.081 g Mg, 0.005 g K, 1.00 g Na,
 0.075 g CO_2 (ganz gebunden), 0.013 g SiO_2 , 2.34 g Cl, 0.39 g SO_4 und 5.674 g Sulfat-Rückstand.

Auf 100 Theile Chlor kommen 23.44 Theile Ca, 3.40 Theile Mg, 2.78 Theile K, 45.53 Theile Na, 243.73 Theile Sulfatrückstand, 3.22 Theile CO_2 , 0.578 Theile SiO_2 und 17.01 Theile SO_4 . Vergleicht man diese Zahlen mit den für das Meerwasser charakteristischen,¹ so zeigen sich trotz der im Quellwasser gelösten grösseren Kalkmengen beim Sulfatrückstand, Kalium, Natrium und bei der Schwefelsäure ähnliche Verhältnisszahlen zu Chlor.

Auf 100000 Atome Chlor kommen im Quellwasser 20775 Atome Ca, 5150 Atome Mg, 2523 Atome K, 70021 Atome Na, 1904 Atomgruppen CO_2 , 270 Atomgruppen SiO_2 , 3279 Atomgruppen SO_4 , im Ganzen 121466 basische und (Chlor einbezogen) 116006 saure Valenzen, ferner im Ganzen (Chlor einbezogen) 200028 Atome und Atomgruppen.² Auch hier zeigt sich die theilweise Übereinstimmung mit den für Meerwasser charakteristischen Zahlen. Es sieht aus, als ob das einst in Meerwasser gelöste Salzgemisch durch locale Abscheidungen und Wiederauflösungen Veränderungen erlitten hätte, welche sich bis zu einem gewissen Grade gegenseitig aufheben. Die zuviel gefundenen basischen Valenzen deuten auf organische Säuren hin, welche zum Theil oder zumeist erst im Schlamm des Quellbassin entstanden sein mögen. —

Am 5. März 1896 Morgens war »Pola« vor dem Ras Mallap der Westküste der Sinaihalbinsel vor Anker. Bei Gelegenheit der ohne günstigen Erfolg ausgeführten Suche nach einem für die Zelte zu den Landbeobachtungen geeigneten Platze hat Herr Siebenrock von einer der aus Höhlen hervorkommenden heissen Quellen³ am Fuss des Djebel Hammam Farān (Berg des Paranaenbades) Wasser geschöpft. Am Bord betrug die Wassertemperatur noch 42°C. Die Temperatur der Quelle dürfte 70° gewesen sein, und es hatte sich dort ein schwacher Schwefelwasserstoffgeruch bemerkbar gemacht.

Es ergab sich, dass in einem Liter des Wassers, welches gegen Lakmus neutral reagirte, 22.67 cm^3 ganz gebundener Kohlensäure und 3.9 cm^3 Ammoniak ($\equiv 0.0032 \text{ g NH}_3$) vorhanden waren. Beim Kochen mit übermangansaurem Kalium wurden 0.80 cm^3 Sauerstoff aufgenommen und 0.05 cm^3 Ammoniak, also zwei Zehntel des fertig vorhandenen, gebildet. Bei dieser Ammoniakbildung kamen auf ein Molekül Ammoniak nur 11 Moleküle Sauerstoff.

In 1000 g Wasser waren 1.203 g Ca, 0.320 g Mg, 0.116 g K, 3.847 g Na, 0.06 g CO_2 , 0.056 g SiO_2 , 8.830 g Cl und 0.830 g SO_4 . Der nach dem Abrauchen mit Schwefelsäure erhaltene Sulfatrückstand wog 17.878 g. Nach dem bei 17.5° 1.01134 betragenden specifischen Gewicht des Wassers waren 1.5% Salz zugegen, fast halb so viel als im Meerwasser.

Auf 100 Theile Chlor kommen 13.68 Theile Ca, 3.73 Theile Mg, 1.32 Theile K, 43.54 Theile Na, 202.34 Theile Sulfatrückstand, 0.68 Theile CO_2 , 0.61 Theile SiO_2 und 9.46 Theile SO_4 .

Auf 100000 Atome Chlor kommen 12125 Atome Ca, 5506 Atome Mg, 1194 Atome K, 69057 Atome Na, 401 Atomgruppen CO_2 , 268 Atomgruppen SiO_2 , 3492 Atomgruppen SO_4 , 71 Atomgruppen NH_3 , 103484 basische und (incl. Cl) 108382 saure Valenzen, im Ganzen (incl. Cl) 100044 Atome und Atomgruppen.

In diesem Quellwasser kann die im Vergleich zu Meerwasser grosse Calciummenge zum Theil auf eine stattgefundene Auflösung von Gyps oder Anhydrit zurückgeführt werden, wenn man annimmt, dass vorher Schwefelsäure, z. B. durch Reduction zu Schwefelwasserstoff und Abscheidung von Schwefeleisen, entfernt worden ist. Das Überwiegen der Chloratome, für welches zwar die an einer kleinen Wassermenge ausgeführte titrimetrische Chlorbestimmung ein nicht ganz verlässliches Mass abgibt, deutet darauf hin, dass ein Theil des Calcium als Chlorid vorhanden ist. In dieser Beziehung, sowie in der näherungsweise Übereinstimmung bei den Kalium- und Natriumatomen und bei den CO_2 -

¹ Auf 100 Cl: 2.17 Ca, 0.74 Mg, 2 K, 55.37 Na, 216.1 Sulfat-Rückstand, 0.38 CO_2 , 13.91 SiO_2 .

² Im Meerwasser kommen auf 100000 Atome Chlor 5140 Atomgruppen SO_4 , 220 Atomgruppen CO_2 , 150 Atome Br, 85149 Atome Na, 9950 Atome Mg, 1920 Atome Ca, 1810 Atome K, 110000 basische und 110870 saure Valenzen, 204330 Atome und Atomgruppen.

³ Über diese Quellen im Allgemeinen und insbesondere über eine knapp am Strande entspringende spricht Russegger, Reisen in Europa, Asien und Afrika, Bd. III, S. 25 (1847).

und SO_4 -Gruppen zeigt sich eine Ähnlichkeit mit dem im Meerwasser gelösten Salzgemisch. So wie bei der Mosesquelle scheint also auch hier das in der Umgebung des Kothan Meeres so seltene Sickerwasser, welches zuletzt als Quellwasser zu Tage tritt, beziehungsweise die durch dieses Sickerwasser bewirkte Fortbewegung der in Festlandsmassen angetroffenen Salzmassen das Zustandekommen eines von dem Meeressalze vollständig abweichenden Salzgemisches zu verhindern oder wenigstens theilweise wieder rückgängig zu machen. Nur die Menge des Magnesiums, welches zur Dolomitbildung herangezogen werden kann und welches, wenn es dazu verwendet worden ist, nur schwer wieder in Lösung gebracht wird, war in beiden Quellwässern bedeutend verringert.

Die an den Quellenrändern bei den Ausgängen der Höhlungen gesammelten Steine waren von röthlich-weissen Krusten überzogen, welche zum Theile aus Gyps bestanden. Auch die Steine selbst waren gypshaltig. Ein von Sprüngen durchzogenes, mergeliges Stück, welches kaum salzig schmeckte, zumeist fast weiss oder hellgrau, stellenweise jedoch röthlich, bräunlich und gelblich war, wurde zerschlagen und zerrieben, wobei sich ein schwacher »schwefeliger« Geruch bemerkbar machte. Der wässrige Auszug eines Theiles davon war etwas mehr alkalisch als Meerwasser und gab eine schwache Salpetersäurereaction. Was sich im Wasser gelöst hatte, betrug, als bei 175° getrockneter Abdampfungsrückstand wog, 0.47% . Von Chlor waren 0.016% zugegen. Auf 100 Theile Chlor kamen also 1022 Theile Salz, während, wenig abweichend vom Meerwasser, im Wasser der benachbarten heissen Quellen auf 100 Theile Chlor 170 Theile Salz und im Wasser der Mosesquelle auf 100 Theile Chlor 200 Theile Salz kommen.

Die Untersuchung des mit Wasser gewaschenen und bei 100° getrockneten Gesteinspulvers ergab 50.35% CaCO_3 und 37.07% MgCO_3 . Es kamen also auf 100 Moleküle des ersteren 74 Moleküle des letzteren, die Umwandlung in Dolomit war, wenn man es so nennen darf, erst zu drei Viertel vollendet. Ferner fanden sich, als erst in heisser Salzsäure löslich, 0.10% Al_2O_3 , 0.10% Fe_2O_3 , 0.12% MnO und 0.11% SO_2 . 0.12% waren in Salzsäure und in Sodälösung unlöslich. Gold, Nickel und Kupfer wurden nicht gefunden, von Oxalsäure ergaben sich 0.0027 , von Ammoniak 0.013% . Bei der Oxydation mit übermangansaurem Kalium entstand fast kein Ammoniak, nämlich nur 0.0003% oder 0.004 Theile auf einen Theil fertig vorhandenen Ammoniaks. Aufgenommen wurden 0.03% Sauerstoff. Bei der Bildung von einem Molekül Ammoniak wurden 333 Moleküle Sauerstoff verbraucht. —

Zwischen den Sherm Sheich und Sherm ul moiya genannten Buchten nordöstlich von Ras Mohammed, der Südspitze der Sinai-Halbinsel, liegt ein Hügel, welcher aus unregelmässig geschichteten rothen und gelbgrauen salzhaltigen Thonmassen besteht. Auch die abgetrennten und mitgenommenen Stücke zeigten demnach verschieden gefärbte Theile durch einander. Die Stücke liessen sich sehr leicht zerdrücken und pulvern.

Das erhaltene ziegelrothe Pulver war etwas feucht, wesshalb es bei 100° getrocknet wurde. Es war ebenso locker wie das der ersten weissen (fast weissen) Schicht des Abhanges des Ataka-Gebirges; 7 g nahmen 6 cm^3 ein. Der wässrige Auszug eines Theiles des Pulvers reagierte gegen Phenolphthalein und Congoth neutral und gab eine ziemlich starke Salpetersäurereaction. Das Pulver bestand zu 4.54% aus wasserlöslichem Salz und zu 2.53% aus Chlor. Auf 100 Theile des letzteren kommen also 179 Theile Salz, d. h. fast genau ebenso viel wie im Meerwasser. Der bei 175° getrocknete Abdampfungsrückstand zerfiel an der Luft. Es war etwas mehr Magnesium- und Calciumchlorid als im Meerwasser zugegen.

3 g des mit Wasser gewaschenen und wieder bei 100° getrockneten Pulvers wurden so wie sonst mit starker Salzsäure behandelt. Nach viertelstündigem Kochen waren im weissen sandartigen Rückstand einige schwarze Punkte zu sehen. Carbonate fehlten fast vollkommen. Es wurden nur 0.51% Kohlensäure gefunden. Als in Salzsäure löslich ergaben sich 1.53% CaO , 0.54% MgO , 5.40% Al_2O_3 , 2.02% Fe_2O_3 , 0.08% MnO und 0.03% SO_2 .

Nach der Behandlung mit Salzsäure wurde der Rückstand mit Sodälösung gekocht, wobei 11.25% Kieselsäure in Lösung giengen. Das in Salzsäure und in Sodälösung Unlösliche machte 75.43% aus, worunter 07.06% Kieselsäure waren.

Von allen untersuchten Bodenproben der Wüstenlandschaften enthielt dieser rothe Salzthon des Südens der Sinaihalbinsel am meisten, aber auch nicht viel (0.004% P_2O_5) Phosphorsäure. Etwas weniger fand sich in der gleich zu besprechenden schwarzen Gesteinsdecke eines benachbarten Salzthons. ¹ Noch weniger Phosphate waren, nach abnehmendem Gehalt geordnet, im Gestein vom Fuss des Dscheb Hammam Farafin, in den Stücken aus dem ehemaligen Steinbruch am untersten Theil des Abhanges des Ataka-Gebirges, im Gestein aus dem neuen Steinbruch am Strande davor (hier ebensoviel wie in den hellbraunen Krustenstückchen der Station 86 aus 2100 m Meerestiefe), in dem einen grauen bis schwarzen Belag aufweisenden Deckgestein vom Abhang des Ataka-Gebirges und in dem Gestein der ersten weissen (fast weissen) Schicht dieses Abhanges.

Von Oxalsäure ergaben sich in dem rothen Salzthonpulver 0.0054% , von Ammoniak 0.001% . Bei der Oxydation entstand 0.0001% Ammoniak, also 0.01 Theil auf einen Theil des fertig vorhandenen. Aus Kaliumpermanganat wurden 0.03% Sauerstoff aufgenommen. Auf ein entstehendes Ammoniakmolekül kamen 167 Moleküle Sauerstoff.

Mehrere Salzthonsügel in der Umgebung der beiden Buchten nordöstlich von Ras Mohammed tragen, wie schon gesagt, schwarzes Deckengestein. Dasselbe liess sich nur schwer mit dem Hammer zerschlagen und gab dabei Funken. An der Nordwestseite des Sherm ul moiya, etwas landein von dem gegrabenen Beduinbrunnen, wurden Stücke des bis 0.5 m dicken Gesteines zur näheren Untersuchung abgeschlagen. Dieselben besaßen ein grosses spezifisches Gewicht und zeigten braune und weisse Einsprenglinge. Stellenweise sass etwas brauner, lehmiger Sand auf. Eben solcher Sand durchsetzte aderförmig und in Spaltenform die Gesteinstücke. ² Nach dem Zerschlagen ³ wurden rein schwarze Stückchen ausgesucht und zerrieben. Es ergab sich ein fast schwarzes, einen Stich ins Rothbraune aufweisendes Pulver.

Der wässrige Auszug eines Theiles des Pulvers reagierte gegen Phenolphthalein und Congoroth neutral und gab eine ziemlich starke Salpetersäure-Reaction. Es musste ziemlich viel Wasser verwendet werden, um den ganzen Gyps in Lösung zu bringen. Hernach ergaben sich 0.06% Chlor und 0.92% Abdampfungsrückstand (bei 175° getrocknet). Auf 100 Theile Chlor kommen also 1533 Theile Salz.

Theile des mit Wasser gewaschenen und bei 100° getrockneten schwarzen Pulvers wurden mit rauchender Salzsäure behandelt. Die jodometrische Bestimmung des entwickelten Chlors zeigte 26.85% MnO_2 an. Der in der salzsauren Lösung gefundenen Manganmenge würden 27.21% MnO_2 entsprechen. Es ist also fast das ganze Mangan in der Form von Braunstein vorhanden.

In heisser Salzsäure lösten sich ferner 1.56% CaO , 0.03% MgO , 1.97% Al_2O_3 , 1.19% Fe_2O_3 und 0.000% SO_2 . Kohlensäure war nicht zugegen.

Nach dem Kochen mit Salzsäure waren 1.91% in kochender Natriumlösung lösliche Kieselsäure vorhanden. Das in Salzsäure und in Natriumlösung Unlösliche betrug 61.17% , von welchen 59.83 aus Kieselsäure bestanden.

Gold, Nickel und Kupfer wurden weder in diesem schwarzen Gestein, noch in dem rothen Salzthon des benachbarten Hügels angetroffen.

¹ Eine seit Langem sich vollziehende Abnahme der Salzinhaltsmenge der Sinai-Halbinsel, d. h. eine allmähliche, durch Lösungsvorgänge verursachte Vertiefung des an die Südspitze der Halbinsel grenzenden Meeres und eine allmähliche, zum Theil durch diese Vertiefung bewirkte Abhöckerung der Küsten kontin, weil dem in den Meeresgrund einfliegenden und in den Festlandswannen capillar aufsteigenden Wasser Lösung und Oxydation erleichtert wurden, zu einer in Folge Verdunstung und vollständiger Oxydation auf dem südlichsten Theil der Sinai-Halbinsel eingetretenen Anreicherung von Eisenoxyd, Mangan-dioxyd und Phosphaten beigetragen haben.

² Dieser Sand war anscheinend auf das schwarze Deckgestein darauf- und in vorhandene Spalten und Sprünge hineingeweht worden.

³ Bei dem Zerschlagen in kleine Stückchen kamen $1-2\text{ mm}$ lange Quarzkrystalle, theils farblos, theils weiss, theils gelblich und rüthlich, zum Vorschein. Beim Glühen trübten sich diese Kryställchen. — Wurde ein Stückchen des schwarzen Gesteines mit concentrirter Salzsäure erwärmt, so zerfiel es unter reichlicher Chlorentwicklung in ein weisses, zum Theil aus Quarz bestehendes Pulver.

Von Oxalsäure ergaben sich 0.0045 und von Ammoniak 0.0003%. Bei der Oxydation mit übermangansaurem Kalium entstanden 0.0003% Ammoniak und wurden 0.04% Sauerstoff aufgenommen. Auf einen Theil fertig vorhandenen Ammoniaks kamen 0.05 Theile des bei der Oxydation entstehenden Ammoniaks, auf ein Molekül des letzteren kamen nur 65 Moleküle Sauerstoff. Diese letztgenannte Verhältnisszahl deutet darauf hin, dass bei der in Gestein, beziehungsweise in den darunter befindlichen Festlandsmassen stattfindenden Oxydation relativ leicht Ammoniak entsteht. Dieses Ammoniak begünstigt die Auflösung von Manganoxydul und bereitet so die im Deckgestein unter dem Einfluss des atmosphärischen Sauerstoffes erfolgende Braunsteinbildung vor. —

Es erübrigt noch, über eine Anzahl von qualitativen Prüfungen und über sonstige gelegentliche Beobachtungen zumeist geologisch-chemischer Natur zu berichten.

Auf den niedrigen Bodenschwellungen zwischen den Wadiausgängen bei Mersa Halaib wurden an einigen Stellen Gypskrystalle gefunden.

Südöstlich vom Kas Benas liegt die in den früheren Abschnitten dieser Schrift bereits öfters erwähnte kleine, gebirgige Insel St Johns, auf welcher im Alterthum Smaragde gegraben wurden. In der Nähe des Strandes, und an einigen Stellen auch weiter oben, sind Theile der Oberfläche weiss von den Entleerungen der vielen hier nistenden Möven (Art Tölpeln). Sonst herrschen, wie bei der Fahrt um die Insel zu sehen war, Braun und Schwarz auf den Höhen und in den Thälern vor. Oben sind manchmal grüne Schichten vorhanden. Am Vormittag des 21. November 1895 stellte sich, was nur selten geschieht, ein Regen ein, welcher mit grosser Stärke zwei Stunden lang anhielt. Nachmittags zu 24stündigem Aufenthalte (*-Pola-*) musste Abends den gefährlichen Ankerplatz verlassen) ans Land gekommen, liess sich weder bei der sofort begonnenen Wanderung am Strande und auf den Inselbergen, noch bei dem auf der kleinen Schutthalde einer engen Schlucht bewerkstelligten Übernachten eine Bodenfeuchtigkeit wahrnehmen. So bedeutend ist das Bestreben der unter der Bodenoberfläche befindlichen Festlandsmassen Wasser aufzusaugen. Öfters sieht man als Decken von Salzthon oder von hellem, verschiedenfärbigem Gestein lavnähnliche Bildungen, unscheinend plattenförmige Abscheidungen aus capillar emporgestiegenen, vorausgeleiteten wässrigen Lösungen in verschiedenen Stadien des Entstehens und der Verwitterung.

Eine Stunde landein von dem Landungsplatz bei der Stätte des alten Berenice (Festlandsküste) befindet sich vor einer Doppelreihe hoher Berge ein zerklüfteter Granithügel, welcher vom Flugsand stark corrodirt ist. Der Umstand, dass die Aussenseite härter ist als das Innere, hat es mit sich gebracht, dass hinter den äusseren Flächen von den Rändern aus die Granitmassen zum Theil entfernt wurden, wodurch punzerartige Gebilde entstanden. Der nördliche Abhang eines in die Strandebene vorspringenden Berges ist durch den Flugsand der vorherrschenden NNW-Winde förmlich polirt worden.

Vom 29. December 1895 bis 1. Jänner 1896 lag *-Pola-* in der, vor allen Winden geschützten, Sherm Sheih genannten kleinen Bucht der afrikanischen Küste nördlich von Berenice. In einer halben Stunde Entfernung vom Strande erhebt sich dunkles, zumeist braunes, quarzreiches Urgebirge. Zwischen beiden befinden sich mehrere weisse oder fast weisse Hügelstreifen, durch Thäler und Schluchten, die parallel zur Strandlinie verlaufen, getrennt. Von der Bucht aus führt ein gerades Thal, alle diese Hügelstreifen durchbrechend, zum Ausgang einer von hohen steilen Wänden gebildeten, sich fortwährend windenden Thalschlucht, in welcher man, nur ganz wenig ansteigend, das Urgebirge durchschreiten kann, eine von formenreichen Bergen umsäumte, grünbewachsene Ebene erreichend. In derselben sind die langstacheligen Akazien nicht niedrig und auch nicht fahnenartig gegen SSO gewachsen, wie es in den Wüsten an den Ufern des Rothen Meeres der Fall ist, wo sie stellenweise, manchmal in Begleitung einer spärlichen, aber mannigfachen Kräutervegetation¹ vorkommen und wo der letzteren ebenfalls stark variirende Käferarten beigemischt sind. In dem zu der engen Thalschlucht des Urgebirges führenden ziemlich breiten Thal ist aus dem nordnordwestlich gelegenen Hügelland stammender Flugsand an den SSO-Seiten von Tamariskensanden abgelagert. Von der nördlichen Thalwand springen stellenweise bis 5 und mehr Meter hohe Sand-

¹ Manche Wüstenpflanzen haben oberhalb des Bodens Wasserschläuche mit fettigen Zellwänden.

wehen¹ vor, welche zum Theil ebenfalls gegen SSO gerichtet sind, zum Theil jedoch wegen des Anprallens und Abgelentkwerdens des NNW-Windes an Felswänden mit ihren scharfen Kämmen etwas von dieser Richtung abweichen. Auch in die dem Meere zugekehrten Theile des Umgebirges ist heller Flugsand gelangt, wo er nun stellenweise Abhänge, Bergsättel und Thalsohlen bedeckt.

Die weisse oder helle, von NNW gegen SSO verlaufende Furchen aufweisende Hügellandschaft, deren südlicher Theil nach verschiedenen Richtungen begangen wurde, ist reich an Gyps. Zumeist wurde er als gypsreicher Kalkstein und als Decke von Salzthon angetroffen. Die Dicke der Decken schwankte zwischen wenigen Centimetern und mehreren Metern. Gypskristalle, manchmal mehrere Decimeter lang, sind anscheinend, wenigstens in manchen Stellen, unter dem Einfluss des spärlichen Regenwassers, nach Auslaugung gypsreichen Kalksteines entstanden. Wegen solcher Auslaugung, noch mehr jedoch wegen der Wirkung des Windes und des Flugsandes verlaufen die Ränder der gypsführenden Decken meist sehr unregelmässig, weisen Spalten auf und sind oft geborsten. Anhäufungen von Eisenoxyd färben einzelne Theile der gypsführenden oder fast nur aus Gyps bestehenden Massen roth. Die oberste Lage der Decken ist in sehr wechselndem Maasse, stellenweise unter Anhäufung von Braunstein erhärtet, so dass sie bis zu einem gewissen Grade einen Schutz für die darunter befindlichen Massen bildet. Der zungenförmige Vorsprung eines Hügels² weist, besonders an der Nordseite unter einem solchen manganreichen, an den Rändern zum Theil nach abwärts gebogenen, zum Theil abgebrückelten Deckenbelag viele horizontale, Centimeter bis Decimeter dicke Schichten auf, welche sich zumeist aus Aggregaten 1—4 cm langer, säulenförmiger Gypskristalle zusammensetzen. Anderwärts zeigten die aus den erdigen und steinigen Gypsmassen entstandenen Krystalle die Form von Marienglas. Blättchen von diesem bedeckten auch einzelne Stellen der Niederungen zwischen den gypsführenden Hügeln, welche Niederungen trotz des Salzgehaltes des Bodens nicht ganz der Vegetation entbehren (ab und zu an Alpenrosen erinnernde Büsche, rosa und weisslich blühend). Ganz nahe bei der kleinen, runden Bucht fanden sich Sandsteinsplatten über lehmigem Sand, welche, jetzt nebeneinander und in verschiedenen, gegen die Bucht zu sich verringenden Höhen lagern oder hohl liegen, anscheinend einst den Deckenbelag eines Gypshügels gebildet haben und allein übrig geblieben sind. An anderen Stellen wurden bis zu einer Höhe von 30 m und mehr über dem Meere Andeutungen von in den Deckenbelägen festgewachsenen Korallenstücken vorgefunden, und zwar am häufigsten in jenem, ebenfalls dem Meeresstrand parallel laufenden Höhenzug, welcher von allen weissen oder hellen am weitesten vom Meere entfernt und am höchsten ist, an das Urgebirge grenzt oder von diesem nur durch das letzte der parallelen furchenartigen Thäler getrennt ist. —

Am 2. Jänner 1896 wurde etwas weiter nördlich die Mersa (Ankerplatz) Dhiba angelaufen, eine jener Einbuchtungen, welche, im Vergleich zu den Shern's weniger kreisrund gestaltet, auf der Seeseite keine oder nur eine geringe gegenseitige Annäherung der Strandstreifen aufweisen, also offener sind. Mersa Dhiba liegt vor einer weiten Thalniederung, in deren mittlerem Theile sich ein schwarzer conischer Hügel befindet. Letzterer wies eine Stein- und Geröllschicht über Sand und Salzthon auf.³ Sand und Salzthon waren auch hier zum Theil weggeblasen und weggeschwemmt worden, so dass die Steindecke stellenweise überhing oder eingestürzt war. Gegen Norden bildet Kalkstein mit stellenweisen Koralleneinschlüssen die plateauartige Decke von Salzthongügeln. Weiter landein fand sich am Südrand der Thalniederung über Salzthon eine Lage von, theilweise in grosse Blöcke zerbrochenem Sandstein.⁴ In der Nähe dieser Sandsteine wies der steile Nordabhang der Thalniederung über einander gelagerte Schichten von gelbem und rothem salzigem Lehm und von dolomitischem, eisenhaltigem und

¹ Siehe die Abbildung einer derselben auf Tafel VII. — Copien meiner sämtlichen photographischen Aufnahmen aus den Wüstengebieten an den Rändern der nördlichen Hälfte des Rothen Meeres befinden sich im geographischen Institut (Prof. Penck) der Wiener Universität.

² Siehe Tafel VII, unten.

³ Das Salz (zumeist Chlornatrium) zeugt sich zum Theil in 5—10 mm dicken Lagen von Krystallaggregaten. Gegen das Meer zu abfallend, wiesen diese Salzlagen im Maximum einen Neigungswinkel von 43° auf.

⁴ Siehe Tafel VIII

gypsführendem Sandstein auf. In der Thalniederung selbst war der Boden streckenweise mit Salz bedeckt und mitunter vom letzten Regen noch feucht. An den ersteren Stellen hat ansehnend das oberflächlich eingesickerte Regenwasser eine theilweise Auslaugung von Salz bewirkt, welcher Auslaugung bei der Verdunstung des Wassers die Salzabscheidung gefolgt ist. In den Salzthonhügeln südlich von der Thalniederung zeigten sich Schichten von gelblichem und röthlichem Lehm mit Sandstein oben. Spalten des Salzthones sind mit Gyps ausgefüllt. Eine ca. 5 cm dicke, fast horizontale Lage von schön krystallisiertem Gyps war stark gekrümmt und verworfen, besonders dort, wo sie sich im Gesteinsschutt befand, fiel jedoch vorwiegend gegen das Meer zu ab.—

Bei der Stadt Kosefr mündet ein bedeutenderes Thal, als Ende eines Thalsystemes. Im Herbste (Ende October 1895) war der Thalboden vollkommen trocken gewesen, im Winter (Mitte Jänner 1896) war ein weites Gebiet des Thalbodens feucht und stellenweise mit Salz bedeckt. Ende November hatte eine Überfluthung mit Regenwasser stattgefunden, welches zum Theil in Gruben und durch Dämme zurückgehalten worden war. Schachtartige Brunnen liefern das ganze Jahr aus einer Sandschicht etwas Wasser für kleine Gärten.¹ —

Die beiden kleinen, Kosefr vorgelagerten Brüderinseln sind niedrig und flach. Die kleinere ist nur hellfärbig. Bei der grösseren trägt schwarzes, basaltartig aussehendes Untergrundgestein von unebener Oberfläche eine weisse Decke von Kalkstein mit eingewachsenen Korallenstücken. Die obere Fläche dieses Deckengesteines ist vollkommen eben und parallel der Meeresoberfläche und besitzt von angereichertem Eisenoxyd eine röthliche Farbe.² —

Das niedrige Vorgebirge Ras Abu Somer lässt nur Wüsten- und Dünen sand erkennen. Wie auch sonst oft, sind am Strande immer oder zeitweise von Meerwasser bedeckte Steinplatten vorhanden, welche aus zusammenge kitteten Muschelschalen, Korallenstücken etc. bestehen. Beim Zerbrechen zeigten sie sich innen fast weiss, während sie aussen von Mangansuperoxyd schwarz waren. Der Gehalt des Inneren an organischen Substanzen machte sich auch dadurch bemerkbar, dass beim Behandeln mit Salzsäure ein zäher grossblasiger Schaum auftrat.

Landein befindet sich ein Hochgebirge (Urgebirge), welches hier, wie öfters am Rothen Meere und anderweitig, in mehreren, zur Längerstreckung des Rothen Meeres parallelen Ketten angeordnet ist. Die dazwischen liegenden Thäler, zum Theil durch Winderosion und durch seitliche Ablagerung von Flugsand, der sich später verfestigen konnte, entstanden, weisen vielleicht darauf hin, dass einst das Meerwasser bei dem Beginn der Bildung des Rothen Meeres eine Rinne eingenommen hat, deren Richtung ebenfalls durch Wirkungen der Luftbewegung bedingt worden war.³ —

Die dem Golfe von Suez vorgelagerte Insel Scheduan ist in ihrem südöstlichen Theile braun mit schwarzen Flächen und Bändern, dagegen in ihrem nordwestlichen Theile bis zur Kammhöhe weiss und horizontal geschichtet.

In diesem westlichen Theil ist zu unterst eine klüfterreihe, stellenweise wie gehoben und dabei geborsten aussehende Hügelfreihe mit einzelnen tief eingeschnittenen Schluchten, auf deren Boden Gypsplättchen liegen. In diesen Schluchten und unmittelbar über den Hügeln ist die Steigung nur gering, nimmt dann rasch zu und bleibt bedeutend, manchmal weisse, fast senkrechte Wände bildend, bis zur Kammhöhe

¹ Das Trinkwasser für die Stadt und für die Karawanen nach dem Nithal wird durch Destillation von Meerwasser gewonnen.

² Die Aussenflächen der meisten Küstenberge sind gleichfalls röthlich. Vielleicht führt der von den alten Hellenen diesem Meere gegebene Name daher.

³ Man könnte ferner annehmen, dass sich früher auch die Rinne des Nithales, wenigstens in ihren unteren Theilen (bis gegen Chartum) von SNW nach SSO erstreckt habe, und zwar in jener Entfernung von der Rinne des Rothen Meeres, welche jetzt (nahe den Nilmündungen) die kürzeste ist. Das Rothe Meer hätte dann seine Lage und Richtung beibehalten, während das Nithal an den meisten Stellen, jedoch in sehr verschiedenem Masse gegen Westen verschoben worden wäre. In zwei charakteristischen Senkrechten auf die Richtung des Rothen Meeres, nämlich in jener, welche durch die Mitte der Längerstreckung des ganzen Rothen Meeres, und in jener, welche durch die Mitte der Längerstreckung des Golfes von Suez verläuft, liegen die jetzigen Maxima der Entfernungen zwischen Rothem Meer und Nithal.

Der ganze Abhang erwies sich als gypshaltig,¹ und zwar waren unter der knirschenen, zum Theil krystallinischen Gypsdecke fast nur amorph-erdige Massen zu bemerken. Dieses weisse, nicht sehr harte Gestein brauste in den unteren Theilen des Abhanges mit Salzsäure nicht oder nur ganz schwach. Ein von weiter oben stammendes Stück brauste mehr, während das Gestein des Kammes² mit Salzsäure bei gewöhnlicher Temperatur am meisten Kohlensäure entwickelte. Letzteres Gestein war am reichsten an kohlen-saurem Kalk, am ärmsten an Dolomit und enthielt auch nur wenig Gyps. Etwas Eisenoxyd färbte seine Oberfläche ganz schwach röthlich. Ebenso wie in der Hügelreihe am Strande fanden sich auch in bedeutenden Höhen ca. 0.5 m dicke Decken von ehemaligem Korallenkalkstein, der jedoch hier in bedeutend grösserem Maasse Umwandlungen erlitten hat. Er bestand zumeist aus zusammenge kittetem Lchm mit vielen Muschelabdrücken und -Ausfüllungen (anscheinend recente Formen). Sowohl Muschelausfüllungen, als auch Muschelschalen etc. selbst hatten eine dolomitische Zusammensetzung.³ Die blossliegenden Aussensflächen von ihnen waren reich an Eisenoxyd und Mangandioxyd. Bei vielen Korallenstücken hatte sich oberflächlich eine schwarze Manganfarbe eingestellt, und waren die Umwandlungen so weit vorgeschritten, dass sich die korallenartige Structur kaum mehr erkennen liess.

Am Südstrande gegen Südosten gehend, konnte ich bei Annäherung an den dunklen, granitischen südöstlichen Inseltheil eine Zunahme der zur Eisen- und Manganabscheidung und zur Bildung von Aluminium- und Doppelsilicaten führenden Umwandlungen von ehemaligem, von Organismen stammendem, kohlen-saurem Kalk, welcher unter Anderem ebenso färlend wirken kann wie Baryumcarbonat, wahrnehmen.⁴ Zwischen dem weissen, horizontal geschichteten nordwestlichen Inseltheil und dem dunklen, fast schwarzen wildzerklüfteten südöstlichen Theil befindet sich ein braunes Felsgebirge, welches ich bis zur Nordküste überstieg. Auf beiden Seiten des Gebirges ziehen sich enge, manchmal Granitschluchten bildende, etwas Vegetation aufweisende Wadi's zum Meer. In dem südlichen Wadi zeigten sich öfters in Blöcken und Wänden von weissem oder fast weissem Silicatgestein scharfe, mitunter ebene Trennungsflächen von anstossendem grauem und schwarzem, granitischem Gestein. Gegenüber liegende und benachbarte Abhänge von Seitenschluchten waren ebenfalls verschiedenfärbig (braun und schwarz). Röthliches, eisenreiches, granitisches Gestein erwies sich beim Abschlagen der sich blätternden Aussenschichten im Innern als fast weiss. Auf der Sattelhöhe liegen Gypskrystallplatten und Granitblöcke neben einander.

An den Südstrand zurückgekehrt, ging ich längs desselben weiter gegen Südosten und stieg dann im dunklen, zum Theil schwarzen granitischen Gebirge aufwärts, mehrere seiner klüftereichen und zumeist steilen Schluchten verfolgend. Das schwarze Gestein bildet die Decke von braunem Gestein. An etlichen Stellen steiler Abhänge konnte man sehen, dass durch Abstürzen des schwarzen Deckgesteines⁵ das braune Gestein zum Vorschein gekommen ist. Auch Andeutungen von Neubildung schwarzen, manganreichen Deckgesteines machten sich auf braunem Gestein bemerkbar. Hoch oben waren zwei weisse Adern zu sehen. Sonst waren Risse und Sprünge, welche vielleicht durch das Schwinden von emporgehobenem, lehmartigem Meeresschlamm bei der Austrocknung und langsamen Umwandlung in granitartiges Gestein entstanden sind, ebenfalls mit schwarzem, manganreichem Gestein ausgefüllt. Manche

¹ Der nordwestliche Theil der Insel liegt im seichten Korallenriffgebiet am Ausgange des Golfes von Suez. Der Reichthum des Meeresgrundes an organischen Stoffen bewirkt dasselbst unter Anderem eine Reduction von Sulfaten (Bildung von Schwefeleisen). Wenn hiebei Schwefelcalcium entstanden und dasselbe dann auf dem Wege des capillaren Aufsteigens von Meerwasser in Festlandmassen mit Luftauerstoff (verschieden tief im Festlandsboden eindringend) zusammengetroffen ist, so kann sich unmittelbar Gyps abscheiden. Wenn (unter dem Einfluss der Kohlensäure) nicht ein lösliches Sulfid, sondern Schwefelwasserstoff entstanden ist, so ist (neben theilweiser Abscheidung von Schwefel) die spätere Bildung von Schwefelsäure möglich, welche kohlen-sauren Kalk in Gyps umwandelt.

² Herr Linienschiffs-Lieutenant v. Arbeser brachte mir die beiden Stücke von oben herab.

³ J. Walther, »Die Korallenriffe der Sinai-Halbinsel« (Abhandl. d. mathem.-physik. Cl. d. königl. sächs. Ges. d. Wiss. Bd. II, S. 437; 1888) hat analoge Umwandlungen an der Westküste der Sinai-Halbinsel beobachtet.

⁴ Der südöstliche Theil der Insel ragt aus tiefem Wasser empor. Hier konnten sowohl an ehemaligen organischen Gebilden als auch an Lchm- und Gesteinmassen andere chemische und physikalische Änderungen und neue Abscheidungen durch capillare aufsteigendes Meerwasser bewirkt worden sein, als am nordwestlichen Theil.

⁵ Warme Salzsäure löste Mangandioxyd auf und bewirkte Zerfall in weisse Körnchen von Silicat und Quarz.

Risse entbehren noch der Ausfüllung, welche anscheinend durch hineingerollten Schutt und durch hinein- gewachten, von benachbarten Schutthalden stammenden Sand eingeleitet wird. —

Die nordwestlich von der Insel Scheduan im Riffgebiet gelegene Towila-Insel ist niedrig, die benachbarte Jubal-Insel, welche ebenso wie Scheduan an der zum Golf von Suez führenden Jubalstrasse liegt, jedoch durchaus von seichtem Wasser umflossen wird, ist ziemlich hoch und zeigt weisse Abstürze, welche anscheinend aus gypshaltigem Kalkstein bestehen.

In dem durch sein Petroleumvorkommen ausgezeichneten Djebel Zeit und in anderen Bergen auf der benachbarten afrikanischen Festlandsküste findet sich auch Schwefel, welcher nach Schweinfurth¹ in den Gyps-lagen bald äusserst fein verteilt, bald stellenweise in dichteren Massen auftritt.

Nördlich von den schollenförmigen Gypshügeln bei der tief in das Land einschneidenden Bucht des Djebel Zeit wird die Küste von einem steilen hohen Abhang gebildet. Derselbe ist grau, braun, roth und violett gefärbt und zeigt Schichtungen, von welchen die unteren parallel zum Meeresniveau verlaufen, während die oberen etwas gekrümmt sind. Am nördlichen Ende des Gebirgszuges sind weisse Kuppen und weisse Theile von Abhängen, in welchen sich, wie auch sonst oft im Küstengebiet des Rothen Meeres, ein Nebeneinander von Gyps, Eisenoxyd und schwarzbraunem Mangandioxyd bemerkbar machte, welche drei Substanzen,² mitunter dünne horizontale Schichten bilden.

Fast der ganze Golf von Suez ist von gypshaltigen, zumeist geschichteten Gebirgen umgeben.³ Die Schichten verlaufen horizontal oder weichen nur wenig von der Horizontalen ab. Manchmal hat die Abbrückung und das Vertragenwerden durch Wind und Regenwasser derart stattgefunden, dass Terrassen entstanden sind. —

Die wiederholten längeren Aufenthalte in Suez boten Gelegenheit zu beobachten, dass in der Ebene nordwestlich von der Stadt bei der Herstellung neuer Rinnsalgräben für den Süsswassercanal dünne Gypslagen zum Vorschein kamen. Lehmwände, und zwar sowohl frisch blossgelegte des Bodens, als auch solche von Lehmassen, welche erst einige Jahre oder Decennien vorher aufgehäuft worden waren, zeigen einzelne dünne, von Eisen und Mangan theils rüthlich, theils bräunlich gefärbte Schichten. Bei Suez, sowie auch bei Ismaïla konnte eine oberflächliche Erhärtung (Verkittung durch begonnene Gesteinsbildung) der Böschungen von Schlammassen, welche bei der Herstellung des jetzt von Meerwasser erfüllten Schiffahrtskanales ausgebeigert worden waren, wahrgenommen werden. Salzbedeckungen des Bodens, sowie Salzabscheidung in der obersten Bodenschicht wurden sowohl bei Suez als auch sonst in der Nähe des Suezkanales bemerkt. —

In der Wüstenbene nördlich von den Mosesquellen befindet sich ca. 10 cm unter der Bodenoberfläche Salz in dünnen Lagen und in Stückchen. In der Nähe sind spärlich fliessende Quellen, welche auf isolirten, mehrere Meter hohen konischen Hügeln entspringen. Diese Hügel sind wahrscheinlich in der Art entstanden, dass der Wüstenwind auf dem feuchten und mit etwas Vegetation bedeckten Erdrich an den Quellrändern und an den Abhängen Flugsand zur Ablagerung brachte. Viel weniger als sonst an den Küsten des Rothen Meeres war hier eine vorwaltende Sandablagerung an den Südsüdostseiten der Hügel wahrzunehmen. Bei einem Hügel, dessen Quelle etwas salzreicher Wasser liefert, hat zur Verfestigung des Sandes abgeschiedenes Salz beigetragen. —

¹ Zeitschrift für allgemeine Erdkunde, N. F. 18, 296 (1895). — Siehe auch Fraas »Aus dem Oriente«, I, 191. Stuttgart 1867.

² Alle drei vermuthlich durch Oxydationsvorgänge aus dem hypothetischen, capillar aufsteigenden Meerwasser abgeschieden. Während sich auf dem Meeresgrunde wegen des steten Eindringens von Meerwasser nur stellenweise (infolge von Diffusion, an den oberen Flächen der den Schlamm bedeckenden Steinkrusten) und auch da nur in ganz dünnen Lagen Eisenoxyd und Mangandioxyd anreichern, kann es auf dem Festland zu bedeutenderen Ansammlungen kommen, besonders dort, wo vorher unter der Festlandsoberfläche und in den tieferen Lagen des Meeresgrundes durch Schwefelwasserstoff Schwefeleisen, Schwefelmangan etc. abgeschieden worden sind.

³ Unter der Annahme, dass diese Gypsvorkommen das Ergebnis eines capillaren Aufstiegs von Meerwasser in Festlandsmassen sind, würde der Reichtum des Golfeschlammes an organischen Stoffen, beziehungsweise die geringe Tiefe des Golfes das Bedeutsame sein. — Nach eventuell vor sich gegangenen Änderungen des Golfes (bedeutende Zunahme seiner Tiefe) würde in seinen Grund und in die angrenzenden Festlandsmassen sauerstoffhaltiges, schwefelwasserstoffreiches Meerwasser eindringen können. Vorher

Südlich von dem wegen seiner heissen Quellen schon erwähnten, aus sehr vielen weissen, horizontalen oder fast horizontalen Schichten bestehenden Djebel Hammam Farān¹ liegt die kleine Strandebene des Ras Abu-zenima (hier vermuthlich das Lager am »Schiffmeer« der heil. Schrift). Noch weiter südlich tritt ein dem Djebel Hammam Farān ähnlich gebauter gypsführender Gebirgszug, dessen Schichten aber zumeist nicht horizontal liegen, sondern etwas gegen Süden abfallen, ebenfalls mit einem steilen Abhang bis knapp an das Meer heran.² Während des Vorüberfahrens bei der Strandebene des Ras Abu-zenima waren gegen Osten Berge wahrzunehmen gewesen, von welchen die entfernteren dunkel und die näheren hell und geschichtet sind. Auch bei den fernen Bergen war oben manchmal deutliche Schichtung zu sehen gewesen.

Am 5. und 6. März 1896 wurden von der Strandebene des Ras Abu-zenima aus zwei Touren unternommen. Die eine führte in einem Wadi gegen Nordosten. Der Boden und die Abhänge waren salzig und stellenweise mit Gypsplättchen bedeckt. Ganz allmählig ansteigend und zumeist zwischen blendend weissen Bergen sich windend, gewährte das Wadi manchmal Einblicke in Seitenthäler, welche bald schluchtenartig bald breit und amphitheatralisch sind, indem sie terrassenförmig abgestufte Wände aufweisen. Die aus vielen dünnen Lagen bestehenden Schichtungen verlaufen meistens horizontal und sind sowohl im Gypsgebirge als auch, obwohl weniger deutlich, in Lehmhügeln zu sehen. Zwischen weissen und hellen Schichten fanden sich oft röthliche und braune. Besonders an frischen Absturzstellen von Lehmhügeln war eine Abwechselung von hellen und dunklen Schichten zu bemerken, von welchen die dunklen ziemlich hart waren.³ Lehm Massen zeigten öfters harte und halbharte schwarze, braune und rothe Decken. Einmal war eine steinharte, 5—10 cm dicke, manganhaltige, fast schwarze Decke beinahe überall in kleine Stücke zerborsten, anscheinend wegen der durch die fortschreitende Erhärtung (Versteinerung) bedingten Zusammenziehungen. Sehr oft sind hier in der Nähe und anderweitig in Küstengebieten und auf Inseln des Rothen Meeres über Salzthon lose neben einander liegende oder Breccien verkittete, derartige kleine Stücke (schwarz und färbig) gefunden worden, an den anderen Orten manchmal untermischt mit Muschelschalen und Korallenstücken. Nach zwei Stunden Gehens im Hauptwadi wurde als Thalschluss eine dünn geschichtete Fels- und Bergwand erreicht, welche oben weisse Theile und Schichtenkrümmungen zeigte, unten Andeutungen des zeitweisen Herabfliessens von Regenwasser aufwies.

Am nächsten Tage wurde das nördlich von diesem Wadi gelegene Gebirge, ebenfalls zumeist aus weissen, gypsführenden, geschichteten Bergen bestehend, überschritten. Jenseits liegt unter einer ca. 20 m hohen, fast senkrechten Wand ein Palmenhain an einem aus Osten kommenden Bächlein mit schwach salzigem Wasser. Im Thale dieses Bächleins abwärts gehend, hat man links einen schwarzen Berg mit einzelnen, etwas schiefen rothen Schichten. Stellenweise waren rothe Schichten unmittelbar unter dem schwarzen Deckgestein zu sehen. Rechts ragen die weissen Wände des Djebel Hammam Farān hoch empor. Der Bach versiegt und das sich verengende Thal krümmt sich gegen Süden. Die vielen, vom Meere aus gesehen horizontalen oder fast horizontalen Schichten des Djebel Hammam Farān steigen hier gegen Osten (landein) an (zuerst stark, dann weniger, zuletzt sind sie wieder horizontal). Es ist möglich, dass das Bächlein dieses Thales, sowie andere an der Ostseite des Djebel Hammam Farān versiegende das Wasser abgeben, welches im Innern dieses Berges wegen Oxydationsvorgänge und wegen

abgeschiedene Schwermetalle würden oxydirt, also zu neuerlicher Fortführung in Lösung befähigt werden. Dabei würde die Löslichkeit der Oxyde von Eisen, Mangan etc. bei Gegenwart von Ammoniumsalzen eine Rolle spielen.

¹ Siehe Tafel VIII, unten.

² Siehe Tafel IX.

³ Hier und anderweitig hat offenbar nicht eine schichtweise Ablagerung auf dem Boden von Wassermassen stattgefunden, sondern es sind anscheinend in verschiedenen Tiefen unter der Festlandsoberfläche Veränderungen und Neuausscheidungen vorgegangen. Die Tiefe, bis zu welcher atmosphärischer Sauerstoff als Bodenluft oder mit atmosphärischem Sickerwasser eindringt, sowie auch die Tiefe, bis zu welcher Austrocknung stattfindet, sind örtlichen und zeitlichen Änderungen und Schwankungen unterworfen. Dadurch allein, noch viel mehr jedoch durch das Zusammenreffen mit capillar aufsteigendem Meerwasser, beziehungsweise mit ihm vorausgeleiteten wässrigen Lösungen kann es zu schichtenartigen Bildungen innerhalb der Festlandsmassen kommen.

Gypsbildung aus Anhydrit erwärmt wird und dann am Fusse der Seeseite des Berges in Form heisser Quellen zum Vorschein kommt, nachdem es vorher noch mehr mit capillar aufgestiegenem Meerwasser zusammengetroffen ist. — Es wurde dann von dem zur 'Schlucht verengten Thal abgewichen und über sowie zwischen Lehmhügeln die Richtung zum Ankerplatz des Expeditionsschiffes südlich von der Strandebene des Ras Abu-zenima eingeschlagen. Rechts lag ein mächtiger schwarzer Berg, mit röthlichen Lagen unter der schwarzen Decke. —

²/₄ Stunden nördlich vom Städtchen Tor (Quarantaine in der flachen Wüste) entspringt am Abhang des gypsführenden Djebel Hammam eine lauwarme Quelle mit ganz schwach salzigem, fast gar nicht nach Schwefelwasserstoff riechendem Wasser, welches zu einem primitiven Bade und zur Bewässerung eines grossen Palmygartens (Dattelwüste und -Brantwein) dient.¹

Bei der von Tor aus unternommenen Sinai-Tour² war öfters Gelegenheit zu beobachten, wie schwarze, anscheinend durch Ausfüllung von Spalten und Rissen entstandene Adern in hellem Granit gegen unten schmaler werden und verschwinden. Manchmal waren auch röthliche und rothe Streifen und Lagen im Gestein, welche zuweilen bis zur Thalsohle herabreichten und sich über dieselbe bis zum Kamm der jenseitigen Thallwand erstreckten. Sowohl die schwarzen, als auch die rothgefärbten Adern und Gänge (bei reichlichem Vorhandensein von Sauerstoff entstandene³ Spaltenausfüllungen) waren gegen Einflüsse der Atmosphären widerstandsfähiger, sodass sie stellenweise vorwiegend oder allein übrig geblieben sind. Sandsteinartiges granitisches Gestein war oft nur aussen roth. Die seltenen Bäche des Sinäugebirges sind reich an Algenvegetation und versiegen in einem mit den Jahreszeiten wechselnden Maasse streckenweise im Sande der Thalsohlen. Besonders an Stellen, welche noch vor Kurzem mit Wasser bedeckt oder wenigstens feucht waren, ist ein nicht unbedeutender Absatz angehäufte Algenkörperchen und damit der von ihnen aus dem Bachwasser aufgenommenen Mineralbestandtheile zu bemerken. —

Die Sinai-Halbinsel verläuft gegen Süden in das flache, einzelne Felsbühl tragende Ras Mohammed. Die aus dem Meer emporragenden Steilwände dieser Hügel sind unendlich geschichtet, oder, besser gesagt, andeutungsweise sowohl in nicht ganz horizontale, nämlich etwas gegen Osten geneigte Lagen, als auch in darauf senkrechten Richtungen zerklüftet.

Nordöstlich von Ras Mohammed, die (auch hier) Scherm Scheich genannte Bucht anlaufend, sieht man vor den sich coulissenförmig aufbauenden, von hier aus zackigen Sinäugebirge Hügel und niedrige Berge. Ein Theil von ihnen ist geschichtet, und zwar senken sich im Westen die Schichten gegen Westen und im Osten gegen Osten. An den Steilwänden dieser Bucht und noch mehr an den der benachbarten, Scherm ul-moiya genannten, haben Felsstürze stattgefunden.⁴ Öfters ist von diesen Steilwänden nur die Decke felsig. Sowohl durch dieses Deckengestein als auch durch den darunter befindlichen Salzthon gehende Sprünge lassen baldige neue Abstürze erwarten. Im Osten vom Scherm ul-moiya (gegen den Golf von Akaba zu) wird ein niedriges Plateau von einem zum Theil röthlichen Salzthon mit Steindecke gebildet, welche Steindecke auch hier stellenweise in kleine schwarze und rothe Steine zersprungen ist und manchmal an der Oberfläche schwarz, manganhaltig gewordene Korallenstücke einschliesst. —

Um den fast überall, auch knapp bei den Küsten mehr als 500 m tiefen Golf von Akaba fehlen gypsführende Gebirge, welche für den Golf von Suez charakteristisch sind und stellenweise auch an den

¹ Im Küstengebiet des Rothen Meeres sind warme und heisse Quellen relativ häufig, worauf schon Ferret und Gallier in «Note sur le soulèvement des côtes de la Mer Rouge», Paris 1847 hinwiesen. — Kalte Quellen gibt es fast keine. Das Wasser gebräuneter Brunnen wird bei vieltem Schöpfen immer mehr salzig, so dass meistens nach einiger Zeit die Brunnen verlegt werden müssen. — Während unserer Anwesenheit in Tor liess ein französischer Ingenieur auf Wasser für die Quarantainestation bohren. Dabei wurden Salzthone und Lagen gefunden, welche aus durch Gyps verklebten Sandkörnern und Muschelschalen bestanden. In 5 m Tiefe stiess man auf kaum salzig schmeckendes Wasser (Seelwasser vom Sinai-Gebirge), welches gepumpt wurde.

² «Mittheilungen des deutschen, und österr. Alpenvereins.» Jahrg. 1897, Nr. 6.

³ Kurz vor dem Ausgang des Wadi Hebran in die flache Schuit- und Sandwüste el-Kaa befindet sich in einer hohen Felswand eine Spalte, welche unten mit feinem, oben mit grobem und halbgebrem, aus abgestürzten Felsblöcken bestehendem oder von ihnen geleitetem Material ausgefüllt ist. Ein Theil von diesem, besonders das Feine, ist bereits schwarz (manganreich) geworden.

⁴ Siehe Tafel IX, unten.

Küsten der Hochsee des Rothen Meeres vorkommen.¹ Nur bei dem südöstlichsten Theil der Küste des Golfes von Akaba zeigten sich vor den hohen arabischen Bergen weisse, stark durchfurchte Hügel, welche vielleicht Gyps enthalten. In ihrer Nähe ist am Ausgange des Golfes das seichte Korallengebiet im Osten und Nordosten der Inseln Tiran und Senafir mit einem an organischen Stoffen reichen Grunde. Sonst sind zu beiden Seiten des Golfes granitische Gebirge, welche immer ganz nahe, oft unmittelbar bis an das Ufer herantreten. Dort, wo das Letztere der Fall ist, weisen die Berge noch mehr Spalten und Risse auf als sonst und als landein (vielleicht deshalb, weil bei fortschreitender Vertiefung des Golfes² Bergmassen sich leichter senken konnten). Die Spalten und Risse sind fast immer mit Gestein, und zwar viel häufiger mit schwarzem als mit rothem ausgefüllt. Das Gebirge der Ostküste zeigt weniger solche Adern als das der Westküste. —

Die dem Golfe von Akaba vorgelagerte, in einem ausgedehnten Korallengebiet liegende Insel Senafir hat wieder Gypsvorkommen in gegen Norden abfallenden, zumeist weissen, ab und zu rothen Schichten.³ Die Decken der betreffenden Hügel sind mangan- und eisenreich und sehr hart, was sie befähigt, stellenweise an den Rändern überzuhängen. Die ebenso oder ähnlich erhärtete, manganhaltige Decke von über Wasser gekommenen Korallenkalkstein hat, weil sie gegen die lösende und mechanische Wirkung des Meerwassers widerstandsfähiger ist, zur Bildung einer (ca. 15 m vom Nordstrand der Insel entfernten) tischähnlichen (einen Adlerhorst tragenden) Klippe mit säulenförmigem Fuss geführt.⁴

Weiter südlich von der Einfahrt in den Golf von Akaba liegt nahe bei der arabischen Küste⁵ die fast flache, niedrige Noman-Insel mit einer halbkreisförmigen Bucht an der Ostseite. Am Eingang der Bucht treten Salzthonwände mit Steindecken, von welch' letzteren viele Blöcke bereits abgestürzt sind, nahe an das Wasser heran. Landein tritt die Gesteinskante mehr zurück, einer allmählig ansteigenden Sandebene Platz lassend.⁶ Das Plateau der Insel fällt gegen Norden allmählig, gegen Westen etwas steiler ab. In der Brandung des Westrandes der Insel sind Lagen von durch kohlen sauren Kalk (wohl von Organismen abgesondert) verkiteten verschiedenfarbigen, auch granitischen Gesteinsstücken (wenigstens theilweise vom Deckengestein des Plateau stammend). Gyps wurde auf der Insel nicht gefunden.

Das (wegen des Exportes arabischer Kamele wichtige) Städtchen El Wedsch liegt zum Theil unter- und oberhalb einer Lehmwand mit stellenweise überhängender Gesteinsdecke, wie sie für viele Buchten (Sherm's) des Rothen Meeres charakteristisch sind.

Auch bei dem benachbarten, vor Winden geschützteren Sherm Habban sind ebene Gesteinsdecken von Lehmhügeln vorhanden. Etwas nördlich von der Bucht springt eine dünne, Korallenstücke⁷ einschliessende Decke sehr stark vor. Die sie tragende sandige Lehmmasse besitzt fast senkrechte Wände und zeigt einige von oben nach unten verlaufende Risse. Der noch mehr sandige Fuss dieses Hügels ist weniger steil und weist einige horizontale weisse Streifen, Anhäufungen von Chlornatrium und wenig Gyps

¹ Als Detritus des Urgebirges um den Golf von Akaba sind an den Küsten und in den Thälern (Wadi's) manchmal Anschwellungen und Sandwehen von reinem oder fast reinem Quarz sand vorhanden. Am Ausgange des Wadi-Systemes bei Nauba (Sinai-Halbinsel) gibt es weisse und von Eisenoxyd dunkelrothe Quarzsandlagen neben und unter einander, zum Theil unter Gesteinschutt. (Das Sinai-Gebirge ist reich an theils farblosen, theils rothen Bergkrystallen.)

² Es könnte ein ehemaliges Flussbett, wie es wahrscheinlich auch beim Marmara-Meer geschehen ist (siehe Abhandlung über dieses Meer, 1896), hier und um Gebiet des jetzt fast 400 m unter dem Mittelmeer liegenden, fast 400 m tiefen, am West- und Oststrand unmittelbar von hohen und steilen Gebirgen überragten Todten Meeres durch die lösende Wirkung des Wassers vertieft und verbreitert worden sein. Ein Theil des Geländes (aus Marmara-Meer und Golf von Akaba nicht durch Meeresströmungen in den Ocean Geführten), könnte durch Vermittlung capillar aufsteigenden Wassers in den umgebenden Gebirgen (in der bis zu einer Höhe von 240 m über Mittelmeer und Rothes Meer reichenden Bodenschwellung des Thales zwischen Golf von Akaba und Todtem Meer) zur Wiederabscheidung gelangt sein.

³ Siehe Tafel X.

⁴ Siehe Tafel X, unten.

⁵ In zehnhundert weissen Haufen war hier (Anfangs Februar) langs der Festlandsküste von Behuinen durch Verbrennen natronreicher Wüstenpflanzen gewonnene Soda für den Export nach Suez und Cairo aufgestapelt.

⁶ Siehe Tafel XL.

⁷ Die Oberflächen der weissen, theils in dem Deckgestein eingewachsenen, theils darauf lose liegenden Korallenstücke sind theils von Eisenoxyd rüthlich und roth, theils von Mangandioxyd grau und schwarz.

(in den Austrocknungshorizonten) auf ¹ Auch sonst wurde in der Umgebung Gyps, aber immer nur wenig gefunden. Einmal zog sich eine 5 cm dicke Schicht von gypshaltigem Sandstein durch lockeren, lehmigen und sandigen Kalkstein in der Art, dass der letztere oben in 5 m, unten in 3 m Mächtigkeit (über der Meereshöhe) vorhanden war. Südlich von der Bucht zeigt unter einer Steindecke mit theils rüthlichem, theils schwarzem Belag eine Salzthonwand mehrere Schichten, von welchen eine 1 cm dick, dunkelbraun und stark manganhaltig ist.

Noch weiter südlich liegt vor der arabischen Küste die gebirgige Insel Hassani, welche wegen etlicher Weideplätze, geheimgehaltener Brunnen am Südoststrand und davor gelegenen guten Ankerplatzes ² die Heimstätte vieler Perlenfischer ist. Die Ostseite der Insel steigt in einigen niedrigen Terrassen allmählig an. Die Westseite ist steil und buchtenreich. Auf der Kammhöhe des Gebirges wies der unter einer harten Gesteinsdecke befindliche mürbe Kalkstein einen geringen Gehalt an Chlornatrium und Gyps auf.

Zur Kennzeichnung der Trockenheit jener Gegenden sei erwähnt, dass in und bei Jambo, der Hafenstadt von Medina, ³ zur Trinkwasserbeschaffung sehr alte kellerartige Cisternen dienen, welche das auf die darüber und gegen das Gebirge zu befindlichen Weideplätze fallende Regenwasser auffangen, ⁴ und dass, wie bei Rabugh Gelegenheit war, zu beobachten, die spärlichen Getreidefelder mit Erdwällen zur Verhinderung des Abflusses von Regenwasser versehen sind.

Während des ersten Aufenthaltes vor Dschidda, der Hafenstadt von Mekka (Anfangs November 1895), konnten, da noch nicht in Folge einiger starker Regenfälle der Sand der hier ziemlich flachen und erst weit landein von hohen Bergen überragten Wüste durch Feuchtigkeit und durch kümmerliche Vegetation verfestigt worden war, öfters gewaltige Staubwolken wahrgenommen werden. Die Windrichtungen (aus NNW und SSO) waren, wie nahezu immer, parallel zur Längenerstreckung des Rothen Meeres, so dass von dem Staube Nichts oder fast Nichts in das Meer getragen wurde.

¹ Siehe Tafel XI, unten.

² Vor der Südostseite der Insel verankert, konnte man hier eine starke, wie überhaupt an der arabischen Küste gegen Norden, beziehungsweise gegen NNW setzende Meeresströmung wahrnehmen.

³ Von einem arabischen Schriftsteller liegt die Angabe vor, dass im Mittelalter bei Medina ein vulkanischer Ausbruch stattgefunden hat. Ein aus Medina gebürtiger Zollbeamter von Jambo, von dem der arabischen Sprache mächtigen Herrn Linienschifflicutenant Koss darum befragt, äusserte sich skeptisch über den nach der Tradition vor 800 Jahren stattgefundenen Ausbruch, hob jedoch hervor, dass man an der betreffenden Stelle schwarze, porcenreiche und «eisenthaltige», d. h. schwere Bausteine für Medina gewinne.

⁴ Während unserer Anwesenheit vor Jambo (Wohnachten 1895) brachte der Regenguss einer Nacht den Jahresvorrath für Stadt und Karawanen. Manche Jahre herrscht Wassermangel.

Inhalt

	Seite
Einleitung	1 [445]
Untersuchungsmethoden	2 [446]
Sauerstoff	8 [452]
Kohlensäure	15 [459]
Organische Substanzen	21 [465]
Ammoniak	28 [472]
Salpetrige Säure	42 [488]
Brom	46 [490]
Schwefelsäure und Chlor	47 [491]
Weitere Bestandtheile der Wasserproben	40 [483]
Untersuchung der Grundproben	50 [494]
Untersuchungen und Beobachtungen auf dem Festlande und auf Inseln	66 [510]

Verzeichniss der Tabellen und Tafeln.

Tabelle 13–25. Analyse der Meerwasserproben.

- » II a–d. Originalzahlen, erhalten bei den an Bord ausgeführten Meerwasseranalysen.
- » III. Originalzahlen, erhalten bei den in Wien ausgeführten Meerwasseranalysen.
- » IV a–f. Mineralbestandtheile des Meerwassers, bezogen auf: Chlor = 100.
- » V. Mineralbestandtheile des Meerwassers, bezogen auf: Aus spec. Gewicht berechnetes Gesamtsalz = 100.
- » VI a und b. Analyse der Grundproben.
- » VII. Originalzahlen, erhalten bei den Analysen der Grundproben.

Tafel I. Karte der nördlichen Hälfte des Rothen Meeres mit den chemischen Beobachtungsstationen S. M. Schöffes »Polas«.

- » II. » mit Angabe der Tiefenverhältnisse.
- » III. » » » » Korallenriffe.
- » IV. » des Golfes von Akaba.
- » V. » der Suescanal-Strecke.
- » VI. » des Korallengebietes vor Mersa Halaib an der afrikanischen Küste.
- » VII. Wüstenbild: Eine Sandwüste bei Serm Sheich an der afrikanischen Küste.
- » Wüstenbild: Gypsschichten mit manganreicher Gesteinsdecke über Salzhühen bei Serm Sheich.
- » VIII. Wüstenbild: Sandsteinlage über Salzhühen bei Mersa Dhiba.
- » Strandbild: Djebel Hammam Farasün (Berg des Pharaonenbades) an der Westküste der Sinai-Halbinsel. Gypsreiche Schichten.
- » IX. Strandbild: Westliches Küstengebirge der Sinai-Halbinsel südlich von Ras (Cap) Abu-zennab. Gypsreiche Schichten.
- » Strandbild (Wirkung der Brandung) von Serm-ul-mouya bei der Südspitze der Sinai-Halbinsel.
- » X. Wüstenbild: Gegen Norden abfallende gypsführende Schichten der dem Golfe von Akaba vorgelagerten Insel Senafir.
- » Strandbild: Klippe mit manganhaltiger Decke vor der Nordseite der Insel Senafir.
- » XI. Strandbild: Runde Bucht (Serm) an der Ostseite der vor der arabischen Küste gelegenen Noman-Insel. Abstürze von Deckengestein.
- » Wüstenbild: Zum Theil geschichtete, salzhaltige Massen von sandigem Thon mit einer Decke von Korallenstein an der Nordseite der Habban-Bucht (Arabien).

Tabelle I.

I.
Analyse der Meerwasserproben.

Nummer der Station		1	2	3	4	5	6
Datum		16. 10. 1895 10 ^h 30 ^m a. m.	—	—	17. 10. 2 ^h 10 ^m p. m.	17. 10. 4 ^h p. m.	—
Position: Östliche Länge von Greenwich und Nordbreite		Hafen von Port Said, am Nordende des Suez-Canal			Suez-Canal, 30 Seemeilen vom Nord- ende	Mitte des Timah- (Krokodil-) Sees bei Ismailia	
Meerestiefe in Metern		9	—	—	—	7	—
Schöpftiefe in Metern; B = knapp über Boden, L = aus Loth (aus Grundschlamm)		0	5	9 B	0	0	5
Seetemperatur <i>t</i> in Celsiusgraden		—	—	—	—	—	—
Gasförmige Bestand- theile: cm ³ bei 0° und 760 mm Druck auf 1 l Meer- wasser	Sauerstoff gefunden	—	—	—	—	—	—
	Sauerstoff berechnet für <i>t</i> ° und 1 Atmosphäre	—	—	—	—	—	—
	Sauerstoff, beansprucht von organischer Substanz	—	—	—	—	—	—
	ganz gebundene Kohlen- säure	—	—	—	34.03	—	—
	fertig vorhandenes Ammoniak	—	—	—	—	—	—
	bei Oxydation der organischen Substanz ent- stehendes Ammoniak	—	—	—	—	—	—
g ganz gebundene Kohlensäure in 1 Meerwasser		—	—	—	0.007	—	—
Mineral- bestand- theile des Meerwassers g auf 1000 g Meerwasser	Cl	15.60	17.12	22.05	28.35	27.98	29.84
	SO ₄	1.97	2.30	2.78	3.71	3.83	4.21
	CO ₃	—	—	—	0.089	—	—
	Br	—	—	—	—	—	—
	Na	—	—	—	15.644	—	—
	Mg	—	—	—	1.878	—	—
	Ca	—	—	—	0.042	—	—
	K	—	—	—	0.534	—	—
	Sulfat-Rückstand	—	—	—	0.001	—	—
	CO ₂ ganz gebunden	—	—	—	0.005	—	—
Gesamtsalz, berechnet aus spec. Gew.		—	—	—	51.13	—	—
Spec. Gew. bei 17.5°/17.5°		—	—	—	1.03903	—	—

Tabelle I.

2.

Nummer der Station		5	6	7	7	7	8
Datum		—	18./10. 1895 8 ^h a. m.	18./10. 18 ^h 45 ^{min} a. m.	—	—	18./10. 18 ^h 15 ^{min} a. m.
Position: Östliche Länge von Greenwich und Nordbreite		Mitte des Tinsab- (Kio- kodit-) Sees bei Isanula	Nordende des grossen Bittersees	im ersten Drittel des grossen Bittersees			Südende des grossen Bittersees
Meerestiefe in Metern		—	—	10	—	—	—
Schnüptiefe in Metern; II = knapp über Boden, I = aus Loth (aus Grundschlamm)		7 B	0	0	5	10 B	0
Seetemperatur <i>t</i> in Celsius-graden		—	—	—	—	23.9	—
Gasförmige Bestand- theile: cm ³ bei 0° und 760 mm Druck auf 1 l Meer- wasser	Sauerstoff gefunden	—	—	—	—	4.11	—
	Sauerstoff berechnet für <i>x</i> ^o und 1 Atmosphäre	—	—	—	—	4.97	—
	Sauerstoff beansprucht von organischer Substanz	1.08	—	—	—	1.90	1.68
	ganz gebundene Kohlen- säure	29.25	—	—	—	22.109	—
	fertig vorhandenes Ammoniak	0.05	—	—	—	0.10	0.13
	bei Oxydation der organischen Substanz ent- stehendes Ammoniak	0.33	—	—	—	0.33	0.55
<i>g</i> ganz gebundene Kohlensäure im <i>l</i> Meerwasser		0.057	—	—	—	0.044	—
Mineral- bestand- theile des Meerwassers <i>g</i> auf 1000 <i>g</i> Meerwasser	Cl	30.59	31.71	31.33	30.96	32.82	31.71
	SO ₄	4.26	4.32	4.32	4.26	4.47	4.11
	CO ₂	0.076	—	—	—	0.059	—
	Br	—	0.097	—	—	0.101	—
	Na	10.755	—	—	—	17.672	—
	Mg	1.967	—	—	—	2.092	—
	Ca	0.085	—	—	—	0.709	—
	K	0.582	—	—	—	0.615	—
	Sulfat-Rückstand	65.124	—	—	—	68.730	—
	CO ₂ ganz gebunden	0.050	—	—	—	0.043	—
Gesamtsalz, berechnet aus spec. Gew.		54.09	—	—	—	57.60	—
Spec. Gew. bei 17.5°/17.5°		1.024175	—	—	—	1.024397	—

Tabelle I.

3.

Nummer der Station	9	10	12	12	12	16
Datum	18./10. 1895 11 ^h 45 ^m a. m.	18./10. 3 ^h p. m.	25./10. 3 ^h 30 ^m p. m.	—	25./10. 3 ^h 30 ^m p. m.	26./10. 8 ^h 30 ^m a. m.
Position: Östliche Länge von Greenwich und Nordbreite	Mitte des kleinen Bitter- sees	Suez-Canal zwischen Bittersee und Suez	32° 29' 29 37	—	32° 29' 29 37	33° 40' 27 56
Meerestiefe in Metern	—	—	48	—	48	—
Schüpfiefe in Metern; B = knapp über Boden, L = aus Loth (aus Grundschlamm)	0	0	0	48 B	48 L	0
Seetemperatur <i>t</i> in Celsiusgraden	—	—	—	—	—	—
Gasformige Bestand- theile. an bei 0° und 760 mm Druck auf 1 l Meer- wasser	Sauerstoff gefunden	—	—	—	—	—
	Sauerstoff berechnet für <i>t</i> ⁿ und 1 Atmosphäre	—	—	—	—	—
	Sauerstoff, beansprucht von organischer Substanz	—	2' 24	2' 91	2' 52	2' 02
	ganz gebundene Kohlen- säure	23' 88	—	—	—	—
	fertig vorhandenes Ammoniak	—	0' 16	0' 20	0' 10	0' 13
	bei Oxydation der organischen Substanz ent- stehendes Ammoniak	—	0' 65	0' 72	0' 65	0' 39
<i>g</i> ganz gebundene Kohlensäure in 1 Meerwasser	0' 047	—	—	—	—	—
Mineral- bestand- theile des Meerwassers <i>g</i> auf 1000 <i>g</i> Meerwasser	Cl	29' 47	24' 88	23' 56	24' 03	23' 75
	SO ₄	3' 76	3' 28	2' 97	3' 08	3' 08
	CO ₂	0' 062	—	—	—	—
	Br	—	—	0' 008	—	—
	Na	15' 438	—	—	—	—
	Mg	1' 939	—	—	—	—
	Ca	0' 608	—	—	—	—
	K	0' 565	—	—	—	—
	Sulfat-Rückstand	60' 623	—	—	—	—
	CO ₂ ganz gebunden	0' 046	—	—	—	—
Gesamtsalz, berechnet aus spec. Gew.		50' 92	—	—	—	—
Spec. Gew. bei 17°/17' 5"	1' 03887	—	—	—	—	—

Tabelle I.

4

Nummer der Station		18	18	18	18	18	22
Datum		20. 10. 1895 3 ^h 30 ^m p. m.	—	—	—	—	28. 10. 4 ^h 30 ^m p. m.
Position: Östliche Länge von Greenwich und Nordbreite		34° 2' 27° 24' 30"	—	—	—	—	34° 50' 30" 20 10 50
Meerestiefe in Metern		547	—	—	—	—	87
Schöpfungstiefe in Metern; B = knapp über Boden, L = aus Loth (aus Grund-ochlamm)		0	10	100	547 B	547 L	87 B
Seetemperatur <i>t</i> in Celsiusgraden		—	—	—	21° 5	—	22° 2
Gasförmige Bestand- theile: cm ³ bei 0° und 760mm Druck auf 1 l Meer- wasser	Sauerstoff gefunden	—	—	—	2° 16	—	4° 12
	Sauerstoff berechnet für <i>t</i> ⁰ und 1 Atmosphäre	—	—	—	5° 18	—	5° 12
	Sauerstoff, beansprucht von organischer Substanz	—	—	—	2° 41	6° 50	1° 01
	ganz gebundene Kohlen- säure	—	—	—	—	—	—
	fertig vorhandenes Ammoniak	—	—	—	0° 07	0° 26	0° 03
	bei Oxydation der organischen Substanz ent- stehendes Ammoniak	—	—	—	0° 20	0° 55	0° 10
	<i>g</i> ganz gebundene Kohlensäure im <i>l</i> Meerwasser	—	—	—	—	—	—
Mineral- bestand- theile des Meerwassers <i>g</i> auf 1000 <i>g</i> Meerwasser	Cl	21° 11	20° 74	20° 74	21° 11	21° 49	—
	SO ₄	2° 92	2° 97	2° 97	2° 97	2° 97	—
	CO ₂	—	—	—	—	—	—
	Br	0° 068	0° 008	—	—	—	—
	Ca	—	—	—	—	—	—
	K	—	—	—	—	—	—
	Sulfat-Rückstand	—	—	—	—	—	—
	CO ₂ ganz gebunden	—	—	—	—	—	—
	Gesammtsatz, berechnet aus spec. Gew.	—	—	—	—	—	—
Spec. Gew. bei 17° 5'/17° 5'		—	—	—	—	—	—

Tabelle I.

5.

Nummer der Station	20	27	27	30	33	33
Datum	30. 10. 2 ^h p. m.	30. 10. 3 ^h 30 ^m p. m.	—	31. 10. 2 ^h 30 ^m p. m.	1. 11. 2 ^h p. m.	—
Position: Östliche Länge von Greenwich und Nordbreite	34° 32' 20 0	34° 35' 25 58	—	30° 15' 24 25	37° 37' 23 21	—
Meerestiefe in Metern	—	620	—	—	791	—
Schöpftiefe in Metern; B = knapp über Boden, L = aus Loth (aus Grundschlamm)	0	620 B	620 L	100	100	791 B
Temperatur <i>t</i> in Celsiusgraden	—	21.5	—	—	—	21.5
Gasförmige Bestand- theile: cm ³ bei 0° und 760mm Druck auf 1 l Meer- wasser	Sauerstoff gefunden	—	2.49	—	—	2.10
	Sauerstoff berechnet für <i>t</i> und 1 Atmosphäre	—	5.18	—	—	5.18
	Sauerstoff, beansprucht von organischer Substanz	1.90	1.08	5.04	1.85	1.51
	ganz gebundene Kohlen- säure	24.78	—	—	24.48	—
	fertig vorhandenes Ammoniak	0.07	0.10	0.10	0.10	0.07
	bei Oxydation der organischen Substanz ent- stehendes Ammoniak	0.23	0.20	0.33	0.30	0.16
<i>g</i> ganz gebundene Kohlensäure im <i>l</i> Meerwasser		0.049	—	—	0.048	—
Mineral- bestand- theile des Meerwassers <i>g</i> auf 1000 <i>g</i> Meerwasser	Cl	—	20.74	20.74	—	20.74
	SO ₄	—	2.92	2.97	—	2.92
	CO ₂	0.004	—	—	0.004	—
	Br	—	—	—	—	—
	Ca	—	—	—	—	—
	K	—	—	—	—	—
	Sulfat-Rückstand	—	—	—	—	—
	CO ₂ ganz gebunden	0.047	—	—	0.047	—
Gesamtsalz, berechnet aus spec. Gew.		—	—	—	—	—
Spec. Gew. bei 17.5°/17.5°		—	—	—	—	—

Tabelle I.

6.

Nummer der Station		40	42	42	44	44	46
Datum		12./11. 11 ^h 30 ^h a. m.	13./11. 11 ^h 45 ^m a. m.	13./11. 11 ^h 45 ^m a. m.	13./11. 3 ^h p. m.	—	14./11. 6 ^h 30 ^m a. m.
Position: Östliche Länge von Greenwich und Nordbreite		39° 4' 21 29	37° 22' 21 27	37° 22' 21 27	37° 5' 21 39	—	38° 19' 22 6
Meerestiefe in Metern		—	700	700	690	—	870
Schieftiefe in Metern; H = knapp über Boden, L = aus Loth (aus Grundschlamm)		0	100	700 L.	690 H	690 L.	870 H
Seetemperatur <i>t</i> in Celsiusgraden		—	—	—	21° 6	—	21° 5
Gasförmige Bestand- theile cm ³ bei 0° und 760 mm Druck auf 1 l Meer- wasser	Sauerstoff gelunden	—	—	—	2° 16	—	2° 32
	Sauerstoff berechnet für <i>p</i> ^h und 1 Atmosphäre	—	—	—	5° 17	—	5° 18
	Sauerstoff, beansprucht von organischer Substanz	3° 70	1° 85	7° 73	—	—	1° 74
	ganz gebundene Kohlen- säure	25° 37	—	25° 31	—	—	—
	fertig vorhandenes Ammoniak	0° 20	0° 10	0° 49	—	—	0° 10
	bei Oxydation der organischen Substanz ent- stehendes Ammoniak	0° 49	0° 20	0° 98	—	—	0° 16
<i>g</i> ganz gebundene Kohlensäure in 1 Meerwasser		0° 050	—	0° 050	—	—	—
Mineral- bestand- theile des Meerwassers g auf 1000 g Meerwasser	Cl	23° 00	—	—	—	23° 00	—
	SO ₄	2° 97	—	—	—	2° 92	—
	CO ₂	0° 066	—	0° 066	—	—	—
	Br	—	—	—	—	—	—
	Ca	0° 466	—	—	—	0° 480	—
	K	0° 462	—	—	—	0° 452	—
	Sulfat-Rückstand	47° 175	—	—	—	48° 539	—
	CO ₂ ganz gebunden	0° 048	—	0° 048	—	—	—
	Gesamtsalz, berechnet aus spec. Gew.	39° 39	—	—	—	40° 57	—
Spec. Gew. bei 17° 5' 17° 5'		1° 03007	—	—	—	1° 03097	—

Tabelle I.

7.

Nummer der Station	46	47	47	Stationen zwischen der afrikanischen Festlandküste bei Meisa Halarib und dem nördlichen Theile des vorgelagerten Korallenriffes	
Datum	—	14. 11. 2h 20 ^m p. m.	—	17. 11. 7h 15 ^m a. m.	7h 30 ^m a. m.
Position: Östliche Länge von Greenwich und Nordbreite	—	35° 32' 30" 22 20 30	—	beim Molo- ende a	20 m NO vom Molo- ende ß
Meerestiefe in Metern	—	590	—	—	6
Schopftiefe in Metern; H = knapp über Boden, L = aus Loth (aus Grundschlamm)	870 L	100	590 B	0	6 B
Seetemperatur <i>t</i> in Celsiusgraden	—	25.5	21.6	27	26.6
Gasförmige Bestand- theile: cm ³ bei 0° und 760mm Druck auf 1 l Meer- wasser	Sauerstoff gefunden	—	3.70	1.41	4.07
	Sauerstoff berechnet für <i>t</i> ⁰ und 1 Atmosphäre	—	4.83	5.17	4.70
	Sauerstoff, beansprucht von organischer Substanz	7.06	—	—	1.90
	ganz gebundene Kohlen- säure	—	—	—	21.49
	fertig vorhandenes Ammoniak	0.33	—	—	0.07
	bei Oxydation der organischen Substanz ent- stehendes Ammoniak	0.49	—	—	0.20
<i>g</i> ganz gebundene Kohlensäure in 1 Meerwasser	—	—	—	—	0.042
Mineral- bestand- theile des Meerwassers <i>g</i> auf 1000 <i>g</i> Meerwasser	Cl	22.62	—	—	22.62
	SO ₄	2.82	—	—	2.77
	CO ₂	—	—	—	0.050
	Br	—	—	—	—
	Ca	—	—	—	—
	K	—	—	—	—
	Sulfat-Rückstand	—	—	—	—
	CO ₂ ganz gebunden	—	—	—	0.041
	Gesammbalz, berechnet aus spec. Gew.	—	—	—	—
Spec. Gew. bei 17.5°/17.5°	—	—	—	—	—

Tabelle I.

8.

Nummer der Station		Stationen zwischen der afrikanischen Festlandsküste bei Mersa Halab und dem nördlichen Theil des vorgelagerten Korallenriffes		Stationen an den vier Seiten der Sandinsel nördlich von der Nord-Einfahrt zu Mersa Halab			
Datum		8 ^b a. m.	—	8 ^b 30 ^m a. m.	—	—	—
Position: Östliche Länge vom Greenwich und Nordbreite		400 m NO vom Ankerplatz der „Polar“		Weststrand δ	Oststrand ε	Süden ζ	Norden η
Meerestiefe in Metern		40	—	—	—	—	—
Schöptiefe in Metern; B = knapp über Boden, L = aus Loth (aus Grundsclamm)		0	40 B	0	0	0	0
Seetemperatur <i>t</i> in Celsiusgraden		27°1	27	26°1	26°4	26°3	25°8
Gasförmige Bestandtheile; <i>cm</i> ³ bei 0° Druck auf 1 l Meerwasser	Sauerstoff gefunden	—	3°04	—	—	—	—
	Sauerstoff berechnet für <i>t</i> ^o und 1 Atmosphäre	—	4°72	—	—	—	—
	Sauerstoff, beansprucht von organischer Substanz	1°00	1°74	1°29	1°01	1°01	0°95
	ganz gebundene Kohlensäure	—	14°33	1°19	22°39	20°90	25°07
	frei vorhandenes Ammoniak	0°03	0°07	0°02	0°02	0°02	0°03
	bei Oxydation der organischen Substanz entstehendes Ammoniak	0°16	0°20	0°13	0°10	0°10	0°16
<i>g</i> ganz gebundene Kohlensäure im 1 Meerwasser		—	0°028	0°002	0°044	0°041	0°049
Mineralbestandtheile des Meerwassers <i>g</i> auf 1000 <i>g</i> Meerwasser	Cl	—	22°02	21°49	—	—	—
	SO ₄	—	2°72	2°77	—	—	—
	CO ₂	—	0°037	0°003	0°058	0°054	0°065
	Br	—	—	0°054	—	—	—
	Ca	—	0°472	—	—	—	—
	K	—	0°483	—	—	—	—
	Sulfat-Rückstand	—	47°721	—	—	—	—
	CO ₂ ganz gebunden	—	0°027	0°002	0°043	0°040	0°048
Spec. Gew. bei 17°5'/17°5°		—	1°03048	—	—	—	—

Tabelle 1.

9.

Nummer der Station	Seichtes Wasser über süd.	Tiefes Wasser zwischen d. s. Th. J.	Süd- (Rothe) Enklave zu	Zwischen Korallen-sucken bei Verteilung	In der Ver-tiefung an der W-Seite des süd.	55
Datum	18. 11. 1895 7 ^h 15 ^m a. m.	18. 11. 8 ^h 45 ^m a. m.	9 ^h a. m.	—	—	19. 11. 4 ^h p. m.
Position: Östliche Länge von Greenwich und Nordbreite	Thiele des Riffes vor Mersa Halab 0	Riffes und der Küste bei Mersa Halab 5	Mersa Halab; beim Südende des Riffes 2	an der West- seite des südlichen Riffthieles 3	Riffthieles vor Mersa Halab p	36° 45' 22 20
Meerestiefe in Metern	—	21	—	2	3 ¹ / ₂	845
Schopftiefe in Metern; H = knapp über Boden, L = aus Loth (aus Grundschißmann)	0	21 B	0	2 B	3 ¹ / ₂ B	500
Seetemperatur <i>t</i> in Celsius-graden	26°6	26°6	26°4	26°5	26°9	21°6
Gasförmige Bestand- theile, cm ³ bei 0° und 760 mm Druck auf 1 l Meer- wasser	Sauerstoff gefunden	—	4'11	4'11	4'20	2'09
	Sauerstoff berechnet für P ⁰ und 1 Atmosphäre	—	4'70	4'74	4'73	5'17
	Sauerstoff, beansprucht von organischer Substanz	0'90	1'29	0'78	1'00	—
	ganz gebundene Kohlen- säure	—	23'88	—	23'28	25'07
	fertig vorhandenes Ammoniak	0'07	0'07	0'10	0'07	—
	bei Oxydation der organischen Substanz ent- stehendes Ammoniak	0'10	0'13	0'07	0'07	—
g ganz gebundene Kohlen-säure im l Meerwasser		—	0'047	—	0'046	0'049
Mineral- bestand- theile des Meerwassers g auf 1000 g Meerwasser	Cl	—	23'00	23'00	23'00	—
	SO ₄	—	2'77	2'77	2'87	—
	CO ₂	—	0'002	—	0'000	0'005
	Br	—	0'060	0'060	0'051	—
	Ca	—	—	—	—	0'408
	K	—	—	—	—	0'423
	Sulfat-Rückstand	—	—	—	—	47'611
	CO ₂ ganz gebunden	—	0'040	—	0'045	0'048
	Gesammtsatz, berechnet aus spec. Gew.	—	—	—	—	39'800
Spec. Gew. bei 15°/17°5°	—	—	—	—	1'03038	—

Tabelle I.

10.

Nummer der Station		55	55	57	57	67	67
Datum		—	—	20. 11. 1895 u. 30. 11. a. m.	—	28. 11. 5h 15m p. m.	—
Position: Östliche Länge von Greenwich und Nordbreite		—	—	16° 20' 23 10	—	35° 54' 23 40	—
Meerestiefe in Metern		—	—	780	—	900	—
Schöpfungtiefe in Metern: B = knapp über Boden, L = aus Loth		845 B	845 L	780 B	780 L	100	900 B
Seetemperatur <i>t</i> in Celsiusgraden		21.5	—	21.3	—	20.4	21.4
Gasförmige Bestandtheile: cm ³ bei 0° und 760mm Druck auf 1 l Meerwasser	Sauerstoff gefunden	2.16	—	2.32	—	4.51	2.60
	Sauerstoff berechnet für <i>P</i> ² und 1 Atmosphäre	5.18	—	5.20	—	4.77	5.19
	Sauerstoff, beansprucht von organischer Substanz	—	—	1.40	0.64	—	—
	ganz gebundene Kohlensäure	—	—	—	—	—	—
	fertig vorhandenes Ammoniak	—	—	0.07	0.33	—	—
	bei Oxydation der organischen Substanz entstehendes Ammoniak	—	—	0.13	0.65	—	—
<i>g</i> ganz gebundene Kohlensäure im <i>l</i> Meerwasser		—	—	—	—	—	—
Mineralbestandtheile des Meerwassers <i>g</i> auf 1000 <i>g</i> Meerwasser	Cl	—	23.00	—	23.75	—	—
	SO ₄	—	2.97	—	2.77	—	—
	CO ₂	—	—	—	—	—	—
	Ca	—	—	—	—	—	—
	K	—	—	—	—	—	—
	Sulfat-Rückstand	—	—	—	—	—	—
	CO ₂ ganz gebunden	—	—	—	—	—	—
Gesamtsalz, berechnet aus spec. Gew.		—	—	—	—	—	—
Spec. Gew. bei 17.5°/17.5°		—	—	—	—	—	—

Tabelle I.

11.

Nummer der Station		69	69	70	70	72	72
Datum		29. 11. 6 ^h a. m.	—	29. 11. 2 ^h 5 ^m p. m.	—	30. 11. 6 ^h a. m.	—
Position: Östliche Länge von Greenwich und Nördliche		37° 3' 24 4	—	37° 23' 23 41	—	37° 9' 23 0	37° 9' 23 0
Meerestiefe in Metern		725	—	747	—	1150	1150
Schöpfhöhe in Metern; H = knapp über Boden, L = aus Loth		100	725 H	100	747 H	100	1150 H
Seetemperatur <i>t</i> in Celsiusgraden		25° 0	21° 0	24° 8	21° 4	25° 1	21° 4
Gasförmige Bestandtheile: cm ³ bei 0° und 760 mm Druck auf 1 l Meerwasser	Sauerstoff gefunden	4° 35	1° 99	4° 35	1° 53	4° 99	2° 52
	Sauerstoff berechnet für <i>t</i> ⁰ und 1 Atmosphäre	4° 83	5° 17	4° 89	5° 19	4° 80	5° 19
	Sauerstoff, beansprucht von organischer Substanz	—	—	—	—	—	1° 40
	ganz gebundene Kohlensäure	—	25° 31	—	—	—	—
	fertig vorhandenes Ammoniak	—	—	—	—	—	0° 10
bei Oxydation der organischen Substanz entstehendes Ammoniak		—	—	—	—	—	0° 23
g ganz gebundene Kohlensäure im 1 Meerwasser		—	0° 050	—	—	—	—
Mineralbestandtheile des Meerwassers g auf 1000 g Meerwasser	Cl	—	—	—	—	—	—
	SO ₄	—	—	—	—	—	—
	CO ₂	—	0° 006	—	—	—	—
	Ca	—	—	—	—	—	—
	K	—	—	—	—	—	—
	Sulfat-Rückstand	—	—	—	—	—	—
	CO ₂ ganz gebunden	—	0° 048	—	—	—	—
Gesammsalz, berechnet aus spec. Gew.		—	—	—	—	—	—
Spec. Gew. bei 17° 5°/17 5°		—	—	—	—	—	—

Tabelle I.

12

Nummer der Station		72	73	73	75	75	76
Datum		—	30. 11. 1895 2 ^h p. m.	—	1. 12. 6 ^h 30 ^m n. m.	—	1. 12. 2 ^h 30 ^m p. m.
Position: Östliche Länge von Greenwich und Nordbreite		—	30° 28' 22 59	—	37° 48' 22 35	—	38° 19' 23 12
Meerestiefe in Metern		—	820	—	1804	—	600
Schiffstiefe in Metern: B = knapp über Boden, L = aus Loth		1150 L.	100	820 B	100	1804 B	100
Seetemperatur <i>t</i> in Celsiusgraden		—	25° 4	21° 5	24° 8	21° 4	20° 5
Gasförmige Bestandtheile: cm ³ bei 0° und 760 mm Druck auf 1 l Meerwasser	Sauerstoff gefunden	—	4° 51	2° 10	4° 19	2° 06	4° 19
	Sauerstoff berechnet für <i>t</i> ^o und 1 Atmosphäre	—	4 86	5° 18	4° 89	5° 19	4° 70
	Sauerstoff, beansprucht von organischer Substanz ganz gebundene Kohlen- säure	9° 52	—	—	—	1° 40	—
	ferig vorhandenes Ammoniak	0° 52	—	—	—	0° 03	—
	bei Oxydation der organischen Substanz ent- stehendes Ammoniak	1° 20	—	—	—	0° 16	—
<i>g</i> ganz gebundene Kohlensäure im <i>l</i> Meerwasser		—	—	—	—	—	—
Mineral- bestand- theile des Meerwassers g auf 1000 g Meerwasser	Cl	23° 00	—	—	—	23° 37	—
	SO ₄	2° 02	—	—	—	2° 07	—
	CO ₂	—	—	—	—	—	—
	Ca	—	—	—	—	—	—
	K	—	—	—	—	—	—
	Sulfat-Rückstand	—	—	—	—	—	—
	CO ₂ ganz gebunden	—	—	—	—	—	—
Gesamtsalz, berechnet aus spec. Gew.		—	—	—	—	—	—
Spec. Gew. bei 17° 5°/17 5°		—	—	—	—	—	—

Tabelle I.

13.

Nummer der Station		70	79	79	85	85	85
Datum		—	2. 12. 1895 7 ^h a. m.	—	6. 12. 6 ^h 30 ^m a. m.	—	—
Position: Östliche Länge von Greenwich und Nordbreite		—	38° 29' 22 42	—	38° 0' 22 4	—	—
Meerestiefe in Metern		—	512	—	2100	—	—
Schnepftiefe in Metern; B = knapp über Boden, L = aus Loth		600 B	100	512 B	100	2100 li	2100 L
Seetemperatur <i>t</i> in Celsius-Graden		21.7	25.3	21.6	—	21.5	—
Gasförmige Bestandtheile: cm ³ bei 0° und 760 mm Druck auf 1 l Meerwasser	Sauerstoff gefunden	1.49	3.80	1.33	—	2.06	—
	Sauerstoff berechnet für <i>t</i> ⁰ und 1 Atmosphäre	5.16	4.85	5.17	—	5.18	—
	Sauerstoff, beansprucht von organischer Substanz	—	—	0.90	—	—	5.38
	ganz gebundene Kohlensäure	—	—	—	—	—	19.70
	fertig vorhandenes Ammoniak	—	—	0.07	—	—	0.29
bei Oxydation der organischen Substanz ent- stehendes Ammoniak		—	—	0.13	—	—	0.05
g ganz gebundene Kohlensäure im <i>l</i> Meerwasser		—	—	—	—	—	0.039
Mineral- bestand- theile des Meerwassers g auf 1000 g Meerwasser	Cl	—	—	23.00	22.02	23.75	22.02
	SO ₄	—	—	2.92	2.92	2.97	2.97
	CO ₂	—	—	—	—	—	0.051
	Ca	—	—	—	—	0.478	—
	K	—	—	—	—	0.418	—
	Sulfat-Rückstand	—	—	—	—	48.540	—
	CO ₂ ganz gebunden	—	—	—	—	—	0.038
	Gesammtsatz, berechnet aus spec. Gew.	—	—	—	—	40.81	—
Spec. Gew. bei 17.5°/17.5°		—	—	—	—	1.03115	—

Tabelle I.
14.

Nummer der Station		85	88	95	95	99	99
Datum		7./12. 1895 6 ^h 30 ^m a. m.	—	21./12. 9 ^h a. m.	21./12. 9 ^h a. m.	27./12. 1 ^h p. m.	—
Position: Östliche Länge von Greenwich und Nordbreite		38° 33' 21 30	—	38° 9' 0" 23 40 30	38° 9' 23 40 30	37° 45' 24 5	—
Meeresiefe in Metern		902	—	611	611	700	—
Schippiefe in Metern: H = knapp über Boden, L = aus Loth		100	902 H	100	611 L	100	700 H
Seetemperatur <i>t</i> in Celsiusgraden		28° 2	21° 5	25° 3	—	25° 3	21° 6
Gasförmige Bestandtheile: cm ³ bei 0° und 760 mm Druck auf 1 l Meerwasser	Sauerstoff gefunden	4° 51	2° 32	4° 51	—	4° 07	1° 49
	Sauerstoff berechnet für 1° und 1 Atmosphäre	4° 03	5° 18	4° 85	—	4° 85	5° 17
	Sauerstoff, beansprucht von organischer Substanz	—	0° 45	2° 13	8° 06	—	1° 74
	ganz gebundene Kohlensäure	—	—	—	21° 49	—	—
	fertig vorhandenes Ammoniak	—	0° 10	0° 10	0° 05	—	0° 10
	bei Oxydation der organischen Substanz entstehendes Ammoniak	—	0° 20	0° 20	1° 30	—	0° 20
g ganz gebundene Kohlensäure im 1 Meerwasser		—	—	—	0° 042	—	—
Mineralbestandtheile des Meerwassers g auf 1000 g Meerwasser	Cl	—	22° 62	—	22° 62	—	22° 43
	SO ₄	—	3° 08	—	2° 92	—	2° 92
	CO ₂	—	—	—	0° 050	—	—
	Ca	—	—	—	—	—	—
	K	—	—	—	—	—	—
	Sulfat-Rückstand	—	—	—	—	—	—
	CO ₂ ganz gebunden	—	—	—	0° 041	—	—
	Gesamtsalz, berechnet aus spec. Gew.	—	—	—	—	—	—
Spec. Gew. bei 17° 5°, 17° 5°		—	—	—	—	—	—

Tabelle I.

15.

Nummer der Station		90	101	101	101	102	104
Datum		—	28. 12. 1895 0 ^h 30 ^m a. m.	—	—	28. 12. 3 ^h p. m.	29. 12. 0 ^h 30 ^m a. m.
Position: Östliche Länge von Greenwich und Nordbreite		—	30° 18' 24 8	—	—	35° 17' 24 15	35° 25' 0" 24 47 7
Meerestiefe in Metern		—	1200	—	—	502	535
Schopftiefe in Metern; B = knapp über Boden, L = aus Loth		700 L.	100	1200 B.	1200 L.	100	100
Seetemperatur <i>t</i> in Celsiusgraden		—	25.3	21.5	—	24.9	24.7
Gasförmige Bestand- theile: cm ³ bei 0° und 760 mm Druck auf 1 l Meer- wasser	Sauerstoff gefunden	—	4.83	2.00	—	4.35	4.98
	Sauerstoff berechnet für <i>t</i> ^o und 1 Atmosphäre	—	4.85	5.18	—	4.88	4.90
	Sauerstoff, beansprucht von organischer Substanz, ganz gebundene Kohlen- säure	7.02	—	1.51	7.50	—	1.12
	ferig vorhandenes Ammoniak	20.30	—	—	20.30	22.09	—
	bei Oxydation der organischen Substanz ent- stehendes Ammoniak	0.59	—	0.05	0.39	—	0.03
g ganz gebundene Kohlensäure im 1 Meerwasser		0.040	—	—	0.040	0.044	—
Mineral- bestand- theile des Meerwassers g auf 1000 g Meerwasser	Cl	22.43	—	22.43	22.05	22.02	—
	SO ₄	2.97	—	2.97	2.97	2.97	—
	CO ₂	0.053	—	—	0.053	0.059	—
	Ca	—	—	—	—	—	—
	K	—	—	—	—	—	—
	Sulfat-Rückstand	—	—	—	—	—	—
	CO ₂ ganz gebunden	0.039	—	—	0.039	0.043	—
	Gesamtsalz, berechnet aus spec. Gew.	—	—	—	—	—	—
Spec. Gew. bei 17.5°/17.5°		—	—	—	—	—	—

Tabelle I.

16

Nummer der Station		110	113	113	114	114	114
Datum		2. 1. 1890 0 ^h 30 ^m a. m.	4. 1. 0 ^h 30 ^m a. m.	—	4. 1. 2 ^h p. m.	—	—
Position: Östliche Länge von Greenwich und Nordbreite		34° 55' 25 23	35° 41' 25 22	—	36° 10' 25 43	—	—
Meerestiefe in Metern		582	910	—	750	—	—
Schipftiefe in Metern: B = knapp über Boden, L. = aus Loth		100	100	910 B	100	780 B	780 L
Seetemperatur <i>t</i> in Celsius-graden		24° 0	24° 5	21° 3	25 2	21° 5	—
Gasförmige Bestand- theile: cm ³ bei 0° und 760mm Druck auf 1 l Meer- wasser	Sauerstoff gefunden	4' 99	4' 07	2' 99	5' 15	2' 32	—
	Sauerstoff berechnet für <i>t</i> ^o und 1 Atmosphäre	4' 96	4' 01	5' 20	4 80	5' 18	—
	Sauerstoff, beansprucht von organischer Substanz ganz gebundene Kohlen- säure	—	—	—	—	1' 34	—
	fertig vorhandenes Ammoniak	—	—	—	—	0' 07	—
	bei Oxydation der organischen Substanz ent- stehendes Ammoniak	—	—	—	—	0 20	—
	<i>g</i> ganz gebundene Kohlensäure im 1 Meerwasser	—	—	—	—	—	0 040
Mineral- bestand- theile des Meerwassers <i>g</i> auf 1000 <i>g</i> Meerwasser	Cl	—	—	—	—	—	22' 05
	SO ₄	—	—	—	—	—	2' 97
	CO ₂	—	—	—	—	—	0' 053
	Ca	—	—	—	—	—	—
	K	—	—	—	—	—	—
	Sulfat-Rückstand	—	—	—	—	—	—
	C' O ₂ ganz gebunden	—	—	—	—	—	0' 039
Gesamtsalz, berechnet aus spec. Gew.		—	—	—	—	—	—
Spec. G.w. bei 17° 5°/17° 5°		—	—	—	—	—	—

Tabelle I.
17.

Nummer der Station		119	119	120	125	125	125
Datum		8. 1. 1896 11 ^h a. m.	8. 1. 1896 11 ^h a. m.	8. 1. 3 ^h p. m.	10. 1. 6 ^h 30 ^m a. m.	—	—
Position: Östliche Länge von Greenwich und Nordbreite		30° 35' 24 55	30° 35' 24 55	30° 51' 24 35	30° 51' 20 19	—	—
Meerestiefe in Metern		990	990	928	850	—	—
Schoptiefe in Metern; B = knapp über Boden, L = aus Loth		100	900 L	828 B	100	880 B	880 L
Seetemperatur <i>t</i> in Celsiusgraden		24° 7	—	21° 5	24° 1	21° 5	—
Gasförmige Bestandtheile: cm ³ bei 0° und 760 mm Druck auf 1 l Meer- wasser	Sauerstoff gefunden	4° 05	—	2° 49	5° 31	2° 32	—
	Sauerstoff berechnet für <i>t</i> und 1 Atmosphäre	4° 90	—	5° 18	4° 95	5° 18	—
	Sauerstoff, beansprucht von organischer Substanz	—	—	—	—	—	—
	ganz gebundene Kohlen- säure	—	21° 49	23° 88	22° 09	—	21° 49
	fertig vorhandenes Ammoniak	—	—	—	—	—	—
bei Oxydation der organischen Substanz ent- stehendes Ammoniak		—	—	—	—	—	—
<i>g</i> ganz gebundene Kohlensäure in 1 Meerwasser		—	0° 042	0° 047	0° 044	—	0° 042
Mineral- bestand- theile des Meerwassers <i>g</i> auf 1000 <i>g</i> Meerwasser	Cl	—	22° 24	22° 24	22° 24	—	22° 24
	SO ₄	—	3° 02	3° 08	3° 08	—	3° 13
	CO ₂	—	0° 050	0° 062	0° 059	—	0° 056
	Ca	—	—	—	—	—	—
	K	—	—	—	—	—	—
	Sulfat-Rückstand	—	—	—	—	—	—
	CO ₂ ganz gebunden	—	0° 041	0° 046	0° 043	—	0° 041
	Gesammtsatz, berechnet aus spec. Gew.	—	—	—	—	—	—
Spec. Gew. bei 17° 5' / 17° 5'		—	—	—	—	—	—

Tabelle I.

18.

Nummer der Station		128	128	128	129	129	129
Datum		13. I. 1896 6 ^h 30 ^m a. m.	—	—	13. I. 4 ^h p. m.	—	—
Position: Östliche Länge vom Greenwich und Nordbreite		35° 37' 20 R	—	—	34° 49' 0 20 10 42	—	—
Meerestiefe in Metern		1168	—	—	806	—	—
Schöpfung in Metern; H = knapp über Boden, L = aus Loth		100	1168 H	1168 L	100	200	806 H
Seetemperatur <i>t</i> in Celsiusgraden		23.0	21.4	—	23.2	22.3	21.5
Gasförmige Bestandtheile: <i>cm³</i> bei 0° und 760 mm Druck auf 1 l Meerwasser	Sauerstoff gefunden	4.51	3.15	—	4.83	3.06	2.06
	Sauerstoff berechnet für <i>H</i> und 1 Atmosphäre	5.05	5.19	—	5.03	5.11	5.18
	Sauerstoff, beizugsichtigt von organischer Substanz ganz gebundene Kohlensäure	—	23.88	21.49	—	—	23.88
	ferlig vorhandenes Ammoniak	—	—	—	—	—	—
	bei Oxydation der organischen Substanz entstehendes Ammoniak	—	—	—	—	—	—
	<i>g</i> ganz gebundene Kohlensäure im 1 Meerwasser	—	0.047	0.042	—	—	0.047
Mineralbestandtheile des Meerwassers <i>g</i> auf 100 g Meerwasser	Cl	—	22.24	22.62	—	—	22.62
	SO ₄	—	3.13	3.13	—	—	3.08
	CO ₂	—	0.002	0.056	—	—	0.002
	Ca	—	—	—	—	—	—
	K	—	—	—	—	—	—
	Sulfat-Rückstand	—	—	—	—	—	—
	CO ₂ ganz gebunden	—	0.046	0.041	—	—	0.046
	Gesamtsalz, berechnet aus spec. Gew.	—	—	—	—	—	—
Spec. Gew. bei 17.5°/17.5°		—	—	—	—	—	—

Tabelle I.

10.

Nummer der Station		129	131	131	131	130	130
Datum		—	14. 1. 1896 0 ^h 30 ^m a. m.	—	—	19. 1. 5 ^h p. m.	19. 1. 5 ^h p. m.
Position:		—	34° 27' 20 28	—	—	34° 41' 30" 20 48	34° 41' 30" 20 48
Östliche Länge von Greenwich und Nordbreite		—	—	—	—	—	—
Meerestiefe in Metern		—	700	—	—	1135	1135
Schüpfhöhe in Metern; B = knapp über B den, L = aus Loth		800 L.	100	700 li	700 L.	100	600
Sectemperatur <i>t</i> in Celsiusgraden		—	23.2	21.5	—	23.0	21.0
Gasförmige Bestandtheile: ca. 2 bei 0° und 760 mm Druck auf 1 l Meerwasser	Sauerstoff gefunden	—	4.07	2.00	—	4.07	3.32
	Sauerstoff berechnet für 1° und 1 Atmosphäre	—	5.03	5.18	—	5.05	5.17
	Sauerstoff, beansprucht von organischer Substanz	—	—	—	—	—	—
	ganz gebundene Kohlensäure	19.10	—	23.88	22.00	—	—
	fertig vorhandenes Ammoniak	—	—	—	—	—	—
	bei Oxydation der organischen Substanz entstehendes Ammoniak	—	—	—	—	—	—
<i>g</i> ganz gebundene Kohlensäure im 1 l Meerwasser		0.037	—	0.047	0.044	—	—
Mineralbestandtheile des Meerwassers g auf 1000 g Meerwasser	Cl	21.68	—	22.05	22.02	—	—
	SO ₄	3.08	—	3.08	3.08	—	—
	CO ₂	0.050	—	0.002	0.059	—	—
	Ca	—	—	—	—	—	—
	K	—	—	—	—	—	—
	Sulfat-Rückstand	—	—	—	—	—	—
	CO ₂ ganz gebunden	0.030	—	0.040	0.043	—	—
	Gesamtsalz, berechnet aus spec. Gew.	—	—	—	—	—	—
Spec. Gew. bei 17.5°/17.5°		—	—	—	—	—	—

Tabelle I.
20.

Nummer der Station		145	145	149	149	149	151
Datum		3/2. 1896 3 ^h 30 ^m p. m.	—	4/2. 3 ^h 30 ^m p. m.	—	—	5/2. 6 ^h 30 ^m a. m.
Position: Östliche Länge von Greenwich und Nordbreite		32° 43' 30" 29 24 12	—	34° 30' 27 25	—	—	35° 17' 27 24
Meerestiefe in Metern		62	—	1082	—	—	704
Schopftiefe in Metern; B = knapp über Boden, L. um aus Loth		62 B	62 L.	100	1082 B	1082 L.	100
Seetemperatur <i>t</i> in Celsiusgraden		17.2	—	22.7	21.5	—	23.0
Gasförmige Bestandtheile: cm ³ bei 0° und 760 mm Druck auf 1 l Meerwasser	Sauerstoff gefunden	4.08	—	4.99	2.99	—	4.83
	Sauerstoff berechnet für <i>t</i> ^o und 1 Atmosphäre	5.60	—	5.07	5.18	—	5.05
	Sauerstoff, beansprucht von organischer Substanz	3.19	12.99	1.29	0.95	0.83	—
	ganz gebundene Kohlensäure	—	22.09	—	—	—	—
	freig vorhandenes Ammoniak	0.13	0.39	0.07	0.07	0.23	—
	bei Oxydation der organischen Substanz entsprechendes Ammoniak	0.49	2.60	0.20	0.20	1.63	—
<i>g</i> ganz gebundene Kohlensäure im 1 Meerwasser		—	0.043	—	—	—	—
Mineralbestandtheile des Meerwassers <i>g</i> auf 1000 <i>g</i> Meerwasser	Cl	—	23.37	—	—	—	—
	SO ₄	—	3.13	—	—	—	—
	CO ₂	—	0.057	—	—	—	—
	Ca	—	—	—	—	—	—
	K	—	—	—	—	—	—
	Sulfat-Rückstand	—	—	—	—	—	—
	CO ₂ ganz gebunden	—	0.042	—	—	—	—
	Gesammtsulfat, berechnet aus spec. Gew.	—	—	—	—	—	—
Spec. Gew. bei 17.5°, 17.5°		—	—	—	—	—	—

Tabelle I.
21.

Nummer der Station		151	153	153	153	155	155
Datum		—	5. 2. 1896 2 ^h p. m.	—	—	6. 2. 4 ^h 30 ^m u. m.	—
Position: Östliche Länge von Greenwich und Nordbreite		—	34° 42' 27 43	—	—	35° 17' 30" 20 53	—
Meerestiefe in Metern		—	900	—	—	740	—
Schlupftiefe in Metern: B = knapp über Boden, L = aus Loth		400	100	300	900 L	100	740 B
Seetemperatur <i>t</i> in Celsiusgraden		21° 5	22° 9	21° 5	—	22° 2	21° 5
Gasförmige Bestandtheile: 100 ^g bei 0° und 760mm Druck auf 1 l Meerwasser	Sauerstoff gefunden	2° 49	4° 07	2° 82	—	4° 35	2° 32
	Sauerstoff berechnet für <i>t</i> ^o und 1 Atmosphäre	5° 18	5° 05	5° 18	—	5 12	5° 18
	Sauerstoff, beansprucht von organischer Substanz	—	0° 75	0° 05	4° 03	—	0 84
	ganz gebundene Kohlen- säure	—	—	22° 109	22° 09	—	—
	fertig vorhandenes Ammoniak	—	0° 07	0° 05	0° 13	—	0° 03
	bei Oxydation der organischen Substanz ent- stehendes Ammoniak	—	0° 10	0° 13	0° 49	—	0° 10
<i>g</i> ganz gebundene Kohlensäure im <i>l</i> Meerwasser		—	—	0° 044	0° 044	—	—
Mineral- bestand- theile des Meerwassers <i>g</i> auf 1000 <i>g</i> Meerwasser	Cl	23° 00	—	22° 02	22° 24	—	—
	SO ₄	3° 08	—	3° 08	3° 08	—	—
	CO ₂	—	—	0° 059	0° 059	—	—
	Ca	0° 477	—	—	—	—	—
	K	0° 409	—	—	—	—	—
	Sulfat-Rückstand	48° 538	—	—	—	—	—
	CO ₂ ganz gebunden	—	—	0° 043	0° 043	—	—
	Gesammtsatz, berechnet aus spec. Gew.	40° 60	—	—	—	—	—
Spec. Gew. bei 17° 5°/17° 5°		1° 03104	—	—	—	—	—

Tabelle I.

22.

Nummer der Station		155	150	150	100	100	100
Datum		—	u. d 1890 3 ^h 15 ^m p. m.	—	13. 2. 2 ^h p. m.	—	—
Position: Östliche Länge von Greenwich und Nordbreite		—	34° 54' 27 11	—	33° 34' 20 34	—	—
Meerestiefe in Metern		—	980	—	825	—	—
Schichttiefe in Metern: B = knapp über Boden, L = aus Loth		740 L	100	980 B	100	825 B	825 L
Seetemperatur <i>t</i> in Celsiusgraden		—	22° 2	21° 5	22° 2	21° 5	—
Gasförmige Bestand- theile: ca ² bei 0° und 760mm Druck auf 1 l Meer- wasser	Sauerstoff gefunden	—	4° 35	2° 99	4° 99	2° 00	—
	Sauerstoff berechnet für P ² und 1 Atmosphäre	—	5° 12	5° 18	5° 12	5° 18	—
	Sauerstoff, beansprucht von organischer Substanz	7° 28	—	—	1° 00	0° 90	0° 72
	ganz gebundene Kohlen- säure	21° 49	—	—	—	—	—
	fertig vorhandenes Ammoniak	0° 23	—	—	0° 07	0° 07	0° 30
	bei Oxydation der organischen Substanz ent- stehendes Ammoniak	1° 14	—	—	0° 10	0° 13	0° 81
g ganz gebundene Kohlensäure im 1 Meerwasser		0° 042	—	—	—	—	—
Mineral- bestand- theile des Meerwassers g auf 1000 g Meerwasser	Cl	22° 24	—	—	—	—	—
	SO ₄	3° 02	—	—	—	—	—
	CO ₂	0° 050	—	—	—	—	—
	Ca	—	—	—	—	—	—
	K	—	—	—	—	—	—
	Sulfat-Rückstand	—	—	—	—	—	—
	CO ₂ ganz gebunden	0° 041	—	—	—	—	—
	Gesamtsalz, berechnet aus spec. Gew.	—	—	—	—	—	—
Spec. Gew. bei 17° 0°, 17° 0°		—	—	—	—	—	—

Tabelle I.
23.

Nummer der Station		105	105	105	100	100	178
Datum		17. 2. 1896 10 ^h a. m.	—	—	17. 2. 3 ^h p. m.	—	4. 3. 11 ^h a. m.
Position: Östliche Länge von Greenwich und Nordbreite		34° 10' 27 4	—	—	34° 1' 27 35	—	32° 35' 30" 29 43 42
Meerestiefe in Metern		1012	—	—	504	—	45
Schiffstiefe in Metern; H = knapp über Boden, L = aus Loth		100	1012 B	1012 L	100	504 B	20
Seetemperatur <i>t</i> in Celsius-graden		22° 1	21° 5	—	22° 2	21° 5	19° 4
Gasförmige Bestandtheile: ca ¹ bei 0° und 760 mm Druck auf 1 l Meerwasser	Sauerstoff gefunden	5° 15	3° 15	—	4 83	3° 32	5° 47
	Sauerstoff berechnet für <i>t</i> ^o und 1 Atmosphäre	5° 13	5° 18	—	5° 12	5 18	5° 48
	Sauerstoff, beansprucht von organischer Substanz ganz gebundene Kohlensäure	0° 05	0° 84	5° 20	0° 50	0° 50	1° 40
	ferig vorhandenes Ammoniak	25° 07	24° 48	22° 09	25° 07	24 48	—
	bei Oxydation der organischen Substanz ent- stehendes Ammoniak	0° 07	0° 07	0° 23	0° 07	0 07	0° 10
	—	0 20	0° 13	0 94	0° 13	0° 13	0 23
<i>g</i> ganz gebundene Kohlensäure im 1 Meerwasser		0° 049	0° 048	0° 044	0° 049	0° 048	—
Mineral- bestands- theile des Meerwassers <i>g</i> auf 1000 <i>g</i> Meerwasser	Cl	—	21° 87	22° 24	—	22° 24	—
	SO ₄	—	3° 08	3° 08	—	3° 08	—
	CO ₂	0° 005	0° 004	0° 059	0° 005	0° 004	—
	Ca	—	—	—	—	—	—
	K	—	—	—	—	—	—
	Sulfat-Rückstand	—	—	—	—	—	—
	CO ₂ ganz gebunden	0° 048	0° 047	0° 043	0° 048	0 047	—
	Gesammtsatz, berechnet aus spec. Gew.	—	—	—	—	—	—
Spec. Gew. bei 17° 5°/17° 5°		—	—	—	—	—	—

Tabelle I.

24.

Nummer der Station		178	178	179	179	179	183
Datum		—	—	4./3. 1896 4 ^h 45 ^m p. m.	—	—	7./3. 8 ^h 30 ^m a. m.
Position: Östliche Länge von Greenwich und Nördbreite		—	—	32° 56' 0" 29 7 30	—	—	33° 0' 24" 28 44 30
Meerestiefe in Metern		—	—	50	—	—	50
Schöpfiefe in Metern; B = knapp über Boden, L = aus Loth		45 B	45 L	20	50 B	50 L	20
Sertemperatur <i>t</i> in Celsiusgraden		10° 8	—	10° 9	10° 8	—	12° 2
Gasförmige Bestand- theile: cm ³ bei 0° und 760mm Druck auf 1 l Meer- wasser	Sauerstoff gefunden	5'48	—	5'31	5'31	—	5'88
	Sauerstoff berechnet für <i>t</i> ^o und 1 Atmosphäre	5'04	—	5'03	5'04	—	5'60
	Sauerstoff, beansprucht von organischer Substanz	1'51	10'51	—	1'18	5'74	—
	ganz gebundene Kohlen- säure	20'27	23'88	—	23'88	22'09	—
	fürtig vorhandenes Ammoniak	0'10	0'43	—	0'10	0'39	—
	bei Oxydation der organischen Substanz ent- stehendes Ammoniak	0'23	1'95	—	0'16	0'98	—
<i>g</i> ganz gebundene Kohlensäure im 1 Meerwasser		0'051	0'047	—	0'047	0'044	—
Mineral- bestand- theile des Meerwassers <i>g</i> auf 1000 <i>g</i> Meerwasser	Cl	23'00	22'62	23'37	—	23'00	—
	SO ₄	3'13	3'08	3'13	—	3'13	—
	CO ₂	0'068	0'062	—	0'062	0'059	—
	Ca	—	—	0'495	—	—	—
	K	—	0'467	0'535	—	—	—
	Sulfat-Rückstand	—	50'300	50'150	—	—	—
	CO ₂ ganz gebunden	0'050	0'040	—	0'046	0'043	—
	Gesamtsalz, berechnet aus spec. Gew.	—	42'16	41'93	—	—	—
Spec. Gew. bei 17°5°/17°5°		—	1'03218	1'03201	—	—	—

Tabelle I.

25

Nummer der Station		183	189	202	202	203	203
Datum		—	12. 3. 1896 9 ^h a. m.	1. 4. 0 ^h a. m.	—	1. 4. 10 ^h 15 ^h a. m.	—
Position: Östliche Länge von Greenwich und Nordbreite		—	33° 20' 36" 28 9 6	33° 43' 27 50	—	34° 3' 27 37	—
Meerestiefe in Metern		—	74	73	—	878	—
Schöpfhöhe in Metern; B = knapp über Boden, L = aus Loth		50 B	73 B	20	73 B	100	878 B
Seetemperatur <i>t</i> in Celsiusgraden		10·8	—	21·2	20·4	22·3	21·5
Gasförmige Bestand- theile: cm ³ bei 0° und 760mm Druck auf 1 l Meer- wasser	Sauerstoff gefunden	5·31	—	4·99	5·15	4·83	3·54
	Sauerstoff berechnet für P ^o und 1 Atmosphäre	5·64	—	5·21	5·27	5·11	5·18
	Sauerstoff, beansprucht von organischer Substanz	—	—	—	0·50	0·45	0·45
	ganz gebundene Kohlen- säure	—	—	—	25·07	25·07	25·07
	fertig vorhandenes Ammoniak	—	—	—	0·10	0·07	0·07
	bei Oxydation der organischen Substanz ent- stehendes Ammoniak	—	—	—	0·20	0·13	0·13
g ganz gebundene Kohlensäure im l Meerwasser		—	—	—	0·049	0·049	0·049
Mineral- bestand- theile des Meerwassers g auf 1000 g Meerwasser	Cl	—	23·00	—	—	—	—
	SO ₄	—	3·08	—	—	—	—
	CO ₃	—	—	—	0·005	0·005	0·005
	Ca	—	—	—	—	—	—
	K	—	—	—	—	—	—
	Sulfat-Rückstand	—	—	—	—	—	—
	CO ₂ ganz gebunden	—	—	—	0·048	0·048	0·048
	Gesamtsalz, berechnet aus spec. Gew.	—	—	—	—	—	—
Spec. Gew. bei 17·5° 17·5°		—	—	—	—	—	—

Tabelle I.

26.

Nummer der Station		207	207	207	208	209	209
Datum		2.4.1896 10 ^h 30 ^m a. m.	—	—	2.4. 11 ^h 30 ^m a. m.	2.4. 11 ^h 30 ^m p. m.	—
Position: Östliche Länge von Greenwich und Nordbreite		34° 31' 28 11	—	—	34° 27' 12" 28 14 24	34° 29' 28 20 12	—
Meeresstiefe in Metern		1077	—	—	534	792	—
Schiffstiefe in Metern; B = knapp über Boden, L = aus Loth		100	1077 B	1077 L	534 B	100	792 B
Seetemperatur <i>t</i> in Celsiusgraden		21.5	21.2	—	—	21.5	21.8
Gäsgewige Bestand- theile: cau ¹ bei 9° und 760mm Druck auf 1 l Meer- wasser	Sauerstoff gefunden	4.75	3.65	—	—	4.83	3.65
	Sauerstoff berechnet für <i>t</i> ² und 1 Atmosphäre	5.18	5.21	—	—	5.18	5.21
	Sauerstoff, beansprucht von organischer Substanz	0.39	0.45	4.82	—	—	—
	ganz gebundene Kohlen- säure	25.07	24.45	20.90	—	—	—
	frei vorhandenes Ammoniak	0.07	0.07	0.33	—	—	—
	bei Oxydation der organischen Substanz ent- stehendes Ammoniak	0.13	0.13	0.65	—	—	—
<i>g</i> ganz gebundene Kohlensäure im <i>l</i> Meerwasser		0.049	0.048	0.041	—	—	—
Mineral- bestand- theile des Meerwassers <i>g</i> auf 1000 <i>g</i> Meerwasser	Cl	—	—	—	21.87	—	—
	SO ₄	—	—	—	2.02	—	—
	CO ₂	0.005	0.004	0.040	—	—	—
	Ca	—	—	—	—	—	—
	K	—	—	—	—	—	—
	Sulfat-Rückstand	—	—	—	—	—	—
	CO ₂ ganz gebunden	0.048	0.047	0.054	—	—	—
	Gesamt-salz, berechnet aus spec. Gew.	—	—	—	—	—	—
Spec. Gew. bei 17.5°/17.5°		—	—	—	—	—	—

Tabelle I.
27.

Nummer der Station		209	212	212	212	213	213
Datum		—	3. 4. 1896 8 ^h 30 ^m a. m.	—	—	3. 4. 9 ^h 30 ^m a. m.	—
Position: Östliche Länge von Greenwich und Nordbreite		—	34° 33' 24" 28 30 12	—	—	34° 39' 0" 28 30 12	—
Meerestiefe in Metern		—	392	—	—	1175	—
Schöpfentiefe in Metern; H = knapp über Boden, L = aus Loth		702 L	100	392 H	392 L	100	1175 H
Seetemperatur <i>t</i> in Celsiusgraden		—	21° 3	21° 3	—	21° 5	21° 2
Gasförmige Bestand- theile, mit bei 60° und 760 mm Druck auf 1 l Meer- wasser	Sauerstoff gefunden	—	4° 35	4° 32	—	4° 35	3° 05
	Sauerstoff berechnet für <i>r</i> ⁰ und 1 Atmosphäre	—	5° 20	5° 20	—	5° 18	5° 21
	Sauerstoff, beansprucht von organischer Substanz	—	—	—	—	—	—
	ganz gebundene Kohlen- säure	—	—	24° 48	23° 88	—	23° 28
	fertig vorhandenes Ammoniak	—	—	—	—	—	—
	bei Oxydation der organischen Substanz ent- stehendes Ammoniak	—	—	—	—	—	—
<i>g</i> ganz gebundene Kohlenensäure im 1 Meerwasser		—	—	0° 048	0° 047	—	0° 040
Mineral- bestand- theile des Meerwassers <i>g</i> auf 1000 <i>g</i> Meerwasser	Cl	21° 57	—	—	22° 24	—	22° 02
	SO ₄	3° 02	—	—	3° 02	—	3° 02
	CO ₂	—	—	0° 004	0° 002	—	0° 000
	Ca	0° 479	—	—	—	—	—
	K	0° 451	—	—	—	—	—
	Sulfat-Rückstand	48° 205	—	—	—	—	—
	CO ₂ ganz gebunden	—	—	0° 047	0° 040	—	0° 044
	Gesamtsalz, berechnet aus spec. Gew.	40° 79	—	—	—	—	—
Spec. Gew. bei 17° 5 ⁰ /17° 5 ⁰		1° 03114	—	—	—	—	—

Tabelle I.

28

Nummer der Station		213	214	215	215	215	216
Datum		—	3 ⁴ . 1896 12 ^h 15 ^m p. m.	3 ⁴ . 1 ^h 45 ^m p. m.	—	—	3 ⁴ . 3 ^h p. m.
Position. Östliche Länge von Greenwich und Nordbreite		—	34° 41' 48" 28 23 30	34° 45' 12" 28 30 48	—	—	34° 48' 0" 28 37 12
Meeresfläche in Metern		—	1150	1090	—	—	685
Schöpfungstiefe in Metern; B = kniepf über Boden, L = aus Loth		1175 L	1150 B	100	1090 B	1090 L	685 B
Sectemperatur <i>t</i> in Celsiusgraden		—	21° 3	21° 4	21° 2	—	21° 3
Gasförmige Bestand- theile: cm ³ bei 0° und 760 mm Druck auf 1 l Meer- wasser	Sauerstoff gefunden	—	3' 05	4' 43	3' 57	—	3' 82
	Sauerstoff berechnet für <i>i</i> ^o und 1 Atmosphäre	—	5' 21	5' 19	5' 21	—	5' 21
	Sauerstoff, beansprucht von organischer Substanz	—	—	—	—	—	—
	ganz gebundene Kohlen- säure	22' 09	—	—	23' 88	19' 70	—
	fertig vorhandenes Ammoniak	—	—	—	—	—	—
	bei Oxydation der organischen Substanz ent- stehendes Ammoniak	—	—	—	—	—	—
<i>g</i> ganz gebundene Kohlensäure im <i>l</i> Meerwasser		0' 044	—	—	0' 047	0' 039	—
Mineral- bestand- theile des Meerwassers <i>g</i> auf 1000 <i>g</i> Meerwasser	Cl	22' 02	—	—	—	22' 02	—
	SO ₂	3' 02	—	—	—	3' 02	—
	CO ₂	0 059	—	—	0' 062	0' 051	—
	Ca	—	—	—	—	—	—
	K	—	—	—	—	—	—
	Sulfat-Rückstand	—	—	—	—	—	—
	CO ₂ ganz gebunden	0' 043	—	—	0' 046	0 038	—
	Gesammtsatz, berechnet aus spec. Gew.	—	—	—	—	—	—
Spec. Gew. bei 17° 50', 17° 50'		—	—	—	—	—	—

Tabelle I.

29.

Nummer der Station		216	219	219	219	220	220
Datum		—	7. 4. 1896 Mittag	—	—	7. 4. 1 ^h 45 ^m p. m.	—
Position: Östliche Länge von Greenwich und Nordbreite		—	34° 37' 24" 28 37 42	—	—	34° 42' 48" 28 39 12	—
Meerestiefe in Metern		—	917	—	—	1287	—
Schüpfiefe in Metern; B = knapp über Boden, L. m. aus Loth		685 L.	100	917 B.	917 L.	100	500
Sectemperatur <i>t</i> in Celsiusgraden		—	21.4	21.2	—	21.3	21.2
Gasförmige Bestandtheile: cm ³ bei 0° und 760 mm Druck auf 1 l Meerwasser	Sauerstoff gefunden	—	4.67	3.65	—	4.59	3.65
	Sauerstoff berechnet für <i>t</i> ⁰ und 1 Atmosphäre	—	5.19	5.21	—	5.20	5.21
	Sauerstoff, beansprucht von organischer Substanz ganz gebundene Kohlensäure	5.38	—	—	7.39	—	—
	festig vorhandenes Ammoniak	0.49	—	—	0.33	—	—
	bei Oxydation der organischen Substanz ent- stehendes Ammoniak	0.05	—	—	1.30	—	—
g ganz gebundene Kohlensäure im l Meerwasser		0.042	—	—	0.040	—	—
Mineral- bestandtheile des Meerwassers g auf 1000 g Meerwasser	Cl	22.24	—	—	22.62	—	—
	SO ₄	3.08	—	—	3.02	—	—
	CO ₂	0.050	—	—	0.053	—	—
	Ca	—	—	—	—	—	—
	K	—	—	—	—	—	—
	Sulfat-Rückstand	—	—	—	—	—	—
	CO ₂ ganz gebunden	0.041	—	—	0.039	—	—
	Gesammtsatz, berechnet aus spec. Gew.	—	—	—	—	—	—
Spec. Gew. bei 17.5°/17.5°		—	—	—	—	—	—

Tabelle I.

30

Nummer der Station		221	221	225	225	227	227
Datum		7. 4. 1890 3 ^h 2 ^m p. m.	—	11. 4. 10 ^h 30 a. m.	11. 4. 10 ^h 30 a. m.	11. 4. 1 ^h 45 p. m.	—
Position		—	—	—	—	—	—
Östliche Länge von Greenwich und Nordbreite		14° 48' 30" 28 44 30	—	14° 42' 0" 28 51 48	14° 42' 0" 28 51 48	14° 50' 30" 29 3 0	—
Meerestiefe in Metern		582	—	521	521	910	—
Schöpfung in Metern; B an knapp über Boden, L. m. aus Loth		100	582 B	100	521 B	100	910 B
Seetemperatur <i>t</i> in Celsiusgraden		21.3	21.2	21.5	21.3	21.5	21.2
Gas-formige Bestandtheile 1 m ³ bei 0° und 760 mm Druck auf 1 l Meerwasser	Sauerstoff gefunden	4.67	3.90	4.83	3.68	4.67	3.65
	Sauerstoff berechnet für <i>p</i> ⁸ und 1 Atmosphäre	5.20	5.21	5.18	5.20	5.18	5.21
	Sauerstoff, beansprucht von organischer Substanz ganz gebundene Kohlensäure	—	—	—	—	—	—
	fertig vorhandenes Ammoniak	—	—	—	—	—	—
	bei Oxydation der organischen Substanz entstehendes Ammoniak	—	—	—	—	—	—
	<i>g</i> ganz gebundene Kohlensäure in 1 Meerwasser	—	—	—	—	—	—
Mineralbestandtheile des Meerwassers <i>g</i> auf 1000 <i>g</i> Meerwasser	Cl	—	—	—	—	—	—
	SO ₄	—	—	—	—	—	—
	CO ₂	—	—	—	—	—	—
	Ca	—	—	—	—	—	—
	K	—	—	—	—	—	—
	Sulfat Rückstand	—	—	—	—	—	—
	CO ₂ ganz gebunden	—	—	—	—	—	—
	Gesammtsatz, berechnet aus spec. Gew.	—	—	—	—	—	—
Spec. Gew. bei 17.5°/17.5°		—	—	—	—	—	—

Tabelle I.

31.

Nummer der Station		230	230	230	232	232	232
Datum		12. 4. 1896 9 ^h 15 ^m a. m.	—	—	12. 4. 1 ^h 45 ^m p. m.	—	—
Position: Östliche Länge von Greenwich und Nordbreite		34° 40' 30" 29 7 30	—	—	34° 43' 42" 28 58 30	—	—
Meerestiefe in Metern		920	—	—	314	—	—
Schieftiefe in Metern; B = knapp über Boden, L = aus Loth		100	920 B	920 L	100	314 B	314 L
Seetemperatur <i>t</i> in Celsiusgraden		21.4	21.2	—	21.4	21.3	—
Gasförmige Bestandtheile: cm ³ bei 0° und 760 mm Druck auf 1 l Meerwasser	Sauerstoff gefunden	4.83	3.65	—	4.83	4.05	—
	Sauerstoff berechnet für <i>t</i> ⁰ und 1 Atmosphäre	5.19	5.21	—	5.19	5.20	—
	Sauerstoff, beansprucht von organischer Substanz	0.07	0.05	0.72	—	—	7.00
	ganz gebundene Kohlen- säure	24.48	23.88	21.47	—	—	20.30
	frei vorhandenes Ammoniak	0.07	0.07	0.20	—	—	0.42
	bei Oxydation der organischen Substanz ent- stehendes Ammoniak	0.13	0.13	1.79	—	—	0.81
<i>x</i> ganz gebundene Kohlensäure im <i>l</i> Meerwasser		0.048	0.047	0.042	—	—	0.040
Mineral- bestand- theile des Meerwassers <i>g</i> auf 1000 <i>g</i> Meerwasser	Cl	23.00	22.62	22.62	—	—	22.02
	SO ₄	3.02	3.02	3.08	—	—	3.02
	CO ₂	0.004	0.062	0.056	—	—	0.053
	Ca	—	—	—	—	—	—
	K	—	—	—	—	—	—
	Sulfat Rückstand	—	—	—	—	—	—
	CO ₂ ganz gebunden	0.047	0.046	0.041	—	—	0.039
	Gesammsalz, berechnet aus spec. Gew.	—	—	—	—	—	—
Spec. Gew. bei 17.5°/17.5°		—	—	—	—	—	—

Tabelle I.

33

Nummer der Station		235	238	250	252	255	255
Datum		13. 4. 1896 3 ^h 30 ^m p. m.	—	22. 4. 8 ^h 15 ^m a. m.	23. 4. 7 ^h 30 ^m a. m.	25. 4. 8 ^h 45 ^m a. m.	—
Position: Östliche Länge von Greenwich und Nordbreite		34° 57' 30" 29 22	—	34° 38' 30" 28 13	34° 30' 0" 28 2 30	34° 26' 12" 27 51 12	—
Meerestiefe in Metern		842	—	1180	958	1100	—
Seehöhe in Metern: B = knapp über Boden, L = aus Loth		100	842 B	1180 B	958 B	100	1100 B
Seetemperatur <i>t</i> in Celsiusgraden		21° 3	—	21° 2	21° 2	22° 3	21° 5
Gasförmige Bestandtheile: <i>cm</i> ³ bei 0° und 760mm Druck auf 1 l Meerwasser	Sauerstoff gefunden	—	—	3·05	3·05	4·83	3·49
	Sauerstoff berechnet für 4° und 1 Atmosphäre	—	—	5·21	5·21	5·11	5·18
	Sauerstoff, beansprucht von organischer Substanz	0·00	0·73	—	—	—	—
	ganz gebundene Kohlensäure	—	23·28	—	—	—	—
	frei vorhandenes Ammoniak	0·07	0·07	—	—	—	—
	bei Oxydation der organischen Substanz entstehendes Ammoniak	0·13	0·10	—	—	—	—
<i>g</i> ganz gebundene Kohlensäure im 1 Meerwasser		—	0·046	—	—	—	—
Mineralbestandtheile des Meerwassers <i>g</i> auf 1000 <i>g</i> Meerwasser	Cl	22·02	23·00	—	—	—	—
	SO ₄	3·08	3·08	—	—	—	—
	CO ₂	—	0·060	—	—	—	—
	Ca	—	—	—	—	—	—
	K	—	—	—	—	—	—
	Sulfat-Rückstand	—	—	—	—	—	—
	CO ₂ ganz gebunden	—	0·044	—	—	—	—
	Gesamtsalz, berechnet aus spec. Gew.	—	—	—	—	—	—
Spec. Gew. bei 17·5°/17·5°		—	—	—	—	—	—

Tabelle IIa.

Originalzahlen, erhalten bei den an Bord ausgeführten Meerwasseranalysen.

Stationsnummer	Schiffgröße in Metern l = Längen b = Breite	Das im Meer enthaltene organische Substanz nennt man alkal. KMnO ₄ -Lsg. Sauerstoff auf, und zwar verbrauchten ... cm ³ Meerw. ... cm ³ (trockn. KMnO ₄ -Lsg., (1 cm ³ = 0.006 w. O ₂ bei 0° u. 760 mm)	Zur Neutralisation von ... cm ³ Meerw. d. h. zur Ausbreitung der zur Verbren- nung Kohlenstoffe warm. ... cm ³ (trockn.) Salzsäure notwendig (1 cm ³ = 1/100 N HCl bei 0° u. 760 mm)	Das aus 40 cm ³ Meerwasser durchdest. dest. mit MgO ausgefällte Ammoniak gab mit Nessler'schem Reagens dieselbe Gelbfärbung wie ... cm ³ für NH ₄ -Lsg. (1 cm ³ = 0.001 w. N bei 0° u. 760 mm)	Der destill. Rückst. v. d. NH ₄ -dest. mit KOH-Lsg. weiter destill. herüber wogen 0.001 w. Ammoniak, das mit Nessler's- chem Reagens dieselbe Gelbfärbung gab wie ... cm ³ der titrierten NH ₄ -Lösung in gleicher Verdünnung	1 cm ³ Meerwasser verbrauchte bei der Vinharsäure-Säuretitration ... cm ³ AcN ₂ -Lösung (1 cm ³ = 0.00586 g H ₂ O ₂)	40 cm ³ Meerwasser verbrauchten bei der Schwefeldestillation mit K ₂ Cr ₂ O ₇ als Indikator ... cm ³ H ₂ O ₂ -Lösung (1 cm ³ = 0.0020 g SO ₂)	Das Brom von 500 cm ³ Meerw. wurde durch AcN ₂ ausgefällt und gab bei der eubromischen dest. dieselbe Färbung wie ... cm ³ einer titrierten Brk-Lösung in gleicher Verdünnung (1 cm ³ = 0.00332 g Brom)
1	0	—	—	—	—	4.1	3.8	—
1	5	—	—	—	—	4.5	4.45	—
1	9 II	—	—	—	—	5.85	5.4	—
4	0	—	—	150	2.85	7.0	7.3	—
5	0	—	—	—	—	7.5	7.55	—
5	5	—	—	—	—	8.0	8.3	—
5	5	—	—	—	—	8.2	8.4	—
7	0	—	—	—	—	8.5	8.5	11.5
7	5	—	—	—	—	8.4	8.4	—
7	10 B	254	4.7	—	—	8.8	8.8	12.0
8	0	—	—	100	3.5	8.5	8.1	—
9	0	—	—	100	3.0	7.9	7.4	—
10	0	—	—	150	2.0	6.0	6.4	—
12	0	—	—	100	4.2	2.2	5.8	—
12	48 B	—	—	100	4.5	2.0	6.0	—
12	48 L	—	—	50	11.0	3.5	6.0	—
16	0	—	—	100	3.6	1.2	5.7	—
18	0	—	—	—	—	5.6	5.7	—
18	10	—	—	—	—	5.5	5.8	—
18	100	—	—	—	—	5.5	5.8	—
18	547 II	133.5	1.3	100	4.3	0.0	5.8	—
18	547 L	—	—	50	5.8	1.7	5.7	—
22	87 II	133.5	2.0	100	1.8	0.3	—	—
26	0	—	—	100	3.4	0.2	—	—
27	620 II	133.5	1.5	100	3.0	0.7	5.3	—
27	020 L	—	—	50	4.5	0.1	5.5	—
30	100	—	—	100	3.7	0.5	—	—
33	100	—	—	100	2.7	0.0	—	—
33	791 B	133.5	1.3	100	3.9	0.5	5.5	—
40	0	—	—	100	6.0	0.5	5.7	—
42	100	—	—	100	3.3	1.5	5.1	—
42	700 L	—	—	50	6.9	0.0	—	—
44	100 B	133.5	1.3	100	2.7	3.0	—	—
44	100 L	—	—	—	—	—	—	—
44	870 B	133.5	1.4	100	3.1	0.3	5.7	—
44	870 L	—	—	50	6.3	1.5	—	—
47	100	133.5	0.85	—	—	—	5.5	—
47	590 B	133.5	0.85	—	—	—	—	—
47	0	—	—	100	2.1	—	—	—
47	0 II	254	4.05	100	3.4	0.2	—	—
47	0	—	—	100	1.9	0.1	—	—
47	40 II	254	4.5	100	3.1	0.2	—	—
47	0	—	—	100	3.3	0.05	—	—
47	0	—	—	100	1.8	0.05	—	—
47	0	—	—	100	1.8	0.05	—	—
47	0	—	—	100	1.7	0.1	—	—
47	0	—	—	100	1.6	0.2	—	—
47	21 II	254	4.7	100	2.3	0.2	—	—
47	0	—	—	100	1.4	0.3	—	—

Vor Meeresspiegel

Tabelle IIb.

Stationnummer	Schiffhöhe in Metern H = Boden L = Loch	Das dem Sauerstoff von ... cm ³ Meerw. äquivalente Ind. verbraucht, ... cm ³ titr. Na ₂ S ₂ O ₄ -Lösung (1 cm ³ = 0.222 cm ³ O ₂ bei 0° und 760 mm)	Die im Meerw. enthaltenen organische Substanzen (alkal. KNO ₃ -Lösung, Sauerstoff auf, und zwar verbrauchten cm ³ ... Meerw. ... cm ³ titrieren KMnO ₄ -Lösg. (1 cm ³ = 0.004 cm ³ O ₂ bei 0° u. 760 mm)	Zur Neutralisation von ... cm ³ Meerw., d. h. zur Ausbreitung der ganz zehnjährigen Kohlensäure waren ... cm ³ titrierter alkalischer Substanz (1 cm ³ = 1.70 cm ³ O ₂ bei 0° u. 760 mm)	Das aus 40 cm ³ Meerwasser durch Dest. mit N ₂ O-Regeneration Reagens, dieselbe Gelbfärbung wie ... cm ³ titr. NH ₄ -Lösg. in gleicher Verdünnung (1 cm ³ = 0.013 cm ³ NH ₃ bei 0° u. 760 mm)	Der beschl. Rückst. v. d. NH ₃ -Best. mit alkal. KNO ₃ -Lösung weiter destill., heftige weiße Oxid., der organischen Substanz neuerdings-komplex, die mit Nesslerier- reagenzien nachweisbar, die in Lösung gab wie ... cm ³ der titrieren NH ₄ -Lösung in gleicher Verdünnung	1 cm ³ Meerwasser verbraucht bei der Volhard'schen Chlorometrie ... cm ³ AgNO ₃ -Lösung (1 cm ³ = 0.00188 g Cl. lit.)	50 cm ³ Meerwasser verbraucht bei der Schwefel-sauermetrie mit K ₂ Cr ₂ O ₇ als Indicator, ... cm ³ bei 1/2-Lösung (1 cm ³ = 0.0254 g Na ₂)	Das Brom von 50 cm ³ Meerw. wurde durch AgNO ₃ ausgefällt und gab bei der colorimetrischen Best. dieser Färbung in wie ... cm ³ der titrieren NH ₄ -Lösung in gleicher Verdünnung (1 cm ³ = 0.00437 g Brom)
λ	2 H	254	4.7	100	1.0	300	3.9		
μ	3.5 H	254	4.5	100	1.0	300	4.2		
55	500	138	1.3						
55	845 H	131.5	1.3						
55	845 L	—	—						
57	780 B	131.5	1.4	100	2.5				
57	780 L	—	—	50	0.2				
57	100	138	2.8				1.0		
57	900 B	131.5	1.0						
69	100	138	2.7					0.1	5.8
69	725 B	131.5	1.2			290	4.1	0.3	5.4
70	100	138	2.7						
70	747 B	131.5	1.1						
72	100	138	3.1						
72	1150 B	131.5	1.7	100	2.5			0.4	
72	1150 L	—	—	37	0.3		1.0	0.3	
73	100	138	2.8					0.7	
73	820 B	131.5	1.3					1.7	
75	100	138	2.8					0.1	5.7
75	1804 H	131.5	1.0	100	2.5			0.5	
75	1804 L	—	—					0.2	5.8
79	100	138	2.8						
79	600 H	131.5	0.9						
79	100	138	2.4						
79	512 B	131.5	0.8	100	1.0			0.1	5.7
85	100	138	2.8					0.0	5.7
85	2100 H	131.5	1.0					0.3	5.8
85	2100 L	—	—	50	4.8	100	1.1	0.0	5.8
88	100	138	2.8					2.0	
88	902 B	131.5	1.4	100	0.8			0.0	
95	100	138	2.8	100	3.8			0.0	0.0
95	011 L	—	—	50	7.2	150	1.8	2.0	
99	100	138	2.9					4.0	
99	700 H	131.5	0.9	100	3.1			0.0	5.05
99	700 L	—	—	50	0.8	150	1.7	3.5	5.95
101	100	138	3.0						
101	1200 H	131.5	1.0	100	2.7			0.15	
101	1200 L	—	—	50	0.7	150	1.7	1.2	5.05
102	100	138	2.7			150	1.0	2.8	5.85
102	100	131.5	3.0	100	2.0				5.8
104	100	131.5	3.0					0.4	
110	100	138	3.1						
113	100	138	2.9						
113	910 H	131.5	1.8						
114	100	138	3.2						
114	780 H	131.5	1.4	100	2.4		0.2	0.8	
114	780 L	—	—			150	1.7		
119	100	131.5	2.8						5.85
119	900 L	—	—			150	1.8		
120	828 B	131.5	1.5			150	2.0	5.9	5.9
125	100	138	3.3			150	1.9	5.9	6.0
125	880 B	131.5	1.4					5.9	6.0

Tabelle IIc.

Stationsnummer	Schwebstoffe in Metern B = boden L = Loth	Das dem Sauerstoff voh...cm ³ Meerw. äquivalente bei verdichtete ...cm ³ Ltr. N ₂ O ₂ 3/2 ...cm ³ Ltr. bei 0° und 760 mm	Die im Meerw. enthaltenen organische Substanzen sind als K ₂ CO ₃ ge- schätzt. ...cm ³ Ltr. ...cm ³ Meerw. ...cm ³ Ltr. K ₂ CO ₃ Lsg. (1 cm ³ = 0.005025 g bei 0° u. 760 mm)	Zur Neutralisation von ...cm ³ Meerw., d. h. zur Ausbreitung der gas gebun- denen Kohlensäure waren ...cm ³ Ltr. tri- tirtes ...cm ³ Ltr. (1 cm ³ = 0.005025 g bei 0° u. 760 mm)	Das aus 40 cm ³ Meerwasser durch Daut mit MgO ausgefällte Ammoniak gab mit Nessler'schem Reagens dieselbe Gelbfärbung wie ...cm ³ Ltr. NH ₄ -Lsg. in gleicher Verdünnung (1 cm ³ = 0.0134 cm ³ NH ₄ bei 0° u. 760 mm)	Der Dredli Ruckel v. d. NH ₄ -Lsg. mit alkali. K ₂ CO ₃ Lsg. weiter destill. lieferte wesens. Oxyd. der organischen Substan- zen des Ammoniak, das mit Nessler's- chem Reagens dieselbe Gelbfärbung gab wie ...cm ³ Ltr. der titrirten NH ₄ Cl-Lösung in gleicher Verdünnung	1 cm ³ Meerwasser verbrauchte bei der Volhard'schen Chloridation ...cm ³ AgNO ₃ -Lösung (1 cm ³ = 0.00366 g Chlor)	50 cm ³ Meerwasser verbrauchten bei der Schwefelsäuretitration mit K ₂ Cr ₂ O ₇ als Indicator, ...cm ³ Ltr. Lösung (1 cm ³ = 0.0264 g SO ₄)
125	880 L	—	—	150	1.8	—	5.9	6.1
126	105	1.38	2.8	—	—	—	—	—
126	1108 B	1.33	1.9	150	2.0	—	5.9	6.1
128	1108 L	—	—	150	1.8	—	6.0	6.1
129	100	1.38	3.0	—	—	—	—	—
129	200	1.38	3.0	—	—	—	—	—
129	800 B	1.33	1.9	150	2.0	—	6.0	6.0
129	800 L	—	—	150	1.9	—	5.75	6.0
131	100	1.38	2.9	—	—	—	—	—
131	700 B	1.33	1.9	150	2.0	—	6.0	6.0
131	700 L	—	—	150	1.9	—	6.0	6.0
130	100	1.38	2.9	—	—	—	—	—
130	100	1.33	2.0	—	—	—	—	—
145	62 B	1.33	3.0	100	5.7	0.4	1.5	—
145	62 L	—	—	25	5.8	150	8.0	—
149	100	1.38	3.1	100	2.3	—	0.2	—
149	1082 B	1.33	1.8	100	1.7	—	0.0	—
149	1082 L	—	—	50	6.1	—	5.0	—
151	100	1.38	3.0	—	—	—	—	—
151	400	1.33	1.5	—	—	—	6.1	6.0
151	100	1.38	2.9	100	1.3	—	0.5	—
151	300	1.33	1.7	100	1.7	150	0.4	—
151	900 L	—	—	50	4.4	150	1.5	—
155	100	1.38	2.7	—	—	—	5.9	6.0
155	240 B	1.33	1.4	100	1.5	—	0.3	—
155	740 L	—	—	50	0.5	150	3.5	—
159	100	1.38	2.7	—	—	—	5.9	5.9
159	980 B	1.33	1.8	—	—	—	—	—
160	100	1.38	3.1	100	1.9	—	0.5	—
160	825 B	1.33	1.9	100	1.0	—	0.4	—
160	825 L	—	—	50	6.0	—	2.5	—
160	100	1.38	3.2	100	1.7	150	0.6	—
161	1012 B	1.33	1.9	100	1.5	150	2.05	—
165	1012 L	—	—	50	4.7	150	0.7	—
166	100	1.38	3.0	100	0.9	150	2.1	—
166	504 B	1.33	2.0	100	0.9	150	2.05	—
178	20	1.38	3.4	100	2.5	—	0.3	—
178	45 B	1.33	3.3	100	2.7	150	2.2	—
178	45 L	—	—	25	4.7	150	1.3	—
179	20	1.38	3.3	—	—	—	—	—
179	50 B	1.33	3.2	20	2.1	150	2.0	—
179	50 L	—	—	25	3.9	150	1.9	—
181	20	1.38	3.05	—	—	—	—	—
181	50 B	1.33	3.2	—	—	—	—	—
189	72 B	—	—	—	—	—	—	—
203	20	1.38	3.1	—	—	—	—	—
202	73 B	1.33	3.1	100	0.9	150	2.1	—
203	100	1.38	3.0	100	0.8	150	2.1	—
203	878 B	1.38	2.2	100	0.8	150	2.1	—
207	100	1.38	2.95	100	0.7	150	2.1	—

Tabelle II.

Stationnummer	Schiffhöhe in Metern B im Boot L im Boot	Dies dem Sauerstoff von ... cm ³ Meerw. äquivalente Iod verbraucht ... cm ³ titr. Na ₂ S ₂ O ₃ -Lösung (1 cm ³ = 0.222 cm ³ O ₂ bei 0° und 760 mm)	Dies im Meerw. enthaltene organische Substanz nimmt aus alkali. KMnO ₄ -Lös. Sauerstoff auf, und zwar verbrauchten ... cm ³ Meerw. ... cm ³ titrierter KMnO ₄ -Lsg. (1 cm ³ mit 0.036 cm ³ O ₂ bei 0° u. 760 mm)	Zur Neutralisation von ... cm ³ Meerw., d. h. zur Aushebung der ganz gebau- ten Kohlensäure waren ... cm ³ titrierter Salzsäure notwendig (1 cm ³ = 1.70 cm ³ CO ₂ bei 0° u. 760 mm)	Dies aus 40 cm ³ Meerwasser durch Dest. mit MgO ausgeschiedene Ammoniak gab mit verd. Salzsäure ... cm ³ titrierter Guthrie'sche wasserl. titr. NH ₄ Cl-Lsg. in gleicher Verdünnung (1 cm ³ = 0.013 cm ³ NH ₃ bei 0° u. 760 mm)	Der Destill.-Rückst. v. d. NH ₃ -Dest. mit alkal. KMnO ₄ -Lsg. weiter destill. lieferte wegen Oxyd. der organischen Substanz sauerstoff-äquivalente ... cm ³ titrierter KMnO ₄ -Lösung, welche dem Rückst. ab- wie ... cm ³ der titrierter NH ₄ Cl-Lösung in gleicher Verdünnung	1 cm ³ Meerwasser verbrauchte bei der Volhard'schen Chloritration ... cm ³ AgNO ₃ -Lösung (1 cm ³ = 0.00086 g Chlor)	50 cm ³ Meerwasser verbrauchten bei der Schwefelchloritration mit K ₂ Cr ₂ O ₇ als Indicator ... cm ³ Br ₂ -Lösung (1 cm ³ = 0.0264 g SO ₂)	
207	1077 B	—	100	0.8	150	2.05	—	—	—
207	1077 L	133.5	50	4.3	150	1.75	2.0	—	—
208	514 B	—	—	—	—	—	—	5.8	5.7
209	100	—	—	—	—	—	—	—	—
209	792 B	138	—	—	—	—	—	—	—
209	792 L	133.5	—	—	—	—	—	5.8	5.9
212	100	—	—	—	—	—	—	—	—
212	392 B	138	—	—	150	2.05	—	—	—
212	392 L	133.5	—	—	150	2.0	—	5.9	5.9
213	100	—	—	—	—	—	—	—	—
213	1175 B	138	—	—	150	1.95	—	6.0	5.9
213	1175 L	133.5	—	—	150	1.9	—	6.0	5.9
214	1150 B	133.5	—	—	—	—	—	—	—
215	100	138	—	—	—	—	—	—	—
215	1090 B	133.5	—	—	150	2.0	—	—	—
215	1000 L	—	—	—	150	1.05	—	6.0	5.9
216	085 B	133.5	—	—	—	—	—	—	—
216	085 L	—	50	4.8	150	1.8	1.5	5.9	6.0
219	100	138	—	—	—	—	—	—	—
219	917 B	133.5	—	—	—	—	—	—	—
219	917 L	—	50	0.6	150	1.7	1.0	6.0	5.9
220	100	138	—	—	—	—	—	—	—
220	500	133.5	—	—	—	—	—	—	—
221	100	138	—	—	—	—	—	—	—
221	582 B	133.5	—	—	—	—	—	—	—
225	100	138	—	—	—	—	—	—	—
225	521 B	133.5	—	—	—	—	—	—	—
227	100	138	—	—	—	—	—	—	—
227	910 B	133.5	—	—	—	—	—	—	—
230	100	138	—	—	—	—	—	—	—
230	920 B	133.5	100	1.2	150	2.05	0.2	0.4	5.9
230	920 L	—	50	6.0	150	2.0	0.2	0.0	5.9
232	100	—	—	—	—	—	—	—	—
232	314 B	133.5	—	—	—	—	—	—	—
232	314 L	—	50	6.3	150	1.7	1.3	2.5	5.9
234	100	138	—	—	—	—	—	—	—
234	168 B	133.5	—	—	—	—	—	—	—
235	508 L	—	—	—	150	1.8	—	—	6.0
236	100	138	—	—	—	—	—	6.0	—
236	874 B	133.5	—	—	—	—	—	6.1	6.0
236	874 L	—	50	0.5	150	1.8	1.2	3.0	6.0
238	100	—	100	1.0	—	—	0.2	0.4	6.0
238	842 B	—	—	—	150	1.95	—	0.3	6.0
250	1180 B	133.5	—	—	—	—	—	—	—
254	958 B	133.5	—	—	—	—	—	—	—
255	100	138	—	—	—	—	—	—	—
255	1100 B	133.5	—	—	—	—	—	—	—

Tabelle III.

Originalzahlen, erhalten bei den in Wien ausgeführten Meerwasseranalysen.

Stationnummer	Schöpfhöhe in Metern B = Boden, L = Loth	In dem bei 17-5° C. 38 0608 g destilliertes Wasser fassenden Pyknometer waren ... g Meerwasser von ... °C.	... g Meerwasser gaben ... g C u O und ... g $MgCl_2 \cdot 6H_2O$... g Meerwasser gaben ... g Sulfat-Rückstand und ... g Platin aus K_2PtCl_6
4	0	38 0275 21°0	200°3 0°2343 2 2044	52°259 3°1011 0°0095
5	7 B	38°1205 21°7	201°2 0°2508 2 2705	52°502 3°4220 0°0701
7	10 B	38°1845 22°2	201°5 0°2597 2°5338	52°6515 3°0224 0°0807
9	0	38°0055 22°0	200°3 0°2217 2°3324	52°411 3°1805 0°0738
40	0	37 0030 25°4	258°5 0°1089 —	51°709 2°4447 0°0500
44	090 L	37°2005 25°0	237°5 0°1539 —	51°823 2°5180 0°0583
Vor M. H. T P.	40 B	37°0705 25°5	130°3 0°0902 —	51°790 2°4743 0°0623
	3°5 B	37°0855 24°2	258°2 0°1095 —	51°847 2°4700 0°0547
	2100 L	37°7310 22°2	199°2 0°1335 —	51°854 2°5109 0°0540
	400	37°7375 21°0	258°4 0°1228 —	51°809 2°5202 0°0600
	45 L	37°2015 22°9	— — —	51°959 2°0102 0°0004
	30	37°2015 22°4	215°0 0°1491 —	52°019 2°0114 0°0004
85	792 L	37°7275 22°0	149°2 0°1002 —	52°017 2°5392 0°0584
151	874 L	37°7275 22°4	225°3 0°1518 —	51°828 2°5293 0°0545

Tabelle IVa.

Mineralbestandtheile des Meerwassers, bezogen auf: Cl = 100.

Nummer der Station	1	1	1	4	5	5	5	6	7	7	7	8	9	10	12	12
Schöpfhöhe in Metern: B = knapp über Boden, L = aus Loth																
SO ₄	12°03	13°43	12°04	13°08	13 09	14 11	13°93	13°01	13°77	13 70	13°02	12°90	12°70	13°18	12°01	12°82
ClO ₃	—	—	—	0°31	—	—	0°25	—	—	—	0°18	—	0°21	—	—	—
Br	—	—	—	—	—	—	0°305	—	—	—	0°31	—	—	—	0 29	—
Na	—	—	—	55°18	—	—	54°27	—	—	—	53°85	—	52°30	—	—	—
Mg	—	—	—	6°62	—	—	6°43	—	—	—	6°38	—	6°58	—	—	—
Ca	—	—	—	2°20	—	—	2°24	—	—	—	2°10	—	2°00	—	—	—
K	—	—	—	1°88	—	—	1°90	—	—	—	1°87	—	1 92	—	—	—
Sulfat- Rückstand	—	—	—	215°17	—	—	212°89	—	—	—	209°41	—	205°71	—	—	—
Gesamtsalz berechnet aus spec. Gew.	—	—	—	180°35	—	—	178°78	—	—	—	175°50	—	172°79	—	—	—

Tabelle IVb.

Mineralbestandtheile des Meerwassers, bezogen auf: Cl = 100.

Numer der Station	12	10	15	15	18	18	18	27	27	33	33	40	44	46	Vor Mersa Halab	
Schöpfungtiefe in Metern: B = knapp über Boden, L = aus Loth	48 L	o	o	10	100	547 B	547 L	020 B	020 L	100	791 B	o	090 L	870 L	0 B	40 B
SO ₄	12'97	13'82	13'83	14'32	14'32	14'07	13'82	14'08	14'32	14'08	14'08	12'91	12'70	12'47	12'25	12'025
CO ₂	—	—	—	—	—	—	—	—	—	—	—	0'29	—	—	0'25	0'11
Br	—	—	0'32	0'33	—	—	—	—	—	—	—	—	—	—	—	—
Ca	—	—	—	—	—	—	—	—	—	—	—	2'03	2'09	—	—	2'09
K	—	—	—	—	—	—	—	—	—	—	—	2'04	1'90	—	—	2'13
Sulfat-Rückstand	—	—	—	—	—	—	—	—	—	—	—	205'11	211'04	—	—	210'97
Gesamtsalz berechnet aus spec. Gew.	—	—	—	—	—	—	—	—	—	—	—	171'20	170'39	—	—	170'53

Tabelle IVc.

Mineralbestandtheile des Meerwassers, bezogen auf: Cl = 100.

Numer der Station	Bei den Korallenriffen vor Mersa Halab				55	57	72	75	79	85	85	85	88	95	99
	1	2	3	4	5	6	7	8	9	10	11	12	13	14	15
Schöpfungtiefe in Metern: B = knapp über Boden, L = aus Loth	o	21 B	o	2 B	3'5 B	845 L	780 L	1150 L	1804 B	512 B	100	2160 B	2160 L	902 B	011 L 700 B
SO ₄	12'89	12'04	12'04	12'48	12'70	12'91	11'06	12'70	12'71	12'70	12'91	12'51	13'13	13'02	12'91 13'24
CO ₂	0'01	0'27	—	0'20	0'28	—	—	—	—	—	—	—	0'23	—	0'25
Br	0'25	0'20	0'20	0'22	—	—	—	—	—	—	—	—	—	—	—
Ca	—	—	—	—	2'04	—	—	—	—	—	—	2'01	—	—	—
K	—	—	—	—	1'84	—	—	—	—	—	—	1'70	—	—	—
Sulfat-Rückstand	—	—	—	—	207'00	—	—	—	—	—	—	204'41	—	—	—
Gesamtsalz berechnet aus spec. Gew.	—	—	—	—	173'04	—	—	—	—	—	—	171'83	—	—	—

Tabelle IVd.

Mineralbestandtheile des Meerwassers, bezogen auf: Cl = 100.

Nummer der Station	99	101	101	102	114	119	120	125	125	128	128	129	129	131	131	145
Schöpfungtiefe in Metern: B = knapp über Boden, L = aus Loth	700 L	1200 B	1200 L	100	750 L	990 L	828 B	100	880 L	1168 B	1165 L	800 B	800 L	700 B	700 L	67 L
SO ₄	13'24	13'24	13'47	13'13	13'47	13'58	13'85	13'85	14'07	14'07	13'84	13'62	14'21	13'97	13'62	13'39
CO ₂	0'24	—	0'24	0'20	0'24	0'25	0'28	0'27	0'25	0'28	0'25	0'27	0'23	0'28	0'28	0'24
Ca	—	—	—	—	—	—	—	—	—	—	—	—	—	—	—	—
K	—	—	—	—	—	—	—	—	—	—	—	—	—	—	—	—
Sulfat-Rückstand	—	—	—	—	—	—	—	—	—	—	—	—	—	—	—	—
Gesamtsalz berechnet aus spec. Gew.	—	—	—	—	—	—	—	—	—	—	—	—	—	—	—	—

Tabelle IVe.

Mineralbestandtheile des Meerwassers, bezogen auf: Cl = 100.

Nummer der Station	151	153	153	155	165	165	166	178	178	179	179	189	208	209	212	213
Schöpfungtiefe in Metern: B = knapp über Boden, L = aus Loth	400	300	900 L	740 L	1012 B	1012 L	504 B	45 B	45 L	20	50 L	72 B	534 B	792 L	392 L	1175 B
SO ₄	13'39	23'02	13'85	13'58	14'08	13'85	13'85	13'01	13'02	13'39	13'61	13'39	13'35	13'81	13'58	13'35
CO ₂	—	0'26	0'27	0'25	0'29	0'27	0'29	0'30	0'27	—	0'26	—	—	—	0'28	0'27
Ca	2'075	—	—	—	—	—	—	—	—	2'12	—	—	—	2'19	—	—
K	2'039	—	—	—	—	—	—	—	2'06	2'29	—	—	—	2'06	—	—
Sulfat-Rückstand	211'04	—	—	—	—	—	—	222'37	214'59	—	—	—	222'98	—	—	—
Gesamtsalz berechnet aus spec. Gew.	170'75	—	—	—	—	—	—	180'38	179'42	—	—	—	186'51	—	—	—

Tabelle IV f.

Mineralbestandtheile des Meerwassers, bezogen auf: Cl = 100.

Nummer der Station	213	215	216	219	230	230	230	232	235	230	230	238	238
Schöpfungtiefe in Metern: H = knapp über Boden L = aus Loth	1175 L 1090 L		685 L	917 L	100	920 H	920 L	314 L	508 L	874 H	874 L	100	842 H
SO ₄	43'35	43'35	43'85	43'35	43'13	43'35	43'10	43'35	43'02	43'39	43'39	43'02	43'39
CO ₃	0'20	0'23	0'25	0'23	0'28	0'27	0'25	0'23	0'25	—	0'24	—	0'20
Ca	—	—	—	—	—	—	—	—	—	2'09	—	—	—
K	—	—	—	—	—	—	—	—	—	1'84	—	—	—
Sulfat-Rückstand	—	—	—	—	—	—	—	—	—	211'97	—	—	—
Gesamtsalz berechnet aus spec. Gew.	—	—	—	—	—	—	—	—	—	177'00	—	—	—

Tabelle V.

Mineralbestandtheile des Meerwassers, bezogen auf: aus spec. Gew. berechnetes Gesamtsalz = 100.

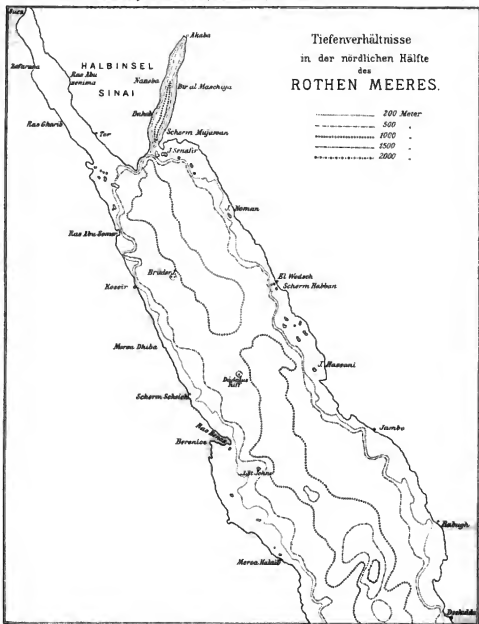
Nummer der Station	4	5	7	9	40	44	Vor Mersallalab		85	151	178	179	209	230
Schöpfungtiefe in Metern H = knapp über Boden L = aus Loth	0	7 B	10 B	0	0	090 L	40 B	3 5 B	2100 H	400	45 L	20	792 L	874 H
Cl	55'45	55'93	50'98	57'88	58'39	50'69	50'65	57'79	55'20	50'57	53'65	55'74	53'02	50'50
SO ₄	7'250	7'789	7'961	7'384	7'540	7'195	6'842	7'337	7'278	7'575	7'300	7'405	7'404	7'500
CO ₃	0'174	0'139	0'102	0'122	0'108	—	0'093	0'103	—	—	0'147	—	—	—
Br	—	—	0'175	—	—	—	—	—	—	—	—	—	—	—
Na	30'590	30'637	30'681	30'319	—	—	—	—	—	—	—	—	—	—
Mg	3'674	3'597	3'632	3'808	—	—	—	—	—	—	—	—	—	—
Ca	1'250	1'253	1'230	1'194	1'184	1'182	1'183	1'177	1'172	1'174	—	1'180	1'175	1'181
K	1'044	1'004	1'068	1'110	1'173	1'113	1'209	1'004	1'024	1'153	1'107	1'127	1'105	1'037
Sulfat-Rückstand	119'300	119'079	119'322	119'055	119'704	119'042	119'512	119'025	118'910	119'370	119'307	119'604	119'552	119'754

Tabelle VIa.
Analyse der Grundproben. (Gesteinsprocente der lufttrockenen Grundproben.)

Stufennummer	Art der Grundprobe (Beschreibung des analysierten Theiles der Grundprobe)	Sauerstoff-Aufnahme aus kochender alkalischer KMnO ₄ -Lösung	Ammoniak beim Kochen mit Wasser und sich bildend bei der Oxydation der organischen Substanz	Wasser aus dem lufttrockenen Grund- proben bei 100° weggehend gepulverten Grundproben, event. als Rückbleib. in der mit destill. Wasser gewaschenen, event. der organischen Substanz	In Salzsäure und Siedelösung unlös- lich bei 100° weggehend	Als in kochender Salzsäure löslich vorhanden							
						CO ₂	CuO	MnO	Al ₂ O ₃	Fe ₂ O ₃	MnO	K ₂ O	Na ₂ O
12	48 L. Gelblich-grauer Schlamm, durch Schlammern von viel grauem, aus Muschelsternen bestehenden Sand getrennt In der Drehschleife war Lothig durchsichtiger hellgelber Schlamm. Etwas davon wurde mit destill. Wasser geschlämmt, wobei nur ganz wenig Sandkörner im Rückstand blieb. Zur Analyse diente der feinste Theil des Schlammes	0.800 ± 0.003	0.0400	100-25	22.12	24.00	20.5	0.33	1.24	3.76	1.09	0.007	—
27	420 D. Etwas davon wurde mit destill. Wasser geschlämmt, wobei nur ganz wenig Sandkörner im Rückstand blieb. Zur Analyse diente der feinste Theil des Schlammes	0.400 ± 0.002	0.0169	73.77	14.00	31.98	35.1	2.04	75	2.97	0.36	0.017	0.83
33	794 D. Feinster Theil des feinsten, klein scharfkantig und spitze Muscheln enthaltenden Schlammes	0.304 ± 0.004	0.0119	90.28	8.25	35.05	37.0	1.45	90	1.78	1.51	0.008	0.40
33	791 D. Sehr hartes Krustensteinstückchen	0.184 ± 0.007	0.0031	43.44	2.00	43.95	44.8	2.52	77	0.90	1.10	0.008	0.14
42	700 L. Feinster Theil des feinsten, klein scharfkantig und spitze Muscheln enthaltenden Schlammes	0.377 ± 0.010	0.0193	114.25	—	27.14	—	—	—	—	—	—	—
40	870 L. Feinster Theil des feinsten, klein scharfkantig und spitze Muscheln enthaltenden Schlammes	0.360 ± 0.0010	0.0143	91.97	—	25.16	—	—	—	—	—	—	—
35	3100 L. Feinster Theil des feinsten, klein scharfkantig und spitze Muscheln enthaltenden Schlammes	0.185 ± 0.0010	0.006	130.12	12.09	34.96	34.2	0.94	204	3.92	3.52	0.082	0.40
80	— Hellbraune Krustensteinstücke (ohne Nuth aus Roth we- den Schlamm von Sat 83), einige wenige ganz kleine, mit unregelmäßigen Lücken (von Rostspuren) unter- brochen, sonst ganz glatt. Keine Krustensteinstücke oben von Sat. 33. Die linke Seite wenig dunkler als die mit Lehm befeuchtete. Helles Pulver gebend	0.060 ± 0.0015	0.0021	50.00	2.67	40.34	43.9	3.60	64	0.83	1.51	0.007	0.16
80	— Ein etwas mehr als basaltisches, sehr unregelmäßig geformtes, vielfach eingeknicktes und infolgedessen Stab- förmiges, fast allseitig dunkelgrau, nur an einer Ecke hellere u. mit gelb. Lehm beaufte (daselbst am Meeresgr. auf Lehm aufgelegt). Durch die ganze Masse braun	0.110 ± 0.0013	0.0027	33.90	1.00	44.16	44.9	3.84	42	0.93	0.69	0.17	—
80	— Ein rundliches, etwas mehr als basaltisches, leicht zerbrüchliches Stück, innen fast weiß, mit ausseer bläuerlicher Zone, in dieser einen dünnen graubrau- nen Ueberzug aufweisend. Das weiße Innere mit HCl scharf befeuchtet, zum Theil jedoch in HCl unlöslich	0.240 ± 0.0010	0.0054	64.5	4.30	14.80	10.3	3.87	499	8.82	8.39	0.054	—
80	— Zwei platte Gesteinstückchen, 1 mm dick, 1.5 und 3 cm ² groß, rotbraun, schenkelweise dunkelbraun (an ver- glichenen Stellen der sehr rauhen Oberfläche). Leicht zer- brüchlich. An den Bruchflächen theils erbleichend, theils dunkelrothbraun, theils fast schwarz	0.211 ± 0.003	0.0060	39.06	0.25	11.20	5.90	0.84	915	9.00	20.64	0.005	—

Tabelle VI b.
Analyse der Grundproben. (Gewichtsprocente der lufttrockenen Grundproben.)

Seitennummer	Menge in Litern	D = spezifische (Schlammprobe)	Art der Grundprobe (Bezeichnung des analysierten Theiles der Grundprobe)	Sauerstoff-Aufnahme aus kochender alkalischer KMnO_4 -Lösung	Antimonik	Wasser aus dem lufttrockenen Grund- proben bei 100° wassernd als Beschickung, in dem mit destill. Wasser gewaschenen, event. des organischen Substanz	In Salzsäure und Soda-Lösung unlös- licher Theil	CO_2	CaO	MgO	Gewicht des mit HCl erhalte- nen Leuchten Fe-Al-Misch - schlamm	Alu in kochender Salzsäure löslich vorhanden				
												Al_2O_3	Fe_2O_3	MnO	K_2O Na_2O	
88	902 D		Circus <i>a</i> aus dicke, sehr unregelmäßig geformte, theil- weise durchlöcherichte und einige Wurmrohren tra- gende, fast allezeit dunkelbraune Krustenscheibe. Nur wenige Stellen, wo sie etwas fester der Steine war merklich gelblich.	0.204 0.0014 0.0054	35.95	1.37	3.59	38.40	41.7	4.00	73	3.10	1.11	0.005	—	
101	1200 L		Feinster Theil des Schmittens, etwas dunkler als ge- wöhnlich, aber sonst wie gewöhnlich, später und viele abgerundete kleine Muscheln beigemengt waren (auch Schale und gewöhnliche Thonstücke mit verflochtenen Kohlenfäden vom Rost eines Dampfes).	0.200 0.0024 0.0071	89.90	—	—	33.88	—	—	—	—	—	—	—	
145	92 L		Feinster Theil des grauen, Thonreich besetz- ten Schlammes, der keinen oder fast keinen Sand enthielt.	0.800 0.0021 0.0104	119.39	2.04	10.01	23.13	24.7	1.05	149	5.07	0.83	0.008	0.74 0.22	
155	900 L		Feinster Theil des nollischgelblichen, viele kleine Muscheln und einige erbsengroße und etwas grö- ßere Stücke von Krustentieren enthaltenden Schlammes.	0.340 0.0014 0.0110	88.52	—	—	33.88	—	—	—	—	—	—	—	
155	740 L		Feinster Theil des schneigen Schlammes.	0.250 0.0014 0.0091	83.97	1.28	0.91	30.80	30.9	1.89	114	2.50	0.80	0.004	0.32 0.29	
179	50 L		Feinster Theil des hellbraunen, ganz weißen Sand (Muscheln) enthaltenden Schlammes.	0.720 0.0034 0.0414	100.13	—	—	20.15	—	—	—	—	—	—	—	
207	1077 L		Feinster Theil des nollischgelblichen, mit etwas Sand und eingestreuten Muscheln besetzten Schlammes.	0.100 0.0019 0.0094	88.17	1.07	11.55	30.80	32.2	2.14	129	3.33	1.27	0.010	0.45 0.25	
210	985 L		Feinster Theil des hellbraunen, mit Sand untermisch- ten Schlammes.	0.080 0.0024 0.0113	84.52	—	—	15.40	—	—	—	—	—	—	—	
219	917 L		Feinster Theil des hellgelblichen, mit Sand unter- mischten Schlammes.	0.320 0.0020 0.0103	92.90	—	—	26.97	—	—	—	—	—	—	—	
230	874 L		Feinster Theil des braunlichen, farnsängigen, viele schwarze Punkte aufweisenden Schlammes.	0.408 0.0039 0.0175	94.87	—	—	11.89	—	—	—	—	—	—	—	



Leit. Anst. v. Th. Bauer v. Wien.





Der Golf von Akaba mit Angabe der Tiefenmetern und mit dem Verzeichnisse der Sta-
tionen, an welchen Wasser- oder Grundproben zur chemischen Untersuchung genom-
men wurden.

Tiefenlinien 100 m. 500 m. 1000 m.

Lith. Anst. v. Th. Baumbach, Wien



Wasserschichtstufen μ im Korallengebiete von **Meren Hainib** an der afrikan. Küste.
 Tiefenangabe in engl. Faden Punktfadenlinie
 " Faden - 183 m gestrichelte Küstenbildungen

Lith. Anst. v. Th. Baumann, Wien.



Sandsteinlage über Salzthon bei Mersa-Dhibe (Egyptische Wüste).



Djebel Hammam-Farous an der Westküste der Sinaihalbinsel. (Gypsreiche Schichten).

Negative von A. Natterer

Dankschriften d. kais. Akad. d. Wiss. math.-naturw. Classe, Bd. LXV.



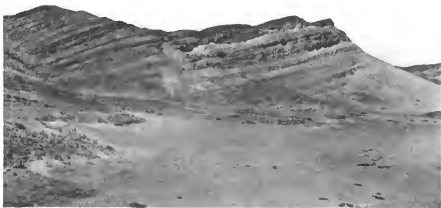
Westliches Küstengebirge der Sinaihalbinsel, südlich von Ras-Abu-Zenima. (Gypreiche Schichten).



Strandbild von Sehera-ut-moliya. (Bei der Südspitze der Sinaihalbinsel).

Negativ von A. N. Hesse

Denkschriften d. kais. Akad. d. Wiss. math.-naturw. Classe, Bd. LXV.



Gegen Norden abfallende gypsführende Schichten der dem Golf von Akaba vorgelagerten Insel Sanafr.



Klippe mit massenhaltiger Decke vor der Nordseite der Insel Sanafr.

Negativ von K. Natterer

Denkschriften d. kais. Akad. d. Wiss. math.-naturw. Classe, Bd. LXV.



Russe-Bucht (Sherm) an der Ostseite der vor der arabischen Küste gelegenen Noman-Insel.



Zum Theil geschichtete, salzhaltige Massen von sandigem Thee mit einer Decke von Korallenstein an der Nordseite der Habshan-Bucht Arabiens.

Gezogen von R. Salmons.

Denkschriften d. kais. Akad. d. Wiss. math.-naturw. Classe, Bd. LXV.

B.

FORTSETZUNG DER BERICHTE

DER

COMMISSION FÜR ERFORSCHUNG

DES

ÖSTLICHEN MITTELMEERES.

ZOOLOGISCHE ERGEBNISSE. X.

MOLLUSKEN II.

(HETEROPODEN UND PTEROPODEN, SINUSIGERA).

GESAMMELT VON S. M. SCHIFF »POLA« 1890 — 1894.

BEARBEITET VON

ALFRED OBERWIMMER,

LAND. MEIS.

(Viktor + Seifert.)

VORGELEGT IN DER SITZUNG VOM 31. MÄRZ 1906.

Obwohl die alten Molluskenklassen der *Heteropoden* und *Pteropoden* längst nicht mehr bestehen, die ersteren vielmehr im Systeme bei den Prosobranchiern ihre Einreihung als Familie gefunden haben, und die letzteren jetzt den Opisthobranchiern zugezählt werden, sind sie in dem ersten Berichte über die von S. M. Schiff »Pola« gesammelten Mollusken¹ unberücksichtigt geblieben, und zwar mit Absicht. Sie haben eine so streng pelagische Lebensweise und haben durch dieselbe auch eine von den ihnen nächstverwandten Familien so verschiedene Gestalt und Organisation erhalten, dass eine gesonderte Betrachtung derselben wohl gerechtfertigt erscheint.

Desgleichen liess sich die ehemalige Gattung *Sinusigera* d'Orb. nicht bei einer systematischen Besprechung der Gastropoden unterbringen; die Sinusigeraformen werden heute zwar als Larvenformen verschiedener Gastropoden angesehen, aber die Zuthellung der einen oder anderen Form zu einem bestimmten Genus derselben ist geradezu unmöglich. Aus diesen Gründen wurde die Besprechung zweier Sinusigeraformen als Anhang an die systematische Aufzählung der Heteropoden und Pteropoden angegliedert.

Die Pteropoden und Heteropoden leben pelagisch. Es gibt unter ihnen keine spezifisch der Tiefsee zugehörigen Arten. Es lässt sich sogar behaupten, dass in grösseren Tiefen aufgefundene Exemplare nur Ausnahmen bilden und dass der Verbreitungsbezirk dieser beiden Familien den höheren Meeresschichten angehört. In grösseren Tiefen wurden lebend aufgefunden: *Allaneta perronii* Les. 1138 m (Station 379), *Catolonia tridactyla* Lam. 950 m (Station 378) und 1190 m (Station 385), *Clio pyramidata* L. 1138 m (Station 379), *Cymbulia perronii* Blv. in Tiefen von 250 m (Station 376) bis 1138 m (Station 379). Diese Arten

¹ Sturany Dr. R. Mollusken I. (Prosobranchier und Opisthobranchier, Nauphropoden, Lamellibranchier). Gesammelt von S. M. Schiff »Pola« 1890—1894. Denkschr. d. kais. Ak. d. Wiss. LXIII. Bd. 1890.

kamen aber sämtlich in bedeutend grösserer Anzahl in geringeren Tiefen vor. Eine Ausnahme hievon bildet nur *Cymbulia peronii* Blv., welche nur einmal pelagisch aufgelesen, dagegen 6mal lebend gedredht wurde.

Dass im Mittelmeere — wie zahlreiche Grundproben ergeben — grosse Bodenstrecken mit ungeheuren Mengen von Heteropoden- und Pteropodenschalen bedeckt sind, kann keinen Beweis dafür bilden, dass diese Thiere thatsächlich in der Nähe des Meeresbodens oder auf demselben sich aufhalten. Unter den unzähligen Stücken, welche die Grundproben lieferten, fanden sich nur die oben angeführten in je einem oder zwei lebenden Exemplaren vor. Schon der Umstand, dass nur so wenige lebende Exemplare und diese nur in den oben angeführten vier Stationen gefunden wurden, während die Heteropoden und Pteropoden gesellig in ungeheuren Schwärmen leben, beweist, dass diese Stücke nur durch Zufall in so grosse Tiefen gelangten.

Dass trotzdem der Meeresboden streckenweise mit Heteropoden- und Pteropodenschalen bedeckt ist, findet seine Erklärung darin, dass die leeren Schalen der abgestorbenen Thiere zu Boden sinken und von Meeresströmungen an gewissen Stellen des Grundes zusammengetragen werden. Diesen Bodenbelag bilden alle Gattungen der Pteropoden mit Ausnahme der *Cymbulidae*, sowie der *Gymnosomata*, von den Heteropoden fehlen die *Firnilidae*; es fehlen also nur die schalenlosen Gattungen und die *Cymbulidae*, deren Schalen nicht kalkhaltig sind. Das Hauptcontingent zu diesen Ablagerungen stellen die Gattungen *Clio* L., *Cavolinia* Abildg., *Limacina* Cuv. und *Atlanta* Les.

Was die geographische Verbreitung der Gattungen und Arten im Gebiete der Expeditionen anbelangt, lässt sich ein faunistischer Unterschied zwischen dem östlichen Mittelmeere und der Adria nur insofern feststellen, als die Fauna der Adria an Arten ärmer ist als die des östlichen Mittelmeeres. In diesem wurden von Heteropoden 4 Genera mit 13 Species, von Pteropoden 4 Genera mit 15 Species gefunden; in der Adria befanden sich von Heteropoden 2 Genera mit 2 Species, von Pteropoden 4 Genera mit 11 Species vor. Die zwei vorgefundnen Sinusigera-Formen sind über beide Meere verbreitet. In den Fängen aus dem östlichen Mittelmeere fehlt das Genus *Cymbulia*, in dem Materiale aus der Adria finden sich die Genera *Carinaria*, *Pterotrachea*, *Peracle* und das Subgenus *Hyalocylix* nicht vor.

Die am weitesten verbreitete Art ist *Clio acicula* Rang., welche in 41 Stationen vorgefunden wurde; dann folgen: *Clio subula* Gray. (32 Stationen), *Atlanta peronii* Les. (20 Stationen), *Clio pyramidata* L. und *Cavolinia gibbosa* Pels. (26 Stationen), *Clio striata* Pels. und *Limacina inflata* Gray mit je 23 Stationen; weniger als 20 Fundorte weisen folgende Arten auf: *Cavolinia tridaculata* Lam. und *Clio conica* Eschsch. (19 Stationen), *Limacina trochiformis* Gray. (17 Stationen), *Atlanta grayana* Soul. und *Atlanta rosea* Soul. (16 Stationen), *Atlanta fusca* Soul., *Oxygrys kerandreni* Mc. Andr. und *Clio virgula* Pels. (12 Stationen), *Atlanta steindachneri* Oberwimmer (n. Sp.), *Clio cuspidata* Pels. und *Cavolinia inflexa* Vër. (11 Stationen) und endlich *Peracle reticulata* Pels. (10 Stationen). Die übrigen Species wurden an weniger als 10 Stationen gefunden; blos von einem Fundorte liegen *Pterotrachea grayana* d'Orb. und *Pterotrachea scutula* Gegenb. vor.

Als die ergiebigste Fangzeit für die Oberflächenfischerei ergab sich die Zeit von 6 Uhr 45 Minuten bis 8 Uhr 45 Minuten p. m., in welcher Zeit die grösste Anzahl von Arten, sowie Individuen gefangen wurde. Von 8 Uhr 45 Minuten p. m. bis Mitternacht nahm die Arten- und Individuenzahl ab und hob sich wieder von 3 Uhr 45 Minuten bis 5 Uhr 30 Minuten a. m., jedoch war um diese Zeit der Fang nie so ergiebig wie gegen Abend. Unter Tags ergab die Oberflächenfischerei kein oder doch nur ein sehr geringes Resultat.

Fasst man das Ergebnis dieser Beobachtungen zusammen, so ergibt sich, dass die Heteropoden und Pteropoden gegen Abend an die Oberfläche gelangen und sich dort bis zur Dämmerung aufhalten, während der Nachtstunden jedoch wieder in die tieferen Regionen des Wassers sinken, welche sie vor Sonnenaufgang auf kurze Zeit verlassen, um zur Oberfläche aufzusteigen. Tagsüber halten sie sich ohne Unterbrechung in niederen Schichten, jedoch nur in relativ geringen Tiefen und nie am Grunde auf. Neueren Forschungen zu Folge ist dieses Auf- und Absteigen der Heteropoden und Pteropoden keine von denselben spontan ausgeführte Bewegung, sondern hängt mit Strömungen zusammen, die durch Temperaturunter-

schiede und Anderes veranlasst, in verticaler Richtung sich regelmässig wiederholen. Da nun die Heteropoden und Pieropoden sich innerhalb dieser bald aufsteigenden, bald sinkenden Wasserschichten befinden, werden sie mit diesen regelmässig an die Oberfläche gehoben, beziehungsweise in tiefere Schichten geführt.

Betreffs der benützten Literatur ist zu bemerken, dass ich mich in der folgenden systematischen Aufzählung darauf beschränkte, das bekannte Handbuch »Prodromus Faunae Mediterraneae sive descriptio animalium maris Mediterraneae incolarum...« Vol. II, Pars. II (Mollusca, Cephalopoda, Tunicata), Stuttgart 1893 von Julius Victor Carus zu citiren. Eine vollständige Aufzählung der bisher erschienenen einschlägigen Literatur befindet sich am Schlusse dieses Berichtes.

Ich habe den gesamten Bericht in drei Theile getrennt. Der erste Theil gibt eine tabellarische Übersicht der Fangergebnisse im östlichen Mittelmeere I—IV (Expeditionen 1890—1893), der zweite Theil eine gleiche Übersicht über die Ergebnisse in der Adria und der Strasse von Otranto V (Expedition 1894); der dritte Theil besteht in einer systematischen Aufzählung und Beschreibung der auf sämtlichen fünf Expeditionen erbeuteten Arten. In den (folgenden zwei) Tabellen wurde bei Aufzählung der in einer Station erbeuteten Arten die Reihenfolge eingehalten, dass zuerst die Heteropoden, dann die Pieropoden und als letzte die Sinusigera-Formen aufgezählt werden, welche Gruppen von einander durch Querstriche getrennt sind. Ein dem lateinischen Namen im Stationsverzeichnis oder den Stationsnummern vorgesetztes * besagt, dass die betreffende Art in der angegebenen Tiefe lebend gedredht wurde.

I. Theil.

Übersicht der Fangergebnisse im östlichen Mittelmeere.

Expeditionen I—IV (1890—1893).

Nr.	Expedition und Datum	Östliche Länge Nördliche Breite	Tiefe, Beschaffenheit des Bodens	Operation	Arten
1	I. 14. VII. 1890	10° 48' 20" 39 23 westlich von Corfu	815 m	kleine Kurre	<i>Clio (Clio) pyramidata</i> L. * <i>(Cretis) acicula</i> Rang. * <i>(Styliola) subula</i> Gray <i>Carolina gibbosa</i> Pels. * <i>inflata</i> Vör.
5	I. 21. VII. 1890	21° 18' 37 17 15" nächst den Staphani-Inseln	Oberfläche	Oberflächen-netz	<i>Atlanta peronii</i> Les. * <i>steindachneri</i> Oberwimmer (n. sp.) <i>Oxygyrus heraudreni</i> Mc. Andr. <i>Limacina inflata</i> Gray. <i>Clio (Cretis) acicula</i> Rang. * <i>conica</i> Eschsch. * <i>(Styliola) subula</i> Gray. * <i>(Hyalocinctus) striata</i> Pels.
7	I. 22. VII. 1890	21° 3' 2" 37 13 41	380 m Tiefe	Tief-se-Kurre	<i>Atlanta rosea</i> Soul. * <i>steindachneri</i> Oberwimmer (n. sp.) <i>Clio (Cretis) acicula</i> Rang. * <i>virgula</i> Pels. * <i>(Styliola) subula</i> Gray.
9	I. 24. VII. 1890	22° 4' 36" 36 38 55	1050 m Tiefe; gelber Schlamm	Quastendredse	<i>Atlanta peronii</i> Les. <i>Clio (Clio) pyramidata</i> L. <i>Carolina gibbosa</i> Pels.

Nr.	Expedition und Datum	Östliche Länge Nordliche Breite	Tiefe, Beschaffenheit des Bodens	Operation	Arten
10	I. 24. VIII. 1890	22° 15' 50" 36 37 5	Oberfläche	Oberflächen- netz	<i>Atlanta rosea</i> Soul.
19	I. 28. VIII. 1890	22° 54' 50" 35 36	1010 m Tiefe; sandiger, gelbgrauer Schlamm	kleine Bügel- kurve	<i>Atlanta peronii</i> Les. <i>Limacina inflata</i> Gray. • <i>trochiformis</i> Gray. <i>Percebe reticulata</i> Pels. <i>Clio (Clio) pyramidata</i> L. • <i>(Styliola) subula</i> Gray. <i>Cavolinia gibbosa</i> Pels. • <i>tridentata</i> Lam.
20	I. 28. VIII. 1890	22° 52' 50" 35 38 10	Oberfläche	Oberflächen- netz	<i>Atlanta peronii</i> Les. <i>Clio (Cressis) acicula</i> Rang. • <i>(Hyalocylis) striata</i> Pels.
22	I. 26. VIII. 1890	22° 32' 44" 34 41 39	Oberfläche	Oberflächen- netz	<i>Atlanta stredachewi</i> Oberwimmer (n. sp.). <i>Clio (Styliola) subula</i> Gray.
23	I. 29. VIII. 1890	22° 29' 25" 34 31 29	Oberfläche	Oberflächen- netz	<i>Atlanta rosea</i> Soul. <i>Limacina inflata</i> Gray. <i>Limacina trochiformis</i> Gray. <i>Clio (Cressis) acicula</i> Rang. • <i>conica</i> Eschsch. • <i>virgula</i> Pels. • <i>(Hyalocylis) striata</i> Pels. <i>Sinnsigera turritellodes</i> Boas.
24	I. 30. VIII. 1890	22° 20' 1" 33 58 24	1651 m Tiefe; gelbgrauer Schlamm	kleine Bügel- kurve	<i>Atlanta peronii</i> Les.
25	I. 30. VIII. 1890	22° 29' 1" 33 58 24	Oberfläche	Oberflächen- netz	<i>Atlanta rosea</i> Soul. <i>Clio (Cressis) acicula</i> Rang.
27	I. 31. VIII. 1890	22° 22' 50" 33 11 18 an der afrikanischen Küste	1765 m Tiefe; Schlamm und Sand	grosse Bügel- kurve	<i>Carinaria mediterranea</i> Péc. et Les. <i>Atlanta peronii</i> Les. • <i>fusca</i> Soul. • <i>guyana</i> Soul. <i>Oxygyrus kerandreu</i> Mc. Andr. <i>Limacina inflata</i> Gray. • <i>trochiformis</i> Gray. <i>Percebe reticulata</i> Pels. <i>Clio (Clio) conglutata</i> Pels. • <i>pyramidata</i> L. • <i>(Cressis) acicula</i> Rang. • <i>conica</i> Eschsch. • <i>(Styliola) subula</i> Gray. <i>Cavolinia gibbosa</i> Pels. • <i>inflexa</i> Vér. • <i>tridentata</i> Lam. <i>Sinnsigera mediterranea</i> Oberwimmer (n. l.) <i>Limacina trochiformis</i> Gray.
33	I. 1. IX. 1900	21° 15' 40" 33 4	6 8 m Tiefe	Oberflächen- netz	<i>Sinnsigera turritellodes</i> Boas.

Nr.	Expedition und Datum	Östliche Länge Nördliche Breite	Tiefe, Beschaffenheit des Bodens	Operation	Arten
35	L. 1./IX. 1890	20° 25' 42" 32 50 36 an der afrikanischen Küste	Oberfläche	Oberflächen- netz	<i>Limacina inflata</i> Gray. * <i>trochiformis</i> Gray. <i>Clio (Cretes) acicula</i> Rang. * <i>conica</i> Eschsch. * <i>(Styliola) subula</i> Gray. * <i>(Hydrocylix) striata</i> Pels.
36	L. 2./IX. 1890	19° 58' 30" 32 48 40 nördlich von Beng- hazi an der afrikanischen Küste	680 m Tiefe, Schlamm und Sand	grosse Bügel- kurve	<i>Atlanta peronii</i> Les. * <i>fusca</i> Soul. <i>Limacina inflata</i> Gray. <i>Clio (Clio) cuspidata</i> Pels. * <i>pyramidalis</i> L. * <i>(Cretes) acicula</i> Rang. * <i>conica</i> Eschsch. * <i>(Styliola) subula</i> Gray. * <i>(Hydrocylix) striata</i> Pels. <i>Carolinia gibbosa</i> Pels. * <i>inflata</i> Vét. * <i>iridentata</i> Lam. <i>Sinuigera mediterranea</i> Oberwimmer (n. l.).
37	L. 6./IX. 1890	19° 49' 57" 32 25 14 nordwestlich von Benghazi an der afrikanischen Küste	700 m Tiefe, Schlamm und zahlreiche Krustensteine	grosse Bügel- kurve	<i>Atlanta peronii</i> Les. <i>Peraea telentalis</i> Pels. <i>Clio (Clio) pyramidalis</i> L. * <i>(Styliola) subula</i> Gray.
38	L. 8./IX. 1890	19° 49' 57" 32 25 14	Oberfläche	Oberflächen- netz	<i>Pterotrachea hippocampus</i> Phil. <i>Atlanta rosea</i> Soul. <i>Clio (Cretes) acicula</i> Rang.
41	L. 6./IX. 1890	19° 44' 30" 32 50	Oberfläche	Oberflächen- netz	<i>Pterotrachea coronata</i> Forsk. * <i>hippocampus</i> Phil. * <i>mulica</i> Les. <i>Atlanta peronii</i> Les. * <i>steindachneri</i> Oberwimmer (n. sp.). <i>Oxygaster kerandreni</i> Mc. Andr. <i>Limacina inflata</i> Gray. * <i>trochiformis</i> Gray. <i>Clio (Cretes) acicula</i> Rang. * <i>conica</i> Eschsch. * <i>virgula</i> Pels. * <i>(Styliola) subula</i> Gray. * <i>(Hydrocylix) striata</i> Pels. <i>Carolinia gibbosa</i> Pels. <i>Sinuigera mediterranea</i> Oberwimmer (n. l.). * <i>irritelloides</i> Boas.
46	L. 8./IX. 1890	20° 6' 30" 34 14 21 nördlich von Benghazi	5 m Oberfläche	Oberflächen- netz	<i>Atlanta fusca</i> Soul. * <i>steindachneri</i> Oberwimmer (n. sp.). <i>Limacina inflata</i> Gray. * <i>trochiformis</i> Gray. <i>Clio (Cretes) acicula</i> Rang. * <i>conica</i> Eschsch. <i>Sinuigera mediterranea</i> Oberwimmer (n. l.).

Nr.	Expedition und Datum	Östliche Länge Nördliche Breite	Tiefe, Beschaffenheit des Bodens	Operation	A r t e n
47	I. 9./IX. 1890	19° 31' 53" 34 58 33 nördlich von Benghazi	3300 m Tiefe; gelber Schlamm mit wenig Schalen- bruchstücken		<i>Atlantia peronii</i> Les. • <i>fusca</i> Soul. • <i>quoyana</i> Soul. <i>Limacina inflata</i> Gray. • <i>trochiformis</i> Gray. <i>Peradte reticulata</i> Pels. <i>Chio (Chio) cuspidata</i> Pels. • • <i>pyramidalata</i> L. • (<i>Cresis</i>) <i>acuta</i> Rang. • • <i>conica</i> Eschsch. • (<i>Styliola</i>) <i>subula</i> Gray. <i>Carolinia gibbosa</i> Pels. • <i>inflexa</i> Vér.
48	I. 12./IX. 1890	20° 0' 0" 37 31 südwestlich von Zante	200 m Tiefe	Schliess-netz	<i>Limacina inflata</i> Gray. <i>Chio (Styliola) subula</i> Gray. • (<i>Hyalocylus</i>) <i>striata</i> Pels.
51	I. 12./IX. 1890	19° 54' 0" 37 48 20 nächst Zante	2 m Oberfläche	Oberflächen- netz	<i>Atlantia peronii</i> Les. • <i>fusca</i> Soul. • <i>rosa</i> Soul. <i>Oxygyra heraudreni</i> Mc. Andr. <i>Limacina inflata</i> Gray. • <i>trochiformis</i> Gray. <i>Chio (Chio) pyramidalata</i> L. • (<i>Cresis</i>) <i>acuta</i> Rang. • (<i>Styliola</i>) <i>subula</i> Gray. • (<i>Hyalocylus</i>) <i>striata</i> Pels. <i>Carolinia gibbosa</i> Pels. • <i>inflexa</i> Vér. <i>Sinuigera turritelloides</i> Boas.
62	II. 30./VII. 1891	23° 34' 33 48 im Norden der West- küste von Kreta	755 m Tiefe; Schlamm und Sand	kleine Kurre	<i>Atlantia peronii</i> Les. • <i>quoyana</i> Soul. <i>Chio (Chio) pyramidalata</i> L. • (<i>Styliola</i>) <i>subula</i> Gray. • (<i>Hyalocylus</i>) <i>striata</i> Pels. <i>Carolinia gibbosa</i> Pels. • <i>inflexa</i> Vér. • <i>tridentata</i> Lam.
64	II. 31./VII. 1891	22° 56' 35 50 südwestlich von der Insel Cerigo	680 m Tiefe; Schlamm und Sand	kleine Kurre	<i>Chio (Chio) cuspidata</i> Pels. • • <i>pyramidalata</i> L. • (<i>Styliola</i>) <i>subula</i> Gray. <i>Carolinia gibbosa</i> Pels. <i>Sinuigera mediterranea</i> Oberwimmer (n. l.).

Nr.	Expedition und Datum	Östliche Länge Nordliche Breite	Tiefe, Beschaffenheit des Bodens	Operation	A r t e n
72	II. 7. VIII. 1891	25° 8' 35 59 nördlich von Kreta	1838 m Tiefe; Schlamm und Bimssteine	kleine Kurre	<p><i>Carinaria mediterranea</i> Pér. et Les. <i>Atlanta peronii</i> Les. * <i>fusca</i> Soul. * <i>quoyana</i> Soul.</p> <hr/> <p><i>Peracis reticulata</i> Pels. <i>Clio (Clio) cuspidata</i> Pels. * <i>pyramidata</i> L. * <i>(Cressis) acicula</i> Rang. * <i>conica</i> Eschsch. * <i>(Styliola) subula</i> Gray. <i>Carolinia gibbosa</i> Pels. * <i>inflexa</i> Vér.</p>
75	II. 8. VIII. 1891	25° 43' 36 1 nordöstlich von Kreta	1356 m Tiefe, gelber Schlamm und Bimssteine	kleine Kurre	<p><i>Carinaria mediterranea</i> Pér. et Les. <i>Atlanta peronii</i> Les. * <i>quoyana</i> Soul.</p> <hr/> <p><i>Limacina inflata</i> Gray. * <i>Irachiformis</i> Gray. <i>Peracis hispidosa</i> Pels. * <i>reticulata</i> Pels. <i>Clio (Clio) cuspidata</i> Pels. * <i>pyramidata</i> L. * <i>(Cressis) acicula</i> Rang. * <i>conica</i> Eschsch. * <i>(Styliola) subula</i> Gray. <i>Carolinia gibbosa</i> Pels. * <i>tridentata</i> Lam.</p>
82	II. 17. VIII. 1891	29° 8' 32 50 nördlich von Alexandrien	2420 m Tiefe, gelber und blaugrauer Schlamm	Haken- dreische	<p><i>Carinaria mediterranea</i> Pér. et Les. <i>Atlanta peronii</i> Les. * <i>fusca</i> Soul. * <i>quoyana</i> Soul. <i>Oxygrys kerandreni</i> Mc. Andr.</p> <hr/> <p><i>Limacina inflata</i> Gray. * <i>Irachiformis</i> Gray. <i>Peracis hispidosa</i> Pels. * <i>reticulata</i> Pels. <i>Clio (Clio) cuspidata</i> Pels. * <i>pyramidata</i> L. * <i>(Cressis) acicula</i> Rang. * <i>conica</i> Eschsch. * <i>(Styliola) subula</i> Gray. * <i>(Hyalosyllis) striata</i> Pels. <i>Carolinia gibbosa</i> Pels. * <i>inflexa</i> Vér. * <i>tridentata</i> Lam. * <i>irispinosa</i> Pels.</p> <hr/> <p><i>Sinusigera mediterranea</i> Oberwimmer (n. L.).</p>

Nr.	Expedition und Datum	Östliche Länge Nördliche Breite	Tiefe, Beschaffenheit des Bodens	Operation	A r t e n
85	II. 25. VIII. 1891	26° 52' 31 39 nächst Alexandria	2055 m Tiefe, zäher, dicker Schlamm und Krustensteine	kleine Kurre	<i>Atlantia peronii</i> Les. * <i>fusca</i> Soul. * <i>quoyana</i> Soul. <i>Oxydoras kerandracus</i> Mc. Andr. <i>Limacina inflata</i> Gray. * <i>trochiformis</i> Gray. <i>Clio (Clio) pyramidalis</i> L. * (<i>Cresis</i>) <i>acicula</i> Rang. * * <i>conica</i> Eschsch. * (<i>Styliola</i>) <i>subula</i> Gray.
91	II. 30. VIII. 1891	24° 23' 34 45 südlich von Kreta	1274 m Tiefe; lockerer, gelber Schlamm mit wenigen Bim- steinen und wenigen Krustensteinen	große Kurre	<i>Carinaria mediterranea</i> Pér. et Les. <i>Atlantia peronii</i> Les. * <i>fusca</i> Soul. * <i>quoyana</i> Soul. <i>Limacina inflata</i> Gray. <i>Peratella reticulata</i> Pels. <i>Clio (Clio) cuspidata</i> Pels. * * <i>pyramidalis</i> L. * (<i>Cresis</i>) <i>acicula</i> Rang. * * <i>conica</i> Eschsch. * (<i>Styliola</i>) <i>subula</i> Gray. <i>Carolinia gibbosa</i> Pels.
105	III. 19. VIII. 1892	18° 58' 39 32	3—5 m Oberfläche	kleines Oberflächen- netz	<i>Atlantia peronii</i> Les. * <i>steindachneri</i> Oberwimmer (n. sp.). <i>Clio (Cresis) acicula</i> Rang. * (<i>Styliola</i>) <i>subula</i> Gray.
106	III. 19. VIII. 1892	19° 10' 38 48	Oberfläche	Oberflächen- netz	<i>Atlantia steindachneri</i> Oberwimmer (n. sp.). <i>Clio (Cresis) acicula</i> Rang. * * <i>virgula</i> Pels.
108	III. 19. VIII. 1892	19° 44' 38 11 nächst Kephallonia	Oberfläche	kleines Oberflächen- netz	<i>Atlantia rosea</i> Soul. * <i>quoyana</i> Soul. * <i>steindachneri</i> Oberwimmer (n. sp.). <i>Limacina inflata</i> Gray. * <i>trochiformis</i> Gray. <i>Clio (Cresis) acicula</i> Rang. * * <i>virgula</i> Pels. * (<i>Styliola</i>) <i>subula</i> Gray. * (<i>Hyalocytis</i>) <i>striata</i> Pels. <i>Carolinia gibbosa</i> Pels. <i>Sinuigera luridelloides</i> Boas.
111	III. 19. VIII. 1892	19° 50' 36 16	Oberfläche	kleines Oberflächen- netz	<i>Atlantia rosea</i> Soul. <i>Clio (Cresis) acicula</i> Rang. * * <i>conica</i> Eschsch.

Nr.	Expedition und Datum	Östliche Länge Nördliche Breite	Tiefe, Beschaffenheit des Bodens	Operation	Arten
114	III. 23. VIII. 1892	20° 2' 36 15 südlich von Zante	Oberfläche	kleines Oberflächen- netz	<i>Pterotrachea mutica</i> Les. <i>Atlanta peronii</i> Les. * <i>quoyana</i> Soul. * <i>rosea</i> Soul. * <i>steindachneri</i> Oberwimmer (n. sp.). <i>Limacina inflata</i> Gray. <i>Clio (Cresis) acicula</i> Rang. * * <i>virgula</i> Pels. * <i>Stylodonta subula</i> Gray. * <i>(Hydrolysis) striata</i> Pels. <i>Sinuigera turretilloides</i> Bons.
115	III. 23. VIII. 1892	20° 50' 36 9	Oberfläche	Oberflächen- netz	<i>Atlanta fusca</i> Soul. * <i>quoyana</i> Soul. * <i>rosea</i> Soul. <i>Limacina trochiformis</i> Gray. <i>Clio (Cresis) conica</i> Eschsch. * * <i>virgula</i> Pels. * <i>(Hydrolysis) striata</i> Pels. <i>Carolinia gibbosa</i> Pels.
117	III. 23. VIII. 1892	22° 2' 36 6 südlich von Cap Malpinon	Oberfläche	kleines Oberflächen- netz	<i>Atlanta rosea</i> Soul. <i>Oxygyras heraudeni</i> Me. Andr. <i>Limacina inflata</i> Gray. <i>Clio (Cresis) acicula</i> Rang. * * <i>virgula</i> Pels. * <i>(Stylodonta) subula</i> Gray. * <i>(Hydrolysis) striata</i> Pels. * <i>(Clio) pyramidalis</i> L. <i>Carolinia gibbosa</i> Pels. <i>Sinuigera mediterranea</i> Oberwimmer (n. sp.). * <i>turretilloides</i> Bons.
118	III. 23. VIII. 1892	22° 32' 36 7	Oberfläche	kleines Oberflächen- netz	<i>Pterotrachea hippocampus</i> Phil. <i>Clio (Hydrolysis) striata</i> Pels. <i>Carolinia gibbosa</i> Pels.
122	III. 26. VIII. 1892	24° 44' 34 0	Oberfläche	kleines Oberflächen- netz	<i>Pterotrachea frederici</i> Les. <i>Clio (Cresis) virgula</i> Pels.
123	III. 26. VIII. 1892	25° 38" 33 30	Oberfläche	kleines Oberflächen- netz	<i>Atlanta peronii</i> Les. * <i>rosea</i> Soul. <i>Clio (Cresis) acicula</i> Rang.
127	III. 5. IX. 1892	30° 12' 32 6	Oberfläche	kleines Oberflächen- netz	<i>Atlanta steindachneri</i> Oberwimmer (n. sp.). <i>Clio (Cresis) acicula</i> Rang. * * <i>conica</i> Eschsch.
130	III. 5. IX. 1892	31° 20' 31 50	Oberfläche	kleines Oberflächen- netz	<i>Clio (Cresis) acicula</i> Rang. * * <i>conica</i> Eschsch. <i>Sinuigera mediterranea</i> Oberwimmer (n. l.).

Nr.	Expedition und Datum	Ostliche Länge Nordliche Breite	Tiefe, Beschaffenheit des Bodens	Operation	Arten
131	III. 6./IX. 1892	31° 43' 32 21	Oberfläche	kleines Oberflächen- netz	<i>Atlanta quoyana</i> Soul. <i>Clio (Cresci)</i> <i>acicula</i> Rang.
142	III. 10./IX. 1892	34° 8' 32 46 nordwestlich von Jaffa	Oberfläche	kleines Oberflächen- netz	<i>Atlanta peronii</i> Les. • <i>fusca</i> Soul. <i>Oxygyrus kerandreu</i> Mc. Andr. <i>Clio (Cresci)</i> <i>virgula</i> Pels. • <i>(Styliola)</i> <i>subula</i> Gray.
143	III. 11./IX. 1892	34° 33' 32 43	Oberfläche	kleines Oberflächen- netz	<i>Atlanta rosea</i> Soul. <i>Oxygyrus kerandreu</i> Mc. Andr. <i>Limacina inflata</i> Gray. <i>Clio (Cresci)</i> <i>acicula</i> Rang. <i>Sinuigera turritellodes</i> Boue.
147	III. 12./IX. 1892	34° 29' 33 20	Oberfläche	kleines Oberflächen- netz	<i>Atlanta peronii</i> Les. • <i>quoyana</i> Soul. <i>Clio (Cresci)</i> <i>acicula</i> Rang. • <i>virgula</i> Pels.
150	III. 12./IX. 1892	33° 35' 33 16	Oberfläche	kleines Oberflächen- netz	<i>Oxygyrus kerandreu</i> Mc. Andr.
154	III. 13./III. 1892	33° 20' 33 28	3-4 m Oberfläche	kleines Oberflächen- netz	<i>Atlanta peronii</i> Les. • <i>quoyana</i> Soul. • <i>steindachneri</i> Oberwimmer (n. sp.). <i>Limacina inflata</i> Gray. • <i>trachiformis</i> Gray. <i>Clio (Cresci)</i> <i>acicula</i> Rang. • <i>(Hyalocylix)</i> <i>striata</i> Pels. <i>Carolinia gibbosa</i> Pels.
159	III. 15./IX. 1892	35° 18' 33 58	Oberfläche	kleines Oberflächen- netz	<i>Pterotrachia scutata</i> Gröbr.
162	III. 15./IX. 1892	34° 22' 34 8 westlich von Beirut	Oberfläche	kleines Oberflächen- netz	<i>Atlanta fusca</i> Soul. • <i>quoyana</i> Soul. • <i>rosea</i> Soul. <i>Clio (Cresci)</i> <i>acicula</i> Rang. • <i>(Styliola)</i> <i>subula</i> Gray. • <i>(Hyalocylix)</i> <i>striata</i> Pels. <i>Carolinia gibbosa</i> Pels.
163	III. 16./IX. 1892	35° 59' 34 10	Oberfläche	kleines Oberflächen- netz	<i>Pterotrachia frederici</i> Les. <i>Atlanta rosea</i> Soul.
169	III. 21./IX. 1892	34° 33' 35 11	4-5 m Oberfläche	kleines Oberflächen- netz	<i>Atlanta rosea</i> Soul. <i>Clio (Hyalocylix)</i> <i>striata</i> Pels. <i>Carolinia gibbosa</i> Pels.
177	III. 27./IX. 1892	32° 7' 35 39	Oberfläche	kleines Oberflächen- netz	<i>Atlanta peronii</i> Les. <i>Clio (Hyalocylix)</i> <i>striata</i> Pels. <i>Carolinia gibbosa</i> Pels.

Nr.	Expedition und Datum	Östliche Länge Nördliche Breite	Tiefe, Beschaffenheit des Bodens	Operation	Arten
186	III, 26./IX, 1892	31° 8' 35 23	Oberfläche	kleines Ober- flächennetz	<i>Pterotrachea coronata</i> Forsk.
187	III, 2./X, 1892	28° 10' 35 19	Oberfläche	kleines Ober- flächennetz	<i>Atlanta roca</i> Soult.
189	III, 3./X, 1892	28° 57' 36 5	Oberfläche	kleines Ober- flächennetz	<i>Clio (Clio) pyramidata</i> L.
190	III, 3. X, 1892	28° 54' 36 12	Oberfläche	kleines Ober- flächennetz	<i>Clio (Cresis) acicula</i> Rang.
191	IV, 27. VII, 1893	23° 50' 36 9 südöstlich von Cerges (Meer von Candia)	875 m Tiefe; Schlamm und Muschel- bruchstücke	Kurve	<i>Carinaria mediterranea</i> Pér. et Les. <i>Atlanta peronii</i> Les. * <i>quoyana</i> Soult. <i>Limacina inflata</i> Gray. * <i>trochiformis</i> Gray. <i>Perada hispanosa</i> Pels. * <i>reticulata</i> Pels. <i>Clio (Clio) cuspidata</i> Pels. * <i>pyramidata</i> L. * <i>(Cresis) acicula</i> Rang. * <i>(Styliola) subula</i> Gray. * <i>(Hyalocylis) striata</i> Pels. <i>Carolinia gibbosa</i> Pels. * <i>inflata</i> Véz.
201	IV, 27. VII, 1893	24° 18' 36 29	Oberfläche	kleines Ober- flächennetz	<i>Clio (Hyalocylis) striata</i> Pels. <i>Carolinia gibbosa</i> Pels.
206	IV, 29. VII, 1893	24° 7' 36 53	Oberfläche	kleines Ober- flächennetz	<i>Clio (Cresis) acicula</i> Rang.
208	IV, 31. VII, 1893	24° 28' 37 0 zwischen Milo und Serpho (Cycladen)	414 m Tiefe; gelber Schlamm und feiner Sand	Kurve	<i>Atlanta peronii</i> Les. * <i>Carolinia tridentata</i> Lam.
209	IV, 31. VII, 1893	24° 29' 36 59	444 m Tiefe; gelber Schlamm und feiner Sand	Kurve	<i>Carolinia tridentata</i> Lam.
211	IV, 11. VIII, 1893	25° 43' 37 15	2-4 m Oberfläche	kleines Ober- flächennetz	<i>Clio (Cresis) acicula</i> Rang.
212	IV, 12. VIII, 1893	26° 22' 38 52	Oberfläche	kleines Ober- flächennetz	<i>Clio (Cresis) acicula</i> Rang.
213	IV, 12. VIII, 1893	26° 29' 36 47 nördlich von Stampalia (Avro- pala (Sporaden))	507 m Tiefe; feiner Sand und Schlamm	Kurve	<i>Carinaria mediterranea</i> Pér. et Les. <i>Atlanta peronii</i> Les. <i>Oxygyrus heraudreni</i> Mc. Andr. <i>Limacina inflata</i> Gray. * <i>trochiformis</i> Gray. <i>Perada reticulata</i> Pels. <i>Clio (Cresis) acicula</i> Rang. * <i>conica</i> Eschsch. * <i>(Styliola) subula</i> Gray. * <i>(Hyalocylis) striata</i> Pels. * <i>Carolinia gibbosa</i> Pels. * <i>inflata</i> Véz. * <i>tridentata</i> Lam.

Nr.	Expedition und Datum	Östliche Länge Nördliche Breite	Tiefe, Beschaffenheit des Bodens	Operation	Arten
214	IV. 12. VIII. 1893	26° 43' 36 37 östlich von Stampuglia, Sporaden	192 m Tiefe; gelbgrauer Schlamm	Kurve	<i>Carolina gibbosa</i> Pelz.
215	IV. 12. VIII. 1893	26° 48' 36 32	Oberfläche	kleines Ober- flächennetz	<i>Clio (Cresis) acuta</i> Rang.
216	IV. 13. VIII. 1893	27° 13' 36 10	Oberfläche	kleines Ober- flächennetz	<i>Pterotrachea quorana</i> d'Orb.
222	IV. 17. VIII. 1893	28° 55' 35 43	Oberfläche	kleines Ober- flächennetz	<i>Clio (Clio) pyramidata</i> L.
232	IV. 30. VIII. 1893	24° 42' 40 8	2 m Oberfläche	kleines Ober- flächennetz	<i>Clio (Cresis) acuta</i> Rang.
237	IV. 31. VIII. 1893	25° 13' 40 17 südwestlich von Samotracia (Ägaisches Meer)	588 m Tiefe; gelbgrauer Schlamm, grauer Lehm und wenig Sand	Kurve	<i>Carolina tridentata</i> Lam. • <i>trispinosa</i> Pelz.

II. Theil.

Übersicht der Fangergebnisse in der Adria und der Strasse von Otranto.

Expedition V (1894).

Nr.	Datum	Östliche Länge Nördliche Breite	Tiefe, Beschaffenheit des Bodens	Operation	Arten
242	5./VI. 1894	15° 41' 42 15 bei Pianosa	Oberfläche		<i>Oxygyrus kerandreni</i> Mc. Andr. <i>Lumacina inflata</i> Gray.
256	9./VI. 1894	16° 25' 42" 24 27 6 zwischen Pelagosa und C'azza	192 m Tiefe; lockerer Schlamm	Kurve	<i>Clio (Clio) pyramidata</i> L. <i>Carolina tridentata</i> Lam.
264	13./VI. 1894	16° 16' 42 45 bei Pelagosa	Oberfläche	Oberflächen- netz	<i>Clio (Clio) cuspidata</i> Pelz.
269	15./VI. 1894	17° 13' 42 35 südlich von Lagosta	Oberfläche	Oberflächen- netz	<i>Atlanta peronii</i> Les.
273	17./VI. 1894	16° 28' 0" 42 35 5	Oberfläche	Oberflächen- netz	<i>Clio (Cresis) comica</i> Eschsch. <i>Clio (Clio) pyramidata</i> L. • <i>(Cresis) acuta</i> Rang • <i>(Styliola) subula</i> Gray. <i>Carolina gibbosa</i> Pelz. • <i>inflata</i> Ver. • <i>tridentata</i> Lam. • <i>trispinosa</i> Pelz.
274	17./VI. 1894	16° 27' 50" 42 31 44	191 m Tiefe; sehr dicker, lehmiger Schlamm	Kurve	
275	17./VI. 1894	16° 32' 30" 42 28 24 bei C'azza	170 m Tiefe	Tannernetz	<i>Clio (Styliola) subula</i> Gray.

Nr.	Datum	Östliche Länge Nordliche Breite	Tiefe, Beschaffenheit des Bodens	Operation	Arten
276	17./VI. 1894	16° 32' 30" 42 28 24 bei Cazza	140 m Tiefe	Tannernetz	<i>Clio (Stylola) subula</i> Gray.
298	25. VI. 1894	10° 50' 27" 42 9 0 südlich von Pelagosa	485 m Tiefe; gelbgrauer Schlamm	Kurre	<i>Carolina tridentata</i> Lam. * <i>Cymbula peronii</i> Biv.
301	26. VI. 1894	17° 51' 30" 42 11 südlich von Pelagosa	1216 m Tiefe; dicker, gelbgrauer Schlamm	Kurre	<i>Carolina gibbosa</i> Pels.
309	30. VI. 1894	18° 10' 20" 41 41 30	550 m Tiefe	Tannernetz	<i>Clio (Clio) cuspidata</i> Pels.
313	1. VII. 1894	2 Meilen südlich von 18° 47' 30" 40 55	330 m Tiefe	Tannernetz	<i>Clio (Clio) pyramidata</i> L.
317	2. VII. 1894	19° 19' 40 31 Einfahrt nach Valona	Oberfläche	Oberflächen- netz	<i>Sinuigera mediterranea</i> Oberwiesmer (n. f.). * <i>luriduloides</i> Boas.
322	9. VII. 1894	nahe bei Fanò	Oberfläche	Oberflächen- netz	<i>Cymbula Peronii</i> Biv.
346	12. VII. 1894	26° 8' 0" 38 10 30 Hohe von Cephalonni	1520 m Tiefe	Tannernetz	<i>Clio (Stylola) subula</i> Gray.
368	19. VII. 1894	18° 24' 20" 40 58 30 nördlich von Brindisi	895 m Tiefe; zäher, dicker Schlamm	Kurre	<i>Clio (Clio) pyramidata</i> L.
370	19. VII. 1894	18° 24' 20" 40 58 30 ebenda	300 m Tiefe	Tannernetz	* <i>Cymbula peronii</i> Biv.
376	20. VII. 1894	18° 5' 41 31	250 m Tiefe	Tannernetz	* <i>Cymbula peronii</i> Biv.
377	20. VII. 1894	18° 5' 41 31	150 m Tiefe	Tannernetz	* <i>Cymbula peronii</i> Biv.
378	20. VII. 1894	17° 35' 7" 41 36 8 südliche Adria	950 m Tiefe; sandiger Schlamm	Kurre	* <i>Carolina tridentata</i> Lam.
379	23. VII. 1894	17° 30' 5" 41 41 südliche Adria	1138 m Tiefe; sandiger Schlamm	Kurre	* <i>Atlanta peronii</i> Les. * <i>Clio (Clio) pyramidata</i> L. <i>Carolina tridentata</i> Lam. * <i>Cymbula peronii</i> Biv.
383	24. VII. 1894	17° 30' 6" 41 33 50 südliche Adria	986 m Tiefe; sandiger Schlamm	Kurre	<i>Clio (Clio) pyramidata</i> L. <i>Carolina tridentata</i> Lam. * <i>trispinosa</i> Pels.
385	24. VII. 1894	17° 38' 41 37 südliche Adria	1190 m Tiefe; sandiger Schlamm	Kurre	<i>Clio (Clio) pyramidata</i> L. * <i>Carolina tridentata</i> Lam.

Nr.	Datum	Östliche Länge Nördliche Breite	Tiefe, Beschaffenheit des Bodens	Operation	Arten
380	24./VII. 1894	17° 42' 41 37	500m Tiefe	Tannernetz	* <i>Cymbulia peronii</i> Biv.
306	26./VII. 1894	17° 30' 30" 42 10 südöstlich von Pelagosa	1189m Tiefe; dicker, zäher Schlamm	Kurve	<i>Carolina tridentata</i> Lam.
399	26./VII. 1894	17° 28' 40" 42 32 20 südlich von Meleda	218m Tiefe; lockerer Schlamm, ohne Sand	Kurve	<i>Carolina tridentata</i> Lam.

III. Theil.

Systematische Darstellung und Besprechung der auf sämtlichen fünf Expeditionen erbeuteten Arten.

A. HETEROPODA.

A. FIROLIDAE.

1. *Pterotrachea coronata* Forsk. — Carus Prodr. p. 430.Syn.: *Pt. hyalina* Forsk. juv.*Pt. umbilicata* D. Ch., f. Tüb.Syn.: *Friola Edwardsiana* Dech., f. Tüb.*Hypterus erythrogaster* Rafin.

Von den Stationen 41 und 180 (pelagisch) im östlichen Mittelmeere; in der Adria nicht vorgefunden.

2. *Pterotrachea hippocampus* Phil. — Carus Prodr. p. 430.

Von den Stationen 38, 41 und 118 (pelagisch) im östlichen Mittelmeere; in der Adria nicht vorgefunden.

3. *Pterotrachea frederici* Les. — Carus Prodr. p. 430.Syn.: *Pt. Leueuri* Risso.*Hypterus appendiculatus* Rafin.

Von den Stationen 122 und 103 (pelagisch) im östlichen Mittelmeere; in der Adria nicht vorgefunden.

4. *Pterotrachea mutica* Les. — Carus Prodr. p. 431.

Von den Stationen 41 und 114 (pelagisch) im östlichen Mittelmeere; in der Adria nicht vorgefunden.

5. *Pterotrachea scutata* Ggbr. — Carus Prodr. p. 431.

Von Station 159 (pelagisch) im östlichen Mittelmeere; in der Adria nicht vorgefunden.

6. *Pterotrachea quoyana* Orb.

Von Station 216 (pelagisch) im östlichen Mittelmeere; in der Adria nicht vorgefunden.

B. CARINARIIDAE.

7. *Carinaria mediterranea* Pér. et Les. — Carus Prodr. p. 431.Syn.: *Tithoula conchacea* Cavol.*Pterotrachea lophyra* Poly.* *nantidigra* Cavol.*Argonaula vitreus* Lamel.Syn.: *Carinaria vitrea* O. G. Costa.*Pterotrachea nantidigra* Maeri.*Carina cymbium* Lam.

Von den Stationen 27, 72, 75, 82, 91, 199 und 213 (gedredst in Tiefen von 597—2420 m) im östlichen Mittelmeere, in der Adria vorgefunden.

Im Ganzen liegen von den oben genannten Stationen 16 Schalen vor, welche durchwegs sehr klein und grösstentheils beschädigt sind. Das grösste Stück von 63 mm Länge, sowie eines von Station 27 und zwei Stück von Station 75 sind subfossil. Auffallend ist der Umstand, dass von sämtlichen fünf Expeditionen nicht ein lebendes Exemplar vorgefunden wurde.

C. ATLANTIDAE.

8. *Atlanta peronii* Les. — Carus Prodr. p. 432.

Syn.: *Atlanta Kerandreu* Quoy et Gaym.

Lada Kerandreu Payr.

Atlanta Bivona Pirajno.

» *Costa* Pirajno.

» *Peronii* O. G. Costa.

Syn.: *Atlanta mediterranea* O. G. Costa.

» *junior* O. G. Costa.

» *Lavananti* O. G. Costa.

Lada planorboides Forb. stat. juv.

Von den Stationen 9, 10, 27, 30, 37, 47, 62, 72, 75, 82, 85, 91, 199, 208, 213 (gedredst in Tiefen von 414—3300 m) im östlichen Mittelmeere und * 370 (1138 m) Adria;

von den Stationen 5, 24, 41, 105, 114, 123, 142, 147, 154, 177 (östliches Mittelmeer) und 269 (Adria) pelagisch.

Carus gibt für *Atlanta Peronii* Les. als Fundort in der Adria Triest an, jedoch mit dem Bedenken, dass eventuell eine *Atlanta Peronii* eines anderen Autors in den Schriften Eduard Graeffes gemeint sein könnte. Durch die Auffindung in den Stationen 209 und 379 ist das Vorkommen der *Atlanta Peronii* Les. in der Adria nunmehr sicher nachgewiesen.

9. *Atlanta quoyana* Soul. — Carus Prodr. p. 432.

Von den Stationen 27, 47, 62, 72, 75, 82, 85, 91 und 199 (östliches Mittelmeer) gedredst in Tiefen von 755—3300 m;

von den Stationen 108, 114, 115, 131, 147, 154 und 162 (östliches Mittelmeer) pelagisch. In der Adria nicht vorgefunden.

10. *Atlanta rosea* Soul. — Carus Prodr. p. 432.

Von Station 7 (östliches Mittelmeer), in einer Tiefe von 380 m gedredst;

von den Stationen 10, 23, 25, 38, 51, 108, 111, 114, 115, 117, 123, 143, 162, 163, 169 und 187 (östliches Mittelmeer) pelagisch. In der Adria nicht vorgefunden.

11. *Atlanta fusca* Soul. — Carus Prodr. p. 432.

Von den Stationen 27, 30, 47, 72, 82, 85 und 91 (östliches Mittelmeer), gedredst in Tiefen von 680—3300 m;

von den Stationen 40, 51, 115, 142 und 162 (östliches Mittelmeer) pelagisch. In der Adria nicht vorgefunden.

12. *Atlanta steindachneri* Oberwimmer, n. sp. (Fig. 1 und 2).

Von Station 7 (östliches Mittelmeer), gedredst in einer Tiefe von 380 m;

von den Stationen 5, 22, 41, 46, 105, 106, 108, 114, 127 und 154 (östliches Mittelmeer) pelagisch. In der Adria wurde diese Species nicht vorgefunden.

Das rechtsgewundene, schalenförmige Gehäuse ist sehr dünn, äusserst leicht zerbrechlich, glashell, durchsichtig, sehr glänzend und von oben nach unten stark zusammengedrückt. Es besteht aus vier bis fünf Umgängen, welche sämtlich von beiden Seiten sichtbar sind. Die ersten Umgänge sind sehr klein und bilden ein kleines, stumpfkegelförmiges Gewinde, welches vom letzten, sehr vergrösserten und nach rechts vorgezogenen Umgange umgeben wird. Der letzte Umgang ist bis zu seinem halben inneren Umfang von den übrigen losgelöst, so dass der vordere Abschnitt desselben mit seinem Innenrande den vorletzten

Umgang nicht berührt. Er ist mit einem breiten Kiele versehen, welcher etwas oberhalb der Mündung beginnt, den ganzen letzten Umgang umgibt und bis an den vorletzten Umgang reicht, wobei er allmählich schmaler und zarter wird, bis er am vorletzten Umgange verschwindet. Die Mündung ist erweitert lanzettförmig, nach oben und unten zugespitzt. Nach oben läuft ein sich verschmälender enger Spalt bis zum Beginne des Kieles. Der letzte Umgang ist an der Mündung schwach erweitert und der scharfe Mündungsrand sehr gering nach aussen gebogen. Der letzte, sehr glänzende Umgang ist radial mit bald stärkeren, bald schwächeren, schwach S-förmig gekrümmten Linien gestreift. Der lanzettförmige Deckel ist glashell, durchsichtig und sehr zart.

Die meisten Exemplare dieser Art, die sich insbesondere wegen des von den übrigen losgelösten letzten Umganges und der hiemit im Zusammenhange stehenden eigenthümlichen Bildung des Kieles nicht leicht mit einer bestehenden Art vereinigen lassen dürften, sind ziemlich stark beschädigt, da die Schale so zart ist, dass sie bei dem leisesten Druck bricht. Einige grössere Stücke sind jedoch ganz gut erhalten. Zu bemerken ist noch, dass die Entfernung der inneren Mündungswand vom vorletzten Umgange nicht eine vollkommen constante ist, sondern bald weiter, bald weniger weit von diesem absteht. Sie berührt jedoch nie den Kiel der angrenzenden Windung, sondern ist immer durch einen deutlichen Zwischenraum von diesem getrennt.

Der grösste Durchmesser beträgt je nach der Grösse des Stückes bis 3·5 mm, der kleinste bis 2·8 mm.

Diese neue Art habe ich nach dem wissenschaftlichen Leiter der Expeditionen, Herrn Hofrath Dr. Franz Steindachner, Intendanten des k. k. naturhistorischen Hofmuseums in Wien, benannt.

13. *Oxygyrus keraudreni* Mc. Andr. — Carus Prodr. p. 433. (Fig. 3–7.)

Syn.: *Atlanta Keraudreni* Les.
Ladus Keraudreni Centr.
Atlanta Bivona Pirajoo.

Syn.: *Atlanta Costae* Pirajoo.
Bellerophina minuta Forb. stat. ind.

Von den Stationen 27, 82, 85 und 213 (östliches Mittelmeer), gedreht in Tiefen von 507–2420 m; von den Stationen 5, 41, 51, 117, 142, 143, 150 (östliches Mittelmeer) und 242 (Adria) pelagisch.

Von dieser Species wurden ausgewachsene Exemplare nur in den Stationen 27, 82, 117, 142, 150 und 213 gefunden. In allen übrigen oben erwähnten Stationen fand sich der Jugendzustand (*Bellerophina minuta* Forb.) vor, und zwar der Grösse nach schwankend zwischen 0·1 mm und 1 mm (Fig. 5 und 6). Interessant ist ein Exemplar von Station 41, welches den Übergang der noch vollständig ungekielten *Bellerophina*-Form in die gekielte *Oxygyrus*-Form sehr deutlich zeigt (Fig. 7).

Dieses Stück weist zwar noch ganz die Form und die charakteristische Sculptur von *Bellerophina* auf, man sieht jedoch am oberen Theile der Mündung, welche einen frisch angefügten, noch häutigen Rand besitzt, bereits einen ziemlich gut ausgebildeten, sehr feinen Kiel, welcher den unmittelbar vor der Mündung befindlichen Theil umsäumt, jedoch schon nach einer ganz kurzen Strecke endigt. Ich habe neben der eigentlichen *Bellerophina*-Form dieses Stück abgebildet, da durch die Zeichnung weit besser als dies mit Worten geschehen könnte die Kielbildung veranschaulicht wird. Ich habe auch ein ausgewachsenes Exemplar von *Oxygyrus Keraudreni* Mc. Andr., von der Seite und von der Mündung gesehen, abgebildet, da keine der bis jetzt veröffentlichten Zeichnungen ein vollständig genaues Bild dieser Art gibt.

B. PTEROPODA.

1. THECOSOMATA.

A. LIMACINIDAE.

14. *Limacina inflata* Gray. — Carus Prodr. p. 439.

Syn.: *Atlanta inflata* d'Orb.
Spiralix rostralis Ey. et Soul.
Protonidea elata O. G. Costa.

Syn.: *Embolex rostralis* Jaffr.
Protonidea rostralis Fischer.
Helicostiles rostralis Murs.

Von den Stationen 19, 27, 36, 47, 49, 75, 82, 85, 91, 109, 213 (östliches Mittelmeer), gedredht in Tiefen von 200—3300 *m*;

von den Stationen 5, 23, 35, 41, 46, 51, 108, 114, 117, 143, 154 (östliches Mittelmeer) und 242 (Adria) pelagisch.

15. *Limacina trochiformis* Gray. — Carus Prodr. p. 430.

Syn.: *Atlanta trochiformis* d'Orb.

Spiralis trochiformis Fy'd et Soul.

» *retroversus* Mitr. Tib.

Scala stenogera Arad et Ben.

Syn.: *Scala ventralis* Arad et Ben.

Spiralis Jeffreys (Förh.) Jeffr.

? » *australis* Jaffr., Vêt.

Von den Stationen 19, 27, 47, 75, 82, 85, 109 und 213 (östliches Mittelmeer), gedredht in Tiefen von 597—3300 *m*;

von den Stationen 23, 33, 35, 41, 46, 51, 108, 115 und 154 (östliches Mittelmeer) pelagisch. In der Adria nicht vorgefunden.

16. *Peracle reticulata* Pels. — Carus Prodr. 440.

Syn.: *Atlanta reticulata* d'Orb.

Peracle physodes Förh.

Spiralis recurvirostra A. Costa.

Syn.: *Spiralis physodes* Jeffr.

Limacina physodes Jeffr.

Von den Stationen 19, 27, 37, 47, 72, 75, 82, 91, 109 und 213 (östliches Mittelmeer), gedredht in Tiefen von 597—3300 *m*; pelagisch und in der Adria nicht vorhanden.

Die Exemplare stammen sämtlich aus Grundproben, sind gebleicht und theilweise beschädigt.

17. *Peracle bispinosa* Pels. — Carus Prodr. p. 440.

Syn.: ? *Spiralis diversa* Mitr.

Von den Stationen 75, 82 und 109 (östliches Mittelmeer), gedredht in Tiefen von 875—1356 *m* pelagisch und in der Adria nicht vorgefunden.

Es wurden im Ganzen nur 3 Stücke gefunden, welche gebleicht und stark beschädigt sind.

B. CAVOLINIDAE.

18. *Clio (Creseis) virgula* Pels. — Carus Prodr. p. 441.

Syn.: *Clethora virgula* Rang.

Von Station 7 (östliches Mittelmeer), gedredht in einer Tiefe von 380 *m*;

von den Stationen 23, 41, 109, 108, 114, 115, 117, 122, 142, 147 und 162 (östliches Mittelmeer) pelagisch.

In der Adria nicht vorgefunden.

19. *Clio (Creseis) conica* Eschsch. — Carus Prodr. p. 441.

Syn.: *Creseis striata* D. Ch.

» *conicola* Costa.

Von den Stationen 27, 36, 47, 72, 75, 82, 85, 91 und 213 (östliches Mittelmeer), gedredht in Tiefen von 597—3300 *m*;

von den Stationen 5, 23, 35, 41, 46, 111, 115, 127, 130 (östliches Mittelmeer) und 283 (Adria) pelagisch.

Diese Art wurde in der Adria zum ersten Male gefunden.

20. *Clio (Creseis) acicula* Rang. — Carus Prodr. p. 441.

Syn.: *Clethora acicula* Soul.

Creseis clava Rang.

» *spumiformis* Ben.

Von den Stationen 1, 7, 36, 47, 72, 75, 82, 85, 91, 199, 213 (östliches Mittelmeer), gedreht in Tiefen von 380—3300 m und 274 (Adria) in einer Tiefe von 191 m;

von den Stationen 5, 20, 23, 25, 35, 38, 41, 46, 51, 105, 103, 108, 111, 114, 117, 123, 127, 130, 131, 143, 147, 154, 190, 200, 211, 212, 215 und 232 (östliches Mittelmeer) pelagisch.

21. *Clio (Hyalocylix) striata* Pels. — Carus Prodr. p. 441.

Syn.: *Cretis striata* Rang.

- *compressa* Eschsch.
- *zonata* D. Ch.
- *fasciata* D. Ch.

Syn.: *Styliola striata* Gray.

- Cretis phalantoma* Proschel.
- *sulcata* Ben.
- Rafanum striatum* Mtrs.

Von den Stationen 36, 49, 62, 72, 82, 199 und 213 (östliches Mittelmeer), gedreht in Tiefen von 200—2420 m;

von den Stationen 5, 20, 23, 35, 41, 51, 108, 114, 115, 117, 118, 154, 162, 169, 177 und 201 (östliches Mittelmeer) pelagisch.

Die in den Grundproben vorgefundenen Stücke sind zum grössten Theile subfossil, die recenten Exemplare fast durchwegs stark beschädigt.

22. *Clio (Styliola) subula* Gray. — Carus Prodr. p. 441.

Syn.: *Styliola revla* Les.

Clethora subula Quoy et Gaym.

Syn.: *Cretis subulata* Soul.

• *spunifera* Rang.

Von den Stationen 1, 7, 19, 27, 36, 37, 47, 49, 62, 64, 72, 75, 82, 85, 91, 199, 213 (östliches Mittelmeer), gedreht in Tiefen von 200—3300 m und von den Stationen 274, 275, 276 und 316 (Adria), gedreht in Tiefen von 140—1520 m;

von den Stationen 5, 22, 35, 41, 51, 105, 114, 117, 142 und 162 (östliches Mittelmeer) pelagisch.

23. *Clio (Clio) pyramidata* L. — Carus Prodr. p. 442.

Syn.: *Hyalaea lanceolata* L.

• *pyramidata* d'Orb.

Syn.: *Clethora lanceolata* Soul.

• *Lamarinierei* Rang.

Von den Stationen 1, 9, 19, 27, 36, 37, 47, 62, 64, 72, 75, 82, 85, 91, 199 (östliches Mittelmeer), gedreht in Tiefen von 680—3300 m und von den Stationen 256, 274, 313, 368, *379, 383 und 385 (Adria), gedreht in Tiefen von 191—1196 m;

von den Stationen 51, 117, 189 und 222 (östliches Mittelmeer) pelagisch.

24. *Clio (Clio) cuspidata* Pels. — Carus Prodr. p. 442.

Syn.: *Hyalaea cuspidata* Bosc.

Clethora • *Quoy et Gaym.*

Von den Stationen 27, 36, 47, 64, 72, 75, 82, 91, 199 (östliches Mittelmeer), gedreht in Tiefen von 680 m bis 3300 m und 309 (Adria) 550 m;

von Station 264 (Adria) pelagisch.

Aus dem östlichen Mittelmeere liegen nur aus den Grundproben stammende, meist stark verletzte Schalen vor, pelagisch wurde dort diese Art nicht gefunden. Aus der Adria, für welche diese Art bis jetzt noch nicht bekannt war, liegen zwei sehr hübsche Exemplare vor.

25. *Cavolinia trispinosa* Pels. — Carus Prodr. p. 442.

Syn.: *Hyalaea trispinosa* Les.

• *cuspidata* D. Ch.

Diacria trispinosa Gray.

Syn.: *Hyalaea mucronata* Quoy et Gaym.

• *truncatula* Guidotti.

• *depressa* Riv.

Von den Stationen 82, 237 (östliches Mittelmeer), gedreht in Tiefen von 588 m und 2420 m und 274, 283 (Adria) 191 m und 199 m; pelagisch nicht gefunden.

Die gedrehten Stücke sind zu Boden gesunkene leere Schalen, wofür der Umstand spricht, dass sie theils gebleicht, theils mit einer Ablagerungskruste überzogen sind. Diese Art war für die Adria noch nicht bekannt.

20. *Cavolinia gibbosa* Pels. — Carus Prodr. p. 443.

Syn.: *Hyalaea gibbosa* Rang.
 * *flava* d'Orb.
 * *Gegubauri* Pfeff.

Von den Stationen 1, 9, 10, 27, 36, 47, 62, 64, 72, 75, 82, 91, 100, *213, 214 (östliches Mittelmeer), gedreht in Tiefen von 200—2420 *m* und 301 (Adria) 1216 *m*;

von den Stationen 41, 51, 108, 115, 117, 118, 154, 162, 169, 177 und 201 (östliches Mittelmeer) pelagisch.

Ich habe unter den vielen Stücken, welche mir aus dem Mittelmeer und der Adria vorliegen, nicht eines gefunden, das genau zur Beschreibung der *Cavolinia globulosa* Rang. passen würde, dagegen liegt mir eine ganze Anzahl von Exemplaren vor, welche einen Übergang von der *gibbosa* Pels. zur *globulosa* Rang. darstellen. Ich möchte mich daher nicht der Ansicht Locard's anschliessen, welcher die beiden Arten trennt, sondern *Cavolinia globulosa* Rang. zu *gibbosa* Pels. ziehen.

22. *Cavolinia tridentata* Vér. — Carus Prodr. p. 443.

Syn.: *Anoma tridentata* Forsk.
Clia tridentata Cavol.
Hyalaea tridentata Lam.

Syn.: *Hyalaea complanata* Ggbr.
Pteropus longifidus Trosch.
Hyalaea longifidus Boas.

Von den Stationen 10, 27, 36, 62, 75, 82, *208, 200, 213, 237 (östliches Mittelmeer) in Tiefen von 414—2120 *m* und 256, 274, 298, *378, 379, 383, 385, 390 und 399 (Adria) in Tiefen von 191—1193 *m* gedreht, pelagisch nicht gefunden.

28. *Cavolinia inflexa* Vér. — Carus Prodr. p. 444

Syn.: *Hyalaea inflexa* Les.
 * *vaginella* Cantr.

Syn.: *Hyalaea uncinata* Hoenghs., Phil.
 * *imulans* Pfeff.

Von den Stationen 1, 27, 36, 47, 62, 72, 82, 100, 213 (östliches Mittelmeer), gedreht in Tiefen von 507—3300 *m* und 274 (Adria) aus einer Tiefe von 191 *m*; von Station 51 (östliches Mittelmeer) pelagisch.

War für die Adria bisher nicht angegeben.

C. CYMBULIDAE.

29. *Cymbulia peronii* Biv. — Ullarus Prodr. p. 444.

Syn.: *Cymbulia proboscidea* Gray.
 * *quadripunctata* Ggbr.

Von den Stationen *298, *370, *376, *377, *379 und *386 (Adria), gedreht in Tiefen von 150—1138 *m*; von Station 322 (Adria) pelagisch.

Diese Art wurde im östlichen Mittelmeere nicht, dagegen ziemlich zahlreich in der Adria gefunden. Sodann wäre hervorzuheben, dass diese Art, im Gegensetze zu den übrigen Pteropoden, in grösseren Tiefen häufiger als an der Oberfläche angetroffen wurde, und dass sich noch in einer Tiefe von 1138 *m* lebende Exemplare vorfinden.

Anhang.

Zwei *Sinusigera*-Formen aus dem östlichen Mittelmeere und der Adria.

Von S. M. Schiff »Pola« wurden auch zwei *Sinusigera*-Formen im östlichen Mittelmeer und der Adria erbeutet, von denen die eine die bereits bekannte und von Boas als *Limacina turritoides* beschriebene Form ist. Die andere Form ist bisher noch nicht beschrieben worden und wäre am ehesten mit *Sinusigera cancellata* zu vergleichen. Da die *Sinusigera*-Formen als Jugendzustände von nicht leicht zu ermittelnden Gastropoden-Arten im Systeme nicht untergebracht werden können, erwähne ich sie als Anhang der vorliegenden Arbeit

1. *Sinusigera* f. *turritoides* Boas.

Syn.: *Limacina turritoides*.

Von den Stationen 23, 33, 41, 51, 108, 114, 117, 143 (östliches Mittelmeer) und 317 (Adria) pelagisch; gedreht wurde diese Form nicht.

Die Stücke stimmen vollständig mit der von Boas beschriebenen und abgebildeten *Limacina turritoides* Boas überein, welche jedoch nach neueren Forschungen als *Sinusigera*-Form angesehen werden muss, und welche schon der Gestalt nach sich in das Genus *Limacina* nicht einbeziehen lässt.

2. *Sinusigera* n. f. (*mediterranea* Oberwimmer). (Fig. 8—10.)

Von den Stationen 27, 36, 64 und 82 (östliches Mittelmeer), gedreht in Tiefen von 600—2420 m; von den Stationen 41, 46, 117, 130 (östliches Mittelmeer) und 317 (Adria) pelagisch.

Das rechtsgewundene, nicht durchbohrte, gedrückt kugelige Gehäuse besteht aus fünf Umgängen, von denen der letzte den weitaus grössten Raum einnimmt und mit einer stark gebogenen, mehrfach gelappten Mündung endigt. Sie sind durch eine sehr wenig vertiefte Naht getrennt, senken sich in dieselbe aber an ihrer Oberseite mit einem schmalen, abgeflachten, senkrecht zur Gehäuseachse gestellten Theile ein, der die Naht tiefer liegend erscheinen lässt, als es thatsächlich der Fall ist. Die Spindel ist, entsprechend der mächtigen Ausdehnung des letzten Umganges, stark verlängert; sie verläuft gerade nach abwärts und ist nach innen eingerollt (bildet also einen sehr schmalen, nach unten, respective nach dem Innern der Schale offenen Canal). Dieser linksseitigen Begrenzung der Mündung stehen am Aussen-, respective Unterrand derselben zwei Lappen gegenüber, ein oberer, nach innen gebogener und ein unterer nach aussen umgeschlagener Lappen. Die obere Begrenzung der Mündung bildet die auffallend schräg gestellte, in dieselbe kaum »einschneidende« Mündungswand. Die Sculptur der äusserst zierlichen Schale ist regelmässig gegittert, das ist aus sehr feinen Spiral- und Radialfurchen zusammengesetzt, die sich regelmässig unter rechten Winkel kreuzen.

Längsdurchmesser: bis ca. 1·5 mm.

Querdurchmesser: bis ca. 1·0 mm.

Es ist mir eine angenehme Pflicht, an dieser Stelle Herrn Hofrath Dr. Franz Steindachner, Intendanten des k. k. naturhistorischen Hofmuseums, für die vertrauensvolle Zuweisung des Materiales, sowie für die Erlaubnis zur Benützung der reichhaltigen Literaturschätze des Hofmuseums meinen ergebensten Dank auszusprechen.

Einschlägige Literatur.

1865. Reeve, Conchologia Iconica, part. 248. *Garmaria*.
1865. Costa, Rendic. Accad. Sc. fisiche et Matemat. Napoli, p. 125—126 *Spiralis reventrosa*.
1866. Agassiz Alex., Remarks on the habits of *Spiralis Remigii*. Proceed. Boston Soc. Nat. Hist. Am. Journ. Conch. II, p. 182.
1866. Sowerby, Thesaurus, part. 24. *Carinaria*.
1868. Hogg, J., Transact. Roy. Microscop. Soc. XVI, pl. IV, Fig. 24. *Garmaria cristata* (L.). Lingual Scintillation.
1868. Knocker H. H., Proc. Zool. Soc. p. 615—622. On pelagic Shells collected a voyage from Vancouver Island to this country.
1869. Fryer, G. E. A contribution to our knowledge of Pelagic Mollusca. Journ. As. Soc. Bengal. Vol. XXXVIII, part. 2, p. 261—266, pl. 21.
1869. Jeffrey's, J. Gwyn. British Conchology, Vol. 5. *Pteropoda*.
1869. Issel Arth., Malacologia del Mare rosso, ricerche zoologiche e paleontologiche. Pisa p. 236.
1869. Proc. Part. Soc. Nat. Hist. I, part. 2. *Clio borealis* (Pall.).
1869. Am. Journ. Conch. V., p. 112. *Clio borealis* (Pall.).
1870. Costa, A. Osservazioni su taluni Pteropodi del Mediterraneo. Ann. Mus. Nap. III.
1870. Cox J. C., P. Z. S., p. 172. Description of eight new species of shells from Australia and the Solomon Islands.
1871. Stuart, Z. wiss. Zool. XXI, p. 317—324, pl. 24A. The nervous system of *Cresis acida*.
1871. Macdonald, Q. J. Micr. Sci. (2) XI, p. 274. *Pirula*.
1871. Souverbie, J. de Conch. XIX, p. 334. Descriptions provenant de la Nouvelle Calédonie.
1872. Dall, W. H. Descriptions of sixty new forms of Mollusks from the West Coast of North-America and the North-Pacific Ocean. Am. Journ. Conch. VII, p. 138—140.
1872. Gabb, Will. Descriptions of some new genera of Mollusca. P. ic. Philad. III, p. 270, pl. 11, fig. 2 (*Platobella* g. n.).
1872. Jousseaume, Dr. *Recluzia joubini* R. Z. (2) XXIII, p. 205.
1872. Souverbie, *Recluzia montouzieri*, sp. n. J. de Conch. XX, p. 57, pl. 1, fig. 8.
1873. Panceri, P., *Carinaria mediterranea* (Lam.) Bull. Assoc. Med. Nap. 1871, p. 83—87, pl. —.
1874. Fol, H. Note sur le développement des mollusques pteropodes et céphalopodes. Arch. Z. exper. III, XXXIII—XLV, 18 pls.
1874. Craven, A., *Hyalos tridentata* (Lam.). Ann. Malacol. (Belg. VII 1874), p. 70, pl. III.
1874. Costa, *Cresis conica* (Costa) [Abbildung]. Ann. Mus. Nap. V, p. 45, pl. 1, fig. 2, Naples.
1874. Willemoës-Suhm, R. v. *Pelagia alba* (Q. G.). Z. wiss. Zool. 1874, p. XXXV.
1875. Dunkler, W. *Siliola acris*, sp. n., J. B. mal. Ges. II, p. 240.
1875. Willemoës-Suhm, R. v. Pteropoden-Larven, wahrscheinlich *Thecocytha* (*Eureydia* Rang.) und *Pelagia*? Z. wiss. Zool. XXV, p. XXXVI.
1875. Ranke, J. Der Gehörorgan und das Gehörorgan bei *Pterotrachea*. Z. wiss. Zoologie XXV, Supplement-Band, p. 77—102, Taf. V.
1875. Moseley, *Pterosoma* (Lesson). Ann. H. N. (4) VI, p. 382.
1877. Ihering, H. Vergleichende Anatomie des Nervensystems und Phylogenie der Mollusken. Leipzig.
1877. Jeffreys, J. G. Mollusken der «Valerius»-Expedition. Ann. N. H. (4) XIX, p. 308.
1877. Wagner, *Clio borealis* (Pall.). Z. wiss. Zool. XXVIII, p. 385.
1877. Moseley, Larva of a gymnosomatous Pteropod, from the South-Pacific. Q. J. Micr. Sci. (2) XVII, p. 32—34, pl. III, fig. 14—10.
1877. Reeve, Conch. Icon. parts 336—337. *Allanula*, *Pteropoda*, *Sinuvisigera*.
1877. Griffin, G. G. Bull. Soc. mal. Ital. III, p. 54—57, pl. II, fig. 1—5. (*Ceropterum semilamare* Sars.)
1878. Sars, G. O. Bidrag til kjendelsen om Norges Arktiske Fauna. I. Mollusca regionalis Arcticae Norvegiae. Christiania.
1878. Claus, C. Über den akustischen Apparat im Gehörorgan der Helicopoden. Arch. mikr. Anat. XV, p. 341—348, pl. —.
1879. Lacaze-Duthier. (Entwicklung der Pteropoden.) Arch. Z. exper. IV (1875), p. 1—114, pls. 1—XI. (*Cardulula*, *Hyalocytha*, *Glossaria*, *Cymbulia*, *Clio*.)
1879. Pfeffer, G. Übersicht der auf S. M. Schiff «Gazelle» und von Dr. Jäger gesammelten Pteropoden. M. B. Ak. Berl. 1879, p. 230 bis 247, pl. —.
1880. Craven, A. E. Monographie du genre *Sinuvisigera*. Ann. Soc. mal. Belg. XII, p. 25, 3 pls.
1880. Pfeffer, G. Die Pteropoden des Hamburger Museums. Abh. Ver. Hamb. VII, p. 69—99, pl. VII.

1880. Krakenberg, C. F. W. Vergleichend-physiologische Studien an den Küsten der Adna. I—III. Heidelberg. *Carinarie mediterranea* III. p. 177—189.
1880. Crosse, J. de Conch. XXVIII, p. 146, pl. IV. (*Sinussigera catalonica* sp. n.)
1881. Verrill, *Cymbula catalca* n. sp. Ann. J. Soc. XX (1880), p. 394 und P. U. S. Nat. Mus. III, p. 393 (*catalca* n. sp. und *Halo-psyche* g. n.).
1881. Rattray, A. Paper on the anatomy, physiology and distribution of the *Furidae*. Tr. L. S. XXVII (1871), p. 255—275 pls. XLIII und XLIV.
1882. Heineke. Die nutzbaren Thiere der nördlichen Meere. (Vollständliche Bemerkungen über einige Pteropoden p. 21.)
1882. Verrill, A. E. *Pteropus hargeri* n. sp. und *Cymbula catalca* (Verrill). Tr. Conn. Ac. V. p. 553 und 555, pl. LVIII, fig. 33.
1882. Fischer, P. *Diagnoses d'espèces nouvelles de Mollusques recueillis dans le cours des expéditions scientifiques de l'Avion «le Travailleur»*. J. de Conch. XXX, p. 40 (*Eubolus tricaulus* n. sp.).
1882. Jousseaume. (*Sinussigera* und *Cleptropis* wahrscheinlich Jugendformen von *Purpura* und *Polineta*). Le Nat. IV, p. 182—183.
1883. Craven, A. On the genus *Sinussigera*. Ann. N. H. (5) XI, p. 141—142.
1885. Wagner, N. Die Wirbellosen des wessien Meeres. Zoologische Forschungen an der Küste des Solovetzischen Meerbusens in den Sommermonaten der Jahre 1877, 1878, 1879 und 1882. Leipzig. (Pteropoda.)
1885. Krause, A. Ein Beitrag zur Kenntniss der Molluskenfauna des Beringmeeres. *Brachypoda* und *Lamellibranchiata*. Arch. f. Nat. LI, part. II, p. 298, Taf. XVIII, Fig. 19a—d. *Classe limacina* Phipps und *Cl. bolli* sp. n. (*Hyalota*).
1885. Boas, J. E. V. Vorläufige Mittheilungen über einige gymnosome Pteropoden. (*Spongiobranchia* d'Orb., *Desidiobranchia* g. n., *Chaptalia* Tr.). Zool. Anz.
1885. Macdonald, J. D. On the General Characters of the genus *Cymbula*. P. R. Soc. XXXVIII, p. 251—253; abstr. in J. R. Micr. Soc. (2) V, p. 627.
1885. Winkelmann, N. Z. J. Soc. II, p. 484 (*Hyalota* kommt bei Neu-Seeland vor).
1886. Boas, J. E. V. Zur Systematik und Biologie der Pteropoden. Zool. J. B. I, p. 311—340, Taf. VIII.
1886. Boas, J. E. V. Beitrag til Pteropodernes Morphologi og Systematik samt til Kundskaben om deres geografiske Udbredelse. Avec résumé en français. Copenhagen.
1886. Pelseneer, P. Description d'un nouveau genre de Pteropode gymnosome. Bull. Sci. Nord. (2) IX, p. 11, Ann. N. H. (5) XIX, p. 79 und 80; abstr. J. R. Micr. Soc. 1887, p. 217.
1886. Pelseneer, P. Les Pteropodes recueillis par le «Triton» dans le canal des Féroë.
1886. Pelseneer, P. Recherches sur le système nerveux des Pteropodes. Arch. Biol. VII, p. 93 und 120, pl. IV.
1886. 1887. Kuhnelt, Dr. W. Prodröms Fauna Molluscorum Testaceorum maris europæi inhabitantium. Nürnberg 1886, 1887.
1887. Pelseneer, P. Report on the Pteropoda collected by H. M. S. «Challenger», during the years 1873—1876, part. I. The Gymnosomata. Reports on the Scientific Results of the Challenger Expedition. Zoology XIX, pt. LVIII, p. 74. 3 pls. London, Edinburgh, Dublin 1887.
1887. Pelseneer, P. Description of a new genus of Gymnosomatous Pteropoda. Ann. N. H. (5) XIX, p. 79 und 80.
1888. Pelseneer, P. Report on the Pteropoda collected by H. M. S. «Challenger» during the years 1873—1876, Part. II. The Thecosomata. Reports on the Scientific Results of the Voyage of H. M. S. «Challenger» during the years 1873—1876, vol. XXIII, pt. LXV, p. 132, 3 pls., 3 cols., London, Edinburgh, Dublin 1888.
1888. Pelseneer, P. Report on the Pteropoda collected by H. M. S. «Challenger», during the years 1873—1876, Part. III. Anatomy. Reports on the Scientific Results of the Voyage of H. M. S. «Challenger» during the years 1873—1876, vol. LXVI, p. 97, 5 pls., 5 cols.; abstr. Ann. Nat. XXII, p. 811.
1888. Ihering, H. v. Die Stellung der Pteropoden. Nachr. d. mal. Ges. XX, p. 39—32.
1888. Munthe, H. Pteropoder i Upsala Universitets Zoologiska Museum samlede af kapten G. von Schiele. Bih. Se. Ak. Handl. XIII, IV, 2, p. 34, 1 pl.
1888. Smith, E. A. Report on the Pteropoda collected by H. M. S. «Challenger», during the years 1873—1876. Scientific Results of the Voyage of H. M. S. «Challenger», during the years 1873—1876, vol. XXIII, part. LXVII, p. 51, 5 cols.
1889. Simroth, H. Über einige Tagesläufe der Malakozoologie, hauptsächlich Convergenceserscheinungen betreffend. Z. Naturw. 1889, p. 65—67 (Stellung der Pteropoden).
1889. Walcott, C. D. Stratigraphic Position of the Olenellus Fauna in N. America and Europe, Ann. J. Soc. XXXVII, p. 374—392 and XXXVIII, p. 29—42.
1889. Pelseneer, P. Sur la Position systématique de *Desmopteris pygma* Chun. Zool. Anz. 1889, p. 525 und 526. Abstr. in J. R. Micr. Soc. 1889, p. 734.
1889. Pelseneer, P. Sur le Pied et la position systématique des Pteropodes. Ann. Soc. mal. Belg. XXIII, p. 344—350.
1889. Benoist, E. A. Description des Céphalopodes, Pteropodes, et Gastropodes Opisthobranches (*Acteocina*). (Coquilles, Fossiles des Terrains Tertiaires moyens du Sud-Ouest de la France.) Vet. Soc. I, Bo. d. XLII, p. 11—84, pls. 1—IV. (Pteropoda p. 23—33.)
1889. Sulicotti, A. G. R. Comunicazioni Malacologiche. Att. II. Bull. Soc. mal. Ital. XIV, 65—74 (Pteropoden).

1889. Dall, W. H. On the Genus *Corolla*, Dall. *Naut.* III, p. 30—32.
1889. Pelseneer, P. Sur la Valeur Morphologique des Sacs à Crinets des «Pteropodes» Gymnosomes. *Zool. Anz.* 1889, p. 312 bis 314. Abstr. in *J. R. Micr. Soc.* 1889, p. 406.
1889. Grenacher, H. The Heteropod Eye. *J. R. Micr. Soc.* 1889, p. 196.
1890. Carus, J. V. Prodomus Faune Mediterraneae sive descriptio animalium maris mediterranei inchoantium . . . Vol. II, P. II. Stuttgart 1890.
1890. McIntosh, W. C. Notes from the St. Andrew's Marine-Laboratory (under the Fishery Board for Scotland). XI. X. On a Heteropod (*Alanta*) in British Waters. *Ann. H. N. V.*, p. 47—48, pl. VIII.
1890. Smith, E. A. Report on the Marine Molluscan Fauna of the Island of St. Helena. *P. Z. S.* 1890, p. 247—317, pls. XXI—XXIV. (*Pteropoda*).
1891. Knipowitsch, N. Zur Entwicklungsgeschichte von *Choue limacina*. *Biol. Centralbl.* XI, p. 300—303, 7 figs. Abstr. in *J. R. Micr. Soc.* 1891, p. 454.
1891. Pictet, C. Recherches sur la spermatogénèse chez quelques Invertébrés de la Méditerranée. *M. T. z. Stat. Neap.* X, p. 115—123 (*Cyathula Peronii*).
1891. Peck, J. J. On the anatomy and histology of *Cyathulopsis calceola*. *Stud. Biol. Lab. J. Hopkins Univ.* IV, p. 353—355, 4 pls.
1892. Wackwitz, J. Beiträge zur Histologie der Mollusken-Musculatur, speciell der Heteropoden und Pteropoden. *Zool. Beitr.* III, p. 120—160, 3 pls.
1892. Brazier, J. Catalogue of the Marine Shells of Australia and Tasmania, Pt. II. *Pteropoda*. Sydney.
1893. Peck, J. J. Report on the (Thecosomatous), Pteropods and Heteropods collected by the U. S. steamer «Albatross», during the voyage from Norfolk, Va., to San Francisco, Cal., 1887—1888. *P. U. S. Mus.* XVI, p. 431—466, 3 pls.
1893. Pelseneer, P. L'opercule des Heteropodes. *Bull. Soc. mal. Belg.* 1892, p. 35.
1893. Pelseneer, P. Le système nerveux streptoneure des Heteropodes. *Bull. Soc. mal. Belg.* 1892, p. 52—54.
1893. Sowerby, G. B. Notes on the Genus *Carinaria*, with an enumeration of the species and the description of a new form (*C. clata*). *P. Malac. Soc. London* I, p. 14—16, figg.
1894. Knower, H. Mc. E. Pteropods (*Carinaria longirostris*) with two separate sexual openings. *J. Hopkins Univ. Circ.* XII, p. 41 and 62. Abstr. *J. R. Micr. Soc.* 1894, p. 555.
1895. Hedley, C. Pterosoma (Lesson) claimed as a Heteropod. *P. Malac. Soc. London* I, p. 333 and 334.
1895. Arbanasich, P. (Fra Piero.) La enumerazione dei Molluschi della Sardegna. *Bull. Soc. malac. Ital.* XIX, p. 263—278 (p. 276 bis 278 *Pteropoda*).
1896. Nobre, Augusto. Mollusques et Brachiopodes du Portugal. *Ann. Sc. Nat. Port.* 3, Ann. No. 1, p. 1—8 (2 *Pteropoda*).
1896. Warren, A. *Spiraxia retroversa* in Killala Bay. *Irish Nat.* Vol. 5, No. 9, Sept. p. 248.
1897. Loenard, A. Expéditions scientifiques du Travailleur et du Talisman pendant les années 1880—1883. Mollusques Testacés, P. I. Paris 1897.

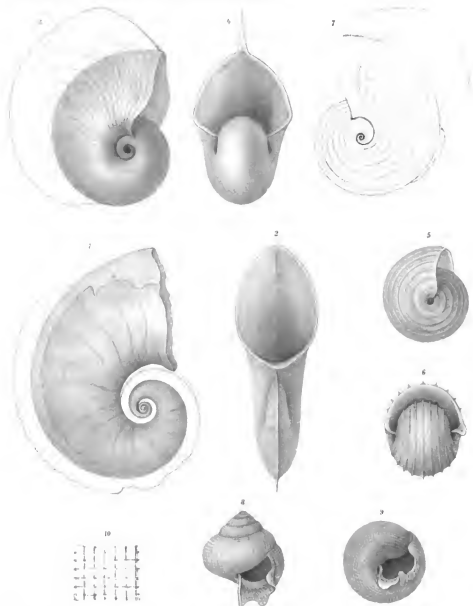
Tafelerklärung.

Fig. 1 und 2: *Allantia steindachneri* n. sp.

Fig. 3—7: *Oxyerpes kerandreu* Mc. Andr. Fig. 3 und 4 ausgewachsenes Exemplar, Fig. 5 und 6 *Bellerophon*-Form (Jugendzustand).
Fig. 7 Jugendform mit den ersten Anfängen des Kiels.

Fig. 8—10: *Sinuogera mediterranea* n. f. Fig. 10. Sculpturbild aus dem letzten Umgange.

—  —



Gross u. klein = W. Lorys.

Lith. Anst. v. Th. Neumann & Neumann.

Denkschriften d. kais. Akad. d. Wiss. math.-naturw. Classe, Bd. LXV

ZOOLOGISCHE ERGEBNISSE. XI.

DECAPODEN.

GESAMMELT AUF S. M. SCHIFF POLA IN DEN JAHREN 1890—1894.

BEARBEITET VON

DR. THEODOR ADENSAMER.

(Mit 1 Beilagen.)

(VORGELEGT IN DER SITZUNG AM 14. JULI 1896.)

Das Decapoden-Material der fünf Tiefsee-Expeditionen im Mittelmeer lieferte 56 Arten, die 3 von A. König bereits bearbeiteten Sergestiden-Species (*Sergia Clausi* König, *Sergestes oculatus* Kröy, *Sergestes corniculum* Kröy) nicht mit eingerechnet.¹ Zum weitaus größten Theile (50 Species) gehören dieselben bereits bekannten Mittelmeerformen an, unter denen für 10 (*Gonoplax angulata* Penn., *Geryon longipes* A. M. E., *Anamathia Kissoana* Roux, *Lispognathus Thomsoni* Norm., *Ebatia nux* Norm., *Gebia deltura* Leach, *Calocaris Macandrac* Bell, *Polychaetes typhlops* Hell, *Pasiphaea sivado* Risso, *Solenocera siphonoceros* Phil.) das Vorkommen in der Adria durch die fünfte Expedition constatirt wurde. Von den erübrigen 6 Species sind 5 (*Parthenolambrus eximius* Miers, *Merocryptus bolcifer* A. M. E. & Bouv, *Nematocarcinus ensiferus* I Sm., *Leucifer Reynaudii* M. E., *Sergestes robustus* I Sm.) bisher nur im atlantischen Ocean gefunden worden, während die 6. (*Aristacomorpha mediterranea* n. sp.) uns als neue Art entgegentritt.

Bzüglich der verticalen Verbreitung der Tiefseefauna im Mittelmeer erbringt das vorliegende Decapoden-Material wieder einen Beweis von der Richtigkeit Marenzeller's² Behauptung, dass eine eigene abyssale Fauna im Mittelmeer nicht existirt. Wir sehen nämlich auch hier, wie zahlreiche litorale und continentale Formen in die abyssale Zone übergreifen, so dass von den 16 aus einer Tiefe von über 1000 m gedredhten Arten nur 4 auf die abyssale Zone beschränkt bleiben, während die 12 andern Species zum Theile in geringeren Tiefen, ja sogar auch an der Oberfläche gefangen wurden. Ausserdem sind von den 4 eben genannten Arten zwei (*Pasiphaea sivado* Risso, *Sergestes robustus* I Sm.) aus der continentalen Zone von der schottischen Küste und vom atlantischen Ocean her bekannt. So bleiben vom ganzen Decapoden-

¹ A. König. Zoologische Ergebnisse. IV. Die Sergestiden des östlichen Mittelmeeres. Gesammelt 1890—93. Deutsch. d. kais. Akad. d. Wiss. Math. naturw. Cl. LXII. Bd. Wien, 1895.

² E. v. Marenzeller. Zoologische Ergebnisse. V. Echinodermen gesammelt, 1893, 1894. Deutsch. d. kais. Akad. d. Wiss. Math. naturw. Cl. LXII. Bd. Wien, 1895.

Material der fünf Tiefsee-Expeditionen nur *Acanthephyra pulchra* A. M. E. und *Nematocarcinususiferus* 1 Sm als einzige Vertreter der abyssalen Zone übrig, ein Umstand, der wohl nicht berechtigt, von einer abyssalen Tiefseefauna im Mittelmeer zu sprechen, zumal andere den beiden eben genannten nahestehende Arten derselben Gattung in der continentalen Zone vorkommen, und die bisherigen Fangergebnisse noch nicht erschöpfend sind. Die Arten der continentalen Zone belaufen sich auf 28, davon sind 7 ausschliesslich continental, die anderen theils abyssal, theils litoral. Die meisten Arten (41) sind in der litoralen Zone vertreten, denn abgesehen von den 8, die in einer Tiefe von über 1000 m vorkommen, und von den 9, die auch in der continentalen Zone auftreten, bleiben 24 Arten für die oberste Zone.

Die nachstehende Tabelle gibt das Vorkommen der einzelnen Species in den 3 Zonen an:

	Litoral 0—300 m	Continental 300—1000 m	Abyssal 1000 m
1. <i>Pantheres teleme</i> Boss	×	—	—
2. <i>Gomphax rhomboides</i> L.	×	×	—
3. <i>Gomphax angulata</i> Penn.	—	×	—
4. <i>Geryon longipes</i> A. M. E.	—	×	×
5. <i>Xantho lubus</i> n. sp. Bell.	×	×	—
6. <i>Pilumnus hirtellus</i> L.	×	—	—
7. <i>Rimodius</i> <i>Messina</i> Roux	×	—	—
8. <i>Parthenodius regius</i> Miers	×	—	—
9. <i>Bathynectes unguis</i> D. Costa	×	—	—
10. <i>longipes</i> Risso	×	—	—
11. <i>Portunus pusillus</i> Leach	×	—	—
12. <i>corrugatus</i> Penn.	×	—	—
13. <i>deceptor</i> L.	×	—	—
14. <i>tuberculatus</i> Roux	—	×	—
15. <i>Euryome aspera</i> Penn.	×	×	×
16. <i>Jeonothus Rossini</i> Roux	×	×	—
17. <i>Ergasilus Chacei</i> A. M. E.	×	×	—
18. <i>Leptognathus Thomsoni</i> Norm.	×	×	×
19. <i>Inachus dorsellatus</i> Leach	×	—	—
20. <i>lyticus</i> F.	×	—	—
21. <i>Achaeus Grauchi</i> Leach	×	—	—
22. <i>Stomatopoda longirostris</i> F.	×	—	—
23. <i>Mesocippus latifolius</i> A. M. E. und Roux	×	—	—
24. <i>Ebalus tuberosus</i> Penn.	×	—	—
25. <i>Grauchi</i> Leach	×	—	—
26. <i>Cedar</i> Bell.	×	—	—
27. <i>nux</i> Norm.	×	×	×
28. <i>Gadilota dispersa</i> Bate	×	×	×
29. <i>Munda bangha</i> Penn.	×	×	×
30. <i>Eupagurus Pradeauxi</i> Leach	×	×	×
31. <i>angulatus</i> Risso	×	×	—
32. <i>Pagurus stratus</i> Latr.	×	—	—
33. <i>Callinassa subterranea</i> Mont.	×	—	—
34. <i>Gebia deltata</i> Leach	×	—	—
35. <i>Calocaris Maculata</i> Bell.	×	×	×
36. <i>Polychela typicus</i> Bell.	×	×	×
37. <i>Psilophorus spinosus</i> Leach	×	×	×
38. <i>Xela albus</i> Risso	×	×	—
39. <i>Leander lucillatus</i> Risso	×	×	—
40. <i>Hippolyte Grauchi</i> Leach	×	—	—
41. <i>Gibberulus gracilipes</i> A. M. E.	—	×	—
42. <i>Pandalus boreo-tras</i> Risso	—	×	—
43. <i>Marius</i> A. M. E.	—	×	—

	Litoral 0—300 m	Continental 300—1000 m	Abyssal 1000 m
44. <i>Fundulus marmoratus</i> M. E.		×	—
45. " <i>heterocarpus</i> A. Costa	×	×	—
46. " <i>gemulatus</i> A. M. E.		×	—
47. <i>Alpheus ruber</i> Rat.	×	—	—
48. " <i>macracheles</i> Harist.	×	—	—
49. <i>Acantephyra pulchra</i> A. M. E.		—	×
50. <i>Neomaisarcinus eusilensis</i> I. Sm.	—	—	×
51. <i>Pastiphaea spinosa</i> Risso	—	—	×
52. <i>Leucifer Reynoldsi</i> M. E.	×	—	×
53. <i>Sergestes robustus</i> I. Sm.	—	—	×
54. <i>Arctomeryx mediterranea</i> n. sp.	—	—	×
55. <i>Sclerocera siphonocera</i> Phil.	×	—	—
56. <i>Tenisonia membranacea</i> Risso	×	—	—

Was die einschlägige Literatur betrifft, so habe ich ihres grossen Umfanges wegen nur einen kleinen Theil derselben bei den einzelnen Species sammt deren Synonyma angeführt.

Bevor ich zum eigentlichen Bericht übergehe, will ich hier noch erwähnen, dass mein verstorbener Vorgänger, Herr Custos Karl Kœlbel, die Determinirung dieses Decapoden-Materiales theilweise begonnen hatte.

Herrn Professor A. Milne Edwards, Director des naturhistorischen Museums in Paris, spreche ich hier für seine bereitwilligen Ankünfte meinen besten Dank aus.

Dredsch-Ergebnisse der fünf Expeditionen.

Nr.	Expedition und Datum	östl. Länge nördl. Breite	Tiefe	Operation	Gefund.	Arten
1	1. August 1890	21° 3' 10" 37 14 18 vor Sampsonia	500 m	kleine Kurre	gelber Schlamm, Krebstheile	<i>Ebalus nux</i> Norm.
13	1. August 1890 a. m.	22° 17' 46" 30 20 35 Cap grossa	1200 m	Hackendredge	gelbbrauner Schlamm mit festen Theilen	<i>Leptanthus Thomsoni</i> Norm.
15	1. August 1890 p. m.	22° 29' 25" 30 22 45 Bat von Atromata	30 m	Tief-searcise		<i>Alpheus Cranchi</i> Leach. <i>Leucifer Reynoldsi</i> M. E.
19	1. August 1890	22° 54' 50" 35 50 0 südlich von Cerges	1010 m	kleine Bügelkurre	sandiger Schlamm	<i>Polydora typlopha</i> Hell.
23	1. August 1890	22° 29' 25" 34 31 29	Oberfläche circa 5 m	Oberflächen- netz		<i>Leucifer Reynoldsi</i> M. E.
27	1. August 1890	22° 22' 50" 33 11 18 an der afrikanischen Küste	1705 m	grosse Bügelkurre	Schlamm und Sand	<i>Polydora typlopha</i> Hell <i>Acantephyra pulchra</i> A. M. E.

Nr.	Expedition und Datum	2-41. Länge nördl. Breite	Tiefe	Operation	Grund	Arten
32	I 1. September 1890 a. m.	21° 15' 40" 33 4 0 an der afrikanischen Küste	1770 m	grosse Bügel- kurve	Schlamm, Sand und Krustenstern	<i>Acantephyra pulchra</i> A. M. F. <i>Nematocarcinus ensiferus</i> 1 Sm.
33	I 1. September 1890 a. m.	21° 15' 40" 33 4 0 an der afrikanischen Küste	Oberfläche (0—8 m)	Oberflächen- netz		<i>Leucifer Reynaudii</i> M. E.
35	I 1. September 1890 11 ^h p. m.	20° 25' 42" 32 50 30	Oberfläche	Oberflächen- kurve		" " "
36	I 2. September 1890	19° 58' 30" 32 40 40 an der afrikanischen Küste	600 m	grosse Bügelkurve	Schlamm und Sand	<i>Ebala nux</i> Norm. <i>Pandulus Martins</i> A. M. E. " <i>narwal</i> M. E. " <i>heterocaryus</i> A. Costa.
41	I 6. September 1890	19° 44' 30" 32 50 0	Oberfläche (5—6 m)	Oberflächen- netz		<i>Leucifer Reynaudii</i> M. E.
40	I 8. September 1890	20° 6' 30" 34 14 21	Oberfläche (5 m)	"		" " "
51	I 12. September 1890	19° 54' 0" 37 48 20	Oberfläche (2 m)	"		" " "
50	II 27. Juli 1890	21° 7' 30 15	Oberfläche	kleines Oberflächen- netz		" " "
58	II					<i>Acantephyra pulchra</i> A. M. F.
61	II 29. Juli 1891	23° 18' 0" 35 20 0 im Westen der Westküste von Candia	2525 m	kleine Kette	feiner Sand und Schlamm	" " " <i>Nematocarcinus ensiferus</i> 1 Sm.
62	II 30. Juli 1891	23° 34' 0" 35 48 0 im Norden der Westküste von Candia	735 m	"	Schlamm mit Sand	<i>Gonopsis rhomboides</i> L. <i>Xantho tuberculata</i> Bell. <i>Ebala nux</i> Norm. <i>Pagurus Pradensis</i> Leach. <i>Polychetus typhlops</i> Bell. <i>Pandulus Martins</i> A. M.
64	II 31. Juli 1891	22° 50' 0" 35 59 0 südwestlich von Cigno	600 m	"	"	<i>Xantho tuberculata</i> Bell. <i>Portunus tuberculata</i> Roux. <i>Ebala nux</i> Norm. <i>Pontophilus spinosus</i> Leach. <i>Pandulus Martins</i> A. M. E. <i>Solenocera siphonoceros</i> Phil.
65	II 31. Juli 1891 a. m.	23° 5' 0" 30 7 0 südöstlich von Cigno	473 m	" (Netz zerissen)	gelblicher Schlamm mit Sand	<i>Xantho tuberculata</i> Bell. <i>Ebala nux</i> Norm. <i>Solenocera siphonoceros</i> Phil.

Nr.	Expedition und Datum	östl. Länge nördl. Breite	Tiefe	Operation	Grund	Arten
71	II 6. August 1891	24° 33' 37 37	943 m	kleine Kurre	zäher Schlamm mit Bimssteinen	<i>Lisognathus Thomsoni</i> Norm.
72	II 7. August 1891	35° 8' 35 59 nördlich von Candia	1838 m	"	Schlamm und Bims- steine	<i>Nematocarcinus ensiferus</i> I Sm.
73	II 8. August 1891	25° 24' 30 26	381 m	Hackendredge	Bimssteine und wenig Schlamm	<i>Xantho tuberculata</i> Bell. <i>Ergasticus Clouei</i> A. M. E.
78	II 13. August 1891	26° 33' 34 42	Oberfläche	kleines Oberflächen- netz		<i>Leucifer Reynaudii</i> M. E.
79	II 14. August 1891	25° 14' 34 42	1503 m	kleine Kurre	wenig Schlamm und wenige kleine Bimssteine	<i>Nematocarcinus ensiferus</i> I Sm.
84	II 17. August 1891	29° 19' 32 41	Oberfläche	kleines Oberflächen- netz		<i>Leucifer Reynaudii</i> M. E.
85	II 25. August 1891	28° 52' 31 39	2055 m	kleine Kurre	zäher, dicker Schlamm und Krustensteine	<i>Polychetes typhlops</i> Hell. <i>Acanthephyra pulchra</i> A. M. E.
87	II 26. August 1891	27° 24' 31 33	1974 m	Hackendredge		<i>Leucifer Reynaudii</i> M. E.
91	II 30. August 1891	24° 21' 34 45	1274 m	grosse Kurre	lockerer gelber Schlamm mit wenigen Bimssteinen und Krustensteinen	<i>Acanthephyra pulchra</i> A. M. E.
93	II 31. August 1891	24° 17' 35 4	1445 m	"	graugelber Schlamm	" " "
94	II 1. September 1891	24° 4' 35 8	1105 m	"	dicker gelber Schlamm und Bims- steinstücke	<i>Sergestes robustus</i> I Sm.
97	II 5. September 1891	22° 56' 33 50	620 m	"	lockerer breiartiger Schlamm, mit Sand gemischt	<i>Lisognathus Thomsoni</i> Norm. <i>Ebalia nux</i> Norm. <i>Polychetes typhlops</i> Hell. <i>Pandalus Martini</i> A. M. E.
99	II 6. September 1891	23° 16' 30 19	1292 m	"	Sand mit wenig Schlamm	<i>Polychetes typhlops</i> Hell. <i>Pandalus gemiculatus</i> A. M. E.
101	II 7. September 1891	23° 52' 36 40	834 m	"	lockerer Schlamm	<i>Xantho tuberculata</i> Bell. <i>Porunus tuberculata</i> Roux. <i>Lisognathus Thomsoni</i> Norm. <i>Ebalia nux</i> Norm. <i>Empagurus angulatus</i> Risso. <i>Polychetes typhlops</i> Hell. <i>Pandalus Martini</i> A. M. E.
103	III 19. August 1892	18° 44' 39 54	134 m	"	sandiger gelber Schlamm	<i>Euryome aspera</i> Penn. <i>Ergasticus Clouei</i> A. M. E. <i>Ebalia nux</i> Norm. <i>Gastrea dispersa</i> Bate. <i>Empagurus Prideauxi</i> Leach
106	III 20. August 1892	19° 10' 38 45	Oberfläche	kleines Oberflächen- netz		<i>Leucifer Reynaudii</i> M. E.

Nr.	Expedition und Datum	östl. Länge nördl. Breite	Tiefe	Operation	Grund	Arten
108	III 20. August 1892	19° 44' 38 11	Oberfläche	kleines Oberflächen- netz		<i>Leucifer Reymondii</i> M. E.
111	III 23. August 1892	19° 50' 38 16	"	"		" " "
115	III 24. August 1892	20° 59' 38 9	"	"		" " "
117	III 24. August 1892	21° 2' 38 6	"	"		" " "
122	III 27. August 1892	24° 44' 34 0	"	"		" " "
123	III 28. August 1892	25° 38' 33 30	"	"		" " "
127	III 5. September 1892	30° 12' 32 6	"	"		" " "
128	III 5. September 1892		725 m			<i>Aristaromorpha mediterranea</i> n. sp.
130	III 5. September 1892	31° 20' 31 50	Oberfläche	kleines Oberflächen- netz		<i>Leucifer Reymondii</i> M. E.
131	III 6. September 1892	31° 43' 32 21	"	"		" " "
132	III 6. September 1892	31° 45' 32 22	1022 m	Kurre	sehr dicker, gelb- grauer Schlamm	<i>Polyscheles typhlops</i> Heil.
138	III 9. September 1892	32° 16' 32 41	Oberfläche	kleines Oberflächen- netz		<i>Leucifer Reymondii</i> M. E.
139	III 10. September 1892 a. m.	33° 16' 32 39	"	"		" " "
142	III 10. September 1892 p. m.	34° 8' 32 46	"	"		" " "
143	III 11. September 1892	34° 33' 32 43	"	"		" " "
147	III 12. September 1892	34° 29' 33 20	"	"		" " "
150	III 12. September 1892	33° 35' 33 10	"	"		" " "
151	III 13. September 1892 a. m.	32° 54' 33 14	"	"		" " "
154	III 13. September 1892 p. m.	33° 20' 33 28	"	"		" " "
158	III 14. September 1892	34° 53' 33 48	"	"		" " "

Nr.	Expedition und Datum	östl. Länge nördl. Breite	Tiefe	Operation	Grund	Arten
159	III 15. September 1892 a. m.	35° 18' 33 58	Oberfläche	kleines Oberflächen- netz		<i>Leucifer Reynaudii</i> M. E.
162	III 15. September 1892 p. m.	34° 22' 34 8	"	"		" " "
163	III 16. September 1892	33° 59' 34 10	"	"		" " "
166	III 21. September 1892 a. m.	34° 8' 34 44	"	"		" " "
169	III 21. September 1892 p. m.	34° 33' 35 11	"	"		" " "
170	III 22. September 1892 a. m.	34° 38' 35 49	"	"		" " "
173	III 22. September 1892 p. m.	34° 39' 30 31	"	"		" " "
175	III 27. September 1892	32° 51' 35 57	315 m	Kurre	lockerer gelber Sand mit Krustensteinen	<i>Ergasticus Clouei</i> A. M. E. <i>Ebalia</i> nux Norm. <i>Penaeus membranaceus</i> Risso.
177	III 27. September 1892	32° 7' 35 39	Oberfläche	kleines Oberflächen- netz		<i>Leucifer Reynaudii</i> M. E.
178	III 28. September 1892 a. m.	31° 42' 35 10	"	"		" " "
179	III 28. September 1892 p. m.	31° 27' 34 38	"	"		" " "
180	III 29. September 1892 p. m.	31° 8' 35 23	"	"		" " "
182	III 30. September 1892	30° 44' 30 10	"	"		" " "
183						" " "
185	III 30. September 1892	30° 22' 30 13	390 m	Kurre	gelber Schlamm	<i>Eupagurus angulatus</i> Risso. <i>Penaeus membranaceus</i> Risso.
187	III 2. October 1892	29° 10' 35 19	Oberfläche	kleines Oberflächen- netz		<i>Leucifer Reynaudii</i> M. E.
190	III 3. October 1892	28° 54' 30 12	"	"		" " "
192	III 3. October 1892	28° 59' 30 33	1242 m	Kurre		<i>Polychetes typhlops</i> Hell. <i>Aristacomorpha mediterranea</i> n. sp.

Nr.	Expedition und Datum	Östl. Länge nordl. Breite	Tiefe	Operation	Grund	Arten
193	III 11. October 1892	24° 18' 30 58	629 m	Kurve	lockerer gelber Schlamm	<i>Bathynectes superba</i> O. Costa <i>Lisognathus Thomsoni</i> Norm <i>Ebalia nux</i> Norm. <i>Munda hamfica</i> Penn. <i>Engagurus angulatus</i> Risso. <i>Pandatus Martins</i> A. M. E. <i>Penaeus membranaceus</i> Risso.
194	IV 22. Juli 1893	23° 6' 30 3	100 m	*	Nulliporen mit grobem Sand	<i>Parthenolambus expansus</i> Miers. <i>Inachus leptochirus</i> Leach. " <i>dorsotellus</i> Penn. <i>Merocryptus bolitifer</i> A. M. E. <i>Ebalia tuberosa</i> Penn.
197	IV 26. Juli 1893	23° 11' 35 45	608 m	*	gelber Schlamm, etwas grober Sand	<i>Bathynectes superba</i> O. Costa. <i>Pandatus Martins</i> A. M. E.
198	IV 27. Juli 1893 a. m.	23° 39' 30 7	Oberfläche	kleines Oberflächen- netz		<i>Leucifer Reynaudii</i> M. E.
199	IV 27. Juli 1893 a. m.	23° 50' 30 9	875 m	Kurve	Schlamm und Muschelbruchstücke, viele Stenopoden	<i>Ebalia nux</i> Norm. <i>Pandatus Martins</i> A. M. E.
200	IV 27. Juli 1893 p. m.	24° 11' 30 23	880 m	*	gelber Schlamm, Krustensteine, kleine Hamasteine	<i>Lisognathus Thomsoni</i> Norm. <i>Ebalia nux</i> Norm. <i>Polychaetes typhlops</i> Hell.
203	IV 28. Juli 1893 a. m.	24° 24' 30 25	710 m	*	gelber Schlamm, Krustensteine	<i>Lisognathus Thomsoni</i> Norm. <i>Ebalia nux</i> Norm.
204	IV 28. Juli 1893 p. m.	24° 2' 30 25	808 m	*	gelber Schlamm und Lehm, Krustensteine	<i>Lisognathus Thomsoni</i> Norm. <i>Engagurus angulatus</i> Risso. <i>Aristatomorpha mediterranea</i> n. sp.
205	IV 28. Juli 1893 p. m.	24° 5' 30 32	Oberfläche	kleines Oberflächen- netz		<i>Leucifer Reynaudii</i> M. E.
206	IV 29. Juli 1893	24° 7' 30 53	*	*		" " "
207	IV 29. Juli 1893	24° 7' 30 54	912 m	Kurve	gelber Schlamm, Krustensteine	<i>Lisognathus Thomsoni</i> Norm.
208	IV 31. Juli 1893 a. m.	24° 28' 37 0	414 m	*	gelber Schlamm mit feinem Sand	<i>Pontophilus spinosus</i> Leach. <i>Chlorosetus gracilipes</i> A. M. E. <i>Penaeus membranaceus</i> Risso.
209	IV 31. Juli 1893 p. m.	24° 29' 30 59	444 m	*		<i>Porlannus tuberculata</i> Roux. <i>Ebalia nux</i> Norm. <i>Munda hamfica</i> Penn. <i>Pontophilus spinosus</i> Leach. <i>Pandatus brevirostris</i> Rthk. " <i>heterocarpus</i> A. Costa.
210	IV 1. August 1893	24° 29' 30 59	287 m	*	lichtgelber Schlamm mit feinem Sand, etwas Lehm	<i>Xantho tuberculata</i> Bell. <i>Munda hamfica</i> Penn. <i>Pandatus heterocarpus</i> A. Costa. <i>Penaeus membranaceus</i> Risso.

Nr.	Expedition und Datum	öst. Länge nördl. Breite	Tiefe	Operation	Grund	Arten
211	IV 11. August 1893	25° 43' 37 15	Oberfläche	kleines Oberflächen- netz		<i>Leucifer Reynaudii</i> M. E.
212	IV 12. August 1893 a. m.	20° 22' 36 52	"	"		" " "
213	IV 12. August 1893 a. m.	26° 29' 36 47	597 m	Kurre	feiner Sand und Schlamm	<i>Xantho tuberculata</i> Bell. <i>Ergasilus Clowi</i> A. M. S. <i>Ebata</i> nux Norm. <i>Polydora spinosa</i> Leach. <i>Nika edulis</i> Risso. <i>Clonaster trellianus</i> Risso. <i>Chlorotocus gracilis</i> A. M. E. <i>Pandalus Martius</i> A. M. E.
214	IV 12. August 1893 p. m.	26° 43' 36 37	533 m	"	gelbgrauer Schlamm, Muschelbruchstücke	<i>Ebata</i> nux Norm. <i>Polydora spinosa</i> Leach. <i>Pandalus Martius</i> A. M. E.
215	IV 12. August 1893 p. m.	26° 48' 36 32	Oberfläche	kleines Oberflächen- netz		<i>Leucifer Reynaudii</i> M. E.
216	IV 13. August 1893	27° 13' 36 10	"	"		" " "
217	IV 16. August 1893	28° 39' 36 3	"	"		" " "
218	IV 17. August 1893 a. m.	28° 55' 35 43	"	"		" " "
219	IV 17. August 1893 p. m.	29° 28' 35 48	"	"		" " "
220	IV 22. August 1893	20° 58' 37 37	92 m	Kurre	gelbgrauer und grauer Schlamm	<i>Gonoplax rhomboides</i> L. <i>Xantho tuberculata</i> Bell. <i>Pilumnus hirtellus</i> L. <i>Portunus pusillus</i> Leach. <i>Galathea dispersa</i> Bate. <i>Callinectes subterraneus</i> Mont. <i>Alpheus ruber</i> Raf. " <i>macrocheles</i> Hailst.
221	IV 29. August 1893	25° 32' 39 28	371 m	"	grauer Lehm und sehr wenig Sand	<i>Xantho tuberculata</i> Bell. <i>Polydora spinosa</i> Leach.
222	IV 30. August 1893	24° 42' 40 8	Oberfläche	kleines Oberflächen- netz		<i>Ebata</i> nux Norm. <i>Leucifer Reynaudii</i> M. E.
223	V 3. Juni 1894	15° 27' 7" 42 2 40 nördlich von Tremi	98 m	Kurre	Schlamm und Sand	<i>Gonoplax rhomboides</i> L. <i>Xantho tuberculata</i> Bell. <i>Ebata Crauchi</i> Leach. <i>Galathea dispersa</i> Bate. <i>Alpheus ruber</i> Raf.
224	V 3. Juni 1894	15° 27' 7" 42 2 40 ebenda	70 m	"	gelbgrauer Schlamm	<i>Gonoplax rhomboides</i> L. <i>Portunus depurator</i> L. <i>Galathea dispersa</i> Bate. <i>Alpheus ruber</i> Raf.

Nr.	Expedition und Datum	östl. Länge nördl. Breite	Tiefe	Operation	Grund	Arten
240	V 4. Juni 1894	15° 22' 37" 42 9 zwischen Tremi und Planosa	104 m	Kurze	gelbgrauer Schlamm	<i>Gonoplax angulata</i> Penn. <i>Pontophilus spinosus</i> Leach. <i>Alpheus ruber</i> Raf. <i>Solenocera siphonoceros</i> Phil.
243	V 5. Juni 1894	15° 40' 50" 42 11 40 in der Linie von Tremi und Planosa	103 m	"	"	<i>Pinna phoca retorta</i> Bosc. <i>Imachus dorsaltensis</i> Penn. <i>Stenorhynchus longirostris</i> F. <i>Ebalia Cranchi</i> Leach. " nur Norm. <i>Galathea dispersa</i> Bate. <i>Eupagurus Prileauxi</i> Leach. <i>Pontophilus spinosus</i> Leach. <i>Alpheus ruber</i> Raf.
244	V 5. Juni 1894	15° 46' 40" 42 10 50 südöstlich von Planosa	108 m	"	lockerer Schlamm	<i>Xantho tuberculata</i> Bell. <i>Imachus dorsaltensis</i> Penn. <i>Galathea dispersa</i> Bate. <i>Alpheus ruber</i> Raf.
247	V 6. Juni 1894	15° 50' 42" 42 13 20 bei Planosa	111 m	Kurze	gelbgrauer Schlamm	<i>Gonoplax rhomboides</i> L. <i>Alpheus ruber</i> Raf.
248	V 6. Juni 1894	15° 53' 42" 42 13 östlich von Planosa	110 m	"	"	<i>Nika edulis</i> Risso. <i>Alpheus ruber</i> Raf.
251	V 8. Juni 1894	16° 11' 42" 42 23 24 vor Pelagosa	129 m	"	feiner Sand	<i>Imachus dorsaltensis</i> Penn. <i>Ebalia</i> unx Norm. <i>Eupagurus Prileauxi</i> Leach. " <i>angulatus</i> Risso. <i>Solenocera siphonoceros</i> Phil.
259	V 10. Juni 1894	16° 20' 45" 42 23 40 bei Pelagosa	174 m	"	sandiger Schlamm	<i>Galathea dispersa</i> Bate. <i>Eupagurus Prileauxi</i> Leach.
260	V 10. Juni 1894	16° 21' 50" 42 23 3 bei Pelagosa	128 m	"	Algengrund	<i>Rhinolambrus Massena</i> Roux. <i>Bathynectes longipes</i> Risso. <i>Porunus corrugatus</i> Penn. <i>Imachus dorsaltensis</i> Penn. <i>Merocryptus bolcifer</i> A. M. E. <i>Ebalia tuberosa</i> Penn. <i>Galathea dispersa</i> Bate. <i>Munda hamfica</i> Penn. <i>Eupagurus Prileauxi</i> Leach. <i>Hippolyte Cranchi</i> Leach. <i>Pandalus brevirostris</i> Rthk.
261	V 10. Juni 1894	16° 12' 42" 42 23 8 bei Pelagosa	101 m	"	Sand, wenig Algen	<i>Eurynomis aspera</i> Penn. <i>Galathea dispersa</i> Bate.
263	V 11. Juni 1894	16° 12' 30" 42 26 34 bei Pelagosa	179 m	"	dicker Schlamm	<i>Anastatus Rissona</i> Roux. <i>Pontophilus spinosus</i> Leach.

Nr.	Expedition und Datum	östl. Länge nördl. Breite	Tiefe	Operation	Grund	Arten
207	V 15. Juni 1894	15° 22' 37" 42 9 0 bei Lagosta	117 m	Kurre	sandiger Schlamm	<i>Gonoplax rhomboides</i> L. <i>Gonoplax angulata</i> Penn. <i>Euryome aspera</i> Penn. <i>Stenorchinus longirostris</i> F. <i>Ebalia Costae</i> Hell. <i>Galathea dispersa</i> Bate <i>Eupagurus Prideauxi</i> Leach. <i>Solenocera siphonoceros</i> Phil.
209	V 15. Juni 1894	17° 13' 42 35 südöstlich von Lagosta	Oberfläche	"		<i>Munda banfica</i> Penn.
271	V 16. Juni 1894	15° 27' 7" 42 2 0	112 m	"	graugelber Schlamm	<i>Gonoplax rhomboides</i> L. <i>Ebalia tuberosa</i> Penn. <i>Eupagurus Prideauxi</i> Leach.
274	V 17. Juni 1894	16° 27' 50" 42 31 44	191 m	"	sehr dicker, lehmiger Schlamm	<i>Xantho tuberculata</i> Bell. <i>Calocaris Macandracae</i> Bell.
279	V 18. Juni 1894	16° 21' 10" 42 47 0 bei Cazza	132 m	"	graugelber Schlamm	<i>Gonoplax rhomboides</i> L. " <i>angulata</i> Penn. <i>Xantho tuberculata</i> Bell. <i>Galathea dispersa</i> Bate. <i>Eupagurus Prideauxi</i> Leach. <i>Gebia deltura</i> Leach. <i>Calocaris Macandracae</i> Bell.
283	V 21. Juni 1894	16° 3' 24" 42 58 24 zwischen Lessa und Busi	102 m	"	sandiger Schlamm	<i>Euryome aspera</i> Penn. <i>Inachus dorsitensis</i> Penn. " <i>leptochirus</i> Leach. <i>Stenorchinus longirostris</i> F. <i>Ebalia Costae</i> Hell. <i>Galathea dispersa</i> Bate. <i>Eupagurus Prideauxi</i> Leach.
284	V 21. Juni 1894	16° 0' 10" 43 2 24 zwischen Comsa und Busi	94 m	"	reiner Sand mit Muschelfragmenten	<i>Xantho tuberculata</i> Bell. <i>Euryome aspera</i> Penn. <i>Inachus dorsitensis</i> Penn. " <i>leptochirus</i> Leach. <i>Ebalia</i> aus Norm. <i>Galathea dispersa</i> Bate. <i>Eupagurus Prideauxi</i> Leach. <i>Pagurus striatus</i> Latr.
285	V 21. Juni 1894	15° 43' 10" 42 58 20 zwischen St. André und Lissa	133 m	"	feiner Sand	<i>Ebalia Cranchi</i> Leach. <i>Galathea dispersa</i> Bate. <i>Eupagurus Prideauxi</i> Leach.
292	V 23. Juni 1894	16° 17' 42" 42 24 44	171 m	"	Sand mit Schlamm	<i>Xantho tuberculata</i> Bell. <i>Galathea dispersa</i> Bate. <i>Eupagurus Prideauxi</i> Leach. " <i>angulatus</i> Risso.
293	V 23. Juni 1894	16° 21' 50" 42 23 0 östlich von Pelagosa	131 m	"	"	<i>Inachus dorsitensis</i> Penn. <i>Galathea dispersa</i> Bate. <i>Eupagurus Prideauxi</i> Leach.

Nr.	Expedition und Datum	ödl. Länge nördl. Breite	Tiefe	Operation	Grund	Arten
298	V 23. Juni 1894	16° 59' 27" 42 9 0 südöstlich von Pelagosa	485 m	Kurve	gelbgrauer Schlamm	<i>Xantho tuberculata</i> Hell. <i>Anamathia Rissana</i> Roux. <i>Ebalia nux</i> Norm. <i>Munida banffica</i> Penn. <i>Eupagurus Prideauxi</i> Leach. " <i>angulatus</i> Risso. <i>Solenocera siphonoceros</i> Phil.
301	V 26. Juni 1894	17° 51' 30" 42 11 0 südöstlich von Pelagosa	1210 m	"	dicker, gelbgrauer Schlamm	<i>Euryome aspera</i> Penn. <i>Munida banffica</i> Penn.
315	V 1. Juli 1894	18° 51' 30" 40 40 20 Strasse von Otranto in der Höhe von Valona	840 m	"	gelbgrauer Schlamm	<i>Polychetes typhlops</i> Hell.
316	V 2. Juli 1894	18° 58' 0" 40 32 45 Strasse von Otranto	760 m	"	zäher, dicker Schlamm	<i>Gonophus rhomboides</i> L. <i>Solenocera siphonoceros</i> Phil.
326	V 10. Juli 1894	19° 5' 18" 39 19 30 bei Corfu	250 m	Tannernetz		<i>Leuifea Reynaudii</i> M. E.
365	V 18. Juli 1894	zwischen 19° 3' 0" 40 40 6 und 18° 31' 40 30 Strasse von Otranto	776 m	Kurve	Sand und Schlamm	<i>Geryon longipes</i> A. M. E. <i>Polychetes typhlops</i> Hell.
368	V 19. Juli 1894	18° 24' 20" 40 58 30 nördlich von Irinissi	895 m	"	zäher, dicker Schlamm	<i>Munida banffica</i> Penn. <i>Calocaris Macandrac</i> Bell. <i>Polychetes typhlops</i> Hell.
378	V 20. Juli 1894	17° 35' 7" 41 30 8 südliche Adria	950 m	"	sandiger Schlamm	<i>Lispognathus Thomsoni</i> Norm. <i>Ebalia nux</i> Norm. <i>Munida banffica</i> Penn. <i>Calocaris Macandrac</i> Bell. <i>Pontophilus spinosus</i> Leach.
379	V 23. Juli 1894	17° 30' 5" 41 41 0 südliche Adria	1138 m	"	"	<i>Geryon longipes</i> A. M. E. <i>Munida banffica</i> Penn.
383	V 24. Juli 1894	17° 36' 6" 4 33 50 südliche Adria	986 m	"	"	" " " <i>Polychetes typhlops</i> Hell.
384	V 24. Juli 1894	17° 38' 41 34 südliche Adria	1190 m	"	"	<i>Lispognathus Thomsoni</i> Norm. <i>Munida banffica</i> Penn. <i>Eupagurus Prideauxi</i> Leach. <i>Polychetes typhlops</i> Hell. <i>Pontophilus spinosus</i> Leach.

Nr.	Expedition und Datum	östl. Länge nordl. Breite	Tiefe	Operation	Grund	Arten
385	V 24. Juli 1894	17° 38' 41" 37" südliche Adria	1190 m	Kurre	sandiger Schlamm	<i>Geryon longipes</i> A. M. E. <i>Lispignathus Thomsoni</i> Norm. <i>Munida banffica</i> Penn. <i>Galathea Macandracae</i> Bell. <i>Polychaetes typhlops</i> Hell.
389	V 25. Juli 1894	18° 5' 40" 4 42 0 südliche Adria	1205 m	"	"	<i>Munida banffica</i> Penn. <i>Polychaetes typhlops</i> Hell.
390	V 26. Juli 1894	17° 30' 30" 42 10 südlich von Pelagosa	1189 m	"	dicker, zäher Schlamm	<i>Galathea Macandracae</i> Bell. <i>Polychaetes typhlops</i> Hell.
397	V 26. Juli 1894	17° 31' 0" 42 11 5	1000 m	Tannennetz		<i>Pisipharus striato</i> Risso.
399	V 26. Juli 1894	17° 28' 40" 42 32 20 südlich von Melida	218 m	Kurre	trockener Schlamm	<i>Xantho inbrentata</i> Bell. <i>Solenocera siphonoceros</i> Phil.

Systematische Aufzählung und Besprechung der gedrehten Arten.

I. REPTANTIA.

A. BRACHYURA.

α Catometopa.

1. *Pinnotheres veterum* Bosc.

1830, Bosc. Hist. nat. Crust. I, p. 294.

1897, Th. Adenamer Revision d. Pinnotheriden etc. des k. k. naturhist. Hofmuseums, Wien, XII. Bd., 2. Hft.

Syn. *Cancer pinnotheres* L.

1767, C. Linné, Syst. nat., XII. ed., p. 2940, 49.

Pinnotheres Montagni Leach.

1818, E. Leach, Malac. Brit. tab. XV.

Cancer pinnophylax L.

1767, C. Linné, Syst. nat., XII, p. 1039, 5.

1766, F. W. Herbst, Krabben und Krebse, p. 104, Taf. II, Fig. 27.

Pinnotheres pinnophylax Bosc.

1830, G. Bosc, Hist. nat. d. Crust., p. 294.

Pinnotheres pinnae Leach.

1814, E. Leach, Crustaceology Edinb. Encycl., VII, p. 431.

Ein ♂ von der Station 243 (Adria) Juni in einer Tiefe von 103 m.

Verbreitung. Mittelmeer: Heller, Risso (Nizza), Costa (Neapel), Lucas (Algier), Carus. Adria: Heller, Grube, Stalio, Stossich. England: Bell. Irland: Thompson.

2. *Gonoplax rhomboides* L.

1825. G. Deanarest. Com. gen. p. 123, tab. 13, Fig. 2.
1863. C. Heller. Crust. südl. Eur., p. 104, tab. III, Fig. 3 u. 4.

Syn. *Cancer rhomboides* L.

1767. C. Linné. Syst. nat., XII, p. 1042, 17.

Ocypode longimana Latr.

1803. A. Latreille. Hist. nat. Crust. & Ins., VI, p. 44.

Gonoplax longimana Lam.

1818. J. Lamarek. Hist. nat. anim. s. vert. 5, p. 254.

Gonoplax rhomboidalis Risso.

1828. A. Risso. Hist. nat. Eur. merid., p. 1, V, p. 13.

15 Stück (8 ♂, 1 ♀) von den Stationen 62, 227, 238, 239, 247, 267, 271, 279, 316 (Meer von Candia, Ägäisches Meer, Adria), Juni, Juli, August — in einer Tiefe von 70—700 m.

Verbreitung. Mittelmeer: Risso (Nizza), Roux (Marseille), Costa (Neapel), Lucas (Algier), Heller, Carus, Goussset (Marseille), Ortmann (Messina, Barcelona). Adria: Heller, Stallio, Stossich, Thompson (Irland), Bell (England), Huan (Japan).

3. *Gonoplax angulata* Penn.

1814. E. Leach. Crustaceology p. 430. Edinb. Encycl. VII.
1863. C. Heller. Crust. südl. Eur., p. 103.

Syn. *Cancer angulatus* Penn.

1777. Th. Pennant. Brit. Zool., IV, p. 5, V, pl. V, Fig. 10.

Ocypode angulata Latr.

1803. A. Latreille. Hist. nat. Crust. & Ins., VI, p. 44.

Gonoplax bispinosa Leach.

1814. W. Leach. Arrangement of Crust., pag. 323. Trans. Linn. Soc. vol. XI.

4 Stück (1 ♀, 3 ♂) von den Stationen 240, 267, 279 (Adria) Juni — in einer Tiefe von 104—132 m.

Verbreitung. Mittelmeer: Heller, Carus. Atlantischer Ocean: Barrois (Concarneau), Fischer (Gironde), Thompson (Irland), Bell (England), Henderson (Firth of Clyde).

Nach Thompson (1842), White (1850) und Bell (1853) gehören *Gonoplax rhomboides* L. und *Gonoplax angulata* Penn. zu einer und derselben Species, und ist erstere bloss eine Varietät von letzterer. Heller (1863) dagegen fasst beide wieder als selbstständige Arten auf. Nach meiner Ansicht jedoch dürften die ersten drei Autoren Recht haben, insofern *Gonoplax rhomboides* L. und *Gonoplax angulata* Penn. zu einer Species gehören. Wie Heller angibt, unterscheiden sich nämlich die beiden Arten nur durch das Fehlen, respective Vorhandensein des zweiten Seitenzahnes am Cephalothorax. Nun konnte ich bei einzelnen Individuen ein einseitiges Vorkommen des zweiten Seitenzahnes am Cephalothorax constatiren, während auf der entgegengesetzten Seite diesem Zahn ein Höcker entsprach, ein Umstand, der für die leichte Veränderlichkeit dieses Merkmales spricht und daher nicht als Artenunterschied gelten kann.

4. *Geryon longipes*. A. M. E.

1881. A. Milne Edwards. Compte rendu sommaire d'une exploration zool. faite dans la Méditerranée dans l'Atlantique à bord du Travailleur. Compt. rendus Acad. sc. T. 93, p. 879, 932.
1887. A. Milne Edwards. Rapport sur les travaux etc. d'étudier la faune sous-marine Arch. Mus. Scien. et Litt. ser. 3, vol. IX, p. 16 und 30.
1888. A. F. Marion. Considération sur les faunes prof. de la Médit. Ann. Mus. Hist. nat. Mars. Zool., T. 1, Mem. 2, p. 36.
1890. J. Miers. Challenger Brachyura, p. 224.
1888. P. Gourret. Revue d. Crust. podophth. d. Marseille, p. 10. Ann. Mus. Hist. nat. Mars. Zool. T. III.

4 Stück (2 ♀, 2 ♂) von den Stationen 365, 370, 385 (Adria), Juli — in einer Tiefe von 776—1136 m.

Verbreitung. Mittelmeer: A. Milne Edwards, Marion, Gourret. Atlantischer Ocean: A. Milne Edwards.

β Cyclometopa.

5. *Xantho tuberculata* Bell.

1853. Th. Bell. Hist. of Brit. stalked Crud. p. 389.

1894. A. Milne Edwards & L. Bouvier. Crust. Decap. provenant des campagnes du Yacht Hironde, p. 33.

27 Stück (9 ♀, 18 ♂) von den Stationen 62, 64, 65, 73, 101, 210, 213, 227, 230, 238, 244, 274, 270, 284, 292, 298, 300 (Adria, Meer von Candia, Cycladen, Sporaden, Ägäisches Meer), Juni, Juli, August, September, in einer Tiefe von 92—834 m, meist sehr klein.

Verbreitung. Mittelmeer: Carus, Gourret (Marseille). Adria: Heller, Nardo, Stalio, Stossich. Atlantischer Ocean: A. Milne Edwards und Bouvier (Azoren). England: Bell. Irland: Bourne.

6. *Pilumnus hirtellus* L.

1815. W. S. Leach. Arrangement of Crust., p. 321. Trans. Linn. Soc., vol. XI.

1894. A. Ortmann. Decapoden-Krebse des Strassburger Museums, VII, p. 440. Zool. Jahrb. Syst. VII.

Syn. *Cancer hirtellus* L.

1767. C. Linné Syst. nat. XII, p. 1045.

3 Stück (1 ♀, 2 ♂) von der Station 227 (Ägäisches Meer), August — in einer Tiefe von 92 m.

Verbreitung. Mittelmeer: Costa (Neapel), Heller, Carus, Gourret (Marseille), Ortmann (Messina, Nizza). Adria: Grube, Heller, Nardo, Stalio, Stossich. Nordsee: Metzger. England: Bell, Henderson (Firth of Clyde). Irland: Thompson. Schweden: Goës. Atlantischer Ocean: Fischer (Gironde), Barrois (Concarneau), A. Milne Edwards und L. Bouvier (Azoren).

7. *Rhinolambrus Massena* Roux.

1894. A. Milne Edwards & L. Bouvier. Crust. Decap. du Yacht Hironde, p. 2.

Syn. *Lambrus Massena* Roux.

1828. P. Roux. Crust. de la Médit., tab. 23, fig. 7—12.

1 Stück ♀ von der Station 260 (Adria), Juni — in einer Tiefe von 128 m.

Verbreitung. Mittelmeer: Roux, Costa (Neapel), Lucas (Algier), Carus. Adria: Heller, Grube, Stalio, Stossich. Atlantischer Ocean: Miers (Gorée Inseln, Barrois (Azoren), A. Milne Edwards und Bouvier (Azoren).

8. *Partheno'ambus expansus* Miers.

1886. J. Miers. Challenger Brachyura, p. 100.

1894. A. Milne Edwards & L. Bouvier. Crust. Decap. provenant des campagnes du Yacht Hironde, p. 20.

Syn. *Parthenopoides expansus* Miers.

1870. J. Miers. On new or little known species of Malinid. Crust., A. M. nat. Hist. 5. Ser., IV, vol., p. 25.

1 Stück (♂) von der Station 194 (Meer von Candia), Juli — in einer Tiefe von 160 m.

Verbreitung. Atlantischer Ocean: Miers (Madeira, Azoren), A. Milne Edwards und L. Bouvier (Azoren).

γ Cancroidea.

9. *Bathynectes superba* O. Costa.

1891. A. Norman. On *Bathynectes* Stps. p. 274. A. M. nat., Hist. VI. Ser., VII. vol.

Syn. *Portunus superbus* O. Costa.

1836. O. Costa. Fauna di Napoli, p. 19, pl. VIII.

1885. V. Carus. Prod. faun. medit., p. 517.

Bathynectes longispina Stps.

1870. W. Stimpson. Prel. rep. Crust. dredged etc. Florida etc. *Brachyura* p. 146, Bull. Mus. Comp. Zool. Harvard Coll. vol. 2.

Bathynectes brevispina Stps.

1870. W. Stimpson. Loc. cit. p. 147.

Thraustes velox Bov.

1876. C. Bovallius. Ett Nytt Släkte af familjen Portunidae fran Skandinavien kuster. Kgl. Vet. Akad. förhög XXXIII Nr. 9, p. 50, pl. XIV, XV.

2 Stück (♂) von den Stationen 193, 197 (Meer von Candia), Juli — in einer Tiefe von 608—629 m.

Verbreitung. Mittelmeer: Costa (Neapel), Carus (Irland), Bourne (Norwegen), Bovallius, G. O. Sars. Atlantischer Ocean: Stimpson, T. Shmith, A. Milne Edwards.

10. *Bathynectes longipes* Risso.

1880. A. Milne Edwards. Observations sur le genre *Thraustes* (Bov.), p. 62. Bull. soc. Philom., 7. ser., IV. T.

1894. A. Ortmann. Die Decapoden-Krebse des Strassburger Museums, VI. Zool. Jahrb. Syst. VII, p. 71.

Syn. *Portunus longipes* Risso.

1815. A. Risso. Hist. nat. Crust. de Nice, p. 30, pl. 1, Fig. 5.

Portunus infractus Otto.

1826. A. W. Otto. Beschreibung einiger neuen Crust. Nova acta, VI, 1 (XIV), p. 331, pl. XX.

Portunus Dalyelli Bate.

1851. C. Spence Bate. On a new genus and several new species of Brit. Crust. A. M. nat. Hist. I VII, p. 331, pl. XI.

5 Stück (4 ♀, 1 ♂), von der Station 260 (Adria), Juni — in einer Tiefe von 128 m.

Verbreitung. Mittelmeer: Risso (Nizza), Roux, Costa (Neapel), Heller, A. Milne Edwards, Carus, Gourret (Marseille), Ortmann. Adria: Heller, Grube, Stalio, Stossich, Ortmann. England: Bell.

11. *Portunus pusillus* Leach.

1814. W. E. Leach. Arrangement of Crust., p. 318. Trans. Linn. soc., vol. XI.

1891. A. Milne Edwards. Etudes zoologiques sur les Portuniens. Arch. Mus. Hist. nat., T. X, p. 397.

1894. A. Ortmann. Decapoden-Krebse des Strassburger Museums, VI, p. 70. Zool. Jahrb. Syst. VII.

Syn. *Portunus maculatus* Risso.

1826. A. Risso. Hist. nat. Eur. merid. V, p. 5.

1826. P. Roux. Crust. de la Médit., pl. 31.

1 Stück (♂) von der Station 227 (Ägäisches Meer), August — in einer Tiefe von 92 m.

Verbreitung. Mittelmeer: Risso, Roux, Costa (Neapel), Heller, A. Milne Edwards, Carus, Gourret (Marseille), Adria: Heller, Stalio, Stossich. Atlantischer Ocean: Miers (Gorée Inseln), Barrois (Concarneau, Azoren), A. Milne Edwards & Bouvier (Belle Ile). England: Bell (Irland), Thompson. Nordsee: Metzger. Norwegen: Sars. Norwegen: Goës.

12. *Portunus corrugatus* Penn.

1814 W. E. Leach. Crustaceology, p. 390, Edinb. Encycl., vol. VII.

1861. A. Milne Edwards. Etudes Zoologiques sur les Portuniens. Arch. Mus. Hist. nat., T. X, p. 401, pl. XXXVI, f. 3.

1894. A. Ortmann. Decapoden-Krebse des Strassburger Museums. VI. Zool. Jahrb. Syst., VII, p. 70.

Syn. *Cancer corrugatus* Penn.

1777. Th. Pennant. Brit. Zool., IV, p. 5, V, pl. X, Fig. 7.

1790. F. W. Herbst. Krabben u. Krebse, p. 151, pl. VII, Fig. 50.

Portunus ruber Blainv.

1821—30. Blainville. Faune française Crust., fig. 1.

Portunus carcinoides Kinah.

1857. J. R. Kinahan. On Xantho rivulosa etc. Dubl. Nat. Hist. Rev., col. IV, p. 66.

Portunus strigalis Stps.

1838. W. Stimpson. Prodromus descriptionis etc. Proc. acad. Nat. Philad., p. 38.

1861. A. Milne Edwards. Etudes zoologiques sur les Portuniens. Arch. Mus. Hist. nat., T. X, p. 402.

Portunus subcorrugatus A. M. E.

1861. A. Milne Edwards. Loc. cit., p. 402, pl. XXXII, Fig. 2.

3 Stück (2 ♀, 1 ♂) von der Station 260 (Adria), Juni — in einer Tiefe von 128 m.

Verbreitung. Mittelmeer: Costa, Heller, Carus, Gourret (Marseille), Ortmann. Adria: Heller, Stalio, Stössich. Atlantischer Ocean: Miers (Görze Inseln), Barrois (Concarneau), Challenger (Azoren, Cap Verde Inseln). England: Bell, Henderson (Clyde). Irland: Thompson. Japan: Miers (Huan). Australien: Challenger (Victoria, Basis Strasse).

13. *Portunus depurator* L.

1798. J. C. Fabricius. Suppl. entom.-syst., p. 365, 9.

1861. A. Milne Edwards. Etudes zoologiques sur les Portuniens. Arch. Mus. Hist. nat., T. X, p. 395.

1894. A. Ortmann. Decapoden-Krebse des Strassburger Museums. VI, p. 69, Zool. Jahrb., VII. Syst.

Syn. *Cancer depurator* L.

1767. C. Linné. Syst. nat. XII, p. 1043, 23.

Portunus plicatus Risso.

1816. A. Risso. Crust. de Nice, p. 29.

1 Stück (♂) von der Station 239 (Adria), Juni — in einer Tiefe von 70 m.

Verbreitung. Mittelmeer: Risso, Roux, Heller, Carus, Gourret (Marseille), Ortmann. Adria: Heller, Grube, Stalio, Stössich. Atlantischer Ocean: Barrois (Concarneau), Fischer (Gérone). Nordsee: Metzger. England: Bell, Henderson (Clyde). Schweden: Goës. Norwegen: G. O. Sars.

14. *Portunus tuberculatus* Roux.

1823. P. Roux. Crust. de la Médit., pl. 32, fig. 1—5.

1861. A. Milne Edwards. Etudes zool. sur les Portuniens. Arch. Mus. Hist. nat., T. X, p. 306.

1894. A. Milne Edwards & L. Bouvier. Crust. Decap. des campagnes Hironde, p. 25.

Syn. *Portunus macropipus* Prestand.

1833. Prestandren. Effem. scient. e litt. per la Sicilia.

1836. O. Costa. Fauna di Napoli, p. 18, tav. 6, fig. 5.

Portunus pustulatus Norm.

1866. A. Norman. On Hebridean Crust. Rep. Brit. ass. for Adv. of scient., p. 151.

1868. A. Norman. Loc. cit., p. 203.

11 Stück (9 ♀, 2 ♂) von den Stationen 64, 101, 209 (Meer von Candia), Juni und September — in einer Tiefe von 444—834 m.

Verbreitung. Mittelmeer: Roux, Costa, Heller, Carus. Atlantischer Ocean: A. Milne Edwards und L. Bouvier. England: Norman (Hebriden). Irland: Bourne.

♂ *Maijoida*.

15. *Eurynome aspera* Penn.

1815. W. E. Lanch. Malae. podophth. Brit., tab. XVII.

1894. A. Milne Edwards & L. Bouvier. Crust. Decap. des campagnes du Yacht l'Albatros, p. 15.

1894. A. Ortmann. Decapoden-Krebse der Strassburger Museums, VI, p. 57, Zool. Jahrb., VII. Syst.

Syn. *Cancer asper* Penn.

1777. Th. Pennant. Brit. Zool. Crust., IV, p. 8, V. pl., IX. A., Fig. 20.

Eurynome scutellatus Risso.

1826. A. Risso. Hist. nat. Eur. merid., V, p. 21.

Eurynome boletifera O. Costa.

1836. O. Costa. Fauna di Napoli, p. 8, tav. 3, fig. 3.

37 Stück (18 ♀, 10 ♂) von den Stationen 103, 261, 267, 283, 284 (Strasse von Otranto, Adria), Juni und August — in einer Tiefe von 94—1216 m.

Verbreitung. Mittelmeer: Costa, Heller, Carus, Gourret (Marseille). Adria: Heller, Grube (Lussin), Nardo, Stalio, Stossich, Ortmann. Atlantischer Ocean: Brito Capello (Portugal), Barrois (Concarneau, Azoren), Fischer (Gironde), Lucas (Algerien), A. Milne Edwards & L. Bouvier (Basse de la grande sol). England: Bell, Henderson (Clyde). Irland: Thompson, Pocock. Norwegen: G. O. Sars. Schweden: Goës.

16. *Anamathia Rissioana* Roux.

1884. Sidney I. Smith. On some new or little known decapod. Crust. dredged of the east coast of the U. St. Proc. U. St. Nat. Mus. Vol. II.

Syn. *Amathia Rissioana* Roux.

1828. P. Roux. Crust. de la Médit., pl. 3.

1863. C. Heller. Crust. südl. Eur., p. 29.

2 Stück (1 ♀, 1 ♂), von den Stationen 263, 298 (Adria), Juni — in einer Tiefe von 179 und 485 m.

Verbreitung. Mittelmeer: Roux, Carus. Atlantischer Ocean: Smith (Ostküste der Ver. St.), Barrois (Azoren).

17. *Ergasticus Clouei* A. M. E.

1881. A. Milne Edwards. Compte rendu sommaire d'une exploration etc. dans la Médit. Travailleur, p. 879. Compte rendu acad. d. sc., T. 93.

1882. A. Milne Edwards. Rapport sur les travaux etc. Sous. Marine, p. 17. Arch. Mus. sc. et. litt., 3. Sec., T. IX.

1883. Th. Studer. Verzeichniss der Crust. Gazelle, p. 7, Taf. 1, Fig. 1. Abh. d. kön. preuss. Akad. Wiss., Berlin phys. math. Cl., Sitzb. VIII.

1883. A. Milne Edwards. Rec. Fig. Crust. nouveaux ou peu connus. I liv., Paris, pl. 1.

1881. V. Carus. Prod. fauna Medit., p. 505.

1894. A. Milne Edwards. Crust. Decap. des campagnes du Yacht l'Albatros, p. 10.

7 Stück (4 ♀, 3 ♂) von den Stationen 73, 103, 173, 213 (Ägäisches Meer), Strasse von Otranto, östliches Mittelmeer), August und September — in einer Tiefe von 131—597 m.

Verbreitung. Mittelmeer: A. Milne Edwards, Carus. Atlantischer Ocean: Studer (Cap Verden), A. Milne Edwards und L. Bouvier (Azoren).

18. *Liapognathus Thomsoni* Norm.

1881. A. Milne Edwards. Compte rendu sommaire d'une exploration dans la Médit. et Atlantique Travailleur, p. 373 und 932. Compte rendu. acad. sc., T. 93.
 1883. A. Milne Edwards. Rec. Fig. Crust., pl. III.
 1886. J. Miers. Challenger Brachyura, p. 27, pl. V, Fig. 2.
 1894. A. Milne Edwards & L. Bouvier. Crust. Decap. de la camp. du Yacht l'Hirondelle, p. 8.

Syn. *Dorhynchus Thomsoni* Norm.

1873. C. Wyville Thomson. Depths of sea, p. 174, Fig. 34.

45 Stück (23 ♀, 22 ♂) von den Stationen 13, 71, 97, 101, 193, 200, 203, 204, 207, 378, 384, 385 (Adria, Mittelmeer), Juli, August, September — in einer Tiefe von 620—1260 m.

Fast alle vorliegenden Individuen, sowohl ♀ wie ♂, besitzen ausser den sechs Stacheln am Cephalothorax noch jederseits einen deutlichen auf der Verbindungslinie zwischen Gastrical- und Branchialstacheln an Stelle des von A. Milne Edwards und L. Bouvier angeführten Tuberculus, so dass der Cephalothorax bei diesen Exemplaren oben statt sechs acht Stacheln trägt. S. I. Smith (1887) hat das Vorhandensein von solchen nur für ♀ dieser Art von der Ostküste der Vereinigten Staaten angegeben, während er bei ♂ davon bloss Tuberkeln oder ganz unscheinbare Stacheln fand.

Verbreitung. Mittelmeer: A. Milne Edwards, Carus. Atlantischer Ocean: A. Milne Edwards & L. Bouvier (Azoren). I. Smith (Ostküste der Vereinigten Staaten). Irland: Pocock. Süd-Afrika: Challenger.

19. *Inachus dorsettensis* Leach.

1814. W. E. Leach. Arrangement of Crust. Trans. Linn. Soc. XI, p. 329.
 1894. A. Ortmann. Decapoden-Krebse des Strassburger Mus., VI, p. 37. Zool. Jahrb., Syst. VII.

Syn. *Cancer dorsettensis* Penn.

1777. Th. Pennant. Brit. Zool., IV, p. 8, V, pl. IX, Fig. 8.

Cancer scorpio F.

1793. C. Fabricius. Ent. Syst. II, p. 402.

Inachus scorpio F.

1798. C. Fabricius. Suppl., p. 358.
 1803. C. Heller. Crust. süssl. Eur., p. 34.
 1888. P. Gourret. Revision des Crust. du Golfe de Marseille, p. 20. Ann. Mus. Hist. nat. Mus. Zool. t. III.

Inachus mauritanicus Luc.

1849. H. Lucas. Hist. nat. d. animaux Art. d'Algérie. Crust. p. 6, pl. I, fig. 2.

Macropus scorpio Latr.

1803. A. Latreille. Hist. nat. Crust. & Ins. VI, p. 109.

Maja scorpio Bosc.

1830. G. Bosc. Hist. nat. Crust. I, p. 270.

28 Stück (13 ♀, 15 ♂) von den Stationen 194, 243, 244, 251, 260, 283, 284, 293 (Meer von Candia Adria), Juni und Juli — in einer Tiefe von 94—160 m.

Verbreitung. Mittelmeer: Heller, Carus, Gourret (Marseille), Lucas (Algier), Ortmann (Neapel). Adria: Heller, Statio, Stossich. Atlantischer Ocean: Fischer (Gironde), Brito Capello (Portugal), A. Milne Edwards und L. Bouvier. England: Bell, Henderson (Clyde). Irland: Thompson, Bourne. Nordsee: Metzger. Norwegen: G. O. Sars. Schweden: Goës.

20. *Inachus leptochirus* Leach.

1815. W. E. Leach. Malac.-podopt. Brit. T. XXII, p. 15.
 1863. C. Heller. Crust. süssl. Eur. p. 32, Taf. I, Fig. 12 und 13.
 1894. A. Milne Edwards & L. Bouvier. Crust. Decap. des camp. du Yacht l'Hirondelle p. 7.

4 Stück 1 ♀, 3 ♂ von den Stationen 194, 283, 284 (Meer von Candia, Adria), Juni, Juli — in einer Tiefe von 64—100 m.

Verbreitung. Mittelmeer: Carus. Adria: Heller, Stalio. Atlantischer Ocean: Challenger (Azoren), A. Milne Edwards und L. Bouvier. England: Bell, Henderson (Clyde). Irland: Thompson.

21. *Achaeus Cranchi* Leach.

1815. W. E. Leach. Malac. podophth. Brit. XXII c.

1803. C. Heller. Crust. südl. Eur. p. 27. Taf. I, Fig. 3.

1865. V. Carus. Prodr. faun. med. p. 504.

Syn. *Macropodia gracilis* O. Costa.

1830. O. Costa. Fauna di Regno di Napoli, p. 25, tav. 3, fig. 1.

1 Stück (♂) von der Station 15 (Bai von Aromato), August — in einer Tiefe von 30 m.

Verbreitung. Mittelmeer: O. Costa (Nepel), Lucas (Algier). Adria: Heller. England: Bell.

22. *Stenorhynchus longirostris* F.

1834. H. Milne Edwards; Hist. nat. Crust. I, p. 286.

1804. A. Ortmann; Decap. Krebse des Strassb. Mus. VI, p. 33, zool. Jahrb. Syst. VII.

Syn. *Stenorhynchus lennirostris* Guérin.

1829. F. E. Guérin; Icon. Reg. Anim. p. 11.

Inachus longirostris F.

1798. C. Fabricius; Suppl. p. 358.

Leptopodia lennirostris Leach.

1814. W. E. Leach. Crustaceology p. 431, Edinb. Encycl. VII.

Macropodia lennirostris Leach.

1815. W. E. Leach; Arrangement Crust. Trans. Linn. Soc. XI, p. 331.

Macropode longirostris Risso.

1826. A. Risso. Hist. nat. Eur. merid. V, p. 27.

Cancer longirostris F.

1793. C. Fabricius; Ent. Syst. p. 462.

5 Stück von den Stationen 243, 267, 283 (Adria), Juni — in einer Tiefe von 102—117 m.

Verbreitung. Mittelmeer: A. Milne Edwards, Lucas (Algier), Heller, Carus, Gourret, Ortmann. Adria: Heller, Stalio, Stossich, Grube. Atlantischer Ocean: Fischer (Gironde), Barrois (Concarneau), A. Milne Edwards und L. Bouvier. England: Bell, Henderson. Clyde-Irland: Thompson. Nordsee: Metzger.

B. OXYSTOMATA.

23. *Merocryptus boletifer* A. M. E. & Bouv.

1894. A. Milne Edwards & L. Bouvier. Crust. Decap. des campagnes du Yacht l'Hirondelle, p. 56, pl. IV, Fig. 1—9.

2 Stück (2 ♂) von den Stationen 194, 200 (Meer von Candia, Adria), Juni, Juli — in einer Tiefe von 128—160 m.

Verbreitung. Atlantischer Ocean: A. Milne Edwards & Bouvier (Azoren).

24. *Ebalia tuberosa* Penn.

1817. A. White; Hist. Crust. Brit. Mus. p. 50.

1894. A. Milne Edwards & L. Bouvier; Crust. Decap. des campagnes du Yacht l'Hirondelle p. 53.

Syn. *Ebalia Pennanti* Leach.

1815. W. E. Leach. Malac. podoph. Brit. tab. XXV, fig. 1—6.

Cancer tuberosus Penn.

1777. Th. Pennant. Brit. Zool. IV, p. 8, V, pl. IX, fig. 19.

Ebalia insignis Lucas.

1849. H. Lucas. Anim. art. de l'Algérie p. 24, pl. 2, fig. 8.

5 Stück (5 ♀) von den Stationen 194, 260, 271 (Meer von Candia, Adria), Juni, Juli — in einer Tiefe von 112—100 m.

Verbreitung. Mittelmeer: Costa (Neapel), Carus, Lucas (Algier). Adria: Heller, Grube, Stalio, Stossich, Ortmann (Lesina). Atlantischer Ocean: Brito Capello (Portugal), Barrois (Concarneau). A. Milne Edwards und L. Bouvier (England), Bell, Henderson (Clyde). Irland: Thompson, Schweden: Goes.

25. *Ebalia Cranchi* Leach.

1817. W. E. Leach. Zool. Miscellany III, p. 20.

1894. A. Milne Edwards & L. Bouvier. Crust. decap. des camp. du Yacht l'Iriondelle p. 54.

Syn. *Ebalia discrepans* O. Costa.

1896. O. Costa. Fauna die Napoli, Crust. p. 4, ta. 4, fig. 3 und 4.

Ebalia deshayesi Lucas.

1849. H. Lucas. Hist. nat. anim. art. de l'Algérie p. 22, pl. 2, fig. 6.

Ebalia chiragra Fischer.

1872. P. Fischer. Les fonds de la mer t. II, p. 45.

4 Stück (3 ♀, 1 ♂) von den Stationen 238, 243, 285 (Adria), Juni — in einer Tiefe von 98—133 m. Die Kanten und Höcker sind oft stärker und schwächer ausgebildet.

Verbreitung. Mittelmeer: Costa (Neapel), Lucas (Algier), Carus, Gourret (Marseille). Adria: Heller, Stalio, Stossich. Atlantischer Ocean: Fischer (Gironde), Brito Capello (Portugal), Barrois (Concarneau). A. Milne Edwards und L. Bouvier (Basse de la grande sole). England: Bell, Henderson (Clyde). Irland: Thompson. Nordsee: Metzger. Schweden: Göss.

26. *Ebalia Costae* Hell.

1892. C. Heller. Untersuchungen der Litoralfauna der Adria. Staber. d. Akad. d. Wiss. Wien 46, p. 435, t. 3, Fig. 21.

1893. C. Heller. Crust. süd. Eur. p. 125, t. V, Fig. 4.

1888. P. Gourret. Rev. Crust. podoph. de Marseille p. 23. Ann. Mus. hist. nat. Mars. Zool. I, III.

2 Stück (2 ♂) von den Stationen 267, 283 (Adria), Juni — in einer Tiefe von 102—117 m.

Verbreitung. Mittelmeer: Carus, Gourret (Marseille). Adria: Heller, Stalio, Stossich.

27. *Ebalia nux* Norm.

1890. A. Norman. On the voyage of the «Travallier» in the Bay of Biscay. A. M. N. H. 5 Ser. VI, p. 433.

1894. A. Milne Edwards & L. Bouvier. Crust. decap. des camp. du Yacht l'Iriondelle p. 55.

172 Stück (88 ♀, 84 ♂) von den Stationen 6, 36, 62, 64, 65, 97, 101, 103, 175, 193, 199, 200, 203, 213, 214, 232, 243, 251, 298, 378, 384 (allgemein verbreitet), Juni, September — an der Oberfläche bis zu einer Tiefe von 1838 m.

Verbreitung. Mittelmeer: A. Milne Edwards, Carus, Gourret (Marseille). Atlantischer Ocean: A. Milne Edwards & L. Bouvier, Norman (Golf von Biscaya). Irland: Pocock, Bourne.

C. GALATHEIDEA.

28. *Galathea nexa* Emblt.

18. Embleton. Proc. Berwickshire Nat. Field Club.

1803. C. Heller. Crust. südl. Eur. p. 101, tab. VI, fig. 4.

1883. V. Carus. Prof. faun. med. p. 488.

1888. J. Bonnier. Galatheides des côtes de France. Bull. Scien. p. 68, pl. XII, 1—8.

1888. P. Gourret. Revision Crust. podophth. de Marseille. Ann. Mus. Hist. nat. Mars. Zool. III, p. 32, 10, pl. V, fig. 12—24, pl. VI, Fig. 1—10.

Syn. *Galathea dispersa* Bate.

1859. C. Spence Bate. Application to the genus *Galathea*. Jour. Proc. Lin. Soc. London vol. 3, p. 3.

1888. J. Bonnier. Galatheides des côtes de France. Bull. Scien. p. 68, pl. XIII, 1—3.

1894. A. Milne Edwards & L. Bouvier. Crust. decap. des camp. du Yacht l'Hirondelle p. 70.

Galathea labidolepta Stps.

1858. W. Stimpson. Prodr. descript. anim. crust. etc., p. 251, Proc. Acad. nat. sc. Philadelphia.

Galathea nexa Emblt. und *Galathea dispersa* Bate halte ich deshalb für synonym, da die Unterschiede, welche zur Aufstellung von diesen beiden Arten führten, nach meiner Ansicht nicht Artenunterschiede, sondern nur solche sind, welche uns innerhalb einer und derselben Art nach verschiedenen Häutungen der Individuen entgegenreten.

Aus demselben Grunde habe ich *Polycheles typhlops* Hell. und *Willomoesia leplodactyla* Will.-Suhm. in eine Species vereint (s. pag. 25), überhaupt dürfen ähnliche Fälle, wie die beiden angeführten, unter den Decapoden öfters vorkommen.

124 Stück (66 ♀, 58 ♂) von den Stationen 103, 227, 238, 239, 240, 243, 244, 259, 260, 261, 267, 279, 283, 284, 285, 292, 293 (Ägäisches Meer, Adria), Juni und August — in einer Tiefe von 94—1216 m.

Verbreitung. Mittelmeer: Milne-Edwards-Marion, Carus, Gourret (Marseille). Adrin: Heller, Stalio, Stossich. Atlantischer Ocean: A. Milne-Edwards und L. Bouvier (Basse de la grande Sole Belle-Ile). Canal la Manche: Sauvage. England und Schottland: Embleton, Bell, Henderson (Clyde). Norman. Irland: Kinatan. Norwegen: G. O. Sars. Schweden: Goës.

29. *Munida bamffica* Penn.

1883. J. Carrington & E. Lowett. Notes on stalked Crust. p. 214. Zool., 3. Ser., III. v.

1894. A. Milne Edwards & L. Bouvier. Crust. Decap. des camp. du Yacht l'Hirondelle p. 83.

Syn. *Astacus bamfficus* Penn.

1777. Th. Pennant. Brit. Zool. IV, p. 17, V, pl. XIII, Fig. 25.

Cancer bamfficus Penn.

1782. F. W. Herbst. Krehse und Krabben t. 27, Fig. 3.

Cancer rugosus L.

1780. C. Linné. Syst. nat. XIII 2985, 149.

Galathea rugosa F.

1793. J. C. Fabricius. Ent. syl. p. 472.

Munida rugosa F.

1863. C. Heller. Crust. südl. Eur. p. 192, t. VI, Fig. 5 und 6.

1886. P. Gourret. Rev. Crust. podophth. de Marseille p. 3. Ann. Mus. hist. nat. Mars. Zool., t. III.

Galathea longipeda Lam.

1808. J. Lamarck. Syst. Anim. s. vert. p. 128.

Galathea bamffica Penn.

1814. W. E. Leach. Crustaceology, p. 308. Edinb. Encycl. VII.

Syn. *Galathea Rondeletti* Bell.

1853. Th. Bell. Brit. stalked Crust. p. 208.

Mundia banyia Penn.

1850. A. White. Cat. Brit. Crust. of Brit. Mus. p. 20.

1888. J. Bonnier. Galatheidés des côtes de France p. 78. Bull. Scien.

82 Stück (44 ♀, 38 ♂) von den Stationen 193, 200, 210, 260, 269, 298, 301, 308, 378, 379, 383, 384, 385, 389 (Adria, Cycladen), Juni, Juli, August — an der Oberfläche bis zu einer Tiefe von 1216 m.

Verbreitung. Mittelmeer: Risso (Nizza), Costa (Neapel), Gourret (Marseille), Ortmann, Carus. Adria: Heller, Stalio, Stossich. Atlantischer Ocean: A. Milne Edwards und L. Bouvier (Basse de la grande sole). England und Schottland: Bell, Henderson (Clyde). Norwegen: G. O. Sars. Schweden Goës. Irland: Pocock, Bourne.

D. PAGURIDEA.

30. *Eupagurus Prideauxi* Leach.

1858. W. Stimpson. Prodr. descr. Anim. vert. etc. p. 75. Proc. Acad. nat. sc. Philadelphia.

1883. C. Heller. Crust. südl. Eur. p. 161, t. 5, Fig. 1—8.

1894. A. Milne Edwards und L. Bouvier. Crust. décap. des camp. du Yacht l'Hirondelle, p. 73.

Syn. *Pagurus prideauxi* Leach.

1815. W. E. Leach. Malac. podophth. Brit. tab. XXVI, fig. 5—6.

Pagurus Bernhardus Risso.

1816. A. Risso. Crust. de Nice, p. 53.

1836. G. O. Costa. Fauna di Napoli, Crust. p. 3.

Pagurus solitarius Risso.

1816. A. Risso. Hist. nat. Eur. merid. V, p. 491.

1828. P. Roux. Crust. de la Médit. pl. XXXVI.

150 Stück, ein Theil davon in *Danilia Tinei* Calc., *Defracia gracilis* Mont., *Fusus pulchellus* Phil., *Mitrolimna minor* Scacchi, *Nassa limata* Chemn., *Natica pulchella* Risso, *Trochus millegranus* Phil., *Trophon muricatus* Mont., *Turritella triplicata* Brocchi, *Aporrhais serresianus* Mich., von den Stationen 62, 103, 243, 251, 259, 260, 267, 271, 279, 283, 284, 285, 292, 293, 298, 384 (Adria), Strasse von Otranto, Meer von Cundia), Juni, Juli, August — in einer Tiefe von 94—1196 m.

Verbreitung. Mittelmeer: Risso (Nizza), Costa (Neapel), Roux, Lucas (Algier), Heller, Carus, Gourret (Marseille). Adria: Heller, Stalio, Stossich, Grube, Nardo. Atlantischer Ocean: Brito Capello (Portugal), Barrois und Bonnier (Concarneau), Studer (Cap Verden), A. Milne Edwards und L. Bouvier. England und Schottland: Bell, Henderson (Clyde). Norwegen: G. O. Sars.

31. *Eupagurus angulatus* Risso.

1858. W. Stimpson. Prodr. descript. Anim. vert. etc. p. 75. Proc. Acad. nat. sc. Philadelphia.

1863. C. Heller. Crust. südl. Eur. p. 167.

1894. A. Milne Edwards und L. Bouvier. Crust. Décap. des camp. du Yacht l'Hirondelle p. 76.

Syn. *Pagurus angulatus* Risso.

1816. A. Risso. Crust. de Nice p. 58, pl. I, fig. 8.

Cancer excavatus Hbst.

? 1798. F. W. Herbst. Kresbe und Krabben vol. 2, p. 31, pl. XXIII, Fig. 8.

Pagurus excavatus Bosc.

1830. G. Bosc. Hist. nat. Crust. I, p. 327.

Syn. *Eupagurus excavatus* Miers.

1881. J. Miers, Crust. from Gorée Island, Senegambia, A. M. nat. Hist. 5. Ser., vol. VIII, p. 280.

Pagurus meliculus Roux.

1828. P. Roux, Crust. de la Médit. pl. XLII.

Eupagurus meliculus Hell.

1863. C. Heller, Crust. südl. Eur. p. 167.

Pagurus tricaruiatus Norm.

1868. A. Normann, Last. Rep. on Decapod among the Shetland isles. Rep. Brit. Assoc. 4. Ser. II, p. 264.

Eupagurus tricaruiatus G. O. Sars.

1855. G. O. Sars, Norske Nordh. Exp. 1816—1876. Crust. I, p. 4, pl. 1, fig. 8—10.

30 Stück, einige in *Nassa limata* Chemn. und *Fusus rostratus* Oliv. von den Stationen 101, 185, 193, 204, 251, 292, 298 (Adria, Meer von Candia, Cycladen, Südküste von Kleinasien), Juni, Juli, September — in einer Tiefe von 120—834 m.

Verbreitung. Mittelmeer: Risso (Nizza), Roux, Costa, Lucas (Algier), Heller, Carus, Gourret (Marseille). Adria: F. Heller, Nardo, Stalio, Stossich, Grube. Atlantischer Ocean: Miers (Gorée Inseln), Fischer (Gironde), A. Milne Edwards & L. Bouvier (Basse de la grande sole). Irland: Pocock. Norwegen: G. O. Sars.

32. *Pagurus striatus* Latr.

1803. A. Latreille, Hist. nat. Crust. & Ins. VI, p. 163.

1891/92. A. Ortmann, Decap. Krebse des Strassburger Museums IV, p. 283. Zool. Jahrb. Syst. VI.

1892. Ed. Chevreux & L. Bouvier, Voyage de la Médit. Paguriens p. 37.

Syn. *Cancer acrosor* Hbst.

1796. W. F. Herbst, Krabben und Krebse p. 173, pl. 43, Fig. 1.

Pagurus strigosus Bosc.

1830. G. Bosc, Hist. nat. Crust. I, p. 325.

Pagurus incisus Oliv.

1811. G. Olivier, Encycl. Meth. VIII, p. 641.

1 Stück (?) in *Dolium galca* L. von der Station 284 (Adria), Juni — in einer Tiefe von 94 m.

Verbreitung. Mittelmeer: Risso (Nizza), Roux, Costa, H. Milne Edwards, Lucas (Algier), Heller, Carus, Ortmann. Adria: Heller, Nardo, Stalio. Atlantischer Ocean: Stimpson (Madeira), Studer (Cap Verden), Brito Capello (Portugal), Miers (Gorée Inseln). Barrois (Azoren). Japan: Haan. Philippinen: Chail.

E. THALASSINIDEA.

33. *Callianassa subterranea* Mont.

1814. W. E. Leach, Crustaceology, p. 400, Edinb. Encycl. VII, 1830.

1891/92. A. Ortmann, Decap. Krebse des Strassb. Mus. III, p. 184. Zool. Jahrb. Syst. VI.

Syn. *Cancer subterraneus* Mont.

1808. G. Montagu, Descri. of several Marine Animals. Trans. Lin. Soc. IX.

1 Stück (?) von der Station 227 (Ägäisches Meer), August — in einer Tiefe von 92 m.

Verbreitung. Mittelmeer: H. Milne Edwards, Lucas (Algier), Heller, Carus, Gourret (Marseille), Ortmann (Neapel). Adria: Heller, Stalio, Stossich. Atlantischer Ocean: Brito Capello (Portugal), Barrois (Concurrent). England: Montagu, Bell. Irland: Thompson.

34. *Gebia deltura* Leach.

1814. W. E. Leach. Arrangement of Crust., p. 324, Trans. Linn. Soc. XI.

1888. P. Gouret. Rev. Crust. podophth. du Golfe de Marseille, p. 30. Ann. Mus. Hist. nat. Mars. Zool. III.

1 Stück (1 ♂) von der Station 279 (Adria), Juni — in einer Tiefe von 132 mm.

Verbreitung. Mittelmeer: Carus, Gouret (Marseille). Atlantischer Ocean: Barrois (Concarneau).

England: Bell. Nordsee: Metzger. Schweden: Goës.

35. *Calocaris Macandreae* Bell.

1833. The Bell. Brit. starkeyed Crust., p. 233.

1891/92. A. Ortmann. Decap.-Krebse des Strassb. Mus. III, p. 50, zool. Jahrb. Syst. VI.

5 Stück (1 ♀, 4 ♂) von den Stationen 274, 270, 368, 378, 396 (Adria), Juni, Juli — in einer Tiefe von 132 — 1106 m.

Verbreitung. Mittelmeer: A. Milne Edwards, Carus. England und Schottland: Bell, Henderson (Clyde). Nordsee: Metzger, Ortmann. Norwegen: G. O. Sars, Ortmann. Schweden: Goës.

F. ERYONIDEA.

36. *Polychaetes typhlops* Hell.

1862. C. Heller. Beiträge zur näheren Kenntniss der Macruren. Sitzungs-Abh. Akad. Wiss. math.-naturw. Cl. Bd. 40, p. 362, Taf. I, Fig. 1—6.

Syn. *Polychaetes Doderleini* Rigg.1884/85. G. Riggio. Appunti di Carcinologia Siciliana sul *Polychaetes Doderleini* (Rigg. ex Hell. Naturalista Sic., p. 90, tav. III.Syn. *Willemoesia leptodactyla* Will.-Suhm.

1874. R. v. Willemoes-Suhm. On Some Atlantic Crust. from the Challenger, Trans. Linn. Soc. 2. Ser., vol. I, p. 30, tav. XIII, fig. 1—3.

1888. C. Spence Bate. Challenger Macrura, p. 163, tab. XVIII—XX.

Syn. *Deidamia leptodactyla*.

1873. C. Wyville Thomson. Notes from the Challenger Nat. vol. VIII, p. 51, fig. 2.

30 Stück (15 ♀, 7 ♂, 8 juv.) von den Stationen 19, 27, 62, 85, 97, 99, 101, 132, 192, 200, 315, 365, 368, 383, 384, 385, 389, 396 (Adria, Nordküste von Afrika, Südküste von Kleinasien, südlich und nördlich von Kreta), Juli, August, September, October — in den Tiefen von 620—2055 m.

Verbreitung. Mittelmeer: Heller, Giglioli, Riggio, Carus. Atlantischer Ocean: Porcupine (?), Chall. Pacific-Ocean: Chall.

II. NATANTIA.

G. EUCYPHIDEA.

37. *Pontophilus spinosus* Leach.

1815. W. E. Leach. Malac. podophth. Brit., tab. XXXVII.

1890/91. A. Ortmann. Decap.-Krebse des Strassb. Mus. I, p. 534, zool. Jahrb. Sy.-I, V.

Syn. *Craugon spinosus* Leach.

1814. W. E. Leach. Arrangement of the Crust. Trans. Linn. Soc. XI, p. 346.

1888. P. Gourret. Rev. Crust. podophth. Marseille. Ann. Mus. Hist. nat. Mars. Zool. III, p. 34.

25 Stück (7 ♀, 3 ♂, 15 juv.) von den Stationen 64, 208, 209, 213, 214, 230, 240, 243, 263, 378, 384 (Adria. Cycladen, Sporaden, Ägäisches Meer, Meer von Candia), Juni, Juli, August — in einer Tiefe von 103 – 1196 m.

Verbreitung. Mittelmeer: Milne Edwards, Gourret (Marseille), Ortmann. Adria: Heller, Stalio, Stossich. Atlantischer Ocean: Fischer (Gironde). England: Bell. Irland: Bourne. Schweden: Goës. Norwegen: G. O. Sars.

38. *Nika edulis* Risso.

1816. A. Risso. Crust. de Nice, p. 85, t. 3, fig. 3.

1890/91. A. Ortmann. Decap. Krebse des Strassb. Mus. I, p. 528, zool. Jahrb. Syst. V.

Syn. *Processa canaliculata* Leach.

1815. W. Leach. Malac. podophth. Brit. Iab. XLI.

Nika canaliculata Leach.

1825. G. Desmarest. Cons. Gen., p. 231.

Nika variegata Risso.

1816. A. Risso. Crust. de Nice, p. 86.

Processa edulis Guérin.

1829–43. E. Guérin-Meneville. Iconographie, pl. 20, Fig. 3.

2 Stück (♀, 1 ♂) von den Stationen 213, 248 (Ägäisches Meer, Adria), Juni, August — in einer Tiefe von 110 und 567 m.

Verbreitung. Mittelmeer: Risso (Nizza), Roux, H. Milne Edwards, Lucas (Algier), Heller, Carus, Gourret, Ortmann. Adria: Heller, Stalio, Stossich, Ortmann. Atlantischer Ocean: Stimpson (Madeira), Brito Capello (Portugal), Fischer (Golf de Gascogne). England-Schottland: Bell, Henderson (Clyde). Nordsee: Metzger.

39. *Leander treillianus* Risso.

1890/91. A. Ortmann. Decap. Krebse des Strassb. Mus. I, p. 518, zool. Jahrb. Syst. V.

Syn. *Melicerta treillianus* Risso.

1816. A. Risso. Crust. de Nice, p. 111, pl. 3, fig. 6.

Palaeomon treillianus Risso.

1825. G. Desmarest. Cons. Gen. 235.

1888. P. Gourret. Rev. Crust. podophth. de Marseille. Ann. Mus. Hist. nat. Mars. Zool. III, p. 39.

5 Stück (♀) von der Station 213 (Sporaden), August — in einer Tiefe von 567 m.

Verbreitung. Mittelmeer: Risso, Roux, Milne Edwards, Lucas (Algier), Heller, Carus, Gourret (Marseille), Ortmann. Adria: Heller, Nardo, Stalio, Stossich.

40. *Hippolyte Cranchi* Leach.

1815. W. E. Leach. Malae. podophth. Brit. tab. XXXVIII, fig. 17—21.

1890/91. A. Ortmann. Decap.-Krebse des Strassb. Mus. I, p. 500, zool. Jahrb. Syst. V.

Syn. *Palacmon microramphos* Risso.

1816. A. Risso. Crust. de Nice, p. 104.

Hippolyte crassicornis M. E.

1837. H. Milne Edwards. Hist. nat. Crust. II, p. 375.

Hippolyte yarelli Thom.

1853. W. Thomson. Description of several new species of Brit. Crust., p. 112, A. M. nat. Hist. 2. Ser., vol. XII.

Hippolyte mutila Kröy.

1842. H. Kröyer. Monographien fremdtling af Slaegten Hippolyte's Nordiske Arter, p. 86.

2 Stück (♂) von der Station 200 (Adria), Juli — in einer Tiefe von 128 m.

Verbreitung. Mittelmeer: Risso, Lucas (Algier), Carus, Gourret (Marseille), Ortmann. Adria: Heller, Grube, Stalio. Atlantischer Ocean: Fischer (Gironde), Barrois (Concarneau). England und Schottland: Leach, Bell (Clyde). Norwegen: G. O. Sars. Schweden: Goës.

41. *Chlorotocus gracilipes* A. M. E.

1882. A. Milne Edwards. Rapport sur les travaux etc. d'études de la faune sous-marine etc. Méditerranée etc., p. 18.

3 Stück (♂) von den Stationen 208, 213 (Cycladen, Sporaden), Juni, Juli — in einer Tiefe von 414 und 597 m.

Verbreitung. Mittelmeer: A. Milne Edwards.

42. *Pandalus brevisrostris* Rathk.

1843. H. Rathke. Beiträge zur Fauna Norwegens. Nov. Act. Acad. Lenz. Carol., vol. 20, p. 17.

1890/91. A. Ortmann. Decap.-Krebse des Strassb. Mus. I, p. 402, zool. Jahrb. Syst. V.

Syn. *Pandalus Rathkii* Hell.

1863. C. Heller. Uters. über die Liboralfauna der Adria, p. 441, Sitzungsber. d. Akad. Wiss. XLVI.

Hippolyte Thomsoni Bell.

1853. Th. Bell. Brit. stalked Crust., pag. 290.

Pandalus Thomsoni Bell.

1891. A. Normann. On some undescribed Podophthalmia and Eutomostreca. A. M. nat. Hist. 3. Ser. VIII, p. 279, pl. 14, fig. 3—9.

Pandalus Jeffreysi Bate.1851. C. Spence Bate. Description of *Pandalus Jeffreysi*, p. 100, Nat. Hist. Rev., vol. 6, p. 100.

3 Stück (1 ♂, 2 ♀) von den Stationen 209, 260 (Cycladen, Adria), Juni, Juli — in einer Tiefe von 128 und 444 m.

Verbreitung. Adria: Heller, Stalio, Stossich, Carus. England und Schottland: Bell, Bate, Normann, Henderson (Clyde). Nordsee: Metzger. Norwegen: Rathke, G. O. Sars, Daniellssen. Schweden: Goës. Barents-See: Hoeck.

43. *Pandalus Martius* A. M. E.

1883. A. Milne Edwards. Rec. fig. Crust.

1892. J. Wood-Mason & A. Alcock. Indian deep sea. Dredging. Crust. p. 369, A. M. nat. Hist. vol. IX.

3 Stück (16♂, 16♀) 36, 62, 64, 97, 101, 163, 197, 199, 213, 214 (Meer von Kandia, Cycladen, südlich von Creta), Juni, October — in einer Tiefe von 533—875 m.

Verbreitung. Mittelmeer: A. Milne Edwards. Andamanen-Meer: Wood-Mason & Alcock.

44. *Pandalus narwal* M. E.

1837. H. Milne Edwards. Hist. nat. Crust. II, p. 385.

1863. C. Heller. Crust. süd. Eur., p. 245, Taf. VIII, Fig. 78.

1890/91. A. Ortmann. Decap.-Krebse des Strassb. Mus. I, p. 491, zool. Jahrb. Syst. V.

Syn. *Pontophilus Edwardsii* Brandt.

1851. F. Brandt. Middendorff Sibir. Reise. Crust. II, p. 122.

1 Stück (♂) von der Station 36 (nördlich der grossen Syrte), September — in einer Tiefe von 680 m.

Verbreitung. Mittelmeer: Milne Edwards, Heller, Carus, Ortmann.

45. *Pandalus heterocarpus* A. Costa.1871. A. Costa. Specie del genere *Pandalus*. Ann. Mus. Zool. anno VI, p. 89, tav. 8, fig. 3.

1885. V. Carus. Prod. faun. med., p. 475.

Pandalus sagittarius A. M. E. und *Pandalus longicarpus* A. M. E.¹ dürften mit *Pandalus heterocarpus* A. Costa identisch sein.

6 Stück (4♀, 2♂) von den Stationen 36, 200, 210 (Cycladen, nördlich der grossen Syrte), Juli, September — in einer Tief von 287—680 m.

Verbreitung. Mittelmeer: A. Costa, Carus.

46. *Pandalus geniculatus* A. M. E.

1883. A. Milne Edwards. Rec. fig. Crust., fig. 28.

1 Stück (♂) von der Station 99 (Meer von Kandia), Juli — in einer Tiefe von 444 m.

Verbreitung. Mittelmeer: A. Milne Edwards.

Das Exemplar ist sehr defect, so dass ich nicht mit voller Sicherheit die Art bestimmen konnte.

47. *Alpheus ruber* Raf.

1887. H. Milne Edwards. Hist. nat. Crust. II, p. 37.

1891/92. A. Ortmann. Deep.-Krebse des Strassb. Mus. I, p. 482, zool. Jahrb. Syst. V.

Syn. *Cryptophtalmus ruber* Raf.

1814. Rafinesque. Précis des découv. zool.

1836. O. Costa. Fauna di Napoli Crust., p. I, tav. VII, fig. 1.

12 Stück (6♀, 6♂) von den Stationen 227, 238, 239, 240, 243, 244, 247, 248, 260 (Adria), Juni August — in einer Tiefe von 70—111 m.

¹) A. Milne Edwards. Rec. fig. Crust. nouveaux ou peu connus, tav. 26 and 28

Verbreitung. Mittelmeer: O. Costa (Neapel), Milne Edwards, Lucas (Algier), Heller, Carus, Gourret (Marseille), Ortmann. Adria: Heller, Grube, Stalio, Stossicher. Atlantischer Ocean: Fischer (Gironde). England.

48. *Alpheus macrocheles* Hailst.

Syn. *Hippolyte macrocheles* Hailst.

1835. J. Hailstone. Descript. of some species of Crust., p. 272, 274, 395. M. nat. Hist. VIII. vol.

Hippolyte rubra Westw.

1835. J. O. Westwood. Descript. of some species of Crust., p. 272. M. nat. Hist. VIII. vol.

Dieuecia rubra Westw.

1835. J. O. Westwood. M. nat. Hist. VIII. vol., p. 552.

Alpheus platycheles Hell.

1882. C. Heller. Zur näheren Kenntniss der Macruren. Sitzungsber. Akad. Wiss., XL., p. 400, T. I, Fig. 21—24.

1891/92. A. Ortmann. Decap.-Krebse des Strassb. Mus. I, p. 477, zool. Jahrb. Syst. V.

Alpheus megacheles Norm.

1898. A. Normann. On the Brit. species of *Alpheus*, p. 175, A. M. nat. Hist., 4. Ser. II.

Alpheus Edwardsii M. E.

1837. H. Milne Edwards. Nat. Hist. Crust. II, p. 352.

Alpheus affinis Guise.

1854. W. V. Guise. Upon a new species of *Alpheus* etc. A. M. nat. Hist., 2. Ser., XIV, p. 275.

16 Stück (8 ♀, 8 ♂) von den Stationen 227, 200 (Ägäisches Meer, Adria), Juni, August — in einer Tiefe von 92—128 m.

Der Speciesname *megacheles* scheint auf einem Irrthum zu beruhen, da Hailstone dieses Thier *Hippolyte macrocheles* nannte.

Verbreitung. Mittelmeer: Heller, Carus, Gourret (Marseille), Ortmann. Adria: Heller, Gruber, Stalio. England: Normann.

49. *Acanthephyra pulchra* A. M. E.

1890. A. Milne Edwards. Diagnose d'un Crust. Nouveau de la Médit. Bull. Sc. de Fr. t. 15. p. 15.

1890. Prince de Monaco. Sur la faune etc. de la Méditerranée au large de Monaco. Cpt. Rd. Ae. Sc. p. 1179.

16 Stück (14 ♀, 1 ♂) von den Stationen 27, 32, 58, 91, 95 (im Mittelmeer zwischen Kreta und Afrika), Juli, August, September — in einer Tiefe von 1264—2325 m.

Verbreitung. Mittelmeer: A. Milne Edwards.

50. *Nematocarcinus ensiferus* I. Sm.

1887. S. I. Smith. Rep. Decap. Crust. Albatros, p. 664, pl. XVII, fig. 2. Rep. Com. 1885. U. St. Com. Fish and Fisheries, Part. XIII.

Syn. *Enmiersia ensifera* I. Sm.

1882. S. I. Smith. Rep. Crust. Decap. Blake. Bull. Mus. Comp. Zool. Vol. I, Nr. 1, p. 77, pl. XIII, fig. 1.

Denkschriften der mathem.-naturw. Cl. LXV. Bd.

6 Stück (4 ♀, 2 ♂) von den Stationen 32, 61, 72, 79 (nördlich der grossen Syrte, nördlich, westlich und südlich von Kreta), Juli, August, September — in einer Tiefe von 1503—2525 m.

Verbreitung: Atlantischer Ocean: S. I. Smith (Ostküste der Vereinigten Staaten).

51. *Pasiphaea sivado* Risso.

1825. G. Desmarest. Cons. Gen. p. 240.

1890/91. A. Ortmann. Decap.-Krebse des Strassb. Mus. I, zool. Jahrb. Syst. V, p. 463.

Syn. *Alpheus sivado* Risso.

1816. A. Risso. Crust. de Nice, p. 93, tab. III, fig. 4.

Pasiphaea savignyi M. E.

1837. H. Milne Edwards. Hist. nat. Crust. II, p. 426.

Pasiphaea brevisrostris M. E.

1837. H. Milne Edwards. Loc. cit.

1 Stück (♂) von der Station 397 (Adria), Juli — in einer Tief von 1000 m.

Verbreitung. Mittelmeer: Risso (Nizza), H. Milne Edwards, Roux, Heller, Carus, Ortmann. England und Schottland: Bell, Henderson (Clyde). Island: Thomson. Norwegen (G. P. Sars).

H. PENAEIDEA.

52. *Leucifer Reynaudii* M. E.

1837. H. Milne Edwards. Hist. nat. Crust. II, p. 469, pl. 20, Fig. 10.

Syn. *Lucifer reynaudii* M. E.

1888. C. Spence Bate. Chall. Macrura p. 469, pl. LXXXIV.

1893. A. Ortmann. Decapoden und Schizopoden, p. 40.

1906. B. Rosenstadi. Untersuchung über die Organisation und postembryonale Entwicklung von *Lucifer reynaudii* M. E. p. 427. Zool. Jahrb. IX. Bd.

Lucifer acerta Dana.

1852. J. D. Dana. United States Expl. Exp. I, p. 671, pl. 44, fig. 9a.

Viele Exemplare von den Stationen: 15, 23, 33, 35, 41, 46, 51, 56, 78, 84, 87, 106, 108, 111, 115, 117, 122, 123, 127, 128, 130, 131, 138, 139, 142, 143, 147, 150, 151, 154, 158, 159, 162, 163, 166, 169, 170, 173, 177, 178, 179, 180, 182, 183, 187, 190, 198, 205, 206, 211, 212, 215, 216, 221, 222, 224, 232, 326 (im Mittelmeer mit Ausnahme der Adria), Juni—September an der Oberfläche bis zu einer Tiefe von 1974 m.

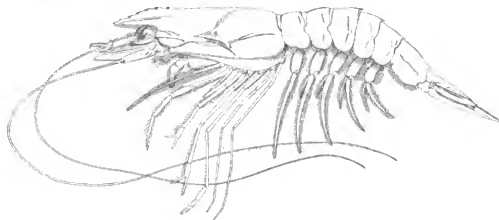
Verbreitung: Atlantischer Ocean: Challenger, Ortmann. Indischer Ocean: H. Milne Edwards. Pacifischer Ocean: Dana, Challenger.

53. *Sergestes robustus* I. Sm.

1882. S. I. Smith. Rep. on the Crust. Blake, p. 97, pl. XVI, fig. 5—8, Bull. Mus. Comp. Zool. vol. X.

1 Stück (♂) von der Station 94 (Südküste von Kreta), September — in einer Tiefe von 1165 m.

Verbreitung. Ostküste von den Vereinigten Staaten von Nordamerika. S. I. Smith.

54. *Aristaeomorpha mediterranea* n. sp.

Von der von Spence Bate¹ als *Aristeus rostridentatus* und von Wood-Mason und Alcock² zum Genus *Aristaeomorpha* gestellten Species unterscheidet sich die vorliegende Art dadurch, dass ihr Rostrum gerade, kurz und nur etwas länger als das 1. Stielglied der inneren Antenne ist. Oben trägt dasselbe 5—6 Zähne, unten dagegen ist es nur behaart. Ferner ist das 3. Stielglied der inneren Antenne etwas kürzer als das zweite.

3 Stück (1 ♀, 2 ♂) von den Stationen 128, 102, 204 (Nordküste von Afrika, Südküste von Kreta, Meer von Kandia) Juli, September — in einer Tiefe von 725—1242 m.

	♀	♂
Cephalothorax sammt Rostrum	6.9 cm	4.4 cm 4.9 cm
Abdomen ohne Telson	7.5 "	5.17 " 6 "
Länge des ganzen Thieres	18.4 "	12.5 " 13.4 "

55. *Solenocera siphonoceros* Phil.

1881. C. Spence Bate. On the Penaeiden. A. M. nat. Hist. 5. Ser., VIII, p. 184

1893. Th. Stebbing. Hist. Crust., p. 217.

Syn. *Penaeus siphonoceros* Phil.

1840. A. Philippi. Zool. Bemerkungen. Arch. Naturh., p. 190, Taf. IV, Fig. 3.

1863. C. Heller. Crust. südl. Eur., p. 245, Taf. X, Fig. 12.

Solenocera Philippi Luc.

1850. H. Lucas. Observ. sur nouv. genre. Ann. Soc. Ent. 2. Sct., t. VIII, p. 215, pl. 7, fig. 2.

Penaeus membranaceus M. E.

1837. H. Milne Edwards. Hist. nat. Crust. II, p. 417.

¹ C. Spence Bate. Challenger Macrura, p. 317, pl. LI 1888.

² J. Wood-Mason and A. Alcock on Deep-sea Dredging. Crust., p. 286. M. nat. Hist. 6. Ser. VIII, 1891.

9 Stück (7 ♂, 2 ♀) von den Stationen 64, 65, 240, 251, 267, 298, 316, 399 (Meer v. Kandia, Adria), Juni, Juli — in einer Tiefe von 103—760 *m*.

Verbreitung. Mittelmeer: Heller, Lucas (Algier), A. Milne Edwards, Carus, Gourret (Marseille), Gironde, Fischer.

56. *Penaeus membranaceus* Risso.

1816. Risso. Crust. de Nice, p. 68.

1863. C. Heller. Crust. südl. Eur., p. 296, Taf. X, Fig. 11.

7 Stück (♀) von den Stationen 175, 185, 193, 208, 210 (Südküste von Kleinasien, Cycladen), Juli August — in einer Tiefe von 287—390 *m*.

Verbreitung. Mittelmeer: Risso (Nizza), Heller, A. Milne Edwards, Carus. Adria: Stalis Stossich.



Ab 142.V655 v.65 no.1

Zeit- und Ortsbestimmungen.



3 1924 009 522 974

ab 1924



